UNITED STATES WEATHER BUREAU
1870

Switzerland. Meteorologische centralanstalt.
Annalen...1943.
68155 C/di
AO

DATE	ISSUED TO	1943
1/28/48	War Dept Library	[illegible]

68155

Digitized by the Internet Archive
in 2026

https://archive.org/details/annales-office-federale-meteorologie-climatologie_1943_80

Switzerland Meteorologische Centralanstalt.

ANNALEN

der

SCHWEIZERISCHEN METEOROLOGISCHEN ZENTRALANSTALT

1943

LIBRARY
N.O.A.A.
U.S. Dept. of Commerce

«Der Schweizerischen Meteorologischen Beobachtungen»

Achtzigster Jahrgang

LIBRARY
JUL 25 1945
WEATHER BUREAU

QC
989
.S88
A5
1943

68155

City—Druck AG., Zürich 1
St. Peterstraße 10
1944

Inhalt

Vorwort . . . . . Pag. III
Verzeichnis der schweizerischen meteorologischen Literatur im Jahre 1943 . . . . . » IV
Legende zu «Tägliche Beobachtungen» . . . . . » V

Tägliche Beobachtungen

der Stationen: Bern, Neuchâtel, Altdorf, Genf, Zürich, Rigi-Kulm, Bevers, Sitten, Lugano, Basel, Säntis und St. Gotthard nebst ergänzenden Witterungsnotizen . . . . . Pag. 1—76
Jungfraujoch: Tägliche Lufttemperaturen . . . . . » 77
Tägliche Maxima und Minima der Lufttemperatur der Stationen Zürich und Säntis . . . . . » 78—79
Temperaturextreme von 7 Normal-Stationen . . . . . » 80—83
Zürich: Abkühlungsgröße und Wärmeeinstrahlung . . . . . » 84

Monats- und Jahres-Uebersichten der meteorologischen Beobachtungen sämtlicher Stationen » 85 – 133

	Pag.
Aarau	102 u. 103
Adelboden	127
Airolo	131
Altdorf	96 u. 97
Altstätten	88 u. 89
Andermatt	125
Arosa	114 u. 115
Auen (Linthal)	92 u. 93
Baden	122
Basel (Binningen)	98 u. 99
Bellinzona	118 u. 119
Bern	104 u. 105
Bernhardin	118 u. 119
Bevers	116 u. 117
Beznau	102 u. 103
Bosco-Gurin	120 u. 121
Braggio	118 u. 119
Braunwald (ob Linthal)	123
Brè Monte (ob Lugano)	132
Brévine, la	125
Buffalora (Ofenpaß)	114 u. 115
Cernier	125
Château d'Oex	127
Chaumont	100 u. 101
Chaux-de-Fonds, la	98 u. 99
Chur	112 u. 113
Comprovasco	131
Davos-Platz	114 u. 115
Ebnat	123
Eichberg	132
Einsiedeln	92 u. 93
Elm	92 u. 93
Engelberg	96 u. 97
Flims	130
Frauenfeld	86 u. 87
Freiburg	104 u. 105
Genf	108 u. 109
Gitschenen (Isenthal)	124
Glarus	90 u. 91
Göschenen	96 u. 97
Grächen	129
Grimsel	106 u. 107
Grono	131
Gurtnellen	125
Guttannen	106 u. 107
Haidenhaus	88 u. 89
Hallau	102 u. 103
Heerbrugg	133
Heiden	88 u. 89
Heiligenschwendi (Thun)	127
Interlaken	106 u. 107
Jungfraujoch	108 u. 109
Kreuzlingen	86 u. 87
Kriießern (Zollamt)	132
Langenbruck	100 u. 101
Langnau i. E.	104 u. 105
Lausanne (Champ de l'air)	108 u. 109
Leukerbad	128
Leysin	110 u. 111
Locarno (Muralto)	120 u. 121
Locarno-Monti	120 u. 121
Lohn	102 u. 103
Lugano	120 u. 121
Lungern	124
Luzern	94 u. 95
Marsens	128
Martigny	128
Meiringen	106 u. 107
Montana	112 u. 113
Montreux-Clarens	108 u. 109
Muri	122
Neuchâtel	98 u. 99
Oberiberg	92 u. 93
Oberriet	132
Olten	126
Pilatus-Kulm	94 u. 95
Platta (Medels)	112 u. 113
Ragaz, Bad	90 u. 91
Reckingen	112 u. 113
Rheinfelden	126
Rigi-Kulm	94 u. 95
Rochers de Naye	110 u. 111
Romont	128
Rorschach (Mariaberg)	122
Saas-Fee	129
Säntis	90 u. 91
Sargans	90 u. 91
Sarnen	96 u. 97
Scarl (Unterengadin)	131
Schaffhausen	126
Schiers	130
Schuls	114 u. 115
Schwäbrig (bei Gais)	122
Seewis	129
Sils-Maria	116 u. 117
Sitten	110 u. 111
Soleil Mont (ob St-Imier)	126
Solothurn	100 u. 101
Splügen (Dorf)	118 u. 119
St. Beatenberg	104 u. 105
St. Bernhard	110 u. 111
St. Gallen	88 u. 89
St. Gotthard	98 u. 99
Sta. Maria	116 u. 117
St. Moritz	130
Thun	127
Tschiertschen	130
Vättis	123
Vicosoprano	116 u. 117
Walchwil	94 u. 95
Wald-Hittenberg	123
Weggis	124
Weißenstein	100 u. 101
Werthenstein	124
Widnau (Zollamt)	133
Winterthur	86 u. 87
Zermatt	129
Zürich	86 u. 87

Anhang: Ergänzende Beobachtungen und Abhandlungen.

Nr. 1. M. Grütter. Übersicht über den Witterungsverlauf in der Schweiz im Jahre 1943.
Nr. 2. Ch. Golaz. Liste des chutes de grêle en Suisse pendant l'année 1943.
Nr. 3. Ergebnisse der Niederschlagsmessungen im Jahre 1943.
Ergebnisse der im Alpengebiet aufgestellten Totalisatoren für das hydrographische Jahr 1942/43.
Nr. 4. Ergebnisse der Registrierungen der Sonnenscheinautographen im Jahre 1943.
Nr. 5. E. Wanner. Jahresbericht des Erdbebendienstes 1943. — Beobachtungen.
— Über die Wellenabhängigkeit der Absorption von elastischen Raumwellen.
Nr. 6. Osservatorio Ticinese Locarno-Monti. — Beobachtungen 1943.
— Ch. Thams. Über die Konstanz des Eichfaktors beim Bimetallaktinographen Fueß-Robitzsch.
— Fl. Ambrosetti. Luftelektrische Messungen in Locarno-Monti.
Nr. 7. Aerologische Station Payerne:
— J. Lugeon. L'atmosphère moyenne de Payerne à la stratosphère ou la critique des radiosondages suisses.
— J. Lugeon. Comparaison des radiosondages suisses avec les postes météorologiques de montagne.
— J. Lugeon et P. Ackermann. Le rôle du support des thermomètres dans les mesures stratosphériques ou le trainage thermique.
— P. Berger. Calculs des corrections thermiques des sondages.
— Radiosondierungen 1943.

Th. Niethammer. Die Bestimmung eines Punktes im Raum durch Vorwärtseinschneiden.
P. Berger. Abri météorologique: nouvelle contribution.
P.-L. Mercanton und E. Wanner. Die magnetische Anomalie im Jorat (Kanton Waadt).

Vorwort

Der vorliegende Annalenband enthält die Beobachtungen des 80. Jahres des schweizerischen meteorologischen Stationsnetzes, das im Dezember 1863 auf Initiative der Schweizerischen Naturforschenden Gesellschaft zu funktionieren begann und dann 1881 von der neugegründeten MZA. übernommen und weitergeführt wurde. Man darf sich freuen über den ungestörten Fortbestand homogener Beobachtungen während acht Jahrzehnten, der in den gegenwärtigen Zeiten keine Selbstverständlichkeit und besonders wertvoll ist. Hoffen wir, daß die beabsichtigte Zusammenfassung der Resultate, die als Ergänzung der im «Klima der Schweiz» für den Zeitraum 1864—1900 veröffentlichten Zahlenwerte gedacht ist, in absehbarer Zeit abgeschlossen und publiziert werden kann.

In den *Personalverhältnissen* der MZA. traten im Jahre 1943 keine Veränderungen auf, abgesehen von der Erkrankung und der auf Ende Dezember notwendig werdenden Pensionierung unserer seit 1913 auf dem Institut mit Aufopferung tätigen Frl. *E. Steiner.*

Stationsnetz. Das Berichtsjahr brachte auch nur wenige Mutationen im Bestande der meteorologischen und Regenmeßstationen. Beobachterwechsel — an den mit * bezeichneten Orten verbunden mit Stationsverlegung — fanden statt in

	bisher:	neu:
*Auen-Linthal	L. Curt, Lehrer	J. Zweifel
Beznau (NOK.-Zentrale)	U. Schifferli	K. Sutter
Gurtnellen	Josef Meier	Stationspersonal SBB.
Heerbrugg (AG. Wild)	O. Zellweger	M. Loser
Hinwil	A. Honegger †	H. Honegger jun.
Krießern	J. Gantner	O. Vetsch
*Schöfflisdorf	O. Schneider	M. Müller in Oberweningen
*Vättis	Frl. P. Sprecher	Frau M. Kressig
*Winterthur	E. Bachmann	G. Groß

Besonders erwähnt zu werden verdient der altershalber erfolgende Rücktritt des pflichtgetreuen Beobachters der meteorologischen Station *Auen-Linthal,* Herrn *L. Curt,* Lehrer, dem wir seine 36jährigen guten Dienste herzlich verdanken.

Der *Wetterdienst* arbeitete mit den minimalen ausländischen Wettermeldungen, auf die man nun schon seit einigen Jahren angewiesen ist und den um so intensiver verwerteten schweizerischen Beobachtungen und veröffentlichte während des Sommers im Abendrundfunk wieder eine Wetterprognose.

Neben dem synoptischen Wetterdienst der MZA. wurde ein solcher von unseren Meteorologen an der *Armeewetterwarte* und an der *Flugwetterwarte Dübendorf* zur Beratung der noch während des ganzen Jahres funktionierenden Fluglinie Zürich—Stuttgart (—Berlin) durchgeführt.

Der Betrieb des *Osservatorio Ticinese* in *Locarno-Monti* erfuhr im Berichtsjahr keine Änderung. Dagegen weist eine solche auf der Bericht in Nr. 6 des Anhanges (vgl. das Vorwort zu demselben). Sie wurde von der Direktion der MZA. vereinbart mit dem neuen, sein Amt erst auf 1. April 1944 antretenden Leiter des Osservatorio, um mehr Raum zu gewinnen für die Veröffentlichung wissenschaftlicher Untersuchungen. Als solche steuerten für den vorliegenden Band bei Hr. *Ch. Thams:* «Über die Konstanz des Eichfaktors beim Bimetallaktinographen Fueß-Robitzsch» und Hr. *Fl. Ambrosetti:* «Luftelektrische Messungen in Locarno-Monti». — Es ist uns ein zusammenfassender Bericht über die in Locarno bisher gemachten Messungen der direkten Sonnenstrahlung von Hr. Dr. W. Brückmann in Aussicht gestellt worden.

Der als Nr. 5 des Anhangs publizierte Bericht über die *Erdbebenwarte im Degenried* dokumentiert den ungestörten Fortgang des schweizerischen Erdbebendienstes. Dem Katalog der 1943 verspürten und registrierten Beben fügt sein Leiter, Hr. Dr. *E. Wanner* eine Arbeit «Über die Wellenabhängigkeit der Absorption von statischen Raumwellen» bei.

Immer mehr Zeit erfordert der ebenfalls von Hr. Dr. *E. Wanner* besorgte *erdmagnetische Dienst.* Er umfaßte im Berichtsjahr nicht nur die Überwachung unserer *Variometerstation in Regensberg,* sondern brachte auch die Teilnahme an der von Hr. *Prof. P.-L. Mercanton* angeregten speziellen Vermessung der magnetischen Anomalie am Genfersee, welche subventioniert aus dem Brunnerlegat der MZA. im Jahre 1943 in zwei Vermessungserien begonnen und 1944 abgeschlossen wurde. Über die Resultate wird im Anhang in der Arbeit von *P.-L. Mercanton* und *E. Wanner:* «Die magnetische Anomalie im Jorat (Kt. Waadt)» berichtet.

Die *Aerologische Station* in *Payerne* konnte wenigstens einen beschränkten Betrieb durch Veranstaltung serienweiser Sondierungen aufnehmen, deren Resultate in Nr. 7 des Anhanges zusammengestellt sind samt den daraus hervorgegangenen Arbeiten der Herren *Dr. J. Lugeon, Dr. P. Berger* und *P. Ackermann.* Besonderes Interesse haben für uns natürlich die Vergleiche der durch die Sondenaufstiege ermittelten Werte mit den entsprechenden Beobachtungen unserer Bergstationen, die übrigens schon bei der telephonischen Übermittlung

im täglichen Colloquium der MZA. diskutiert werden. — Die neue, im aerologischen Teil fertiggestellte Sonde konnte noch nicht in Betrieb genommen werden.

Der Anhang bringt eine Arbeit von Hr. Prof. Dr. *Th. Niethammer:* «Die Bestimmung eines Punktes im Raum durch Vorwärtseinschneiden», veranlaßt durch die im 79. Band der «Annalen» (1942) publizierte Arbeit von Hr. M. Schüepp: «Die Genauigkeit der Doppelvisierungen». — Im ferneren berichtet Hr. Dr. *P. Berger* über seine Erfahrungen mit einer neuen Thermometerhütte.

Neben den «Annalen» erschienen auch unsere übrigen *Publikationen* trotz den erneuten Mobilisationen, die für die Redaktion und für die Druckerei erhebliche Schwierigkeiten verursachten, innert nützlicher Frist.

Zürich, Ende Dezember 1944.

Der Direktor der
Schweizerischen Meteorologischen Zentralanstalt:

Dr. R. Billwiller.

Verzeichnis der andernorts im Jahre 1943 erschienenen oder auf das Jahr 1943 bezüglichen schweizerischen meteorologischen und seismographischen Literatur

Abkürzungen: A. MZA. = Annalen der Schweizerischen Meteorologischen Zentralanstalt. — A. G. = Archives des Sciences physiques et naturelles, Genève. — B. G. = Gerlands Beiträge zur Geophysik. — H. P. A. = Helvetica Physica Acta. — M. Z. = Meteorologische Zeitschrift. — SNG = Schweiz. Naturforschende Gesellschaft. — Z. a. Met. = Zeitschrift für angew. Meteorologie (Das Wetter).

Annalen der Schweizerischen Meteorologischen Zentralanstalt (MZA.), **80**, 1943.

Ergebnisse der täglichen Niederschlagsmessungen auf den meteorologischen und Regenmeßstationen der Schweiz im Jahre 1943.

Meteorologische Monatsberichte: Januar—Dezember 1943.

Täglicher Wetterbericht der MZA., **63**, 1943.

Observatoire de Genève: Résumés météorologiques 1943 (A. G. **25**, 1943).

Observatoire de Lausanne (Champ de l'Air): Résumés mensuels pour 1943, publ. par le Service météorologique cantonal vaudois.

P. Ackermann: Temperaturfalschangaben der Sondenthermometer bei aerologischen Aufstiegen infolge Trägheit der Thermometer. Korrekturmethoden. (Verh. SNG., 1943, 80—81.)

P. Berger: Construction de ballons de remplacement en Cellux et quelques résultats acquis. (Actes SHSN., 1943, 81—82.)

— Abris météorologiques dérivés du type anglais et résultats provisoires acquis. (Actes SHSN., 1943, 82—83.)

— Dispositif pour larguer les sondes au bout de xx minutes de vol. (Actes SHSN., 1943, 83.)

— Etude en laboratoire de thermomètres bimétalliques et résultats acquis. (Actes SHSN., 1943, 83—84.)

M. Bider: Prüfung der Ficker-Regeln in der Schweiz. (Verh. SNG., 1943, 81.)

R. Billwiller: Der Firnzuwachs pro 1942/43 in einigen schweizerischen Firngebieten. (XXX. Bericht der zürch. Gletscherkommission. VJ.-Schrift NGZ. 88, 1943, 270—275.)

M. Bouet: Le gradient horizontal de température sur le Lac Léman par la Bise. (Bull. Soc. Vaud. Sciences Natur., **62**, 1943, 259.)

P.-B. Bouvier: v. J.-W. Brun.

J.-W. Brun et Bouvier, P.-B.: Le rôle du plan neutre dans le mécanisme des vents (3 fig.). (A. G. **25**, 1943, 110—119.)

P. Darbre: Introduction à la météorologie. Notes rédigées à la suite d'un cours de météorologie. Préface du Cap. Georges Ducotterd. (Avec figures et croquis de cartes.) (Lausanne, Libr. F. Rouge & Cie. S. A., 1943, 180 p.)

— Le problème de la grêle. Etat actuel. (Bull. Soc. Vaud. Sciences Natur., **62**, 1943, 260.)

H. Egger: Das Wetter in der Schweiz. (Schw. Brauerei-Rundschau, Jg. **54**, 1943, 25, 63, 103, 120.)

E. Gerber: Etwas vom Wetter im Jahre 1943. (Brugger Njbl., Jg. **53**, 1943, 58—61.)

Ch. Golaz: Liste des chutes de grêle en Suisse pendant l'année 1943. (A. MZA., 1943.)

F.-W. Paul Götz: Das Nachthimmelslicht. (Handb. der Geophysik VIII, 1943, 415.)

— Ozonwellen. (Verh. SNG., 1943, 88.)

O. Heß: Die Temperaturverhältnisse unseres Landes (mit Figuren und graph. Darstellungen). (Neue Schulpraxis, Jg. **13**, 1943, 79—90.)

M. Hottinger: Das heiztechnische Klima der Schweiz im Winter 1942/43 (3 Abb. und 14 Zahlentafeln). (Schweiz. Bl. f. Heizung und Lüftung, Jg. **10**, 1943, 101—110.)

J. Lugeon: Vérification en planeur remorqué du procédé radiotélémétrique de mesure des grandes distances. (Actes SHSN., 1943, 76—77.)

— Quelques adjonctions aux nouvelles méthodes de radiosondage du Poste aérologique de la Station centrale suisse de météorologie, à Payerne. (Actes SHSN., 1943, 75—76.)

P.-L. Mercanton: Données et indications pour le réglage des baromètres usuels dans la région lausannoise. (Bull. Soc. vaud. des sc. nat., **62**, 1943, 241—246.)

— Les variations périodiques des glaciers des Alpes suisses, 64e rapport 1943. («Les Alpes», nos 6 et 7, 1943.)

W. Mörikofer: Aktuelle Aufgaben und Anforderungen der Kurortklimaforschung in der Schweiz. (Schweiz. Med. Woch. **73**, 1943, 939 und Ann. Schweiz. Ges. f. Balneol. Klimatol., **36**, 1943, 34—41.)

Ch.-E. Perret: Relations entre les phénomènes météorologiques et la production du nectar (8 fig.). Bull. Soc. rom. d'apic. **40**, 1943, 41—42, 80—85, 113—116.

T. Piechowicz: Die Theorie der Auswaschung von Niederschlägen (2 Fig.). (Sammlg. wissenschaftl. Arbeiten der in der Schweiz internierten Polen, Bd. 1, H. 1, 1943, 120—125.)

F. Prohaska: Die Globalstrahlung in Davos. (B. G., **59**, 1943, 247—275.)

— Wetterlagen bei großen Schneefällen in Graubünden. (NGG., 1940—1942, **78**, 1943, 175—187.)

E. Rod: Résumé météorologique de l'année 1941. (A. G. **25**, 1943, 106—109.)

— Résumé météorologique de l'année 1942. (A. G. **25**, 1943, 139—142.)

J. Schneider: Qualitative und quantitative Konstanz der Sonnenstrahlung und der Erdatmosphäre vom untersten Kambrium bis zur Gegenwart innert schwachen Schwankungen. (Verh. SNG., 1943, 88—90.)

Chr. Thams: Ein Gerät zur Registrierung der Schneedeckenhöhe (1 Abb.). (Verh. SNG., 1943, 77—79.)

— Eine Sonde zur Messung der Temperatur in der Schneedecke. (Jahresbericht der NGG., Bd. 79.)

M. Waldmeier: Die Ionosphäre und ihre Bedeutung für Geophysik, Astrophysik und Meteorologie. (Verh. SNG., 1943, 85—87.)

E. Walter: Das Klima ändert sich. (Volkshochschule, Jg. **12**, 1943, 89—93.)

Th. Zingg: Die Luftmassen als Grundlage der Klimatologie. (Verh. SNG., 1943, 84—85.)

Dieses Verzeichnis führt, um Raum zu sparen, die im vorliegenden Bande publizierten und im Inhaltsverzeichnis (pag. II) aufgeführten Arbeiten nicht nochmals auf.

Tägliche Beobachtungen

der Stationen:

Bern, Neuchâtel, Altdorf, Genf, Zürich, Rigi-Kulm, Bevers, Sitten, Lugano, Basel, Säntis und St. Gotthard

im Jahre 1943

Für die Bezeichnung der Hydrometeore und anderer Phänomene werden nach dem Vorschlag des Internationalen Meteorologen-Kongresses Wien 1873 folgende Symbole angewandt:

● = Regen	V = Duft	= Sturm
✳ = Schnee	∾ = Glatteis	= Schneegestöber
△ = Graupeln, Riesel	≡ = Nebel	= Sonnenhof
▲ = Hagel	= Gewitter	⊕ = Sonnenring
← = Eisnadeln	= Blitz, Wetterleuchten	= Mondhof
= Tau	= Nordlicht	= Mondring
= Reif	= starker Wind	= Regenbogen
	= Nebelregen	

Das Zeichen ⊠ bedeutet, daß mehr als die Hälfte der Bodenfläche in der Umgebung der Station an dem betreffenden Tag mit Schnee bedeckt war.

Die Intensität der einzelnen Erscheinungen wird durch eine dem Symbol als Exponent beigefügte ° als schwach und ² als stark bezeichnet.

In der Spalte «Witterung» bedeuten die Abkürzungen: fl. = Flocken, sch. = Schauer, tr. = Tropfen, T = Donner, fr. = früh, m. U. = mit Unterbrechungen.

Vom Jahrgang 1918 an ist die 24-Stundenzählung durchgeführt; wenn die Zeit nicht näher angegeben werden kann, so bedeutet wie bis anhin: a: Vormittags (ante meridiem), p: Nachmittags (post meridiem), n: Nachts.

Alle Zeitangaben beziehen sich auf **mitteleuropäische Zeit.**

Die römischen Ziffern geben an, daß das betreffende Phänomen um die Zeit des ersten, bzw. zweiten, bzw. dritten Beobachtungstermins beobachtet worden ist, die arabischen bedeuten die bürgerlichen Zeitstunden, das Zeichen * interpolierte Daten.

Die Windstärken sind in der sechsteiligen (halben) Beaufortskala ausgedrückt.

λ bezeichnet die geographische Länge in Graden von Greenwich, β die geographische Breite, H_b die Höhe des Stationsbarometers über dem Meer in Metern, H die Höhe der Station (des Regenmessers) über der Meeresfläche, G ist die Korrektion, welche an den Luftdruckdaten für deren Reduktion auf die Normalschwere (45° Breite und das Meeresniveau) noch anzubringen ist, h_r die Höhe des oberen Randes des Regenmessers über dem Erdboden. Die Stationen, bei denen die Höhe (des Barometergefäßes) bis auf den Dezimeter angegeben ist, sind an das schweizerische Präzisionsnivellement angeschlossen. Alle Höhen sind auf Pierre du Niton 373.6 m bezogen.

Die Schwerekorrektionen (G) sind vom Jahrgang 1936 an auf Grund neuer Berechnungen von Herrn Professor Niethammer, Basel, eingesetzt worden.

Eidgenössische Meteorologische Kommission 1943.

Prof. Dr. Th. Niethammer, Observatorium, Binningen-Basel, Präsident
Prof. Dr. L. W. Collet, Universität, Genève, Vizepräsident
Prof. Dr. P.-L. Mercanton, Lausanne
Prof. Dr. W. Jost, Gymnasium, Bern
Prof. A. Kreis, Kantonsschule, Chur
Prof. Dr. Ch. Borel, Gymnasium, La Chaux-de-Fonds
Prof. Dr. Fr. Gaßmann, ETH. Zürich

ERRATA (Annalen 1943).

1940.

Seite 112. **Reckingen.** Temperatur: Januar Minimum und Maximum vertauscht, Februar Minimum — 19.0 (nicht 19.0).

1941.

Anhang Nr. 3 (Monats- und Jahressummen der Niederschlagsmessungen).
Seite 3. **Obstalden.** Juni 135 (nicht 125).
» 4. **Otelfingen.** Oktober 71 (nicht 51).
» 6. **Beromünster.** April 82 (nicht 21), Jahr 1065 (nicht 1004).
» 7. **Satigny.** Juli 43 (nicht 44).
Lago di Tremorgio. Jahr 1650 nicht 1659).
Ascona. Jahr 2133 (nicht 2153).
Bevers. Oktober 23 (nicht 33).
Anhang Nr. 4 (Sonnenschein), Seite 1. **Schuls.** März 174 (nicht 185), April 130 (nicht 119).
Abhandlung «Das Wintermaximum der Niederschläge in der Zentralzone des Wallis». Die Untertitel der Tabelle auf der zweiten Seite sind am unrichtigen Platz. Korrektur nach der Tabelle der ersten Seite.

1942.

Seite 66. **St. Gotthard.** Monat: November (nicht Dezember).
» 68. **Genf.** Monat: Dezember (nicht November).
» 71. **Lugano.** Bewölkung 21^{30}: 21. 0 (nicht 10), Monatsmittel 4.2 (nicht 4.5).
» 83. **Altdorf.** Oktober: Vom 10. an falsch. Die richtigen Zahlen sind:

10.	**11.**	**12.**	**13.**	**14.**	**15.**	**16.**	**17.**	**18.**	**19.**	**20.**	**21.**
18.0	14.5	15.0	13.2	14.0	17.0	16.0	13.4	12.3	13.2	14.5	15.0

22.	**23.**	**24.**	**25.**	**26.**	**27.**	**28.**	**29.**	**30.**	**31.**	**Mittel**
10.0	11.2	12.0	15.0	17.9	19.8	18.2	18.2	21.7	12.7	17.3

Seite 121. **Lugano.** Bewölkung: Dezember 21^{30} 4.2 (nicht 4.5), Mittel 5.1 (nicht 5.2). Heitere Tage: Dezember 11 (nicht 10), Jahr 91 (nicht 90).
» 132. **Meliorationsgebiet der St. Galler Rheinebene.** Die Abendbeobachtungen erfolgen um 20^{30}.
Anhang Nr. 1, Seite 7. **Genf und Lausanne:** Die Höhenangaben sind überall vertauscht.
Anhang Nr. 3 (Monats- und Jahressummen der Niederschlagsmessungen).
Seite 1. **Thusis.** Zahl der Tage 93 (nicht 92).
Tomils. Zahl der Tage 88 (nicht 87).
Plantahof. August 132 (nicht 130), Jahr 938 (nicht 936).
» 5. **Belp.** Jahr 966 (nicht 916).
Valleyres sous Rances. Jahr 806 (nicht 805).
Bochuz. Jahr 863 (nicht 862).
» 6. **Gryon.** Jahr 1099 (nicht 999).
Bex. Jahr 809 (nicht 808).
» 7. **Cavaglio.** Jahr 1119 (nicht 1129).

1943.

Seite 16. **Bevers.** Temperatur 7^{30}: 22. — 3.0 (nicht — 2.0).
» 17. **Basel.** Witterung: 27. 17-n streichen; 28. ● 17-n; 29. ● n-$1^3/_4$, 6-$6^1/_2$; 30. beifügen: ● tr. 16.
» 18. **St. Gotthard.** Niederschlag: 31. 9.5 (nicht 0.7), Summe 94.0 (nicht 85.2).
» 102. **Hallau.** Luftdruck: Maximum im Januar am 24. (nicht 27.).
» 122. **Muri.** Beobachter: W. E. Müller (nicht A. Müller).
Anhang Nr. 3 (Monats- und Jahressummen der Niederschlagsmessungen).
Seite 5. **Couvet.** Juni 103 (nicht 193).

$\lambda = 7° 26'$, $\beta = 46° 57'$
$H_b = 572.2$ m, $G = 0.00$ mm.

Bern

Januar 1943.
Beobachter: *Tellur. Observatorium.*

Tag	Lufttemperatur 7³⁰	13³⁰	21³⁰	Mittel	Abweich. vom Normalst	Luftdruck 7³⁰	13³⁰	21³⁰	Relative Feuchtigkeit 7³⁰	13³⁰	21³⁰	Windrichtung und Stärke 7³⁰	13³⁰	21³⁰	Bewölkung 7³⁰	13³⁰	21³⁰	Niederschlag	Witterung
1	-3.6	0.1	-0.5	-1.3	0.3	710.5	707.5	699.5	91	70	80	S 0	W 1	W 1	8	9	10	5.4	✳ 22-n
2	2.3	1.8	0.7	1.6	3.2	698.9	703.5	702.5	94	83	63	WSW 2	WSW 2	WSW 2	10●	10	9	3.7	✳ n, 9-11 m.U., ✳° p ztw. ● n-11
3	-1.4	-0.8	-1.1	-1.1	0.5	702.4	705.4	708.9	92	89	84	W 1	W 2	WSW 1	10	10*	10*	0.4	✳ n-13¾, 17½-23¾ ztw.
4	-2.0	-0.9	-2.0	-1.6	0.1	709.6	708.3	709.2	80	77	89	WSW 2	W 2	W 1	7	10*	10*	2.1	✳ 10, 10¾, 13½-21½ m.U.
5	-4.1	-2.9	-2.7	-3.2	-1.5	708.8	708.1	708.0	95	90	98	NNE 1	N 0	NE 0	10*≡	10*≡	10*≡	14.3	✳ n-n m.U., ≡ n-n m.U.
6	-2.6	-0.4	-1.4	-1.5	0.2	708.8	710.0	710.4	95	91	99	NE 1	NE 0	NE 0	10	10≡	10≡	0.1	✳ n-9¼ m.U., ≡ a-15½
7	-1.1	1.1	0.1	0.0	1.8	709.1	708.5	706.6	99	83	97	S 0	S 0	SSW 0	10≡	10*	10*	0.6	✳ 12¾-16½, 21¼-22. ≡ n-a
8	1.1	3.0	0.7	1.6	3.4	705.6	706.9	711.3	94	84	77	S 0	W 1	NW 1	10	9	10	0.9	● 4½, 9½-12 m.U.,
9	-4.5	-4.1	-5.3	-4.6	-2.8	715.6	715.6	715.7	82	74	84	NE 2	NE 2	N 1	10	10	10	.	[● ✳ 10½
10	-5.9	-4.8	-2.8	-4.5	-2.7	712.3	711.9	710.4	82	87	91	SE 1	SE 1	SE 1	10	10*	9	3.3	✳ 10¾-16¼
11	-2.9	0.7	-0.1	-0.8	1.0	705.5	705.7	706.3	100	90	99	S 0	N 0	S 1	10≡	10	10≡	1.5	✳ 10¾-13¼, ✳° p, ≡ n-a, n
12	-0.9	0.3	0.3	-0.1	1.7	699.9	698.5	697.4	99	93	99	SE 0	SW 0	W 0	10≡	10*≡	10≡	3.2	✳ 13¼-16¾, 4 m.U., 22. ≡ n-n
13	3.0	4.9	0.3	2.7	4.5	704.0	704.9	702.9	86	67	91	WSW 2	WSW 2	S 0	10●	3	10	2.7	● 2¼-9¼ zeitw. [m.U.
14	0.9	6.5	3.5	3.6	5.4	696.8	696.7	702.5	99	62	80	S 0	W 2	SSW 1	10●≡	7	9	5.7	●23¼-11¼, 16¾-18¾ m.U., ≡ n-11
15	2.1	3.7	2.3	2.7	4.5	706.3	707.9	711.1	77	70	75	W 1	SW 2	WSW 2	10	10	10	0.3	✳ 8½-10¾ m.U., ✳° p ztw., [● ° 18
16	0.3	3.1	-1.9	0.5	2.3	713.7	713.4	712.7	92	66	97	SE 0	SE 1	E 0	7	1	9	.	✳° fr., ⊽ abds.
17	-5.2	-2.8	-6.0	-4.7	-3.0	711.8	710.6	710.9	99	85	92	SW 0	NE 0	S 0	10≡	2	5	.	≡ n-mtgs., ⌴ I
18	-8.9	-1.3	-6.3	-5.5	-3.8	711.6	711.4	712.1	92	70	100	W 0	W 1	NW 0	5	1	8≡	.	● a, ≡ ⊽ abds., ⌴ I
19	-7.2	0.2	-3.6	-3.5	-1.8	712.2	711.7	712.5	95	75	97	SW 0	NE 0	W 0	5	1	2	.	⌴ I, ⊽ abds.
20	-7.3	0.5	-4.4	-3.7	-2.1	711.8	711.2	710.9	97	76	99	NW 0	SW 0	W 1	2	3	2	.	≡ a, ⌴ I
21	-5.7	2.6	-1.1	-1.4	0.2	711.4	711.0	710.5	95	63	91	SW 0	W 0	SW 0	7	7	8	.	⌴ I, ⊽ abds.
22	-2.9	4.3	2.2	1.2	2.8	711.8	711.5	712.1	95	61	82	S 0	S 0	W 0	7	9	10	0.3	⌴ I
23	1.3	7.2	3.6	4.0	5.5	712.2	712.7	714.2	97	77	91	SE 1	W 1	SW 0	8	7	10●	5.4	● 4¾-5½, 8, 17, 21-n
24	2.1	4.6	0.1	2.3	3.8	717.6	719.0	720.1	99	68	92	S 0	NE 2	NE 1	7	4	0	.	● n-11¼, 5½. ≡ 8¼-10¼
25	-1.7	0.5	-3.3	-1.5	-0.1	720.3	720.3	720.1	99	79	97	N 1	SW 1	S 0	10	10	1	.	≡ 8-11¼
26	-4.9	-0.8	-0.4	-2.0	-0.6	718.8	718.8	721.2	100	90	97	SW 0	SW 1	SE 0	7≡	10*	0	0.2	✳ 13¼-15¾ m.U., ≡ n-10½, [V I
27	-1.9	4.9	-0.2	0.9	2.2	721.3	720.4	720.6	98	60	92	W 0	S 1	SE 1	4	6	0	.	
28	-3.6	2.5	-2.1	-1.1	0.2	719.2	717.2	716.0	96	68	96	SW 0	W 1	W 0	3	2	0	.	⌴ I
29	-4.9	1.7	-1.3	-1.5	-0.3	714.1	713.0	712.2	100	85	96	W 0	NW 0	S 0	10≡	2	0	.	≡ n-10½, V I
30	-2.6	5.5	2.7	1.9	3.0	708.7	707.4	710.7	90	53	97	S 0	S 0	W 0	6	9	10	3.0	● 17½-23¼ m.U., ⌴ I
31	-0.4	4.4	1.5	1.8	2.9	712.2	710.1	707.8	100	82	95	S 0	NE 0	SE 0	10≡	10	3	0.4	≡ n-mtgs., ⌴ I, ⊕ II
																		Summe	
Mittel	-2.4	1.5	-0.9	-0.6	—	710.4	710.3	710.6	94	76	91				8.2	7.2	6.9	53.5	

$\lambda = 6° 57'$, $\beta = 47° 0'$,
$H_b = 487.3$ m, $G = 0.02$ mm.

Neuchâtel

Januar 1943.
Beobachter: *Observatorium.*

Tag	7³⁰	13³⁰	21³⁰	Mittel	Abweich. vom Normalst	7³⁰	13³⁰	21³⁰	7³⁰	13³⁰	21³⁰	7³⁰	13³⁰	21³⁰	7³⁰	13³⁰	21³⁰	Niederschlag	Witterung
1	0.0	0.6	1.2	0.6	1.1	718.4	715.2	707.4	86	81	96	SW 2	SW 3	SW 4	10	10	10●	19.4	● III
2	3.7	2.6	1.5	2.6	3.1	705.8	711.3	710.6	83	80	69	W 3	W 2	SW 2	10●	10*	10	20.8	● ✳ n-n
3	-0.8	1.3	-0.2	0.1	0.7	710.2	713.2	716.6	83	73	74	W 2	W 2	NW 3	10	5*	9*	2.9	✳ p-n
4	-1.1	-0.9	-1.2	-1.1	-0.5	717.4	716.5	717.2	77	83	75	SW 1	SW 3	W 1	9	10*	10	3.0	✳ n-n zeitw.
5	-2.9	-2.0	-2.1	-2.3	-1.7	716.8	716.0	715.8	90	94	98	NE 1	NE 1	NE 0	10*	10*	10*	20.4	✳ n-n
6	-1.5	0.5	-0.4	-0.5	0.2	716.5	717.7	718.3	98	92	96	NE 0	NE 0	NE 0	10	10	10	.	●° 8½-9
7	-0.5	0.5	1.6	0.5	1.2	716.8	716.2	714.2	100	98	98	NE 0	NE 0	SW 1	10	10*	10●	6.3	✳ 10¾-15½. ●° 15¾-n
8	2.3	3.1	0.9	2.1	2.8	713.0	714.6	718.5	95	83	76	SW 2	W 1	NW 4	10●	9	1	1.5	● a
9	-3.8	-2.8	-4.1	-3.6	-2.9	723.6	723.6	723.9	85	75	80	NE 2	NE 2	NE 1	9	10	10	.	
10	-5.0	-4.4	-1.9	-3.7	-3.0	720.1	719.6	718.1	86	93	96	NE 0	NE 1	NE 0	10	10*	10	7.7	✳ 9¾-15¾
11	-1.6	-0.1	0.9	-0.3	0.4	713.2	713.5	714.0	100	98	98	NE 0	NE 0	W 0	10	10*	10	3.8	✳ 8¾-17
12	0.0	0.1	0.3	0.1	0.8	707.4	705.6	704.7	100	100	100	NE 0	NE 0	NW 0	10	10*	10●	28.1	✳° 12-14½, ● 16-n, ≡ a
13	2.9	5.3	1.2	3.1	3.8	711.6	712.9	709.9	93	82	96	SW 3	W 2	W 0	10●	8	10	19.2	●° n-9
14	3.1	5.7	3.9	4.2	4.9	704.1	704.0	709.7	100	82	81	SW 1	SW 3	W 2	10●	10	10	10.8	● n-n zeitw.
15	2.6	1.9	2.9	2.5	3.1	713.8	715.9	719.2	73	93	76	SW 1	W 1	W 2	9	10●*	10	1.5	● ✳ 8½-n zeitw.
16	1.8	4.4	1.1	2.4	3.0	721.5	721.2	720.4	89	76	76	W 1	E 1	NE 1	9	1	7	.	⊕ III
17	-2.0	-1.2	-4.0	-2.4	-1.8	719.7	718.7	718.9	92	89	95	NE 0	E 1	E 0	9	10	6	.	
18	-3.4	-2.3	-1.8	-2.5	-1.9	719.2	719.8	720.2	98	96	96	NE 0	E 0	E 0	10	10	10	.	
19	-2.8	-0.3	-1.4	-1.5	-1.0	720.2	719.9	720.5	100	96	98	NE 0	SW 1	W 0	10≡	10	10	.	≡ a
20	-2.5	-0.7	-1.3	-1.5	-1.0	719.7	719.4	718.9	100	100	100	W 0	SW 0	SW 0	10≡	10≡	10≡	.	≡ n-n
21	-1.7	-0.5	-0.5	-0.9	-0.4	719.5	718.9	718.4	100	100	100	SW 0	SW 1	SW 0	10≡	10≡	10≡	.	≡ n-n, V III
22	-0.3	0.7	1.4	0.6	1.0	719.7	719.6	719.9	100	100	100	SW 0	SW 0	SW 0	10≡	10≡	10≡	1.1	≡ n-n
23	1.7	6.7	6.2	4.9	5.3	720.9	720.3	721.9	100	87	88	SW 0	SW 1	W 2	10	9	10●	3.6	● 20-n
24	4.5	5.5	1.9	4.0	4.3	724.9	727.0	728.0	75	76	81	NE 1	NE 1	NE 2	8	10	0	.	
25	-0.5	1.5	-1.5	-0.2	0.1	728.2	728.6	728.2	89	80	94	E 1	SE 0	N 0	5	10	3	.	⌴ I
26	-1.3	0.4	0.7	-0.1	0.1	726.6	726.9	729.2	92	98	98	W 1	W 1	NE 0	10	10*	0	2.7	✳ 12¼-13¾, ● ✳ 13¾-[
27	-1.7	1.9	-0.1	0.0	0.2	729.3	728.7	728.4	100	100	97	SW 0	NE 1	E 0	10≡	6	0	.	△ 9½, ≡ a m.U. [zeitw.
28	-1.2	0.3	-0.4	-0.4	-0.3	727.2	725.4	724.0	100	100	100	E 0	SW 0	SW 0	10≡	10≡	10≡	.	≡ n-n, ⌴ I
29	-1.8	1.7	-0.5	-0.2	-0.1	721.7	721.2	720.0	100	89	100	W 1	SW 1	SW 0	10≡	7	10≡	.	≡ a, n
30	-1.7	2.6	5.4	2.1	2.1	716.4	715.2	717.8	100	88	88	NE 0	NE 1	W 2	10≡	10	10●	9.3	● 14-n, ≡ n-9
31	2.0	4.3	2.3	2.9	2.9	719.8	718.1	715.4	96	92	96	NE 1	E 0	W 0	9	10	3	3.4	
																		Summe	
Mittel	-0.4	1.2	0.4	0.4	—	718.2	718.2	718.3	93	90	91				9.6	9.2	8.0	165.5	

Januar 1943.
Beobachter: Frl. *H. Nager.*

Altdorf

$\lambda = 8° 39'$, $\beta = 46° 53'$,
$H_b = 456.3$ m, $G = -0.05$ mm.

Tag	Lufttemperatur 7³⁰	13³⁰	21³⁰	Mittel	Abweich. vom Normalst.	Luftdruck 7³⁰	13³⁰	21³⁰	Relative Feuchtigkeit 7³⁰	13³⁰	21³⁰	Windrichtung und Stärke 7³⁰	13³⁰	21³⁰	Bewölkung 7³⁰	13³⁰	21³⁰	Niederschlag	Witterung
1	-2.1	1.6	2.5	0.7	0.5	720.2	717.2	708.1	83	60	48	SE 0	SE 0	SE 0-1	10	10	10	1.7	
2	1.2	3.9	1.8	2.3	2.1	706.0	710.9	711.7	88	68	49	NE 0	NE 1-2	NW 0	10	10●	9	6.0	● II
3	2.1	1.6	2.0	1.9	1.8	709.5	714.0	716.9	45	53	50	NW 3-4	NW 3	NW 2-3	10	10*	10*	2.1	* II, III
4	1.4	1.3	-1.1	0.5	0.4	718.6	716.3	718.9	41	47	90	NW 1	SE 2	NW 3	10	10	10*	5.7	* III
5	-1.0	-0.9	-0.8	-0.9	-1.0	719.5	718.7	717.9	97	92	98	NE 0	E 0	NW 0	10*	10*	10*	22.6	* n-n
6	0.2	1.3	-1.2	0.1	0.0	719.2	720.4	721.0	98	90	96	NE 0	SE 0	E 0	10*	10	9	2.9	* I
7	-3.2	1.4	-0.6	-0.8	-0.9	719.4	718.6	716.5	99	82	95	E 0	E 0	NW 0	10	10	8	1.7	
8	0.4	1.8	0.8	1.0	0.9	715.5	716.2	720.7	98	95	94	SW 0	NW 0	NW 1-2	10●	10●	10*	9.9	● I, II, * III
9	-2.0	-1.7	-7.8	-3.8	-3.9	726.4	726.2	726.6	74	70	72	NW 1	NW 0	E 0	10	8	0	.	
10	-9.2	-4.0	-3.8	-5.7	-5.8	723.6	722.6	721.2	84	73	92	E 0	E 0	SE 0	10	10	4	2.7	* 16½
11	-2.2	0.1	-4.2	-2.1	-2.2	715.2	715.3	716.5	99	86	95	SE 0	NW 0	NW 0	10	10	0	.	
12	5.8	6.1	6.0	6.0	5.8	708.4	707.1	706.4	37	33	34	SE 2-3	SE 2-3	S 2	10	10	8	.	
13	3.0	4.5	1.7	3.1	2.9	713.2	714.3	712.4	80	78	77	E 0	E 0	E 0	10	4	9	.	
14	8.1	10.0	6.8	8.3	8.1	706.9	**705.7**	711.2	35	32	55	SE 3-4	S 3	W 0-1	10	4	7	.	
15	3.5	3.9	3.2	3.5	3.3	716.0	717.7	721.1	66	82	74	NW 0	S 0	NW 0	10	10●	10●	7.7	● II, III
16	1.2	4.4	1.6	2.4	2.2	724.0	724.0	723.1	95	73	75	SE 0	SE 0	NW 0	10	3	3	.	
17	-3.9	0.1	-1.0	-1.6	-1.8	721.8	720.9	721.7	83	77	84	NW 0	SE 0	NW 0	0	2	10	.	
18	-3.0	-0.8	-3.7	-2.5	-2.8	721.6	721.7	722.5	90	87	98	NW 0	NW 0	NW 0	10	3	10	0.2	≡ abds.
19	-4.1	-0.8	-3.1	-2.7	-3.0	722.5	722.6	723.1	100	92	98	NW 0	NW 0	NW 0	10	10	3	.	≡ n-p m.U.
20	-4.2	-0.2	-2.8	-2.4	-2.7	721.5	720.8	720.8	95	58	98	NW 0	NW 0	NW 0	2	8	4	.	
21	-2.4	4.2	-0.2	0.5	0.2	721.9	719.8	720.6	95	62	87	E 0	E 0	E 0	3	2	6	.	
22	-1.2	4.8	2.1	1.9	1.5	721.7	721.2	722.2	96	73	88	W 0	W 0	SW 0	10	7	9	.	
23	4.0	9.7	4.7	6.1	5.7	722.6	722.3	724.4	65	45	90	SW 0	NW 1	SE 0	9	6	10	7.0	
24	3.0	5.0	0.8	2.9	2.5	727.3	729.5	730.9	98	67	95	W 0	NW 0	NE 0	10●	10	5	2.4	● I
25	-2.0	2.4	-1.8	-0.5	-1.0	731.0	730.5	730.7	84	67	90	SE 0	NW 0	N 0	0	3	0	.	
26	-2.6	1.9	0.5	-0.1	-0.6	728.9	729.1	**732.5**	90	75	97	NW 0	NW 0	NW 0	10	10	10	0.9	* 17-19
27	1.2	5.7	2.4	3.1	2.5	732.2	730.9	731.2	97	55	78	NE 0	NW 0	NW 0	10	7	9	.	
28	-1.7	3.6	-0.8	0.4	-0.2	729.7	727.4	726.0	90	70	94	NW 0	NW 0	NE 0	0	0	0	.	
29	-1.7	1.7	-0.6	-0.2	-0.9	724.3	723.5	722.5	100	93	94	NE 0	W 0	NE 0	10	2	0	.	≡ a
30	-1.7	10.9	10.6	6.6	5.9	718.6	716.4	719.5	95	39	33	W 0	SE 1-2	S 1-2	9	8	10	6.0	● n (30./31.)
31	0.9	7.3	**11.8**	6.7	5.9	722.5	719.7	719.3	98	57	**30**	W 0	W 0	S 3-4	0	4	0	.	
																		Summe	
Mittel	-0.4	2.9	0.8	1.1	—	720.3	720.1	720.6	84	69	79				8.2	7.1	6.5	79.5	

Januar 1943.
Beobachter: *Observatorium.*

Genf

$\lambda = 6° 9'$, $\beta = 46° 12'$,
$H_b = 405.0$ m, $G = -0.03$ mm.

Tag	Lufttemperatur 7³⁰	13³⁰	21³⁰	Mittel	Abweich. vom Normalst.	Luftdruck 7³⁰	13³⁰	21³⁰	Relative Feuchtigkeit 7³⁰	13³⁰	21³⁰	Windrichtung und Stärke 7³⁰	13³⁰	21³⁰	Bewölkung 7³⁰	13³⁰	21³⁰	Niederschlag	Witterung
1	-5.6	0.0	0.8	-1.6	-1.9	726.4	724.4	716.2	95	74	96	E 0	NE 0	NW 0	0	10	10●	10.3	● 21¼-n
2	4.6	4.7	1.6	3.6	3.3	716.1	720.2	719.9	84	69	78	S 1	SSE 0	SSW 1	10	9	9	4.5	●° a, ● * n
3	0.8	2.4	1.2	1.5	1.2	718.5	721.7	725.7	84	67	**57**	NE 0	NW 1	NW 0	10	7	10	.	*sch. a
4	-1.2	1.0	0.0	-0.1	-0.3	725.9	724.4	725.3	78	72	91	NNE 0	E 0	NE 0	10	9	10*	1.1	* n (4./5.)
5	0.2	1.4	3.2	1.6	1.4	723.7	723.3	723.2	87	91	95	NE 0	NE 0	NE 0	10	10●	10●	8.3	● n-n
6	3.8	7.8	1.5	4.4	4.2	724.0	724.7	725.0	90	66	95	E 0	SSW 1	E 0	9	0	7	.	
7	0.5	2.0	4.5	2.3	2.1	724.4	723.8	721.9	100	96	84	N 0	E 0	SW 1	10	10●	8	3.8	*sch. 12, ● p-n
8	4.6	5.8	3.4	4.6	4.4	720.9	722.5	726.7	87	89	76	SSW 0	E 0	E 0	9	9	10	0.5	● II
9	0.2	0.0	-1.0	-0.3	-0.5	730.0	730.4	730.3	78	74	75	NNE 1	NE 1	NE 1	10	6	10	.	
10	-1.8	1.4	0.0	-0.1	-0.3	727.8	727.0	725.4	75	96	97	E 0	E 0	NE 0	10	9	10	4.5	* seit 7¾, ● p-n
11	-0.5	1.6	0.4	0.5	0.3	720.1	721.0	720.9	100	96	97	E 0	E 0	NE 0	10≡	10	10≡	**11.0**	* p-n, ≡ I, III
12	0.2	3.6	5.4	3.1	2.9	713.9	712.6	713.4	98	97	84	E 0	NE 0	SW 2	10	10●	10●	10.5	● II-n
13	5.0	8.1	3.3	5.5	5.3	720.2	720.0	717.3	81	71	91	E 0	NE 0	E 0	10	2	10	6.4	●° a, ● n
14	5.9	10.0	4.8	6.9	6.7	**711.9**	712.8	718.2	87	**57**	71	W 2	SW 2	SW 0	10●	3	9	4.4	● a, abds.-n
15	3.8	4.8	3.6	4.1	3.8	722.2	724.0	727.6	76	77	78	SW 1	SW 1	E 0	10●	10●	9	2.5	● n-p, *°sch. p
16	0.2	4.0	1.1	1.8	1.5	729.1	728.2	727.5	98	73	91	E 0	NNE 1	E 0	0	0	0	.	⌴ I
17	-0.8	0.7	-1.2	-0.4	-0.7	726.9	725.9	726.2	89	80	86	NE 0	E 0	E 0	10	10	9	.	
18	-1.8	-0.4	-0.5	-0.9	-1.2	726.6	726.7	727.1	90	85	91	E 0	NE 0	E 0	10	10	9	.	
19	-1.8	-0.6	-1.4	-1.3	-1.7	727.6	726.9	727.5	96	92	98	E 0	SE 0	E 0	10	10	10	.	
20	-2.5	-1.4	-1.4	-1.8	-2.2	727.1	726.6	726.4	100	98	98	E 0	E 0	E 0	10≡	10≡	10≡	.	≡ n-n
21	-2.4	-0.6	-0.8	-1.3	-1.7	726.9	726.1	726.2	100	96	100	E 0	E 0	E 0	10≡	10≡	10≡	.	≡ n-n
22	-0.8	1.6	2.2	1.0	0.5	726.8	726.5	727.2	100	100	98	NE 0	NE 0	E 0	10≡	10≡	9	0.2	≡ n-14, ●° n
23	4.2	**12.2**	7.6	8.0	7.5	727.6	727.6	729.7	100	68	92	E 0	SE 0	SE 0	10	10	10●	1.7	● 20-n
24	5.4	7.0	4.4	5.6	5.0	732.2	733.2	734.5	97	64	74	NE 0	NNE 3	NNE 2	10	0	0	.	
25	2.2	2.6	-0.6	1.4	0.8	735.3	735.9	735.3	82	74	92	NNE 1	NE 0	E 0	10	9	0	.	
26	-0.8	0.2	0.0	-0.2	-0.9	734.4	734.5	**736.6**	96	93	95	E 0	NE 0	SE 0	10≡	10≡	0	.	≡ n-p, ⌴° I
27	-1.4	0.2	-1.4	-0.9	-1.6	737.0	735.9	735.7	100	96	100	E 1	E 0	E 0	10≡	10≡	10	.	≡ n-n, ⌴° I
28	-1.6	-0.1	-2.0	-1.2	-2.0	734.7	732.9	731.7	100	98	98	E 0	E 0	E 0	10≡	10≡	10≡	.	≡ n-n
29	-3.8	1.2	2.2	-0.1	-0.9	729.6	728.0	726.8	100	91	93	SE 0	NE 1	NE 0	10≡	2	0	.	≡ I
30	1.8	0.8	5.2	5.6	4.7	723.4	722.0	726.3	85	62	94	E 0	S 1	SE 0	7	10	10●	10.9	● 15¼-n. ⌂ △sch. abds.
31	1.2	8.2	7.1	5.5	4.5	726.8	725.2	723.2	98	75	63	E 0	NE 0	E 0	1	9	0	0.1	●° n (31./1.) [⌴² I]
																		Summe	
Mittel	0.6	3.2	1.7	1.8	—	725.7	725.7	726.0	91	82	88				8.9	7.9	7.7	80.7	

$\lambda = 8° 33'$, $\beta = 47° 23'$,
$H_b = 493.2$ m, $G = 0.03$ mm.

Zürich

Januar 1943.
Beobachter: *Meteorol. Zentralanstalt.*

Tag	Lufttemperatur 7³⁰	13³⁰	21³⁰	Mittel	Abweich. vom Normalst.	Luftdruck 7³⁰	13³⁰	21³⁰	Relative Feuchtigkeit 7³⁰	13³⁰	21³⁰	Windrichtung und Stärke 7³⁰	13³⁰	21³⁰	Bewölkung 7³⁰	13³⁰	21³⁰	Niederschlag	Witterung
1	-0.1	3.6	1.2	1.6	2.4	716.9	713.7	705.6	83	51	62	WSW 1	SSW 2	S 2	10*	4	10	8.9	✳° 2¼–3½, 7½
2	2.4	2.7	1.1	2.1	3.0	**703.0**	708.4	708.2	91	85	60	W 3	WSW 3	SW 3	10●	10●	3	**11.9**	● 0¼–13¾
3	-0.7	0.2	-0.4	-0.3	0.6	707.6	711.4	714.2	97	81	89	NW 2	W 1	W 2	9*	9	10	3.4	✳ 0½–11
4	-1.7	-1.3	-2.0	-1.7	-0.8	715.5	714.5	716.2	94	89	95	WSW 1	W 2	WNW 1	10*	10*	10	7.5	✳ 0¼–21¾ m.U.
5	-5.6	-3.2	-3.8	-4.2	-3.2	716.3	715.4	715.2	96	83	97	NW 0	NW 0	NNE 0	10	10*≡	10	6.4	✳° 9¼–17¼, △✳° 21¼–n, [≡ a, p ztw.
6	-3.3	-0.7	-1.9	-2.0	-1.0	716.0	717.4	717.9	95	76	95	NNW 1	N 0	E 1	10*	10	10	0.0	✳° n–9 m.U.
7	-2.5	1.5	0.6	-0.1	0.9	716.1	715.1	713.1	98	73	100	NW 1	SSE 0	SSE 1	10	10	10	3.6	✳° 9¾–16½ m.U., ● 16½–23½
8	3.3	3.7	-0.7	2.1	3.1	711.5	712.9	718.7	82	**48**	75	SW 1	WNW 1	N 2	10●	10	10*	1.4	● 2–18¼ ztw., ✳°21½ [m.U., ≡ a
9	-5.6	-3.3	-5.8	-4.9	-3.9	723.8	723.4	723.6	75	68	80	NNE 1	ENE 1	NE 1	10	10	3	.	
10	-6.6	-4.4	-2.7	-4.2	-3.2	719.7	719.0	717.8	83	76	97	E 1	SSE 1	SE 1	10	10*	10	8.0	✳° 12¾–21¼, ✳ 16–20
11	-4.7	-2.4	-1.0	-2.7	-1.7	712.6	712.8	713.1	100	88	93	ESE 0	SSW 1	SE 1	10	10	10	0.2	✳° 20½–21
12	-2.5	-0.7	-2.0	-1.7	-0.7	706.7	705.4	703.5	100	93	100	ENE 0	NW 1	NNW 1	10	10	10≡	4.2	✳ 14–16, ≡ abds.
13	3.9	7.3	1.2	4.1	5.1	709.7	711.5	709.3	79	56	100	WSW 3	SW 2	ESE 1	10	4	10	2.7	●° 2¾–7, ●tr. 8–9
14	1.3	7.5	4.9	4.6	5.6	703.1	703.1	708.5	100	62	71	ENE 0	SW 2	WSW 2	10●≡	5	10	3.3	●° 3¼–12½, 20, ≡ a
15	2.7	3.3	1.6	2.5	3.5	713.0	714.2	717.6	66	80	93	SSW 1	WSW 1	SW 1	10	8	10*	5.9	✳ 11½–15½, 21–n
16	1.6	5.9	-0.6	2.3	3.6	720.8	720.8	720.2	97	57	98	SW 0	SSW 1	NE 1	10	2	2	.	● ✳ n–1½
17	-3.0	-2.2	-3.0	-2.7	-1.7	718.9	717.9	718.2	97	92	93	SW 0	NW 0	S 1	10	10	10	.	
18	-5.0	-2.9	-3.6	-3.8	-2.8	718.6	718.8	719.4	99	86	99	SE 1	SSW 1	S 0	10	10	10	.	
19	-5.0	-0.9	-2.3	-2.7	-1.7	719.5	719.0	719.5	100	71	98	SW 0	SSE 1	SSE 0	10≡	1	9	.	≡ a, abds.
20	-5.1	0.8	-2.2	-2.2	-1.2	718.6	717.9	717.7	100	68	100	WSW 0	W 1	W 1	10≡	2	9	.	≡ a, ⌣ l
21	-3.4	3.8	-0.2	0.1	1.0	718.2	717.4	717.4	100	58	99	NW 1	WNW 1	WSW 0	10≡	2	9	.	≡ n–10½, ⌣ l
22	-1.1	7.0	3.2	3.0	3.9	718.3	718.0	718.4	100	49	74	SE 1	SSW 0	NNW 1	7	8	9	1.0	⌣ l
23	5.8	**10.8**	5.6	7.4	8.3	718.8	719.2	720.6	79	53	87	WNW 1	WSW 2	SSW 1	10	6	10	5.8	●° 2½–6¾ m.U., ● 21½–n
24	3.4	4.9	1.0	3.1	4.0	724.3	726.8	727.8	100	68	92	SSW 0	E 1	NE 0	10	9	1	0.1	●° n–11, ● 4½–5¼
25	-0.3	1.5	-2.2	-0.3	0.5	727.7	727.4	727.5	95	70	99	ENE 1	NNE 2	N 0	7	9	0	.	⌣ l
26	-2.4	1.2	1.3	0.0	0.8	725.4	725.3	**728.2**	100	72	100	ESE 0	WNW 1	NW 1	10≡	10	9	0.7	✳° 15¼–17½, ●° 16–20¼, [≡ n–n, ⌣ l
27	1.0	5.2	3.0	3.1	3.9	727.8	727.3	727.9	95	59	86	SE 1	NW 1	SSW 0	6	9	10	0.0	
28	-1.4	0.4	-0.6	-0.5	0.2	726.1	724.4	722.9	100	97	100	SE 1	NW 1	SSW 0	10≡	10≡	10≡	0.0	≡ n–n m.U., ⌣ l
29	-2.3	1.5	-0.4	-0.4	0.3	720.7	719.8	718.9	100	100	90	NW 1	S 1	SE 0	10≡	4≡	0	0.1	≡ a, ll
30	-2.0	5.1	5.4	2.8	3.4	715.6	713.9	716.0	100	65	78	ESE 1	SSE 1	SE 1	10≡	10	10	1.4	● 22¼–24½, ≡ n–9, ⌣ l
31	1.3	9.0	3.8	4.7	5.2	719.1	717.1	714.8	100	55	95	S 1	W 1	S 1	6	8	1	0.3	
																		Summe	
Mittel	-1.2	2.1	-0.1	0.3	—	717.1	717.1	717.4	94	72	90				9.5	7.7	7.9	76.8	

$\lambda = 8° 30'$, $\beta = 47° 3'$,
$H_b = 1787.3$ m, $G = -0.20$ mm.

Rigi-Kulm

Januar 1943.
Beobachter: *J. Wiget.*

Tag	7³⁰	13³⁰	21³⁰	Mittel	Abweich.	7³⁰	13³⁰	21³⁰	7³⁰	13³⁰	21³⁰	7³⁰	13³⁰	21³⁰	7³⁰	13³⁰	21³⁰	Niederschlag	Witterung
1	-8.6	-7.0	-4.0	-6.5	-2.4	608.7	606.3	603.3	95	88	70	SW 2	SW 4	SW 4	10≡	9	10	4.5	≡ l
2	-4.4	-6.4	-7.5	-6.1	-2.0	**598.3**	601.8	600.3	100	100	100	W 4	W 4	W 4	10*≡	10≡	10	4.6	✳ l, ≡ l, ll
3	-9.8	-9.5	-10.5	-9.9	-5.8	599.8	602.0	604.8	92	95	95	W 4	W 3	W 4	10*≡	10*≡	10*≡	8.6	✳ ≡ n–n
4	-11.0	-11.0	-10.8	-10.9	-6.7	606.9	606.1	607.2	95	93	95	W 4	W 4	W 3	10≡	10	10*≡	11.6	✳ III, ≡ l, III
5	-10.4	-7.8	-5.0	-7.7	-3.5	606.9	606.9	607.0	94	94	95	W 3	W 3	W 3	10*≡	10*≡	10≡	15.0	✳ l, ll, ≡ n–n
6	-5.0	-5.0	-5.8	-5.3	-1.1	608.0	609.2	610.1	97	97	97	W 3	W 2	SW 2	10*≡	10*≡	0	1.8	✳ l, ll, ≡ n–20
7	-4.8	-3.2	-4.0	-4.0	0.2	609.5	609.1	608.0	97	98	98	W 2	W 1	W 2	4	9	10	1.4	
8	-4.8	-5.8	-8.0	-6.2	-1.9	605.7	606.9	609.4	98	97	97	WSW 3	SW 3	SW 2	10≡	10*≡	10≡	14.2	✳ 8–n m.U., ≡ n–n
9	**-11.7**	-10.0	-11.0	-10.9	-6.6	612.5	612.5	612.1	96	96	96	W 1	W 0	E 1	10≡	0	0	.	≡ l
10	-7.0	-7.0	-2.8	-5.6	-1.3	610.5	610.4	610.3	95	98	98	W 2	W 4	W 4	2	10≡	10≡	5.5	≡ ll, III
11	-4.8	-2.0	-3.8	-3.5	0.8	606.7	606.5	607.0	98	99	99	W 0	SW 1	W 2	2	9	10≡	.	≡ 20–n
12	-3.0	-3.2	-3.5	-3.2	1.1	602.0	600.2	600.1	99	77	66	S 3	SSE 1	W 1	10	10*≡	10	.	✳° seit 13, ✳ ≡ ll
13	-3.8	-3.8	-5.5	-4.4	0.0	604.0	606.2	605.5	100	100	100	W 4	W 1	SW 1	10≡	10≡	10	0.2	≡ l, ll
14	-2.2	-2.6	-5.0	-3.3	1.1	600.0	599.6	601.9	100	100	100	S 3	SW 3	SW 4	10*	10*	10≡	1.0	✳ 7½–n m.U., ≡ III
15	-7.0	-6.8	-7.2	-7.0	-2.6	606.2	607.3	609.7	100	98	98	W 3	W 3	W 3	10≡	10≡	10≡	11.0	✳ 15–n m.U., ≡ n–n
16	-7.0	-6.0	-8.0	-7.0	-2.6	612.5	612.9	612.5	96	97	97	W 3	SW 2	SW 2	10≡	5	3	.	≡ l
17	-3.8	0.0	-2.0	-1.9	2.5	611.6	611.4	611.2	96	65	26	S 0	S 0	SE 1	0	2	2	.	
18	-4.0	-1.8	-2.0	-2.6	1.9	611.4	611.7	611.9	22	43	65	W 1	SSW 1	SW 1	2	2	0	.	
19	-3.2	0.7	-1.2	-1.2	3.3	612.4	612.6	613.0	80	72	80	SW 0	SW 0	SW 2	1	2	5	.	
20	-1.8	3.0	3.2	1.5	6.0	612.3	612.3	612.5	75	41	31	SE 1	W 0	E 0	2	5	2	.	
21	3.0	4.0	6.0	4.3	8.8	612.8	612.9	612.8	29	32	28	SW 0	SSE 2	W 1	7	3	7	.	
22	5.3	**8.1**	7.0	6.8	11.3	613.7	614.6	614.4	32	**27**	42	SW 1	SW 1	W 2	4	5	10	.	
23	2.0	3.4	-0.6	1.6	6.1	613.8	614.4	615.4	70	75	100	SW 1	SW 1	W 2	10	7	10*≡	**28.0**	✳ ≡ 17–n m.U.
24	-4.8	-5.0	-6.6	-5.5	-0.9	616.5	618.0	618.6	100	100	100	W 2	W 1	SE 1	10*≡	10≡	5	7.0	✳ n–11, ≡ n–17½
25	-2.9	1.2	-0.6	-0.8	3.8	618.5	618.4	619.1	39	**18**	30	SE 1	E 2	W 1	0	3	0	.	
26	-1.0	-3.4	-4.8	-3.1	1.5	617.4	617.1	618.9	30	52	100	W 3	W 3	W 3	5	10	10*	3.0	✳ III
27	-0.0	-4.8	-4.5	-5.1	-0.5	619.2	619.2	**619.6**	100	100	100	SW 2	W 3	W 1	10≡	10	10≡	.	≡ l, 21–n zeitw.
28	-1.2	1.4	1.2	0.5	5.1	618.1	617.3	616.7	42	35	32	W 1	SW 1	W 1	1	1	2	.	
29	2.2	2.6	1.5	2.1	6.7	614.6	614.6	614.1	24	26	35	W 0	W 0	S 1	4	5	5	.	
30	0.6	2.8	-0.4	1.0	5.6	610.6	609.8	610.3	34	35	54	S 3	SSE 1	SW 3	6	10	10*≡	.	✳ ≡ 19–n
31	-1.8	2.2	3.0	1.1	5.7	613.1	611.8	612.0	60	42	35	SW 1	S 3	S 1	4	5	4	.	
																		Summe	
Mittel	-4.0	-2.7	-3.3	-3.3	—	610.1	610.3	610.6	77	74	76				6.6	7.2	6.9	121.4	

Januar 1943.
Beobachter: *P. Nogler.*

Bevers

$\lambda = 9° 53'$, $\beta = 46° 33'$,
H_b = ca. 1710 m, G = –0.23 mm.

Tag	Lufttemperatur 7³⁰	13³⁰	21³⁰	Mittel	Abweich. vom Normalst	Luftdruck 7³⁰	13³⁰	21³⁰	Relative Feuchtigkeit 7³⁰	13³⁰	21³⁰	Windrichtung und Stärke 7³⁰	13³⁰	21³⁰	Bewölkung 7³⁰	13³⁰	21³⁰	Niederschlag	Witterung
1	-14.0	-5.8	-6.3	-8.7	0.0	614.7	612.9	609.8	84	59	70	N 1	NW 1-2	W 3	10	10	10*	.	✳ III
2	-10.2	-4.6	-7.2	-7.3	2.3	605.5	605.5	609.9	95	64	50	W 2	W 0	NW 2	10	10*	10*	10.3	✳ 8-n
3	-9.0	-6.5	-8.7	-8.1	1.6	**605.4**	606.6	607.2	85	87	80	W 0	W 1	W 0	10*	10*	10*	**14.6**	✳ n-n
4	-8.4	-6.7	-8.2	-7.8	1.9	611.1	610.7	610.7	67	69	61	W 2	W 0	W 1	10	10*	3	0.3	✳ sch. a-18 zeitw.
5	-17.0	-6.0	-7.8	-10.3	-0.6	613.1	613.1	613.8	87	78	94	NW 1	W 2	N 1	5	10*	10*	0.4	✳° 11-n
6	-10.2	-1.3	-13.0	-8.2	1.6	613.5	612.8	612.1	96	78	91	N 1	W 2	NW 1	8	4	0	.	
7	-16.4	-6.3	-7.0	-9.9	-0.1	616.8	615.2	614.6	93	51	97	W 1	W 1	N 0	0	10	10	.	
8	-10.1	-3.0	-6.2	-6.4	3.4	612.5	611.8	614.1	96	64	96	SW 1	NW 2	N 1	6	6	10*	0.0	✳ III
9	-8.6	-2.6	-20.0	-10.4	-0.6	617.1	619.7	620.1	68	71	78	N 2	SW 2	S 1	10	0	0	.	
10	**-25.1**	-9.8	-9.6	-14.8	-4.9	618.3	617.9	617.1	63	61	98	SW 1	SW 2	W 1	0	6	10*	3.0	✳ III
11	-17.0	-5.7	-14.2	-12.3	-2.4	615.1	614.8	614.7	97	68	98	N 1	W 2	W 1	10	0	3	0.5	
12	-6.0	-5.8	-8.8	-6.9	3.0	611.4	609.5	608.8	94	98	95	W 1	SW 2	NW 1	10*	10*	7	3.0	✳ n-19
13	-10.1	-1.7	-12.3	-8.0	1.9	610.1	613.6	613.1	95	64	90	W 2	W 2	W 1	10	3	10	.	
14	-3.6	-8.2	-9.4	-7.1	2.7	610.4	610.6	611.7	75	95	90	W 0	WNW 1	W 0	10	10*	10	4.0	✳ 8-17
15	-7.2	-2.4	-7.1	-5.6	4.2	611.9	614.0	615.5	95	68	72	W 1	SW 1	W 0	10*	10	8	.	✳ I
16	-5.2	-2.4	-16.2	-7.9	1.9	617.6	619.3	620.5	57	59	86	NE 2	N 2	N 1	10	8	0	.	
17	-20.0	-8.9	-16.7	-15.2	-5.4	619.5	619.5	618.9	85	64	75	W 2	SW 2	S 1	0	0	0	.	
18	-17.0	-6.8	-14.2	-12.7	-3.0	618.9	619.7	619.8	84	67	77	W 2	SW 2	W 1	0	0	0	.	
19	-16.0	-5.6	-10.8	-10.8	-1.1	619.6	619.2	619.9	84	64	84	W 1	W 2	W 1	3	0	0	.	
20	-13.4	-9.0	-8.4	-10.3	-0.6	619.5	619.4	619.1	97	68	85	NW 1	SW 1	W 0	4	0	8	.	
21	-12.2	-2.1	-5.8	-6.7	2.9	620.2	620.9	621.4	97	68	83	SW 1	W 1	W 1	2	3	4	.	
22	-9.0	-0.6	-6.2	-5.3	4.3	622.6	622.4	623.3	97	70	85	S 1	W 2	SW 1	3	4	3	.	
23	-6.0	**2.1**	0.0	-1.3	8.2	622.6	621.4	621.4	94	80	100	W 2	W 2-3	W 0	7	10	10	0.3	
24	-1.2	-1.4	-9.8	-4.1	5.3	620.8	622.6	625.4	78	67	76	NE 0	NW 1	W 1	10	10*	0	.	✳ II
25	-17.2	-7.0	-14.0	-12.7	-3.3	**626.7**	625.0	625.6	91	56	76	W 2	SW 1	S 1	3	3	0	.	
26	-14.3	0.0	-3.2	-5.8	3.5	624.4	622.1	624.6	80	**35**	71	N 1	NW 2	NE 3	5	10	7	.	
27	-14.0	-0.9	-3.0	-6.0	3.2	624.9	624.2	624.9	93	50	82	N 1	W 1	W 2	0	0	6	.	
28	-13.4	-4.0	-10.3	-9.2	0.0	624.5	624.5	622.9	98	60	94	SW 1	SW 2	W 1	6	0	0	.	
29	-11.0	1.2	-9.2	-6.7	2.4	622.2	621.6	621.4	100	67	90	W 0	SW 2	W 1	0	7	0	.	
30	-8.0	2.0	-1.0	-2.3	6.7	620.0	619.5	618.3	91	91	100	S 1	SW 2	E 3	10	10	10*	0.4	✳ 20-n
31	-3.0	2.0	-1.3	-0.8	8.1	620.6	622.5	622.9	100	68	87	E 1	SW 2	W 1	10	6	7	.	
Mittel	-11.4	-3.8	-8.9	-8.1	—	617.2	617.2	617.5	88	68	84				6.2	5.8	5.4	Summe 36.8	

Januar 1943.
Beobachter: *Kapuzinerkloster.*

Sitten

$\lambda = 7° 21'$, $\beta = 46° 14'$,
H_b = 548.6 m, G –0.11 mm.

Tag	7³⁰	13³⁰	21³⁰	Mittel	Abweich. vom Normalst	7³⁰	13³⁰	21³⁰	7³⁰	13³⁰	21³⁰	7³⁰	13³⁰	21³⁰	7³⁰	13³⁰	21³⁰	Niederschlag	Witterung
1	-5.4	-0.3	-0.8	-2.2	-1.4	714.1	711.5	706.8	81	61	80	NE 0	NE 0	NE 2	0	9	10	14.3	
2	-1.2	4.8	1.1	1.6	2.5	**701.6**	704.7	706.8	100	67	62	NE 1	SW 2	NW 2	10*	10*	7	4.7	✳ n-7½, p zeitw.
3	-0.5	0.6	-0.9	-0.3	0.6	703.9	706.4	710.4	100	69	82	SW 1	W 1	NNE 3	10*	10	10*	2.0	✳ n-11, d-n m.U.
4	-0.9	1.5	-0.3	0.1	1.0	712.2	710.7	711.1	63	59	76	W 1	NW 1	NW 0	5	10	10	0.9	
5	-0.8	0.5	-0.4	-0.2	0.8	710.5	710.1	709.9	100	94	100	W 1	WNW 0	W 0	10*	10*	10*	**24.7**	✳ 5-n
6	0.2	4.0	1.7	2.0	3.0	710.4	711.5	713.0	100	78	87	NW 1	NW 1	NW 0	10	10	10	.	
7	-0.8	2.7	0.2	0.7	1.7	711.7	710.8	709.8	86	65	92	NNE 2	NNE 1	NE 0	10	10	7	1.3	
8	0.0	3.4	2.3	1.9	2.9	708.0	708.8	712.3	100	82	71	NNE 1	NNE 1	NNE 2	10*	10●	9	0.4	✳ n-9½, ● 13-p
9	-2.7	0.2	-3.0	-1.8	-0.8	716.0	716.8	718.3	73	61	70	ENE 1	NE 1	ENE 1	4	2	0	0.0	
10	**-9.8**	-5.1	-5.7	-6.9	-5.9	715.0	715.2	713.9	82	88	99	ENE 1	ENE 1	ENE 1	5*●	10*	0	5.2	● ✳fl. I, ✳ 11½-abds.
11	-3.4	-0.4	-0.2	-1.3	-0.3	708.3	708.7	709.1	95	81	81	ENE 0	ENE 1	ENE 1	10*	10	0	.	✳ I, ✳fl. p
12	0.3	4.8	0.8	2.0	3.0	704.5	703.1	703.1	72	46	80	NE 1	NW 1	NE 0	10	10	10	2.4	✳ 14½-abds.
13	0.4	3.8	1.0	1.7	2.7	707.6	707.6	706.9	100	76	81	NE 0	NNE 0	NE 1	10*	1	10	13.2	✳ n-10
14	0.6	1.6	1.8	1.3	2.2	703.9	702.5	704.7	100	93	93	NE 0	NE 0	NNE 0	10*	10	10	15.1	✳ n-12½
15	1.0	3.2	1.9	2.0	2.9	708.4	710.3	713.5	83	75	82	NNE 0	WNW 1	W 0	10	10	10	.	
16	0.0	2.6	-1.1	0.5	1.4	716.3	716.0	716.3	81	61	67	WNW 0	NNE 0	NE 0	1	1	0	.	
17	-5.8	-0.8	-5.1	-3.9	-3.1	715.2	713.5	713.6	71	54	76	NE 0	NNE 1	NE 0	0	2	1	.	
18	-6.0	-1.2	-3.6	-3.6	-2.8	714.4	713.8	715.2	80	61	74	NE 1	NE 1	NE 2	2	1	2	.	
19	-4.6	-0.7	-2.2	-2.5	-1.8	715.2	714.2	715.3	74	57	74	NE 1	NE 1	NE 0	0	1	1	.	
20	-5.3	2.2	-0.7	-1.3	-0.6	715.1	713.4	713.7	76	55	72	NE 1	NE 2	NE 0	1	2	0	.	
21	-2.3	4.2	0.5	0.8	1.4	714.2	713.1	713.7	75	54	74	NE 1	NE 1	NE 1	2	3	8	.	
22	2.2	**9.0**	4.6	5.3	5.9	715.4	714.5	714.8	62	**43**	64	NE 0	NE 0	NE 2	7	3	9	.	
23	3.0	7.0	3.6	4.5	5.0	715.5	715.0	717.0	75	61	98	NE 0	NE 0	NE 2	10	6	7	5.0	
24	2.9	6.5	2.3	3.9	4.3	717.8	719.0	721.4	98	61	74	NNE 0	WSW 0	WSW 1	7	1	0	.	● 17½-20
25	-2.1	3.7	-1.6	0.0	0.4	723.3	721.9	722.3	74	52	67	NNE 1	NE 0	NE 1	0	1	0	.	
26	-3.6	1.1	-0.5	-1.0	-0.7	721.5	720.8	723.1	73	60	77	NW 1	W 1	NE 1	1	10	0	.	
27	-2.7	4.6	-2.3	-0.1	0.1	**724.7**	723.1	723.4	92	54	78	W 1	W 0	W 1	9	0	0	.	
28	-3.0	1.1	-2.5	-0.8	-0.7	722.3	720.0	719.1	77	59	70	W 0	W 0	W 0	0	0	0	.	
29	-2.1	5.0	0.5	1.1	1.1	716.5	715.2	714.7	73	55	72	W 0	W 0	W 0	3	3	0	.	
30	-0.1	8.6	3.9	4.1	4.0	712.1	710.4	713.7	70	45	90	E 2	ENE 0	WSW 1	2	9	10	6.6	● seit 14
31	0.[illegible]	6.0	5.2	3.7	3.5	715.9	714.8	714.8	100	62	61	SW 0	SW 0	WSW 0	0	5	0	0.1	
Mittel	-1.7	2.7	0.1	0.4	—	713.3	712.8	713.6	83	64	78				5.5	5.8	4.9	Summe 95.9	

$\lambda = 8° 57'$, $\beta = 46° 0'$,
$H_b = 276.2$ m, $G = -0.01$ mm.

Lugano

Januar 1943.
Beobachter: *G. Vicari.*

Tag	Lufttemperatur 7³⁰	13³⁰	21³⁰	Mittel	Abweich. vom Normalst	Luftdruck 7³⁰	13³⁰	21³⁰	Relative Feuchtigkeit 7³⁰	13³⁰	21³⁰	Windrichtung und Stärke 7³⁰	13³⁰	21³⁰	Bewölkung 7³⁰	13³⁰	21³⁰	Niederschlag	Witterung
1	-4.2	2.2	-0.4	-0.8	-2.5	735.0	733.7	731.5	61	42	64	N 1	SSW 0	N 1	0	7	0	.	
2	-0.2	7.2	2.4	3.1	1.5	725.0	725.2	725.4	74	50	55	N 1	S 1	N 3	7	3	0	.	
3	2.2	8.2	1.2	3.9	2.3	**723.6**	726.2	730.6	60	26	59	NNW 2	NE 2	N 1	5	2	0	.	
4	-1.6	7.4	0.0	1.9	0.3	732.4	731.4	731.6	71	24	59	N 1	NE 2	N 1	0	0	0	.	
5	-1.6	5.0	0.6	1.3	-0.3	733.4	734.7	734.9	67	42	61	N 1	S 1	N 1	7	5	10	.	
6	-0.8	7.0	0.0	2.1	0.6	735.2	735.4	736.0	73	47	73	N 1	SSE 1	N 1	3	0	0	.	
7	-2.4	4.2	1.8	1.2	-0.3	737.8	737.5	736.2	86	61	89	N 1	S 0	W 0	7	4	10●*	1.2	● ✳ 19½–21½
8	1.0	4.2	0.0	1.7	0.2	733.4	731.7	732.3	94	62	90	W 1	SSE 0	N 1	10	5	0	.	
9	5.8	10.0	0.8	5.5	4.0	735.2	737.2	739.6	22	**16**	61	NNE 2	NNE 2	N 1	0	0	0	.	
10	-2.6	1.8	-1.0	-0.6	-2.1	740.9	740.2	739.8	72	57	77	NNW 1	S 0	N 1	0	10	0	.	
11	-4.2	0.4	-1.6	-1.8	-3.2	738.3	737.2	737.2	86	63	99	NNW 1	N 0	N 0	10	10	10*	4.4	✳° 16–n m.U.
12	-1.0	0.4	-1.0	-0.5	-1.9	735.0	732.3	729.6	99	88	99	W 0	W 0	N 1	10*	10*	10	6.8	✳ n–18½ m.U. [✳]
13	-2.8	7.4	0.0	1.5	0.1	728.1	728.5	730.6	94	42	94	N 1	SE 1	N 1	8	0	0	.	[✳]
14	0.2	0.8	-0.2	0.3	-1.1	729.8	728.1	727.9	84	99	99	NE 1	N 1	N 1	6	10*	10	**15.5**	✳ 10–17½ m.U., ● a zeitw. [✳]
15	-0.8	7.8	0.0	2.3	0.9	728.7	729.9	733.2	94	47	49	N 1	SSW 1	N 1	10	6	0	.	[✳]
16	0.2	**11.2**	0.0	3.8	2.3	736.7	737.6	739.6	55	30	51	W 1	NNE 1	N 1	0	0	0	.	[✳]
17	-2.8	6.6	-1.2	0.9	-0.6	740.5	739.6	739.3	60	41	59	N 1	S 0	N 1	0	0	0	.	[✳]
18	**-4.6**	6.0	-1.2	0.1	-1.4	739.5	739.1	739.3	69	38	69	N 1	S 0	N 1	2	0	0	.	[✳]
19	-4.4	6.0	0.0	0.5	-1.0	739.9	739.5	740.0	74	46	70	N 1	SSE 0	N 1	0	0	5	.	
20	-3.6	6.0	-0.2	0.7	-0.9	739.7	738.8	740.1	75	47	76	N 1	SE 1	N 1	2	4	3	.	
21	-1.8	7.2	2.0	2.5	0.9	740.5	740.3	741.4	85	48	80	N 1	S 1	WSW 1	4	0	10	.	
22	2.2	9.2	3.4	4.9	3.3	743.0	742.8	743.4	85	56	88	W 0	S 0	WNW 0	10●	0	10	0.0	●° 1
23	4.2	5.6	3.8	4.5	2.9	742.6	742.3	741.6	83	83	99	W 0	E 0	NNW 0	10	10	10●	1.3	●° 18½–21½
24	3.0	6.2	4.4	4.5	2.8	740.0	739.7	742.9	99	58	30	N 0	NNE 2	S 1	10≡	5	0	.	≡ 7½–11½
25	0.0	9.4	2.8	4.1	2.4	**747.0**	745.3	744.1	72	44	66	N 1	WSW 1	N 1	0	0	0	.	
26	1.2	3.6	2.2	2.3	0.6	745.8	745.5	745.3	76	73	91	N 0	S 0	S 1	10	10	10	.	
27	1.0	6.4	0.6	2.7	0.9	745.5	743.7	744.2	82	53	97	NNE 1	S 0	S 1	10	0	0	.	
28	-1.4	0.2	-1.0	-0.7	-2.5	744.2	744.6	744.0	99	94	99	NNW 1	NE 0	NNE 0	10≡	10≡	10≡	.	≡ I, III
29	-2.2	3.2	3.8	1.6	-0.3	743.0	742.5	742.1	99	73	82	NNE 0	SSW 0	N 0	10≡	10	10	.	≡ I
30	4.0	5.6	3.8	4.5	2.6	740.4	739.8	741.7	74	68	97	E 0	S 1	NW 0	10	10	10●≡	3.5	●° 17½–n
31	3.0	6.2	5.2	4.8	2.8	741.7	742.9	743.6	98	73	97	NW 0	NNE 0	SSE 0	10	10	10	5.6	●° p–n m.U.
Mittel	-0.5	5.6	1.0	2.0	—	737.5	737.2	737.7	78	55	77				5.8	4.6	4.4	Summe 38.3	

$\lambda = 7° 35'$, $\beta = 47° 33'$,
$H_b = 318$ m, $G = 0.11$ mm.

Basel

Januar 1943.
Beobachter: *Astronom.-Meteorol. Anstalt.*

Tag	7³⁰	13³⁰	21³⁰	Mittel	Abweich. vom Normalst	7³⁰	13³⁰	21³⁰	7³⁰	13³⁰	21³⁰	7³⁰	13³⁰	21³⁰	7³⁰	13³⁰	21³⁰	Niederschlag	Witterung
1	1.5	3.6	5.0	3.4	3.9	732.3	729.3	719.9	82	73	63	SSW 1	NNW 1	SSW 2	10	10	10●	**6.1**	● 22¼–n m.U. [✳]
2	4.5	3.2	2.0	3.2	3.7	718.9	725.1	724.3	81	75	61	WSW 3	WSW 2	WSW 2	10	10	6	3.5	● n–10½ m.U., ✳ 22¾–n, ⸗ a
3	0.3	1.2	0.8	0.8	1.4	724.7	727.8	731.0	94	82	80	WSW 2	NW 2	WSW 2	10*	10*	10	0.1	✳° n–14 m.U. ⸗ 0¾–3½ [✳]
4	0.1	0.6	-1.4	-0.2	0.4	731.6	730.8	732.6	79	98	79	WSW 1	WSW 1	WSW 1	10	10	10	1.9	✳ 7–17¾ m.U. [✳]
5	-5.7	-3.5	-2.4	-3.9	-3.3	732.4	731.5	730.8	92	95	95	ESE 1	E 1	ENE 1	9	10*	10*	3.1	✳ 10–14½, 20¾–21½ [✳]
6	-2.7	-1.2	-2.2	-2.0	-1.4	732.4	733.5	733.3	98	98	91	WNW 0	WNW 0	ESE 1	10*	10	0	.	✳ 2¾–7½ m.U., ≡ 8–9¼ [✳]
7	-1.9	0.5	1.0	-0.1	0.5	731.5	730.7	728.1	92	85	92	ENE 1	ESE 1	ENE 1	10	10●	10	4.9	△ 12¼, ● 13¼–17¼, 21 [✳]
8	3.4	3.6	-2.3	1.6	2.2	727.5	729.0	735.8	85	80	88	W 1	WSW 1	WNW 1	10●	10	10△	0.9	● 0–19 zttw., △ 21½, ∽ I, III [✳]
9	-5.2	-2.5	-4.7	-4.1	-3.5	740.2	740.0	739.3	84	66	71	NW 1	E 1	ENE 2	10	10	8	.	∽ III [✳]
10	**-6.3**	-3.3	-2.9	-4.2	-3.6	734.7	733.6	732.9	81	73	98	ENE 2	E 1	E 1	7	10*	10●△	5.1	✳ 13½–18, ●° 17¾–22½ m.U., △ III
11	-4.1	-0.1	-0.1	-1.4	-0.8	727.8	727.7	728.0	97	92	93	NE 1	E 1	ENE 1	6	10	4	3.1	△ 9½–12, ● 10½–12¾, ● 16, [✳]
12	0.1	0.4	2.1	0.9	1.5	721.6	720.2	717.8	95	95	82	ENE 2	ESE 1	ENE 1	10	10●	10	6.0	● 12¾–14¾, ∽ II [∽ II [✳]
13	5.7	8.6	2.3	5.5	6.1	724.8	727.7	724.6	76	58	84	WSW 2	SW 1	E 1	10●	6	10	5.0	● 2¾–3½, 7–8, ☋ 17½, ☋ 19½
14	7.9	10.4	5.5	7.9	8.5	**716.6**	717.0	723.8	64	**41**	70	S 3	SSW 3	WSW 1	10●	8	9	4.5	● 2¼–8 m.U., 15¼–18¼ m.U., ⸗ p
15	1.6	4.2	2.7	2.8	3.3	728.2	730.1	733.3	80	79	87	SSW 1	SW 1	SW 1	9	10	10●	3.6	● 8–23¾ zeitw.
16	2.0	7.3	0.9	3.4	3.9	736.6	736.6	735.8	93	54	89	SW 0	E 0	E 1	8	3	2	.	● 3¼
17	-1.3	1.1	-2.5	-0.9	-0.4	753.9	732.8	733.1	86	79	83	ESE 1	ENE 1	ENE 1	0	1	5	.	⌊ I, ☋ 17
18	-4.4	0.9	-2.7	-2.1	-1.6	733.5	733.6	733.9	86	69	81	ENE 2	E 1	E 1	2	0	0	.	⌊ ⌊ I
19	-4.0	1.4	-0.1	-0.9	-0.5	734.1	733.8	733.9	86	67	74	ENE 1	E 1	E 1	7	2	1	.	⌊ I, ☋ 17½, ☋ 18
20	-3.3	3.8	1.0	0.5	0.9	733.5	732.9	732.3	92	62	74	E 1	ESE 1	E 1	0	9	10	.	⌊ I, ⊕ 12½, ☋ 19
21	-2.3	6.1	2.6	2.1	2.5	732.8	732.9	731.8	87	56	74	SE 1	ESE 1	ENE 1	8	8	7	.	☋ 7
22	0.8	8.7	4.6	4.7	5.0	733.1	733.0	734.0	85	56	73	E 1	ESE 1	E 1	7	10	10	.	● tr. 18, 21½, ☋ 6
23	3.6	**11.7**	7.4	7.6	7.9	734.2	734.5	736.6	88	63	86	SSE 1	WSW 1	WSW 1	10●	10	10	0.3	●° 7¼–8¼, ● 16¾–19¼ [m.U.
24	4.2	6.4	1.1	3.9	4.1	740.8	742.6	744.0	89	76	98	WNW 1	WNW 1	SSW 1	10	10	0	.	
25	-2.5	4.6	0.0	0.7	0.9	743.8	743.4	742.3	99	62	81	WNW 0	ESE 1	ENE 1	10≡	7	0	.	≡ 5½–9, ⌊ I
26	-1.4	0.7	2.9	0.7	0.8	740.6	741.5	**744.6**	91	87	88	E 1	E 1	W 1	10	10	10	0.2	✳ 12–13¾ m.U., ⌊ I, ☋ 0½
27	0.1	5.0	3.0	2.7	2.8	743.7	743.3	743.6	96	76	95	ESE 1	E 1	ENE 1	10	10	7	0.1	✳° 8½, ☋ 6½
28	0.5	4.2	-0.1	1.5	1.5	741.9	740.1	737.8	98	80	92	ENE 1	ESE 1	E 1	10	2	0	.	≡ 8½–12½, ☋ 7
29	-1.5	4.4	2.0	1.6	1.5	735.6	734.7	733.8	98	68	82	ESE 1	E 1	E 1	3	9	2	.	⌊ ∽ I, ☋ 6½
30	0.4	5.2	7.2	4.3	4.2	729.4	728.9	732.0	87	69	83	ESE 1	ESE 2	WSW 2	7	10	10●	2.8	● 13¾–22¼ m.U., ☋ I
31	1.0	10.3	6.5	5.9	5.7	733.8	731.0	728.1	96	57	69	E 1	E 1	E 2	9	7	2	0.7	⌊ I, ☋ 6¼, ⊕ II
Mittel	-0.3	3.5	1.3	1.5	—	732.5	732.6	732.7	88	73	83				8.1	8.1	6.8	Summe 51.9	

Januar 1943.
Beobachter: *Observatorium.*

Säntis

$\lambda = 9° 20'$, $\beta = 47° 15'$,
$H_b = 2500.1$ m, $G = -0.27$ mm.

Tag	Lufttemperatur 7³⁰	13³⁰	21³⁰	Mittel	Abweich. vom Normalst.	Luftdruck 7³⁰	13³⁰	21³⁰	Relative Feuchtigkeit 7³⁰	13³⁰	21³⁰	Windrichtung und Stärke 7³⁰	13³⁰	21³⁰	Bewölkung 7³⁰	13³⁰	21³⁰	Niederschlag	Witterung
1	-13.2	-11.9	-7.6	-11.2	-3.1	554.1	552.5	547.9	97	94	100	W 3	WSW 8	WSW 4	10≡*	10≡*	10≡	7.0	✳ ≡ n-15, ⊹ n-n, ⸗ p-n
2	-9.3	-12.2	-15.0	-12.0	-3.8	543.8	547.3	546.7	100	100	100	WNW 5	WNW 4	WNW 3	10≡*	10≡*	10≡*	13.7	✳ ≡ ⊹ n-n
3	-14.4	-14.8	-14.7	-14.6	-6.4	546.0	548.6	550.8	100	100	100	NW 3	WNW 2	NW 3	10≡*	10≡*	10≡*	24.6	✳ ≡ ⊹ n-n
4	-16.0	-16.0	-16.4	-16.1	-7.9	551.3	550.4	552.3	100	100	96	WNW 3	WNW 3	NNW 3	10≡*	10≡*	10≡*	13.0	✳ ≡ ⊹ n-n
5	-17.6	-13.2	-9.2	-13.3	-5.0	552.5	553.0	553.2	82	86	98	NW 3	NW 2	WNW 3	10	10≡*	10≡*	31.0	✳ 9¾-n, ≡ 8-n, ⊹ 17-n
6	-9.8	-9.8	-10.4	-10.0	-1.7	554.2	555.3	556.6	100	100	87	WNW 3	WNW 2	W 2	10≡*	10≡*	0	14.5	✳ n-15½, ⊹ ≡ n-20½, ⋁ (10½)
7	-8.8	-7.4	-8.2	-8.1	0.2	556.2	555.8	553.9	76	90	92	WSW 3	W 2	W 3	8	10	10≡	10.3	✳ 17½-18½ m.U., ≡ 16-n
8	-9.2	-10.0	-14.4	-11.2	-2.8	551.9	552.1	554.9	100	100	100	WNW 4	WNW 3	N 2	10≡*	10≡*	10≡*	34.8	✳ n-n m.U., ≡ ⊹ n-n, ⸗ ztw.
9	-17.2	-15.6	-14.8	-15.9	-7.5	557.1	557.7	558.8	90	63	36	W 2	NNE 2	NNE 1	10≡	1	0	.	≡ n-8¼
10	-11.6	-8.0	-7.6	-9.1	-0.7	556.9	556.9	556.9	34	100	100	WNW 3	WNW 4	W 3	1	10≡	10≡*	16.7	✳ 17-n, ≡ 12½-n, ⊹ ⸗ 8-11
11	-7.6	-4.8	-9.0	-7.1	1.3	554.3	554.3	554.4	40	48	75	W 3	SE 0	SW 1	1	10	1	.	⊕ II
12	-7.8	-6.7	-6.7	-7.1	1.4	550.1	548.2	548.3	76	93	61	SSW 3	SW 2	SSW 2	10	10≡*	8	3.1	✳ 13-16½, ≡ 13¼-16¾
13	-8.1	-8.5	-10.4	-9.0	-0.5	549.8	552.3	552.3	100	100	48	WNW 6	W 3	SW 3	10≡	10≡	8	2.4	✳ n-11 m.U., ⊹ ≡ n-16, ⋁ I, *)
14	-5.9	-6.4	-9.0	-7.1	1.4	547.8	547.7	549.3	100	98	100	WSW 3	SW 2	WSW 3	10≡*	10	10≡*	10.0	✳ n-15¾ m.U., ≡ n-11¾, ⊹ 16-n
15	-11.7	-11.0	-12.0	-11.6	-3.0	552.2	553.2	555.6	100	100	100	W 3	W 2	W 2	10≡	10≡*	10≡*	20.3	✳ n-n m.U., ⋁ I
16	-12.6	-10.8	-10.8	-11.4	-2.8	558.3	558.8	559.3	96	93	47	NNW 3	NW 0	E 2	10≡	10≡	1	3.7	✳ n-10 m.U., ≡ n-15, ⋁ I
17	-8.7	-6.2	-6.0	-7.0	1.6	558.9	558.8	559.2	27	35	30	NNE 0	ESE 0	E 1	0	1	1	.	
18	-4.6	-3.4	-5.1	-4.4	4.3	559.1	559.4	560.2	30	25	19	E 2	SE 2	WSW 1	3	2	1	.	
19	-6.1	-3.4	-5.5	-5.0	3.7	559.8	560.0	560.6	28	28	32	SW 1	SW 1	W 2	3	1	9	.	
20	-5.8	-2.1	-2.4	-3.4	5.3	559.6	559.9	560.5	49	36	28	WSW 3	W 3	WSW 3	7	7	2	.	
21	-2.2	1.4	1.0	0.1	8.9	560.8	561.3	561.4	34	33	26	W 3	WSW 2	W 2	9	9	10	.	⊽ III
22	-0.2	1.0	0.0	0.3	9.1	562.4	562.5	563.0	36	31	35	W 2	W 4	SSW 1	8	7	8	.	⸗ II
23	-3.2	-1.2	-4.2	-2.9	5.9	562.1	561.9	561.8	82	58	100	W 2	SW 2	W 2	10	10	10≡*	23.3	✳ 18-n, ≡ 15¼-n
24	-8.7	-9.4	-10.8	-9.6	-0.8	562.4	563.7	564.8	96	92	37	NW 2	N 1	ENE 3	10≡*	10≡	0	13.1	✳ n-11½, ≡ n-20½
25	-7.4	-4.0	-6.2	-5.9	3.0	565.7	565.9	566.0	47	26	26	ENE 3	ENE 1	W 3	0	4	1	.	
26	-5.8	-7.8	-9.2	-7.6	1.3	564.6	563.3	565.0	17	38	100	W 3	W 5	W 2	9	10	10≡*	2.9	✳ 15½-n, ≡ 15¾-n, ⸗ a, p
27	-11.0	-8.6	-8.9	-9.5	-0.6	564.6	564.8	564.9	98	94	100	W 3	W 3	W 3	10≡	10≡	10≡*	3.7	✳ 18½-n, ≡ n-n m.U.
28	-8.8	-5.4	-4.0	-6.1	2.9	564.6	564.2	564.1	81	71	17	W 3	SW 2	WSW 2	3	3	0	.	
29	-2.7	-0.2	-2.2	-1.7	7.3	562.5	562.4	561.6	29	23	26	W 3	WSW 2	WSW 2	7	10	6	.	
30	-1.8	0.0	-5.0	-2.3	6.7	559.0	558.1	558.5	26	26	98	SSE 0	WSW 2	W 3	10	10	10≡*	0.6	✳ ≡ 20½-n
31	-7.8	-2.0	0.3	-3.2	5.9	560.4	560.5	560.4	86	23	29	WSW 3	SSW 2	WSW 3	7	9	6	.	
Mittel	-8.5	-7.1	-7.9	-7.8	—	556.9	557.1	557.5	70	68	66				7.6	8.2	6.5	Summe 248.7	*) 13. ⸗ a, ⊽ III

Januar 1943.
Beobachter: Frl. *F. Lombardi.*

St. Gotthard (Hospiz)

$\lambda = 8° 34'$, $\beta = 46° 33'$,
$H_b = 2095.7$ m, $G = -0.25$ mm.

1	-12.4	-12.0	-10.2	-11.5	-4.5	584.5	583.4	581.1	64	55	58	N 3	N 0	S 1	0	5	5	9.2	
2	-9.0	-8.0	-11.6	-9.5	-2.4	576.1	577.4	578.3	53	74	79	S 1	N 2	N 4	10*≡	10*≡	10≡	58.1	✳ ≡ n-n
3	-11.8	-10.2	-12.4	-11.5	-4.4	575.6	577.6	580.3	78	78	78	N 4	N 3	N 3	10≡	10≡	10≡	33.2	⊹ ≡ n-n
4	-13.2	-11.4	-12.6	-12.4	-5.3	582.2	581.3	581.8	81	81	81	N 3	N 3	N 3	10≡	10≡	10≡	12.0	⊹ ≡ n-n
5	-12.6	-8.2	-9.0	-9.9	-2.8	583.2	583.6	583.9	60	72	81	N 1	NW 0	NW 0	10	10*	10*	44.4	✳ 10¼-n zeitw.
6	-9.2	-5.4	-9.0	-7.9	-0.8	584.4	585.5	586.5	83	55	61	N 2	N 1	N 0	5	5	5	.	
7	-7.2	-6.0	-8.6	-7.3	-0.1	586.3	586.2	585.3	55	61	68	S 0	S 0	S 0	0	10	10	1.2	
8	-9.2	-5.8	-10.2	-8.4	-1.2	582.9	582.5	584.2	64	71	72	S 0	S 1	N 3	5	10*	10*≡	33.3	✳° 11-n, ≡ 16¼-n
9	-13.6	-12.2	-14.8	-13.5	-6.3	587.3	587.7	589.1	72	68	53	N 3	N 2	N 2	5	5	0	2.0	
10	-12.0	-8.2	-9.2	-9.8	-2.6	587.3	587.1	587.4	54	41	72	N 0	N 0	N 0	0	5	5	5.5	✳° 14¾-20
11	-10.0	-9.4	-10.4	-9.9	-2.7	584.5	584.4	584.7	50	48	40	S 0	S 0	N 0	5	5	5	1.5	
12	-12.4	-10.3	-11.3	-11.3	-4.1	581.8	580.3	579.3	81	83	83	S 2	S 2	S 2	10*≡	10*≡	10≡	7.4	✳° n-16¾, ≡ n-n
13	-5.6	-5.4	-9.2	-6.7	0.6	581.2	582.3	583.2	75	64	58	N 2	N 2	S 2	8	5	10	0.8	
14	-6.5	-6.0	-7.4	-6.6	0.7	580.9	578.4	578.5	83	83	83	S 2	S 2	S 1	10*≡	10*≡	10*≡	24.6	✳ ≡ n-n
15	-10.0	-8.2	-10.2	-9.5	-2.2	582.1	583.0	585.4	80	80	76	N 3	N 3	N 2	10*≡	10	8	29.3	✳ ≡ ⊹ n-12¾
16	-9.8	-8.4	-14.8	-11.0	-3.7	588.1	588.9	589.4	85	80	51	NW 3	NW 2	N 0	10≡	8≡	0	.	≡ n-15½
17	-12.0	-7.8	-8.4	-9.4	-2.1	588.8	588.6	588.3	27	26	14	W 0	W 0	W 0	0	0	0	.	
18	-6.6	-2.4	-8.4	-5.8	1.5	588.5	589.1	589.5	7	8	4	W 0	SW 0	SW 0	0	0	0	.	
19	-8.8	-0.4	-6.2	-5.1	2.3	589.7	589.5	590.1	4	11	16	W 0	S 0	W 0	0	1	5	.	
20	-7.0	-1.6	-6.0	-4.9	2.5	589.8	589.9	590.3	21	15	17	W 0	SW 0	SW 0	1	3	5	.	
21	-4.5	0.0	-5.0	-3.2	4.2	590.5	591.0	591.6	15	24	23	SW 0	S 1	S 1	2	0	5	.	
22	-5.2	-3.4	-4.8	-4.5	2.9	592.9	592.8	592.8	75	59	62	SE 1	SE 2	SE 2	8	5	8	.	
23	-4.8	-2.6	-3.6	-3.7	3.7	592.8	592.0	591.8	73	85	100	S 2	E 1	E 1	10	10	10≡	2.6	≡ 16½-n
24	-6.6	-6.0	-10.2	-7.6	-0.2	591.8	592.9	594.4	89	89	90	N 3	N 3	N 2	10≡	10≡	10≡	14.0	⊹ n-16, ≡ n-n
25	-8.4	-2.0	-7.2	-5.9	1.5	596.1	595.2	595.3	52	7	9	W 0	W 0	N 2	0	0	0	.	
26	-5.7	-4.4	-10.8	-7.0	0.5	594.2	593.2	594.2	7	14	92	W 2	NW 2	N 3	2	10	10≡	10.3	≡ 18-n
27	-8.8	-7.7	-10.2	-8.9	-1.4	594.7	594.7	594.7	94	81	82	N 2	N 2	N 3	10≡	0	0	.	≡ n-9½
28	-7.4	-2.7	-5.6	-5.2	2.3	594.0	594.1	593.9	42	27	21	N 2	SE 0	SE 0	0	0	0	.	
29	-4.0	-1.8	-5.2	-3.7	3.8	592.5	592.4	591.8	22	21	31	S 0	S 1	S 0	3	3	0	.	
30	-7.0	-4.8	-5.6	-5.8	1.7	590.1	589.0	589.8	90	83	74	SE 2	SE 2	SE 1	10≡	10	10	0.7	✳ ⊹ n-n zeitw., ✳ n-8½
31	-5.8	-4.2	-5.2	-5.1	2.4	591.0	592.2	593.6	27	70	100	SE 0	SE 1	SE 2	4	8	10≡	9.5	✳ ⊹ 17-n, ≡ 18½-n
Mittel	-8.6	-6.0	-8.8	-7.8	—	587.3	587.3	587.8	57	55	59				5.4	6.1	6.2	Summe 299.6	

$\lambda = 7° 26'$, $\beta = 46° 57'$,
$H_b = 572.2$ m, $G = 0.00$ mm.

Bern

Februar 1943.
Beobachter: *Tellur. Observatorium.*

Tag	Lufttemperatur 7³⁰	13³⁰	21³⁰	Mittel	Abweich. vom Normalst	Luftdruck 7³⁰	13³⁰	21³⁰	Relative Feuchtigkeit 7³⁰	13³⁰	21³⁰	Windrichtung und Stärke 7³⁰	13³⁰	21³⁰	Bewölkung 7³⁰	13³⁰	21³⁰	Niederschlag	Witterung
1	3.7	7.8	2.1	4.5	5.5	710.0	711.9	712.0	95	68	92	WSW 1	SW 1	SE 0	10●	4	4	5.9	● 7½–10¾ m.U.
2	2.3	3.3	1.8	2.5	3.5	709.3	709.8	710.4	98	95	99	N 0	S 0	SE 0	10	10●	5	11.2	● 4¾–15¼ m.U., 19½, ≡ a
3	1.7	4.7	2.7	3.0	3 9	713.0	713.9	714.2	94	72	85	W 2	SW 2	W 2	9	8	10	0.3	● ✳ 0¼–13 zeitw., ●° 18½
4	0.7	4.7	1.1	2.2	3.0	714.3	714.1	716.7	97	71	99	S 0	W 2	SW 0	7	8	8	0.5	●✳ 1¾–2, 16¾–20 m.U., ⌣ l
5	−1.0	2.9	−1.1	0.3	1.0	720.3	721.3	721.8	100	66	83	SW 0	E 1	S 0	10≡	3	0	.	≡ n–9¾, ⌣ l
6	−2.4	2.9	−0.2	0.1	0.7	719.7	716.5	713.1	78	53	76	SE 1	SSE 1	SE 1	10	7	1	1.4	⌣ l, ⊕ ll
7	0.4	1.2	−0.5	0.4	1.0	710.8	711.5	715.1	100	96	99	SW 0	SW 0	W 0	10●≡	10≡	7	4.9	✳ 6½–13, ≡ n–n ⊠
8	−0.6	0.7	−3.0	−1.0	−0.5	717.6	718.3	717.0	100	81	94	NE 2	NE 2	W 0	10	9	0	0.0	✳° n–10 ⊠
9	−7.7	0.3	−1.5	−3.0	−2.6	711.8	707.2	**706.3**	92	58	77	S 1	E 0	S 0	6	10	9	1.8	⊕ ll ⊠
10	0.1	3.5	1.2	1.6	1.9	708.1	709.4	710.7	93	68	89	SE 0	WSW 2	SW 0	10	7	7	0.1	✳ 0¾–2½, 9½–10½ ⊠
11	−0.8	2.5	0.4	0.7	0.9	712.0	715.2	720.1	82	76	95	S 1	W 0	S 1	10	10	0	0.0	✳° a zeitw., 13, 13½, 14 ⊠
12	−1.3	5.6	4.5	2.9	3.0	721.4	720.5	718.1	96	65	83	SW 0	W 1	WSW 2	5	1	10	0.4	⊠
13	5.5	4.7	2.3	4.2	4.2	715.7	717.5	721.7	90	62	80	WSW 3	WNW 2	WNW 1	10●	9	10	3.5	● 6¼–9¾ m.U., ●° ✳° △ᵛp
14	1.3	5.1	1.6	2.7	2.6	721.2	720.4	719.4	83	55	85	SE 1	SW 1	S 0	9	10	1	0.0	✳° a zeitw.
15	−0.7	5.5	2.1	2.3	2.1	715.4	712.5	709.6	98	73	99	S 0	WSW 3	WNW 3	2	8	10●	7.7	● 17¾–n m.U.
16	0.1	2.2	0.7	1.0	0.7	710.8	711.7	714.3	98	62	78	SW 0	NE 2	E 1	9	9	9*	0.3	● n–0¼, ✳ 6, ✳° 17½– ⊠
17	0.1	1.9	−0.1	0.6	0.2	716.1	718.5	721.2	81	70	73	NE 3	ENE 2	NE 2	10	9	3	0.0	✳ 3¾–3½ [n zeitw. ⊠
18	−1.2	2.1	−0.8	0.0	−0.5	722.4	723.9	725.1	81	62	82	NE 1	SE 1	E 1	10	3	0	.	
19	−4.8	2.3	−0.9	−1.1	−1.7	725.6	723.6	723.4	98	66	93	NE 0	NE 1	SE 0	0	0	0	.	⌣ l
20	−3.6	5.5	1.7	1.2	0.5	722.3	720.6	722.1	100	63	87	SE 0	N 0	E 0	0	0	0	.	⌣ l
21	−3.1	3.6	0.8	0.4	−0.4	724.1	723.7	723.7	100	80	92	S 0	NE 1	SW 0	1	0	0	.	⌣ l
22	−2.6	8.2	2.3	2.6	1.7	723.7	722.9	722.2	98	55	85	S 0	E 0	S 0	0	0	0	.	⌣ l
23	−0.9	**10.2**	3.2	4.2	3.2	722.1	720.7	719.9	89	**42**	86	S 1	NE 0	SE 0	0	0	0	.	⌣ l
24	−0.5	9.5	2.9	4.0	2.9	720.2	718.9	718.7	92	48	91	S 1	NE 0	S 0	0	0	1	.	⌣ l
25	−0.1	9.7	3.6	4.4	3.2	718.2	716.8	717.5	96	53	88	S 1	W 1	S 1	2	2	0	.	⌣ l
26	0.7	9.5	1.5	3.9	2.5	718.1	718.2	722.1	94	52	89	S 1	E 0	NE 2	3	2	0	.	⌣ l
27	1.7	3.6	3.1	2.8	1.3	723.6	723.6	723.9	95	88	88	NE 2	NE 2	NE 1	10	10	10	.	
28	−0.3	7.5	3.5	3.6	2.0	725.0	724.9	**726.1**	95	59	86	SE 0	NE 1	SE 0	3	1	0	.	⌣ l
Mittel	−0.5	4.7	1.3	1.8	—	717.6	717.4	718.1	93	66	88				6.3	5.4	3.8	Summe 38.0	

$\lambda = 6° 57'$, $\beta = 47° 0'$,
$H_b = 487.3$ m, $G = 0.02$ mm.

Neuchâtel

Februar 1943.
Beobachter: *Observatorium.*

Tag	Lufttemperatur 7³⁰	13³⁰	21³⁰	Mittel	Abweich. vom Normalst	Luftdruck 7³⁰	13³⁰	21³⁰	Relative Feuchtigkeit 7³⁰	13³⁰	21³⁰	Windrichtung und Stärke 7³⁰	13³⁰	21³⁰	Bewölkung 7³⁰	13³⁰	21³⁰	Niederschlag	Witterung
1	6.2	8.2	4.9	6.4	6.3	716.6	719.7	719.6	78	72	72	SW 4	SW 1	SW 0	10●	5	2	2.9	● a
2	1.4	3.5	2.2	2.4	2.3	716.4	717.4	718.1	98	98	96	E 1	SE 1	SW 0	10●≡	10≡	4	7.2	● a m.U., ≡ a–p
3	2.2	4.6	2.6	3.1	2.9	720.6	721.8	722.2	96	83	95	W 1	SW 2	W 2	10●	9	10●	3.0	● n–n m.U.
4	1.9	5.5	2.0	3.1	2.8	722.1	721.9	724.6	95	74	84	W 1	SW 1	N 1	10	8	4	0.6	● 17½
5	−0.4	5.0	−0.4	1.4	1.1	728.0	729.3	729.7	89	70	87	NE 0	SE 1	E 0	8	3	0	.	
6	−0.2	3.9	4.0	2.6	2.2	727.7	724.7	721.0	83	68	58	W 1	SW 2	W 1	10	7	1	4.4	⌣ fr.
7	1.3	3.7	0.2	1.7	1.2	718.5	718.9	722.9	98	79	93	SW 2	NW 2	NE 0	10●	10	2	**8.4**	● ✳ a
8	0.4	2.7	−0.8	0.8	0.3	725.4	726.4	725.1	92	78	81	N 0	NE 2	NE 1	10	10	0		
9	**−2.5**	0.4	−0.1	−0.7	−1.3	719.6	715.0	**713.7**	92	82	86	NE 1	E 1	NE 1	10	10	10	1.5	⌣ fr.
10	1.6	5.1	2.3	3.0	2.3	715.7	717.0	718.4	91	75	88	W 1	SW 2	SW 1	10	10	8	0.3	●tr. p
11	1.2	2.6	0.8	1.5	0.7	719.5	723.1	727.8	93	86	96	W 1	SW 1	N 0	10*	10	0	0.2	●° ✳° n–a m.U.
12	0.2	7.5	6.1	4.6	3.8	729.3	728.7	725.7	100	72	79	W 0	SW 2	SW 2	10	4	10	1.7	⌣ fr.
13	6.0	5.2	3.2	4.8	3.9	723.8	725.5	729.6	85	88	74	SW 3	W 1	W 1	10●	7	9	1.3	● n–n m.U.
14	2.6	5.8	4.7	4.4	3.4	729.2	728.3	726.8	74	65	68	SW 1	SW 1	NW 2	10	10	4	.	
15	−0.8	6.9	3.4	3.2	2.1	723.3	720.2	717.3	96	71	83	E 0	SW 2	W 2	1	9	10●	5.8	● 17–n, ⌣ fr.
16	0.2	3.4	1.7	1.8	0.6	718.4	719.3	722.0	93	72	74	NW 1	E 1	NE 1	5	9	10	1.2	● fl. seit 10, △ 15
17	1.0	2.9	1.0	1.6	0.4	723.3	726.4	729.1	55	70	65	NE 3	NE 3	NE 3	2	9	2	.	⊠
18	−0.5	4.0	−0.8	0.9	−0.4	730.3	732.1	733.3	76	62	85	NE 2	E 2	NE 0	10	2	0	.	
19	−1.4	5.9	0.4	1.6	0.2	733.6	731.6	731.4	83	**51**	80	NE 2	E 3	E 0	0	0	0	.	⌣ fr.
20	−1.6	8.9	4.6	4.0	2.5	730.1	728.5	729.8	94	54	66	NE 1	E 2	E 1	0	0	0	.	⌣ fr.
21	−0.5	7.3	2.5	3.1	1.5	732.1	731.8	731.7	94	68	76	NW 1	E 1	E 0	0	0	0	.	
22	−1.6	7.2	4.0	3.2	1.5	731.6	731.0	730.0	96	64	68	NW 0	SE 1	NE 0	1	0	0	.	⌣ fr.
23	−1.1	8.5	4.3	3.9	2.1	729.8	728.8	727.7	90	61	56	NE 0	SW 1	SE 0	0	0	0	.	⌣ fr.
24	−0.8	9.3	4.1	4.2	2.3	728.1	726.9	726.4	91	52	74	NW 0	SE 1	SE 0	0	1	0	.	⌣ fr.
25	−0.7	8.3	4.6	4.1	2.1	725.9	724.6	725.1	94	58	76	NW 1	E 1	W 0	2	1	0	.	⌣ fr.
26	1.0	**9.6**	1.7	4.1	2.0	725.6	726.1	729.5	93	58	79	NE 0	S 1	NW 1	7	2	0	.	⌣ fr.
27	2.0	5.2	4.4	4.2	2.0	731.3	731.5	732.1	83	69	70	E 2	NE 3	NE 2	10	10	10	.	
28	0.1	8.4	3.7	4.1	−1.8	732.6	733.2	**733.9**	87	59	66	N 0	E 1	NE 1	2	0	0	.	
Mittel	0.7	5.7	2.6	3.0	—	725.3	725.4	725.9	89	70	78				6.4	5.6	3.4	Summe 38.5	

Februar 1943.
Beobachter: Frl. *H. Nager*.

Altdorf

$\lambda = 8° 39'$, $\beta = 46° 53'$,
$H_b = 456.3$ m, $G = -0.05$ mm.

Tag	Lufttemperatur 7³⁰	13³⁰	21³⁰	Mittel	Abweich. vom Normalst	Luftdruck 7³⁰	13³⁰	21³⁰	Relative Feuchtigkeit 7³⁰	13³⁰	21³⁰	Windrichtung und Stärke 7³⁰	13³⁰	21³⁰	Bewölkung 7³⁰	13³⁰	21³⁰	Niederschlag	Witterung
1	13.3	8.7	4.2	8.7	7.9	719.4	722.3	722.6	30	84	86	E 1	S 0	SE 0	10	8	0	0.0	●° mtgs.
2	3.2	4.9	2.6	3.6	2.7	720.0	718.6	720.1	84	95	91	SE 0	NW 0	NW 0	10	10●	10	4.0	●II
3	3.3	5.9	3.8	4.3	3.3	721.8	723.6	724.3	86	56	75	E 0-1	NW 0	NW 0	10	7	10●	3.7	●° a zeitw., ● n m U.
4	1.8	6.3	1.0	3.0	2.0	724.9	723.7	727.4	94	50	95	NW 0	NW 0	NW 0	10●	6	10*	9.6	●I, ✶ III
5	0.4	3.3	−1.4	0.8	−0.3	730.5	731.6	733.1	93	63	61	NE 0	NW 0	SE 0	10	3	0	.	✶
6	−4.0	2.8	−0.7	−0.6	−1.8	730.3	726.7	723.5	73	45	80	SE 0	N 0	NW 0	3	10	7	.	✶
7	0.4	1.4	1.6	1.1	−0.1	720.7	721.4	725.0	77	93	87	W 0	N 0	NW 0	10	10*	10	9.4	✶ II, ✶° abds.
8	0.5	3.3	−0.1	1.2	−0.1	727.9	728.4	727.3	97	63	60	NW 0	NW 0	E 0	10*	10	0	0.8	✶ I ✶
9	−4.8	6.5	2.7	1.7	0.3	722.4	715.4	716.8	82	32	45	E 0	SE 3	S 0-1	0	5	5	.	
10	0.6	4.8	1.7	2.4	1.0	718.0	718.1	721.0	78	59	78	NW 0	NW 0	NW 0	10	10	8	.	
11	0.8	3.0	0.9	1.6	0.1	721.7	725.9	730.7	65	60	90	E 0	NW 0	NW 0	8	10	7	.	
12	1.3	7.6	2.8	3.9	2.3	731.4	729.9	727.5	79	55	82	N 0	NW 0	W 0	10	0	8	0.3	
13	3.5	5.3	4.3	4.4	2.8	724.7	726.2	730.8	87	54	50	E 0-1	NE 1-2	NE 2	10●	10●	10●	15.1	●n-n
14	2.5	4.5	1.2	2.7	1.0	731.3	729.9	729.4	78	71	90	SE 0	SE 0	E 0	10	7	6	.	
15	0.1	5.9	4.3	3.4	1.6	725.2	721.9	718.3	94	58	83	SE 0	NW 0	NW 0	10	3	10●	8.5	●III
16	1.4	2.9	1.0	1.8	−0.1	720.4	721.6	724.6	75	54	70	NW 0	NW 1	W 0	10	10	10	4.1	✶
17	0.7	4.0	1.3	2.0	0.1	726.4	728.9	731.8	96	65	83	NW 0	W 0	NW 0	10*	10	10	0.3	✶ I ✶
18	−1.1	2.8	−0.2	0.5	−1.5	733.3	734.4	735.6	65	54	79	SE 0	N 0	SE 0	8	3	0	.	
19	−2.5	2.7	−1.9	−0.6	−2.7	736.5	733.9	734.5	85	63	93	E 0-1	NW 0	NW 0	8	0	0	.	
20	−2.7	4.4	0.7	0.8	−1.4	733.3	731.4	734.0	98	65	92	NW 0	N 0	N 0	10	1	0	.	
21	−1.7	3.1	−0.5	0.3	−1.9	735.1	735.5	734.6	98	63	99	E 0	NW 0	N 0	10	0	0	.	
22	−2.9	5.2	1.6	1.3	−1.0	734.0	733.4	733.2	99	78	77	N 0	N 0	N 0	10	0	0	.	≡ 7
23	−1.2	8.5	1.8	3.0	0.6	732.3	731.2	730.2	90	45	77	NE 0	NE 0	N 0	10	0	0	.	
24	−0.9	7.4	1.6	2.7	0.2	730.7	729.5	729.3	89	46	81	N 0	NE 0	NE 0	10	0	0	.	
25	−0.8	8.4	2.4	3.3	0.7	728.0	726.6	727.8	91	48	73	NE 0	NW 0	NW 0	7	1	0	.	
26	−0.3	8.9	4.5	4.4	1.6	728.5	728.4	733.0	80	44	75	NW 0	NW 0	NW 0	8	3	10	.	
27	3.3	7.2	2.8	4.4	1.5	734.2	733.5	734.5	92	57	85	NW 0	NW 1-2	NW 0	10	6	3	.	
28	−0.8	6.5	1.3	2.3	−0.7	735.5	735.3	737.0	97	62	75	NW 0	NW 0	NE 0	10	3	0	.	
Mittel	0.5	5.2	1.6	2.4	—	727.8	727.4	728.5	84	60	79				9.0	5.2	4.8	Summe 55.8	

Februar 1943.
Beobachter: *Observatorium*.

Genf

$\lambda = 6° 9'$, $\beta = 46° 12'$,
$H_b = 405.0$ m, $G = -0.03$ mm.

Tag	7³⁰	13³⁰	21³⁰	Mittel	Abweich. vom Normalst	7³⁰	13³⁰	21³⁰	7³⁰	13³⁰	21³⁰	7³⁰	13³⁰	21³⁰	7³⁰	13³⁰	21³⁰	Niederschlag	Witterung
1	10.4	12.0	7.5	10.0	9.0	724.6	727.1	726.9	74	57	71	SW 1	S 1	NE 0	10●	6	9	9.7	●° a
2	4.7	5.7	4.3	4.9	3.8	724.1	724.6	726.6	99	96	88	SE 0	NE 0	NE 0	10●	10	5	5.5	● a, ●° p zeitw., ⌍ △ ● 6-7
3	3.3	6.6	3.7	4.5	3.3	729.1	730.1	730.4	90	71	90	SE 1	SW 1	E 0	9	9	10	3.7	●n (3./4.)
4	1.6	5.4	3.4	3.5	2.3	729.8	729.5	732.1	96	83	90	SE 0	NE 1	E 0	9	9	10●	0.3	●abds., n
5	0.8	5.2	0.6	2.2	0.9	735.2	736.4	737.4	96	71	97	SE 0	NE 0	E 0	8	1	0	.	
6	0.0	6.5	5.2	3.9	2.5	735.8	732.3	729.5	76	53	54	E 0	E 0	SSW 1	9	3	0	2.3	
7	1.8	3.0	0.8	1.9	0.5	726.5	727.1	730.2	94	93	96	NNE 0	E 0	E 0	10●	10●	0	3.1	●n-p, ✶°sch. a zeitw., ⌣² I
8	1.3	4.0	1.7	2.3	0.8	732.2	732.6	732.3	80	67	73	E 0	NNE 2	NE 1	0	1	9	.	⌣² I
9	−3.8	3.6	5.8	1.9	0.3	726.9	721.9	721.4	73	93	63	E 0	NE 0	SSW 1	9	10	10	2.3	●22-n, ⌣² I
10	1.9	6.0	2.4	3.4	1.8	723.6	725.1	726.2	91	70	87	E 0	S 1	E 0	10	9	8	0.2	●n (10./11.)
11	1.7	5.6	2.9	3.4	1.7	727.2	731.0	735.4	87	70	84	E 0	NE 1	NE 0	10	9	1	.	
12	−1.2	8.8	6.8	4.8	3.0	736.9	736.5	734.5	96	66	76	NE 0	NE 0	SE 1	2	0	1	1.1	⌣ I
13	7.2	7.2	3.6	6.0	4.1	732.7	733.7	737.2	83	63	80	SW 1	NE 1	E 0	10●	6	5	1.1	●n-a
14	0.3	7.6	4.3	4.1	2.2	737.2	736.0	733.8	94	64	83	E 0	NE 0	NE 0	10	1	7	.	⌣ I
15	1.8	8.2	4.2	4.7	2.7	731.2	728.9	725.1	85	61	88	W 0	SSW 2	SSW 1	3	9	10	4.7	✶ n (15./16), ⌣ I
16	0.5	3.2	3.0	2.2	0.1	725.9	725.5	728.2	96	71	72	E 0	NNE 2	NNE 2	10	9	9	.	✶
17	1.8	4.2	2.2	2.7	0.5	729.3	732.0	735.9	71	65	74	NNE 2	NNE 3	NNE 2	8	2	1	.	
18	0.5	2.6	0.3	1.1	−1.1	737.6	739.3	740.7	78	61	82	NNE 1	NNE 1	SE 0	10	6	0	.	
19	−2.3	3.0	0.3	0.3	−2.0	740.8	739.5	738.8	96	66	87	E 0	NE 1	E 0	10	0	0	.	⌣ I
20	−3.0	5.6	2.0	1.5	−0.9	737.2	735.6	736.9	96	64	89	SE 0	NNE 1	E 0	0	0	0	.	
21	−1.6	6.4	2.5	2.4	−0.1	739.4	738.6	739.0	94	70	88	E 0	NNE 1	E 0	0	0	0	.	⌣ I
22	−2.0	6.9	3.0	2.6	0.0	739.1	738.0	737.2	92	71	83	E 0	NE 1	E 0	0	0	0	.	⌣ I
23	−1.4	8.2	4.2	3.7	1.1	737.4	735.7	735.4	96	57	73	E 0	NE 0	E 0	0	0	0	.	⌣ I
24	−1.3	8.0	3.8	3.5	0.8	735.4	733.9	733.9	96	57	87	E 0	NE 0	E 0	1	9	0	.	⌣ I
25	−1.1	8.0	4.9	3.9	1.1	733.4	732.4	732.7	92	65	82	E 0	E 0	E 0	0	0	0	.	⌣ I
26	0.0	8.4	3.2	3.9	1.0	733.2	733.1	736.1	91	67	83	E 0	NE 0	E 0	4	8	0	.	⌣ I
27	4.0	5.6	5.3	5.0	1.9	738.0	738.3	739.4	76	75	79	NE 1	NE 1	NE 1	10	10	10	.	
28	0.6	7.6	4.4	4.2	1.0	740.2	740.2	741.2	92	64	77	E 0	NE 0	E 0	0	0	0	.	
Mittel	1.0	6.2	3.4	3.5	—	732.9	732.7	733.4	89	69	81				6.1	4.9	3.7	Summe 34.0	

$\lambda = 8° 33'$, $\beta = 47° 23'$, $H_b = 493.2$ m, $G = 0.03$ mm.

Zürich

Februar 1943.
Beobachter: *Meteorol. Zentralanstalt.*

Tag	Lufttemperatur 7³⁰	13³⁰	21³⁰	Mittel	Abweich. vom Normalst.	Luftdruck 7³⁰	13³⁰	21³⁰	Relative Feuchtigkeit 7³⁰	13³⁰	21³⁰	Windrichtung und Stärke 7³⁰	13³⁰	21³⁰	Bewölkung 7³⁰	13³⁰	21³⁰	Niederschlag	Witterung
1	8.7	8.1	5.3	7.4	7.9	715.0	718.9	718.7	55	57	60	SSE 1	SW 2	SE 1	10●	7	0	5.9	● 7-11 m.U.
2	4.2	4.3	3.4	4.0	4.4	716.4	716.2	717.1	77	99	88	SSE 1	WNW 1	SSE 1	10●	10●	10	8.8	● 7¾-13½ m.U.
3	2.6	5.1	3.8	3.8	4.1	719.1	720.3	720.6	90	64	75	W 1	WSW 2	WSW 2	9	9	9	4.8	●✳ 0¾-3, ● 9¾-10¾, *)
4	2.7	6.7	2.2	3.9	4.1	721.1	720.8	723.6	82	56	93	WSW 1	SE 1	WNW 1	10	9	10	0.3	● 17¾-18¾
5	0.5	4.8	0.4	2.2	2.3	727.2	728.5	728.6	96	53	87	S 0	WNW 1	SE 1	9	3	0	0.0	⌊ l
6	-0.9	4.4	3.2	2.2	2.2	726.3	723.2	719.7	65	42	47	ESE 1	SW 1	W 1	5	9	8	1.0	⌊ l
7	1.0	0.9	1.1	1.0	1.0	717.6	718.2	722.2	99	97	100	W 2	SE 0	W 0	10*	10*	10	11.6	✳ 6½-11, ●✳ 11-14¾,
8	0.5	2.7	-2.2	0.3	0.2	724.9	726.0	724.4	96	63	88	NNW 1	NE 2	NE 1	10	5	1	0.0	✳ 5¾-7¼ [17¼-18½ ✳
9	-4.9	1.7	-0.2	-1.1	-1.3	719.1	714.1	713.0	93	56	82	ESE 1	NNW 1	SE 1	7	9	3	2.2	⌊ l ✳
10	1.0	4.4	2.8	2.7	2.4	714.5	715.8	717.4	92	60	67	S 1	W 2	SW 1	10	9	9	0.1	✳ 2-5½, ●° ✳ 13¾ ✳
11	0.2	2.5	2.2	1.6	1.2	718.5	721.7	726.9	78	76	90	SSE 1	S 1	SSE 1	10	10	10	0.2	✳fl. 8¾, ✳° 11½-12 ✳
12	0.8	9.7	6.2	5.6	5.1	727.6	726.5	723.9	94	47	71	SSE 1	WNW 2	WNW 2	10	3	9	2.9	⌊ l ✳
13	5.9	5.2	3.4	4.8	4.2	721.0	723.3	727.6	93	60	68	WSW 3	W 2	SW 2	10●	9	10	4.0	● 3½-9¼, p m.U., △² 14¾ ✳
14	3.4	6.7	3.8	4.6	3.9	727.5	726.7	726.0	59	43	61	SSW 2	SSW 1	S 0	10	9	2	.	✳
15	1.0	7.2	3.5	3.9	3.1	721.9	718.6	715.4	84	56	98	SE 1	WSW 3	WNW 2	4	7	10●	6.5	● 19-23¾, ⌊° l ✳
16	1.3	3.5	1.1	2.0	1.1	717.4	718.8	721.5	89	56	84	WNW 1	WNW 1	SE 1	10	10	10	1.1	●✳ 6-6½, ✳fl. 8, ✳ 23¾-n ✳
17	0.5	1.6	0.1	0.7	-0.3	723.8	726.8	729.1	88	65	62	WNW 1	ENE 1	NE 2	10	9	4	0.1	✳° n-2½, 9½-10¾ m.U. ✳
18	-1.2	3.4	-0.4	0.6	-0.5	730.0	731.6	732.7	76	54	78	NE 2	N 1	E 1	4	2	0	.	
19	-3.1	6.4	0.8	1.4	0.2	733.5	731.0	730.6	97	43	83	NE 1	NNE 1	ESE 1	1	0	0	.	⌊ l
20	-2.2	9.1	3.1	3.3	2.0	729.8	728.5	729.9	100	46	75	ESE 0	WSW 1	ENE 1	0	1	0	.	⌊ ⌊ l
21	0.3	6.6	1.4	2.8	1.4	731.7	731.3	730.9	98	58	95	SE 1	SSW 1	S 0	10	0	0	.	⌊ ⌊ l
22	-1.0	10.1	3.3	4.1	2.6	730.6	729.9	729.2	100	40	70	SE 1	S 1	SE 0	10≡	0	0	.	≡ n-10½, ⌊ l
23	-0.9	13.8	5.3	6.1	4.5	729.0	727.8	726.9	93	32	65	SE 0	WSW 1	S 0	0	0	0	.	⌊ ⌊ ⌊ l
24	-0.6	12.5	4.2	5.4	3.7	727.1	726.1	725.7	100	38	78	S 0	WNW 1	SSE 0	0	0	0	.	⌊ ⌊ l
25	-0.6	12.6	4.8	5.6	3.8	724.9	723.5	724.3	100	39	75	SSE 0	WNW 1	SE 1	0	0	0	.	⌊ ⌊ l
26	1.1	7.7	2.4	3.7	1.7	724.5	725.8	730.0	97	60	83	SE 0	WNW 2	NW 1	6	1	10	.	⌊ l
27	2.7	4.6	3.0	3.4	1.3	731.1	731.5	731.5	93	73	79	NE 1	N 1	ENE 1	10	10	0	.	
28	-1.7	9.1	3.0	3.5	1.3	732.3	732.5	733.4	100	51	65	N 0	WSW 1	E 0	2	1	0	.	
																			*) 3. 19¼-24¼ m.U.
Mittel	0.8	6.3	2.5	3.2	—	724.4	724.4	725.0	89	57	77				7.0	5.4	4.5	Summe 49.5	

$\lambda = 8° 30'$, $\beta = 47° 3'$, $H_b = 1787.3$ m, $G = -0.20$ mm.

Rigi-Kulm

Februar 1943.
Beobachter: *J. Wiget.*

Tag	7³⁰	13³⁰	21³⁰	Mittel	Abweich. vom Normalst.	7³⁰	13³⁰	21³⁰	7³⁰	13³⁰	21³⁰	7³⁰	13³⁰	21³⁰	7³⁰	13³⁰	21³⁰	Niederschlag	Witterung
1	1.6	-1.4	-1.4	-0.4	4.2	611.9	613.2	613.3	55	62	46	SW 3	W 3	SW 3	10*	9	7	0.3	✳ 7½-11¾ zeitw. ✳
2	-2.8	-2.4	-5.4	-3.5	1.1	611.1	610.0	610.3	100	100	98	W 3	W 3	W 3	10≡	10*≡	10	21.5	✳ 9-19, ≡ I, II ✳
3	-6.2	-5.8	-6.0	-6.0	-1.4	611.3	612.6	612.9	97	96	96	W 3	W 3	W 4	10≡	10≡	10≡	6.5	✳ zeitw., ≡ n-n m.U.
4	-6.8	-5.8	-6.8	-6.5	-1.9	613.3	613.4	614.7	95	95	95	W 3	SW 2	W 0	10≡	6	10*	20.1	✳ 17-n, ≡ I ✳
5	-8.8	-7.0	-8.4	-8.1	-3.5	617.8	618.9	619.5	95	94	95	W 1	SW 1	SW 1	8	3	0	.	≡ zeitw. ✳
6	-9.0	-2.0	-0.8	-3.9	0.7	617.2	616.1	613.4	94	45	30	W 2	W 3	W 4	7	10	7	.	✳
7	-4.8	-5.8	-6.8	-5.8	-1.2	610.3	611.3	612.5	88	98	98	W 4	W 3	W 2	10*	10*	10*	22.9	✳ 7½-n ✳
8	-7.8	-7.0	-9.2	-8.0	-3.4	615.1	615.8	614.9	97	98	96	NW 1	E 1	SE 1	10≡	10≡	10■	0.8	✳ 9-10¼, ≡ n-n ✳
9	-4.6	0.0	-4.7	-3.1	1.5	611.1	608.2	607.8	19	20	41	SW 1	S 2	W 2	3	5	5	1.1	✳
10	-7.0	-6.2	-7.0	-6.7	-2.2	607.5	608.7	610.3	100	99	100	W 3	W 3	SW 3	10≡	10≡	9	.	≡ I, II ✳
11	-6.4	-4.6	-4.4	-5.1	-0.6	610.2	613.6	618.1	60	100	100	W 3	SW 3	W 3	10	10≡	10≡	3.3	≡ 13-n ✳
12	-0.6	3.2	3.4	2.0	6.5	619.7	619.9	618.0	28	36	38	W 2	SW 3	W 4	10	3	8	.	✳
13	-2.2	-5.8	-7.2	-5.1	-0.6	614.6	615.1	617.7	100	97	100	W 4	W 3	SW 3	10	10≡	10*≡	8.2	✳ 13¾-n zeitw., ≡ 8-n ✳
14	-7.8	-3.5	-2.8	-4.7	-0.2	618.4	618.1	618.3	95	100	100	SW 3	SW 3	W 3	10	10	2	0.5	✳
15	-1.8	-3.5	-2.8	-2.7	1.7	614.9	612.1	609.8	100	100	100	W 3	W 3	W 4	10	10≡	10*≡	14.1	✳ 19½-n, ≡ 12½-n ✳
16	-8.0	-9.5	-9.4	-9.0	-4.6	609.4	610.1	612.5	100	97	98	W 2	W 2	E 2	10≡	10≡	10	7.8	✳ seit 14 ztw., ≡ n-n m.U. ✳
17	-8.8	-7.7	-9.0	-8.5	-4.1	613.6	615.7	618.7	97	97	97	SE 2	E 2	SE 1	10*≡	10≡	10≡	2.2	✳ n-12, ≡ n-22 ✳
18	-9.4	-6.4	-3.8	-6.5	-2.1	618.8	620.7	621.2	96	35	50	E 1	NE 2	SE 3	0	0	0	.	✳
19	-2.2	4.0	3.0	1.6	5.9	622.8	623.1	622.6	36	28	31	E 4	E 3	E 2	0	0	0	.	
20	2.2	5.6	2.3	3.4	7.7	621.2	621.5	622.3	31	26	31	E 3	E 3	E 3	0	0	0	.	✳
21	2.3	4.1	4.0	3.5	7.8	623.1	623.4	624.0	25	22	26	SE 2	E 2	E 3	0	0	0	.	✳
22	4.4	6.0	3.6	4.7	8.9	623.7	624.2	623.7	30	29	32	ESE 1	W 0	W 0	0	0	0	.	
23	4.6	5.8	5.0	5.1	9.3	622.4	622.5	621.8	29	33	32	S 0	S 0	S 2	0	0	0	.	✳
24	3.2	4.6	3.8	3.9	8.1	620.2	620.0	619.5	34	34	37	SSE 2	SE 2	SE 3	0	0	0	.	✳
25	1.2	3.6	-0.2	1.5	5.6	617.8	617.6	618.1	44	44	90	S 1	S 2	W 1	1	0	2	.	✳
26	-2.2	0.6	-3.6	-1.7	2.4	617.3	618.7	619.8	95	60	100	WSW 2	SW 0	SW 1	4	3	4	.	≡ zeitw. ✳
27	-4.6	-3.2	-2.0	-3.3	0.7	621.0	621.8	621.9	79	80	62	E 2	E 1	E 2	0	1	0	.	✳
28	-2.2	0.8	-1.0	-0.8	3.2	623.1	624.1	625.2	40	38	40	S 0	SE 1	SE 0	1	2	4	.	✳
Mittel	-3.4	-1.9	-2.8	-2.6	—	616.4	616.8	617.2	70	67	70				5.9	5.4	5.3	Summe 109.3	

Februar 1943.
Beobachter: *P. Nogler.*

Bevers

$\lambda = 9° 53'$, $\beta = 46° 33'$,
H_b = ca. 1710 m, G = –0.23 mm.

Tag	Lufttemperatur 7³⁰	13³⁰	21³⁰	Mittel	Abweich. vom Normalst.	Luftdruck 7³⁰	13³⁰	21³⁰	Relative Feuchtigkeit 7³⁰	13³⁰	21³⁰	Windrichtung und Stärke 7³⁰	13³⁰	21³⁰	Bewölkung 7³⁰	13³⁰	21³⁰	Niederschlag	Witterung
1	-1.2	4.5	0.2	1.2	10.1	619.7	619.7	619.9	100	91	91	NW 1	S 2	S 2	10	8	10	.	
2	-3.0	0.4	-3.4	-2.0	6.8	618.2	615.8	615.6	98	64	66	E 1	W 0	N 1	10	10*	4	0.7	✳ 10–18
3	-6.2	-2.0	-11.0	-6.4	2.3	616.5	617.9	619.1	91	52	88	NW 1	W 3	W 0	10	6	0	.	
4	-15.2	-2.0	-12.0	-13.1	-4.5	619.6	619.2	620.8	91	53	78	W 1	SW 1	W 1	6	3	0	.	
5	-13.0	-4.6	-17.2	-11.6	-3.1	623.0	625.9	626.2	84	52	77	W 1	W 2	W 1	8	0	0	.	
6	-19.8	-3.4	-12.1	-11.8	-3.4	625.1	622.5	620.6	78	38	78	SW 1	W 1	W 0	0	4	0	.	
7	-6.2	-2.4	-5.6	-4.7	3.6	617.5	616.3	617.8	62	77	94	SW 1	NW 1-2	NW 1	10	10	10	0.3	⸸ p
8	-7.2	-3.2	-15.2	-8.5	-0.3	620.5	621.4	622.2	74	48	75	S 1	SW 2	N 1	8	2	0	.	
9	-19.8	-5.6	-8.2	-11.2	-3.1	620.1	617.4	615.6	88	67	81	W 1	SW 3	NW 2	0	0	10	0.6	
10	-9.1	-3.8	-13.8	-8.9	-0.9	614.3	616.2	617.0	96	94	96	N 1	N 0	N 1	10*	10*	3	1.4	✳ n–17
11	-19.0	-2.4	-5.0	-8.8	-0.9	618.2	620.7	624.2	88	100	100	NW 1	NW 2	N 1	0	3	10	.	
12	-13.4	1.2	-3.6	-5.6	2.2	626.3	624.9	624.0	92	59	74	N 2	W 1	SW 1	10	0	10	.	
13	2.1	-1.2	-5.2	-1.4	6.3	619.0	618.8	621.9	57	56	93	SW 3	SW 2	NW 1	10	10*	10	1.1	✳ a–19
14	-4.6	6.0	-9.0	-2.5	5.1	624.0	622.8	623.8	64	44	72	N 2	S 2	N 1	10	6	4	.	
15	-11.0	3.2	-1.2	-3.0	4.6	621.8	616.8	614.4	94	45	100	SW 0	SW 2	NW 0	3	2	10*	0.9	✳ n (15./16.)
16	-5.0	-5.2	-7.0	-5.7	1.8	613.8	615.0	617.5	74	60	72	W 0	W 1	NW 2	10*	10*	10	.	✳° n–14
17	-7.0	-3.2	-12.2	-7.5	-0.1	619.1	622.3	625.6	71	57	80	W 1	S 3	N 2	10	10	10	.	
18	-17.2	-3.0	-12.2	-10.8	-3.5	627.1	628.1	629.8	91	51	88	W 1	SW 1	SW 1	0	0	0	.	
19	-16.8	0.0	-9.3	-8.7	-1.5	632.3	631.5	630.8	84	66	72	S 2	S 1-2	S 0	0	0	0	.	
20	-12.6	5.6	-9.4	-5.5	1.6	629.5	627.5	630.6	88	65	88	SW 1	W 1	W 1	0	0	0	.	
21	-12.2	4.4	-6.3	-4.7	2.3	630.8	630.0	632.0	88	35	81	S 1	W 0	W 0	0	0	0	.	
22	-11.0	4.0	-6.2	-4.4	2.5	631.6	630.1	631.1	90	46	81	W 0	W 1	W 0	0	0	0	.	
23	-10.2	5.6	-6.2	-3.6	3.2	630.8	629.8	629.0	90	58	83	N 1	SW 2	S 1	0	0	0	.	
24	-10.9	3.6	-6.0	-4.4	2.3	628.1	626.6	626.9	94	46	78	S 1	SW 1	NW 0	0	0	0	.	
25	-12.0	4.0	-7.8	-5.3	1.3	626.1	625.5	624.7	93	68	82	W 1	SW 0	W 1	0	0	0	.	
26	-11.8	3.0	-6.6	-5.1	1.4	624.3	625.2	626.7	86	67	88	N 0	NW 2	N 1	0	0	0	.	
27	-11.6	3.4	-6.2	-4.8	1.6	628.4	628.9	630.3	100	69	88	NW 1	W 1	W 0	6	8	0	.	
28	-11.6	3.2	-7.8	-5.4	0.9	631.1	630.3	632.0	99	48	78	SW 1	SW 1	SW 0	0	1	0	.	
Mittel	-10.6	0.4	-8.1	-6.2		623.5	623.1	623.9	86	60	83				4.7	3.7	3.6	Summe 5.0	

Februar 1943.
Beobachter: *Kapuzinerkloster.*

Sitten

$\lambda = 7° 21'$, $\beta = 46° 14'$,
H_b = 548.6 m, G –0.11 mm.

Tag	7³⁰	13³⁰	21³⁰	Mittel	Abweich. vom Normalst.	7³⁰	13³⁰	21³⁰	7³⁰	13³⁰	21³⁰	7³⁰	13³⁰	21³⁰	7³⁰	13³⁰	21³⁰	Niederschlag	Witterung
1	0.9	5.1	2.2	4.7	4.4	714.7	715.9	715.3	58	97	100	NE 0	W 0	WSW 0	10●	10●	10●	7.6	● n–n, ≡ p
2	2.2	2.7	3.2	2.	2.3	712.0	711.3	712.6	100	95	84	W 0	W 1	W 1	1●	10●	3	16.7	● n–n m.U., ✳ ● (9½)
3	2.1	6.1	3.1	3.8	3.3	714.9	716.2	716.0	96	63	76	W 1	W 1	W 0	10●	9	10	1.3	● 8½–11
4	1.6	5.0	2.0	2.9	2.3	716.9	716.5	718.3	78	59	62	W 0	W 0	W 1	9	5	0	2.1	
5	-0.8	4.1	0.0	1.1	0.4	721.8	723.3	724.8	80	56	57	NE 0	NE 0	NE 2	2*	2	0	.	✳ l
6	-3.2	2.6	-0.4	-0.3	-1.1	723.9	721.0	717.4	65	42	61	NE 1	NE 1	NE 0	8	8	0	.	
7	-0.9	1.7	1.2	0.7	-0.2	714.0	713.7	716.0	73	85	90	NE 1	NE 1	NE 0	10	10	5	0.0	
8	-2.1	3.8	-1.3	0.1	-0.9	719.2	719.4	719.9	72	53	65	NNE 1	NNE 0	N 2	3	2	0	.	
9	-5.4	3.0	0.9	-0.5	-1.6	716.6	711.1	710.3	69	41	48	N 2	N 1	N 0	2	10	10	.	
10	-0.3	2.8	1.2	1.2	0.0	711.5	712.2	713.6	89	63	71	W 0	W 1	W 0	10	9	10	.	
11	-1.3	4.2	1.0	1.3	0.0	715.2	718.0	721.9	68	54	79	NE 1	NE 1	ENE 0	10	8	0	.	
12	-1.1	4.9	2.4	2.1	0.7	724.2	723.7	721.9	83	55	71	NE 1	NE 1	WSW	4	1	2	.	
13	4.1	9.0	4.1	5.7	4.2	718.2	718.0	723.3	78	57	67	ENE 1	W 1	W 3	10	9	10	0.1	⸗ 8–11½
14	1.4	6.5	3.0	3.6	2.0	724.1	722.2	721.5	76	55	67	W 1	W 2	W 1	10	7	5	0.4	✳ 9¾–a
15	0.3	6.3	4.8	3.8	2.1	717.7	714.7	711.1	86	60	77	W 1	W 2	WSW 1	9	1	10●	2.9	● 20½–n
16	1.4	4.4	0.7	2.2	0.4	711.5	711.5	714.1	79	59	64	WSW 2	WSW 2	WSW 1	8	10	7	0.2	✳ fl. a
17	-1.8	4.1	0.6	1.0	-0.9	716.7	718.8	721.0	63	52	66	ENE 1	NE 0	ENE 2	2	2	0	.	
18	-3.4	4.7	-0.6	0.2	-1.8	724.2	725.1	727.2	75	46	75	ENE 1	S 2	W 0	0	0	0	.	
19	-4.0	5.2	0.5	0.3	-1.9	727.9	725.2	726.0	89	40	75	NE 1	NE 0	NE 1	0	0	0	.	
20	-2.5	7.6	2.4	2.5	0.2	724.0	721.7	724.1	76	42	73	NE 0	NE 0	WSW 1	0	0	0	.	
21	0.3	7.7	3.8	3.9	1.5	725.8	724.9	725.9	79	49	70	WSW 0	SW 1	WSW 1	0	0	0	.	
22	-0.3	10.0	3.8	4.5	2.0	726.3	724.8	725.9	79	45	70	WSW 0	WSW 1	WSW 1	0	0	0	.	
23	1.2	10.9	6.4	6.2	3.6	724.6	722.2	722.5	71	41	55	WSW 1	WSW 1	ENE 2	0	0	0	.	
24	1.0	9.6	5.3	5.3	2.6	722.7	720.5	721.0	70	44	58	ENE 1	SW 2	SW 1	0	1	0	.	
25	0.1	9.4	6.2	5.2	2.4	720.6	718.4	719.8	78	48	56	NE 0	W 1	NE 1	0	0	0	.	
26	0.9	9.1	5.4	5.1	2.1	720.5	719.8	721.0	76	46	60	NE 1	NE 1	NE 2	0	2	0	.	
27	-0.1	8.7	2.6	3.7	0.6	724.9	724.1	726.2	89	48	80	NE 0	NE 1	W 1	1	1	0	.	
28	-0.2	10.5	5.6	5.3	2.1	727.7	727.0	728.5	85	37	57	ENE 0	NE 0	NE 2	0	0	0	.	
Mittel	-0.2	6.1	2.5	2.8	—	720.1	719.3	720.4	78	55	69				4.6	4.2	2.9	Summe 31.3	

$\lambda = 8° 57'$, $\beta = 46° 0'$,
$H_b = 276.2$ m, $G = -0.01$ mm.

Lugano

Februar 1943.
Beobachter: *G. Vicari.*

Tag	Lufttemperatur 7³⁰	13³⁰	21³⁰	Mittel	Abweich. vom Normalst	Luftdruck 7³⁰	13³⁰	21³⁰	Relative Feuchtigkeit 7³⁰	13³⁰	21³⁰	Windrichtung und Stärke 7³⁰	13³⁰	21³⁰	Bewölkung 7³⁰	13³⁰	21³⁰	Niederschlag	Witterung
1	5.0	5.6	5.4	5.3	3.2	741.1	740.8	740.2	98	98	99	W 0	N 0	NNE 0	10●	10●	10●=	6.1	●° n-n, ≡ 17½-n
2	5.4	6.2	4.8	5.5	3.3	737.5	734.1	732.1	99	94	95	NNE 0	SSE 1	N 1	10●	10●	10	5.9	●° n-14 m.U.
3	5.2	14.8	3.6	7.9	5.7	734.5	736.6	738.7	39	24	44	NNE 1	N 2	N 1	0	0	0	.	
4	0.8	11.0	2.0	4.6	2.3	739.1	739.1	740.6	64	37	58	N 1	SE 1	NNE 1	0	8	0	.	
5	-0.4	13.6	1.8	5.0	2.6	743.6	744.8	747.5	72	19	50	N 1	N 2	N 1	0	0	0	.	
6	-1.2	8.0	2.2	3.0	0.5	747.8	745.7	742.9	62	41	59	N 1	W 1	N 1	0	1	0	.	
7	2.0	5.0	3.8	3.6	1.1	739.0	737.3	737.2	64	58	65	N 1	S 0	SSW 1	10	10	10		
8	7.4	7.8	4.2	6.5	3.9	738.4	740.9	743.7	22	54	80	NNE 2	S 2	N 1	5	2	10	.	
9	2.8	4.4	2.2	3.1	0.4	742.5	740.5	738.5	70	58	77	NW 1	S 1	N 1	10	10	10	2.4	
10	0.6	1.8	1.4	1.3	-1.5	736.3	737.0	738.0	99	83	88	NE 0	NE 0	NNE 1	10*	10	10	3.9	✳ ● n-12½ m.U. ⊠
11	-2.2	8.0	1.2	2.3	-0.6	739.2	740.0	742.8	74	46	66	N 1	SE 1	N 1	0	0	0	.	
12	-1.2	9.6	3.2	3.9	0.9	745.5	744.6	742.6	82	37	62	N 1	S 1	N 1	2	0	0	.	
13	2.4	16.8	7.6	8.9	5.8	734.5	735.4	741.4	68	22	22	NE 1	NNE 2	NNE 3	7	0	0	.	
14	5.0	17.2	4.6	8.9	5.7	741.7	740.9	741.4	38	22	57	SE 1	S 0	NNE 1	0	0	0	.	
15	1.2	13.2	7.4	7.3	4.0	740.7	738.6	734.6	83	53	93	SSW 1	S 1	SSW 1	0	0	10●	2.0	●° 19½-n m.U.
16	8.0	7.8	7.4	7.7	4.4	730.1	731.1	733.9	24	21	22	NNE 2	NNE 2	NNE 2	10	10	10	.	
17	7.2	7.2	1.8	5.4	2.0	737.5	743.0	747.4	23	52	75	NNE 2	E 0	N 1	10	10	3	.	
18	-0.8	9.0	1.8	3.3	-0.2	749.6	750.5	752.1	75	41	63	N 1	SSE 0	N 1	0	0	0	.	
19	-1.0	12.2	3.8	5.0	1.4	750.5	751.6	750.3	64	33	47	N 1	E 0	N 1	0	0	0	.	
20	-0.2	12.2	5.4	5.8	2.0	748.3	746.4	747.9	65	37	47	N 1	S 0	N 1	0	0	0	.	
21	2.2	16.4	7.4	8.7	4.8	747.9	747.7	749.9	53	31	46	N 1	ENE 0	N 1	0	0	0	.	
22	1.2	11.8	6.0	6.3	2.3	750.1	749.6	749.7	77	55	65	N 1	ESE 0	N 1	0	0	0	.	
23	2.2	14.0	7.8	8.0	3.8	749.3	747.9	747.3	81	42	55	N 0	S 0	N 1	0	0	0	.	
24	1.8	14.2	7.8	7.9	3.6	746.5	744.6	744.9	71	37	53	NNW 1	S 1	N 1	0	0	0	.	
25	2.4	14.8	6.4	7.9	3.5	744.6	743.5	744.0	68	42	46	N 1	S 0	N 1	0	0	0	.	
26	1.4	13.4	6.8	7.2	2.6	743.9	743.1	745.0	72	42	63	N 1	SE 0	N 1	0	0	3	.	
27	1.4	12.4	5.2	6.3	1.6	748.7	749.4	751.3	92	52	74	N 1	E 0	N 1	0	0	0	.	
28	1.8	12.4	7.4	7.2	2.3	752.5	751.2	751.0	85	52	64	N 1	E 1	N 1	0	0	0	.	
																		Summe	
Mittel	2.2	10.7	4.7	5.8	—	742.9	742.7	743.5	67	46	62				3.0	2.9	3.0	20.3	

$\lambda = 7° 35'$, $\beta = 47° 33'$,
$H_b = 318$ m, $G = 0.11$ mm.

Basel

Februar 1943.
Beobachter: *Astronom.-Meteorol. Anstalt.*

Tag	Lufttemperatur 7³⁰	13³⁰	21³⁰	Mittel	Abweich. vom Normalst	Luftdruck 7³⁰	13³⁰	21³⁰	Relative Feuchtigkeit 7³⁰	13³⁰	21³⁰	Windrichtung und Stärke 7³⁰	13³⁰	21³⁰	Bewölkung 7³⁰	13³⁰	21³⁰	Niederschlag	Witterung
1	7.2	11.8	5.4	8.1	7.9	731.9	733.7	733.9	83	39	66	WSW 3	SW 1	ESE 1	10●	2	0	0.5	● 5½-6, ● ⸗ 7-7½
2	1.8	6.0	4.0	3.9	3.6	731.0	732.1	732.5	85	85	77	ESE 1	SSW 1	SW 1	10	10●	7	6.0	● 10-12½, 22½-n, ⌣° ⌊
3	3.3	6.0	2.8	4.0	3.7	735.2	736.0	736.3	87	70	91	WSW 1	W 1	SW 1	10●	10	10	3.9	● n-n m.U., ✳ ● 13¾
4	2.1	4.0	1.8	2.6	2.2	736.6	736.9	739.8	89	88	88	SSE 1	NW 1	WSW 0	9	10●	3	2.0	◐ 9½, 16-17, ● 9¾-14¾
5	0.5	6.1	-0.6	2.0	1.5	743.3	744.3	744.6	96	62	94	SSE 0	W 1	SSW 0	9	7	0	.	●° 4½ [m.U.
6	-1.3	8.2	6.4	4.4	3.9	741.8	738.7	735.3	83	41	37	E 1	W 1	WSW 3	10	8	10●	6.1	● III, ⌣ ⌊
7	2.7	3.6	0.7	2.3	1.7	733.1	734.2	738.1	96	93	96	WNW 0	ESE 0	SSW 1	10●	10	1	8.9	◐ 3-11½, ✳ 16-17¼, ⸗ 16½
8	0.5	1.4	-1.3	0.2	-0.5	741.5	742.5	740.7	89	74	88	NNW 1	WNW 1	E 1	10	10	0	0.1	✳ 1-2¼ zeitw., ✳° 9-10½
9	-3.2	2.8	2.6	0.7	0.0	733.5	728.6	727.8	85	59	55	ENE 2	E 1	WSW 1	7	10	10	0.0	●° 22, ⌣ ⌊, ⊕ 13-15
10	0.2	7.6	1.6	3.1	2.3	730.1	731.5	732.9	94	55	89	ESE 1	WNW 2	S 1	3	9	9	0.6	●tr. 10¾, 14¾, ● 15¾-16
11	0.2	2.6	3.1	2.0	1.1	733.8	737.5	742.6	94	89	90	ESE 1	SSE 1	E 1	10	10	10	0.5	✳ 6¾-11 m.U., ●° 12¼
12	1.6	10.7	7.1	6.5	5.5	742.8	742.4	740.3	91	62	73	ENE 1	WSW 2	W 1	8	10	10	1.5	⸗ 22¾
13	5.8	7.0	3.6	5.5	4.5	737.7	739.7	743.7	82	59	70	W 2	W 2	WSW 1	10●	7	10	.	● 2¾-7½ m.U., 12, ⸗ a, p
14	4.6	7.2	6.2	6.0	4.9	743.5	743.0	742.0	59	57	67	W 1	SW 1	SW 1	10	10	10	.	●tr. 7, ●° 8-9 [zeitw.
15	2.6	9.6	3.6	5.3	4.1	737.7	733.6	731.8	85	50	87	SE 1	SW 2	W 1	7	10	10●	3.1	●tr. 11, 17¼-21¾ m U.
16	1.0	4.4	1.3	2.2	0.9	733.3	735.0	737.9	83	62	85	SW 1	NNE 1	WSW 1	2	10	10	2.5	
17	0.5	4.2	1.8	2.2	0.9	740.5	742.9	745.5	89	70	54	NNE 1	NNE 1	NNE 1	8	10	10	.	✳ 5½-7
18	-2.6	4.8	-0.4	0.6	-0.8	746.6	747.4	749.0	90	55	89	WNW 0	NNW 1	E 1	2	0	0	.	⌣° ⌊
19	-3.9	7.1	1.6	1.6	0.1	749.6	747.0	746.4	94	44	85	ESE 0	NNW 1	SSE 1	0	0	0	.	⌣ ⌊
20	-2.6	8.5	1.9	2.6	1.0	745.4	744.7	746.2	96	56	95	WNW 0	NW 1	WSW 1	0	1	0	.	⌣ ⌊
21	-0.9	9.4	0.6	3.0	1.4	747.6	746.8	746.9	98	56	96	NE 0	WNW 1	WSW 1	10=	0	0	.	≡ 4-10½
22	-1.6	14.0	6.3	6.2	4.5	745.6	744.8	744.3	97	43	69	SE 1	ESE 1	ESE 1	0	0	0	.	⌣ ⌊
23	0.3	15.0	3.0	6.1	4.3	744.0	743.1	742.4	87	40	87	E 1	ESE 1	S 0	0	0	0	.	⌣ ⌊
24	-0.3	12.7	3.7	5.4	3.5	742.8	741.6	741.2	89	45	83	ESE 1	NE 1	SSE 0	0	0	0	.	⌣ ⌊
25	-0.4	12.9	4.8	5.8	3.8	740.5	739.3	739.7	92	46	78	E 1	ENE 0	SE 1	2	0	0	.	⌣ ⌊, ⊎ 6½
26	-0.3	3.9	3.0	2.2	0.1	741.1	743.1	746.1	94	78	81	NW 0	NW 1	WNW 1	3	10	10	.	⌣° ⌊
27	1.8	4.5	5.1	3.8	1.6	747.5	747.7	747.5	95	82	71	WNW 0	NW 1	E 0	10=	10	10	.	≡ ⌊
28	-2.7	9.6	1.6	2.8	0.5	747.9	748.2	749.3	99	52	93	SSE 0	NE 1	SSW 1	1	0	0	.	⌣ ⌊
																		Summe	
Mittel	0.6	7.3	2.9	3.6	—	740.2	740.2	740.9	89	61	80				6.1	6.2	5.0	35.7	

Februar 1943.
Beobachter: *Observatorium.*

Säntis

$\lambda = 9° 20'$, $\beta = 47° 15'$,
$H_b = 2500.1$ m, $G = -0.27$ mm.

Tag	Lufttemperatur 7³⁰	13³⁰	21³⁰	Mittel	Abweich. vom Normalst.	Luftdruck 7³⁰	13³⁰	21³⁰	Relative Feuchtigkeit 7³⁰	13³⁰	21³⁰	Windrichtung und Stärke 7³⁰	13³⁰	21³⁰	Bewölkung 7³⁰	13³⁰	21³⁰	Niederschlag	Witterung
1	-3.4	-8.6	-7.0	-9.3	2.8	559.3	559.4	560.6	79	93	75	WSW 3	W 5	WNW 3	10	10	4	1.1	✳ 1¾-12, ≡ 1¾-13 ✳
2	-6.9	-6.4	-10.6	-8.0	1.1	558.4	556.2	556.4	82	100	100	WNW 2	WNW 3	WNW 2	9	10*	10*	26.9	✳ 9¾-21, ≡ 9¾-n ✳
3	-10.4	-10.2	-11.0	-10.5	-1.3	557.1	557.8	558.1	100	100	100	WNW 2	WNW 3	WNW 3	10≡*	10≡*	10≡*	37.6	✳ n-15½, 17-n, ≡ n n.*) ✳
4	-11.7	-10.0	-11.6	-11.1	-1.9	558.7	559.1	560.4	100	100	96	WNW 3	W 2	NW 1	10≡	10≡	10≡*	22.5	✳ n-n m.U., ≡ n-n, ✢ n-12 ✳
5	-13.8	-11.4	-12.9	-12.7	-3.5	562.8	564.2	564.7	93	92	46	NW 2	SW 1	W 3	10*	3	0	.	✳ n-6¾, ≡ n-9 ✳
6	-11.6	-6.8	-6.8	-8.4	0.8	562.7	562.1	559.8	42	59	33	W 4	W 5	W 5	4	9	10	0.3	✢ ⸗ n-n ✳
7	-8.0	-9.4	-12.6	-10.0	-0.8	556.7	556.6	558.0	97	98	93	WNW 4	WNW 3	NNE 2	10≡	10*	10≡*	18.4	✳ ≡ 6-n, ✢ 12-15, ⸗ f ✳
8	-12.4	-12.2	-12.0	-12.2	-3.0	560.9	561.4	560.6	95	96	24	NE 1	NE 0	E 2	10*	10*	1	0.8	✳ n-11½, ≡ n-14 ✳
9	-10.1	-3.8	-9.7	-7.9	1.3	557.5	555.7	554.0	16	16	45	WSW 3	WSW 3	SE 2	6	9	3	.	✳
10	-11.6	-11.0	-12.0	-11.5	-2.3	553.6	554.8	556.1	96	100	100	W 3	W 2	WNW 2	10≡	10≡*	10≡	2.3	✳ 8½-15 m.U., ≡ n-n ✳
11	-12.4	-9.0	-8.7	-10.0	-0.8	556.8	559.0	564.3	88	100	100	WNW 4	W 2	WNW 2	8	10≡*	10≡	8.6	✳ 9¼-21, ≡ 9½-n ✳
12	-6.7	-2.4	-3.4	-4.2	5.0	566.5	567.1	564.3	51	54	60	WSW 4	WSW 3	WNW 5	10	2	7	3.1	✢ ⸗ 15-n ✳
13	-6.3	-10.4	-12.0	-9.6	-0.4	558.9	560.0	562.7	100	100	100	WNW 5	WNW 3	WNW 2	10≡	10≡*	10≡*	40.5	✳ ✢ ≡ n-n, ⸗ n-a. ∨ ! ✳
14	-11.8	-5.8	-6.0	-7.9	1.2	563.4	564.4	564.2	100	100	100	W 5	WNW 4	WNW 2	10	10≡	10≡	.	✳ ≡ ✢ ⸗ n-n ✳
15	-6.6	-3.8	-7.2	-5.9	3.2	561.0	558.8	555.0	96	92	100	W 3	W 4	WNW 4	2	6	10≡*	38.7	✳ 20¾-n, ≡ n-n m.U., ⸗ p-n ✳
16	-13.2	-14.0	-13.6	-13.6	-4.5	554.7	555.5	557.9	100	98	98	WNW 2	NNE 1	NE 2	10≡*	10≡	10≡	8.2	✳ n-12½, ≡ n-n ✳
17	-13.6	-12.4	-13.2	-13.1	-4.1	559.5	562.0	564.1	100	100	97	ENE 2	ENE 1	E 0	10≡*	10≡	1	0.4	✳ n-11½ m.U., ≡ n-20½ ✳
18	-11.7	-8.2	-6.4	-8.8	0.2	565.0	567.3	569.4	52	28	27	ENE 3	ENE 2	NE 3	0	0	0	.	[m.U. ✳
19	-4.2	-1.0	-1.4	-2.2	6.8	570.9	571.2	570.9	34	30	34	ENE 4	ENE 3	E 1	0	0	0	.	⸗ ! ✳
20	-1.4	-0.7	-3.0	-1.7	7.2	569.8	569.8	570.6	35	19	32	ENE 4	ENE 3	ENE 3	1	1	0	.	⸗ ! ✳
21	-2.6	-1.4	-0.3	-1.4	7.5	571.1	571.8	572.3	13	16	35	ENE 3	ENE 2	ENE 2	1	0	0	.	✳
22	0.2	2.2	0.6	1.0	9.8	571.9	572.1	571.8	25	27	22	ENE 1	E 1	SSE 1	0	0	0	.	✳
23	-0.3	1.8	0.5	0.7	9.5	570.6	570.3	569.7	21	22	29	SW 2	SW 2	SE 2	0	0	0	.	✳
24	-1.7	0.8	-1.3	-0.7	8.0	568.5	568.2	567.8	27	26	29	SE 2	SE 1	ESE 1	0	1	0	.	✳
25	-2.6	-0.4	-4.7	-2.6	6.0	566.2	565.6	565.4	26	28	41	SW 1	SW 1	W 2	1	1	1	.	✳
26	-6.7	-5.3	-6.6	-6.2	2.4	564.5	565.5	567.1	98	32	41	W 2	N 1	NE 2	10≡	2	0	.	≡ 5½-9¾ m.U. ✳
27	-6.6	-4.4	-7.0	-6.0	2.5	567.8	568.7	569.2	38	36	70	E 2	SE 1	SSE 2	0	1	0	.	✳
28	-6.8	-3.4	-4.4	-4.9	3.5	569.8	571.1	572.0	44	34	26	WSW 2	WSW 1	W 1	2	2	1	.	✳
																		Summe	*) 3. ✢ 10-n, ∨ !
Mittel	-7.7	-6.0	-7.3	-7.0	—	563.0	563.5	563.9	66	64	62				5.9	5.6	4.6	209.4	

Februar 1943.
Beobachter: Frl. *F. Lombardi.*

St. Gotthard (Hospiz)

$\lambda = 8° 34'$, $\beta = 46° 33'$,
$H_b = 2095.7$ m, $G = -0.25$ mm.

Tag	Lufttemperatur 7³⁰	13³⁰	21³⁰	Mittel	Abweich. vom Normalst.	Luftdruck 7³⁰	13³⁰	21³⁰	Relative Feuchtigkeit 7³⁰	13³⁰	21³⁰	Windrichtung und Stärke 7³⁰	13³⁰	21³⁰	Bewölkung 7³⁰	13³⁰	21³⁰	Niederschlag	Witterung
1	-4.2	-2.7	-3.8	-3.6	3.9	591.2	590.8	590.8	80	95	95	SE 1	SE 1	SE 1	10*≡	10*≡	10≡	5.0	✳° n-14¾, ≡ n-n ✳
2	-5.0	-3.8	-8.8	-5.9	1.6	587.8	585.9	585.8	100	100	98	SE 1	SE 1	N 3	10≡	10≡	10≡	22.8	≡ n-n, ⸗ 17-n ✳
3	-8.6	-7.0	-8.9	-8.2	-0.7	586.9	588.8	589.1	90	92	84	N 3	N 2	N 2	10≡	10≡	8≡	6.7	≡ n-14, p-n stw., ⸗ n-11 ✳
4	-10.8	-7.8	-12.0	-10.2	-2.7	589.5	589.7	590.6	74	33	33	N 1	W 1	W 1	5	5	0	7.0	✳ n (4./5.) ✳
5	-10.6	-9.8	-16.2	-12.2	-4.7	592.9	594.6	595.3	63	34	35	N 2	N 2	N 1	5	0	0	.	✳
6	-10.0	-6.4	-9.8	-8.7	-1.2	594.5	593.7	591.1	35	9	26	S 0	S 0	S 1	0	5	0	.	✳
7	-10.4	-7.4	-9.8	-9.2	-1.7	587.9	587.0	588.0	41	55	93	S 0	S 0	N 3	5	5	10*≡	21.3	✳ 17¾-n, ≡ 17-n, ✳
8	-10.6	-9.4	-15.2	-11.7	-4.2	590.3	591.1	591.2	94	90	58	N 3	N 2	N 1	10	5	0	.	⸗ n-10 [⸗ 18½-n ✳
9	-13.6	-10.4	-12.4	-12.1	-4.7	589.3	587.2	585.7	83	95	95	S 2	S 2	S 2	0	10	10≡	4.2	✳°≡ zeitw., ≡ 8¾-10½ ✳
10	-10.8	-7.7	-12.2	-10.2	-2.8	584.6	585.3	585.7	84	63	60	S 0	NW 0	NW 1	10	5	4	.	✳
11	-11.2	-7.3	-8.2	-8.9	-1.5	587.7	589.9	593.7	85	81	94	W 0	NW 1	NW 3	5	8	10*≡	12.2	✳ ≡ 15¼-n ✳
12	-6.0	1.0	-0.6	-1.9	5.5	596.1	596.3	595.3	80	34	32	NE 2	NE 2	NE 1	8	3	5	.	✳
13	-2.8	-7.2	-8.4	-6.1	1.3	599.3	599.7	592.4	45	100	100	NE 3	N 3	N 3	10	10*≡	10≡	33.0	✳ 9¼-14¾, ≡ n-n, ✳
14	-8.0	-6.4	-5.8	-6.7	0.6	594.4	593.8	594.3	83	80	71	N 3	N 3	NE 1	8	8	5	8.4	[⸗ zeitw. ✳
15	-4.8	-1.2	-5.0	-3.7	3.6	592.2	589.8	585.9	66	20	100	SW 0	S 0	SW 0	0	0	10≡	13.9	≡ 17½-n ✳
16	-10.4	-10.0	-12.2	-10.7	-3.4	583.5	584.4	586.1	91	87	90	N 3	N 3	N 4	10≡	10*	10≡	27.0	≡ ⸗ n-n ✳
17	-11.0	-9.0	-10.2	-10.1	-2.9	589.3	592.0	594.6	90	90	90	N 3	N 2	N 2	10≡	5	10≡	1.4	≡ n-10, 16-n ✳
18	-11.5	-6.6	-7.6	-8.6	-1.4	595.1	597.6	599.6	63	55	42	S 0	S 0	S 0	0	0	0	.	✳
19	-1.2	2.0	-4.0	-1.1	6.0	600.2	600.6	600.6	14	11	21	NE 2	W 0	W 0	0	0	0	.	✳
20	-5.8	2.6	-2.8	-2.0	5.0	599.1	598.7	599.7	17	19	20	W 0	W 0	NW 0	0	0	0	.	✳
21	-2.6	1.0	-2.8	-1.5	5.5	600.8	600.9	601.8	11	14	20	NW 0	W 0	W 0	0	0	0	.	✳
22	-3.3	4.8	-2.4	0.4	7.3	601.7	601.3	601.2	17	18	19	W 0	W 0	W 0	0	0	0	.	✳
23	-2.4	4.6	-2.8	-0.2	6.7	600.5	600.0	599.4	17	12	20	W 0	SW 0	W 0	0	0	0	.	✳
24	-4.0	3.8	-2.4	-0.9	5.9	598.1	597.5	597.6	16	12	17	S 0	W 0	W 0	0	0	0	.	✳
25	-3.8	1.0	-4.0	-2.3	4.4	596.0	595.5	595.5	14	16	21	SW 0	S 0	S 0	0	0	0	.	✳
26	-2.8	-3.0	-6.8	-4.2	2.5	594.7	594.9	596.8	33	55	63	NW 1	N 2	N 2	0	2	0	.	✳
27	-9.2	-0.8	-5.2	-5.1	1.5	597.9	599.2	600.1	38	17	80	W 0	S 1	S 0	0	3	0	.	✳
28	-4.6	1.2	-5.8	-3.1	3.5	600.8	601.0	601.3	43	29	29	S 1	W 0	W 0	0	0	0	.	✳
																		Summe	
Mittel	-7.1	-3.6	-7.4	-6.0	—	593.3	593.5	593.9	56	51	57				4.1	4.1	4.0	162.9	

$\lambda = 7° 26', \beta = 46° 57'$
$H_b = 572.2$ m, $G = 0.00$ mm.

Bern

März 1943.
Beobachter: *Tellur. Observatorium.*

Tag	Lufttemperatur 7³⁰	13³⁰	21³⁰	Mittel	Abweich. vom Normalst	Luftdruck 7³⁰	13³⁰	21³⁰	Relative Feuchtigkeit 7³⁰	13³⁰	21³⁰	Windrichtung und Stärke 7³⁰	13³⁰	21³⁰	Bewölkung 7³⁰	13³⁰	21³⁰	Niederschlag	Witterung
1	-0.9	9.7	5.1	4.6	2.9	**726.8**	725.8	725.5	96	**46**	73	W 1	E 0	SE 0	7	3	5	.	⌣ |
2	0.1	11.1	5.9	5.7	3.9	723.8	721.5	720.0	99	51	84	NE 1	NE 1	E 0	5	2	0	.	⌣ |
3	1.5	11.5	5.9	6.3	4.4	717.9	716.2	715.7	98	64	90	NE 0	NE 2	NE 2	4	0	0	.	⌣ |
4	1.2	6.0	5.4	4.2	2.1	716.4	716.9	718.2	84	77	90	NNE 2	NE 1	W 1	10	4	9	.	
5	4.3	12.0	8.3	8.2	6.0	720.7	720.8	720.5	98	60	85	W 0	W 1	S 0	10	7	0	.	
6	5.0	7.0	2.3	4.8	2.5	717.2	715.1	715.6	95	58	94	NE 0	NNE 2	NE 2	10	10	5	2.7	● 14¼–20¾ m.U.
7	1.2	2.9	-0.3	1.3	-1.1	715.5	714.5	714.9	80	67	90	NE 2	NE 3	NE 2	8	9	0	.	
8	**-3.2**	5.9	2.2	1.6	-0.9	714.8	713.2	712.2	100	52	87	S 0	NE 1	S 0	2	1	0	.	⌣ |
9	-1.3	8.9	5.3	4.3	1.6	711.2	710.6	711.0	100	60	71	S 0	NE 2	NE 1	1	0	0	.	⌣ |
10	0.5	9.2	5.2	5.0	2.2	710.5	709.0	709.3	94	60	81	SE 0	NNE 2	NE 1	0	0	0	.	
11	-0.5	11.3	5.8	5.5	2.6	709.7	709.0	710.2	100	50	83	S 0	NE 1	SE 0	0	0	0	.	⌣ |
12	0.0	11.1	6.3	5.8	2.8	711.1	709.7	709.8	100	58	67	SE 0	NNE 2	NE 2	0	7	4	.	⌣ |
13	1.1	9.3	5.1	5.2	2.0	710.2	709.3	709.1	97	63	66	NE 0	NNE 1	N 1	6	0	3	3.0	⌣ |
14	3.4	5.1	2.5	3.7	0.4	708.7	709.9	710.0	99	95	100	N 1	WSW 1	SE 0	10	10●	1	1.8	●△ 3¼, ● 3¾-6, 18½-21¾ m.U.,
15	1.7	8.7	5.6	5.3	1.9	710.6	710.0	710.8	100	67	91	SE 1	W 1	NE 0	10	3	7	.	≡ n-9 [K 1½, 3¾, ≡ 22½-n
16	0.9	11.2	7.3	6.5	2.9	711.9	710.8	711.6	100	59	62	SE 0	NE 2	NW 0	2	3	0	.	⌣ |
17	0.7	11.1	5.6	5.9	2.2	712.2	711.5	710.9	97	50	81	E 0	NE 1	NE 0	0	1	0	.	⌣ |
18	0.7	12.1	8.5	7.1	3.3	710.4	708.6	709.2	98	51	67	S 0	W 2	SW 2	0	6	10	1.4	● 16½–20¼ m.U., ⌣ |
19	5.3	9.9	5.3	6.8	2.8	711.8	712.5	713.3	92	66	95	S 0	WNW 2	SE 0	10	8	1	0.7	● 2¾, 8-8½
20	2.0	12.0	7.3	7.1	3.0	713.3	711.8	712.0	97	**46**	80	S 0	SW 1	SE 1	7	3	9	0.0	⌣ |
21	3.3	9.1	4.5	5.6	1.4	711.7	711.6	713.0	96	74	96	SW 0	WSW 1	SE 2	8	9●	7	4.5	● 8¾–21¾ m.U.
22	3.3	8.2	5.7	5.7	1.3	712.8	712.5	712.1	98	83	99	SE 2	SE 1	NE 1	10	10	9	0.6	● 6½, 18-20 m.U., ♨ III
23	2.2	11.1	6.9	6.7	2.2	712.3	710.8	710.0	98	50	75	S 0	NE 1	SE 1	1	2	0	.	
24	4.4	13.4	9.4	9.1	4.5	708.3	707.2	**706.9**	88	**46**	78	NE 0	NE 1	SE 1	7	9	10	.	△ |
25	6.9	11.1	8.3	8.8	4.0	707.0	707.5	707.8	93	72	96	NE 0	N 0	W 0	10	10	9	.	
26	6.6	10.5	9.3	8.8	3.9	709.5	710.4	710.7	93	85	94	SW 0	W 1	SW 0	10	10	10●	**12.1**	● 9½-12¾, 21½-n
27	7.9	**14.5**	9.5	10.6	5.6	711.2	711.1	711.2	100	59	90	SW 0	WSW 2	S 0	10●	9	4	0.3	● n-3¼, 5½-a
28	5.1	10.7	6.3	7.4	2.2	710.3	710.0	712.3	100	73	98	S 0	WNW 1	SW 0	10≡	10	10●	9.4	● 13¾-n m.U., ≡ n-8¾
29	3.9	5.9	2.5	4.1	-1.2	714.0	714.3	715.3	96	80	97	NE 1	ENE 2	NE 0	10	10	0	0.1	● n-9½ m.U.
30	-0.6	9.7	7.1	5.4	0.0	716.0	714.9	715.7	100	**46**	80	S 0	WNW 2	SW 1	10≡	2	1	.	⌣ ≡ n-8
31	7.1	10.5	9.1	8.9	3.3	715.4	715.8	715.6	80	62	79	WSW 2	W 2	W 2	10	10	10●	5.2	●tr. seit 18¾, ● 21-n m.U.
																		Summe	
Mittel	2.4	9.7	5.9	6.0	—	713.3	712.7	712.9	96	62	85				6.4	5.4	4.0	41.8	

$\lambda = 6° 57', \beta = 47° 0',$
$H_b = 487.3$ m, $G = 0.02$ mm.

Neuchâtel

März 1943.
Beobachter: *Observatorium.*

Tag	7³⁰	13³⁰	21³⁰	Mittel	Abweich. vom Normalst	7³⁰	13³⁰	21³⁰	7³⁰	13³⁰	21³⁰	7³⁰	13³⁰	21³⁰	7³⁰	13³⁰	21³⁰	Niederschlag	Witterung
1	-0.6	10.3	6.2	5.3	2.9	**734.5**	734.0	733.2	89	51	61	N 0	S 1	SE 0	1	2	2	.	⌣ |
2	4.1	14.5	11.7	10.1	7.6	730.9	729.4	727.6	73	**40**	51	NE 2	E 2	NE 2	6	1	0	.	
3	1.7	**14.9**	7.5	8.0	5.3	725.5	723.6	723.1	95	45	62	N 1	E 2	NE 4	4	0	2		⌣° |
4	3.3	8.3	5.0	5.5	2.7	724.1	724.7	725.9	71	63	77	NE 2	E 2	SW 0	10	4	7	.	
5	3.2	7.2	6.8	5.7	2.8	728.6	728.8	728.4	95	75	70	W 1	E 1	SW 0	7	10	1	.	
6	6.4	8.6	3.6	6.2	3.1	725.1	722.5	723.2	78	52	81	W 1	E 1	NE 2	9	10	10	0.7	● seit 14
7	1.2	5.7	2.0	3.0	-0.2	722.5	722.0	722.8	78	54	65	NE 4	NE 4	NE 3	1	9	0	.	
8	**-2.4**	7.5	3.4	2.8	-0.5	722.7	721.0	719.8	87	57	69	NW 0	S 1	E 0	0	0	0	.	⌣ |
9	-0.8	12.1	7.8	6.4	2.9	718.8	718.0	718.4	91	49	53	N 0	E 2	NE 2	1	0	0	.	⌣ |
10	1.8	12.8	6.9	7.2	3.6	718.3	716.5	717.0	77	46	68	NE 1	E 2	SE 0	0	0	0	.	⌣ |
11	1.2	11.7	8.2	7.0	3.3	717.4	716.7	717.7	91	55	65	NE 0	S 1	E 0	0	0	0	.	⌣ |
12	1.3	12.6	9.2	7.7	3.8	718.6	717.2	717.3	93	49	48	W 0	NE 3	NE 2	1	8	2	.	⌣ |
13	2.9	12.1	8.3	7.8	3.8	718.0	717.1	716.6	83	50	45	NE 1	E 1	NE 2	6	0	0	0.9	
14	3.6	5.2	2.5	3.8	-0.3	716.4	717.7	717.6	82	86	96	NE 1	SW 1	NW 0	10	10	1	7.5	△ 7¼, ● p m.U.
15	2.1	8.2	4.3	4.9	0.6	718.3	718.1	718.3	98	83	89	E 1	SE 1	NE 0	10≡	7	3	0.4	●° a, ≡ n-12¼
16	1.5	12.9	11.0	8.5	4.1	719.5	718.7	719.0	98	58	44	NE 0	SE 1	NE 2	10≡	2	0	.	≡ n-8½
17	2.9	14.1	9.5	8.8	4.3	719.7	719.2	718.3	78	49	53	NW 0	SE 1	NE 1	0	0	0	.	
18	1.5	13.1	8.1	7.6	2.9	718.1	716.3	717.0	82	53	66	SW 0	SW 2	W 1	0	8	5	3.1	●° 13¼-16
19	6.1	8.1	5.2	6.5	1.7	719.2	720.6	721.0	94	78	88	NW 1	SW 1	NW 0	10●	10●	2	3.0	● n-13¾
20	2.2	12.7	7.8	7.6	2.7	721.1	719.7	719.6	96	55	74	N 0	SW 1	E 0	3	4	8	0.1	●tr. 20¼
21	3.1	9.8	5.2	6.0	0.9	719.4	719.1	720.6	97	71	77	NE 0	SW 3	NE 1	9	9	1	2.1	●sch. 11¾-p zeitw.
22	2.8	7.5	6.1	5.5	0.3	720.5	720.2	719.9	96	76	97	NE 1	E 1	W 0	10	10	10	1.9	● 16¾-abds.
23	3.9	9.9	7.0	6.9	1.6	720.0	718.6	717.2	98	69	77	NE 0	E 1	W 1	10	2	0	.	≡ n-mtgs.
24	4.1	13.3	9.1	8.8	3.3	715.9	714.6	714.2	89	50	71	SW 0	E 1	NE 0	7	9	7	.	●tr. seit 16½
25	7.5	9.9	9.1	8.8	3.2	**714.1**	715.4	715.5	81	73	81	NE 0	N 2	N 1	10	10●	8	0.5	●tr. a, p, ●° abds.
26	6.9	10.3	9.4	8.9	3.2	717.0	718.1	718.5	94	90	84	NW 0	SW 0	SW 1	10	10●	10●	8.1	●° n-n m.U.
27	8.3	13.3	10.2	10.6	4.7	718.7	718.8	718.7	98	76	77	SW 1	W 1	N 0	10	10	0	0.2	●° n-a
28	6.8	10.4	6.4	7.9	1.9	717.8	717.7	720.1	94	73	97	NE 0	SW 0	SW 0	9	10	10●	3.1	● 15¾-n
29	5.0	7.0	4.2	5.4	-0.7	721.8	722.2	723.0	88	68	84	NE 1	NE 1	NE 1	10	10	0	0.1	
30	0.0	11.6	9.0	6.9	0.6	723.7	722.7	723.3	97	51	69	NE 0	SW 1	W 1	10≡	1	1	.	≡ 7¼-9½, ⌣ |
31	7.6	10.7	8.4	8.9	2.5	723.2	723.8	723.7	72	60	85	W 3	W 4	SW 3	8	10	10●	7.2	● 20-n
																		Summe	
Mittel	3.2	10.5	7.1	6.9		721.0	720.4	720.5	88	62	72				6.2	5.7	3.2	38.9	

März 1943.
Beobachter: Frl. *H. Nager.*

Altdorf

$\lambda = 8° 39'$, $\beta = 46° 53'$,
$H_b = 456.3$ m, $G = -0.05$ mm.

Tag	Lufttemperatur 7³⁰	13³⁰	21³⁰	Mittel	Abweich. vom Normalst.	Luftdruck 7³⁰	13³⁰	21³⁰	Relative Feuchtigkeit 7³⁰	13³⁰	21³⁰	Windrichtung und Stärke 7³⁰	13³⁰	21³⁰	Bewölkung 7³⁰	13³⁰	21³⁰	Niederschlag	Witterung
1	-0.3	9.8	5.7	5.1	2.0	**737.0**	736.0	736.1	74	33	60	NE 0	NW 0	NW 0	3	2	10	.	
2	0.8	9.4	1.4	3.9	0.6	734.8	731.3	730.1	80	52	80	NW 0	NW 0	E 0	4	3	0	.	
3	1.4	9.6	4.4	5.1	1.7	726.2	726.8	727.1	95	54	90	W 0	NW 0-1	N 0	4	2	7	.	
4	4.7	6.4	13.3	8.1	4.6	726.6	726.8	728.3	92	63	33	N 0	NW 1	S 1	10	9	0	.	
5	5.7	14.5	8.3	9.5	5.9	730.7	730.1	730.9	66	42	92	W 0	NW 1	E 0	7	5	4	3.3	
6	7.5	6.0	3.6	5.7	1.9	726.4	724.7	725.6	93	62	70	SE 0	NW 0	NE 0	10●	10●	4	11.1	● I, II
7	**-0.9**	6.3	7.2	4.2	0.3	726.3	725.4	725.4	88	61	28	E 0	SE 0	SE 1-2	8	0	0	.	
8	1.2	6.5	11.2	6.3	2.3	724.6	722.8	721.9	75	59	**25**	NW 0-1	NW 1	SE 0-1	0	0	0	.	
9	0.8	8.5	3.7	4.3	0.2	721.7	721.5	721.4	92	56	74	NW 0	NW 0	NW 0	2	2	0	.	
10	0.0	8.5	3.5	4.0	-0.3	721.3	720.5	719.9	94	57	86	NW 0	NW 0	NW 0	1	0	0	.	
11	0.6	9.4	5.2	5.1	0.7	720.1	718.9	720.0	85	50	86	N 0	NW 0	SW 0	0	0	0	.	
12	0.4	8.8	4.1	4.4	-0.1	720.8	719.3	720.0	96	55	86	NE 0	NW 0	SW 0	2	1	0	.	
13	0.4	8.8	6.6	5.3	0.7	720.8	719.3	720.4	96	55	80	NE 0	NW 0	SE 0-1	2	1	10●	2.2	● 20½-n
14	8.5	11.8	4.2	8.2	3.4	718.1	718.4	721.0	26	31	82	SE 1-2	NW 0-1	NW 0	2	3	0	.	
15	0.6	10.3	5.8	5.6	0.7	720.8	719.3	720.8	88	47	69	NW 0	NW 0	SW 0	1	2	5	.	
16	1.5	10.5	8.2	6.7	1.7	721.8	720.8	721.9	87	48	62	SW 0	NW 0	NE 0	2	5	9	.	
17	1.5	11.2	5.5	6.1	1.0	722.4	721.5	721.5	92	47	65	NW 0	NW 0	SE 0	2	0	0	.	
18	1.6	9.5	6.3	5.8	0.6	720.2	718.5	719.7	88	48	70	SE 0	NW 0	SE 0	7	9	3	.	
19	10.2	12.0	6.2	9.5	4.1	721.6	722.0	723.1	37	45	66	SE 0	NW 0	E 0	5	5	1	.	
20	2.3	11.9	6.8	7.0	1.5	723.2	721.6	723.0	83	42	96	E 0	NW 0-1	NW 0	1	5	10	2.9	● 20-21
21	6.0	8.0	2.6	5.5	-0.1	722.2	722.5	724.8	78	68	100	SE 0-1	NE 0	NW 0	9	10	10●	12.3	● p-n zeitw.
22	3.8	9.6	9.2	7.5	1.8	722.9	722.3	722.5	62	49	29	NE 0	NW 0-1	SE 1-2	4	5	5	.	
23	8.8	13.9	9.9	10.9	5.0	722.1	721.1	720.9	30	26	26	SE 0-1	SE 1-2	SE 2-3	1	0	0	.	
24	10.9	15.4	13.1	13.1	7.1	719.2	718.1	718.0	28	**25**	27	SE 1-2	SE 2-3	SE 2-3	1	4	10	.	
25	13.4	**17.0**	15.0	15.1	9.0	717.5	**717.4**	717.5	28	26	26	SE 2-3	SE 3-4	SE 2	10	10	10	.	
26	15.9	14.4	10.7	13.7	7.5	718.7	718.9	719.1	28	44	66	SE 0-1	SW 0	SW 0-1	10	10	10	.	
27	8.7	12.2	8.8	9.9	3.5	720.9	721.1	721.3	83	77	94	NW 0	NW 0	NW 0	8	10	2	1.3	
28	6.1	11.7	8.9	8.9	2.4	719.5	719.4	721.6	93	64	70	NW 0	NW 1-2	NW 1	8	10	10●	4.9	● III
29	5.5	7.2	5.9	6.2	-0.4	724.0	724.4	725.4	80	69	80	W 0-1	NW 0-1	NW 0	10	10	10	0.2	
30	3.4	12.5	7.8	7.9	1.2	726.1	724.6	726.1	95	65	63	NE 0	NE 0-1	SE 0	2	1	10	.	
31	5.2	14.0	8.9	9.4	2.5	725.5	723.8	725.2	76	43	95	NW 0	NW 0	SE 0	9	10	10●	**24.1**	● III
																		Summe 62.3	
Mittel	4.4	10.5	7.2	7.4	—	723.4	722.6	723.2	74	50	67				4.7	4.6	4.8		

März 1943.
Beobachter: *Observatorium.*

Genf

$\lambda = 6° 9'$, $\beta = 46° 12'$,
$H_b = 405.0$ m, $G = -0.03$ mm.

1	-1.4	7.4	5.2	3.7	0.4	**742.3**	741.3	740.0	94	64	78	E 0	NE 0	ENE 0	0	1	0	.	⊔ I
2	1.6	11.2	7.4	6.7	3.3	737.8	736.2	735.4	89	52	74	E 0	NE 0	E 0	8	2	0	.	
3	0.9	11.9	8.4	7.1	3.6	732.9	731.2	730.1	90	58	72	E 0	NE 0	NE 1	0	0	0	.	
4	5.5	7.5	6.1	6.4	2.7	731.1	731.5	733.4	78	70	82	NNE 1	NNE 1	E 0	10	3	1	.	
5	1.2	10.7	7.2	6.4	2.6	736.3	735.1	735.7	96	66	80	E 0	NE 1	E 0	4	4	0	.	
6	3.9	9.7	4.5	6.0	2.1	732.7	729.4	728.7	88	67	79	E 0	NNE 1	NNE 2	9	6	0	.	●°ich. 6
7	2.6	5.6	3.2	3.8	-0.2	727.6	727.4	729.4	69	63	72	NNE 2	NNE 2	NNE 1	0	1	0	.	
8	**-1.8**	6.4	3.7	2.8	-1.3	730.4	728.3	726.8	90	53	73	E 0	NNE 1	NNE 0	0	1	0	.	⊔ I
9	-0.9	9.0	7.8	5.3	1.0	726.6	724.8	724.6	91	58	62	S 0	NNE 1	NNE 1	7	0	0	.	⊔ I
10	4.0	10.0	6.4	6.8	2.4	724.6	723.4	723.6	72	56	75	NE 1	NNE 1	S 0	0	0	0	.	
11	0.8	10.6	6.6	6.0	1.5	724.6	723.7	724.7	90	58	85	E 0	NNE 1	NE 0	0	0	0	.	
12	1.3	10.8	8.0	6.7	2.1	725.7	724.0	723.8	91	62	70	E 0	NE 1	E 0	0	7	8	.	⊔ I
13	1.4	9.4	7.3	6.0	1.3	725.2	724.0	723.6	85	62	72	SE 0	NNE 1	ESE 0	6	0	7	4.2	
14	4.6	5.0	5.0	4.9	0.0	724.1	724.8	724.9	95	91	90	NE 1	NE 1	E 0	10●	10	9	4.2	● n-a
15	4.6	7.6	6.4	6.2	1.2	725.2	725.0	725.6	95	80	85	E 1	NE 1	NE 1	10●	6	6	0.2	● n-9
16	1.7	10.2	7.6	6.5	1.4	726.6	725.7	725.6	98	68	83	E 0	NE 1	E 0	0	4	0	.	
17	2.2	10.9	7.2	6.8	1.6	727.0	726.2	725.4	93	56	71	E 0	NE 1	SE 0	0	3	0	.	
18	2.4	13.6	8.8	8.3	3.0	725.3	724.0	724.5	70	57	77	E 0	E 0	E 1	8	7	9	0.1	●° abds.
19	8.6	12.3	8.4	9.8	4.3	726.8	727.3	728.0	70	65	75	SSE 1	E 1	NE 1	10	7	0	1.1	●° seit 10¾, abds.
20	2.4	11.2	8.2	7.3	1.7	728.4	727.0	726.9	95	59	78	E 0	NE 1	E 1	0	4	9	.	●° n (20./21.) zeitw.
21	5.2	12.8	7.9	8.6	2.9	726.8	727.0	727.7	84	55	88	E 0	S 1	ENE 0	9	10	10●	1.4	●° p-n zeitw.
22	5.4	9.0	7.6	7.3	1.5	727.6	726.9	726.7	97	76	82	E 0	NE 1	NE 0	9	8	7	.	
23	2.6	16.0	8.3	9.0	3.1	727.1	725.1	724.0	96	**37**	76	NE 0	SW 1	NE 0	1	2	1	.	
24	4.0	13.2	11.0	9.4	3.3	722.6	721.6	**721.0**	83	45	67	E 0	NE 1	E 0	5	9	10	0.4	●tr. 15½
25	7.8	10.8	9.2	9.3	3.1	722.0	721.8	722.7	90	82	92	NNE 0	E 0	E 0	10●	10	10	1.9	● n-n m.U.
26	7.8	10.0	9.4	9.1	2.8	724.1	724.9	725.9	97	92	95	E 0	NE 0	NE 0	10●	10●	10●	**14.1**	● n-n
27	9.3	**17.0**	9.8	12.0	5.6	726.1	725.9	725.5	95	72	92	ENE 0	E 0	ENE 0	9	7	0	1.8	● n-9¼
28	6.6	13.6	7.3	9.2	2.7	724.5	724.8	727.5	94	66	94	E 0	NE 1	ENE 0	8	10	10●	4.7	●° 10¼, 13¾, 16¼-n
29	6.0	8.1	6.2	6.8	0.1	728.1	728.2	730.1	78	69	75	NNE 2	NNE 2	NE 1	9	9	0	.	
30	2.2	11.2	8.2	7.2	0.4	731.3	730.0	730.9	89	56	72	E 0	NNE 1	ENE 0	0	1	0	.	△ I
31	7.2	13.2	10.4	10.3	3.4	732.1	732.5	732.7	77	58	76	E 0	WNW 0	SSE 1	10	9	10●	3.2	●° 20¾-n
																		Summe 37.3	
Mittel	3.3	10.5	7.4	7.1	—	728.2	727.4	727.6	88	64	79				5.2	4.9	3.8		

$\lambda = 8° 33'$, $\beta = 47° 23'$, $Hb = 493.2$ m, $G = 0.03$ mm.

Zürich

März 1943.
Beobachter: *Meteorol. Zentralanstalt.*

Tag	Lufttemperatur 7³⁰	13³⁰	21³⁰	Mittel	Abweich. vom Normalst	Luftdruck 7³⁰	13³⁰	21³⁰	Relative Feuchtigkeit 7³⁰	13³⁰	21³⁰	Windrichtung und Stärke 7³⁰	13³⁰	21³⁰	Bewölkung 7³⁰	13³⁰	21³⁰	Niederschlag	Witterung
1	-0.7	12.5	7.9	6.6	4.3	733.6	732.8	732.7	100	37	50	NE 0	S 1	SE 1	2≡	3	10	.	≡ I, ⌣ I
2	1.4	12.0	7.3	6.9	4.5	731.6	728.6	727.3	92	45	65	ESE 1	WSW 1	SSE 1	2	7	0	.	⌣° I
3	1.9	10.0	6.1	6.0	3.5	725.2	724.4	724.5	99	60	72	SE 1	E 1	NE 2	1	2	0	.	⌣ I
4	0.9	10.6	4.9	5.5	2.8	723.9	723.6	724.7	73	43	78	NE 3	NE 1	WSW 0	7	1	3	.	
5	4.8	14.3	10.2	9.8	7.0	727.5	727.4	726.9	79	45	63	ESE 0	WNW 1	SW 0	10	8	9	.	
6	7.6	3.3	1.9	4.3	1.4	723.8	722.8	723.4	72	87	98	NW 1	N 2	NE 1	10	10●*	10	6.0	● ✳ 12³/₄–18½
7	1.2	6.0	1.1	2.8	-0.2	723.9	723.2	723.3	83	52	72	NE 3	E 2	WNW 1	9	6	0	.	
8	-1.8	9.4	3.0	3.5	0.4	722.0	720.4	719.4	94	47	82	NW 1	WNW 1	NNE 0	5	0	0	.	⌣ I
9	-0.8	11.8	5.8	5.6	2.3	718.7	718.0	718.5	100	38	60	NNE 0	NNE 2	NE 0	1	0	0	.	⌣ I
10	0.7	11.4	6.6	6.2	2.8	718.2	716.7	716.5	85	46	65	N 0	NNE 2	NE 1	1	0	0	.	⌣° I
11	0.9	14.6	6.5	7.3	3.8	716.6	715.7	717.0	100	40	76	NW 0	WNW 1	NNW 0	0	0	0	.	⌣° I
12	1.4	13.1	8.6	7.7	4.1	718.7	717.2	717.3	100	42	42	NNW 0	NNE 2	NNE 0	1	3	2	.	
13	1.6	11.2	5.8	6.2	2.4	717.8	717.0	716.3	89	41	49	NNW 1	ESE 1	NE 1	3	1	3	0.0	⌣° I
14	1.8	11.9	6.4	6.7	2.8	715.8	716.0	716.7	64	51	72	SE 0	WNW 2	NW 1	3	3	0	0.0	
15	1.5	12.4	7.5	7.1	3.1	717.4	716.5	717.7	100	42	63	E 0	NW 1	NW 1	10≡	1	6	.	≡ n–9¹/₄, ⌣ I
16	1.8	14.9	8.4	8.4	4.2	719.1	718.1	718.8	100	36	37	SE 1	NE 1	NE 1	1	2	2	.	⌣ I
17	2.4	15.5	8.3	8.7	4.4	719.3	718.7	718.0	77	36	43	NE 1	E 1	NE 1	0	0	0	.	⌣° I
18	1.2	13.9	8.5	7.9	3.5	716.9	715.5	716.0	83	39	67	ENE 0	WNW 2	SSE 1	2	8	10●	0.1	●° 17³/₄, 21¹/₂–22, ⌣ I
19	6.6	13.8	5.9	8.8	4.2	718.4	719.0	720.1	82	45	86	SE 1	WSW 1	ESE 1	10	2	8	0.4	●° 10³/₄–11³/₄ m.U., ● 16¹/₂
20	2.7	15.8	6.0	8.2	3.5	720.3	718.6	719.2	97	35	90	N 0	S 1	E 1	4	4	8	6.2	●° 15³/₄–16¹/₄, 20³/₄, ⌣ I
21	5.1	6.5	3.2	4.9	0.1	718.7	719.1	720.5	96	92	98	ESE 1	ESE 1	ENE 0	10●	10●	3	10.2	● 0¹/₂–1¹/₄ m.U., △▲ a ztw., Tp
22	-0.4	8.1	5.6	4.4	-0.6	720.0	719.5	719.1	100	62	75	NW 1	WNW 0	ESE 1	10≡	8	10	1.4	●° 17¹/₄, ● 22–23, ≡ n–a, [⌣ I
23	4.4	15.4	7.8	9.2	4.1	719.0	717.6	716.9	87	27	43	SE 0	SSE 1	SE 1	8	1	1	.	
24	5.1	17.9	12.1	11.7	6.5	715.4	713.7	713.7	72	32	40	SSE 1	NW 1	SE 1	6	5	10	.	
25	9.3	14.5	9.7	11.2	5.8	713.9	713.9	714.4	68	50	84	N 1	NW 1	NW 0	10	10	10	.	
26	7.8	13.3	11.1	10.7	5.2	715.8	716.8	716.8	90	55	77	NW 1	W 1	SSE 1	10	10	10●	14.4	●tr. 11¹/₂–13, ●° 21¹/₂–n
27	8.6	14.9	9.9	11.1	5.4	717.8	717.4	718.7	100	59	70	SSE 1	S 2	NW 1	10●	6	9	3.4	● n–11¹/₄ m.U., ●² 15¹/₄–15³/₄
28	5.4	13.4	8.0	8.9	3.1	717.0	716.7	718.8	94	52	100	N 0	NW 1	WNW 0	6	9	10●	12.7	● 20–n
29	4.4	5.4	3.3	4.4	-1.6	721.5	721.8	722.5	93	90	100	N 1	NNW 1	NNE 1	10●	10	2	1.0	● n–14
30	1.7	12.2	8.7	7.5	1.4	722.8	721.7	722.0	100	40	58	SSE 1	SSW 2	SW 1	10≡	1	2	.	≡ n–9¹/₂
31	9.9	12.1	9.6	10.5	4.2	721.3	721.0	721.1	60	50	74	SSW 2	W 2	W 3	9	10	10●	3.1	●tr. 16¹/₄, ● 20³/₄–n, ⌐ n
																		Summe	[(31./1.)
Mittel	3.2	12.0	7.0	7.4	—	720.4	719.7	720.0	88	49	69				5.8	4.6	4.8	58.9	

$\lambda = 8° 30'$, $\beta = 47° 3'$, $Hb = 1787.3$ m, $G = -0.20$ mm.

Rigi-Kulm

März 1943.
Beobachter: *J. Wiget.*

Tag	7³⁰	13³⁰	21³⁰	Mittel	Abweich. vom Normalst	7³⁰	13³⁰	21³⁰	7³⁰	13³⁰	21³⁰	7³⁰	13³⁰	21³⁰	7³⁰	13³⁰	21³⁰	Niederschlag	Witterung
1	-0.8	2.4	1.2	0.9	4.8	625.3	625.4	625.0	39	44	34	SW 0	SW 1	W 2	2	0	5	.	✳
2	0.8	6.8	5.0	4.2	8.0	623.6	623.1	622.7	28	47	54	E 1	E 3	SE 1	5	5	0	.	✳
3	5.4	4.6	3.0	4.3	8.1	619.3	618.5	617.5	54	63	75	W 0	NE 3	SE 3	1	1	2	.	✳
4	3.6	5.0	3.6	4.1	7.8	616.6	617.7	619.4	62	56	55	S 4	SSE 3	S 4	6	4	6	.	✳
5	2.0	1.6	1.0	1.5	5.1	621.5	621.9	621.5	87	98	94	NW 1	NW 1	W 1	8	5	8	0.9	✳
6	-1.0	-4.8	-6.0	-3.9	-0.3	617.4	614.8	613.8	100	100	100	W 2	SW 2	SW 2	10≡	10≡	10≡	12.8	✳ 14–n, △ ztw., ≡ n–n ✳
7	-8.8	-6.2	-4.2	-6.4	-2.9	613.7	613.9	613.9	98	65	51	E 3	E 3	E 4	1	2	1	.	≡ zeitw. ✳
8	-0.6	1.6	-0.2	0.3	3.7	614.0	614.2	613.6	34	36	40	S 3	SSE 3	SSE 3	0	0	0	.	✳
9	-0.2	2.2	-2.2	-0.1	3.3	612.0	612.6	612.5	38	40	95	SW 1	SE 1	E 3	0	0	0	.	✳
10	0.6	3.4	2.2	2.1	5.4	611.4	611.9	612.0	46	39	50	SE 3	SE 1	SE 2	1	0	0	.	✳
11	1.6	4.0	1.5	2.4	5.6	611.4	611.9	612.0	38	39	53	SE 0	SE 1	SE 1	0	0	1	.	✳
12	0.2	1.0	0.2	0.5	3.7	612.7	612.3	611.9	85	94	84	E 2	ENE 2	SE 2	2	7	2	.	
13	0.4	2.0	-2.0	0.1	3.2	611.5	611.5	611.3	50	57	94	SE 1	W 1	E 2	3	2	10	.	
14	-1.4	1.0	-1.0	-0.5	2.5	609.9	611.0	611.3	45	58	64	S 2	W 1	S 1	4	8	8	.	
15	-1.8	1.4	-1.2	-0.5	2.5	613.4	611.7	612.1	80	58	100	W 0	SE 1	SW 0	3	3	6	.	
16	-1.8	0.8	-0.2	-0.4	2.5	613.1	613.6	613.3	97	76	60	E 3	NE 1	SE 1	3	3	5	.	
17	0.2	2.2	-0.4	0.7	3.5	611.4	611.0	611.1	48	44	75	SE 2	SE 1	SE 1	0	0	0	.	
18	-1.2	0.6	-1.8	-0.8	2.0	612.5	614.0	614.6	92	80	100	W 3	W 2	W 3	7	7	10	0.4	✳° ≡ 18–n
19	-0.8	2.0	-0.5	0.2	2.9	612.5	614.0	614.6	56	58	85	SW 1	SW 1	SW 1	7	4	3	.	
20	-1.4	2.4	-1.4	-0.1	2.5	614.1	613.9	613.5	80	54	100	SE 0	NW 0	SW 1	4	5	10*	3.0	✳° 18³/₄–n
21	-1.8	-1.2	-3.8	-2.3	0.3	612.6	612.6	613.4	100	100	100	W 3	W 1	W 1	10	10*	10*≡	27.5	✳ n–n zeitw. ≡ III ✳
22	-2.4	-1.4	-1.0	-1.6	0.9	613.1	613.4	613.6	58	88	55	SW 1	S 2	SW 2	5	9	8	.	✳
23	-1.4	2.2	-0.6	0.1	2.5	612.9	613.0	612.6	50	42	43	SE 2	SE 1	S 1	3	0	0	.	✳
24	1.2	4.8	3.5	3.2	5.6	611.2	611.0	611.1	41	36	40	SSE 3	SSE 2	SSE 2	3	5	4	.	✳
25	3.8	4.6	3.6	4.0	6.3	610.9	610.9	611.2	44	44	49	SSE 2	SSE 3	SSE 4	10	10	9	.	✳
26	3.8	6.0	3.2	4.3	6.5	612.0	612.7	612.6	50	55	76	S 2	S 1	W 1	10	8	10	2.1	
27	1.0	1.8	2.0	1.6	3.8	612.8	613.3	614.0	100	100	92	W 2	W 2	S 1	10●≡	10	5	8.2	✳ zeitw., ● ≡ I
28	3.4	3.0	-1.0	1.8	3.9	612.3	612.5	612.7	53	62	100	SE 2	SE 1	W 2	2	10	10*≡	19.9	✳ III, ≡ 18–n
29	-4.4	-3.7	-4.2	-4.1	-2.1	613.6	614.1	614.8	100	100	100	NE 3	NE 3	SW 1	10*≡	10≡	10≡	5.1	✳ I, ≡ n–n ✳
30	-4.5	-1.8	-1.2	-2.5	-0.5	614.5	615.2	616.2	100	98	74	SW 1	SW 1	W 3	2	1	10	.	✳
31	-1.0	0.6	0.4	0.0	1.9	615.5	615.6	615.8	100	100	100	W 4	W 4	W 4	10	10	10*●≡	9.9	● ✳ zeitw., ≡ 13¹/₄–n
																		Summe	
Mittel	-0.2	1.6	-0.1	0.4	—	614.2	614.3	614.4	66	66	74				4.6	4.8	5.6	89.8	

März 1943.
Beobachter: *P. Nogler.*

Bevers

$\lambda = 9° 53'$, $\beta = 46° 33'$,
H_b = ca. 1710 m, G = –0.23 mm.

Tag	Lufttemperatur 7³⁰	13³⁰	21³⁰	Mittel	Abweich. vom Normalst	Luftdruck 7³⁰	13³⁰	21³⁰	Relative Feuchtigkeit 7³⁰	13³⁰	21³⁰	Windrichtung und Stärke 7³⁰	13³⁰	21³⁰	Bewölkung 7³⁰	13³⁰	21³⁰	Niederschlag	Witterung
1	-11.2	5.9	3.2	-0.7	5.5	632.2	630.0	629.8	88	48	45	W 1	W 2	N 2	0	3	4	.	
2	-5.6	8.0	0.0	0.8	6.9	629.7	628.6	628.2	83	66	97	W 1	W 1	S 0	5	4	6	.	
3	-3.0	8.8	2.0	2.6	8.5	626.1	625.5	624.9	93	72	73	E 1	E 1	NE 0	8	6	10	.	
4	-3.0	5.8	-2.0	0.3	6.1	626.5	628.3	629.3	100	88	100	W 1	W 2	W 0	8	6	0	.	
5	-7.8	5.8	-3.2	-1.7	3.9	629.3	628.1	626.8	97	64	87	S 1	SW 2	S 1	2	4	10	.	
6	0.0	-2.3	-5.6	-2.6	2.9	620.6	618.2	619.4	94	95	80	W 0	NW 3	N 2	10*	10*	10*	8.7	✳ n–n
7	-11.0	-1.4	-9.1	-7.2	-1.9	621.3	621.0	624.4	87	40	82	W 1	S 2	W 1	0	6	0	.	
8	-13.0	-3.3	-6.8	-7.7	-2.5	624.0	623.5	621.8	95	68	88	W 1	W 2	N 2	0	0	0	.	
9	-11.0	5.5	-2.4	-2.6	2.4	620.0	619.4	619.0	99	40	78	NW 1	W 1	NW 1	0	3	0	.	
10	-7.0	5.4	-3.8	-1.8	3.1	619.2	618.0	618.8	98	46	88	SW 1	SW 1	W 1	4	5	0	.	
11	-6.1	4.6	-4.2	-1.9	2.8	618.8	618.2	619.4	89	59	89	W 1	SW 2	SW 1	0	0	0	.	
12	-6.2	7.6	-3.8	-0.8	3.8	619.0	617.6	618.9	94	36	84	SW 1	W 2	S 1	10	7	0	.	
13	-8.7	2.4	-1.8	-2.7	1.7	618.0	618.6	618.3	94	72	100	W 0	N 2	NE 1	0	10	10*	2.0	✳ 16–19, ✳° III
14	-7.7	3.7	-7.4	-3.8	0.5	618.4	617.4	618.5	86	45	90	N 0	S 1	N 0	8	3	0	.	
15	-10.4	5.2	-5.4	-3.5	0.6	618.5	618.0	618.7	95	43	86	S 1	S 2	W 1	0	2	3	.	
16	-8.0	6.2	-0.6	-0.9	3.1	619.2	618.3	620.0	94	37	90	SW 1	SW 2	W 1	4	10	8	.	
17	-7.8	6.0	-4.4	-2.1	1.8	620.5	620.2	619.4	100	61	82	SW 1	W 2	S 1	0	2	0	.	
18	-8.2	3.8	-1.2	-1.9	1.8	618.4	618.8	619.2	93	68	92	SW 1	S 2	N 1	0	3	10	.	
19	-5.2	5.0	-4.0	-1.4	2.2	620.0	620.5	621.2	88	68	81	SW 1	W 2	W 1	6	6	2	.	
20	-7.6	6.4	-2.1	-1.1	2.3	620.0	620.4	620.1	97	67	98	W 1	SW 2	NW 1-2	6	8	10	0.0	
21	-2.4	2.0	-2.6	-1.0	2.3	619.6	619.4	621.0	93	64	93	W 1	SE 2	NW 1	8*	10	10	0.0	✳° 7¼–7¾
22	-2.0	1.9	-2.6	-1.2	1.9	620.5	621.2	621.6	85	61	82	W 1	SW 2	S 1	7	8	10	.	⊏ l
23	-5.0	4.4	-1.8	-0.8	2.2	621.4	621.3	620.8	89	60	81	SW 0	S 2	S 1	2	6	6	.	⊏ l
24	-4.2	4.3	0.0	0.0	2.8	621.2	621.4	621.6	87	60	88	SW 1	W 3	S 2	5	6	10	.	⊏ l
25	-0.2	5.7	0.8	2.1	4.8	620.6	620.4	620.5	98	96	100	W 1	W 0	W 0	10*	10*	10*	3.4	✳° ●° n–n
26	2.4	2.4	1.8	2.2	4.7	620.3	620.5	620.7	92	95	100	E 1	E 1	SW 0	10	10*	10	1.2	●° n–16, ✳ II
27	2.9	6.1	0.0	3.0	5.4	619.7	620.2	620.7	92	88	98	W 0	W 2	W 0	8	10	0	.	
28	-2.0	7.7	1.3	2.3	4.5	618.3	618.7	618.6	90	88	98	E 1	W 2	W 1	10	10	10	0.2	
29	1.4	2.6	-0.8	1.1	3.2	618.0	618.4	620.2	70	81	76	SW 0	W 1	N 2	10*	10*	3	0.6	✳° n–16
30	0.0	5.8	-3.0	0.9	2.8	620.6	622.1	622.6	71	61	73	NW 0	W 2	W 0	4	4	0	.	
31	-2.6	9.8	3.4	3.5	5.3	621.4	620.0	619.5	89	36	100	N 0	S 3	W 2	10	2	10●	1.2	● 17½–n
Mittel	-5.2	4.6	-2.1	-0.9	—	621.4	621.0	621.4	91	64	87				5.0	5.9	5.2	Summe 17.3	

März 1943.
Beobachter: *Kapuzinerkloster.*

Sitten

$\lambda = 7° 21'$, $\beta = 46° 14'$,
H_b = 548.6 m, G –0.11 mm.

1	-0.1	11.9	6.6	6.1	2.8	730.1	727.4	727.4	75	39	54	NE 1	W 1	NE 2	1	0	0	.	
2	2.5	11.8	8.6	7.6	4.2	725.6	723.2	722.7	74	43	57	NE 1	NE 2	NE 1	10	2	0	.	
3	3.0	14.5	9.2	8.9	5.3	720.1	717.2	716.8	84	47	63	NNE 1	W 1	NE 2	0	0	0	.	
4	4.6	17.4	10.2	10.7	7.0	718.4	718.2	720.9	87	41	50	NE 1	NE 0	NE 0	3	2	1	.	
5	7.2	14.3	9.6	10.4	6.6	723.1	722.3	722.7	54	43	61	NE 2	SW 1	E 2	3	0	4	.	
6	7.0	12.5	3.8	7.8	3.8	719.0	714.7	714.9	80	48	79	ENE 0	W 2	NW 3	10	7	0	0.1	● a, p zeitw.
7	0.0	10.7	5.1	5.3	1.2	715.4	713.6	718.0	83	32	39	NE 1	WSW 2	ENE 1	0	2	0	.	⊏ l
8	2.7	13.2	7.1	7.7	3.4	717.4	714.7	714.8	47	33	41	NE 1	NE 0	NE 1	0	1	0	.	
9	3.3	14.3	7.1	8.2	3.8	713.8	711.1	711.8	58	37	59	NE 2	NE 1	NE 1	3	0	0	.	
10	2.6	15.3	9.5	9.1	4.5	712.0	709.8	711.0	83	39	46	ENE 1	W 1	NE 2	2	3	2	.	
11	5.6	15.0	8.6	9.7	5.0	712.1	710.5	711.8	61	39	52	NE 2	NNE 1	NE 2	0	0	0	.	
12	3.5	14.3	8.5	8.8	3.9	712.9	710.5	710.9	72	42	61	NE 1	NE 1	NE 2	6	8	0	.	
13	2.8	13.1	8.3	8.1	3.1	712.2	709.9	710.7	79	46	76	ENE 0	W 1	N 2	5	1	4	0.4	● n (13./14.)
14	5.4	9.6	5.5	6.8	1.6	712.4	712.5	712.3	84	54	65	WSW 1	WSW 1	NE 1	10	9	1	.	
15	1.6	13.1	6.6	7.1	1.8	713.2	711.1	712.2	76	41	69	NNE 1	NNE 1	W 1	3	1	1	.	
16	2.3	13.2	8.4	8.0	2.5	714.1	712.3	712.8	87	41	62	NE 1	NE 1	NE 2	2	1	3	.	
17	2.9	15.0	8.3	8.7	3.1	714.3	712.4	712.7	83	37	56	NE 1	E 1	NNE 2	0	1	0	.	
18	2.4	14.0	9.0	8.5	2.7	712.9	710.6	711.7	73	42	58	NE 1	W 1	WSW 0	2	6	10	.	
19	7.1	14.6	8.0	9.9	4.0	714.6	713.7	715.2	62	41	60	NNE 0	W 1	NE 1	9	3	4	.	
20	2.8	15.0	9.2	9.0	2.9	715.8	713.6	714.2	80	40	56	NE 1	W 1	W 0	2	2	7	.	
21	5.5	8.4	0.3	6.7	0.4	714.7	715.3	715.5	88	81	96	E 2	W 0	ENE 0	6	10●	8	3.0	● 11–n m U.
22	4.6	12.8	7.9	8.4	2.0	716.5	714.9	715.8	95	41	56	W 0	W 0	N 1	9	5	8	.	
23	4.2	13.0	8.9	8.7	2.1	716.0	713.8	714.2	64	38	40	N 1	N 1	NE 2	2	2	0	.	
24	4.8	14.6	11.2	10.2	3.5	714.0	711.8	717.2	58	36	42	NE 0	NE 4	NE 4	0	8	10	.	⸗ a, p
25	8.4	14.9	12.6	12.0	5.1	712.4	710.2	711.0	55	47	43	N 0	N 0	E 2	9	10	8	.	
26	9.9	12.6	10.7	11.1	4.1	712.4	713.4	713.4	56	62	68	ENE 0	W 1	NE 1	10	10	10	0.1	● mtgs.
27	7.7	16.6	10.7	11.7	4.5	714.2	712.7	712.9	77	51	70	NE 0	W 1	W 1	9	7	0	0.0	●° 9
28	7.3	14.9	7.3	9.8	2.5	712.4	710.8	712.6	82	56	93	NE 0	SW 1	NW 2	4	10	10●	1.6	● 19½–n
29	6.3	13.0	7.4	8.9	1.4	713.9	713.0	715.3	80	48	61	W 0	SSE 1	NE 2	7	8	7	.	
30	5.2	13.6	7.7	8.8	1.2	718.2	716.0	717.4	77	42	48	W 0	W 0	NE 0	5	0	0	.	
31	3.3	14.9	11.3	9.8	2.0	719.2	716.4	718.3	78	47	61	NE 1	W 2	W 3	9	10	10●	10.4	● 19–n
Mittel	4.4	13.6	8.4	8.8	—	715.9	714.1	715.1	74	44	59				4.5	4.2	3.5	Summe 15.6	

$\lambda = 8° 57'$, $\beta = 46° 0'$,
$H_b = 276.2$ m, $G = -0.01$ mm.

Lugano

März 1943.
Beobachter: *G. Vicari.*

Tag	Lufttemperatur 7³⁰	13³⁰	21³⁰	Mittel	Abweich. vom Normalst	Luftdruck 7³⁰	13³⁰	21³⁰	Relative Feuchtigkeit 7³⁰	13³⁰	21³⁰	Windrichtung und Stärke 7³⁰	13³⁰	21³⁰	Bewölkung 7³⁰	13³⁰	21³⁰	Niederschlag	Witterung
1	2.4	16.2	14.8	11.1	6.1	751.3	748.3	745.8	73	33	29	NNW 1	SW 0	S 1	0	0	5	.	
2	13.0	**20.4**	11.8	15.1	10.0	744.7	744.8	743.1	33	31	54	NNW 1	SE 0	N 1	10	5	0	.	
3	7.0	19.2	12.0	12.7	7.4	740.1	738.0	739.3	72	41	72	N 1	S 0	SE 1	0	0	0	0.9	
4	9.6	8.0	6.8	8.1	2.7	745.9	749.7	751.9	93	67	68	E 0	N 1	SSE 0	10●	10	10	2.4	● n–10½ m.U.
5	4.0	12.2	4.6	6.9	1.4	**752.7**	750.7	748.6	71	38	66	E 0	SE 1	N 1	9	0	0	.	
6	1.0	12.4	6.2	6.5	0.8	741.3	735.2	736.8	88	44	34	W 1	E 1	NNE 2	10	4	0	.	●° p
7	**0.4**	7.8	3.0	3.7	−2.1	741.7	742.4	746.7	81	53	65	NNW 1	S 1	N 1	0	8	0	0.7	
8	0.8	11.0	5.0	5.6	−0.3	746.3	744.3	743.2	78	41	56	N 1	S 1	N 1	9	3	10	.	
9	1.8	13.0	7.8	7.5	1.4	740.5	737.2	737.6	71	40	60	NNW 1	ESE 1	N 1	0	5	10	.	
10	5.0	17.0	9.6	10.5	4.3	737.4	736.2	737.4	71	36	61	N 0	SSE 1	N 0	2	1	10	.	
11	8.0	14.6	7.2	9.9	3.6	738.6	737.9	738.0	63	44	70	ESE 0	S 1	N 1	10	0	0	.	
12	3.4	14.4	6.8	8.2	1.7	736.7	734.9	736.2	84	45	71	E 0	SSE 1	N 1	10	10	0	.	
13	3.0	13.8	7.8	8.2	1.6	737.1	736.6	738.3	85	42	57	N 1	S 1	NNE 1	10	5	9	.	
14	3.0	15.8	6.2	8.3	1.6	738.1	736.7	737.0	67	30	46	NNE 1	S 1	N 1	7	3	0	.	
15	1.6	14.6	7.2	7.8	0.9	737.8	736.5	737.3	66	40	52	N 1	S 1	N 1	1	0	0	.	
16	2.0	13.6	8.4	8.0	1.0	738.5	736.7	739.3	81	49	59	N 1	S 1	NNE 1	9	1	9	.	
17	5.2	15.8	7.8	9.6	2.5	739.6	738.7	738.6	82	48	57	N 1	S 1	NNE 1	9	1	1	.	
18	5.2	14.6	8.4	9.4	2.1	737.4	736.6	738.7	79	46	63	ESE 0	SSW 1	NNE 1	9	7	9	.	
19	3.2	15.6	7.8	8.9	1.5	740.2	739.4	740.2	79	43	60	N 1	S 1	N 1	0	5	0	.	
20	7.0	10.6	8.2	8.6	1.1	741.7	741.1	741.4	58	48	53	S 0	S 1	SW 1	10	8	10	.	
21	5.8	9.6	7.0	7.5	−0.2	741.7	741.7	742.0	64	43	57	SSW 1	S 1	N 1	10	10	10	.	
22	5.4	12.6	6.2	8.1	0.3	741.9	740.9	741.8	66	40	54	NNE 1	SSE 1	N 1	9	8	8	.	
23	4.8	13.4	6.4	8.2	0.3	742.4	741.2	741.4	73	37	54	NE 0	SE 1	N 1	6	9	0	.	
24	4.4	13.4	9.8	9.2	1.1	741.2	740.9	741.4	70	44	56	NNE 1	SSE 1	SW 1	6	10	10	0.1	
25	7.8	8.4	6.8	7.7	−0.5	740.6	740.7	741.2	84	99	99	NNW 1	NW 1	NW 0	10●	10●	10●	19.6	● n–n
26	6.6	7.8	6.4	6.9	−1.4	740.8	741.3	740.8	97	84	96	N 1	N 1	NW 1	10●	10●	10●	**28.0**	● n–n
27	6.6	10.2	10.0	8.9	0.4	739.6	738.8	738.8	98	78	88	NW 1	SE 0	NE 0	10	9	10	0.3	●° a, p
28	8.4	11.2	8.8	9.5	0.9	738.7	738.0	736.6	96	75	97	NE 1	SW 1	NE 1	10	10●	10●	16.2	● 16¼–n
29	8.0	16.0	11.2	11.7	3.0	734.0	**733.2**	735.7	97	**28**	56	NW 1	N 1	N 1	10	10	3	.	
30	7.0	16.8	10.0	11.3	2.4	737.8	737.8	739.4	79	41	76	N 1	S 1	N 1	3	1	1	.	
31	6.8	18.4	16.2	13.8	4.8	739.4	737.4	736.2	89	42	34	NE 1	SE 1	N 2	7	6	3	.	
																		Summe	
Mittel	5.1	13.5	8.3	9.0	—	740.8	740.1	739.4	77	47	62				7.0	5.4	5.1	68.2	

$\lambda = 7° 35'$, $\beta = 47° 33'$,
$H_b = 318$ m, $G = 0.11$ mm.

Basel

März 1943.
Beobachter: *Astronom.-Meteorol. Anstalt.*

Tag	Lufttemperatur 7³⁰	13³⁰	21³⁰	Mittel	Abweich. vom Normalst	Luftdruck 7³⁰	13³⁰	21³⁰	Relative Feuchtigkeit 7³⁰	13³⁰	21³⁰	Windrichtung und Stärke 7³⁰	13³⁰	21³⁰	Bewölkung 7³⁰	13³⁰	21³⁰	Niederschlag	Witterung
1	−0.9	11.7	6.7	5.8	3.3	**749.5**	749.0	748.7	96	47	73	ESE 1	NW 1	W 1	1	9	8	.	⌴ l
2	−0.3	12.2	4.7	5.5	2.9	748.0	744.8	743.0	96	51	81	ESE 0	WNW 1	SSW 0	2	8	0	.	⌴ l
3	1.4	8.0	7.2	5.5	2.8	741.6	740.5	739.8	98	72	66	WNW 1	NW 1	ENE 1	10≡	0	8	.	≡ 4–10½
4	3.0	11.2	5.6	6.6	3.8	740.0	739.5	740.1	59	37	75	E 2	ESE 1	S 0	7	1	8	.	
5	5.2	11.5	9.2	8.6	5.6	743.1	743.2	742.3	68	74	62	ESE 1	SSE 1	SSW 1	9	10	6	.	●° 6½, 12
6	4.5	5.8	2.8	4.4	1.3	741.0	739.3	739.5	90	73	91	WNW 1	NNW 1	NNE 1	10	10●	10	2.4	● 13–17
7	−1.3	5.8	2.5	2.3	−0.9	740.3	739.0	739.1	96	45	63	WNW 1	NNE 2	ENE 1	0	7	0	.	≡ 6¾–7¼, ⌴ l, ⸙ 14½, [15¾
8	−3.1	10.0	1.7	2.9	−0.4	738.2	736.2	735.3	96	39	80	WNW 0	NE 1	SSW 1	0	0	0	.	⌴ l
9	−2.2	10.1	2.7	3.5	0.0	734.6	734.3	734.6	98	49	74	E 1	NNE 1	SSW 1	0	0	0	.	⌴ l
10	−1.8	7.4	2.3	2.6	−1.0	734.6	733.3	732.6	98	64	87	SSW 0	N 1	SSW 1	0	0	0	.	⌴ l
11	−1.1	14.2	5.7	6.3	2.6	732.4	731.6	732.7	98	49	74	ESE 1	WSW 1	SSW 1	0	0	0	.	⌴ l
12	0.3	10.5	5.5	5.4	1.5	734.6	733.8	733.5	94	57	80	SSW 1	NW 1	WSW 1	4	3	1	.	⌴ l
13	1.7	9.5	5.2	5.5	1.5	734.1	733.0	732.2	96	55	75	WNW 1	NW 1	ENE 0	10	0	0	.	≡ 6¾–10½
14	−0.6	8.7	4.9	4.3	0.2	731.1	731.6	731.7	90	65	78	NE 0	NE 0	ESE 1	4	10	1	.	
15	0.9	14.8	5.1	6.9	2.7	732.5	732.2	733.4	98	42	83	E 1	E 0	SSW 1	10≡	4	1	.	≡ 6¾–8¾, ⌴° l
16	1.0	13.8	5.9	6.9	2.5	734.9	734.2	734.6	96	38	53	ENE 1	NNW 1	NE 0	1	0	0	.	⌴ l
17	−0.3	14.4	7.8	7.3	2.8	735.3	734.3	733.6	87	37	65	ENE 0	W 1	E 1	0	0	0	.	⌴ l
18	0.0	14.6	7.6	7.4	2.8	732.9	730.9	730.6	76	55	85	ESE 0	N 1	NNW 1	0	9	10	0.3	⌴ l, ⌣ III
19	5.8	11.4	6.6	7.9	3.2	733.5	734.2	735.3	90	48	90	E 1	NW 1	ESE 1	10●	10	8	1.4	● 3–12 zeitw., ⸙ ● 14–14½
20	3.3	12.7	7.1	7.7	2.8	735.3	734.4	734.6	92	83	87	ENE 1	S 1	E 1	9	7	10	1.3	● 20¾–21, ⊤ 14¼
21	4.4	8.2	4.6	5.7	0.7	733.8	734.0	735.4	96	60	77	ESE 1	E 1	E 1	6	10	0	0.7	● p zeitw.
22	1.0	12.5	7.0	6.8	1.7	735.3	734.4	734.1	86	**30**	58	E 1	ESE 1	E 1	8	3	2	0.4	⌴° l
23	6.2	**17.2**	8.9	10.8	5.5	734.0	732.8	731.7	96	60	77	E 1	WSW 1	ESE 1	8	7	0	.	● 1¾, 6
24	7.2	16.1	12.0	11.8	6.4	730.5	728.7	**728.4**	84	**30**	58	E 1	NNE 1	ESE 1	9	10	10	.	
25	8.7	12.3	9.0	10.0	4.5	728.9	730.2	730.3	74	67	96	NE 1	WNW 0	NNW 1	10	10	6	0.6	● 6¼–6¾, 20–23½ m.U.
26	8.0	15.3	11.6	11.6	6.0	731.3	732.1	731.7	89	65	73	SSE 1	SE 1	SSE 1	10	10	8	7.4	●° 11–13¼
27	9.2	15.1	9.4	11.2	5.4	732.7	733.0	734.0	95	59	69	SSE 1	WNW 2	SSE 1	10●	8	0	0.5	● 3¼–7½, 17–n
28	4.4	12.7	7.1	8.1	2.2	733.0	732.7	735.3	92	62	91	SE 0	WNW 1	N 1	10	10	10●	**9.5**	● n–1¾, 6–6½
29	5.3	9.2	4.9	6.5	0.5	737.5	737.4	738.0	86	62	79	N 1	NNW 1	SSE 1	10	10	0	.	●tr. 16
30	−0.5	14.6	9.1	7.7	1.5	738.5	736.9	737.8	99	39	73	E 1	WSW 1	WNW 1	8	2	9	.	≡ 6¾–9¾, ⌴ l
31	11.2	11.5	10.7	11.1	4.8	736.7	737.6	736.5	62	57	74	WNW 2	WSW 2	SW 2	9	10	10	.	●° 22¾, ⸙ 10½, 12¼–13½
																		Summe	
Mittel	2.6	11.7	6.5	6.9	—	736.1	735.5	735.5	89	54	76				6.0	5.7	4.1	24.5	

März 1943.
Beobachter: *Observatorium.*

Säntis

$\lambda = 9° 20'$, $\beta = 47° 15'$,
$H_b = 2500.1$ m, $G = -0.27$ mm.

Tag	Lufttemperatur 7³⁰	13³⁰	21³⁰	Mittel	Abweich. vom Normalst.	Luftdruck 7³⁰	13³⁰	21³⁰	Relative Feuchtigkeit 7³⁰	13³⁰	21³⁰	Windrichtung und Stärke 7³⁰	13³⁰	21³⁰	Bewölkung 7³⁰	13³⁰	21³⁰	Niederschlag	Witterung
1	-2.4	-1.7	-5.2	-3.1	5.3	572.1	572.2	571.7	59	64	28	NE 2	NNW 0	NW 3	3	7	10	.	✳
2	-2.2	1.0	-0.6	-0.6	7.7	570.6	571.3	570.1	72	73	98	NE 4	NE 3	N 2	9	9	1	.	✳ ↙ I
3	-0.6	1.0	-1.4	-0.3	8.0	567.1	566.5	565.9	96	14	31	NW 3	N 1	ENE 2	2	1	4	.	✳
4	-0.8	0.7	-1.0	-0.4	7.8	565.8	566.3	567.5	58	71	68	SE 3	SSE 1	WSW 3	6	2	0	.	✳
5	-3.0	-1.0	-3.8	-2.6	5.5	568.7	568.8	567.5	82	69	100	NW 0	SSW 0	W 2	10	2	10≡	8.0	✳ ≡ 15-n
6	-5.4	-9.8	-12.2	-9.1	-1.0	563.0	560.3	560.0	100	100	100	NW 2	N 2	NE 2	10≡*	10≡*	10≡*	21.5	✳ n-n m.U., ≡ n-n, ⋁ (16½) ✳
7	-13.6	-11.8	-9.4	-11.6	-3.6	560.3	560.5	562.1	88	82	41	ENE 2	E 2	SE 4	10≡	5	0	.	≡ n-8¼, 11½-15, ✢ 14- ✳
8	-4.8	-2.8	-5.8	-4.5	3.4	562.3	562.4	561.5	47	44	58	SSE 3	SSW 2	SW 3	0	0	0	.	[n, ↙ III ✳
9	-4.6	-3.2	-5.3	-4.4	3.5	560.0	560.1	560.3	50	45	68	W 1	SE 1	E 2	1	1	0	.	✳
10	-3.6	-2.8	-3.2	-3.2	4.6	559.9	559.9	560.0	59	54	58	E 1	SE 2	SE 2	1	1	0	.	✳
11	-2.0	-1.0	-3.1	-2.0	5.7	559.5	559.9	560.7	36	28	65	NE 2	ESE 1	W 1	0	1	0	.	✳
12	-4.2	-3.0	-4.1	-3.8	3.9	560.4	560.3	560.0	61	54	52	NE 2	ENE 3	E 2	1	3	1	.	≡ 17-18¼ ✳
13	-3.4	-3.2	-6.2	-4.3	3.3	558.9	558.6	558.3	25	12	100	ENE 3	NE 1	SSE 2	2	2	10≡	.	≡ 17-17¾, 19-n ✳
14	-5.3	-2.8	-5.8	-4.6	2.9	557.8	558.2	558.9	36	43	63	N 1	SW 2	SW 1	1	2	2	.	✳
15	-6.2	-2.8	-6.2	-5.1	2.4	558.8	559.1	559.8	71	62	63	S 1	SSW 1	NNE 2	1	8	9	.	✳
16	-6.4	-5.0	-5.8	-5.7	1.7	560.2	560.0	561.1	98	92	83	ENE 2	ENE 1	ENE 2	10≡	7	1	.	≡ n-8¼, 12-16 ✳
17	-4.3	-2.4	-5.1	-3.9	3.4	560.7	561.1	560.7	38	42	68	NE 2	SSE 1	SW 1	0	1	0	.	✳
18	-6.0	-4.0	-6.1	-5.4	1.9	558.4	558.1	558.7	100	98	98	W 2	W 2	SW 3	10≡	10≡	3	.	≡ 7-17½ ✳
19	-5.4	-1.4	-5.8	-4.2	3.0	560.1	561.3	562.1	58	51	92	SW 1	WSW 2	SW 2	5	9	5	.	✳ fl. 12½-13, ≡ n (19./20.) ✳
20	-6.1	-3.2	-6.2	-5.2	1.9	561.4	561.2	560.6	84	61	90	S 0	SW 1	W 2	3	9	10	9.8	✳ 13-14½, ≡ 18¼-20, T 16¾ ✳
21	-7.4	-5.6	-8.6	-7.2	-0.1	559.6	560.2	560.5	96	93	96	NNW 2	W 2	WNW 2	10≡	10≡	10≡	17.4	✳ ||| n-n m.U. ✳
22	-7.2	-5.2	-7.3	-6.6	0.4	560.1	560.6	560.7	90	72	66	SW 2	SSW 2	S 2	1	5	0	.	✳
23	-5.6	-2.7	-5.2	-4.5	2.4	560.5	560.6	560.0	59	62	54	SW 2	SSW 2	SE 3	5	1	1	.	✳
24	-0.6	0.2	-0.5	-0.3	6.6	559.5	559.8	560.0	52	47	60	SW 2	S 2	SW 3	6	3	10	.	✳
25	-1.3	0.6	-1.5	-0.7	6.1	559.2	560.0	560.0	62	64	70	WSW 4	WSW 4	SW 4	10	10	10	.	✳
26	-0.8	0.6	-1.2	-0.5	0.2	560.5	561.0	561.2	73	79	74	WSW 3	SW 3	W 2	9	10	10	0.1	✳ 9, 11¼-13 m.U., ✳ fl. III ✳
27	-2.9	-2.3	-2.2	-2.5	2.2	560.5	560.8	562.1	100	97	100	W 3	W 4	W 3	10	10≡	10≡	10.0	✳ 7-n m.U., ≡ n-n m.U., ⋀ p. ✳
28	-2.8	-0.4	-3.2	-2.1	2.5	560.7	560.5	560.3	100	65	100	SW 2	SW 3	SW 2	6	10	10≡	4.9	✳ 20½-n, ≡ 18¼-n [↙ p. ✳
29	-8.2	-6.8	-9.0	-8.0	-1.5	560.0	560.6	561.4	99	98	97	N 3	N 2	NNE 2	10≡	10≡	10≡	1.9	✳ 7-7¾, 14-20, ≡ n-22, ⋀ I ✳
30	-8.2	-3.8	-6.2	-6.1	0.4	561.5	562.3	563.2	10	4	98	N 2	W 3	WNW 3	1	1	10	.	↙ (16½) ✳
31	-4.8	-3.2	-4.3	-4.1	2.3	561.9	562.1	560.7	96	100	100	W 5	W 4	WNW 5	10≡	10≡	10≡*	15.3	✳ 20-n, ≡ ↙ n-n, ⋁ (10½) ✳
																		Summe	
Mittel	-4.5	-2.8	-4.9	-4.1	—	561.6	561.8	561.9	70	63	75				5.3	5.5	5.4	88.9	

März 1943.
Beobachter: Frl. *F. Lombardi.*

St. Gotthard (Hospiz)

$\lambda = 8° 34'$, $\beta = 46° 33'$,
$H_b = 2095.7$ m, $G = -0.25$ mm.

Tag	Lufttemperatur 7³⁰	13³⁰	21³⁰	Mittel	Abweich. vom Normalst.	Luftdruck 7³⁰	13³⁰	21³⁰	Relative Feuchtigkeit 7³⁰	13³⁰	21³⁰	Windrichtung und Stärke 7³⁰	13³⁰	21³⁰	Bewölkung 7³⁰	13³⁰	21³⁰	Niederschlag	Witterung
1	-5.2	-1.6	-3.8	-3.5	3.0	601.9	601.4	600.5	24	21	30	NW 2	NW 2	W 2	1	0	0	.	✳
2	-2.6	4.0	1.6	1.0	7.4	600.2	600.4	599.3	33	29	36	NW 2	W 1	W 1	4	5	0	.	✳
3	0.7	3.4	0.0	1.4	7.8	595.8	595.6	594.7	48	44	74	NW 3	N 1	NE 1	0	0	3	.	✳
4	-1.0	-1.6	-5.0	-2.5	3.8	596.4	597.2	598.8	100	100	100	S 0	S 0	S 1	10≡	10≡	10≡	0.5	≡ n-n ✳
5	-7.0	-2.2	-4.0	-4.4	1.9	598.9	598.5	597.7	100	65	75	S 0	S 0	S 0	8	0	0	7.8	⋁ I ✳
6	-4.0	-4.0	-8.2	-5.4	0.8	592.6	588.7	589.8	100	100	91	NE 2	NE 3	NE 2	10≡	10≡	10≡	9.2	≡ n-n, ↙ zeitw. ✳
7	-12.0	-6.8	-8.8	-9.2	-3.1	590.7	590.6	593.7	48	23	51	N 0	S 1	S 2	0	5	5	1.0	✢ zeitw. ✳
8	-6.6	-3.8	-5.2	-5.2	0.9	593.6	593.0	592.5	14	22	21	SE 1	SE 1	SE 1	0	8	8	.	✳
9	-6.0	-0.4	-6.0	-4.1	1.9	588.8	589.8	589.5	27	22	23	SE 1	S 1	S 1	0	0	0	.	✳
10	-3.4	1.6	-3.3	-1.7	4.3	589.5	589.4	589.6	40	25	47	NW 1	S 1	S 1	5	8	0	.	✳
11	-4.0	1.2	-3.0	-1.9	4.0	589.4	589.7	589.9	70	40	40	S 1	S 1	S 1	5	5	0	.	✳
12	-3.0	0.8	-3.0	-1.7	4.1	589.5	589.1	589.4	22	26	23	N 1	N 1	N 1	0	5	0	.	✳
13	-5.8	0.2	-4.8	-3.5	2.3	588.2	588.1	588.7	31	55	100	SW 0	SW 0	NW 1	2	2	10≡	10.4	≡ 20-n ✳
14	-5.2	-3.0	-6.0	-4.7	1.0	588.4	588.6	589.0	40	22	27	SE 1	S 0	S 0	0	0	0	.	✳
15	-4.2	0.8	-4.0	-2.5	3.2	588.6	588.6	589.1	25	20	75	S 1	S 0	S 0	0	0	0	.	≡ 18¾-19½ ✳
16	-6.4	0.6	-2.2	-2.7	2.9	589.4	589.9	590.3	52	24	75	N 1	W 0	SE 0	1	5	10	.	✳
17	-5.2	-0.5	-2.5	-2.7	2.8	590.5	591.8	591.9	53	50	50	S 0	S 0	S 0	0	2	0	.	✳
18	-3.0	-1.0	-4.2	-2.7	2.8	588.6	588.5	589.3	30	30	92	S 0	S 1	S 1	0	10	10≡	9.5	✳ 11¼-n zeitw., ≡ 17-n ✳
19	-5.0	-0.5	-2.0	-2.5	2.9	590.6	591.2	591.9	90	25	30	S 1	S 1	S 1	10	10	0	.	✳
20	-3.0	1.0	-6.0	-2.7	2.7	591.5	590.8	590.8	30	30	65	S 1	S 1	S 1	0	10	10≡	3.8	≡ 20½-n ✳
21	-7.0	-5.0	-7.0	-6.3	-1.0	590.3	590.7	590.7	70	90	92	S 1	S 1	S 1	10*	10*≡	10*≡	7.5	✳ ≡ ✢ n n ✳
22	-7.0	-5.0	-5.5	-5.8	-0.6	590.8	591.4	591.6	90	90	70	S 1	S 1	S 1	10*	10*≡	10≡	3.2	✳ ≡ ✢ n-n ✳
23	-6.0	-4.0	-4.5	-4.8	0.4	591.6	591.7	591.8	70	75	85	S 1	S 1	S 1	10*	10*	10≡	2.5	✳ ✢ n-13¾, ≡ 17-n ✳
24	-5.0	-3.0	-3.5	-3.8	1.3	591.8	591.9	591.3	55	55	96	S 1	S 1	S 1	10	10	10≡	.	≡ 16½-n ✳
25	-4.0	-3.0	-3.6	-3.5	1.6	590.8	590.7	591.0	100	100	100	S 2	S 2	S 2	10≡	10*≡	10*≡	2.6	✳ ✢ 10¼-n ztw., ≡ n-n ✳
26	-2.5	-2.0	-2.0	-2.2	2.8	592.1	591.4	591.2	100	100	100	S 1	S 1	S 1	10≡	10*≡	10*≡	7.2	✳° 9 n zeitw., ≡ n-n ✳
27	-2.0	1.0	-1.0	-0.7	4.2	590.9	591.4	591.0	100	75	92	S 1	S 1	S 1	10*≡	10≡	10≡	0.3	✳° n-8½, ≡ n-n ✳
28	-1.0	-0.5	-5.0	-2.2	2.7	590.8	590.3	590.0	95	100	100	S 1	S 1	N 1	10≡	10*≡	10*≡	10.5	✳° 6¼-n, ≡ n-n ✳
29	-5.5	-5.0	-6.5	-5.7	-0.9	589.7	589.8	591.1	100	100	90	N 3	N 3	N 3	10≡	10≡	10*≡	8.5	✳ ≡ ↙ n n ✳
30	-7.0	-3.0	-4.0	-4.7	0.1	591.6	592.3	592.5	90	90	90	N 3	N 1	N 1	10≡	0	0	.	≡ ✢ ↙ n-8¾ ✳
31	-4.0	5.0	-3.0	-0.7	4.0	592.6	592.3	592.1	70	25	70	N 1	N 0	N 0	10	10	10*≡	0.7	✳° ≡ 20-n ✳
																		Summe	
Mittel	-4.6	-1.2	-4.1	-3.3	—	591.8	591.8	592.0	62	54	68				5.4	6.3	5.7	85.2	

$\lambda = 7° 26'$, $\beta = 46° 57'$
$H_b = 572.2$ m, $G = 0.00$ mm.

Bern

April 1943.
Beobachter: *Tellur. Observatorium.*

Tag	Lufttemperatur 7³⁰	13³⁰	21³⁰	Mittel	Abweich. vom Normalst	Luftdruck 7³⁰	13³⁰	21³⁰	Relative Feuchtigkeit 7³⁰	13³⁰	21³⁰	Windrichtung und Stärke 7³⁰	13³⁰	21³⁰	Bewölkung 7³⁰	13³⁰	21³⁰	Niederschlag	Witterung
1	10.1	12.2	9.1	10.5	4.8	714.1	714.0	714.6	84	75	93	WSW 2	WSW 3	WSW 2	10	9	10	3.3	● n-n m.U.
2	4.7	6.4	3.8	5.0	−0.8	716.7	718.5	720.2	97	78	95	NE 0	SE 1	SE 0	10	10	4	1.1	● n-12½ m.U., 17¼
3	−0.1	8.9	5.2	4.7	−1.3	720.6	720.2	720.4	100	45	77	S 0	N 1	E 1	5≡	9	0	.	≡ n-8½, ⌣ l
4	2.0	12.1	7.4	7.2	1.1	719.0	718.5	717.9	96	50	87	E 0	NE 2	NE 0	0	1	0	.	⌊ l
5	4.0	16.6	12.9	11.2	4.9	717.9	715.9	713.3	93	47	54	S 0	W 2	WSW 1	1	1	0	.	⌊ l
6	12.5	8.8	5.4	8.9	2.5	709.6	711.3	713.9	60	77	54	WSW 2	WNW 3	NW 1	9	10●	10	0.2	●°sch. 13½
7	2.7	5.6	3.2	3.8	−2.8	714.7	711.2	**707.4**	90	60	100	WSW 2	WSW 3	WSW 2	10	10●	10●	5.3	● 5½-22½ zeitw.
8	0.2	2.9	0.1	1.1	−5.6	710.2	712.2	715.8	93	69	95	W 2	NE 1	S 0	10*	7	8	0.9	✳ n-18½ zeitw.
9	**−0.3**	1.9	2.0	1.2	−5.7	714.0	715.3	717.0	100	90	94	SW 2	SW 1	SE 1	10≡*	10*	9	0.3	✳ 6¼-14, ●tr. p, ≡ n-8 ⊠
10	1.5	10.1	6.5	6.0	−1.0	717.5	716.7	716.5	87	55	88	SE 1	NE 1	SE 0	1	3	0	.	⌣ l, ⊎ 23½
11	3.5	10.7	7.5	7.2	0.0	718.6	719.0	720.1	95	59	79	S 0	N 1	SW 0	10	10	10	.	
12	5.1	12.7	8.3	8.7	1.3	720.2	718.8	718.0	89	45	72	SE 1	NE 1	NE 0	8	8	0	.	
13	3.8	13.9	10.9	9.5	2.0	717.8	717.7	718.4	94	55	61	SW 0	NE 1	NE 0	0	0	0	.	⌓ l
14	5.9	16.2	10.8	11.0	3.3	720.3	719.5	718.9	92	41	72	SE 0	W 1	SE 1	1	2	0	.	⌓ l
15	7.1	17.4	11.6	12.0	4.1	720.5	719.4	718.9	87	39	65	S 0	N 1	SE 0	1	3	1	.	⌓ l
16	7.8	18.2	11.8	12.6	4.5	720.1	718.7	718.6	86	43	70	S 0	NE 2	S 0	0	2	5	.	⌓ l, ⊎ III
17	8.6	18.7	13.5	13.6	5.3	719.1	717.3	716.3	89	46	67	S 0	N 1	S 0	5	2	3	.	⊕ l
18	9.1	18.9	14.1	14.0	5.5	716.1	714.1	711.9	88	44	74	S 0	NE 0	S 1	3	3	0	.	
19	10.4	**20.7**	15.6	15.6	7.0	711.9	710.4	710.8	89	47	62	S 0	WNW 2	S 1	7	8	10	3.5	●° 21½
20	11.0	12.5	9.0	10.8	2.0	713.6	715.3	715.1	100	94	100	WSW 2	NW 0	NE 1	10●	10	3	2.4	● 2¼-13¼, ●° p zeitw.
21	7.3	11.8	10.2	9.8	0.8	711.9	709.8	708.2	95	76	93	NNE 2	NE 1	W 0	10	10	9	0.9	● 10¾-11¼, ⌓ l
22	11.5	19.1	16.2	15.6	6.5	710.0	710.6	712.5	92	50	71	SE 0	WSW 1	SW 0	9	2	6	.	● 3½-6¼ m.U.
23	11.5	20.2	15.4	15.7	6.4	713.3	712.9	712.2	81	45	73	S 0	W 2	W 0	5	5	2	6.7	
24	12.1	9.7	8.2	10.0	0.6	714.9	719.0	721.6	96	72	77	SW 0	WSW 2	SW 0	9	10	3	**10.2**	● 4½-6½, 8¾-12½
25	5.6	16.4	12.0	11.3	1.7	**721.9**	720.0	718.0	89	**36**	83	S 0	S 1	S 0	9	4	0	.	⌓ l
26	13.9	14.5	10.9	13.1	3.4	716.8	717.5	719.7	66	69	69	NW 1	W 3	W 1	6	10	6	0.0	●tr. 13
27	9.1	15.0	11.0	11.7	1.8	720.1	717.8	716.5	80	44	63	E 0	SW 1	N 0	1	2	8	.	⌓ l
28	7.1	15.0	11.0	11.0	1.0	716.1	714.4	713.6	85	39	58	S 0	NW 2	NE 0	0	9	10	1.0	⌓ l
29	7.4	9.0	6.5	7.6	−2.6	713.3	714.3	715.0	100	80	90	SW 0	W 1	S 0	10●	10	1	7.0	● 0½-12¾ m.U., ▲△ 11¾
30	6.5	14.5	10.4	10.5	0.2	714.9	712.5	711.7	83	43	69	SE 1	WSW 1	NE 0	8	6	3	.	⌓ l
Mittel	6.7	13.0	9.4	9.7	—	716.2	715.8	715.8	89	57	77				5.9	6.2	4.4	Summe 42.8	

$\lambda = 6° 57'$, $\beta = 47° 0'$,
$H_b = 487.3$ m, $G = 0.02$ mm.

Neuchâtel

April 1943.
Beobachter: *Observatorium.*

Tag	7³⁰	13³⁰	21³⁰	Mittel	Abweich.	7³⁰	13³⁰	21³⁰	7³⁰	13³⁰	21³⁰	7³⁰	13³⁰	21³⁰	7³⁰	13³⁰	21³⁰	Niederschlag	Witterung
1	8.5	9.9	8.6	9.0	2.5	722.8	722.2	722.8	93	91	96	SW 3	SW 3	W 1	10●	10●	10●	8.5	● n-n
2	6.2	8.0	4.3	6.2	−0.5	724.5	726.1	727.9	93	56	82	W 0	N 1	NE 0	9	10	5	.	
3	2.2	11.2	7.6	7.0	0.2	728.5	727.8	728.0	91	47	68	NE 1	SE 1	NE 1	0	8	1	.	●tr. p, ⌣ l
4	3.7	14.9	11.2	9.9	3.0	726.8	726.5	725.5	93	54	60	NE 1	E 1	NE 1	1	1	0	.	
5	4.3	17.6	13.6	11.8	4.7	725.7	723.6	718.8	95	48	54	NE 1	SW 2	SW 2	0	0	0	.	
6	11.6	9.8	6.6	9.3	2.1	717.3	719.3	721.9	59	66	51	W 3	SW 2	SW 1	9	8	9	0.3	●°sch. 12½
7	4.0	5.8	3.7	4.5	−2.9	722.6	719.5	**714.0**	77	57	95	SW 1	SW 3	SW 2	10	10	10●	7.4	●tr. a, ● 17-n, △sch. 8¾, [T 20½
8	1.1	5.2	1.1	2.5	−5.0	718.3	720.1	723.7	89	64	85	SW 1	SE 2	W 1	10△	3	5	3.2	✳ △ n-e zeitw.
9	**0.4**	1.5	2.4	1.4	−6.3	721.8	723.4	724.8	98	89	93	W 2	SW 3	SW 0	10*	10*	10	1.6	✳ n-14 m.U.
10	2.7	11.9	8.0	7.5	−0.3	725.3	724.4	724.2	89	58	73	E 1	SE 1	NE 1	0	1	0	.	⊕ 13½
11	5.0	11.3	8.9	8.4	0.4	726.3	726.8	727.8	92	47	65	N 0	N 2	NE 1	10	9	10	.	
12	4.7	15.5	9.9	10.0	1.9	728.0	726.4	725.6	86	51	65	E 0	SE 1	NE 2	4	7	0	.	
13	5.8	16.3	13.0	11.7	3.4	725.6	725.5	726.2	90	52	51	E 1	E 1	NE 2	0	0	0	.	
14	6.6	18.5	10.9	12.0	3.6	728.1	727.2	726.5	87	51	60	SE 0	SW 1	NW 1	0	1	1	.	
15	7.6	19.3	12.7	13.2	4.6	728.2	727.1	726.1	87	43	54	SE 1	SW 1	W 1	0	0	0	.	
16	7.9	20.1	13.3	13.8	5.0	727.7	726.6	726.0	83	43	65	NE 1	SW 1	E 0	0	2	7	.	
17	9.1	19.1	13.2	13.8	4.9	726.9	725.3	723.7	84	43	60	W 0	S 1	NW 0	7	0	1	.	
18	9.2	20.7	13.6	14.5	5.4	723.8	721.7	719.2	84	39	68	NE 0	SW 1	NW 0	1	0	0	.	
19	10.2	**21.8**	16.4	16.1	6.9	719.3	717.7	718.1	85	**37**	57	N 0	SW 3	SW 1	3	1	5	2.5	
20	10.9	11.3	10.5	10.9	1.5	720.9	722.9	722.6	95	90	81	W 0	SW 1	NE 2	10●	10	1	8.2	● n-12
21	8.6	10.9	10.9	10.1	0.5	719.7	717.6	715.6	88	83	89	E 3	NE 1	SW 1	10	10	10	1.9	● 11¼-13
22	10.2	21.3	17.2	16.2	6.5	717.5	718.1	719.5	97	56	64	NE 0	SE 1	NW 1	9	1	7	.	
23	10.0	21.0	15.6	15.5	5.6	721.0	720.4	719.5	96	50	75	NE 0	S 1	W 0	3	2	8	6.2	
24	12.0	12.0	9.9	11.3	1.3	722.3	726.7	729.3	90	55	65	SW 2	SW 2	NW 2	10	9	2	3.2	● n-a
25	6.4	18.3	11.0	12.1	1.9	**729.8**	727.9	725.5	90	47	77	NE 0	S 1	S 0	6	1	0	.	
26	14.5	14.0	11.2	13.2	2.8	724.2	725.1	727.2	59	61	65	SW 2	NW 4	SW 1	4	8	2	.	●tr. 18½
27	8.7	17.1	11.8	12.5	2.0	727.8	725.5	724.1	71	45	44	E 1	SW 1	NE 0	0	0	2	.	
28	7.6	17.2	12.6	12.5	1.8	723.7	721.9	721.1	79	40	47	E 1	SW 1	SW 1	0	7	10	0.6	
29	8.3	12.3	7.7	9.4	−1.4	721.2	721.8	722.6	89	53	71	SW 0	NW 2	N 1	10	8	3	0.7	● n, 10¾
30	5.8	16.0	12.3	11.4	0.4	722.9	720.4	719.0	87	38	60	SE 1	S 1	NE 1	8	3	1	.	
Mittel	7.1	14.3	10.3	10.6	—	724.0	723.5	723.2	87	55	68				5.1	4.7	4.0	Summe 44.3	

April 1943.
Beobachter: Frl. *H. Nager.*

Altdorf

$\lambda = 8° 39'$, $\beta = 46° 53'$,
$H_b = 456.3$ m, $G = -0.05$ mm.

Tag	Lufttemperatur 7³⁰	13³⁰	21³⁰	Mittel	Abweich. vom Normalst.	Luftdruck 7³⁰	13³⁰	21³⁰	Relative Feuchtigkeit 7³⁰	13³⁰	21³⁰	Windrichtung und Stärke 7³⁰	13³⁰	21³⁰	Bewölkung 7³⁰	13³⁰	21³⁰	Niederschlag	Witterung
1	8.3	10.7	13.1	10.7	3.7	722.5	722.3	721.2	97	89	46	E 0	SW 0	NW 2-3	10●	10●	10●	32.2	● n-n
2	3.3	6.3	5.3	5.0	−2.1	726.9	728.1	730.5	97	70	79	E 0-1	W 0	NW 0	10●	10	10	1.5	● I
3	1.7	7.7	5.5	5.0	−2.3	731.1	730.3	731.2	96	52	89	N 0	N 0-1	NW 0	0	10	9	.	
4	2.4	10.7	7.5	6.9	−0.5	729.4	728.9	728.7	93	51	72	E 0	NW 0	SE 0-1	0	0	0	.	
5	3.7	14.5	7.8	8.7	1.2	727.9	725.4	723.2	84	36	67	SW 0	NW 0-1	NW 0	0	0	0	.	
6	8.9	13.5	7.5	10.0	2.3	718.4	718.3	722.9	65	43	36	NW 0	NW 1	NW 2	6	8	10	6.1	● zeitw.
7	5.4	7.7	4.7	5.9	−1.9	723.1	720.1	713.2	48	57	49	N 2-3	S 0	SW 3-4	10	10	10	10.8	
8	1.9	3.4	1.7	2.3	−5.6	718.0	721.1	725.2	57	45	65	N 2	N 1-2	NW 1	10	8	10*	6.9	✳ n-n m.U. ⊠
9	0.5	4.1	2.2	2.3	−5.8	723.3	724.3	728.0	97	80	94	NW 0	SE 0	E 0	10*	10	9	3.1	✳ a ⊠
10	2.7	10.0	5.5	6.1	−2.1	728.0	726.8	726.9	83	36	76	E 0	NW 0	SE 0	10	2	0	.	
11	4.5	8.0	6.5	6.3	−2.1	728.9	729.4	730.2	85	70	93	S 0	N 0	NW 0	10	10	10	.	
12	5.9	12.7	7.3	8.6	0.1	730.7	729.0	728.9	95	40	73	N 0	NW 0	E 0	10	10	4	.	
13	3.7	12.7	9.8	8.7	0.1	728.0	728.1	729.2	91	47	55	NE 0	NW 0	SE 0-1	0	2	0	.	
14	5.5	15.4	10.3	10.4	1.6	730.3	729.2	729.6	87	41	53	E 0	NW 0	SE 0	0	0	0	.	
15	9.5	17.5	11.1	12.7	3.8	730.1	729.0	729.4	53	35	52	E 0	NW 0-1	SE 0	0	3	0	.	
16	8.6	17.4	12.3	12.8	3.7	729.9	728.4	729.0	61	43	55	SE 0	NW 0-1	S 0	0	0	0	.	
17	9.0	18.2	13.4	13.5	4.3	729.3	726.9	726.6	73	44	55	SE 0	NW 0	SE 0	3	2	5	.	
18	9.5	19.1	14.8	14.5	5.1	725.8	723.1	721.9	76	42	50	SE 0	N 0	SE 0	2	0	0	.	
19	10.9	23.8	14.3	16.3	6.8	721.4	719.4	721.3	74	29	69	SE 0	S 1-2	SE 0-1	4	6	7	0.0	● 19½
20	12.6	13.5	10.8	12.3	2.7	723.4	725.5	726.0	73	75	95	NW 0	NW 0	NW 0	10	10●	8	3.7	
21	9.2	19.4	17.4	15.3	5.5	721.9	720.1	718.2	90	30	32	N 0	SE 1	SE 0-1	5	9	9	.	
22	14.6	22.7	17.8	18.4	8.5	719.4	720.3	723.0	42	27	32	NW 0-1	SE 1-2	SE 1	3	3	0	.	
23	17.8	23.5	19.4	20.2	10.1	723.4	722.9	722.2	30	27	32	S 2	SE 2-3	S 3-4	5	4	3	.	
24	14.7	9.8	9.7	11.4	1.2	724.3	729.0	732.6	70	87	90	NW 0-1	NW 1	NW 0	8	10●	10	2.3	
25	7.3	15.5	10.9	11.2	0.9	731.9	730.1	728.2	88	42	72	N 0	NW 0-1	NE 0	6	2	0	.	
26	9.1	18.5	11.2	12.9	2.4	726.4	725.2	729.1	86	45	84	NE 0	NW 1	NW 0	7	9	10●	2.1	● 14¼-n
27	10.9	15.4	11.2	12.5	1.9	730.2	727.2	726.8	58	44	71	W 0	NW 1	NW 0	7	3	5	.	
28	8.7	15.2	11.8	11.9	1.2	726.2	723.6	723.8	76	42	46	N 0	NW 1	NW 1-2	7	7	10●	4.4	● III
29	8.2	8.2	5.0	7.1	−3.8	723.2	723.8	725.7	93	75	96	N 0	NW 1	NW 0	10●	10●	0	3.7	● I, II
30	5.7	15.7	10.5	10.6	−0.4	725.4	722.0	723.8	93	30	56	N 0	NW 1	E 0	7	3	3	.	
Mittel	7.5	13.7	9.9	10.4	—	726.0	725.3	725.9	77	49	65				5.7	5.7	5.1	Summe 76.8	

April 1943.
Beobachter: *Observatorium.*

Genf

$\lambda = 6° 9'$, $\beta = 46° 12'$,
$H_b = 405.0$ m, $G = -0.03$ mm.

1	9.6	14.7	10.6	11.6	4.6	732.1	731.2	731.3	67	68	93	NE 0	SSW 1	SE 1	10●	10	10	3.0	● a, 18¾-n
2	8.4	10.8	7.3	8.8	1.7	732.5	732.8	734.9	88	57	67	NE 0	NE 1	NE 1	10	9	0	.	●°sch. 7¾
3	3.0	11.4	8.8	7.7	0.4	735.5	734.4	734.2	83	48	68	E 0	NNE 2	NE 1	0	0	0	.	
4	5.7	12.4	9.2	9.1	1.7	733.7	733.3	732.6	83	57	81	E 0	NNE 1	NE 0	0	0	0	.	
5	4.6	15.2	14.2	11.3	3.7	733.0	730.7	728.7	90	58	59	E 0	NE 0	SE 1	0	0	0	.	△ I
6	12.0	12.3	8.3	10.9	3.2	726.1	727.6	729.9	67	69	53	S 0	SW 1	NE 1	8	9	7	.	●tr. 13¾
7	5.5	9.1	6.4	7.0	−0.8	731.2	728.3	722.1	68	54	82	E 0	NW 1	SW 1	9	10	10●	6.1	● 17-n, ✳ n
8	2.4	5.1	2.0	3.2	−4.8	726.8	728.1	731.6	86	54	85	E 0	NE 1	E 0	9	9	9	0.1	△sch. 11½, ✳sch. p
9	0.6	3.5	4.0	2.7	−5.4	730.7	731.5	731.9	92	80	83	E 0	E 0	NE 0	10*	10	10	0.6	✳ a
10	1.7	10.3	7.6	6.5	−1.8	732.9	731.4	731.5	93	65	80	E 0	NE 1	ENE 0	7	1	0	.	⊔ I
11	5.3	12.2	8.6	8.7	0.3	733.3	733.8	734.7	84	63	76	E 0	NNE 1	NE 0	9	9	3	.	
12	5.6	13.6	9.8	9.7	1.2	735.1	733.3	732.1	84	54	75	ESE 0	NNE 1	NE 0	1	1	0	.	
13	5.7	13.3	10.5	9.8	1.1	733.0	732.4	733.1	86	62	78	E 0	NNE 1	E 0	0	1	0	.	
14	7.3	14.3	11.6	11.1	2.3	735.3	734.2	733.6	84	62	67	E 0	NNE 1	E 0	0	1	0	.	
15	8.3	15.9	12.8	12.3	3.3	735.4	733.9	733.5	79	58	66	E 0	NNE 1	E 0	0	1	0	.	
16	9.2	17.7	13.2	13.4	4.3	734.7	734.0	733.2	76	48	68	E 0	NE 1	E 0	0	9	6	.	
17	9.2	18.2	14.2	13.9	4.6	734.1	732.3	731.1	82	51	64	E 0	NNE 1	E 0	5	0	0	.	
18	9.6	18.0	14.4	14.0	4.6	730.5	728.6	726.2	76	51	72	E 0	NE 1	ENE 0	1	1	0	.	
19	11.8	23.1	17.2	17.4	7.8	726.5	725.1	725.9	75	44	62	E 0	SSW 1	SSW 1	7	6	10	8.0	
20	11.2	14.0	11.7	12.3	2.5	728.7	729.7	728.6	95	84	82	E 0	NE 0	NNE 1	10●	8	1	3.7	● n-a
21	9.4	11.6	10.6	10.5	0.6	726.5	723.5	723.0	87	84	95	NNE 1	NNE 1	ENE 0	10●	9	10●	3.0	● 7½-a, 19¾-n
22	10.8	21.9	16.2	16.3	6.2	724.9	725.0	727.0	95	53	71	ENE 0	SSW 1	ESE 1	3	3	1	.	
23	12.0	21.7	15.3	16.3	6.1	727.7	727.2	727.6	84	52	90	E 0	SW 1	SSE 1	4	7	10●	9.3	● 20¼-n
24	14.2	14.0	10.2	12.8	2.4	730.3	734.1	735.3	78	59	62	SSW 1	SSW 2	E 0	10●	9	0	0.8	● a m.U.
25	6.2	14.4	12.2	10.9	0.4	737.2	735.2	733.0	79	59	63	ESE 0	NNE 1	NE 0	5	3	0	.	
26	15.9	16.0	13.2	15.0	4.3	732.2	733.3	734.6	61	68	62	SSE 1	W 1	NE 0	7	8	0	.	
27	8.4	15.4	12.4	12.1	1.3	735.0	732.7	731.2	81	54	65	NE 0	NNE 1	ENE 0	0	1	1	.	
28	9.8	16.0	13.6	13.1	2.1	730.9	728.9	727.8	74	50	60	E 0	NNE 1	NE 1	0	1	10	.	
29	10.5	13.2	9.4	11.0	−0.1	728.5	729.0	729.4	72	66	77	NE 0	NNE 1	E 0	10	9	0	.	●°sch. a
30	7.0	15.0	12.1	11.4	0.1	729.7	727.0	726.0	79	53	73	E 0	NNE 1	E 0	3	2	0	.	
Mittel	8.0	14.1	10.9	11.0	—	731.5	730.8	730.5	81	60	73				4.9	4.9	3.3	Summe 34.6	

$\lambda = 8° 33'$, $\beta = 47° 23'$, $H_b = 493.2$ m, $G = 0.03$ mm.

Zürich

April 1943.
Beobachter: *Meteorol. Zentralanstalt.*

Tag	Lufttemperatur 7³⁰	13³⁰	21³⁰	Mittel	Abweich. vom Normalst.	Luftdruck 7³⁰	13³⁰	21³⁰	Relative Feuchtigkeit 7³⁰	13³⁰	21³⁰	Windrichtung und Stärke 7³⁰	13³⁰	21³⁰	Bewölkung 7³⁰	13³⁰	21³⁰	Niederschlag	Witterung
1	10.8	11.3	10.0	10.7	4.3	719.1	719.0	719.2	79	79	88	SSW 4	WSW 2	WSW 2	10●	10●	10●	8.8	● n-1½, 7½-n ztw., ⸙ n-a
2	4.7	7.2	4.4	5.4	-1.2	723.6	725.0	727.0	84	64	81	W 1	NW 1	SE 1	10	9	4	1.6	● n-3½, 10-11, 13¾-14¼
3	1.3	7.8	4.1	4.4	-2.3	727.5	727.0	727.9	99	55	70	SE 0	SW 1	SE 1	1	10●	0	0.1	●° p zeitw., ⊔ |
4	2.6	15.4	8.3	8.8	1.8	726.5	725.6	725.3	100	41	56	ESE 0	E 1	E 1	0	1	0	.	⊔ |
5	3.4	19.5	16.3	13.1	6.1	724.6	722.6	719.2	94	35	37	NW 1	SW 1	WSW 2	0	1	0	.	⊔ |
6	13.9	9.7	6.2	9.9	2.7	715.1	716.8	720.1	43	67	45	WSW 3	WNW 2	WNW 1	9	10	9	0.1	●tr. 12-14¼ zeitw.
7	2.5	5.0	3.8	3.8	-4.5	720.7	716.6	**710.9**	88	76	100	W 1	WSW 3	NW 1	10	10●	10●	**10.0**	● 5¼-22¼ ztw., ✳ a ztw.
8	**0.4**	4.4	1.0	1.9	-5.6	716.2	718.2	722.1	96	47	82	WNW 2	WNW 2	W 1	10*	9	3	3.3	✳ ≡ 7½-9, △sch. 13¾
9	0.8	3.0	3.6	2.5	-5.1	719.6	721.4	724.2	91	76	76	WSW 1	SW 2	WNW 1	10*	10	10	1.4	✳° 4¾-10¾, ●° 11½
10	3.2	13.0	6.3	7.5	-0.3	724.6	723.7	723.4	91	41	73	SE 0	SSW 1	SE 1	3	3	0	.	
11	5.2	8.3	7.0	6.8	-1.1	725.4	726.1	727.1	88	73	89	S 1	S 1	S 1	10	10	10	.	
12	6.6	13.1	7.9	9.2	1.1	727.1	726.0	725.5	89	43	73	SSW 1	NW 0	SE 1	9	10	5	0.0	●tr. 15-16¾
13	4.1	17.4	11.6	11.0	2.8	725.1	725.0	725.8	97	37	58	ENE 0	ESE 1	NE 1	0	1	0	.	△ |
14	6.3	20.2	11.3	12.6	4.2	727.1	726.4	725.8	89	33	40	NE 0	ESE 1	E 1	0	1	0	.	△ |
15	7.5	21.4	13.0	14.0	5.5	727.1	726.1	725.5	83	32	51	S 0	WSW 1	ESE 1	2	8	8	.	△ |
16	8.5	22.2	13.1	14.6	6.0	727.0	725.5	725.2	80	**31**	49	WNW 1	ESE 1	ENE 0	3	1	2	.	△ |
17	8.6	21.9	13.5	14.7	5.9	726.0	724.0	722.7	80	32	35	NE 0	NNW 2	W 1	2	1	1	.	△ |
18	10.6	22.9	14.4	16.0	7.1	722.7	720.6	718.4	77	**31**	53	ESE 1	SW 1	E 1	1	2	0	.	△ |
19	12.0	**24.7**	14.7	17.1	8.0	718.4	716.7	717.2	66	32	62	SSW 0	WNW 2	S 1	1	4	7	3.8	⸜ ●² 19-19¼, △ |
20	12.0	12.4	9.1	11.2	2.0	720.1	722.2	723.0	92	83	99	SSE 1	W 1	NNE 1	10●	10●	3	4.6	● 3¼-17 m.U.
21	8.1	15.2	17.3	13.5	4.1	719.6	717.3	713.8	88	60	43	N 2	E 1	S 1	7	10	9	0.0	
22	12.5	24.5	14.8	17.3	7.8	716.7	716.9	719.3	77	35	75	NW 0	NNE 1	NW 1	4	1	2	.	
23	11.5	23.2	17.1	17.3	7.6	720.3	719.3	718.9	83	33	45	SSE 0	NW 1	SE 1	6	3	0	0.0	
24	13.0	13.2	10.2	12.1	2.3	721.7	725.5	728.3	78	54	68	W 2	W 2	SW 1	10●	9	9	4.6	●tr. 6-7½, ● 7½-8¾,
25	7.6	19.4	12.5	13.2	3.2	**728.4**	727.0	724.2	79	33	62	SE 1	SSW 1	SE 1	9	2	1	.	[10½-12¼
26	14.4	16.3	11.5	14.1	4.0	723.0	723.4	726.1	59	60	60	SSW 2	WNW 2	WNW 1	6	9	6	0.0	●tr. 12¾-13½
27	9.2	17.0	10.8	12.3	2.1	727.3	724.8	723.5	66	41	47	WNW 1	SSW 1	NW 1	6	2	3	.	
28	9.2	16.0	11.2	12.1	1.8	722.9	721.1	720.6	64	43	54	WSW 1	NW 2	S 1	1	8	10	1.8	
29	8.1	9.6	7.0	8.2	-2.3	720.0	720.6	721.8	93	80	86	SSE 1	W 2	SE 1	10●	10	7	2.4	● 0-10¼, 11½-12¾
30	7.8	17.5	11.2	12.2	1.5	721.4	719.4	718.5	72	34	62	SSE 1	SSE 1	ENE 1	7	4	2	.	
																		Summe	
Mittel	7.6	15.1	10.1	10.9	—	722.8	722.3	722.4	82	49	64				5.6	6.0	4.4	42.5	

$\lambda = 8° 30'$, $\beta = 47° 3'$, $H_b = 1787.3$ m, $G = -0.20$ mm.

Rigi-Kulm

April 1943.
Beobachter: *J. Wiget.*

Tag	7³⁰	13³⁰	21³⁰	Mittel	Abweich.	7³⁰	13³⁰	21³⁰	7³⁰	13³⁰	21³⁰	7³⁰	13³⁰	21³⁰	7³⁰	13³⁰	21³⁰	Niederschlag	Witterung
1	1.6	2.0	1.0	1.5	3.3	614.3	614.3	614.3	100	100	100	W 4	W 4	W 5	10	10	10≡	**35.5**	● n-n zeitw., ≡ 15-n
2	-5.4	-4.0	-5.2	-4.9	-3.2	615.3	616.8	618.8	100	100	100	W 2	SW 2	W 1	10*≡	10*≡	6	14.5	✳ n-18, ≡ n-21¼ ✳
3	-6.4	-3.4	-1.8	-3.9	-2.3	618.7	619.4	620.5	100	100	100	WNW 1	SW 2	W 2	0	4	10≡	1.7	≡ 13¾-n ✳
4	-2.0	1.8	2.0	0.6	2.1	618.6	619.6	619.5	75	72	75	E 2	E 1	E 0	0	0	0	.	✳
5	4.0	6.0	5.5	5.2	6.6	618.9	618.9	616.4	47	45	55	W 1	SW 1	SW 3	0	0	0	.	≡ 12½-18
6	4.2	0.0	-6.0	-0.6	0.7	612.2	611.5	612.7	55	100	100	W 4	W 3	W 2	10	10≡	10	4.0	✳ 16-n zeitw., ≡ zeitw. ✳
7	-6.8	-5.2	-4.0	-5.3	-4.1	612.1	610.4	**604.2**	98	100	100	W 4	W 3	W 4	10≡	10	10*≡	10.7	✳ zeitw., ≡ n-n ✳
8	-9.0	-8.0	**-9.0**	-8.7	-7.6	607.5	609.8	612.7	90	92	92	W 3	W 2	SW 1	10≡	10≡	10■	6.2	✳ |, ≡ n-18½ ✳
9	-8.3	-6.6	-5.8	-6.9	-6.0	611.1	612.7	615.7	98	95	95	W 4	W 4	W 3	10*≡	10≡	10	2.0	✳
10	-3.8	0.0	-0.6	-1.5	-0.7	616.8	617.4	617.8	96	64	77	NE 0	S 1	SW 1	5	3	3	.	
11	-1.0	-1.0	-2.2	-1.4	-0.7	618.2	618.9	619.4	100	100	100	W 0	W 0	W 0	10≡	10≡	10	.	≡ n-16
12	-2.0	1.0	-1.0	-0.7	-0.1	619.3	619.3	619.0	100	85	80	SW 0	SW 0	SE 1	10≡	10	2	.	≡ |
13	1.6	3.2	2.0	2.3	2.8	618.2	619.5	620.2	50	60	78	SSE 1	E 1	SE 1	0	2	0	.	
14	2.8	5.4	3.0	3.7	4.0	620.9	621.5	621.6	66	70	80	SW 0	S 0	S 0	0	2	0	.	
15	4.0	7.3	5.2	5.5	5.7	621.6	621.8	621.6	69	51	59	W 0	ENE 0	E 0	2	5	4	.	
16	5.2	6.8	5.4	5.8	5.9	621.7	621.5	621.2	55	62	60	NE 1	NE 1	NE 1	2	2	4	.	
17	5.6	8.0	6.6	6.7	6.7	621.2	620.7	619.9	58	64	60	E 1	E 0	W 0	3	2	1	.	
18	6.4	7.5	6.4	6.8	6.6	618.6	617.7	616.6	61	60	60	SW 0	SW 0	SW 0	3	1	0	.	
19	8.2	10.8	6.5	8.5	8.2	615.7	615.5	614.8	50	54	64	W 1	W 0	SW 2	2	7	4	13.4	
20	2.0	2.6	2.0	2.2	1.8	615.2	617.1	617.7	100	95	100	W 3	W 2	SW 1	10●	10	10	13.8	● |
21	6.4	8.2	6.5	7.0	6.4	614.6	613.8	612.6	58	45	51	S 4	S 4	S 4	5	10	6	.	
22	6.6	10.4	7.0	8.0	7.3	613.7	614.8	616.7	54	43	46	S 3	S 3	S 3	4	2	3	.	
23	7.2	**12.4**	8.0	9.2	8.4	616.5	617.2	616.6	43	**38**	47	S 4	S 1	S 4	5	5	4	.	
24	3.6	-1.0	-1.4	0.4	-0.6	617.2	618.5	620.7	100	100	100	SW 2	W 3	W 3	10≡	10●	10	10.0	● 11-14¾, ≡ |
25	0.2	9.2	8.0	5.8	4.7	621.7	**622.1**	620.8	60	49	50	SW 2	SW 1	W 2	5	4	3	.	
26	6.8	4.8	1.4	4.3	3.1	619.4	618.8	620.3	60	100	91	SW 2	W 2	W 3	7	10≡	10	1.3	≡ 11½-p zeitw.
27	0.0	5.4	2.2	2.5	1.1	620.2	619.6	618.4	100	70	80	W 1	S 1	S 1	10	4	4	.	≡ a zeitw.
28	0.4	3.6	0.4	1.5	0.0	616.7	616.4	615.5	72	74	95	SW 1	SW 1	W 1	5	6	10	10.8	
29	-1.2	-1.0	-1.8	-1.3	-3.0	613.6	614.1	615.5	100	100	100	W 2	SW 2	W 1	10≡	10*≡	7	10.6	✳ II seit 8, ≡ I, II ✳
30	-1.0	4.2	3.0	2.1	0.3	615.6	615.2	615.0	71	58	70	W 1	SW 1	SW 0	5	4	4	.	
																		Summe	
Mittel	1.0	3.0	1.4	1.8	—	616.8	617.2	617.2	76	75	79				5.8	6.1	5.5	140.5	

April 1943.
Beobachter: *P. Nogler.*

Bevers

$\lambda = 9° 53'$, $\beta = 46° 33'$,
H_b = ca. 1710 m, G = –0.23 mm.

Tag	Lufttemperatur 7³⁰	13³⁰	21³⁰	Mittel	Abweich. vom Normalst	Luftdruck 7³⁰	13³⁰	21³⁰	Relative Feuchtigkeit 7³⁰	13³⁰	21³⁰	Windrichtung und Stärke 7³⁰	13³⁰	21³⁰	Bewölkung 7³⁰	13³⁰	21³⁰	Niederschlag	Witterung
1	5.8	6.4	3.0	5.1	6.7	619.4	618.0	617.8	65	71	81	W 2	S 3	S 3	10●	10●	10●	10.3	● n–n
2	–3.0	2.4	–2.8	–1.1	0.4	619.4	623.2	624.2	73	64	68	E 1	E 3	NE 2	10*	10*	10*	3.6	✳ n–n
3	–4.8	3.4	0.3	–0.4	0.9	624.2	624.3	625.0	70	36	71	N 0	NW 2	W 1	0	10*	10	0.9	✳° 11½–20
4	–2.5	9.5	–1.5	1.8	3.0	625.5	626.0	626.3	75	34	76	W 1	W 2	N 0	0	0	0	.	
5	–1.4	10.0	–1.0	2.5	3.5	625.9	624.4	623.0	76	38	80	SW 1	W 3	NW 1	0	0	0	.	
6	–3.2	8.3	–3.0	0.7	1.6	618.9	617.3	617.2	90	78	76	S 1	N 2–3	N 2	0	10*	10*	3.6	✳° △ 13–16, ✳° 16–n
7	–4.0	1.8	–1.6	–1.3	–0.6	615.8	609.4	**608.9**	81	100	100	SE 1	NW 2	N 1	10*	10*	10*	4.9	✳ n–n, ⊹ 11–12
8	–6.0	–2.4	–6.8	–5.1	–4.5	619.9	612.9	617.9	62	88	65	NE 2	N 2	NE 2	10*	10*	10	9.3	✳° n–n, ⊹ zeitw.
9	–4.6	–2.4	–3.4	–3.5	–3.1	616.1	619.9	621.7	67	88	64	NE 1	NE 1	N 2	10*	10*	8	8.2	✳° n–20
10	–5.2	11.2	–3.6	0.8	1.1	622.4	623.7	624.0	73	64	88	NW 1	W 1	N 0	10	3	0	.	
11	0.2	7.2	1.6	3.0	3.1	623.6	623.9	625.0	78	61	60	E 1	SE 2	S 0	8	0	10	.	
12	–2.0	5.2	0.9	1.4	1.3	625.3	625.7	625.3	51	67	78	W 1	S 2	W 1	10	10	10	.	
13	–0.8	9.9	–0.8	2.8	2.6	625.6	626.1	626.1	87	64	88	SW 1	W 2	SW 1	0	6	0	.	
14	0.0	13.0	–0.2	4.3	3.9	627.2	627.8	**628.5**	87	70	93	S 1	SW 1	SW 0	4	0	0	.	
15	–1.4	15.0	0.8	4.8	4.2	**628.5**	628.3	628.2	97	43	88	E 1	SW 2	S 1	0	0	0	.	
16	–0.8	13.0	0.8	4.3	3.6	628.4	628.1	627.8	95	34	80	SE 1	W 2	SW 1	2	0	0	.	
17	0.6	15.0	1.0	5.5	4.6	627.4	627.0	625.8	86	46	76	S 1	SE 2	W 1	0	0	0	.	
18	1.4	17.4	2.3	7.0	5.9	625.2	624.6	623.2	83	31	80	S 1	W 2	W 0	0	0	0	.	
19	2.1	13.2	6.2	7.2	5.9	623.8	623.0	622.1	88	32	80	W 0	W 3	W 1	0	6	10	.	
20	6.2	12.8	5.4	8.1	6.7	622.2	622.9	623.8	78	44	86	S 1	S 2	S 1	8	8	10	2.6	●° 19–21
21	4.0	8.8	5.2	6.0	4.4	624.1	624.0	622.4	92	63	98	NE 0	W 0	S 1	10	10	10●	1.8	● n–12, 19–n
22	5.0	11.4	5.2	7.2	5.4	622.0	623.0	625.5	95	61	95	W 1	W 1	SW 1	10●	6	4	0.2	● n–10
23	5.4	11.0	7.6	8.0	6.0	625.8	624.1	625.5	85	60	83	W 1	W 3	S 1	2	10	10	.	
24	8.0	10.2	4.0	7.3	5.1	624.3	626.5	627.2	84	43	73	W 1	W 2	W 2	10	10●	6	2.1	●° 13½–16
25	2.0	**20.0**	4.2	8.7	6.4	**628.5**	628.3	628.1	90	34	74	S 1	S 1–2	W 1	3	0	0	.	
26	4.0	12.2	7.1	7.8	5.3	626.4	624.1	625.0	83	52	67	S 1	SE 2	S 2	8	10	6	.	
27	5.1	12.4	2.8	6.8	4.1	625.9	624.2	623.6	61	**28**	71	E 1	NW 2	W 1	0	2	0	.	
28	0.2	12.1	5.0	5.8	2.9	621.8	620.8	620.0	91	33	61	SW 1	S 2	W 1	0	0	0	8.9	
29	1.7	6.8	1.0	3.2	0.1	619.3	619.1	621.8	100	62	67	S 0	W 1	W 1	10*	8	0	0.2	✳ n–8¾
30	1.6	16.0	1.4	6.3	3.0	621.3	621.1	621.0	74	45	74	SE 1	E 2–3	N 1	0	0	0	.	
Mittel	0.4	9.7	1.4	3.8	—	623.2	623.1	623.4	81	54	78				4.8	5.3	4.8	Summe 56.6	

April 1943.
Beobachter: *Kapuzinerkloster.*

Sitten

$\lambda = 7° 21'$, $\beta = 46° 14'$,
H_b = 548.6 m, G = –0.11 mm.

Tag	Lufttemperatur 7³⁰	13³⁰	21³⁰	Mittel	Abweich. vom Normalst	Luftdruck 7³⁰	13³⁰	21³⁰	Relative Feuchtigkeit 7³⁰	13³⁰	21³⁰	Windrichtung und Stärke 7³⁰	13³⁰	21³⁰	Bewölkung 7³⁰	13³⁰	21³⁰	Niederschlag	Witterung
1	9.0	11.1	10.4	10.2	2.3	717.8	717.3	716.0	93	86	94	WSW 2	W 2	W 2	10●	10●	10●	7.1	● n–14¼, abds.
2	7.8	10.1	6.8	8.2	0.1	717.1	718.2	720.3	96	61	64	WNW 2	SW 3	W 2	10●	8	0	0.2	● l
3	3.4	12.8	8.6	8.3	0.1	722.5	720.3	720.3	73	41	55	NE 0	WSW 2	WSW 1	0	4	0	.	
4	3.9	15.7	10.5	10.0	1.6	722.4	719.3	719.9	78	40	62	NE 1	SW 1	ENE 1	0	0	0	.	
5	6.6	18.5	11.8	12.3	3.8	720.5	717.3	715.7	74	39	57	NE 1	SW 1	ENE 2	0	0	0	.	
6	6.5	16.3	9.6	10.8	2.1	713.0	711.6	714.0	83	41	42	NE 1	WSW 2	W 1	9	9	6	0.1	● seit 13½ zeitw.
7	4.8	9.6	5.0	6.5	–2.3	717.2	713.4	**707.3**	69	45	100	WSW 1	SW 2	WSW 0	10	10	10●	**11.4**	● 16½–n
8	2.2	5.1	**1.2**	2.8	–6.2	711.1	713.4	717.7	63	56	76	WSW 1	SSW 1	WSW 1	10	10	4	0.2	✳° 8–12
9	**1.2**	4.2	1.6	2.3	–6.8	717.0	717.3	718.5	69	81	92	WSW 0	WSW 1	W 0	10	10	0	1.4	✳ 8–12
10	**1.2**	11.3	8.0	6.8	–2.5	720.0	718.6	718.9	85	41	65	NNW 0	N 1	NE 1	0	1	0	.	
11	4.8	14.9	10.2	10.0	0.6	721.0	719.1	720.9	85	49	56	NE 0	W 2	W 2	0	2	2	.	
12	6.9	15.5	9.8	10.7	1.1	722.2	719.2	719.2	72	50	60	W 0	WSW 0	NE 0	3	3	0	.	
13	6.2	17.6	12.4	12.1	2.4	720.4	718.7	720.2	73	42	49	NE 0	W 1	W 0	0	2	0	.	
14	7.6	18.9	13.2	13.2	3.3	723.0	720.9	721.3	71	**33**	47	NE 1	ENE 1	NE 2	2	1	0	.	
15	9.4	19.2	13.3	14.0	4.0	723.5	721.2	721.1	61	34	48	NE 1	NE 0	NE 2	0	0	0	.	
16	10.1	19.9	13.4	14.5	4.3	722.7	720.3	720.9	60	37	59	NE 1	W 1	W 1	0	5	2	.	
17	9.4	20.0	14.0	14.5	4.2	722.0	718.5	718.3	67	39	53	NE 1	W 1	W 2	1	0	0	.	
18	9.6	22.0	15.4	15.7	5.2	718.8	714.9	714.0	72	**33**	49	NE 1	NE 1	NE 2	0	0	0	.	
19	10.7	22.4	12.3	15.1	4.5	714.8	712.1	714.6	69	41	86	NNE 1	WSW 3	ENE 1	3	9	5	4.8	● 16¼–17½
20	11.7	12.8	11.0	11.8	1.0	715.5	716.9	716.9	85	85	82	WSW 0	W 2	NE 3	8	10●	4	3.3	● 8¾–p m.U.
21	10.0	19.7	15.1	14.9	4.0	714.6	712.0	711.7	80	39	47	ENE 0	NE 4	NE 2	10	8	6	.	↙ p
22	14.2	22.3	16.3	17.6	6.5	713.4	712.4	715.7	62	38	44	NNW 0	E 2	ENE 0	7	4	2	.	↙ p
23	12.5	**22.7**	17.3	17.5	6.3	716.6	714.7	715.1	61	37	44	NE 0	ENE 4	NE 0	3	3	2	1.4	↙ p
24	12.4	13.6	11.2	12.4	1.0	718.2	718.3	722.8	87	63	55	W 0	W 3	W 1	10●	8	0	2.6	● 6½–8
25	8.4	19.6	13.8	13.9	2.4	**724.6**	721.4	720.4	72	41	55	NNE 1	SW 1	NE 2	2	1	0	.	
26	13.0	22.4	14.1	16.5	4.8	719.9	717.3	719.8	61	37	53	NNE 1	SW 2	W 2	6	5	6	.	
27	13.2	18.7	13.5	15.1	3.3	721.5	718.0	717.5	59	41	45	WSW 1	SW 2	NW 1	0	1	0	.	
28	11.9	19.3	14.2	15.1	3.1	717.6	714.5	714.0	59	39	45	NE 0	SW 2	WSW 2	0	3	1	.	
29	10.9	14.5	12.1	12.5	0.4	714.5	714.5	716.7	66	54	56	WSW 2	SW 2	W 0	10	7	0	.	
30	8.1	18.2	12.6	13.0	0.7	717.0	713.0	713.3	63	45	50	NE 0	SW 2	W 1	1	1	0	.	
Mittel	8.3	16.3	11.3	11.9	—	718.7	716.8	717.4	72	47	60				4.2	4.5	2.0	Summe 32.5	

$\lambda = 8° 57'$, $\beta = 46° 0'$,
$H_b = 276.2$ m, $G = -0.01$ mm.

Lugano

April 1943.
Beobachter: *G. Vicari.*

Tag	Lufttemperatur 7³⁰	13³⁰	21³⁰	Mittel	Abweich. vom Normalst.	Luftdruck 7³⁰	13³⁰	21³⁰	Relative Feuchtigkeit 7³⁰	13³⁰	21³⁰	Windrichtung und Stärke 7³⁰	13³⁰	21³⁰	Bewölkung 7³⁰	13³⁰	21³⁰	Niederschlag	Witterung
1	11.8	25.0	18.0	18.3	9.2	733.9	732.1	730.9	59	26	29	N 1	N 3	N 2	6	6	2	.	
2	13.8	17.6	11.0	14.1	4.8	734.3	735.5	741.5	32	24	26	N 3	NE 3	NE 3	4	3	0	.	
3	6.4	18.6	15.6	13.5	4.1	741.9	739.8	740.5	39	28	26	N 1	S 1	NE 3	0	1	0	.	
4	8.2	19.6	11.8	13.2	3.6	743.8	743.0	744.0	42	34	46	N 1	S 1	N 1	1	1	0	.	
5	7.0	17.6	11.0	11.9	2.2	745.9	743.8	741.0	78	44	62	N 1	S 1	N 1	3	1	0	.	
6	6.4	15.2	10.6	10.7	0.9	736.8	733.3	733.9	86	56	26	NE 1	S 1	NE 2	0	4	0	.	
7	7.0	19.8	10.8	12.5	2.5	736.0	731.8	727.5	40	22	46	N 1	N 2	N 1	2	1	4	.	
8	7.0	10.8	6.2	8.0	−2.1	729.7	731.2	736.0	34	30	32	N 2	NE 3	NE 2	7	5	1	.	
9	8.6	17.2	12.4	12.7	2.5	734.9	734.3	737.7	28	28	26	NE 2	N 2	N 2	4	3	0	.	
10	5.4	19.6	11.2	12.1	1.7	740.0	739.3	741.5	46	28	42	NE 1	S 1	N 1	1	1	0	.	
11	6.0	18.4	14.0	12.8	2.3	742.8	740.6	741.2	70	44	42	NE 0	S 1	NE 1	2	1	1	.	
12	9.2	18.4	11.0	12.9	2.3	743.8	742.9	743.4	58	46	64	N 1	SE 1	N 1	3	3	0	.	
13	9.0	16.0	13.0	12.7	1.9	745.4	744.8	746.4	80	47	54	NE 1	SE 1	N 1	9	9	10	.	
14	10.4	18.4	12.0	13.6	2.7	747.8	746.9	747.3	80	42	55	SE 1	SE 1	N 1	10	6	0	.	
15	9.2	21.6	13.6	14.8	3.8	747.6	746.0	746.0	76	36	50	NE 1	SE 1	N 1	0	1	0	.	
16	9.2	21.0	14.4	14.9	3.7	746.9	745.5	745.1	75	42	51	NE 1	SE 1	N 1	0	1	0	.	
17	9.6	23.0	15.6	16.1	4.8	744.8	743.0	741.5	76	35	43	NE 1	SE 1	N 1	8	0	0	.	
18	9.8	22.2	14.8	15.8	4.4	741.1	738.9	738.2	74	38	57	SSE 0	S 1	N 1	0	0	0	.	
19	10.0	21.0	14.8	15.3	3.7	740.0	739.0	739.1	78	39	62	ESE 0	S 1	SSW 1	0	10	10	.	
20	11.4	21.4	14.6	15.8	4.1	739.9	739.7	740.9	84	43	80	SE 0	S 1	SSW 1	10	10	10	2.3	
21	13.0	12.8	12.0	12.6	0.8	742.4	743.3	741.8	93	88	98	NNE 0	W 1	SW 1	10●	10●	10●	36.8	● n-n m.U.
22	11.0	12.6	12.2	11.9	−0.1	740.8	742.5	743.9	98	91	98	SSW 1	S 0	SW 0	10●	10●	10●	12.4	● n-n
23	12.4	17.2	14.6	14.7	2.6	743.8	743.8	743.6	94	55	93	SE 0	S 0	SW 0	10	10	10●	3.3	●sch. p, ● 21-n
24	13.4	14.4	13.2	13.7	1.5	742.7	742.6	743.4	97	88	97	ENE 1	SE 0	NE 0	10●	10	6	10.7	● n-13
25	10.4	21.0	15.0	15.5	3.1	745.4	745.2	745.5	62	46	79	NW 0	S 1	N 1	10	3	3	.	
26	12.6	23.4	16.6	17.5	5.0	743.9	741.1	740.2	92	43	78	S 0	S 1	NNE 1	7	8	4	.	
27	16.4	20.2	16.2	17.6	5.0	741.2	740.8	740.6	25	36	68	NNE 2	S 1	NNE 1	5	9	0	.	
28	14.6	20.4	15.2	16.7	3.9	739.5	736.8	736.5	79	47	64	NNE 0	S 1	N 1	7	5	8	0.8	● ⌫ n (28./29.)
29	12.8	19.0	13.0	14.9	2.0	736.1	734.4	737.5	81	45	23	NNE 1	S 1	SSE 1	10	9	0	.	
30	8.8	19.4	14.8	14.3	1.2	739.2	737.8	738.1	62	41	58	SSW 0	S 1	N 1	3	8	0	.	
																		Summe	
Mittel	10.0	18.8	13.3	14.0	—	741.1	740.0	740.5	67	44	56				5.1	5.0	3.0	65.8	

$\lambda = 7° 35'$, $\beta = 47° 33'$,
$H_b = 318$ m, $G = 0.11$ mm.

Basel

April 1943.
Beobachter: *Astronom.-Meteorol. Anstalt.*

Tag	7³⁰	13³⁰	21³⁰	Mittel	Abweich. vom Normalst.	7³⁰	13³⁰	21³⁰	7³⁰	13³⁰	21³⁰	7³⁰	13³⁰	21³⁰	7³⁰	13³⁰	21³⁰	Niederschlag	Witterung
1	11.9	12.9	10.8	11.9	5.4	734.8	735.3	735.6	76	68	83	WNW 3	WSW 3	WSW 3	10●	10	10●	4.2	● 7½-8, 20¼-23¼, ⌿ a, p
2	6.0	7.7	3.9	5.9	−0.7	739.4	741.1	743.1	79	71	88	W 1	WSW 1	SW 1	10	10●	2	0.1	● 0-2¼, 12-14½ m.U.
3	1.5	10.0	6.1	5.9	−0.8	743.8	743.2	743.4	87	56	83	ESE 1	N 1	ENE 1	2	10	0	.	☾ I
4	3.6	14.3	6.4	8.1	1.2	742.5	741.5	740.6	88	57	91	SE 0	NNW 1	E 0	0	0	0	.	☾ I
5	5.5	19.7	10.1	11.8	4.8	739.7	737.5	734.3	79	36	72	E 1	ENE 1	SSW 1	0	0	0	.	☾ I
6	14.7	6.7	6.4	9.3	2.1	730.9	734.4	736.2	45	78	44	W 3	W 1	WSW 1	10	10●	10	0.9	● 11-14¼ zeitw., ⌿ a zeitw.
7	4.3	6.3	6.0	5.5	−1.8	736.9	732.7	727.2	77	59	78	WSW 2	SW 3	WSW 2	10●	10●	10	6.5	● 7½-20¾ m.U., ⌿ a-n zeitw.
8	1.2	6.3	2.3	3.3	−4.1	733.3	734.9	738.1	91	49	77	WSW 2	NW 2	SW 1	10*	9	9	1.2	✳ 1¾-9¾ zeitw., ⌿ 12¾
9	0.8	3.9	2.9	2.5	−5.1	736.2	737.1	739.9	92	80	91	SW 1	SW 1	ESE 1	10*	10	10	1.0	✳ 5½-10 m.U., △ 12½
10	3.9	13.0	8.3	8.4	0.7	740.5	739.4	739.0	88	49	84	E 1	NNW 1	SSW 1	8	4	7	.	
11	6.7	11.6	8.5	8.9	1.0	741.5	741.9	743.0	87	53	71	SSE 1	W 1	SW 1	10	10	10	.	
12	6.2	14.3	10.1	10.2	2.2	742.9	741.6	740.8	81	49	73	E 1	NNW 0	NW 0	8	10	0	.	
13	6.0	18.0	11.5	11.8	3.7	740.9	740.4	741.0	82	39	66	ENE 0	ENE 1	E 1	0	0	0	.	☾ I
14	7.5	20.8	11.6	13.3	5.0	742.6	741.6	740.9	79	38	67	E 1	SSE 1	ENE 0	0	0	10	.	☾ III
15	9.2	21.6	11.6	14.1	5.7	742.5	741.2	740.7	71	34	73	E 1	WNW 1	ENE 0	5	10	1	.	⊕ 14-19, ☾ 22
16	9.4	22.5	12.1	14.7	6.1	742.6	741.2	740.6	69	34	69	ENE 1	W 1	SSW 1	5	0	0	.	
17	9.6	23.0	13.8	15.5	6.8	741.3	739.5	737.8	74	34	57	ESE 1	WNW 1	S 1	0	0	2	.	
18	10.6	25.2	12.7	16.2	7.3	737.8	735.6	733.1	69	35	71	ESE 1	SSE 1	SSW 0	1	7	0	.	
19	11.8	22.5	14.4	16.2	7.2	733.1	731.5	731.9	66	50	73	ESE 1	WNW 1	WNW 0	5	7	10	6.6	● 13½, 14 15¼-16¼ m.U., T 16
20	11.7	11.9	10.0	11.2	2.1	735.1	737.8	738.3	96	90	88	SSE 0	S 1	ENE 1	10●	10	0	37	● 2¾-12¼ m.U.
21	9.9	15.6	12.4	12.6	3.3	734.9	732.5	729.6	71	63	87	ESE 1	ENE 1	SSW 1	6	10	10	0.9	●° 13, 13¾, ☾ I, ⊕ 7-8, 14
22	11.6	23.0	13.6	16.1	6.7	731.5	732.3	734.6	97	47	92	SE 0	WSW 1	WNW 0	8●	0	8	1.2	● 4¼, 5½-7½, 22, ⌫ 14¾-15¼,
23	12.3	23.8	16.7	17.6	8.0	735.2	734.3	734.4	89	40	64	ESE 1	E 1	WSW 2	4	6	10	2.6	● 19¾, ⌒ III, ☾ I [☾ I
24	13.8	14.0	9.4	12.4	2.7	736.2	740.6	744.0	79	55	66	WNW 2	WNW 1	SSW 1	10	10	1	1.2	● 3¾-10¼ m.U., ⌿ 9½- [14¼ zeitw.
25	8.0	21.0	12.1	13.7	3.9	743.8	742.1	739.2	72	39	78	E 1	SE 1	SSW 0	10	4	0	.	
26	15.1	13.0	11.3	13.1	3.1	738.5	740.0	741.6	62	78	65	WSW 1	W 3	W 1	10	9●	2	0.1	● 13¼, ⌒ 18
27	9.6	16.6	10.2	12.1	2.0	743.3	740.8	739.2	60	41	59	WSW 1	NNW 1	SW 1	7	6	0	.	
28	8.5	16.3	10.7	11.8	1.8	738.7	737.1	737.1	76	47	72	NNE 0	WNW 1	SSW 1	7	10	10	1.4	
29	8.8	9.8	6.7	8.4	−2.0	735.6	736.6	737.3	91	78	86	W 1	NW 1	NE 1	10●	5	0	2.0	● 1¼-17¾ m.U.
30	8.1	18.9	10.4	12.5	2.0	736.6	734.6	733.8	77	41	78	ESE 1	WNW 1	SSW 1	5	8	1	.	☾ I
																		Summe	
Mittel	8.3	15.5	9.8	11.2	—	738.4	738.0	737.8	78	53	75				6.4	6.5	4.4	33.6	

April 1943.
Beobachter: *Observatorium.*

Säntis

$\lambda = 9° 20'$, $\beta = 47° 15'$,
$H_b = 2500.1$ m, $G = -0.27$ mm.

Tag	Lufttemperatur 7³⁰	13³⁰	21³⁰	Mittel	Abweich. vom Normalst	Luftdruck 7³⁰	13³⁰	21³⁰	Relative Feuchtigkeit 7³⁰	13³⁰	21³⁰	Windrichtung und Stärke 7³⁰	13³⁰	21³⁰	Bewölkung 7³⁰	13³⁰	21³⁰	Niederschlag	Witterung
1	-2.0	-1.8	-3.0	-2.3	4.1	558.3	558.9	559.4	100	100	100	W 6	WSW 6	WNW 5	10≡	10≡	10≡*	95.5	☽ n-10, ✱ 17-n, ≡ ⚷ n-n, ⋁
2	-10.9	-9.2	-10.0	-10.0	-3.7	560.7	561.8	564.7	100	100	96	NW 3	W 4	N 2	10≡*	10≡*	10≡	10.7	✱ n-20 m.U., ≡ n-n, *)
3	-10.1	-7.8	-6.6	-8.2	-2.0	564.5	565.1	566.5	88	100	100	W 3	NW 3	NNW 2	2	10≡	10≡	2.3	✱ 11½-17½, ≡ 8½-9½,
4	-7.4	-2.6	-3.0	-4.5	1.7	565.5	567.2	567.6	42	24	39	NNE 3	NNE 2	N 2	1	1	1	.	[12-n
5	-1.3	0.0	-1.2	-0.8	5.3	566.8	566.6	564.1	38	53	93	W 2	W 2	W 3	1	1	0	.	
6	-2.2	-4.0	-10.4	-5.5	0.5	559.0	557.9	558.6	91	100	100	W 4	W 4	N 3	10	10≡*	10≡*	28.5	✱ 12-n, △sch. 9, 16¼-*
7	-12.8	-10.2	-8.0	-10.3	-4.4	557.0	554.4	550.0	100	100	100	WNW 4	W 5	W 5	10≡*	10≡*	10≡*	15.2	✱ ⚶ ≡ ⚷ n-n, ⋁ (10½)
8	-14.4	-13.8	-13.8	-14.0	-8.1	552.6	554.9	557.8	100	93	92	NNW 3	NNW 3	N 1	10≡*	10≡*	10≡*	15.2	✱ ≡ n-n, ⚶ n-16
9	-13.6	-11.7	-10.0	-11.8	-6.0	555.2	558.1	562.1	100	100	96	W 4	W 3	N 2	10≡*	10≡*	10≡*	7.2	✱ ≡ ⚶ n-n, ⋁ (10½), ⚷ a
10	-7.8	-4.2	-4.2	-5.4	0.3	563.1	564.4	565.1	90	78	66	NNW 3	NNE 2	SW 2	10	1	1	.	≡ n-8½
11	-5.4	-4.8	-7.0	-5.7	-0.1	564.8	565.3	566.2	94	96	100	WSW 2	NW 1	NW 1	10≡	10≡	10≡	.	≡ n-n m.U., ⋁ (16½)
12	-6.8	-3.7	-5.3	-5.3	0.2	566.1	566.1	566.2	94	85	90	WSW 2	SW 1	NE 1	10≡	10≡	10	0.2	✱° 14¼-17½, ≡ n-19
13	-3.2	-2.2	-3.7	-3.0	2.4	565.7	567.0	567.9	54	58	65	ESE 1	SE 0	WSW 1	0	1	0	.	
14	-2.8	-0.2	-2.2	-1.7	3.6	568.2	569.3	569.2	74	62	74	WSW 3	SSW 2	SW 2	0	1	1	.	
15	-1.4	2.0	-0.8	-0.1	5.1	569.0	569.8	569.5	85	62	52	WNW 3	SW 1	SW 1	1	8	8	.	
16	1.6	2.4	-0.7	1.1	6.1	569.5	569.8	569.7	53	60	94	ENE 1	S 2	E 1	2	1	1	.	
17	0.8	3.4	0.6	1.6	6.5	569.0	568.8	567.9	74	65	95	NE 2	S 1	W 3	1	1	0	.	
18	0.6	4.2	1.8	2.2	7.0	566.7	566.5	565.2	72	59	49	WSW 1	SW 1	WSW 2	2	2	1	.	
19	3.0	6.2	-0.2	3.0	7.6	564.3	564.3	563.4	70	46	100	SW 3	SW 2	SW 3	2	3	10≡	0.8	≡ 21-n
20	-0.9	-0.8	-2.2	-1.3	3.2	563.4	564.8	565.5	100	100	100	WSW 2	WSW 1	ENE 1	10≡	10≡	10≡	8.6	✱ 7-21, ≡ n-n, ⚷ III
21	0.8	3.4	3.0	2.4	6.7	564.0	564.4	562.2	73	54	60	SSW 3	SE 3	S 5	7	10	10	.	
22	2.2	4.4	1.6	2.7	6.9	562.9	564.4	565.5	62	54	53	SSE 3	S 3	SE 2	9	2	1	.	
23	3.6	5.8	2.4	3.9	7.9	565.9	566.7	565.6	41	43	66	SE 2	SE 3	SSE 4	7	8	1	.	⚷ III
24	2.5	-4.0	-5.4	-2.3	1.5	565.7	565.5	568.2	100	100	100	SSW 2	SSW 3	SW 2	10≡	10≡*	10≡	13.0	✱ 8½-15½ m.U., *)
25	-5.2	1.1	2.4	-0.6	3.1	568.4	570.3	569.3	56	43	60	WSW 4	WSW 3	WSW 3	9	6	1	.	⚷ I
26	1.3	0.4	-3.0	-0.4	3.1	567.2	566.4	567.2	59	100	100	SW 3	WSW 3	W 4	8	10≡	10≡*	24.0	✱ 14-n, △sch. 13-13½, *)
27	-5.1	-1.7	-2.3	-3.0	0.3	566.7	566.0	565.7	91	81	100	WSW 2	WSW 2	WSW 3	10≡	3	10≡	.	≡ n-9, 16½-n
28	-5.0	-3.0	-4.6	-4.2	-1.1	563.2	563.3	562.6	94	74	98	WSW 3	WSW 3	SW 2	10	5	10≡*	7.6	✱° 20-n, △ 19-20, *)
29	-5.2	-4.0	-6.4	-5.2	-2.3	560.7	561.1	562.4	100	98	95	WNW 2	WNW 1	W 3	10≡*	10≡*	10≡	22.8	✱ n-18, n, ≡ n-n
30	-6.8	-1.4	-2.4	-3.5	-0.8	562.3	562.7	562.7	93	80	92	W 3	SW 2	WSW 3	10≡	4	2	.	≡ n-8¾
Mittel	-3.8	-1.9	-3.5	-3.1	—	563.9	564.4	564.6	80	76	84				6.7	6.3	6.3	Summe 251.6	

*) 2. ⚷ II, ⋁ (16½) 5, 16¾, ≡ ⚷ n-n m.U. 24. ≡ 7-n, ⚷ (10½) 26. ≡ 11½-n, ⚷ zeitw. 28. ≡ n-9, 15-n
6

April 1943.
Beobachter: Frl. *F. Lombardi.*

St. Gotthard (Hospiz)

$\lambda = 8° 34'$, $\beta = 46° 33'$,
$H_b = 2095.7$ m, $G = -0.25$ mm.

Tag	Lufttemperatur 7³⁰	13³⁰	21³⁰	Mittel	Abweich. vom Normalst	Luftdruck 7³⁰	13³⁰	21³⁰	Relative Feuchtigkeit 7³⁰	13³⁰	21³⁰	Windrichtung und Stärke 7³⁰	13³⁰	21³⁰	Bewölkung 7³⁰	13³⁰	21³⁰	Niederschlag	Witterung
1	1.0	1.5	-6.0	-1.2	3.4	591.5	591.4	591.5	70	76	90	N 1	N 1	N 2	10*	10*	10*≡	15.6	✱° n-n, ≡ 15½-n
2	-7.0	-5.0	-7.0	-6.3	-1.8	591.5	591.5	593.0	70	70	70	N 3	N 3	N 3	10*≡	10≡	10*≡	10.2	✱ ≡ ⚶ n-n
3	-7.5	-5.0	-5.0	-5.8	-1.3	593.8	594.9	595.4	70	75	80	N 2	N 2	N 2	10≡	10	10≡	.	≡ n-9, 17-n
4	-4.0	1.0	-1.0	-1.3	3.1	595.5	596.3	596.3	70	20	10	N 1	N 1	N 1	0	0	0	.	
5	1.5	4.0	-2.0	1.2	5.5	596.3	596.1	594.0	10	30	30	N 1	N 1	N 0	0	0	0	.	
6	4.0	2.0	-7.5	-0.5	3.7	591.5	589.0	588.2	30	50	30	S 0	N 1	N 2	0	10	10*	4.3	✱° 16½-n
7	-8.0	-5.0	-9.0	-7.3	-3.2	587.4	585.8	582.3	30	40	40	N 2	N 3	N 2	10	10≡	10≡	12.6	≡ 11-n
8	-11.5	-11.0	-10.5	-11.0	-7.0	581.2	582.8	584.4	70	80	80	N 4	N 4	N 4	10≡	10≡	10*≡	6.2	✱ ⚶ zeitw., ≡ ⚷ n-n
9	-10.5	-6.5	-7.0	-8.0	-4.2	586.4	586.9	590.4	80	80	75	N 2	N 3	N 4	10*≡	10≡	10≡	5.0	✱° n-11¾, ≡ n-n, ⚷ p-n
10	-7.0	-1.0	-4.0	-4.0	-0.4	592.5	594.3	594.5	70	70	46	N 2	N 1	N 1	0	0	0	.	
11	-4.8	-1.0	-5.5	-3.8	-0.3	594.6	595.2	595.2	45	50	60	N 1	N 1	N 1	10≡	2	10≡	.	≡ n-8½, 20¾-n
12	-6.0	-2.0	-2.0	-3.3	0.0	595.0	595.7	596.1	80	45	55	N 2	N 2	N 2	10≡	10	10	.	≡ n-10
13	-2.0	3.8	-2.0	-0.1	3.0	596.3	596.5	597.3	50	25	48	S 1	S 1	S 1	10	4	10	.	
14	-2.0	5.0	-1.0	0.7	3.6	597.9	598.2	598.8	45	25	30	S 1	S 1	S 1	10	2	0	.	
15	1.0	3.8	-1.0	1.3	4.0	599.4	599.9	599.9	35	20	30	S 1	N 1	N 1	0	0	0	.	
16	3.0	8.0	-1.0	3.3	5.8	599.9	599.3	599.0	20	20	25	N 1	S 1	N 1	0	0	0	.	
17	-0.5	8.0	-1.0	2.2	4.5	598.1	598.7	597.1	25	10	30	N 1	S 1	N 1	10	0	0	.	
18	3.0	6.0	-3.7	1.8	3.9	596.0	595.4	595.1	30	30	33	N 1	S 1	S 1	0	0	0	.	
19	-4.2	5.0	-1.0	-0.1	1.8	595.3	594.1	594.3	30	40	50	S 1	S 1	S 1	2	10	10	.	
20	1.5	4.0	2.0	2.5	4.2	594.4	595.0	595.3	55	60	100	S 1	S 1	S 1	10	10●	10≡	6.2	●° 10-17, ≡ 15-n
21	2.0	3.0	-1.0	1.3	2.8	595.7	595.7	594.4	100	100	100	S 1	S 2	S 2	10●	10●	10●*	6.2	● n-n, ✱ 17-n
22	1.0	1.5	-1.0	0.5	1.8	593.9	595.8	596.0	100	100	100	S 1	S 1	S 1	10*	10*	10*	6.6	✱° n-n m.U.
23	3.0	3.5	3.0	3.2	4.3	596.3	597.6	596.1	50	50	100	S 1	S 1	SE 1	10	10	10●≡	34.5	● 13¾-n, ≡ 17-n
24	3.2	3.8	-1.8	1.7	2.6	595.5	596.0	598.3	100	64	89	SE 1	E 1	N 2	10●≡	9	10≡	5.3	● n-10½, ≡ n-11, 20-n
25	-0.8	8.0	3.8	3.7	4.4	599.2	599.8	599.5	65	21	100	N 0	W 1	S 1	2	0	5	.	
26	3.8	7.4	-0.8	3.5	4.0	597.4	596.3	596.4	75	39	100	S 1	S 0	NW 1	7	6	10≡	.	≡ 18¾-n
27	-2.4	8.2	0.4	2.1	2.4	596.5	596.6	595.7	100	19	89	N 1	N 0	N 1	10≡	0	4≡	.	≡ n-9½
28	-1.0	4.0	-0.6	0.8	0.9	593.2	593.0	592.3	71	25	71	N 1	N 1	N 1	5	2	5	0.8	
29	-2.6	-0.5	-4.2	-2.4	-2.5	590.3	590.6	592.4	72	72	89	N 1	NE 1	N 1	10≡	7≡	10≡	7.0	● ✱ zeitw. ≡ n-n
30	-3.0	1.8	0.0	-0.4	-0.7	592.0	591.7	592.5	68	33	37	N 1	N 1	N 1	0	3	0	.	
Mittel	-1.9	1.9	-2.6	-0.9	—	594.2	594.3	594.4	60	48	63				6.5	5.5	6.5	Summe 120.5	

$\lambda = 7° 26', \beta = 46° 57'$
$H_b = 572.2$ m, $G = 0.00$ mm.

Bern

Mai 1943.
Beobachter: *Tellur. Observatorium.*

Tag	Lufttemperatur 7³⁰	13³⁰	21³⁰	Mittel	Abweich. vom Normalst	Luftdruck 7³⁰	13³⁰	21³⁰	Relative Feuchtigkeit 7³⁰	13³⁰	21³⁰	Windrichtung und Stärke 7³⁰	13³⁰	21³⁰	Bewölkung 7³⁰	13³⁰	21³⁰	Niederschlag	Witterung
1	8.3	14.5	9.3	10.7	0.3	710.8	709.7	710.8	89	58	100	S 0	WNW 1	S 0	10	10	10●	3.3	● 15½, 17¼–23½
2	8.5	12.3	10.6	10.5	−0.1	707.6	706.4	705.7	100	80	94	NW 1	NW 1	NW 0	10	9	10	6.3	● 11½–n m.U.
3	8.9	7.9	7.3	8.0	−2.7	706.1	706.4	707.1	95	95	98	NE 2	NE 2	NNE 1	10	10	10●	0.1	●n–10¼, 20¾–21½, ● ztw.
4	5.5	9.9	7.1	7.5	−3.4	709.2	711.0	711.9	98	80	94	NE 2	N 2	NE 2	10	10	10	.	
5	8.2	16.6	12.3	12.4	1.4	711.2	709.4	707.8	91	53	68	W 0	N 1	SE 2	10	6	10	0.0	●tr. 7¾
6	9.6	14.5	8.3	10.8	−0.3	704.4	702.9	703.4	90	66	97	E 0	SW 1	SW 1	9	9	10●	2.7	● 11¼–11¾, 16½–21¾ m.U.
7	9.0	12.9	8.6	10.2	−1.1	703.8	703.9	704.8	80	59	96	WSW 2	NW 2	SE 1	9	7	10●	2.7	● 7¼, 10–12, 17–21¾ m.U.
8	8.0	13.0	8.5	9.9	−1.5	703.5	701.7	701.6	88	54	75	SW 1	WSW 2	WSW 2	9	10	9	10.5	●° 16¾
9	6.1	6.5	4.1	5.6	−5.9	**699.9**	702.9	709.5	92	81	97	SSW 2	WSW 3	NW 1	10●	10	10	10.7	● 4¼–12¾, 18¼–23¼ m.U.
10	**3.9**	12.3	8.1	8.1	−3.6	714.7	712.7	711.6	91	38	79	SW 0	SE 1	S 0	3	3	6	0.4	● 1¼, ☵ III
11	8.3	18.2	13.5	13.3	1.5	714.3	715.9	719.5	85	51	85	E 0	WSW 3	SW 0	10	9	10	0.3	● 4¼–5¼, 16½–23½ zeitw., [⚡ 10¾–14¾
12	12.3	20.4	16.4	16.4	4.5	722.1	721.6	722.2	84	51	69	SE 1	NE 1	S 0	1	2	0	.	
13	12.9	23.0	17.7	17.9	5.8	**723.6**	722.5	721.9	83	47	73	S 0	NE 1	SE 0	0	1	1	.	⊿ I
14	14.7	**25.1**	18.4	19.4	7.2	722.2	721.0	720.3	83	**32**	52	S 0	NE 2	NE 0	0	1	2	.	⊿ I
15	15.1	23.8	18.7	19.2	6.9	719.8	718.7	718.7	81	43	56	SE 0	NNE 2	SE 0	1	3	2	.	⊿ I
16	15.6	17.1	12.6	15.1	2.7	720.0	720.6	721.5	92	79	68	NE 2	ENE 2	ENE 1	9	8	3	.	☶ III
17	10.3	18.0	14.9	14.4	1.8	721.0	720.0	718.7	73	41	39	NE 2	NE 2	NE 2	1	0	3	.	
18	11.2	20.6	16.5	16.1	3.4	717.1	715.7	715.2	73	45	57	NE 1	NE 2	NE 1	0	1	0	.	
19	12.6	22.1	18.0	17.6	4.8	715.5	714.7	714.9	84	55	53	SE 0	N 2	E 0	6	3	0	.	⊿ I
20	13.3	23.5	16.2	17.7	4.8	716.2	715.2	715.5	85	49	76	SE 0	NNW 1	SE 1	2	6	6	.	⊿ I
21	14.5	21.1	15.0	16.9	3.8	715.5	714.1	714.2	88	63	72	S 0	N 1	SE 2	7	8	6	15.4	● 16¼–17¾ m.U., ⚡ ▲ 16¼
22	12.4	19.8	14.7	15.6	2.4	713.8	712.5	713.7	90	64	96	SE 0	WNW 2	WNW 1	9	10	10	7.5	● 14–n m.U., ⊤ p, n zeitw.
23	13.6	16.6	14.2	14.8	1.5	714.5	714.4	713.2	93	67	85	S 0	WNW 2	NE 1	9	10	0	0.3	● n–11¼, 10¾–11¼
24	11.7	16.0	8.6	12.1	−1.3	710.1	709.0	711.3	94	82	91	NE 0	N 1	W 1	10	9	10	**22.4**	● 8¾–20 zeitw.
25	9.1	8.6	7.2	8.3	−5.2	711.3	713.1	715.9	69	82	99	WSW 2	WSW 2	W 0	10	10●	10●	9.2	● 1½–23¾ zeitw.
26	8.8	13.4	8.6	10.3	−3.4	717.1	717.8	720.8	97	55	95	SE 0	NW 1	SE 0	9	9	3	0.1	● 2½–6½ m.U., 10½, 13½, [18½–19¾ m.U.
27	9.4	17.1	13.6	13.4	−0.4	721.3	720.3	719.9	80	47	88	SE 0	W 1	SE 0	1	9	5	.	
28	12.6	20.3	15.6	16.2	2.3	719.2	718.3	718.3	80	49	77	SE 0	W 1	W 0	2	7	7	.	⊿ I
29	13.3	22.2	17.6	17.7	3.7	717.4	715.6	714.8	84	40	78	E 0	W 1	NE 0	5	6	4	.	⊿ I
30	14.8	24.8	20.1	19.9	5.8	714.6	713.3	713.7	83	37	62	S 0	W 1	NW 1	1	4	10	.	
31	16.6	23.0	18.3	19.3	5.1	712.7	711.4	710.4	87	55	84	E 0	WNW 2	SW 0	7	4	1	3.2	
																		Summe	
Mittel	10.9	17.3	12.9	13.7	–	713.9	713.3	713.8	87	58	79				6.1	6.6	6.1	95.1	

$\lambda = 6° 57', \beta = 47° 0'$,
$H_b = 487.3$ m, $G = 0.02$ mm.

Neuchâtel

Mai 1943.
Beobachter: *Observatorium.*

Tag	7³⁰	13³⁰	21³⁰	Mittel	Abweich. vom Normalst	7³⁰	13³⁰	21³⁰	7³⁰	13³⁰	21³⁰	7³⁰	13³⁰	21³⁰	7³⁰	13³⁰	21³⁰	Niederschlag	Witterung
1	9.3	13.3	10.1	10.9	−0.2	718.4	717.5	718.2	81	67	93	NE 0	SW 1	SW 0	10	10	10●	0.7	●° 8½–n m.U.
2	9.7	14.6	10.9	11.7	0.4	715.1	713.8	713.0	95	69	97	NE 1	NE 2	SW 0	10	10	10●	8.0	●° a m.U., ● 15½–n
3	8.8	10.0	8.5	9.1	−2.3	713.5	713.6	714.9	97	93	93	NE 0	NE 2	NE 2	10●	10	10●	1.6	● n–n m.U.
4	7.0	11.5	8.4	9.0	−2.6	716.6	718.5	719.9	94	74	84	NE 2	NE 1	NE 2	10	10	10	0.3	● n (4./5.)
5	8.2	17.2	12.1	12.5	0.8	718.7	717.2	715.0	94	63	79	SW 0	S 1	NW 0	7	3	8	4.4	⚡ n (5./6.)
6	10.5	12.8	9.4	10.9	−0.9	711.8	710.5	710.9	90	80	85	NE 0	SW 1	SW 1	9	10	7	2.1	● n–n zeitw.
7	9.1	13.7	9.8	10.9	−1.1	711.2	711.5	712.1	86	59	69	SW 1	SW 2	NE 0	10	6	9	.	
8	9.5	12.7	8.5	10.2	−1.0	710.7	708.9	708.5	77	49	74	SW 1	SW 4	W 3	8	9	10●	9.9	● 18–n
9	6.6	8.6	4.7	6.6	−5.6	**708.1**	710.1	716.5	96	66	92	SW 1	SW 3	NW 0	10●	7	10●	**14.6**	● n–11, 17–n m.U.
10	**5.0**	13.2	9.7	9.3	−3.1	722.5	720.8	719.0	83	48	55	SE 1	SW 1	NW 1	1	1	2	0.6	
11	10.0	16.6	14.2	13.6	1.1	721.7	723.5	726.8	75	54	79	SW 2	SW 3	SW 2	10	8	10●	0.5	● n, ●tr. seit 9¼, ●sch. 21½
12	11.9	22.1	18.2	17.4	4.8	729.7	729.4	729.6	90	45	62	E 1	S 1	N 1	0	0	0	.	
13	12.8	24.6	18.2	18.5	5.7	**731.2**	730.2	729.2	87	49	68	SE 1	SW 1	W 0	0	1	1	.	
14	14.0	25.2	19.6	19.6	6.7	729.8	728.6	727.6	90	50	55	E 0	S 1	NE 0	0	0	0	.	
15	14.0	**27.4**	23.4	21.6	8.6	727.5	726.1	725.8	74	41	34	E 0	E 1	N 2	0	0	0	.	
16	17.9	22.0	14.3	18.1	5.0	727.3	727.8	728.9	76	58	58	E 2	E 3	NE 3	7	3	0	.	
17	11.1	20.7	16.3	16.0	2.7	728.5	727.5	726.2	50	**30**	32	NE 3	E 3	NE 3	1	0	1	.	
18	12.7	23.7	19.2	18.5	5.1	724.7	723.3	722.5	52	31	42	NE 2	E 2	NE 2	0	0	0	.	
19	13.1	25.2	19.9	19.4	5.9	723.2	722.1	722.2	73	37	44	E 0	E 1	N 1	1	0	0	.	
20	12.5	25.2	17.8	18.5	4.9	723.9	722.9	722.8	79	44	63	SE 1	S 1	N 1	5	3	4	.	
21	13.8	22.0	14.4	16.7	2.9	723.0	721.6	721.7	85	63	80	E 0	S 1	N 1	4	7	8	1.6	● 12–n zeitw., ⚡ 17½–18
22	13.0	16.4	15.5	15.0	1.1	721.3	720.2	721.1	91	89	81	E 1	W 0	SW 2	9	10	10	9.3	●sch. 12–n ztw., ●° seit 22¼,
23	14.1	20.6	14.4	16.4	2.4	722.0	721.6	720.6	89	57	73	SW 1	SW 2	N 1	10	8	1	0.2	●sch. a zeitw. [T p
24	12.1	15.3	9.8	12.4	−1.7	717.5	716.6	718.6	93	88	82	SE 0	S 1	W 2	10	10	8	14.2	● 8½–n m.U., ●°sch. 15
25	8.6	8.5	8.8	8.6	−5.6	719.0	720.9	723.6	82	89	92	SW 2	SW 3	SW 2	10●	10●	10●	11.5	● n–n m.U.
26	9.3	15.4	10.5	11.7	−2.7	724.6	725.4	728.4	92	60	80	SW 2	SW 2	NW 1	9	8	2	.	
27	8.4	17.3	14.6	13.4	−1.1	729.2	728.0	727.3	89	57	78	SE 1	S 1	W 0	0	10	9	.	●tr. p
28	11.5	22.0	18.2	17.2	2.6	727.1	726.0	725.5	93	53	54	SE 1	S 1	NW 2	1	6	0	.	
29	13.5	23.1	18.2	18.3	3.6	725.1	723.2	721.9	89	50	64	SE 1	S 1	NE 0	2	2	0	.	
30	14.3	26.5	21.8	20.9	6.1	722.0	720.5	720.6	89	44	40	SE 1	SW 1	NW 3	0	2	10	.	
31	16.9	24.8	18.5	20.1	5.2	719.9	718.9	717.3	79	48	80	E 1	SE 1	W 0	7	2	1	2.5	
																		Summe	
Mittel	11.3	18.5	14.2	14.6		721.4	720.9	721.2	84	58	70				5.5	5.4	5.2	82.0	

Mai 1943.
Beobachter: Frl. *H. Nager*.

Altdorf

$\lambda = 8° 39'$, $\beta = 46° 53'$,
$H_b = 456.3$ m, $G = -0.05$ mm.

Tag	Lufttemperatur 7³⁰	13³⁰	21³⁰	Mittel	Abweich. vom Normalst	Luftdruck 7³⁰	13³⁰	21³⁰	Relative Feuchtigkeit 7³⁰	13³⁰	21³⁰	Windrichtung und Stärke 7³⁰	13³⁰	21³⁰	Bewölkung 7³⁰	13³⁰	21³⁰	Niederschlag	Witterung
1	9.5	19.3	11.3	13.4	2.2	720.0	718.3	721.1	75	33	79	SE 0	S 0-1	NW 0	10	10	8	.	
2	10.2	14.9	11.3	12.1	0.8	717.9	716.0	714.6	93	41	90	NW 0	NW 1	NW 0	10	8	10		
3	12.5	10.5	9.5	10.8	-0.7	715.0	715.2	717.1	90	83	95	W 0	NW 1	NW 0	10	10	10●	0.0	● III
4	8.9	9.5	8.9	9.1	-2.5	719.0	721.1	721.9	93	83	94	NW 0-1	NW 1	NW 0	10●	10	10	0.2	● I
5	9.8	16.4	12.4	12.9	1.1	720.8	718.0	717.8	88	44	73	NW 0	NW 2	NW 0	8	8	10	.	
6	10.1	19.5	13.1	14.2	2.3	714.0	711.2	712.6	89	28	54	N 0	S 2	S 0	0	7	10	.	
7	10.6	12.8	9.3	10.9	-1.2	713.2	713.4	714.6	82	72	90	E 0	NW 0	NW 0	8	10●	10●	3.0	● II, III
8	10.5	15.5	9.9	12.0	-0.2	712.6	710.3	710.5	86	45	89	E 0	NW 0-1	NW 0	6	5	8	1.1	● seit 17½ zeitw.
9	9.9	6.7	6.2	7.6	-4.7	**708.4**	712.2	718.0	79	94	70	NW 0	SE 0	NW 2	10	10●	10●	**21.4**	● II, III
10	**6.1**	14.3	7.9	9.4	-3.1	724.8	722.5	721.5	74	**27**	79	E 0	S 0-1	S 0	4	3	5	0.4	
11	9.3	15.7	12.3	12.4	-0.2	723.4	725.9	729.5	72	46	92	W 0	NW 0	W 0	10	8	10	.	
12	12.9	21.5	14.8	16.4	3.6	732.1	731.0	732.9	84	43	65	NE 0	NW 1	S 0	7	3	0	.	
13	12.1	21.9	17.0	17.3	4.4	**733.3**	732.0	732.6	74	44	54	SE 0	N 0-1	SE 0	0	0	0	.	
14	12.9	22.7	17.5	17.7	4.7	731.8	730.6	730.5	70	45	67	E 0	NW 0	SE 0	0	0	5		
15	14.3	22.7	16.3	17.8	4.6	730.0	728.4	728.8	85	45	67	S 0	N 0-1	NW 0	0	3	0	.	
16	14.7	19.3	14.5	16.2	2.9	730.2	729.7	732.0	77	51	65	E 0	NW 2-3	N 0	4	8	10	.	
17	11.9	18.3	13.9	14.7	1.3	731.6	730.1	729.5	70	45	57	NW 0	NW 0	E 0	10	3	.	.	
18	10.8	18.9	15.1	14.9	1.4	727.3	725.7	725.5	77	43	63	NE 0	NW 0-1	E 0	0	0	0		
19	12.3	21.3	15.7	16.4	2.7	725.4	724.2	724.5	78	47	64	E 0	NW 0-1	W 0	0	3	2	.	
20	19.8	24.7	16.3	20.3	6.5	726.0	724.4	725.4	73	31	53	NW 0	NW 1	SW 0	1	3	3	.	
21	15.3	23.3	16.5	18.4	4.5	725.1	723.0	723.8	69	40	60	NE 2	NW 1	NW 0	3	6	7	.	
22	14.9	23.5	14.0	17.5	3.5	722.9	721.7	722.9	77	44	82	SE 0	SW 0-1	NW 0	7	6	10	15.4	
23	13.9	19.0	14.7	15.9	1.8	725.5	723.6	723.8	92	59	90	E 0	NW 0	NW 0	10●	9	8	3.7	● I
24	13.1	17.5	11.3	14.0	-0.2	720.3	719.2	720.9	88	65	79	E 0	NW 0	N 1	8	10●	10	5.0	●° II
25	11.0	13.3	8.8	11.0	-3.3	720.3	721.2	725.7	87	43	88	E 0	N 1-2	E 0-1	8	10	10●	2.4	● III
26	9.0	12.4	9.9	10.4	-4.0	726.8	728.5	731.4	90	45	90	S 0	NE 1	N 0	10●	10	10	2.3	● n-p zeitw.
27	10.3	17.7	13.9	14.0	-0.5	731.2	729.4	730.0	78	43	65	NE 2	NW 0	NW 0	4	7	8	2.1	● 18[illegible]
28	12.4	21.3	16.7	16.8	2.2	729.1	727.4	728.2	75	37	62	S 0	NW 2	NW 0	1	6	10	.	
29	14.1	23.1	15.4	17.5	2.8	727.2	724.4	724.0	75	38	77	N 0	NW 1-2	NW 0	3	4	2	.	
30	15.3	**25.6**	18.7	19.9	5.1	725.0	722.3	722.6	62	39	60	NW 0	NW 1-2	E 0-1	2	2	4	.	
31	17.7	22.5	18.5	19.6	4.7	722.3	720.7	720.5	70	50	66	SE 0	NW 0-1	SE 0	6	7	5	.	●° II
																		Summe	
Mittel	12.1	18.3	13.3	14.6	—	723.7	722.7	723.7	80	48	73				5.7	6.1	6.0	57.9	

Mai 1943.
Beobachter: *Observatorium*.

Genf

$\lambda = 6° 9'$, $\beta = 46° 12'$,
$H_b = 405.0$ m, $G = -0.03$ mm.

Tag	7³⁰	13³⁰	21³⁰	Mittel	Abweich. vom Normalst	7³⁰	13³⁰	21³⁰	7³⁰	13³⁰	21³⁰	7³⁰	13³⁰	21³⁰	7³⁰	13³⁰	21³⁰	Niederschlag	Witterung
1	10.4	14.4	11.8	12.2	0.8	725.6	724.7	724.6	82	74	93	NNE 0	SSE 1	E 0	10	10	10●	2.1	● 7¾, ●° abds.-n
2	10.6	13.2	10.8	11.5	-0.1	722.0	721.1	720.9	93	83	91	NNE 1	SE 0	E 0	10	10●	10●	4.9	●° n-n
3	9.2	11.7	9.2	10.0	-1.7	720.7	720.5	721.9	92	81	90	E 0	NE 0	NNE 1	10	10	10	1.6	● 15¾-n
4	9.6	12.6	10.0	10.7	-1.2	723.6	725.4	726.5	92	79	84	NNE 1	NNE 1	NNE 1	10	10	0	.	
5	10.0	10.8	12.5	13.1	1.1	726.0	724.1	721.9	86	71	86	E 0	NE 1	NE 1	9	5	6	0.2	●sch. 9½, ⌒ n (5./6.)
6	10.2	12.6	10.2	11.0	-1.2	718.5	717.7	718.6	95	83	76	ENE 0	S 1	ESE 1	10	9	6	4.2	● n-n m.U.
7	10.2	14.8	10.4	11.8	-0.5	718.8	718.2	719.0	86	58	85	E 0	E 1	E 0	9	5	8	1.4	●° seit 14¾ zeitw., ⌒ 17¾
8	10.6	13.8	12.7	12.4	-0.1	718.2	717.2	717.0	74	52	60	SE 1	S 2	S 2	5●	9	3	12.5	● I. ●sch. 18, ● n
9	9.2	11.7	6.0	9.0	-3.6	**714.4**	718.8	725.8	78	**24**	88	SSW 2	SSE 1	ESE 1	10	9	10	9.2	● n-n m.U., T 17¾
10	**5.8**	12.4	13.2	10.5	-2.2	730.3	727.8	726.9	88	44	53	E 0	NNE 1	E 1	[illegible]	2	2	0.5	●° n (10./11.)
11	11.4	18.4	15.6	15.1	2.2	730.0	731.5	734.3	75	60	76	E 0	SW 1	ESE 1	9	10	9	.	
12	12.4	19.0	17.4	16.3	3.3	736.6	736.1	736.2	86	62	70	ENE 0	NNE 1	E 0	0	1	0	.	
13	14.0	21.6	18.8	18.1	5.0	**738.8**	736.7	735.8	78	55	71	E 0	NNE 1	E 0	0	0	0		
14	14.7	23.6	20.4	19.6	6.3	737.0	734.9	733.8	81	56	71	ENE 0	NNE 1	E 0	0	1	0	.	
15	16.9	23.8	20.4	20.4	7.0	734.2	732.5	732.2	75	53	61	ESE 0	NNE 1	NE 0	0	1	0	.	
16	18.0	22.4	15.3	18.8	5.3	733.1	732.5	734.5	71	62	67	NNE 2	NNE 3	NNE 2	0	1	0	.	
17	11.5	17.9	15.8	15.1	1.4	735.5	734.3	732.7	68	59	61	NE 1	N 1	NE 1	1	0	0		
18	13.3	19.2	17.4	16.6	2.8	731.6	730.2	729.3	61	53	70	NE 0	N 1	SE 1	0	0	0	.	
19	15.3	21.2	19.0	18.5	4.6	730.1	728.8	729.0	75	56	73	E 0	NNE 1	W 0	0	1	0	.	
20	15.9	23.4	19.3	19.5	5.5	730.8	729.6	730.3	76	55	68	E 0	NNE 1	NE 1	0	2	4	.	
21	16.7	21.0	17.3	18.5	4.3	729.8	728.1	728.2	78	63	76	NE 0	NNE 1	NE 0	4	8	4		●sch. 15½, T 15
22	14.8	25.2	16.1	18.7	4.4	728.2	726.4	728.8	82	47	79	NE 0	S 1	E 1	9	6	6	0.0	⌒ ● 18½
23	16.5	21.4	16.4	18.1	3.7	729.3	728.5	727.1	77	56	84	E 0	NE 0	NE 1	7	7	1	.	
24	12.8	15.2	10.6	12.9	-1.6	724.4	724.3	726.9	90	91	88	E 0	N 0	E 0	9	10	3	17.8	● seit 8¾, n, ⌒ 14
25	12.0	12.0	9.8	11.3	-3.4	728.0	729.4	731.6	67	78	85	S 1	SE 1	E 1	8	10	10	3.2	● seit 10, ●sch. 15½
26	9.5	11.8	11.1	10.8	-4.0	732.3	733.4	735.0	85	80	81	NE 0	NE 1	NE 1	10	9	0	.	
27	10.7	18.2	15.4	14.8	-0.1	736.4	734.9	734.1	83	57	74	E 0	NNE 1	NE 0	0	5	1	.	
28	14.2	20.0	18.1	17.4	2.4	733.9	733.0	732.5	80	78	67	NE 0	NNE 1	NE 0	2	3	0	.	
29	15.8	21.4	18.0	18.4	3.2	732.0	729.6	728.7	79	61	82	E 0	NNE 1	NE 0	0	1	0	.	
30	16.4	20.3	21.0	19.2	3.9	728.9	727.5	727.7	78	71	65	NE 0	NNE 1	NE 0	1	3	10	2.1	⌒ 20½, ●sch. T 21½
31	16.0	**25.8**	22.4	21.4	6.0	726.8	725.7	724.4	87	58	71	NE 1	W 1	S 1	9	3	6	15.3	
																		Summe	
Mittel	12.8	18.0	14.9	15.2	—	728.6	727.8	728.3	81	63	76				4.9	5.2	3.8	75.9	

$\lambda = 8° 33'$, $\beta = 47° 23'$, $H_b = 493.2$ m, $G = 0.03$ mm.

Zürich

Mai 1943.
Beobachter: *Meteorol. Zentralanstalt.*

Tag	Lufttemperatur 7³⁰	13³⁰	21³⁰	Mittel	Abweich. vom Normalst.	Luftdruck 7³⁰	13³⁰	21³⁰	Relative Feuchtigkeit 7³⁰	13³⁰	21³⁰	Windrichtung und Stärke 7³⁰	13³⁰	21³⁰	Bewölkung 7³⁰	13³⁰	21³⁰	Niederschlag	Witterung
1	9.8	17.1	10.4	12.4	1.6	717.5	715.7	717.9	76	43	100	ESE 0	NNW 1	WSW 1	10	10	10	2.3	●tr. 14½, ● 17½–22
2	9.7	16.4	13.2	13.1	2.1	715.1	712.9	711.9	91	57	75	NNW 1	N 1	NE 2	10	9●	9	0.4	●tr. II
3	8.6	9.6	8.4	8.9	−2.2	712.8	713.6	714.2	97	78	98	NNE 2	NNE 2	NE 1	10●	10	10●	4.6	● 7¼–9¼, 17¼–22¾/4
4	7.0	9.2	8.2	8.1	−3.2	716.4	718.6	719.1	84	72	87	NNE 2	NNW 1	NNE 1	10	10	10	.	● 1–2¾/4, ●° fr. zeitw.
5	9.2	18.0	12.0	13.1	1.7	718.0	716.3	714.7	84	43	72	NNE 0	WNW 2	WSW 1	10	6	10●	2.7	● 21¼–n m.U.
6	11.6	19.5	10.9	14.0	2.4	711.2	708.8	709.9	81	42	80	ENE 1	NNE 1	WNW 1	4	9	10	2.0	● n–1½, ●° fr., p zeitw..
7	10.3	15.0	9.3	11.5	−0.2	709.9	710.2	711.7	67	49	84	WNW 1	NW 2	E 0	5	7	10	0.0	●tr. III [●² 19¼
8	8.7	15.7	12.1	12.2	0.3	709.9	707.8	707.5	74	46	53	WNW 1	WNW 1	WSW 2	8	10	10	0.0	
9	7.8	8.0	5.3	7.0	−5.1	**706.5**	708.9	714.7	80	75	90	WSW 2	WSW 2	W 1	10●	10	10	13.6	● 7½–11½, 16¾–24¾/4 ztw.
10	**5.2**	15.1	9.4	9.9	−2.3	721.9	720.0	718.0	79	**29**	54	SE 1	SW 1	SE 1	1	3	9	0.0	● 2½–3
11	10.6	18.1	15.0	14.6	2.2	720.4	722.4	726.0	61	47	67	S 1	S 2	SSW 0	10	6	10●	0.5	●° 21½–24¼ zeitw.
12	12.5	23.3	15.4	17.1	4.6	729.1	728.7	729.1	90	38	63	SSE 1	WNW 1	ENE 0	4	2	0	.	
13	13.7	27.1	18.4	19.7	7.0	**730.3**	729.4	728.7	78	32	61	E 0	SW 1	NE 0	0	1	1	.	
14	15.1	**27.5**	18.9	20.5	7.7	728.9	728.1	727.3	73	33	46	N 0	NE 2	NE 2	1	1	2	.	⌓ I
15	15.4	27.1	17.6	20.0	7.1	726.9	725.7	725.6	57	**29**	53	NW 1	NNE 1	NNE 0	1	2	1	.	
16	16.1	15.7	12.4	14.7	1.6	727.7	728.6	729.3	80	71	66	NE 1	E 2	N 2	10	10	1	.	
17	9.3	20.9	12.3	14.2	1.0	728.7	727.8	726.8	61	30	42	NE 2	NE 2	NW 1	3	1	1	.	
18	11.3	23.8	17.5	17.5	4.2	724.5	722.9	722.6	57	33	48	NNE 1	NE 2	NE 1	0	0	0	.	
19	13.0	24.5	17.6	18.4	4.9	722.6	721.7	721.8	71	37	50	N 1	E 1	NE 1	6	2	0	.	
20	13.0	26.5	17.5	19.0	5.4	723.1	722.2	721.6	70	34	62	NNW 0	WSW 1	NNW 0	0	1	1	.	
21	14.5	23.7	16.5	18.2	4.5	722.3	720.9	720.6	74	41	55	NNW 0	NNW 1	ESE 1	4	9	8	0.0	●tr. 18
22	15.5	25.2	15.3	18.7	4.8	720.1	718.5	719.8	72	36	83	WSW 1	NNE 2	S 1	6	7	10●	2.4	● 21¼–n
23	15.8	15.8	13.1	14.9	0.9	720.9	721.1	720.6	72	78	98	S 2	WNW 1	E 1	9	9	4	1.0	● n–2¼, 12–13½
24	11.4	17.1	11.9	13.5	−0.6	716.9	715.9	717.2	94	68	53	NW 1	SSE 2	SSW 2	10	10	9	7.5	● 11¼–12¼, 16¼–20½
25	10.2	8.9	8.2	9.1	−5.1	717.5	718.8	721.9	60	85	98	W 3	W 3	WNW 2	10	10●	10●	**15.6**	●²sch. 3, 5, ● 9¾–24¾/4 m.U.
26	9.1	15.3	10.1	11.5	−2.9	723.4	724.5	727.3	84	52	93	WSW 1	WSW 2	SE 1	10	7	10	3.4	● 16½–17½, 18¼, 23½
27	10.6	17.7	13.0	13.8	−0.7	728.1	726.6	726.8	87	44	84	SE 1	W 2	S 1	5	9	5	.	
28	12.5	22.8	17.4	17.6	3.0	726.2	725.0	725.1	85	36	61	SE 1	NW 1	NE 1	1	6	9	.	⌓ I
29	14.6	24.5	17.6	18.9	4.2	724.5	722.2	721.3	75	36	54	SSW 1	N 2	WNW 1	5	6	9	.	⌓ I
30	14.6	26.4	19.0	20.0	5.2	721.1	720.0	719.8	80	30	55	N 1	N 0	N 0	2	4	9	0.0	
31	17.8	24.0	18.4	20.1	5.2	719.4	718.2	716.9	67	43	78	NW 0	WNW 1	NNW 0	9	6	1	0.0	
																		Summe	
Mittel	11.8	19.3	13.6	14.9	—	720.7	720.1	720.5	76	47	70				5.9	6.2	6.4	56.0	

$\lambda = 8° 30'$, $\beta = 47° 3'$, $H_b = 1787.3$ m, $G = -0.20$ mm.

Rigi-Kulm

Mai 1943.
Beobachter: *J. Wiget.*

Tag	7³⁰	13³⁰	21³⁰	Mittel	Abweich.	7³⁰	13³⁰	21³⁰	7³⁰	13³⁰	21³⁰	7³⁰	13³⁰	21³⁰	7³⁰	13³⁰	21³⁰	Niederschlag	Witterung
1	5.8	7.6	1.2	4.9	2.9	613.7	612.6	613.4	47	53	100	SW 1	SE 2	W 0	10	10	10≡	.	≡ 17¾–n
2	3.8	6.2	4.6	4.9	2.7	610.9	609.9	609.3	70	70	78	SE 2	SE 1	SE 2	10	10≡	10	3.4	≡ II
3	4.2	3.6	3.4	3.7	1.3	609.5	609.0	609.3	100	100	100	SE 1	E 1	SE 1	10≡	10≡	10	.	≡ I, II
4	2.6	5.6	3.0	3.7	1.2	611.1	612.8	613.6	100	76	100	SW 0	NE 0	SW 0	10≡	10≡	10≡	.	≡ n–n
5	3.4	6.0	5.2	4.9	2.2	613.2	613.2	611.4	66	84	65	SW 2	W 1	NW 0	10	5	10	3.6	● p (5./6.)
6	4.8	7.4	3.2	5.1	2.2	608.5	607.0	607.0	60	51	100	ESE 2	S 3	W 1	5	7	10	.	≡ zeitw.
7	0.6	1.6	0.0	0.7	−2.4	606.5	606.9	607.0	87	100	100	SW 2	E 1	W 2	7	10≡	10≡	18.7	✳ 13½–n, ≡ II, III
8	0.6	4.8	3.2	2.9	−0.4	606.2	605.8	605.0	100	75	68	SW 0	SW 1	W 2	10≡	8	5	.	≡ I ⊠
9	−0.8	−2.8	−3.0	−2.2	−5.7	**603.0**	603.9	608.6	100	100	100	W 2	W 5	W 3	10*≡	10*≡	10≡	16.6	✳ seit 7½, ≡ n–n m U.
10	**−4.8**	−1.4	2.2	−1.3	−4.9	614.1	614.7	613.8	100	100	54	SW 1	SW 0	SW 2	2	4	8	.	⊠
11	3.8	5.4	5.0	4.7	0.9	615.9	618.5	619.2	60	87	94	SW 4	W 1	SW 2	10	10	10	6.0	● 19 n zeitw.
12	5.6	10.6	9.5	8.5	4.5	624.0	624.9	625.7	90	69	58	W 0	SW 0	NE 1	5	4	3	.	
13	11.0	14.0	**15.0**	13.3	9.1	626.4	**627.0**	626.3	48	52	45	SW 0	SE 0	E 0	0	1	1	.	
14	12.2	**15.0**	12.5	13.2	8.9	625.4	625.9	625.0	45	55	45	E 1	SE 1	SE 0	0	0	0	.	
15	12.2	13.2	12.0	12.5	8.0	623.3	623.4	623.1	62	75	43	E 1	E 0	E 1	1	2	2	.	
16	7.2	6.2	4.5	6.0	1.3	622.9	623.2	623.2	100	100	100	E 2	E 1	SE 2	10≡	10≡	10	.	≡ n–16
17	3.8	7.2	6.5	5.8	1.0	622.1	622.9	622.4	75	**62**	**35**	E 4	NE 1	NE 1	3	1	0	.	
18	8.2	9.8	8.0	8.7	3.7	619.5	619.7	619.7	39	54	45	E 4	NE 1	NE 1	0	0	3	.	
19	10.2	12.4	9.0	10.5	5.4	618.8	619.3	619.3	47	59	51	E 1	NE 0	W 0	3	3	0	.	
20	9.6	13.2	10.0	10.9	5.7	619.8	620.3	619.9	58	41	42	W 0	W 0	W 0	0	3	4	.	
21	9.6	13.6	10.0	11.2	5.8	619.3	619.1	618.4	70	55	57	W 0	SW 0	W 0	4	6	7	.	
22	9.4	11.2	8.2	9.6	4.1	617.4	617.1	617.6	74	65	74	W 0	W 0	W 2	7	7	10	**27.0**	● ▲ ⌫ 15¾–16¼, ● p–n
23	5.0	6.8	6.0	5.9	0.3	617.4	617.2	617.1	100	100	100	W 2	W 2	W 0	10≡	10≡	10	14.8	● 14–16, ≡ n–18 [zeitw.
24	9.8	6.2	0.0	5.3	−0.4	614.4	614.2	612.4	40	100	100	W 2	SW 2	SW 3	10	10●	10●	19.0	● 12–n zeitw., ≡ zeitw.
25	−1.0	0.0	−1.0	−0.7	−6.5	612.3	613.2	616.0	100	100	100	SW 3	W 3	W 3	10	10≡	10≡	5.0	✳ zeitw., ≡ II, III
26	−0.6	0.3	1.2	0.3	−5.7	617.2	618.8	621.8	100	100	85	W 1	W 2	N 1	10≡	10≡	10	2.1	✳° zeitw., ≡ I, II
27	3.2	6.4	5.2	4.9	−1.2	622.5	622.2	622.1	72	80	100	W 0	SW 1	W 1	4	8	10	.	≡ III
28	7.6	10.4	7.2	8.4	2.2	621.5	621.6	621.9	67	67	65	SW 0	W 0	W 0	2	7	8	.	≡ zeitw.
29	9.0	10.8	8.0	9.3	3.0	620.4	620.1	619.5	70	68	78	E 0	W 0	W 0	5	6	5	.	
30	8.6	13.5	11.4	11.2	4.8	618.2	618.2	618.4	80	72	55	W 1	W 0	W 1	3	5	10	0.3	
31	10.6	14.0	10.5	11.7	5.2	617.1	616.0	617.4	75	72	75	W 0	S 1	S 1	5	7	6	.	
																		Summe	
Mittel	5.7	7.7	5.9	6.4	—	616.5	616.8	616.9	74	76	75				6.0	6.6	7.2	116.5	

Mai 1943.
Beobachter: *P. Nogler.*

Bevers

$\lambda = 9° 53'$, $\beta = 46° 33'$,
H_b = ca. 1710 m, G = –0.23 mm.

Tag	Lufttemperatur 7³⁰	13³⁰	21³⁰	Mittel	Abweich. vom Normalst	Luftdruck 7³⁰	13³⁰	21³⁰	Relative Feuchtigkeit 7³⁰	13³⁰	21³⁰	Windrichtung und Stärke 7³⁰	13³⁰	21³⁰	Bewölkung 7³⁰	13³⁰	21³⁰	Niederschlag	Witterung
1	5.7	10.6	4.6	7.0	3.5	620.5	619.2	619.8	84	32	88	S 1	S 2	S 0	10	10	0	2.2	
2	4.6	8.2	4.4	5.7	2.1	617.8	615.2	616.8	100	71	100	S 0–1	W 2	W 1	10●	10	10	5.2	●° n-10
3	6.0	10.0	5.2	7.1	3.3	615.9	616.4	616.6	100	100	100	S 0	W 1	SE 0	10●	10●	10	6.1	● n-20
4	6.7	11.0	6.1	7.9	3.9	618.0	618.3	620.2	94	61	94	E 0	S 0	S 1	10●	8	10	.	● n-10½
5	7.0	10.8	3.1	7.0	2.8	619.7	618.8	618.2	81	61	94	S 1	SW 3	W 1	8	5	0	.	
6	6.1	7.8	3.0	5.6	1.2	615.7	614.3	614.7	72	71	94	W 0	W 2	W 1	10	10	6	2.2	
7	4.8	10.0	2.0	5.6	1.0	612.5	612.2	612.7	88	100	100	S 1	SW 2	W 1	10	10●	10	15.5	● n, 8–11, 14–18
8	2.4	12.0	4.2	6.2	1.4	611.6	611.2	610.6	85	63	84	NE 1	SE 2	W 1	6	4	0	.	
9	5.3	4.4	**–2.2**	2.5	–2.5	610.0	**609.6**	610.0	68	100	100	W 1	W 3	N 2	10	10*	10*	**20.0**	● 10–a, ✳ 13-n
10	–0.2	7.2	–1.7	1.8	–3.3	620.1	622.0	622.5	78	68	91	N 2	SW 1	NW 1	10	3	0	.	
11	0.9	12.0	3.9	5.6	0.3	622.9	625.3	627.7	74	31	87	NE 2	NW 1-2	NW 1	10	4	6	.	
12	5.0	20.3	4.3	9.9	4.4	630.3	631.9	**632.5**	78	**30**	81	SW 1	S 2	SW 1	2	0	0	.	
13	5.2	**24.8**	6.8	12.3	6.7	631.9	632.0	632.2	72	**30**	72	SW 1	S 1	SW 0	0	0	0	.	
14	6.9	24.0	9.2	13.4	7.6	631.4	631.4	631.0	71	**30**	73	W 1	S 0	SW 2	0	4	8	.	
15	8.2	20.0	12.0	13.4	7.4	629.9	627.5	628.5	74	31	64	W 0	SSW 2	W 1	0	10	10	.	
16	9.2	15.8	7.0	10.7	4.6	628.0	627.7	628.8	77	48	76	ENE 1	SE 2	W 1	10	10	3	.	
17	7.2	19.2	6.7	11.0	4.7	628.9	628.5	627.9	76	31	65	S 1	SE 2	NE 2	0	0	0	.	
18	4.3	23.0	7.6	11.6	5.2	626.5	625.7	625.3	75	**30**	70	N 1	SW 2	W 1	0	0	0	.	
19	9.2	20.8	10.2	13.4	6.8	625.0	624.8	624.7	68	32	50	SW 1	E 2	W 1	0	0	0	.	
20	13.0	21.0	7.2	13.7	7.0	625.3	625.3	625.4	31	47	77	S 1	SW 2	W 1	0	2	0	.	
21	9.3	15.6	5.2	10.0	3.1	625.3	624.0	624.1	72	68	97	SW 1	NW 2	W 1	4	10	7	1.6	●² 15-16
22	6.3	12.3	5.6	8.1	1.1	623.3	622.3	622.7	92	63	88	W 1	SW 3	SW 1	10	6	2	0.4	● sch. n–11, 16–18 zeitw.
23	7.3	14.8	9.6	10.6	3.5	622.6	622.6	622.4	96	47	75	SE 1	SW 2–3	W 1	10	10	8	.	
24	8.2	11.6	4.0	7.9	0.6	621.6	619.9	618.7	82	80	100	S 1	W 2	SW 1	6	10●	10●	8.2	● sch. a zeitw., ● 14¾–n
25	5.0	8.0	3.0	5.3	–2.1	617.7	618.3	620.8	74	47	73	W 1	NW 2-3	NW 1	10	8	10	0.3	
26	3.2	8.1	3.2	4.8	–2.7	621.1	625.1	626.9	69	74	93	N 1	N 2–3	N 2	10*	10*	6	14.1	✳ ⊹ n–20½
27	6.0	10.9	5.2	7.4	–0.3	627.3	627.3	627.2	68	71	100	SE 0	NE 2	E 1	8	7	10●	4.0	● 18–n
28	7.0	19.0	9.2	11.7	3.9	627.2	627.1	627.1	88	39	73	S 0	E 0	SE 1	7	6	6	.	
29	9.0	20.9	9.0	13.0	5.1	626.4	624.6	624.0	76	41	75	W 0	SW 1	W 1	10	4	8	.	
30	2.3	18.2	8.0	9.5	1.5	623.4	623.5	624.0	59	42	78	W 0	W 1–2	W 0	6	7	10	.	
31	11.6	15.5	8.9	12.0	3.9	622.0	622.3	622.8	75	70	95	SW 1	SW 1	W 2	8	9	0	1.3	● sch. 11¾, ⌐● 14½
Mittel	6.2	14.5	5.6	8.8	—	622.6	622.4	622.8	77	55	84				6.6	6.4	5.2	Summe 81.1	

Mai 1943.
Beobachter: *Kapuzinerkloster.*

Sitten

$\lambda = 7° 21'$, $\beta = 46° 14'$,
H_b = 548.6 m, G = –0.11 mm.

Tag	Lufttemperatur 7³⁰	13³⁰	21³⁰	Mittel	Abweich. vom Normalst	Luftdruck 7³⁰	13³⁰	21³⁰	Relative Feuchtigkeit 7³⁰	13³⁰	21³⁰	Windrichtung und Stärke 7³⁰	13³⁰	21³⁰	Bewölkung 7³⁰	13³⁰	21³⁰	Niederschlag	Witterung
1	11.1	19.7	11.4	14.1	1.7	713.0	710.4	712.7	61	43	89	NNE 1	WSW 2	W 1	10	10	10	0.4	●° abds.
2	10.9	16.6	11.5	13.0	0.4	709.4	707.8	707.9	89	57	75	W 0	WSW 1	W 2	10	10	8	0.3	●° a zeitw.
3	11.1	16.8	13.3	13.7	1.0	708.0	706.2	708.5	94	54	73	W 1	W 2	W 1	10	10	10●	0.6	●° abds.–n
4	10.6	15.4	11.9	12.6	–0.3	710.7	711.7	713.5	85	64	75	W 1	W 1	W 1	10	9	10	0.0	
5	11.1	18.9	13.7	14.6	1.6	713.6	710.8	710.1	81	54	65	W 0	SW 2	W 0	10=	5	9	2.2	≡ I, ● n
6	11.7	16.7	11.2	13.2	0.0	706.5	704.9	705.4	74	41	79	NE 0	E 3	W 2	7	9	5	.	⸗ p zeitw.
7	10.1	17.9	11.9	13.3	0.0	706.3	704.5	705.4	83	45	58	NE 0	WSW 2	W 2	7	6	6	.	
8	11.8	16.8	13.6	14.1	0.6	705.5	703.2	703.1	67	35	41	W 1	W 3	NE 2	3	9	4	0.1	⸗ p zeitw.
9	10.0	10.2	**7.1**	9.1	–4.5	**702.3**	704.7	710.9	69	58	94	W 2	W 2	W 1	10	10	10●	4.9	● 7-12 m.U., 17-17½, 19¼-n
10	7.7	15.1	10.6	11.1	–2.7	717.0	714.7	714.3	64	**31**	53	NNW 0	NNW 0	NE 1	0	2	0	.	
11	8.8	22.0	14.9	15.2	1.3	717.5	717.3	720.4	70	41	69	W 1	WSW 1	WSW 1	10	5	9	.	
12	14.0	23.9	17.3	18.4	4.4	724.3	722.5	723.4	68	42	59	NE 1	WSW 1	NNE 3	1	1	0	.	
13	15.2	25.8	19.2	20.1	5.9	**725.9**	723.0	723.2	63	41	52	NNE 1	WSW 1	W 0	0	0	1	.	
14	16.3	26.9	20.1	21.1	6.8	724.5	721.7	721.1	57	41	51	NE 1	WSW 1	N 2	0	0	3	.	
15	17.3	26.6	20.7	21.5	7.1	721.8	718.5	719.0	57	45	55	NE 0	WSW 2	WNW 1	0	1	0	.	
16	17.8	26.3	18.2	20.8	6.2	720.5	718.2	720.1	59	44	62	NNE 0	WSW 1	W 0	1	1	0	.	
17	14.3	21.1	17.4	17.6	2.9	722.0	719.7	719.5	74	53	55	W 1	SW 2	W 1	0	1	2	.	
18	15.1	22.2	18.8	18.7	3.9	718.5	716.0	716.3	70	52	56	NE 1	WSW 2	W 0	0	0	0	.	
19	15.9	24.6	18.3	19.6	4.7	717.4	714.9	716.0	66	47	57	NE 1	SW 1	NNW 1	1	1	0	.	
20	16.6	26.5	19.0	20.7	5.6	718.2	715.9	716.7	62	42	47	NE 1	SW 2	NNE 2	0	2	1	.	
21	18.2	27.0	16.4	20.5	5.3	717.5	714.4	716.3	58	38	62	NE 1	W 2	NE 3	2	9	3	0.0	●° 16½
22	16.0	20.2	16.8	17.7	2.4	716.0	715.1	717.1	62	54	81	NE 1	E 1	W 0	7	7	10	3.1	● 17½–n
23	15.8	21.4	16.9	18.0	2.6	716.9	714.5	714.7	75	50	55	W 0	W 2	WSW 0	6	4	0	.	
24	14.3	16.5	12.9	14.6	–0.9	713.1	713.6	715.3	70	77	65	NE 0	W 1	W 0	9	10	9	**15.2**	● 8–n m.U.
25	13.0	14.8	8.5	12.3	–3.4	714.3	715.3	718.2	57	50	77	W 2	W 1	W 0	6	10	7	1.1	●° a–n zeitw.
26	12.1	17.2	12.1	13.8	–2.0	719.0	719.1	722.0	70	47	59	W 1	W 2	W 1	10	3	2	0.0	
27	11.2	22.6	15.2	16.3	0.4	724.0	721.0	721.3	63	42	60	NE 0	SW 1	W 0	0	7	3	.	
28	14.1	22.7	18.0	18.3	2.3	721.9	719.2	719.6	65	45	50	NE 1	SW 2	W 0	1	2	4	.	
29	15.1	24.4	18.9	19.5	3.4	719.8	716.2	716.0	66	47	49	NE 1	WSW 1	W 0	1	2	2	.	
30	17.7	**27.3**	20.2	21.7	5.5	716.3	714.1	714.8	62	37	47	N 0	WSW 2	WSW 0	1	4	3	6.1	
31	17.4	23.7	18.7	19.9	3.6	716.6	713.3	712.6	72	51	65	NE 2	WSW 1	W 0	8	7	5	0.6	● a zeitw
Mittel	13.6	20.9	15.3	16.6	—	716.1	714.3	715.3	69	47	62				4.5	5.1	4.4	Summe 34.6	

$\lambda = 8° 57'$, $\beta = 46° 0'$, $H_b = 276.2$ m, $G = -0.01$ mm.

Lugano

Mai 1943.
Beobachter: *G. Vicari.*

Tag	Lufttemperatur 7³⁰	13³⁰	21³⁰	Mittel	Abweich. vom Normalst.	Luftdruck 7³⁰	13³⁰	21³⁰	Relative Feuchtigkeit 7³⁰	13³⁰	21³⁰	Windrichtung und Stärke 7³⁰	13³⁰	21³⁰	Bewölkung 7³⁰	13³⁰	21³⁰	Niederschlag	Witterung
1	12.8	18.2	12.8	14.6	1.3	739.6	738.1	737.1	81	37	65	SSW 1	W 1	NNW 1	10	10	10●	7.5	● abds.-n
2	10.4	11.2	10.2	10.6	−2.8	735.7	735.3	734.9	97	87	98	SSW 0	S 0	WSW 0	10●	10●	10●	30.0	● n-n
3	10.4	11.2	11.2	10.9	−2.7	733.4	732.8	732.4	98	92	98	SE 0	SE 0	NNE 0	10●	10●	10●	43.6	● n-n
4	11.4	13.2	11.8	12.1	−1.6	734.6	736.5	738.6	98	89	96	N 0	S 1	S 1	10●	10●	10●	24.8	● n-n
5	9.4	12.4	11.4	11.1	−2.7	739.7	739.2	736.7	93	55	78	S 0	S 1	NNE 1	10●	10	10	2.1	●° n-8
6	10.4	11.0	9.4	10.3	−3.7	734.2	733.1	731.5	94	88	95	WSW 0	W 0	NNW 1	10●	10●	10●	29.5	● n-n
7	9.0	11.2	10.6	10.3	−3.8	729.8	729.8	728.7	97	90	89	NW 1	S 1	N 1	10●	10●	2	5.0	● n-14½
8	8.0	20.2	11.6	13.3	−0.9	726.9	725.7	726.9	85	44	95	NNE 1	S 1	N 1	0	6	2	5.1	● 17-18
9	10.6	11.8	10.6	11.0	−3.4	726.6	722.9	727.9	92	89	31	SSW 0	SSW 1	N 2	10	10●	10	28.0	● n-18
10	10.8	18.0	11.2	13.3	−1.2	737.7	738.8	739.7	27	18	48	N 1	N 2	N 1	0	7	1	.	
11	8.2	19.0	13.2	13.5	−1.1	741.1	741.5	744.3	64	46	66	E 0	S 1	N 1	8	7	3	.	
12	10.2	23.0	17.2	16.8	2.0	747.3	746.8	747.9	84	44	66	N 1	S 1	N 1	0	0	0	.	
13	13.2	23.6	19.4	18.7	3.8	749.9	748.4	748.3	90	45	65	NE 0	S 1	NNE 1	0	3	8	.	
14	16.8	25.2	20.2	20.7	5.7	748.8	745.9	745.9	77	44	63	ESE 1	SW 1	NNE 1	5	0	0	.	
15	16.8	23.8	19.4	20.0	4.8	745.6	743.9	743.2	85	43	66	NE 0	SSE 1	NNE 1	8	10	8	.	
16	15.4	26.4	20.4	20.7	5.4	742.5	740.6	741.3	72	36	43	ESE 1	S 1	NNE 1	0	1	0	.	
17	17.4	22.4	16.2	18.7	3.3	746.0	743.8	743.6	52	47	62	S 1	S 1	N 1	8	4	0	.	
18	12.4	23.8	16.2	17.5	1.9	743.8	741.6	741.3	82	42	53	N 0	S 1	N 1	0	0	1	.	
19	13.6	26.2	18.4	19.4	3.7	740.4	738.6	738.7	73	41	60	NE 0	S 1	N 1	0	0	0	.	
20	15.8	24.8	18.2	19.6	3.8	741.6	741.0	741.6	81	42	85	ENE 0	S 1	NNE 1	4	0	10●	1.5	● K abds.
21	16.8	24.0	18.8	19.9	3.9	741.9	739.8	740.0	75	39	61	E 0	ESE 0	N 1	10	5	10	0.2	●sch. 20
22	17.0	25.0	17.8	19.9	3.8	739.2	737.1	737.3	81	42	61	SE 0	SSE 1	N 1	10	6	10	.	
23	16.0	26.0	20.0	20.7	4.5	737.1	736.1	736.8	83	36	50	ENE 1	S 1	N 1	10	9	1	.	
24	19.2	16.8	17.4	17.8	1.4	737.3	735.8	732.3	67	96	88	S 1	WNW 1	NNE 1	10	10●	10●	37.9	● K a-n ztw.
25	15.2	22.4	16.8	18.1	1.6	732.6	732.6	736.4	31	21	21	NNE 2	ENE 2	NNE 2	0	1	0	.	
26	17.0	21.0	17.6	18.5	1.9	737.2	737.5	741.5	22	21	23	NNE 2	NNE 2	NNE 2	1	2	0	.	
27	16.2	24.2	18.4	19.6	2.8	742.9	741.4	742.1	43	27	31	W 0	S 1	NNE 1	6	1	0	.	
28	16.4	25.8	20.0	20.7	3.8	742.8	741.3	741.6	52	37	53	W 0	SE 1	NNE 1	0	4	10	.	
29	15.8	18.4	19.0	17.7	0.7	742.7	741.0	739.5	81	36	53	E 0	S 1	N 1	0	10	2	.	
30	15.2	27.0	21.0	21.1	3.9	738.0	736.2	736.5	77	41	48	NNE 1	S 1	N 1	0	1	8	.	
31	19.4	24.8	19.2	21.1	3.8	738.6	737.2	737.6	69	45	92	N 1	ESE 0	NNE 1	10	8	10●	2.6	● K 20-n
																		Summe 217.8	
Mittel	13.8	20.4	16.0	16.7	—	739.2	738.1	738.5	74	50	65				5.5	5.6	5.4		

$\lambda = 7° 35'$, $\beta = 47° 33'$, $H_b = 318$ m, $G = 0.11$ mm.

Basel

Mai 1943.
Beobachter: *Astronom.-Meteorol. Anstalt.*

Tag	Lufttemperatur 7³⁰	13³⁰	21³⁰	Mittel	Abweich. vom Normalst.	Luftdruck 7³⁰	13³⁰	21³⁰	Relative Feuchtigkeit 7³⁰	13³⁰	21³⁰	Windrichtung und Stärke 7³⁰	13³⁰	21³⁰	Bewölkung 7³⁰	13³⁰	21³⁰	Niederschlag	Witterung
1	8.2	12.7	9.4	10.1	−0.6	732.9	732.4	733.1	82	80	96	E 1	W 1	ESE 1	10	10●	2	2.6	● 14-18¼ zeitw.
2	8.1	14.4	12.4	11.6	0.8	731.8	729.1	727.8	98	81	97	WNW 1	SSW 1	W 1	10≡	10	10	2.9	● 16¾-17¾. ≡ 4-9½ m.U.
3	9.3	10.5	9.0	9.6	−1.4	728.9	729.4	730.1	96	85	97	SSE 0	ENE 1	WNW 1	10●	10	10●	5.2	● 3¾-12½ m.U., 20-24
4	6.4	7.7	8.0	7.4	−3.7	732.3	734.5	735.2	96	89	93	WNW 1	WNW 1	WNW 1	10●	10	10	0.1	● 1½-4¼, ☽ 6¾-9½
5	8.8	18.1	10.9	12.6	1.4	733.6	731.7	729.7	91	62	96	WNW 0	NNW 1	E 1	10	2	7	5.6	K ● 18¼-19¼
6	13.1	18.1	10.4	13.9	2.5	726.5	724.2	724.7	86	63	85	WNW 1	SE 1	SSE 1	4	10	10	1.3	● 4¼-4¾, 13, 19¼-21¼
7	11.3	12.6	9.0	11.0	−0.5	725.2	726.6	727.2	73	66	89	NW 1	WSW 2	SSW 1	8	10	10	.	
8	7.8	15.2	8.4	10.5	−1.2	725.5	722.9	723.3	86	59	79	ESE 1	WNW 1	SW 2	10	10	10●	0.7	● 15¾-21½ m.U.
9	9.5	9.6	5.7	8.3	−3.5	720.8	724.1	731.3	69	54	90	SW 2	SW 2	WSW 1	10	10	10●	5.5	● 7¼-10¼, 17½-21½ m.U.,
10	6.7	17.3	9.5	11.2	−0.7	737.1	734.9	732.7	77	30	67	ENE 1	SSE 1	E 1	1	3	1	.	[▲ 9½, 17½
11	12.3	18.5	13.8	14.9	2.8	735.9	737.7	741.2	75	60	86	NW 1	NW 1	SSE 1	10●	9	10●	0.9	● 7½-8¼, 9¼-9¾, 21¾-
12	13.4	22.2	13.9	16.5	4.3	744.3	744.0	744.4	86	51	87	ENE 0	NNE 1	SSW 1	8	1	0	.	
13	14.0	27.3	16.3	19.2	6.8	745.5	744.3	743.7	76	37	82	ENE 1	ENE 1	SSW 1	0	0	1	.	△ I
14	16.7	28.5	16.7	20.6	8.1	744.1	743.0	742.3	72	37	83	ENE 1	NNE 1	SSW 1	0	0	0	.	△ I
15	15.2	26.3	18.0	19.8	7.2	742.3	741.1	740.8	69	39	71	SE 1	NW 1	ENE 1	0	0	2	.	△ I
16	11.9	16.2	13.8	14.0	1.2	744.0	744.7	744.8	76	62	76	WNW 1	W 1	ENE 1	10	10	0	.	
17	9.1	21.2	12.9	14.4	1.5	744.7	743.1	741.9	76	70	64	WNW 1	NNW 1	ENE 0	1	0	0	.	△ I
18	11.3	23.4	15.0	16.6	3.6	740.1	738.3	737.9	66	34	75	NNW 0	NE 1	WSW 1	0	0	0	.	△ I
19	13.4	23.6	15.6	17.5	4.3	738.3	737.0	736.9	75	42	77	WNW 0	NNW 1	SW 1	3	0	0		△ I
20	14.3	27.0	15.7	19.0	5.7	738.1	737.1	736.9	54	33	78	E 1	WSW 1	NNE 0	0	1	1		
21	15.9	26.0	15.8	19.2	5.8	737.5	735.9	735.5	71	36	73	ESE 1	NNW 1	SSW 1	3	8	1	.	△ I, ⊕° 10
22	16.4	28.2	14.2	19.6	6.1	735.0	733.3	735.5	68	37	96	ENE 1	SSW 1	ENE 0	4	5	10●	22.0	● 15-23½ m.U., K 15-19
23	15.5	19.1	12.7	15.8	2.1	736.1	736.6	735.6	88	66	89	SSW 1	WSW 1	SSW 1	10	10	0	.	[m.U., △ I
24	14.0	20.2	11.1	15.1	1.3	731.4	730.2	732.2	84	59	70	ESE 1	SSW 2	SSW 1	8	8	8	7.0	● 9¼-14¾ m.U., T 14½-
25	9.8	9.7	9.2	9.6	−4.3	732.7	734.3	737.0	71	78	92	SW 2	SW 2	WSW 1	10●	10●	10	5.1	● 6¼-20¼ zeitw. [15½
26	11.7	16.9	10.2	12.9	−1.1	738.9	740.0	742.9	79	53	86	SW 1	NNW 1	SSW 1	7	8	0	.	⌒ 16½
27	11.1	18.6	13.2	14.3	0.2	743.5	742.3	742.0	79	55	90	SE 1	WSW 1	ESE 0	3	10	2	.	△² I
28	14.5	22.0	17.7	18.1	3.9	741.7	740.7	740.5	83	44	73	ESE 0	WNW 1	NNW 1	0	6	9	.	△ I, ⊕ 10
29	15.2	24.7	15.6	18.5	4.2	739.9	737.6	736.3	82	36	83	SSW 0	NNW 1	SW 1	4	10	0	.	△ I, ⊕ 7
30	17.0	26.1	20.2	21.1	6.7	736.3	735.2	734.9	72	40	69	ESE 0	WNW 1	WSW 1	2	8	10	0.1	●° 22¼, △° I
31	15.9	24.2	16.6	18.9	4.4	734.6	733.2	732.0	82	59	92	ENE 1	SW 1	WNW 0	9	10	0	5.0	△ I
																		Summe 64.0	
Mittel	12.2	19.6	12.9	14.9	—	736.1	735.5	735.8	79	55	84				5.3	6.7	4.6		

Mai 1943.
Beobachter: *Observatorium.*

Säntis

$\lambda = 9° 20'$, $\beta = 47° 15'$,
$H_b = 2500.1$ m, $G = -0.27$ mm.

Tag	Lufttemperatur 7³⁰	13³⁰	21³⁰	Mittel	Abweich. vom Normalst.	Luftdruck 7³⁰	13³⁰	21³⁰	Relative Feuchtigkeit 7³⁰	13³⁰	21³⁰	Windrichtung und Stärke 7³⁰	13³⁰	21³⁰	Bewölkung 7³⁰	13³⁰	21³⁰	Niederschlag	Witterung
1	-0.4	2.0	-1.6	0.0	2.5	561.8	561.4	561.3	58	70	100	SW 3	SW 2	S 2	10	10	10	2.3	△ 15³/₄-15⁴/₄, ✳ 16¹/₂-19, ≡ 15-n
2	-1.1	1.4	0.2	0.2	2.5	559.5	558.8	558.1	68	78	93	E 2	SE 2	SE 4	10	10	10	0.1	✳ 11, 18³/₄, ⸗ III [m.U., ⊕a
3	1.2	4.0	1.6	2.3	4.4	558.0	558.4	558.7	74	68	100	SE 3	SE 2	NE 2	10	10	10≡	.	● 17³/₄-20 ztw., ≡ 19¹/₄-n
4	4.0	4.4	1.3	3.2	5.1	559.9	561.0	562.1	61	60	96	SSE 2	SE 1	SE 2	3	5	10	0.2	●° 2 [illegible], ✳ n
5	0.2	2.8	0.1	0.8	2.5	561.1	561.3	559.8	96	78	96	WSW 3	W 2	SW 1	10≡	10≡	10	.	≡ [illegible]-n m.U.
6	0.8	1.9	-2.5	0.1	1.7	557.0	556.0	555.1	54	52	100	S 2	S 2	SW 3	7	10	10≡	0.8	≡ 21-n
7	-2.1	-3.0	-4.2	-3.1	-1.7	554.4	554.9	555.4	100	100	100	SW 1	W 2	NE 0	10≡	10≡*	10≡*	8.1	✳ n, 7, 10, 12¹/₂-n
8	-3.4	1.3	-3.3	-1.8	-0.6	553.5	553.4	552.9	93	73	98	WNW 1	WSW 2	WSW 3	10	10≡	8	5.1	✳ 16¹/₄, 17¹/₂ 19¹/₄, ≡ 7-20
9	-3.2	-7.4	-8.2	-6.3	-5.2	559.8	**550.3**	554.9	97	100	100	SE 3	WNW 3	W 3	10	10	10≡*	29.0	✳ n-n m.U., ≡ 8-n, ⸗ 9-n
10	**-10.4**	-3.8	0.0	-4.7	-3.8	560.3	561.4	562.2	76	22	42	NW 3	SSE 1	WSW 4	1	9	6	.	≡ n-7¹/₄, ⸗ III
11	-2.5	0.2	0.0	-0.6	0.2	563.5	565.7	568.8	100	100	100	WSW 4	WNW 4	W 4	10≡*	10≡	10≡	5.4	✳ 7¹/₄, 12¹/₄, ● 20-n, ≡ 7¹/₄-
12	0.0	5.2	5.8	3.7	4.4	571.5	573.1	574.3	100	78	19	W 2	SW 2	WNW 2	10≡	2	0	.	n-8¹/₄ [n m.U.
13	7.3	8.6	6.4	7.4	7.9	574.7	**575.6**	575.4	20	68	30	W 2	WNW 1	ESE 1	0	1	0	.	
14	9.6	9.6	7.4	8.9	9.3	574.4	574.8	574.2	12	28	50	ENE 2	ESE 1	NE 1	0	1	6	.	
15	9.4	**10.0**	5.2	8.2	8.5	572.6	572.5	572.3	26	32	50	NE 2	ESE 1	NNE 3	2	3	1	.	
16	2.7	5.2	-1.3	2.2	2.4	571.3	571.8	571.2	93	83	33	NNE 2	NNE 1	NE 3	8	10≡	0	.	≡ n-7, 12-20
17	2.3	2.8	2.0	2.6	2.6	570.0	571.2	570.7	**11**	18	35	ENE 3	ESE 1	E 2	1	1	1	.	
18	4.6	7.4	3.8	5.3	5.2	568.5	568.8	568.5	28	26	41	ENE 3	ENE 1	ENE 1	1	1	1	.	
19	6.8	6.8	4.4	6.0	5.8	567.6	568.3	568.3	32	72	28	NE 2	SSW 1	WSW 1	4	8	0	.	
20	4.7	8.3	3.9	5.6	5.3	568.3	569.0	568.6	62	56	55	NW 1	W 1	NW 2	1	7	1	.	
21	3.0	4.0	3.2	3.4	3.0	567.6	567.4	567.0	100	98	40	W 2	NE 1	N 2	10≡●	10≡	4	4.6	● 7¹/₄-7³/₄, ⸗● △ 13³/₄-14¹/₄, *)
22	2.4	4.8	1.6	2.9	2.4	565.9	565.6	565.2	91	88	98	NW 2	WSW 1	W 3	10	10≡	10	8.8	⸗ ● ▲ △ 13³/₄-15³/₄,
23	0.6	2.4	1.3	1.4	0.8	564.9	565.4	565.5	100	100	100	W 3	W 3	WNW 2	10≡	10≡	10≡	9.7	● n, 14¹/₂-17, ● 17-n, *)
24	5.0	4.0	-3.8	2.1	1.4	563.5	563.0	560.1	32	78	100	WSW 2	WSW 2	W 4	10	10●	10≡*	36.1	≡ ● 12-19 m.U., ≡ ✳ 19-n, ⸗ III
25	-5.0	-3.8	-4.8	-4.5	-5.3	558.2	559.1	562.4	100	100	100	W 5	W 5	WSW 3	10≡	10≡*	10≡*	**37.3**	✳ n-n m.U., ≡ ⸗ n-n, ⋁ II
26	-4.4	-3.2	-3.3	-3.6	-4.5	563.6	565.2	568.6	100	96	100	WNW 3	WNW 2	N 1	10≡*	10≡*	10≡	9.8	✳ n-17³/₄ m.U., ≡ n-n
27	-2.0	-0.7	0.0	-0.7	-1.7	569.2	569.1	569.0	94	100	100	NW 2	W 3	NW 3	10≡	10≡	10≡	8.2	✳ ● 16³/₄-n, △ 21. ≡ 7¹/₄-n
28	1.2	4.6	1.8	2.5	1.4	569.2	569.7	569.7	78	86	100	NW 1	WNW 2	NW 2	3	10≡	10≡	.	△ sch. 21, ≡ 12³/₄-n m.U.
29	2.2	6.0	3.1	3.8	2.6	568.6	568.6	567.6	95	65	98	WNW 2	WSW 2	WNW 3	2	8	10≡	.	≡ 9³/₄-11¹/₂, 21-n
30	2.9	5.8	4.2	4.3	3.0	566.4	567.2	567.0	100	64	63	WNW 2	W 2	W 3	10≡	10	3	3.6	≡ n-9³/₄, ● n
31	3.8	6.2	5.2	5.1	3.7	565.6	565.6	565.3	100	76	100	W 3	W 3	WSW 3	10≡	10	10≡	.	≡ n-10, 15¹/₂-n
Mittel	1.3	3.2	1.0	1.8	—	564.6	565.0	564.2	73	71	76				6.9	7.9	6.8	Summe 169.1	

*) 21. ≡ 6-n m.U. 22. ● 18¹/₄, ≡ 9¹/₂-20¹/₂ m.U. 23. ≡ n-n

Mai 1943.
Beobachter: Frl. *F. Lombardi.*

St. Gotthard (Hospiz)

$\lambda = 8° 34'$, $\beta = 46° 33'$,
$H_b = 2095.7$ m, $G = -0.25$ mm.

Tag	7³⁰	13³⁰	21³⁰	Mittel	Abweich. vom Normalst.	7³⁰	13³⁰	21³⁰	7³⁰	13³⁰	21³⁰	7³⁰	13³⁰	21³⁰	7³⁰	13³⁰	21³⁰	Niederschlag	Witterung
1	0.8	1.0	0.0	0.6	0.1	591.9	591.3	590.9	74	100	100	SE 1	SE 1	SE 1	10	10●≡	10*≡	14.7	●° 9¹/₄-p ztw., ✳ 14¹/₄-n, ≡
2	0.4	1.0	-0.4	0.3	-0.3	588.7	588.1	587.9	100	100	100	SE 0	SE 0	SE 0	10≡	10*	10*-	17.2	✳ 10³/₄-n ztw., ≡ n-n [12-n
3	0.0	3.2	0.8	1.3	0.5	587.3	587.2	587.4	100	60	100	S 0	SE 0	SE 0	10*≡	10*●≡	10*●≡	19.9	✳° ● ≡ n-n
4	1.6	4.8	1.0	2.5	1.6	588.7	590.5	591.4	100	75	100	S 0	S 0	S 0	10●≡	10≡	10●≡	8.4	● n-9¹/₂, 16¹/₄-n, ≡ n-n
5	0.4	1.0	0.0	0.5	-0.6	591.2	591.1	589.3	100	100	100	S 0	S 0	S 0	10≡	10≡	10*≡	20.0	✳ 17-n, ≡ n-n
6	-1.0	0.6	-1.8	-0.7	-1.9	586.6	585.7	584.5	100	100	100	S 1	SE 1	SE 1	10*≡	10*●≡	10*≡	25.8	✳ ≡ n-n. ● mtgs.
7	-0.6	3.6	-1.3	0.6	-0.7	584.5	583.9	584.0	80	59	100	SE 0	SE 0	N 2	8	10	10≡	3.4	≡ III, ✳ n
8	-1.6	6.6	0.0	1.7	0.3	582.7	582.5	582.6	90	16	100	N 2	NW 0	S 0	0	5	5	2.2	
9	-1.6	-2.8	-5.3	-3.2	-4.7	580.4	**579.9**	582.7	95	90	95	S 1	N 2	N 3	10*≡	10*≡	10≡	**74.0**	✳ n-17, ≡ n-n, ⸗ 18-n
10	**-5.5**	-0.5	-1.6	-2.5	-4.1	589.9	592.1	592.7	90	50	58	N 2	N 1	N 1	0	2	5	.	
11	2.4	5.5	2.2	3.4	1.7	593.7	596.2	600.3	42	45	48	S 0	S 0	S 0	8	2	5	.	
12	1.2	8.8	3.0	4.3	2.5	601.1	602.3	603.3	70	21	30	N 0	N 0	N 0	5	0	0	.	
13	4.0	**15.0**	5.2	8.1	6.2	603.9	604.0	604.1	12	12	29	N 1	N 1	N 1	0	0	0	.	
14	5.4	**15.0**	7.0	9.1	7.1	602.9	**606.0**	602.9	13	15	17	N 0	N 0	N 0	0	0	0	.	
15	6.8	11.0	6.8	8.2	6.1	601.9	599.4	600.7	18	20	55	W 0	N 1	N 1	0	0	5	.	
16	5.7	8.0	4.2	6.0	3.8	600.0	599.9	600.2	43	50	100	N 1	N 1	N 1	0	0	10≡	.	≡ 17¹/₄-n
17	6.0	**15.0**	7.2	9.4	7.1	599.8	599.4	599.3	13	13	24	N 0	N 0	N 1	0	0	2	.	
18	8.4	12.8	5.5	8.9	6.5	597.5	597.3	597.0	15	19	54	N 0	S 0	S 0	0	0	0	.	
19	8.0	10.4	5.4	7.9	5.4	596.6	596.2	597.0	33	14	64	N 0	N 1	N 1	0	0	0	.	
20	8.0	11.0	6.9	8.6	6.0	597.4	597.5	597.3	33	21	59	N 0	NW 0	NW 1	0	5	8	0.5	● 18³/₄-19
21	7.2	10.6	6.0	7.9	5.2	596.7	596.3	596.2	47	24	43	NW 0	NW 1	NW 1	3	5	5	0.1	●° 18
22	6.8	7.0	4.0	5.9	3.1	594.9	594.8	594.2	46	40	53	N 0	N 1	N 0	5	10	8	5.1	● 14¹/₄, 20-n zeitw.
23	3.3	7.0	3.4	4.6	1.7	593.5	593.6	594.4	80	45	65	N 0	N 0	N 1	8	4	5	.	
24	5.8	7.0	0.0	4.3	1.3	593.1	592.1	590.5	63	80	100	S 0	S 0	N 1	8	10	10*≡	18.5	●° zeitw., ✳ 21-n, ≡ 20-n
25	0.4	1.0	-2.4	-0.3	-3.4	588.9	589.3	592.0	52	82	80	N 1	N 2	N 2	10*	10	5	0.9	✳ n-8¹/₄
26	-2.2	-0.8	-1.0	-1.3	-4.5	593.0	593.7	596.7	100	57	76	NE 3	NE 2	NE 2	10≡	8	8	1.9	✳° 8-8¹/₂, ≡ n-n
27	-0.8	5.0	2.8	2.3	-1.0	598.1	598.4	598.4	100	25	63	NW 2	NE 2	NE 1	10≡	6	6	.	≡ n-9¹/₄
28	4.8	8.2	4.2	5.7	2.3	598.5	598.1	598.6	56	22	65	N 0	N 2	N 1	0	5	5	.	
29	6.0	13.2	6.0	8.4	4.9	597.7	597.5	596.8	41	**10**	85	W 0	W 0	W 0	0	5	5	.	
30	6.4	12.2	7.8	8.8	5.2	595.4	595.6	596.0	21	16	45	N 1	N 2	N 1	0	0	5	.	
31	10.0	13.2	8.2	10.5	6.9	594.8	594.6	594.7	38	36	84	NE 1	S 0	S 0	5	5	5	.	
Mittel	3.1	6.9	2.7	4.2	—	593.9	594.0	594.3	60	46	71				4.8	5.2	6.0	Summe 212.6	

$\lambda = 7° 26'$, $\beta = 46° 57'$,
$H_b = 572.2$ m, $G = 0.00$ mm

Bern

Juni 1943.
Beobachter: *Tellur. Observatorium.*

Tag	Lufttemperatur 7³⁰	13³⁰	21³⁰	Mittel	Abweich. vom Normalst	Luftdruck 7³⁰	13³⁰	21³⁰	Relative Feuchtigkeit 7³⁰	13³⁰	21³⁰	Windrichtung und Stärke 7³⁰	13³⁰	21³⁰	Bewölkung 7³⁰	13³⁰	21³⁰	Niederschlag	Witterung
1	14.0	17.2	15.0	15.4	1.1	711.6	711.5	713.0	100	70	59	SW 3	W 2	W 1	10●	9	10	7.3	● 7¼–10, ⌒ 7¼–8¼
2	12.9	17.7	14.0	14.9	0.4	712.0	710.5	**708.1**	74	51	59	W 1	WSW 2	W 1	7	7	10	5.0	● 22¼–23¾
3	10.3	13.4	7.7	10.5	−4.1	710.8	710.3	713.1	72	63	100	W 2	W 2	SW 0	5	6	9●	8.7	●sch. n–n zeitw.
4	7.8	10.1	9.4	9.1	−5.6	715.3	717.2	718.9	100	97	90	WSW 1	SE 1	SE 0	10●	10	9	2.9	● n–13¼ zeitw., ●° 19
5	8.6	17.2	13.3	13.0	−1.8	718.7	717.8	717.6	91	47	82	SE 0	NE 1	SW 0	0	9	1	.	
6	12.7	19.5	13.5	15.2	0.3	716.8	715.9	716.2	82	60	100	SE 0	WSW 2	SW 1	5	10●	10●	15.1	●° 12¼–14 zeitw., ● 19¾–
7	11.3	16.5	13.7	13.8	−1.2	718.7	718.2	718.0	91	50	65	NE 1	NE 1	NE 0	8	5	3		● 0–0¾/4 [22 m.U., △ I
8	11.0	19.4	13.1	14.5	−0.6	717.6	716.3	716.1	86	**37**	100	S 0	NW 1	NE 0	8	9	10●	9.9	● 10½–n m.U., ⊕ II
9	12.8	16.1	14.1	14.3	−0.9	714.2	712.9	712.0	100	90	99	SE 1	W 0	S 0	10	10●	10	3.6	● n–20½ m.U.
10	14.1	19.9	14.4	16.1	0.8	712.0	711.8	713.4	95	50	77	S 0	NW 1	NE 0	7	7	9	.	● 4¼–4¾
11	12.3	17.8	14.7	14.9	−0.5	714.6	714.7	715.4	88	59	83	SE 0	NE 0	SE 0	1	10	9	.	△ I
12	14.5	22.1	18.9	18.5	3.0	715.8	715.6	716.7	80	50	68	SE 0	N 1	SW 0	1	7	9	.	△ I, Ψ III
13	16.2	20.5	16.9	17.9	2.3	717.1	716.6	714.7	81	59	81	NE 0	SE 1	NE 0	10	7	1	1.2	
14	13.7	17.1	10.3	13.7	−2.0	710.9	710.9	713.7	100	83	98	S 0	W 2	W 1	9	10	10	12.7	● 5–24 m.U.
15	10.8	14.9	13.0	12.9	−2.9	713.9	712.9	711.9	80	51	71	SW 1	W 2	W 0	9	6	10	5.4	● 1¾–4½, 12¾
16	7.4	13.3	8.2	9.6	−6.3	712.1	712.6	714.2	95	61	98	SW 2	WSW 2	W 1	10●	7	10	**23.5**	● 3¾–n m.U. ⌒ 17½, 18½
17	7.2	9.2	**6.3**	7.6	−8.4	713.6	712.8	715.8	100	93	98	SW 0	W 1	SE 1	10●	10●	10	15.4	● n–21½
18	8.4	15.2	10.5	11.4	−4.7	718.0	718.2	718.5	86	51	80	SE 1	SSW 1	SW 0	7	8	3	.	
19	10.5	16.9	15.5	14.3	−1.9	718.3	717.9	716.7	83	58	84	SE 0	SE 1	SE 0	9	8	4	0.0	●° 11¾, ⊕ II
20	14.1	23.1	18.3	18.5	2.2	716.0	714.1	713.4	80	51	79	SE 0	N 1	SW 0	0	1	2	.	△ I
21	18.0	17.6	14.2	16.6	0.2	714.0	715.1	717.2	81	97	96	SE 0	N 0	ESE 1	4	10●	9	11.5	● 12½–n zeitw., ⌒ 12¾–
22	13.7	16.8	16.2	15.6	−0.9	718.5	719.6	720.3	98	83	85	NE 1	NNE 1	E 0	10●	10	3	0.0	● n–2¾, 7½ [14¼ m.U.
23	15.7	22.1	18.4	18.7	2.1	**720.8**	720.3	720.1	90	57	79	NE 0	NNE 1	NE 0	4	3	3	.	
24	17.0	23.5	18.2	19.6	3.0	719.7	718.4	718.5	84	50	73	SE 0	N 1	NE 0	9	8	0	.	△ I
25	16.3	**24.4**	19.9	20.2	3.5	717.9	716.5	716.0	84	51	61	SE 0	NE 1	N 1	1	5	3	.	△ I
26	17.1	22.1	16.3	18.5	1.7	716.5	715.4	716.4	71	48	65	SE 0	NE 1	E 2	1	2	5	.	△ I
27	14.1	19.2	16.1	16.5	−0.4	716.2	716.3	716.7	85	59	65	NE 2	NE 2	NNE 1	3	2	3	.	
28	12.9	19.8	16.3	16.3	−0.7	716.7	716.0	716.1	91	59	67	NE 2	NE 2	E 0	0	1	3		
29	12.5	19.9	15.5	16.0	−1.0	715.0	713.6	713.9	88	60	71	NE 2	NNE 2	NE 0	3	0	8	.	
30	12.7	17.5	13.3	14.5	−2.6	712.7	712.2	712.6	95	55	80	NNE 2	NE 2	NE 1	7	4	3	.	
Mittel	12.7	18.0	14.2	15.0	—	715.5	715.1	715.5	88	62	80				5.9	6.7	6.3	Summe 122.2	

$\lambda = 6° 57'$, $\beta = 47° 0'$,
$H_b = 487.3$ m, $G = 0.02$ mm.

Neuchâtel

Juni 1943.
Beobachter: *Observatorium.*

Tag	7³⁰	13³⁰	21³⁰	Mittel	Abweich. vom Normalst	7³⁰	13³⁰	21³⁰	7³⁰	13³⁰	21³⁰	7³⁰	13³⁰	21³⁰	7³⁰	13³⁰	21³⁰	Niederschlag	Witterung
1	13.7	18.7	14.9	15.8	0.8	717.6	718.9	720.0	87	64	51	NW 3	W 2	NW 3	10●	8	2	7.6	● 6¼–7¾
2	13.8	18.5	14.4	15.6	0.4	719.4	717.7	**715.2**	63	48	63	SW 2	SW 3	SW 3	9	7	10	4.5	● 21½–n
3	10.5	14.4	8.9	11.3	−4.0	718.5	717.8	720.5	73	72	89	SW 1	SW 2	W 1	10	8	10	4.8	● n–n m.U.
4	8.7	9.7	9.6	9.3	−6.1	722.9	724.9	726.5	94	91	97	W 1	SW 1	W 0	10●	10●	9	6.3	● n–abds.
5	8.5	17.5	12.6	12.9	−2.0	726.6	725.7	724.9	96	55	73	NE 0	S 1	NW 0	10	3	0	.	
6	11.8	18.2	14.4	14.8	−0.8	724.4	723.2	723.3	87	64	80	E 1	SW 2	W 2	6	10	9	3.5	●tr. zeitw., ● 19¼–21
7	12.0	20.9	13.6	15.5	0.2	726.4	725.8	725.7	83	49	68	E 1	SE 1	NE 0	1	3	0	.	
8	11.4	21.9	14.0	15.8	0.9	725.2	723.8	723.7	84	51	97	SE 0	SE 1	E 1	8	8	10	9.7	● 17–n
9	13.6	17.8	16.3	15.9	0.0	721.6	720.2	719.4	97	78	74	SW 1	W 1	W 1	9	10	9	0.9	● 17¼–n m.U.
10	15.9	20.5	16.0	17.5	1.5	719.4	719.4	720.9	79	50	62	SW 0	NW 2	NW 1	8	7	7	.	
11	13.3	20.1	15.9	16.4	0.3	722.0	722.3	722.9	86	58	79	E 0	SE 1	NW 0	1	8	9	.	●tr. 18
12	14.1	24.7	20.4	19.7	3.5	723.4	723.2	724.0	90	47	55	E 1	S 1	NW 2	1	6	10	.	
13	17.7	24.2	17.9	19.9	3.6	724.6	724.0	722.0	66	49	66	E 1	SE 1	N 1	6	3	0	.	
14	15.8	16.0	10.6	14.1	−2.3	718.9	718.6	721.3	86	93	83	SE 0	SW 3	W 2	10	10●	10●	9.9	● 7½–n m.U.
15	11.4	16.9	13.4	13.9	−2.6	721.5	720.7	719.3	79	54	49	SW 1	SW 1	NW 2	8	5	1	4.1	●tr. a zeitw.
16	8.0	14.7	9.5	10.7	−5.9	719.5	720.0	721.8	88	55	80	W 1	SW 3	SW 1	10	7	10	**11.5**	●sch. n–n zeitw.
17	**7.6**	10.2	8.6	8.8	−7.9	721.1	720.3	723.1	94	91	97	W 1	SW 1	SW 1	10	10●	10	8.5	● n–n
18	9.6	16.9	10.5	12.3	−4.5	725.5	726.0	726.0	88	57	76	SW 1	E 1	E 0	10	8	0	.	
19	11.6	20.5	15.5	15.9	−1.0	725.8	725.3	724.0	86	57	77	E 0	SE 1	N 0	10	4	0	.	
20	13.1	24.3	18.5	18.6	1.6	723.5	721.7	720.8	93	46	73	N 1	SE 1	SW 0	0	0	2	.	
21	17.0	19.6	17.5	18.0	1.0	721.5	722.7	724.7	85	63	67	SW 1	NW 3	N 1	3	10	8	.	
22	15.9	22.4	16.9	18.4	1.3	726.0	726.9	727.7	82	66	74	NE 1	E 2	NE 1	10	7	2	.	
23	16.9	25.6	20.8	21.1	3.9	**728.5**	727.9	727.4	80	53	59	E 1	S 1	NW 2	9	2	7	.	
24	16.8	26.4	20.3	21.2	3.9	727.2	725.9	725.7	87	48	57	E 1	S 1	N 2	8	3	0	.	
25	15.9	**26.7**	22.5	21.7	4.3	725.5	724.1	722.8	87	49	93	SE 1	S 1	NW 2	0	3	1	.	
26	16.1	23.7	17.3	19.0	1.5	723.0	722.9	723.0	75	45	69	NE 1	SW 1	NE 0	0	3	8	.	
27	15.3	23.4	18.4	19.0	1.5	723.7	723.9	724.0	68	40	50	NE 2	E 3	N 2	4	2	0	.	
28	14.0	25.1	18.5	19.5	1.9	724.4	723.3	723.1	72	44	**39**	E 2	E 2	N 1	0	1	3	.	
29	14.2	24.8	17.3	18.8	1.1	722.6	721.0	721.0	69	40	57	NE 3	E 2	N 3	1	1	8		
30	14.7	22.9	15.3	17.6	−0.2	720.2	719.3	720.0	72	40	58	NE 2	E 3	NE 2	1	1	1	.	
Mittel	13.3	20.2	15.3	16.3		723.0	722.6	722.8	82	57	70				6.1	5.6	5.6	Summe 71.3	

Juni 1943.
Beobachter: Frl. *H. Nager.*

Altdorf

$\lambda = 8° 39'$, $\beta = 46° 53'$,
$H_b = 456.3$ m, $G = -0.05$ mm.

Tag	Lufttemperatur 7³⁰	13³⁰	21³⁰	Mittel	Abweich. vom Normalst	Luftdruck 7³⁰	13³⁰	21³⁰	Relative Feuchtigkeit 7³⁰	13³⁰	21³⁰	Windrichtung und Stärke 7³⁰	13³⁰	21³⁰	Bewölkung 7³⁰	13³⁰	21³⁰	Niederschlag	Witterung
1	17.3	16.8	14.7	16.3	1.3	718.2	721.2	722.7	75	78	94	W 0	NW 0	NW 0	9	10	10●	12.1	● 9½, III
2	14.5	17.9	13.4	15.3	0.2	721.7	720.0	**717.6**	90	47	85	NW 0	NW 2-3	SW 0	8	7	8	5.6	
3	11.9	16.4	10.6	13.0	-2.2	719.9	719.0	722.5	77	45	88	NE 0-1	NW 1	NW 0	9	8	10●	6.7	● III
4	10.5	12.2	9.6	10.8	-4.5	724.3	727.1	729.4	82	65	95	SW 0	N 0	SW 0	10●	8	10	4.0	● I
5	9.4	18.0	13.4	13.6	-1.8	728.7	726.9	728.1	86	43	66	NE 0	NW 1	SE 0	1	3	2	.	
6	12.8	21.9	14.7	16.5	1.1	726.1	724.5	725.8	75	40	95	SE 0	NW 1-2	SE 0	0	10	10	19.5	● III
7	11.8	16.7	13.3	13.9	-1.6	728.5	728.0	728.6	93	46	75	E 0	NW 0	NW 0	10	7	6	.	
8	11.4	20.7	13.8	15.3	-0.3	726.9	725.3	726.0	80	47	93	S 0	NW 1	SW 0	6	8	10●	8.9	● III
9	14.3	16.5	14.3	15.0	-0.7	723.8	722.2	721.8	93	80	95	S 0	NW 0	SE 0	10●	10●	10●	**23.2**	● n-n
10	13.5	15.3	12.3	13.7	-2.1	721.7	722.3	723.6	96	83	95	N 0	NW 0	N 0	10	10●	10	2.4	● II
11	12.5	16.5	13.8	14.3	-1.6	724.1	724.8	725.9	96	64	90	N 0	NE 0	NW 0	10●	10	10	0.3	● I
12	13.7	22.8	16.8	17.8	1.9	725.7	724.9	726.9	88	43	85	NW 0	NW 0-1	SW 0	5	6	9	0.2	●° 17½
13	16.7	19.2	16.0	17.3	1.3	726.9	726.3	724.7	83	53	85	E 0	NW 1	NW 0	10	8	7	.	
14	16.0	17.0	13.5	15.5	-0.6	721.0	720.6	722.6	85	89	78	NW 0	NW 0	NW 0-1	8	10●	10●	16.1	● 12¼-n
15	11.2	14.7	11.7	12.5	-3.7	723.7	723.0	722.2	80	50	90	NW 0	N 0-1	E 0	10	10●	10●	2.7	● II, III
16	9.8	13.5	10.2	11.2	-5.1	720.8	722.1	723.8	73	53	88	NE 1	NW 0	SE 0	10●	7	10●	12.1	● I, ●sch. III
17	9.2	11.0	**8.6**	9.6	-6.7	723.8	722.4	726.0	91	73	94	S 0	NW 0	NW 0	10●	10	10●	21.4	● I, III
18	8.8	15.3	10.2	11.4	-5.0	728.1	728.2	729.0	92	43	79	W 0	N 0	NW 0	10●	7	7	.	● I
19	11.7	16.7	12.3	13.6	-2.9	728.0	728.4	727.2	77	46	90	E 0	NW 0	NW 0	10	10	7	.	
20	14.0	21.3	18.1	17.8	1.2	725.4	723.6	723.3	59	49	70	S 0	NW 0-1	NE 0	0	0	0	.	
21	16.7	23.8	16.9	19.1	2.5	723.4	723.4	727.5	75	**36**	71	SW 0	NW 2-3	NW 0	1	9	10	.	
22	16.9	20.7	17.0	18.2	1.5	728.0	728.5	**730.4**	83	53	89	NW 0	NW 1	W 0	6	7	8	.	
23	16.4	23.3	18.8	19.5	2.7	**730.4**	729.3	729.9	87	54	80	W 0	NW 1-2	NW 0	2	3	6	.	
24	18.2	23.9	18.8	20.3	3.4	729.1	727.4	728.3	79	48	68	NW 0	NW 2	N 0	5	6	7	.	
25	15.9	**24.0**	19.8	19.9	3.0	727.7	725.6	725.7	80	47	73	N 0	NW 1	NW 0	0	2	4	.	
26	18.5	22.7	19.0	20.1	3.1	725.9	724.5	725.7	63	39	53	W 0-1	NW 2-3	N 0	8	5	9	.	
27	17.0	21.1	16.8	18.3	1.2	726.3	725.7	725.7	60	45	60	N 0	NW 1	NW 0	9	7	6	.	
28	14.9	21.4	17.9	18.1	1.0	724.7	722.4	722.9	72	49	45	N 0	NW 1-2	NW 0	3	4	5	.	
29	15.8	21.0	16.8	17.9	0.7	726.6	725.3	725.7	71	47	60	E 0	NW 2	NW 0	4	5	6	.	
30	15.5	20.0	11.5	15.7	-1.6	722.3	721.4	722.8	64	42	94	SW 0	NW 1	S 0	10	8	9	18.1	K ▲
Mittel	13.9	18.7	14.5	15.7	—	725.1	724.5	725.4	80	53	81				6.8	7.2	7.9	Summe 153.3	

Juni 1943.
Beobachter: *Observatorium.*

Genf

$\lambda = 6° 9'$, $\beta = 46° 12'$,
$H_b = 405.0$ m, $G = -0.03$ mm.

Tag	7³⁰	13³⁰	21³⁰	Mittel	Abweich. vom Normalst	7³⁰	13³⁰	21³⁰	7³⁰	13³⁰	21³⁰	7³⁰	13³⁰	21³⁰	7³⁰	13³⁰	21³⁰	Niederschlag	Witterung
1	15.5	20.4	17.3	17.7	2.2	727.1	726.3	727.0	93	62	61	SE 1	SW 1	W 1	10	3	6	.	● K 5½
2	15.6	19.2	12.2	15.7	0.1	726.7	725.7	**723.9**	64	52	90	S 1	S 1	S 1	3	9	10●	5.9	● 20-n
3	11.7	13.5	10.3	11.8	-3.9	725.9	726.4	728.2	74	76	94	S 1	W 1	E 1	9	10	9	5.7	
4	10.2	15.1	10.8	12.0	-3.9	730.7	732.2	733.4	86	70	89	E 0	ESE 1	NE 0	9	8	3	3.2	
5	**8.6**	16.8	16.1	13.8	-2.2	733.7	732.6	731.9	94	60	61	NE 0	N 1	NE 0	3	1	0	.	
6	14.7	19.4	16.4	16.8	0.7	731.6	731.1	730.5	80	72	93	E 0	N 0	E 1	3	10	10●	**22.5**	●tr. 11¾-13¾, ● 18½-n
7	13.4	18.4	15.4	15.7	-0.5	733.0	732.5	732.0	78	58	75	NE 0	N 1	E 0	3	2	2	.	[zeitw., K 21½
8	12.6	19.3	18.4	16.8	0.5	732.3	730.7	730.4	81	61	66	NE 0	NNE 1	N 1	4	3	9●	1.8	●sch. III
9	15.8	24.0	17.2	19.0	2.6	729.1	727.3	726.2	93	59	94	NE 0	SSE 1	ENE 0	9	9	8	1.4	●sch. 18½, ● n
10	16.8	21.2	17.9	18.6	2.1	726.3	726.0	727.4	94	63	74	NE 0	NNE 1	NE 1	8	2	0	.	
11	15.2	21.2	18.0	18.1	1.5	728.9	728.6	729.5	78	62	73	NE 0	NNE 1	ENE 0	0	1	0	.	
12	16.1	23.1	20.2	19.8	3.1	730.3	730.1	731.2	79	60	72	E 0	NNE 1	NE 0	0	7	4	.	
13	18.8	22.2	20.0	20.3	3.5	731.5	730.3	728.6	76	64	76	E 0	NNE 1	NE 0	4	2	1	.	
14	17.5	17.4	12.2	15.7	-1.2	726.1	726.4	728.8	85	87	86	WSW 0	S 1	SSE 1	9●	10	8	13.2	● n-n m U., T 7¼
15	12.7	18.7	13.6	15.0	-2.0	728.7	727.6	726.8	77	**49**	68	NE 0	SE 1	SSE 0	6	5	2	1.8	●sch. a-n zeitw.
16	11.6	14.2	10.6	12.1	-5.0	727.4	728.8	730.0	78	69	78	S 1	SW 1	NE 0	9	9●	6	6.9	●sch. a-n zeitw.
17	10.9	12.4	9.4	10.9	-6.3	728.8	727.3	730.2	90	81	86	S 1	SSE 1	NNE 0	10	10●	8●	10.2	● n-n m.U.
18	10.5	16.0	13.0	13.2	-4.1	732.7	732.9	733.1	85	61	95	NE 0	NNE 1	ENE 0	3	5	3	.	
19	12.1	18.4	16.8	15.8	-1.6	733.2	732.2	730.7	79	57	72	E 0	NNE 1	NE 0	6	4	3	.	
20	15.5	22.3	21.7	19.8	2.3	730.3	728.4	727.5	78	58	61	ENE 0	NNE 1	S 1	0	0	4	.	
21	19.8	21.7	18.5	20.0	2.4	728.6	729.5	731.0	64	66	78	S 1	S 1	E 1	7	10	8	12.0	●²sch. n (21./22.)
22	16.3	20.2	18.2	18.2	0.6	732.2	733.2	734.5	85	72	80	NE 0	NNE 2	NE 0	1	5	5	.	
23	17.0	23.1	20.7	20.3	2.6	**735.3**	734.7	734.0	87	64	80	NE 0	N 1	NE 0	10	1	1	.	
24	18.8	24.2	21.4	21.5	3.7	734.0	732.5	732.3	81	60	72	NE 0	NE 1	NNE 1	0	1	0	.	
25	18.7	24.2	23.0	22.0	4.1	732.1	730.9	729.9	78	62	68	NE 0	NNE 1	NE 0	0	1	0	.	
26	18.0	**24.5**	19.7	20.7	2.7	730.5	729.3	729.6	75	65	71	NE 0	N 1	NE 1	0	0	0	.	
27	16.4	21.0	19.0	18.8	0.7	730.2	730.1	730.4	72	67	80	N 1	N 2	NE 1	1	1	0		
28	15.7	22.0	19.2	19.0	0.9	731.1	729.9	729.4	78	62	72	N 0	N 1	NNE 1	1	2	3	.	
29	15.8	22.3	17.3	18.8	0.3	729.0	727.3	727.7	72	59	77	NNE 1	N 1	NE 1	1	2	3	.	
30	15.5	20.6	17.6	17.9	-0.4	726.7	725.5	725.5	75	80	80	NE 1	NE 2	NE 2	4	1	0	.	
Mittel	14.9	19.9	16.7	17.2	—	730.1	729.5	729.7	80	65	77				4.4	4.5	3.9	Summe 84.6	

$\lambda = 8° 33'$, $\beta = 47° 23'$, $H_b = 493.2$ m, $G = 0.03$ mm.

Zürich

Juni 1943.
Beobachter: *Meteorol. Zentralanstalt.*

Tag	Lufttemperatur 7³⁰	13³⁰	21³⁰	Mittel	Abweich. vom Normalst.	Luftdruck 7³⁰	13³⁰	21³⁰	Relative Feuchtigkeit 7³⁰	13³⁰	21³⁰	Windrichtung und Stärke 7³⁰	13³⁰	21³⁰	Bewölkung 7³⁰	13³⁰	21³⁰	Niederschlag	Witterung
1	17.9	14.8	15.7	16.1	1.1	715.5	718.6	719.3	76	67	73	WSW 1	NW 1	WNW 1	10	9	6	6.0	● 8½–12¼, ⌒ 9–9½
2	13.8	17.1	15.4	15.4	0.3	718.7	716.9	**714.3**	65	47	49	WNW 1	WNW 1	SW 1	8	8	9	4.7	● 23¼–24
3	10.0	13.4	9.1	10.8	−4.4	717.3	716.7	719.3	92	62	91	WNW 1	NW 1	WSW 2	4	5	9●	10.3	● 0¾–7¼ ztw., 12½–22¼ m.U.
4	8.7	12.3	10.7	10.6	−4.7	721.5	723.3	725.8	92	83	85	WNW 1	S 1	ENE 1	10●	8	10●	7.7	● 0–23¼ zeitw., ⌒ ●² 14¼–
5	9.3	20.8	13.2	14.4	−1.0	725.6	724.7	724.3	89	32	71	SSE 0	SSW 1	N 1	2	4	2	.	[14¾
6	12.7	24.0	13.8	16.8	1.3	723.2	721.7	723.3	79	36	94	NW 1	WSW 2	WNW 1	2	8	10●	9.1	● 20–n
7	11.9	20.2	12.2	14.8	−0.8	725.6	725.2	725.3	81	38	67	NW 1	SW 2	NE 0	8	5	2	.	● n–1¾
8	11.6	18.8	12.4	14.3	−1.4	724.4	723.2	722.9	78	39	99	WNW 1	N 2	SE 1	9	10	10	11.9	● 18–21, 22¾–n
9	13.2	15.2	14.2	14.2	−1.6	720.3	719.3	718.6	93	94	100	S 1	WSW 1	S 1	10●	10●	10	**16.8**	● n–n m.U.
10	14.1	21.0	12.1	15.7	−0.2	718.7	718.2	720.3	88	53	95	WNW 1	W 1	SSE 1	9	8	9	0.2	●° n, a, p ztw., ● r. ⌒° 13¾–
11	13.0	15.4	15.0	14.5	−1.5	721.2	721.5	722.3	84	74	81	SSE 1	SSE 1	SSE 1	10	10●	7	0.4	[14¼ ●° 6½–7¼, ● 13¼
12	13.9	23.5	18.8	18.7	−2.6	722.5	722.2	723.3	85	39	55	SE 1	WNW 1	NW 1	6	5	10	0.0	△ 1
13	16.9	20.9	15.6	17.8	−1.6	723.9	723.4	721.6	76	53	91	W 1	SSW 1	SE 1	10	9	1	0.0	● sch. 13¼
14	14.0	16.5	10.7	13.7	−2.5	718.6	717.5	720.3	84	93	99	NW 1	NNW 1	NW 1	10●	10	10●	9.9	● 7½–22 zeitw.
15	10.9	12.8	11.0	11.6	−4.7	720.7	719.7	718.9	80	70	83	SSW 1	ESE 1	SE 1	9	10	8	6.0	● 0–6, 10¾–14¾ zeitw.
16	8.7	11.7	9.1	9.8	−6.6	718.3	718.9	720.4	91	68	90	W 1	WNW 2	WNW 1	10●	9	10●	15.6	● 0¾–1¼, 4½–n zeitw.
17	**8.4**	10.0	8.5	9.0	−7.5	720.0	719.4	721.9	90	80	94	S 1	S 1	SSE 1	10●	10●	10	4.0	● n–19¾
18	9.6	17.8	11.5	13.0	−3.5	724.8	725.0	725.2	78	42	68	WNW 0	SSW 1	ESE 1	10	4	2	.	
19	12.2	16.6	13.1	14.0	−2.6	724.9	724.7	723.8	64	61	93	SE 1	SSE 2	SE 1	10	10	6	0.2	●° 10¼–14½ m.U.
20	12.1	**27.2**	18.1	19.1	2.4	722.9	720.6	719.7	91	35	48	NW 1	N 2	W 2	0	0	1	.	
21	18.0	25.4	15.5	19.6	2.8	720.5	720.9	724.3	66	46	97	NNW 0	NW 2	SE 1	8	5	9●	4.7	⌒ ● 15–15½, ●° 20¼–
22	15.9	20.4	17.5	17.9	1.1	725.4	726.1	727.0	86	58	76	NNE 1	NNE 2	NE 2	10	5	4	0.0	● sch. 9½ [24½ m.U.
23	15.9	24.4	17.8	19.4	2.5	**727.8**	726.9	726.8	80	42	74	WNW 1	N 2	NW 1	4	3	3	.	
24	17.8	24.6	18.6	20.3	3.3	726.3	725.4	725.4	71	39	67	NW 1	NW 2	N 1	10	6	5	.	
25	16.4	25.8	19.8	20.7	3.7	724.9	723.1	722.6	75	34	57	W 1	NW 2	WNW 1	1	9	9	.	
26	16.7	25.3	16.9	19.6	2.5	723.3	722.4	723.5	70	**31**	56	NNW 0	WNW 1	NE 1	1	2	10	.	
27	14.4	22.8	17.2	18.1	0.9	723.9	723.8	723.8	74	41	54	N 2	ENE 2	NE 1	4	3	1	.	
28	13.4	22.7	16.8	17.6	0.4	724.0	723.2	723.2	80	41	55	N 2	NNW 1	NE 2	2	3	9	.	
29	12.9	23.0	15.4	17.1	−0.2	722.2	720.7	720.7	81	37	90	NE 1	NNW 1	NNW 1	2	1	10	0.8	● sch. 19½–20¼
30	13.2	18.6	13.2	15.0	−2.3	720.2	719.3	719.9	71	48	73	NE 1	E 2	NE 1	6	5	3	0.3	● sch. 17½
Mittel	13.3	19.4	14.3	15.7	—	722.2	721.8	722.3	80	53	78				6.8	6.5	6.8	Summe 108.6	

$\lambda = 8° 30'$, $\beta = 47° 3'$, $H_b = 1787.3$ m, $G = -0.20$ mm.

Rigi-Kulm

Juni 1943.
Beobachter: *J. Wigel.*

Tag	Lufttemperatur 7³⁰	13³⁰	21³⁰	Mittel	Abweich. vom Normalst.	Luftdruck 7³⁰	13³⁰	21³⁰	Relative Feuchtigkeit 7³⁰	13³⁰	21³⁰	Windrichtung und Stärke 7³⁰	13³⁰	21³⁰	Bewölkung 7³⁰	13³⁰	21³⁰	Niederschlag	Witterung
1	11.4	6.7	6.2	8.1	1.5	614.5	615.2	615.2	75	90	100	W 1	SW 1	W 1	10	9	10	14.9	● 9–n zeitw.
2	4.6	5.4	4.0	4.7	−2.0	614.8	614.2	612.2	87	100	89	W 0	W 0	W 1	10	10≡	5	4.6	≡ seit 11 zeitw.
3	0.0	2.5	1.0	1.2	−5.6	**611.9**	612.5	614.1	100	100	100	W 3	W 3	W 3	10≡	8	10	21.0	△ seit 16¼ zeitw., ≡ I
4	0.0	1.0	−0.2	0.3	−6.6	615.4	617.8	620.0	100	100	100	W 3	W 2	W 1	10≡	10≡	10	13.0	✳ zeitw., ≡ I, II
5	5.6	8.3	6.5	6.8	−0.1	619.7	620.4	621.2	48	65	80	S 0	S 0	S 0	3	5	5	.	
6	10.4	8.0	8.5	9.0	2.0	619.9	619.3	619.4	54	75	70	SE 0	W 2	SW 1	3	10	10	40.6	● 14–14½
7	3.4	5.0	3.2	3.9	−3.2	619.8	620.7	619.2	100	88	75	W 0	W 0	W 0	10≡	5	6	.	≡ I
8	6.8	11.2	5.5	7.8	0.6	619.5	619.6	619.0	68	64	88	SW 0	SW 0	SW 1	5	9	10	14.7	
9	6.4	7.0	6.0	6.5	−0.7	616.8	616.1	615.7	100	95	100	W 3	W 3	W 4	10≡	10●≡	10●≡	**58.1**	● n–n m U., ≡ n–n
10	5.2	7.0	5.2	5.8	−1.5	615.3	615.8	616.2	100	77	100	SE 1	W 0	SW 1	10≡	8	10	5.1	● ≡ n–n zeitw.
11	3.8	8.4	6.5	6.2	−1.2	616.0	618.0	618.2	100	70	74	W 2	SW 0	SW 0	10≡	8	7	0.7	● ≡ n–9, ● sch. 14½
12	8.2	11.8	11.0	10.3	2.9	619.1	619.9	620.3	75	76	75	SW 0	SW 0	W 0	4	5	10	.	
13	8.4	10.0	8.5	9.0	1.5	620.5	620.1	619.6	100	81	84	W 0	W 0	W 0	10≡	10	7	.	≡ n–10
14	11.4	8.0	6.0	8.5	0.9	616.7	614.6	614.6	53	100	100	SW 1	W 3	W 3	9	10●≡	10●≡	47.2	● ≡ 11¾–n
15	0.0	3.0	2.5	1.8	−5.9	615.3	615.4	614.7	100	80	100	W 2	W 1	W 1	10	10	10	4.8	● zeitw.
16	**−1.0**	0.3	1.0	0.1	−7.6	612.7	614.0	615.0	100	100	80	W 3	SW 3	W 3	10	8*≡	10	39.7	✳ ≡ II, abds.
17	−0.6	0.4	**−1.0**	−0.4	−8.2	614.4	613.9	616.9	100	100	100	W 3	W 2	W 2	10*≡	10*≡	10*≡	30.3	✳ ≡ n–n ✳
18	0.0	4.8	4.0	2.9	−5.0	618.4	619.9	620.1	100	64	78	SW 0	W 0	W 0	10≡	7	5	.	≡ n–9½ ✳
19	5.0	8.0	8.5	7.2	−0.8	620.1	620.8	620.8	52	70	75	SW 1	W 1	W 0	10	10	4	0.8	● seit 9 zeitw.
20	12.0	**15.2**	14.5	13.9	5.9	620.3	619.4	619.0	**38**	45	51	E 0	W 0	W 0	0	1	1	.	
21	12.4	12.6	7.8	10.9	2.8	619.9	619.4	620.0	75	66	75	W 0	W 2	W 1	5	8	10	1.1	
22	7.4	8.6	8.4	8.1	−0.1	620.3	622.2	623.2	100	100	100	E 1	NE 1	E 1	10≡	10≡	10	.	≡ n–18
23	12.0	15.0	10.2	12.4	4.2	623.7	624.1	**624.7**	74	70	73	E 0	SW 1	SW 0	3	3	5	.	
24	10.4	14.0	9.0	11.1	2.8	623.1	622.9	622.9	85	72	75	SW 0	W 0	W 0	5	5	10	.	≡ zeitw.
25	11.0	14.3	9.5	11.6	3.2	621.8	621.8	622.9	77	74	75	SW 1	SW 1	SW 0	2	3	5	.	
26	8.0	11.0	8.5	9.2	0.7	620.0	620.1	619.7	62	68	79	W 1	W 0	SW 0	3	3	10	.	
27	6.2	8.6	8.2	7.7	−0.8	619.0	619.6	620.4	90	85	74	E 2	E 2	NE 1	8	7	10	.	
28	9.0	9.0	10.2	9.4	0.8	619.2	620.0	619.8	70	84	57	SE 1	W 0	E 1	4	7	5	.	≡ zeitw.
29	6.8	9.4	5.2	7.1	−1.6	617.6	617.7	617.4	76	76	92	E 2	SE 1	E 1	3	5	10	.	
30	4.6	6.2	4.5	5.1	−3.7	615.5	615.4	615.5	95	90	92	E 3	N 1	NE 1	10	10	4	.	≡ zeitw.
Mittel	6.3	8.0	6.3	6.9	—	618.0	618.4	618.6	82	81	84				7.2	7.5	8.0	Summe 296.6	

Juni 1943.
Beobachter: *P. Nogler.*

Bevers

$\lambda = 9° 53'$, $\beta = 46° 33'$,
H_b = ca. 1710 m, G = –0.23 mm.

Tag	Lufttemperatur 7³⁰	13³⁰	21³⁰	Mittel	Abweich. vom Normalst	Luftdruck 7³⁰	13³⁰	21³⁰	Relative Feuchtigkeit 7³⁰	13³⁰	21³⁰	Windrichtung und Stärke 7³⁰	13³⁰	21³⁰	Bewölkung 7³⁰	13³⁰	21³⁰	Niederschlag	Witterung
1	11.1	15.8	8.6	11.8	3.6	621.6	621.4	621.3	78	74	94	S 1	N 0	E 1	10	10●	10●	7.3	● 11–n
2	10.3	15.6	6.0	10.6	2.3	620.4	618.0	618.0	72	43	98	SE 0	S 2	SE 1	8	7	5	7.7	● 16½–20, n
3	6.2	9.6	3.3	6.4	–2.0	616.8	617.7	619.1	85	43	91	NW 0	N 3	SE 2	10	5	10	2.7	●° 20–20½
4	6.0	8.0	4.8	6.3	–2.2	620.9	623.9	625.0	55	48	66	N 1	N 2	N 1	10	10	8	.	△° 16
5	6.8	17.8	5.2	9.9	1.3	625.7	625.8	626.2	67	32	62	W 1	W 2–3	N 0	2	3	0	.	
6	8.1	16.1	7.8	10.7	2.0	626.7	625.4	625.6	62	40	100	W 1	W 3	W 1	1	6	8	3.7	● 18–19½, n
7	9.8	13.1	5.3	9.4	0.6	624.7	625.0	626.6	74	40	73	NE 2	NW 3	W 1	10	2	3	.	
8	4.1	17.3	9.4	10.3	1.4	625.2	624.8	624.6	89	41	88	E 1	SW 2	N 1	2	6	10●	1.0	●° 20–n
9	8.8	16.8	7.2	10.9	1.9	623.2	621.8	621.2	92	79	100	W 1	NW 2	NW 1–2	10●	10	10●	8.0	● n–13, 16–n
10	8.6	13.2	6.1	9.3	0.2	620.4	620.4	621.9	86	50	91	N 1	NW 2	W 1	10●	8	9	1.2	● n–11, 17
11	7.3	10.3	7.6	8.4	–0.8	622.5	622.8	624.1	88	61	82	W 1	W 2	W 0	10●	10●	10	3.5	● n–18
12	8.4	16.0	10.2	11.5	2.2	624.6	625.1	626.4	87	61	80	SW 1	W 2	W 0	8	6	8	.	
13	11.8	18.4	10.3	13.5	4.1	626.1	625.0	625.3	75	43	92	SW 1	S 2	SW 1	10	8	7	.	
14	13.0	12.7	10.6	12.1	2.6	623.5	621.5	620.4	77	79	97	S 0	W 2	WSW 1	10	10	10●	14.2	● 14–n
15	10.1	12.1	3.4	8.5	–1.1	619.7	619.8	620.3	70	88	97	W 1	NW 3	N 2	8	10●	10●	6.1	● n–n m.U.
16	3.1	5.6	1.2	3.3	–6.4	617.9	620.3	621.2	91	78	93	N 2	NW 2	N 1	10	10	6	0.1	✳ 10–11, ● 11–12½, ✳° [16–19¼
17	5.3	9.2	2.6	5.7	–4.1	619.9	618.4	620.8	76	36	96	NW 1	W 2	N 1	10	10	10	2.4	● 15–n m.U.
18	4.8	8.7	5.8	6.4	–3.5	622.9	624.8	626.3	64	46	54	NW 1	W 2	NW 2	10*	10	8	0.2	✳° n–8¾
19	2.3	11.6	9.3	7.7	–2.3	626.1	626.3	626.7	69	58	68	NW 1	NE 2–3	NE 2	6	9	10	.	
20	7.2	21.7	10.6	13.2	3.1	626.2	624.6	625.4	70	43	85	W 0–1	W 1	W 1	0	1	10	.	
21	13.2	19.0	10.8	14.3	4.2	625.3	624.0	625.9	74	46	92	SW 0–1	SW 2–3	W 1	3	6	10	0.9	●sch. p
22	10.2	18.4	10.3	13.0	2.8	627.2	628.8	630.0	85	61	95	NW 2	W 1	NW 1	9	5	5	.	
23	9.8	19.2	12.6	13.9	3.6	630.1	629.1	628.8	90	41	86	W 1	S 2	SW 1	10	8	9	.	
24	13.6	20.9	11.6	15.4	5.0	628.9	627.5	628.1	72	36	70	S 0	SW 1–2	W 1	3	5	3	.	
25	11.6	21.4	12.4	15.1	4.7	627.7	626.2	626.0	62	33	66	SW 0	W 2	SW 1	0	5	0	.	
26	15.0	22.2	7.7	15.0	4.5	625.4	625.2	625.4	58	41	72	W 1	SW 2	W 1	4	0	0	.	
27	10.0	20.1	9.2	13.1	2.5	624.8	625.6	626.1	69	40	71	SW 0	SW 2	SW 0–1	0	5	2	.	
28	8.5	17.6	9.1	11.7	1.1	625.2	624.0	624.9	76	34	57	S 0	W 2–3	W 1	3	1	2	.	
29	9.2	17.2	11.8	12.7	2.0	623.9	622.3	621.8	64	33	64	W 0	W 2	W 2	4	8	7	.	
30	9.2	11.6	7.5	9.4	–1.4	620.8	620.9	621.1	79	76	77	W 1	W 2–3	W 1	10	10	8	.	
Mittel	8.8	15.2	7.9	10.6	—	623.8	623.5	624.2	75	51	82				6.7	6.8	6.9	Summe 59.0	

Juni 1943.
Beobachter: *Kapuzinerkloster.*

Sitten

$\lambda = 7° 21'$, $\beta = 46° 14'$,
H_b = 548.6 m, G = –0.11 mm.

Tag	7³⁰	13³⁰	21³⁰	Mittel	Abweich. vom Normalst	Luftdruck 7³⁰	13³⁰	21³⁰	Relative Feuchtigkeit 7³⁰	13³⁰	21³⁰	Windrichtung und Stärke 7³⁰	13³⁰	21³⁰	Bewölkung 7³⁰	13³⁰	21³⁰	Niederschlag	Witterung
1	16.0	18.0	16.4	16.8	0.4	713.6	713.1	713.9	72	78	60	W 3	W 3	W 2	10●	10●	2	1.5	● 7¼–7¾
2	16.6	20.1	15.6	17.4	0.9	713.7	710.6	709.6	65	51	54	NE 1	W 2	NE 2	2	7	9●	0.8	● n (2./3.)
3	13.8	17.4	13.1	14.8	–1.8	712.3	711.5	715.2	63	48	54	WSW 1	SW 2	W 3	8	4	8	9.3	● n–n zeitw.
4	11.0	14.7	12.6	12.8	–3.9	717.6	719.1	720.4	81	63	65	W 0	W 2	WSW 1	6	6	5	0.4	● n–5, a, p zeitw.
5	11.5	20.4	15.4	15.8	–1.0	721.2	718.8	719.2	68	43	63	NE 1	SW 2	W 0	1	1	0	.	
6	14.4	21.8	16.2	17.5	0.6	719.4	716.9	718.2	67	49	85	N 0	SW 2	W 0	0	8	10●	19.1	●° (14½), ● 20–n
7	15.2	20.6	14.6	16.8	–0.2	719.6	718.1	719.0	72	50	62	W 2	WSW 3	WSW 0	5	4	1	.	✓ p
8	14.4	21.2	19.8	18.5	1.4	719.9	717.2	716.9	65	51	39	NE 0	WSW 2	W 2	1	6	10	1.6	● n (8./9.)
9	14.8	20.0	16.0	16.9	–0.3	716.8	714.4	713.9	83	66	95	WNW 0	WNW 1	W 0	9	9	10●	8.3	●° (15½), 19¼–n
10	16.0	22.9	15.8	18.2	0.9	713.3	712.6	713.9	89	48	64	W 1	WSW 2	WSW 1	10●	3	2	0.1	● n–8
11	16.2	22.3	18.9	19.1	1.8	716.1	715.3	716.3	65	44	53	WSW 0	WSW 1	W 0	2	8	7	.	
12	16.4	25.8	18.2	20.1	2.7	718.0	717.8	718.1	66	45	56	ENE 0	WSW 2	W 0	1	5	1	.	
13	15.6	24.9	20.8	20.4	2.9	718.1	716.6	715.9	74	53	50	N 0	W 2	WSW 2	1	2	2	.	
14	18.8	17.9	16.0	17.6	0.0	713.9	714.3	714.2	64	87	75	NE 1	W 1	W 2	3	10●	10	3.2	● 11–p m.U.
15	14.4	19.1	14.1	15.9	–1.8	715.1	713.7	713.1	63	43	52	NE 1	SW 2	W 1	8	9	2	.	
16	13.4	16.7	14.2	14.8	–3.0	713.8	714.3	716.2	59	45	51	WSW 1	SW 3	W 0	8	7	9	0.9	●° (5), ✓ a, p zeitw.
17	11.3	14.6	8.8	11.6	–6.3	715.8	713.9	716.5	80	66	86	W 0	WSW 2	W 2	10●	10	10●	13.0	● n–n zeitw.
18	12.6	19.0	14.4	15.3	–2.6	719.6	719.2	720.2	67	39	55	W 0	WSW 2	W 1	3	3	0	.	
19	12.1	21.3	16.4	16.6	–1.4	721.1	719.4	718.3	68	44	64	N 0	N 0	N 2	10	8	3	.	
20	15.9	26.1	19.9	20.6	2.5	718.6	714.9	715.2	67	43	59	N 0	W 1	NE 2	0	0	2	.	
21	19.6	20.8	16.3	18.9	0.7	716.2	714.9	719.1	63	61	85	NE 0	W 2	W 0	2	10●	10●	3.4	● 13¼–n m.U.
22	15.1	21.5	18.3	18.3	0.0	720.1	719.6	721.5	97	57	75	ENE 1	W 1	W 0	10●	10	5	0.1	● n–8
23	19.4	24.8	19.7	21.3	2.9	722.6	720.7	720.9	72	53	69	W 1	W 3	W 0	3	3	1	.	
24	18.9	26.7	21.4	22.3	3.9	721.6	718.5	718.6	73	47	53	NNE 1	SW 0	WSW 1	1	2	0	.	△ fr.
25	19.0	26.7	22.3	22.7	4.2	719.9	717.1	716.6	67	47	49	NE 0	SW 2	W 1	0	1	2	.	△ fr.
26	20.5	26.5	21.3	22.8	4.2	716.9	715.5	715.9	60	39	51	NW 1	W 3	WSW 2	0	0	0	.	△ fr.
27	16.9	24.4	19.0	20.1	1.4	717.5	715.5	716.8	72	51	59	WSW 1	SW 2	W 0	9	1	0	.	
28	18.0	25.0	20.1	21.0	2.2	718.1	715.7	715.8	67	53	54	NNE 1	WSW 1	W 1	1	2	0	.	
29	17.3	24.4	19.8	20.5	1.7	716.3	713.3	713.5	67	51	45	NE 1	SW 2	W 1	4	3	1	.	
30	17.4	17.0	16.2	16.9	–3.0	713.6	712.2	713.0	62	61	60	NE 0	NE 0	NE 0	2	10●	0	.	●° 13¼–13¾
Mittel	15.8	21.4	17.1	18.1	—	717.3	715.8	716.5	70	53	61				4.3	5.4	4.1	Summe 61.7	

$\lambda = 8° 57'$, $\beta = 46° 0'$,
$H_b = 276.2$ m, $G = -0.01$ mm.

Lugano

Juni 1943.
Beobachter: *G. Vicari.*

Tag	Lufttemperatur 7³⁰	13³⁰	21³⁰	Mittel	Abweich. vom Normalst	Luftdruck 7³⁰	13³⁰	21³⁰	Relative Feuchtigkeit 7³⁰	13³⁰	21³⁰	Windrichtung und Stärke 7³⁰	13³⁰	21³⁰	Bewölkung 7³⁰	13³⁰	21³⁰	Niederschlag	Witterung
1	18.2	16.8	16.6	17.2	−0.2	737.0	736.7	736.2	71	86	90	SSE 1	W 0	WNW 1	10	10●	6	9.4	● n-n
2	15.8	17.6	13.8	15.7	−1.8	735.7	734.6	733.0	81	76	95	NNW 1	SSW 2	NNE 1	4	10●	10●	22.5	● ⊼° p-n zeitw.
3	14.2	22.4	17.4	18.0	0.3	**731.3**	**731.3**	733.0	64	18	27	NE 1	NNE 2	NNE 1	8	2	8	.	
4	16.0	23.0	18.4	19.1	1.3	736.4	737.3	740.1	35	21	23	NNE 1	NNE 2	NNE 2	0	1	0	.	
5	15.6	23.6	17.8	19.0	1.1	741.9	741.0	742.0	46	33	48	E 0	S 1	N 1	0	10	3	.	
6	14.8	22.4	16.6	17.9	−0.1	743.7	742.0	740.8	66	44	63	N 0	NW 1	NNE 1	0	10	4	.	
7	17.0	25.0	17.2	19.7	1.5	740.5	739.3	741.4	81	48	60	SSW 1	SSE 1	S 1	10	4	4	.	
8	15.4	22.8	17.6	18.6	0.3	744.0	742.4	741.0	74	49	70	W 0	S 1	NNE 1	10	10	8	.	
9	17.0	22.4	18.6	19.3	0.9	739.6	737.7	736.0	75	52	70	NE 0	S 0	N 1	10	10	8	.	
10	17.8	25.0	18.2	20.3	1.8	735.1	733.9	734.9	66	46	56	N 0	S 1	ENE 1	10	5	2	0.6	●°sch. p
11	15.8	26.2	21.2	21.1	2.5	736.1	736.1	737.7	58	23	30	N 1	NNE 2	N 1	1	0	0	.	
12	16.4	29.0	22.0	22.5	3.7	739.0	738.4	739.7	63	26	43	N 1	E 1	NNE 1	5	7	4	.	
13	19.0	28.6	23.2	23.6	4.7	741.2	739.7	739.2	65	42	47	E 0	S 1	N 1	9	4	0	.	
14	19.0	21.2	16.4	18.9	−0.1	739.3	737.5	735.8	72	61	93	N 1	SE 0	NE 0	10	10	10	12.8	● p-n zeitw.
15	17.0	23.6	15.6	18.7	−0.4	735.2	733.4	734.5	88	59	44	NE 1	E 1	N 2	7	9	10●	8.1	● n-n zeitw.
16	13.6	21.4	14.8	16.6	−2.6	733.0	733.5	736.9	63	24	30	E 0	NNE 2	NNE 1	8	5	0	.	
17	**12.4**	21.2	12.6	15.4	−3.9	736.7	735.1	735.8	55	32	78	N 1	SW 1	E 1	7	10	10	2.1	● 19–19½
18	14.2	22.2	15.2	17.2	−2.2	739.1	740.2	741.6	66	21	24	SSE 1	NNE 2	NNE 2	1	1	0	.	
19	14.0	23.0	17.2	18.1	−1.4	742.9	741.5	740.8	44	34	55	N 0	S 1	N 1	0	10	4	.	
20	15.0	26.2	21.0	20.7	1.1	741.8	740.1	739.7	75	42	53	SSE 1	S 1	N 1	0	0	3	.	
21	17.2	27.4	22.0	22.2	2.5	740.6	739.1	738.6	77	42	58	N 1	W 0	N 1	3	1	3	.	
22	18.0	24.8	21.6	21.5	1.7	741.4	742.6	743.0	74	46	65	N 1	S 1	W 1	4	4	2	1.5	●sch. 10–10½
23	18.4	28.8	21.8	23.0	3.1	**745.1**	744.1	743.5	76	46	65	N 0	S 1	N 1	0	3	2	.	
24	19.6	29.6	24.0	24.4	4.4	743.2	741.0	739.7	80	44	64	NNW 0	S 1	N 1	0	4	0	.	
25	20.2	29.2	23.4	24.3	4.2	741.9	740.5	738.6	64	46	61	N 1	S 1	N 1	1	3	0	.	
26	20.0	**33.2**	23.6	25.6	5.4	737.2	734.9	736.0	83	**17**	30	N 0	NNE 2	N 1	0	0	0	.	
27	20.2	27.0	20.4	22.5	2.2	740.2	739.8	741.2	56	44	60	W 0	SW 1	SW 0	10	5	10	.	
28	19.0	27.2	20.8	22.3	1.9	740.9	738.6	737.6	68	43	58	NE 0	S 1	NNE 1	1	4	0	.	
29	17.0	26.8	20.4	21.4	0.9	738.4	736.8	735.8	63	37	64	NNE 1	S 1	NNE 1	8	5	10	.	● ⊼ 13–14
30	17.2	15.4	14.0	15.5	−5.1	735.0	736.4	737.2	68	92	83	N 1	NNE 1	NNE 1	4	10●	0	2.7	● ll
Mittel	16.8	24.4	18.8	20.0	—	739.1	738.2	738.4	67	43	57				4.7	5.6	4.0	Summe 59.7	

$\lambda = 7° 35'$, $\beta = 47° 33'$,
$H_b = 318$ m, $G = 0.11$ mm.

Basel

Juni 1943.
Beobachter: *Astronom.-Meteorol. Anstalt.*

Tag	Lufttemperatur 7³⁰	13³⁰	21³⁰	Mittel	Abweich. vom Normalst	Luftdruck 7³⁰	13³⁰	21³⁰	Relative Feuchtigkeit 7³⁰	13³⁰	21³⁰	Windrichtung und Stärke 7³⁰	13³⁰	21³⁰	Bewölkung 7³⁰	13³⁰	21³⁰	Niederschlag	Witterung
1	15.2	19.2	13.1	15.8	1.2	732.5	733.6	734.6	93	65	74	WSW 1	W 1	WSW 1	10●	7	0	6.5	● 7½–10½ m.U., ⊼ 6-8, ⸗ 7¾
2	13.7	20.3	14.4	16.1	1.4	734.2	732.2	**729.8**	73	**46**	73	W 0	WSW 1	WNW 2	10	9	10●	7.1	● 21½–24¼, ⊿ 7, ⸗ 22¼
3	12.6	14.3	9.9	12.3	−2.5	732.7	732.3	734.2	72	65	83	WSW 1	WNW 3	WSW 1	2	8	8	**12.0**	●sch. 3½–23¼ ztw., ⌒ 19¾
4	10.1	14.9	12.1	12.4	−2.5	736.9	738.5	740.7	92	70	80	WSW 1	WSW 1	SSE 1	10●	6	10	.	● 5½–7¾, ⊼ ll, T p zeitw.
5	11.4	21.2	14.4	15.7	0.7	740.9	739.8	739.4	84	49	88	E 1	E 1	WSW 0	0	8	1	.	⊿ l
6	15.2	22.6	11.8	16.5	1.4	738.1	736.5	739.4	71	56	94	ESE 1	WNW 1	SW 1	8	10	10●	3.5	●tr. 13½, ● 17¼–21¾ m.U.
7	13.7	20.5	12.1	15.4	0.2	741.4	741.0	740.6	75	49	84	SSW 0	WSW 1	NNW 0	4	6	2	.	⊿ l, ⊍ lll
8	11.9	19.9	13.6	15.1	−0.2	739.9	738.6	738.0	81	**46**	93	ESE 1	NNW 1	ESE 1	10	10	10●	6.2	● 15¼–23½ m.U., ⊿° l
9	13.6	15.9	13.6	14.4	−1.0	735.4	734.6	733.9	97	88	98	ESE 1	WSW 1	SSE 0	10●	10●	10	8.9	● 0¼–21¾ m.U., ⊍ lll
10	14.9	18.7	15.3	16.3	0.8	733.9	734.0	735.6	92	59	71	WSW 1	NE 1	WNW 1	10	9	10	.	T 19¼–21
11	12.7	22.0	15.3	16.7	1.1	736.8	736.5	737.3	92	59	89	SSE 1	NW 1	S 1	8	7	3	.	⊿ l
12	14.0	25.5	19.3	19.6	3.9	737.8	737.4	738.7	86	47	74	ESE 1	WNW 1	WSW 1	0	8	10	.	⊿ l
13	19.3	23.9	14.8	19.3	3.5	739.6	738.7	736.8	58	48	82	WNW 1	WSW 1	SSW 1	1	2	0	.	
14	13.4	15.9	10.5	13.3	−2.6	733.1	732.4	735.9	86	91	87	ESE 1	SSE 1	WSW 2	9	10	10	8.6	● 6¾–18¾ m.U.
15	15.0	15.3	10.4	13.6	−2.4	736.0	735.3	734.0	68	55	88	SE 1	WSW 2	WNW 0	7	10	0	2.9	⊿° l
16	9.7	14.0	10.2	11.3	−4.8	733.6	734.5	735.6	86	66	84	SSW 1	SSW 1	SW 1	10	9	10	3.7	● 3–10¼ m.U., ⸗ p zeitw.
17	9.6	12.3	**9.5**	10.5	−5.7	735.3	734.9	737.4	92	79	88	SW 1	W 1	S 1	10●	10●	9	1.7	● 0–0½, 7–16½
18	12.4	19.1	10.6	14.0	−2.3	740.2	740.3	740.4	78	47	85	SSW 0	NW 1	SSW 1	4	5	1	.	⊿° l
19	12.3	20.3	16.3	16.3	−0.1	739.9	739.5	738.4	82	67	88	ESE 1	ESE 1	ESE 1	10●	10	5	.	● 6¾–11¼ m.U.
20	16.6	**27.6**	20.9	21.7	5.2	737.5	735.3	734.3	73	**46**	63	E 0	E 1	ESE 1	0	0	2	.	
21	19.3	20.4	16.0	18.6	2.0	735.5	737.5	739.4	63	67	89	ESE 1	W 2	WSW 1	1	10	10	0.6	● 12¼, 14¼, 15½–16
22	14.6	21.2	17.1	17.6	0.9	741.4	742.1	742.6	91	71	87	WNW 1	SSW 1	SSW 1	10	10	10	.	●° 9–10½
23	17.1	25.5	18.4	20.3	3.6	**743.5**	742.4	742.0	77	51	77	NNW 0	W 1	SSW 1	3	2	6	.	⊿ l
24	18.6	26.1	17.2	20.6	3.8	741.9	740.6	740.7	76	47	74	ESE 0	NW 1	W 1	2	5	0	.	⊿ l
25	17.6	25.1	17.6	20.1	3.2	740.4	738.8	738.0	68	50	68	SSW 0	WNW 1	WSW 1	3	10	2	.	⊿ 7
26	17.8	22.2	16.5	18.8	1.8	738.5	738.1	739.0	66	55	58	ESE 0	NNE 1	WNW 1	0	5	9	.	⊿ 7
27	14.2	21.9	16.9	17.7	17.6	739.8	739.4	739.2	78	59	68	WNW 1	NW 1	NNW 1	2	8	4	.	
28	13.8	22.1	15.1	17.0	−0.1	739.9	738.9	738.9	73	51	70	WSW 1	WNW 1	WSW 1	0	0	10	.	
29	12.1	21.0	15.4	16.2	−1.0	738.4	736.6	736.2	83	51	66	WSW 1	WNW 1	WNW 1	7	2	10	.	⊿° l
30	12.8	20.0	12.2	15.0	−2.3	736.0	734.7	735.1	82	51	95	W 1	WNW 1	SSE 1	10	5	2	1.2	● 15¼, 18½–19½
Mittel	14.2	20.3	14.4	16.3	—	737.7	737.2	737.5	80	58	81				5.7	7.0	6.1	Summe 62.9	

Juni 1943.
Beobachter: *Observatorium.*

Säntis

$\lambda = 9° 20'$, $\beta = 47° 15'$,
$H_b = 2500.1$ m, $G = -0.27$ mm.

Tag	Lufttemperatur 7³⁰	13³⁰	21³⁰	Mittel	Abweich. vom Normalst.	Luftdruck 7³⁰	13³⁰	21³⁰	Relative Feuchtigkeit 7³⁰	13³⁰	21³⁰	Windrichtung und Stärke 7³⁰	13³⁰	21³⁰	Bewölkung 7³⁰	13³⁰	21³⁰	Niederschlag	Witterung
1	7.4	1.1	0.8	3.1	1.6	564.0	563.2	564.2	48	100	100	WSW 2	W 4	NW 2	10	10=	10	22.7	● 9½-21 m.U., ≡ 9-n, ⸗ a, p
2	-1.8	4.0	-0.1	0.7	-0.0	562.8	562.1	560.4	83	86	78	W 1	WSW 2	WSW 3	10	10=	10	18.0	●r. 15¼, ≡ 9¾-17¾ ✳
3	-3.4	-1.8	-4.0	-3.1	-4.8	559.2	560.0	560.9	100	100	100	W 3	W 2	W 3	10 *	10	10 *	48.8	✳ n-9½, 17-n m.U., ≡ n-n, ⸗ p
4	-3.7	-3.0	-3.4	-3.4	-5.2	562.2	564.4	566.8	100	100	100	WSW 3	W 2	NW 1	10=*	10=*	10=*	23.5	✳ n-n m.U. ≡ n-n, ⋁ l ✳
5	-1.4	1.4	1.2	0.4	-1.5	567.0	568.2	568.9	56	92	72	NW 1	WSW 1	W 3	2	9	1	.	✳
6	4.2	9.2	2.6	5.3	3.3	568.4	568.4	567.6	68	53	100	W 2	SW 2	WSW 2	2	10	10=	24.5	●sch. 15½, ≡ 14-n m.U., ⸗ p stw. ✳
7	-1.8	1.2	-1.0	-0.5	-2.6	567.2	568.1	568.6	100	92	94	W 2	W 1	WNW 2	10=	10	10	0.1	✳ n, ● 11½, ≡ n-20 m.U. ✳
8	1.8	5.0	0.7	2.5	0.4	567.5	567.9	566.7	46	65	100	W 2	W 2	W 4	7	10	10=	22.1	✳ ● 15¾-21 m.U., ≡ 16-n, ⸗ n
9	2.6	3.0	2.5	2.7	0.5	564.8	563.9	564.0	100	100	100	W 4	W 4	NW 3	10=●	10●	10●	71.2	● ≡ ⸗ n-n
10	0.6	0.0	-1.2	-0.2	-2.5	562.9	563.4	564.2	100	100	100	W 3	NW 3	NNW 1	10=	10=	10=	30.6	●✳ △ ≡ n-n m.U., ⸗ 7¾-8½
11	-1.0	1.5	1.4	0.6	-1.8	564.1	565.6	566.8	100	100	100	W 3	W 1	W 2	10=	10=	10=	21.4	✳ 6-6½, ≡ n-n m.U., ● n ✳
12	1.6	6.0	4.4	4.0	1.5	567.2	568.5	569.3	87	64	100	NW 2	WSW 2	NW 3	10=	10=	10=	7.4	≡ n-n m.U. ✳
13	3.8	5.8	5.0	4.9	2.3	568.7	568.8	568.2	100	93	98	WSW 2	W 3	W 3	10=	10	10=	0.8	● n-7. ≡ n-n
14	5.4	4.0	0.0	3.1	0.4	563.9	563.7	562.8	70	100	100	SW 2	W 4	W 4	10	10 ●	10=	26.3	●^ 6¾, ●13-21 m.U., ≡ ⸗ 11½-n
15	-2.0	-2.4	-2.6	-2.3	-5.1	562.8	562.7	562.5	100	100	95	WSW 1	WNW 2	NW 1	10=*	10=	10	1.6	✳° n-14½ m.U., ≡ n-17¾ m.U. ✳
16	-3.2	-3.0	-4.2	-3.5	-6.3	560.2	560.6	561.9	96	97	100	WNW 1	W 2	W 3	10=*	10=*	10 *	32.7	✳ n-n m.U., ≡ 5½-n, ⸗ a ✳
17	-4.4	-2.6	-4.0	-3.7	-6.6	561.1	561.0	563.0	100	100	100	W 3	W 3	WNW 2	10=*	10=*	10	25.8	✳ n-21, ≡ n-n, ⋁ l
18	-4.0	-1.3	-3.0	-2.8	-5.8	565.1	566.7	567.9	100	87	96	N 1	NW 2	W 2	10=*	10=	9	4.2	✳ sch. n-9½ ztw., ≡ n-19½
19	-1.8	1.4	2.0	0.5	-2.6	567.0	568.3	569.2	86	100	98	WSW 4	WSW 3	WSW 2	10	10*	10	1.4	✳° 5½-7 m.U., ≡ 9½ ✳
20	7.2	8.6	7.4	7.7	4.5	568.9	569.1	568.6	28	31	62	NNE 1	SE 1	W 2	1	1	1	.	[15½, ⸗ l ✳
21	10.3	10.8	2.1	7.8	4.5	568.2	568.6	569.4	46	82	98	SE 1	WNW 2	NNW 2	6	10=	10	12.7	● 14½-n m.U., ≡ 11½-19½ m.U.
22	3.2	7.6	4.8	5.2	1.8	569.4	570.9	572.3	98	74	100	NE 2	S 1	E 1	10=	10=	10=	.	≡ 6¾-n m.U.
23	10.3	11.2	5.4	9.0	5.5	572.2	573.0	572.8	46	61	100	SW 1	SW 1	W 3	0	8	10=	.	≡ 11½-n m.U.
24	4.9	7.9	4.3	5.7	2.2	571.3	571.5	571.3	100	76	97	WSW 2	WSW 2	W 3	10=	10=	1	.	≡ n-21 m.U.
25	6.0	10.2	5.7	7.3	3.7	570.4	570.5	569.6	92	61	94	WSW 2	WSW 3	W 3	3=	8	6	.	≡ n-8 m.U.
26	2.2	6.3	2.8	3.8	0.1	567.8	568.3	568.1	100	65	100	WNW 2	WSW 2	WNW 2	10=	10=	10=	.	≡ n-8½, 12¾-n m.U.
27	1.6	4.1	2.3	2.7	-1.1	567.4	568.5	569.0	94	90	80	SW 1	NE 1	WSW 1	10=	10=	0	.	≡ n-19 m.U.
28	4.4	6.8	0.8	4.0	0.1	567.5	568.2	567.9	16	58	95	NNW 1	SW 1	WNW 2	1	8	10=	.	≡ 14-n m.U.
29	3.6	7.8	2.0	4.5	0.5	566.1	566.1	565.8	19	58	100	NNW 2	SW 2	WNW 1	3	10=	10=	.	≡ 12½-15¾
30	0.3	0.6	-1.2	-0.1	-4.2	563.6	563.9	564.0	90	90	92	N 3	NNE 1	NE 2	10	10=	4	3.0	△▲ 14½-16½ zeitw., [≡ 8½-19¾
Mittel	1.8	3.7	1.2	2.2	—	566.0	566.5	566.8	79	82	95				7.8	9.5	8.4	Summe 399.7	

Juni 1943.
Beobachter: Frl. *F. Lombardi.*

St. Gotthard (Hospiz)

$\lambda = 8° 34'$, $\beta = 46° 33'$,
$H_b = 2095.7$ m, $G = -0.25$ mm.

1	8.0	8.5	4.2	6.9	3.2	592.4	592.5	593.2	100	60	73	S 0	S 0	SE 0	10=	10	10	5.4	●sch. n-n zeitw., ≡ n-10
2	8.8	11.0	4.2	8.0	4.2	591.5	590.7	589.5	57	24	90	W 0	S 0	N 1	5	5	10=	2.9	● ⸗ 15½-15¾, ≡ 17-n
3	0.4	3.0	-1.2	0.7	-3.2	588.5	589.1	589.5	81	49	100	N 2	N 1	N 2	6	10	10*=	3.6	✳° 17½-n, ≡ 19¼-n
4	-1.0	0.2	-0.8	-0.5	-4.5	592.0	593.8	596.2	100	100	88	N 1	NE 2	N 1	10=	10=	10=	.	≡ n-n
5	1.6	6.8	3.4	3.9	-0.2	596.4	597.1	597.9	55	18	32	N 1	N 1	NW 1	0	3	3	.	
6	6.6	12.0	6.0	8.2	4.0	598.0	596.8	596.9	29	25	65	S 0	S 0	S 0	0	10	10	1.4	● 14¾-15½, 18¾-n
7	2.0	3.0	2.0	2.3	-2.0	596.4	597.2	597.6	100	90	89	N 1	N 1	N 1	10=	10	8	.	≡ n-10½
8	6.8	12.2	5.8	8.3	3.9	597.3	596.8	596.7	34	19	80	S 0	S 0	S 0	4	5	10●	6.2	●° 17¼-n zeitw.
9	5.4	10.5	2.9	6.3	1.8	594.9	594.0	592.9	80	80	100	SW 0	SW 0	NW 1	10	10	10=	5.5	●sch. zeitw., ≡ 17-n
10	3.8	7.4	4.8	5.3	0.7	592.1	592.6	593.2	100	52	100	N 1	N 1	N 1	10=	8	10=	5.8	●° zeitw., ≡ n-10, 16½-n
11	2.2	4.0	3.0	3.1	-1.6	593.0	594.7	595.1	100	83	100	N 1	N 2	N 2	10=	10=	10=	1.7	●sch. zeitw., ≡ n-n
12	4.8	9.8	7.0	7.2	2.4	596.1	597.1	598.0	60	60	73	N 1	N 1	N 1	5	5	5	.	
13	8.6	10.5	9.0	9.4	4.5	597.7	597.8	597.1	64	50	75	W 1	N 1	N 1	5	10	5	0.3	● n (13./14.)
14	8.8	6.8	2.2	5.9	0.9	595.3	593.8	592.8	81	95	100	N 1	S 1	N 1	10=	10●=	10=	6.6	● 10¼-n zeitw.- ≡ n-n
15	0.8	0.0	-0.2	0.2	-4.9	591.6	591.4	591.3	100	100	100	N 2	N 2	N 2	10=	10=	10=	2.5	▲ △ 11½-13¼, ≡ n-n
16	-0.8	1.0	-0.6	-0.1	-5.2	589.0	590.0	591.8	100	100	89	N 2	N 2	N 1	10*=	10	8	3.0	✳° n-10½, ≡ n-11, ⸗
17	-0.8	2.2	-2.2	-0.3	-5.5	591.2	589.9	591.4	100	80	100	NW 1	NW 1	NW 2	10=	10●	10*	8.3	● 12-13¾, ● ✳ 18¼ n,
18	-1.4	6.4	0.4	1.8	-3.5	594.0	596.0	596.6	100	82	74	N 2	N 2	N 2	10=	8	5	.	≡ n-9 [≡ n-n
19	2.2	6.2	2.8	3.7	-1.7	597.0	597.9	598.3	50	47	49	NW 1	NW 1	N 1	8	8	5	.	
20	6.2	16.1	8.6	10.3	4.8	597.7	598.4	597.5	25	20	71	NW 0	N 1	SE 0	0	0	0	.	
21	8.8	15.2	5.1	9.7	4.1	596.9	596.9	597.4	74	30	84	S 0	S 0	N 2	5=	5	10=	.	≡ 16-n
22	6.2	10.8	7.4	8.1	2.4	598.4	599.3	600.6	67	55	100	N 1	S 0	N 1	5	5	10=	6.6	● 11½, ≡ 18-n
23	8.2	14.6	6.0	9.6	3.8	601.2	601.5	602.0	60	26	100	N 0	S 0	N 1	5	5	10=	.	≡ 19¼-n
24	6.8	13.8	6.2	8.9	3.0	600.5	600.1	600.3	60	29	63	N 1	N 1	N 1	0	0	0	.	
25	8.6	17.2	10.0	11.9	5.9	599.4	599.0	598.7	32	11	90	N 1	N 1	N 1	0	0	0	.	
26	6.8	12.4	7.3	8.8	2.7	596.7	596.2	596.9	100	20	100	N 2	N 1	N 2	5	0	10=	.	≡ 21-n
27	5.2	9.8	5.4	6.8	0.6	596.3	596.4	597.6	45	38	78	N 1	N 1	N 2	0	0	0	.	
28	6.8	11.2	5.0	7.7	1.4	596.6	596.6	596.2	43	28	65	W 0	N 1	N 1	0	0	0	.	
29	5.2	10.8	4.8	6.9	0.5	595.0	594.9	594.0	42	28	76	N 1	NE 1	N 1	3	0	5	.	
30	3.6	5.8	2.4	3.9	-2.6	592.6	592.3	593.0	100	65	73	N 1	N 1	N 1	10=	8	0	5.0	● 11¼-16¼ m.U., ≡ n-8
Mittel	4.6	8.6	4.0	5.8	—	595.2	595.4	595.7	71	52	83				5.9	6.2	6.8	Summe 64.8	

$\lambda = 7° 26', \beta = 46° 57'$ Juli 1943.
$H_b = 572.2$ m, $G = 0.00$ mm.

Bern

Beobachter: *Tellur. Observatorium.*

Tag	Lufttemperatur 7³⁰	13³⁰	21³⁰	Mittel	Abweich. vom Normalst	Luftdruck 7³⁰	13³⁰	21³⁰	Relative Feuchtigkeit 7³⁰	13³⁰	21³⁰	Windrichtung und Stärke 7³⁰	13³⁰	21³⁰	Bewölkung 7³⁰	13³⁰	21³⁰	Niederschlag	Witterung
1	12.0	19.7	15.6	15.8	−1.4	712.0	711.3	711.7	89	48	66	NE 1	NNE 2	NE 1	0	3	4	.	△ I
2	13.4	20.7	17.0	17.0	−0.3	712.5	712.2	712.3	83	49	72	NE 0	NE 2	NE 1	1	3	2	.	
3	14.9	22.3	18.5	18.6	1.2	713.8	713.9	715.0	81	40	74	NE 0	NE 2	NE 0	2	2	0	.	△ I
4	15.5	25.0	20.0	20.2	2.8	716.1	715.5	714.8	81	**32**	66	S 0	NE 1	NE 0	0	1	0	.	△ I
5	16.5	25.6	19.7	20.6	3.1	714.0	712.3	711.5	80	38	64	SE 0	NW 1	W 0	0	3	7	3.8	● 19
6	15.0	20.6	15.0	16.9	−0.7	710.7	708.7	709.7	100	67	95	SE 0	W 2	W 1	10●	8	10●	1.3	● 0½–22¼ zeitw.
7	13.6	16.9	12.8	14.4	−3.2	709.7	709.5	709.3	90	67	98	S 1	W 1	W 1	10	7	10●	27.4	● 0¾–n zeitw.
8	12.3	9.7	9.1	10.4	−7.3	707.3	709.7	711.7	95	93	94	SW 1	WNW 2	SW 2	10	10●	10●	11.6	● n–23¼ m.U.
9	**8.8**	10.1	10.6	9.8	−7.9	714.1	716.0	715.9	94	86	83	W 2	W 2	W 0	9	9●△	9	9.2	● 2–10½ m.U., ● △ 13½–13¾
10	12.2	16.4	14.4	14.3	−3.5	715.4	715.4	716.0	84	72	86	W 1	SW 2	SW 0	10	10	10●	2.0	● 0½–1¼, 9, 23¼–n
11	13.2	19.4	16.8	16.5	−1.3	715.4	715.8	715.8	100	64	88	SW 1	WSW 3	W 1	10	9	7	0.2	● n–10¼ zeitw.
12	16.5	25.6	20.3	20.8	2.9	715.1	713.3	711.8	85	44	64	S 1	W 2	SW 0	1	1	2	6.0	△ I
13	15.1	16.1	13.5	14.9	−3.0	712.9	715.2	716.9	97	68	77	SE 0	WSW 1	SW 0	9	9	4	4.3	● 0–11¾ m.U., △ ▲ 2¼,
14	13.0	19.2	16.1	16.1	−1.8	**717.3**	716.1	716.4	83	48	57	N 0	WSW 2	SW 0	1	1	1	.	△ I [⌊ 2¼–4½ m.U.
15	13.8	22.4	19.7	18.6	0.7	716.3	715.5	715.3	86	54	64	SE 0	NE 2	NE 0	0	0	0	.	△ I
16	17.0	25.0	20.3	20.8	2.8	716.4	716.6	715.5	82	54	81	E 0	W 1	SW 0	7	7	1	0.0	● 14¾, △ I
17	18.0	26.3	21.7	22.0	4.0	714.5	712.6	711.7	80	53	75	SE 0	NE 0	W 0	2	2	0	.	△ I
18	18.2	26.4	21.6	22.1	4.1	710.5	708.9	707.8	87	50	55	SE 0	N 1	NE 0	6	7	4	.	△ I
19	18.8	27.2	17.3	21.4	3.4	706.7	706.7	707.8	87	51	100	E 0	ENE 0	NE 0	8	6	10	**31.1**	⌊ ● 19½–23¾
20	16.0	25.0	17.8	19.6	1.6	706.7	**706.5**	708.9	90	52	90	E 0	W 1	SE 1	7	5	5	9.9	● 16½–17¼, 19¼, ⌊ 16½, △ I
21	14.3	20.6	17.2	17.4	−0.6	710.2	711.3	713.0	100	64	90	NE 0	W 1	S 0	10	5	7	4.0	● 2¼–6½, 14¾, 16¾
22	14.6	17.6	16.4	16.2	−1.8	714.2	714.1	714.2	100	80	90	NE 0	SW 0	SE 1	10●	10●	7	1.7	● 1½–16¾ zeitw.
23	14.4	19.5	16.6	16.8	−1.2	713.5	712.7	712.6	99	65	90	SE 0	N 1	SE 0	10●	8	8	0.6	● 3¾–7½, 8–9½
24	16.0	21.3	16.2	17.8	−0.2	712.1	710.9	711.0	92	58	94	NE 0	N 1	E 0	3	4	4	9.6	● 15½–16¾
25	14.8	21.1	17.2	17.7	−0.3	711.0	710.6	710.5	96	58	88	SE 0	N 1	N 1	2	3	5	2.1	● 5¾–7¼, △ I
26	16.0	19.1	17.0	17.4	−0.5	711.6	712.6	712.7	90	91	83	E 0	E 0	SE 0	8	7	6	.	● 11–12¼ m.U., △ I
27	15.6	23.2	18.6	19.1	1.2	713.9	713.2	713.6	89	54	89	SE 0	N 1	SE 2	9	4	5	.	△ I
28	16.4	24.5	20.3	20.4	2.5	714.7	714.4	715.4	90	54	74	E 0	NE 2	NE 0	1	9	4	.	△ I
29	16.4	25.2	20.8	20.8	2.9	716.8	716.2	716.1	88	53	71	SE 0	N 1	NE 0	0	1	0	.	△ I
30	15.7	26.8	20.8	21.1	3.3	716.3	715.5	714.8	90	56	79	S 0	N 1	SW 0	0	0	0	.	△ I
31	17.4	**27.7**	20.8	22.0	4.2	715.0	713.4	713.3	90	48	70	SE 0	ENE 0	SE 1	0	2	10	.	△ I
																		Summe	
Mittel	15.0	21.5	17.4	18.0	—	713.1	712.8	713.0	90	58	80				5.0	5.0	4.9	124.8	

$\lambda = 6° 57', \beta = 47° 0'$, Juli 1943.
$H_b = 487.3$ m, $G = 0.02$ mm.

Neuchâtel

Beobachter: *Observatorium.*

1	13.8	24.7	17.5	18.7	0.8	719.4	718.7	719.0	68	34	54	NE 2	E 2	NE 1	0	1	0	.	
2	14.9	26.2	17.7	19.6	1.7	720.1	719.4	719.8	66	33	48	E 2	E 2	NE 1	0	2	0	.	
3	15.0	26.1	21.0	20.7	2.7	721.4	721.4	721.9	76	34	37	E 1	SE 1	NW 3	0	2	0	.	
4	15.1	28.5	22.8	22.1	4.0	723.6	722.8	721.9	76	**30**	34	E 1	S 1	NW 3	0	0	0	.	
5	15.8	27.5	21.3	21.5	3.3	721.5	719.6	718.8	79	34	49	SE 1	SW 2	SW 2	0	4	7	0.9	
6	17.3	21.3	16.3	18.3	0.1	717.8	716.1	716.9	85	82	74	SW 0	S 1	SW 0	6	7	10	7.2	● n, ●sch. 12½, 19¼, T p
7	13.9	18.7	12.0	14.9	−3.4	717.0	716.7	716.7	90	62	90	W 0	SW 2	NW 1	0	4	10●	**20.0**	● n–n
8	12.5	10.9	9.9	11.1	−7.3	714.5	717.1	719.3	97	92	88	W 3	W 2	NW 1	10●	10●	10	13.2	● n–n m.U.
9	**9.1**	13.8	12.9	11.9	−6.5	721.8	723.5	723.4	92	62	63	W 1	W 2	W 1	10	10	5	3.0	● n–11 m.U.
10	12.4	17.1	16.1	15.2	−3.3	723.1	723.1	723.6	83	76	64	W 3	SW 2	W 2	10●	9	10	0.4	● n–12 m.U.
11	15.5	19.0	19.0	17.8	−0.8	722.9	723.4	723.0	85	75	64	SW 1	SW 1	NW 1	10	10	5	0.1	●° n–11 m.U.
12	15.2	26.8	20.4	20.8	2.2	722.8	720.8	718.8	89	56	69	E 1	SW 1	W 0	0	0	1	.	
13	18.3	19.6	15.8	17.9	−0.8	720.1	722.5	724.3	68	52	52	SW 2	SW 3	NW 2	10	5	3	1.0	● 7¾–9
14	13.4	23.4	17.0	17.9	−0.8	**726.0**	723.7	723.8	81	41	60	E 1	E 1	N 1	1	1	1	.	
15	13.4	25.0	19.0	19.1	0.4	724.1	723.1	722.7	82	44	66	NW 0	S 1	W 0	0	0	0	.	
16	16.9	25.8	19.7	20.8	2.0	723.9	723.9	722.8	84	51	69	W 0	S 1	N 0	9	6	0	0.9	● 9¼–10
17	17.5	28.5	22.8	22.9	4.1	722.0	720.0	718.8	85	43	65	E 1	SE 1	E 1	0	1	0	.	
18	18.8	26.4	22.4	22.5	3.7	718.0	716.3	715.0	82	53	53	E 0	SE 1	NE 1	4	6	4	.	
19	19.1	29.7	19.4	22.7	3.9	713.9	714.0	714.8	77	43	81	N 0	S 1	NE 2	5	3	10	4.0	● 20½–n
20	17.1	23.3	16.6	19.0	0.2	713.9	**713.5**	715.9	94	63	92	N 0	SE 1	W 1	4	10	10	6.9	● 15¾–n m.U., T seit 19
21	15.1	21.9	16.9	18.0	−0.8	717.6	718.7	720.3	97	61	80	E 1	W 1	W 0	7	8	2	3.6	● 13½–15 zeitw.
22	15.4	21.4	15.8	17.5	−1.4	721.7	721.3	721.8	98	73	90	SW 0	E 1	NE 0	10●	8	9	5.9	●sch. zeitw.
23	15.2	18.5	17.3	17.0	−1.9	721.1	720.2	719.9	98	81	74	E 0	SW 1	NW 1	10●	7	6	10.8	●sch. n–a zeitw.
24	16.0	25.6	17.3	19.6	0.7	719.5	718.0	718.1	90	53	83	E 1	E 2	NW 0	1	6	4	.	
25	16.3	24.8	20.6	20.6	1.7	718.4	717.7	717.8	92	58	65	SE 1	S 1	NE 2	2	1	2	.	
26	16.6	20.4	17.7	18.2	−0.7	719.2	720.0	720.4	88	78	84	E 1	E 0	NE 0	6	9	7	.	●tr. 12
27	16.4	25.3	19.2	20.3	1.4	721.4	720.5	721.2	89	47	76	SW 0	SE 1	NE 0	10●	4	1	0.2	●° I, ●sch. 9, T p
28	16.9	28.3	22.9	22.7	3.9	722.2	721.9	722.8	92	46	58	E 1	E 2	NW 1	0	1	0	.	
29	17.4	**30.6**	23.1	23.7	4.9	724.2	723.5	723.3	89	31	59	E 1	E 2	NE 1	0	0	1	.	
30	17.8	29.1	23.1	23.3	4.5	723.7	722.8	722.0	83	46	50	E 0	S 1	NW 1	2	0	1	.	
31	18.0	29.9	23.2	23.7	4.9	722.5	720.7	720.7	83	43	69	E 1	S 1	SW 1	0	0	5	.	T p
																		Summe	
Mittel	15.7	23.8	18.6	19.4	—	720.6	720.2	720.3	85	54	67				4.1	4.4	4.0	78.1	

Juli 1943.
Beobachter: Frl. *H. Nager*.

Altdorf

$\lambda = 8° 39'$, $\beta = 46° 53'$,
$H_b = 456.3$ m, $G = -0.05$ mm.

Tag	Lufttemperatur 7³⁰	13³⁰	21³⁰	Mittel	Abweich. vom Normalst.	Luftdruck 7³⁰	13³⁰	21³⁰	Relative Feuchtigkeit 7³⁰	13³⁰	21³⁰	Windrichtung und Stärke 7³⁰	13³⁰	21³⁰	Bewölkung 7³⁰	13³⁰	21³⁰	Niederschlag	Witterung
1	11.3	20.2	15.7	15.7	−1.6	721.7	720.3	721.2	87	42	60	SE 0	NW 2	NW 0	3	4	10	.	
2	14.7	19.0	15.0	16.2	−1.2	722.7	721.6	722.2	65	58	80	SE 0	NW 0	W 0	6	10	8	0.6	● (13¾)
3	14.9	22.7	16.5	18.0	0.6	723.4	723.5	724.7	74	47	71	W 0	N 0	W 0	7	7	4	.	
4	15.7	25.0	18.0	19.6	2.1	724.8	724.1	724.6	67	37	62	NE 0	NW 1	W 0	0	2	3	.	
5	16.5	25.2	19.5	20.4	2.9	723.3	720.9	720.6	72	34	54	E 0	NW 1-2	S 0	0	7	10	.	
6	17.5	22.3	16.4	18.7	1.1	720.5	717.6	718.7	80	56	93	W 0	NW 0-1	E 0	9	9	10●	19.4	● 15¼-n, ⊼
7	14.8	16.8	14.7	15.4	−2.2	718.9	718.6	718.6	80	72	91	W 0	NW 2	E 0	10	10●	9	4.4	● II
8	14.4	12.5	10.6	12.5	−5.2	716.4	716.1	721.5	86	70	85	NW 0	NW 3	SW 0	10	10●	10	11.9	● seit 6, II
9	9.8	13.0	10.0	10.9	−6.8	723.0	726.3	726.3	86	62	89	SW 0	NW 0	NW 0	10	10	8	3.8	
10	11.0	17.3	14.9	14.4	−3.3	725.0	724.6	725.8	92	59	70	E 0	W 0	SE 0	10	10	10●	2.7	
11	13.5	17.5	15.3	15.4	−2.4	724.9	725.5	725.9	94	73	95	E 0	SE 0	SE 0	10	10	9	1.7	
12	15.8	24.7	19.3	19.9	2.1	724.9	722.3	721.4	86	50	70	E 0	NW 0-1	E 0	2	3	4	2.9	
13	17.5	17.7	15.1	16.8	−1.0	722.0	724.1	726.8	86	57	75	NE 0	NW 1	W 0	10●	9	8	4.7	
14	13.9	20.9	15.7	16.8	−1.0	727.4	725.4	726.4	75	44	70	E 0	NW 1	E 0	7	3	2	.	
15	13.9	22.3	19.4	18.5	0.6	726.1	724.8	725.4	84	53	70	E 0	NW 1	SE 1	0	4	3	.	
16	18.7	24.3	18.5	20.5	2.6	725.3	726.5	725.5	57	47	65	E 0	NW 0-1	S 0	2	4	6	.	⊼ mtgs.
17	17.5	25.3	20.4	21.1	3.2	723.7	721.8	721.3	76	48	75	NW 0	NW 0	NW 0	5	5	8	.	
18	17.9	24.7	17.6	20.1	2.2	719.8	718.1	717.4	83	54	72	NW 0	NW 0	NW 0	4	4	6	.	
19	19.4	22.5	18.5	20.1	2.2	715.6	717.6	719.9	74	76	93	E 0	SE 0-1	NW 0	4	8	10●	4.0	● 13, III, ⊼ abds.
20	23.5	29.1	19.8	24.1	6.2	715.5	715.6	718.0	34	26	63	SE 2-3	E 2	SW 0-1	2	3	3	9.6	
21	15.4	19.6	15.9	17.0	−1.0	721.7	721.4	723.1	93	59	93	E 0-1	NE 0	E 0	10●	10	8	13.9	● I, ⊼ seit 5
22	16.1	26.0	17.1	19.7	1.7	723.7	723.5	723.8	90	53	84	E 0	NW 1	SW 0	8	10	8	0.2	
23	16.3	20.7	16.8	17.9	−0.1	723.3	721.8	722.6	89	54	89	NE 0	NE 0	NE 0	9	8	8	0.4	
24	16.9	21.7	16.4	18.3	0.3	721.8	720.1	721.1	89	56	82	NE 0	NW 0-1	NW 0	9	7	10●	8.5	● III, ⊼ 20
25	15.7	20.0	15.9	17.2	−0.8	720.3	720.1	721.7	85	62	85	SE 0	NW 1	SE 0	5	4	7	0.1	
26	14.5	21.9	15.4	17.3	−0.7	721.3	718.1	722.7	86	50	93	E 0	NW 0	E 0	2	10	4	.	● 15½
27	15.4	24.7	17.8	19.3	1.3	723.7	722.2	724.9	91	47	90	SE 0	NW 1-2	NE 0	7	6	10	3.7	● ⊼ 19
28	14.8	23.9	19.7	19.5	1.5	724.6	723.7	725.5	93	59	75	E 0	NW 0-1	SE 0	1	4	3	.	
29	16.5	25.3	19.8	20.5	2.5	726.5	725.5	726.2	89	50	65	NW 0	N 0-1	SE 0	1	2	0	.	
30	16.4	24.6	24.5	21.8	3.8	726.1	724.7	724.9	78	46	70	SE 0	NW 0	E 0	0	2	0	.	
31	18.0	26.4	18.7	21.0	3.1	724.7	722.5	723.6	80	47	90	E 0	N 0-1	NE 0	0	2	10	29.5	
Mittel	15.8	21.9	17.1	18.2	—	722.7	721.9	723.0	81	53	78				5.3	6.4	6.7	Summe 122.0	

Juli 1943.
Beobachter: *Observatorium*.

Genf

$\lambda = 6° 9'$, $\beta = 46° 12'$,
$H_b = 405.0$ m, $G = -0.03$ mm.

1	14.3	20.6	18.6	17.8	−0.6	726.1	725.3	725.2	78	57	64	N 1	NNE 1	NE 1	1	1	2	.	
2	16.4	22.8	19.5	19.6	1.1	726.9	725.8	726.0	74	59	76	E 0	NNE 1	E 0	1	4	8	.	
3	17.6	22.8	21.4	20.6	2.0	728.2	728.2	728.8	71	57	63	NE 0	NNE 0	NE 0	0	1	0	.	
4	18.3	24.6	22.6	21.8	3.2	730.4	729.7	729.1	76	55	48	E 0	NNE 1	NE 0	0	0	0	.	
5	18.0	28.7	19.8	22.2	3.5	728.3	726.8	726.6	67	43	77	ENE 0	SW 1	NNE 0	1	5	5	1.9	●sch. 17
6	18.8	25.0	15.9	19.9	1.1	724.8	722.8	724.8	82	60	82	N 0	SW 1	E 0	9	9	9	6.9	●sch. 14¼, T 13¾
7	17.2	20.2	15.1	17.5	−1.4	724.5	724.3	723.9	70	58	90	E 1	S 1	S 1	7	9	10●	17.4	●sch. n-n zeitw.
8	14.8	12.6	10.2	12.5	−6.5	722.2	725.9	727.6	83	80	74	ESE 1	SSE 1	NE 0	7	10●	7●	9.7	● a-n zeitw.
9	11.1	17.0	13.8	14.0	−5.0	730.2	731.0	731.2	87	64	77	SW 0	S 1	WSW 0	9●	7●	9●	1.1	● n-n m.U.
10	14.5	22.2	19.0	18.6	−0.5	731.5	730.8	731.0	84	59	73	NE 0	SE 1	SSW 0	10	5	9	.	
11	17.7	24.2	18.2	20.0	0.8	730.6	730.4	729.7	80	60	87	NE 0	W 1	NE 0	9	5	1	.	
12	16.6	26.0	24.1	22.2	2.9	729.5	727.4	725.8	85	62	62	NE 0	NNE 0	SSE 0	1	1	1	0.1	●tr. n (12./13.)
13	18.8	20.2	16.3	18.4	−0.9	728.2	730.3	731.5	77	61	68	NW 1	WSW 1	ESE 0	10	9	1	1.6	● seit 8
14	14.3	21.0	18.2	17.8	−1.6	731.3	730.4	730.5	77	67	76	NE 0	N 1	NE 0	0	1	3	.	
15	16.4	23.5	20.4	20.1	0.7	730.9	729.8	729.7	76	59	83	ENE 0	NE 1	NE 1	0	0	0	.	
16	21.4	25.9	20.4	22.6	3.2	730.8	730.6	729.4	71	56	80	NE 0	NNE 0	NE 0	3	7	1	.	
17	18.6	25.7	21.5	21.9	2.5	728.7	726.2	725.4	86	64	78	NNE 0	NNE 1	NNE 0	2	1	0	.	
18	21.0	24.6	24.3	23.3	3.8	725.1	722.5	721.1	76	88	67	ENE 0	NNE 1	E 0	2	7	9	.	
19	21.2	29.0	18.2	22.8	3.3	720.8	720.4	720.9	77	76	87	E 0	SSW 1	NNE 0	9	2	7	2.0	●sch. 19¾, ⊼ 19½
20	18.4	22.4	17.2	19.3	−0.2	721.0	720.9	723.2	86	72	97	ESE 0	NE 0	NE 1	10	9	10●	31.5	●sch. 14¼-n zeitw., ⊼ seit [21½
21	16.8	24.5	20.5	20.6	1.1	725.0	725.6	727.2	89	63	76	NNE 0	SW 1	S 0	9	3	1	0.2	
22	17.8	21.9	18.6	19.4	−0.1	728.5	727.9	728.1	84	77	83	NE 0	N 0	NE 0	6	4	6	11.0	● p zeitw., T 12¾
23	16.5	21.4	18.2	18.7	−0.8	728.0	727.0	726.7	92	76	94	ENE 0	ENE 0	E 0	10	8	7	1.5	●sch. 8½, 17½
24	16.8	22.6	19.6	19.7	0.2	726.4	724.6	724.6	90	65	80	E 0	NNE 1	E 0	7	3	3	.	
25	16.4	22.4	20.9	19.9	0.4	725.3	724.4	725.0	89	74	84	E 0	NNE 1	E 0	9	4	5	.	
26	18.6	22.4	20.1	20.4	1.0	726.1	726.3	728.2	88	76	70	E 0	N 1	SW 2	9	8	10	5.0	●sch. n (26./27.), ⊼ seit 21
27	16.7	23.4	21.8	20.6	1.2	728.5	727.3	727.7	92	65	74	NE 0	NNE 0	NNE 0	9	2	4	.	
28	18.6	25.4	22.7	22.2	2.8	728.8	728.4	729.3	83	65	75	E 0	NNE 1	E 0	0	1	1	.	
29	19.8	26.7	23.2	23.2	3.8	730.8	730.2	729.9	83	63	81	ENE 0	NNE 1	E 0	0	1	0	.	
30	19.2	26.2	23.0	22.8	3.5	730.5	729.6	729.1	78	63	80	E 0	NNE 1	ENE 0	0	1	0	.	
31	19.8	30.0	22.5	24.1	4.8	729.1	726.7	727.2	83	60	72	E 0	NNE 1	ENE 0	0	2	0	.	
Mittel	17.5	23.4	19.5	20.2	—	727.7	727.0	727.2	81	65	77				4.8	4.2	4.2	Summe 89.9	

$\lambda = 8° 33'$, $\beta = 47° 23'$,
$Hb = 493.2$ m, $G = 0.03$ mm.

Zürich

Juli 1943.
Beobachter: *Meteorol. Zentralanstalt.*

Tag	Lufttemperatur 7³⁰	13³⁰	21³⁰	Mittel	Abweich. vom Normalst.	Luftdruck 7³⁰	13³⁰	21³⁰	Relative Feuchtigkeit 7³⁰	13³⁰	21³⁰	Windrichtung und Stärke 7³⁰	13³⁰	21³⁰	Bewölkung 7³⁰	13³⁰	21³⁰	Niederschlag	Witterung
1	12.3	22.3	15.6	16.7	−0.7	719.1	718.4	718.7	82	40	50	SSE 0	ENE 2	NE 1	1	3	1	.	
2	14.0	23.2	16.6	17.9	0.4	719.4	719.1	719.3	73	38	55	WNW 1	NE 1	NNE 1	1	3	5	.	
3	14.3	26.0	17.9	19.4	1.9	720.3	720.6	721.5	73	33	50	W 0	WNW	W 1	1	1	1	.	
4	15.4	28.5	19.7	21.2	3.6	722.6	721.9	721.4	78	31	48	NW 0	WNW 1	WNW 1	1	1	1	.	
5	17.0	28.1	21.2	21.8	4.1	720.3	718.5	717.6	77	27	45	SSE 0	WNW 3	SE 1	1	4	10	15.0	[ztw., ⌇ 3-3½
6	15.6	22.0	15.7	17.8	0.1	717.5	715.3	715.5	96	53	73	S 2	NW 1	W 2	10●	9	10	5.1	● 2¾-8½, ●sch. a, 18¾-20½
7	14.9	14.6	15.4	15.0	−2.8	715.9	716.0	715.5	69	86	65	W 2	WNW 1	NW 1	10	10●	10	10.0	●° 1¾-3½, ● 10¼-13¾ ztw.,
8	12.4	14.2	11.2	12.6	−5.3	713.7	713.4	718.2	92	72	72	ESE 0	W 2	SW 2	9●	9●	7	5.8	● n-14¼ m.U., 23½-1 [22½-n
9	9.5	10.9	11.1	10.5	−7.4	720.3	722.5	722.6	82	83	78	W 2	S 2	SE 2	10	10●	7	3.6	● 4¾-13½ zeitw.
10	12.2	14.2	15.4	13.9	−4.1	721.2	721.6	722.3	74	90	71	SSW 2	WNW 2	S 1	10●	10	10	1.8	● 0¾-18¾ ztw., ●° 23¼-n
11	14.0	19.4	16.8	16.7	−1.3	721.7	722.0	722.5	91	62	90	W 2	WSW 2	E 1	10	10	10	0.0	●° n-7½ m.U.
12	16.7	27.7	19.6	21.3	3.2	721.7	719.9	717.9	87	27	73	SE 1	WSW 1	SE 1	1	2	3	29.2	△ I
13	15.9	16.0	15.7	15.9	2.2	719.1	721.4	723.6	95	59	49	W 2	WNW 1	WNW 1	10●	9	8	7.7	● 3¼-11, ⌇ 3-3½
14	13.9	22.2	14.6	16.9	1.3	724.3	723.1	723.1	73	32	61	SSE 0	NNW 1	NE 1	2	1	1	.	△ I
15	13.8	26.8	19.3	20.0	1.8	723.3	722.1	721.9	78	34	71	NNE 0	WNW 1	WNW 1	0	1	0	.	
16	19.0	26.5	20.0	21.8	3.6	722.6	723.8	722.1	70	41	73	SE 1	SSE 1	SE 1	4	4	5	0.1	●° 12
17	18.2	29.0	22.1	23.1	4.8	721.1	719.3	718.3	70	40	52	ESE 0	SW 1	N 1	3	2	4	.	△ I
18	18.0	28.6	20.5	22.4	4.1	717.2	715.3	714.4	77	41	62	E 1	N 1	NW 0	7	6	5	.	
19	18.8	25.8	18.3	21.0	2.7	713.1	713.5	715.5	82	47	97	WNW 1	WNW 2	SE 2	7	7	10●	6.5	● 15¾, ⌇ ● 20¾-23
20	18.4	26.8	18.4	21.2	2.9	713.0	712.8	715.9	76	51	87	E 0	WNW 1	ESE 0	3	6	9	5.1	⌇ ● 18¾-19¼
21	15.0	21.6	16.1	17.6	0.8	717.5	717.8	719.6	98	56	95	SSE 1	SSE 1	S 1	10●	9	6	4.7	● 5¾-10½, 16¾, 20, ⌇ 7¾-8¼
22	17.1	22.7	14.9	18.2	−0.2	720.5	720.5	720.9	83	50	98	SSW 1	SW 2	ESE 1	8	6	6	7.8	⌇ ● 15½-19½ m.U.
23	15.3	17.8	16.9	16.7	−1.7	720.2	719.2	719.3	89	83	90	E 0	NW 1	ESE 1	9	9●	5	1.5	● 10¼-13¾ m.U., ⌇ 13¼-14
24	16.8	22.4	16.0	18.4	0.0	718.8	717.4	717.7	82	50	96	WNW 1	NNW 1	SE 1	9	8	10	11.2	● 17½-21
25	15.9	24.8	17.4	19.4	1.0	717.7	717.3	717.8	82	43	80	NE 0	NE 2	E 1	5	3	1	.	
26	15.8	25.8	17.8	19.8	1.4	718.4	719.0	719.2	85	47	87	SSE 1	WSW 1	ESE 1	1	6	3	.	
27	18.7	26.5	17.2	20.8	2.5	720.5	719.7	720.6	75	40	98	SE 1	NNE 1	ESE 0	9	5	6	8.1	⌇ ● 16½-19¼ m.U., ●°sch.
28	16.0	27.5	19.8	21.1	2.8	721.6	721.3	722.2	92	38	71	ESE 0	NNE 2	NE 0	0	7	0	.	△ I [20, △ I
29	17.1	29.3	20.4	22.3	4.0	723.5	722.8	722.9	90	33	63	NE 0	N 2	NE 1	0	1	1	.	△ I
30	18.1	30.7	21.2	23.3	5.0	723.0	722.0	721.5	81	31	65	NE 0	ENE 1	ENE 1	0	0	0	.	△ I
31	18.7	31.4	23.0	24.4	6.2	721.7	719.7	719.5	79	33	56	SE 1	NNW 1	S 1	0	1	0	.	△ I
																		Summe	
Mittel	15.8	23.7	17.6	19.0	—	719.7	719.3	719.7	82	48	72				4.9	5.3	5.0	123.2	

$\lambda = 8° 30'$, $\beta = 47° 3'$,
$Hb = 1787.3$ m, $G = -0.20$ mm.

Rigi-Kulm

Juli 1943.
Beobachter: *J. Wiget.*

Tag	7³⁰	13³⁰	21³⁰	Mittel	Abweich. vom Normalst.	7³⁰	13³⁰	21³⁰	7³⁰	13³⁰	21³⁰	7³⁰	13³⁰	21³⁰	7³⁰	13³⁰	21³⁰	Niederschlag	Witterung
1	5.9	7.8	8.5	7.4	−1.4	615.0	616.4	615.8	80	80	67	E 1	E 0	W 0	3	3	2	.	
2	8.3	10.0	8.0	8.8	−0.1	615.8	616.7	616.8	65	64	68	SE 0	NW 0	E 1	3	7	5	.	
3	9.2	11.0	9.8	10.0	1.0	617.1	618.5	619.7	64	77	60	E 1	E 0	NE 0	3	4	2	.	
4	10.8	14.8	12.4	12.7	3.6	620.1	620.3	620.5	55	65	55	W 0	W 0	W 0	0	0	1	.	
5	12.0	14.0	13.2	13.1	4.0	618.4	617.9	617.0	56	57	45	SW 1	SW 1	W 2	0	4	8	4.7	
6	8.2	11.8	8.8	9.6	0.4	615.2	614.3	613.1	100	75	100	W 2	W 1	W 3	10●	9	10	33.6	● n-5¾ ztw., 17¼-n ztw., ≡ ztw.
7	4.2	5.6	4.0	4.6	−4.7	612.8	613.0	611.8	100	100	100	W 3	W 2	W 2	10●≡	10≡	10	23.1	●T 12¾-15½ zeitw., ≡ I, II
8	4.4	3.6	−0.2	2.6	−6.8	611.0	609.1	613.5	90	100	100	W 2	W 4	W 3	10●	10●=	10*●	21.6	● n-n m.U., ✳ III, ≡ II
9	−0.4	0.6	1.8	0.7	−8.7	614.2	616.7	618.1	100	100	100	W 3	SW 3	SW 2	10*≡	10≡	5	11.4	✳ n-12½, ≡ I, II
10	4.4	6.2	4.5	5.0	−4.5	617.0	617.5	618.6	100	100	100	W 3	W 3	W 2	10	10≡	10	7.3	≡ II
11	6.0	7.8	9.5	7.8	−1.8	617.8	618.9	619.8	100	100	100	W 3	W 2	W 1	10●≡	10≡	10	2.5	● n-[illegible], ≡ I, II
12	9.4	13.6	12.5	11.8	2.2	619.4	619.2	617.8	85	65	68	SW 1	SW 1	W 1	2	4	4	13.0	
13	7.2	5.8	5.2	6.1	−3.6	616.6	617.6	618.8	100	100	100	W 3	W 2	W 0	10	10≡	10	11.7	● n 7¼, ≡ II
14	6.6	8.3	7.2	7.4	−2.4	619.8	619.8	620.0	64	74	70	NE 1	NW 0	NW 0	4	3	4	.	
15	12.2	15.2	13.0	13.5	3.7	620.1	620.7	621.1	55	58	55	W 0	SE 0	SW 0	0	0	3	.	
16	15.0	15.4	14.2	14.9	5.0	621.3	622.2	621.2	35	57	62	SSW 1	SW 1	W 0	4	5	3	.	
17	13.4	15.0	14.5	14.3	4.4	619.6	619.1	618.0	65	65	69	W 1	WNW 1	SW 0	5	3	3	.	
18	14.0	17.5	15.0	15.5	5.6	616.2	615.2	614.4	72	54	65	W 1	W 0	SW 1	4	6	7	.	
19	17.6	17.6	11.0	15.4	5.4	613.7	614.1	613.5	42	65	92	SW 1	W 0	W 3	5	5	10●	15.1	● 18-23
20	14.6	18.2	11.5	14.8	4.8	612.7	613.7	613.7	41	40	88	S 3	S 3	S 1	4	4	5	13.5	
21	7.2	11.0	10.0	9.4	−0.6	615.4	615.8	616.9	79	63	85	W 1	W 1	W 1	10●	9	8	16.5	● I seit 5½, n, ≡ zeitw.
22	9.2	12.4	8.4	10.0	0.0	618.2	618.4	618.1	93	60	100	W 1	WSW 1	W 1	8	8	10	2.8	● ≡ zeitw. abds.
23	8.2	10.9	7.7	8.9	−1.1	617.3	617.0	616.8	84	80	87	W 1	SW 0	SW 0	10	10	10	0.3	
24	8.7	10.0	9.2	9.3	−0.8	616.1	615.9	615.8	84	77	95	E 0	E 1	W 1	8	8	10●	3.8	● III
25	11.4	13.2	11.5	12.0	1.9	615.2	615.5	616.4	57	72	71	E 1	SE 0	SE 1	3	7	6	.	
26	13.4	13.4	12.2	13.0	2.9	616.7	618.0	618.2	43	73	75	W 0	W 2	SW 1	3	7	9	2.0	
27	11.8	14.4	11.5	12.6	2.5	618.4	618.5	619.4	80	80	85	SW 0	NE 0	NE 1	5	5	8	2.2	● 18¼-19½
28	11.0	13.0	12.5	12.4	2.3	619.2	620.1	621.2	86	95	75	NE 1	NE 1	NE 1	2	5	3	.	
29	13.2	15.1	13.8	14.0	3.9	621.6	622.1	622.1	64	71	68	E 1	NE 1	NE 1	2	1	1	.	
30	14.4	17.0	14.8	15.4	5.3	621.3	621.6	621.5	53	60	55	E 1	E 0	E 0	0	1	0	.	
31	15.8	19.2	16.0	17.0	6.0	620.7	620.3	619.6	58	54	78	SW 0	SE 1	SW 1	0	0	8	.	
																		Summe	
Mittel	9.9	11.9	10.1	10.7	-	617.2	617.6	617.7	73	74	79				5.1	5.7	6.3	185.7	

Juli 1943.
Beobachter: *P. Nogler.*

Bevers

$\lambda = 9° 53'$, $\beta = 46° 33'$,
H_b = ca. 1710 m, G = –0.23 mm.

Tag	Lufttemperatur 7³⁰	13³⁰	21³⁰	Mittel	Abweich. vom Normalst	Luftdruck 7³⁰	13³⁰	21³⁰	Relative Feuchtigkeit 7³⁰	13³⁰	21³⁰	Windrichtung und Stärke 7³⁰	13³⁰	21³⁰	Bewölkung 7³⁰	13³⁰	21³⁰	Niederschlag	Witterung
1	6.7	17.4	7.6	10.6	–0.2	621.2	621.6	622.0	72	61	76	NW 1	W 2	NE 1	7	6	8	.	
2	10.0	16.2	9.2	11.8	0.9	621.6	622.6	622.9	70	48	77	S 1	SW 2–3	W 2	6	4	10	0.3	●° 17
3	11.4	17.0	9.6	12.7	1.7	623.3	623.6	625.3	69	51	100	S 1	SW 2–3	W 1	2	6	10	6.1	●° 18–n
4	9.3	23.7	11.2	14.7	3.7	625.7	625.6	625.7	83	42	66	SW 0	NW 2	W 1	0	1	0	.	
5	11.1	20.1	11.7	14.3	3.2	624.2	623.5	622.5	70	39	87	S 1	SW 2	W 0	0	7	3	3.0	⚢ ● 16
6	11.2	18.2	10.0	13.1	1.9	621.2	619.4	618.8	80	48	100	W 0	NW 2	W 0	10●	10	10●	11.6	● l, 20–n
7	8.0	20.2	8.8	12.3	1.1	618.0	618.5	618.7	88	64	97	SW 1	SW 2	W 1	10●	7	10●	30.2	● n–11, 15–n
8	8.0	9.3	2.6	6.6	–4.7	617.0	615.5	618.8	100	78	100	W 1	NW 2	N 1	8	10●	10✳	16.4	● n–18 m U., ✳ 18–n
9	4.5	8.9	4.6	6.0	–5.4	619.4	622.6	624.0	86	48	74	NW 1	NW 3	W 1	7	9	10	.	●°sch. zeitw.
10	4.2	15.2	3.5	7.6	–3.8	623.7	623.0	624.1	100	45	72	W 0	NW 2	N 1	10	8	4	.	
11	9.2	15.6	10.0	11.6	0.1	623.5	624.6	625.4	81	54	97	S 1	W 3	S 1	10	9	8	0.7	● a zeitw.
12	12.6	21.3	10.0	14.6	3.1	625.5	623.9	624.6	75	37	90	SW 1	SW 2	S 0	4	6	1	.	
13	12.8	17.8	6.1	12.2	0.7	621.6	624.2	625.0	87	49	86	S 1	W 2	N 1	9	10	3	1.6	● 8½–mtgs., ●sch. p zeitw.
14	7.3	26.3	10.0	14.5	2.9	625.6	624.6	626.2	70	43	83	S 1	W 2	W 0	2	2	1	.	
15	11.2	20.9	12.0	14.7	3.1	627.0	627.4	627.5	68	39	86	W 1	SW 2	W 1	2	0	0	.	
16	9.2	20.0	8.6	12.6	1.0	628.2	628.0	628.0	96	37	90	SW 0	W 2–3	W 1	10	7	0	0.9	● ⚢ 14–15½, 17–17¾
17	7.2	23.0	12.4	14.2	2.5	627.3	625.3	623.4	77	39	78	W 1	SW 2	W 1	0	7	2	.	
18	8.4	24.0	13.3	15.2	3.5	624.0	624.4	624.4	78	51	88	SW 1	SW 2	S 0	0	2	0	.	
19	9.7	20.8	12.2	14.2	2.5	624.8	626.6	625.7	78	64	98	W 1	NW 2	NW 1	7	4	10	1.7	● ⚢ 15–18
20	12.6	19.6	13.6	15.3	3.6	621.3	621.1	622.5	85	53	92	W 1	S 2	W 1	6	8	10●	0.7	● 20½–n
21	12.8	13.6	10.3	12.2	0.4	620.8	622.6	623.4	78	75	82	S 1	W 2	NW 1	5	10●	7	2.3	● ▲ ⚢ 11–14
22	9.2	17.6	10.6	12.5	0.7	623.9	623.2	624.4	74	38	100	S 1	SW 2	NW 1	8	8	10	4.9	● 20–n
23	8.8	14.8	9.8	11.1	–0.7	622.5	621.4	622.0	88	55	92	NW 1	NE 2	NW 1	6	8	8	0.1	●°sch. p
24	10.2	17.4	10.4	12.7	0.9	621.7	621.6	621.8	87	69	92	N 2	NW 2	N 0	10	6	10	0.3	●°sch. 16½–n zeitw.
25	11.2	14.0	9.4	11.5	–0.3	621.7	621.7	623.1	81	70	90	S 0	SW 2	NW 1–2	8	10	7	.	
26	8.2	20.4	12.4	13.7	2.0	623.7	624.5	624.9	88	61	83	NW 1	S 2	S 0	0	10	8	4.3	●sch. 11–17 zeitw.
27	10.2	23.3	12.0	15.2	3.5	625.4	625.2	625.0	94	55	84	W 1	SW 2	SW 1	10●	10	8	2.3	● n–8½
28	9.8	19.7	12.2	13.9	2.2	625.2	625.3	626.8	90	81	87	E 1	N 1	S 0	10	7	0	.	
29	8.7	22.0	15.6	15.4	3.7	627.9	628.0	627.9	89	33	57	S 0	W 1–2	W 1	0	6	4	.	
30	12.2	22.0	11.6	15.3	3.7	628.0	627.5	627.4	75	51	94	S 1	S 2	W 1	0	8	2	.	●° 16–16½
31	10.5	22.6	13.2	15.4	3.8	627.2	625.3	621.9	86	35	84	SW 0	S 2	W 2–3	4	5	8	.	
Mittel	9.6	18.8	10.2	12.8	—	623.6	623.6	624.0	82	52	87				5.5	6.8	5.9	Summe 87.4	

Juli 1943.
Beobachter: *Kapuzinerkloster.*

Sitten

$\lambda = 7° 21'$, $\beta = 46° 14'$,
H_b = 548.6 m, G = –0.11 mm.

Tag	Lufttemperatur 7³⁰	13³⁰	21³⁰	Mittel	Abweich. vom Normalst	Luftdruck 7³⁰	13³⁰	21³⁰	Relative Feuchtigkeit 7³⁰	13³⁰	21³⁰	Windrichtung und Stärke 7³⁰	13³⁰	21³⁰	Bewölkung 7³⁰	13³⁰	21³⁰	Niederschlag	Witterung
1	15.1	23.2	19.4	19.2	0.2	713.5	711.3	711.9	61	48	48	NE 0	W 3	W 2	0	2	0	.	
2	17.0	25.0	18.3	20.1	1.1	714.2	712.3	713.3	60	44	55	NE 0	SW 2	NE 2	1	3	3	1.1	
3	15.2	23.7	19.2	19.4	0.3	716.3	715.3	716.1	88	45	54	W 0	W 1	NW 2	4	7	2	.	● n–6
4	17.1	27.3	20.5	21.6	2.4	718.5	716.1	716.2	64	40	47	NE 1	WSW 1	W 0	1	1	0	.	
5	18.6	27.8	17.8	21.4	2.2	716.5	713.0	714.9	60	40	77	NE 0	WSW 2	NE 1	0	2	8	0.1	● 19–20
6	19.3	24.4	18.6	20.8	1.5	712.9	709.7	711.1	70	56	72	ENE 0	W 1	W 0	3	9	10	0.3	●° abds.
7	16.5	22.4	18.5	19.1	–0.2	711.5	710.6	710.4	64	46	54	W 1	SW 3	W 2	8	7	10●	1.4	●° 21–n
8	15.6	17.4	11.1	14.7	–4.6	710.3	710.6	714.4	87	58	71	NE 1	W 2	W 1	10●	9	9	7.8	● 6½–8½, ●° a, p zeitw.
9	13.0	17.3	13.6	14.6	–4.8	717.1	717.4	718.3	72	52	62	W 0	SW 2	W 0	9●	6	1	1.2	● n–8
10	13.4	18.5	17.9	16.6	–2.8	718.8	717.0	717.8	78	59	59	N 1	SSW 1	W 2	10●	8	7	0.2	●° j
11	15.5	22.0	18.0	18.5	–0.9	717.7	717.1	717.4	91	57	74	W 1	W 2	W 1	10	8	1	.	
12	16.5	26.6	20.8	21.3	1.8	717.8	714.4	713.9	78	48	52	N 0	W 2	N 1	0	1	1	3.8	● 23–n
13	16.5	18.6	16.9	17.3	–2.2	715.5	716.3	717.7	97	72	57	W 0	W 2	W 1	10●	3	2	0.2	● n–13¼ m.U.
14	15.0	22.6	19.2	18.9	–0.6	719.2	716.7	717.0	64	44	57	NE 0	SW 1	SW 2	2	0	2	.	
15	17.3	26.0	20.2	21.2	1.7	718.5	716.1	716.9	71	50	63	NNE 1	SW 1	WSW 1	0	2	2	.	
16	20.3	25.7	20.7	22.2	2.6	719.4	718.4	716.9	62	51	61	NE 0	W 0	NW 0	3	5	1	.	
17	19.3	28.5	23.1	23.6	4.0	716.5	713.7	712.9	61	44	53	N 0	WSW 2	W 1	3	3	0	.	
18	19.0	29.0	22.9	23.6	4.0	713.2	710.1	709.1	64	41	49	NNE 1	SW 1	NE 2	1	2	2	.	
19	19.0	27.6	18.2	21.6	2.0	709.4	707.8	710.3	60	49	83	NNE 1	W 2	ENE 2	7	3	8	2.8	● 18¼–19¾
20	19.6	28.6	18.6	22.3	2.7	709.4	707.5	710.2	71	37	73	N 1	E 2	W 1	9	2	3	2.5	
21	17.3	24.9	20.3	20.8	1.2	712.1	712.1	714.6	84	52	57	NE 0	SW 2	WSW 2	8	5	5	.	● n–5¾
22	16.6	24.0	15.9	18.8	–0.7	716.3	714.6	716.3	75	52	94	NNE 1	W 3	W 1	9	7	9	1.2	● 18¼–19¼
23	17.0	23.3	18.6	19.6	0.1	715.6	713.4	713.9	80	50	66	W 0	SW 3	W 0	9	7	8	.	
24	16.7	24.2	20.2	20.4	0.9	714.1	711.7	711.9	81	48	65	NE 0	SW 2	W 1	10	2	9	.	
25	17.4	25.4	20.6	21.1	1.6	713.1	711.0	713.2	74	52	59	N 0	SW 2	NE 2	1	3	4	.	
26	18.8	23.2	18.9	20.3	0.9	714.0	714.6	715.6	61	57	69	NE 1	NE 1	E 0	9	9	3	0.4	
27	19.7	26.2	20.0	22.0	2.6	716.4	714.6	715.4	68	50	66	E 0	W 2	NNE 2	2	4	1	.	
28	18.2	26.6	21.5	22.1	2.7	717.3	715.1	716.7	73	49	65	N 1	WSW 2	NE 2	0	2	1	.	
29	19.9	28.1	22.6	23.5	4.1	719.2	716.8	717.6	69	48	54	NE 1	WSW 1	N 1	0	2	0	.	
30	19.1	28.9	22.7	23.6	4.3	718.8	716.9	716.7	64	46	56	N 1	W 1	N 1	0	1	0	.	
31	20.1	29.7	20.7	23.5	4.2	718.9	714.0	718.9	66	46	85	N 0	W 1	W 0	0	3	1●	6.1	● 17–n, ⚢ 15¼–18
Mittel	17.4	24.7	19.2	20.4	—	715.6	713.7	714.8	72	49	63				4.5	4.1	3.9	Summe 28.6	

$\lambda = 8° 57'$, $\beta = 46° 0'$,
$H_b = 276.2$ m, $G = -0.01$ mm.

Lugano

Juli 1943.
Beobachter: *G. Vicari.*

Tag	Lufttemperatur 7³⁰	13³⁰	21³⁰	Mittel	Abweich. vom Normalst.	Luftdruck 7³⁰	13³⁰	21³⁰	Relative Feuchtigkeit 7³⁰	13³⁰	21³⁰	Windrichtung und Stärke 7³⁰	13³⁰	21³⁰	Bewölkung 7³⁰	13³⁰	21³⁰	Niederschlag	Witterung
1	13.2	24.4	18.2	18.6	−2.0	736.3	735.6	736.4	85	43	60	NNE 1	SE 1	NE 1	0	1	8	1.1	
2	16.0	25.8	14.8	18.9	−1.8	738.0	736.9	739.5	75	36	97	NNW 1	S 1	S 1	8	5	10●	32.3	⌇ 20–21½, ● abds.-n
3	15.2	25.0	19.4	19.9	−0.9	739.9	739.1	740.0	90	48	70	NE 1	S 1	N 1	5	4	3	.	
4	16.6	27.4	21.6	21.9	1.1	740.1	739.0	738.5	83	45	62	N 1	S 1	N 1	0	0	0	.	
5	18.8	27.2	22.4	22.8	1.9	738.2	736.0	734.6	79	47	64	NNE 0	S 1	N 1	3	4	6	2.7	
6	19.0	23.2	18.2	20.1	−0.9	735.8	734.2	732.4	88	57	90	E 1	S 1	N 1	10	10	10	52.3	● ⌇ 5–6, ● 14–n, ⌇ n
7	15.8	27.2	20.2	21.1	0.1	730.6	730.7	731.4	89	27	64	NNE 1	S 1	N 1	0	2	10●	1.8	● ⌇ n–4, 21–n
8	17.6	24.8	**12.4**	18.3	−2.8	731.2	**728.5**	730.9	74	45	72	N 1	S 1	N 2	9	5	0	16.0	●sch. 10½–11, ● ▲ 15–17
9	15.6	22.8	19.0	19.1	−2.0	734.3	735.9	738.8	32	**23**	25	N 1	NNE 2	N 2	0	1	0	.	
10	13.0	24.2	18.6	18.6	−2.6	740.4	738.6	738.0	52	32	51	N 1	S 1	NW 1	4	4	4	.	
11	17.0	27.0	20.6	21.5	0.3	738.3	737.3	737.9	60	37	48	N 0	S 1	NNW 1	8	3	3	.	
12	18.0	28.2	22.0	22.7	1.4	739.4	737.6	737.4	74	47	64	E 0	S 1	N 1	0	3	0	.	
13	19.4	25.0	22.8	22.4	1.1	736.3	734.8	736.0	84	51	28	NW 0	S 0	N 1	10	8	0	.	●tr. 7¾
14	15.4	25.8	18.8	20.0	−1.3	740.8	740.6	741.4	54	36	61	N 1	S 1	N 1	3	3	4	.	
15	18.0	26.4	22.0	22.1	0.7	**742.8**	742.4	741.7	80	41	61	E 0	S 1	N 1	6	1	0	.	
16	17.6	29.0	23.6	23.4	2.0	742.5	740.8	740.0	84	46	65	N 1	S 1	N 1	4	7	1	.	
17	19.2	29.4	23.6	24.1	2.7	739.5	736.6	735.0	79	47	62	NNE 1	ESE 1	N 1	0	2	2	.	
18	19.8	**30.0**	22.8	24.2	2.7	734.4	732.9	732.5	76	46	62	NE 1	S 0	N 1	1	10	3	.	
19	20.2	28.8	20.6	23.2	1.7	733.0	732.4	733.2	78	50	96	N 0	S 1	N 1	5	8	10●	0.6	● 18½–22 m.U.
20	19.6	27.2	19.8	22.2	0.7	734.8	733.4	735.3	74	51	92	NW 1	S 1	W 1	8	9	10	2.6	●sch. 19–21
21	19.8	22.2	18.8	20.3	−1.3	734.5	735.6	736.6	81	49	80	W 1	S 1	N 1	10	8	3	6.8	● ⌇ 9–10
22	15.6	28.4	22.6	22.2	0.6	738.0	736.7	736.2	78	35	57	N 1	SSE 1	N 1	1	1	3	.	
23	19.0	24.2	15.2	19.5	−2.1	736.5	734.8	736.2	66	56	91	N 1	ESE 0	N 1	8	8	4	8.1	● 17½–19, ⌇ 15½–16½
24	15.0	27.2	20.2	20.8	−0.8	735.1	734.4	734.6	81	37	60	N 1	S 1	N 1	0	3	8	.	
25	18.2	26.4	13.4	19.3	−2.3	735.7	735.1	736.5	75	46	94	NE 1	S 1	N 1	8	6	7	0.6	● ⌇ 19–19½
26	17.2	22.4	20.2	19.9	−1.7	738.4	738.6	738.8	74	57	74	NNE 1	S 1	NNW 1	4	10	5	14.6	●° 11–11½ m.U., ● ⌇ n [(26./27.)
27	17.2	25.6	21.8	21.5	−0.1	739.4	739.0	738.6	92	36	71	N 1	SE 1	N 1	9	3	5	.	
28	17.6	25.6	21.8	21.7	0.1	739.2	738.9	739.8	82	56	75	N 1	WSW 1	NNE 1	0	9	2	0.2	●° 17–17½
29	18.6	29.0	24.8	24.1	2.6	741.5	740.5	740.2	83	48	61	NNE 1	SSW 1	NNE 0	0	1	4	.	
30	19.0	29.6	24.2	24.3	2.8	741.2	740.0	739.9	78	44	64	N 1	S 1	N 1	0	0	0	.	
31	20.4	**30.0**	24.2	24.3	2.8	740.2	738.4	738.5	78	50	63	N 1	S 1	N 1	0	7	10	.	
																		Summe	
Mittel	17.5	26.4	20.3	21.4	—	737.6	736.7	737.0	76	44	67				4.0	4.7	4.4	139.7	

$\lambda = 7° 35'$, $\beta = 47° 33'$,
$H_b = 318$ m, $G = 0.11$ mm.

Basel

Juli 1943.
Beobachter: *Astronom.-Meteorol. Anstalt.*

Tag	Lufttemperatur 7³⁰	13³⁰	21³⁰	Mittel	Abweich. vom Normalst.	Luftdruck 7³⁰	13³⁰	21³⁰	Relative Feuchtigkeit 7³⁰	13³⁰	21³⁰	Windrichtung und Stärke 7³⁰	13³⁰	21³⁰	Bewölkung 7³⁰	13³⁰	21³⁰	Niederschlag	Witterung
1	13.2	21.3	15.5	16.7	−0.7	734.8	733.7	733.9	75	48	80	E 0	WNW 1	ENE 0	0	7	9	.	△ l
2	14.0	21.8	16.1	17.3	−0.1	735.1	734.6	734.6	75	50	68	ESE 1	NNE 1	SSE 1	0	8	0	.	
3	15.5	26.5	17.1	19.7	2.2	736.0	735.8	736.3	72	39	70	ESE 1	SW 1	SSW 1	0	0	0	.	
4	17.5	27.3	17.2	20.7	3.1	737.8	737.0	736.3	64	33	74	ESE 1	W 1	SSW 1	0	0	0	.	
5	18.0	28.2	19.7	22.0	4.4	735.3	733.3	732.7	63	**32**	57	ENE 1	WNW 2	NNW 1	0	7	10●	0.0	● 21½
6	20.4	21.2	17.7	19.8	2.1	732.0	730.5	730.7	65	76	57	ENE 0	ESE 1	SW 1	7	9	10	4.2	● 12½–14½, ⌇ 12–14¼, ⌿ 16½
7	16.5	17.8	12.7	15.7	−2.1	731.0	731.2	731.5	69	72	91	W 1	SW 1	WSW 1	8	10	10●	12.0	● 8¾–12½, 20½–23¾
8	11.6	11.6	10.8	11.3	−6.5	729.4	730.7	733.4	97	94	89	E 1	WNW 1	SSW 1	10	10●	10	**12.5**	● 5½–14 m.U., 20¼
9	**10.0**	16.3	11.4	12.6	−5.3	736.0	737.7	737.7	82	58	86	WSW 1	WSW 1	ESE 1	10	9	10	5.0	● 3–4¼, 14, Ψ III
10	13.4	18.4	15.0	15.6	−2.3	736.5	736.9	737.6	90	66	83	WSW 1	W 1	W 0	10	10	10●	1.6	● 0½–10¼ m.U., 22–24¼
11	16.4	20.5	17.5	18.1	0.1	736.7	737.4	737.4	77	70	88	WSW 1	WNW 1	SSE 1	10	10	9	.	Ψ III
12	18.9	27.0	20.3	22.1	4.1	736.4	734.7	732.9	75	50	79	E 1	NNW 1	SSW 1	1	0	2	0.8	
13	16.6	19.9	12.7	16.4	−1.6	734.6	737.0	738.9	87	52	80	W 1	WSW 2	SSW 1	10●	3	1	0.6	● 2¾–8½ zeitw., ⌇ 3¼
14	14.6	23.1	14.3	17.3	−0.8	**739.9**	738.7	738.3	69	41	77	ESE 1	WNW 1	SSW 1	2	0	0	.	△ l
15	14.7	26.8	19.1	20.2	2.1	738.6	736.8	736.4	71	47	79	ENE 1	NNW 1	SSW 1	0	0	0	.	
16	19.8	26.8	21.3	22.6	4.5	737.5	737.7	736.6	67	45	70	ESE 1	ESE 1	SSW 1	7	3	2	.	T 10½–11, △ l
17	20.0	28.1	19.5	22.5	4.4	736.3	734.5	733.3	72	48	74	WSW 1	W 1	SW 1	1	0	0	.	△ l
18	17.1	27.4	19.7	21.4	3.2	732.7	730.8	729.6	66	48	79	WNW 1	NNW 1	SSW 1	8	9	7	.	△ l
19	18.2	28.1	19.2	21.8	3.6	728.2	728.2	728.5	80	48	81	WSW 1	WNW 1	ENE 0	9	3	10	0.3	● 23¾–24¼, ⌇ 16¾, n
20	19.9	28.5	17.8	22.1	3.9	**727.6**	727.8	730.5	76	54	91	ESE 0	W 1	ESE 0	2	6	4	7.2	● 18¼, ⌿ 16¾–17¼
21	16.1	23.9	15.6	18.5	0.3	731.8	732.7	734.4	92	60	92	ESE 1	ESE 1	SSW 1	10	4	4	7.1	● 1–7½ m.U., ⌇ ● 15¼–16¾
22	14.9	23.0	17.1	18.3	0.1	735.8	735.0	735.7	89	62	85	ESE 1	WNW 1	SSW 1	9	8	8	.	T 15¼
23	16.2	20.0	16.6	17.6	−0.7	735.4	734.4	734.5	85	75	93	ESE 0	W 1	SSW 0	9	10	4	.	T 15½, △ l
24	16.0	23.4	17.0	18.8	0.5	734.2	733.2	732.7	89	61	86	NNE 0	WNW 0	WSW 1	10	7	4	.	△ l
25	15.7	25.6	16.4	19.2	0.9	733.0	732.3	732.5	89	54	85	SSW 0	NW 1	SSW 0	3	2	1	3.4	● 16–17½, △ l
26	16.5	25.7	19.8	20.7	2.5	733.3	733.6	733.6	75	59	74	ENE 1	ESE 1	ENE 1	1	9	1	.	⌇ 15¾–16, 17
27	18.0	26.6	18.0	20.9	2.7	735.3	734.8	735.4	82	48	90	ESE 1	WSW 1	WSW 0	7	8	0	.	T 14¾–16
28	18.0	27.9	20.4	22.1	3.9	736.6	736.5	737.0	81	48	75	ESE 1	WNW 1	WNW 1	0	10	1	.	
29	18.4	30.0	21.2	23.2	5.0	738.5	738.0	737.7	79	40	78	ESE 1	SSE 1	NNE 0	0	0	0	.	
30	18.5	30.3	21.5	23.4	5.3	738.1	736.8	736.1	77	36	79	E 1	NNW 1	SSW 0	0	0	0	.	
31	19.2	**32.9**	24.0	25.4	7.3	736.1	734.4	733.5	72	41	65	E 1	SE 1	ESE 1	0	0	0	.	
																		Summe	
Mittel	16.6	24.4	17.5	19.5	—	734.9	734.4	734.5	78	53	79				4.6	5.2	4.1	54.7	

Juli 1943.
Beobachter: *Observatorium.*

Säntis

$\lambda = 9° 20'$, $\beta = 47° 15'$,
$H_b = 2500.1$ m, $G = -0.27$ mm.

Tag	Lufttemperatur 7³⁰	13³⁰	21³⁰	Mittel	Abweich. vom Normalst.	Luftdruck 7³⁰	13³⁰	21³⁰	Relative Feuchtigkeit 7³⁰	13³⁰	21³⁰	Windrichtung und Stärke 7³⁰	13³⁰	21³⁰	Bewölkung 7³⁰	13³⁰	21³⁰	Niederschlag	Witterung
1	1.0	4.2	1.4	2.2	−2.0	563.0	563.8	564.4	66	60	83	NE 1	SW 1	WSW 1	3	9	8	.	△ n, 11½, ≡ 9–18 m.U.
2	3.6	6.2	3.0	4.9	0.6	564.2	565.2	565.6	48	53	80	WNW 1	WSW 1	SSW 1	1	6	2	.	≡ 9¼–11, p zeitw.
3	5.6	9.4	3.8	6.3	2.0	565.8	567.3	568.4	56	60	83	WSW 1	SW 1	W 2	1	8	0	.	≡ 16–10½
4	4.0	9.4	6.1	6.5	2.1	568.5	569.5	569.1	78	47	65	WSW 3	W 2	W 3	1	1	0	.	
5	6.0	8.1	5.8	6.6	2.1	567.2	566.7	566.0	83	85	80	W 3	WSW 3	W 3	1	10≡	10	2.2	●tr. 21–n, ≡ 13–14¼ m.U.
6	4.2	7.7	2.0	4.6	0.0	564.1	563.8	562.1	100	78	100	W 3	W 1	WNW 2	10≡●	10≡	10≡●	41.8	● n–9¾, 15½–n, ≡ n–n m.U.
7	−0.7	2.6	1.0	1.0	−3.6	560.6	561.5	561.3	100	93	100	WSW 2	W 2	W 2	10≡	10≡	10≡	17.4	✳ 8–9¼, ● ✳ 11¼–15½, ≡ n–n
8	1.3	0.4	−3.4	−0.6	−5.3	559.3	**558.3**	560.8	98	100	100	SW 1	W 3	WNW 3	10≡	10≡●✳	10≡*	**60.3**	✳ △ n–n m.U., ≡ n–n, ∨ 10½
9	**−4.4**	−2.9	−2.8	−3.4	−8.2	561.1	563.7	565.2	100	100	100	W 3	WSW 3	NNW 4	10≡*	10≡*	10≡	31.9	✳ n–15½, ≡ n–n, ∨ I, III
10	0.0	1.8	0.0	0.6	−4.2	564.1	564.5	565.8	100	100	100	W 4	W 5	W 5	10	10≡	10≡	24.3	≡ n–n
11	2.2	3.9	5.0	3.7	−1.2	565.1	566.9	568.5	100	100	100	W 4	W 4	W 4	10≡	10≡	10≡	6.6	≡ n–n
12	4.8	9.4	7.9	7.4	2.5	568.2	568.5	567.7	64	57	88	W 4	SW 2	SW 3	1	3	1	14.0	
13	4.3	1.7	−0.8	1.7	−3.3	564.3	564.9	567.3	100	100	100	WSW 4	W 4	W 3	10≡●	10	10≡	18.7	● n–17 m.U., ≡ n–n
14	1.0	6.8	3.8	3.9	−1.1	567.6	568.3	568.9	65	65	94	SW 1	SSW 2	W 2	2	5	1		≡ 15½–17½
15	6.7	12.0	7.9	8.9	3.8	569.0	570.2	570.6	55	50	96	WSW 2	SW 1	W 2	1	3	2	.	≡ 15½–17
16	9.5	7.4	7.8	8.2	3.1	570.8	571.3	570.5	35	94	60	WSW 2	WSW 2	W 2	4	10≡	6	.	≡ 12¼–14
17	8.4	9.8	8.0	8.7	3.6	568.8	568.5	567.4	76	86	100	W 3	W 2	W 2	6	10	10≡	.	≡ 19–n
18	7.9	11.2	9.4	9.5	4.3	565.7	565.7	565.0	100	60	34	W 3	SW 2	WSW 2	10≡	8	9	.	≡ n–9½
19	10.2	13.3	6.4	10.0	4.8	563.9	564.3	564.4	52	43	86	W 2	SW 1	W 1	8	10≡	10●	9.9	● 14¾–n m.U., ≡ 13¼–14½
20	9.8	12.8	7.9	10.2	5.0	563.5	564.3	564.8	42	37	67	SSW 3	SW 3	SW 3	3	8	9	0.6	
21	3.7	5.5	3.8	4.3	−1.0	564.2	565.0	566.1	100	65	100	W 3	SW 1	WNW 3	10≡●	10	10≡	7.2	● 6½–12¼, ≡ 5¾–n m.U.
22	3.4	9.7	3.2	4.4	−0.9	566.7	567.3	567.1	91	78	97	W 2	W 2	NW 3	2	10	9	3.5	● 15¾–20½ ztw., ≡ n, 12–20¾
23	5.1	3.6	3.4	4.0	−1.3	566.0	565.5	565.4	76	88	100	WSW 1	NW 2	WNW 1	10	10●	10≡	15.5	K ▲ ● 12–13¾, ≡ n–n m.U.
24	4.7	5.8	3.3	4.6	−0.7	564.9	565.1	564.9	65	93	78	NE 1	NNW 1	ENE 2	9	10≡	10≡●	4.6	K ● 12¾–14, 19½–n, ≡ n–n m.U.
25	7.7	8.4	5.7	7.3	1.9	564.5	565.2	565.9	61	66	66	NE 1	W 2	SSW 1	2	9	3	0.8	K ● ▲ 12–16½ zeitw. *)
26	7.4	12.5	6.5	8.8	3.4	566.2	567.6	567.7	46	66	79	W 2	SSW 1	E 2	2	10≡	8	7.7	K ● 14¼–19¼ ztw., ≡ 12½–14
27	8.2	9.0	6.6	7.9	2.5	567.7	568.1	568.4	67	86	75	WSW 1	SW 1	NNE 1	9	10≡●	8	0.9	K ● 13¼–19, ≡ 10¾–19 m.U.
28	7.7	8.7	8.4	8.3	2.9	568.5	569.7	570.6	64	89	43	NNE 2	N 1	N 2	2	8≡	8	.	≡ 11–19¾ m.U.
29	8.9	10.3	8.4	9.2	3.8	571.0	**571.7**	**571.7**	39	65	72	NE 2	E 1	NNE 2	0	3	1	.	
30	10.2	12.9	10.3	11.1	5.7	571.0	571.3	571.3	34	51	**26**	NNE 2	S 1	N 1	0	2	0	.	*) **25.** ≡ 10½–17 m.U.
31	10.7	**15.6**	10.1	12.1	6.7	570.0	570.5	570.0	65	47	98	W 1	SW 1	W 2	1	2	4	.	
Mittel	5.3	7.6	4.8	5.9	—	566.0	566.6	566.9	72	73	83				5.1	7.9	6.7	Summe 267.9	

Juli 1943.
Beobachter: Frl. *F. Lombardi.*

St. Gotthard (Hospiz)

$\lambda = 8° 34'$, $\beta = 46° 33'$,
$H_b = 2095.7$ m, $G = -0.25$ mm.

1	2.6	8.8	5.0	5.5	−1.1	592.1	592.1	593.2	70	33	55	N 0	NE 1	N 2	0	0	0	.	
2	5.4	8.8	5.5	6.6	−0.1	593.1	593.6	594.4	82	38	55	SW 0	S 0	N 1	5	5	8	.	
3	6.	12.0	6.8	8.3	1.5	595.0	595.7	597.3	63	26	38	S 0	S 1	N 1	8	5	3	.	
4	5.2	14.4	7.8	9.1	2.2	596.7	598.0	597.5	85	15	32	N 0	N 1	N 1	0	0	0	.	
5	8.5	14.2	8.8	10.5	3.5	596.1	595.0	596.0	33	23	27	N 1	N 1	N 1	0	6	3	.	
6	10.0	11.0	6.4	9.1	2.0	593.2	592.1	591.0	36	29	85	W 0	S 1	S 1	6	10	10●	5.0	▲sch. 12¼, ● 20½–n
7	3.8	9.2	5.6	6.2	−1.0	589.5	590.4	590.8	83	33	100	N 2	NW 1	N 1	8	5	10≡	0.2	≡ 19½ n
8	7.0	9.6	0.8	5.8	−1.5	588.3	**587.0**	589.2	46	60	100	S 0	S 0	N 2	10	5	10*-	7.0	●8¼–10¼, ▲ 14¼, ● ✳ 11¼–
9	**−0.8**	0.8	0.0	0.0	−7.4	590.7	593.2	592.5	100	89	58	N 2	N 2	N 2	10*	5	0	1.9	✳ n–12¼ [n, ≡ 16–n
10	3.0	8.6	3.6	5.1	−2.4	594.8	595.1	595.7	43	36	83	S 0	NW 0	N 1	8	8	8	2.5	
11	5.6	8.5	6.4	6.8	−0.8	595.3	596.4	597.2	75	60	79	NW 0	N 1	N 1	10●	10	8	3.8	● n–2¾
12	7.2	15.8	9.4	10.8	3.1	597.3	596.8	596.5	55	16	23	N 1	S 0	S 0	0	5	3	2.1	● 6–7, 10¼–11¼
13	7.6	8.0	4.8	6.8	−1.0	594.7	594.5	595.5	63	80	81	N 0	N 0	N 2	10●	10	10≡	2.6	● n–12¾ zeitw., ≡ 16–n
14	6.0	12.0	7.8	8.6	0.7	596.7	596.9	598.0	41	**13**	53	N 1	SE 1	S 0	0	0	5	.	
15	8.4	14.8	10.2	11.1	3.1	598.3	599.2	599.5	57	34	38	S 0	S 0	S 1	0	5	0	.	
16	10.7	13.3	10.0	11.3	3.2	599.6	**599.9**	599.5	16	33	40	SW 0	NE 0	N 1	0	8	0	.	
17	9.6	17.6	11.0	12.7	4.5	597.7	596.6	596.6	32	17	21	N 0	N 0	N 0	3	5	5	.	
18	12.3	18.8	12.0	14.4	6.1	594.3	593.9	593.7	23	15	70	N 0	N 0	N 1	5	0	0	.	
19	11.4	16.8	10.2	12.8	4.5	592.7	592.5	593.5	53	40	71	W 0	S 0	S 0	5	10	10●	13.0	K ● 13¾, ● 19¼–n
20	9.8	11.5	0.9	9.4	1.0	593.4	593.6	593.4	45	50	72	S 0	S 0	S 0	8	10	10●	**40.7**	● ▲ K n (20. 21.)
21	4.8	10.5	6.4	7.2	−1.2	593.7	593.5	594.8	83	40	88	N 2	N 2	N 2	10●	10	0	1.6	● n–10¼
22	5.4	11.0	5.6	7.4	−1.0	595.4	595.8	595.7	95	40	100	N 1	N 1	N 1	0	10	10≡	5.1	● 14, 15¾–17, ≡ 20–n
23	6.4	8.7	5.0	6.9	−1.0	594.5	594.0	594.1	100	73	100	N 1	N 1	N 2	10≡	5	10●	2.7	● 10½–n zeitw., ≡ n–n
24	6.2	10.8	6.6	7.9	−0.6	593.3	593.2	593.6	100	38	83	N 1	N 1	N 1	8	8	10≡	.	≡ 20½–n
25	7.2	14.0	7.8	9.7	1.2	593.6	593.4	594.7	53	40	57	SW 1	S 1	N 1	5	10	0	3.5	
26	8.2	11.0	8.8	9.3	0.8	595.0	596.3	596.8	58	70	70	W 0	S 0	SW 0	5	10●≡	5	9.5	● 12¼–14¾, ≡ 13–15
27	7.0	12.0	7.0	8.8	0.3	597.0	596.9	597.4	100	100	100	S 0	S 0	N 1	10●	10	10●≡	7.0	≡ ● n–9¾, ● 20¾–n,
28	8.0	13.6	8.0	9.9	1.4	596.6	597.7	599.0	65	34	58	NW 0	NW 0	NW 0	5	5	5	.	[≡ 13¼–n
29	8.8	16.0	11.0	11.9	3.4	599.0	598.9	599.3	50	51	60	N 1	N 1	N 1	0	0	0	.	
30	11.0	**19.2**	12.2	14.1	5.6	599.5	599.4	599.5	54	19	49	N 0	S 0	N 1	0	5	0	.	
31	11.0	19.0	12.6	14.2	5.7	598.8	599.4	598.4	50	50	58	N 0	N 0	N 0	0	0	3	.	
Mittel	7.2	12.3	7.4	9.0	—	595.0	595.2	595.6	62	42	65				4.8	6.0	5.0	Summe 108.2	

λ = 7° 26′, β = 46° 57′
H_b = 572.2 m, G = 0.00 mm.

Bern

August 1943.
Beobachter: *Tellur. Observatorium.*

Tag	Lufttemperatur 7³⁰	13³⁰	21³⁰	Mittel	Abweich. vom Normalst	Luftdruck 7³⁰	13³⁰	21³⁰	Relative Feuchtigkeit 7³⁰	13³⁰	21³⁰	Windrichtung und Stärke 7³⁰	13³⁰	21³⁰	Bewölkung 7³⁰	13³⁰	21³⁰	Niederschlag	Witterung
1	19.0	27.4	21.4	22.6	4.9	713.3	712.9	713.2	88	48	68	SE 0	WNW 1	S 0	0	4	4	.	
2	18.3	29.0	23.9	23.7	6.0	713.9	712.6	712.0	93	47	75	S 0	N 1	SW 0	0	1	2	.	
3	19.5	28.9	17.6	22.0	4.4	712.0	709.7	711.8	84	46	81	SE 1	ENE 2	WSW 1	0	7	10	22.4	● 18–22¼ m.U., ▲ 18¼,
4	16.5	22.1	18.6	19.1	1.5	713.2	712.6	712.2	98	60	85	S 0	S 0	E 0	9	8	5	.	● 2½–3, 6–7 m.U. [⊕ 19¼
5	16.1	23.6	19.5	19.7	2.2	711.9	710.6	711.4	89	55	75	S 0	WSW 2	SW 1	7	7	10	0.0	● 12½, △ I
6	15.0	19.5	14.7	16.4	−1.1	712.5	712.5	714.8	73	51	65	NW 1	WSW 3	SW 1	9	6	3	0.0	
7	13.7	18.4	15.3	15.8	−1.6	715.9	715.6	716.5	89	63	81	W 0	N 0	NE 0	10●	10	8	0.6	● 7¼–8¾ m.U.
8	13.7	21.1	17.7	17.5	0.1	716.8	715.9	715.7	93	52	75	S 0	NW 2	SW 0	9	4	0	.	△ I
9	17.2	20.9	18.0	18.7	1.4	715.2	714.5	716.3	75	57	79	WSW 2	NW 2	W 0	4	9	8	.	△ I
10	16.[illegible]	23.5	18.7	19.4	2.2	716.1	714.9	713.9	86	43	67	S 0	NW 1	SW 0	2	1	0	.	△ I
11	14.9	25.7	19.2	19.9	2.7	712.7	711.3	711.5	89	49	87	S 0	W 2	SW 1	1	2	10	2.0	⊕ ● 20¾–22¼ m.U., △ I
12	15.6	17.9	15.3	16.3	−0.8	714.1	714.6	714.8	97	69	82	S 0	N 0	N 0	10	9	2	0.3	● 5¾–9¾ m.U.
13	12.6	22.4	17.9	17.6	0.6	715.0	714.1	714.2	97	37	63	N 0	W 2	S 0	1	1	5	.	△ I, Ψ zeitw.
14	16.4	26.5	21.1	21.3	4.3	714.1	712.5	712.6	74	45	66	SW 0	WSW 2	SW 2	4	2	1	.	
15	18.8	23.9	18.0	20.2	3.3	714.8	715.6	718.1	82	60	82	W 2	WNW 1	NE 1	9	5	8	.	
16	14.9	24.4	19.4	19.6	2.8	719.2	718.4	718.1	93	55	65	NE 0	NE 2	N 0	3	0	0	.	
17	16.2	28.0	21.9	22.0	5.2	718.2	717.0	716.6	94	48	70	SE 0	NW 0	SW 0	0	2	0	.	△ I
18	17.2	30.6	22.6	23.5	6.8	716.5	715.6	714.4	84	33	70	SE 0	N 1	SE 0	1	0	0	.	△ I
19	18.4	31.6	25.6	25.2	8.6	714.7	713.7	713.6	86	42	65	S 0	SW 1	SW 0	1	1	9	.	△ I
20	19.7	30.3	24.4	24.8	8.2	714.3	712.3	711.0	82	39	68	S 0	NNE 1	SW 0	1	1	2	.	
21	18.7	31.1	25.2	25.0	8.5	710.5	707.8	708.7	87	36	52	S 0	NE 1	W 0	1	2	8	.	
22	18.2	20.6	14.1	17.6	1.2	709.2	709.0	713.6	95	81	98	W 0	NE 1	SW 0	9	10	10●	24.2	● 13½–22½
23	13.4	18.3	15.6	15.8	−0.6	715.2	714.9	714.9	100	48	81	W 0	NE 1	NE 0	10	4	1	.	
24	13.3	21.1	16.4	16.9	0.6	714.4	713.2	713.4	88	57	89	E 0	NE 1	SW 0	0	6	0	.	△ I
25	14.0	19.8	14.3	16.0	−0.2	713.0	713.0	714.0	97	70	90	W 0	NW 0	S 0	10	10	2	.	△ I
26	12.4	21.8	18.7	17.6	1.5	712.4	710.4	710.8	91	55	75	SE 0	W 1	WSW 4	3	1	10●	0.7	● 19¼–22 m.U., △ I
27	14.8	18.9	15.4	16.4	0.3	714.1	715.1	716.0	83	59	68	W 1	WSW 2	SW 0	9	4	10	.	● 2½–3¾ m.U.
28	13.9	19.4	13.8	15.7	−0.3	716.2	716.4	717.5	82	53	84	SE 0	S 0	S 0	9	8	0	.	
29	13.2	21.2	15.5	16.6	0.7	717.7	717.7	719.6	89	57	86	S 0	WNW 2	SW 0	10	3	0	.	
30	13.1	24.1	17.1	18.1	2.3	716.2	713.1	712.9	97	53	98	S 0	WSW 2	W 1	1	10	9	4.7	● 20¾–21½, 22½–n, △ I,
31	13.4	16.5	12.5	14.1	−1.6	714.1	713.9	714.4	98	65	83	SW 0	NE 0	NE 0	10	9	0	.	● n–3½ m.U. [⊕ II
																		Summe	
Mittel	15.8	23.5	18.4	19.2	—	714.4	713.6	714.2	89	53	77				4.9	4.7	4.4	54.9	

λ = 6° 57′, β = 47° 0′,
H_b = 487.3 m, G = 0.02 mm.

Neuchâtel

August 1943.
Beobachter: *Observatorium.*

Tag	7³⁰	13³⁰	21³⁰	Mittel	Abweich. vom Normalst	7³⁰	13³⁰	21³⁰	7³⁰	13³⁰	21³⁰	7³⁰	13³⁰	21³⁰	7³⁰	13³⁰	21³⁰	Niederschlag	Witterung
1	18.7	29.3	22.3	23.4	4.7	720.7	720.2	720.3	84	45	57	E 1	S 1	NW 0	1	1	6	.	
2	19.5	30.5	23.7	24.6	5.9	721.4	720.0	719.1	81	40	55	E 1	SE 1	NW 0	5	0	4	.	
3	19.9	30.0	19.9	23.3	4.6	719.2	717.2	719.2	83	41	68	NE 0	S 1	SW 2	1	7	10	6.8	● 17½–n m.U., ⊕ 17½–18
4	16.9	25.7	20.5	21.0	2.4	720.5	719.8	719.4	77	48	60	W 1	S 1	NW 1	9	3	2	.	
5	17.3	23.1	20.0	20.1	1.5	719.2	717.8	718.5	79	62	59	SE 0	SW 1	W 2	6	9	7	0.1	● sch. 11¼
6	15.2	23.5	16.8	18.5	0.0	719.7	720.0	722.3	55	31	53	NW 3	W 3	W 2	4	1	2	.	
7	15.5	19.2	15.6	16.8	−1.7	723.2	723.0	724.2	80	61	77	SW 1	SW 1	NW 0	10	10	10	0.1	● tr. 11, ● 21–n
8	15.5	24.5	19.7	19.9	1.5	724.3	723.5	722.9	83	45	56	NE 1	S 1	NW 2	9	3	0	.	
9	19.0	21.6	18.7	19.8	1.5	722.6	722.1	723.8	60	49	68	SW 2	W 3	W 1	7	10	6	.	
10	16.2	25.7	21.1	21.0	2.7	723.4	722.2	720.9	75	43	51	NE 1	S 1	NW 2	1	0	0	.	
11	15.3	27.7	19.3	20.8	2.6	720.1	718.6	717.7	84	42	68	E 1	SW 2	NW 4	0	1	10	7.0	● ▲ 20–20¼, ⊕ seit 19½
12	16.6	24.5	17.3	19.5	1.4	721.4	721.8	722.0	70	46	57	NW 2	SE 1	N 1	10	2	1	.	
13	13.6	24.9	20.4	19.6	1.5	722.6	721.5	721.3	83	35	46	SE 1	S 1	NW 2	0	1	3	.	
14	18.7	27.8	21.2	22.6	4.6	721.6	719.9	719.9	62	47	61	SW 2	SW 3	W 2	1	2	0	.	
15	19.6	25.3	19.1	21.3	3.4	722.1	723.0	725.4	68	49	59	SW 2	NW 2	N 3	8	2	4	.	
16	16.1	29.4	22.6	22.7	4.8	727.0	725.8	725.5	74	33	40	E 1	E 2	N 1	0	0	0	.	
17	15.9	29.5	25.4	23.6	5.8	725.8	724.4	723.6	81	39	47	E 1	S 1	NW 1	0	0	0	.	
18	17.9	32.3	24.0	24.7	7.0	723.9	722.9	721.6	78	35	42	E 0	SE 1	SW 0	0	0	0	.	
19	18.4	32.8	25.8	25.7	8.0	722.0	721.0	720.8	77	31	47	S 1	SW 1	NW 0	0	1	7	.	
20	20.5	32.0	24.3	25.6	8.0	721.8	719.8	718.1	73	37	51	E 0	S 1	NW 0	0	0	3	.	
21	19.8	32.7	25.2	25.9	8.4	717.7	715.3	715.6	75	29	39	NE 0	S 1	NW 3	1	0	10	.	
22	20.8	19.7	14.2	18.2	0.8	716.4	716.5	721.0	70	91	94	E 0	S 0	W 0	10	10	10	17.5	● 8¼–abds. m.U.
23	12.7	23.0	16.0	17.2	−0.2	722.7	722.4	722.4	94	49	62	E 0	E 1	N 0	1	3	0	.	
24	14.4	23.1	17.2	18.2	0.9	722.1	720.8	720.7	81	55	72	E 1	SE 1	E 0	0	5	0	.	
25	14.4	19.3	15.7	16.5	−0.7	720.5	720.6	721.3	89	77	77	N 0	SW 0	W 0	9	10	6	.	
26	13.7	23.8	17.1	18.2	1.1	719.7	718.0	718.1	85	51	85	E 1	SE 1	W 2	0	0	10	0.9	● 20¾–n
27	15.8	19.4	16.6	17.3	0.3	721.3	722.6	723.3	65	48	49	SW 2	W 2	NW 2	3	5	8	0.2	● sch. 10¾
28	14.3	19.3	16.2	16.6	−1.3	723.7	724.2	724.9	64	51	59	NE 1	SE 1	NW 1	4	7	0	.	
29	15.5	22.2	17.8	18.5	0.7	725.3	725.7	726.1	71	47	66	SW 2	SW 2	NW 1	9	5	0	.	
30	13.2	23.8	19.0	18.7	1.0	723.5	720.9	720.5	92	57	76	E 0	SW 1	SW 1	0	10	3	0.8	● tr. seit 20. ● n
31	15.0	18.6	14.8	16.1	−1.5	721.4	721.5	721.8	63	50	61	W 1	NW 1	N 3	1	8	0	.	
																		Summe	
Mittel	16.6	25.3	19.6	20.5	—	721.8	721.1	721.4	76	47	60				3.5	3.7	3.9	33.4	

August 1943.
Beobachter: Frl. *H. Nager.*

Altdorf

$\lambda = 8° 39'$, $\beta = 46° 53'$,
$H_b = 456.3$ m, $G = -0.05$ mm.

Tag	Lufttemperatur 7³⁰	13³⁰	21³⁰	Mittel	Abweich. vom Normalst	Luftdruck 7³⁰	13³⁰	21³⁰	Relative Feuchtigkeit 7³⁰	13³⁰	21³⁰	Windrichtung und Stärke 7³⁰	13³⁰	21³⁰	Bewölkung 7³⁰	13³⁰	21³⁰	Niederschlag	Witterung
1	18.1	25.8	21.8	21.9	4.0	722.9	721.9	723.0	90	48	72	NE 0	NW 0	SE 0-1	8	7	6	.	
2	18.6	27.4	24.8	23.6	5.7	723.6	721.7	721.2	84	48	31	E 0	NW 0-1	SE 1-2	0	2	0	.	
3	25.5	31.1	24.2	26.9	9.0	721.0	719.0	719.4	32	28	43	S 2-3	S 3-4	NW 0	2	7	10	1.5	
4	18.8	21.2	17.8	19.3	1.5	721.7	722.4	722.1	89	65	83	E 0	NW 0	NW 0	10	7	8	7.6	● 5-6, a
5	16.5	25.3	18.9	20.2	2.4	721.3	718.8	722.2	84	42	89	E 0	NW 1-2	NW 0	2	7	10●	6.5	● III
6	18.8	17.5	15.7	17.3	−0.5	720.8	722.3	723.9	90	66	80	N 0	E 0	NW 0	10	10	8	.	
7	14.4	19.1	16.2	16.6	−1.1	725.2	726.1	726.0	74	53	86	SE 0	NW 0	NW 0	9	10	10●	1.0	● III
8	16.4	20.3	17.2	18.0	0.3	727.1	725.4	725.6	75	46	74	NE 0	NW 1-2	NW 0	2	1	0	.	
9	15.0	22.0	19.9	19.0	1.3	724.4	723.5	724.4	85	49	61	SE 0	NW 1-2	NW 0	0	10	5	.	
10	17.1	23.0	18.2	19.4	1.8	725.8	724.1	724.0	71	50	71	NW 0	NW 1	NE 0	2	1	0	.	
11	16.2	25.0	19.9	20.4	2.8	722.2	721.5	720.2	79	41	70	E 0	NW 1-2	NW 0	2	2	2	8.5	
12	16.9	23.4	15.0	18.4	0.9	720.6	720.4	724.6	87	60	90	NE 0	NW 0-1	NW 0	10	9	4	.	
13	15.0	18.2	16.8	16.7	−0.8	724.9	723.1	723.8	79	50	74	NW 0	NW 2	SE 0	1	2	2	.	
14	15.9	23.8	18.8	19.5	2.1	723.4	722.9	721.8	80	44	64	SE 0	NW 0-1	E 0	2	4	0	.	
15	16.6	22.6	18.5	19.2	1.8	723.3	725.2	728.3	84	59	85	NE 0	NW 1-2	NW 0	4	8	10	.	
16	15.4	22.3	18.5	18.7	1.4	**729.6**	728.3	728.7	92	56	85	NW 0	NW 0	NW 0	0	0	0	.	
17	15.8	24.8	22.5	21.0	3.8	728.3	726.5	726.6	83	48	70	N 0	NW 0	NW 0	0	0	0	.	
18	17.9	27.4	22.3	22.5	5.3	726.1	725.0	724.5	78	39	48	NE 0	NW 0	SE 0	0	0	0		
19	18.5	29.5	22.3	23.4	6.3	723.7	722.6	723.1	85	35	60	W 0	NW 0	S 0	0	2	0	.	
20	19.4	30.3	26.1	25.3	8.3	724.2	721.1	720.8	70	36	29	E 0	NW 0	S 0-1	0	2	0	.	
21	26.5	**31.7**	27.7	28.6	11.6	719.9	717.8	718.0	30	**24**	25	E 2	SE 2	S 1-2	3	3	0	.	
22	24.5	22.7	15.6	20.9	4.0	718.4	**717.4**	723.8	57	59	98	NW 0	E 1	NW 0	10	9	10●	**12.6**	● 20-n
23	15.2	20.0	16.1	17.1	0.3	724.9	724.1	724.8	85	45	73	NW 0	NW 1	NW 0	9	5	0	.	
24	12.7	21.8	18.1	17.5	0.8	724.2	722.0	723.1	86	50	75	N 0	NW 1	NW 0	2	5	10	2.6	
25	16.7	17.4	14.2	16.1	−0.6	722.4	723.8	724.4	93	91	89	S 0	S 1	E 0	10	10●	0	6.4	● n, II
26	**11.8**	21.6	16.8	16.7	0.1	722.1	719.7	718.7	92	44	80	E 0	NW 0-1	NW 0	0	1	3	4.1	
27	16.3	17.5	15.5	16.4	−0.1	722.8	724.9	725.9	93	56	85	N 0	NE 0	NW 0	10	8	10	4.0	
28	14.8	17.5	13.0	15.1	−1.3	725.5	726.4	727.9	83	52	75	E 0	NW 0-1	NE 0	10	10	0	.	
29	12.4	20.1	16.4	16.3	0.0	727.0	726.5	728.3	86	43	78	E 0	NW 0-1	NW 0	8	5	7	.	
30	12.8	22.1	21.7	18.9	2.7	726.1	722.2	720.8	91	45	46	SE 0	NW 0	SE 1	0	7	10●	5.6	● III
31	14.3	16.8	13.9	15.0	−1.1	723.7	723.8	724.6	86	54	80	SE 0	NW 1-2	E 0	10●	8	0	0.5	● I
Mittel	16.9	22.9	18.9	19.6	—	723.8	722.9	723.7	80	49	70				4.4	5.2	4.4	Summe 60.9	

August 1943.
Beobachter: *Observatorium.*

Genf

$\lambda = 6° 9'$, $\beta = 46° 12'$,
$H_b = 405.0$ m, $G = -0.03$ mm.

1	19.9	27.4	23.6	23.6	4.3	727.5	726.5	727.3	81	**35**	69	E 0	NNE 1	E 0	1	0	0	.	
2	20.2	28.6	24.4	24.4	5.2	728.2	726.7	725.7	78	50	87	E 0	NNE 0	NNE 0	0	0	2	.	
3	20.8	28.2	19.4	22.8	3.6	725.5	723.9	726.0	78	47	76	ENE 0	NNE 0	E 0	3	9	10	.	●tr. 15¼, 21½
4	20.1	26.4	21.2	22.6	3.4	727.2	726.3	726.4	73	54	70	ENE 0	E 1	E 0	3	2	0	.	
5	18.2	25.6	21.2	21.7	2.6	726.3	724.9	726.5	72	55	67	N 1	SW 1	S 1	9	8	4	.	
6	16.8	22.0	16.4	18.4	−0.7	727.7	728.1	729.6	66	46	63	S 2	SW 2	S 0	8	5	1	.	
7	15.7	20.7	17.3	17.9	−1.1	730.0	729.8	730.9	75	59	75	E 0	NNE 1	NE 0	9	8	2	.	
8	16.2	24.6	20.2	20.3	1.3	731.6	730.6	730.4	78	36	69	E 0	W 0	S 0	4	7	0	.	
9	18.9	24.9	19.1	21.0	2.1	730.5	729.7	731.1	73	44	76	SE 1	SW 1	SE 0	0	9	2	.	
10	18.2	23.1	21.4	20.9	2.1	730.6	728.9	727.9	77	55	71	ENE 0	NNE 1	ENE 0	0	0	0	.	
11	17.6	28.6	19.9	22.0	3.2	727.1	725.6	725.9	77	48	85	E 0	S 1	SSE 0	0	1	9	.	
12	17.6	21.8	18.9	19.4	0.7	728.2	728.2	728.1	86	66	81	NNE 0	N 1	ENE 0	10	2	4	11.1	●sch. ⌍ 20½
13	16.0	25.7	19.8	20.5	1.9	728.4	728.5	728.7	79	**35**	81	ESE 0	S 0	S 0	0	0	1	.	
14	17.3	28.8	22.0	22.7	4.2	729.0	727.3	727.5	72	43	55	SW 0	S 1	SSE 1	0	1	0	.	
15	22.1	25.0	21.4	22.8	4.3	730.0	730.0	731.5	68	50	88	S 1	NE 1	NE 1	2	5	3	.	
16	17.7	24.6	20.6	21.0	2.6	**733.6**	732.5	732.3	79	65	80	NNE 0	NNE 1	ENE 0	0	0	0	.	
17	17.9	26.9	23.2	22.7	4.4	732.6	731.2	730.4	75	51	80	E 0	NNE 1	NNE 0	0	0	1	.	
18	19.6	28.2	24.4	24.1	5.9	730.7	729.1	728.5	78	45	72	E 0	NNE 1	ESE 0	0	0	0	.	
19	19.5	**34.6**	23.2	25.8	7.7	728.9	727.2	727.5	76	38	74	ESE 0	S 1	S 1	0	0	5	6.1	●sch. T 20¼
20	20.0	28.7	25.3	24.7	6.7	728.2	726.2	724.8	76	44	62	E 0	NNE 1	NNE 0	0	0	0	.	
21	18.8	30.2	25.1	24.7	6.7	724.2	**721.7**	722.6	72	40	45	SE 1	NNE 1	S 1	0	2	9	0.7	
22	18.3	17.5	16.3	17.4	−0.5	723.1	724.3	727.8	80	85	88	E 1	ESE 0	NNE 0	10●	10●	6	**17.6**	● n-n, ⌒ 19
23	**12.4**	21.2	17.6	17.1	−0.7	729.5	729.0	729.1	98	40	67	ESE 0	NNE 1	ESE 1	2	1	0	.	≡ 6
24	14.6	22.3	18.8	18.6	0.9	729.1	727.4	727.4	80	49	76	E 0	NNE 1	E 1	0	4	0	.	
25	14.6	20.6	17.4	17.5	−0.1	727.1	727.4	728.3	83	68	84	E 0	N 1	ENE 1	10	10	0	.	
26	14.6	25.4	17.0	19.0	1.5	726.9	724.5	726.2	86	46	90	ESE 0	S 1	ESE 1	1	0	10●	5.8	● abds.-n, ⌍ 21
27	16.8	22.2	16.8	18.6	1.2	729.0	729.4	730.3	72	45	66	S 1	S 1	E 0	6	7	3	.	
28	15.4	19.6	15.4	16.8	−0.5	730.5	731.0	732.4	73	53	80	E 1	N 1	SE 0	9	5	0	.	●tr. 15¼
29	14.6	23.2	18.2	18.7	1.5	733.0	733.0	732.9	78	51	74	SE 0	NW 1	ENE 0	8	2	0	.	●sch. 21
30	14.4	26.9	22.4	21.2	4.1	730.5	728.0	727.5	82	46	62	ESE 0	S 1	S 1	0	8	5	.	
31	17.1	20.6	16.0	17.9	0.9	728.2	728.4	728.1	70	53	65	NNE 1	N 1	E 1	8	4	0	.	
Mittel	17.5	25.0	20.1	20.9	—	728.8	727.9	728.4	77	50	74				3.3	3.5	2.5	Summe 41.3	

$\lambda = 8° 33'$, $\beta = 47° 23'$,
$Hb = 493.2$ m, $G = 0.03$ mm.

Zürich

August 1943.
Beobachter: *Meteorol. Zentralanstalt.*

Tag	Lufttemperatur 7³⁰	13³⁰	21³⁰	Mittel	Abweich. vom Normalst	Luftdruck 7³⁰	13³⁰	21³⁰	Relative Feuchtigkeit 7³⁰	13³⁰	21³⁰	Windrichtung und Stärke 7³⁰	13³⁰	21³⁰	Bewölkung 7³⁰	13³⁰	21³⁰	Niederschlag	Witterung
1	20.4	31.8	22.2	24.8	6.6	719.8	718.8	719.6	74	35	64	E 1	SSW 1	E 1	6	1	0	.	
2	20.7	32.3	23.4	25.5	7.3	720.6	718.9	718.2	81	33	66	SE 1	NNE 1	ESE 1	0	1	3	.	
3	20.1	32.9	21.2	24.7	6.6	718.3	716.6	717.9	72	29	64	ESE 0	NNW 1	W 2	1	9	10	.	△ I
4	19.4	20.6	18.0	19.3	1.2	719.8	719.6	718.9	62	69	81	SSW 1	ESE 1	SE 1	10	8	1	0.7	● 11–12¼
5	17.4	24.1	20.9	20.8	2.8	718.3	716.8	717.9	86	43	67	SE 1	W 2	NW 2	2	9	9	0.3	● 23¼–23¾, △ I
6	15.7	17.7	17.4	16.9	−1.1	718.8	719.0	720.8	62	50	43	WNW 2	WNW 1	WSW 2	9	9	4	0.0	
7	14.2	17.7	16.5	16.1	−1.8	722.5	722.3	723.2	80	64	71	NW 1	WSW 1	NW 1	10●	9●	10	0.3	●° 2¼, 7¼–8½, 13–14½
8	15.1	23.8	17.1	18.7	0.9	723.4	722.5	722.0	83	40	69	WNW 0	WNW 1	WNW 0	9	4	5	.	
9	17.9	22.2	17.8	19.3	1.5	721.2	720.3	722.7	63	46	70	W 2	WSW 1	NW 1	2	8	4	.	
10	16.4	24.4	17.6	19.5	1.8	722.9	721.3	720.5	75	36	60	W 1	SW 2	NW 1	4	1	0	.	
11	16.2	27.1	18.3	20.5	2.9	719.2	717.7	717.6	87	35	90	SE 1	WSW 2	W 1	4	3	10●	4.4	⌇ ● 21–21¾, ●² 22¼
12	15.0	18.8	15.0	16.3	1.3	720.9	722.0	721.4	80	60	85	W 1	S 1	S 1	10	8	1	.	
13	**12.4**	23.7	18.2	18.1	0.6	721.4	720.4	720.5	89	34	51	NE 1	SW 1	W 1	1	1	10	.	
14	19.1	28.2	20.4	22.6	5.2	720.0	718.7	718.5	50	37	65	W 2	W 4	NW 1	7	2	0	.	
15	19.8	22.7	19.4	20.6	3.3	720.1	723.0	725.1	65	55	60	SW 2	WNW 2	NW 1	7	6	10	.	●tr. 9¼–10½
16	14.4	26.5	19.0	20.0	2.8	**726.5**	725.5	725.1	78	39	56	NW 1	E 1	NE 1	3	0	0	.	
17	14.6	30.5	20.9	22.0	4.8	725.2	723.7	723.3	80	34	62	ENE 0	ENE 1	E 1	0	1	0	.	
18	16.4	33.3	22.0	23.9	6.8	723.1	722.2	721.1	88	31	56	NW 0	SW 1	SE 1	1	1	0	.	
19	17.7	**35.0**	24.4	25.7	8.7	720.9	720.2	719.5	84	28	61	ESE 1	S 1	SE 1	1	1	0	.	
20	20.6	33.5	23.4	25.8	8.9	720.8	718.8	717.0	77	**26**	59	ESE 1	N 1	ESE 1	1	1	0	.	
21	19.7	34.2	26.0	26.6	9.8	716.9	**714.6**	714.8	77	27	34	N 1	SSE 1	SW 1	2	1	1	.	
22	19.6	21.6	14.6	18.6	1.8	715.8	715.0	720.3	74	70	95	W 0	N 1	SW 1	10	10	10●	8.3	● 19¼–n
23	14.1	22.6	15.1	17.3	0.6	721.9	721.7	721.9	92	41	67	SSW 1	S 1	NE 2	9	6	1	.	● n–2½, 5¾–6¼
24	13.3	23.1	17.6	18.0	1.4	721.6	719.8	719.9	88	40	70	NE 0	N 1	NW 1	1	7	1	.	△ I
25	15.7	20.1	15.2	17.0	0.5	719.4	719.6	720.8	82	65	81	NW 0	S 1	SE 1	9	10	0	.	●tr. 14¾
26	12.8	25.4	17.6	18.6	2.2	719.0	716.8	715.6	97	33	93	ESE 0	SW 1	SE 1	1	1	9●	4.9	● 21¼–24 m.U., ⌇ 20¾–21¼,
27	14.7	17.9	15.6	16.1	−0.2	720.5	721.9	723.0	75	50	60	WNW 2	WNW 2	NW 1	9	8	10	0.3	● 4–9¾ zeitw. [△ I
28	13.9	18.9	13.6	15.5	−0.7	722.9	723.2	724.1	76	48	72	WNW 1	SSE 1	SE 1	9	8	0	.	
29	15.2	19.9	15.1	16.7	0.5	724.1	724.2	725.2	65	53	86	W 1	WNW 2	NW 1	10	8	2	.	●tr. 9¼–6¾
30	14.3	25.1	19.4	19.6	3.5	722.7	719.2	718.6	93	38	67	ESE 1	W 3	WSW 3	1	9	9	8.4	● 22–22¼
31	13.3	18.3	13.3	15.0	−1.0	720.7	720.6	721.5	80	40	75	WNW 1	WSW 2	WSW 1	7	6	5	.	● 1–3¾ m.U.
																		Summe	
Mittel	16.5	25.0	18.6	20.0	—	720.9	720.2	720.5	78	43	68				5.0	5.1	4.0	27.6	

$\lambda = 8° 30'$, $\beta = 47° 3'$,
$Hb = 1787.3$ m, $G = -0.20$ mm

Rigi-Kulm

August 1943.
Beobachter: *J. Wiget.*

Tag	7³⁰	13³⁰	21³⁰	Mittel	Abweich. vom Normalst	7³⁰	13³⁰	21³⁰	7³⁰	13³⁰	21³⁰	7³⁰	13³⁰	21³⁰	7³⁰	13³⁰	21³⁰	Niederschlag	Witterung
1	17.8	19.1	17.0	18.0	7.9	619.2	619.4	619.8	45	52	41	SW 0	W 0	W 0	4	4	4	.	
2	16.8	20.6	17.8	18.4	8.3	620.1	619.6	618.9	60	50	45	ESE 1	SE 1	S 2	0	0	2	.	
3	17.2	19.8	11.8	16.3	6.2	618.3	617.8	617.0	38	40	85	S 3	S 3	W 2	0	3	8	.	
4	8.2	12.0	12.0	10.7	0.6	617.4	618.4	617.4	100	73	80	W 1	W 0	SW 1	10	8	5	1.8	≡ a zeitw.
5	11.4	14.1	10.2	11.9	1.0	616.7	616.3	616.4	58	74	92	SW 1	NW 1	W 2	1	9	9	0.6	
6	7.8	6.4	4.8	6.3	−3.7	615.6	615.9	617.7	100	100	92	W 1	W 1	W 3	10≡	10≡	10	6.7	● 8½–9½
7	5.0	8.2	7.0	6.7	−3.3	618.2	619.0	619.5	95	75	92	W 1	SW 1	W 1	10	9	10	1.7	
8	7.8	12.2	10.5	10.2	0.2	619.5	619.5	619.8	75	70	64	SW 1	SW 2	W 3	5	7	5	.	
9	8.0	10.0	8.5	8.8	−1.1	618.4	618.7	619.1	68	66	100	W 2	W 3	W 3	5	10	10	0.1	
10	7.8	12.4	10.5	10.2	0.3	619.4	619.6	618.8	100	70	65	W 2	SW 1	W 1	5	2	3	.	≡ a zeitw.
11	11.0	13.1	8.8	11.0	1.1	617.1	617.0	616.2	59	66	100	W 1	W 1	W 2	3	3	10●	**29.0**	● ⌇ 21¼–24
12	7.0	9.6	8.2	8.3	−1.5	617.2	618.3	618.4	100	90	92	W 1	SW 1	W 1	10●≡	10≡	5	10.3	● n–p zeitw., ≡ I, II
13	7.4	10.0	9.2	8.9	−0.9	618.2	618.2	618.8	90	90	65	W 1	W 1	W 2	3	5	5	.	≡ zeitw.
14	10.6	12.8	13.0	12.1	2.4	617.8	618.2	617.8	60	64	70	W 3	W 2	W 3	5	3	3	.	
15	9.2	9.2	8.4	8.9	−0.8	618.2	621.2	621.4	100	100	100	W 3	W 1	W 0	7	10≡	10≡	.	≡ a–n zeitw.
16	11.8	16.2	13.5	13.8	4.2	622.8	623.6	**624.2**	69	57	52	W 0	SW 0	W 0	3	2	0	.	
17	16.0	19.6	16.0	17.2	7.7	623.5	623.5	623.5	43	44	69	W 0	W 0	W 0	0	2	3	.	
18	17.2	20.8	17.6	18.5	9.0	622.4	622.8	622.5	**29**	35	32	SW 0	E 0	E 0	0	0	1	.	
19	19.0	**22.1**	19.5	20.2	10.8	621.3	621.5	621.2	37	45	45	WSW 1	SW 0	W 2	0	0	4	.	
20	16.9	19.2	18.4	18.2	8.9	620.9	620.3	618.8	45	46	36	W 1	E 1	SE 2	1	0	1	.	
21	16.8	21.0	16.5	18.1	8.8	617.4	616.7	615.8	40	36	42	S 2	S 2	S 3	3	2	4	.	
22	12.2	14.0	7.0	11.1	1.9	614.8	**613.5**	615.8	75	78	100	S 1	S 3	W 3	10	10	10●≡	20.5	● ≡ 18½–n
23	4.0	16.2	7.2	9.1	0.0	617.7	618.4	619.2	100	62	80	W 1	W 0	E 0	10≡	5	4	.	≡ zeitw.
24	8.6	13.0	10.2	10.6	1.5	618.0	617.7	617.6	66	56	85	E 1	SW 0	W 0	3	7	10	2.0	● n (24./25.)
25	10.8	11.8	8.5	10.4	1.4	617.4	617.8	616.9	69	65	75	W 0	SW 0	W 1	10	10	5	.	
26	9.0	13.0	11.5	11.4	2.5	616.2	616.0	615.6	59	50	65	E 2	SW 0	SW 1	2	3	6	.	● 22½–n
27	6.4	6.4	5.0	5.9	−2.9	616.7	618.0	618.2	100	82	95	W 2	W 2	W 1	10●≡	6	7	25.5	● n–10½, ≡ I
28	**4.0**	9.2	6.0	6.4	−2.4	618.5	619.4	620.5	100	66	75	W 1	W 0	W 1	10≡	9	4	6.1	
29	6.2	9.2	8.0	7.8	−0.9	620.1	621.1	621.8	75	77	98	W 3	W 1	W 1	9	5	10	.	
30	11.0	14.4	8.0	11.1	2.5	619.9	618.8	617.8	45	42	82	W 1	W 2	W 3	2	5	10	11.5	
31	5.0	5.6	5.0	5.2	−3.3	616.7	617.0	617.2	100	100	71	W 2	W 1	W 1	10●≡	10≡	6	1.2	● n–7¾, ≡ n–18¼
																		Summe	
Mittel	10.0	13.0	10.8	11.7	—	618.6	618.8	618.8	71	65	74				5.2	5.5	5.9	117.7	

August 1943.
Beobachter: *P. Nogler.*

Bevers

$\lambda = 9° 53'$, $\beta = 46° 33'$,
H_b = ca. 1710 m, G = –0.23 mm.

Tag	Lufttemperatur 7³⁰	13³⁰	21³⁰	Mittel	Abweich. vom Normalst	Luftdruck 7³⁰	13³⁰	21³⁰	Relative Feuchtigkeit 7³⁰	13³⁰	21³⁰	Windrichtung und Stärke 7³⁰	13³⁰	21³⁰	Bewölkung 7³⁰	13³⁰	21³⁰	Niederschlag	Witterung
1	12.2	22.8	13.2	16.1	4.5	626.2	625.0	626.5	86	44	90	W 0	W 2	S 1	8	5	0	.	
2	11.8	23.2	14.4	16.5	5.0	627.1	626.2	626.7	88	35	68	S 0	SW 2	S 1	6	3	0	.	
3	11.8	22.6	13.8	16.1	4.6	626.6	625.0	624.8	80	36	67	S 0	W 2	S 0–1	3	7	3	4.3	
4	12.8	18.0	13.0	14.6	3.2	623.6	622.5	623.5	100	53	74	W 0	W 2	W 1	10	10	10	.	● K 6¼–7
5	10.6	21.0	7.0	12.9	1.5	623.0	622.6	622.5	88	61	88	E 0	SW 2	S 0	4	8	0	.	
6	12.0	18.7	9.1	13.3	1.9	621.8	622.2	623.0	88	84	99	SE 0	W 2	W 1–2	9	8	4	7.3	● K 15–17½
7	5.2	17.0	10.0	10.7	–0.6	624.0	623.1	624.6	94	42	66	W 1	NW 2	N 0	6	7	0	.	
8	8.0	15.2	8.0	10.4	–0.9	625.4	625.0	625.6	78	50	84	WNW 0	N 2	NW 1	8	10	3		
9	6.2	20.0	13.0	13.1	1.9	624.2	624.2	624.4	87	52	62	SW 0	W 2	NW 1	0	8	3	.	
10	9.8	20.6	9.0	13.1	1.9	625.1	624.2	624.6	82	**28**	75	S 1	W 3	W 0	0	0	0	.	
11	9.7	21.0	14.5	15.1	4.0	623.6	622.1	622.5	84	38	77	SW 0	W 2–3	SW 1–2	8	4	8	1.4	● K n (11./12.)
12	10.4	17.3	9.2	12.3	1.2	622.8	622.6	623.9	97	54	82	S 1	W 2	W 1	10	10	3	.	
13	7.7	18.5	10.6	12.3	1.3	623.8	622.6	623.9	94	43	76	E 1	SW 2	W 1	2	4	3	.	
14	9.2	20.6	11.6	13.8	2.9	623.8	623.3	624.0	90	38	81	S 1	SW 1	W 0	3	6	0	.	
15	12.8	19.4	10.0	14.1	3.2	624.2	626.2	626.7	88	34	85	S 0	W 2	W 1	0	4	6	.	
16	6.8	22.6	19.2	16.2	5.4	629.1	628.8	**630.0**	92	43	74	N 0	E 2	NW 0	8	2	0	.	
17	9.1	24.0	12.3	15.1	4.4	629.8	629.3	629.1	90	31	88	S 0	S 1	W 0	0	0	0	.	
18	11.1	**28.0**	14.2	17.8	7.1	628.8	628.6	628.6	96	31	75	S 0	S 1	S 0	0	0	0	.	
19	12.6	21.2	15.4	16.4	5.8	628.4	627.3	627.8	88	51	73	S 0	S 2	SW 1	0	6	4	.	
20	10.0	24.4	15.6	16.7	6.2	627.9	625.9	626.3	97	35	67	SW 0	SW 2	SE 1	0	6	0	.	
21	10.0	21.2	13.2	14.8	4.4	625.1	623.7	623.9	92	41	63	WSW 0	W 2	W 1	10	6	2	.	
22	12.2	19.3	12.7	14.7	4.3	622.5	622.5	622.5	85	63	78	W 0	W 2–3	SW 0	8	10	10●	5.7	●° 21–n
23	10.9	14.6	8.2	11.2	0.9	623.0	623.5	624.9	82	59	95	NW 2	W 1	NW 0	10●	10	0	0.6	● n–9¼
24	8.0	19.2	10.2	12.5	2.3	624.9	623.4	623.9	92	46	87	E 0	W 1	E 0	10	4	0	.	
25	9.2	12.6	9.3	10.4	0.3	623.6	623.2	624.1	97	78	100	NE 1	W 1	NW 1	10	10●	10●	3.1	● 9–n m.U.
26	8.4	17.8	10.0	12.1	2.1	623.2	622.1	622.5	92	47	94	W 0	S 2–3	SW 1	10	4	0	0.4	
27	10.8	13.8	7.5	10.7	0.8	622.2	621.7	625.1	98	63	88	W 0	W 3–4	NE 1	10	10	2	6.5	● n 14¼–15½
28	5.6	9.7	7.2	7.5	–2.3	624.6	625.5	626.5	97	88	100	S 0	N 1	N 0	10●	10●	6	**21.8**	● 5½–15¼
29	**4.0**	15.5	7.3	8.9	–0.8	626.2	625.6	627.0	97	46	97	NW 1	NW 2	W 0	8	5	2	.	
30	6.6	18.0	11.4	12.0	2.4	626.4	622.7	622.0	100	61	94	S 0	W 2	S 0	0	3	4	2.2	● 18–21 m U.
31	9.4	18.7	6.5	11.5	2.0	**620.9**	621.4	623.2	80	39	60	N 1	NNW 2–3	NW 1	8	4	2	.	
Mittel	9.5	19.2	11.2	13.3	—	624.9	624.3	625.0	90	49	81				5.8	5.9	6.0	Summe 52.8	

August 1943.
Beobachter: *Kapuzinerkloster.*

Sitten

$\lambda = 7° 21'$, $\beta = 46° 14'$,
H_b = 548.6 m, G = –0.11 mm.

1	17.7	27.1	22.9	22.6	3.3	716.7	713.9	715.0	86	50	63	NE 0	SW 2	NE 2	0	4	3	.	
2	20.5	30.7	23.5	24.9	5.7	716.6	713.3	714.6	67	44	57	NE 0	NNE 0	W 0	0	2	1	.	
3	20.8	**31.0**	20.8	24.2	5.0	714.9	711.9	713.4	57	36	71	NE 0	NE 3	W 3	1	3	10●	2.1	● III. n
4	17.8	25.2	20.5	21.2	2.1	714.7	714.3	713.6	97	48	60	W 1	WSW 1	W 2	10	3	4	.	● n–6
5	17.9	27.3	20.6	21.9	2.8	714.4	711.4	712.9	73	43	69	NE 0	WSW 1	W 0	1	5	7	0.0	● abds. zeitw.
6	19.6	22.9	19.9	20.8	1.8	713.3	711.7	715.9	73	47	42	N 0	W 3	WSW 2	1	8	3		
7	**13.2**	23.3	18.5	18.3	–0.7	717.5	715.6	717.4	65	44	56	NE 1	SW 2	W 1	7	2	8	.	
8	15.2	23.0	19.7	19.3	0.4	719.1	716.8	717.5	71	46	55	NNE 1	WSW 2	W 1	5	2	0	.	
9	15.8	24.8	20.2	20.3	1.5	717.7	715.3	717.3	71	50	59	NNE 1	SW 3	WSW 3	0	6	1		
10	18.0	24.8	20.4	21.1	2.3	717.6	715.4	715.3	68	46	50	N 0	WSW 1	N 0	0	0	0	.	
11	16.6	26.5	21.4	21.5	2.8	715.0	712.1	711.9	67	47	54	NNE 0	SE 1	W 1	0	1	4	1.5	● 21½–n
12	18.8	23.6	18.6	20.3	1.7	715.2	714.1	715.2	82	54	60	W 0	W 3	WSW 1	8	2	1		
13	15.5	23.8	20.5	19.9	1.3	717.5	714.6	715.6	78	54	47	NE 0	WSW 2	W 0	7	0	0	.	
14	16.5	25.9	21.4	21.3	2.8	717.1	714.2	714.7	67	48	57	NE 1	WSW 1	W 0	1	1	0	.	
15	18.0	25.3	21.4	21.6	3.2	717.4	714.1	718.5	67	53	58	NE 0	W 2	W 2	0	1	0	.	
16	16.8	27.0	22.8	22.2	3.9	**721.4**	719.0	720.0	75	50	61	N 1	W 2	W 2	0	0	0	.	
17	17.7	28.7	23.5	23.3	5.0	721.0	718.0	718.0	70	44	49	NE 1	SW 1	N 2	0	0	1	.	
18	19.6	30.4	25.0	25.0	6.8	719.2	716.2	716.7	64	42	47	NE 0	W 1	NE 2	0	1	0	.	
19	20.5	30.2	25.9	25.5	7.4	717.7	715.0	715.7	61	46	51	ENE 0	SW 2	N 2	0	2	10	.	● tr. III
20	21.8	30.2	24.0	25.3	7.3	717.0	713.7	713.7	62	47	51	NE 0	SW 2	NE 1	0	1	0	.	
21	21.9	30.7	25.3	26.0	8.0	713.3	**710.2**	710.7	53	**34**	40	NE 1	SE 2	SW 5–6	0	2	8	.	⁂ p
22	22.1	22.1	17.5	20.6	2.7	710.5	710.5	714.3	56	63	75	W 1	W 2	W 0	9	10	10●	**19.9**	● tr. p, ● 16½–n
23	15.8	21.9	18.8	18.8	1.0	716.5	715.1	715.7	90	45	54	W 0	WSW 1	NW 2	5	3	0	.	
24	13.3	23.4	18.7	18.5	0.8	716.7	712.6	714.5	84	53	61	NE 1	WSW 1	ENE 0	1	2	5	.	
25	17.2	19.9	13.9	17.0	–0.6	714.7	714.7	716.3	81	69	90	N 0	W 1	NE 2	10	10	2	2.3	● 13¾–17
26	14.4	23.5	19.1	19.0	1.4	715.3	711.7	711.5	80	47	74	NE 1	NE 0	NE 0	0	1	10●	4.7	● 20½–n
27	16.8	20.5	15.8	17.7	0.2	715.3	715.3	716.4	90	54	65	NE 1	W 3	ENE 0	10●	3	0	0.1	● n–9
28	15.3	21.0	15.4	17.2	–0.2	717.1	717.3	719.2	73	45	63	NNE 0	W 2	NE 1	10	7	0	.	
29	14.0	22.9	18.5	18.5	1.2	720.9	719.1	720.2	73	51	59	NNE 0	SW 2	W 2	9	2	1	.	
30	15.0	24.8	22.3	20.7	3.5	719.0	714.9	714.2	76	48	50	NNE 1	WSW 2	W 2	0	8	1	0.3	● n (30. 31.)
31	16.6	21.8	17.6	18.7	1.6	714.5	713.0	715.0	70	49	61	W 3	W 2	W 1	1	1	0	.	
Mittel	17.4	25.3	20.5	21.1	—	716.6	714.4	715.5	73	48	58				3.1	3.0	2.9	Summe 30.9	

λ = 8° 57′, β = 46° 0′,
H_b = 276.2 m, G = −0.01 mm

Lugano

August 1943.
Beobachter: *G. Vicari.*

Tag	Lufttemperatur 7³⁰	13³⁰	21³⁰	Mittel	Abweich. vom Normalst.	Luftdruck 7³⁰	13³⁰	21³⁰	Relative Feuchtigkeit 7³⁰	13³⁰	21³⁰	Windrichtung und Stärke 7³⁰	13³⁰	21³⁰	Bewölkung 7³⁰	13³⁰	21³⁰	Niederschlag	Witterung
1	20.4	30.0	23.4	24.6	3.2	739.1	737.9	738.4	80	52	64	N 1	SE 1	N 1	2	10	0	.	
2	20.2	30.6	24.2	25.0	3.6	739.8	739.0	738.8	78	47	60	N 1	SE 0	N 1	0	0	0	.	
3	20.2	30.2	24.8	25.1	3.8	739.8	738.1	736.7	68	46	56	NNE 1	ESE 1	N 1	1	0	5	.	
4	22.6	28.0	20.4	23.7	2.4	736.2	735.3	736.3	70	46	63	N 1	NNW 1	NW 1	9	10	0	4.8	●tr. 9–9½, ⌒ 16–16½
5	18.2	29.2	20.6	22.7	1.5	736.3	734.7	734.6	82	42	61	NNE 1	S 1	N 1	0	5	4	.	
6	20.2	29.2	18.2	22.5	1.3	735.5	**733.8**	734.5	80	47	84	N 1	S 1	N 1	5	6	5	1.4	●tr. 16, ●sch. 18½, ⌒ 19–[19½
7	19.2	28.6	21.6	23.1	2.0	736.6	736.7	736.8	36	29	36	NNE 1	SSW 1	N 1	9	0	6	.	
8	17.2	28.8	21.4	22.5	1.5	739.7	738.5	738.5	63	33	45	NNE 1	S 1	N 1	3	0	0	.	
9	16.0	29.8	21.6	22.5	1.5	738.0	736.0	736.0	66	41	53	N 1	S 1	N 1	0	0	0	.	
10	20.2	32.2	22.8	25.1	4.2	737.4	736.2	736.8	41	31	46	N 1	S 1	N 1	0	0	0	.	
11	19.8	28.2	22.4	23.5	2.7	737.7	736.4	735.8	71	45	58	N 0	S 0	N 1	8	9	1	5.2	
12	17.2	29.0	22.4	22.9	2.1	735.5	734.8	735.4	86	41	54	N 1	S 1	N 1	6	5	0	0.3	
13	19.4	25.2	20.8	21.8	1.1	738.6	737.9	737.3	87	51	73	WSW 1	SE 1	N 1	10●	9	0	1.2	●1
14	17.6	29.0	22.4	23.0	2.4	738.0	736.6	736.5	80	46	60	N 1	SE 1	N 1	0	1	0	.	
15	19.4	31.2	23.4	24.7	4.2	737.4	736.5	738.8	80	41	52	N 0	SSE 1	N 1	0	1	2	.	
16	20.2	28.0	23.8	24.0	3.5	742.3	**743.3**	743.2	65	54	69	N 1	SE 1	N 1	9	10	0	.	
17	20.2	30.6	24.8	25.2	4.8	743.0	741.6	740.9	87	50	61	NNE 1	S 1	N 1	0	10	0	.	
18	21.0	32.2	25.2	26.1	5.8	741.1	739.7	740.5	81	44	61	NNE 1	S 1	N 1	0	2	0	.	
19	21.6	32.4	24.2	26.1	5.9	741.3	739.4	739.9	80	40	61	N 1	SSE 1	N 1	0	2	0	.	
20	21.4	**32.6**	25.2	26.4	6.3	740.2	738.5	737.8	75	41	48	N 1	S 1	N 1	0	1	0	.	
21	20.4	32.4	24.8	25.9	5.8	737.9	736.1	735.7	61	36	44	N 1	E 1	N 1	5	1	3	.	
22	20.4	22.6	17.0	20.0	0.0	735.9	735.9	737.3	63	68	97	NNE 1	W 1	NNE 1	9	10●	10●	**17.2**	●° p–n m.U.
23	17.2	26.2	20.2	21.2	1.3	736.5	736.1	737.9	89	32	51	E 0	ESE 1	NNE 1	8	0	0	.	
24	16.8	27.0	22.8	22.2	2.4	739.0	737.6	737.0	75	46	70	N 1	SE 1	NNE 1	0	4	0	.	
25	18.8	18.8	18.2	18.6	−1.1	737.2	737.4	737.0	73	68	61	N 1	WNW 1	NNE 1	10	10	10	11.1	●9–12
26	15.0	27.4	20.8	21.1	1.5	737.5	736.4	735.9	75	33	58	N 1	SW 1	NNE 1	5	1	2	1.4	●sch. n (26./27.)
27	16.2	25.0	20.4	20.5	1.0	736.8	736.3	737.0	85	43	59	N 1	ESE 0	NNE 1	1	9	2	10.3	●⌒ n (27./28.)
28	15.8	18.8	16.2	16.9	−2.5	738.4	739.3	741.3	73	52	60	ESE 2	ESE 2	N 1	10●	6	0	4.1	●n–9½
29	**11.8**	25.8	17.4	18.3	−1.0	741.5	740.3	740.9	68	37	68	N 1	SSE 0	N 1	0	0	0	.	
30	14.8	26.0	19.8	20.2	1.0	741.1	738.4	735.5	78	48	68	N 1	S 1	N 1	0	10	0	.	
31	20.6	29.6	21.2	23.8	4.7	732.9	732.7	735.1	36	**14**	23	N 2	NNE 2	NNE 2	2	0	0	.	
																		Summe	
Mittel	18.7	28.2	21.7	22.9	—	738.3	737.3	737.6	72	43	59				3.6	4.3	1.6	57.0	

λ = 7° 35′, β = 47° 33′,
H_b 318 m, G = 0.11 mm.

Basel

August 1943.
Beobachter: *Astronom.-Meteorol. Anstalt.*

Tag	Lufttemperatur 7³⁰	13³⁰	21³⁰	Mittel	Abweich. vom Normalst.	Luftdruck 7³⁰	13³⁰	21³⁰	Relative Feuchtigkeit 7³⁰	13³⁰	21³⁰	Windrichtung und Stärke 7³⁰	13³⁰	21³⁰	Bewölkung 7³⁰	13³⁰	21³⁰	Niederschlag	Witterung
1	20.1	32.9	21.7	24.9	6.8	734.0	733.6	734.1	74	38	72	ESE 1	WSW 1	ESE 1	0	8	0	.	
2	21.2	33.2	23.3	25.9	7.9	735.0	733.5	732.6	71	36	72	ESE 1	ENE 1	ESE 0	1	0	0	.	
3	21.9	33.1	18.6	24.5	6.5	732.9	731.5	732.8	73	39	94	E 1	W 1	E 1	0	10	9	13.5	⌒ ● 19¼–21
4	18.0	25.0	20.0	21.0	3.1	734.9	734.5	733.6	92	49	73	SW 0	WNW 1	SSW 1	10	10	5	.	● 0¼–0¾, 5¼–7¼, ⌒ 23
5	16.8	20.9	19.1	18.9	1.1	733.3	732.5	732.8	81	74	77	ESE 1	WNW 1	SSW 1	7	10	10	0.2	● 12¼–12¾, 13¼
6	16.2	22.6	15.6	18.1	0.3	734.7	734.3	736.0	58	37	62	WSW 2	W 2	SW 1	4	3	7	0.5	⌐ a, p zeitw.
7	15.6	21.0	15.4	17.3	−0.4	737.4	737.2	738.5	85	53	92	SSW 1	WNW 1	W 0	9	10	10	0.2	● 4¾–6¾ m U., ⌒ 19¼
8	15.0	24.2	18.5	19.2	1.0	738.8	737.9	737.0	85	41	61	ESE 0	WSW 1	WSW 1	10	6	1	.	△ 1, ⊕ 21
9	19.3	22.9	17.1	19.8	2.2	736.4	736.1	738.1	68	51	86	WSW 1	WNW 2	WSW 1	10	9	10	.	●° 20½, ⌐ 13¼
10	17.6	25.4	18.1	20.4	2.9	738.1	736.7	735.6	80	40	71	WSW 1	W 1	WSW 1	7	0	0	.	
11	17.4	27.6	18.3	21.1	3.7	734.1	732.5	733.0	75	44	88	ESE 1	WNW 1	WSW 1	2	8	10●	5.3	● 19¼–20¾ m.U., ⌒ 19¼, [⌒ 21–24
12	15.6	22.4	15.0	17.7	0.4	736.6	737.1	736.8	75	44	72	WNW 0	NW 1	WSW 1	8	5	0	.	
13	13.4	24.7	19.7	19.3	2.0	737.0	735.7	735.5	75	41	52	SE 1	WSW 2	SSW 1	0	1	10	.	
14	20.0	28.4	20.2	22.9	5.7	734.8	733.7	734.0	59	45	70	NNW 1	NW 2	WSW 1	4	2	2	.	
15	20.5	21.0	15.4	19.0	1.9	735.4	738.0	740.4	67	63	73	WSW 2	WSW 1	WSW 1	10	10	1	.	●° 8¾–14¼ zeitw., ⌐ 6¾
16	13.4	27.5	17.0	19.3	2.3	**742.1**	740.8	740.5	82	38	62	ENE 1	SW 1	SSW 1	1	0	0	.	
17	15.0	31.7	19.2	22.2	5.2	740.5	738.6	738.2	71	31	76	ESE 0	NE 1	SW 1	0	0	1	.	△° 1
18	18.8	34.1	24.2	25.7	8.8	737.5	736.3	735.1	66	25	49	ESE 1	ENE 1	E 1	0	0	0	.	
19	19.9	**36.8**	25.3	27.3	10.5	735.4	734.1	733.8	60	27	62	NE 1	ENE 1	E 1	0	0	0	.	
20	22.2	35.0	24.5	27.2	10.5	735.1	733.3	731.7	64	21	53	ENE 1	NW 1	E 1	1	0	0	.	
21	20.4	34.8	24.6	26.6	10.0	731.3	**728.8**	729.7	67	21	42	ESE 1	SE 1	WSW 2	0	1	0	1.0	● 19¼–19½
22	19.0	21.5	14.4	18.3	1.8	731.6	731.1	735.5	75	67	96	WNW 1	W 1	S 1	10	10	10●	**19.1**	● 10¼, 14½–22¼
23	15.2	24.4	14.2	17.9	1.4	737.4	737.2	736.0	85	38	84	SW 1	WNW 1	SW 1	0	4	0	.	
24	**13.2**	23.2	16.4	17.6	1.2	736.9	735.1	735.0	82	44	77	ESE 1	NE 1	SSW 1	0	9	0	.	△ 1, ⊕ 13
25	14.1	22.6	15.2	17.3	1.0	734.8	734.7	735.6	84	54	89	ESE 1	WSW 1	ESE 1	9	10	0	.	△ 1
26	14.1	27.1	18.4	19.9	3.7	733.9	731.6	730.3	86	37	87	SE 1	ESE 1	ESE 1	1	0	10	3.	● 18½–22¾ m.U., ⌐ 21½
27	15.3	19.8	14.7	16.6	0.5	735.9	737.4	738.9	79	51	77	WSW 1	WSW 2	SSW 1	10	8	9	.	●° 8¾
28	14.0	22.3	14.0	17.1	1.1	738.6	738.5	739.2	78	34	73	E 0	W 1	SSW 1	3	0	0	.	
29	16.7	19.7	16.0	17.5	1.5	739.2	740.1	740.3	70	65	81	WSW 1	WSW 1	SSW 1	10	5	6	.	
30	14.6	24.2	19.4	19.4	3.3	737.5	734.5	734.0	83	57	74	ESE 1	WSW 1	WSW 1	4	10	0	0.1	● 19¼
31	14.0	20.7	**13.2**	16.0	0.2	736.3	736.3	736.7	77	70	81	WSW 1	NW 1	SSW 1	4	8	4	.	
																		Summe	
Mittel	17.1	26.2	18.3	20.5		736.1	735.3	735.5	75	44	74				4.4	5.1	3.7	42.9	

August 1943.
Beobachter: *Observatorium.*

Säntis

$\lambda = 9° 20'$, $\beta = 47° 15'$,
$H_b = 2500.1$ m, $G = -0.27$ mm.

Tag	Lufttemperatur 7³⁰	13³⁰	21³⁰	Mittel	Abweich. vom Normalst	Luftdruck 7³⁰	13³⁰	21³⁰	Relative Feuchtigkeit 7³⁰	13³⁰	21³⁰	Windrichtung und Stärke 7³⁰	13³⁰	21³⁰	Bewölkung 7³⁰	13³⁰	21³⁰	Niederschlag	Witterung
1	11.9	14.8	11.5	12.7	7.3	569.2	569.8	570.3	47	62	75	W 2	SW 1	E 1	6	9	2	.	
2	13.0	15.8	12.4	13.7	8.3	570.3	570.2	570.0	47	37	33	ESE 1	SW 2	WSW 2	0	1	2	.	
3	13.4	15.4	10.2	13.0	7.6	569.0	568.7	567.4	27	33	59	WSW 2	SW 1	SW 3	1	7	6	.	
4	6.7	6.8	5.8	6.4	1.1	566.7	566.5	566.8	100	92	100	SE 2	W 2	WNW 2	10=	10	10=	0.4	● 5¾–13¼ ztw., ≡ n–n m.U.
5	7.0	11.2	6.8	8.3	3.0	565.8	566.0	565.7	65	56	100	WSW 2	WSW 2	W 3	3	9	10=	9.9	●sch. 17¼, ≡ n–6¼, 17–n
6	4.4	2.6	0.8	2.6	−2.7	564.8	564.3	565.5	100	100	100	W 2	W 3	WNW 3	10=●	10=	10=	3.8	●° n–8½, ≡ n–n, ⸗ 16½
7	0.0	2.6	2.1	1.6	−3.7	566.0	567.0	567.7	100	100	100	W 3	W 2	WNW 2	10=	10=	10=	6.4	✶ 9¾–16½ m.U., ≡ n–n m.U.
8	1.2	4.3	4.5	3.3	−2.0	567.6	568.1	568.0	100	75	100	W 2	W 3	W 4	10=	9	10=	1.2	≡ n–10¾, 17¼–n, ⸗ III
9	3.0	4.3	4.4	3.9	−1.3	566.0	566.3	567.5	100	100	100	W 4	W 4	W 4	10=	10=●	10=●	4.8	● 12½–n ztw., ⸗ ≡ n–n m.U.
10	2.4	7.2	6.5	5.4	0.2	567.4	568.6	568.1	100	37	94	W 3	WSW 3	W 3	10=	0	4	.	≡ n–8¼ m.U.
11	7.7	10.6	6.9	8.4	3.2	566.4	566.6	565.3	29	47	99	W 3	WSW 2	W 4	3	3	6	34.8	⌞ 19½–n, ⸗ III
12	3.6	3.8	3.4	3.6	−1.6	565.6	566.8	567.0	100	96	100	W 3	W 2	W 2	10=	10=	10=	6.4	● 8½–12 m.U., ≡ n–n m.U.
13	2.6	6.0	4.4	4.3	−0.8	566.3	567.0	567.1	100	40	72	W 2	WSW 2	W 4	10=	2	8	.	≡ n–9, 16½–18
14	4.4	9.0	7.8	7.1	2.0	566.4	567.3	567.4	93	64	85	W 4	WSW 3	W 4	9	3	1	.	⸗ a, n
15	5.9	6.5	4.6	5.7	0.6	566.8	568.9	570.7	81	100	100	WSW 4	W 3	W 2	9	10=	4	1.7	● 13, ≡ 7½–21, ⸗ a
16	7.8	13.0	10.5	10.4	5.4	571.6	573.1	**573.8**	2	16	25	W 3	WSW 2	WSW 2	6	1	0	.	
17	12.2	15.4	10.6	12.7	7.7	573.1	573.4	572.7	24	30	78	WSW 2	SW 2	W 3	0	1	1	.	
18	11.7	15.7	12.8	13.4	8.5	572.1	573.0	572.4	17	26	25	W 2	SW 1	WSW 1	1	1	0	.	
19	13.4	**17.7**	13.4	14.8	9.9	571.5	572.1	571.8	44	35	42	WSW 2	SSW 1	SW 1	1	1	1	.	
20	15.1	16.8	13.0	15.0	10.2	571.1	570.7	569.6	36	38	41	SSW 1	SW 1	S 2	1	1	1	.	
21	12.0	15.4	10.8	12.7	7.9	567.9	567.4	566.6	39	35	38	SSW 3	SW 3	S 4	3	2	1	.	⸗ III
22	10.2	10.8	4.0	8.3	3.6	565.4	565.0	565.4	47	39	100	S 3	S 4	W 3	9	10	10=●	19.1	≡ ● 19¾–n, ⸗ p
23	1.4	4.0	2.4	2.6	−2.9	565.9	566.8	567.6	100	93	92	NE 1	SW 1	SSW 1	10=●	10	0	12.1	● n–17¼, ✶ fr., ≡ n–19
24	7.0	11.6	5.0	7.9	3.3	566.9	567.1	567.4	60	57	88	SW 1	SSW 1	SW 2	2	7	10	0.5	≡ 15–19 m.U.
25	6.0	3.8	3.4	4.4	−0.1	566.6	566.6	567.3	60	88	68	WSW 2	W 2	NNW 2	10	10	4	4.3	● n–6½, 12½–15
26	6.0	10.8	7.2	8.0	3.6	565.5	565.5	564.8	60	54	61	ESE 2	SW 2	SW 2	1	2	3	14.2	
27	3.9	1.1	1.1	2.0	−2.4	565.2	565.9	567.4	100	100	100	W 2	WNW 4	W 2	10=	10=	10=	3.9	● n–7, ≡ n–n, ⸗ II
28	0.8	2.6	−0.2	1.1	−3.2	566.6	567.2	568.4	98	86	96	N 1	NNW 1	W 2	10	10=	1	0.2	≡ n–7¼, 11–17½ m.U.
29	0.6	3.6	3.6	2.6	−1.6	567.7	568.9	569.9	100	94	100	W 4	W 4	W 4	10=	10=	10=	1.1	≡ ⸗ n–n m.U.
30	6.5	10.5	5.6	7.5	3.4	568.8	567.7	564.5	44	36	100	W 3	W 3	WNW 5	1	10	10=	16.3	≡ 19–n, ⸗ p–n, ● n
31	0.5	1.2	**−0.4**	0.4	−3.6	**564.0**	564.5	565.7	100	100	100	WNW 3	WNW 3	NW 1	10=	10=	10=	2.4	≡ n–n
																		Summe	
Mittel	6.5	8.9	6.3	7.2	—	567.5	568.0	568.1	69	63	80				6.3	6.4	5.6	143.5	

August 1943.
Beobachter: Frl. *F. Lombardi.*

St. Gotthard (Hospiz)

$\lambda = 8° 34'$, $\beta = 46° 33'$,
$H_b = 2095.7$ m, $G = -0.25$ mm.

Tag	Lufttemperatur 7³⁰	13³⁰	21³⁰	Mittel	Abweich. vom Normalst	Luftdruck 7³⁰	13³⁰	21³⁰	Relative Feuchtigkeit 7³⁰	13³⁰	21³⁰	Windrichtung und Stärke 7³⁰	13³⁰	21³⁰	Bewölkung 7³⁰	13³⁰	21³⁰	Niederschlag	Witterung
1	13.8	17.6	12.6	14.7	6.2	598.5	597.8	598.8	50	34	75	SE 1	S 0	S 0	5	5	5	.	
2	13.2	19.0	14.0	15.4	6.9	598.8	598.6	598.9	34	28	24	SW 0	S 1	S 1	5	5	0	.	
3	12.0	15.2	13.0	13.4	4.9	598.4	597.5	596.3	38	31	31	S 0	SE 0	SE 1	0	5	5	11.4	● ⌞ 22–n
4	10.4	11.0	7.0	9.5	1.1	595.3	595.1	595.2	42	40	72	S 1	N 0	N 0	10	5	5	9.8	● 8¾–11¼, ⌞ 15–15½
5	6.8	15.0	10.4	10.7	2.3	594.5	595.3	594.6	45	45	74	NW 1	S 1	SW 1	0	10	10●	0.8	● 20¼–n
6	9.2	12.7	4.8	8.9	0.5	593.8	593.2	594.8	75	45	100	NW 0	S 0	N 2	5	8	10=	0.3	≡ 13¾–n
7	2.6	7.4	4.8	4.9	−3.5	594.7	595.5	597.6	100	47	100	N 2	N 2	N 2	5	5	10=	.	≡ 20–n
8	4.2	12.0	7.4	7.9	−0.4	596.8	596.8	597.4	100	40	100	N 1	N 1	N 1	5	2	0	.	
9	6.2	13.8	7.4	9.1	0.8	596.1	595.8	596.8	64	22	100	NW 1	NE 0	N 2	0	5	10=	.	≡ 17–n
10	5.8	14.6	9.0	9.8	1.5	596.9	597.0	596.7	64	8	90	N 1	N 1	N 1	0	0	0	.	
11	9.4	15.4	11.4	12.1	3.9	595.7	595.5	594.0	35	27	45	S 0	S 1	S 1	1	5	5	5.4	⌞ n (11./12.)
12	7.0	9.2	5.0	7.1	−1.1	594.7	595.4	595.0	85	75	78	N 1	N 1	N 1	5	5	0	.	
13	5.8	16.0	10.4	10.7	2.6	595.8	595.6	595.9	75	38	67	W 0	S 0	N 1	0	4	0	.	
14	12.0	17.4	12.0	13.8	5.7	596.0	596.2	595.9	28	14	48	N 0	N 1	N 0	0	0	0	.	
15	11.0	15.0	9.2	11.7	3.7	596.7	597.5	599.3	15	31	100	W 0	N 1	N 1	0	3	10=	.	≡ 18½–n
16	10.2	18.8	12.4	13.8	5.9	600.7	601.6	**602.5**	43	18	21	W 0	S 0	N 0	3	0	0	.	
17	11.0	**21.2**	14.8	15.7	7.8	601.5	601.3	601.2	47	11	37	SW 0	S 0	N 1	0	0	0	.	
18	13.4	19.8	15.6	16.3	8.5	600.7	600.5	600.8	40	11	27	N 0	N 0	N 0	0	3	0	.	
19	13.8	21.0	14.6	16.5	8.8	600.3	600.2	599.9	80	21	28	S 0	S 0	S 0	8	5	0	.	
20	12.0	17.0	13.3	14.1	6.5	599.5	598.9	597.7	45	26	24	S 0	S 0	N 0	0	5	0	0.3	●° 11¼–12¼
21	12.8	15.2	13.0	13.7	6.1	597.2	596.5	595.9	39	25	27	S 0	S 0	SW 1	5	5	5	.	
22	11.4	7.8	6.2	8.5	1.0	593.8	593.9	594.2	39	84	100	E 2	E 3	E 2	8	10●	10●	58.6	● 8½–n
23	4.2	6.8	6.0	5.7	−1.7	594.4	595.3	596.1	100	64	100	N 2	N 2	N 1	10=	5	10=	.	≡ n–9¾, 20–n
24	7.8	15.0	9.6	10.8	3.5	595.9	595.8	596.2	60	40	74	W 0	S 1	S 0	5	2	3	0.4	● n (24./25.)
25	8.6	6.4	5.5	6.8	−0.4	595.1	595.6	595.4	78	100	73	S 0	S 0	N 1	10	10●	0	14.6	● 10¾–15½
26	6.2	10.6	8.3	8.4	1.2	594.1	594.7	594.2	43	45	67	N 0	S 0	S 0	0	8	5	4.2	
27	6.2	7.2	4.8	6.1	−1.0	594.2	594.8	596.1	100	71	100	N 1	NE 1	N 1	10=	5=	10=	1.1	●sch. zeitw., ≡ n–n
28	3.8	5.0	**3.2**	4.0	−3.0	595.1	596.1	596.7	100	100	89	N 1	N 1	N 0	10=	10=	0	0.5	≡ n–16
29	4.8	11.0	6.8	7.5	0.6	597.3	598.0	597.0	37	26	100	N 1	N 1	N 1	5	3	10=	.	≡ 18½–n
30	7.0	15.6	10.0	10.9	4.1	597.8	596.7	594.3	41	21	55	N 0	S 0	S 0	0	5	5	4.4	● n (30./31.)
31	4.0	5.4	3.6	4.3	−2.4	**592.7**	593.5	594.3	100	90	100	N 2	N 2	N 2	10=	10=	10=	.	≡ n–n m.U.
																		Summe	
Mittel	8.6	13.4	9.2	10.4	—	596.6	596.7	596.8	59	41	69				4.0	4.9	4.5	111.8	

$\lambda = 7° 26'$, $\beta = 46° 57'$
$H_b = 572.2$ m, $G = 0.00$ mm.

Bern

September 1943.
Beobachter: *Tellur. Observatorium.*

Tag	Lufttemperatur 7³⁰	13³⁰	21³⁰	Mittel	Abweich. vom Normalst	Luftdruck 7³⁰	13³⁰	21³⁰	Relative Feuchtigkeit 7³⁰	13³⁰	21³⁰	Windrichtung und Stärke 7³⁰		13³⁰		21³⁰		Bewölkung 7³⁰	13³⁰	21³⁰	Niederschlag	Witterung
1	10.0	19.1	14.1	14.4	−1.2	713.4	712.3	715.7	94	52	86	E	0	NE	1	SW	0	0	0	0	.	△ I
2	11.8	21.5	15.9	16.4	0.9	712.5	712.5	713.1	94	**45**	86	SE	0	W	2	W	0	8	8	0	.	△ I
3	13.5	19.0	14.6	15.7	0.4	713.2	713.7	713.6	95	69	100	NE	0	NE	1	NE	0	9	10●	10	5.1	● 12¼, 13½, 19½–20,
4	13.0	17.3	12.5	14.3	−0.9	713.8	714.1	714.2	96	65	71	NE	1	NNE	2	N	0	9	6	0	.	● 6–6¾ [⌐ 18¾–19¼
5	9.5	19.5	14.0	14.3	−0.8	714.1	713.3	713.6	97	51	85	NE	0	N	1	SE	0	0	3	0	.	△ I
6	10.8	22.2	15.7	16.2	1.3	714.2	714.2	715.2	94	50	95	S	0	S	1	SE	0	0	7	0	0.0	●° 14¾–15¾ m.U., △ I
7	11.8	21.5	16.7	16.7	1.9	715.5	714.6	713.4	98	62	93	SE	0	NE	1	S	0	7	3	1	13.9	△ I
8	15.6	21.5	16.6	17.9	3.2	714.1	714.1	714.3	100	60	93	SW	1	WNW	2	S	0	10●	6	6	0.6	● 3¼–8¾ m.U., T 6¼
9	13.3	22.1	18.4	17.9	3.4	713.7	712.6	712.3	100	66	93	SE	0	N	1	SW	1	7	8	10	0.8	● 19¾–20½
10	16.8	21.7	18.7	19.1	4.7	712.6	712.3	712.2	100	62	94	SW	0	S	0	SE	1	9	8	10	0.6	● 2¼–6¼, 20½–21 m.U., ψ ztw.
11	16.0	22.6	19.1	19.2	5.0	713.3	713.0	712.0	96	68	83	SE	0	SE	0	ESE	1	9	3	10	1.2	● 1¾–2, 22–22½
12	15.8	24.2	19.4	19.8	5.7	712.0	710.9	710.2	99	60	87	SE	0	E	0	SE	0	9	9	10	.	● 4½, 5, ⊕ II, ψ III
13	17.1	**25.6**	17.2	20.0	6.1	710.6	710.6	711.1	96	61	100	W	0	N	0	NE	1	10	9	10	1.8	● 15½–23¾ m.U., △ I
14	16.8	19.9	16.4	17.7	3.9	711.5	711.5	713.3	97	92	99	W	1	E	0	W	0	8	10	10	15.1	● 1¼–23 zeitw.
15	14.7	16.8	15.4	15.6	2.0	716.0	718.0	719.4	100	87	99	SE	0	N	0	NW	0	10	10●	10	7.3	● 1¼–12½ m.U., 18½–22¾ m.U.
16	13.3	18.2	14.2	15.2	1.7	**720.2**	719.5	717.5	100	71	97	SW	0	NE	1	NE	0	4	5	1	.	● 0¾–4½ m.U.
17	11.4	21.1	16.6	16.4	3.1	715.2	712.8	712.0	100	76	99	W	0	NE	1	W	1	10	2	10●	4.0	● 18¼–22½ m.U., ⌐ 18¾, ≡ n-8
18	16.3	14.1	14.1	15.0	1.8	711.1	712.6	715.0	100	96	98	S	0	W	1	W	0	9	10●	10	**30.7**	● 7, 10½–19½ m.U., ⌐ 11¾–13¼
19	13.2	16.6	14.6	14.8	1.8	715.8	715.6	714.7	98	82	100	NE	1	NE	1	SE	0	9	10	10●	9.7	● 19¾–n m.U., △ I
20	12.1	14.9	11.0	12.7	−0.2	713.6	715.6	714.9	94	49	81	WSW	2	WSW	3	SE	0	10	6	7	0.6	● n–8½ m.U.
21	9.5	14.8	11.2	11.8	−0.9	714.3	711.4	709.5	95	72	99	S	0	NW	1	NE	0	10	10	6	5.4	
22	10.5	12.9	10.2	11.2	−1.3	708.0	709.5	712.3	100	100	100	N	0	NE	0	NE	2	10●	10●	10	23.1	● 2¾–21¼ m.U.
23	7.8	12.7	12.2	10.9	−1.5	714.2	716.0	716.6	98	80	97	NNE	2	S	0	W	1	10	9	10	.	
24	11.4	15.7	14.0	13.7	1.5	716.5	715.5	713.6	99	81	98	SW	0	NW	0	SW	0	10	3	2	0.6	
25	13.0	13.4	11.6	12.7	0.6	710.8	709.2	**706.0**	100	88	100	SE	0	WSW	2	S	0	9	10●	10	17.2	● 6¼–n zeitw.
26	8.5	7.1	6.9	7.5	−4.4	707.9	708.8	710.4	96	85	91	W	1	WSW	2	SE	1	10●	10●	10	3.5	● n–16½ m.U., ●° 21¼
27	4.6	10.2	6.4	7.1	−4.6	711.2	712.0	714.3	100	72	93	N	0	NNE	2	N	1	10≡	6	0	.	≡ n–8½
28	**3.5**	11.2	7.4	7.4	−4.1	714.1	711.0	708.4	100	58	93	SE	0	N	0	NE	0	10≡	5	6	.	≡ n–9½
29	7.1	8.8	8.2	8.0	−3.3	708.6	710.3	713.3	89	85	99	E	2	N	1	N	0	10	10	10	1.6	● 8¼–10½, 17¼–21 m.U.
30	7.2	12.7	10.7	10.2	−0.9	714.7	714.6	715.8	100	65	89	S	0	NE	1	SE	0	10	8	10	.	
Mittel	11.9	17.3	13.8	14.3	—	713.2	713.1	713.3	98	70	93							8.2	7.1	6.6	Summe 141.9	

$\lambda = 6° 57'$, $\beta = 47° 0'$,
$H_b = 487.3$ m, $G = 0.02$ mm.

Neuchâtel

September 1943.
Beobachter: *Observatorium.*

Tag	7³⁰	13³⁰	21³⁰	Mittel	Abweich. vom Normalst	7³⁰	13³⁰	21³⁰	7³⁰	13³⁰	21³⁰	7³⁰		13³⁰		21³⁰		7³⁰	13³⁰	21³⁰	Niederschlag	Witterung
1	12.7	24.4	16.6	17.9	1.4	720.8	719.7	719.0	79	**38**	56	NE	2	SE	1	N	0	0	0	0	.	
2	12.5	24.0	16.9	17.8	1.4	720.0	719.8	720.6	88	50	67	E	1	SW	1	N	0	7	7	1	.	
3	15.7	20.6	17.5	17.9	1.6	720.7	721.1	721.2	85	63	72	E	0	S	1	NW	1	9	8	7	7.1	● ⌐ n (3./4.)
4	13.5	20.2	13.8	15.8	−0.4	721.3	721.5	721.4	98	55	71	N	1	NE	2	NE	1	10	6	0	.	
5	11.7	21.8	16.0	16.5	0.4	721.7	721.0	720.9	86	51	59	E	1	SE	1	N	0	0	1	0	.	
6	11.8	21.0	17.6	16.8	0.8	721.8	721.8	722.8	87	54	77	E	0	SE	1	N	0	0	8	3	0.2	●° 14
7	14.6	23.4	18.2	18.7	2.9	723.2	722.1	720.7	93	57	73	W	0	S	0	NE	0	2	1	0	4.4	
8	16.3	23.0	17.0	18.8	3.1	721.4	721.5	721.8	98	63	79	S	0	S	2	N	0	10●	5	5	2.3	● 2¾–10, ⌐ seit 2¾
9	14.3	23.0	18.4	18.6	3.0	721.1	720.2	719.8	94	62	82	E	1	SE	1	NW	0	1	6	6	0.3	●° 19¼, n
10	17.1	25.3	19.3	20.6	5.2	719.8	719.7	719.3	93	55	76	E	0	SW	1	SW	0	7	5	5	.	
11	17.4	24.9	19.4	20.6	5.3	720.8	720.2	719.1	92	59	86	E	0	S	1	N	1	10	3	10●	8.8	● 19¼–n, T abds.
12	17.3	24.6	19.0	20.3	5.1	719.4	718.3	717.6	97	66	84	NW	0	S	1	S	0	7	9	10	.	●sch. 7, ψ III
13	18.0	**26.5**	18.4	21.0	6.0	718.0	717.9	718.4	91	55	88	SE	0	S	1	NW	0	10	8	7	1.0	●° 15–n zeitw.
14	16.5	22.4	17.1	18.7	3.8	718.7	718.5	720.6	98	68	98	NE	1	E	1	SW	1	5	10	10●	**34.2**	● 14–n m.U.
15	15.5	18.1	14.2	15.9	1.2	724.2	725.6	726.9	97	87	95	W	1	W	0	NW	1	10	10●	10●	4.8	● n–n m.U.
16	13.7	22.8	17.4	18.0	3.4	**727.8**	726.9	724.9	98	63	76	NE	1	E	2	E	2	1	2	0	.	
17	14.1	20.1	17.2	17.1	2.7	722.6	720.3	719.0	95	76	94	E	0	E	1	NW	0	10	7	10	5.2	● ⌐ 18¼–19, ● n
18	16.2	17.4	15.5	16.4	2.2	718.4	720.0	722.3	98	93	73	E	0	SW	1	NW	2	6	10	10	3.4	● n–n m.U.
19	14.0	16.4	14.6	15.0	0.9	723.4	723.4	722.1	94	81	94	NE	0	E	1	N	1	10	10	10●	5.7	● 19¾–n
20	10.5	17.8	12.8	13.7	−0.2	720.7	723.0	722.3	73	45	58	W	4	SW	3	W	1	10●	1	5	.	
21	11.8	15.1	11.4	12.8	−0.9	719.6	718.7	716.7	81	71	92	W	0	SW	1	W	0	10	10	5	4.7	
22	11.8	13.2	11.8	12.3	−1.3	715.9	717.0	719.6	97	98	98	S	0	SE	1	NE	2	10●	10●	10●	20.9	● 4–n
23	9.7	15.2	12.7	12.5	−0.9	721.8	724.0	724.4	88	76	95	NE	2	NW	1	NE	0	10	9	10	.	
24	12.0	18.7	14.4	15.2	2.0	723.9	723.1	721.2	95	74	97	SW	1	S	1	SW	0	10	2	0	25.2	● 21½–n, ⌐ n
25	14.5	14.0	12.6	13.7	0.7	718.0	716.6	**713.3**	99	94	98	NE	0	SW	1	W	0	10	10●	10	14.8	● n–n m.U.
26	9.1	8.2	7.8	8.4	−4.4	715.2	716.3	717.7	87	85	71	W	1	W	1	W	1	10●	10	0	1.0	● n–a m.U.
27	**4.5**	14.3	7.0	8.6	−4.0	719.0	719.7	722.2	95	60	76	N	1	E	2	N	0	4	7	1	.	
28	4.9	13.1	9.9	9.3	−3.1	722.0	718.9	715.9	95	69	81	NE	1	S	1	NE	1	1	2	10	.	
29	8.3	10.4	8.2	9.0	−3.2	716.5	718.1	721.1	82	83	97	E	1	E	1	NE	0	10●	10	10	2.5	● 7½–n m.U.
30	8.6	15.1	11.9	11.9	−0.1	722.5	722.2	723.4	99	67	86	NE	0	S	1	NE	1	10	8	10	.	
Mittel	13.0	19.2	14.8	15.7	—	720.7	720.6	720.5	92	67	82							7.0	6.5	6.0	Summe 146.5	

September 1943.
Beobachter: Frl. *H. Nager.*

Altdorf

$\lambda = 8° 39'$, $\beta = 46° 53'$,
$H_b = 456.3$ m, $G = -0.05$ mm.

Tag	Lufttemperatur 7³⁰	13³⁰	21³⁰	Mittel	Abweich. vom Normalst	Luftdruck 7³⁰	13³⁰	21³⁰	Relative Feuchtigkeit 7³⁰	13³⁰	21³⁰	Windrichtung und Stärke 7³⁰	13³⁰	21³⁰	Bewölkung 7³⁰	13³⁰	21³⁰	Niederschlag	Witterung
1	9.5	19.0	14.8	14.4	−1.6	723.5	721.7	721.7	90	49	75	NE 0	NW 0-1	NE 0	0	0	0	.	
2	11.2	21.3	16.1	16.2	0.3	722.2	721.6	723.4	89	46	85	S 0	NE 0	NW 0	3	7	8	.	
3	14.2	21.0	14.9	16.7	0.9	722.8	722.9	723.8	92	51	95	W 0	W 3	NW 0	8	10	10	18.1	● seit 14
4	14.3	18.4	12.8	15.2	−0.5	723.4	723.6	724.4	94	50	85	NE 0	W 0-1	E 0	9,	8	4	0.2	, l
5	9.7	22.3	13.1	15.0	−0.6	723.8	723.6	723.8	89	46	80	W 0	SE 0	NW 0	0	2	0	.	
6	11.0	20.8	14.8	15.5	0.0	723.7	723.7	725.6	83	44	85	S 0	NW 0-1	NW 0	0	6	5	.	
7	12.6	23.5	15.2	17.1	1.7	725.3	724.2	723.4	90	60	80	NW 0	NW 0-1	NW 0	3	4	6	2.1	● n (7./8.)
8	15.5	22.5	16.7	18.2	2.9	723.1	723.7	724.4	93	61	90	E 0	NW 0-1	NW 0	10	7	10	3.3	
9	13.2	21.3	18.1	17.5	2.3	718.7	722.1	721.7	92	55	85	SE 0	NW 1	NW 0-1	0	6	9	.	
10	17.7	20.0	17.4	18.4	3.3	722.4	722.5	722.2	84	77	94	NE 0	NW 1	NW 0	10	10●	10	3.3	● p-n
11	16.5	22.4	18.3	19.1	4.1	723.0	722.6	722.0	90	59	85	W 0	NW 0	NW 0	9	8	10	0.6	●° 20½
12	17.8	23.8	23.1	21.6	6.7	721.6	720.3	720.3	85	57	43	E 0	NW 0-1	SE 1	6	7	8	.	
13	21.4	**30.3**	23.3	25.0	10.3	719.6	718.5	720.8	45	32	50	E 0-1	SW 0	NW 1	7	7	8	.	
14	20.5	28.7	19.4	22.9	8.3	721.3	720.0	722.2	65	**30**	67	NE 0	S 1	SE 0-1	8	5	10●	15.7	●sch. seit 17½
15	16.5	18.4	16.9	17.3	2.8	726.7	727.9	729.3	90	86	92	S 0	S 0	SE 0	10●	10●	10●	13.4	● n-n m.U.
16	16.0	19.5	14.7	16.7	2.3	**730.0**	729.7	727.8	90	63	90	NW 0	NW 0	NW 0	10,	10	2	8.4	, l
17	14.3	20.0	20.7	18.3	4.1	724.7	722.6	720.4	93	67	61	N 0	NW 0	NW 0	7	4	8	0.7	
18	16.7	22.3	15.7	18.2	4.1	720.5	719.9	724.8	86	47	92	E 0-1	NW 1-2	NW 0	10	5	10	1.9	
19	15.2	18.0	15.9	16.4	2.4	725.7	725.4	725.0	93	69	93	NW 0	NW 1	NW 0	10●	8	10●	30.9	, l
20	14.3	16.4	11.7	14.1	0.3	721.6	724.1	725.0	91	51	80	W 1	SE 0-1	NW 0	10●	3	4	6.0	
21	10.5	17.5	13.3	13.8	0.1	721.8	720.4	719.0	86	46	86	E 0	NW 1	NW 0	10	8	10	0.8	
22	13.7	17.2	14.4	15.1	1.6	716.8	719.1	721.8	84	61	94	W 0	NW 0-1	NW 0	6	10	10●	3.6	● 17½-n
23	12.3	15.2	11.8	13.1	−0.2	723.9	726.0	726.4	92	71	92	NW 0	NE 0	NE 0	10	10	0	.	
24	12.0	17.4	14.4	14.6	1.4	726.4	725.1	723.7	94	72	91	NW 0	NW 0-1	NW 0	10	1	4	0.4	≡ a
25	13.1	19.5	14.0	15.5	2.5	719.7	718.0	**714.6**	91	64	89	NW 0	NW 0	NW 0	9	10	10●	**31.0**	● III
26	10.4	10.0	7.5	9.3	−3.5	717.1	717.3	721.1	67	64	90	NW 1	NW 1	N 0	10●	10●	0	4.5	● n-p
27	**7.0**	11.9	9.3	9.4	−3.3	721.2	722.1	724.5	92	54	87	NE 0	NW 0	NW 0	10	10	10	.	
28	8.8	12.9	10.0	10.6	−1.9	723.8	720.3	718.6	92	50	83	N 0	NW 1	NW 0	8	7	10	6.4	
29	8.9	11.9	9.3	10.0	−2.3	718.3	719.8	723.6	93	64	89	W 0	NW 0	NW 0	10,	10	10	0.7	, l
30	9.9	14.3	12.0	12.1	0.0	724.4	724.2	725.8	90	54	87	NE 0	NW 1	NW 0	10	6	10	.	
																		Summe	
Mittel	13.5	19.3	15.0	15.9	—	722.6	722.4	723.0	87	57	83				7.4	7.0	7.2	152.0	

September 1943.
Beobachter: *Observatorium.*

Genf

$\lambda = 6° 9'$, $\beta = 46° 12'$,
$H_b = 405.0$ m, $G = -0.03$ mm.

1	14.0	20.0	17.0	17.0	0.1	727.5	726.5	725.6	95	49	70	E 1	NNE 1	E 0	1	0	0	.	
2	13.4	25.2	19.0	19.2	2.4	727.0	726.7	727.0	90	**43**	81	E 0	SSE 1	NNE 1	5	5	0	.	
3	15.8	21.4	18.8	18.7	2.0	726.6	727.7	727.7	83	65	73	E 0	NNE 1	NE 1	3	9	0	.	
4	15.2	21.2	17.6	18.0	1.4	727.8	727.4	727.8	85	51	63	E 0	N 1	NE 1	5	3	0	.	
5	12.4	17.6	16.0	15.3	−1.2	728.5	727.6	727.6	76	74	71	E 0	NNE 1	E 0	0	1	0	.	
6	12.2	23.4	18.5	18.0	1.6	729.6	728.2	729.2	78	57	78	ESE 0	NNE 1	NE 0	0	8	0	.	
7	14.4	22.1	19.4	18.6	2.3	729.8	728.5	727.3	84	58	76	E 0	N 1	NNE 1	2	1	0	8.7	● K n (7./8.)
8	17.0	**25.6**	19.9	20.8	4.7	728.4	727.9	728.0	96	50	86	NE 0	W 1	NE 0	10	4	7	.	
9	16.2	22.0	19.0	19.1	3.1	727.7	726.7	726.4	88	67	83	ESE 0	NNE 1	E 0	9	8	10	0.1	●tr. 18¼, ●°sch. n
10	18.0	23.5	20.8	20.8	4.9	726.5	725.9	725.8	92	51	83	NNE 0	NNE 1	ESE 0	5	3	4	.	
11	18.2	23.6	21.1	21.0	5.2	727.3	726.3	725.6	90	55	81	E 0	NNE 1	ENE 0	9	3	9	.	●°sch. 18¼
12	17.6	23.1	21.0	20.6	4.9	725.7	724.4	724.0	90	54	83	ENE 0	NNE 1	NNE 0	5	9	9	3.4	●tr. 20½, ● n (12./13.)
13	18.8	22.5	18.6	20.0	4.5	724.3	725.7	724.9	92	84	96	NNE 0	ENE 0	E 0	8	10	9	3.9	● (13), ◠
14	18.2	20.2	17.2	18.5	3.1	725.2	725.9	727.0	94	76	98	ENE 1	ESE 1	NE 1	6	10●	10●	28.7	● 12½-n m.U.
15	15.9	20.3	16.0	17.4	2.1	731.4	732.4	733.8	96	79	93	SE 1	E 0	NE 0	10●	7	10	3.6	●°sch. a, ●° seit 16½
16	15.0	20.2	17.4	17.5	2.4	**734.6**	733.3	731.5	98	65	88	ENE 0	NNE 1	E 0	9	2	0	.	
17	14.8	21.1	18.3	18.1	3.1	729.3	726.4	725.1	90	73	87	ENE 0	NNE 1	NE 1	7	6	8	0.5	●°sch. 18¼, n, ◠ 17½
18	16.8	19.6	16.3	17.6	2.8	725.0	726.5	729.3	94	72	80	NNE 0	S 1	ESE 0	7	8	10	1.5	●° 10½, ●sch. 11¾, ● n
19	15.0	18.2	16.4	16.5	1.8	730.2	730.1	729.1	91	74	81	S 1	ESE 0	NE 0	10	10	10	3.4	● n (19./20.)
20	13.2	16.8	12.8	14.3	−0.2	729.9	730.5	729.3	74	53	77	SSW 1	W 1	E 0	5	4	10	.	
21	11.0	17.4	14.6	14.3	0.0	726.9	725.3	723.7	82	65	82	E 0	WNW 1	NE 0	10	8	3	19.2	
22	12.6	13.8	14.2	13.5	−0.6	722.6	723.7	725.8	100	96	98	NNE 0	NE 0	NE 0	10●	10●	10●	**79.8**	● n-n
23	12.2	15.4	14.4	14.0	0.1	728.7	730.6	731.1	86	76	90	ENE 1	NNE 1	ENE 0	10	8	10	.	
24	13.8	18.0	16.2	16.0	2.3	730.8	729.6	728.7	92	77	92	E 0	N 1	NE 0	10	4	2	3.8	T 22¼
25	14.8	14.0	13.9	14.2	0.7	725.6	724.3	**720.5**	98	98	92	ESE 0	ENE 0	ESE 0	10●	10●	10	28.9	● n-p, K 4½, 7¼, ≡ 7¼
26	10.0	12.4	8.6	10.5	−2.8	722.7	723.9	724.8	84	60	86	SSW 0	S 1	ENE 0	10●	7	4	0.1	●°sch. a, p zeitw.
27	7.0	12.9	10.8	10.2	−2.9	725.7	726.3	728.3	88	58	67	ENE 0	NNE 1	N 1	8●	5	0	.	●°sch. 7½
28	**5.4**	13.2	8.4	9.0	−3.9	728.9	725.7	722.7	88	55	84	ENE 0	E 0	E 0	1	3	10●	1.1	● n (28./29.)
29	8.6	11.5	10.1	10.1	−2.6	723.0	724.9	728.1	83	74	88	E 0	N 1	E 0	8	10	10	1.1	● 9-a
30	9.2	14.6	12.9	12.2	−0.3	729.0	729.2	730.1	92	65	85	ENE 0	NNE 0	E 0	6	8	10	.	
																		Summe	
Mittel	13.9	19.0	16.2	16.4	—	727.5	727.3	727.2	89	66	83				6.6	6.1	5.8	187.8	

$\lambda = 8° 33'$, $\beta = 47° 23'$, $H_b = 493.2$ m, $G = 0.03$ mm.

Zürich

September 1943.
Beobachter: *Meteorol. Zentralanstalt.*

Tag	Lufttemperatur 7³⁰	13³⁰	21³⁰	Mittel	Abweich. vom Normalst	Luftdruck 7³⁰	13³⁰	21³⁰	Relative Feuchtigkeit 7³⁰	13³⁰	21³⁰	Windrichtung und Stärke 7³⁰	13³⁰	21³⁰	Bewölkung 7³⁰	13³⁰	21³⁰	Niederschlag	Witterung
1	10.3	21.6	15.0	15.6	−0.3	720.5	719.0	718.5	87	**36**	59	SW 0	NNE 1	E 1	1	1	0	.	△ I
2	11.3	23.6	15.5	16.8	1.0	718.9	719.0	720.2	90	39	72	E 0	WSW 1	NNW 0	3	8	9	.	△ I
3	14.6	21.4	15.3	17.1	1.4	719.8	719.9	720.6	82	45	81	S 1	NW 1	NE 0	10	9	9	0.0	● tr. 13³/₄
4	14.0	19.1	14.6	15.9	0.3	720.7	721.0	721.2	83	49	61	NNW 1	ESE 1	SE 1	9	8	8	.	
5	10.6	22.0	13.1	15.2	−0.3	721.1	720.2	720.2	91	39	62	WNW 1	ENE 1	ENE 1	0	2	0	.	△ I
6	11.2	23.3	16.1	16.9	1.5	720.5	720.8	722.4	87	37	80	ENE 0	NW 1	NW 0	0	6	1	0.0	△ I
7	13.6	24.7	16.5	18.3	3.1	722.6	721.4	720.0	96	42	82	WNW 0	SSE 1	SSE 1	2	4	2	0.0	△ I
8	17.0	23.5	16.2	18.9	3.8	720.5	720.7	721.1	75	53	86	WNW 2	SSW 2	NW 1	10●	7	3	2.2	● 7³/₄-10
9	13.1	24.8	19.6	19.2	4.2	720.6	719.4	719.1	94	40	72	ENE 0	E 2	W 0	3	7	10	0.0	△ I
10	17.0	23.9	18.5	19.8	5.0	719.3	719.0	718.8	80	53	86	S 1	S 2	ESE 1	10	5	9	4.4	● 7³/₄-8¹/₄, ●° 22³/₄
11	17.0	25.6	19.0	20.5	6.2	720.0	719.8	718.8	93	51	86	WNW 1	S 1	E 1	9	7	10	3.3	●² 4, ● 23³/₄-n, ⌧ 3³/₄-4¹/₄
12	17.4	27.2	20.0	21.5	6.9	718.7	717.5	716.9	96	45	89	E 1	SSW 1	E 0	10●	7	10	0.2	● n-1³/₄, 7-7³/₄
13	19.0	**31.0**	21.6	23.9	9.5	716.7	716.3	718.1	84	**36**	58	ESE 0	ENE 1	ENE 2	9	3	10●	0.3	● 12¹/₂, 21¹/₂-21³/₄
14	18.2	25.9	18.6	20.9	6.6	718.3	718.1	719.9	91	50	86	SE 1	WNW 2	WNW 2	9	8	10	3.2	●° 1³/₄-2¹/₂, 17¹/₄, ● 23-24³/₄
15	16.5	18.6	16.4	17.2	3.0	723.3	724.6	726.1	92	64	96	SSE 1	SE 1	NW 1	10●	10	10●	15.5	● 3¹/₂-4³/₄, ●°sch. 9, 17³/₄-[22¹/₄ zeitw.
16	14.3	19.6	14.9	16.3	2.3	**727.1**	726.8	724.6	97	58	94	NNW 0	N 1	ENE 1	9	7	0	0.1	● 0¹/₂-7³/₄
17	14.8	22.6	17.5	18.3	4.4	721.6	719.9	717.8	87	53	87	ESE 1	W 1	NW 1	10	4	9	0.3	
18	16.4	22.1	14.6	17.7	4.0	717.7	718.2	721.9	97	56	85	NNW 0	WNW 1	NW 1	10●	4	10	19.9	● sch. fr. ztw., ● 10¹/₂-24¹/₄ ztw.
19	14.1	16.0	14.8	15.0	1.4	722.7	722.8	721.7	95	74	98	NNW 1	NNW 1	E 1	10	10	10●	18.3	● 7¹/₂-9¹/₄, ● 20³/₄-n
20	11.8	15.2	11.1	12.7	−0.7	720.0	721.8	721.5	93	52	81	WSW 1	WSW 2	SSW 1	10●	5	4	7.4	● n-9³/₄, 12¹/₄
21	12.2	16.4	10.9	13.2	0.0	718.6	718.1	716.1	80	54	95	SW 1	WNW 1	NW 0	10	10	0	1.0	
22	11.4	13.2	9.8	11.5	−1.6	714.4	716.5	720.1	97	93	97	WNW 0	NW 0	NE 1	10●	10●	10●	15.6	● 4¹/₄-24¹/₂
23	8.9	12.8	11.7	11.1	−1.8	721.4	723.1	723.3	85	70	96	NNE 1	E 1	ENE 0	10	10	10	0.1	
24	12.7	21.0	14.9	16.2	3.5	723.1	721.8	720.2	93	54	99	SSW 0	WSW 1	SE 1	10	1	2	.	
25	14.2	18.0	12.6	14.9	2.4	717.3	715.7	**711.7**	94	62	97	NNE 1	W 2	NW 1	10	10	10	**24.0**	● 15³/₄-19³/₄, 23-n
26	9.1	8.2	6.4	7.9	−4.4	714.5	714.9	717.3	89	96	98	WSW 1	WNW 2	ESE 1	10●	10●	10	13.4	● n-18³/₄ m.U., 22¹/₂
27	**5.1**	11.8	6.8	7.9	−4.2	718.4	719.5	721.4	99	56	95	NNE 0	NE 1	NNE 0	8	9	9	.	●° 1
28	5.2	13.7	8.2	9.0	−2.9	721.1	717.8	715.5	98	45	77	NNW 1	NNW 1	NE 1	10≡	3	10	0.5	≡ I
29	7.5	8.9	8.4	8.3	−3.4	715.8	717.2	720.5	89	87	90	N 1	NNW 1	WNW 1	10●	10	10	1.0	● 3¹/₂-5¹/₄, 7¹/₂-12
30	7.9	13.6	11.7	11.1	−0.4	722.1	721.7	722.8	96	53	76	WNW 0	NE 1	NNW 1	9	9	10	.	
Mittel	12.9	19.6	14.3	15.6	—	719.9	719.8	719.9	90	55	84				8.0	6.8	7.2	Summe 130.7	

$\lambda = 8° 30'$, $\beta = 47° 3'$, $H_b = 1787.3$ m, $G = -0.20$ mm

Rigi-Kulm

September 1943.
Beobachter: *J. Wiget.*

Tag	7³⁰	13³⁰	21³⁰	Mittel	Abweich. vom Normalst	7³⁰	13³⁰	21³⁰	7³⁰	13³⁰	21³⁰	7³⁰	13³⁰	21³⁰	7³⁰	13³⁰	21³⁰	Niederschlag	Witterung
1	5.4	10.1	9.6	8.4	−0.1	616.1	616.5	616.5	57	44	72	E 1	SE 1	SE 1	1	1	3	.	
2	9.4	12.8	8.5	10.2	1.8	616.3	617.2	617.2	61	65	76	W 1	SW 1	SW 0	3	7	8	.	
3	10.5	9.2	8.5	9.4	1.1	617.3	617.7	617.4	41	100	82	SW 0	W 1	E 0	10	10≡	10≡	4.4	≡ II, III
4	6.0	5.8	6.2	6.0	−2.2	616.9	617.4	617.2	100	100	86	E 0	NE 0	E 0	10≡	10≡	6	.	≡ I, II
5	6.6	10.5	9.6	8.9	0.8	616.9	617.5	617.8	53	55	49	SE 0	SE 0	SW 0	0	0	0	.	
6	10.2	13.1	10.5	11.3	3.3	617.9	619.1	619.1	38	38	62	SW 1	SW 1	SW 1	0	5	4	.	
7	10.2	13.8	12.0	12.0	4.1	619.3	619.5	618.7	55	74	69	SSW 1	SSW 1	S 0	3	5	4	.	
8	8.4	10.0	10.8	9.7	1.8	618.1	619.2	618.7	100	97	95	W 3	W 3	W 0	10≡	6	6	7.0	● 7¹/₂-10, ≡ I
9	11.4	16.2	12.8	13.5	5.7	618.3	618.3	618.3	44	42	56	SW 0	S 2	SW 1	3	5	10	.	
10	10.2	13.4	12.5	12.0	4.3	617.9	618.0	618.2	96	72	75	W 1	SW 1	W 1	10	8	8	2.5	● n (10./11.)
11	12.0	13.1	13.2	12.1	4.5	618.3	618.9	618.3	85	79	60	W 1	W 0	W 0	10	8	9	0.5	
12	13.0	18.0	16.6	15.9	8.4	617.5	618.0	617.4	52	48	43	W 0	S 1	S 1	7	5	7	.	
13	17.0	**19.2**	15.0	17.1	9.7	617.2	617.6	617.8	**36**	38	64	SE 1	S 2	S 3	10	4	8	.	
14	13.6	16.8	12.5	14.3	7.0	617.6	617.6	618.5	51	56	85	W 0	SW 0	SW 3	8	8	10	8.6	● n (14./15.)
15	8.4	10.6	9.0	9.3	2.1	620.2	621.7	622.3	76	63	95	W 2	SW 0	W 1	10	10	10	8.5	
16	7.2	9.8	11.0	9.3	2.2	622.8	**623.2**	621.5	100	82	65	W 2	W 0	W 0	10≡●	10	8	0.4	● n-8 zeitw., ≡ I
17	14.4	16.0	13.4	14.6	7.6	619.5	619.1	617.3	46	45	62	W 0	S 2	S 3	5	3	10	1.4	
18	10.2	13.0	7.8	10.3	3.4	616.0	616.5	617.7	78	66	100	SW 1	SW 1	W 0	8	3	10≡	3.4	
19	7.2	9.2	8.0	8.1	1.3	618.6	618.9	618.6	100	92	100	E 0	E 0	W 0	10≡	5	10≡●	27.4	● 21-n, ≡ I, III
20	3.4	2.2	2.6	2.7	−4.0	615.8	616.9	617.3	100	90	90	W 3	W 3	W 2	10≡●	8	7	10.6	● n-9¹/₂, ≡ I
21	5.8	7.8	6.8	6.8	0.2	615.0	614.7	613.0	38	45	65	W 1	SW 1	SW 1	10	10	8	0.3	
22	8.0	8.2	7.4	7.9	1.4	611.7	613.9	614.6	70	76	98	SE 3	W 2	SW 1	7	10●	10●	9.0	● 9-n zeitw.
23	9.6	11.4	9.0	10.0	3.6	616.5	619.1	619.5	66	56	72	E 1	W 1	SW 0	7	6	4	.	
24	8.6	11.4	10.2	10.1	3.8	619.7	619.8	617.5	95	65	75	SW 1	SW 1	SW 1	3	2	4	.	
25	8.4	8.0	6.6	7.7	1.6	615.7	614.1	611.5	100	100	100	SW 2	W 1	SW 1	10≡	10≡	10≡●	**35.5**	● 21¹/₂-n, ≡ 7¹/₄-n zeitw.
26	0.6	−1.8	**−2.2**	−1.1	−4.9	**610.1**	610.3	610.7	100	100	100	SW 1	SW 2	W 2	10≡*	10≡*	10	22.5	✳ I seit 7, II, ≡ I, II
27	−1.8	2.0	−1.2	−0.3	−5.6	612.5	614.2	615.2	100	75	70	NW 0	SE 1	NE 1	9	10	4	.	≡ II
28	−0.8	3.0	0.0	0.7	−5.1	614.8	613.4	610.8	65	65	92	E 1	SW 0	SW 0	3	3	5	4.6	
29	−0.8	3.0	2.0	1.4	−4.2	610.3	611.7	613.7	100	95	94	W 1	SW 0	W 0	10●*	10≡	10≡	0.4	● ✳ △ zeitw., ≡ n-n
30	2.4	8.0	4.5	5.3	−0.2	616.2	616.8	616.8	89	48	92	E 0	SSW 1	S 2	7	2	1	.	
Mittel	7.8	10.1	8.4	8.8	—	616.7	617.2	617.0	73	69	78				7.1	6.5	7.1	Summe 147.0	

September 1943.
Beobachter: *P. Nogler.*

Bevers

$\lambda = 9° 53'$, $\beta = 46° 33'$,
H_b = ca. 1710 m, G = –0.23 mm.

Tag	Lufttemperatur 7³⁰	13³⁰	21³⁰	Mittel	Abweich. vom Normalst	Luftdruck 7³⁰	13³⁰	21³⁰	Relative Feuchtigkeit 7³⁰	13³⁰	21³⁰	Windrichtung und Stärke 7³⁰	13³⁰	21³⁰	Bewölkung 7³⁰	13³⁰	21³⁰	Niederschlag	Witterung
1	0.2	20.0	5.3	8.5	–0.9	622.5	622.6	622.7	97	67	73	N 0	W 1-2	N 0	1	0	0	.	
2	1.2	17.6	9.2	9.3	0.0	622.7	623.1	623.3	100	61	96	ENE 0	W 2	NW 1	0	0	0	.	
3	7.3	12.4	7.0	8.9	–0.2	623.2	622.5	623.4	96	64	100	W 0-1	SW 2-3	N 1	10	10	0	10.1	● 13¾–16
4	7.4	12.0	5.6	8.3	–0.7	622.2	622.6	623.1	92	78	84	N 1	W 2-3	W 1	10●	8●	6	2.1	●sch. n–abds. zeitw.
5	2.1	17.7	6.5	8.8	–0.1	623.0	623.7	624.0	100	55	62	SW 0	NE 2	WSW 1	0	0	0	.	
6	0.2	18.4	9.2	9.3	0.5	624.4	625.9	625.8	92	54	70	S 0	W 2	SW 1	0	6	0	.	
7	5.0	18.4	10.0	11.1	2.5	625.9	624.6	625.6	98	60	87	S 0	SSW 2-3	NW 0	1	3	5	.	
8	10.0	16.8	10.0	12.3	3.8	624.7	624.8	624.9	92	47	78	W 0	SW 2	W 1	10	10	8	.	
9	3.1	18.4	12.6	11.4	3.0	625.6	624.9	625.5	98	42	86	SW 0	SE 2	W 1	1	5	8	0.0	
10	12.6	13.2	8.4	11.4	3.2	624.5	625.1	625.3	85	61	100	SE 0	WSW 2	W 0	8●	8	10	4.8	● n–11
11	5.6	17.2	9.0	10.6	2.5	625.2	624.2	624.9	98	56	96	SW 0	W 3	S 0	10	10	0	.	
12	9.6	19.0	10.8	13.1	5.1	624.5	624.7	625.2	86	47	90	S 0	S 2	W 0	10	6	10	.	
13	10.2	21.8	14.0	15.3	7.5	624.9	625.3	625.4	88	56	80	SW 0	W 2	S 0	10	5	8	0.6	●sch. 19
14	11.8	19.1	12.0	14.3	6.6	625.3	624.8	625.8	97	41	83	S 0	W 2	S 0	10●	6	10●	4.4	● n–9, 18¼–n
15	14.0	15.2	11.8	13.7	6.1	626.6	627.7	628.3	75	81	100	W 1	SW 1	S 0	7	10	10●	0.2	●°sch. n–n zeitw.
16	13.0	18.6	9.4	13.7	6.3	628.1	628.2	628.3	83	61	94	W 1	SW 2	S 1	8	4	0	.	
17	6.3	18.2	10.6	11.7	4.4	627.4	625.7	624.8	96	44	88	W 0	W 2	W 1	0	2	3	.	
18	8.0	13.0	7.7	9.6	2.4	622.9	622.9	623.4	95	100	100	NW 1	W 2-3	W 0	7	10●	0	8.1	● 8–13½
19	5.6	16.9	10.0	10.8	3.8	625.3	624.7	625.5	98	53	80	W 0	W 2	W 1	10	5	10	2.4	
20	7.2	12.6	6.9	6.9	0.[illegible]	619.7	622.3	623.8	87	36	91	NW 2	NW 2	NNW 1	10●	10	0	7.0	● 8–11½, ✳ 11½–13
21	2.4	13.6	8.2	8.1	1.3	621.6	621.4	620.7	93	31	72	SW 1	W 2	W 1	10	6	10	1.6	
22	7.8	11.2	10.6	9.9	3.3	620.5	620.4	621.7	89	87	96	S 0	SW 1	S 0	10●	10●	10●	20.3	● n–n m.U.
23	9.0	14.0	10.0	11.0	4.5	623.8	625.8	626.6	100	39	96	E 1	S 2	S 0	10●	8	0	8.6	● n–13
24	5.2	9.3	9.3	7.9	1.5	626.6	626.0	625.4	94	53	83	NW 0	SW 2-3	SW 0	2	0	0	.	
25	9.6	11.8	8.2	9.9	3.7	623.0	619.6	616.1	86	72	98	S 0	W 2	S 0	8	10	10●	10.3	● ✳ 15½–n
26	4.8	2.3	1.2	2.7	–3.4	614.1	615.0	617.7	86	92	86	W 2-3	NW 1	N 1	10●	10✳	6	18.4	● n–11, ✳ n–17
27	0.6	2.9	0.7	1.4	–4.6	618.8	620.7	621.5	90	88	100	W 0	E 1	NE 2	10✳	10✳	10✳	20.8	✳ n–n
28	1.6	2.2	1.6	1.8	–4.0	620.2	619.0	616.3	90	88	100	N 1-2	N 2	N 1	10	10	10	21.6	✳ n–n m.U.
29	3.0	8.6	5.1	5.6	–0.1	616.6	619.5	621.2	90	87	97	NE 1	NE 2	NNE 1	10✳	10	10	.	✳° I
30	5.9	11.8	7.2	8.3	2.8	622.6	623.6	624.0	87	48	84	W 0	SW 2	W 1	10	7	6	.	
Mittel	6.3	14.1	8.1	9.5	—	623.2	623.4	623.7	92	62	88				7.1	6.6	5.3	Summe 141.3	

September 1943.
Beobachter: *Kapuzinerkloster.*

Sitten

$\lambda = 7° 21'$, $\beta = 46° 14'$,
H_b = 548.6 m, G = –0.11 mm.

1	13.7	21.3	16.6	17.2	0.2	715.5	713.0	713.6	73	54	62	NE 0	WSW 2	W 0	0	0	0	.	
2	14.1	21.5	18.0	17.9	1.0	714.9	713.8	714.8	73	55	63	NE 0	WSW 1	NE 1	0	8	1	.	
3	14.7	23.3	18.4	18.8	2.0	715.5	713.7	714.5	81	52	61	NE 1	WSW 2	W 0	7	8	1	0.0	
4	15.6	22.2	17.4	18.4	1.7	714.8	713.8	714.6	78	51	62	NNE 0	WSW 1	W 1	9●	4	0	0.1	● 7¼–8¼
5	13.2	21.2	16.2	16.9	0.3	716.2	714.4	715.4	70	53	62	NE 1	WSW 1	NNE 2	0	1	0	.	⌓ I
6	13.8	22.6	19.6	18.7	2.3	716.9	715.5	716.8	70	49	55	ENE 0	W 1	W 0	0	7	2	.	
7	13.9	23.8	18.7	18.8	2.5	717.9	715.6	715.7	76	51	63	NE 1	SW 2	NE 1	3	4	0	5.6	
8	15.1	22.3	18.1	18.5	2.3	717.4	716.0	716.0	99	60	74	ENE 0	ENE 1	NE 2	10●	5	3	1.6	● 2–10
9	15.4	25.4	19.4	20.1	4.0	716.6	714.2	714.8	79	44	69	NE 0	ENE 0	W 0	2	9	10	0.0	⌓ I
10	16.7	24.0	20.1	20.3	4.3	714.5	714.1	714.8	88	58	70	NNE 0	W 0	NE 1	5	8	10	0.1	● 6, 17½
11	16.8	25.3	22.2	21.4	5.6	716.0	714.5	714.6	82	51	76	NE 1	NE 1	N 1	9	3	10●	0.0	● 21–n
12	18.2	27.0	21.9	22.4	6.7	714.4	712.9	713.5	73	42	57	NE 0	NE 1	NE 1	2	9	10	.	
13	17.8	25.1	18.8	20.6	5.0	714.2	713.1	714.4	70	53	93	NE 1	NE 1	E 1	7	7	9	1.3	●° 17, n, ● 19½–20
14	17.8	22.8	18.[illegible]	19.5	4.[illegible]	714.0	713.5	714.9	96	73	86	N 1	N 0	W 2	9	9	10	2.8	● 5¼–6, ●° 9½–10¼, 21¼
15	16.2	19.4	18.3	18.0	2.7	718.6	719.6	721.2	88	72	78	WSW 1	WSW 1	W 0	10	10	10	0.2	● 5–5¾, ●° 18–19
16	16.2	22.0	17.0	18.4	3.2	722.2	720.6	719.8	83	59	80	WSW 1	WSW 2	NNE 1	9	2	1	.	
17	14.7	26.2	19.0	20.0	4.9	717.9	714.0	714.6	87	43	83	NNE 0	WNW 1	ENE 1	3	2	8	1.6	● 20¼–21¼, n
18	15.9	22.1	15.6	17.9	3.0	713.6	713.3	716.7	77	57	91	NE 1	W 2	W 0	8	5	10	0.5	● 16, 16¾, 19–21
19	[illegible]	21.[illegible]	16.0	17.7	2.9	717.8	710.8	716.9	87	59	83	W 0	W 1	NW 2	10	4	10●	15.0	● 17, 18½–n m.U.
20	12.9	18.0	11.1	14.0	–0.6	715.2	717.0	717.3	93	51	75	WSW 2	SW 3	W 1	10●	3	1	1.9	● n–9½ m.U.
21	10.0	17.4	12.6	13.3	–1.1	714.9	712.7	711.9	80	52	81	NE 0	SW 1	NW 1	5	7	0	0.9	
22	12.4	16.4	14.0	14.3	0.0	711.2	712.3	714.1	90	71	99	NW 0	NW 0	NW 0	10●	10●	10●	6.4	● n–n m.U.
23	13.3	18.0	13.8	15.0	0.9	715.7	717.7	718.9	98	73	91	WNW 0	SW 2	WSW 1	6	5	10	0.0	● n–5 m.U.
24	14.1	21.3	16.1	17.2	3.3	719.3	716.7	716.1	83	56	76	ENE 2	SSW 1	NNE 3	7	2	0	0.0	
25	12.8	16.2	12.9	14.0	0.3	713.5	711.2	708.2	90	80	95	NE 0	W 0	N 0	8	10	10	5.7	● 3¾–19, n
26	10.8	11.9	7.8	10.1	–3.4	708.8	709.4	712.4	76	50	64	W 2	W 2	NE 1	10	10	6	0.0	
27	5.8	12.9	9.0	9.2	–4.1	713.2	713.1	714.9	88	55	75	NE 0	SW 1	W 0	7	7	6	0.1	● 17
28	7.4	14.1	7.9	9.8	–3.3	716.1	712.9	709.9	92	52	75	NE 0	SW 1	N 1	10	4	2	0.0	
29	8.2	12.2	8.1	9.5	–3.4	710.0	712.4	715.8	83	64	90	W 0	ENE 0	NE 2	10	10	4	0.4	● 9¼–11
30	5.9	16.6	10.1	10.9	–1.8	717.0	715.5	717.9	98	53	89	NE 0	SW 1	W 0	1	1	1	.	⌓ I
Mittel	13.6	20.4	15.8	16.6	—	715.5	714.4	715.2	83	56	76				6.2	5.8	5.2	Summe 44.2	

$\lambda = 8° 57'$, $\beta = 46° 0'$,
$H_b = 276.2$ m, $G = -0.01$ mm.

Lugano

September 1943.
Beobachter: *G. Vicari.*

Tag	Lufttemperatur 7³⁰	13³⁰	21³⁰	Mittel	Abweich. vom Normalst.	Luftdruck 7³⁰	13³⁰	21³⁰	Relative Feuchtigkeit 7³⁰	13³⁰	21³⁰	Windrichtung und Stärke 7³⁰	13³⁰	21³⁰	Bewölkung 7³⁰	13³⁰	21³⁰	Niederschlag	Witterung
1	13.0	26.0	18.4	19.1	0.1	737.3	736.0	736.5	53	32	66	N 1	E 0	N 1	0	0	0	.	
2	16.2	24.4	19.8	20.1	1.2	738.1	737.1	737.4	83	48	65	N 1	S 1	NNE 1	8	10	6	.	
3	17.4	**27.0**	20.0	21.5	2.7	737.9	736.8	736.7	82	48	73	N 1	E 1	N 1	10	10	9	5.8	● K n (3./4.)
4	16.4	**27.0**	16.4	19.9	1.2	736.7	734.9	736.8	92	**25**	70	SSW 2	N 2	NE 1	8	1	0	.	
5	11.8	21.2	18.8	18.6	0.1	737.3	737.2	737.7	57	33	50	N 1	S 0	ENE 1	0	0	0	.	
6	13.4	26.2	18.4	19.3	0.9	739.3	738.1	739.2	76	42	68	N 1	S 1	N 1	0	0	0	.	
7	15.6	**27.0**	18.8	20.5	2.2	740.9	740.1	740.1	81	42	65	NNW 1	S 1	N 1	10	1	0	.	
8	17.4	23.8	18.8	20.0	1.8	740.1	738.2	738.5	82	53	72	N 1	WSW 0	NNE 1	10	7	8	0.3	●°sch. 8½
9	16.4	25.8	20.8	21.0	3.0	740.5	739.8	740.1	78	44	79	N 1	ENE 1	NE 1	9	9	10	.	
10	19.2	18.6	18.8	18.9	1.0	738.9	740.3	740.0	91	88	89	N 1	NNE 1	NE 1	10●	10	10	42.5	●° 6–9½, ●² K 8–9
11	17.4	23.6	19.8	20.3	2.5	739.7	738.8	738.7	88	58	77	N 1	E 0	NE 1	10	9	8	.	
12	18.4	26.6	20.6	21.9	4.3	739.0	738.2	738.6	88	54	79	N 1	S 1	NNW 1	10	10	0	.	
13	17.8	26.6	22.2	22.2	4.7	739.4	738.3	739.0	88	54	81	N 1	S 1	N 1	10	8	10	**44.0**	●tr. 18½
14	15.8	25.2	19.4	20.1	2.7	740.7	740.0	740.1	92	61	94	NE 1	S 0	N 1	10	9	10●	19.5	● ▲ K fr. zeitw., ● 18½–n
15	19.6	21.2	19.2	20.0	2.8	741.5	743.3	743.3	67	92	87	NE 1	NNW 1	NE 1	10	10●	10	0.9	● 13½–14½
16	17.6	26.8	19.6	21.3	4.2	**743.6**	742.5	741.7	89	44	80	NE 1	SSE 1	N 1	8	6	0	.	
17	18.0	26.2	21.2	21.8	4.9	741.7	740.3	738.5	85	57	84	NNW 1	S 1	N 1	5	3	3	15.2	● K 23–n
18	17.2	21.2	17.2	18.5	1.7	737.5	738.2	738.8	84	56	84	SSW 1	S 1	N 1	10●	5	0	19.3	● n–10½
19	14.2	26.0	18.4	19.5	2.9	740.0	739.9	739.5	85	43	95	N 1	SE 1	N 1	0	3	10●	36.5	● 20¾–n, K n
20	17.2	22.7	15.6	18.5	2.1	734.9	735.3	737.0	91	26	46	N 1	S 2	N 1	9●	0	2	6.5	● n–10, 23–n
21	12.6	23.2	16.2	17.3	1.1	737.4	736.4	736.2	65	34	64	N 1	S 1	N 1	8	5	8	7.0	●° n–17 m.U., n
22	12.8	14.4	14.8	14.3	−1.7	736.3	737.8	737.5	93	94	93	E 1	W 1	N 1	10●	10●	10	6.2	●° 11½–14
23	15.2	17.6	16.0	16.3	0.4	739.1	741.2	742.2	93	86	90	N 1	SSE 1	N 1	10	10●	0	0.6	
24	13.8	24.2	17.2	18.4	2.7	742.0	741.2	739.9	88	50	85	N 1	E 1	N 1	0	2	0	.	
25	16.2	19.6	17.0	17.6	2.1	738.3	735.4	730.2	91	77	93	NNE 1	SE 0	N 1	9	9	10	21.7	●sch. 7½–n
26	18.4	15.6	12.4	15.5	0.2	**727.2**	728.2	731.9	71	53	50	WSW 1	ESE 2	N 1	10	10	0	18.1	● K 8–10½
27	12.0	11.8	10.6	11.5	−3.6	734.7	736.5	737.1	60	69	91	WNW 1	NE 1	NE 1	10●	10●	10	2.1	● 7½–18½ m.U.
28	**10.0**	14.4	11.8	12.1	−2.8	736.2	734.5	730.5	80	56	92	N 1	NNE 1	N 1	9	10	10●	20.7	●° 17½–n
29	11.2	14.6	13.2	13.0	−1.7	730.7	734.3	738.3	95	85	94	WNW 1	SSW 0	NNE 1	10●	10	10	11.3	● n–20
30	10.6	19.6	13.0	14.4	−0.1	739.9	740.1	741.3	93	46	87	NE 1	SE 1	N 1	1	7	0	.	
Mittel	15.5	22.4	17.5	18.5	—	738.2	738.1	738.1	82	55	78				7.5	6.5	5.1	Summe 278.2	

$\lambda = 7° 35'$, $\beta = 47° 33'$,
$H_b = 318$ m, $G = 0.11$ mm.

Basel

September 1943.
Beobachter: *Astronom.-Meteorol. Anstalt.*

Tag	7³⁰	13³⁰	21³⁰	Mittel	Abweich. vom Normalst.	7³⁰	13³⁰	21³⁰	7³⁰	13³⁰	21³⁰	7³⁰	13³⁰	21³⁰	7³⁰	13³⁰	21³⁰	Niederschlag	Witterung
1	10.0	22.1	13.9	15.3	−0.4	735.9	734.5	733.7	84	48	85	E 1	NW 1	SW 1	0	0	0	.	
2	10.2	23.8	16.2	16.7	1.1	734.2	734.4	735.0	95	**45**	76	ESE 0	WSW 1	SW 1	3	9	3	.	≡ n–6½, △ I
3	13.8	19.9	15.2	16.3	0.8	735.3	736.0	736.0	91	62	83	ESE 0	WNW 1	SW 1	9	9	9	1.3	● 7¼, 10¾–11¼, 15¼
4	12.4	20.0	12.0	18.3	2.9	736.5	736.8	736.9	95	**45**	88	WNW 1	NNW 1	SW 1	10	1	2	.	● 4–4½
5	10.1	21.5	13.0	14.9	−0.4	736.7	735.5	735.3	94	46	85	SE 0	NE 1	SSW 1	10≡	3	0	.	≡ 1–8½
6	11.8	24.4	17.3	17.8	2.6	735.8	735.9	737.8	78	46	81	ESE 1	WNW 2	WSW 1	1	9	2	0.0	● 13¾–14½
7	14.8	24.8	15.2	18.3	3.2	737.9	736.4	735.0	87	53	85	WSW 0	ENE 1	SSE 0	9	1	0	2.3	⊕ 9–11
8	14.4	22.8	15.1	14.1	−0.8	735.2	735.7	736.0	94	60	84	ENE 0	NW 1	ESE 1	10●	8	0	0.3	● 6–8
9	11.4	26.3	18.5	18.7	3.9	735.9	734.0	733.3	91	**45**	86	SSW 0	SE 1	SSE 0	2	7	7	0.3	●tr. 17, △° I
10	16.6	23.5	19.2	19.8	5.1	734.0	733.6	733.4	87	70	88	ESE 1	NNW 1	SE 1	10	7	10	4.0	● 5¾–6¾, 13¼–14, T 15¼–16
11	17.4	26.9	21.0	21.8	7.2	734.6	734.1	733.2	96	56	78	ESE 1	NNE 1	ENE 1	9	3	10	18.5	● 4¼–6, 23¾–24¾, K 2–5, n
12	17.0	27.4	22.0	22.1	7.7	733.0	731.9	731.2	92	60	80	ESE 1	E 1	ESE 1	10	9	10	0.0	● 2½–8½ zeitw., Ψ III
13	18.7	28.8	19.8	22.4	8.1	731.3	731.2	732.1	88	53	87	SE 1	NNE 1	SE 1	9	9	10	2.2	● 7¼–17 zeitw., K ● 20–20¼
14	18.5	25.8	16.5	20.3	6.1	732.3	732.7	734.7	88	58	95	ESE 1	NNE 1	SE 1	8	10	10●	17.2	● 5¼–6, 16¾–21½ m.U.
15	15.9	19.1	16.4	17.1	3.1	738.0	739.9	741.2	96	78	93	E 1	WNW 1	SSE 1	10	10	10●	3.0	● 0–n zeitw.
16	14.9	23.2	14.0	17.4	3.5	**742.4**	742.0	739.7	93	56	90	SSE 0	NNW 1	SW 0	9	3	0	.	● n–1¾ m.U.
17	11.7	24.2	18.4	18.1	4.3	736.5	734.2	733.7	97	62	88	SW 0	ESE 1	WSW 1	2	7	10●	1.0	● 20–23½, K 19¾–21¼, △° I
18	16.1	18.0	14.3	16.3	2.7	733.2	734.0	737.3	96	90	88	ESE 0	WNW 0	WSW 1	10	10●	10	9.8	● 8¼–11¼, 16 m.U.
19	14.0	15.8	14.1	14.6	1.1	738.4	738.2	736.9	95	88	96	WNW 1	NNW 1	SSW 0	10●	10	10●	4.7	● 7–7¼, 9½–11¼, 21–23¼
20	12.8	15.1	11.1	13.0	−0.3	735.6	737.6	736.6	82	61	81	WSW 2	W 2	E 0	10●	10	5	1.0	● 0½–1¾, 7½, 10¼–10½, [K 7½
21	11.4	16.0	11.9	13.1	−0.1	733.8	733.1	731.4	83	75	95	ESE 1	ENE 0	ESE 1	10	10	0	2.0	● 15
22	11.1	9.8	8.5	9.8	−3.2	736.1	736.0	735.7	95	96	98	ESE 0	NW 1	WNW 1	9	10●	10●	27.8	● 3–4, 6¾–24. ≡ 8½–10½
23	7.9	15.8	12.0	11.9	−1.0	737.3	738.1	738.0	96	68	89	WSW 1	E 1	E 1	10	9	0	.	≡ 1–8½
24	11.8	23.8	16.1	17.2	4.5	737.6	736.4	734.8	91	61	88	SE 1	ESE 1	ESE 1	0	0	5	6.6	△ I
25	14.2	17.0	12.8	14.7	2.1	732.0	730.3	**727.6**	97	86	94	E 0	SSE 1	ESE 1	10●	10●	10	5.8	K ● 3¼–7½ zeitw., ● 12–17¼
26	9.4	8.4	6.8	8.2	−4.2	729.8	730.6	733.0	88	89	91	WSW 1	WNW 1	SSE 1	10●	10●	10	3.0	● 7¼–14¾
27	4.1	13.7	6.4	8.1	−4.2	734.4	735.2	737.3	97	59	91	SE 0	WNW 1	SSW 1	10	3	0	.	≡ 3–7¼
28	**3.2**	15.0	8.8	9.0	−3.1	737.1	733.6	731.8	97	54	74	ESE 1	WNW 1	W 1	6	9	10	.	
29	5.9	8.1	8.0	7.3	−4.7	731.8	733.5	736.2	96	92	96	WNW 1	WNW 1	ENE 1	10●	10●	10	1.3	● 8¼–17½ m.U., ≡ 7½–9¾
30	6.5	15.1	11.5	11.0	−0.8	737.5	737.2	738.3	98	67	93	E 1	WNW 0	SSE 1	10●	10	10	.	≡ 6¾–7½
Mittel	12.3	19.9	14.2	15.5	—	735.1	735.0	735.1	92	64	88				7.9	7.2	6.1	Summe 113.9	

September 1943.
Beobachter: *Observatorium.*

Säntis

$\lambda = 9° 20'$, $\beta = 47° 15'$,
$H_b = 2500.1$ m, $G = -0.27$ mm.

Tag	Lufttemperatur 7³⁰	13³⁰	21³⁰	Mittel	Abweich. vom Normalst.	Luftdruck 7³⁰	13³⁰	21³⁰	Relative Feuchtigkeit 7³⁰	13³⁰	21³⁰	Windrichtung und Stärke 7³⁰	13³⁰	21³⁰	Bewölkung 7³⁰	13³⁰	21³⁰	Niederschlag	Witterung
1	2.6	6.6	4.6	4.6	0.6	564.6	565.4	565.4	66	53	18	E 1	SW 1	W 3	1	1	0	.	
2	4.9	8.2	4.5	5.9	2.0	565.1	566.3	566.7	36	38	93	W 3	W 2	W 2	3	9	6	.	≡ 18¼–21
3	5.4	6.0	2.8	4.7	0.9	566.2	566.4	566.4	40	81	100	NW 1	W 1	NNW 2	10	10≡	10≡	6.3	● 6¾–n ziw., ≡ 12¾–n m.U.
4	1.1	4.0	0.0	1.7	−2.0	565.0	565.8	566.0	100	73	98	N 2	W 1	N 2	10≡	10≡	0	.	≡ n–19 m.U.
5	4.1	8.4	4.6	5.7	2.1	565.3	566.6	566.9	9	38	29	NNE 1	SW 2	W 2	1	1	0	.	
6	5.1	8.3	5.4	6.3	2.7	566.7	568.1	569.1	21	24	52	W 3	W 2	W 1	1	9	3	.	●° 16¾
7	6.6	11.4	7.7	8.6	5.1	568.4	568.9	568.3	78	57	73	W 2	WSW 2	WNW 3	1	3	2	.	
8	5.6	5.1	5.0	5.2	1.8	567.1	567.2	568.0	90	100	100	WNW 4	WNW 3	NW 2	10	10≡	10≡	2.6	● 9¼–12, ≡ 7½–n, ⸗ l
9	5.6	11.8	8.6	8.7	5.4	567.4	568.3	568.0	43	33	56	W 3	SW 2	WSW 2	6	5	10	0.7	
10	7.2	10.4	7.8	8.5	5.3	567.2	567.6	567.8	75	64	76	WSW 2	W 2	WNW 2	10	8	10	4.7	● 9, 20, ≡ 8½–9½
11	6.9	7.9	7.8	7.5	4.4	567.5	568.2	568.1	92	98	78	W 3	W 3	WSW 1	10	10≡	9	0.9	●° 8–9, ≡ 10–14½
12	6.7	12.4	10.6	9.9	6.8	567.1	567.9	568.0	88	53	43	W 3	WSW 2	W 2	10	6	9	0.2	●° 6½–7¾ m.U.
13	12.2	13.8	10.3	12.1	9.1	567.9	568.8	567.7	32	34	53	W 1	S 1	SW 3	10	6	9		● 19¼–21 m.U.
14	9.3	10.6	8.0	9.3	6.4	567.8	567.6	567.6	68	47	54	SW 3	WSW 4	SSW 4	10	8	10	4.4	● 7–12¼ m.U., ⸗ n–n
15	4.3	7.3	6.2	5.9	3.1	569.1	570.7	571.4	100	96	97	WNW 3	W 2	SW 1	10≡●	10●	10●	9.9	● n–n m.U., ≡ n–17 m.U.
16	3.7	7.4	6.4	5.8	3.1	570.9	571.6	570.8	100	92	48	NNW 3	WSW 1	W 3	10≡	10≡	1	2.8	● 7–9¼, ≡ n–14½
17	8.6	12.6	9.4	10.3	7.7	569.3	569.2	567.4	60	47	38	WSW 2	SW 2	SSW 3	9	2	8	0.8	
18	9.4	6.8	4.2	6.8	4.3	565.9	565.7	567.3	48	64	100	SW 2	S 3	W 1	9	9	10	6.6	≡ ● 9¾–11, 17¼–20¾
19	6.0	8.0	5.0	6.3	3.9	567.8	568.0	567.2	75	70	93	ENE 1	WSW 2	SSE 2	1	1	10	24.6	
20	−0.4	−2.4	−2.0	−1.6	−3.9	562.9	563.7	564.5	100	100	100	WNW 4	WNW 4	WSW 3	10≡*	10≡*	10	20.9	● ✳ ⸗ n–14 m.U., ⊼ 7½, [≡ n–n ⊠
21	0.2	3.7	1.7	1.9	−0.3	563.2	563.2	562.7	85	82	83	WSW 3	SSW 2	WSW 2	10	9	6	0.4	△ ✳° 17–19 m.U.
22	3.4	3.2	3.8	3.5	1.4	561.1	562.4	564.3	76	100	100	SSW 3	SW 3	SW 3	9	10≡	10≡	5.4	● 11½–21 m.U., ≡ 12½–n
23	5.4	8.2	4.6	6.1	4.1	566.0	568.1	569.1	78	68	91	SW 2	WSW 1	W 3	10	9	0	.	
24	4.8	9.3	5.4	6.5	4.6	568.7	568.7	567.8	92	76	93	WSW 2	W 2	W 2	1	6	3	2.8	
25	4.7	6.4	2.8	4.6	2.8	564.7	563.1	559.3	64	71	100	WSW 2	SE 2	W 2	9	10	10●	40.5	● 15–n m.U., ≡ 14½–21
26	−3.4	−1.8	−6.4	−3.9	−5.6	557.3	557.2	558.9	100	100	100	NW 2	SW 1	W 3	10≡*	10≡*	10≡	13.4	✳ n–20 m.U., ≡ n–n, ⋁ l ⊠
27	−5.8	−3.6	−5.5	−5.0	−6.6	559.8	561.2	562.8	88	94	100	W 1	WSW 1	W 0	10	10≡*	10	1.3	≡ ✳ 12–14 ⊠
28	−6.1	−5.2	−3.4	−3.2	−4.7	561.9	560.6	558.9	64	78	52	N 1	S 1	N 2	3	10≡	10*	0.4	✳ 21–n, ≡ 13–14½ ⊠
29	0.4	0.8	−1.8	−0.2	−1.6	558.2	560.0	562.8	100	98	100	E 3	NE 2	WSW 3	10●	10	5	0.2	● n–9, ≡ 7¾–21 zeitw. ⊠
30	0.4	3.7	1.8	2.0	0.7	564.3	565.5	566.4	62	67	66	W 1	S 1	SW 1	9	1	0	.	⊠
Mittel	4.0	6.5	4.0	4.8	—	565.5	566.1	566.2	71	70	76				7.4	7.4	6.7	Summe 149.8	

September 1943.
Beobachter: Frl. *F. Lombardi.*

St. Gotthard (Hospiz)

$\lambda = 8° 34'$, $\beta = 46° 33'$,
$H_b = 2095.7$ m, $G = -0.25$ mm.

Tag	Lufttemperatur 7³⁰	13³⁰	21³⁰	Mittel	Abweich. vom Normalst.	Luftdruck 7³⁰	13³⁰	21³⁰	Relative Feuchtigkeit 7³⁰	13³⁰	21³⁰	Windrichtung und Stärke 7³⁰	13³⁰	21³⁰	Bewölkung 7³⁰	13³⁰	21³⁰	Niederschlag	Witterung
1	2.0	10.8	6.6	6.5	−0.2	593.5	593.6	594.6	63	60	65	N 1	N 1	N 0	0	0	0	.	
2	5.8	12.6	8.2	8.9	2.3	594.4	595.0	595.3	43	32	100	W 0	S 0	S 0	5	5	10≡	.	≡ 17–n
3	7.2	9.2	5.6	7.3	0.8	595.0	594.7	594.9	46	40	100	S 0	N 1	N 1	8	5	10≡	2.2	●° 19–n zeitw., ≡ 18–n
4	4.5	6.0	4.0	4.8	−1.6	593.4	594.0	594.5	100	100	98	N 1	N 2	N 1	10≡	8≡	10≡	.	≡ n–n
5	2.7	11.4	4.2	6.1	−0.2	593.8	594.6	595.7	60	6	24	N 1	N 1	N 0	0	0	0	.	
6	5.0	14.2	6.4	8.5	2.3	595.5	596.4	597.2	27	8	57	NW 0	N 1	NW 1	0	5	5	.	
7	6.2	14.0	9.0	9.7	3.6	597.2	597.5	597.7	34	32	71	NW 0	NW 0	S 0	2	5	5	.	
8	8.4	10.5	9.0	9.3	3.3	596.4	596.5	596.8	90	51	95	S 0	S 0	S 0	10≡	8	10≡	6.1	● 8¼–11¼, ≡ n–10, 19–n
9	7.2	12.8	10.0	10.0	4.1	596.9	597.1	597.2	48	38	80	SW 0	S 0	S 0	0	8	10●	14.3	● 19¼–n, ≡ 17–n zeitw.
10	8.0	8.4	8.0	8.1	2.3	595.8	596.8	597.0	95	100	100	S 0	S 0	S 0	10	10≡	10≡	2.6	●° seit 10½ ziw., ≡ 10½–n
11	7.6	14.5	9.8	10.6	4.9	596.9	597.3	596.5	100	30	100	S 0	S 0	S 0	3	2	10≡	0.6	≡ 19–n
12	9.8	13.0	8.4	10.4	4.8	596.4	596.7	597.3	100	57	89	SE 0	SE 0	SE 0	10≡	10	8	.	≡ n–9½
13	7.5	14.4	11.5	11.1	5.6	596.9	597.0	596.9	51	34	100	SE 0	S 0	S 1	5	5	10●≡	16.4	● 16¾–n, ≡ 20–n
14	9.4	11.0	9.0	9.8	4.4	596.4	596.6	596.9	85	60	50	S 0	S 0	S 0	10●	10	10●	107.0	● n–10, 19¼–n, ⊼² n
15	9.0	10.5	8.5	9.3	4.0	597.8	598.2	598.4	100	100	100	S 1	S 1	N 1	10●≡	10●≡	10●≡	38.2	● ≡ n–n
16	8.0	9.8	9.0	8.9	3.8	598.8	599.8	599.5	100	100	100	N 1	N 2	S 0	10≡	10	10≡	0.3	≡ n–10, 14¼–n
17	9.2	11.0	9.4	9.9	4.9	598.6	598.0	596.5	100	70	81	S 0	S 0	S 0	10≡	10≡	10≡	17.0	●° sch. zeitw., ● ⊼ n, ≡ n–n
18	6.8	7.0	7.4	7.1	2.2	594.7	595.3	593.9	87	85	100	S 0	S 0	S 0	10●	10	10●≡	13.9	● n–11¼, 21–n, ≡ 19½–n
19	6.2	9.5	6.2	7.3	2.5	596.6	596.9	593.8	70	58	100	N 0	S 0	S 0	0	10	10●≡	47.0	● 17¾–n, ≡ 20–n
20	4.4	2.2	1.6	2.7	−1.9	591.9	592.9	593.5	100	28	100	N 1	N 3	N 2	10≡	6	10≡	5.2	● ✳ 9½–10¾, ● n, [≡ 20–n
21	4.0	6.8	4.4	5.1	0.6	592.5	592.5	592.1	37	32	58	W 0	S 1	S 1	5	5	8	2.4	
22	2.8	4.7	6.2	4.6	0.2	590.8	592.3	593.5	100	100	100	S 0	S 0	S 0	10≡	10●≡	10●≡	16.7	● sch. seit 12, ≡ n–n
23	6.4	9.4	5.2	7.0	2.8	595.1	597.1	597.3	98	75	100	SE 0	S 0	S 0	10●	8	10≡	3.3	● n–9¼, ≡ 19–n
24	6.4	12.0	8.0	8.8	4.7	595.4	596.6	596.9	55	42	100	S 0	S 1	S 1	0	5	10≡	5.5	● n (24./25.), ≡ 20¼–n
25	6.4	8.5	5.7	6.9	3.0	594.3	591.9	588.1	91	60	100	S 0	S 0	S 1	8	10●≡	10●≡	53.0	● 10¼–n, ≡ 11–n
26	0.8	−0.4	−2.0	−0.5	−4.3	585.8	585.8	588.4	100	100	100	N 2	N 2	N 2	10≡	10*≡	10≡	2.0	⸗ 9¼–16¾, ≡ n–n
27	−1.6	−1.4	−1.4	−1.5	−5.1	588.8	590.2	591.6	74	88	100	N 1	N 1	N 1	8	10	10≡	0.2	≡ 16–n
28	−2.2	0.8	−1.8	−1.1	−4.6	591.0	590.0	587.4	84	63	100	N 1	N 1	N 2	5	5	10≡	9.5	✳ 22¾–n, ≡ 19–n
29	−0.8	2.0	1.0	0.7	−2.6	586.5	589.6	592.4	91	100	100	NE 0	NE 0	SE 0	10≡	10≡	10	4.0	●° zeitw., ≡ n–n
30	4.2	5.4	4.2	4.6	1.5	594.0	595.0	595.4	81	57	65	S 1	S 0	NE 0	8	10	3	.	≡ 15¾–20¼
Mittel	5.4	8.7	6.0	6.7	—	594.4	594.9	595.0	77	60	88				6.6	7.3	8.6	Summe 368.0	

$\lambda = 7° 26'$, $\beta = 46° 57'$, $H_b = 572.2$ m, $G = 0.00$ mm.

Bern

Oktober 1943.
Beobachter: *Tellur. Observatorium.*

Tag	Lufttemperatur 7³⁰	13³⁰	21³⁰	Mittel	Abweich. vom Normalst.	Luftdruck 7³⁰	13³⁰	21³⁰	Relative Feuchtigkeit 7³⁰	13³⁰	21³⁰	Windrichtung und Stärke 7³⁰	13³⁰	21³⁰	Bewölkung 7³⁰	13³⁰	21³⁰	Niederschlag	Witterung
1	10.2	12.2	10.3	10.9	0.0	716.0	716.0	716.0	93	77	95	S 0	NE 0	W 0	9	10	10	.	
2	8.0	17.4	11.9	12.4	1.7	716.4	716.3	717.6	100	63	98	W 0	N 0	SE 0	2	2	0	.	
3	9.4	17.8	12.0	13.1	2.6	**718.9**	717.8	717.2	99	66	93	S 0	NE 1	NE 0	7	3	0	.	△ l
4	7.7	17.8	12.3	12.6	2.3	716.4	715.1	714.6	100	65	98	S 0	NW 1	SW 0	10≡	1	1	.	≡ n-9½
5	9.3	16.6	12.1	12.7	2.6	714.1	712.7	712.9	100	73	98	SE 0	NE 1	N 0	9	4	10	.	
6	9.3	15.5	11.7	12.2	2.3	712.3	710.7	710.0	100	81	100	S 0	NE 0	N 0	10≡	3	0	.	≡ n-9½
7	8.3	15.5	12.3	12.0	2.3	708.9	707.9	709.0	100	76	95	S 0	NNE 2	NE 1	10≡	2	3	.	≡ n-9½
8	10.6	11.7	11.5	11.3	1.8	710.8	712.3	715.0	97	91	99	NE 2	NE 2	NE 1	8	10	10	.	△ l
9	11.3	14.2	11.6	12.4	3.1	716.3	716.3	716.6	100	88	100	NE 0	NE 1	NE 0	10	10	10	.	
10	8.6	14.1	10.7	11.1	2.0	716.3	715.3	715.2	100	83	100	S 0	NE 1	NW 0	10≡	0	0	0.0	≡ n-10
11	10.7	12.8	10.7	11.4	2.5	715.7	715.6	716.6	100	90	99	SE 0	NW 1	NE 0	10●	10	10	0.1	●° n-9
12	10.5	12.0	11.1	11.2	2.5	716.8	716.4	715.7	100	87	94	NE 0	NE 1	NE 1	10●	10	10	0.0	● 5¾-8
13	10.2	12.2	10.3	10.9	2.4	714.6	714.0	713.8	93	83	90	SE 1	S 0	NE 1	10	10	10	.	
14	8.1	12.6	7.1	9.3	1.0	713.9	713.0	713.1	91	58	91	NE 1	NNE 2	N 0	9	2	1	.	
15	4.4	13.3	7.8	8.5	0.4	712.1	710.1	709.7	100	**46**	93	E 0	NW 1	SW 0	1	1	9	.	
16	4.4	13.2	8.4	8.7	0.7	708.7	707.1	706.4	98	60	90	SE 0	E 0	SSE 1	3	1	3	.	△ l, Ψ l
17	4.9	14.6	10.1	9.9	2.1	705.2	**703.7**	704.5	97	55	98	S 0	NW 0	S 0	8	7	10	0.0	●° 23, △ l
18	9.0	14.9	11.1	11.7	4.1	705.3	705.1	706.9	100	69	93	SW 0	NE 1	SE 0	9	3	7	0.0	
19	9.4	11.9	8.0	9.8	2.4	708.7	710.1	711.3	100	96	100	NE 0	W 2	SE 0	8	10●	10≡	**2.4**	● 12¼-16, ≡ 20¾-n
20	6.1	14.5	10.0	10.2	3.0	712.3	712.1	713.4	100	72	98	S 0	S 0	SE 0	10≡	3	0	.	≡ n-8¾
21	7.2	17.7	10.9	11.9	4.9	713.4	712.2	712.1	97	55	98	SE 1	NE 0	SE 1	2	2	0	.	△ l
22	7.8	**18.8**	10.1	12.2	5.3	713.3	712.1	712.1	98	52	96	SE 1	NE 0	S 0	4	4	0	.	△ l
23	6.3	17.1	10.3	11.2	4.5	711.9	711.7	712.3	100	55	94	SW 0	E 0	S 0	3	5	5	.	△ l
24	7.0	17.4	9.7	11.4	4.9	711.6	709.6	708.8	99	58	98	SW 0	NE 1	SE 0	8	4	0	.	△ l
25	5.9	10.6	8.8	8.4	2.1	707.6	705.6	707.5	100	98	100	SE 0	NE 1	NW 0	10	9	10	0.5	△ l
26	9.9	14.9	9.7	11.5	5.4	709.2	709.4	711.0	95	58	81	E 1	NE 2	NE 1	8	5	0	.	● 1-1¾
27	5.2	9.8	8.9	8.0	2.0	712.4	712.7	713.7	100	87	94	NE 0	NE 2	NE 1	10	10	10	.	△ l
28	7.9	10.9	8.7	9.2	3.4	714.3	714.6	715.9	93	71	91	N 1	NE 1	N 0	10	8	10	.	
29	8.0	10.4	5.1	7.8	2.2	716.2	715.9	716.1	86	76	100	SW 0	E 0	W 0	10	9	1	.	
30	**2.5**	7.8	5.0	5.1	−0.4	716.6	716.1	716.9	100	94	100	SW 0	W 1	N 0	10≡	8	10≡	.	≡ n-10¾, 17-n
31	3.5	6.7	5.5	5.2	−0.1	717.6	716.3	715.7	100	94	100	SW 0	NW 0	W 0	10≡	10	10≡	.	≡ n-a, abds.-n
Mittel	7.8	13.8	9.8	10.5	—	713.0	712.4	712.8	98	74	96				8.0	5.7	5.5	Summe 3.0	

$\lambda = 6° 57'$, $\beta = 47° 0'$, $H_b = 487.3$ m, $G = 0.02$ mm.

Neuchâtel

Oktober 1943.
Beobachter: *Observatorium.*

Tag	7³⁰	13³⁰	21³⁰	Mittel	Abweich. vom Normalst.	7³⁰	13³⁰	21³⁰	7³⁰	13³⁰	21³⁰	7³⁰	13³⁰	21³⁰	7³⁰	13³⁰	21³⁰	Niederschlag	Witterung
1	11.1	15.1	12.0	12.7	0.9	723.6	723.6	723.6	86	69	77	E 1	E 1	NE 0	9	10	10	.	
2	9.1	16.4	12.2	12.6	1.0	724.1	724.0	725.2	98	68	94	NE 1	S 1	NE 0	8	1	0	.	
3	11.6	**20.6**	14.8	15.7	4.3	**726.7**	725.7	724.6	97	61	73	E 0	E 2	NE 2	10	1	0	.	
4	8.4	17.2	12.7	12.8	1.6	723.9	722.8	722.0	98	70	94	S 0	S 1	SE 0	10	0	3		
5	11.6	19.1	12.8	14.5	3.5	721.6	720.3	720.4	98	72	88	E 0	S 1	NE 1	8	2	0	.	
6	10.0	15.2	11.5	12.2	1.4	719.7	718.3	717.3	98	82	87	E 0	SW 1	SE 0	10	3	1	.	
7	9.7	16.8	13.8	13.4	2.8	716.1	715.3	716.3	98	78	77	E 0	E 1	SE 1	10≡	0	1	.	≡ a zeitw.
8	11.4	14.1	13.1	12.9	2.5	718.4	719.8	722.6	89	80	89	NE 2	NE 2	NE 1	6	10	10	.	
9	13.0	16.7	13.8	14.5	4.3	723.8	723.9	724.3	97	77	86	E 0	NE 2	NE 1	10	9	9	.	
10	12.3	15.4	12.0	13.2	3.2	723.6	722.8	722.8	97	79	95	E 1	SE 1	N 0	10	10	0	.	
11	11.7	14.4	12.8	13.0	3.2	723.3	723.1	724.4	96	83	90	E 0	E 0	E 1	10	10	9	.	
12	12.0	13.9	12.3	12.7	3.1	724.3	723.9	723.3	94	82	82	NE 1	SE 1	E 1	10	10	10	.	
13	11.5	14.0	11.6	12.4	3.0	722.0	720.4	721.3	90	74	83	NE 0	S 1	N 2	10	10	10	.	
14	9.8	10.5	10.5	12.3	3.1	721.1	720.4	720.8	81	59	73	NE 1	E 1	NE 1	10	1	5	.	
15	6.3	14.5	10.3	10.4	1.4	719.8	717.8	717.2	93	**53**	76	NE 0	SE 1	NE 0	7	1	10	.	
16	6.6	15.1	8.7	10.1	1.3	716.0	714.5	713.8	94	62	89	NE 0	SE 1	NE 0	8	1	1	.	
17	6.4	13.6	11.4	10.5	1.9	712.5	**710.9**	711.9	93	71	84	E 1	S 1	E 1	9	7	10	2.0	● n (17./18.)
18	10.1	16.4	11.2	12.6	4.2	712.4	712.5	714.3	98	75	90	NE 0	E 1	NE 0	10	1	6	1.1	
19	10.7	11.6	8.9	10.4	2.2	716.2	717.9	718.8	97	96	97	N 1	W 1	N 0	6	10●	3	**6.0**	● n, 11-15½, ●tr. 7
20	9.4	15.7	11.2	12.1	4.0	719.8	719.7	720.9	100	74	95	E 1	SW 1	N 0	10	3	10	.	
21	8.4	16.9	11.6	12.3	4.4	720.8	719.9	719.5	98	64	95	N 0	E 1	SW 0	2	3	0	.	
22	9.2	18.9	11.5	13.2	5.5	720.6	719.5	719.2	98	58	90	NE 1	SE 1	N 0	10≡	5	0	.	≡ n-9½
23	7.9	16.6	12.1	12.2	4.7	719.4	719.2	719.5	97	69	87	NW 0	E 1	NE 0	5	4	10	.	≡ 7¾-10¾
24	8.6	16.9	11.3	12.3	4.9	718.9	717.2	716.2	97	65	87	E 0	SW 1	SE 0	7	1	0	.	
25	8.1	11.2	11.1	10.1	2.9	714.8	713.3	714.7	98	94	93	SW 1	E 2	N 0	9	10	10	.	
26	11.0	17.3	11.5	13.3	6.3	716.5	717.1	718.3	87	60	66	NE 1	S 1	NE 1	10	2	1	.	
27	9.8	11.4	10.6	10.6	3.7	719.8	720.5	721.4	80	79	81	NE 2	NE 1	E 1	9	10	10	.	
28	9.4	13.3	10.2	11.0	4.3	721.9	722.2	723.7	80	69	76	NE 1	E 1	NE 1	10	9	10	.	
29	9.3	13.2	7.7	10.1	3.6	723.8	723.5	723.9	79	69	90	E 0	SE 1	N 0	10	8	0	.	
30	**5.4**	9.9	6.6	7.3	0.9	724.5	723.9	724.7	100	84	97	NE 1	E 1	E 0	10≡	8	10	.	≡ a zeitw.
31	6.0	8.6	6.7	7.1	0.9	725.2	723.9	723.5	97	89	96	E 1	E 1	NE 1	10	10	10	.	
Mittel	9.5	15.1	11.2	11.9	—	720.5	719.9	720.3	94	73	86				8.8	5.5	5.5	Summe 9.1	

Oktober 1943.
Beobachter: Frl. *H. Nager.*

Altdorf

$\lambda = 8° 39'$, $\beta = 46° 53'$,
$H_b = 456.3$ m, $G = -0.05$ mm.

Tag	Lufttemperatur 7³⁰	13³⁰	21³⁰	Mittel	Abweich. vom Normalst	Luftdruck 7³⁰	13³⁰	21³⁰	Relative Feuchtigkeit 7³⁰	13³⁰	21³⁰	Windrichtung und Stärke 7³⁰	13³⁰	21³⁰	Bewölkung 7³⁰	13³⁰	21³⁰	Niederschlag	Witterung
1	11.0	15.3	9.9	12.1	0.2	726.3	725.5	725.7	88	56	91	SE 0	NW 0-1	SE 0	9	6	0	.	
2	10.5	15.5	11.4	12.5	0.7	726.5	726.1	727.5	96	63	93	NW 0	NW 0	NW 0	10	6	0	.	≡ a
3	10.9	18.2	13.4	14.2	2.6	**729.2**	727.5	726.9	93	57	85	NE 0	NW 1	NE 0	9	4	0	.	
4	8.7	16.3	12.2	12.4	1.0	726.4	724.9	724.4	94	64	95	S 0	NW 0	SE 0	5	2	2	.	
5	8.5	16.8	10.3	11.9	0.7	724.2	722.4	723.0	94	68	94	W 0	NW 0-1	NW 0	3	2	0	.	
6	8.0	15.7	10.8	11.5	0.5	721.7	720.1	719.3	93	74	93	NW 0	NW 0-1	SW 0	0	1	3	.	
7	9.9	14.3	10.5	11.6	0.7	718.5	718.5	719.2	95	74	93	NW 0	NW 0-1	NW 0	8	4	10	.	
8	11.2	14.0	12.4	12.5	1.8	720.9	721.9	725.1	94	80	93	NW 0	NW 0	NW 0	10	10	10	.	
9	12.3	16.3	12.6	13.7	3.2	726.3	726.0	726.7	94	63	90	NW 0	NW 0-1	NW 0	10	8	7	.	
10	10.3	16.8	10.9	12.7	2.4	725.8	724.8	725.4	93	63	94	NE 0	NW 1	NW 0	3	3	0	.	
11	11.5	16.3	13.8	13.9	3.7	725.9	725.0	726.9	93	67	92	NW 2	NW 1	NW 0	9	2	10	.	
12	12.9	14.8	12.9	13.5	3.5	726.7	726.1	725.4	84	71	92	N 0-1	NW 0	NW 0	10	10	10	.	
13	10.4	13.8	11.9	12.0	2.2	724.4	723.8	723.8	85	65	84	SE 0	NW 0-1	NW 0	8	10	10	.	
14	10.8	13.1	10.4	11.4	1.7	723.1	722.6	722.1	87	63	87	NW 0	NW 1-2	SW 0	8	5	10	.	
15	7.8	13.9	9.3	10.3	0.8	722.2	719.3	722.2	86	42	85	SW 0	NW 1	S 0	7	4	9	.	
16	**4.7**	14.3	14.8	11.3	2.0	719.3	716.3	716.2	91	44	32	S 0	NW 1	SE 3	0	0	4	.	
17	15.0	**19.2**	16.0	16.7	7.5	714.1	**712.5**	713.4	32	**30**	40	S 2	SE 2	W 1	3	6	8	.	
18	10.6	15.4	12.2	12.7	3.7	714.5	714.5	716.6	85	57	80	NE 0	NW 1	NE 0	10	6	6	.	
19	9.1	17.4	11.2	12.6	3.7	719.0	717.5	720.9	88	40	87	S 0	N 1	E 0	7	10	0	.	
20	8.3	15.6	9.7	11.2	2.5	722.4	721.4	723.5	93	55	98	NE 0	NW 0	NE 0	8	2	0	.	
21	8.3	16.7	9.8	11.6	3.1	723.1	721.6	722.8	81	47	91	W 0	NW 0	NW 0	0	0	0	.	
22	9.1	17.8	16.8	14.6	6.2	723.4	721.6	720.9	85	49	40	NW 0	NW 0	N 0-1	3	0	6	.	
23	8.7	15.7	8.7	11.0	2.8	721.2	721.9	722.6	93	54	63	S 0	NW 0-1	E 0	4	4	0	.	
24	6.0	15.3	12.3	11.2	3.1	721.9	720.7	718.3	86	50	68	S 0	NW 0-1	SW 0-1	1	3	0	.	
25	11.3	12.2	18.9	14.1	6.2	716.7	715.0	715.7	78	83	32	SW 1	NW 0	S 3	10	10	8	**0.6**	● n (25./26.)
26	10.8	15.2	7.4	11.1	3.3	719.4	718.9	720.8	95	55	88	NW 0	NW 0	NW 0	6	2	0	.	
27	6.3	11.8	10.0	9.4	1.8	722.3	722.5	723.8	91	64	89	NW 0	NW 0	NW 0	10	8	10	.	
28	9.4	12.1	10.2	10.6	3.1	724.0	724.5	726.0	95	66	90	NW 0	NW 0	NW 0	10	10	10	.	
29	8.7	12.3	5.5	8.8	1.5	726.3	725.6	726.2	80	63	94	E 0-1	NW 0	NW 0	10	3	0	.	
30	6.5	10.5	5.9	7.6	0.4	726.6	726.0	727.4	96	73	96	NW 0	NW 0-1	NW 0	10	7	10	.	
31	7.7	10.4	17.0	11.7	4.7	727.5	725.6	724.8	93	74	**30**	NW 0	NW 0-1	SE 0	10	2	0	.	
																		Summe	
Mittel	9.5	14.9	11.6	12.0	—	722.9	721.9	722.7	88	61	80				6.8	4.8	4.6	0.6	

Oktober 1943.
Beobachter: *Observatorium.*

Genf

$\lambda = 6° 9'$, $\beta = 46° 12'$,
$H_b = 405.0$ m, $G = -0.03$ mm.

Tag	Lufttemperatur 7³⁰	13³⁰	21³⁰	Mittel	Abweich. vom Normalst	Luftdruck 7³⁰	13³⁰	21³⁰	Relative Feuchtigkeit 7³⁰	13³⁰	21³⁰	Windrichtung und Stärke 7³⁰	13³⁰	21³⁰	Bewölkung 7³⁰	13³⁰	21³⁰	Niederschlag	Witterung
1	11.8	15.8	11.5	13.0	0.7	730.4	730.0	730.5	90	64	91	ESE 0	N 1	ESE 0	9	8	0	.	
2	7.8	17.4	13.6	12.9	0.8	731.1	730.6	731.8	91	69	94	ESE 0	NNE 0	ESE 0	0	2	10	.	
3	9.3	**18.7**	12.6	13.5	1.6	**733.4**	731.7	731.6	98	67	93	E 0	NE 1	E 0	6≡	4	1	.	≡ I
4	9.0	17.0	13.6	13.2	1.4	730.9	729.7	728.9	95	72	97	E 0	NNE 1	NE 0	1	1	0	.	≡ 6½
5	9.3	16.7	11.2	12.4	0.8	728.7	727.1	727.3	95	77	94	ESE 0	NNE 1	ESE 1	3	2	0	.	≡ a
6	10.3	16.4	12.2	13.0	1.6	726.7	724.7	724.2	94	73	97	E 0	NNE 1	E 0	10≡	3	4	.	≡ I
7	10.9	16.0	12.6	13.2	2.0	723.0	721.7	722.3	98	77	90	E 0	NNE 1	ESE 0	10≡	1	0	.	≡ I
8	13.4	15.8	14.4	14.5	3.5	725.0	726.4	729.3	84	73	80	NE 1	NNE 1	NE 1	10≡	10	10	.	≡ I
9	13.2	17.0	14.0	14.7	3.9	730.9	730.4	731.1	93	68	89	ESE 0	NNE 1	E 0	10≡	4	9	.	≡ I
10	13.1	16.0	14.5	14.5	3.8	730.7	729.7	729.6	92	78	91	E 0	NE 0	NE 0	10	10	10●	.	●°sch. 21
11	14.0	16.6	13.8	14.8	4.3	730.0	729.7	730.9	93	73	90	ENE 0	NNE 1	ENE 0	10≡	2	7	.	≡ I
12	13.4	14.4	13.2	13.7	3.4	731.2	730.7	730.2	86	83	87	NE 1	NNE 0	NE 1	10	10	10	.	● I
13	12.4	16.7	12.7	13.9	3.8	729.3	728.0	728.0	90	70	90	E 0	NE 0	E 1	10≡	5	4	.	≡ I
14	9.8	15.1	11.4	12.1	2.2	728.1	727.2	727.5	92	56	82	E 0	ENE 0	NE 0	8	8	7	.	
15	10.4	15.1	10.2	11.9	2.1	726.5	724.8	724.2	89	**52**	83	ENE 0	ESE 1	E 0	10	4	9	.	
16	9.2	15.0	11.2	11.8	2.2	722.7	721.0	720.4	89	60	85	E 0	NE 1	E 0	9	1	1	.	
17	8.0	14.0	12.1	11.4	2.0	719.4	**717.6**	718.5	89	72	88	ENE 0	NE 0	E 0	6	9	10●	11.3	● 17¾-n
18	11.0	15.4	11.8	12.7	3.5	719.7	719.4	721.3	97	75	94	E 0	NE 1	SE 0	10	3	10●	1.7	● 20¾-n
19	11.0	12.4	11.0	11.5	2.5	722.9	724.5	725.2	97	98	97	E 0	ESE 0	NE 0	9●	10●	6	**17.4**	● n-16, n
20	8.2	13.0	13.7	11.6	2.7	726.9	726.7	727.9	100	86	91	ENE 0	ESE 0	NE 0	10≡	2	2	.	≡ I
21	9.5	17.8	14.3	13.9	5.2	727.8	726.5	726.3	94	66	92	E 0	NE 1	ENE 0	2	3	0	.	
22	12.2	18.3	13.3	14.6	6.1	727.2	726.0	726.3	80	61	87	NE 0	NE 1	ENE 0	3	3	0	.	
23	8.6	16.6	14.0	13.1	4.8	726.4	725.9	726.1	92	72	78	ENE 0	NNE 0	NE 0	4	5	6	.	
24	9.2	15.8	12.0	12.3	4.1	725.6	723.9	722.9	89	76	87	E 0	NNE 1	NNE 0	6	7	10	.	
25	9.2	14.8	12.2	12.1	4.1	721.0	719.7	721.5	97	78	90	E 0	ESE 0	E 0	10	9	10	1.1	● 22
26	9.8	14.4	10.0	11.4	3.6	723.4	723.9	724.9	98	78	89	SSE 1	NNE 1	E 0	10≡	4	4	.	≡ I
27	7.4	12.6	11.0	10.5	2.8	726.7	727.0	727.9	93	74	76	ESE 0	NNE 2	NE 0	7	9	10	.	
28	9.0	13.8	10.8	11.2	3.7	728.8	728.9	730.4	89	62	82	E 0	NNE 1	ENE 0	9	8	10	.	
29	9.8	12.0	8.0	10.3	3.0	730.7	730.1	730.8	80	72	92	E 0	NE 0	ENE 0	8	0	0	.	
30	7.8	10.8	7.9	8.8	1.6	731.5	730.9	731.7	91	82	93	E 0	NE 0	W 0	10	10	10	.	
31	**7.0**	10.8	7.2	8.3	1.3	732.5	730.8	730.4	91	82	95	E 0	NNE 0	ESE 0	9	10	10	.	
																		Summe	
Mittel	10.2	15.3	12.0	12.5	—	727.4	726.6	727.1	92	73	89				7.7	5.4	5.8	31.5	

$\lambda = 8° 33'$, $\beta = 47° 23'$,
$H_b = 493.2$ m, $G = 0.03$ mm.

Zürich

Oktober 1943.
Beobachter: *Meteorol. Zentralanstalt.*

Tag	Lufttemperatur 7³⁰	13³⁰	21³⁰	Mittel	Abweich. vom Normalst	Luftdruck 7³⁰	13³⁰	21³⁰	Relative Feuchtigkeit 7³⁰	13³⁰	21³⁰	Windrichtung und Stärke 7³⁰	13³⁰	21³⁰	Bewölkung 7³⁰	13³⁰	21³⁰	Niederschlag	Witterung
1	11.0	14.9	10.6	12.2	0.9	723.1	722.7	722.7	91	60	97	ESE 0	NNE 1	NE 1	10	10	9	.	
2	9.2	20.0	11.9	13.7	2.6	723.1	723.1	724.5	98	45	97	ENE 0	WNW 1	SW 1	3	1	0	.	
3	12.6	20.2	12.4	15.1	4.2	**726.0**	725.1	724.2	92	42	86	S 0	ESE 2	ENE 1	9	2	0	.	△ l
4	8.4	19.2	11.8	13.1	2.4	723.3	722.0	721.5	97	52	98	NW 0	NW 1	SSW 1	0	1	0	.	
5	10.6	15.7	11.4	12.6	2.1	721.2	719.9	719.6	98	66	96	S 0	NW 1	NE 0	10≡	3	0	.	≡ a
6	10.5	14.1	10.4	11.7	1.3	718.9	717.6	716.7	99	76	99	ESE 0	WNW 1	W 0	10■	9	0	0.1	≡ a
7	9.8	14.8	11.0	11.9	1.7	715.8	715.2	716.2	98	67	80	ENE 1	WNW 1	NNE 1	10	3	5	.	☽ 5¼–6
8	11.2	12.2	12.4	11.9	1.9	718.2	719.2	721.8	89	90	94	NE 1	NW 1	NNW 0	10	10	10	**0.5**	● 11½–12, 16½–n zeitw.
9	12.6	15.2	13.5	13.8	4.0	723.4	723.3	723.6	97	80	85	NNW 0	NNE 2	NE 1	10	10	10	0.1	● n–2½, 5–8
10	12.7	17.9	13.6	14.7	5.0	722.9	722.1	722.4	94	58	86	NNE 1	NW 1	NW 1	9	2	9	.	
11	12.3	14.8	13.0	13.4	3.9	722.7	722.4	723.7	91	72	82	WNW 0	NW 2	NE 1	10	10	10	.	
12	11.7	13.3	11.9	12.3	3.0	723.6	723.3	722.5	91	77	86	NNE 0	NNW 1	NNE 1	10	10	10	0.0	
13	10.9	12.4	10.4	11.2	2.1	721.4	721.0	720.9	84	70	83	NNW 1	SSW 1	NW 1	10	10	10	.	
14	6.3	13.1	5.3	8.2	−0.7	720.9	720.3	720.2	80	55	91	NNW 1	NNE 0	NNW 0	10	1	0	.	
15	**2.3**	14.1	8.5	8.3	−0.5	719.1	716.9	716.3	100	45	85	WNW 1	W 2	NE 1	2	1	7	.	
16	5.9	16.7	7.9	10.2	1.6	715.3	713.9	713.2	97	41	92	WNW 0	ESE 1	ESE 1	10	1	0	.	
17	4.4	18.0	9.9	10.8	2.4	711.9	**709.8**	711.1	99	41	85	ESE 0	NNE 2	N 1	3	6	2	.	
18	8.8	16.3	9.9	11.7	3.5	712.1	712.2	713.5	97	48	95	NW 0	WNW 0	E 1	10	6	3	.	
19	9.4	16.6	10.5	12.2	4.1	715.8	715.3	717.7	97	57	97	SE 1	NW 2	N 1	8	9	9	0.1	
20	9.4	16.2	11.4	12.3	4.4	719.0	718.6	719.9	99	57	93	SE 1	WNW 2	SE 1	10≡	2	0	.	☽ 5½–7, ≡ l
21	7.9	20.7	12.0	13.5	5.8	720.2	719.0	718.5	99	43	92	ESE 0	SSW 1	SW 1	1	2	0	.	
22	10.8	**21.2**	11.5	14.5	7.0	719.9	719.1	718.0	93	39	94	SE 2	W 1	E 1	4	2	3	.	
23	7.8	20.4	10.6	12.9	5.5	718.3	718.5	719.0	98	40	95	NW 1	SSW 1	ESE 1	3	4	0	.	△ l
24	7.4	18.0	9.6	11.7	4.5	718.2	716.6	715.2	99	48	99	ESE 1	W 1	S 0	4	4	2	.	△ l
25	8.9	10.6	9.5	9.7	2.7	714.7	713.0	713.7	97	87	90	NE 0	N 0	NW 1	10	10	0	.	
26	10.2	17.2	8.8	12.1	5.3	716.1	716.4	718.0	93	**31**	76	SSE 1	NE 1	NE 1	9	1	0	.	
27	8.8	10.9	10.0	9.9	3.2	719.6	719.8	720.9	92	76	80	N 1	NE 1	NE 1	10	10	10	.	☽ 14½
28	8.9	11.1	9.6	9.9	3.4	721.3	721.8	723.0	82	69	80	N 1	NE 1	NE 1	10	10	10	.	
29	9.1	11.4	5.8	8.8	2.4	723.1	723.0	723.2	81	64	100	NE 1	NE 1	E 1	10	9	0	.	
30	5.3	7.5	7.8	6.9	0.7	723.5	723.4	723.9	100	90	96	NE 1	N 0	E 1	10≡	10	10	.	☽° a, ≡ a
31	6.6	11.2	6.1	8.0	1.9	724.3	723.2	722.5	95	60	99	NNW 1	SW 1	N 0	10	5	10	.	
																		Summe	
Mittel	9.1	15.4	10.3	11.6	—	719.9	719.3	719.6	94	59	91				7.9	5.6	4.5	0.8	

$\lambda = 8° 30'$, $\beta = 47° 3'$,
$H_b = 1787.3$ m, $G = -0.20$ mm

Rigi-Kulm

Oktober 1943.
Beobachter: *J. Wiget.*

Tag	7³⁰	13³⁰	21³⁰	Mittel	Abweich. vom Normalst	7³⁰	13³⁰	21³⁰	7³⁰	13³⁰	21³⁰	7³⁰	13³⁰	21³⁰	7³⁰	13³⁰	21³⁰	Niederschlag	Witterung
1	3.2	7.3	5.3	5.3	−0.1	617.6	618.0	618.3	95	70	72	SE 1	S 2	S 2	0	3	4	.	
2	7.4	9.2	7.2	7.9	2.7	618.8	620.1	620.4	50	48	81	SW 0	SW 0	W 0	5	3	2	.	
3	6.0	8.4	6.5	7.0	1.9	**621.3**	620.7	620.7	100	92	100	SE 1	SE 1	SE 1	7	10≡	7	.	≡ n–n zeitw.
4	7.6	10.0	7.2	8.3	3.4	619.2	619.2	618.2	56	57	75	SW 1	W 1	W 0	0	0	2	.	
5	6.2	10.4	7.6	8.1	3.3	617.1	616.6	616.4	97	72	92	SE 0	SW 0	SW 1	3	6	0	.	≡ zeitw.
6	8.2	11.2	8.8	9.4	4.8	615.8	615.3	614.0	49	41	54	SSW 1	S 2	SE 2	0	3	2	.	
7	8.4	10.4	7.8	8.9	4.5	613.2	612.8	613.6	42	39	85	SE 2	E 1	E 3	2	0	3	.	
8	7.2	6.0	5.2	6.1	1.8	613.8	615.0	617.2	57	95	100	E 3	E 1	E 2	2	5	10≡	.	≡ 12–n m.U.
9	4.4	8.0	8.2	6.9	2.8	618.6	619.2	619.1	100	85	65	E 2	E 0	E 1	10≡	10■	0	.	≡ n–21
10	9.2	10.5	8.5	9.4	5.5	618.7	618.9	619.0	48	67	95	W 1	E 1	E 0	3	3	1	.	
11	9.0	11.2	8.8	9.7	5.9	618.8	618.9	619.0	52	42	55	SE 1	SE 0	SW 0	0	0	3	.	
12	8.6	9.7	8.0	8.8	5.2	619.2	619.0	618.3	65	58	67	E 1	SE 2	E 1	0	0	3	.	
13	7.3	6.6	3.5	5.8	2.4	616.9	616.4	615.6	42	60	100	W 1	SW 1	W 1	0	0	10≡	.	≡ 15¼–n
14	1.4	3.2	1.2	1.9	−1.4	615.2	615.0	614.3	78	60	75	NW 1	W 0	W 1	3	3	2	.	
15	**0.6**	4.0	0.8	1.8	−1.3	613.8	612.8	612.4	100	75	100	W 1	SW 1	SW 1	10≡	3	3	.	≡ n–8¼
16	**0.6**	5.1	3.5	3.1	0.1	611.0	610.7	609.7	86	59	55	SW 2	SE 2	S 3	4	1	2	.	
17	5.3	8.6	6.8	6.9	4.1	609.4	608.7	608.6	42	41	47	S 3	S 3	S 3	3	5	7	.	
18	4.4	8.0	5.6	6.0	3.3	**608.4**	609.6	610.7	81	60	61	S 3	E 0	S 1	10	5	7	.	
19	5.2	8.4	5.4	6.3	3.7	612.3	612.6	613.7	75	46	61	SE 1	S 2	S 3	6	7	4	.	
20	6.0	10.0	6.7	7.6	5.2	615.0	615.7	616.7	58	47	56	SE 1	S 1	S 2	3	3	3	.	
21	8.3	**11.4**	7.5	9.1	6.8	617.0	617.2	617.6	47	41	48	S 1	SW 0	S 2	1	3	4	.	
22	8.2	7.4	8.5	8.0	5.8	617.1	616.5	616.0	52	80	45	NW 1	E 1	S 2	3	4	5	.	
23	10.3	11.2	8.8	10.1	8.0	615.9	616.2	615.8	**28**	48	48	SE 2	S 1	W 1	3	4	3	.	
24	7.8	9.6	8.4	8.6	6.7	615.2	614.2	613.7	38	48	40	S 2	SE 2	SE 3	4	5	5	.	
25	5.2	9.0	4.5	6.2	4.4	611.4	610.7	612.0	45	50	65	S 4	S 4	S 0	8	9	7	**1.9**	
26	1.6	3.2	4.4	3.1	1.4	612.4	613.5	613.2	80	83	84	NE 1	NE 1	W 0	7	7	6	.	
27	2.3	6.3	1.7	3.4	1.8	614.2	614.8	615.4	74	52	100	W 2	SE 1	W 1	9	10	10■	.	≡ 7½–n zeitw.
28	5.4	9.0	5.2	6.5	5.0	615.8	616.3	617.3	45	42	44	S 3	SW 2	S 1	5	1	2	.	
29	4.2	7.4	5.5	5.7	4.4	617.6	617.8	618.0	46	42	42	S 0	SE 1	SE 0	0	0	0	.	
30	4.6	7.4	6.3	6.1	4.9	618.3	618.7	618.9	45	39	47	SW 0	NW 1	SE 3	1	3	3	.	
31	5.8	7.6	7.0	6.8	5.7	619.1	618.3	617.9	42	45	43	S 1	S 3	S 4	0	1	2	.	
																		Summe	
Mittel	5.8	8.3	6.1	6.7	—	615.7	615.8	615.9	62	57	68				3.6	3.8	3.9	1.9	

Oktober 1943.
Beobachter: *P. Nogler.*

Bevers

$\lambda = 9° 53'$, $\beta = 46° 33'$,
H_b = ca. 1710 m, G = –0.23 mm.

Tag	Lufttemperatur 7³⁰	13³⁰	21³⁰	Mittel	Abweich. vom Normalst	Luftdruck 7³⁰	13³⁰	21³⁰	Relative Feuchtigkeit 7³⁰	13³⁰	21³⁰	Windrichtung und Stärke 7³⁰	13³⁰	21³⁰	Bewölkung 7³⁰	13³⁰	21³⁰	Niederschlag	Witterung
1	4.4	10.4	5.6	6.8	1.5	625.5	625.3	625.1	88	38	96	W 1	S 2	W 0–1	7	10	6	.	
2	2.8	13.0	2.2	6.0	0.8	625.1	626.3	627.0	94	34	98	W 0	W 2	W 0	6	2	0	.	
3	0.0	13.8	2.8	5.5	0.5	**627.6**	**627.6**	627.2	94	34	94	W 1	W 2	NW 0	0	0	0	.	
4	–1.0	12.8	3.0	4.9	0.1	626.2	625.8	624.5	96	**31**	92	SW 0	S 1	NW 0	0	0	0	.	
5	0.6	14.0	3.0	5.9	1.3	623.8	623.6	623.2	91	42	97	W 0	S 2	SW 0	0	0	0	.	
6	0.4	11.4	6.0	5.9	1.5	623.0	621.4	621.4	100	54	94	S 0	S 2	W 0	2	7	0	.	
7	0.0	13.5	3.0	5.5	1.3	620.4	620.0	619.4	100	44	88	S 0	S 1	NW 1	0	2	0	.	
8	1.2	**14.4**	8.3	8.0	4.0	620.3	622.7	623.9	96	47	87	S 0	SW 2	S 1	7	8	8	.	
9	5.1	13.0	6.6	8.2	4.3	625.9	626.1	626.5	100	38	93	S 0	S 2	W 1	10	6	10	.	
10	6.2	14.2	6.0	8.8	5.1	626.2	625.1	626.2	100	56	95	W 0	S 2	E 1	10	6	4	.	
11	4.6	13.0	5.6	7.7	4.2	626.2	626.2	626.3	100	44	96	W 0	NE 1–2	NE 1	0	3	3	.	
12	4.0	13.0	4.8	7.3	4.0	626.1	625.4	624.8	98	42	90	W 1	NW 2	W 1	10	4	10	.	
13	5.7	13.0	2.4	7.0	3.9	623.2	622.8	621.6	94	**31**	94	E 1	NE 2–3	N 1	10	3	4	.	
14	–0.6	7.8	–0.2	2.3	–0.6	620.8	624.8	620.4	100	**31**	74	NW 1	NW 3–4	N 1	10	6	10	.	
15	–4.6	8.0	0.3	1.2	–1.5	619.3	619.4	618.8	90	**31**	78	NW 1	N 2	NW 0	0	4	5	.	
16	–0.9	6.0	1.0	2.0	–0.5	618.6	617.9	618.8	82	62	93	W 1	NE 2	N 1	10	4	2	.	
17	1.4	8.3	5.3	5.0	2.7	617.4	**616.6**	617.3	94	69	96	SE 1	SE 1–2	S 1	10	10	10●	1.3	●sch. p zeitw., ●° 21½–n
18	5.0	10.0	5.3	6.8	4.7	617.3	619.0	619.2	90	67	90	N 0	WNW 2	NE 0	10●	8	10●	**2.9**	●° n–11, ● 20–n
19	3.8	8.2	5.2	5.7	3.8	620.6	621.1	622.4	100	79	95	NE 1	N 2	W 1	10	10	5	.	
20	2.8	11.0	2.6	5.5	3.8	622.9	624.2	624.6	100	61	97	S 1	E 2	E 1	7	2	0	.	
21	–0.8	13.0	4.3	5.5	4.0	624.7	624.7	624.6	100	68	93	E 1	W 2	W 0	0	3	0	.	
22	0.8	11.2	4.3	5.4	4.1	624.6	623.9	625.2	99	61	96	SW 0	SW 2	SW 1–2	7	2	0	.	
23	–0.2	12.9	1.0	4.6	3.5	624.9	624.4	623.8	99	68	82	S 0	SW 1–2	W 1	10	6	2	.	
24	–2.4	12.2	0.2	3.3	2.3	622.8	621.1	620.6	90	32	90	N 0	NW 1–2	NW 0	8	6	1	.	
25	–1.3	10.7	5.6	5.0	4.2	620.2	619.6	619.1	100	78	98	W 1	SW 2	S 1	8	9	7	0.1	●° 19–20½
26	3.4	9.0	1.4	4.6	4.0	619.3	619.9	620.7	100	61	96	SW 0	SE 1–2	W 0	7	4	4	.	
27	1.0	7.0	2.4	3.5	3.1	620.4	621.5	622.1	97	71	100	SW 1	W 2	W 1	10	10	6	1.1	●° 9¼–14 m.U.
28.	2.0	10.0	–0.2	3.9	3.7	623.2	623.8	624.6	100	78	98	SW 0	S 2	W 1	10	3	0	.	
29	–4.8	10.0	1.4	2.2	2.2	624.9	624.9	625.0	98	80	93	SW 0	W 2	W 1	0	8	0	.	
30	–0.2	8.2	4.1	4.0	4.2	625.0	624.9	626.2	97	55	91	E 0	S 2	SW 1	7	7	7	.	
31	–2.4	9.0	1.2	2.6	2.9	627.1	626.9	626.6	100	51	96	W 1	S 2–3	NW 1	2	4	0	.	
																		Summe	
Mittel	1.2	11.0	3.4	5.2	—	623.0	623.1	623.1	96	53	93				6.1	5.1	3.7	5.4	

Oktober 1943.
Beobachter: *Kapuzinerkloster.*

Sitten

$\lambda = 7° 21'$, $\beta = 46° 14'$,
H_b = 548.6 m, G = –0.11 mm.

1	9.1	17.5	11.6	12.7	0.2	718.4	716.4	718.5	93	56	87	W 1	SW 1	N 1	1	3	1	.	
2	8.7	18.6	13.3	13.5	1.2	719.2	717.9	719.8	98	50	71	N 0	WSW 2	NNE 1	1	4	0	.	⊿ I
3	8.8	18.1	13.9	13.6	1.5	**721.5**	719.0	719.3	92	53	77	NE 0	WSW 2	NNE 2	0	1	0	.	⊿ I
4	8.5	18.7	14.2	13.8	1.9	719.1	716.5	716.4	99	52	72	NNE 1	SW 2	NNE 1	0	2	0	.	⊿ I
5	9.4	18.1	12.9	13.5	1.8	716.6	713.9	715.2	95	54	84	NE 0	SW 1	N 2	4	1	0	.	⊿ I
6	8.8	19.1	14.3	14.1	2.6	714.8	712.2	712.2	96	48	70	NNE 0	W 1	ENE 0	0	7	5	.	⊿ I
7	11.2	**20.8**	13.2	15.1	3.8	711.1	708.6	710.1	67	44	80	NE 1	ENE 0	NNW 0	1	2	0	.	
8	9.5	16.8	13.3	13.2	2.1	712.6	712.7	716.9	91	63	84	NNW 0	W 2	WNW 0	6	9	10≡	.	≡ III, ⊿ I
9	12.7	18.6	14.2	15.2	4.3	718.4	717.2	718.9	95	55	83	W 0	WSW 1	W 0	10≡	2	10	.	≡ n–8
10	10.6	19.3	14.4	14.8	4.1	718.3	716.3	717.4	97	58	89	NNE 0	W 2	W 0	3	4	6	.	●° 19, 19¾, ⊿° I
11	9.2	19.3	14.3	14.3	3.8	718.1	716.0	718.3	100	52	85	NNE 0	SSW 2	W 1	0	2	6	.	
12	11.1	17.5	12.0	13.5	3.2	719.1	717.1	717.9	95	63	85	NNW 1	WSW 2	W 0	10	2	10	.	
13	9.1	16.6	11.3	12.3	2.2	717.1	714.5	714.9	96	58	86	NNE 0	WSW 1	W 0	0	2	2	.	
14	11.2	16.3	9.9	12.5	2.6	714.8	713.3	714.6	81	53	71	NNE 0	WSW 2	NE 3	8	2	1	.	
15	8.9	15.1	8.8	10.9	1.2	714.3	711.5	717.0	86	51	72	NE 0	WSW 2	NNE 2	10	2	0	.	
16	7.9	14.8	8.8	10.5	0.9	711.5	709.6	710.6	80	42	54	NNE 0	NE 1	NW 1	8	0	1	.	
17	6.8	18.2	13.0	12.7	3.3	711.0	**706.0**	706.8	64	42	59	NE 1	NE 1	E 1	3	4	10	.	●tr. n (17./18.)
18	11.1	18.8	12.4	14.1	4.9	707.6	706.3	709.4	72	45	72	NE 0	W 1	W 1	10	1	4	.	
19	10.4	15.8	11.1	12.4	3.4	711.4	711.5	714.3	75	64	69	N 1	SW 1	NE 2	9	10	0	.	
20	13.0	17.9	11.6	14.2	5.4	715.3	713.9	716.0	86	51	70	NE 0	W 2	N 0	3	3	0	.	
21	8.5	18.8	12.9	13.4	4.8	717.1	714.0	715.1	79	44	65	NE 0	NE 0	NE 1	0	0	0	.	⊿ I
22	9.4	19.1	8.7	12.4	3.9	716.5	713.9	715.4	73	**41**	53	NE 1	NE 1	NE 1	1	0	2	.	⊿ I
23	10.6	16.1	11.9	12.9	4.6	715.3	714.3	714.5	63	56	65	NE 1	NE 0	NE 0	3	8	1	.	
24	7.5	17.0	12.2	12.2	4.1	714.3	711.8	711.6	74	46	57	NE 0	NE 1	NNE 2	7	4	0	.	
25	10.5	17.4	11.2	13.0	5.1	710.5	707.8	708.7	57	50	92	NE 1	NE 0	W 1	9	8	1	.	
26	7.9	15.5	9.5	11.0	3.3	711.3	710.7	712.8	97	60	72	NE 0	WSW 2	NE 1	4	2	0	.	⊿ I
27	5.1	12.9	8.2	8.7	1.1	714.5	714.0	715.8	77	51	78	NE 0	NE 1	NE 2	9	8	0	.	
28	5.0	13.5	9.6	9.4	2.0	716.7	715.6	718.1	94	58	81	NE 0	W 2	ENE 1	7	6	0	.	
29	3.8	14.2	9.1	9.0	1.8	718.8	717.0	718.3	100	51	75	NE 1	NW 1	NNE 1	0	1	0	.	⊿ I
30	4.5	13.9	8.4	8.9	1.9	719.1	717.5	718.9	85	46	81	N 0	WNW 1	WNW 0	0	1	0	.	⊿ I
31	4.0	16.8	10.8	10.5	3.6	720.0	717.3	718.1	96	42	55	WNW 0	WNW 0	NE 0	0	0	0	.	⊿ I
																		Summe	
Mittel	8.8	17.1	11.7	12.5	—	715.6	713.7	715.2	86	52	74				4.1	3.3	2.3	0.0	

$\lambda = 8° 57'$, $\beta = 46° 0'$,
$H_b = 276.2$ m, $G = -0.01$ mm.

Lugano

Oktober 1943.
Beobachter: *G. Vicari.*

Tag	Lufttemperatur 7³⁰	13³⁰	21³⁰	Mittel	Abweich. vom Normalst.	Luftdruck 7³⁰	13³⁰	21³⁰	Relative Feuchtigkeit 7³⁰	13³⁰	21³⁰	Windrichtung und Stärke 7³⁰	13³⁰	21³⁰	Bewölkung 7³⁰	13³⁰	21³⁰	Niederschlag	Witterung
1	12.2	18.0	14.4	14.9	0.5	741.6	742.2	742.9	90	61	93	N 1	SW 0	N 1	6	9	10	5.0	● 19–23 m.U.
2	12.2	19.0	13.2	14.8	0.6	742.6	742.6	742.9	93	56	87	NNW 1	SE 0	N 1	3	5	0	.	
3	10.4	22.0	13.6	15.3	1.3	743.0	742.2	743.3	91	47	82	NNE 1	SE 1	N 1	0	0	0	.	
4	11.0	**22.4**	15.0	16.1	2.3	742.1	740.2	739.1	88	**43**	84	NNE 1	E 0	N 1	0	0	0	.	
5	10.8	22.2	14.4	15.8	2.2	738.4	737.4	738.1	93	45	81	NNE 1	SSE 0	NNE 1	0	1	0	.	
6	12.2	19.8	14.6	15.5	2.1	738.3	737.2	736.8	91	56	85	NNW 1	ESE 0	NNE 1	7	7	0	.	
7	12.0	21.4	14.2	15.9	2.7	735.0	**732.9**	733.0	91	53	82	N 1	SE 0	NNE 1	6	8	2	.	
8	12.2	22.0	15.4	16.5	3.5	734.2	735.1	738.8	90	47	88	N 1	NW 0	NNE 1	3	8	3	.	
9	13.0	19.2	17.0	16.4	3.6	741.1	741.3	741.5	92	56	81	NNW 1	E 0	N 1	4	10	10	2.8	● 22–24 m.U.
10	15.2	19.0	15.6	16.6	4.0	742.1	741.5	742.4	94	67	94	NNW 1	E 0	N 1	9	10	10●	4.4	● 19–22 m.U.
11	15.0	21.4	16.0	17.5	5.1	742.1	741.4	742.7	93	55	86	N 1	SE 1	N 1	9	4	7	.	
12	15.6	17.8	15.6	16.3	4.0	742.8	743.3	742.4	86	50	76	NNE 0	NE 1	N 1	10	10	10	.	
13	12.0	13.2	11.0	12.1	0.0	742.3	741.6	740.8	54	44	74	WSW 1	SW 1	NNE 1	8	10	10	.	
14	10.2	12.0	10.0	10.7	−1.2	739.7	739.8	738.7	72	47	79	N 1	NNE 1	NNE 1	10	10	10	.	
15	9.2	12.0	10.4	10.5	−1.2	738.2	737.5	737.8	78	61	73	NNE 1	SSW 1	NW 1	10	10	10	.	
16	9.2	12.4	10.4	10.7	−0.8	737.3	737.0	736.8	83	62	94	W 1	SE 1	NE 1	10	10	10	2.1	●° 17½–20½ m.U.
17	9.8	12.2	11.2	11.1	−0.2	735.2	734.7	734.8	96	88	97	NE 1	N 1	N 1	10●	10●	10●	**34.7**	● n–n
18	11.4	12.0	11.6	11.7	0.6	734.1	735.3	736.3	96	93	94	NNE 1	NNE 1	NE 1	10●	10●	10	26.0	● n–19
19	11.6	13.0	12.4	12.3	1.4	737.7	738.3	739.6	95	93	94	NE 1	ENE 0	N 1	10	10●	10●	14.4	● n–n
20	12.2	15.2	12.0	13.1	2.4	740.2	740.4	741.4	93	80	93	N 1	SSE 0	N 1	9	10	5	.	
21	9.0	17.8	12.2	13.0	2.4	741.3	740.9	741.1	93	53	90	NNW 1	SE 0	N 1	0	0	3	.	
22	11.6	18.4	12.6	14.2	3.8	741.3	741.0	741.8	93	59	88	N 0	SE 0	N 1	5	6	3	.	
23	11.4	16.6	12.0	13.3	3.1	741.3	740.5	740.4	93	63	91	N 1	SSE 0	N 1	9	10	0	.	
24	**8.6**	17.0	11.2	12.3	2.3	739.5	738.4	738.4	94	55	88	N 1	SE 0	N 1	5	7	8	.	
25	11.0	13.8	12.6	12.5	2.7	736.9	736.3	735.8	88	78	96	NNE 1	NE 0	NW 1	8	10●	10●	13.5	●° 9–n m.U.
26	11.6	17.4	9.4	12.8	3.2	736.2	735.9	737.3	93	51	87	NW 1	ESE 1	N 1	7	2	0	.	
27	9.0	13.8	11.4	11.4	2.0	737.3	737.8	739.2	89	64	94	N 1	SSW 0	NE 1	10	10	10	1.2	● 18½–22
28	10.4	17.4	11.0	12.9	3.7	740.5	740.0	741.8	93	47	84	NNE 1	ESE 1	N 1	9	3	0	.	
29	8.8	16.8	12.2	12.6	3.6	742.3	742.3	742.9	90	56	84	N 1	SE 0	NE 1	0	4	10	.	●tr. 21
30	11.2	15.0	11.4	12.5	3.7	743.2	743.6	744.8	86	59	89	NW 1	S 1	NNE 1	10	10	6	.	●tr. 18½
31	11.0	16.0	11.2	12.7	4.1	**745.4**	744.7	745.2	94	57	88	N 1	S 1	N 1	10	10	0	.	
																		Summe	
Mittel	11.3	17.0	12.7	13.7	—	739.8	739.5	740.0	89	60	87				6.7	7.2	5.7	144.1	

$\lambda = 7° 35'$, $\beta = 47° 33'$,
$H_b = 318$ m, $G = 0.11$ mm.

Basel

Oktober 1943.
Beobachter: *Astronom.-Meteorol. Anstalt.*

Tag	7³⁰	13³⁰	21³⁰	Mittel	Abweich. vom Normalst.	7³⁰	13³⁰	21³⁰	7³⁰	13³⁰	21³⁰	7³⁰	13³⁰	21³⁰	7³⁰	13³⁰	21³⁰	Niederschlag	Witterung
1	10.6	14.7	9.1	11.5	−0.1	738.8	738.7	738.0	97	80	98	SSE 0	NNW 0	SSW 1	10	10	0	.	
2	7.6	20.1	14.6	14.1	2.7	738.5	738.3	739.8	98	54	88	ESE 1	E 0	SW 0	8≡	4	10	.	≡ 2–8½
3	11.0	20.1	10.5	13.9	2.7	**741.5**	740.6	739.8	97	63	94	SE 0	W 1	SSW 1	10≡	2	0	.	
4	8.1	20.0	11.2	13.1	2.1	738.5	737.2	736.6	98	60	97	SSE 1	NNW 0	SSW 1	10≡	1	0	.	≡ 3–8¾
5	10.5	18.4	11.0	13.3	2.5	736.7	735.3	735.1	94	69	97	WNW 0	WNW 1	SSW 1	10	0	0	.	
6	8.5	20.0	12.8	13.8	3.2	734.0	732.5	731.7	99	62	94	ESE 1	ESE 1	ESE 1	10≡	0	1	.	≡ 3–9
7	9.8	14.3	12.2	12.1	1.7	731.2	730.9	731.8	98	82	97	ESE 0	NW 1	WSW 1	10≡	10	10	.	≡ 0¾–9½
8	11.0	12.4	12.2	11.9	1.7	733.8	735.3	737.5	96	89	96	WNW 0	NW 1	SSE 0	10	10	10	.	
9	10.3	11.8	11.7	11.3	1.3	739.3	739.4	739.3	97	91	95	W 1	W 0	W 0	10≡	10	10	.	≡ 4–12
10	10.9	18.9	10.2	13.3	3.5	738.2	737.4	737.8	98	69	97	W 0	WNW 1	SW 1	10≡	5	0	.	≡ 6–9½, 23–n
11	9.3	15.4	12.9	12.5	3.0	738.2	737.9	739.3	98	77	95	ENE 0	WSW 0	WNW 1	10≡	10	10	.	≡ n–9½
12	11.6	15.0	12.1	12.9	3.6	739.2	738.8	738.1	98	72	96	WNW 0	ESE 1	WNW 1	10	10	10	.	
13	11.1	12.5	9.3	11.0	1.9	737.0	736.7	736.8	96	86	88	WNW 1	WNW 1	WSW 1	10	10	6	.	
14	7.4	12.4	5.3	8.4	−0.5	736.5	736.2	736.1	96	74	96	SSW 0	WNW 1	SSW 1	10≡	8	0	.	
15	3.1	14.7	6.0	7.9	−0.8	734.9	732.7	732.1	98	58	90	ESE 1	N 1	SSW 0	10≡	1	1	.	≡ 1–8¾
16	4.2	15.4	9.5	9.7	1.2	730.6	729.2	728.1	92	49	79	ESE 1	E 1	ESE 1	4	8	0	.	
17	8.6	18.9	12.4	13.3	5.0	726.4	**725.3**	726.6	78	**42**	85	E 1	ESE 1	WSW 1	9	9	10	0.6	
18	10.6	17.8	11.4	13.3	5.2	727.2	727.3	728.8	97	69	83	SSW 0	ENE 1	ESE 1	10	1	8	0.8	● 1½–3¼, 4½–5
19	10.7	14.2	11.0	12.0	4.1	730.5	731.8	732.4	93	80	91	ESE 1	WSW 1	ESE 1	10	10●	0	**1.6**	● 0¼–5¾ m.U., 13½–15¾
20	9.0	19.7	13.1	13.9	6.2	733.3	733.0	734.3	93	50	81	SE 1	ESE 1	ENE 1	5	2	9	.	△ l
21	11.2	22.1	12.0	15.1	7.6	734.2	733.3	733.4	86	54	94	E 1	E 1	ESE 1	3	2	0	.	
22	10.4	20.4	12.8	14.5	7.1	734.8	734.0	733.1	92	62	85	E 1	ENE 1	ENE 1	4	6	7	.	△ l
23	10.0	**21.6**	12.6	14.7	7.5	732.9	732.5	733.8	88	54	86	ESE 1	ESE 1	ESE 0	1	4	0	.	
24	8.4	18.3	12.7	13.1	6.1	733.3	732.0	731.1	94	62	96	ESE 1	NNW 1	WSW 1	7	2	10	.	
25	11.5	13.2	8.6	11.1	4.3	729.8	728.6	729.8	96	82	96	ENE 1	ENE 1	WNW 1	10	10	10	0.2	≡ 16½–20, △ l
26	9.0	17.2	6.0	10.7	4.0	731.4	731.9	733.7	96	61	93	E 1	WNW 1	SSW 1	7	5	0	.	● 0¼–1, △ l
27	**3.0**	9.2	9.2	7.1	0.6	735.6	736.0	736.6	96	84	95	ENE 0	WNW 0	WSW 0	9	10	10	.	△ l
28	8.6	11.0	9.5	9.7	3.4	737.2	737.6	738.7	96	80	92	WSW 0	WNW 1	WNW 0	10	10	10	.	≡ 16¾–19
29	9.1	12.5	7.0	9.5	3.3	738.7	738.3	738.7	86	64	98	NE 0	E 1	WNW 1	9	10	10≡	.	≡ 20½–n
30	4.2	13.1	6.3	7.9	1.9	738.8	738.4	739.1	98	69	98	ESE 0	WNW	WNW	10	0	10≡	.	≡ n–10, 17¼–21½
31	3.7	13.8	5.0	7.5	1.6	739.5	738.1	737.8	97	62	97	ESE 1	ESE 1	NNW 1	0	0	10≡	.	≡ 21–24, △ l
																		Summe	
Mittel	8.8	16.1	10.3	11.7	—	735.2	734.7	735.0	95	68	93				8.3	5.8	5.5	3.2	

Oktober 1943.
Beobachter: *Observatorium.*

Säntis

$\lambda = 9° 20'$, $\beta = 47° 15'$,
$H_b = 2500.1$ m, $G = -0.27$ mm.

Tag	Lufttemperatur 7³⁰	13³⁰	21³⁰	Mittel	Abweich. vom Normalst.	Luftdruck 7³⁰	13³⁰	21³⁰	Relative Feuchtigkeit 7³⁰	13³⁰	21³⁰	Windrichtung und Stärke 7³⁰	13³⁰	21³⁰	Bewölkung 7³⁰	13³⁰	21³⁰	Niederschlag	Witterung
1	2.8	5.2	2.3	3.4	2.3	566.6	566.9	567.4	55	57	65	S 1	S 2	S 2	1	7	0	.	
2	2.4	6.2	2.4	3.7	2.7	567.3	568.4	569.2	61	64	81	W 2	S 2	W 2	1	6	1	.	
3	1.3	5.8	3.2	3.4	2.5	569.6	**569.7**	569.1	98	63	70	W 1	SSW 1	SW 1	10	0	0	.	
4	4.1	6.8	1.9	4.3	3.5	567.8	567.7	567.0	46	49	57	WSW 2	SSW 2	W 3	0	1	1	.	
5	2.8	5.6	3.9	4.1	3.5	565.7	565.5	565.5	61	35	57	W 1	SW 2	WSW 2	1	2	0	.	
6	3.9	6.7	3.1	4.6	4.1	564.7	564.4	563.7	45	41	68	W 1	SSE 1	WSW 2	1	1	7	.	
7	3.4	6.0	3.1	4.2	3.8	562.4	562.4	562.7	45	47	70	NE 1	S 1	NE 2	2	2	8	.	
8	2.6	6.6	3.3	4.2	4.0	562.9	564.1	566.3	65	44	76	NE 2	S 1	SE 1	1	4	1	.	
9	5.2	7.9	5.5	6.2	6.1	567.7	568.3	568.7	54	49	59	NE 1	S 1	S 0	1	1	0	.	
10	5.6	7.6	5.1	6.1	6.1	568.1	568.2	568.3	54	55	65	S 1	SSW 1	SSE 1	1	1	1	.	
11	4.7	6.9	4.2	5.3	5.5	567.9	568.0	568.7	63	51	57	E 1	SSE 1	E 1	0	1	1	.	
12	4.4	6.8	5.6	5.6	5.9	568.3	568.1	567.0	71	32	**11**	NE 2	S 1	NW 2	0	1	0	.	
13	1.6	2.2	-3.0	0.3	0.8	564.9	564.2	563.7	42	62	98	W 3	W 3	WSW 1	0	0	5≡	.	≡ 21–n zeitw.
14	-4.4	-2.3	-4.5	-3.7	-3.1	562.5	562.7	562.5	92	91	75	WNW 1	NW 2	W 2	3≡	10≡	1	.	≡ n–16 m.U.
15	**-4.7**	-3.4	-4.3	-4.1	-3.3	560.5	560.1	559.4	100	81	100	W 3	WSW 2	W 3	10≡	4	4	.	≡ n–12, 17³/₄–21¹/₄
16	-3.7	-0.2	-1.8	-1.9	-1.0	558.6	558.8	558.9	58	74	52	W 3	SW 2	SW 2	0	1	1	.	
17	-0.4	4.2	2.0	1.9	3.0	558.2	558.2	558.4	58	47	56	SSW 3	S 3	SW 3	6	9	9	.	
18	0.6	4.5	1.6	2.2	3.4	**558.1**	559.0	560.1	96	54	58	SSE 3	SSW 2	WSW 3	10	9	10	.	
19	-0.3	3.7	1.4	1.6	2.9	561.4	561.7	563.4	74	49	72	S 3	SW 3	SW 3	7	10	1	.	
20	1.4	5.4	3.3	3.4	4.9	564.0	564.9	566.0	72	50	50	SW 2	SSW 1	SW 2	9	3	0	.	
21	4.1	**9.2**	5.7	6.3	7.9	566.3	566.8	565.8	38	24	36	WSW 2	SW 2	SW 3	1	1	0	.	
22	2.7	5.4	8.6	5.6	7.3	566.1	565.8	565.7	73	52	12	NW 2	S 2	W 3	6	1	4	.	
23	6.5	8.3	3.6	6.1	8.0	565.7	565.7	565.8	16	23	38	E 1	SSW 2	SSE 1	7	3	1	.	
24	4.2	6.9	4.4	5.2	7.2	564.5	563.8	562.7	34	24	19	NNW 1	WSW 2	WSW 3	8	9	3	.	
25	4.4	5.0	4.4	4.6	6.7	561.1	560.8	560.3	26	53	62	SSE 3	SSW 3	SW 4	9	9	10	.	⚷ III
26	-0.3	2.7	-0.5	0.6	2.9	560.5	561.4	562.3	100	54	84	SSW 3	WSW 2	SE 2	8≡	2	6	.	≡ n–9³/₄ m U.
27	-0.8	2.3	1.3	0.9	3.3	562.5	563.1	564.0	90	58	68	ESE 1	SE 0	ESE 1	9	10	0	.	
28	1.1	4.6	1.0	2.2	4.7	564.5	565.3	566.2	48	32	50	SSE 2	SSW 1	SW 0	2	1	0	.	
29	0.6	3.0	0.5	1.4	4.1	566.1	566.4	566.9	56	42	49	SE 1	S 2	ESE 0	0	1	0	.	
30	1.4	3.2	1.2	1.9	4.7	566.7	567.1	567.8	44	46	53	N 1	S 1	SW 0	2	2	1	.	
31	0.4	3.4	1.5	1.8	4.7	567.7	567.5	567.0	51	54	48	SSW 2	SSW 2	SW 3	1	1	1	.	
Mittel	1.9	4.7	2.3	3.0	—	564.5	564.7	564.9	61	50	59				3.8	3.6	2.5	Summe 0.0	

Oktober 1943.
Beobachter: Frl. *F. Lombardi.*

St. Gotthard (Hospiz)

$\lambda = 8° 34'$, $\beta = 46° 33'$,
$H_b = 2095.7$ m, $G = -0.25$ mm.

Tag	Lufttemperatur 7³⁰	13³⁰	21³⁰	Mittel	Abweich. vom Normalst.	Luftdruck 7³⁰	13³⁰	21³⁰	Relative Feuchtigkeit 7³⁰	13³⁰	21³⁰	Windrichtung und Stärke 7³⁰	13³⁰	21³⁰	Bewölkung 7³⁰	13³⁰	21³⁰	Niederschlag	Witterung
1	2.4	4.9	3.0	3.4	0.4	596.2	596.5	597.1	62	90	98	SW 0	S 0	S 0	5	10≡	10≡	1.5	≡ 12³/₄–n, ●° 14¹/₄–n zeitw.
2	3.0	8.0	4.8	5.3	2.5	596.8	597.4	598.2	64	41	58	S 0	S 0	S 0	8	5	3	.	
3	3.0	**11.0**	5.0	6.3	3.7	**598.7**	**598.7**	598.2	67	50	58	N 1	S 1	N 0	5	0	0	.	
4	5.8	10.5	5.2	7.2	4.7	597.2	596.5	596.0	50	**20**	72	S 0	S 0	S 0	0	0	0	.	
5	3.6	10.2	4.6	6.1	3.8	594.5	594.2	595.1	70	22	53	N 1	S 1	N 1	0	0	0	.	
6	4.3	7.2	3.8	5.1	3.0	594.3	594.0	593.1	71	25	53	S 0	S 0	N 0	5	10	8	.	
7	3.8	9.4	4.8	6.0	4.0	591.4	590.8	591.0	49	28	62	S 0	S 1	N 0	5	5	0	.	
8	4.0	10.5	4.0	6.2	4.4	591.5	592.2	594.1	52	25	99	N 1	S 1	N 1	0	10	10≡	.	≡ 17¹/₄–n
9	4.5	9.0	6.0	6.5	4.9	596.6	597.6	597.9	33	35	73	S 0	S 0	S 1	0	5	10≡	8.9	≡ 20¹/₄–n, ● n
10	4.8	8.4	6.0	6.4	4.9	597.2	597.1	597.4	100	64	58	S 0	S 0	N 0	10≡	5	5	1.1	●° 14–14³/₄, 22–22¹/₂, [≡ n–9¹/₂
11	4.7	9.6	6.4	6.9	5.6	597.0	596.8	597.3	76	39	41	S 0	S 0	S 0	5	2	0	.	
12	4.8	8.6	4.0	5.8	4.7	597.1	597.1	596.2	39	55	63	S 0	S 0	S 0	0	5	5	.	
13	1.2	4.8	1.8	2.6	1.7	594.6	593.7	592.9	72	64	100	S 1	S 1	N 1	0	10≡	10≡	.	≡ 10–n m.U.
14	0.4	2.7	0.0	1.0	0.2	591.7	591.5	591.9	100	41	100	N 2	N 2	N 1	10≡	0	10≡	0.1	≡ n–10, 19¹/₄–n
15	-2.0	1.2	-2.2	-1.0	-1.6	590.5	589.5	589.7	63	71	100	N 1	S 0	S 0	0	5	10≡	.	≡ 17–n
16	**-2.8**	-2.0	-1.2	-2.0	-2.4	589.2	589.6	589.6	81	80	80	S 2	S 1	S 1	10	10	10	4.5	✳° 22³/₄–n
17	-1.0	1.0	0.4	0.1	-0.1	588.3	588.3	**587.9**	100	90	100	S 0	S 0	S 1	10✳≡	10●✳≡	10≡	**42.2**	✳° a, ✳● 11–17 ztw., ≡ n-n
18	-0.4	1.0	0.5	0.4	0.4	588.0	589.0	589.8	100	100	100	S 0	S 0	S 1	10✳≡	10≡	10●≡	29.7	✳° n–11¹/₄, ● 17¹/₄-n,
19	0.4	0.6	0.8	0.6	0.7	591.4	591.5	593.2	100	100	100	SE 1	S 1	S 1	10●≡	10●≡	10●≡	25.6	● ≡ n-n [≡ n-n
20	2.4	3.2	2.6	2.7	3.0	594.0	594.5	595.2	100	94	58	S 0	S 0	S 1	10●≡	10●	0	5.8	● n–15¹/₂, ≡ n–17¹/₂
21	3.0	7.0	4.0	4.7	5.2	595.3	595.1	595.9	28	40	89	S 0	S 0	S 1	0	0	0	.	
22	2.8	5.8	4.4	4.3	5.0	595.8	595.9	595.9	75	38	55	SE 0	E 1	SE 1	5	5	5	.	
23	4.0	7.2	3.6	4.9	5.7	595.6	595.3	595.0	72	50	64	S 2	S 2	S 1	5	5	0	.	
24	4.0	6.0	3.0	4.3	5.3	593.6	594.4	592.7	41	45	73	S 0	S 0	S 1	2	10	0	.	≡ 19³/₄–20³/₄
25	3.0	2.8	2.0	2.6	3.8	591.2	590.3	590.0	52	100	100	S 0	S 0	S 1	8	10●≡	10●≡	37.0	● 12¹/₄–n, ≡ 10³/₄–n
26	1.8	3.0	1.2	2.0	3.3	590.2	590.8	591.4	41	45	51	E 0	S 0	S 0	8	10	0	.	
27	1.2	3.5	2.2	2.3	3.8	591.7	592.0	592.7	34	30	42	S 0	S 0	N 0	10	10	10	.	
28	1.8	6.0	0.8	2.9	4.6	594.1	594.7	595.0	34	25	100	S 0	S 0	S 0	5	5	0	.	
29	1.8	5.0	1.6	2.8	3.6	595.6	596.2	596.2	40	40	100	S 0	S 0	S 0	0	0	10≡	.	≡ 20–n
30	1.2	4.0	1.6	2.3	4.3	595.8	596.3	597.0	31	60	100	N 1	N 1	S 0	0	2	10≡	.	≡ 20¹/₄–n
31	1.8	3.0	2.0	2.3	4.5	597.9	597.4	597.5	93	81	75	S 0	S 1	S 1	10≡	10	10	.	≡ n–10
Mittel	2.4	5.6	2.8	3.6	—	594.0	594.0	594.2	64	55	77				5.0	6.1	5.7	Summe 156.4	

$\lambda = 7° 26'$, $\beta = 46° 57'$,
$H_b = 572.2$ m, $G = 0.00$ mm.

Bern

November 1943.
Beobachter: *Tellur. Observatorium.*

Tag	Lufttemperatur 7³⁰	13³⁰	21³⁰	Mittel	Abweich. vom Normalst	Luftdruck 7³⁰	13³⁰	21³⁰	Relative Feuchtigkeit 7³⁰	13³⁰	21³⁰	Windrichtung und Stärke 7³⁰	13³⁰	21³⁰	Bewölkung 7³⁰	13³⁰	21³⁰	Niederschlag	Witterung
1	2.3	8.5	6.0	5.6	0.4	715.0	714.6	715.1	100	88	99	S 0	NE 0	N 0	10≡	7	6	.	≡ n-12
2	6.5	13.7	7.8	9.3	4.3	716.9	717.8	718.5	100	68	100	NE 0	SE 0	SE 0	9	8	0	.	≡ n-11½
3	3.1	12.0	6.3	7.1	2.2	718.3	717.4	717.2	100	78	100	S 0	NE 1	NE 2	6	2	7	.	≡ n-10
4	6.0	5.3	4.3	5.2	0.5	716.6	716.4	717.2	93	95	94	NNE 2	NNE 2	NE 1	10	10	10	.	◺ l
5	3.0	3.9	1.0	2.6	−2.0	716.1	715.4	714.7	97	77	80	NE 2	NE 2	NE 1	10	10	10	.	
6	0.8	7.2	4.7	4.2	−0.2	713.2	710.3	708.0	92	64	85	S 0	W 1	W 2	9	4	10	3.3	● 23¼-n, ▽ abds.
7	2.0	3.4	1.5	2.3	−2.0	707.5	709.6	712.3	94	70	90	W 2	WSW 2	SW 0	10+●	9	10*	1.0	●✳ n-9 zeitw., ✳ n, 21-n
8	1.1	4.1	0.0	1.7	−2.5	714.5	715.5	717.7	100	77	97	S 0	NE 2	N 0	6	10	1	.	✳ n-3¼ zeitw. [m.U.
9	−2.9	3.5	−0.1	0.2	−3.8	719.9	720.4	722.6	98	82	99	E 1	NE 2	NE 1	0	1	0	.	⌊ l
10	−3.7	3.1	−1.5	−0.7	−4.6	722.6	721.4	720.6	100	64	92	S 0	NE 2	NE 0	0	0	0	.	≡ n-8, ⌊ l
11	−4.3	3.3	2.1	0.4	−3.3	717.8	715.2	714.4	98	73	88	SE 1	W 1	S 0	1	8	10	0.0	⌊ l
12	2.3	6.1	4.5	4.3	0.7	713.8	712.4	710.6	99	71	89	SE 0	WSW 2	WSW 2	10	9	9●	1.0	● 18¼-22 m.U.
13	6.4	7.2	8.1	7.2	3.8	707.7	702.6	697.7	90	90	66	WSW 2	SW 3	SSW 4	10	10●	10●	8.2	● 2¼-n zeitw.
14	3.2	4.9	0.6	2.9	−0.4	698.2	698.0	698.9	68	54	100	WSW 2	WSW 3	WSW 1	6	5	10*	1.4	✳ n-11½ zeitw., 18¾-
15	−1.3	3.3	0.3	0.8	−2.4	700.6	701.0	703.6	97	67	98	S 1	S 1	W 0	10	6	8	0.1	✳° 8-8½ [22½ m.U. ⊠
16	−1.4	3.3	0.4	0.8	−2.2	707.3	708.3	709.8	100	64	94	SE 0	S 0	NE 0	6	9	10	0.0	✳ 13¾, ⌊ l
17	−1.2	2.5	−1.5	−0.1	−3.0	709.7	709.1	709.9	98	65	97	NE 0	NE 1	NE 0	0	3	0	.	≡ 8¾-11, ⌊ l
18	−4.2	−1.3	−0.7	−2.1	−4.8	710.0	710.0	711.1	96	91	87	SE 0	NE 0	ENE 2	2	10	10	.	≡ 8¼-9½, ⌊ l
19	−0.9	−0.8	−0.4	−0.7	−3.3	712.9	713.6	714.6	86	90	86	NE 2	NNE 2	NE 2	10	10	10	.	
20	−1.2	0.1	0.3	−0.3	−2.7	714.0	712.2	712.1	91	82	88	ENE 2	ENE 2	NE 2	10	10	10	.	
21	0.4	2.0	1.3	1.2	−1.1	712.4	712.2	712.6	90	82	93	S 0	NE 0	S 0	10	10	10	.	
22	1.1	3.2	2.9	2.4	0.2	711.6	711.1	710.7	100	88	95	SE 0	NE 0	NE 0	10	10	10	0.0	●tr. a, ●° ✳° 11¾, ●° 13-
23	2.0	3.9	2.2	2.7	0.7	709.5	709.3	709.5	100	81	86	N 0	NE 1	W 0	10	10	10	.	≡ n-10 [14 m.U.
24	1.5	2.4	4.2	2.7	0.8	707.3	703.7	698.5	80	93	100	SW 2	W 2	SE 0	3	10●	10●	9.3	● 12¾-15½, 18¼-22¼ m.U.
25	2.8	2.6	0.7	2.0	0.3	701.9	704.3	708.9	93	97	98	WSW 2	WSW 2	S 0	10	9	10	4.2	● 1½-13 m.U., ✳ 11-23½ [zeitw. ⊠
26	−2.3	2.9	0.3	0.3	−1.3	708.9	708.2	708.5	100	65	88	SE 0	SW 1	S 0	7	6	9	.	
27	0.5	2.9	−0.9	0.8	−0.6	710.4	711.2	712.6	82	73	98	SE 1	SE 0	SE 1	10	8	0	.	
28	−0.9	2.2	3.3	1.5	0.2	711.3	710.1	710.5	92	88	100	SE 0	SE 0	SE 0	9	10●	10●	6.6	● 11¼-n m.U., ⌊ l
29	8.4	8.4	5.8	7.5	6.3	712.2	712.4	713.6	96	89	72	WSW 2	W 2	WSW 3	10	10	10	13.4	● n-15¾ m.U., 21¾-n m.U.
30	3.1	3.8	0.9	2.6	1.6	711.7	710.1	711.5	76	87	100	WSW 3	WSW 3	W 1	9	10	9	7.1	● ✳ n-21 zeitw.
Mittel	1.1	4.3	2.2	2.5	—	711.7	711.1	711.5	94	78	92				7.4	7.8	7.6	Summe 55.6	

$\lambda = 6° 57'$, $\beta = 47° 0'$,
$H_b = 487.3$ m, $G = 0.02$ mm.

Neuchâtel

November 1943.
Beobachter: *Observatorium.*

Tag	7³⁰	13³⁰	21³⁰	Mittel	Abweich. vom Normalst	7³⁰	13³⁰	21³⁰	7³⁰	13³⁰	21³⁰	7³⁰	13³⁰	21³⁰	7³⁰	13³⁰	21³⁰	Niederschlag	Witterung
1	5.5	6.5	6.5	6.2	0.1	722.5	722.4	722.9	98	96	97	NW 1	SE 1	NE 0	10	10	10	0.3	● n (1./2.)
2	7.9	12.7	9.3	10.0	4.1	724.2	725.5	726.2	98	86	86	NE 1	E 0	NE 0	10	8	2	.	
3	6.6	14.5	9.5	10.2	4.4	725.9	724.9	724.9	98	68	88	E 0	NE 2	NE 2	10≡	0	0	.	≡ n-10¼
4	7.8	8.8	5.8	7.5	1.9	724.5	724.1	725.1	83	81	83	NE 2	NE 2	NE 2	10	10	10	.	
5	4.6	6.0	3.0	4.5	−1.0	723.9	723.1	722.7	82	72	75	NE 3	NE 3	N 1	10	9	10	.	
6	0.9	9.9	5.4	5.4	0.1	720.8	718.1	715.7	87	62	62	NW 1	SW 2	SW 3	1	2	10	2.2	
7	3.0	4.0	2.7	3.2	−2.0	714.8	717.4	720.1	90	67	93	W 1	SW 2	W 1	7	10	10●	2.4	● n, ✳ 9-10, ● ✳ abds.-n
8	1.6	4.2	0.6	2.1	−2.9	722.4	723.6	725.3	98	73	88	NE 1	N 1	N 0	10	10	0	.	
9	−0.5	6.9	3.1	3.2	−1.7	727.7	728.6	730.5	97	64	69	N 1	E 2	NE 2	10	1	0	.	⌊ l
10	0.0	6.1	2.8	3.0	−1.7	730.6	729.3	728.6	82	52	67	E 2	NE 4	N 1	0	0	0	.	⌊ l
11	−2.7	5.3	3.3	2.0	−2.6	725.5	722.8	722.2	94	71	97	N 1	SW 2	W 1	2	9	10●	1.8	● 19½-n, ⌊ l
12	3.7	7.4	4.9	5.3	0.9	721.2	720.2	718.7	93	56	80	NW 0	SW 3	W 3	9	9	10	3.8	●tr. p
13	6.2	7.4	7.2	6.9	2.6	715.3	710.6	705.2	96	91	82	SW 2	SW 3	NW 4	10●	10●	10●	16.4	● n-n m.U.
14	3.6	4.9	1.2	3.2	−0.9	705.7	705.6	706.4	65	74	98	W 3	SW 3	SW 2	10	3	10●	3.1	● ✳ n-n zeitw., ✳ n
15	1.7	7.4	2.1	3.7	−0.3	707.7	708.4	711.2	86	61	82	SW 2	SW 2	NW 1	10	4	10	0.2	△sch. 7¾
16	−0.7	4.1	1.8	1.7	−3.2	714.7	716.1	717.4	89	71	72	NW 0	S 1	NE 1	1	10	9	.	
17	−0.3	3.6	0.3	1.2	−3.5	717.3	717.1	717.6	91	75	77	N 0	E 0	NE 0	8	10*	1	0.2	✳fl. △ 12½-13½
18	−0.6	−0.3	−0.2	−0.4	−5.0	717.6	718.0	718.9	87	85	80	E 2	NE 2	NE 3	10	10	10	.	⌊ l
19	−0.1	0.2	0.2	0.1	−4.4	720.7	721.6	722.4	85	81	89	E 2	NE 2	NE 2	10	10	10	.	
20	−0.5	0.6	1.4	0.5	−3.8	722.1	720.0	719.8	87	90	84	NE 2	NE 3	NE 3	10	10	10	.	.
21	1.2	2.1	2.4	1.9	−2.3	720.3	719.9	720.5	96	86	88	E 0	E 0	W 0	10	10	10	.	
22	2.8	4.3	3.4	3.5	−0.6	719.1	718.8	718.3	91	87	93	W 0	W 0	N 0	10	10	10	0.1	●° n (22./23.)
23	2.9	4.2	2.8	3.3	−1.6	717.0	717.0	717.3	93	82	83	NE 0	NE 1	NE 0	10	10	10	.	
24	2.8	3.3	6.1	4.1	−0.7	714.9	711.5	706.2	75	95	94	SW 2	SW 3	SW 4	8	10●	10●	34.3	● 11¾-n
25	5.3	2.9	2.3	3.5	−1.2	709.3	712.1	716.5	69	91	86	SW 2	SW 2	W 1	10	10●	10	7.2	● n-n m.U., ✳ 16-16½
26	0.2	5.5	2.2	2.6	−1.9	716.3	716.0	716.0	88	73	78	W 1	SW 1	NW 1	8	4	8	.	
27	2.2	5.0	0.0	2.4	−2.0	717.9	718.9	720.2	82	75	95	W 1	S 1	W 0	10	8	1	.	
28	2.0	5.0	7.0	4.7	0.4	718.8	717.7	718.5	84	88	97	W 1	SW 2	W 3	10	10	10●	21.5	● 10¾-n, ⌊ l
29	8.1	9.5	5.9	7.8	3.7	720.0	720.5	721.4	94	65	75	W 1	SW 3	SW 3	10●	9	10●	5.4	● n-a m.U., n
30	3.8	3.1	0.9	2.6	−1.4	719.9	718.1	718.9	72	93	98	SW 2	SW 3	SW 1	10	10	4	23.[illegible]	● seit 8½ m.U., [illegible] 11¾-15, [● ✳ n
Mittel	2.6	5.5	3.5	3.9	—	719.3	718.9	719.2	88	77	85				8.5	7.9	7.5	Summe 121.9	

November 1943.
Beobachter: Frl. *H. Nager.*

Altdorf

$\lambda = 8° 39'$, $\beta = 46° 53'$,
$H_b = 456.3$ m, $G = -0.05$ mm.

Tag	Lufttemperatur 7³⁰	13³⁰	21³⁰	Mittel	Abweich. vom Normalst	Luftdruck 7³⁰	13³⁰	21³⁰	Relative Feuchtigkeit 7³⁰	13³⁰	21³⁰	Windrichtung und Stärke 7³⁰	13³⁰	21³⁰	Bewölkung 7³⁰	13³⁰	21³⁰	Niederschlag	Witterung
1	9.2	**15.7**	11.2	12.0	5.1	723.6	723.7	724.4	75	**40**	71	NW 1	SE 1–2	NW 0–1	1	6	7	.	
2	9.7	13.0	9.4	10.7	4.0	726.0	727.8	729.0	93	65	90	NE 0–1	NW 0–1	NW 0	10	10	10	.	
3	5.7	10.5	9.7	8.6	2.0	728.3	727.9	727.4	94	83	94	NW 0	NW 0	NW 0	10	10	10	.	
4	9.3	8.7	7.4	8.5	2.0	727.0	726.6	727.8	95	89	95	NW 0	NW 1	NW 0	10	10	10•	0.5	☽ III
5	6.9	6.4	5.2	6.2	−0.1	726.3	725.4	724.9	95	75	74	NW 2	NW 1	NW 0	10	10	10	.	
6	3.7	7.3	4.9	5.3	−0.9	723.1	720.2	719.4	84	51	81	NW 0	NW 0	NW 0	10	2	0	3.0	
7	4.3	4.3	3.4	4.0	−2.1	716.6	719.0	723.3	95	85	75	NE 0	W 0	SE 0	10•	8	10	4.8	● I
8	4.9	6.0	3.4	4.8	−1.1	724.3	725.3	727.7	56	57	80	N 1	NW 1	N 0	10•	10	10	0.9	● I
9	1.5	5.6	0.9	2.7	−3.1	730.6	730.8	728.9	85	58	83	N 0	NW 0	NE 0	10	3	3	.	
10	−2.2	4.7	−1.2	0.4	−5.2	**733.7**	732.1	731.3	84	53	80	E 0	NW 0	E 0	4	0	4	.	
11	−2.7	5.4	1.4	1.4	−4.1	727.8	724.5	724.5	89	54	83	E 0	NW 0	NE 0	6	8	10	0.4	
12	2.7	5.9	4.3	4.3	−1.1	723.8	721.6	720.5	89	73	92	NE 0	NW 0	N 0	10•	10	10•	7.6	● I, III
13	4.3	8.0	6.1	6.1	0.9	717.0	711.5	706.5	98	79	93	SW 0	N 0	W 0	10•	10	10	12.4	● I, p zeitw.
14	4.8	7.2	0.9	4.3	−0.8	707.5	**706.6**	708.7	66	52	75	NW 1	SW 0	NE 0	10	7	7	.	
15	−0.7	5.5	1.4	2.1	−2.9	710.7	710.8	713.8	69	41	54	S 0	N 0	S 0	4	1	10	.	
16	−1.8	4.6	1.8	1.5	−3.3	717.5	718.2	719.7	71	42	75	S 0	W 0	NW 0	7	8	10*	0.0	✳ III
17	−0.7	4.4	−1.7	0.7	−3.4	720.2	719.2	720.4	80	43	63	SE 0	NW 0	NE 0	7	2	3	.	
18	**−3.4**	2.7	1.1	0.1	−4.5	720.4	720.2	721.7	82	65	86	SE 0	NW 0–1	NW 0	6	10	10	.	
19	1.5	2.4	1.9	1.9	−2.5	723.2	725.9	725.4	85	77	84	NW 0	NW 0	NW 0	10	10	10	.	
20	1.6	2.8	1.6	2.0	−2.3	724.6	723.1	722.3	88	74	95	E 0	E 0	NE 0	10	10	7	1.1	
21	1.4	5.0	3.2	3.2	−1.0	722.4	721.6	722.5	96	72	88	N 0	NW 0	NW 0	9	9	10	0.4	
22	2.8	4.8	3.8	3.8	−0.2	721.4	721.4	720.6	96	83	96	NE 0	NE 0	NW 0	10•	10	10	0.3	● I
23	2.4	5.2	3.3	3.6	−0.3	719.8	719.3	719.5	86	60	85	E 0	E 0	E 0	10	10	10	.	
24	−1.3	5.4	8.9	4.3	0.6	717.5	711.7	708.8	76	54	43	SE 0–1	NW 0	SE 1–2	3	7	10•	10.3	● III
25	4.8	6.2	4.7	5.2	1.6	711.1	712.5	718.4	92	54	67	S 0	NW 2–3	NW 2	10•	10•	10	7.2	● I, II
26	0.0	5.4	1.9	2.4	−1.1	719.1	717.9	718.2	80	44	80	SW 0	SW 0	NW 0	6	7	7	.	
27	1.7	6.4	0.2	2.8	−0.5	720.5	721.1	723.0	77	76	76	NE 0	NW 0	E 0	10	10	3	.	
28	0.1	4.9	5.3	3.4	0.2	721.4	720.4	720.1	84	65	97	SE 0	NW 0	NW 0	8	10•	10•	**15.4**	● p–n
29	6.8	9.2	7.7	7.9	4.8	722.0	721.8	722.4	98	95	54	W 0	W 0	SE 0–1	10•	10•	10	5.5	● I, II
30	2.3	4.9	2.7	3.3	0.4	723.5	719.3	721.0	94	78	94	SE 0	SE 0–1	E 0	10	10•	10•	11.7	● II, III
Mittel	2.7	6.3	3.8	4.3	—	721.7	720.9	721.4	85	65	80				8.4	7.9	8.4	Summe 81.5	

November 1943.
Beobachter: *Observatorium.*

Genf

$\lambda = 6° 9'$, $\beta = 46° 12'$,
$H_b = 405.0$ m, $G = -0.03$ mm.

Tag	7³⁰	13³⁰	21³⁰	Mittel	Abweich. vom Normalst	7³⁰	13³⁰	21³⁰	7³⁰	13³⁰	21³⁰	7³⁰	13³⁰	21³⁰	7³⁰	13³⁰	21³⁰	Niederschlag	Witterung
1	7.8	10.0	9.4	9.1	2.2	729.6	729.1	729.6	94	85	93	E 0	NNE 0	E 0	10	10	10	0.1	● 15½–p
2	9.0	**14.1**	10.8	11.3	4.6	731.6	732.2	732.8	96	78	95	E 0	ENE 0	ESE 0	8	9	10	.	●°sch. 13¾–p
3	7.4	13.6	12.0	11.0	4.4	732.6	731.8	731.5	97	77	79	ESE 0	NE 0	NE 0	9	6	10	.	
4	10.2	11.0	8.0	9.7	3.3	731.0	730.4	731.7	79	75	82	NNE 1	NNE 1	E 1	10	10	10	.	
5	6.9	6.8	5.7	6.5	0.2	730.2	729.5	729.6	84	75	74	NE 1	NE 2	ENE 1	10	10	10	.	
6	5.2	8.8	5.5	6.5	0.4	728.0	726.0	724.5	81	65	78	ESE 0	E 1	SW 1	8	5	10•	2.6	● 21½–n
7	3.2	5.0	3.3	3.8	−2.2	724.1	725.4	728.0	88	62	88	SW 1	NW 1	ESE 0	4	9	10•	0.7	● ✳ seit 10½, seit 21½
8	4.1	8.0	4.9	5.7	−0.2	729.2	729.6	732.0	87	**53**	73	ENE 0	NNE 2	NNE 2	5	3	1	.	
9	2.9	7.3	5.0	5.1	−0.6	734.1	734.5	735.3	86	56	69	E 1	NNE 2	NNE 3	2	1	1	.	
10	2.6	6.1	1.8	3.5	−2.1	**736.9**	735.8	735.8	89	58	81	NE 1	NE 1	E 0	4	2	3	.	
11	−1.0	5.3	3.6	2.6	−2.9	733.3	730.3	729.8	88	67	80	E 0	SSW 0	E 0	7	7	9	.	●tr. n, ⌴ I
12	2.6	9.6	5.4	5.9	0.6	729.1	728.0	727.2	93	57	85	E 0	S 0	N 0	9	7	9	0.8	● n (12./13.)
13	6.0	9.6	10.0	8.5	3.3	724.0	719.5	714.7	94	76	65	NE 0	S 2	S 2	10	10	10•	6.6	☽ a, ● n
14	4.6	5.8	2.6	4.3	−0.8	714.1	**714.2**	714.4	71	61	81	E 0	W 1	S 1	7	9	7	0.2	●tr. ✳fl. seit 17½
15	2.2	6.6	2.9	3.9	−1.0	715.5	715.3	718.4	79	56	81	E 0	NE 0	SW 0	9	8	9	0.2	● 21¼–n
16	0.7	4.7	2.7	2.7	−2.1	722.3	723.2	724.7	96	65	83	NE 0	NE 0	E 0	5	2	9	.	
17	**−1.6**	4.4	1.2	1.3	−3.4	724.8	723.7	724.7	90	65	81	E 0	NE 1	E 0	1	2	0	.	⌴ I
18	0.0	2.0	1.8	1.3	−3.3	724.2	724.2	724.9	81	70	71	E 0	NE 1	NE 2	10≡	10	10	.	≡ ⌴ I
19	1.4	1.8	1.7	1.6	−2.8	727.4	728.0	728.9	74	74	76	NE 2	NE 1	NE 1	10	10	10	.	
20	1.1	1.9	2.5	1.8	−2.5	728.1	726.8	727.0	80	74	81	NNE 2	NNE 2	NE 0	10	10	10	.	
21	2.2	3.8	3.1	3.0	−1.2	727.6	727.2	727.6	89	80	84	E 0	E 0	ENE 0	10	10	10	.	
22	1.2	3.8	2.4	2.5	−1.6	726.5	726.1	725.6	88	87	95	ESE 0	S 1	E 0	10	10	10	.	
23	2.2	4.4	3.5	3.4	−0.5	724.5	724.1	724.9	93	87	81	E 0	SE 0	ESE 1	10	10	10	.	●tr. 12½
24	2.9	3.0	8.8	4.9	1.1	723.4	719.7	714.7	80	93	76	NNE 0	NW 1	S 2	9	10•	9•	**18.5**	● ✳ a–n
25	4.1	7.4	3.4	5.0	1.3	718.5	720.7	725.1	88	42	81	S 1	W 1	SE 1	9•	3	8	3.0	● n–15
26	−0.8	4.8	1.2	1.7	−1.9	724.2	723.1	723.9	98	62	85	ESE 0	NE 0	SE 0	10≡	2	0	.	≡ ⌴ I
27	−1.3	4.8	1.4	1.6	−1.8	725.6	726.2	728.2	92	59	59	E 0	NE 0	E 0	10≡	1	0	.	≡ ⌴ I
28	0.6	4.0	6.2	3.6	0.3	727.1	726.5	727.7	88	90	97	E 0	NE 0	NNE 0	10≡	10•	10•	12.5	● 10–n, ≡ I
29	9.6	11.0	7.2	9.3	6.1	728.6	729.1	731.0	89	75	68	NNW 1	S 1	S 0	10•	7	8	0.2	● I, n, ⌒ 8¾
30	5.2	4.1	3.4	4.2	1.1	729.5	727.2	727.8	69	97	90	SW 1	S 2	S 1	10	10•	10•	7.7	● n–n m.U.
Mittel	3.4	6.5	4.7	4.8	—	726.9	726.3	726.7	87	71	80				8.2	7.1	7.8	Summe 53.1	

$\lambda = 8° 33'$, $\beta = 47° 23'$,
$H_b = 493.2$ m, $G = 0.03$ mm.

Zürich

November 1943.
Beobachter: *Meteorol. Zentralanstalt.*

Tag	Lufttemperatur 7³⁰	13³⁰	21³⁰	Mittel	Abweich. vom Normalst	Luftdruck 7³⁰	13³⁰	21³⁰	Relative Feuchtigkeit 7³⁰	13³⁰	21³⁰	Windrichtung und Stärke 7³⁰	13³⁰	21³⁰	Bewölkung 7³⁰	13³⁰	21³⁰	Niederschlag	Witterung
1	5.4	8.1	7.1	6.9	1.0	721.8	721.7	722.3	98	82	98	E 0	WNW 1	W 1	10≡	10	10	.	≡ a
2	6.3	13.8	8.8	9.6	3.9	723.6	724.6	725.5	98	61	97	NNW 0	S 0	S 1	9	10	0	.	●° 17½–18½
3	7.2	11.0	6.3	8.2	2.6	725.3	724.8	724.7	99	76	98	S 0	N 0	S 0	10≡	8	10≡	.	≡ a, abds.
4	5.5	5.1	5.1	5.2	−0.2	724.5	724.5	725.1	93	89	87	NW 1	N 1	NE 1	10	10	10	.	
5	3.8	3.7	1.6	3.0	−2.3	724.1	723.3	722.1	71	61	66	NNE 1	NE 2	NE 1	9	10	10	.	
6	2.6	9.4	3.6	5.2	0.1	719.8	717.3	713.9	67	45	73	SSW 1	NW 1	WNW 1	9	5	10	1.6	
7	3.8	4.9	3.6	4.1	−0.9	713.6	715.5	718.8	86	47	70	W 2	SW 2	S 2	10	10	10	1.7	◐ 0–3, 6¾–9, 15¾, 22
8	2.9	5.8	1.1	3.3	−1.5	721.6	722.8	725.1	89	52	95	W 1	S 1	N 1	10	9	2	.	● 0¾–1½
9	−2.0	1.4	0.0	−0.2	−4.9	727.5	728.5	730.5	100	91	92	NW 1	NW 1	NE 1	10≡	10≡	0	.	≡ n–p, ⌴° l
10	−2.1	7.1	−0.4	1.5	−3.0	730.6	729.2	727.7	96	89	60	N 1	NE 1	NE 1	1	1	0	.	⌴ l
11	−3.0	4.4	3.8	1.4	−3.0	724.4	721.9	720.9	97	54	67	NE 1	W 1	S 1	2	9	10	2.8	
12	2.6	6.4	4.8	4.6	0.4	720.3	718.3	716.9	98	62	82	S 1	SW 1	WSW 2	10	10	10●	6.3	● 0–0½, 3–7, 20–n
13	6.6	8.5	9.4	8.2	4.1	713.1	708.4	703.3	84	71	51	WSW 3	SW 2	SW 2	9	10●	10	12.7	● n–18 zeitw.
14	4.0	4.3	1.9	3.4	−0.5	703.8	704.2	705.6	55	69	86	WSW 2	WSW 2	SW 1	3	8	10	3.1	● 0–n zeitw., ✳ 12½
15	−0.1	5.5	1.0	2.1	−1.7	707.1	708.2	710.6	99	54	97	WSW 0	W 1	NE 1	8	5	10	.	● ✳ n–1¼
16	1.0	3.8	1.6	2.1	−1.5	713.7	715.4	716.8	96	76	89	N 0	W 1	NW 1	10	9	10	0.1	≡ a
17	0.5	5.2	−1.1	1.5	−2.0	716.8	716.3	717.1	95	59	96	NW 1	NW 1	NE 1	8	6	0	.	
18	−1.2	0.1	−0.6	−0.6	−3.9	717.6	718.0	719.2	93	81	86	NE 1	NE 1	NE 1	9	10	10	.	⌴° l
19	−0.8	0.0	0.2	−0.2	−3.1	720.7	721.0	722.8	88	84	87	NE 1	NE 2	NE 1	10	10	10	.	
20	−0.4	0.8	1.4	0.6	−2.4	722.2	720.7	720.0	91	87	90	NE 1	ENE 1	NE 1	10	10	10	.	
21	0.8	1.7	1.6	1.4	−1.5	719.6	719.1	719.7	90	90	93	SE 1	NE 1	SW 1	10	10	10	.	
22	1.6	4.0	2.6	2.7	0.0	718.5	718.1	717.9	95	86	90	S 1	NW 1	W 1	10	10	10	.	
23	2.9	4.0	2.6	3.2	0.6	716.5	716.5	716.4	94	82	86	S 1	N 0	NW 1	10	10	10	.	≡ a zeitw.
24	3.6	5.7	6.1	5.1	2.7	713.3	709.5	704.5	70	62	90	S 2	SW 2	SW 2	9	10	10	12.9	● 15½–16½, 20½–21½
25	3.3	4.3	2.5	3.4	1.1	707.8	710.1	715.1	97	91	80	WSW 1	WNW 2	SW 1	10	10	10	3.8	● 1–7¼, ●sch. 12¼–24¼ ziw.
26	0.8	2.9	3.1	2.3	0.2	715.3	714.7	714.7	89	78	66	W 1	WSW 1	NW 1	9	10	10	0.6	●° 23
27	1.9	3.7	0.6	2.1	0.1	717.1	718.1	719.2	97	85	97	SE 1	ESE 1	SE 1	10	10	9	0.1	●° 4½–7¾, ◐° l
28	2.1	3.8	7.7	4.5	3.7	717.7	716.1	716.4	77	90	90	SSE 1	SSE 1	W 1	10	10●	10	21.8	● 12½–20¾, 23½–n
29	7.8	7.5	7.1	7.5	5.8	718.5	718.6	718.7	82	82	60	WNW 1	W 1	WSW 3	9	9	10	5.9	● n–13½ m.U., 22½–23½
30	4.2	3.3	2.0	3.2	1.7	717.8	716.4	717.0	70	94	93	WSW 3	WSW 2	WSW 1	7	10●	9	5.6	● 0¼–20¼ zeitw.
																		Summe	
Mittel	2.4	5.0	3.2	3.5	—	718.5	718.1	718.3	89	73	84				8.7	9.0	8.3	79.0	

$\lambda = 8° 30'$, $\beta = 47° 3'$,
$H_b = 1787.3$ m, $G = -0.20$ mm.

Rigi-Kulm

November 1943.
Beobachter: *J. Wiget.*

Tag	7³⁰	13³⁰	21³⁰	Mittel	Abweich.	7³⁰	13³⁰	21³⁰	7³⁰	13³⁰	21³⁰	7³⁰	13³⁰	21³⁰	7³⁰	13³⁰	21³⁰	Niederschlag	Witterung
1	6.2	8.6	6.2	7.0	6.0	616.9	617.6	617.9	44	40	55	S 3	S 3	S 3	0	4	10	.	
2	6.7	8.1	4.4	6.4	5.5	618.7	620.0	620.3	68	73	68	SE 2	SW 0	E 0	10	10	8	.	
3	3.3	5.4	2.6	3.8	3.0	619.5	619.4	619.0	86	82	100	E 2	SE 2	SE 3	3	1	1	.	
4	3.8	5.4	−1.5	2.6	1.9	617.3	617.4	616.4	60	46	65	SE 3	SE 2	SE 2	0	0	0	.	
5	−2.0	−1.6	−1.5	−1.7	−2.3	615.7	615.1	612.6	100	100	65	E 1	E 1	S 0	10≡	10≡	0	.	≡ I, II
6	−3.4	−4.9	−1.0	−3.1	−3.6	612.6	611.8	609.4	55	31	40	WNW 2	SW 2	SW 3	0	3	4	5.4	
7	−5.0	−7.0	−7.0	−6.3	−6.7	607.2	608.6	611.6	100	100	96	W 2	W 3	W 2	10≡	10≡*	10	15.8	✳ II, ≡ I, II
8	−6.6	−6.4	−8.0	−7.0	−7.3	613.3	614.5	616.6	98	97	97	SW 0	E 1	NE 1	10≡	10*	3	3.1	✳ II, ≡ I
9	−7.4	−5.6	−7.4	−6.8	−7.0	617.5	618.8	619.0	96	97	98	NE 1	NE 1	E 1	10	0	2	.	
10	−8.4	−5.2	−2.8	−5.5	−5.6	619.9	619.9	617.5	95	95	25	SE 2	SE 2	E 2	0	0	0	.	
11	1.0	1.3	−3.5	−0.4	−0.4	616.1	614.7	613.5	12	20	95	NW 0	SW 1	SW 2	1	8	10	4.5	
12	−4.4	−3.2	−2.2	−3.3	−3.2	613.1	610.3	612.0	100	100	100	W 2	W 2	W 4	10≡*	10	10	16.3	✳ ≡ I
13	−2.0	−1.0	−2.4	−1.8	−1.6	608.5	605.4	603.2	100	100	100	W 4	W 4	W 4	10≡	10	10	6.4	✳ ≡ n–n zeitw.
14	−5.6	−6.5	−7.4	−6.5	−6.2	599.1	599.4	600.1	100	96	94	W 4	W 4	W 3	10	10	10	1.5	≡ n–n zeitw.
15	−8.6	−6.8	−8.5	−8.0	−7.6	600.8	602.1	603.5	65	75	95	W 2	SW 1	SW 2	8	5	10	0.2	≡ abds. zeitw.
16	−7.9	−6.3	−7.5	−7.2	−6.6	606.4	607.9	608.0	95	95	95	W 1	SW 0	SW 0	10	10	8	0.3	
17	−9.0	−5.4	−7.0	−7.1	−6.4	609.1	609.0	608.9	95	95	95	SW 0	S 0	S 3	5	7	6	.	
18	−7.0	−3.8	−5.8	−5.5	−4.7	608.9	609.2	610.0	60	49	52	S 3	SE 3	SE 2	3	9	7	.	
19	−4.9	−1.4	−2.5	−2.9	−2.0	611.3	612.3	612.3	68	58	41	SE 3	S 3	SE 2	5	3	4	.	
20	1.0	3.0	1.0	1.7	2.7	613.2	612.9	612.1	41	35	42	ESE 2	ESE 2	SE 3	4	7	5	.	
21	0.0	2.0	0.5	0.8	1.0	612.3	612.2	613.0	50	45	39	SE 3	SE 3	W 0	3	4	5	.	
22	−2.5	−2.2	−4.2	−3.0	−1.8	612.3	611.4	611.0	95	100	95	W 1	W 0	W 0	10	10≡	4	.	≡ 10–15 zeitw.
23	−5.8	−3.8	−6.0	−5.2	−3.9	609.9	609.6	608.4	100	100	100	W 0	S 0	W 0	10≡	10≡	10≡	.	≡ n–n
24	−7.0	1.3	−0.8	−2.2	−0.8	607.5	605.8	607.3	100	35	95	W 2	SW 1	W 3	3	10	10	17.5	
25	−4.8	−5.0	−0.5	−5.4	−3.9	602.1	603.8	606.3	100	100	100	W 4	W 3	W 3	10≡*	10≡	10≡	7.8	✳ I, ≡ n–n
26	−8.8	−7.2	−6.2	−7.4	−5.8	608.2	608.0	608.3	100	98	60	SW 2	SW 3	SW 3	9	10	10	.	
27	−5.8	−5.0	−6.5	−5.8	−4.1	609.7	610.6	611.0	100	100	65	W 3	SW 1	W 2	10≡*	10≡	7	.	✳ I, ≡ n–13¾
28	0.0	1.0	3.0	1.3	3.3	612.0	609.7	611.6	30	100	100	W 2	W 4	W 4	10	10●*	10●	17.7	✳ ● II, ● III
29	1.0	0.0	−3.0	−0.7	1.2	613.2	613.1	611.6	100	100	100	W 3	W 4	W 4	10≡	10≡●*	10≡	16.3	✳ ● II, ≡ n–n
30	−6.8	−5.2	−6.2	−6.1	−4.1	612.0	609.6	610.6	100	100	100	SW 3	SW 4	W 2	5	10≡	10≡	16.2	≡ II, III
																		Summe	
Mittel	−3.4	−1.9	−3.3	−2.8		611.5	611.3	611.4	80	79	79				6.6	7.4	6.8	129.0	

November 1943.
Beobachter: *P. Nogler.*

Bevers

$\lambda = 9° 53'$, $\beta = 46° 33'$,
H_b = ca. 1710 m, G = –0.23 mm.

Tag	Lufttemperatur 7³⁰	13³⁰	21³⁰	Mittel	Abweich. vom Normalst	Luftdruck 7³⁰	13³⁰	21³⁰	Relative Feuchtigkeit 7³⁰	13³⁰	21³⁰	Windrichtung und Stärke 7³⁰	13³⁰	21³⁰	Bewölkung 7³⁰	13³⁰	21³⁰	Niederschlag	Witterung
1	-2.[illegible]	9.8	5.0	4.3	4.8	625.9	626.3	626.5	100	64	95	NE 1	S 2	W 1	4	4	6	.	
2	3.6	9.5	4.0	5.7	6.4	626.5	626.6	626.9	94	68	95	SW 0	SW 2	SW 1	10	10	6	.	
3	0.8	**11.5**	2.6	5.0	5.9	626.4	626.1	625.2	100	71	98	NW 0	S 2	W 1	10	4	0	.	
4	2.4	6.8	1.8	3.7	4.8	624.5	623.0	624.3	100	76	97	W 0	S 2	W 1	10	3	10	.	
5	0.1	4.8	-2.0	1.0	2.3	621.9	620.4	619.8	91	28	64	NW 0	N 3	N 1	10	6	0	.	
6	-6.0	5.0	-4.9	-2.0	-0.5	617.6	615.9	614.6	92	**26**	66	W 0	N 2-3	N 2	0	0	8	.	
7	-3.0	-1.5	-3.8	-2.8	-1.1	612.1	612.8	616.2	90	63	64	E 1	E 2	N 1	10	10	10	.	✳° p
8	-2.6	0.0	-4.2	-2.3	-0.4	618.1	620.1	621.4	60	30	56	W 0	W 2	W 2	10	10	10	.	
9	-6.4	-2.0	-5.8	-4.7	-2.6	623.0	623.6	625.9	72	59	70	N 1	NW 2-3	N 1	8	6	3	.	
10	-11.0	2.8	-8.0	-5.4	-3.1	**627.1**	626.7	625.7	93	61	81	N 2	N 2	N 1	0	2	1	.	
11	-8.8	4.5	-1.8	-2.0	0.5	622.3	619.7	619.5	87	32	57	E 1	NW 1	NW 1	10	10	5	.	
12	-1.8	3.0	0.6	0.6	3.3	618.1	617.5	616.4	80	48	62	E 1	E 2	N 1	10	6	7	0.0	✳° n-8
13	-2.0	7.0	1.3	2.1	5.0	613.5	609.5	607.1	83	39	73	W 1	S 2	SW 1	10*	6	6	0.0	✳° n-9¼
14	-0.2	2.0	-7.4	-1.9	1.2	**602.6**	605.1	605.9	95	72	78	NW 2	N 2	N 1	10*	10*	8	.	✳° l, ll
15	-9.4	-2.1	-10.6	-7.4	-4.1	607.6	607.6	610.0	88	61	80	E 1	N 3	N 1	0	10	0	.	
16	**-13.3**	-4.0	-6.0	-7.8	-4.4	613.2	613.7	614.4	92	61	60	S 1	W 1	NW 1	4	0	8	.	
17	-8.3	-3.4	-9.0	-6.9	-3.2	615.2	615.5	615.8	88	64	80	W 1	W 2	NW 1	3	4	10	0.8	✳° n (16./17.)
18	-12.2	-3.1	-6.0	-7.1	-3.2	617.2	617.8	618.4	96	65	88	NW 1	S 2	N 1	10	4	0	0.0	✳
19	-5.7	0.0	-6.0	-3.9	0.2	619.6	620.7	621.5	97	62	90	E 1	W 2	NW 1	10*	8	10	0.2	✳° n-8¼ ✳
20	-10.0	4.2	0.1	-1.9	2.4	621.1	619.4	620.7	100	58	98	E 1	NE 2	NE 1-3	5	8	10*	0.9	✳° 17¼-n, ✢ 20¾-n ✳
21	-6.0	2.2	-8.6	-4.1	0.4	621.5	619.9	617.8	100	35	88	N 0	S 1	N 2	1	6	6	.	✳
22	-3.0	2.0	-6.2	-2.4	2.3	617.7	617.1	617.3	100	61	90	N 1	NE 2	E 1	7	10	0	.	✳
23	-11.0	-1.3	-9.2	-7.2	-2.3	616.3	615.2	614.5	95	51	90	W 1	W 2	NW 1	5	0	0	.	✳
24	-13.2	0.0	-1.6	-4.9	0.2	614.5	612.8	611.0	90	41	79	N 1	W 2-3	W 1-2	0	8	10	3.0	✳
25	-1.6	0.0	-4.9	-2.2	3.1	606.8	609.9	612.8	99	81	63	E 0	NE 1	NE 1	10*	10*	10*	**6.3**	✳° n-n m.U. ✳
26	-13.2	-4.4	-12.6	-10.1	-4.6	613.5	613.8	614.1	83	46	80	E 1	N 1	N 1	0	7	0	.	✳
27	-4.8	-1.0	-12.1	-6.0	-0.3	614.9	616.5	618.7	62	53	88	N 1	NW 1	NW 1	10	8	0	.	✳
28	-9.4	-0.9	-2.8	-4.4	1.5	619.6	618.5	619.1	98	57	97	E 1	E 2	NE 1	10	10	10*	0.3	✳° 18½-n ✳
29	-4.0	3.8	-3.6	-1.3	4.7	618.8	618.0	617.3	100	53	70	W 0	E 2	NE 1	10	1	0	.	✳
30	-7.2	-2.6	-5.0	-4.9	1.3	617.3	615.5	615.5	79	80	82	E 1	NW 2	W 1	10	10*	10*	4.2	✳° 13-n m.U. ✳
31																			
																		Summe	
Mittel	-5.6	1.7	4.2	-2.7	—	617.8	617.5	617.8	93	56	76				6.9	6.4	5.5	15.7	

November 1943.
Beobachter: *Kapuzinerkloster.*

Sitten

$\lambda = 7° 21'$, $\beta = 46° 14'$,
H_b = 548.6 m, G = –0.11 mm.

Tag	7³⁰	13³⁰	21³⁰	Mittel	Abweich. vom Normalst	7³⁰	13³⁰	21³⁰	7³⁰	13³⁰	21³⁰	7³⁰	13³⁰	21³⁰	7³⁰	13³⁰	21³⁰	Niederschlag	Witterung
1	9.6	**16.6**	12.9	13.0	6.3	718.1	716.8	717.8	53	40	55	ENE 1	ENE 0	NE 0	1	9	10	.	
2	9.4	16.1	10.8	12.1	5.6	718.7	718.9	720.4	95	55	75	ENE 0	WNW 1	WNW 0	10	4	0	0.0	●tr. 8
3	6.6	14.0	9.4	10.0	3.7	720.2	718.5	719.2	98	62	86	NNE 0	WSW 2	NE 1	3	0	0	.	⌓ l
4	5.4	12.9	9.0	9.1	2.9	718.5	716.7	718.4	98	66	86	NE 1	WSW 1	WNW 0	10	2	10	.	⌓ l, ≡ (4./5.)
5	7.2	8.2	6.1	7.2	1.2	717.2	715.9	716.2	100	81	83	WNW 0	WSW 2	WNW 1	10	10	10	.	
6	5.0	9.2	3.2	5.8	0.0	715.1	712.5	712.2	87	56	83	WNW 0	W 1	NE 0	10	1	7	.	
7	4.5	5.1	2.8	4.1	-1.6	709.0	712.1	714.4	83	61	71	WNW 0	NW 2	WNW 0	10	5	10	0.4	●tr. ●° n-10 m.U., n
8	2.2	8.7	2.2	4.4	-1.1	715.9	715.7	718.5	98	46	72	WNW 0	W 2	W 0	5	3	0	.	
9	-2.2	5.6	1.1	1.5	-3.9	721.9	721.6	723.7	80	49	66	NE 0	W 1	NE 1	0	0	0	.	⌊ fr.
10	-2.6	5.6	0.0	1.0	-4.2	**724.3**	722.0	722.9	77	48	70	NE 0	NE 0	NE 1	0	0	0	.	⌊ fr.
11	**-4.2**	4.7	2.5	1.0	-4.0	720.2	717.0	717.3	88	49	68	NE 0	NE 1	W 0	0	7	5	.	⌊ fr.
12	1.6	8.5	5.8	5.3	0.4	716.4	714.2	713.4	74	57	73	W 0	NW 1	W 0	10	1	10	1.0	
13	5.6	9.0	7.8	7.5	2.8	710.2	706.1	702.7	98	77	66	W 1	WNW 0	WSW 1	10	10	10	10.5	● n-6½, ●tr. 20
14	5.9	7.6	2.1	4.9	0.4	**700.4**	700.9	701.3	75	45	61	WNW 2	WSW 2	NE 1	9	5	5	2.7	● n-6½, ● ✳ 22-n
15	-1.2	8.9	0.8	2.8	-1.6	703.7	703.3	705.9	85	57	65	NE 0	NE 1	N 1	9	2	5	.	● ✳ n-4 ✳
16	-2.7	3.0	0.1	0.1	-4.1	710.0	710.3	712.0	77	49	65	N 1	N 1	NE 1	0	2	6	.	⌊ fr.
17	-1.7	3.5	-1.0	0.3	-3.8	712.9	711.4	712.1	62	43	58	NE 0	NE 1	ENE 1	0	0	0	.	⌊ fr.
18	-2.7	6.3	-1.1	0.8	-3.1	711.8	710.6	711.7	69	**39**	82	NE 0	NE 1	W 1	10	9	0	.	⌊ fr,
19	-1.4	3.9	-0.3	0.7	-3.0	714.4	714.2	715.5	96	72	95	W 0	WNW 1	NE 1	9	8	0	.	⌊ fr.
20	-2.0	2.8	0.6	0.5	-3.1	715.0	713.0	714.2	100	76	100	ENE 0	WNW 1	W 1	4	7*	2	0.9	● 17-18¾, ≡ a, p, Ψ (6), [V tr.
21	0.3	4.9	2.0	2.4	-1.0	714.6	713.6	714.8	100	85	100	ENE 0	NE 0	WSW 0	4	8	10	.	⌊ fr.
22	2.6	4.2	2.7	3.2	0.0	713.7	713.2	713.3	93	81	85	WSW 0	W 0	ENE 0	10	10	10≡	.	≡ n-n m.U.
23	0.6	4.0	2.9	2.5	-0.6	712.2	710.8	712.1	85	65	62	ENE 0	ENE 0	ENE 0	10≡	1	10	.	≡ n-10¾
24	0.5	4.6	0.6	1.9	-1.0	711.9	708.4	705.9	65	48	100	NE 0	ENE 1	NE 0	3	10	10	**34.2**	✳ 15, △ ● 15¾, ≡ p
25	1.4	3.2	1.2	1.9	-0.9	704.9	706.1	711.2	100	82	99	W 0	W 2	W 0	10	10≡●	10≡●	1.6	● ✳ 8¾-10, ● 10-p zeitw., [≡ a-n
26	-1.8	1.5	-1.2	-0.5	-3.1	712.1	711.5	712.2	75	70	83	W 0	ENE 1	ENE 0	0	0	0	.	
27	-4.0	1.6	-1.8	-1.4	-3.8	713.2	713.8	716.1	88	59	76	NE 0	NE 1	NE 1	9	1	0	.	
28	-2.2	2.4	1.5	0.6	-1.7	715.4	714.7	715.4	86	64	100	NE 1	NE 0	NE 0	10	10	10	17.1	●tr. 12¾, △ ✳ 14-14½,
29	2.7	5.2	7.0	5.0	2.9	716.0	715.5	715.6	100	91	58	NE 0	NE 0	W 2	10	5	2	.	● n-7¼, ≡ 8-13 [● 14½-21
30	5.1	4.5	2.9	4.2	2.3	715.1	713.8	713.3	54	71	86	NW 2	W 0	W 0	10●	10	10	7.5	● l, 13-19
31																			
																		Summe	
Mittel	1.6	6.5	3.1	3.7	—	714.1	713.1	714.0	85	62	78				6.5	5.0	5.4	75.9	

$\lambda = 8° 57'$, $\beta = 46° 0'$,
$H_b = 276.2$ m, $G = -0.01$ mm.

Lugano

November 1943.
Beobachter: *G. Vicari.*

Tag	Lufttemperatur 7³⁰	13³⁰	21³⁰	Mittel	Abweich. vom Normalst.	Luftdruck 7³⁰	13³⁰	21³⁰	Relative Feuchtigkeit 7³⁰	13³⁰	21³⁰	Windrichtung und Stärke 7³⁰	13³⁰	21³⁰	Bewölkung 7³⁰	13³⁰	21³⁰	Niederschlag	Witterung
1	11.4	14.8	12.4	12.9	4.4	744.4	744.4	745.3	93	61	87	N 1	E 0	N 1	10	10	10	.	
2	12.2	15.0	11.4	12.9	4.6	744.7	744.8	744.6	82	64	94	NE 1	SE 1	N 1	10	10	5	0.5	●° 15½-18
3	10.6	14.8	11.2	12.2	4.1	743.5	742.6	742.0	89	66	93	N 1	SSE 1	N 1	10	3	0	.	
4	11.0	**16.8**	8.8	12.2	4.3	741.2	740.7	741.5	94	60	86	N 1	SE 1	N 1	10	3	0	.	
5	9.6	8.8	7.0	8.4	0.6	741.2	741.2	741.1	62	48	54	SW 1	SW 1	NW 1	10	10	10	.	
6	5.4	11.2	4.8	7.1	−0.5	738.5	735.9	734.3	69	42	78	NNW 1	SSW 1	N 1	9	3	10	.	
7	5.4	9.0	9.0	7.8	0.4	731.5	729.3	731.4	79	53	23	NW 1	SE 1	NNE 3	10	10	2	.	
8	10.4	14.6	9.0	11.3	4.0	733.8	735.7	738.9	23	22	22	NNE 3	NNE 3	NNE 3	0	0	0	.	
9	8.4	15.8	5.2	9.8	2.7	740.6	740.2	743.6	23	**18**	51	NE 3	NNE 1	NNE 1	0	0	3	.	
10	1.0	11.0	5.0	5.7	−1.3	**746.6**	746.4	746.1	62	43	72	N 1	WSW 0	N 1	0	0	0	.	
11	4.4	7.8	5.0	5.7	−1.1	743.2	741.5	740.0	80	61	77	N 1	S 1	N 1	10	10	10	.	
12	4.2	10.2	4.0	6.1	−0.6	738.5	736.3	736.8	85	49	89	W 1	SSW 0	NNE 1	0	0	0	.	
13	1.0	10.0	6.2	5.7	−0.8	730.8	728.2	725.4	94	57	78	NNW 1	SSE 1	NW 1	3	4	10	.	
14	5.8	9.2	4.8	6.6	0.2	721.0	**720.6**	722.8	94	68	83	NNW 1	SE 1	NE 1	10	4	9	.	●tr. fr.
15	0.0	10.6	3.8	4.8	−1.4	724.8	726.1	727.7	56	36	54	NNW 1	SE 1	N 1	0	0	0	.	
16	0.0	5.6	1.0	2.2	−3.9	731.6	732.4	733.6	60	54	62	NNE 1	NW 0	N 1	6	10	0	.	
17	**−1.6**	7.6	2.0	2.7	−3.2	735.3	735.4	737.2	66	34	81	N 1	ESE 1	N 1	0	5	10	5.0	● n (17./18.)
18	1.2	3.8	3.4	2.8	−3.0	737.9	738.4	738.6	99	79	85	N 1	W 1	NNW 1	10	10	10	1.7	●tr. 12–12½, ● n
19	4.0	8.2	5.8	6.0	0.4	739.9	740.0	740.8	83	62	78	NW 1	SSW 1	NW 1	10	10	7	.	
20	5.0	7.0	5.8	5.9	0.4	739.4	738.6	739.3	78	92	98	NNE 1	W 1	NW 1	10	10●	10●	12.5	●° 12–n
21	5.4	8.4	6.4	6.7	1.3	740.4	740.2	739.0	98	93	95	NW 1	NW 0	NNW 1	10	10	10	**17.1**	● 9–n m.U.
22	5.6	10.0	4.2	6.6	1.4	737.5	736.8	736.0	97	66	89	N 1	ESE 1	NW 1	10	8	4	.	
23	2.4	9.4	3.2	5.0	−0.1	734.5	731.9	732.4	88	56	73	NW 1	SE 0	NNE 1	3	2	0	.	
24	0.2	9.2	5.4	4.9	0.0	733.0	732.7	730.5	68	44	78	NNE 1	S 0	NNE 1	0	7	10	8.0	
25	4.2	12.0	3.8	6.7	1.9	725.3	724.1	730.2	97	36	33	N 1	NNE 1	NNE 2	10●	1	0	0.8	● n–8
26	3.2	9.4	2.0	4.9	0.2	732.6	732.9	733.3	32	27	49	NNE 1	ESE 1	NNE 1	0	3	0	.	
27	−0.6	9.4	1.2	3.3	−1.2	733.6	734.2	737.7	58	36	70	NNE 1	S 1	NNE 1	1	3	0	.	
28	−0.8	7.0	2.2	2.8	−1.6	739.9	740.1	739.7	74	49	66	N 1	ESE 0	NNE 1	4	10	0	.	
29	0.2	9.8	2.0	4.0	−0.3	739.0	738.3	737.3	70	44	71	NNW 1	S 1	NW 1	0	0	0	.	
30	0.4	11.4	5.2	5.7	1.6	736.1	734.1	734.5	87	41	64	N 1	SW 0	N 1	1	3	5	.	
Mittel	4.3	10.3	5.4	6.7	—	736.7	736.1	736.7	75	52	71				5.6	5.3	4.5	Summe 45.6	

$\lambda = 7° 35'$, $\beta = 47° 33'$,
$H_b = 318$ m, $G = 0.11$ mm.

Basel

November 1943.
Beobachter: *Astronom.-Meteorol. Anstalt.*

Tag	Lufttemperatur 7³⁰	13³⁰	21³⁰	Mittel	Abweich. vom Normalst.	Luftdruck 7³⁰	13³⁰	21³⁰	Relative Feuchtigkeit 7³⁰	13³⁰	21³⁰	Windrichtung und Stärke 7³⁰	13³⁰	21³⁰	Bewölkung 7³⁰	13³⁰	21³⁰	Niederschlag	Witterung
1	3.2	12.3	6.6	7.4	1.6	737.1	736.8	737.8	97	70	98	ESE 1	ESE 1	WNW 0	1≡	6	10≡	.	≡ 7½-9¼, 20–n, ⌓ |
2	6.3	**13.4**	6.4	8.7	3.1	739.1	740.2	741.2	98	72	98	ESE 1	NNE 0	WNW 0	10≡	10	0	.	≡ n–8¼ m.U.
3	5.5	9.0	7.9	7.5	2.0	741.2	740.9	740.8	97	91	94	SE 0	WNW 1	NW 0	10≡	10≡	10	.	≡ 0–18, ⌓ |
4	5.8	5.1	6.5	5.8	0.4	740.6	740.4	741.1	97	92	75	NW 1	WNW 1	E 1	10≡	10	10	.	≡ 2½–12½, ⌓ |
5	5.1	7.2	0.9	4.4	−0.8	739.9	739.1	738.0	74	**55**	73	ENE 1	ENE 1	E 1	10	1	0	.	
6	−5.0	7.6	4.8	2.5	−2.6	735.9	733.4	730.4	95	59	68	SSE 1	WNW 1	W 1	0	10	10	2.1	● 22–23, ⌣ |
7	3.4	4.0	4.0	3.8	−1.2	729.8	731.8	734.2	87	80	87	SW 1	WSW 1	SW 1	10●	10●	10●	0.8	● 0–20¾ zeitw.
8	3.4	7.4	0.0	3.6	−1.3	737.5	738.7	741.2	93	74	100	SSW 0	SSW 1	E 1	10	0	0	0.8	● 9½–11, ≡ 23–24
9	−0.5	3.8	1.0	1.4	−3.3	743.7	744.8	746.9	99	78	96	ESE 1	WNW 0	WNW 1	10≡	9	10≡	.	≡ 0–12¼, 20¾–n, ⌓ |
10	−0.6	0.6	0.0	0.0	−4.6	**747.5**	746.5	744.5	94	92	94	W 0	NNW 1	SSW 1	10	10	10	.	
11	−2.4	5.6	3.3	2.2	−2.3	740.9	737.8	736.9	96	67	90	SSE 1	SSW 0	ENE 0	10≡	9	10●	2.5	● 20½–24, ≡ 6½–7½
12	3.8	6.8	5.8	5.5	1.2	736.4	734.6	732.2	93	66	81	W 0	SW 1	SSW 1	10	10	10●	1.8	● 1–2¾, 17–18, 21½
13	7.5	8.7	8.4	8.2	4.0	729.1	724.2	718.8	85	80	70	WSW 1	WSW 1	WSW 2	10●	10●	10●	**22.0**	● 3¼–n m.U., ⸗ p–n zeitw.
14	3.3	2.6	1.8	2.6	−1.5	719.3	719.9	721.2	76	89	93	W 2	WNW 2	WNW 0	8	10●	10●*	1.7	✳ n–22¾ ztw. ⸗ n–13¾
15	0.1	4.4	0.5	1.7	−2.3	722.4	723.8	726.4	90	77	96	ESE 1	ESE 1	SSE 1	10	9	10	0.7	✳° 6–10 m.U. [zeitw.
16	−1.3	3.8	0.6	1.0	−2.8	729.8	731.4	732.7	96	75	92	SSE 1	WSW 1	SE 0	2	10	10	.	⌣ |
17	−2.0	4.4	−2.0	0.1	−3.6	733.0	732.6	733.4	98	76	96	ESE 1	SSE 1	SSE 0	1	2	0	.	●° 1, ⌣ ∽ |
18	**−3.1**	0.5	−1.8	−1.5	−5.1	734.1	734.5	735.7	99	76	95	E 1	ESE 1	WNW 0	10≡	10	10	.	≡ 1½–9¼, ⌣ |
19	−1.8	−0.5	−0.2	−0.8	−4.3	737.2	737.9	739.3	95	91	91	N 1	WNW 1	W 1	10	10	10	.	
20	−0.5	1.4	1.2	0.7	−2.6	738.4	736.7	736.1	94	85	89	NNW 1	NNW [illegible]	NNW 1	10	10	10	.	
21	1.0	1.9	1.9	1.6	−1.6	735.8	735.3	735.5	96	95	90	WNW 1	WNW 0	WNW 0	10≡	10	10	0.4	●° 7–9½, ≡ 6½–11
22	1.8	3.8	2.8	2.8	−0.3	734.5	734.1	733.7	93	87	89	WNW 0	SSW 1	SSE 1	10	10	10	.	≡ 10–12¼
23	2.2	4.8	2.6	3.2	0.3	732.8	732.6	732.4	93	74	87	SSW 1	WNW 1	SSW 1	10	10	10	.	
24	0.2	8.0	10.7	6.3	3.5	728.9	723.9	**717.9**	90	68	**55**	ESE 1	S 2	SSW 3	10	10●	10	8.5	● [illegible]
25	5.1	7.4	3.0	5.2	2.5	723.4	726.1	731.1	75	67	85	WSW 1	WNW 2	W 1	10	8	1●	1.0	● [illegible]
26	−0.1	5.6	3.4	3.0	0.4	731.0	730.4	730.7	90	61	78	ESE 1	SE 1	WSW 1	10	10	10	0.1	⌣° |
27	3.5	6.2	0.2	3.3	0.9	732.8	733.7	734.8	90	75	98	ENE 0	WNW 1	E 1	10	10	0	.	● 2¾–3¼
28	0.4	4.0	12.3	5.6	3.3	732.6	733.7	730.8	90	84	73	E 1	E 1	WSW 2	[illegible]	10	7	4.0	● [illegible]
29	7.8	9.5	3.4	6.9	4.7	731.7	734.7	735.5	70	57	90	SW 1	W 2	WSW 3	8	10	1	4.6	● [illegible]
30	4.3	3.0	3.0	3.4	1.3	732.8	734.3	733.4	66	90	85	SW 2	W 3	W 2	5	10●	10	7.7	● [illegible] [⸗ 1½–13½ zeitw.
Mittel	1.9	5.4	3.3	3.5	—	734.4	734.0	734.2	90	77	87				8.4	9.1	8.2	Summe 60.5	

November 1943.
Beobachter: *Observatorium.*

Säntis

$\lambda = 9° 20'$, $\beta = 47° 15'$,
$H_b = 2500.1$ m, $G = -0.27$ mm.

Tag	Lufttemperatur 7³⁰	13³⁰	21³⁰	Mittel	Abweich. vom Normalst.	Luftdruck 7³⁰	13³⁰	21³⁰	Relative Feuchtigkeit 7³⁰	13³⁰	21³⁰	Windrichtung und Stärke 7³⁰	13³⁰	21³⁰	Bewölkung 7³⁰	13³⁰	21³⁰	Niederschlag	Witterung
1	1.0	**4.0**	1.4	2.1	5.2	566.0	566.5	566.9	46	40	58	SW 3	WSW 3	WSW 3	2	2	2	.	
2	2.6	3.2	1.7	2.5	5.7	567.7	568.4	**568.7**	44	56	96	W 0	SSE 0	SSE 2	10	10	2	.	
3	1.4	3.8	1.5	2.2	5.5	568.1	568.1	567.5	66	53	63	ENE 2	E 1	NE 3	3	1	0	.	
4	0.1	1.8	0.4	0.8	4.3	566.3	565.8	565.6	54	48	34	NE 2	E 1	ENE 3	1	1	0	.	
5	-2.7	-4.6	-7.4	-4.9	-1.3	563.6	562.3	560.7	6	9	51	NNE 3	NE 2	NW 2	0	0	0	.	
6	-9.0	-6.0	-5.3	-6.8	-3.1	558.2	558.0	555.4	82	39	30	WNW 4	WNW 4	WNW 4	1	5	6	13.4	
7	-9.4	-11.8	-11.6	-10.9	-7.1	553.0	553.6	557.3	100	100	100	WNW 3	WNW 3	WNW 2	10≡*	10≡*	10≡	27.5	✳ n-20¼, ≡ n-n ⊠
8	-11.3	-11.4	-11.7	-11.5	-7.5	559.0	560.2	562.2	100	96	93	NW 2	NNE 2	NNE 2	10≡	10	10	0.4	✳ n-15 m.U., ≡ n-n m.U. ✳
9	-11.8	-11.8	-12.7	-12.1	-8.0	563.4	564.6	566.2	92	91	96	NNE 2	ENE 2	NE 2	10≡	5≡	10≡	.	≡ n-n m.U. ✳
10	-7.4	-3.9	-3.0	-4.8	-0.6	566.7	567.1	566.2	23	12	**2**	NE 4	NE 3	NE 2	1	1	1	.	⊠
11	-3.5	-1.6	-6.8	-4.0	0.3	563.5	562.0	560.3	6	8	30	NNW 2	W 2	WNW 4	9	10	10	5.1	[m.U., ∨ 10½ ⊠
12	-8.7	-8.1	-6.8	-7.9	-3.5	558.9	556.8	556.7	100	100	100	WNW 3	W 3	WNW 4	10≡*	10≡	10≡*	20.2	✳ n-8¾, 20½-n, ≡ ⸗ n-n ✳
13	-6.2	-4.9	-6.6	-5.9	-1.3	553.9	550.9	547.5	100	100	100	WNW 4	WNW 3	W 4	10≡*	10≡*	10≡*	18.8	✳ ≡ ⊹ ⸗ n-n, ∨ 10½ ✳
14	-10.6	-10.6	-13.0	-11.4	-6.7	**544.4**	545.6	546.8	100	96	83	WNW 5	WSW 3	W 3	10≡*	10≡*	2	6.5	✳ n-17 ztw., ⊹ ⸗ ≡ n-19¼. ✳
15	**-14.2**	-11.4	-12.2	-12.6	-7.8	547.7	548.8	550.6	89	80	98	WNW 3	W 2	W 1	1	2	10≡	0.1	≡ 15¼-n m.U. [∨ II ✳
16	**-14.2**	-11.8	-13.5	-13.2	8.3	552.6	554.0	554.8	86	93	88	W 2	WNW 2	NNW 2	4	10≡	10≡	0.2	✳ fl. a abds., ≡ 8½-n m.U. ⸗
17	-13.6	-11.4	-13.3	-12.8	-7.8	554.9	554.8	555.3	85	82	70	WNW 1	WSW 2	WSW 2	10	10≡	3	.	✳ fl. a, ≡ 8-14 m.U. ✳
18	-12.3	-9.4	-9.0	-10.2	-5.1	556.0	556.9	558.4	70	62	88	SSW 3	SSE 3	S 3	8	10	8	.	✳
19	-7.7	-6.1	-6.5	-6.8	-1.5	559.3	560.3	561.8	71	60	63	SSW 3	SSE 2	SSE 3	3	2	0	.	✳
20	-5.2	-2.1	-3.2	-3.5	-1.9	561.7	561.4	561.7	62	49	63	SE 2	E 2	ESE 2	3	8	1	.	✳
21	-4.4	-2.6	-4.6	-3.9	1.6	560.6	560.7	560.4	49	56	74	SSE 3	SW 3	WSW 2	2	9	10	.	✳
22	-6.2	-3.9	-7.6	-5.9	-0.3	558.6	558.3	557.8	98	98	93	WNW 2	WNW 1	W 2	10≡	10≡	0	0.6	✳ n, 8½-10¾, ≡ n-20 m.U. ⸗
23	-8.6	-6.4	-8.8	-7.9	-2.2	556.4	556.1	555.6	63	52	42	WSW 2	SW 0	W 2	1	1	0	.	✳
24	-8.2	-4.0	-4.0	-5.4	0.4	553.7	552.9	549.4	42	56	100	WNW 4	W 4	WNW 5	3	10	10≡*	4.4	✳ 16-16½, ≡ ⊹ ✳ 20½-n, ⸗ ⊠
25	-9.4	-9.6	-12.7	-10.6	-4.7	548.4	550.1	553.6	100	100	100	WNW 5	NW 4	WNW 3	10≡*	10≡*	10≡*	42.5	✳ ≡ ⊹ n-n, ⸗ n-p. \ II [n-n ✳
26	-14.0	-13.0	-12.8	-13.3	-7.3	553.6	553.5	554.1	88	66	74	WNW 4	WNW 4	WNW 4	9	10	10	11.1	≡ n-6¾, ⊹ n-15, ⸗ n-n ⊠
27	-11.1	-9.8	-10.4	-10.4	-4.4	555.8	556.7	558.3	100	98	70	NW 2	NW 3	WNW 3	10≡*	10≡*	0	5.3	✳ n-10, ≡ n-17¼ ✳
28	-6.8	-3.8	-5.6	-3.7	2.4	559.0	558.3	558.4	58	88	100	WNW 3	W 4	W 5	10	10≡*	10≡	34.8	✳ ⸗ 13-19, ≡ 13-n, ⊹ 8-18, \ II ⊠
29	-3.1	-4.1	-8.4	-5.2	1.0	559.6	558.7	557.3	100	100	100	W 5	WNW 5	WNW 6	10≡*	10≡*	10≡*	**59.7**	✳ n-n m.U., ≡ ⊹ ⸗ n-n ✳
30	-11.3	-9.6	-11.6	-10.8	-4.5	556.1	554.8	554.8	100	100	100	W 5	W 4	WNW 2	10≡*	10≡*	10≡*	42.5	✳ ≡ ⊹ n-n ✳
Mittel	-7.5	-6.0	-7.3	-7.0	—	558.2	558.2	558.3	73	70	75				6.4	7.2	5.8	Summe 293.1	

November 1943.
Beobachter: Frl. *F. Lombardi.*

St. Gotthard (Hospiz)

$\lambda = 8° 34'$, $\beta = 46° 33'$,
$H_b = 2095.7$ m, $G = -0.25$ mm.

Tag	7³⁰	13³⁰	21³⁰	Mittel	Abweich. vom Normalst.	7³⁰	13³⁰	21³⁰	7³⁰	13³⁰	21³⁰	7³⁰	13³⁰	21³⁰	7³⁰	13³⁰	21³⁰	Niederschlag	Witterung
1	1.2	1.8	1.0	1.3	3.6	596.7	596.6	596.6	100	100	100	S 0	E 1	E 0	10≡	10≡	10≡	8.9	●sch. p zeitw., ≡ n-n
2	1.0	4.0	3.0	2.7	5.2	597.3	596.7	597.6	100	90	81	SE 0	SE 0	SE 0	10≡	10	10	.	≡ n-10¾
3	3.0	**7.0**	3.0	4.3	4.9	597.3	596.7	596.7	55	26	63	S 0	S 0	N 0	5	5	0	.	
4	2.2	**7.0**	2.0	3.7	6.5	595.2	595.0	594.5	64	50	42	N 1	S 1	N 1	0	0	0	.	
5	-0.4	-2.4	-3.8	-2.2	0.7	592.6	591.1	590.5	43	64	65	N 1	N 2	N 1	0	10≡	0	0.1	≡ 12¾-18
6	-4.6	0.5	-2.4	-2.2	0.8	588.4	587.7	585.9	34	25	13	N 2	N 1	N 0	0	0	0	0.6	✳° n (6./7.)
7	-5.8	-7.0	-8.4	-7.1	-3.9	583.4	583.5	586.3	80	60	78	N 2	N 2	N 3	10	6	6	4.0	⊹ 8¼-10¼, ≡ n-10, ⸗
8	-7.6	-6.8	-8.2	-7.5	-4.2	587.2	589.3	591.1	62	73	68	N 2	N 2	N 2	10≡	10*	5	.	≡ n-17¼ [abds.
9	-9.4	-8.2	-9.6	-9.1	-5.7	592.8	594.2	595.2	67	60	70	N 2	N 2	N 2	10≡	0	10≡	.	≡ n-10¼, 16-n
10	-7.8	-2.4	-4.0	-4.7	-1.2	**596.3**	595.9	595.5	70	26	21	N 1	N 1	NE 1	0	0	0	.	
11	-3.2	0.0	-2.8	-2.0	1.7	592.8	590.7	590.4	17	10	23	NE 1	NE 1	NE 0	0	3	5	.	
12	-6.4	-4.6	-4.4	-5.1	-1.3	589.4	588.4	587.5	85	65	90	N 2	N 2	N 1	5	3	8	6.0	✳° 19½-n zeitw.
13	-2.4	1.8	-1.8	-0.8	3.1	585.1	582.1	579.5	82	31	51	N 1	NE 0	E 0	10*≡	8	8	15.7	✳ n-10½, ≡ n-9
14	-5.0	-6.0	-12.0	-7.7	-3.7	**575.2**	575.9	576.7	80	8	13	N 1	N 1	N 1	8	2	0	.	
15	-12.4	-8.2	-12.6	-11.1	-7.0	577.7	578.4	580.1	34	20	51	N 0	N 0	N 0	0	0	4	.	
16	-12.8	-10.0	-12.4	-11.7	-7.5	583.0	583.8	584.4	45	50	71	N 0	N 0	N 1	2	5	10≡	.	≡ 19-n
17	**-13.2**	-7.8	-10.2	-10.4	-6.1	585.1	585.0	585.7	54	18	41	N 0	S 0	S 0	0	0	3	.	
18	-9.8	-7.4	-6.6	-7.9	-3.5	586.7	587.0	588.3	80	81	75	S 0	S 1	S 1	10	10*	10*	10.1	✳ 10¼-n
19	-6.0	-3.2	-5.0	-4.7	-0.2	589.7	590.3	591.5	85	62	84	S 0	S 0	S 0	10*	10	10	2.4	✳ n-8¼, ✳° a, p zeitw. ⊠
20	-1.8	-1.2	-2.4	-1.8	2.8	590.9	590.6	590.4	37	66	89	SE 0	SE 1	SE 2	5	10*	10	18.2	✳ 12¼-n, ⸗ 21-n ✳
21	-3.2	-2.3	-2.6	-2.7	2.0	591.5	591.1	590.6	98	100	100	SE 1	SE 1	SE 1	10	10*≡	10≡	9.7	✳ 10¾-14¾, ≡ 8¼-n ⊠
22	-3.8	-2.3	-4.6	-3.6	1.2	588.7	588.4	588.0	98	98	100	S 0	S 0	S 0	10≡	10≡	10≡	3.5	≡ n-n ⊠
23	-7.0	-7.4	-11.0	-8.5	-3.6	586.5	584.8	585.0	68	85	97	S 0	N 1	N 1	0	10≡	0	.	≡ 13½-17 ⊠
24	-6.0	-4.8	-6.8	-5.9	-0.9	584.9	584.4	582.6	**6**	11	64	S 0	S 1	S 1	0	3	10	14.6	⊠
25	-6.8	-7.2	-10.0	-8.0	-2.9	578.7	579.1	583.1	90	91	90	N 2	N 2	N 3	10≡	10*	10*	13.5	⊹ zeitw., ≡ n-n, ⸗ abds. ✳
26	-12.4	-8.8	-8.0	-9.7	-4.5	584.4	584.5	584.3	62	38	22	N 1	N 1	N 1	0	4	0	.	⊠
27	-9.2	-7.4	-10.6	-9.1	-3.8	585.4	585.8	586.6	22	68	22	N 1	N 1	N 1	5	8	0	.	✳
28	-6.6	-4.8	-5.7	-5.7	-0.3	589.8	589.8	589.9	24	58	83	S 0	SE 0	SE 0	2	10	10*	13.2	✳° 13¾-n, ≡ 18-n ⊠
29	-0.8	2.0	-0.6	0.2	5.7	591.2	590.6	589.7	64	19	16	W 0	N 1	N 0	5	2	0	4.2	✳
30	-6.4	-6.0	-8.8	-7.1	-1.6	587.6	586.5	585.8	58	75	78	N 1	SE 1	SE 1	8	10*	10*≡	**26.5**	✳ 9¾-n, ≡ 17-n ⊠
Mittel	-5.5	-3.4	-5.5	-4.8	—	588.4	588.1	588.4	62	54	62				5.2	6.0	5.6	Summe 151.2	

$\lambda = 7° 26'$, $\beta = 46° 57'$,
$H_b = 572.2$ m, $G = 0.00$ mm.

Bern

Dezember 1943.
Beobachter: *Tellur. Observatorium.*

Tag	Lufttemperatur 7³⁰	13³⁰	21³⁰	Mittel	Abweich. vom Normalst.	Luftdruck 7³⁰	13³⁰	21³⁰	Relative Feuchtigkeit 7³⁰	13³⁰	21³⁰	Windrichtung und Stärke 7³⁰	13³⁰	21³⁰	Bewölkung 7³⁰	13³⁰	21³⁰	Niederschlag	Witterung
1	1.2	2.1	0.9	1.4	0.5	715.3	716.1	717.2	100	88	84	W 2	WSW 2	W 0	10	9	8	1.0	✳ 1¾–12½ zeitw.
2	−0.4	2.3	0.4	0.8	0.1	714.7	712.2	708.4	90	66	91	S 0	SW 0	S 0	10	10	9	0.0	≡ 8–9
3	0.3	3.2	1.1	1.5	0.9	707.7	707.4	707.1	94	83	100	S 0	N 0	NE 0	10	9	10	0.0	✳° fr., 8¼
4	0.6	2.0	1.2	1.3	0.8	708.5	709.2	709.9	100	85	91	W 0	E 1	NE 1	10	10	10	.	
5	0.1	1.7	0.2	0.7	0.4	712.0	713.5	714.6	100	88	100	NE 1	NE 0	NE 0	10≡	10	10	.	≡ n–a
6	−0.3	0.5	−0.1	0.0	−0.2	714.3	713.8	711.3	100	95	100	NE 0	NE 0	NE 0	10≡	10	10	.	≡ n–a, 17–19
7	−0.1	2.0	1.9	1.3	1.2	709.2	710.0	710.0	100	96	100	W 1	SE 0	S 0	10≡	10●	9≡	1.9	● 12–17, 22, ≡ n–8, abds.
8	2.3	6.2	4.3	4.3	4.3	710.7	711.4	712.8	100	97	100	S 0	SE 0	SE 0	10≡	10	10	0.2	● 10¾–11¾, 14¼, ≡ n–a
9	2.1	4.3	3.8	3.4	3.5	713.2	712.6	712.3	100	90	95	SE 0	W 0	S 0	10≡	10	10●	0.0	●° 19¾–21½, ≡ n–a
10	3.0	4.9	0.3	2.7	2.9	711.4	710.6	711.4	98	77	93	SE 0	W 1	NE 1	10	9	10●	0.0	●° 16¼, 21½–n
11	−0.4	0.6	0.1	0.1	0.4	711.8	711.9	713.8	98	92	94	NE 1	NE 2	NNE 1	10	10	10	.	
12	−0.1	0.5	−0.2	0.1	0.5	715.0	715.1	716.6	82	78	87	NE 1	NE 1	NE 2	10	10	10	.	
13	−0.2	0.4	−0.6	−0.1	0.4	718.0	718.6	719.0	81	79	91	NE 1	E 2	N 1	10	10	10	.	
14	−0.8	−0.5	−1.4	−0.9	−0.3	719.2	718.9	719.1	85	83	93	NE 0	E 0	N 0	10	10	10	.	
15	−1.8	−1.2	−1.8	−1.6	−0.9	719.1	718.7	719.5	85	81	92	E 0	SE 0	SW 0	10	10	10	.	
16	−1.8	−1.2	−1.7	−1.6	−0.8	718.6	717.0	715.4	100	98	100	S 0	N 0	N 0	10≡	10≡	10≡	.	≡ n–n
17	−1.7	−0.9	0.5	−0.7	0.1	713.6	713.2	713.7	100	97	99	SE 0	W 1	S 0	10≡	10	10	.	≡ n–a, 16–18
18	−0.3	0.2	−1.4	−0.5	0.4	715.5	716.0	716.7	100	100	100	N 0	NW 0	W 0	10≡	10≡	10≡	.	≡ n–n
19	−0.7	2.8	6.9	3.0	4.0	713.6	710.7	708.2	100	88	62	S 1	SE 1	WSW 3	10	10	10	9.3	● 23½–n, ⌴ l
20	4.5	6.1	−0.4	3.4	4.4	713.6	715.2	714.7	100	74	100	W 1	W 1	SE 0	9	6	0	1.1	● n–5, 8–8¾
21	−1.6	0.3	0.5	−0.3	0.8	711.5	709.8	708.6	97	96	94	W 0	W 0	SE 0	10≡	10	9	0.0	✳° 18–n, ≡ n–a, ⌴ l
22	−0.8	1.4	1.1	0.6	1.7	705.7	707.2	709.5	97	96	99	SW 0	SW 0	S 0	10	10●*	10	3.0	● ✳ 10–15½ m.U., ≡ fr.,
23	−0.5	1.6	−1.6	−0.2	1.0	708.5	707.7	709.8	100	82	99	NE 0	NE 0	S 0	10≡	6	0	.	≡ n–12 [9–11, abds.
24	−3.2	−0.9	−1.6	−1.9	−0.7	713.0	714.6	718.2	94	93	94	NE 0	NE 2	NE 1	9	10	3	.	⌴ l
25	−2.2	0.2	−2.9	−1.6	−0.3	720.6	721.5	723.4	90	61	90	ENE 2	ENE 2	E 1	6	1	0	.	⌴ l
26	−5.4	1.0	−2.7	−2.4	−1.1	724.4	723.9	724.2	90	53	86	S 0	N 1	E 0	8	7	0	.	⌴ l
27	−3.3	2.3	−0.8	−0.6	0.8	724.7	724.1	723.0	85	73	88	SE 1	E 0	E 0	9	7	0	.	⌴ l
28	−3.4	3.3	2.5	0.9	2.3	722.7	722.2	721.9	98	88	92	SE 0	ENE 2	NE 1	1	3	10	.	⌴ l
29	−1.4	1.0	−1.1	−0.5	1.0	720.6	719.5	718.8	95	86	97	S 0	S 0	SE 1	10	10	10	.	[∽ seit 10
30	−2.8	−1.2	−0.1	−1.4	0.1	716.5	716.3	715.5	100	98	98	SW 0	S 1	W 0	10	10	10*	0.2	◐^ a, ✳ 20½–22¼, ≡ n-mtgs.,
31	−2.2	0.0	−2.3	−1.5	0.0	714.9	716.2	718.1	78	69	85	W 1	SE 0	S 0	9	10	10	0.0	✳ 8½–10½ m.U., a, p zeitw.
																		Summe	
Mittel	−0.7	1.5	0.2	0.3	—	714.8	714.7	714.9	95	85	93				9.4	8.9	8.0	16.7	

$\lambda = 6° 57'$, $\beta = 47° 0'$,
$H_b = 487.3$ m, $G = 0.02$ mm.

Neuchâtel

Dezember 1943.
Beobachter: *Observatorium.*

Tag	7³⁰	13³⁰	21³⁰	Mittel	Abweich. vom Normalst.	Luftdruck 7³⁰	13³⁰	21³⁰	Relative Feuchtigkeit 7³⁰	13³⁰	21³⁰	Windrichtung und Stärke 7³⁰	13³⁰	21³⁰	Bewölkung 7³⁰	13³⁰	21³⁰	Niederschlag	Witterung
1	1.5	3.5	1.8	2.3	0.4	722.7	723.9	725.0	95	72	81	W 1	W 2	W 1	10	4	8	1.2	✳ n–n m.U.
2	1.9	2.8	1.9	2.2	0.4	722.5	720.0	716.1	81	82	81	W 1	SW 2	W 1	10	10	10	4.5	
3	0.2	2.2	1.7	1.4	−0.3	715.1	715.0	714.6	98	98	98	NW 0	E 0	E 0	10*	10	10	0.6	✳ n, ✳fl. a
4	1.0	2.3	1.2	1.5	−0.1	715.9	717.1	718.5	95	86	87	E 0	NE 1	NE 2	10	10	10	.	
5	1.0	1.7	0.6	1.1	−0.4	720.0	721.3	722.7	95	89	92	E 1	E 1	NE 1	10	10	10	.	
6	−0.3	0.7	0.2	0.2	−1.2	722.2	721.8	719.4	98	93	98	NE 1	NE 1	NE 1	10	10	10	.	
7	0.6	3.1	2.5	2.1	0.8	716.7	717.5	718.0	96	97	98	NW 0	SW 0	SW 0	10	10●	10	3.8	● 10¾–n
8	4.4	6.6	5.0	5.3	4.1	718.2	719.0	720.3	98	91	94	W 1	SW 1	W 0	10●	10	10	1.3	● n–a
9	3.1	5.2	3.5	3.9	2.8	720.7	720.4	719.9	98	93	98	E 0	SW 1	SW 0	10	10	10	0.4	● 19½–n
10	3.1	6.0	1.5	3.5	2.5	718.8	718.3	719.4	97	58	89	W 0	W 1	NE 1	9	9	10	.	
11	0.7	2.2	1.2	1.4	0.5	719.6	719.8	722.9	87	78	82	NE 2	NE 2	NE 2	10	10	10	.	
12	0.7	0.8	0.4	0.6	−0.2	722.9	723.1	724.7	79	79	88	NE 2	NE 2	NE 3	10	10	10	.	
13	0.3	0.6	−0.4	0.2	−0.6	725.9	727.0	727.3	86	86	89	NE 2	NE 2	NE 2	10	10	10	.	
14	−0.6	−0.3	−1.1	−0.7	−1.4	727.3	727.0	727.3	89	89	90	NE 1	NE 1	NE 2	10	10	10	.	
15	−1.6	−0.5	−0.9	−1.0	−1.6	727.1	726.8	727.7	90	87	90	NE 1	E 1	NE 0	10	10	10	.	
16	−1.2	−0.7	−1.2	−1.0	−1.5	726.8	725.3	723.4	96	98	98	NE 0	NE 1	NE 0	10	10≡	10	.	≡ zeitw.
17	−1.3	0.2	0.9	−0.1	−0.5	721.3	721.1	721.6	100	96	98	NE 0	W 2	NW 0	10	10	10	.	
18	1.3	1.8	1.3	1.5	1.1	723.6	724.0	724.3	100	100	100	NW 0	NE 0	W 1	10≡	10≡	10≡	0.1	≡ n–n
19	1.3	8.1	9.0	6.1	5.8	721.2	718.2	715.5	100	69	64	NW 0	SW 1	SW 2	10≡	10	10	22.8	≡ l. ●n (19./20.)
20	4.8	6.9	1.0	4.2	4.0	721.0	723.0	722.6	92	58	82	NW 1	NW 2	N 0	9	7	0	.	
21	0.0	0.9	2.0	1.0	0.8	719.3	717.7	716.2	98	90	98	NE 0	NE 0	SW 1	10	10	10	0.5	● ✳ 14–p, ≡ a, ⌴ l
22	1.3	2.7	0.5	1.5	1.4	713.4	714.6	717.3	98	98	88	E 0	E 0	NW 0	10	10●	4	3.5	● 7¾–15 m.U.
23	−1.5	3.0	−1.1	0.1	0.1	716.1	715.4	717.5	96	87	94	NW 0	SE 1	NE 0	3	2	0	.	⌴ l
24	−1.8	0.1	−0.1	−0.6	−0.6	720.5	722.7	726.1	96	89	80	NE 0	E 2	NE 2	10	10	0	.	⌴ l
25	−0.8	1.6	−0.3	0.2	0.3	728.4	729.6	731.4	81	77	78	NE 3	NE 3	NE 2	2	2	0	.	⌴ l
26	−1.3	2.4	0.5	0.5	0.7	732.0	731.9	732.1	88	74	77	NE 1	NE 3	NE 2	3	7	0	.	⌴ l
27	1.5	4.8	3.5	3.3	3.5	732.6	731.6	730.8	85	76	72	NE 1	NE 3	E 2	6	1	0	.	
28	2.4	6.0	4.3	4.2	4.5	730.0	730.2	729.9	91	81	89	NE 2	E 3	E 1	0	7	10	.	
29	2.8	2.4	0.8	2.0	2.3	728.5	727.4	726.6	89	88	94	NE 1	E 1	N 0	10	10	10	.	
30	−0.3	1.0	1.3	0.7	1.1	724.5	724.2	723.5	98	91	89	N 0	NE 0	W 1	10	10	10	0.3	✳fl. p, ✳ abds. zeitw.
31	−0.3	0.4	−0.7	−0.2	0.2	722.[illegible]	723.7	725.9	63	57	71	N 4	N 3	NW 2	5	3	5*	0.2	✳fl. zeitw.
																		Summe	
Mittel	0.7	2.5	1.3	1.5	—	722.5	722.5	722.9	92	84	88				8.6	8.5	7.6	39.2	

Dezember 1943.
Beobachter: Frl. *H. Nager.*

Altdorf

$\lambda = 8° 39'$, $\beta = 46° 53'$,
$H_b = 456.3$ m, $G = -0.05$ mm.

Tag	Lufttemperatur 7³⁰	13³⁰	21³⁰	Mittel	Abweich. vom Normalst.	Luftdruck 7³⁰	13³⁰	21³⁰	Relative Feuchtigkeit 7³⁰	13³⁰	21³⁰	Windrichtung und Stärke 7³⁰	13³⁰	21³⁰	Bewölkung 7³⁰	13³⁰	21³⁰	Niederschlag	Witterung
1	3.4	4.1	1.9	3.1	0.3	724.1	725.3	727.0	59	63	89	N 2	NW 0-1	NW 0	10●	10	10	2.3	● I, p zeitw., ✳° a
2	0.1	5.3	1.3	2.2	−0.5	725.3	721.9	718.3	83	49	85	SE 0	SE 0	E 0	10	10	0	.	
3	2.9	5.5	1.2	3.2	0.6	717.2	716.5	716.7	71	60	92	N 0-1	N 0-1	N 0	8	6	3	.	
4	2.4	4.1	2.5	3.0	0.6	718.2	719.6	720.6	93	71	89	NE 0	NW 0-1	NW 0	10	10	10	.	
5	2.2	4.1	2.5	2.9	0.6	722.4	723.6	724.9	94	79	90	NW 0	NW 0	NW 0	10	10	10	.	
6	2.5	3.3	2.6	2.8	0.6	724.4	724.0	721.1	92	89	94	NW 0	N 0	NW 0	10	10	10	.	
7	2.6	4.2	3.3	3.4	1.3	718.8	719.6	720.2	95	85	97	NW 0	NW 0	NW 0	10	10	10	.	≡ a, p
8	3.8	6.7	4.3	4.9	2.9	720.5	721.5	723.2	98	93	97	NW 0	NW 0	NW 0	10	10	7	.	
9	0.2	5.8	0.2	2.1	0.2	723.0	722.3	721.3	97	64	60	N 0	NW 0	E 0	7	2	9	0.7	
10	2.3	4.1	2.4	2.9	1.1	722.3	720.5	721.7	94	86	95	E 0	E 0	E 0	10●	10	10●	1.4	● I, III
11	1.6	4.1	−0.1	1.9	0.2	722.3	722.1	724.2	95	63	95	E 0	NW 0	NW 0	10	7	10	.	
12	0.6	2.6	1.7	1.6	0.0	725.5	725.7	727.4	94	70	85	NW 0	NW 0	NW 0	10	10	10	.	
13	0.6	2.7	1.7	1.7	0.2	728.4	729.4	729.7	78	65	76	NE 0	NW 0	E 0	10	10	10	.	
14	0.9	2.0	0.3	1.1	−0.3	729.5	729.3	729.5	80	73	72	E 0-1	E 0	E 0	10	10	10	.	
15	0.4	2.2	0.8	1.1	−0.2	729.4	729.0	730.2	81	73	82	E 0-1	W 0	NW 0	10	10	10	.	
16	0.1	2.2	0.7	1.0	−0.2	729.2	727.7	725.3	93	88	90	E 0	E 0	E 0	10	10	10	.	
17	1.4	3.3	1.3	2.0	0.9	723.9	722.6	724.3	94	83	93	W 0	NW 0-1	NW 0	10	10	10	.	
18	1.2	3.3	2.3	2.3	1.3	726.1	726.2	726.5	97	98	90	E 0	SE 0	NW 0	10	10	0	.	≡ p
19	3.4	**13.9**	12.8	10.0	9.1	723.1	719.6	717.9	85	**26**	29	NW 1	SE 2	S 2	7	10	0	**8.5**	
20	5.0	5.7	1.7	4.1	3.2	723.3	725.6	725.2	93	76	89	E 0	W 0	E 0	10●	10	3	0.5	● I
21	8.4	11.2	5.7	8.4	7.6	720.4	717.8	718.1	32	32	52	S 3	S 2	S 0-1	4	5	0	.	
22	2.8	6.7	4.1	4.5	3.8	**715.5**	716.4	719.1	83	80	93	NE 0	NW 0	NW 0	5	8	10	0.3	
23	2.1	4.7	−0.8	2.0	1.4	718.4	717.3	720.1	85	56	83	NE 0	E 0	NE 0	8	3	4	.	
24	−2.8	2.4	0.8	0.1	−0.5	723.3	725.3	729.0	97	70	69	SE 0	NW 0	SE 0	0	6	10	.	
25	0.4	1.7	−2.8	−0.2	−0.7	732.1	732.8	734.9	57	54	69	SW 0	SW 0	E 0	7	3	0	.	
26	−3.2	1.4	−3.1	−1.6	−2.0	735.2	735.4	**735.8**	60	54	69	S 0	NW 0	E 0	7	7	0	.	
27	−1.1	2.4	−0.2	0.4	0.0	**735.8**	735.2	734.5	69	53	75	NE 0	NE 0	NW 0	10	9	7	.	
28	−2.8	2.4	−2.1	−0.8	−1.1	734.0	733.8	733.3	89	75	93	E 0	E 0	E 0	5	3	3	.	
29	**−3.7**	2.1	−2.4	−1.3	−1.6	731.8	729.8	729.2	92	76	92	E 0	E 0	E 0	0	2	0	.	
30	−1.4	0.1	−0.2	−0.5	−0.7	727.0	726.8	724.4	97	91	98	E 0	S 0	SE 0	10	10	10*	8.4	✳ 17½-n
31	−0.4	−0.6	−0.8	−0.6	−0.8	724.3	725.9	727.7	63	68	70	NE 0	N 0-1	NW 1	10	10*	10	1.4	✳ II
																		Summe	
Mittel	1.2	4.0	1.4	2.2	—	725.0	724.8	725.2	84	70	82				8.3	8.1	6.6	23.5	

Dezember 1943.
Beobachter: *Observatorium.*

Genf

$\lambda = 6° 9'$, $\beta = 46° 12'$,
$H_b = 405.0$ m, $G = -0.03$ mm.

Tag	7³⁰	13³⁰	21³⁰	Mittel	Abweich. vom Normalst.	7³⁰	13³⁰	21³⁰	7³⁰	13³⁰	21³⁰	7³⁰	13³⁰	21³⁰	7³⁰	13³⁰	21³⁰	Niederschlag	Witterung
1	2.0	4.4	2.4	2.9	−0.1	731.1	732.5	732.7	93	68	85	E 0	NW 1	E 0	7	10●	9	0.1	●°sch. a, p
2	0.0	3.7	2.3	2.0	−0.9	730.5	726.9	723.3	92	67	75	N 0	NNE 0	NE 0	10	8	10	3.2	⌣ I
3	2.0	3.1	0.7	1.9	−0.8	722.6	721.7	721.9	96	95	96	N 1	NE 0	E 0	10●	10●	10●	**14.5**	● n-n
4	1.4	4.1	2.9	2.8	0.2	723.0	723.8	725.1	96	81	84	ENE 0	ENE 0	NNE 1	10≡	10	10	1.2	● a, n, ≡ I
5	2.7	4.5	2.7	3.3	0.8	726.6	728.5	729.5	88	78	91	E 1	NE 1	NE 1	10	10	10	.	
6	1.9	2.6	2.2	2.2	−0.2	729.3	728.3	725.8	94	89	93	NE 0	NE 1	NE 1	10	10	10	.	
7	2.0	4.1	2.8	3.0	0.7	724.6	724.8	725.2	95	91	98	E 0	E 0	E 0	10	10	9	0.2	● p, n
8	6.3	8.6	4.8	6.6	4.4	725.9	726.8	727.7	87	65	93	SSE 0	S 1	E 1	10	9	0	0.2	●tr. a
9	1.5	5.0	3.9	3.5	1.4	728.0	727.5	727.1	96	90	98	E 0	E 0	E 0	10●	10	10	3.0	● n-n m.U.
10	1.5	4.6	4.0	3.4	1.4	726.4	725.6	726.0	100	97	73	E 1	E 1	E 1	10≡	8≡	9	.	≡ I, II, ●tr. n
11	2.2	3.9	2.9	3.0	1.1	726.3	726.0	728.4	85	73	78	ESE 0	NE 1	NE 1	10	9	9	.	
12	2.0	2.8	1.7	2.2	0.4	729.9	729.6	731.6	79	72	74	NE 1	NNE 1	NNE 1	10	10	10	.	
13	1.8	2.2	1.3	1.8	0.1	732.9	733.3	734.2	78	75	81	ENE 1	NNE 1	NNE 1	10	10	10	.	
14	0.7	1.3	0.8	0.9	−0.7	734.3	733.7	734.3	82	81	82	NNE 1	NE 1	NE 1	10	10	10	.	
15	0.4	0.6	0.9	0.6	−0.9	734.2	733.7	734.5	87	86	86	NE 1	NE 1	NE 0	10	10	10	.	
16	0.2	1.5	0.8	0.8	−0.6	733.8	731.8	730.6	95	91	96	E 1	E 1	E 1	10	10	10	.	●tr. n (16./17.)
17	0.7	2.6	2.1	1.8	0.5	728.5	728.2	728.9	94	89	96	E 0	NE 0	E 0	10	10	7	.	
18	1.9	2.6	2.5	2.3	1.1	730.8	731.1	731.3	98	98	98	NE 0	NE 0	E 0	10≡	10≡	10≡	.	≡ n-n
19	7.5	9.5	**10.0**	9.0	7.9	728.8	726.7	724.9	61	61	**56**	S 1	S 1	S 2	5	10	10	12.7	● n (19./20.)
20	6.2	9.2	2.4	5.9	4.8	728.8	730.1	728.8	91	64	91	E 0	E 0	E 0	7	3	0	.	
21	−0.2	2.3	1.6	1.2	0.2	726.5	725.4	723.8	97	93	96	E 0	E 1	S 1	10	10●	4	2.6	● p, ⌣ I
22	4.4	3.6	0.3	2.8	1.9	**720.3**	722.2	724.3	91	76	94	E 0	E 1	NW 1	8	10	6	5.1	
23	−2.8	3.5	−0.4	0.1	−0.7	723.1	722.2	724.4	96	73	98	E 0	ENE 0	E 0	6	5	2	.	⌣ I
24	−0.1	3.7	1.6	1.7	0.9	727.6	729.3	732.7	91	71	74	E 0	NE 1	N 2	10	6	10	.	
25	0.7	1.8	2.0	1.5	0.8	735.9	735.6	737.5	86	67	65	NNE 2	NNE 2	NNE 2	7	7	1	.	
26	−1.8	3.0	0.4	0.5	−0.1	738.9	738.3	738.6	90	57	76	E 0	N 1	ENE 0	3	1	0	.	
27	1.2	5.3	2.7	3.1	2.5	**739.0**	737.6	737.2	76	67	79	NE 1	NNE 1	ENE 1	2	0	0	.	⌣° I
28	−1.5	5.0	4.1	2.5	2.0	737.0	736.4	736.7	92	77	82	SSE 0	E 1	NE 1	3	9	10	.	⌣ I
29	2.1	3.4	2.2	2.6	2.1	735.4	734.4	734.0	84	78	82	E 0	NE 1	NE 1	10	10	10	.	
30	−0.2	1.3	0.6	0.6	0.2	732.2	731.7	731.5	89	83	90	E 1	W 0	E 0	10	10	10	.	✳fl. II
31	1.7	2.3	0.6	1.5	1.1	730.2	731.0	733.5	61	59	74	NE 2	NE 2	ENE 1	10	4	2	.	
																		Summe	
Mittel	1.6	3.8	2.3	2.5	—	729.8	729.5	729.9	88	78	85				8.6	8.4	7.4	42.8	

$\lambda = 8° 33'$, $\beta = 47° 23'$,
$H_b = 493.2$ m, $G = 0.03$ mm.

Zürich

Dezember 1943.
Beobachter: *Meteorol. Zentralanstalt.*

Tag	Lufttemperatur 7³⁰	13³⁰	21³⁰	Mittel	Abweich. vom Normalst	Luftdruck 7³⁰	13³⁰	21³⁰	Relative Feuchtigkeit 7³⁰	13³⁰	21³⁰	Windrichtung und Stärke 7³⁰	13³⁰	21³⁰	Bewölkung 7³⁰	13³⁰	21³⁰	Niederschlag	Witterung
1	1.9	4.3	2.2	2.8	1.4	720.8	722.0	723.6	96	79	79	W 1	WSW 2	W 2	10	7	10	3.0	● 1¼–1¾, ✳ 15½–16½
2	1.9	4.0	1.9	2.6	1.3	721.2	718.7	715.2	71	**60**	83	SSW 1	SSE 1	WSW 1	9	10	10	.	
3	1.0	4.1	1.6	2.2	1.0	714.5	714.1	714.0	92	78	94	N 0	NW 1	NNW 1	9	9	9	.	
4	1.3	2.2	1.2	1.6	0.5	715.3	716.6	718.2	91	89	90	ENE 1	NE 0	NE 1	10	10	10	.	
5	0.3	1.1	0.1	0.5	−0.5	719.4	721.0	721.9	95	93	97	NE 1	N 0	NE 1	10	10	10	.	
6	−0.1	0.5	−0.1	0.1	−0.8	721.8	721.1	719.1	99	95	97	NNE 0	NNE 0	ENE 1	10	10	10	.	
7	−0.2	3.2	2.9	2.0	1.2	716.0	716.5	716.9	98	88	100	NW 0	SSE 1	SSE 0	10	10●	9	1.9	●° 13½–15, 19¼–23½
8	3.2	6.7	5.3	5.1	4.3	717.2	718.2	719.8	98	86	97	SE 0	WNW 1	WSW 1	10≡	10	10	0.3	● 11¼–12, ≡ a
9	4.0	4.1	3.6	3.9	3.2	719.8	719.5	719.1	98	91	95	SSE 1	WNW 1	SSW 1	10≡	10	10	.	≡ a
10	2.9	1.4	0.4	1.6	1.0	718.2	718.0	718.8	95	96	95	NNW 1	NW 0	WNW 1	10	10*	10*	3.5	●° 9¾–11, ● ✳ 11–23
11	0.4	1.3	0.6	0.8	0.3	719.3	719.6	721.2	92	86	85	NE 1	NNE 1	NE 1	10	10	10	.	
12	0.0	0.6	0.6	0.4	0.0	722.4	723.1	724.4	86	81	87	ENE 1	N 1	NE 1	9	10	10	.	
13	0.4	0.1	−0.2	0.1	−0.2	725.8	726.6	726.6	85	84	89	ENE 0	NE 1	E 1	10	10	10	.	
14	−0.7	−0.8	−1.1	−0.9	−1.2	726.7	726.4	726.6	91	90	89	N 1	N 1	E 1	10	10	10	.	
15	−1.4	−0.8	−1.4	−1.2	−1.4	726.6	726.1	726.7	86	80	89	E 1	ENE 1	W 1	10	10	10	.	
16	−1.3	−1.2	−1.3	−1.3	−1.4	726.0	725.1	722.5	96	90	90	ESE 1	ENE 1	N 1	10	10	10	.	≡ a zeitw.
17	**−1.5**	−0.6	0.7	−0.5	−0.5	720.8	719.7	720.8	94	90	95	E 1	NNW 0	NNW 1	10	10	10	.	
18	−0.4	−0.3	−1.1	−0.6	0.6	722.8	723.2	723.5	99	97	100	SSE 0	SSE 0	W 1	10≡	10≡	10≡	.	≡ n–n
19	0.3	5.6	**9.9**	5.3	5.4	720.3	717.4	714.1	98	74	49	ESE 1	SW 1	SW 3	9	10	10	**5.1**	●tr. 12½–14¼
20	5.8	6.4	0.4	4.2	4.4	719.8	721.8	722.0	89	70	99	WSW 1	NW 1	WNW 0	7	4	0	.	● 1–6¼
21	−0.7	1.1	1.8	0.7	0.9	718.4	716.3	715.2	96	86	90	WNW 1	NW 1	SSE 1	10	10	9	0.0	⌴ l
22	0.0	3.8	2.4	2.1	2.4	**712.8**	713.3	716.2	99	90	91	SSE 1	SSE 0	W 1	10≡	10●	10	0.5	● 11¾–14 m.U., ≡ n–10½
23	1.1	4.8	−1.0	1.6	2.4	715.4	714.6	716.6	95	66	96	SE 0	NNW 1	N 0	10	5	0	.	≡ a [⌴ l
24	−0.9	0.3	−1.0	−0.5	−0.1	720.2	722.3	725.9	92	90	91	NE 1	WNW 1	NE 1	10	10	10	.	⌴ l
25	−1.4	2.1	−0.6	0.0	0.5	728.4	729.5	731.5	92	72	92	N 1	NNE 1	N 1	9	5	10	.	⌴ l
26	−1.4	2.3	−0.2	0.2	0.8	732.0	732.1	732.3	92	65	88	N 1	NE 1	S 0	9	5	8	.	⌴ l
27	−0.1	2.8	1.3	1.3	1.9	**732.6**	732.1	731.4	83	73	82	SE 1	SE 0	SE 0	9	9	10	0.0	
28	0.9	4.0	2.1	2.3	3.0	730.7	730.2	729.6	93	90	90	NW 1	NW 1	E 1	10	9	8	.	≡ a
29	2.3	1.9	0.6	1.6	2.3	727.9	726.9	725.7	90	88	95	NE 1	NNE 1	SSW 1	10	10	10	.	[24¼ zeitw., ≡ n–9
30	−0.4	0.1	0.6	0.1	0.9	723.5	722.8	721.4	98	91	92	SSW 1	WSW 1	WNW 1	10≡	10*	10*	0.9	●tr. 9¼–12¾, ✳° 12¾–
31	−1.1	0.6	−1.3	−0.6	−0.2	721.7	722.7	724.9	86	75	85	NW 1	W 1	SW 1	10*	9	10	0.7	✳° 1¼–2, 7½, 14–15, 22¾ [✳]
																		Summe	
Mittel	0.5	2.1	1.0	1.2	—	721.9	721.9	722.1	92	83	90				9.7	9.1	9.1	15.9	

$\lambda = 8° 30'$, $\beta = 47° 3'$,
$H_b = 1787.3$ m, $G = -0.20$ mm.

Rigi-Kulm

Dezember 1943.
Beobachter: *J. Wiget.*

Tag	7³⁰	13³⁰	21³⁰	Mittel	Abweich. vom Normalst	7³⁰	13³⁰	21³⁰	7³⁰	13³⁰	21³⁰	7³⁰	13³⁰	21³⁰	7³⁰	13³⁰	21³⁰	Niederschlag	Witterung
1	−7.0	−7.2	−7.8	−7.3	−5.2	612.4	613.9	613.5	100	100	100	E 2	W 3	W 4	10≡*	10≡*	10≡	4.6	≡ n–n
2	−8.0	−5.0	−7.5	−6.8	−4.6	613.4	621.8	610.0	100	100	100	W 3	SW 2	SW 3	8	10	10	.	
3	−5.4	−4.0	−5.0	−4.8	−2.5	608.3	608.4	608.0	100	82	68	SW 2	SE 3	SE 3	5	7	10	.	
4	−3.8	−1.8	−1.5	−2.4	0.0	608.4	609.8	611.7	65	68	62	S 1	SE 1	S 2	9	2	4	.	
5	−1.0	3.2	2.2	1.5	4.0	612.4	613.5	615.2	56	52	47	S 3	S 2	S 4	9	3	2	.	
6	2.4	4.2	4.0	3.5	6.1	615.1	615.6	614.3	45	65	45	S 1	S 1	S 4	7	9	10	.	
7	3.4	−0.4	−1.0	0.7	3.4	611.0	611.1	611.8	50	100	100	S 0	W 1	W 3	10	10≡*	10*	8.1	✳ 13½–n, ≡ II
8	−1.8	−1.0	−2.8	−1.9	0.9	611.5	612.5	612.8	100	100	100	W 2	SW 1	W 1	10≡	10≡	10≡	.	≡ n–n
9	−4.0	−0.4	−3.0	−2.5	0.4	613.7	613.1	612.2	100	100	100	W 0	S 0	W 0	3	3	10	2.6	
10	−4.0	−4.2	−6.5	−4.9	−1.9	611.4	610.8	610.9	100	100	100	W 1	W 1	W 0	10≡*	10≡	10≡	2.2	✳ l, ≡ n–n
11	−7.4	−5.2	−5.4	−6.0	−2.9	611.2	611.1	612.6	98	98	94	SSW 1	SSE 3	SSE 4	0	4	5	.	
12	−3.6	−2.5	−2.4	−2.8	0.3	613.6	613.5	614.0	44	42	40	S 1	S 2	SE 3	2	1	1	.	
13	−1.8	0.6	0.8	−0.1	3.1	616.4	617.2	617.5	48	40	34	S 3	SE 3	E 2	0	1	0	.	
14	2.2	3.6	2.0	2.6	5.9	618.2	617.7	617.5	25	20	22	E 3	E 1	SE 3	0	0	0	.	
15	3.0	**5.0**	3.2	3.7	7.1	618.1	618.1	618.9	24	23	22	S 4	S 1	W 0	1	0	2	.	
16	1.6	3.4	3.8	2.9	6.3	619.1	617.6	615.7	37	42	48	SW 0	SE 1	S 4	4	7	7	.	
17	2.6	4.8	−1.0	2.1	5.6	614.6	613.8	613.9	55	48	100	S 2	S 3	W 2	8	6	10	.	
18	−3.0	0.0	1.0	−0.7	2.9	615.9	616.2	614.8	100	50	48	W 1	S 3	W 1	5	2	5	.	
19	1.2	3.0	2.6	2.3	5.9	614.4	611.5	612.6	34	30	38	S 3	W 1	W 2	9	10	6	**15.6**	
20	−2.6	−4.0	−5.0	−3.9	−0.2	613.1	614.6	614.9	100	100	98	W 2	W 2	W 0	10	10	0	7.5	≡ n–18
21	−2.0	0.0	−1.5	−1.2	2.5	612.0	610.8	610.4	49	48	60	S 4	W 1	S 3	8	9	10	.	
22	−1.8	−3.2	−5.6	−3.5	0.3	608.1	**607.7**	608.7	41	100	100	E 0	SW 2	SW 2	8	10≡	10≡	6.0	✳ seit 14½, ≡ II, III
23	−6.8	−5.4	−4.8	−5.7	−1.9	608.5	607.9	608.5	100	98	66	SW 1	SE 1	SE 3	10≡	3	2	.	≡ l
24	−6.0	−4.6	−7.0	−5.9	−2.1	611.9	613.3	614.9	100	65	95	W 1	SE 0	E 1	2	1	2	.	
25	−10.0	−9.0	−9.2	−9.4	−5.5	617.2	618.9	619.7	85	75	71	E 3	E 3	E 3	0	0	0	.	
26	−5.4	−4.5	−5.2	−5.0	−1.1	621.1	621.3	621.9	19	42	75	E 3	NE 1	NE 1	5	5	4	.	
27	−4.2	−1.0	−1.0	−2.1	1.8	622.8	**623.0**	622.7	78	66	85	NE 3	E 2	E 3	5	10	6	.	
28	−1.6	0.4	−0.8	−0.7	3.3	621.6	621.8	621.5	75	55	49	E 2	E 1	E 0	0	0	1		
29	−3.0	2.3	0.5	1.9	5.9	619.8	619.0	618.6	**8**	38	54	E 0	E 1	E 1	0	1	0	.	
30	−0.8	−7.4	−10.8	−6.3	−2.3	615.2	613.8	613.4	47	100	100	E 2	W 2	W 3	1	10≡	10≡	13.5	≡ 12¼–n zeitw.
31	−10.2	−10.2	**−11.0**	−10.5	−6.4	611.6	613.0	613.9	90	90	90	W 1	SW 1	W 2	10*	10*	10*	8.7	✳ n–n, ≡ II
																		Summe	
Mittel	−2.7	−1.6	−2.8	−2.4	—	614.3	614.3	614.4	67	69	71				5.5	5.6	5.7	67.9	

Dezember 1943.
Beobachter: *P. Nogler.*

Bevers

$\lambda = 9° 53'$, $\beta = 46° 33'$,
H_b = ca. 1710 m, G = –0.23 mm.

Tag	Lufttemperatur 7³⁰	13³⁰	21³⁰	Mittel	Abweich. vom Normalst	Luftdruck 7³⁰	13³⁰	21³⁰	Relative Feuchtigkeit 7³⁰	13³⁰	21³⁰	Windrichtung und Stärke 7³⁰	13³⁰	21³⁰	Bewölkung 7³⁰	13³⁰	21³⁰	Niederschlag	Witterung
1	-5.8	0.0	-2.0	-2.6	3.8	617.3	618.3	619.6	93	88	76	E 0	W 2	NW 1	10*	10*	10	0.7	✳° n-n m.U., ⊹ II
2	-12.0	-4.0	-10.0	-8.7	-2.1	619.4	617.1	619.6	85	51	83	NE 1	W 1	N 1	10	3	10	.	
3	-7.2	-1.2	-4.6	-4.3	2.4	619.4	617.1	617.1	87	96	95	NW 1	W 2	N 2	10	10*	10*	0.4	✳ p-n m.U.
4	-4.2	-1.3	-4.0	-3.2	3.7	616.4	616.0	616.0	100	85	100	NW 1	W 1	W 1	10*	7	3	0.9	✳ n-11
5	-6.6	2.4	-7.2	-3.8	3.2	616.3	617.4	619.3	100	84	100	E 1	W 0	SW 1	10*	3	0	0.3	✳° n-10, ✳°sch. a zeitw.
6	-7.6	2.0	-2.0	-2.5	4.7	621.5	622.3	624.0	100	80	100	NNW 1	S 0	S 0	6	10	10	7.2	
7	-1.8	2.0	-1.8	-0.5	6.8	618.0	617.7	617.6	100	88	98	N 0	W 1	W 1	10*	10*	4	0.8	✳ n-11, ✳° 11-14
8	-4.8	0.6	-8.6	-4.3	3.1	618.1	618.6	620.3	94	75	94	E 1	N 1	N 1	10*	10	0	.	✳ n-10
9	-12.2	-4.1	-4.5	-6.9	0.7	620.6	619.3	618.5	88	77	85	S 1	N 2	NW 1	2	4	9	.	
10	-5.0	-0.7	-9.0	-4.9	2.8	616.6	615.8	617.1	97	79	83	N 0	E 1-2	N 1	10	10*	5	.	✳° 9-13½
11	-15.2	-8.3	-14.2	-12.6	-4.8	618.3	619.4	621.5	88	69	90	SW 1	SW 1	W 1	6	6	5	.	
12	-15.4	-5.8	-9.0	-10.1	-2.1	621.4	622.3	623.1	86	70	80	NE 1	NE 1-2	N 1	0	1	10	.	
13	-12.8	-4.0	-11.3	-9.4	-1.3	625.3	625.6	626.1	94	68	89	E 1	NW 1	N 1	2	2	0	.	
14	-14.6	-4.6	-13.0	-10.7	-2.5	625.6	625.9	626.8	90	81	85	W 0	W 1	NW 1	3	0	0	.	
15	-14.0	-2.8	-11.0	-9.3	-1.0	627.5	627.2	627.5	82	69	81	W 1	NW 2	N 1	6	6	0	.	
16	-10.8	-0.4	-8.1	-6.4	2.1	626.5	625.9	626.5	97	68	98	N 0	NW 1	N 1	6	6	5	.	
17	-3.0	2.0	-0.8	-0.6	8.0	625.9	625.9	624.8	100	69	98	S 1	S 1-2	S 1	10	10	10*	0.4	✳° 19-n
18	-4.6	-0.4	-5.4	-3.5	5.2	623.0	621.7	621.2	100	71	93	W 1	S 2	SW 0-1	4	10	10	.	
19	-7.0	1.6	-2.0	-2.5	6.3	623.1	623.7	625.5	100	74	93	S 2	S 1	S 0	4	10	6	3.1	
20	-2.0	2.8	-11.4	-3.5	5.4	619.0	620.2	622.4	100	68	85	E 0	S 1	W 0	10*	7	0	0.9	✳° 7-8, ✳ 8-10
21	-15.0	-1.0	-5.0	-7.0	2.0	621.4	619.8	618.3	95	80	95	W 2	S 2	S 1	2	10	10	0.4	✳ n (21./22.)
22	-4.5	-0.9	-5.8	-3.7	5.4	615.0	613.6	614.6	95	78	100	SE 0	W 1-2	W 1	10	10	10	.	
23	-13.0	-6.2	-12.8	-10.7	-1.6	615.0	615.0	616.9	95	71	89	S 0-1	E 1	N 2	0	0	0	.	
24	-18.0	-9.0	-7.0	-11.3	-2.1	618.4	620.6	622.4	88	68	80	S 2	S 1-2	SW 1	2	0	0	.	
25	-19.2	-8.1	-18.0	-15.1	-5.8	623.9	624.6	626.7	87	65	83	NW 1-2	NW 1	S 1	10	0	0	.	
26	-21.0	-10.8	-15.4	-15.7	-6.4	628.3	627.2	628.8	88	65	84	W 1-2	W 1	NW 1	6	0	0	.	
27	-13.2	-2.5	-5.2	-7.0	2.4	627.8	627.5	627.9	88	64	91	W 1	N 1	W 1	10	10	7	.	
28	-11.3	-2.1	-11.0	-8.1	1.3	628.3	627.4	628.1	100	68	91	E 1	E 2	NE 1	8	0	0	.	
29	-15.0	-5.0	-12.0	-10.7	-1.2	625.0	624.0	624.0	95	75	95	SE 0	W 2	NW 1	0	1	0	.	
30	-14.1	-3.0	-4.0	-7.0	2.5	620.9	617.1	616.9	93	46	60	NE 1	E 1	NE 3	0	0	0	.	
31	-9.4	-4.0	-9.0	-7.5	2.1	615.2	617.3	619.5	86	41	50	N 2-3	ENE 3	N 2	10*	10	10*	0.9	✳ ⊹ n-n
																		Summe	
Mittel	-10.3	-2.5	-7.9	-6.9	—	621.2	621.0	621.9	93	72	88				6.4	5.7	4.6	16.0	

Dezember 1943.
Beobachter: *Kapuzinerkloster.*

Sitten

$\lambda = 7° 21'$, $\beta = 46° 14'$,
H_b = 548.6 m, G = –0.11 mm.

Tag	7³⁰	13³⁰	21³⁰	Mittel	Abweich. vom Normalst	7³⁰	13³⁰	21³⁰	7³⁰	13³⁰	21³⁰	7³⁰	13³⁰	21³⁰	7³⁰	13³⁰	21³⁰	Niederschlag	Witterung
1	1.3	3.5	0.9	1.9	0.1	717.1	718.7	719.8	100	74	67	W 1	WSW 2	NE 2	10	10	3	0.1	● ✳ n-10¾ zeitw.
2	-2.7	2.8	0.0	0.0	-1.6	719.0	715.8	712.5	73	50	72	NE 0	ENE 1	ENE 0	4	2	10	.	
3	1.2	6.4	4.4	4.0	2.5	711.9	709.9	709.5	65	45	54	ENE 1	ENE 1	ENE 0	9	10	10	.	
4	1.1	8.8	3.2	4.4	3.0	710.6	710.8	712.2	76	48	74	ENE 1	ENE 1	ENE 1	6	3	7	.	
5	2.3	11.7	4.0	6.0	4.8	714.1	714.8	716.6	84	44	85	ENE 1	NE 0	ENE 0	10	1	3	.	
6	5.9	11.7	4.6	7.4	6.3	716.6	715.3	713.5	63	49	84	NE 1	NE 0	W 0	10	9	2	.	
7	5.0	4.5	3.5	4.3	3.3	711.1	712.3	712.8	79	99	100	E 0	SW 0	SW 0	10	10●≡	6	4.1	● 11½-18, ≡ 13-18½
8	3.5	7.9	6.1	5.8	4.9	713.4	713.9	715.7	100	80	86	SW 1	SW 0	WSW 0	10	9	10	.	≡ n-12, ● n
9	2.3	6.0	2.5	3.6	2.9	715.9	715.0	714.8	85	69	78	WSW 1	WSW 0	WSW 1	4	5	6	1.2	Ψ III
10	0.8	3.8	2.5	2.4	1.8	714.2	713.3	713.3	100	80	86	NE 0	NE 0	NNE 0	10≡	8	10	0.8	✳ n-8½, ≡ n-9½
11	1.8	3.8	2.2	2.6	2.1	714.1	713.9	715.9	72	49	52	NNE 0	E 1	E 1	8	1	3	.	
12	-2.0	2.3	-1.1	-0.3	-0.7	716.4	716.2	718.2	72	69	89	NE 0	W 1	W 0	1	2	0	.	
13	-4.0	1.8	-1.8	-1.3	-1.6	720.0	719.9	720.9	100	75	95	W 0	W 1	WNW 0	1	0	0	.	⋁ fr.
14	-3.2	0.8	-1.8	-1.4	-1.6	720.9	720.4	721.1	100	76	98	W 0	WNW 1	WNW 0	0	0	0	.	⋁ fr.
15	-2.6	2.4	-1.6	-0.6	-0.7	720.9	720.2	721.8	86	71	100	ENE 0	ENE 1	WSW 0	0	6	3	.	⋁ fr.
16	-2.8	3.1	0.0	0.1	0.1	721.2	718.7	717.6	100	75	100	WSW 0	WSW 0	WSW 0	1	2	0	.	⋁ fr.
17	-0.8	2.0	2.0	1.1	1.2	715.6	714.9	716.1	100	100	98	NW 0	WSW 1	SW 1	10≡	10≡	10≡	.	≡ n-n
18	-1.4	2.9	3.7	1.7	1.8	718.2	718.1	720.2	100	87	56	N 1	N 0	NE 0	10≡	1	0	.	≡ l
19	1.5	6.1	6.4	4.7	4.9	719.2	716.0	713.5	68	55	47	NE 0	NE 1	NE 1	10	10	0	16.3	
20	2.4	5.9	2.2	3.5	3.8	715.9	717.0	717.5	100	75	79	NE 0	NE 1	NE 1	10●	4	3	0.8	● n-8½
21	0.9	4.6	3.2	2.9	3.2	714.7	712.4	712.4	74	66	74	NE 1	NE 1	NW 0	10	10	10	.	
22	0.4	5.2	2.0	2.5	2.9	709.9	708.4	711.3	79	58	100	NE 1	W 2	NW 0	9	9	10	0.8	
23	2.0	4.1	-0.1	2.0	2.5	711.0	710.0	711.9	85	55	74	NW 0	ENE 0	NE 0	8	0	0	.	
24	-2.7	2.2	-1.6	-0.7	-0.2	714.9	716.2	719.7	80	56	66	NE 0	N 0	N 0	0	0	0	.	
25	-5.4	-0.7	-3.3	-3.1	-2.5	721.9	717.8	725.0	88	58	72	N 1	NNE 0	N 0	0	0	0	.	
26	-6.9	-0.3	-3.1	-3.4	-2.8	726.3	725.0	725.9	80	50	68	E 0	E 1	W 0	3	2	0	.	
27	-4.7	2.3	-1.2	-1.2	-0.5	726.5	725.1	724.3	72	55	72	W 0	WNW 1	WNW 0	1	0	0	.	
28	-2.2	2.2	-0.9	-0.3	0.4	724.0	723.3	724.1	84	66	85	WNW 0	WNW 0	WNW 0	0	0	0	.	
29	-3.6	0.3	-2.7	-2.0	-1.3	722.6	721.3	721.0	90	70	85	WNW 1	WNW 1	WNW 0	0	0	0	.	
30	-5.0	-0.3	0.2	-1.7	-0.9	718.9	717.3	716.6	94	79	83	WNW 0	W 2	NNE 1	0	0	0	0.4	⋁ fr.
31	-1.4	0.7	-0.9	-0.5	0.3	715.8	716.6	719.5	87	53	60	WNW 1	WSW 2	W 3	9	7	3	.	
																		Summe	
Mittel	-0.6	3.8	1.1	1.4	—	717.2	716.4	717.3	85	66	79				5.6	4.2	3.5	24.5	

$\lambda = 8° 57'$, $\beta = 46° 0'$,
$H_b = 276.2$ m, $G = -0.01$ mm

Lugano

Dezember 1943.
Beobachter: *G. Vicari.*

Tag	Lufttemperatur 7³⁰	13³⁰	21³⁰	Mittel	Abweich. vom Normalst	Luftdruck 7³⁰	13³⁰	21³⁰	Relative Feuchtigkeit 7³⁰	13³⁰	21³⁰	Windrichtung und Stärke 7³⁰	13³⁰	21³⁰	Bewölkung 7³⁰	13³⁰	21³⁰	Niederschlag	Witterung
1	5.4	12.0	2.6	6.7	2.7	736.8	737.6	739.1	43	23	40	N 2	N 2	N 1	0	0	0	.	
2	1.0	10.0	2.8	4.6	0.7	739.4	737.9	737.7	46	31	69	NNE 1	E 0	NW 1	0	4	10	1.0	
3	2.0	3.6	1.6	2.2	−1.6	737.7	737.4	736.8	97	88	96	NW 1	WNW 1	NNW 1	10●	10●	10●	18.2	● n–n m.U.
4	1.0	3.2	3.4	2.5	−1.1	736.7	737.5	739.0	98	98	98	N 1	N 1	NNE 1	10●	10●	10●	23.5	● ✳ n–n
5	4.0	7.0	5.0	5.3	1.8	741.2	742.3	743.0	97	93	93	N 1	N 1	N 1	10●	9	4	1.1	● n–9½
6	4.4	8.2	6.8	6.5	3.1	743.6	742.9	741.4	92	77	94	N 1	NW 0	N 1	10	10	10	20.0	● 19–n
7	7.0	7.8	7.2	7.3	4.0	736.9	737.1	737.3	96	94	94	WSW 1	SW 0	N 1	10●	10	10●	5.8	●☽ n–n m.U.
8	6.6	9.0	6.4	7.3	4.1	737.2	737.8	739.6	95	77	88	NE 1	SE 0	N 1	10●	10	10	1.3	●☽ n–9
9	2.6	9.2	6.2	6.0	2.8	740.4	739.6	738.6	88	54	82	NE 1	S 1	NE 1	0	8	10●	0.3	●☽ 21¼–22
10	5.8	9.2	6.2	7.1	4.0	736.3	735.5	736.4	89	61	77	WNW 1	SSW 1	N 1	10	6	10	.	
11	1.4	7.0	4.8	4.4	1.4	738.0	738.9	740.9	80	47	70	NNE 1	ENE 1	N 1	0	10	10	.	
12	4.0	8.8	4.8	5.9	3.0	740.6	741.0	744.1	67	41	67	NW 1	SE 1	N 1	10	10	10	.	
13	2.4	8.2	2.2	4.3	1.4	745.7	746.4	746.9	73	61	77	N 1	S 1	N 1	1	9	0	.	
14	0.4	9.6	2.0	4.0	1.2	746.0	744.7	746.3	80	46	79	NE 1	SE 1	NNE 1	0	0	0	.	
15	−0.2	8.8	4.2	4.3	1.6	748.2	747.7	747.6	85	45	66	N 1	SE 1	N 1	0	0	10	.	
16	3.2	10.0	6.0	6.4	3.8	745.6	744.7	744.5	74	44	80	N 1	S 1	S 1	10	4	10	5.2	
17	4.8	5.2	3.8	4.6	2.0	744.3	743.3	743.9	98	92	97	N 0	NE 1	NW 1	10●	10●	10●	11.0	●☽ n–n m.U.
18	3.4	8.0	5.4	5.6	3.1	745.3	745.0	746.4	96	63	90	N 1	E 0	WNW 1	10●	8	10	0.2	● n–8½ m U.
19	4.2	7.8	6.0	6.0	3.6	745.6	744.0	741.5	87	69	97	NNE 1	S 0	NNE 1	10	10	10●	3.4	●☽ p–n zeitw.
20	5.6	10.6	3.2	6.5	4.1	738.6	737.7	740.7	98	58	93	SW 0	S 0	NNE 1	10●	0	0	0.4	● n–8½
21	3.2	6.8	5.0	5.0	2.7	741.8	740.5	739.5	88	57	98	N 1	N 0	WNW 1	10	10	10	2.7	●☽ 7–7½, 16–18½
22	4.2	5.6	3.2	4.3	2.1	735.9	733.2	732.3	94	82	97	W 1	NE 0	N 1	10●	10	0	1.7	● n–a
23	1.2	9.8	4.4	5.1	2.9	732.7	733.0	735.9	99	43	83	N 1	S 0	N 1	10≡	1	5	.	≡ l
24	0.4	9.0	1.8	3.7	1.6	736.7	737.9	740.0	89	46	87	N 1	S 0	N 1	0	0	0	.	
25	−1.0	6.8	0.8	2.2	0.2	742.1	743.7	746.7	73	44	81	N 1	SE 0	N 1	0	0	0	.	
26	−1.6	6.4	0.0	1.6	−0.4	748.6	747.6	746.7	64	41	76	N 1	S 1	N 1	1	2	0	.	
27	−1.0	7.8	1.4	2.7	0.8	746.6	746.8	746.6	67	41	77	N 1	SE 1	N 1	1	1	0	.	
28	−0.6	8.2	0.6	2.7	0.9	746.0	745.5	745.4	94	46	91	NE 1	SW 1	N 1	0	0	0	.	
29	−0.8	8.2	1.0	2.8	1.0	745.3	743.6	741.7	70	48	78	N 1	E 0	N 1	0	3	0	.	
30	−1.4	7.6	0.8	2.3	0.6	738.6	735.6	733.2	78	87	76	N 1	N 1	NNE 2	0	3	0	.	
31	4.4	6.8	3.2	4.8	3.1	734.6	735.6	738.9	26	22	23	NNE 3	NE 3	ENE 3	3	1	0	.	
																		Summe	
Mittel	2.5	7.9	3.6	4.7	—	741.1	740.7	741.3	81	59	81				5.3	5.5	5.5	95.8	

$\lambda = 7° 35'$, $\beta = 47° 33'$,
$H_b = 318$ m, $G = 0.11$ mm.

Basel

Dezember 1943.
Beobachter: *Astronom.-Meteorol. Anstalt.*

Tag	7³⁰	13³⁰	21³⁰	Mittel	Abweich. vom Normalst	7³⁰	13³⁰	21³⁰	7³⁰	13³⁰	21³⁰	7³⁰	13³⁰	21³⁰	7³⁰	13³⁰	21³⁰	Niederschlag	Witterung
1	3.2	3.2	3.1	3.2	1.2	737.0	738.4	739.5	83	85	76	W 2	WSW 3	WSW 1	10	9●	10	0.6	● 11, 13¼–13¾
2	1.1	3.4	2.7	2.4	0.5	736.8	734.3	730.4	85	78	80	ENE 1	ENE 1	ENE 1	10	10	10	0.5	
3	2.5	5.1	2.5	3.4	1.7	729.9	729.7	730.0	85	77	89	ESE 1	ENE 1	ENE 0	10●	10	10	0.4	● 2¾–3¾, 7½–9
4	1.1	3.4	1.9	2.1	0.5	731.4	732.5	733.7	94	78	78	ESE 0	NE 1	E 1	10	10	10	.	≡ 7¾–10½
5	1.1	2.5	1.0	1.5	0.0	735.2	736.6	737.7	85	80	87	ENE 1	NE 1	ENE 1	10	10	10	.	
6	0.3	2.0	0.4	0.9	−0.5	737.2	736.7	735.1	90	82	92	ENE 1	E 1	NE 1	10	10	10	.	
7	−0.6	1.3	0.9	0.5	−0.8	732.5	732.6	732.6	96	89	96	NNW 1	WNW 0	ENE 0	10●	10●	10	12.6	● 13½, 21, ≡ [illegible]
8	0.9	3.0	1.6	1.8	0.6	733.3	734.3	735.5	98	95	98	NNE 0	NNE 0	NNE 0	10●	10≡	10	2.0	● 2¼–18¾ m.U., ≡ 8–21
9	1.4	2.4	2.6	2.1	1.0	735.7	735.5	735.3	98	98	98	NNW 0	NNW 0	SE 0	10≡	10≡	10≡	0.1	≡ 4½–15¾, 2[illegible]–n
10	0.9	0.0	−0.5	0.1	−0.9	734.6	734.8	735.5	98	96	98	WNW 1	NW 1	W 1	10≡	10	10	0.1	≡ n–12½, ☽ 15–15½
11	−0.6	0.1	0.2	−0.1	−1.1	735.5	735.9	737.4	98	94	96	WNW 0	NNW 1	WNW 1	10	10	10	.	≡ 3–13¼, ⌒ l
12	0.1	1.1	0.8	0.7	−0.2	738.6	739.3	740.7	98	75	94	WNW 1	ESE 1	WNW 1	10≡	10	10	.	≡ 5–8½
13	1.1	1.6	1.0	1.2	0.4	741.8	742.8	742.7	83	78	81	ENE 1	NE 1	ENE 1	10	10	10	.	
14	−0.2	0.8	0.0	0.2	−0.5	742.8	742.5	742.5	92	82	83	E 0	NNE 1	ENE 1	10	10	10	.	
15	−0.3	0.5	−1.4	−0.4	−1.0	742.3	741.7	742.2	87	76	85	ENE 1	E 1	E 1	10	10	0	.	
16	−4.3	−0.6	−2.0	−2.3	−2.9	741.7	740.8	738.6	96	91	95	SSW 1	NW 1	W 1	8	10	10	.	≡ 8½–9½, ⌣ l, ☿ 7¼
17	−1.7	1.8	0.6	0.2	−0.3	735.9	735.4	736.2	90	77	87	ESE 1	E 1	E 1	10	9	10	.	☿ l
18	0.2	4.5	−0.2	1.5	1.1	737.9	737.9	737.9	94	76	97	E 1	ESE 1	ESE 1	1	0	0	.	
19	1.7	4.9	14.5	7.0	6.7	733.8	731.7	738.5	88	82	42	ENE 2	ENE 1	WSW 3	10	10	10	5.3	● 12¾–13¼, 23¼–n, ☾ 18¼–
20	6.2	7.0	0.2	4.7	4.5	735.7	738.0	737.7	84	65	92	WSW 1	W 1	E 1	0	2	0		● n–[illegible] n zeitw
21	−2.1	2.4	2.3	0.9	0.7	734.1	732.1	730.5	97	80	85	NE 0	E 1	E 1	10	10	10	.	⌣ l, ☿ 6¾
22	1.6	3.9	2.9	2.8	2.7	727.6	729.3	731.7	93	92	85	ENE 1	SW 1	SSW 1	8	10	10	0.5	● 9¼, 12¼–12¾
23	0.5	6.2	−1.8	1.6	1.6	731.3	730.5	732.8	94	63	95	ESE 1	ENE 1	NW 0	8	8	0	.	
24	−4.3	0.7	−4.3	−2.6	−2.5	736.3	738.5	742.5	98	85	98	ESE 0	ESE 1	WNW 0	10≡	9	10≡	.	≡ 0¼–11½ m.U., 21½–23½,
25	−2.0	−0.1	−2.6	−1.6	−1.5	745.2	746.0	747.5	98	87	98	SSW 0	SSW 0	SSE 0	10	9	10	.	≡ 21[illegible] m. ⌣ l [⌣ l
26	−4.7	1.1	0.0	−1.2	−1.0	748.4	748.4	748.5	97	85	98	ESE 0	N 0	ENE 0	10≡	10	10	.	≡ n–9½, ⌣ l
27	−1.5	0.5	0.2	−0.3	0.0	748.8	748.3	747.7	97	92	96	SSW 0	SW 0	W 0	10≡	10≡	10≡	.	≡ 7–n
28	0.7	4.3	3.6	2.9	3.2	747.1	746.2	745.3	98	82	96	SSW 0	WNW 1	WSW 0	10	10	10	.	≡ 7½–8¾, [illegible]
29	−0.8	3.5	−0.8	0.6	1.0	744.0	742.7	741.5	98	79	95	WNW 1	E 1	SSE 1	10≡	10	0	.	≡ 4–10½
30	0.2	1.0	1.3	0.8	1.2	739.8	739.0	737.8	89	83	87	W 1	SSW 1	WSW 2	10	10	10	2.0	☽ 7–7½, ✳ 11–11½, 22–22½
31	−1.2	1.2	−0.6	−0.2	0.3	738.5	739.3	741.3	90	67	79	W 1	W 1	SSW 1	10●	10	9	[illegible]	✳ [illegible] 5–7 [illegible]
																		Summe	
Mittel	0.0	2.4	1.0	1.1	—	737.8	737.8	738.0	93	82	89				9.4	9.2	8.4	24.2	

Dezember 1943.
Beobachter: *Observatorium.*

Säntis

$\lambda = 9° 20'$, $\beta = 47° 15'$,
$H_b = 2500.1$ m, $G = -0.27$ mm

Tag	Lufttemperatur 7³⁰	13³⁰	21³⁰	Mittel	Abweich. vom Normalst	Luftdruck 7³⁰	13³⁰	21³⁰	Relative Feuchtigkeit 7³⁰	13³⁰	21³⁰	Windrichtung und Stärke 7³⁰	13³⁰	21³⁰	Bewölkung 7³⁰	13³⁰	21³⁰	Niederschlag	Witterung
1	-12.3	-11.8	-12.8	-12.3	-5.9	557.8	558.4	559.7	100	100	100	NW 3	WNW 2	WNW 3	10*	10≡*	10*	27.5	* ≡ ⊹ n-n, \ (10½), ⸗
2	-12.6	-8.2	-9.0	-9.9	-3.4	558.3	558.0	556.4	94	94	95	WNW 4	WNW 3	W 3	10*	10≡*	6	3.7	* 12½-16¾, ≡ n-17,
3	-9.4	-6.1	-8.0	-7.8	-1.3	555.3	556.1	555.9	86	72	86	E 2	SW 1	SE 3	8	10	10	.	[⸗], \ II
4	-6.7	-5.4	-6.4	-6.2	0.4	556.6	557.5	559.2	88	76	75	WSW 3	WSW 3	SW 2	7	1	6	.	
5	-3.2	-2.0	-3.1	-2.8	3.9	561.3	562.7	564.1	72	72	66	SW 3	W 3	SE 1	6	2	1	.	
6	-2.6	-0.2	-0.8	-1.2	5.6	563.9	563.7	562.3	53	65	63	SW 3	SW 2	SSE 2	4	9	10	.	
7	-1.7	-4.2	-4.4	-3.4	3.5	559.0	558.5	558.5	76	100	100	SW 3	W 2	WNW 3	10	10≡*	10≡*	9.3	* 9¾-n m.U., ≡ 12½-n
8	-5.8	-5.2	-6.2	-5.7	1.2	558.5	559.1	560.5	100	100	93	WNW 3	WNW 3	WNW 2	10	10	10≡	.	* n-7, ≡ n-n, \
9	-8.0	-5.8	-7.6	-7.1	-0.1	560.3	560.2	559.4	81	62	80	W 2	WSW 2	W 2	8	4	10	.	
10	-8.3	-8.4	-9.2	-8.6	-1.5	557.6	556.9	557.1	93	96	92	NW 1	NW 2	W 1	10≡	10≡*	10≡*	8.9	* 7½-n m.U., ≡ n-n
11	-10.8	-8.2	-8.1	-9.0	-1.8	557.7	558.6	560.3	73	50	39	E 2	SSE 2	SSW 2	1	2	7	.	
12	-7.3	-6.0	-7.2	-6.8	0.4	561.2	561.3	562.4	43	51	66	SE 0	SE 2	SE 3	4	1	2	.	
13	-6.4	-4.0	-4.0	-4.8	2.5	564.3	565.4	566.0	58	52	48	SSE 3	SSE 3	E 2	1	1	1	.	
14	-3.8	-2.4	-2.4	-2.9	4.5	565.8	566.0	566.6	36	28	21	ENE 3	E 1	SE 3	1	1	1	.	
15	-0.8	0.7	-1.4	-0.5	6.9	567.1	566.5	567.1	18	14	40	SSE 2	SSW 2	WSW 2	8	4	0	.	
16	-1.0	-1.0	-0.8	-0.9	6.6	566.6	565.9	564.5	52	59	59	N 1	SSE 2	SSE 3	4	8	6	.	⸗ (16½)
17	-1.1	-0.8	-3.8	-1.9	5.7	562.9	561.9	561.8	79	68	84	WSW 4	WSW 3	SW 2	9	6	10*	.	*° 21-n
18	-6.8	-5.6	-5.8	-6.1	1.5	562.9	563.2	564.3	82	54	51	SW 2	SW 3	SW 3	6	3	1	.	
19	-2.4	0.6	-1.8	-1.2	6.5	562.6	561.1	558.8	19	44	57	WSW 4	W 3	W 3	9	10	6	9.5	⸗ a
20	-6.9	-9.0	-12.2	-9.4	-1.7	559.8	560.4	561.0	100	100	86	WNW 2	NW 3	WSW 3	10≡*	10≡*	0	15.6	* n-13½, ≡ n-16¼,
21	-4.4	-5.6	-6.8	-5.6	2.2	559.3	558.0	557.1	17	44	80	WSW 3	SW 3	SW 2	9	10	10	.	[⊹ 12-17
22	-6.4	-6.4	-8.8	-7.2	0.6	555.3	554.7	555.5	54	85	100	W 2	SE 2	W 3	8	10	10≡	.	≡ 14½-n
23	-12.7	-7.3	-7.1	-9.0	-1.2	554.8	555.0	556.8	58	25	18	SW 2	SW 2	W 2	0	3	4	.	
24	-8.6	-6.4	-7.6	-7.5	0.4	558.6	560.2	562.0	9	7	6	NNE 1	NNE 2	N 0	1	1	0	.	
25	-14.8	-14.4	-13.6	-14.3	-6.4	562.8	564.2	565.9	92	88	87	NNE 4	NE 3	NNE 3	8≡	10≡	10≡	.	*fl. 18½, ≡ n-14, 20-n,
26	-9.5	-7.2	-7.4	-8.0	-0.1	567.3	568.1	568.6	7	11	68	NNE 3	NNW 3	NNE 2	8	2	0	.	[⸗]
27	-5.4	-4.7	-5.2	-5.1	2.0	568.9	569.5	569.3	92	96	94	NNE 3	N 3	N 2	10≡	10≡	10≡	.	≡ n-n, \ (16½)
28	-5.4	-5.6	-1.7	-4.2	3.8	568.8	568.8	568.6	59	27	15	NNE 3	NNE 3	NE 3	1	0	0	.	
29	-3.0	-2.9	-4.0	-3.3	4.7	567.7	566.3	565.1	62	64	21	NNE 2	NE 2	NNE 2	1	1	1	.	
30	-7.1	-9.6	-12.4	-9.7	-1.6	561.9	559.1	557.5	21	92	100	W 3	WNW 4	W 3	1	1	10≡*	26.1	* 17-n, ≡ 12¾-n m.U.,
31	-16.2	-16.4	-16.4	-16.3	-8.2	556.2	557.2	558.7	95	86	82	NNE 1	W 1	N 1	10≡*	10≡*	10≡*	2[illegible].4	* ≡ n-n [⸗ II
Mittel	-6.8	-5.8	-6.7	-6.4	—	561.3	561.4	561.7	64	64	67				6.2	5.8	5.9	Summe 121.0	

Dezember 1943.
Beobachter: Frl. *F. Lombardi.*

St. Gotthard (Hospiz)

$\lambda = 8° 34'$, $\beta = 46° 33'$,
$H_b = 2095.7$ m, $G = -0.25$ mm.

Tag	7³⁰	13³⁰	21³⁰	Mittel	Abweich. vom Normalst	7³⁰	13³⁰	21³⁰	7³⁰	13³⁰	21³⁰	7³⁰	13³⁰	21³⁰	7³⁰	13³⁰	21³⁰	Niederschlag	Witterung
1	-9.8	-8.6	-10.8	-9.7	-4.1	588.0	588.9	590.0	80	85	85	N 2	N 2	N 2	10≡	10≡	10≡	5.2	≡ n-n, ⸗ zeitw.
2	-11.4	-8.2	-8.8	-9.5	-3.8	589.0	587.6	586.9	52	42	52	N 1	NW 0	NW 0	0	5	5	0.4	
3	-8.0	-6.4	-7.0	-7.1	-1.3	586.4	586.5	586.5	45	56	45	SE 0	SE 1	SE 1	10	10*	10	13.3	*° 8-17
4	-5.4	-4.5	-3.0	-4.3	1.6	586.6	587.7	589.3	82	58	90	SE 1	SE 0	SE 0	10*	10	10*	5.0	*° n-9. * 16½-n, ≡ n-
5	-3.0	-1.8	-2.4	-2.4	3.5	592.0	593.1	593.9	90	88	80	SE 0	SE 0	SE 0	10≡	10≡	5	.	≡ n-abds. [n m.U.
6	-1.0	-1.0	-2.0	-1.3	4.7	594.3	594.0	592.4	62	93	80	SE 0	SE 0	SE 0	8	10≡	10*	6.2	* 16½-n, ≡ 10-17
7	-2.0	-2.0	-6.5	-3.5	2.6	590.1	588.5	588.5	80	100	80	S 1	S 1	S 1	10*	10≡	10*≡	6.5	*° n-n zeitw., ≡ 12¼-n
8	-7.0	-4.0	-7.0	-6.0	0.2	588.6	588.2	590.4	85	38	40	S 1	S 1	S 1	10	10	0	.	
9	-7.2	-4.0	-7.0	-6.1	0.1	590.8	590.3	590.0	40	30	70	N 1	S 1	S 1	0	10	10≡	.	≡ 20-n
10	-7.0	-6.0	-10.0	-7.7	-1.4	587.4	588.0	587.4	40	35	70	N 1	N 1	N 1	10	2	10≡	.	≡ 20½-n
11	-9.8	-6.0	-7.0	-7.6	-1.2	588.4	588.9	590.4	40	30	48	N 1	S 1	S 1	0	10	10	.	
12	-4.0	-3.0	-3.4	-3.5	2.9	591.6	591.5	592.5	45	30	45	S 1	S 1	S 1	10	10	10	.	
13	-4.0	-2.5	-5.0	-3.8	2.7	594.4	595.6	595.7	30	25	25	S 1	S 1	S 1	0	0	0	.	
14	-4.8	-0.5	-3.0	-2.8	3.7	595.8	595.5	597.0	28	15	20	S 1	S 1	S 1	0	0	0	.	
15	-3.8	-2.0	-2.0	-2.6	4.0	597.7	597.8	597.7	15	15	48	S 1	S 1	S 1	4	0	10	.	
16	-2.0	0.5	-2.0	-1.2	5.4	596.7	596.1	595.0	15	30	100	S 1	S 1	S 1	10	10	10≡	8.5	≡ 17½-n
17	-2.0	-2.0	-4.0	-2.7	3.9	593.4	592.3	592.5	40	40	45	S 1	S 1	S 1	10*	10*	10*	10.4	*° n-n
18	-5.0	-4.0	-4.0	-4.3	2.4	593.6	594.5	595.5	84	75	37	S 1	S 1	SE 1	10≡	10≡	8	.	≡ n-17
19	-3.5	-2.4	-3.0	-3.0	3.7	594.7	593.0	593.5	42	55	80	SE 1	SE 2	SE 2	8	10	10*	12.5	*° 17¾-n
20	-4.2	-3.0	-7.4	-4.9	1.8	589.7	590.5	591.3	85	61	53	NE 1	NE 1	NE 0	8	5	0	.	
21	-6.0	-6.0	-6.8	-6.5	0.3	591.0	590.2	588.3	51	62	73	S 0	S 0	S 1	10	10*	10*	13.8	* 10¼-n, ≡ zeitw.
22	-6.6	-4.0	-6.3	-5.6	1.2	585.7	584.6	584.6	89	90	90	S 0	S 0	S 0	10≡	10≡	10≡	0.3	≡ n-n
23	-7.0	-5.0	-8.4	-6.8	0.0	584.7	585.4	586.7	64	21	32	N 0	N 0	S 1	0	0	3	.	
24	-10.8	-8.8	-10.6	-10.1	-3.2	588.1	589.4	591.4	20	19	18	N 1	N 1	N 1	0	0	0	.	
25	-14.4	-13.4	-14.6	-14.1	-7.2	592.9	593.9	595.5	61	70	70	N 1	N 1	N 2	0	0	0	.	
26	-10.4	-5.4	-6.2	-7.3	-0.4	597.0	596.9	597.1	10	9	22	N 2	N 1	N 2	0	1	0	.	
27	-4.0	-2.4	-5.0	-3.8	3.1	597.5	598.5	597.9	43	61	75	NE 2	NE 2	NE 1	5	5	0	.	
28	-7.0	-0.5	-4.8	-4.1	2.9	598.5	598.5	598.0	43	25	17	N 1	N 1	N 1	0	0	0	.	
29	-2.2	-2.2	-3.8	-2.7	4.3	596.2	595.3	594.0	19	22	26	NE 1	N 1	NE 2	0	0	0	.	
30	-6.2	-4.4	-10.2	-6.9	0.1	591.5	589.6	587.7	24	15	72	N 1	N 1	N 3	0	0	10≡	15.7	≡ 15-n zeitw., ⸗ III
31	-13.8	-13.2	-14.0	-13.7	-6.7	584.5	585.9	587.4	70	82	82	N 3	N 3	N 3	10≡	10≡	10≡	8.8	≡ ⸗ n-n
Mittel	-6.3	-4.4	-6.3	-5.7	—	591.5	591.5	591.8	51	48	57				5.6	6.1	6.2	Summe 106.6	

Ergänzende Witterungsnotizen zu den Tabellen Seite 1—72

Januar

Bern. Alpen klar: 1. 13. 16. je II, 22. I, II, 28. II, 30. I, II. — Alpen hell: 27. II. — Alpen sichtbar: 18. II, 9. I, 20. I, 21. II, 23. II, 26. II, 28. I. — Alpen schwach sichtbar: 1. I, 18. I, 31. II. — Neblig: 6. Vm., 15½ bis 16¾ h, 7. Nm. zeitw., 10. Nm., 11. Ab., 12. 11–13¼ h, 15. ½–9 h, 18. Vm., 19. Nm., 20. d. g. T., 21. Nm., 25. nachts–8 h, 9. 10½ h–Mitt., 30. Vm. strichweise. — Schneehöhe: 5. 6 cm, 2. 1½, 3. 10, 4. 10, 5. 15, 6. 34, 7. 28, 8. 25, 9. 20, 10. 18, 11. 22, 12. 24, 13. 20, 14. 16, 15. 9, 16. bis 19. je 8, 20. bis 23. je 7, 24. 4, 27. Spuren. — **Neuchâtel.** Hochnebel: 18. u. 25. d. g. T. — Schneehöhe: 3. 16 cm, 6. 35. — **Altdorf.** Föhn: 1./2. (nachts), 12. u. 14. d. g. T., 30. Nm. Ab. — Neblig: 10. Nm. — **Genf.** Schneehöhe: 3. 1 cm, 5. 1, 10. 8, 12. 10. — **Zürich.** Alpen sichtbar: 23. Vm., 31. Nm. — Alpen schwach sichtbar: 25. Vm., 27. d. g. T. — Dunst: 3. u. 4. Nm., 9. d. g. T., 10. Vm., 16. u. 17. Nm., 18. d. g. T., 21. u. 25. Nm. — Taldunst: 16. Vm., 19. 20. 22. je Nm., 23. u. 25. Vm., 26. Nm., 27. u. 31. d. g. T. — Neblig: 6. d. g. T., 7. Nm., 11. u. 12. d. g. T., 17. Vm., 20. d. g. T., 21. Vm., 28. Nm. — Talneblig: 9. 22. 26. je Vm., 29. u. 30. Nm. — Sicht (Nebel): 5. I 300 m, II 900, 7. Vm. 300, 14. I 300, 19. I 200, Ab. 500, 20. I 70, 21. I 50, 26. I 150, Vm. 250, 28. I 70, II 800, III 30, 29. I 60, II 700, 30. I 50. — Hochnebel: 1. d. g. T., 12. 17. 18. je Vm., 28. Nm. — Wolkenröte: 5. Ab. — Neuschnee: 1. 1 cm, 3. 13, 4. 6, 5. 11½, 6. 6½, 7. 14, 11. 6, 16. nicht meßbar. — Schneehöhe: 4. 17 cm, 5. u. 6. 22, 11. 15, 15. 4. — **Rigi-Kulm.** Nebelmeer: 7. 700 m, 10. 1000, 11. 12. 17. je 800, 18. 700, 19. 600, 20. 600, 21. Nebel strichweise, 25. 1100 strw., 28. Nebel strw., 29. 550 strw. — Neuschnee: 2. 6 cm, 3. 5, 4. 10, 5. 20, 6. 18, 7. 4, 9. 17, 11. 7, 16. 12, 24. 20, 25. 5, 27. 5, 31. 5. — Schneehöhe: 1. 10 cm, 8. 50, 15. 50, 22. 38, 29. 60. — **Bevers.** Neuschnee: 3. 20 cm, 4. 24, 6. 2, 11. 10, 12. 2, 13. 6, 15. 10, 24. 2, 31. 2. — Schneehöhe: 1. 10 cm, 8. 48, 15. 59, 22. 56, 29. 53. — **Sitten.** Neblig: 31. Vm. — Neuschnee: 2. 23 cm, 3. 9, 4. 1½, 5. 2, 6. 32, 8. 3, 9. u. 10. nicht meßbar, 11. 8, 13. 2, 14. 8½, 15. 4½. — Schneehöhe: 1. ½ cm, 8. 35, 22. 30, 29. 15. — **Lugano.** Nordföhn: 24. 13½–17 h. — Schneehöhe: 12. 4 cm. — **Basel.** Dunst: 18. I, II, 19. bis 22. je I, 26. u. 27. I, 29. II. — Morgenrot: 11. 18. 21. 22. 26. 29. 30. — Abendrot: 17. 19. 25. — Neuschnee: 1. 2 cm, 3. ½, 4. ½, 5. 1½, 6. 2. 11. 3. 12. 2½. — Schneehöhe: 1. 5 cm, 4. 3, 6. 4, 7. 3. — **Säntis.** Föhnmauer: 12. I. — Elmsfeuer: 2. (10½ h), 3. I, 4. I. — Neuschnee: 2. bis 5. je nicht meßbar, 6. 35 cm, 7. 16, 8. n. m., 9. 38, 11. 13. 14. 15. je n. m., 16. 22, 17. 5, 24. 25, 25. 15, 27 n. m., 28. 5, 31. n. m. — Schneehöhe: 1. 120 cm, 8. 260, 15. 300, 22. 280, 29. 300. — Schneegrenze: 1. u. 8. Bodensee, 29. 700 m. — **St. Gotthard.** Neblig: 9. bis 14¼ h. — Nebel auf dem Paß: 27. d. g. T. — Neuschnee: 2. 10 cm, 3. 40, 4. verweht, 5. 10, 6. 35, 8. 2, 9. verweht, 11. 10, 12. 4, 13. 10, 14. 2, 15 u. 16. verweht. — Schneehöhe: 1. 70 cm, 8. 160, 15. 200, 22. 160, 29. 140.

Februar

Bern. Alpen klar: 9. I, II, 19. I, 20. I, II, 21. I, 22. I, II, III, 23. I, 24. u. 25. I, II. — Alpen hell: 4. I, II, 5. II, 6. I, 12. I, II. — Alpen sichtbar: 6. II, 15. I, 23. II. — Alpen schwach sichtbar: 1. II. — Neblig: 7. 11–13¾ h. — Schneehöhe: 7. 2 cm, 8. 6, 9. 5, 10. 8, 11. 5, 12. 5, 16. 1, 17. 1. — **Neuchâtel.** Alpen sichtbar: 23. Nm. — Hochnebel: 9. d. g. T., 12. I. — Schneehöhe: 16. 1 cm, 17. 1. — **Altdorf.** Föhn: 1. Vm. — Neblig: 27. u. 28. Vm. — **Genf.** Schneehöhe: 16. 1 cm. — **Zürich.** Alpen sichtbar: 1. Nm., 6. 19. 22. je Nm. — Alpen schwach sichtbar: 4. Vm. teilweise, 6. u. 9. Vm., 12. Nm., 15. Vm., 23. Nm. — Dunst: 2. 5. 8. 9. je Nm., 11. d. g. T., 15. Nm., 18. bis 21. je d. g. T., 23. u. 24. d. g. T., 25. Nm., 26. d. g. T., 27. u. 28. Nm. — Taldunst: 1. Nm., 5. 9. 12. 28. je Vm. — Neblig: 22. Nm., 27. Vm. — Talneblig: 8. Vm., 19. Vm., 22. Nm., 27. Vm. — Nebel (Sicht): 22. I 70 m. — Talnebel: 22. Vm., 24. Vm. (Schwaden). — Hochnebel: 21. Vm., 26. Ab., 27. d. g. T. — Wolkenröte: 9. u. 11. Vm. Purpurlicht: 14. u. 20. Ab. — Neuschnee: 7. ½ cm, 8. 4, 10. 2, 16. nicht meßbar, 18. 1½. — Schneegrenze: 14. 600 m. — **Rigi-Kulm.** Nebelmeer: 18. 1500 m, 19. bis 22. je strichweise Nebel, 27. 1700, 28. 900. — Neuschnee: 3. 26 cm, 4. 8, 5. 28, 8. 35, 9. 3, 10. 3, 12. 4, 14. 8, 16. 20, 17. 12, 18. 2. — Schneehöhe: 12. 110 cm, 26. 80. — **Bevers.** Neuschnee: 3. 4 cm, 8. 2, 10. 2, 11. 4, 14. 3, 16. 3. — Schneehöhe: 5. 53 cm, 12. 55, 19. 46, 26. 41. — **Sitten.** Neblig: 1. u. 13. II. — Neuschnee: 5. 1 cm, 15. nicht meßbar. — Schneehöhe: 5. 12 cm. — **Lugano.** Nordföhn: 3. 12–16 h, 5. 8½–14 h, 8. 4–12 h, 13. 9 h bis 14. 2 h, 16. 7½ h bis 17. 8½ h. — **Basel.** Dunst: 8. I, 9. II, 11. II, 12. I, 15. bis 17. I, 18. u. 19. I, II, 20. I, II, III, 21. II, III, 22. I, II, 23. II, 24. II, 25. I, II, 26. I, 28. II. — Morgenrot: 9. 15. 25. — Abendrot: 2. 5. 12. — Gewitter: 7. K 16²⁵ h. **Säntis.** Elmsfeuer: 13. Vm. — Neuschnee: 2. nicht meßbar, 3. 32 cm, 4. 40, 5. 28, 7. u. 8. n. m., 9. 10, 11. 4, 12. bis 14. je n. m., 16. 42, 17. n. m., 18. 3. — Schneehöhe: 5. 350 cm, 12. 350, 19. 390, 26. 340. — Schneegrenze: 5. 600 m, 12. 700, 19. 700, 26. 900. — **St. Gotthard.** Neblig: 4. bis 9 h, 8. bis 15¼ h, 11. von 11 h an. — Nebel auf dem Paß: 10. von 17 h an. — Neuschnee: 1. 10 cm, 2. 10, 3. verweht, 4. 10, 5. u. 8. verweht, 10. 10, 12. 10, 14. 16. 17 je verweht. — Schneehöhe: 5. 135 cm, 12. 140, 19. 155, 26. 140.

März

Bern. Alpen klar: 1. 24. 30. je II, 31. I. — Alpen hell: 1. I, 2. II, 23. II, 24. I, 25. I, II, 31. II. — Alpen schwach sichtbar: 3. II, 9. I, 27. II. — Neblig: 15. 9–10 h. — Gewitter: 14. K 1²⁵ h, K 3⁴⁰ h. — **Neuchâtel.** Hochnebel: 22. Vm. m. Ubr. — **Altdorf.** Föhn: 4. u. 7. Ab., 14. Vm., 22. 19½ h bis 26. Vm. — **Zürich.** Alpen sichtbar: 22. u. 24. d. g. T. — Alpen schwach sichtbar: 17. Nm., 23. d. g. T., 24. Vm., 25. Vm., Nm. teilweise, 30. Nm. — Föhnmauer 24. u. 25. Nm. — Dunst: 1. Vm., 2. Nm., 3. d. g. T., 4. Vm., 5. Nm., 6. u. 8. Vm., 9. bis 11. je d. g. T., 12. Vm., 14. Nm., 15. bis 17. je d. g. T., 18. Nm., 20. Vm., 22. d. g. T., 23. Vm., 26. Vm., 27. Nm., 28. Vm. — Taldunst: 2. Vm., 4. Nm., 5. Vm., 8. Nm., 12. Nm., 13. d. g. T., 14. u. 18. Vm., 20. u. 23. Nm., 25. d. g. T. — Talneblig: 9. d. g. T., 24. u. 30. Vm. — Sicht (Nebel): 15. I 400 m, 22. I 150, 30. I 70. — Wolkenröte: 11. u. 12. Ab. — Purpurlicht: 7. 8. 10. 12. je Ab. Gewitter: 21. T 6⁵⁵ h. — **Rigi-Kulm.** Nebelmeer: 4. 1200 m, 8. und 28. strichweise Nebel. — Neuschnee: 7. 20 cm, 21. 3, 22. 38, 29. 14, 30. 5. — Schneehöhe: 5. 30 cm. — **Bevers:** Neuschnee: 7. 23 cm, 14. 6, 26. 2, 30. 1. — Schneehöhe: 5. 30 cm, 12. 30, 19. 25, 26. 15. — **Lugano.** Nordföhn: 29. 13–19 h, 31. 21 h–nachts. — **Basel.** Dunst: 1. I, II, 2. II, 3. II, 4. I, II, 5. 7. 8. je I, 9. bis 11. je I, II, 12. II, 13. II, 14. 16. 17. je I, II, 18. 20. 23. 25. 26. je I, 28. I, II. — Morgenrot: 4. 14. — Abendrot: 3. 12. — Gewitter: 19. Fern-K 13¹⁵–13²⁰ h, K 13³⁰–14³⁰ h, 20. T 14¹⁵ h, 26. K im W III. — **Säntis.** Föhnmauer: 4. II, 22. bis 25. d. g. T., 26. (16½ h). — Gewitter: 20. T (schwach) im NW 16¾–17 h. — Neuschnee: 6. 8 cm, 7. 25, 21. 13, 22. 14, 28. 15, 29. 12, 30. 4. — Schneehöhe: 5. 270 cm, 19. 200, 26. 180. — Schneegrenze: 5. 1100 m. — **St. Gotthard.** Nebelmeer im Süden: 5. d. g. T., 11. bis 9½ h, 13. Nm. — Neuschnee: 6. 5 cm, 7. verweht, 14. 10, 19. 10, 21. 5, 22. 10, 23. 24. 26, je 5, 27. 10, 29. 15, 30. 10. — Schneehöhe: 5. 130 cm, 12. 110, 19. 90, 26. 95.

April

Bern. Alpen klar: 4. II, 5. u. 10. I, II, 23. I, 25. I, II, 27. I, 28. I, 30. I, II. — Alpen hell: 6. I, 14. I, 15. II, 20. III, 21. II, 22. I, II, 23. II, 26. I, 27. II, 28. II. — Alpen sichtbar: 13. 14. 16. 19. je II. — Alpen schwach sichtbar: 1. I, II, 3. II, 13. 15. 16. 17. je I, 18. II, 19. I. — Schneehöhe: 9. 3 cm. — **Neuchâtel.** Joran: 27. 16¼–21¼ h. —

Altdorf. Föhn: 19. 10^h bis Nm., 22. u. 23. d. g. T. — **Zürich.** Alpen klar: 23. Nm. — Alpen hell: 23. Vm. — Alpen sichtbar: 6. Vm., 17. Nm., 22. d. g. T., 25. Nm., 26. Vm., 30. Nm. — Alpen schwach sichtbar: 3. Vm., 13. d. g. T., 14. Nm., 15. u. 16. d. g. T. — 17. Nm., 19. 21. 27. 28. je d. g. T., 30. Vm. — Föhnmauer: 26. Vm. — Dunst: 3. u. 5. Vm., 10. 11. 18. je d. g. T., 29. Vm. — Taldunst: 4. Vm., 5. Nm., 13. u. 14. Vm., 15. u. 16. d. g. T., 17. Vm. — Purpurlicht: 17. 18. 25. je Ab. — Gewitter: 19. Fern-⚡ 15^{30}–15^{45h} im SW, Zug WNW–SSE; Nah-⚡ 19^{00}–19^{15h}. — Neuschnee: 9. 1 cm. — **Rigi-Kulm.** Nebelmeer: 21. 1100 m. — Neuschnee: 2. 10 cm, 3. 15, 7. 5, 8. 12, 9. 8, 29. 5, 30. 4. — Schneehöhe: 9. 20 cm, 30. 9. — **Bevers.** Neuschnee: 2. 4 cm, 7. 7, 8. 7. — **Sitten.** Dunst: 20. I. — **Lugano.** Nordföhn: 1. 10^h bis 2. 22^h, 3. $14^1/_2$ bis 4. 3^h, 6. 18^h bis 7. $1^1/_2{}^h$, 7. 22^h bis 9. 22^h, 26. $23^1/_2{}^h$ bis 27. 8^h. — **Basel.** Dunst: 3. I, 4. u. 5. I, II, 10. I, 12. I, II, 13. 14. 16. 17. 19. 22. 23. je I, 28. II, 30. I. — Gewitter: 19. Fern-⚡ 15^h (⊤ 14^{08}–15^{06h} im SW), 22. ⚡ 14^{48}–15^{20h} im N, Zug SW–NE, 23. ⚡ III im SW und N. — **Säntis.** Föhnmauer: 21. II, 22. I, 23. II. — Nebelregen: 1. nachts–10^h. — Gewitter: 22. ⚡ III im NNE. — Neuschnee: 1. nicht meßbar, 2. 50 cm, 3. 4. 7. 8. 10. je n. m., 13 $^1/_2$, 20. $^1/_2$, 21. 7, 25. n. m., 27. 4, 29. 7, 30. 25. — Schneehöhe: 2. 240 cm, 9. 300, 16. 260, 23. 200, 30. 200. — Schneegrenze: 2. 700 m, 9. Bodensee, 16. 1400, 30. 1400. — **St. Gotthard.** Neblig: 26. u. 28. bis 10^h. — Nebel auf dem Paß: 30. bis 9^h. — Nebelmeer im Süden: 25. von $19^3/_4{}^h$ an. — Neuschnee: 1. 10 cm, 2. 15, 3. 10, 7. 5, 8. 20, 9. 10, 10. 22. 23. je 5, 29. 1, 30. 5. — Schneehöhe: 2. 110 cm, 9. 130, 16. 90, 23. 80, 30. 70.

Mai

Bern. Alpen klar: 1. I, 10. II, III, 12. 13. 14. 15. je I, 18. I, II, III, 19. 24. 28. 29. je I. — Alpen hell: 10. I, 12. 13. 14. 19. 30. je II, 31. I. — Alpen sichtbar: 11. I, II, 15. II, 20. I, 27. I, 29. II, 30. I, 31. II. — Alpen schwach sichtbar: 1. II, 6. II, 7. I, 22. I, 24. II, 25. I, 27. II, 28. II. — Gewitter: 21. ⚡ 12^{53}–13^{00h} im W; ⊤ 15^{15}–16^{50} aus N, über der Station 16^{08}; ⚡ 17^{10}–17^{40h} im W, 22. ⚡ Ab. im NW u. E. — **Neuchâtel.** Joran: 5. $17^1/_2{}^h$, 7. seit 14^h, 14. 17–$21^1/_2{}^h$, 15. 20–22^h, 28. $19^1/_4$–$22^1/_4{}^h$, 29. $17^1/_2$–$22^1/_2{}^h$. — **Altdorf.** Föhn: 6. Nm. — **Zürich.** Alpen klar: 10. Nm. — Alpen sichtbar: 6. u. 10. Vm., 12. d. g. T., 13. Nm., 18. Vm. — Alpen schwach sichtbar: 1. Vm., 11. d. g. T. teilweise, 13. Vm., 14. d. g. T., 15. Vm., 17. d. g. T., 18. Nm., 19. d. g. T., 20. Nm., 28. u. 31. d. g. T. — Dunst: 3. Nm., 4. u. 16. d. g. T., 21. u. 28. Nm., 30. Vm. — Taldunst: 5. d. g. T., 13. 21. 22. 31. je Vm. — Tal neblig: 24. Vm. — Hochnebel: 4. d. g. T., 24. Vm. — Wolkenröte: 17. Ab. — Purpurlicht: 15. 17. 18. je Ab. — Föhnmauer: 6. Nm. — Gewitter: 6. Fern-⚡ 19–19^{15} im NW. — Schneegrenze: 10. 1300 m. — **Rigi-Kulm.** Nebelmeer: 17. 1400 m strichweise, 24. 900. — Neuschnee: 8. 4 cm, 10. 10. — **Lugano.** Nordföhn: 16. 15–17^h, 25. $6^1/_2{}^h$ bis 27. $4^1/_2{}^h$. — **Basel.** Dunst: 4. I, 5. II, 10. I, 12. II, 13. 14. 15. je I, II, 17. 18. 19. je I, 20. 21. 22. je I, II, 28. I, 29. 30. 31. je I, II. — Abendrot: 21. — Gewitter: 5. ⚡ 18^{10}–18^{30h}, 22. ⚡ 15–$16^1/_2{}^h$ im WSW–ENE; ⚡ $17^1/_4{}^h$–19^h im WSW–ENE, 24. ⊤ $14^1/_2$–$15^1/_2{}^h$. — **Säntis.** Föhnmauer: 6. I. — Nebelregen: 11. 20^h–nachts, 23. 17^h–nachts, 27. $17^1/_2{}^h$–nachts. — Gewitter: 1. Fern-⚡ 15^{45h} im N, kurz, 21. Nah-⚡ 13^{50}–14^{30h} im SE, 22. Nah-⚡ 13^{45}–15^{00h} in E und S. — Neuschnee: 2. 1 cm, 5. $^1/_2$, 7. $^1/_2$, 8. 7, 9. 2, 10. nicht meßbar, 25. 11, 26. 35, 27. 7. — Schneehöhe: 7. 170 m, 14. 130, 20. Gipfel schneefrei, 28. 30. Schneegrenze: 7. 2000 m, 14. 2000, 28. 1900. — **St. Gotthard.** Neblig: 12. bis 9^h, 26. von 16^{15h} an, 28. von 19^h an. — Nebel auf dem Paß: 8. I, 10. I. — Nebelmeer im Süden: 31. von 15^h an. — Neuschnee: 2. 5 cm, 3. 20, 6. 5, 7. 15, 8. 5, 9. 3, 10. 30, 25. 2, 26. 2. — Schneehöhe: 7. 70 cm, 14. 75, 21. 15.

Juni

Bern. Alpen klar: 6. I, 8. I, 20. I, II, 25. I. — Alpen hell: 5. II, 14. I, 25. II, 26. I. — Alpen sichtbar: 8. II. — Alpen schwach sichtbar: 19. I, II, 21. I, 26. II. — Gewitter: 1. 7^{10}–8^{10h} aus SW, über Station 7^{14h}, 21. ⚡ 12^{46}–13^{15h}, ⚡ 14^{00}–14^{15h}. — **Neuchâtel.** Joran: 10. 13–$19^1/_2{}^h$, 12. seit $16^1/_2{}^h$, 15. $18^1/_2$–$21^3/_4{}^h$, 21. $12^1/_2$–$15^1/_4{}^h$, 23. $17^1/_4$–$21^3/_4{}^h$, 26. 14–$20^3/_4{}^h$, 29. $16^1/_2$–22^h. — **Zürich.** Alpen hell: 20. d. g. T. — Alpen sichtbar: 2. Vm., 15. Nm. — Alpen schwach sichtbar: 2. Vm., 8. d. g. T., 18. Nm., 19. Vm. — Dunst: 5. Vm., 10. Nm., 11. Vm., 12. d. g. T., 18. Nm., 21. Vm., 23. 24. 25. je d. g. T., 26. Nm., 28. u. 29. Vm. — Taldunst: 8. 13. 19. je Vm. — Purpurlicht: 13. Ab. — Gewitter: 1. Nah-⚡ 9^{00}–9^{30h}, Zug W–E, über Ort 9^{00h}, 4. Nah-⚡ 13^{55}–14^{30h}, Zug W–E, über Ort 14^{00h}, 10. Nah-⚡ 13^{45}–14^{15h}, leicht, Zug NW–SE, 21. Nah-⚡ 14^{45}–15^{15h}, Zug SSW–NNE, über Ort 15^{00h}. — **Rigi-Kulm.** Nebelmeer: 23. 1100 m strichweise. — Neuschnee: 4. 3 cm, 17. 12, 18. 10. — Schneehöhe: 18. 30 cm. — **Sitten.** Dunst: 5. I, 6. I, 19. II. — **Lugano.** Nordföhn: 3. $8^1/_2$–18^h, 4. 10–$21^1/_2{}^h$, 18. 11–23^h, 26. 12–19^h. — **Basel.** Dunst: 4. II, 5. I, 6. I, 8. 10. 11. 12. je I, II, 13. 14. 19. 21. je I, 22. II, 23. I, II, 24. I, 25. I, II, 26. II, 27. II, 28. I, II, 29. II, 30. II. — Abendrot: 20. — Gewitter: 1. ⚡ 6^{55}–8^h, 4. ⊤ 12^{15h}, 13^{20h}, 14^{15h}, 10. ⊤ 19^{15}–21^h im SW und NW, 11. ⊤ $14^1/_2{}^h$ aus W. — **Säntis.** Nebelregen: 7. 9–10^h m. U., 9. ($10^1/_2{}^h$), 11. 9–$14^1/_2{}^h$, 20^h–nachts, 14. 17–$17^3/_4{}^h$, 19. 11–14^h. — Gewitter: 10. Nah-⚡ 7^{50}–8^{30h} im S, ferner ⊤ 9^{30h} im S, Fern-⚡ 14^{15}–15^h im S, Fern-⚡ 21^{10}–22^h im NE, 21. Fern-⚡ 14^{20}–15^{30h} im SE. — Neuschnee: 2. 1 cm, 3. 12, 4. 24, 5. 15, 7. 3, 11. 10, 15. 1, 16. 1, 17. 35, 18. 20, 19. 1. — Schneehöhe: 4. 32 cm, 11. 10, 18. 45. — Schneegrenze: 4. 1700 m, 18. 1700. — **St. Gotthard.** Neblig: 2. bis $9^1/_4{}^h$, 21. bis 10^h, 26. bis 10^h, 29. von 17^h an. — Nebel auf dem Paß: 22. bis 10^h, 24. von 19^h an, 25. von $18^1/_4{}^h$ an, 27. I, von 20^h an, 28. von $17^1/_2{}^h$ an, 30. III. — Neuschnee: 4. 2 cm, 16. 1, 17. 1, 18. 2.

Juli

Bern. Alpen klar: 1. 12. 15. 16. je I, 18. I, II, 28. u. 29. I. — Alpen hell: 12. II, 19. I, 20. I, II, 26. u. 27. I. — Alpen sichtbar: 12. III, 14. I, II, 15. II, 18. III, 22. I. — Alpen schwach sichtbar: 5. u. 10. I, II, 16. II, 17. I, II, 23. I, 28. II. — Gewitter: 13. ⚡ 2^{15}–2^{45h}, ⚡ 3^{45}–4^{30h}, ⚡ im S 0^{45}–2^{00h}, ⚡ im NW u. W seit 2^h, 19. ⚡ seit 19^{15h}, 20. ⚡ 16^{35h}, 24. ferner ⊤ Nm. im S. — **Neuchâtel.** Joran: 3. 19–23^h, 4. $17^1/_2$–$22^1/_2{}^h$, 17. $18^1/_4$–21^h, 18. $17^1/_4$–19^h, 27. $17^1/_2$–$20^1/_2{}^h$, 31. $15^3/_4$–$16^1/_2{}^h$. — **Altdorf.** Föhn: 20. d. g. T. — **Zürich.** Alpen sichtbar: 14. Vm. (teilweise), 26. Nm. — Alpen schwach sichtbar: 15. Vm., 18. d. g. T., 19. Nm., 26. Vm. — Dunst: 1. bis 6. je Vm., 15. d. g. T., 17. u. 18. Vm., 20. u. 22. Vm. (teilweise), 25. u. 26. Vm., 30. d. g. T. — Taldunst: 12. 19. 23. 28. je Vm., 29. d. g. T., 31. Vm. — Gewitter: 6. Fern-⚡ ^{0}, erster ⊤ ca. 18^{35h} (aus Cu-Nb. im S), 13. Nah-⚡ ^{1} 3–$3^1/_2{}^h$, kam aus SW, 16. Nah-⚡ ^{0} (einzelne ⊤ seit 11^{45h}), 19. Fern-⚡ ^{0} 18^{10}–19^{00h}, langsam ziehend: NW–SE, Nah-⚡ 20^{50}–21^{10h}, 21^{40h}, 20. Nah-⚡ 18^{20}–18^{35h} im W, 21. Nah-⚡ 7^{55}–8^{10h}, Fern-⚡: ⊤ im W 15^{03h}, ⊤ 15^{13h}, 15^{23h}, 17^{13h}, 22. Nah-⚡ 15^{30}–15^{50h}, Zug W–E, Fern-⚡ 16^{58h}–Ab., im S; Nah-⚡ 19^h, 23. Nah-⚡ ^{0} 16^{33}–16^{52h}, Zug NW–SE; Nah-⚡ 17^{12}–18^{00h}, Zug NW–SE. — **Rigi-Kulm.** Nebelmeer: 25. strichweise Nebel. — Neuschnee: 9. 4 cm. — **Sitten.** Dunst: 15. I, 31. I. — **Lugano.** Nordföhn: 8. $14^1/_2$–18^h, 20^h bis 9. $20^1/_2$, 13. 18^h bis 14. 6^h. — **Basel.** Dunst: 1. u. 2. I, II, 3. I, 4. I, II, 5. II, 6. I, II, 9. II, 17. I, 18. I, II, 25. I, II, 28. I, II. — Gewitter: 6. ⚡ 12^{05}–12^{45h} im N; ⚡ 13^{55}–14^{15h} im SE, 13. ⚡ 3^{15h}, 16. ⊤ 10^{25}–10^{55h} (3 mal), 19. ⚡ 16^{45h} im S; ⚡ nachts, 20. ⚡ im SW III, 21. ⚡ 14^{55}–16^{05} im S, 22. ⊤ 15^{19h}, 23. ⊤ 15^{30h}, 26. ⚡ 15^{40h}–16^{05h} NE–SW; ⚡ 17–17^{15h} im SW, 27. ⊤ 14^{45}–16^h. — **Säntis.** Föhnmauer: 20. I. — Nebelregen: 8. nachts–$6^3/_4{}^h$, 10. 7^h–nachts, 11. d. g. T., 13. nachts–17^h, 21. 6–$6^1/_2{}^h$. — Gewitter: 6. Fern-⚡ 16–16^{20h} im E, 7. Fern-⚡ 14^{30h} (kurz) im E, 19. Fern-⚡ 13^{15}–14^{30h} im E u. S, 20. Fern-⚡ 19^h–nachts im N u. E, 22. Fern-⚡ 17^h im N, 23. Nah-⚡ 12^{10}–12^{20h} im SE, 24. ⚡ 13^{48h} im W, ⚡ 15^{30}–15^{45h} im N, ⚡ 19^{25}–20^{20h} im N u. SE, 25. ⚡ 13^{35}–16^{45h} im SE, 26. ⚡ 14^{10}–14^{25h}, ⚡ 15^{25}–15^{45h}, 27. ⚡ 15^{50}–16^{10h} im SE, ⚡ 16^{50}–17^{30h} im W. — Neuschnee: 9. 23 cm, 10. 15. — Schneehöhe: 9. 23 cm. — Schneegrenze: 9. 1600 m. — **St. Gotthard.** Neblig: 9. bis 16^h. — Nebel auf dem Paß: 10. seit 17^h, 11. seit 18^{10h}, 18. seit 19^h, 21. seit 20^h. — Nebelmeer im Süden: 15. bis 9^h. — Neuschnee: 9. 1 cm.

August

Bern. Alpen klar: 1. 5. 8. 9. 11. je I, 14. III, 15. I, 16. 17. 18. je I, II, 19. 20. 24. je I, 26. u. 30. I, II. — Alpen hell: 8. II, 9. II, 10. I, II, 13. I, 14. I, II, 29. II. — Alpen sichtbar: 5. II, 7. I, 11. 13. 19. 20. je II, 21. I, 24. II. Alpen schwach sichtbar: 21. II, 29. I. — Gewit-

er: 3. K 18⁰⁸–18²⁵ᵇ mit ▲, K 19¹⁰–19²⁰ᵇ, 11. K 19⁵⁰–20³⁷ᵇ im ', ⊲ 21⁰⁰–22³⁰ᵇ im W-SW-S-E, K 20³⁷ᵇ, 22⁰⁰ᵇ, 19. ⊲ 21³⁰ᵇ n SSW, T 22⁴⁰ᵇ. — **Neuchâtel.** Joran: 4. 19¹/₄–22ᵇ, 8. seit ¹/₂ᵇ, 11. 20–23ᵇ, 23. seit 18¹/₂ᵇ. — **Altdorf.** Föhn: 2. Ab.. u. 21. d. g. T. — **Zürich.** Alpen hell: 14. u. 15. Vm., 6. Ab., 29. Ab. — Alpen sichtbar: 10. Nm., 11. Vm., 1. 16. 25. je Nm., 26. 29. 30. je Vm. — Alpen schwach ichtbar: 5. Vm., 9. Vm. teilweise, Nm., 10. u. 16. Vm., 7. 18. 19. je d. g. T., 20. 28. 30. je Nm. — Dunst: 1. Vm., u. 4. Nm., 19. Vm., 20. Nm. — Taldunst: 3. Vm., 11. Nm., 3. Vm., 18. d. g. T., 20. u. 21. Vm., 22. d. g. T., 25. 26. 28. Vm. — Wolkenröte: 8. Ab., 29. Vm. — Gewitter: 1. Nah-K¹ 20⁵⁰–21⁰⁰ᵇ, 26. Nah-K¹ 20⁵⁰–21²⁰ᵇ, Zug SW-NE, 30. ern-K 20⁴²ᵇ im NW (Lägern). — **Rigi-Kulm.** Nebelmeer: 3. strichweise Nebel. — **Sitten.** Dunst: 2. I, II, III, 3. I, 19. 21. je I, II. — **Lugano.** Nordföhn: 31. 6¹/₂–23ᵇ. — asel. Dunst: 1. u. 2. I, II, 3. II, 18. u. 19. I, 20. II, 21. I, II, 2. II, 24. I. — Gewitter: 3. K 19–21ᵇ, 11. K 19¹⁰–19³⁰ᵇ, 21–24ᵇ. — **Säntis.** Großes Lichtermeer: 23. III. — ebelregen: 6. 13¹/₄–15¹/₄ᵇ, 12. nachts–8¹/₂ᵇ m. U., 15. –13ᵇ m. U., 23. 8–17¹/₄ᵇ, 27. 7–13ᵇ. — Gewitter: 1. K 6⁴⁰–16⁵⁰ᵇ im SE, 11. K 19³⁰ᵇ–nachts im SE-W-N, 20. ⊲ im III, 28. ⊲ im SE III. — **St. Gotthard.** Neblig: 7. u. 8. bis 0ᵇ, 12. d. g. T., 19. bis 9ᵇ. — Nebel auf dem Paß: 4. III, 0. bis 9ᵇ, 12. d. g. T., 13. seit 18¹⁰ᵇ, 28. seit 20³⁰ᵇ. — Nebelmeer im Süden: 14. seit 20ᵇ.

September

Bern. Alpen klar: 1. u. 2. I, 5. II, 6. I, 9. I, II, 12. II, 3. I, 17. II, 21. I. — Alpen hell: 1. 7. 13. 14. 24. je II. — Alpen sichtbar: 2. II, 3. u. 14. I, 20. 21. 28. je II. — Alpen schwach sichtbar: 8. II, 12. I. — Neblig: 4. nachts–Vm. — Gewitter: 3. K 18⁴⁷–19¹⁰ᵇ, 8. T 5⁰⁸–5³⁵ᵇ, 6²⁰ᵇ, 11. ⊲ 20¹⁵ᵇ im N, seit 20⁴⁵ᵇ im S u. W, T 21⁰⁵ᵇ; Fern-K 2⁰⁰–23³⁵ᵇ WNW-N, 13. ⊲ 20⁰⁰–20³⁰ᵇ im SE-NE, 17. ⊲ 18³⁰ᵇ m SW; K 18⁴³–19¹⁰ᵇ, 18. K 11⁴⁴–13¹⁵ᵇ, 24. K 23⁰⁰–24⁰⁰ᵇ im W u. NW, 25. ⊲ 0⁰⁰ᵇ im W u. NW, T 0²⁰ᵇ u. 4⁴⁰ᵇ. — **Neuchâtel.** oran: 3. seit 17¹/₄ᵇ, 6. 18–20¹/₂ᵇ, 11. 20–22ᵇ (schwach), 18. eit 16¹/₂ᵇ. — **Altdorf.** Neblig: 23. Nm. — **Zürich.** Alpen ichtbar: 9. Nm., 13. Vm., 16. Nm. teilweise, 21. Vm. — Alpen schwach sichtbar: 1. u. 6. Nm., 9. Vm., 24. Vm. teilw. — Dunst: 3. Nm., 4. u. 5. d. g. T., 6. Vm., 7. Nm., 8. u. 12. Vm., 13. u. 14. Nm., 16. 23. 24. je d. g. T., 25. Vm., 27. Nm., 30. d. g. T. — Taldunst: 1. Nm., 2. u. 3. Vm., 6. d. g. T., 7. Vm., 11. d. g. T., 13. u. 14. Vm., 17. Nm., 18. u. 25. Vm. — Neblig: 28. Vm. — Talneblig: 17. 22. 27. 30. e Vm. — Hochnebel: 17. Vm.–10¹/₂ᵇ, 19. Vm., 23. Vm.–16ᵇ, 24. u. 28. Vm. — Gewitter: 11. Nah-K² 3⁴⁵–4¹⁵ᵇ, Zug SW-NE, 17. ⊲ 19⁴⁵ᵇ im SW, 25. T früh zeitweise. — **Rigi-Kulm.** Talneblig: 22. I. — Nebelmeer: 1. 5. 7. je strichweise Nebel, 17. 700 m, 23. 1400, 24. 700, 28. 1500, 30. 600. — Neuschnee: 27. 7 cm. — **Bevers.** Neuschnee: 29. 4 cm. — **Sitten.** Dunst: 1. II, 2. I, 7. II, 21. I, 23. I, II, 24. I, II, 25. II, 27. II, III, 28. I, II, III, 29. I, II. — **Lugano.** Nordföhn: 4. 13¹/₄–14¹/₄ᵇ, 26. 13¹/₂–19¹/₂ᵇ. — **Basel.** Dunst: 1. I, II, 10. 11. 16. je II, 17. I. — Gewitter: 10. T 13²⁰–14⁰⁰ᵇ, 11. K 2–3ᵇ, K 23⁴⁰–03⁰⁰ᵇ, 13. K 20¹⁵–20³⁰ᵇ, 17. K 19⁴⁰ᵇ, ⊲ 21¹⁵ᵇ im NE, 25. K 0⁴⁰ᵇ, 5⁵⁰ᵇ, 6⁵⁵ᵇ. — **Säntis.** Großes Lichtermeer: 24. III. — Föhnmauer: 14. II, 30. II. — Nebelregen: 16. nachts–7ᵇ. — Gewitter: 20. Nah-K 7³⁰ᵇ (kurz) im E. — Neuschnee: 21. 9 cm, 26. 16, 27. 10, 28. 1. — **St. Gotthard.** Neblig: 7. seit 19ᵇ. — Neuschnee: 29. 10 cm.

Oktober

Bern. Alpen klar: 19. I, 20. II, 21. bis 24. je I, II, 25. I. — Alpen sichtbar: 7. II. — Alpen schwach sichtbar: 2. II, 17. I, II, 26. II. — Neblig: 11. nachts–9ᵇ, 12. nachts–8³⁰ᵇ, 15. nach 8ᵇ zeitweise, 25. Vm., 30. 10⁴⁵–11ᵇ. — **Neuchâtel.** Hochnebel: 4. nachts–11¹/₂ᵇ, 5. nachts–10ᵇ m. U., 6. nachts–Mitt., 7. Vm. m. U., 9. Vm., 10. Vm. m. U., 11. u. 12. d. g. T., 13. u. 20. Vm., 21. nachts–9ᵇ m. U., 25. d. g. T., 30. Vm. — Nebel über dem See: 21. I. — **Altdorf.** Neblig: 12. I, III, 13. III, 14. I, III. — Föhn: 16. Ab. bis 17. Nm., 24. Ab. bis 25. Ab. — **Zürich.** Alpen sichtbar: 3. u. 17. Nm., 22. Vm. — Alpen schwach sichtbar: 2. Nm., 21. d. g. T., 22. Nm. — Dunst: 1. d. g. T., 4. 5. 7. 11. je Nm., 13. u. 14. d. g. T., 15. Vm., 18. Nm., 19. d. g. T., 23. Nm., 28. d. g. T., 31. Nm. — Taldunst: 4. Vm., 6. Nm., 10. d. g. T., 12. Nm., 18. Vm., 20. Nm., 21. d. g. T., 23. u. 26. Vm., 29. Nm. — Neblig: 7. Vm., 8. u. 9. Nm., 16. Vm., 30. Nm. — Talneblig: 5. Mitt., 8. 11. 12. 17. 19. je Vm., 25. Nm., 27. u. 29. Vm. — Sicht (Nebel): 5. I 500 m, 6. I 200, 9. Vm. 300, 16. Vm. 300, 20. I 300, 23. Vm. 200, 30. I 100. — Talnebel: 2. Vm., 3. früh, 24. u. 25. Vm. — Hochnebel: 7. Vm., 9. Nm., 11. 12. 13. je d. g. T., 14. Vm., 25. 27. 28. je d. g. T., 29. Vm., 30. Nm., 31. Vm.–11ᵇ. — Wolkenröte: 3. 20. 21. je Ab. — **Rigi-Kulm.** Talneblig: 14. bis 17. 27. je I. — Nebelmeer: 1. 1750 m, 2. strichweise Nebel, 4. 900, 5. 1500, 6. u. 7. 800, 8. 1700, 10. 800 strichweise, 11. 1200, 12. 1300, 13. 1450, 25. strichweise, 28. 1700, 29. 1300, 30. 900, 31. 800. — **Sitten.** Dunst: 1. I, II, 5. I, 9. II, III, 10. I, 12. II, 13. I, II, 14. II, 16. II, 23. 25. 28. 30. je III. — Neblig: 9. I. — **Basel.** Dunst: 1. 2. 3. 5. 6. 11. 13. bis 16. 18. je II, 19. III, 22. II, 23. III, 24. I, II, 26. II, 27. u. 29. I, II, 30. II. — Morgenrot: 19. — **Säntis.** Föhnmauer: 20. I (schwach). — Gewitter: 9. ⊲ III im Süden. — **St. Gotthard.** Neblig: 3. bis 10ᵇ. — Nebel auf dem Paß: 10. 15¹⁰ᵇ–17ᵇ. — Nebelmeer im Süden: 12. seit 13ᵇ, 13. I, 14. d. g. T., 15. II, 23. bis 9ᵇ, 28. seit 19ᵇ. — Neuschnee: 17. 3 cm, 18. 10.

November

Bern. Alpen klar: 24. u. 26. I. — Alpen hell: 6. u. 12. II, 15. I, II, 17. I, 26. II, 27. u. 28. I. — Alpen sichtbar: 2. I, II, 11. u. 16. I, 27. II. — Alpen schwach sichtbar: 14. I, II, 24. II. — Neblig: 22. nachts–Vm. — Gewitter: 24. ⊲ im NNW 23ᵇ. — **Neuchâtel.** Hochnebel: 1. d. g. T. — **Altdorf.** Neblig: 3. d. g. T. — **Zürich.** Alpen sichtbar: 15. Vm., 25. u. 26. Nm., 30. Nm. teilw. — Alpen schwach sichtbar: 15. Nm., 24. u. 26. Vm. — Dunst: 1. u. 3. Nm., 5. u. 6. Vm., 8. bis 12. 16. je Nm., 17. d. g. T., 26. u. 27. Vm. — Taldunst: 2. d. g. T., 10. u. 12. Vm., 15. 18. 19. je d. g. T., 20. u. 21. Nm. — Neblig: 4. d. g. T., 11. Vm. — Talneblig: 3. 8. 20. 21. je Vm., 22. u. 23. d. g. T. — Sicht (Nebel): 3. I 150 m, 9. Vm. 150, 16. Vm. 300, 23. Vm. 300. — Talnebel: 2. Vm. — Hochnebel: 3. Vm., 4. 19. 20. 21. 22. je d. g. T., 23. Nm. — Neuschnee: 26. 2 cm. — Schneegrenze: 30. 800 m. — **Rigi-Kulm.** Talneblig: 17. I. — Nebelmeer: 1. 750 m, 4. 1600, 6. 1200, 20. 1400, 21. 1000, 22. strichweise. — Neuschnee: 7. 4 cm, 8. 15, 9. 5, 12. 3, 13. 5, 14. 4, 15. 2, 16. 1, 25. 14, 26. 6. — Schneehöhe: 19. 20 cm, 26. 18. — **Bevers.** Neuschnee: 14. 1 cm, 18. 2, 21. 2, 25. 5, 26. 8, 29. 1. — **Sitten.** Dunst: 2. I, 4. II, III, 6. u. 9. II, 10. II, III, 11. u. 12. I, II, 18. III, 19. I, II, III, 20. III, 21. I, 23. u. 29. II. — Neuschnee: 25. 8 cm. — Schneehöhe: 26. 4 cm. — **Lugano.** Nordföhn: 7. 14ᵇ bis 9. 13¹/₂ᵇ, 25. 14¹/₂–23ᵇ. — **Basel.** Dunst: 1. II, 2. II, 5. I, II, 6. u. 8. II, 10. I, II, 11. 15. 18. 20. 22. 23. je II. — Morgenrot: 1. 17. 24. 26. — **Säntis.** Nebelregen: 28. 19ᵇ–nachts. — Neuschnee: 7. 16 cm, 8. 25, 9. ¹/₂, 12. 6, 13. 14. 15. je nicht meßbar, 16. ¹/₂, 17. u. 23. 1, 25. n. m., 26. 35, 27. 14, 28. 8, 29. u. 30. n. m. — Schneehöhe: 12. 30 cm, 19. 40, 26. 6. — Schneegrenze: 12. 900 m, 19. 700, 26. 600. — **St. Gotthard.** Neblig: 12. d. Tg., 14. bis 10ᵇ, 27. bis 14⁵⁰ᵇ. — Nebelmeer im Süden: 4. III, 5. 9ᵇ–Mitt. — Neuschnee: 13. 7 cm, 14. 15, 19. 20, 20. 4, 21. 15, 22. 10, 23. 2, 25. u. 26. verweht, 29. 7, 30. 5. — Schneehöhe: 19. 20 cm, 26. 40.

Dezember

Bern. Alpen klar: 19. II, 26. I, 28. I, II. — Alpen hell: 2. I, II, 26. II. — Alpen sichtbar: 24. I. — Alpen schwach sichtbar: 25. I, II, 27. I. — Neblig: 4. nachts–9ᵇ, 6. Ab., 7. zeitweise, 8. d. g. T., 17. Mitt.–16ᵇ, 22. zeitweise. — Schneehöhe: 31. 1 cm. — **Neuchâtel.** Schneehöhe: 3. 1 cm. — **Altdorf.** Neblig: 30. I. — Föhn: 19. Nm., Ab., 21. Vm., Nm. — **Genf.** Schneehöhe: 31. ¹/₂ cm. — **Zürich.** Alpen sichtbar: 2. Vm., Nm. teilweise, 19. u. 23. Nm. — Dunst: 20. Vm. — Taldunst: 3. Nm., 4. 5. 6. je d. g. T., 9. u. 11. Nm., 12. u. 13. d. g. T., 20. 23. 24. 25. 26. je Nm. — Neblig: 8. Nm., 10. d. g. T., 11. Vm. — Taldunst: 7. 14. 15. 16. 17. je d. g. T., 19. Vm., 21. d. g. T., 22. bis 26. je Vm., 27. u. 29. d. g. T. — Nebel: 8. I 800 m, 9. I 200, 16. Vm. 300, 18. I 40, II 60, III 40, 22. I 60, 23. Vm. 300, 28. Vm. 300, 30. I 700. — Talnebel: 3. Vm. — Hochnebel: 4. 5. 6. je d. g. T., 7. Vm., 9. Nm., 12. bis 17. je d. g. T., 21. u. 24. Vm., 29. d. g. T., 30. Vm. — Neuschnee: 2. 1¹/₂ cm, 11. 1, 31. 2. — **Rigi-Kulm.** Nebelmeer: 4. u. 5. 1200 m, 6. 1000, 7. 800, 11. 1700, 12. 1400, 13. 14. 15. je 1200, 16. 700.

17. 800, **18.** strichweise Nebel, **21.** 800, **24.** u. **25.** Nebel, **29.** 1200, **30.** 900. — Neuschnee: **1.** 12 cm, **2.** 5, **8.** 5, **10.** 4, **11.** 3, **20.** 15, **23.** 5, **31.** 18. — Schneehöhe: **3.** 32 cm, **10.** 20, **24.** 35, **31.** 30. — **Bevers.** Neuschnee: **1.** 7 cm, **2.** 2, **4.** 1, **5.** 2, **7.** 10, **8.** 2, **11.** 2, **18.** 1, **20.** 7, **21.** 3, **22.** 1. — **Sitten.** Dunst: **5.** I, **6.** III, **7.** III, **10.** II, **12.** I, II, III, **13.** I, II, **14.** **15.** **16.** je I, II, III, **17.** III, **21.** I, **24.** **25.** **27.** je II, **28.** III, **29.** II, III, **30.** I, II, III. — Neblig: **7.** 10–13^h. — Neuschnee: **10.** 2 cm, **31.** 1. — **Lugano.** Nordföhn: **30.** 21¼^h bis **31.** nachts. — **Basel.** Dunst: **4.** u. **6.** I, II, **10.** **12.** **13.** **14.** je II, **16.** I, **17.** u. **18.** II, **21.** I, **23.** III, **28.** II. — Abendrot: **1.** — Neuschnee: **31.** 2 cm. — **Säntis.** Föhnmauer: **5.** **7.** **17.** je I. — Neuschnee: **1.** 45 cm, **2.** nicht meßbar, **3.** 5, **8.** 8, **11.** 8, **20.** 25, **21.** 18, **31.** 50. — Schneehöhe: **3.** 150 cm, **10.** 130, **17.** 110, **24.** 120, **31.** 140. — Schneegrenze: **3.** 700 m, **10.** 1000, **17.** 1200, **24.** 1200, **31.** Bodensee. — **St. Gotthard.** Neblig: **20.** 10–18^h. — Neuschnee: **1.** 25 cm, **2.** verweht, **4.** 25, **5.** 10, **7.** 10, **8.** 10, **17.** 5, **18.** 10, **20.** 10, **22.** 15, **31.** verweht. — Schneehöhe: **3.** 35 cm, **10.** 30, **17.** 40, **24.** 45, **31.** 55.

Säntis Nebelmeer

(Höhe ü. M. in Hektometern, ( ) = strichweise)

Januar

	7.	9.	10.	11.	12.	17.	18.	19.	20.	21.	22.	25.	26.	28.	29.	30.	31.
7^{30}	7	—	8	9	7	6	8	7	6	6	6	9	7	8	6	(6)	—
10^{30}	6	15	9	9	8	8	8	7	6	6	6	(9)	7	8	7	(6)	(7)
13^{30}	(7)	14	—	8	—	8	8	(7)	(6)	(7)	6	9	—	8	6	—	—
16^{30}	—	14	—	8	—	(8)	8	(7)	(6)	(7)	(5)	11	—	(8)	(6)	—	—
21^{30}	—	?	—	8	6	(7)	7	(7)	(6)	(6)	(5)	8	—	8	—	—	—

Februar

	1.	8.	9.	15.	17.	18.	19
7^{30}	—	—	(6)	—	—	13	7
10^{30}	25	—	(7)	24	—	(13)	-
13^{30}	—	—	—	(18)	—	—	-
16^{30}	—	20	—	—	—	—	-
21^{30}	—	17	—	—	21	—	—

Februar

	21.	23.	26.	27.
7^{30}	7	(6)	—	17
10^{30}	7	—	—	17
13^{30}	—	—	—	17
16^{30}	—	—	—	16
21^{30}	—	—	18	16

März

	3.	4.	7.	8.	12.	13.	22.	28.	30.
7^{30}	—	(12)	—	(9)	—	(10)	7	10	7
10^{30}	(10)	(10)	(20)	(9)	—	(12)	7	13	6
13^{30}	(10)	—	—	—	—	(18)	—	17	18
16^{30}	(13)	—	—	—	(24)	(21)	—	21	—
21^{30}	14	—	—	—	—	—	—	—	—

April

	4.	21.
7^{30}	—	9
10^{30}	—	(10)
13^{30}	—	—
16^{30}	(19)	—
21^{30}	—	—

Mai

	2.	3.	4.	16.	24.	28
7^{30}	10	17	18	(18)	7	(7)
10^{30}	(12)	18	19	(23)	(8)	—
13^{30}	(17)	18	20	—	—	—
16^{30}	(20)	18	21	—	—	—
21^{30}	—	—	20	—	—	—

Juni

	23.	28.	29.
7^{30}	(17)	(12)	(10)
10^{30}	—	—	—
13^{30}	—	—	—
16^{30}	—	—	—
21^{30}	—	—	—

Juli

	25.	28.
7^{30}	(9)	(10)
10^{30}	—	18
13^{30}	—	—
16^{30}	—	—
21^{30}	(7)	—

August

	8.	9.	10.	13.	15.	24.	26.
7^{30}	—	—	—	—	—	(9)	(7)
10^{30}	—	(21)	25	—	—	(11)	—
13^{30}	—	—	—	23	—	—	—
16^{30}	25	—	—	—	—	—	—
21^{30}	—	—	—	—	25	—	—

September

	1.	5.	7.	9.	15.	16.	17.	19.	22.	23.	24.	25.	27.	28.	29.	30.
7^{30}	(9)	(9)	(11)	7	—	—	9	19	(7)	14	7	(7)	(7)	12	23	17
10^{30}	—	(12)	—	(8)	—	—	10	22	(13)	15	9	—	(18)	(18)	—	17
13^{30}	—	—	—	—	—	—	—	20	—	13	—	—	—	—	20	17
16^{30}	—	—	—	—	—	(24)	—	20	—	12	—	—	—	23	23	17
21^{30}	—	—	—	—	(16)	—	—	23	—	8	—	—	—	—	16	17

Oktober

	1.	2.	3.	4.	5.	6.	7.	8.	9.	10.	11.	12.	13.	16.	18.	19.	20.	21.	22.	23.	24.	25.	27.	28.	29
7^{30}	17	(11)	18	7	12	8	8	16	20	13	11	14	18	22	(13)	—	(8)	6	(6)	(6)	6	8	21	17	14
10^{30}	17	(11)	(19)	9	16	8	9	17	20	13	11	14	18	—	—	(9)	9	(6)	—	(6)	(6)	9	15	15	14
13^{30}	17	—	(23)	(9)	20	8	(10)	18	19	(13)	12	15	21	—	—	—	(9)	—	—	—	—	9	17	16	14
16^{30}	17	—	—	—	19	—	—	19	19	(14)	13	16	22	—	—	21	—	—	—	—	—	9	17	16	14
21^{30}	17	—	—	—	(17)	—	12	22	18	14	15	16	—	—	—	—	—	—	—	—	—	9	17	16	12

Oktober

	30.	31.
7^{30}	9	9
10^{30}	9	9
13^{30}	9	9
16^{30}	(8)	9
21^{30}	9	9

November

	1.	2.	3.	4.	5.	6.	10.	12.	14.	16.	17.	18.	19.	20.	21.	22.	23.	24.
7^{30}	8	7	7	16	20	14	(8)	—	—	(20)	—	11	14	14	11	—	18	(16)
10^{30}	9	(7)	9	15	19	14	—	—	—	—	—	12	14	14	11	—	21	—
13^{30}	8	—	(10)	17	18	—	—	—	—	—	—	13	14	13	11	—	22	—
16^{30}	7	—	(17)	17	18	—	—	(19)	—	—	(20)	12	14	13	11	—	22	—
21^{30}	7	—	(15)	19	16	—	—	—	(16)	—	(9)	12	14	12	11	14	22	—

Dezember

	4.	5.	6.	7.
7^{30}	13	10	10	9
10^{30}	13	10	9	9
13^{30}	13	11	9	—
16^{30}	12	11	9	—
21^{30}	12	10	8	—

Dezember

	9.	11.	12.	13.	14.	15.	16.	17.	18.	19.	21.	22.	23.	24.	26.	28.	29.	30.
7^{30}	7	18	14	12	11	11	9	9	7	(6)	6	(6)	20	12	(7)	12	11	10
10^{30}	7	16	14	11	11	11	9	8	7	(6)	7	(7)	19	13	—	10	11	13
13^{30}	8	16	14	12	12	11	9	8	7	—	8	20	(17)	14	—	12	11	18
16^{30}	12	16	14	11	12	11	9	8	7	—	8	—	(17)	14	—	12	11	—
21^{30}	8	15	14	11	12	10	9	8	7	—	(7)	—	—	17	18	13	10	—

Jungfraujoch: Lufttemperaturen

Tag	Januar			Februar			März			April			Mai			Juni		
	7^{30}	13^{30}	21^{30}	7^{30}	13^{30}	21^{30}	7^{30}	13^{30}	21^{30}	7^{30}	13^{30}	21^{30}	7^{30}	13^{30}	20^{30}	7^{30}	13^{30}	20^{30}
1	-22.2	-16.8	-12.0	-8.7	-10.6	-12.0	-7.1	-7.0	-9.0	-7.2	-7.7	-9.0	-7.8	-6.4	-8.0	-1.0	-3.0	-4.0
2	-16.4	-19.2	-23.5	-12.6	-13.3	-18.0	-4.4	-3.8	-4.8	-13.8	-14.7	-16.8	-7.4	-6.4	-6.8	-4.2	-3.2	-6.2
3	-23.8	-23.4	-23.6	-18.4	-19.3	-18.4	-6.1	-4.0	-5.7	-16.6	-10.4	-12.8	-6.6	-5.0	-5.2	-11.8	-9.0	-10.2
4	-25.0	-23.2	-22.0	-19.8	-18.8	-19.0	-8.4	-12.4	-10.2	-7.2	-4.8	-5.2	-6.2	-3.6	-5.0	-11.4	-10.4	-10.0
5	-16.8	-14.4	-14.2	-21.8	-20.2	-19.4	-9.8	-8.2	-11.2	-6.6	-6.0	-4.4	-6.6	-4.2	-6.4	-9.2	-5.0	-3.7
6	-15.2	-16.0	-15.0	-14.4	-10.2	-12.8	-12.6	-15.0	-19.0	-10.0	-10.6	-17.6	-8.8	-8.0	-8.4	-3.0	-1.8	-3.0
7	-13.7	-13.2	-15.6	-13.3	-16.2	-20.0	-18.0	-17.0	-18.6	-20.2	-13.0	-13.4	-10.6	-7.6	-10.2	-6.8	-7.0	-7.6
8	-16.8	-17.6	-19.8	-21.0	-17.8	-16.8	-14.3	-12.4	-13.4	-22.8	-23.0	-22.8	-9.2	-8.2	-10.0	-5.8	-4.2	-3.8
9	-22.8	-20.2	-17.4	-13.2	-10.4	-14.8	-12.8	-11.5	-12.6	-19.2	-17.2	-15.6	-9.8	-12.8	-15.6	-3.0	-2.2	-2.6
10	-14.6	-12.4	-16.6	-18.8	-14.2	-20.6	-11.2	-10.2	-11.8	-9.8	-7.8	-7.7	-19.6	-6.2	-4.6	-5.0	-5.4	-6.2
11	-13.6	-11.6	-13.2	-16.6	-15.6	-16.6	-11.4	-10.2	-10.2	-10.0	-10.8	-12.6	-6.4	-6.5	-5.2	-7.4	-5.4	-4.8
12	-15.8	-13.6	-12.9	-9.8	-9.8	-8.8	-9.9	-8.3	-11.5	-13.0	-11.0	-11.0	-4.0	0.8	1.2	-5.2	-3.6	-2.8
13	-16.2	-17.6	-15.5	-13.4	-17.6	-19.8	-11.6	-12.2	-13.8	-9.8	-10.0	-8.4	0.6	4.0	1.0	-2.6	-2.0	-1.6
14	-11.2	-11.6	-17.2	-12.2	-9.0	-14.0	-14.6	-12.0	-12.9	-8.8	-7.8	-8.7	1.0	4.6	2.4	-1.6	-0.6	-2.8
15	-19.8	-19.6	-20.4	-9.8	-11.8	-13.3	-13.7	-12.0	-13.6	-8.0	-6.2	-6.2	3.4	3.9	-1.2	-6.6	-4.8	-8.5
16	-20.4	-17.6	-13.8	-22.0	-23.6	-22.2	-12.2	-9.5	-12.4	-7.2	-5.4	-6.4	-1.7	-1.8	0.6	-10.8	-11.2	-11.6
17	-13.0	-10.4	-9.8	-20.4	-18.2	-18.5	-11.8	-10.2	-13.0	-6.4	-5.8	-5.8	-2.2	-2.8	0.4	-10.0	-8.2	-10.6
18	-9.8	-9.6	-11.6	-17.0	-14.1	-9.4	-14.6	-11.8	-13.2	-5.3	-3.3	-5.5	-0.8	0.0	-1.0	-12.4	-10.0	-9.6
19	-11.2	-10.4	-11.0	-8.2	-6.6	-8.6	-13.8	-12.8	-13.0	-5.2	-3.8	-6.4	-3.4	-0.6	-2.5	-5.0	-3.4	-3.6
20	-9.2	-8.2	-7.2	-8.0	-7.1	-7.2	-12.6	-12.0	-12.8	-6.6	-5.3	-6.8	-4.6	-2.6	-4.0	-3.6	-1.8	0.2
21	-7.4	-5.8	-5.4	-5.6	-4.8	-7.6	-14.8	-13.2	-14.2	-6.7	-5.2	-6.0	-4.8	-2.8	-4.2	-1.0	0.8	-1.8
22	-5.8	-6.2	-7.6	-8.4	-6.6	-9.0	-16.6	-12.0	-14.3	-6.2	-4.8	-6.8	-5.2	-4.4	-4.6	-2.0	-0.7	-1.2
23	-8.4	-8.8	-11.3	-9.6	-8.6	-10.2	-11.4	-8.8	-9.8	-6.6	-5.8	-6.0	-5.0	-3.0	-4.6	-1.0	0.8	-0.4
24	-15.0	-17.0	-15.2	-11.6	-9.8	-11.6	-8.8	-7.2	-7.8	-5.1	-6.0	-8.0	-1.8	-2.0	-9.0	-0.8	-0.4	-0.2
25	-10.4	-9.0	-10.2	-13.2	-12.0	-14.2	-8.6	-8.9	-9.0	-6.5	-3.4	-3.0	-13.6	-10.2	-12.2	0.6	1.0	0.0
26	-9.2	-12.2	-17.2	-14.8	-14.8	-13.8	-9.2	-8.2	-8.0	-5.8	-4.8	-9.8	-11.3	-11.8	-11.0	-2.2	-2.0	-1.8
27	-14.2	-13.6	-13.2	-15.4	-13.0	-15.2	-9.0	-8.2	-7.5	-8.9	-7.0	-7.7	-6.8	-6.4	-11.2	-2.0	-1.4	-0.4
28	-12.2	-10.2	-9.6	-11.8	-10.2	-9.2	-7.2	-8.3	-9.2	-9.8	-9.4	-10.1	-3.8	-4.4	-4.8	-2.4	-2.4	-2.0
29	-7.4	-7.0	-7.0				-13.5	-11.7	-11.8	-12.0	-11.4	-13.0	-5.4	-3.0	-4.2	-2.8	2.2	-4.6
30	-7.4	-7.2	-10.4				-11.3	-11.0	-12.4	-9.2	-6.6	-6.4	-4.6	-2.6	-2.4	-6.8	-6.6	-7.2
31	-10.8	-7.0	-6.0				-10.0	-7.6	-7.8				-3.2	-1.6	-1.8			
Mittel	-14.1	-13.2	-13.7	-13.9	-13.0	-14.3	-11.3	-10.3	-11.4	-9.7	-8.3	-9.3	-5.7	-3.9	-5.1	-4.9	-3.7	-4.4

Tag	Juli			August			September			Oktober			November			Dezember		
	7^{30}	13^{30}	20^{30}	7^{30}	13^{30}	20^{30}	7^{30}	13^{30}	20^{30}	7^{30}	13^{30}	21^{30}	7^{30}	13^{30}	21^{30}	7^{30}	13^{30}	21^{30}
1	-4.9	-5.0	-4.0	2.6	4.6	3.2	0.0	0.6	1.0	-6.6	-4.2	-5.2	-8.4	-7.2	-6.6	-20.4	-20.2	-21.4
2	-5.4	-3.6	-3.4	3.0	3.4	1.6	-0.1	0.4	-1.4	-5.8	-3.2	-3.0	-5.4	-4.6	-5.0	-20.4	-14.0	-13.6
3	-3.0	-2.0	-2.3	1.6	2.6	1.2	-2.4	-2.0	-3.2	-2.2	-0.6	-2.2	-5.0	-3.8	-4.7	-13.2	-15.6	-14.6
4	-1.8	2.4	2.6	-1.0	-0.4	0.8	-5.0	-4.8	-5.2	-2.4	-1.0	-2.2	-3.8	-3.6	-5.8	-14.6	-13.0	-13.4
5	1.2	0.0	-1.6	1.0	1.5	0.6	-2.8	-0.6	1.2	-1.4	-1.2	-2.0	-5.4	-9.1	-11.5	-11.2	-10.0	-11.0
6	-1.0	0.8	-1.6	-0.2	0.8	-4.8	0.3	0.2	1.0	-3.0	-3.2	-4.8	-13.2	-10.6	-9.8	-10.1	-9.6	-8.4
7	-5.8	-3.0	-5.0	-3.4	-1.4	-3.8	1.8	2.6	1.8	-4.6	-3.4	-4.2	-16.6	-20.2	-19.5	-9.2	-8.9	-10.8
8	-4.8	-6.2	-11.2	-5.0	-0.8	-2.0	-1.4	-1.0	-0.4	-2.0	-1.0	-1.4	-17.8	-18.2	-18.6	-12.6	-13.0	-13.8
9	-11.4	-10.2	-11.6	1.0	0.4	-2.8	-0.6	2.1	0.8	-3.0	-1.6	-2.8	-16.6	-14.2	-10.7	-14.2	-12.0	-12.2
10	-4.8	-5.0	-3.6	-1.6	2.2	4.0	0.0	0.6	0.9	-3.0	-1.8	-3.8	-9.0	-6.8	-6.0	-15.3	-16.4	-16.8
11	-1.4	-4.2	-1.2	3.8	3.0	1.4	-0.4	1.4	1.4	-4.0	-1.4	-3.4	-7.4	-8.6	-8.4	-16.4	-15.0	-14.3
12	-2.4	-2.0	-0.2	-3.0	-3.2	-0.1	0.4	2.8	4.2	-4.2	-2.8	-3.4	-12.4	-13.0	-11.0	-14.4	-14.1	-14.8
13	-1.5	-3.0	-7.8	0.1	0.4	0.4	4.2	4.0	1.6	-6.0	-6.2	-7.2	-12.2	-9.8	-12.2	-13.4	-12.8	-12.0
14	-3.2	-1.6	-0.6	-0.6	1.2	1.8	0.8	1.0	0.6	-9.0	-5.8	-8.2	-16.6	-20.2	-20.2	-9.4	-9.2	-10.4
15	0.0	1.2	1.2	-0.6	0.2	2.0	0.2	0.6	0.6	-9.2	-9.0	-8.4	-20.6	-19.8	-19.0	-9.4	-8.4	-9.4
16	-0.6	0.2	0.4	3.6	5.8	5.8	-1.0	2.0	1.4	-7.4	-5.0	-10.0	-20.0	-18.2	-21.6	-8.8	-8.0	-8.0
17	-0.6	1.6	1.6	4.0	7.4	4.2	1.4	0.6	-0.8	-8.2	-6.0	-6.4	-18.2	-19.2	-20.2	-9.2	-10.0	-11.4
18	1.8	2.0	3.8	4.2	5.8	5.0	-1.0	-0.9	-1.8	-5.8	-5.0	-7.0	-19.6	-16.8	-16.0	-14.0	-13.3	-12.4
19	2.2	2.4	0.0	5.0	6.4	4.5	-2.8	-1.2	-2.0	-7.4	-5.6	-5.8	-14.8	-13.6	-13.4	-5.4	-5.0	-7.6
20	-0.6	0.4	0.2	3.6	4.0	1.6	-5.2	-10.2	-4.8	-4.2	-1.6	-1.4	-11.6	-10.4	-11.0	-13.0	-17.0	-12.0
21	-2.4	-1.4	-3.0	0.4	2.0	0.6	-2.2	-2.8	-3.4	-1.2	-1.0	0.0	-12.2	-11.0	-12.0	-12.0	-14.2	-14.0
22	-3.2	0.8	-2.8	0.0	0.1	-2.0	-2.2	-1.8	-1.2	-0.6	1.6	0.4	-13.2	-12.4	-13.2	-12.0	-12.2	-16.8
23	-2.4	-0.2	-2.8	-4.2	0.0	-2.0	-1.6	0.0	-1.2	-1.0	0.2	-1.8	-14.0	-13.0	-12.8	-13.4	-11.2	-12.0
24	-3.4	-0.8	-1.6	1.0	1.0	-0.2	0.2	0.4	-1.0	-2.6	-2.6	-5.8	-12.4	-10.2	-9.0	-11.2	-9.8	-12.0
25	-2.2	-0.4	-1.0	-1.0	-2.8	-3.0	-2.0	-2.0	-2.8	-6.2	-4.8	-5.0	-16.8	-18.0	-21.2	-15.6	-16.8	-18.6
26	-1.0	1.1	-0.4	-1.4	-0.1	0.6	-7.6	-8.2	-12.4	-8.0	-8.4	-10.0	-22.0	-18.8	-17.6	-11.2	-11.3	-8.3
27	0.0	1.6	-0.3	-2.6	-2.4	-4.0	-11.0	-8.2	-11.0	-8.8	-6.4	-6.8	-16.0	-16.4	-13.8	-8.8	-9.0	-7.4
28	1.2	2.0	1.8	-5.0	-4.8	-7.0	-8.8	-7.8	-6.0	-7.4	-5.2	-7.0	-10.6	-5.4	-7.0	-8.8	-8.1	-6.0
29	1.0	3.8	1.2	-2.6	-3.4	-1.4	-5.0	-4.0	-5.0	-5.8	-6.8	-8.4	-9.5	-12.0	-13.6	-7.4	-7.4	-11.4
30	2.4	4.2	4.0	0.8	1.8	-1.6	-5.2	-4.4	-3.4	-8.0	-6.4	-7.0	-18.6	-16.8	-19.4	-13.3	-12.5	-17.6
31	3.2	5.1	2.0	-5.5	-3.4	-3.0				-9.0	-7.8	-8.0				-25.2	-25.6	-26.0
Mittel	-1.8	-0.6	-1.5	-0.1	1.0	0.1	-2.0	-1.4	-1.7	-5.1	-3.8	-4.9	-13.3	-12.7	-13.0	-12.7	-12.4	-12.9

1943 **Tägliche Maxima und Minima der Lufttemperatur** **Zürich**

(Nach den Aufzeichnungen des Thermographen)

Tag	Januar		Februar		März		April		Mai		Juni		Juli		August		Septemb.		Oktober		Novemb.		Dezember	
	Max	Min	Max	Min	Max	Min	Max	Min	Max	Min	Max	Min	Max	Min	Max	Min	Max	Min	Max	Min	Max	Min	Max	Min
1	3.9	-0.5	11.4	2.0	13.5	-0.8	11.6	7.6	18.7	6.7	18.1	13.3	23.3	9.4	32.1	18.0	23.1	8.7	15.1	8.8	9.5	5.2	4.9	0.5
2	4.3	-0.2	5.0	1.9	15.1	1.2	9.9	2.5	18.5	8.2	20.1	9.6	24.6	10.7	32.9	18.0	24.2	9.7	20.1	8.0	**14.0**	5.8	4.2	1.3
3	0.6	-0.9	6.4	0.9	10.4	1.6	8.4	0.3	12.0	7.4	17.1	8.6	26.9	11.1	34.4	17.8	22.9	13.2	20.3	9.8	12.7	4.7	4.8	0.0
4	0.1	-4.9	6.8	1.7	12.9	0.9	16.3	1.8	9.5	6.2	14.3	8.5	29.2	12.6	24.9	16.8	21.9	13.1	19.4	7.7	6.1	4.1	2.3	0.9
5	-2.7	-6.3	6.5	-0.9	15.6	3.7	20.4	2.1	20.3	7.8	21.8	**6.9**	29.4	13.8	27.0	14.8	23.4	8.9	17.6	9.9	4.9	1.4	1.2	-0.1
6	-0.3	-3.7	6.2	-1.3	9.5	1.5	15.7	5.6	20.7	10.0	24.7	9.8	23.8	14.6	22.0	15.5	25.8	9.2	15.4	8.6	0.7	1.5	0.8	-0.2
7	1.8	-2.6	5.0	0.4	6.3	0.5	5.6	2.3	16.1	8.2	21.1	9.8	19.7	11.5	21.3	14.0	25.5	12.3	16.7	9.3	7.6	2.5	3.6	-0.5
8	7.0	-2.9	4.1	-4.0	10.7	**-2.0**	4.9	**0.1**	16.9	6.3	20.8	8.3	16.5	9.8	24.6	12.6	24.1	13.7	12.8	8.9	6.9	-0.3	6.9	2.2
9	-2.8	-7.1	3.1	**-4.9**	12.7	-1.2	4.1	0.4	9.1	4.5	15.4	12.3	15.2	**8.4**	25.7	16.3	26.4	11.8	15.3	12.4	4.4	-2.5	5.1	3.4
10	-2.6	**-7.6**	6.7	0.5	13.4	0.4	14.5	2.3	16.1	**2.3**	21.8	12.9	17.4	10.2	27.3	13.5	25.3	15.7	18.8	12.5	8.2	-1.8	3.5	0.2
11	-0.6	-5.5	3.2	-0.3	15.9	0.6	10.0	4.2	20.2	8.2	20.2	10.8	21.7	13.1	28.8	14.4	26.7	15.5	15.2	12.1	5.9	**-3.9**	1.6	0.2
12	1.1	-4.0	10.8	-0.2	14.5	1.3	14.6	4.5	24.8	10.2	25.7	11.3	29.0	14.5	21.8	12.6	28.9	16.6	13.3	11.4	0.6	2.6	0.7	-0.5
13	7.9	0.2	7.4	**2.7**	12.4	1.2	18.4	2.8	28.2	10.1	23.4	13.6	20.8	13.5	25.7	**10.4**	**31.4**	17.1	12.8	9.3	10.0	5.4	0.7	-0.2
14	8.2	0.5	10.3	2.3	13.4	1.4	20.3	4.6	**28.7**	11.3	19.2	9.9	24.0	11.3	29.3	17.6	27.1	17.1	13.6	3.8	8.2	0.8	-0.2	-1.3
15	3.8	0.9	8.9	1.0	13.7	0.8	22.2	5.3	28.4	11.7	17.1	9.0	27.3	10.7	24.9	17.2	19.8	15.6	14.8	**2.0**	6.6	-0.8	-0.7	-1.5
16	6.2	-1.3	3.9	0.4	15.8	1.7	22.3	6.5	17.4	10.8	14.8	8.3	28.3	15.7	28.1	12.4	22.5	13.2	16.9	4.3	4.7	0.2	-0.5	-1.6
17	-1.2	-3.4	2.4	-1.3	16.3	1.9	23.7	7.0	22.2	7.8	10.6	7.9	30.2	15.2	31.8	13.3	24.0	13.1	18.6	3.6	6.0	-2.0	1.0	-1.7
18	-1.6	-4.9	4.3	-1.4	15.5	0.9	24.5	8.4	25.0	7.3	18.9	8.2	30.3	15.4	34.9	15.3	22.9	13.6	16.8	8.3	0.6	-2.6	0.4	-1.3
19	-0.5	-5.1	8.3	-3.2	15.2	4.5	25.0	10.0	26.0	10.5	17.2	8.6	29.3	16.4	**35.9**	15.7	18.4	13.5	16.9	8.3	0.4	-0.9	**10.2**	-1.3
20	1.9	-5.4	11.0	-2.2	15.8	2.1	12.8	8.3	27.3	10.0	**28.6**	9.2	29.6	15.5	35.8	19.5	16.5	10.5	17.9	8.8	1.4	-0.6	8.7	-0.8
21	4.8	-4.3	7.5	-0.5	7.0	1.4	18.6	6.8	25.7	11.7	27.8	13.7	23.3	14.4	35.5	17.7	17.0	10.4	20.9	7.9	1.9	0.7	2.0	-1.6
22	7.2	-1.4	12.3	-1.6	10.3	-0.5	25.3	12.1	26.5	12.8	22.9	14.4	25.2	13.3	23.8	14.3	13.3	8.9	**21.5**	9.6	4.1	1.6	4.0	-1.0
23	**12.1**	2.9	**15.3**	-1.2	16.2	3.0	**26.8**	9.2	18.6	11.4	26.4	14.5	21.6	12.8	23.5	13.2	14.4	8.4	21.2	7.6	4.2	2.2	5.2	-1.0
24	5.6	0.6	13.7	-0.6	**19.1**	4.2	13.6	8.5	20.9	9.6	26.1	14.3	25.9	14.6	24.9	11.7	22.1	11.8	18.7	7.2	7.1	2.0	0.6	-2.7
25	3.1	-2.7	13.7	-0.6	14.6	8.6	20.6	5.5	11.0	8.1	27.4	13.4	25.7	13.6	20.6	13.6	20.9	12.4	10.9	7.6	7.1	0.4	2.3	**-3.4**
26	1.8	-3.1	8.1	1.0	14.8	6.4	19.5	9.6	16.2	8.3	25.5	14.0	26.4	13.5	26.8	11.4	12.4	5.1	17.6	7.7	3.5	0.0	3.3	-2.9
27	5.7	0.6	5.3	0.7	17.0	7.6	18.0	6.6	20.2	7.8	23.7	12.7	27.3	15.3	20.0	13.9	12.7	4.8	11.2	7.0	4.3	0.4	3.2	-0.9
28	0.8	-1.5	10.9	-2.0	13.8	4.6	17.4	5.4	24.1	10.5	24.2	11.2	28.5	14.4	21.7	12.5	14.3	**4.4**	11.5	8.8	9.5	0.0	5.5	-0.8
29	3.3	-2.8			6.5	1.7	12.4	6.3	25.0	11.4	23.8	10.6	30.3	15.0	23.0	12.2	9.3	7.1	12.3	4.8	10.5	2.5	2.4	-0.1
30	9.1	-2.1			13.6	1.2	19.2	4.6	27.3	11.8	21.5	11.0	31.1	15.7	26.3	11.8	14.3	6.9	8.3	3.6	5.1	1.8	0.8	-0.7
31	9.0	1.3			15.0	8.2			26.9	15.2			**32.5**	16.1	19.9	10.8			12.0	5.1			1.3	-1.7
Mittl. Max	3.13		7.80		13.44		16.55		20.92		21.34		25.62		26.94		21.05		15.95		6.39		2.90	
Mittl. Min.	-2.49		-0.38		2.21		5.37		9.17		10.89		13.29		14.48		11.41		7.89		1.01		-0.62	
Differenz	5.62		8.18		11.23		11.18		11.75		10.45		12.33		12.46		9.64		8.06		5.38		3.52	
Abs. Max	12.1		15.3		19.1		26.8		28.7		28.6		32.5		35.9		31.4		21.5		14.0		10.2	
Abs. Min.	-7.6		-4.9		-2.0		0.1		2.3		6.9		8.4		10.4		4.4		2.0		-3.9		-3.4	
Differenz	19.7		20.2		21.1		26.7		26.4		21.7		24.1		25.5		27.0		19.5		17.9		13.6	

Stündliche Monatsmittel der Lufttemperatur

	Januar	Februar	März	April	Mai	Juni	Juli	August	Septemb.	Oktober	Novemb.	Dezemb.	Jahr
1^{30}	-0.93	1.39	4.61	7.81	11.22	12.49	15.04	16.72	12.93	9.43	2.74	0.62	7.84
2^{30}	-0.99	1.06	4.21	7.39	10.83	12.03	14.67	16.26	12.73	9.25	2.63	0.55	7.55
3^{30}	-1.09	1.00	3.88	7.10	10.38	11.68	14.28	15.82	12.51	9.08	2.47	0.40	7.29
4^{30}	-1.18	0.90	3.53	6.70	10.06	11.53	13.90	15.58	12.30	8.96	2.42	0.31	7.08
5^{30}	-1.14	0.81	3.27	6.48	10.04	11.70	13.76	15.33	12.17	8.95	2.28	0.32	6.98
6^{30}	-1.15	0.79	2.98	6.62	10.58	12.21	14.31	15.40	12.22	8.88	2.31	0.33	7.12
7^{30}	-1.21	0.76	3.17	7.55	11.76	13.25	15.77	16.45	12.88	9.09	2.36	0.52	7.70
8^{30}	-1.09	0.90	4.22	9.11	13.06	14.26	17.04	17.77	13.61	9.69	2.58	0.49	8.47
9^{30}	-0.77	1.94	5.87	10.97	15.14	15.69	19.05	19.75	14.73	10.84	3.15	0.63	10.00
10^{30}	-0.07	3.16	7.99	12.63	16.72	17.34	20.71	21.65	16.28	12.07	3.66	1.12	11.11
11^{30}	0.59	4.52	9.62	13.80	17.83	18.49	22.13	23.24	17.43	13.32	4.41	1.48	12.24
12^{30}	1.68	5.55	11.25	14.78	18.53	19.04	22.92	24.33	18.73	14.38	4.81	2.00	13.17
13^{30}	2.09	6.26	12.00	15.09	19.31	19.43	23.66	24.97	19.64	15.35	5.01	2.12	13.74
14^{30}	2.18	6.86	12.47	15.25	19.68	19.44	24.42	25.99	19.93	15.34	5.33	2.15	14.09
15^{30}	2.06	6.63	12.13	15.21	19.59	19.46	24.13	25.59	19.46	15.07	4.95	1.97	13.85
16^{30}	1.76	6.05	11.77	14.87	19.33	19.17	23.78	25.21	18.95	14.45	4.49	1.65	13.45
17^{30}	0.96	5.26	11.00	14.73	18.50	18.62	23.13	24.65	18.22	12.79	3.73	1.41	12.75
18^{30}	0.66	4.14	9.24	13.28	17.17	17.29	21.60	23.13	16.60	11.67	3.58	1.30	11.64
19^{30}	0.36	3.54	8.40	11.71	15.62	16.20	20.03	20.94	15.28	11.09	3.45	1.14	10.65
20^{30}	0.22	2.90	7.71	10.93	14.33	14.88	18.53	19.66	14.68	10.81	3.21	0.96	9.90
21^{30}	-0.05	2.54	6.96	10.11	13.62	14.30	17.60	18.59	14.34	10.29	3.17	1.00	9.37
22^{30}	-0.20	2.06	6.51	9.64	12.99	13.76	16.74	17.97	13.96	9.97	2.97	0.93	8.94
23^{30}	-0.29	1.74	5.89	9.02	12.31	13.25	16.21	17.39	13.58	9.66	2.77	0.91	8.54
0^{30}	-0.69	1.48	5.45	8.41	11.86	12.65	15.75	16.93	13.26	9.43	2.65	0.69	8.16
Mittel	0.07	3.01	7.26	10.80	14.60	15.34	18.72	19.97	15.27	11.24	3.38	1.04	10.06

1943 **Tägliche Maxima und Minima der Lufttemperatur** Säntis

(Nach den Aufzeichnungen des Thermographen)

Tag	Januar		Februar		März		April		Mai		Juni		Juli		August		Septemb.		Oktober		November		Dezember	
	Max.	Min.	Max.	Min.	Max.	Min.	Max.	Min.	Max.	Min.	Max.	Min.	Max.	Min.	Max.	Min.	Max.	Min.	Max.	Min.	Max.	Min.	Max.	Min.
1	-6.6	-13.3	-0.1	-8.6	-1.4	-5.2	-1.6	-5.4	3.2	-2.6	7.8	-0.4	5.1	-1.0	15.6	9.4	6.8	-0.4	5.5	1.4	4.1	1.0	11.3	-12.9
2	-6.6	-15.6	-6.0	-10.9	1.0	-5.0	-6.6	-11.2	1.4	-1.8	4.3	-2.0	6.2	1.1	16.0	10.6	8.3	4.2	6.2	2.	4.3	1.2	-8.2	-13.0
3	-13.5	-15.2	-9.5	-11.4	1.2	-1.8	-6.2	-11.4	4.1	0.5	-1.8	-4.6	9.4	2.4	15.9	9.8	7.1	2.6	5.8	1.3	3.8	1.0	-6.1	-9.4
4	-14.6	-17.0	-10.0	-12.7	0.7	-1.3	-1.6	-7.6	5.8	0.8	-2.5	-4.4	9.5	2.3	9.9	5.0	4.0	0.0	7.0	1.7	1.9	-0.2	-5.4	-7.0
5	-9.1	-18.0	-11.2	-13.8	-0.7	-4.6	0.0	-3.8	2.8	-1.0	2.5	-4.2	8.1	4.9	11.2	5.0	8.4	0.7	6.1	2.0	-0.1	-7.9	-2.0	-5.3
6	-9.1	-10.4	-5.6	-12.7	-4.5	-12.9	-2.0	-11.1	2.7	-3.2	9.2	0.2	7.9	1.4	7.5	0.0	8.3	3.7	6.8	2.7	-5.3	-9.0	-0.2	-3.0
7	-7.2	-9.7	-6.7	-13.1	-7.8	-14.0	-7.8	-12.8	-2.1	-4.9	2.3	-1.8	2.6	-0.7	3.2	-0.2	11.4	5.1	6.0	2.8	-7.6	-11.8	-0.9	-4.7
8	-8.6	-15.6	-10.2	-14.7	-2.8	-7.5	-11.6	-15.0	1.3	-5.5	5.0	-1.1	1.3	-4.1	5.6	1.1	7.5	4.9	6.6	2.3	-9.8	-12.5	-4.8	-7.0
9	-12.3	-17.2	-3.8	-10.7	-2.6	-5.8	-9.5	-13.8	-3.2	-9.0	3.2	0.7	-2.4	-4.6	4.6	3.0	11.8	4.5	8.3	3.9	-8.8	-12.7	-5.8	-8.0
10	-7.5	-12.5	-10.0	-12.3	-2.1	-4.7	-3.1	-9.4	0.0	-10.4	0.8	-1.2	1.8	-2.6	8.4	2.3	10.4	7.0	7.6	4.6	-3.0	-7.7	-7.5	-9.5
11	-4.8	-9.4	-8.7	-12.6	-0.8	-3.4	-4.0	-7.0	0.6	-2.9	1.6	-1.0	5.0	0.6	11.0	4.6	8.9	6.4	7.0	3.9	-0.7	-7.7	-7.6	-10.8
12	-6.6	-8.7	-2.4	-10.0	-3.0	-5.0	-3.2	-7.1	5.8	-0.2	6.1	1.0	9.1	4.0	4.8	2.9	12.4	6.7	7.2	3.7	-6.7	-9.9	-5.6	-8.3
13	-7.3	-10.6	-5.8	-12.4	-2.6	-6.4	-0.9	-5.8	9.6	5.1	5.8	3.4	6.9	-1.2	6.4	2.2	14.6	9.9	4.0	-3.2	-4.9	-6.8	-3.5	-7.0
14	-5.4	-10.0	-5.5	-12.6	-2.5	-6.5	0.5	-4.5	9.7	5.8	8.6	-0.6	7.3	-1.7	9.5	3.5	12.2	6.9	-2.2	-5.0	-6.2	-13.0	-1.8	-3.8
15	-9.9	-12.2	-3.8	-9.4	-2.8	-6.7	2.3	-3.2	10.0	4.4	-0.9	-4.1	12.0	4.1	7.9	4.4	7.4	4.3	-3.1	-5.5	-10.0	-14.2	1.2	-2.1
16	-9.6	-12.7	-10.2	-14.6	-4.6	-6.7	3.1	-1.3	6.0	-1.3	-2.7	-4.5	10.4	6.8	13.3	4.5	8.1	3.4	-0.2	-4.1	-11.7	-13.8	-0.5	-2.0
17	-5.5	-9.5	-12.4	-14.0	-1.9	-5.5	3.8	-1.3	4.0	0.5	-2.6	-4.6	11.0	7.0	15.6	10.0	12.6	7.0	4.2	-1.7	-11.2	-14.6	-0.8	-5.6
18	-2.7	-5.8	-6.4	-13.1	-4.0	-6.2	4.8	-0.4	7.6	3.0	-0.8	-4.3	11.2	7.6	15.7	10.0	9.4	4.2	4.5	0.6	-8.3	-12.6	-5.1	-6.8
19	-3.4	-6.2	-0.9	-8.3	-1.4	-6.4	6.2	-0.5	7.6	3.0	2.0	-3.3	13.8	5.6	17.7	12.3	8.3	2.7	3.7	-0.3	-5.8	-8.2	0.7	-4.9
20	-1.8	-6.0	-0.6	-3.0	-3.0	-7.0	-0.7	-2.2	8.3	2.4	10.4	2.0	13.2	7.0	17.0	12.0	2.6	-3.2	5.8	1.0	-2.1	-5.6	-3.7	-12.2
21	1.4	-2.5	0.0	-2.8	-4.0	-9.0	3.6	-1.8	5.2	2.3	10.9	2.1	7.4	2.3	15.5	10.3	3.7	-2.1	9.2	2.7	-2.6	-4.7	-4.4	-7.2
22	1.3	-0.2	2.4	-0.6	-3.9	-8.6	4.7	1.4	5.0	0.8	8.6	1.9	7.1	3.0	11.2	3.5	5.1	2.3	8.6	2.7	-3.9	-7.8	-5.3	-9.9
23	-0.5	-5.0	2.0	-0.3	-2.6	-7.7	6.1	1.3	2.4	0.4	11.2	4.9	5.8	3.2	4.2	1.1	8.6	4.3	8.3	3.0	-4.8	-8.8	-6.7	-12.7
24	-6.0	-11.8	1.0	-1.7	0.4	-3.7	2.5	-6.1	7.8	-3.8	7.9	4.3	6.2	3.4	11.6	3.4	9.3	4.4	6.9	3.0	-4.0	-9.2	-6.4	-9.0
25	-3.6	-9.5	0.0	-5.1	1.1	-1.6	3.4	-5.9	-3.8	-5.2	10.2	4.4	10.3	4.4	7.6	3.2	6.6	1.3	5.8	3.7	-5.2	-13.0	-8.9	-15.0
26	-5.2	-10.1	-5.4	-7.5	0.8	-2.5	2.6	-4.3	-2.8	-4.7	6.3	2.2	12.5	5.4	11.3	3.1	0.3	-6.6	3.0	-0.5	-11.6	-14.0	-7.0	-13.7
27	-7.6	-11.0	-4.3	-7.5	-2.2	-3.4	-0.4	-5.5	0.6	-3.8	5.3	1.5	10.2	6.4	4.3	0.7	-3.6	-6.3	2.5	-0.8	-9.2	-11.6	-4.6	-7.6
28	-3.7	-9.6	-2.8	-7.2	1.3	-5.4	-2.3	-5.9	4.6	-0.2	7.6	0.2	9.2	6.2	2.9	-0.4	-0.2	-6.7	4.6	0.6	-0.6	-9.0	-1.7	-5.7
29	0.0	-3.6			-5.7	-9.0	-4.0	-6.6	6.7	0.7	7.8	0.8	10.6	8.1	4.0	-0.1	1.6	-1.8	3.3	0.5	-2.0	-9.0	-1.9	-4.7
30	1.7	-6.5			-3.8	-9.8	0.0	-7.8	6.7	2.4	2.6	-1.2	12.9	8.4	11.0	3.9	3.8	-0.3	3.2	1.0	-9.6	-11.9	-4.8	-13.8
31	0.3	-7.8			-3.2	-5.7			6.3	3.4			15.6	9.5	4.0	-0.5			3.4	0.4			-13.6	-18.0
ittl. Max	-5.61		-4.89		-2.17		-0.73		3.99		4.56		8.32		9.82		7.19		5.02		-4.75		-4.65	
ittl. Min.	-10.10		-9.41		-6.10		-5.87		-0.81		-0.46		3.20		4.53		2.30		0.98		-8.80		-8.41	
ifferenz	4.49		4.52		3.93		5.14		4.80		5.02		5.12		5.29		4.89		4.04		4.05		3.76	
bs. Max.	1.7		2.4		1.3		6.2		10.0		11.2		15.6		17.7		14.6		9.2		4.3		1.2	
bs. Min.	-18.0		-14.7		-14.0		-15.0		-10.4		-4.6		-4.6		-0.5		-6.6		-5.5		-14.6		-18.0	
ifferenz	19.7		17.1		15.3		21.2		20.4		15.8		20.2		18.2		21.2		14.7		18.9		19.2	

Stündliche Monatsmittel der Lufttemperatur

	Januar	Februar	März	April	Mai	Juni	Juli	August	Sept.	Okt.	Nov.	Dez.	Jahr
1^{30}	-8.30	-7.54	-4.91	-4.16	0.45	0.83	4.23	6.06	3.78	2.00	-6.87	-6.61	-1.75
2^{30}	-8.36	-7.64	-4.93	-4.24	0.49	0.71	4.24	5.87	3.71	1.91	-6.95	-6.73	-1.83
3^{30}	-8.48	-7.66	-4.99	-4.37	0.40	0.63	4.20	5.71	3.76	1.84	-7.02	-6.66	-1.89
4^{30}	-8.52	-7.59	-5.02	-4.45	0.29	0.61	4.16	5.67	3.70	1.73	-7.09	-6.76	-1.94
5^{30}	-8.54	-7.72	-4.90	-4.49	0.60	1.04	4.40	5.72	3.58	1.69	-7.28	-6.75	-1.89
6^{30}	-8.57	-7.77	-5.07	-4.12	0.93	1.45	4.82	6.09	3.72	1.63	-7.42	-6.80	-1.76
7^{30}	-8.57	-7.67	-4.52	-3.80	1.30	1.76	5.33	6.53	3.96	1.86	-7.53	-6.82	-1.51
8^{30}	-8.35	-7.32	-3.79	-3.59	1.66	1.95	5.93	7.06	4.28	2.61	-7.31	-6.64	-1.13
9^{30}	-7.88	-6.74	-3.42	-3.21	2.08	2.38	6.32	7.60	4.73	3.37	-6.91	-6.23	-0.66
10^{30}	-7.38	-6.32	-3.16	-2.95	2.63	2.87	6.64	8.17	5.22	4.01	-6.39	-5.93	-0.22
11^{30}	-7.17	-6.31	-3.09	-2.67	2.78	3.13	6.86	8.35	5.59	4.23	-6.14	-5.73	-0.01
12^{30}	-7.10	-6.15	-3.02	-2.34	2.91	3.48	7.15	8.54	6.14	4.50	-6.06	-5.67	0.20
13^{30}	-7.05	-5.99	-2.83	-1.93	3.17	3.71	7.55	8.87	6.48	4.72	-6.03	-5.79	0.41
14^{30}	-7.16	-6.20	-2.94	-1.63	3.13	3.48	7.43	8.94	6.30	4.52	-6.18	-5.95	0.31
15^{30}	-7.40	-6.36	-3.06	-2.00	3.17	3.13	7.17	8.90	6.05	4.28	-6.43	-6.05	0.12
16^{30}	-7.63	-6.68	-3.36	-2.03	2.59	2.81	6.97	8.72	5.87	3.99	-6.85	-6.31	-0.16
17^{30}	-7.83	-6.92	-3.77	-2.56	2.38	2.45	6.75	8.60	5.36	3.41	-7.09	-6.47	-0.47
18^{30}	-7.97	-7.03	-4.31	-2.74	1.93	2.17	6.38	8.04	4.87	2.91	-7.03	-6.48	-0.77
19^{30}	-7.91	-7.12	-4.53	-3.10	1.60	1.71	5.88	7.44	4.41	2.58	-7.25	-6.66	-1.08
20^{30}	-7.93	-7.26	-4.76	-3.34	1.21	1.38	5.28	6.76	4.14	2.40	-7.29	-6.67	-1.34
21^{30}	-7.90	-7.30	-4.89	-3.51	1.00	1.12	4.83	6.29	4.00	2.26	-7.30	-6.65	-1.50
22^{30}	-7.85	-7.39	-4.95	-3.63	0.93	0.95	4.72	6.10	3.88	2.16	-7.24	-6.70	-1.59
23^{30}	-7.85	-7.48	-4.93	-3.86	0.81	0.80	4.61	5.92	3.88	2.11	-7.29	-6.78	-1.65
0^{30}	-7.90	-7.46	-4.89	-3.98	0.72	0.64	4.57	5.80	3.91	2.08	-7.27	-6.76	-1.71
Mittel	-7.90	-7.07	-4.17	-3.28	1.63	1.88	5.69	7.16	4.64	2.87	-6.93	-6.44	-0.99

Temperatur-Minima 1943 (Ablesungen an den Minimumthermometern)

Tag	Januar Bern	Neuchâtel	Genf	Basel	Altdorf	Bevers	Lugano	Februar Bern	Neuchâtel	Genf	Basel	Altdorf	Bevers	Lugano	März Bern	Neuchâtel	Genf	Basel	Altdorf	Bevers	Lugano
1	-3.7	-1.4	**-6.0**	-0.3	-2.1	-17.0	-4.8	-0.1	1.0	6.7	3.8	4.2	-4.2	3.6	-1.3	-1.0	-2.0	-1.3	-0.3	-12.0	1.0
2	-0.8	0.8	0.5	1.7	0.4	-11.0	-2.6	0.3	0.7	4.0	1.7	2.3	-4.7	4.2	0.1	2.3	0.0	-0.6	0.8	-7.6	7.2
3	-1.4	-1.3	0.0	0.3	-0.1	-10.3	1.2	1.2	1.8	3.0	2.5	2.9	-11.0	3.4	0.6	1.6	0.0	0.7	1.1	-6.2	5.4
4	-2.0	-2.0	-2.0	-1.4	-1.1	-9.3	-2.6	0.3	1.1	1.0	1.7	1.0	-17.0	-0.6	1.2	2.8	5.0	3.0	3.2	-4.0	6.8
5	-4.1	-3.3	-1.0	**-6.6**	-1.6	-18.4	-3.0	-1.6	-0.7	0.2	-0.6	-1.4	-17.2	-1.4	4.2	3.0	0.8	5.2	5.7	-8.7	2.2
6	-3.0	-2.3	1.3	-2.9	-1.2	-14.0	-1.6	-3.4	-2.5	-2.0	-2.2	-4.0	-20.8	-2.2	1.7	3.0	2.8	2.8	3.1	-5.6	0.0
7	-1.4	-1.0	-0.1	-3.0	-3.2	-17.4	-3.4	-0.9	-0.2	0.4	0.7	-1.1	**-21.2**	-0.6	-0.9	0.6	1.9	-1.5	**-0.9**	-13.5	-0.6
8	-1.3	0.7	2.8	-2.3	-1.1	-13.0	0.0	-4.5	-1.0	-1.2	-1.3	-0.1	-15.2	0.6	**-3.5**	**-2.7**	**-2.3**	**-3.2**	0.2	**-14.5**	**-1.0**
9	-5.3	-5.1	-1.2	-5.2	-7.8	-20.0	-2.0	**-7.7**	**-3.3**	**-4.3**	-3.2	**-4.3**	-20.5	1.0	-2.1	-1.3	-1.8	-2.2	0.8	-11.8	0.6
10	-6.1	**-5.2**	-2.2	-6.5	**-10.2**	**-25.3**	-3.8	-1.5	-0.2	1.4	0.2	-1.3	-14.0	-0.2	-0.1	1.6	3.3	**-2.1**	0.0	-8.5	3.8
11	-3.5	-2.0	-1.3	-4.1	-6.1	-17.4	-5.0	-2.2	0.0	0.0	-0.2	-0.8	-19.5	**-3.4**	-0.8	0.7	0.0	-1.4	0.3	-8.6	1.8
12	-1.1	-0.4	-0.4	-0.9	-4.1	-17.5	-2.2	-2.3	-0.7	-1.8	1.1	-0.7	-20.0	-2.4	-0.1	1.1	0.8	-0.3	0.4	-8.2	1.2
13	0.2	0.2	2.6	2.2	1.7	-12.3	-3.8	2.3	2.4	3.0	3.3	2.5	-6.0	0.0	0.4	2.2	0.8	1.7	0.4	-9.7	1.4
14	0.2	1.1	3.0	2.3	1.3	-10.8	-1.8	0.7	1.4	-0.6	3.0	1.2	-9.0	3.6	0.6	2.1	4.0	-1.2	1.0	-9.0	2.0
15	1.2	1.4	1.8	1.6	3.0	-13.2	-2.0	-0.8	-1.0	1.2	2.6	-0.2	-12.0	0.0	0.6	1.0	4.6	0.6	0.6	-11.4	0.8
16	-2.9	0.5	-0.6	0.3	-1.3	-16.2	-2.0	0.0	-0.9	0.0	0.8	1.0	-7.0	4.6	0.5	1.2	0.6	0.5	0.4	-9.1	0.8
17	-6.8	-4.1	-2.7	-2.5	-3.9	-20.4	-3.6	-0.4	-0.7	0.0	0.3	0.3	-12.2	1.8	0.3	2.3	1.5	-0.7	1.5	-9.0	3.4
18	**-9.1**	-4.7	-2.9	-4.4	-3.7	-21.6	**-5.4**	-1.5	-0.2	0.0	-2.8	-1.1	-20.1	-2.0	0.4	0.8	1.3	-0.8	1.5	-9.5	3.2
19	-7.2	-3.1	-2.4	-4.4	-4.3	-17.0	-5.2	-4.8	-2.6	-3.3	**-4.1**	-2.5	-18.7	-2.0	3.5	5.0	7.2	4.7	4.3	-6.5	2.2
20	-7.4	-3.2	-3.0	-3.3	-4.2	-14.5	-4.6	-3.6	-2.4	-3.5	-2.6	-2.7	-13.5	-1.4	1.0	1.9	1.1	3.2	2.2	-9.2	4.2
21	-6.0	-2.4	-3.0	-2.3	-2.9	-13.5	-2.8	-3.1	-0.5	-2.0	-0.9	-1.7	-17.6	0.6	2.2	2.1	4.3	4.4	2.6	-4.6	5.2
22	-2.9	-1.5	-2.8	0.8	-1.2	-11.0	1.0	-2.6	-1.8	-2.3	-2.5	-2.9	-12.2	0.0	1.0	2.3	5.0	0.7	2.7	-5.0	3.8
23	1.3	0.8	2.0	3.4	1.7	-8.5	2.8	-1.3	-1.4	-2.0	0.3	-1.2	-11.0	0.8	1.3	2.8	2.0	5.8	3.3	-6.5	2.0
24	-0.4	1.7	3.9	1.1	0.8	-10.0	1.8	-0.8	-1.0	-2.0	-0.3	-1.1	-12.0	0.6	2.1	3.2	2.6	4.5	9.3	-6.8	3.2
25	-3.9	-1.7	-0.8	-2.8	-2.0	-19.2	-1.4	-0.4	-0.9	-1.6	-0.4	-0.8	-12.4	1.2	6.7	7.1	7.2	8.3	11.8	-1.2	6.8
26	-5.3	-2.9	-2.6	-1.4	-2.7	-16.8	-1.8	0.6	0.6	-0.9	-0.3	-0.3	-12.5	0.2	5.6	6.1	7.1	7.4	10.7	-1.5	6.0
27	-2.3	-2.6	-2.5	-0.3	-0.3	-16.2	0.2	1.3	0.7	2.0	1.8	2.7	-12.8	0.4	7.7	7.8	8.6	8.8	7.7	-1.8	5.4
28	-3.7	-2.0	-2.4	-0.2	-1.7	-14.0	-2.4	-0.3	-0.4	0.0	-2.9	-0.8	-12.2	0.6	4.1	5.3	5.3	3.0	5.2	-4.4	7.2
29	-4.9	-2.0	-4.5	-1.7	-1.7	-14.2	-3.4								1.0	3.7	5.5	4.7	5.5	-1.0	7.0
30	-2.6	-2.2	0.0	0.4	-1.7	-12.2	2.4								-0.8	-1.3	0.0	-1.0	3.1	-3.0	6.0
31	-0.4	1.5	0.6	0.3	0.9	-4.1	1.6								3.6	6.3	4.2	7.6	4.3	-6.2	5.2
Mittel	-3.1	-1.5	-0.9	-1.4	-2.0	-14.7	-1.9	-1.3	-0.5	-0.2	0.0	-0.4	-13.8	0.4	1.3	2.4	2.6	2.0	3.0	-7.3	3.4

Tag	April Bern	Neuchâtel	Genf	Basel	Altdorf	Bevers	Lugano	Mai Bern	Neuchâtel	Genf	Basel	Altdorf	Bevers	Lugano	Juni Bern	Neuchâtel	Genf	Basel	Altdorf	Bevers	Lugano
1	8.5	7.5	8.8	10.7	8.0	2.5	9.0	6.0	7.2	9.0	5.5	7.4	0.2	9.8	13.6	12.7	14.2	13.1	14.7	3.0	16.6
2	2.8	3.8	6.9	3.9	3.3	-4.2	11.0	7.6	8.6	9.5	7.9	9.6	2.2	9.2	10.2	11.4	11.7	9.7	13.4	5.0	13.2
3	-0.6	**-0.1**	1.2	**-0.4**	1.3	-6.1	4.6	7.3	7.9	8.0	9.0	9.5	2.0	9.0	7.4	7.7	9.8	9.5	10.6	1.6	12.0
4	0.7	2.5	4.6	2.3	1.9	-5.5	6.8	5.4	6.6	8.8	6.3	8.8	1.7	10.2	7.4	7.9	8.5	9.0	9.6	2.1	11.2
5	2.2	2.7	2.9	2.0	2.8	-6.2	5.4	7.0	7.1	7.1	7.1	8.1	1.2	8.2	**5.5**	7.1	**6.3**	**7.4**	**7.8**	**-2.5**	11.4
6	4.3	6.2	8.0	6.4	5.9	-5.6	4.6	7.3	8.7	9.0	9.9	9.3	1.0	9.2	8.7	8.3	9.3	10.0	10.1	0.0	11.2
7	2.0	3.1	4.8	3.3	4.3	-5.3	4.8	6.6	7.7	8.8	6.9	9.0	2.0	7.8	10.0	10.0	11.7	10.3	11.3	5.0	14.4
8	-0.1	0.7	0.9	0.5	0.8	**-12.2**	6.0	7.6	7.3	8.2	4.2	8.3	-1.8	**5.8**	7.9	8.5	9.2	8.6	9.1	-1.2	13.4
9	-0.3	0.2	**-0.9**	0.8	0.5	-7.5	5.4	3.5	4.3	5.5	5.7	6.2	-3.5	8.0	12.1	12.6	14.0	12.5	13.3	4.2	14.4
10	**-0.8**	0.0	-0.4	1.8	1.2	-10.1	**3.2**	**1.4**	**1.9**	**1.3**	**1.8**	**4.5**	-4.2	6.6	12.1	13.1	15.3	12.9	12.3	5.7	16.2
11	2.6	4.0	3.0	5.9	2.3	-6.4	4.0	5.7	7.5	8.8	8.2	6.3	**-5.6**	6.6	10.1	10.1	11.3	9.3	12.3	5.1	13.6
12	3.7	4.0	4.0	5.1	4.8	-0.4	7.6	9.0	9.6	9.6	10.4	10.3	0.0	7.6	11.0	11.1	11.8	10.6	11.6	5.2	14.2
13	1.7	4.9	3.1	3.4	2.5	-0.5	6.4	9.7	9.9	10.1	8.0	10.3	-1.4	11.0	15.0	16.4	14.5	14.8	15.3	7.8	15.0
14	3.6	4.4	6.0	5.0	4.3	-3.2	8.6	11.5	11.3	11.8	11.3	11.2	-0.8	14.2	9.8	10.3	11.7	10.4	13.1	6.4	16.2
15	4.5	5.0	5.9	5.3	6.8	-4.5	6.6	11.0	12.3	12.6	9.5	12.8	-1.5	14.4	8.7	8.1	9.2	7.7	10.7	3.4	15.4
16	5.2	6.3	6.4	5.9	5.8	-4.4	6.2	9.0	13.9	15.0	11.5	12.3	2.6	12.2	7.3	7.3	9.6	8.3	9.7	1.2	1[illegible].4
17	6.3	6.8	6.9	6.8	7.3	-4.0	6.6	6.7	9.4	9.8	4.6	11.1	-0.6	14.2	6.2	**7.0**	**8.4**	9.5	8.6	-1.2	**9.6**
18	6.5	7.2	6.9	7.5	8.8	-3.5	7.2	7.3	9.4	9.3	4.0	9.3	-1.0	10.2	6.2	7.7	**6.3**	8.2	8.4	1.5	10.8
19	8.2	7.9	9.3	8.9	8.7	-2.2	7.2	9.2	11.0	10.4	6.7	10.8	0.0	10.8	7.9	9.6	9.3	9.3	8.4	-1.5	10.2
20	7.8	10.1	10.9	10.0	10.8	1.5	10.0	9.2	10.3	11.5	8.2	11.7	0.7	13.0	9.3	10.3	10.9	11.4	9.3	2.1	12.0
21	6.3	7.5	9.0	3.8	8.8	1.0	11.8	11.4	11.3	13.0	10.6	12.9	0.3	14.0	13.9	14.5	15.7	14.7	13.9	5.0	14.4
22	9.5	8.9	9.5	10.5	13.4	3.7	10.0	10.3	10.4	11.8	11.5	13.8	0.6	14.8	13.5	13.7	14.5	14.0	15.6	5.9	15.2
23	8.6	9.0	9.1	9.6	16.4	1.6	10.2	12.0	12.1	13.5	12.7	13.5	5.0	13.2	13.5	14.4	15.5	12.2	15.3	7.2	15.6
24	5.8	7.6	9.9	9.3	9.7	4.0	12.2	8.0	8.9	10.0	9.4	10.8	1.5	17.2	14.1	14.6	14.8	12.2	16.3	5.0	17.0
25	3.3	3.7	4.0	4.5	6.3	-2.6	7.6	7.4	7.9	9.2	8.9	8.8	0.5	9.4	13.0	13.3	14.4	11.0	14.5	3.5	16.2
26	8.2	9.0	9.8	8.8	7.9	-1.2	10.8	7.0	7.6	8.2	9.2	8.3	0.0	12.2	13.1	12.7	14.3	11.1	17.3	5.0	17.8
27	6.4	6.3	5.6	6.1	10.9	-0.2	13.0	5.0	5.9	6.0	7.3	8.5	0.0	14.4	11.8	13.8	14.3	9.4	16.2	2.0	18.0
28	4.4	6.2	6.0	3.5	8.3	-2.3	12.8	8.3	9.0	9.4	8.3	10.3	2.4	14.6	11.3	12.7	12.7	8.7	13.3	1.5	17.4
29	4.7	7.5	9.0	6.7	5.0	1.0	11.4	10.4	11.0	10.9	9.4	12.8	5.9	14.8	10.7	12.1	13.6	9.7	14.8	1.0	15.2
30	2.4	3.0	3.1	4.7	3.7	-5.6	6.0	13.2	11.2	12.3	10.6	12.8	2.3	13.0	11.0	11.9	12.3	11.0	11.5	7.5	14.0
31								14.4	14.7	13.6	13.3	15.7	5.3	16.8							
Mittel	4.3	5.2	5.8	5.4	6.1	-3.0	7.9	8.2	9.1	9.7	8.3	10.2	0.6	11.4	10.4	11.0	11.8	10.6	12.3	3.2	14.1

Temperatur-Minima 1943

Tag	Juli Bern	Juli Neuchâtel	Juli Genf	Juli Basel	Juli Altdorf	Juli Bevers	Juli Lugano	August Bern	August Neuchâtel	August Genf	August Basel	August Altdorf	August Bevers	August Lugano	September Bern	September Neuchâtel	September Genf	September Basel	September Altdorf	September Bevers	September Lugano
1	8.6	11.4	11.2	**7.7**	**9.6**	4.0	**10.0**	17.0	16.1	17.1	19.0	16.8	6.7	18.6	8.1	10.5	10.1	7.5	0.5	-0.6	11.8
2	9.9	11.8	11.1	8.3	12.8	3.8	13.6	17.2	16.7	17.6	17.8	17.8	7.0	18.2	9.9	10.1	10.3	8.0	10.7	0.0	13.2
3	10.8	12.0	13.7	8.3	12.0	5.8	13.2	15.6	17.4	17.8	17.5	23.8	6.7	18.2	13.0	14.2	14.0	13.2	13.7	4.5	15.0
4	13.4	12.6	13.3	10.5	13.0	2.0	14.2	16.2	15.3	17.5	17.3	17.8	11.2	20.4	12.5	11.8	13.8	12.0	12.8	4.7	14.2
5	12.5	13.3	13.8	11.4	14.3	3.5	16.0	14.1	14.2	14.4	14.9	15.7	6.2	15.6	8.0	10.2	9.0	9.5	9.3	-1.0	10.0
6	14.6	16.0	15.0	15.9	16.4	5.5	17.2	14.7	14.4	15.4	15.4	15.7	7.6	17.6	9.3	9.3	9.9	9.7	10.6	-1.6	11.6
7	11.8	12.0	14.3	12.7	14.7	4.6	13.8	13.5	14.1	13.5	14.2	13.6	1.7	16.8	10.9	12.2	12.0	13.3	11.8	-1.2	13.8
8	8.1	9.4	9.5	10.8	10.6	2.6	12.4	12.9	11.7	11.9	11.2	12.3	3.5	15.6	14.5	15.1	15.2	12.8	13.7	6.0	14.0
9	**7.7**	**7.7**	**8.0**	8.4	9.8	0.7	11.0	13.5	16.1	13.8	17.1	14.3	2.1	14.2	11.7	12.1	14.1	8.8	12.6	0.5	14.2
10	9.7	10.3	11.9	10.6	9.9	0.1	10.4	14.0	13.2	14.0	14.5	16.3	6.4	18.8	16.3	16.4	16.8	16.0	13.3	8.4	17.8
11	12.1	13.8	15.8	12.7	12.9	-0.2	12.6	12.4	13.0	13.3	13.7	14.8	3.7	16.4	15.3	15.6	16.0	17.0	15.3	2.5	16.0
12	13.1	12.3	13.3	13.5	13.6	**-1.2**	15.2	15.1	15.5	16.1	14.6	15.0	7.5	15.6	15.4	15.9	16.5	16.1	15.9	2.5	17.2
13	12.7	14.1	16.0	12.7	15.1	6.1	17.6	11.0	10.3	12.3	9.5	12.3	2.9	18.2	16.1	16.2	16.7	17.4	20.4	6.5	16.0
14	9.9	9.9	9.6	8.4	12.8	0.7	13.8	15.7	16.0	13.5	18.4	15.3	4.2	16.2	16.3	16.2	16.9	16.5	18.9	11.2	14.0
15	10.3	10.1	12.0	8.1	12.3	0.0	14.6	17.5	18.6	18.0	15.4	15.2	7.8	17.6	14.3	13.6	15.2	15.8	16.5	10.2	14.0
16	14.0	13.8	14.8	14.1	14.9	5.8	15.2	12.5	13.1	14.7	**8.8**	14.5	4.6	17.6	13.3	12.8	14.1	14.0	14.7	9.4	16.6
17	14.7	15.2	15.6	13.7	15.5	3.8	16.6	13.4	13.3	14.5	9.5	14.0	4.5	19.0	11.4	12.7	12.5	10.5	13.3	5.0	16.0
18	15.8	15.7	16.4	11.9	16.3	3.6	17.2	15.4	15.4	16.3	14.2	15.9	7.8	19.6	14.0	14.9	15.9	14.3	15.7	5.8	16.6
19	16.5	17.9	17.5	16.2	17.8	5.2	17.2	16.1	15.4	16.9	17.0	17.8	8.7	20.0	13.2	13.0	14.2	14.0	15.2	3.0	13.0
20	14.9	14.3	15.7	16.7	16.3	7.8	16.6	18.5	18.3	17.7	19.8	18.8	7.2	19.6	10.5	10.1	11.3	10.9	11.7	0.9	15.6
21	13.8	14.2	14.3	15.6	15.3	8.6	16.6	17.3	17.6	16.7	18.7	25.3	6.9	19.0	9.5	10.0	9.2	10.8	10.5	-0.6	11.2
22	14.3	13.8	15.9	12.1	14.3	3.5	13.2	14.1	13.7	16.0	14.4	15.6	7.0	19.6	10.2	10.7	12.3	8.3	12.4	6.2	12.8
23	14.4	14.4	14.7	13.0	14.9	7.9	15.2	12.9	**10.2**	11.7	11.5	15.2	7.9	15.6	7.8	9.4	11.2	7.9	11.8	2.5	13.6
24	13.8	13.5	13.7	14.4	15.7	7.6	12.4	11.6	11.0	**11.4**	9.8	12.7	4.0	15.0	11.4	11.6	13.5	11.1	11.2	4.0	12.2
25	13.3	13.9	14.3	12.5	15.6	7.4	13.4	14.0	12.4	13.2	11.2	14.2	5.0	16.6	11.6	11.6	13.2	12.8	12.6	5.0	14.6
26	14.1	14.0	10.2	11.7	13.1	2.4	14.6	**10.9**	11.3	11.9	12.1	11.6	6.9	13.0	6.8	7.0	8.0	6.8	**5.3**	1.2	12.4
27	13.9	15.5	15.3	16.3	14.3	9.5	16.0	14.8	14.3	14.9	14.6	14.8	7.4	15.0	4.3	**3.5**	5.2	3.3	6.3	**-2.0**	9.2
28	14.7	14.1	15.0	13.8	14.3	6.7	15.6	13.8	13.8	13.1	12.7	13.0	3.3	13.2	**3.3**	3.6	**4.3**	**2.1**	8.0	-0.2	**8.2**
29	14.3	15.3	16.0	14.0	15.3	4.2	17.0	11.6	14.2	11.9	12.7	**11.3**	**1.5**	**10.0**	6.4	7.2	5.2	5.4	8.9	0.5	10.2
30	14.6	15.6	15.6	14.0	15.6	6.2	17.4	11.1	11.0	11.8	12.6	12.4	3.1	12.6	6.7	6.3	7.9	6.1	9.5	3.0	9.2
31	15.3	15.6	17.2	15.3	16.8	3.0	18.2	12.5	14.1	15.9	13.2	13.9	6.5	13.8							
Mittel	12.8	13.3	14.9	12.4	14.1	4.2	14.8	14.2	14.3	14.7	14.3	15.4	5.7	16.7	11.1	11.5	12.2	11.1	12.4	3.2	13.5

Tag	Oktober Bern	Oktober Neuchâtel	Oktober Genf	Oktober Basel	Oktober Altdorf	Oktober Bevers	Oktober Lugano	November Bern	November Neuchâtel	November Genf	November Basel	November Altdorf	November Bevers	November Lugano	Dezember Bern	Dezember Neuchâtel	Dezember Genf	Dezember Basel	Dezember Altdorf	Dezember Bevers	Dezember Lugano
1	10.0	10.4	11.0	9.1	9.9	-0.7	11.0	2.3	5.0	6.9	3.2	9.2	-3.2	10.2	0.7	0.9	1.2	2.2	1.2	-8.0	2.6
2	8.0	7.5	6.2	6.2	8.8	0.0	11.2	5.8	6.0	8.5	6.1	9.3	2.0	10.4	-0.9	0.1	-0.7	0.2	0.1	-19.6	-0.2
3	9.0	10.5	8.1	9.8	9.3	-2.0	9.4	3.1	5.8	6.4	4.6	5.7	-1.2	9.8	-0.1	-0.1	0.0	2.3	1.2	-10.8	0.6
4	7.3	7.9	8.3	7.7	8.7	-1.5	10.0	4.3	5.4	7.7	4.1	7.4	-1.5	8.8	-0.1	-0.2	0.3	1.1	1.7	-5.4	-0.2
5	9.0	11.1	8.1	9.6	8.5	-1.5	10.0	1.0	2.6	5.4	0.9	5.2	-2.0	6.6	0.1	0.1	1.7	1.0	1.3	-7.6	2.2
6	9.0	8.5	8.0	7.3	8.0	0.4	10.6	0.8	0.4	4.5	**-5.2**	3.7	-7.0	4.6	-0.5	-0.7	1.6	0.3	2.5	-9.1	2.2
7	8.0	8.8	9.5	9.7	9.2	-1.0	11.2	1.2	1.0	2.5	3.3	2.7	-6.0	3.0	-0.2	-0.4	1.4	-0.6	2.3	-2.5	5.8
8	9.9	10.2	10.3	11.0	9.9	-1.1	11.2	0.0	0.2	2.1	-0.7	3.3	-4.2	8.2	1.4	1.4	2.2	0.5	3.3	-9.0	5.6
9	10.9	12.2	12.6	10.3	12.1	3.6	12.0	-2.9	-1.9	-2.0	-0.7	0.9	-8.3	5.2	1.9	2.0	0.0	1.1	0.2	-14.0	1.4
10	8.2	11.3	12.2	10.2	10.3	4.3	14.2	-3.7	-0.8	1.5	-0.6	**-4.2**	-11.6	0.2	0.3	1.1	1.1	-0.5	2.3	-9.2	4.8
11	10.3	9.6	13.0	9.2	10.4	3.0	14.0	**-4.3**	**-3.1**	**-2.2**	-2.5	-2.7	-11.5	1.5	-0.4	0.2	1.6	-0.6	-0.1	-16.4	0.8
12	10.5	11.6	13.0	11.6	12.6	2.7	14.6	2.3	2.9	1.8	3.0	0.5	-5.6	2.4	-0.5	-0.3	1.3	0.1	-0.8	-16.5	3.2
13	10.2	11.1	12.0	9.3	9.7	2.1	11.0	4.5	4.1	4.2	5.8	3.7	-5.1	0.0	-0.6	-0.7	1.0	0.5	0.6	-13.4	1.6
14	7.1	8.9	8.5	5.3	10.4	-1.3	9.2	0.6	0.4	2.0	1.7	0.9	-8.0	5.0	-1.4	-1.5	0.2	-0.7	0.3	-15.0	-0.6
15	3.4	**4.4**	9.9	2.8	7.3	**-6.2**	8.8	-1.6	0.2	1.6	-0.8	-0.7	-11.2	-0.8	-1.8	-2.0	0.0	-1.4	0.4	-15.0	-1.4
16	4.2	5.4	8.8	3.8	**4.7**	-1.0	8.2	-1.5	-1.3	0.3	-1.5	-1.8	-13.3	-0.8	-2.3	-1.7	-0.4	-4.3	0.1	-12.2	2.0
17	3.1	4.9	6.1	7.2	9.3	-1.8	9.0	-1.6	-0.7	**-2.2**	-2.0	-1.7	-10.2	**-2.4**	-1.7	-1.8	0.2	-2.1	1.3	-18.5	3.6
18	9.0	9.6	11.1	10.6	10.6	2.5	10.4	-4.2	-2.4	-2.0	-3.1	-3.4	-13.8	0.0	-1.4	0.5	1.0	-0.2	1.2	-7.2	2.0
19	7.8	8.3	10.6	9.7	9.1	2.5	10.6	-1.0	-0.7	1.0	-2.0	1.5	-7.5	2.2	-1.2	0.4	1.0	-0.2	2.6	-9.0	2.6
20	6.0	8.1	7.7	8.7	8.3	2.0	11.0	-1.2	-1.0	0.8	-0.5	1.6	-13.0	3.2	-0.4	-0.2	2.0	0.1	1.7	-12.0	3.2
21	7.2	7.8	8.6	10.9	8.3	-1.6	8.0	0.1	0.8	1.7	0.4	0.9	-9.8	4.6	-2.2	-1.0	-0.4	-2.5	0.6	-16.5	1.0
22	7.1	8.6	11.2	10.1	8.3	0.1	11.2	1.1	1.9	0.0	1.8	2.5	-11.0	4.2	-1.5	0.1	0.9	1.4	2.8	-6.0	3.0
23	6.1	7.3	8.1	10.0	8.7	-1.4	10.2	2.2	2.5	1.4	2.2	2.4	-11.4	1.2	-1.6	-2.1	**-3.3**	-1.8	-0.8	-13.4	0.2
24	6.5	8.0	8.9	8.4	6.0	-3.9	8.0	1.3	0.5	1.9	-1.4	-1.3	-14.5	-0.8	-3.6	-3.0	-1.0	-4.5	-2.8	-19.5	-0.6
25	5.7	7.2	8.8	8.6	10.6	-2.3	9.2	0.4	1.2	2.1	2.5	2.6	-5.0	3.2	-3.6	**-3.2**	-0.2	-4.3	-2.8	-22.9	-2.0
26	9.0	10.0	9.4	6.0	7.4	1.4	9.4	-2.3	-0.7	-1.3	-0.2	0.0	-15.0	2.0	**-5.7**	-2.0	-3.0	**-4.7**	-3.2	-22.5	**-3.0**
27	5.2	7.5	6.8	2.5	6.3	-2.1	**7.2**	-0.9	-0.5	**-2.2**	-0.1	0.2	**-15.8**	-1.4	-4.7	-0.1	-1.9	-1.5	-3.6	-17.0	-2.4
28	7.9	8.8	8.2	8.6	9.3	-0.5	9.6	-1.4	-0.9	-1.3	-0.6	-0.3	-14.5	-1.6	-3.4	1.4	-2.2	0.2	-2.8	-12.0	-1.8
29	5.1	7.0	8.0	6.2	5.5	-4.8	8.0	3.6	5.4	5.3	3.0	4.1	-7.2	-0.8	-1.0	0.4	1.2	-1.2	**-3.7**	**-26.0**	-2.0
30	**2.3**	4.5	**5.8**	4.1	5.9	-2.8	9.6	0.5	0.3	3.0	2.8	2.3	-7.5	-0.4	-3.7	-2.8	-0.6	-1.3	-1.4	-16.0	-2.4
31	2.5	5.4	6.0	**2.3**	6.3	-3.0	10.0								-2.3	-1.2	-0.4	-1.9	-0.8	-15.0	0.0
Mittel	7.3	8.5	9.2	8.0	8.7	-0.5	10.3	0.3	1.1	2.1	0.8	1.8	-8.5	2.9	-1.1	-0.5	0.1	-0.8	0.2	-13.5	1.1

Temperatur-Maxima 1943 (Ablesungen an den Maximumthermometern)

Tag	Januar Bern	Neuchâtel	Genf	Basel	Altdorf	Bevers	Lugano	Februar Bern	Neuchâtel	Genf	Basel	Altdorf	Bevers	Lugano	März Bern	Neuchâtel	Genf	Basel	Altdorf	Bevers	Lugano
1	0.9	2.3	1.8	5.0	5.8	-5.3	3.0	9.2	10.3	**13.0**	13.1	**13.3**	5.0	6.2	12.1	12.7	11.6	14.6	11.5	6.2	18.4
2	3.5	3.8	6.2	6.1	5.6	-4.2	7.4	4.1	4.4	7.8	7.0	5.2	0.5	8.0	13.4	15.4	14.2	15.7	12.3	8.6	**23.6**
3	0.7	2.7	2.5	2.5	2.3	-6.3	8.6	5.4	5.0	7.2	7.1	5.9	0.5	15.4	12.7	15.5	14.6	11.7	11.9	9.0	21.2
4	-0.3	0.0	2.0	0.8	2.0	-6.1	8.4	6.2	6.0	7.3	5.9	6.7	-2.0	11.4	9.2	9.1	8.8	13.2	13.3	6.2	9.8
5	-1.5	-1.5	3.6	-1.3	0.2	-6.0	7.0	4.4	6.6	5.6	8.5	3.4	-4.0	13.6	13.2	11.8	11.5	16.8	14.5	6.6	12.8
6	1.1	0.9	8.0	-0.9	1.5	-1.0	7.4	5.9	6.5	9.0	9.4	2.8	-2.5	9.0	9.9	12.4	12.3	10.0	8.5	3.5	12.4
7	2.0	2.3	4.6	1.0	1.5	-3.0	4.4	4.1	4.1	5.4	6.9	2.0	-1.3	5.4	4.2	6.4	6.0	6.8	8.0	0.0	10.4
8	3.6	3.7	6.7	4.5	3.4	-3.0	5.2	2.0	3.7	4.4	3.1	3.4	-2.3	12.0	9.3	9.7	9.2	11.1	11.2	-3.3	13.0
9	0.7	-2.6	3.7	-2.3	-0.4	-2.0	10.2	1.1	2.0	7.0	2.8	6.5	-2.5	4.8	10.6	13.6	12.8	11.4	12.1	5.6	14.4
10	-2.8	-1.7	1.6	-2.9	-2.0	-9.6	3.4	4.7	6.2	7.0	7.9	4.8	-3.5	2.4	11.4	13.9	12.5	11.2	12.5	6.0	17.4
11	1.4	1.4	2.4	0.0	5.0	-5.0	0.4	3.1	3.7	6.3	3.7	3.0	-2.4	8.0	13.7	14.4	13.3	15.2	10.6	5.5	14.8
12	1.3	0.5	6.3	2.2	6.1	-5.0	0.4	8.4	8.9	10.7	11.6	7.6	3.0	10.2	12.0	15.4	13.2	13.9	10.6	9.0	16.2
13	6.0	5.9	8.6	8.7	8.3	-1.2	7.4	6.8	6.9	8.6	8.6	6.7	2.8	17.4	10.5	13.3	11.1	12.7	10.0	3.5	14.2
14	7.3	7.3	10.5	11.1	10.0	-2.9	1.0	6.0	7.0	9.7	8.1	5.4	**6.5**	**18.4**	6.1	5.9	7.8	13.6	12.2	4.0	17.6
15	4.0	4.2	6.8	5.7	5.2	-1.2	9.2	7.0	8.5	9.0	10.5	6.5	3.9	13.2	10.9	10.4	9.7	15.3	12.5	5.2	15.4
16	3.7	5.4	4.7	8.4	4.4	-1.0	12.0	3.0	4.3	4.6	4.7	2.9	-1.0	8.2	12.9	15.0	12.8	15.6	15.0	7.0	15.4
17	-0.9	-0.8	1.2	1.1	0.7	-8.5	7.2	2.4	3.3	3.8	4.4	4.0	-1.3	7.8	13.1	15.0	13.1	17.6	15.2	6.0	16.0
18	-0.2	-1.1	0.0	0.9	0.0	-6.2	7.2	2.8	4.8	3.8	6.2	2.8	-1.0	11.4	13.0	13.5	15.8	16.2	11.6	4.0	15.2
19	1.2	0.0	-0.4	2.0	-0.5	-5.0	7.0	4.9	7.0	5.0	9.3	3.0	0.0	14.2	11.4	10.9	14.3	13.4	12.2	5.5	16.8
20	1.7	-0.5	-1.0	4.2	0.5	-8.4	7.8	9.1	11.0	7.4	9.9	4.5	5.6	15.0	13.6	13.9	13.8	14.0	14.3	7.1	13.4
21	4.5	-0.2	-0.4	6.1	4.3	0.0	8.4	7.5	9.5	8.2	10.5	3.6	5.1	17.2	12.2	11.1	13.2	10.9	8.5	4.2	10.8
22	6.1	2.6	3.0	9.3	6.2	0.0	9.6	11.3	10.2	8.0	15.4	6.4	5.0	12.4	10.0	9.9	10.6	13.3	14.2	2.7	15.0
23	**8.0**	**8.2**	**12.5**	**12.1**	9.7	2.1	6.0	**12.4**	**12.3**	9.3	**17.9**	8.6	5.6	15.2	12.9	13.0	16.8	**17.8**	14.2	5.0	15.2
24	5.4	6.9	8.0	7.4	5.8	0.8	**13.2**	11.3	11.4	9.2	14.7	9.0	4.6	16.2	13.8	13.5	14.8	16.8	15.4	5.0	14.2
25	1.1	2.9	4.4	5.4	2.4	-7.0	9.8	11.5	11.5	9.9	14.6	10.0	4.0	17.2	12.0	11.3	11.1	13.1	**17.6**	6.2	8.6
26	1.1	2.2	1.8	3.1	2.0	1.0	3.6	10.7	11.7	11.1	5.0	9.0	3.0	16.2	12.2	11.6	11.7	16.9	15.9	6.2	8.0
27	5.9	3.3	2.2	5.5	5.7	-0.9	6.4	4.5	5.6	0.3	7.4	7.2	3.0	14.4	**15.4**	**15.6**	**17.4**	16.2	12.5	7.5	13.4
28	4.4	0.8	0.1	5.8	3.6	-2.0	0.8	10.2	10.4	9.7	11.4	8.5	3.8	16.0	11.8	12.3	14.6	12.9	12.5	8.0	11.4
29	3.1	2.2	3.2	5.6	2.9	1.6	6.2								6.6	9.2	9.1	10.9	7.9	3.8	16.2
30	6.1	6.1	10.2	9.0	11.1	2.3	6.8								12.0	13.0	11.7	16.1	16.0	6.2	17.8
31	6.0	6.4	11.5	10.7	**13.3**	**2.5**	8.2								12.7	13.7	14.8	13.6	14.0	**10.1**	19.4
Mittel	2.8	2.4	4.4	4.4	4.1	-2.9	6.6	6.4	7.2	7.7	8.8	5.8	1.4	12.0	11.4	12.3	12.4	13.9	12.5	5.5	14.8

Tag	April Bern	Neuchâtel	Genf	Basel	Altdorf	Bevers	Lugano	Mai Bern	Neuchâtel	Genf	Basel	Altdorf	Bevers	Lugano	Juni Bern	Neuchâtel	Genf	Basel	Altdorf	Bevers	Lugano
1	12.2	11.2	16.0	13.3	13.5	9.5	**26.4**	14.9	13.9	16.0	15.9	19.3	11.0	19.0	19.3	20.7	22.9	21.7	20.0	16.3	19.2
2	9.1	11.0	11.6	11.0	7.6	4.0	18.6	13.3	14.9	13.6	16.6	15.4	10.0	11.4	18.2	20.2	19.6	21.1	18.0	16.1	21.4
3	10.9	12.7	13.4	11.5	7.7	4.8	23.2	10.6	10.9	12.4	12.4	13.4	10.6	11.4	14.3	15.9	16.8	18.0	19.4	15.1	24.8
4	14.6	15.7	15.0	15.6	14.8	9.5	20.4	10.3	12.6	13.9	9.0	10.0	13.8	13.4	11.7	12.7	15.8	17.8	13.7	8.5	24.6
5	19.2	18.8	21.0	23.1	22.3	11.0	20.2	18.6	18.8	19.8	20.2	20.4	12.2	13.8	19.8	18.9	19.8	24.1	23.9	18.5	25.6
6	13.6	13.8	16.1	15.1	14.5	10.1	19.0	15.9	16.4	14.9	21.2	20.3	9.5	11.4	21.1	20.6	24.0	26.5	21.9	17.1	25.4
7	6.3	6.1	10.4	8.2	7.7	2.1	20.0	14.2	15.0	16.0	13.2	13.5	10.2	15.0	18.4	21.1	19.9	21.2	17.9	19.1	25.8
8	4.0	6.2	6.9	6.6	4.0	-1.2	13.0	14.4	13.8	16.1	16.5	16.4	12.5	20.8	19.9	22.7	24.9	21.7	20.7	17.3	22.8
9	4.8	3.8	5.6	4.4	5.4	-1.5	18.0	10.8	10.0	12.9	12.2	9.9	8.5	13.0	16.8	19.8	25.0	17.3	16.5	17.2	23.2
10	12.9	13.1	12.5	15.4	14.0	11.5	21.0	13.8	14.2	15.5	18.9	21.4	11.6	19.8	20.8	22.0	22.0	22.1	18.0	16.5	26.4
11	11.3	12.0	13.3	13.4	8.0	7.5	20.0	18.7	17.7	20.3	21.6	18.0	12.1	20.2	19.7	21.0	22.2	23.1	16.5	16.0	28.6
12	14.0	16.3	15.7	16.1	12.7	5.5	19.6	22.3	22.6	22.2	24.3	26.4	22.0	24.6	23.7	25.0	25.6	26.7	23.4	16.5	30.8
13	16.5	17.7	14.9	19.3	18.0	10.8	19.4	25.7	25.5	23.5	28.7	**30.6**	**25.0**	24.8	22.2	25.0	23.8	24.9	21.6	19.5	29.8
14	19.3	19.7	15.9	22.1	21.3	13.5	20.6	**26.2**	27.3	26.4	**29.7**	29.5	24.2	26.4	17.3	16.7	20.6	17.4	21.0	16.0	23.0
15	20.5	20.7	16.9	22.8	22.8	15.5	23.2	25.3	**27.8**	25.3	27.6	27.5	20.6	24.6	17.3	18.6	23.0	19.4	14.7	13.5	24.0
16	19.6	21.1	18.9	24.2	24.0	13.0	22.2	18.7	22.2	25.5	19.7	20.0	21.1	**31.4**	13.7	16.1	15.8	16.2	15.0	11.2	23.4
17	21.2	21.1	20.3	24.7	24.0	15.4	24.2	19.4	21.9	19.8	23.4	24.5	20.8	23.6	9.7	11.3	12.8	12.7	11.5	10.5	21.8
18	22.2	21.7	19.9	25.9	26.0	18.0	24.4	22.2	24.4	21.4	25.1	28.5	23.8	24.2	16.6	18.7	17.7	21.1	20.0	13.5	23.2
19	22.2	22.2	**23.7**	24.0	23.8	13.5	22.6	23.3	26.2	23.1	25.9	26.4	21.7	27.0	20.8	21.3	21.0	24.5	19.5	14.7	24.8
20	13.5	13.8	17.4	17.1	13.5	13.5	22.4	25.1	26.0	24.7	28.3	27.1	22.5	25.4	25.7	25.6	**27.8**	**29.6**	**30.7**	22.4	28.0
21	14.3	12.7	12.4	18.3	19.4	9.0	14.8	23.7	23.9	22.5	27.9	26.2	16.0	24.8	21.7	24.0	23.8	24.5	24.0	21.5	29.2
22	22.5	21.5	22.9	23.8	26.2	12.2	13.2	22.2	20.0	25.6	28.7	23.5	14.0	23.8	19.3	22.7	21.0	23.2	20.7	21.1	28.6
23	**23.2**	**22.3**	22.4	**26.7**	**26.4**	14.1	18.2	19.6	21.1	23.2	21.1	19.3	20.0	29.0	23.5	25.9	24.0	27.5	23.4	22.0	29.6
24	12.9	14.4	16.0	16.7	15.3	11.0	17.4	16.0	16.8	17.0	21.8	17.6	14.0	20.2	24.7	26.8	25.0	27.5	25.6	24.0	31.2
25	20.3	18.6	16.1	23.5	24.7	**21.0**	22.0	9.8	10.4	14.2	11.8	13.6	9.5	23.8	**26.4**	**27.3**	25.7	26.9	27.6	**27.2**	30.6
26	16.3	17.2	20.6	16.9	18.7	14.0	23.4	15.7	16.4	16.3	19.3	13.7	9.0	22.0	23.1	26.3	24.5	23.3	22.7	23.2	**33.8**
27	18.0	18.1	16.9	17.8	19.4	13.1	22.2	18.6	19.0	19.8	21.5	19.0	12.5	27.0	20.4	24.3	22.0	23.2	24.0	23.7	27.2
28	17.0	17.9	19.6	16.9	15.2	14.4	21.4	21.7	23.0	21.9	24.3	21.5	19.6	26.8	20.8	25.9	23.8	22.7	23.4	24.0	28.8
29	12.5	13.9	15.0	16.3	11.1	8.1	20.4	24.4	24.5	22.5	26.5	24.0	21.5	26.0	20.1	25.5	23.8	22.2	24.4	22.0	29.0
30	17.1	17.3	17.0	20.2	22.2	16.6	20.2	26.0	27.7	23.2	27.8	27.5	24.2	28.8	19.0	23.6	22.3	22.2	20.0	12.4	21.2
31								25.1	25.7	**27.1**	25.8	24.9	16.5	27.4							
Mittel	15.4	15.8	16.1	17.7	16.3	10.7	19.8	18.9	19.7	19.9	21.5	21.0	16.2	22.0	19.6	21.5	21.9	22.3	20.7	17.9	25.2

Temperatur-Maxima 1943

Tag	Juli Bern	Juli Neuchâtel	Juli Genf	Juli Basel	Juli Altdorf	Juli Bevers	Juli Lugano	August Bern	August Neuchâtel	August Genf	August Basel	August Altdorf	August Bevers	August Lugano	September Bern	September Neuchâtel	September Genf	September Basel	September Altdorf	September Bevers	September Lugano
1	21.2	25.1	22.3	23.9	22.0	18.2	26.4	29.6	30.8	31.3	34.2	30.5	23.0	31.0	21.0	24.8	21.6	23.7	24.0	20.7	28.2
2	22.5	26.4	23.0	24.4	24.4	17.0	26.6	29.8	31.8	30.5	36.2	32.0	26.6	32.4	22.0	25.7	25.4	24.6	21.8	18.0	26.2
3	24.3	26.8	24.5	27.8	24.1	21.0	26.4	30.0	31.7	29.6	34.5	33.5	25.0	31.6	20.1	22.7	23.6	22.5	21.0	17.5	27.4
4	27.0	29.1	28.8	28.3	28.2	24.9	29.2	23.5	26.6	27.0	27.0	25.5	21.5	29.0	18.0	21.0	21.5	21.5	20.5	12.5	28.0
5	27.4	29.0	30.0	29.2	26.0	23.7	29.2	24.7	24.9	26.8	26.7	27.6	21.1	30.2	21.4	22.4	21.2	23.9	23.4	17.7	27.6
6	22.5	22.4	25.7	25.9	22.5	18.5	23.6	20.2	23.8	22.8	23.4	20.0	19.0	30.2	22.2	23.5	24.0	25.9	21.7	19.6	28.0
7	19.8	20.0	21.6	21.4	18.6	23.6	28.2	19.3	21.4	22.1	24.0	19.3	17.3	29.4	24.2	25.0	23.4	26.4	23.6	19.7	**28.6**
8	16.7	15.3	17.9	14.9	17.0	14.1	25.2	23.2	25.8	26.0	24.8	27.0	21.6	30.2	23.1	24.8	**26.8**	25.2	22.5	16.8	26.2
9	15.6	16.3	18.7	17.3	13.5	12.0	25.2	23.2	25.5	25.9	23.7	23.5	20.6	31.0	22.7	23.0	22.1	28.2	23.4	18.5	26.6
10	18.0	18.7	23.0	18.8	19.7	19.1	26.0	25.6	27.2	24.9	26.4	28.0	25.3	32.8	24.4	26.5	23.7	27.0	22.5	13.5	22.6
11	21.8	22.2	24.9	21.9	17.7	18.7	29.0	27.8	29.3	29.6	29.0	31.0	21.5	30.8	25.1	27.0	23.9	29.0	27.0	17.2	27.0
12	27.4	27.5	29.9	29.9	31.4	21.7	30.0	19.6	24.9	22.9	24.8	23.5	21.0	30.4	24.9	25.0	23.2	29.4	25.0	19.3	27.0
13	19.6	21.7	23.4	21.6	19.8	18.1	28.4	24.4	26.4	26.2	25.5	25.9	22.8	28.2	**25.6**	**27.7**	22.5	**32.2**	**30.3**	**22.0**	28.2
14	21.0	24.0	22.3	25.1	25.7	**26.7**	28.8	28.0	29.2	29.4	29.0	26.1	23.2	30.2	22.0	23.6	21.0	21.0	28.7	19.5	26.6
15	26.1	26.0	28.2	28.6	30.5	21.6	28.2	25.0	26.0	27.0	23.4	22.6	20.7	32.2	17.4	19.2	20.3	20.6	18.5	15.5	21.6
16	25.7	26.6	27.2	30.4	26.5	20.8	30.0	26.3	29.9	26.8	29.7	30.8	25.5	30.2	20.1	22.0	21.0	24.4	19.6	19.5	28.4
17	28.2	29.6	27.5	29.8	26.8	24.3	31.4	30.3	31.2	27.4	33.8	32.6	25.3	31.6	22.3	23.3	22.1	26.2	23.5	18.7	27.4
18	27.4	29.0	26.9	29.3	29.9	24.0	**31.6**	32.7	33.9	31.6	37.5	**35.5**	**28.8**	33.4	18.0	18.6	21.5	20.1	22.5	13.2	23.4
19	28.0	30.5	30.8	31.0	29.5	21.1	30.6	**33.7**	**34.6**	**35.0**	38.4	34.4	24.8	34.0	17.0	17.5	18.9	16.4	20.5	17.2	27.2
20	25.7	26.7	23.8	29.5	**32.8**	22.6	30.4	32.1	34.0	28.9	37.2	34.0	25.5	**34.6**	16.5	18.8	18.8	17.4	19.1	12.9	23.6
21	22.2	22.6	24.9	25.5	19.6	19.0	23.2	32.6	34.2	34.0	**38.7**	34.7	22.7	34.2	15.5	15.7	18.3	17.1	18.5	13.6	23.6
22	19.8	23.7	23.5	25.6	26.0	21.5	29.6	25.2	23.0	24.8	24.6	27.3	20.0	23.8	13.3	13.5	14.8	12.2	17.2	11.4	15.2
23	21.0	21.2	23.3	25.5	20.7	17.4	29.0	20.6	24.0	22.0	25.1	24.5	19.1	27.6	15.1	16.3	15.8	17.9	19.0	14.7	20.8
24	22.0	25.9	24.0	25.7	23.7	19.2	29.4	22.4	23.9	24.0	24.9	26.0	20.5	29.0	18.6	19.7	18.4	24.0	22.4	16.5	25.6
25	23.5	26.1	23.8	27.9	21.4	17.5	28.2	20.0	21.0	21.0	24.1	18.5	15.5	20.8	11.6	15.7	15.1	18.9	19.5	13.0	21.2
26	21.9	23.3	24.6	27.6	21.9	21.3	25.6	24.6	24.7	26.2	29.0	28.5	18.6	28.2	6.8	11.1	12.9	13.2	11.0	8.9	20.0
27	24.6	26.5	25.3	29.5	27.0	24.8	27.4	20.2	21.0	22.4	21.1	21.1	18.5	28.0	4.3	14.6	12.0	14.0	11.9	3.5	12.4
28	25.5	28.9	27.0	29.6	27.0	24.7	29.6	20.5	20.0	20.5	23.7	18.6	10.0	21.4	3.3	14.2	14.2	17.1	13.5	2.2	15.0
29	27.3	**31.7**	28.4	32.2	29.8	22.2	30.6	21.7	23.5	23.6	22.4	21.6	17.1	27.0	6.4	10.7	11.9	9.3	11.9	8.8	15.2
30	28.0	30.4	28.1	33.1	30.8	22.4	31.2	24.2	25.1	27.2	24.8	23.6	19.5	27.4	6.7	10.0	15.0	15.7	16.3	12.6	20.0
31	**29.6**	31.4	**32.0**	**34.3**	30.8	23.6	31.0	16.9	20.0	20.8	22.2	17.3	21.5	30.8							
Mittel	23.6	25.3	25.3	26.6	24.7	20.8	28.4	25.1	26.8	26.4	28.1	26.6	21.4	29.8	17.7	20.4	19.8	21.8	20.7	15.2	24.1

Tag	Oktober Bern	Oktober Neuchâtel	Oktober Genf	Oktober Basel	Oktober Altdorf	Oktober Bevers	Oktober Lugano	November Bern	November Neuchâtel	November Genf	November Basel	November Altdorf	November Bevers	November Lugano	Dezember Bern	Dezember Neuchâtel	Dezember Genf	Dezember Basel	Dezember Altdorf	Dezember Bevers	Dezember Lugano
1	12.7	16.4	16.1	17.1	16.5	11.3	19.2	9.3	8.0	10.2	13.1	**17.1**	10.0	15.0	2.7	4.4	0.4	4.7	4.1	0.0	**12.2**
2	18.8	18.0	17.8	22.4	18.6	13.0	21.6	**15.3**	14.5	**14.1**	**15.6**	13.3	9.7	15.4	3.3	3.4	4.1	4.1	5.6	-4.0	10.2
3	19.1	**20.7**	19.0	20.4	18.4	14.0	23.2	12.4	**14.7**	13.8	9.3	10.5	**11.5**	15.4	3.7	2.9	3.0	5.5	5.5	-1.2	3.6
4	19.2	18.4	17.8	21.7	19.5	13.6	23.4	7.9	10.7	11.2	7.9	9.7	7.5	**16.8**	2.6	2.0	4.4	4.9	2.5	4.2	0.7
5	17.8	19.9	17.8	19.0	18.4	14.0	23.2	4.5	6.5	8.3	7.6	7.4	5.0	10.0	2.1	2.4	4.9	2.5	4.2	**3.5**	8.2
6	17.1	17.5	17.2	21.4	17.2	13.2	22.4	8.4	11.3	9.6	7.9	7.3	5.9	11.2	1.4	1.1	3.1	2.1	3.4	2.0	8.6
7	17.6	18.0	17.6	17.1	15.0	13.8	22.6	4.7	4.3	6.4	7.2	5.1	0.0	11.0	3.2	3.4	4.7	1.6	4.2	2.5	8.2
8	12.7	14.9	15.8	13.9	14.0	**15.0**	**23.6**	5.6	6.5	8.1	8.0	6.0	0.0	14.6	6.7	6.0	8.0	3.5	6.7	1.0	9.4
9	14.7	17.6	18.6	13.1	16.3	13.0	21.0	4.8	7.1	7.6	4.5	5.6	-0.2	16.0	5.3	5.5	5.3	3.6	5.8	-3.4	10.0
10	16.2	17.2	16.9	19.3	**19.6**	14.6	20.0	3.9	6.9	6.2	1.4	4.7	2.8	12.0	5.7	6.4	5.1	2.6	4.7	-0.5	9.8
11	14.7	15.4	17.1	19.2	16.3	13.6	23.0	4.7	6.2	6.3	6.7	5.9	4.8	8.0	1.0	2.6	4.3	1.8	4.1	-8.3	7.4
12	12.3	14.2	15.4	15.3	14.8	13.3	21.0	7.0	7.7	9.0	7.1	5.9	3.0	10.6	1.0	1.3	3.6	1.5	2.7	-5.0	9.0
13	12.6	15.2	16.8	12.9	13.8	13.2	14.0	9.3	8.7	10.6	9.8	10.3	7.0	11.2	0.7	1.0	2.5	1.0	2.9	-3.8	9.4
14	13.4	16.5	15.2	12.7	13.9	8.2	12.6	9.1	6.0	10.5	8.5	7.2	3.0	11.6	0.0	0.0	1.7	1.0	2.3	-4.0	9.0
15	14.4	15.8	15.9	15.5	14.0	8.4	12.2	4.4	7.5	7.2	5.4	5.5	-1.0	11.2	-0.7	0.3	0.9	0.5	2.2	-2.5	9.0
16	15.4	15.8	17.4	16.6	16.0	6.5	13.2	4.2	5.3	4.8	4.2	4.6	-4.0	6.2	-0.6	-0.7	1.5	0.1	2.3	0.0	10.2
17	15.9	14.8	14.8	20.2	19.2	9.2	12.2	3.1	5.7	4.8	5.7	4.5	-3.4	8.0	0.5	1.5	3.3	3.0	3.3	2.0	5.4
18	16.7	17.4	15.4	19.2	16.7	10.5	13.2	-0.6	0.0	2.1	0.5	2.8	-2.0	4.8	1.0	2.2	3.1	4.7	9.9	-0.2	8.4
19	13.4	13.3	12.8	17.2	18.0	10.0	16.4	-0.2	0.5	2.2	-0.1	2.5	1.0	8.2	0.9	**9.8**	**10.3**	**15.2**	**13.9**	2.0	7.8
20	17.0	17.6	15.8	**23.5**	16.3	11.0	16.4	0.4	1.7	2.6	1.8	0.0	4.2	8.0	**8.6**	7.9	10.2	14.7	8.2	3.0	10.6
21	18.9	18.0	20.2	22.8	17.5	13.5	19.6	2.5	2.7	3.8	2.0	3.0	2.0	9.4	1.0	2.3	2.6	2.3	11.2	-1.0	7.0
22	**20.0**	19.8	20.2	21.4	18.2	12.1	19.5	4.4	4.8	4.0	4.1	4.8	2.5	10.2	2.0	3.1	5.0	4.7	0.7	[illegible]	6.4
23	18.2	18.0	**20.4**	22.3	15.7	13.4	18.0	4.3	4.4	4.5	5.1	5.2	[illegible]	10.2	2.3	3.6	3.8	0.8	4.7	-3.2	10.4
24	18.1	18.7	15.9	19.7	18.4	12.5	18.0	4.7	6.4	8.9	11.1	10.6	1.2	9.4	-1.3	1.4	3.7	1.0	2.4	-7.0	9.2
25	11.3	11.9	14.9	13.5	19.2	11.0	15.0	8.3	5.6	11.0	11.2	7	0.5	12.0	0.7	1.7	2.4	0.2	2.0	-8.[illegible]	7.6
26	15.6	17.7	15.5	17.8	15.2	9.4	18.6	3.3	5.7	5.4	7.5	5.4	[illegible]	10.0	2.1	2.9	3.4	2.0	1.5	-1.5	7.0
27	10.7	12.1	12.6	10.7	11.8	7.2	14.2	4.7	6.1	5.0	6.9	6.4	-0.5	10.2	3.3	5.0	5.0	1.1	2.4	1.5	9.0
28	11.7	14.2	13.8	11.3	12.1	10.0	18.0	3.3	7.3	6.4	12.3	7.1	3.2	7.2	4.1	0.2	5.2	4.0	2.5	-2.0	8.4
29	11.2	13.6	13.0	13.4	12.3	10.0	17.0	10.1	10.3	11.6	12.7	8.0	3.8	10.2	2.5	3.0	4.4	3.0	2.1	-4.4	8.0
30	9.4	10.4	11.0	14.0	10.6	8.6	15.6	5.8	5.0	7.4	6.9	4.0	-0.5	11.6	-0.1	2.9	2.3	1.0	2.1	0.5	8.2
31	7.6	9.3	11.0	13.9	17.0	9.2	17.4								0.5	1.1	2.3	2.1	0.2	-4.0	7.4
Mittel	15.0	16.1	16.1	17.4	16.2	11.5	18.2	5.7	6.6	7.5	7.1	6.0	2.5	10.9	2.4	3.2	4.3	3.[illegible]	4.5	-1.6	8.4

Tagesmittel der Abkühlungsgrösse in mgcal/cm² · sec.

1943 (Davoser Frigorimeter nach Dorno und Thilenius) — Ablesung: Sommer 7^{30} h, Winter 8^{00} h — Zürich

Tag	Januar	Februar	März	April	Mai	Juni	Juli	August	Sept.	Oktober	Nov.	Dez.
1	—	—	—	—	Wegen Kabeldefektes, der sich im Laufe des Jahres in zunehmendem Maße geltend machte, sind die Resultate der Registrierungen zu unsicher. Anfangs Oktober wurde das defekte Kabel durch ein neues ersetzt.	—	—	—	—	—	*13.4	33.1
2	—	—	—	—		—	—	—	—	—	*12.9	19.3
3	—	—	—	—		—	—	—	—	—	13.4	17.5
4	—	—	—	—		—	—	—	—	—	21.6	20.0
5	—	—	—	—		—	—	—	—	10.2	23.5	18.1
6	—	—	—	—		—	—	—	—	11.5	26.3	17.8
7	—	—	—	—		—	—	—	—	11.9	26.8	15.8
8	—	—	—	—		—	—	—	—	10.2	16.5	15.2
9	—	—	—	—		—	—	—	—	11.9	18.8	16.1
10	—	—	—	—		—	—	—	—	10.3	16.9	20.0
11	—	—	—	—		—	—	—	—	11.1	19.9	23.8
12	—	—	—	—		—	—	—	—	12.3	39.1	19.3
13	—	—	—	—		—	—	—	—	14.4	43.0	20.0
14	—	—	—	—		—	—	—	—	13.4	32.3	20.8
15	—	—	—	—		—	—	—	—	12.2	16.5	19.0
16	—	—	—	—		—	—	—	—	12.0	16.5	19.0
17	—	—	—	—		—	—	—	—	10.4	17.0	17.5
18	—	—	—	—		—	—	—	—	10.9	24.4	18.3
19	—	—	—	—		—	—	—	—	12.3	22.5	27.7
20	—	—	—	—		—	—	—	—	12.4	22.1	18.3
21	—	—	—	—		—	—	—	—	9.7	19.0	19.1
22	—	—	—	—		—	—	—	—	*10.4	18.3	15.8
23	—	—	—	—		—	—	—	—	9.9	17.9	16.6
24	—	—	—	—		—	—	—	—	9.9	34.8	17.3
25	—	—	—	—		—	—	—	—	13.7	30.4	19.6
26	—	—	—	—		—	—	—	—	12.4	20.9	15.9
27	—	—	—	—		—	—	—	—	13.4	20.6	16.0
28	—	—	—	—		—	—	—	—	13.3	26.5	15.5
29	—		—	—		—	—	—	—	12.8	42.3	20.3
30	—		—	—		—	—	—	—	13.7	44.4	28.0
31	—		—				—	—		13.3		24.0
Mittel	—	—	—	—	—	—	—	—	—	—	24.0	19.5

Tägliche Wärmeeinstrahlung in cal cm² auf eine horizontale Fläche

1943 (Bimetall-Aktinograph nach Robitzsch) — Zürich

1	129	87	337	69	325	249	693	556	539	188	99	79
2	42	36	303	281	376	453	628	543	436	380	184	55
3	50	117	305	224	162	370	675	519	305	380	103	83
4	42	162	368	513	202	249	679	360	309	362	14	26
5	44	228	226	521	507	645	638	477	505	224	123	28
6	24	226	63	172	481	546	327	281	382	190	228	24
7	77	24	323	117	434	580	356	291	426	204	99	61
8	77	115	402	327	463	436	261	511	255	71	111	30
9	69	269	394	89	107	109	289	382	416	89	95	55
10	65	158	374	537	687	376	214	574	327	257	234	8
11	53	51	414	150	376	370	255	606	372	115	170	44
12	38	275	354	345	602	564	679	408	396	67	81	28
13	172	135	406	574	614	364	301	588	323	87	32	30
14	89	172	376	545	634	200	685	531	297	248	178	18
15	67	261	378	535	628	317	671	436	149	313	120	35
16	194	115	390	546	249	348	519	594	297	303	97	30
17	44	93	430	545	685	166	620	574	350	333	178	40
18	79	293	360	552	673	505	590	564	228	242	67	26
19	97	311	267	475	653	299	422	560	149	188	20	40
20	137	311	352	119	626	731	564	519	317	246	22	*81
21	147	255	87	352	546	505	307	511	218	307	30	63
22	166	295	283	525	479	424	438	170	79	287	50	57
23	145	325	455	578	277	604	364	475	170	283	28	133
24	99	311	386	255	273	588	400	505	376	271	115	20
25	158	313	162	612	204	624	554	214	190	81	91	113
26	71	301	212	410	277	586	481	556	50	277	48	143
27	99	115	291	558	446	653	507	263	315	53	55	87
28	79	301	287	574	616	649	608	321	354	79	51	61
29	149		59	234	618	665	602	396	50	119	42	20
30	141		465	594	634	594	574	422	218	63	46	6
31	204		230		539		566	356		176		69
Summe	3047	5655	9739	11928	14393	13769	15467	14063	8798	6483	2820	1612
Mittel	98.3	202.0	314.2	397.6	464.3	459.0	498.9	453.6	293.3	209.1	94.0	52.0

Monats- und Jahresübersichten
sämtlicher schweiz. meteorologischen Stationen

In die hier folgenden Uebersichten werden die Beobachtungsresultate aller schweizerischen Stationen, soweit es die Zuverlässigkeit und Vollständigkeit derselben gestatten, aufgenommen. Zu beachten ist:

1. Die Minima und Maxima bei Luftdruck, Temperatur und die Minima bei der relativen Feuchtigkeit sind stets den üblichen Terminbeobachtungen entnommen (7^{30} 13^{30} 21^{30}, resp. 7^{30} 13^{30} 20^{30}).
2. Die Monatsmittel der Temperatur werden aus den 3 Terminbeobachtungen in der Weise abgeleitet, daß der Abendbeobachtung (21^{30}) das doppelte Gewicht beigelegt ist [$m = \frac{1}{4}\ (7^{30} + 13^{30} + 2 \,.\, 21^{30})$]. Bei den wenigen Stationen, die eine andere Kombination der Beobachtungsstunden haben, wird eine nach den stündlichen Werten von Bern und Säntis berechnete Reduktion angebracht.
3. Als Tage mit Niederschlag werden diejenigen gezählt, an denen wenigstens 0.3mm gemessen wurden. Eine zweite Rubrik enthält die Zahl der Tage mit Niederschlagsmengen von mindestens 1.0mm.
4. Tage mit mehreren Gewittern werden als «Gewittertage» nur einfach gezählt.
5. Als heitere (trübe) Tage werden solche bezeichnet, deren mittlere Bewölkung < 2 (> 8) Zehntel ist.
6. Bei der Uebersicht der Windverteilung wird nur die Häufigkeit der verschiedenen Windrichtungen mit Index > 0 berücksichtigt.
7. λ bezeichnet die geographische Länge in Graden von Greenwich, β die geographische Breite, H_b die Höhe des Stationsbarometers über dem Meer in Metern, H die Höhe der Station (des Regenmessers) über Meer, G ist die Korrektion, welche an den Luftdruckdaten für deren Reduktion auf die Normalschwere (45° Breite und das Meeresniveau) noch anzubringen ist, h_r die Höhe des oberen Randes des Regenmessers über dem Erdboden. Die Stationen, bei denen die Höhe (des Barometergefäßes) bis auf den Dezimeter angegeben ist, sind an das schweizerische Präzisionsnivellement angeschlossen. Alle Höhen sind auf Pierre du Niton 373.6m bezogen.

NB. Die Schwerekorrektionen *(G)* sind vom Jahrgang 1936 an auf Grund neuer Berechnungen von Herrn Prof. Niethammer, Basel, eingesetzt worden.

Reihenfolge der Gebiete: Nordostschweiz, Zentralschweiz, Jura, Oberes Aare- und Saanegebiet, Südwestschweiz, Graubünden, Tessin.

Zürich

$\lambda = 8^\circ 33'$, $\beta = 47^\circ 23'$, $H_b = 493.2^m$, $G = 0.03$ m/m, $h_r = 1.4^m$

1943	Luftdruck					Luft-Temperatur								Relative Feuchtigkeit					
	Mittel	Minimum	Tag	Maximum	Tag	7^{30}	13^{30}	21^{30}	Mittel	Minimum	Tag	Maximum	Tag	7^{30}	13^{30}	21^{30}	Mittel	Minimum	Tag
Januar	717.2	703.0	2	728.2	26	-1.2	2.1	-0.1	0.2	-6.6	10	10.8	23	94	72	90	85	48	8
Februar	724.6	713.0	9	733.5	19	0.8	6.3	2.5	3.0	-4.9	9	13.8	23	89	57	77	74	32	23
März	720.0	713.7	24	733.6	1	3.2	12.0	7.0	7.3	-1.8	8	17.9	24	88	49	69	69	27	23
April	722.5	710.9	7	728.4	25	7.6	15.1	10.1	10.7	0.4	8	24.7	19	82	49	64	65	31	16.18
Mai	720.4	706.5	9	730.3	23	11.8	19.3	13.6	14.6	5.2	10	27.5	14	76	47	70	64	29	19.15
Juni	722.1	714.3	2	727.8	23	13.3	19.4	14.3	15.3	8.4	17	27.2	20	80	53	78	70	31	26
Juli	719.5	712.8	20	724.3	14	15.8	23.7	17.6	18.7	9.5	9	31.4	31	82	48	72	67	27	5
August	720.8	714.6	21	729.8	1	16.5	25.0	18.6	19.7	12.4	13	35.0	19	78	43	68	63	26	2
September	719.9	711.7	25	727.1	16	12.9	19.6	14.3	15.3	5.1	27	31.0	13	90	55	84	76	36	1.13
Oktober	719.6	709.8	17	726.0	3	9.1	15.4	10.3	11.3	2.3	15	21.2	22	94	59	91	81	31	26
November	718.3	703.3	13	730.6	10	2.4	5.0	3.2	3.4	-3.9	11	13.8	2	89	73	84	82	39	10
Dezember	722.0	712.8	22	732.6	27	0.5	2.1	1.0	1.2	-1.5	17	9.9	19	92	83	90	89	60	2
Jahr	720.6	703.0	I	733.6	III	7.7	13.8	9.4	10.1	-6.6	I	35.0	VIII	86	57	78	74	26	VIII

Winterthur

$\lambda = 8^\circ 44'$, $\beta = 47^\circ 30'$, $H_b =$ ca. 448^m, $G = 0.05$ m/m, $h_r = 1.6^m$

Januar	—	—	—	—	—	-2.2	1.3	-0.8	-0.6	-7.8	10	7.4	23	94	78	96	89	62	25.27
Februar	—	—	—	—	—	-0.5	5.8	1.0	1.8	-7.2	9	10.8	25	91	64	95	83	42	19
März	—	—	—	—	—	1.7	9.8	4.6	5.2	-3.6	8	13.9	28	95	55	98	83	31	25
April	—	—	—	—	—	*7.0	*13.0	*9.5	*9.8	0.5	9	22.9	23	*89	*55	*80	*75	37	17
Mai	—	—	—	—	—	11.4	17.7	13.1	13.8	4.8	9	25.0	14	83	56	76	72	35	30
Juni	—	—	—	—	—	13.3	18.2	14.1	14.9	7.8	5	24.2	25	85	61	82	76	43	8
Juli	—	—	—	—	—	15.5	22.2	17.8	18.3	9.1	9	29.2	18	86	54	73	71	36	17
August	—	—	—	—	—	16.3	23.2	18.5	19.1	11.6	24.26	32.0	20	81	52	68	67	32	18
September	—	—	—	—	—	12.2	18.5	14.0	14.7	4.8	27	27.2	13	96	62	88	82	40	6
Oktober	—	—	—	—	—	8.1	14.1	9.5	10.3	1.4	15	18.6	22	97	68	95	87	46	26
November	—	—	—	—	—	1.5	4.5	2.4	2.7	-4.2	10	12.8	2	92	75	88	85	50	10
Dezember	—	—	—	—	—	-0.2	1.7	0.4	0.6	-3.2	24	7.8	19	96	86	93	92	50	19
Jahr	—	—	—	—	—	7.0	12.5	8.7	9.2	-7.8	I	32.0	VIII	90	64	86	80	31	III

Winterthur: Stationsverlegung im April. Neue Höhe ca. 485 m.

Frauenfeld

$\lambda = 8^\circ 54'$, $\beta = 47^\circ 34'$, $H_b = 432.9^m$, $G = 0.06$ m/m, $h_r = 1.5^m$

Januar	722.8	707.0	2	734.0	24	-1.8	0.7	-0.7	-0.6	-8.4	5	7.0	31	92	78	89	86	53	2
Februar	730.3	718.7	9	739.7	19	-0.2	5.3	1.7	2.1	-6.2	9	9.2	25	91	61	82	78	40	19
März	725.7	719.1	24	739.4	1	1.6	10.8	6.2	6.2	-3.8	8	16.0	24	92	52	72	72	31	24
April	728.0	715.2	7	734.1	25	7.4	14.1	9.0	9.9	0.4	8	23.5	19	83	51	74	69	30	17
Mai	726.0	711.6	9	736.2	13	12.0	18.2	13.0	14.0	5.5	9	25.3	14	78	50	74	67	28	15
Juni	727.5	719.7	2	733.4	23	13.8	18.8	14.1	15.2	7.2	5	25.8	21	80	55	78	71	34	20
Juli	724.9	718.0	20	730.0	14	16.8	22.9	17.5	18.7	9.4	9	28.9	31	77	49	73	66	30	5
August	725.7	719.2	21	732.3	16	17.0	24.2	18.0	19.3	10.8	24	33.0	19	75	45	70	63	28	19.20
September	725.4	717.5	25	732.6	16	12.1	18.7	13.7	14.6	5.0	28	27.3	13	93	58	86	79	37	6
Oktober	725.3	715.7	17	731.9	3	7.8	13.9	9.6	10.2	0.0	15	18.3	22	95	64	89	83	41	26
November	723.9	708.2	13	736.7	10	1.7	4.8	2.7	3.0	-4.9	10	11.6	3	88	70	83	80	44	10
Dezember	727.8	718.4	22	738.5	27	0.1	1.8	0.9	0.9	-2.7	24	5.7	20	91	82	87	87	54	2
Jahr	726.1	707.0	I	739.7	II	7.4	12.9	8.8	9.5	-8.4	I	33.0	VIII	86	60	80	75	28	V VIII

Kreuzlingen (West)

$\lambda = 9^\circ 10'$, $\beta = 47^\circ 39'$, $H_b = 445.6^m$, $G = 0.06$ m/m, $h_r = 1.4^m$

Januar	721.3	706.0	2	732.6	24	-1.8	1.1	-0.9	-0.6	-8.4	10	7.0	23.31	90	79	89	86	61	1
Februar	728.0	717.3	9	738.4	19	-0.3	5.1	1.8	2.1	-4.8	9	9.9	26	89	66	89	78	46	6
März	724.1	717.9	24.25	737.9	1	2.3	10.2	6.0	6.1	-1.8	9	15.4	24.25	88	56	72	72	35	23
April	726.4	713.0	7	732.3	24.25	8.3	13.2	8.8	9.8	0.6	9	23.0	19	76	58	71	68	32	23
Mai	724.4	710.2	9	734.6	13	11.3	17.9	12.0	13.3	4.6	9	25.8	14	78	53	76	69	29	15
Juni	726.0	718.2	2	731.8	23	13.2	18.3	13.4	14.6	8.0	16	26.2	21	80	58	80	73	38	6.8.20
Juli	723.4	716.7	8. 20	728.5	14	16.6	22.7	16.7	18.2	9.2	9	29.2	30.31	76	51	75	67	39	5
August	724.2	717.7	21	730.7	16	17.1	23.7	17.7	19.1	13.0	23.28	31.8	3. 21	75	47	64	62	25	21
September	723.8	716.1	25	731.3	16	12.9	18.1	13.4	14.4	4.6	27.28	25.6	14	88	62	84	78	43	1.9
Oktober	723.8	714.2	17	730.2	3	9.0	13.7	9.3	10.3	3.2	14	17.6	3	92	69	89	83	51	3
November	722.3	707.2	14	735.1	10	2.1	4.8	2.6	3.0	-2.8	10	11.0	3	87	71	83	80	46	10
Dezember	726.2	716.9	22	736.8	27	-0.2	2.0	0.7	0.8	-3.4	26	8.6	19	89	81	86	85	50	19
Jahr	724.5	706.0	I	738.4	II	7.5	12.6	8.5	9.3	-8.4	I	31.8	VIII	84	63	78	75	25	VIII

Beobachter: Meteorolog. Zentralanstalt

Zürich

Bewölkung				Niederschlag		Zahl der Tage								Windverteilung									1943
7.20	13.30	21.30	Mittel	Summe	Maximum Tag	●	●≥1.0	✳	▲	⊼	≡	heiter	trüb	N	NE	E	SE	S	SW	W	NW	Calmen	
9.5	7.7	7.9	8.4	77	12	2	17	15	11	—	—	11	—	18	3	4	5	10	10	12	13	12	24	Januar
7.0	5.4	4.5	5.6	50	12	7	11	10	6	—	—	1	6	8	4	8	4	14	8	9	4	8	15	Februar
5.8	4.6	4.8	5.1	59	14	26	10	9	1	1	1	4	6	8	6	13	7	13	7	3	7	15	22	März
5.6	6.0	4.4	5.3	43	10	7	10	10	3	—	1	1	6	8	2	3	8	12	11	12	17	13	12	April
5.9	6.2	6.4	6.2	56	16	25	12	10	—	—			6	11	11	16	4	7	7	7	13	12	16	Mai
6.8	6.5	6.8	6.7	109	17	9	15	12	—	—	4	—	1	12	10	9	3	11	10	6	14	22	5	Juni
4.9	5.3	5.0	5.1	123	29	12	15	15	—	—	8	—	8	9	6	8	6	12	9	6	10	12	18	Juli
5.0	5.1	4.0	4.7	28	8	30	8	4	—	—	2	—	8	3	5	4	7	13	8	12	19	16	9	August
8.0	6.8	7.2	7.3	131	24	25	16	13	—	—	1	1	2	14	7	8	10	8	7	5	9	15	21	September
7.9	5.6	4.5	6.0	0.8	0.5	8	1	—	—	—	—	5	3	11	9	18	8	7	2	5	6	14	24	Oktober
8.7	9.0	8.3	8.7	79	22	28	12	11	3	—	—	6	1	21	4	19	1	4	10	14	17	12	9	November
9.7	9.1	9.1	9.3	16	5	19	8	4	4	—	—	8		27	10	15	9	5	4	7	12	11	20	Dezember
7.1	6.4	6.1	6.5	772	29	VII	135	113	28	1	17	37	47	150	77	125	72	110	93	98	157	162	195	Jahr

Beobachter: E. Bachmann, G. Groß

Winterthur

9.5	7.6	8.2	8.4	88	14	5	17	16	6	—	—	1	—	21	—	4	3	10	—	10	6	10	38	Januar
7.4	5.6	5.7	6.2	53	8	7	12	12	4	—		—	5	11	3	11		9	1	17	7	13	23	Februar
5.6	4.7	4.4	4.9	48	13	28	9	8	—	—	—	1	7	6	3	16	6	11	3	10	1	15	28	März
5.4	6.1	4.6	5.4	58	18	7	11	9	3	—	—	—	5	7	—	—	—	—	—		—		—	April
5.8	5.8	5.5	5.7	52	8	9	15	8	—	—	—	—	8	10	—	—		—			—	—	—	Mai
5.7	6.6	6.1	6.1	111	23	16	16	13	—	—	1	1	2	9	—	4	1	—	8	21	3	2	51	Juni
4.7	4.8	4.3	4.6	97	14	7	15	14	—	1	3	1	8	8	—	1	1	1	3	13	1	7	66	Juli
4.9	4.7	3.1	4.2	14	4	22	6	4	—	—	3		8	3	1	1		—	3	18	7	—	93	August
8.4	6.2	5.2	6.6	124	23	25	18	12	—	—	1	4	2	10	—	1	—	—	1	6	1		81	September
7.2	5.2	4.0	5.5	6	4	8	2	2	—	—	—	15	7	11	—	1	—	—	—	3	—	—	89	Oktober
9.5	8.0	7.9	8.5	109	27	28	12	11	3	—	—	6	1	22	—	7	—	1	2	23			57	November
9.8	9.2	8.8	9.3	13	7	19	6	4	4	—		7		26	—	6	—	1	—	9	—		77	Dezember
7.0	6.2	5.7	6.3	773	27	XI	139	113	20	1	8	36	53	144		—	—	—	—	—		—		Jahr

Beobachter: S. Dannacher

Frauenfeld

9.8	8.4	9.2	9.1	66	9	23	17	15	12	—	—	12	—	27	—	12	12	9	6	14	7	—	33	Januar
7.4	4.4	4.8	5.5	34	10	7	12	9	9	—		3	5	10	1	6	7	8	6	14	9	2	31	Februar
5.7	4.3	3.6	4.5	39	13	28	9	7	1	—	—	5	10	5	3	11	14	10	6	8	7	1	33	März
6.0	5.6	3.4	5.0	44	11	29	11	9	1	—	—	—	6	8	2	8	6	5	6	15	11	6	31	April
6.3	6.1	5.2	5.9	36	8	25	10	9	—	—	—	1	8	14	5	14	12	10	4	6	7	3	29	Mai
6.9	6.7	6.5	6.7	72	11	16	15	13	—	—	1	2	2	12	1	12	11	6	7	12	8	7	26	Juni
4.8	5.1	5.1	5.0	86	26	23	13	12	—	1	2	—	9	9	1	12	8	8	7	10	10	2	35	Juli
5.5	5.1	4.4	5.0	18	4	22	7	5	—	1	2	—	7	5	1	5	2	8	10	10	17	1	33	August
9.0	6.7	6.8	7.5	117	24	25	18	11		—	2	4	1	15	2	9	5	4	3	7	4	1	55	September
9.0	6.3	5.3	6.9	2	1	8	1	1	—	—	—	13	—	13	3	15	11	10	5		—	1	48	Oktober
9.0	8.4	7.9	8.4	60	14	28	12	11	2	—		3	1	22	1	10	9	4	7	28	8	—	23	November
9.9	9.1	8.9	9.3	16	7	19	7	5	3	—	—	7	—	27		23	18	2	1	10	4	2	33	Dezember
7.4	6.4	5.9	6.6	590	26	VII	132	107	28	2	7	50	49	167	20	137	115	84	68	143	92	26	411	Jahr

Beobachter: P. Zwick

Kreuzlingen (West)

9.3	8.3	7.9	8.5	74	13	7	17	14	9	—		13	—	22			5	—	1	17	4		60	Januar
5.5	5.1	3.7	4.8	42	12	7	12	10	4	—			8	4			7	—		14	10	1	52	Februar
5.8	3.9	4.2	4.6	45	14	28	8	7	—	—	—	8	10	8			19	1	—	7	10		50	März
5.7	5.3	3.7	4.9	45	13	7	12	10	3			—	9	9	—	—	11	—	1	19	15	3	41	April
5.8	5.8	5.5	5.7	41	10	9	13	11	—	—	—	2	9	12		4	21		—	10	7		45	Mai
6.6	6.5	6.7	6.6	98	15	9	16	12		1	3	2	2	10	—	2	14	—	—	21	15	1	37	Juni
4.8	4.8	5.1	4.9	60	16	12	14	10	—	—	3	1	9	1			18	—		17	11	—	47	Juli
5.4	4.8	3.3	4.5	32	10	7	8	6	—	—	1	1	9	3			7	—	1	29	13		41	August
8.2	5.8	5.5	6.5	105	23	22	18	15	—	—	2	3	1	9	—		16		1	12	11		50	September
9.6	6.3	4.4	6.8	2	0.3	16/21	3	—	—	—	—	17	1	12			13	—	—	4	2		74	Oktober
9.0	8.0	7.2	8.1	95	19	30	12	12	4	—	—	4	1	19		2	12	1		22	15	—	38	November
9.5	9.0	8.5	9.0	31	14	19	7	6	3			7	—	24	—	—	23		—	11	4		55	Dezember
7.1	6.1	5.5	6.2	670	23	IX	140	113	23	1	9	58	59	141		8	166	2	4	189	119	3	672	Jahr

Haidenhaus

$\lambda = 9° 0'$, $\beta = 47° 39'$, $H_b = 694.4^m$, $G = -$ ‰, $h_r = 1.7^m$

1943	Luftdruck					Luft-Temperatur								Relative Feuchtigkeit					
	Mittel	Minimum	Tag	Maximum	Tag	7^{30}	13^{30}	21^{30}	Mittel	Minimum	Tag	Maximum	Tag	7^{30}	13^{30}	21^{30}	Mittel	Minimum	Tag
Januar	—	—	—	—	—	-2.8	0.1	-1.7	-1.5	-10.2	10	6.4	23.31	90	83	88	87	08	31
Februar	—	—	—	—	—	-0.1	3.6	0.7	1.2	-6.5	9	10.0	23	86	68	81	78	48	23.24
März	—	—	—	—	—	3.6	9.0	5.3	5.8	-3.2	8	14.0	24	82	63	73	73	37	25
April	—	—	—	—	—	7.6	12.0	8.6	9.2	-2.0	8	21.2	19	76	60	67	68	35	17
Mai	—	—	—	—	—	11.1	15.5	11.6	12.4	1.0	10	24.5	15	72	60	71	68	34	17
Juni	—	—	—	—	—	13.2	16.5	12.4	13.6	7.0	16.17	23.0	25	73	62	78	71	38	20
Juli	—	—	—	—	—	16.8	20.8	16.4	17.6	8.0	9	27.0	18.30 31	68	57	70	65	30	5
August	—	—	—	—	—	17.3	22.2	17.9	18.8	12.0	28	31.0	21	68	52	64	61	30	18
September	—	—	—	—	—	12.5	16.5	13.6	14.1	5.0	26.27 28	27.5	13	86	69	82	79	40	13
Oktober	—	—	—	—	—	8.7	12.4	9.6	10.1	2.2	14	16.5	3	91	73	85	83	45	3
November	—	—	—	—	—	0.7	2.9	0.8	1.3	-4.0	18	10.0	3	89	81	89	86	58	8
Dezember	—	—	—	—	—	-1.4	0.0	-0.9	-0.8	-4.5	17	6.5	19	91	86	90	89	60	19.21
Jahr	—	—	—	—	—	7.3	11.0	7.9	8.5	-10.2	I	31.0	VIII	81	68	78	76	30	VIII

St. Gallen (Bruggen)

$\lambda = 9° 20'$, $\beta = 47° 24'$, $H_b = 678.8^m$, $G = -0.01$ ‰, $h_r = 1.5^m$

Januar	700.9	686.9	2	711.6	24	-3.2	1.9	-1.8	-1.2	-16.7	10	10.6	22	89	71	87	82	40	22
Februar	708.2	697.3	9	717.2	28	-1.6	5.1	0.1	0.9	-11.2	9	11.6	23	87	63	86	79	35	6
März	704.1	698.1	25	717.1	1	1.7	9.6	4.2	4.9	-3.2	8	16.2	24	90	57	85	77	36	24
April	706.5	694.4	7	712.3	25	6.9	12.0	7.0	8.2	-0.7	8. 9	21.8	23	78	60	82	73	37	5
Mai	704.9	691.0	9	714.5	13	10.5	16.5	10.5	12.0	3.2	9	23.6	14	84	54	85	75	34	14
Juni	706.5	699.4	2	712.1	23	12.3	17.0	11.8	13.2	6.7	16	23.3	21	88	60	89	79	43	6
Juli	704.3	698.0	8	708.8	16	14.8	21.3	15.0	16.5	8.0	9	27.2	20	88	55	84	76	36	4
August	705.2	699.6	21	710.8	16	15.7	22.1	16.1	17.5	10.4	28	31.3	19	83	53	81	72	37	19.21
September	704.3	696.3	25	711.9	16	11.6	17.5	12.2	13.4	3.6	26.28	29.3	13	92	65	93	83	38	25
Oktober	704.1	695.3	17	711.0	3	7.0	13.3	8.3	9.2	1.0	15	18.0	21	93	70	94	86	40	26
November	702.1	687.9	14	714.1	9. 10	0.2	3.9	1.2	1.6	-5.9	10	13.6	2	91	72	87	83	41	24
Dezember	705.5	697.1	22	715.9	27	-1.7	0.9	-0.8	-0.6	-6.2	26	6.0	8	93	83	92	89	57	26
Jahr	704.7	686.9	I	717.2	II	6.2	11.8	7.0	8.0	-16.7	I	31.3	VIII	88	64	87	80	34	V

Heiden

$\lambda = 9° 32'$, $\beta = 47° 27'$, $H_b =$ ca. 810^m, $G = -0.03$ ‰, $h_r = 1.7^m$

Januar	688.8	674.0	2	699.7	26	-1.8	1.3	-0.9	-0.6	-13.1	9	9.3	31	80	72	81	78	31	31
Februar	696.3	685.1	9	705.2	28	-0.6	3.5	-0.1	0.7	-11.1	9	10.5	23	77	65	81	74	33	22
März	692.4	687.5	14	705.0	1	2.4	8.2	3.9	4.6	-3.3	7. 8	15.1	24	76	56	78	70	26	24
April	694.9	681.7	7	700.6	24	7.1	10.6	6.6	7.7	-2.1	8	20.5	23	62	59	73	65	31	21
Mai	693.6	678.9	9	703.2	13	10.7	14.5	9.6	11.1	3.5	9	22.2	14	69	57	78	68	30	10
Juni	695.1	688.2	2	700.8	22	11.7	14.9	11.3	12.3	5.8	17	21.5	21	77	63	79	73	40	8. 20
Juli	693.1	686.1	8	697.6	16	14.9	19.3	14.4	15.8	6.4	9	26.1	29	73	56	76	68	34	20
August	694.1	689.0	21	699.8	16	15.7	20.2	15.7	16.8	9.4	23	29.5	21	72	54	71	66	26	21
September	693.2	685.1	25	701.6	16	11.6	15.5	12.0	12.8	3.3	26	26.2	13	84	68	84	79	34	13
Oktober	692.5	683.8	17	698.9	3	7.9	12.2	8.2	9.1	0.1	15	17.5	21	87	71	87	82	35	22
November	690.2	675.1	14	702.1	10	-0.1	2.5	0.6	0.9	-6.1	10	12.1	2	89	74	84	82	35	28
Dezember	693.6	685.0	22	703.8	27	-2.0	0.5	-1.2	-1.0	-4.7	15	7.3	19	89	82	89	87	38	21
Jahr	693.2	674.0	I	705.2	II	6.4	10.3	6.7	7.5	-13.1	I	29.5	VIII	78	65	81	74	26	III VIII

Altstätten

$\lambda = 9° 33'$, $\beta = 47° 23'$, $H_b =$ ca. 474^m, $G = 0.01$ ‰, $h_r = 1.5^m$

Januar	720.1	705.9	2	731.2	25	-2.8	1.5	-1.1	-0.9	-14.6	10	12.0	31	89	73	84	82	32	31
Februar	727.5	716.1	9	737.3	19	-0.5	5.4	1.2	1.8	-7.2	9	11.6	1	88	61	82	77	38	1
März	722.9	716.6	25	736.5	1	2.9	11.5	6.2	6.7	-2.6	8	18.2	24	86	53	73	71	32	23. 24
April	725.3	712.6	7	731.3	24. 25	7.8	14.3	8.7	9.9	-0.2	9	24.6	19	75	54	73	67	31	19
Mai	723.3	709.0	9	733.7	13	11.9	18.5	12.1	13.7	3.4	9	27.8	13	77	53	73	68	35	18
Juni	724.8	717.3	2	730.3	23	13.8	18.8	13.6	14.9	8.4	17	26.2	25	77	57	77	70	30	30
Juli	722.3	715.3	20	727.2	14	16.0	23.2	17.0	18 3	9.6	9	29.8	20	77	52	71	67	30	26
August	723.1	717.1	21	729.5	16	17.0	23.8	17 8	19.1	10.6	29	33.2	21	75	52	70	66	31	21
September	722.7	715.1	25	730.3	16	13.1	19.0	14.0	15.0	4.4	28	27.8	13	87	60	84	77	40	5
Oktober	722.6	713.2	17	729.4	3	8.9	15.1	9.6	10.8	1.2	15	19.0	3	95	63	91	83	43	22. 26
November	721.1	706.0	14	734.1	10	1.4	4.8	2.2	2.7	-4.2	21	11.2	1	93	69	84	82	45	24
Dezember	725.0	716.1	22	735.8	27	-0.8	1.8	0.4	0.4	-5.0	26	10.6	19	92	77	89	86	53	26
Jahr	723.4	705.9	I	737.3	II	7.4	13.1	8.5	9.4	-14.6	I	33.2	VIII	84	60	79	75	30	VI VII

Beobachter: J. und E. Sommer

Haidenhaus

Bewölkung				Niederschlag			Zahl der Tage								Windverteilung									1943
7^{30}	13^{30}	21^{30}	Mittel	Summe	Maximum	Tag	●	●≥1.0	✳	▲	⚡	≡	heiter	trüb	N	NE	E	SE	S	SW	W	NW	Calmen	
7.4	7.5	7.7	7.5	78	11	22	19	16	15	—	—	—	1	17	—	—	—	—	—	14	2	1	76	Januar
5.4	5.6	5.4	5.5	35	9	7	11	11	11	—	—	—	11	13	—	9	—	—	—	27	3	—	45	Februar
4.4	3.7	4.0	4.0	48	17	28	9	8	1	—	—	3	14	7	—	15	—	—	—	8	2	1	67	März
4.8	4.6	4.4	4.6	37	9	20	11	8	4	—	—	—	8	8	1	6	—	1	—	34	2	—	46	April
5.4	5.1	5.3	5.3	46	14	5	11	11	—	—	—	1	9	6	—	10	—	—	1	16	—	—	66	Mai
6.3	6.4	6.5	6.4	91	18	14	15	14	—	—	1	—	2	11	—	6	—	1	—	19	—	—	64	Juni
4.2	4.8	4.6	4.5	89	21	23	10	9	—	—	5	—	12	11	—	—	—	—	—	21	—	—	72	Juli
4.6	4.6	4.2	4.5	19	5	22	5	5	—	—	—	—	7	3	—	—	—	—	1	29	—	1	62	August
8.0	6.4	6.1	6.8	111	22	22	14	12	—	—	2	3	1	9	—	3	—	—	—	4	—	—	83	September
6.9	5.5	4.9	5.8	0	0	—	—	—	—	—	—	9	6	13	—	2	—	—	—	2	—	—	89	Oktober
8.6	8.8	8.4	8.6	81	19	24	12	10	5	—	—	3	1	23	—	10	—	—	—	35	—	—	45	November
8.8	9.1	9.0	9.0	30	14	19	6	5	3	—	—	4	—	24	—	14	—	—	—	15	—	—	64	Dezember
6.2	6.0	5.9	6.0	665	22	IX	123	109	39	—	8	23	72	145	1	75	—	2	2	224	9	3	779	Jahr

Beobachter: P. Flückiger

St. Gallen (Bruggen)

7.1	7.6	7.3	7.3	63	12	23	18	13	14	—	—	3	1	14	4	3	3	35	8	10	12	—	18	Januar
5.9	4.9	5.0	5.3	45	10	15	9	9	8	—	—	2	8	8	3	11	—	30	5	14	9	3	9	Februar
4.2	4.7	4.7	4.5	49	17	28	8	7	3	—	—	—	7	7	4	14	1	39	8	2	10	5	10	März
5.3	6.0	5.4	5.6	67	14	1	13	11	4	—	1	2	7	11	2	10	1	31	3	8	19	5	11	April
5.9	6.3	5.2	5.8	56	15	9	14	12	—	—	1	4	7	13	6	21	2	34	1	7	7	3	12	Mai
7.0	6.5	6.8	6.8	148	19	6	17	16	—	—	2	—	2	10	1	16	3	29	3	9	12	5	12	Juni
4.1	4.6	5.1	4.6	118	31	6	15	14	—	—	2	—	11	8	—	13	4	30	8	6	13	3	16	Juli
4.9	4.7	4.0	4.5	48	14	22	11	10	—	—	1	—	7	4	1	10	—	30	8	6	16	6	16	August
8.5	6.6	6.5	7.2	113	32	25	16	15	—	—	1	1	—	12	6	17	1	28	2	3	4	6	23	September
6.6	5.7	6.2	6.2	2	1	8	4	1	—	—	—	7	3	12	6	20	3	25	7	—	4	5	23	Oktober
8.1	8.2	7.5	7.9	90	20	24	13	11	9	—	—	2	2	16	2	15	4	23	2	9	14	1	20	November
8.1	8.4	8.4	8.3	21	8	19	7	5	4	—	—	9	—	19	—	11	3	21	3	3	7	—	45	Dezember
6.3	6.2	6.0	6.2	820	32	IX	145	124	42	—	8	30	55	134	35	161	25	355	58	77	127	42	215	Jahr

Beobachter: Frau F. Niederer-Tobler

Heiden

6.2	6.6	4.9	5.9	80	20	23	15	14	14	—	—	3	7	11	8	2	2	1	31	19	8	12	10	Januar
5.6	4.8	4.3	4.9	50	10	15	12	12	10	—	—	3	11	7	11	4	2	—	15	11	10	5	26	Februar
2.9	3.0	4.2	3.4	46	17	28	9	7	2	—	—	—	17	6	8	12	6	3	17	8	9	8	22	März
4.7	5.1	5.0	4.9	85	14	1	14	13	7	—	1	—	9	9	6	8	5	2	22	20	12	—	15	April
5.3	5.4	5.0	5.2	73	17	9	11	11	1	—	1	3	11	11	15	12	7	6	17	10	7	9	10	Mai
6.2	6.4	6.8	6.5	184	26	9	18	18	—	—	3	1	5	11	22	10	3	—	15	18	9	8	5	Juni
3.7	3.9	4.8	4.1	156	29	6	14	13	—	—	2	—	15	10	10	6	8	4	21	16	11	4	13	Juli
4.4	4.3	2.7	3.8	58	17	11	12	11	—	—	2	—	13	5	5	8	6	7	26	20	9	1	11	August
6.7	5.9	5.1	5.9	116	39	25	20	15	—	—	3	6	4	7	11	10	5	9	21	18	5	3	8	September
6.5	4.6	3.9	5.0	1	0.6	8	1	—	—	—	—	11	9	9	13	21	5	5	13	6	5	7	18	Oktober
7.3	8.1	7.0	7.5	102	20	24	13	12	12	—	—	5	2	16	9	8	7	5	17	25	8	9	2	November
7.6	8.2	8.1	8.0	30	13	30	8	6	3	—	—	14	2	19	9	9	17	5	9	10	14	4	16	Dezember
5.6	5.5	5.2	5.4	976	39	IX	147	132	49	—	12	46	105	121	127	110	73	47	224	181	107	70	156	Jahr

Beobachter: B. Heldstab

Altstätten

7.2	7.4	6.9	7.2	72	20	5	15	14	10	—	—	—	2	16	—	1	3	—	2	10	6	3	68	Januar
5.7	5.4	4.5	5.2	59	26	15	10	9	5	—	—	—	9	8	8	1	3	—	2	3	6	3	58	Februar
4.3	4.2	4.0	4.2	32	12	6	8	7	1	—	—	—	10	8	5	4	6	—	9	4	4	—	61	März
5.5	5.8	5.5	5.6	89	26	1	12	11	4	—	1	—	6	11	1	6	2	1	6	8	8	2	56	April
6.3	6.4	5.9	6.2	90	21	9	12	9	—	—	—	—	5	13	3	1	9	1	1	3	6	—	69	Mai
7.3	7.1	7.4	7.3	191	25	9	18	17	—	2	2	—	1	14	4	4	4	—	—	1	11	1	65	Juni
4.5	5.4	6.4	5.4	120	22	6	14	13	—	—	2	—	9	9	4	7	6	—	1	3	7	—	65	Juli
5.1	5.4	5.0	5.2	62	18	11	13	10	—	—	1	—	8	8	2	4	7	—	—	11	8	—	61	August
7.1	6.8	5.6	6.5	111	40	25	16	13	—	—	—	2	2	9	4	1	2	1	1	1	3	1	76	September
8.5	5.3	4.8	6.2	0	0	—	—	—	—	—	—	7	1	10	3	6	1	—	2	1	4	—	76	Oktober
8.7	7.9	7.3	8.0	147	33	24	12	11	2	—	—	3	1	17	3	2	2	1	—	5	6	—	71	November
8.3	8.2	8.3	8.3	32	12	30	8	6	3	—	—	10	—	19	—	—	4	—	—	1	5	—	83	Dezember
6.5	6.3	6.0	6.3	1105	40	IX	138	120	25	2	6	22	54	142	37	37	49	4	24	51	74	10	809	Jahr

Säntis

$\lambda = 9° 20'$, $\beta = 47° 15'$, $H_b = 2500.1^m$, $G = -0.27$ m/m, $h_r = 1.3^m$

1943	Luftdruck					Luft-Temperatur								Relative Feuchtigkeit					
	Mittel	Minimum	Tag	Maximum	Tag	7^{30}	13^{30}	21^{30}	Mittel	Minimum	Tag	Maximum	Tag	7^{30}	13^{30}	21^{30}	Mittel	Minimum	Tag
Januar	557.2	543.8	2	566.0	25	-8.5	-7.1	-7.9	-7.9	-17.6	5	1.4	21	76	68	66	68	17	20
Februar	563.5	553.6	10	572.3	21	-7.7	-6.0	-7.3	-7.1	-14.0	16	2.2	22	66	64	62	64	13	21
März	561.8	557.8	14	572.2	1	-4.5	-2.8	-4.9	-4.3	-13.6	7	1.0	2. 3	70	63	75	69	4	30
April	564.3	550.0	7	570.3	25	-3.8	-1.9	-3.5	-3.2	-14.4	8	6.2	19	80	76	84	80	24	4
Mai	564.9	550.3	9	575.6	13	1.3	3.2	1.0	1.6	-10.4	10	10.0	15	73	71	76	73	11	17
Juni	566.4	559.2	3	573.0	23	1.8	3.7	1.2	2.0	-4.4	17	11.2	23	79	82	95	85	16	28
Juli	566.5	558.3	8	571.7	29	5.3	7.6	4.8	5.6	-4.4	9	15.6	31	72	73	83	76	26	30
August	567.9	564.0	31	573.8	16	6.5	8.9	6.3	7.0	-0.4	31	17.7	19	69	63	80	71	2	16
September	565.9	557.2	26	571.6	16	4.0	6.5	4.0	4.6	-6.4	26	13.8	13	71	70	76	72	9	5
Oktober	564.7	558.1	18	569.7	3	1.9	4.7	2.3	2.8	-4.7	15	9.2	21	61	50	59	57	11	12
November	558.3	544.4	14	568.7	2	-7.5	-6.0	-7.3	-7.0	-14.2	16.16	4.0	1	73	70	75	73	2	10
Dezember	561.5	554.7	22	569.5	27	-6.8	-5.8	-6.7	-6.5	-16.4	31	0.7	15	64	64	67	65	6	24
Jahr	563.6	543.8	I	575.6	V	-1.5	0.4	-1.5	-1.0	-17.6	I	17.7	VIII	71	68	75	71	2	VIII IX

Sargans

$\lambda = 9° 26'$, $\beta = 47° 3'$, $H_b = 508.0^m$, $G = -0.05$ m/m, $h_r = 1.5^m$

Januar	—	—	—	—	—	-0.4	2.9	0.8	1.0	-9.0	10	10.5	31	87	74	86	82	45	31
Februar	—	—	—	—	—	0.9	6.5	2.4	3.1	-4.1	9	12.6	24	87	70	87	81	44	9
März	—	—	—	—	—	4.7	13.1	7.7	8.3	0.0	7. 10	18.5	25	81	55	75	70	34	5.14.24
April	—	—	—	—	—	7.2	14.9	9.9	10.5	-0.1	8. 9	25.1	19	88	59	76	74	34	19
Mai	—	—	—	—	—	11.5	19.4	13.0	14.2	3.0	9	27.1	20	91	61	84	78	36	6
Juni	—	—	—	—	—	12.9	19.4	13.9	15.0	6.7	17	26.4	20. 21	93	67	92	84	49	20.26
Juli	—	—	—	—	—	15.3	23.2	17.3	18.3	8.2	9	31.6	31	92	62	87	80	35	20
August	—	—	—	—	—	16.8	24.4	18.9	19.7	11.5	29	34.0	20	87	60	77	75	31	21
September	—	—	—	—	—	12.9	19.3	15.1	15.6	5.2	28	30.9	13	95	70	89	85	46	1. 13
Oktober	—	—	—	—	—	9.1	16.7	11.9	12.4	4.1	30	21.2	22	94	67	89	83	46	16
November	—	—	—	—	—	1.9	5.5	2.9	3.3	-3.2	18	16.9	1	95	79	91	88	43	24
Dezember	—	—	—	—	—	-0.3	2.7	0.8	1.0	-4.4	26	12.4	19	92	85	92	90	41	19
Jahr	—	—	—	—	—	7.7	14.0	9.6	10.2	-9.0	I	34.0	VIII	90	67	85	81	31	VIII

Bad Ragaz

$\lambda = 9° 30'$, $\beta = 47° 0'$, $H_b =$ ca. 521^m, $G = -0.06$ m/m, $h_r = 1.6^m$

Januar	715.5	701.5	14	726.6	27	-0.9	3.0	0.7	0.9	-12.1	10	11.7	22	78	66	78	74	41	1. 22-30
Februar	722.8	711.9	9	732.3	19	0.5	6.2	1.9	2.6	-4.8	6	14.6	23	79	60	76	72	35	9
März	718.4	713.0	25	732.2	1	4.7	12.3	7.9	8.2	0.0	1	17.8	25	73	50	64	62	31	9.8.14
April	720.8	708.0	7	726.7	24.25	7.5	14.2	9.4	10.1	-0.6	9	23.6	19	79	54	68	67	34	14.15 19
Mai	718.7	707.1	6	728.9	13	12.2	18.0	12.8	14.0	1.6	9	24.6	13.14	80	57	73	70	38	6
Juni	720.2	713.1	2	725.5	22	13.4	18.3	13.6	14.7	7.4	17	25.9	21	82	63	80	75	45	20
Juli	717.9	711.4	20	722.6	14	16.1	22.1	17.0	18.1	7.9	9	29.3	31	77	57	75	70	39	20
August	718.8	713.2	22	724.6	16	17.3	23.7	18.7	19.6	10.8	29	33.2	3. 21	75	53	67	65	31	21
September	718.3	710.8	25	725.1	16	13.0	18.5	14.8	15.3	4.0	28	32.2	13	85	64	79	76	36	13
Oktober	717.9	708.7	17	724.8	3	8.7	16.0	11.9	12.1	2.6	30.31	20.7	22	86	61	76	74	37	16
November	716.5	701.1	14	729.0	10	1.7	5.2	2.7	3.1	-3.5	18	21.0	1	87	70	81	79	34	1
Dezember	720.1	710.9	22	730.7	26.27	-0.8	1.9	0.5	0.5	-6.4	15	12.6	19	85	78	83	82	37	19
Jahr	718.8	701.1	XI	732.3	II	7.8	13.3	9.3	9.9	-12.1	I	33.2	VIII	80	61	75	72	31	III VIII

Glarus

$\lambda = 9° 4'$, $\beta = 47° 3'$, $H_b = 479.6^m$, $G = -0.04$ m/m, $h_r = 1.6^m$

Januar	719.1	704.9	14	730.2	25.27	-3.5	1.0	-2.1	-1.7	-15.4	10	11.1	31	89	69	85	81	27	31
Februar	726.4	715.7	9	736.2	19	-1.5	3.9	-0.1	0.5	-9.2	9	9.6	1	86	59	86	77	29	1
März	721.8	715.3	25	735.9	1	1.9	10.2	5.2	5.6	-2.9	8	16.9	25	88	45	77	70	22	24
April	724.4	712.0	7	730.6	25	5.5	13.7	8.6	9.1	0.1	9	24.5	23	85	43	69	66	19	23
Mai	722.2	707.3	9	732.6	13	10.2	18.1	11.8	13.0	3.1	10	24.4	15	87	44	79	70	24	6
Juni	723.8	716.5	2	729.2	23	12.3	18.3	13.3	14.3	7.2	5	25.2	21	87	53	83	74	27	5. 26
Juli	721.4	713.7	20	725.5	16.29	14.3	22.0	15.8	17.0	7.6	9	29.6	20	88	47	84	73	21	20
August	722.4	716.6	21. 22	728.1	16	14.9	22.8	17.2	18.0	10.7	26	31.5	3	86	45	77	69	21	21
September	721.6	713.2	25	728.8	16	11.7	17.8	13.1	13.9	5.9	27	26.1	14	90	55	91	79	31	6
Oktober	721.4	711.5	17	728.0	3	7.2	14.4	8.8	9.8	1.7	31	17.5	3	94	57	93	81	42	17.24
November	720.1	705.3	13.14	732.5	10	0.5	4.5	1.7	2.1	-6.9	18	14.8	2	91	68	89	83	36	16
Dezember	723.8	714.3	22	734.6	27	-1.7	1.8	-0.8	-0.4	-6.0	26	7.0	8	91	74	89	85	40	27
Jahr	722.4	704.9	I	736.2	II	6.0	12.4	7.7	8.4	-15.4	I	31.5	VIII	89	55	84	76	19	IV

Beobachter: E. Hostettler

Säntis

Bewölkung 7³⁰	13³⁰	21³⁰	Mittel	Niederschlag Summe	Maximum	Tag	Zahl der Tage ● *	●* ≥1.0	*	▲	⌂	≡	heiter	trüb	Windverteilung N	NE	E	SE	S	SW	W	NW	Calmen	1943
7.6	8.2	6.5	7.4	249	35	8	19	18	19	—	—	20	2	16	4	2	5	1	2	17	44	13	5	Januar
5.9	5.6	4.6	5.4	209	41	13	14	11	14	—	—	15	10	9	2	11	12	6	1	8	30	12	2	Februar
5.3	5.5	5.4	5.4	89	22	6	8	8	8	—	1	11	7	8	9	12	9	8	7	21	19	4	4	März
6.7	6.3	6.3	6.4	252	96	1	13	12	13	—	—	17	7	14	9	4	3	5	7	24	29	8	1	April
6.9	7.9	6.8	7.2	169	37	25	14	13	10	1	2	22	3	16	4	9	7	10	5	12	31	14	1	Mai
7.8	9.5	8.4	8.6	400	71	9	19	18	14	1	1	28	1	20	5	4	1	2	1	16	46	15	—	Juni
5.1	7.9	6.7	6.6	268	60	8	18	15	3	2	5	25	4	14	6	6	3	—	4	23	46	5	—	Juli
6.3	6.4	5.6	6.1	144	35	11	18	16	2	—	1	18	5	10	2	1	2	2	7	23	51	5	—	August
7.4	7.4	6.7	7.2	150	41	25	19	14	7	—	1	17	2	16	6	1	3	1	7	23	41	7	1	September
3.8	3.6	2.5	3.3	0	0	—	—	—	—	—	—	4	13	2	2	5	4	7	24	24	19	3	5	Oktober
6.4	7.2	5.8	6.5	193	60	29	15	13	15	—	—	17	6	12	3	10	6	3	5	6	34	20	3	November
6.2	5.8	5.9	6.0	121	28	1	8	8	8	—	—	11	5	13	11	9	5	9	5	19	24	9	2	Dezember
6.3	6.8	5.9	6.3	2344	96	IV	165	146	113	4	11	205	65	150	63	74	60	54	75	216	414	115	24	Jahr

Beobachter: K. Albrecht

Sargans

5.7	5.3	4.6	5.2	117	23	4	13	12	12	—	—	—	6	6	3	8	29	11	10	—	18	5	9	Januar
4.7	4.4	3.7	4.3	42	7	4	10	9	10	—	—	—	10	6	3	2	16	8	13	—	23	9	10	Februar
3.2	3.7	4.4	3.8	45	13	6	8	6	1	—	—	—	11	3	—	2	19	12	23	—	24	4	9	März
5.0	5.1	4.7	4.9	114	34	1	12	11	6	—	1	—	8	9	3	4	15	6	17	—	26	5	14	April
5.0	5.3	5.2	5.2	109	42	9	15	14	—	—	3	—	8	7	—	—	18	8	10	1	30	1	25	Mai
6.1	6.1	6.9	6.4	204	49	9	17	17	—	—	1	—	3	9	—	—	32	2	1	1	43	—	11	Juni
4.2	5.5	5.5	5.1	76	16	8	15	13	—	—	5	—	5	8	—	—	17	14	9	4	39	—	10	Juli
4.6	5.2	3.5	4.4	56	17	22	11	8	—	1	2	—	10	4	—	—	10	6	23	—	34	—	20	August
6.6	6.1	5.9	6.2	148	38	25	19	17	—	—	2	—	4	9	—	2	25	7	7	2	24	1	22	September
4.8	4.5	3.9	4.4	0	0	—	—	—	—	—	—	5	9	4	—	6	28	11	20	—	10	1	17	Oktober
7.3	7.2	6.6	7.0	99	16	13	14	9	7	—	—	1	2	12	—	4	27	7	4	—	14	10	24	November
6.5	6.8	5.3	6.2	48	15	31	9	8	4	—	—	7	2	10	—	5	28	11	11	—	9	—	29	Dezember
5.3	5.4	5.0	5.3	1058	49	VI	143	124	40	1	14	13	78	87	9	33	264	103	148	8	294	36	200	Jahr

Beobachter: Frl. G. Müller

Bad Ragaz

6.6	6.5	5.9	6.3	102	27	4	13	11	10	—	—	1	3	9	1	—	—	26	1	1	7	3	54	Januar
5.1	4.6	4.4	4.7	43	12	4	9	8	9	—	—	1	9	6	4	—	2	5	1	7	9	9	47	Februar
4.1	4.3	4.7	4.4	52	17	28	6	4	—	—	—	—	10	7	3	—	2	23	1	8	16	17	23	März
5.6	5.6	5.1	5.4	101	35	1	12	11	4	—	—	—	6	11	—	—	—	14	5	17	17	9	28	April
6.2	6.1	5.4	5.9	103	38	9	14	11	1	—	—	—	7	13	1	—	4	9	—	11	24	17	27	Mai
7.2	6.6	7.0	6.9	184	36	9	18	17	—	—	—	—	1	12	—	—	—	3	—	6	28	17	36	Juni
4.7	5.6	5.7	5.3	70	18	6	14	11	—	—	—	—	5	10	—	—	2	5	1	12	27	14	32	Juli
4.5	5.2	3.8	4.5	52	18	11	11	8	—	—	1	—	8	7	—	—	—	6	3	3	14	26	41	August
7.5	6.7	6.7	7.0	171	61	25	17	15	—	—	—	—	4	14	—	—	1	13	—	4	15	13	44	September
6.3	3.9	4.7	5.0	0	0	—	—	—	—	—	—	4	5	6	—	—	—	17	1	4	14	16	41	Oktober
7.9	7.3	7.1	7.4	66	12	30	12	11	5	—	—	1	2	15	—	—	—	9	1	1	13	11	55	November
7.5	7.1	6.7	7.1	31	12	30	8	6	3	—	—	8	2	14	—	—	—	13	—	1	4	10	65	Dezember
6.1	7.8	5.6	5.8	975	61	IX	134	113	32	—	1	15	62	124	9	—	11	143	14	75	188	162	493	Jahr

Beobachter: E. Wehrli

Glarus

5.5	5.4	5.4	5.4	116	21	5	17	14	9	—	—	—	6	7	6	—	—	1	2	—	4	9	71	Januar
5.5	4.6	4.6	4.9	59	11	13	13	7	5	—	—	—	9	8	2	1	—	1	1	1	15	4	59	Februar
3.6	3.5	4.9	4.0	53	14	21	8	7	—	—	—	—	10	5	2	—	—	—	1	5	16	12	57	März
5.6	5.4	5.2	5.4	108	39	1	13	11	4	—	1	—	8	11	5	—	—	6	2	—	1	27	49	April
5.5	5.6	6.0	5.7	93	31	9	15	13	—	—	1	—	7	12	1	—	—	5	3	1	7	25	51	Mai
6.4	7.1	6.7	6.7	209	46	9	17	17	—	—	—	—	2	12	6	1	—	5	2	2	4	15	55	Juni
4.3	6.1	5.4	5.3	143	33	6	18	16	—	—	3	—	9	9	2	2	—	5	2	1	6	20	55	Juli
4.3	4.0	4.7	4.6	66	15	22	11	11	—	—	—	—	10	7	3	—	—	3	—	1	2	29	55	August
7.1	6.6	6.7	6.8	159	44	25	15	13	—	—	3	—	3	14	2	1	—	1	3	1	14	17	51	September
4.2	3.8	4.1	4.0	0	0	—	—	—	—	—	—	1	12	7	5	—	—	—	1	—	11	13	63	Oktober
7.1	7.0	6.2	6.8	119	19	28	12	10	4	—	—	1	2	15	—	—	—	2	2	3	10	5	68	November
6.7	5.9	5.2	5.9	36	10	19	9	7	2	—	—	2	6	12	—	—	—	2	—	—	4	9	78	Dezember
5.5	5.5	5.4	5.5	1161	46	VI	148	126	24	—	8	4	84	119	34	5	—	31	19	15	94	185	712	Jahr

Elm

$\lambda = 9^\circ 10'$, $\beta = 46^\circ 55'$, $H = 959^m$, $G = -$ m/m, $h_r = 1.6^m$

1943	Luftdruck					Luft-Temperatur								Relative Feuchtigkeit					
	Mittel	Minimum	Tag	Maximum	Tag	7^{30}	13^{30}	21^{30}	Mittel	Minimum	Tag	Maximum	Tag	7^{30}	13^{30}	21^{30}	Mittel	Minimum	Tag
Januar	—	—	—	—	—	-3.0	-0.4	-1.9	-1.8	-13.2	9	8.4	31	77	65	75	72	32	31
Februar	—	—	—	—	—	-2.5	3.0	-1.4	-0.6	-9.6	18	8.0	1	73	61	76	70	39	20
März	—	—	—	—	—	1.7	8.4	4.0	4.5	-7.0	7	14.4	26	69	48	63	60	29	25
April	—	—	—	—	—	4.5	11.4	5.9	6.9	-3.4	8	21.2	23	69	50	65	61	28	5
Mai	—	—	—	—	—	9.8	15.4	9.8	11.2	0.0	10	23.6	14	72	54	71	66	28	10
Juni	—	—	—	—	—	11.0	15.5	10.8	12.0	4.0	5	23.6	20	72	56	71	66	30	20
Juli	—	—	—	—	—	14.9	19.0	14.0	15.5	5.8	9	26.4	20. 31	64	52	71	62	27	20
August	—	—	—	—	—	13.7	20.9	15.0	16.1	8.2	13	31.0	21	68	47	63	59	23	21
September	—	—	—	—	—	10.1	15.9	11.8	12.4	3.2	27	28.2	13	70	55	67	64	29	13
Oktober	—	—	—	—	—	6.7	13.3	9.2	9.6	0.4	16	17.0	25	*72	*58	*70	*67	?	—
November	—	—	—	—	—	-0.3	2.2	-0.1	0.4	-7.2	18	16.6	1	78	69	80	76	30	1
Dezember	—	—	—	—	—	-2.1	-0.2	-1.5	-1.3	-8.6	25	10.0	19	79	74	82	78	33	19
Jahr	—	—	—	—	—	5.4	10.4	6.3	7.1	-13.2	I	31.0	VIII	72	57	71	67	23	VIII

Auen (Linthal)

$\lambda = 8^\circ 59'$, $\beta = 46^\circ 54'$, $H_b = 830.3^m$, $G = -0.11$ m/m, $h_r = 1.5^m$

Januar	687.8	674.3	14	669.0	27	-1.4	1.8	-1.2	-0.5	-10.6	10	8.5	30	71	58	70	66	26	12
Februar	695.2	684.5	9	704.1	19	-0.6	3.9	0.2	0.9	-7.7	9	10.4	23	67	52	71	63	30	28
März	691.1	685.0	25	704.3	1	2.8	8.8	5.0	5.4	-3.0	7	15.8	25	66	45	66	59	29	24
April	693.3	680.4	7	699.3	24	5.5	11.7	6.8	7.7	-3.0	8	21.5	23	69	52	70	64	27	5
Mai	692.1	677.7	9	702.4	13	9.8	16.0	10.5	11.7	0.2	9	22.9	13	73	53	76	67	30	6. 13
Juni	693.8	686.6	2	699.6	23	11.8	16.3	11.4	12.7	4.6	17	23.7	21	77	57	82	72	37	5
Juli	692.1	685.0	20	696.9	29	15.7	19.3	16.5	17.0	4.9	9	24.6	31	75	51	78	68	27	20
August	693.1	687.8	22	697.0	16	16.9	21.2	18.1	18.6	9.5	28	29.9	19	70	49	70	63	31	2.3. 21
September	691.9	683.8	25	699.5	16	11.6	16.8	12.6	13.4	4.6	27	27.4	13	84	59	82	75	35	9
Oktober	691.3	682.7	17	697.8	3	7.9	14.8	9.3	10.3	2.8	16	18.4	22	79	53	78	70	35	19. 24
November	689.2	675.3	14	701.5	10	-0.3	3.6	0.4	1.0	-5.4	18	16.9	1	85	64	83	77	30	1
Dezember	692.5	685.3	4	702.7	28	-1.0	1.3	-1.2	-0.5	-6.5	14	10.5	19	81	64	79	75	33	19
Jahr	691.9	674.3	I	704.3	III	6.6	11.3	7.4	8.2	-10.6	I	29.9	VIII	75	55	75	68	26	I

Auen: Die in den früheren Jahrgängen angegebene Höhe von 821 m ist unrichtig. Stationsverlegung und Beobachterwechsel im August. Neue Höhe 815.1 m. Die Luftdruckwerte sind auf die bisherige Höhe bezogen (Differenz 1.3 mm).

Oberiberg

$\lambda = 8^\circ 47'$, $\beta = 47^\circ 2'$, $H_b = 1090^m$, $G = -0.10$ m/m, $h_r = 1.7^m$

Januar	666.3	653.6	2. 12	676.5	27	-3.8	2.0	-3.2	-2.0	-15.5	9	9.0	22.23	81	57	79	72	39	30
Februar	673.5	662.6	9	682.5	28	-3.7	3.9	-2.6	-1.3	-13.4	9	9.4	21	80	55	83	73	32	1
März	669.9	664.9	25	682.1	1	-0.8	8.4	1.5	2.6	-10.2	7	12.6	26	83	50	83	72	31	24
April	672.8	661.6	7	677.9	25	4.1	11.0	4.8	6.2	-4.3	3	20.8	19	79	52	80	70	32	22. 23
Mai	671.4	656.8	9	680.9	13	9.4	15.6	8.0	10.2	-0.6	10	23.0	29. 31	77	54	85	72	33	10. 30
Juni	673.1	666.3	2	678.4	23	10.5	15.8	9.4	11.3	2.9	17	25.8	25	77	54	88	73	31	20
Juli	671.4	664.7	8	675.7	16	13.1	19.6	11.9	14.1	3.6	9	28.0	31	76	53	84	71	31	20
August	672.5	667.3	22	677.5	16	13.4	21.1	13.7	15.5	7.4	28	30.4	19	77	49	79	68	26	18
September	671.2	663.4	25	678.2	16	9.7	17.3	10.7	12.1	0.0	28	28.8	13	85	56	86	76	32	13
Oktober	670.3	661.8	17	676.5	3	5.1	14.5	6.7	8.3	0.6	29	19.2	6	88	54	86	76	36	17
November	667.5	654.1	14	678.5	9	-2.6	3.1	-1.5	-0.6	-10.2	18	15.6	1	87	62	85	78	35	24
Dezember	670.5	662.5	22	680.1	27	-4.2	1.5	-3.4	-2.4	-11.6	14	7.0	17	86	62	84	77	31	6
Jahr	670.9	653.6	I	682.5	II	4.2	11.2	4.7	6.2	-15.5	I	30.4	VIII	81	55	84	73	26	VIII

Einsiedeln

Die Abendbeobachtung erfolgt um 20^{30}. $\lambda = 8^\circ 45'$, $\beta = 47^\circ 8'$, $H_b = 913.9^m$, $G = -0.08$ m/m, $h_r = 1.5^m$

Januar	680.8	667.2	2	691.2	27	-3.5	0.7	-1.9	-1.7	-14.4	10	7.2	23	85	67	80	77	36	26
Februar	688.1	677.3	9	696.7	28	-2.2	2.5	-0.4	-0.2	-10.5	9	7.4	23	78	63	77	73	40	23
März	684.2	679.0	24. 25	696.8	1	0.9	7.4	3.8	3.8	-4.1	8	12.3	24	82	56	75	71	34	23
April	687.0	674.1	7	692.6	25	5.2	10.2	7.5	7.3	-2.1	9	19.0	23	77	55	67	66	32	5. 23
Mai	685.5	671.6	9	695.1	13	10.0	15.0	11.4	11.7	2.1	10	20.9	14. 30	77	53	69	66	21	10
Juni	687.2	680.2	2	692.5	23	11.5	15.7	12.7	12.8	5.5	17	21.3	25	79	56	74	70	39	21
Juli	685.2	678.6	8	689.2	16	14.0	19.5	16.3	16.1	7.2	9	25.8	20	78	53	67	66	35	18. 20
August	686.4	681.3	21. 22	691.6	17	14.6	20.5	16.5	16.8	10.0	31	28.2	21	76	55	66	66	23	21
September	685.2	678.4	25	692.0	16	11.0	16.0	12.6	12.9	2.8	28	26.7	13	86	62	81	76	32	13
Oktober	684.4	675.3	17	690.9	3	6.8	12.5	8.6	9.1	2.7	31	16.2	2	87	63	84	78	40	2. 24
November	682.1	668.4	14	693.9	10	0.0	2.8	1.1	1.1	-5.9	18	12.6	1	80	68	80	76	41	1
Dezember	685.2	677.0	22	695.0	27	-2.2	0.9	-1.3	-1.0	-7.0	15	5.2	17	84	74	83	80	48	27
Jahr	685.1	667.2	I	696.8	III	5.5	10.3	7.2	7.4	-14.4	I	28.2	VIII	81	60	75	72	21	V

Beobachter: J. Kubli

Elm

Bewölkung				Niederschlag			Zahl der Tage								Windverteilung									1948
7³⁰	13³⁰	21³⁰	Mittel	Summe	Maximum	Tag	● *	●* >1.0	✳	▲	K	≡	heiter	trüb	N	NE	E	SE	S	SW	W	NW	Calmen	
5.5	6.1	5.8	5.8	140	23	8	13	11	13	—	—	—	8	10	—	—	—	—	9	—	—	—	84	Januar
5.0	4.9	4.9	4.9	59	12	13	10	10	9	—	—	—	10	7	3	—	—	—	1	—	—	—	80	Februar
5.0	5.2	6.0	5.4	61	?	—	8	7	1	—	—	1	7	8	3	—	1	—	16	—	—	—	73	März
5.4	5.6	5.9	5.6	119	48	1	11	11	6	—	—	—	8	12	11	—	—	—	8	—	—	—	71	April
5.4	5.8	6.0	5.7	125	36	9	13	12	1	—	—	3	6	11	12	—	—	—	2	—	—	—	79	Mai
6.7	7.3	7.3	7.1	213	48	9	18	16	—	—	1	2	3	13	3	—	—	—	—	—	—	—	87	Juni
4.7	6.4	5.9	5.7	141	27	6	17	15	—	—	2	—	5	11	11	—	—	—	2	—	—	—	80	Juli
4.6	5.4	5.5	5.2	78	33	22	9	8	—	—	—	1	7	10	11	—	—	—	8	—	—	—	74	August
7.4	7.4	7.1	7.3	242	78	25	15	15	—	—	1	3	3	17	12	—	—	—	2	—	—	1	75	September
4.1	4.1	3.9	4.0	0	0	—	—	—	—	—	—	7	12	5	17	—	—	—	11	—	—	—	65	Oktober
7.3	7.9	7.6	7.6	101	26	28	11	9	10	—	—	9	1	18	2	—	—	—	5	—	—	—	83	November
5.2	6.4	5.1	5.6	42	10	1	8	6	7	—	—	4	8	12	—	—	—	—	10	—	—	—	83	Dezember
5.5	6.0	5.9	5.8	1321	78	IX	133	120	47	—	4	30	78	134	85	—	1	—	74	—	—	1	934	Jahr

Beobachter: L. Curt, J. Zweifel

Auen (Linthal)

6.1	5.7	5.7	5.8	165	30	3	16	14	14	—	—	1	6	9	5	—	—	—	6	—	—	—	82	Januar
5.5	4.6	4.6	4.9	94	23	13	13	11	11	—	—	3	10	7	5	—	—	—	2	—	—	—	77	Februar
3.9	4.0	4.8	4.2	72	26	31	7	7	2	—	—	1	11	6	1	—	1	—	11	—	—	—	80	März
5.6	5.6	5.5	5.6	205	95	1	13	11	7	—	—	3	8	12	12	—	1	—	10	—	—	—	67	April
6.1	6.3	6.7	6.4	120	52	9	11	10	1	—	1	5	7	14	15	—	—	—	2	1	—	—	75	Mai
6.9	7.7	8.4	7.7	212	38	9	18	17	—	—	7	3	2	19	19	—	—	—	1	—	—	—	70	Juni
4.2	6.0	5.9	5.4	166	33	6	17	16	—	1	5	8	7	11	—	—	—	—	2	—	—	—	91	Juli
3.9	5.6	5.0	4.8	68	20	30	10	10	—	—	—	3	10	6	—	—	—	—	—	—	—	—	—	August
7.4	6.6	5.8	6.6	206	56	25	15	13	—	—	—	5	6	12	—	—	—	—	—	—	—	—	—	September
3.8	2.8	3.0	3.2	0	0	—	—	—	—	—	—	2	17	3	14	—	8	1	4	—	1	1	64	Oktober
6.6	7.3	7.4	7.1	103	19	28	9	9	5	—	—	9	3	15	7	—	2	2	4	—	1	—	74	November
5.4	4.8	5.6	5.3	49	15	30	5	5	3	—	—	6	6	9	1	1	—	1	3	—	—	—	87	Dezember
5.5	5.6	5.7	5.6	1460	95	IV	134	123	43	1	13	49	93	123	—	—	—	—	—	—	—	—	—	Jahr

Beobachter: A. Holdener

Oberiberg

6.4	6.7	5.5	6.2	136	18	5	15	15	15	—	—	1	5	10	—	—	—	—	2	6	5	4	76	Januar
6.0	5.0	4.8	5.3	86	21	7	11	10	10	—	—	—	9	9	1	—	1	1	3	4	5	—	69	Februar
3.8	4.8	4.6	4.4	108	29	31	9	8	5	—	1	1	11	5	1	1	2	2	2	4	3	1	77	März
5.9	5.7	4.8	5.5	174	74	1	14	12	6	—	—	—	8	11	3	1	2	2	10	5	6	2	59	April
5.7	6.6	5.8	6.0	104	27	9	14	11	1	—	1	3	8	16	1	3	1	1	1	3	3	5	75	Mai
6.7	8.0	6.4	7.0	246	48	9	15	14	—	—	—	—	2	11	—	2	6	1	3	6	4	2	66	Juni
4.6	6.3	4.8	5.2	202	51	6	18	16	—	—	2	—	5	10	1	2	—	2	2	2	4	1	79	Juli
5.0	5.2	4.4	4.9	87	16	30	15	13	—	—	2	1	9	6	—	—	3	2	6	5	4	—	73	August
6.9	7.0	6.1	6.7	186	41	25	18	14	—	—	2	3	2	12	—	—	2	—	1	1	3	1	82	September
4.8	4.5	3.8	4.4	2	2	25	2	1	—	—	—	4	11	8	—	—	2	—	1	1	2	—	87	Oktober
6.8	7.3	7.4	7.2	160	31	28	14	12	12	—	—	3	3	16	—	—	—	—	3	8	5	2	72	November
5.5	5.5	5.0	5.3	56	14	30	9	9	6	—	—	3	8	10	—	—	—	—	1	—	1	1	90	Dezember
5.7	6.1	5.3	5.7	1547	74	IV	154	135	55	—	8	19	81	124	7	9	19	11	35	45	45	19	905	Jahr

Beobachter: P. C. Merkt

Einsiedeln

6.1	6.6	5.9	6.2	109	17	5	17	15	13	—	—	2	5	12	—	—	1	—	2	14	14	5	57	Januar
6.3	5.3	5.2	5.6	75	20	7	11	11	10	—	—	1	8	11	—	7	—	6	—	7	6	5	53	Februar
4.5	4.7	4.6	4.6	80	25	21	12	9	4	—	—	2	7	6	6	6	2	1	—	7	8	4	59	März
5.6	5.6	5.4	5.5	124	46	1	13	11	5	—	—	—	7	11	11	1	—	1	2	11	8	7	49	April
5.2	6.3	5.6	5.7	100	21	25	14	12	1	—	—	2	7	12	15	3	2	4	1	4	11	9	44	Mai
6.6	7.2	6.8	6.9	237	41	9	15	14	—	—	2	—	1	12	6	2	2	4	—	11	10	16	39	Juni
4.4	5.5	5.5	5.1	157	32	6	16	16	—	—	3	—	6	10	7	1	—	1	1	8	12	10	53	Juli
5.0	5.4	4.9	5.1	84	22	11	13	11	—	—	2	1	8	7	8	—	—	1	3	7	13	9	52	August
7.1	7.2	5.8	6.7	152	38	25	19	15	—	—	1	2	3	10	5	1	—	3	2	2	4	9	64	September
5.8	4.8	4.8	5.1	0.1	0.1	25	—	—	—	—	—	6	7	9	13	—	—	—	—	1	4	12	63	Oktober
7.3	7.9	7.9	7.7	116	22	24	13	11	11	—	—	5	3	17	1	4	—	2	5	11	8	6	53	November
6.6	7.5	6.5	6.9	41	13	19	8	7	6	—	—	9	4	13	3	2	—	2	1	8	6	4	67	Dezember
5.9	6.2	5.7	5.9	1275	46	IV	151	132	50	—	8	30	66	130	75	27	7	25	17	91	104	96	653	Jahr

Luzern

$\lambda = 8^\circ 19'$, $\beta = 47^\circ 3'$, $H_b = 497.8^m$, $G = -0.02$ m/m, $h_r = 1.5^m$

1943	Luftdruck					Luft-Temperatur								Relative Feuchtigkeit					
	Mittel	Minimum	Tag	Maximum	Tag	7^{30}	13^{30}	21^{30}	Mittel	Minimum	Tag	Maximum	Tag	7^{30}	13^{30}	21^{30}	Mittel	Minimum	Tag
Januar	717.2	702.3	14	728.0	26	-1.3	1.6	0.0	0.1	-6.7	10	7.1	23	88	80	86	85	61	4. 13
Februar	724.6	713.2	9	733.1	19.28	0.6	5.2	2.4	2.6	-7.0	9	10.4	23.25	85	71	77	78	57	23
März	719.9	713.4	24	733.8	1	2.9	10.6	6.6	6.7	-2.3	8	16.3	24	85	66	74	75	44	21
April	722.5	710.8	7	728.3	25	7.2	14.0	10.5	10.6	0.9	4	21.7	23	87	64	74	75	47	18
Mai	720.3	706.5	9	730.4	13	11.5	18.3	14.6	14.8	5.7	10	25.0	14	85	62	74	74	37	10
Juni	722.0	715.1	2	727.6	23	13.6	18.8	15.4	15.8	8.6	17	24.8	25	87	64	80	77	50	21
Juli	719.5	712.6	20	723.9	14	15.6	22.4	18.6	18.8	10.0	9	28.4	31	89	64	79	77	45	5
August	720.4	714.0	21	726.1	16	16.6	23.5	20.2	20.1	13.6	13	31.1	19.20	84	61	73	73	41	2[illegible]
September	719.8	712.4	25	727.0	16	12.8	18.1	14.9	15.2	5.5	27	27.0	13	90	73	84	82	60	2. 6
Oktober	719.4	709.7	17	725.3	3	8.8	14.0	10.6	11.0	3.4	15.17	18.7	22	92	76	86	84	60	3. 2[illegible]
November	718.2	703.6	14	730.3	10	2.4	5.1	3.3	3.5	-2.4	11	12.8	2	77	75	77	76	61	16
Dezember	721.9	713.0	22	733.1	27	0.2	2.1	1.0	1.1	-4.6	26	6.7	20	93	87	89	90	67	1
Jahr	720.5	702.3	I	733.8	III	7.6	12.8	9.8	10.0	-7.0	II	31.1	VIII	87	70	79	79	37	V

Walchwil

$\lambda = 8^\circ 30'$, $\beta = 47^\circ 6'$, $H = 452^m$, $G = -$ m/m, $h_r = 1.5^m$

Januar	—	—	—	—	—	-0.5	1.5	0.6	0.5	-5.0	10	13.0	31	89	81	83	84	34	31
Februar	—	—	—	—	—	0.9	4.8	2.0	2.4	-4.1	9	9.0	1	83	67	78	76	49	6
März	—	—	—	—	—	3.9	9.5	6.6	6.7	0.0	9	16.6	24	87	61	74	74	35	23
April	—	—	—	—	—	6.8	13.0	10.3	10.1	0.7	9	21.1	23	85	60	68	71	36	21.23
Mai	—	—	—	—	—	12.0	18.0	13.9	14.5	4.2	10	24.8	22.30	82	57	70	70	31	10
Juni	—	—	—	—	—	13.7	18.9	15.0	15.7	8.2	3	24.0	24	80	60	76	72	42	26
Juli	—	—	—	—	—	15.9	22.1	17.8	18.4	8.4	9	29.0	5	84	61	71	72	49	14
August	—	—	—	—	—	16.8	23.1	19.5	19.7	12.0	31	29.6	20	80	57	64	67	25	28
September	—	—	—	—	—	13.8	18.2	15.1	15.6	6.0	28	24.4	13	89	68	80	79	42	15
Oktober	—	—	—	—	—	10.1	13.7	11.0	11.4	5.2	16	18.0	2	92	71	88	84	45	26
November	—	—	—	—	—	3.1	5.4	3.8	4.0	-1.0	17	13.8	2	82	72	78	77	44	13
Dezember	—	—	—	—	—	0.4	2.2	1.0	1.1	-3.6	26	6.0	8	88	81	86	85	64	2. 27
Jahr	—	—	—	—	—	8.1	12.5	9.7	10.0	-5.0	I	29.6	VIII	85	66	76	76	25	VIII

Rigi-Kulm

$\lambda = 8^\circ 30'$, $\beta = 47^\circ 3'$, $H_b = 1787.3^m$, $G = -0.20$ m/m, $h_r = 1.8^m$

Januar	610.4	598.3	2	619.6	27	-4.0	-2.7	-3.3	-3.3	-11.7	9	8.1	22	77	74	76	76	18	25
Februar	616.8	607.5	10	625.2	28	-3.4	-1.9	-2.8	-2.7	-9.4	16.18	6.0	22	70	67	70	69	19	9
März	614.3	609.9	14	625.4	1	-0.2	1.6	-0.1	0.3	-8.8	7	6.8	2	66	66	74	69	28	2
April	617.1	604.2	7	622.1	25	1.0	3.0	1.4	1.7	-9.0	8	12.4	23	76	75	79	77	38	23
Mai	616.7	603.0	9	627.0	13	5.7	7.7	5.9	6.3	-4.8	10	15.0	13.14	74	76	75	75	35	17
Juni	618.3	611.9	3	624.7	23	6.3	8.0	6.3	6.7	-1.0	16.17	15.2	20	82	81	84	82	38	20
Juli	617.5	609.1	8	622.2	16	9.9	11.9	10.1	10.5	-0.4	9	19.2	31	73	74	79	75	35	16
August	618.7	613.5	22	624.2	16	10.6	13.6	10.8	11.5	4.0	28	22.1	19	71	65	74	70	29	18
September	617.0	610.1	26	623.2	16	7.8	10.1	8.4	8.7	-2.2	26	19.2	13	73	69	78	73	36	13
Oktober	615.8	608.4	18	621.3	3	5.8	8.3	6.1	6.6	0.6	15.16	11.4	21	62	57	68	62	28	23
November	611.4	599.1	14	620.3	2	-3.4	-1.9	-3.3	-3.0	-9.0	17	8.6	1	80	79	79	79	12	11
Dezember	614.3	607.7	22	623.0	27	-2.7	-1.6	-2.8	-2.5	-11.0	31	5.0	15	67	69	71	69	8	29
Jahr	615.7	598.3	I	627.0	V	2.8	4.7	3.1	3.4	-11.7	I	22.1	VIII	73	71	76	73	8	XII

Pilatus-Kulm

Die Abendbeobachtung erfolgt um 20^{30}

$\lambda = 8^\circ 16'$, $\beta = 46^\circ 59'$, $H_b = 2068^m$, $G = -0.23$ m/m, $h_r = 2.0^m$

Januar	586.1	575.0	2	595.0	27	-5.5	-3.2	-4.5	-4.5	-12.0	9	6.2	22	64	59	68	64	10	30
Februar	592.5	583.0	9	600.9	28	-5.0	-2.3	-5.0	-4.3	-12.4	8	6.0	22	56	49	53	53	1	20
März	590.1	585.7	14	601.1	1	-2.0	1.3	-2.1	-1.1	-10.0	7	6.8	24	60	49	71	60	9	1
April	593.1	579.9	7	598.4	25	-0.6	2.3	-0.5	0.0	-11.6	8	12.0	23	67	60	75	67	11	25
Mai	593.1	579.6	9	603.0	13	4.0	6.7	4.1	4.5	-8.0	10	12.4	13.30	60	60	73	64	9	17
Juni	595.6	588.7	3	602.2	24	4.8	7.0	4.7	5.0	-2.4	4	16.8	20	75	73	84	77	10	20
Juli	594.5	588.3	7	599.2	4	8.0	11.5	7.7	8.6	-1.8	9	20.2	20	62	65	77	68	20	5
August	595.9	591.6	22	602.4	17	9.4	13.8	10.0	10.7	3.1	28	27.4	20	—	—	—	—	—	—
September	*593.5	—	—	—	—	7.7	10.4	8.9	8.7	0.0	26.29	20.0	13	—	—	—	—	—	—
Oktober	*591.8	—	—	—	—	4.4	7.9	5.3	5.7	0.0	26.27	11.6	24	—	—	—	—	—	—
November	586.6	573.6	14	595.6	3	-4.3	-2.7	-4.1	-3.9	-12.8	17	8.2	1	—	—	—	—	—	—
Dezember	589.2	582.2	22	597.7	27	-4.2	-1.8	-3.8	-3.4	-14.0	31	4.8	15.17	67	66	68	67	17	26
Jahr	591.8	573.6	XI	603.0	V	1.4	4.2	1.7	2.2	-14.0	XII	27.4	VIII	—	—	—	—	—	—

eobachter: Kloster Wesemlin

Luzern

Bewölkung				Niederschlag			Zahl der Tage								Windverteilung									1943
7.30	13.30	21.30	Mittel	Summe	Maximum	Tag	● *	●* ≧1.0	*	▲	K	≡	heiter	trüb	N	NE	E	SE	S	SW	W	NW	Calmen	
8.8	8.0	7.9	8.2	69	20	5	14	12	9	—	—	14	—	18	22	10	4	18	4	2	6	12	15	Januar
7.8	5.7	5.1	6.2	39	11	7	11	9	7	—	—	6	4	11	19	4	—	28	5	4	2	6	16	Februar
5.5	5.5	5.5	5.5	60	21	21	9	8	1	—	1	4	7	8	27	12	1	13	5	—	2	14	19	März
5.9	5.6	4.9	5.5	59	13	19	10	8	2	—	1	—	7	11	21	6	3	38	4	—	8	8	2	April
5.6	6.2	6.1	6.0	77	25	22	12	11	—	1	1	1	9	13	38	10	4	15	1	1	6	10	8	Mai
7.1	7.4	7.4	7.3	146	29	6	14	13	—	—	1	—	1	14	30	6	9	22	1	1	5	7	9	Juni
5.0	5.6	5.3	5.3	146	34	19	15	13	—	—	8	1	7	10	34	9	3	27	1	1	5	5	8	Juli
5.1	4.9	5.0	5.0	72	29	11	7	7	—	1	1	—	5	5	30	7	3	28	—	2	7	12	4	August
8.8	7.5	7.6	8.0	111	18	19	19	16	—	—	1	9	1	18	33	13	11	16	3	—	1	12	1	September
8.2	6.5	5.5	6.7	1	0.5	19	2	—	—	—	—	13	3	13	30	20	2	12	—	—	1	13	15	Oktober
9.0	8.1	8.3	8.5	51	11	24	11	10	2	—	—	14	—	20	33	11	2	5	3	5	7	9	15	November
9.1	9.0	8.4	8.8	24	7	19	9	8	4	—	—	17	—	23	27	16	1	5	1	1	3	5	34	Dezember
7.2	6.7	6.4	6.8	855	34	VII	133	115	25	2	14	79	44	164	344	124	43	227	28	17	53	113	146	Jahr

Beobachter: A. Wyss

Walchwil

9.5	8.3	7.3	8.4	50	11	23	12	10	5	—	—	6	1	19	5	—	—	—	1	—	9	2	76	Januar
6.6	5.7	4.5	5.6	55	17	7	8	7	4	—	—	—	6	8	7	1	4	—	—	—	5	5	62	Februar
4.7	4.1	4.8	4.5	55	22	21	9	6	1	—	—	1	10	8	4	4	4	—	2	2	3	2	72	März
5.1	5.3	5.1	5.2	73	22	1	11	10	4	—	—	—	8	11	3	—	1	—	1	—	11	2	72	April
4.9	5.6	5.5	5.3	59	15	7	11	10	—	—	1	—	10	12	8	3	1	1	1	—	4	3	72	Mai
6.8	6.3	6.6	6.6	157	32	9	12	11	—	—	—	—	2	12	10	3	1	—	—	1	10	13	52	Juni
4.6	4.9	4.2	4.6	137	30	6	12	12	—	—	2	—	10	9	—	6	1	—	—	4	6	6	70	Juli
4.9	4.5	3.7	4.4	90	28	11.22	6	6	—	—	1	—	8	2	3	—	—	1	2	1	5	6	75	August
8.1	6.1	5.8	6.7	104	27	19	12	11	—	—	—	—	2	10	2	3	1	—	1	1	13	7	62	September
7.3	5.8	5.1	6.1	0.2	0.2	25	—	—	—	—	—	4	5	12	—	3	—	—	—	—	9	—	81	Oktober
8.8	8.4	8.4	8.5	46	9	28	10	9	1	—	—	5	—	22	—	16	—	—	1	1	13	4	55	November
9.0	9.0	8.5	8.8	30	13	19	8	8	3	—	—	2	—	24	—	—	1	—	—	1	6	—	85	Dezember
6.7	6.2	5.8	6.2	856	32	VI	111	100	18	—	4	18	62	149	42	39	14	2	9	11	94	50	834	Jahr

Beobachter: J. Wiget

Rigi-Kulm

6.6	7.2	6.9	6.9	121	28	23	15	15	15	—	—	19	4	15	—	—	2	5	9	22	44	—	11	Januar
5.9	5.4	5.3	5.5	109	23	7	13	10	13	—	—	12	9	12	—	1	16	8	5	13	32	1	8	Februar
4.6	4.8	5.6	5.0	90	28	21	10	8	9	—	—	7	8	7	—	4	10	23	15	13	19	2	7	März
5.8	6.1	5.5	5.8	141	36	1	13	13	9	—	—	13	5	11	—	3	4	2	13	16	32	—	20	April
6.0	6.6	7.2	6.6	117	27	22	11	10	5	1	1	15	5	13	1	5	11	8	3	12	19	—	34	Mai
7.2	7.5	8.0	7.6	297	58	9	15	13	6	—	—	16	1	14	1	3	8	3	—	10	28	—	37	Juni
5.1	5.7	6.3	5.7	185	34	6	17	16	2	—	—	9	4	11	—	7	7	2	4	11	33	—	29	Juli
5.2	5.5	5.9	5.5	117	29	11	12	11	—	—	1	11	6	8	—	—	4	2	8	8	47	1	23	August
7.1	6.5	7.1	6.9	147	36	25	17	13	4	—	—	11	2	14	—	1	3	5	11	20	18	—	32	September
3.6	3.8	3.9	3.8	2	2	25	1	1	—	—	—	7	7	1	—	2	11	17	26	7	9	3	18	Oktober
6.6	7.4	6.8	6.9	129	18	28	13	12	13	—	—	13	3	13	—	3	7	16	6	13	30	—	15	November
5.5	5.6	5.7	5.6	68	16	19	9	9	9	—	—	9	8	10	—	3	16	10	22	8	21	—	13	Dezember
5.8	6.0	6.2	6.0	1523	58	VI	146	131	85	1	2	142	62	129	2	32	99	101	122	153	332	7	247	Jahr

Beobachter: Pilatusbahn

Pilatus-Kulm

6.5	7.1	6.6	6.7	106	19	3	18	18	18	—	—	16	4	14	—	1	—	5	7	74	—	1	5	Januar
5.7	5.4	4.6	5.2	109	28	7	10	10	10	—	—	12	10	11	—	8	1	12	1	55	1	1	5	Februar
5.1	5.4	4.8	5.1	73	22	21	9	8	9	2	—	10	7	8	—	9	—	25	1	56	—	—	2	März
6.1	6.3	5.3	5.9	134	39	1	14	13	14	—	1	14	5	11	—	6	—	12	1	63	1	1	6	April
5.5	6.9	6.2	6.2	87	29	22	11	10	7	—	1	12	5	10	—	2	—	23	7	52	5	—	4	Mai
5.9	7.7	6.1	6.6	184	27	6	14	14	7	—	1	12	4	11	—	—	1	17	31	24	15	—	2	Juni
4.4	5.6	4.8	4.9	174	26	20	16	15	3	3	7	10	11	11	—	4	8	7	52	17	3	1	1	Juli
3.8	4.6	3.7	4.0	83	29	22	11	11	—	—	1	10	12	6	—	—	2	31	36	19	2	—	3	August
6.9	7.6	7.5	7.3	143	*36	25	19	19	9	—	2	18	2	16	1	—	15	22	26	11	5	1	9	September
2.6	1.9	1.9	2.1	0	0	—	—	—	—	—	—	3	19	2	—	1	7	5	26	25	11	3	15	Oktober
5.4	6.9	5.9	6.1	84	14	29	12	12	12	—	—	15	6	10	1	6	3	9	4	63	2	1	1	November
5.2	5.3	5.2	5.2	51	20	30	9	9	9	—	—	8	7	8	—	6	—	16	1	69	—	—	1	Dezember
5.3	5.8	5.2	5.4	1228	39	IV	143	139	98	5	13	140	92	118	2	43	37	184	193	528	45	9	54	Jahr

Sarnen

$\lambda = 8° 15'$, $\beta = 46° 54'$, $H_b =$ ca. 474^m, $G = -0.03$ ‰, $h_r = 1.7^m$

1943	Luftdruck					Luft-Temperatur								Relative Feuchtigkeit					
	Mittel	Minimum	Tag	Maximum	Tag	7^{30}	13^{30}	21^{30}	Mittel	Minimum	Tag	Maximum	Tag	7^{30}	13^{30}	21^{30}	Mittel	Minimum	Tag
Januar	718.8	704.8	2	730.0	26	-1.6	1.7	-0.4	-0.2	-7.2	10	7.3	23	93	80	89	87	44	4
Februar	726.2	715.0	9	734.8	28	-0.3	4.7	1.0	1.6	-4.3	19	9.2	26	92	67	88	82	52	13
März	721.4	714.7	24	735.4	1	2.2	10.4	5.8	6.1	-3.0	8	15.5	24	94	56	82	77	36	24
April	724.1	713.8	7	730.3	24	6.9	13.9	9.0	9.7	0.8	8	22.2	19	88	53	76	72	31	21
Mai	721.9	707.6	9	732.0	13	12.1	17.8	13.0	14.0	6.0	9	24.2	30	83	56	81	73	37	10
Juni	723.5	716.2	2	729.1	23	14.1	18.6	14.7	15.5	7.8	17	24.2	25	82	59	83	75	39	5
Juli	721.1	714.4	20	725.7	14	15.9	22.4	17.3	18.2	9.3	9	27.6	31	85	54	82	74	41	4
August	721.9	715.5	21	728.0	16	16.4	23.5	18.9	19.4	12.0	24.28	31.6	21	86	52	73	70	28	21
September	721.3	713.2	25	728.6	16	12.6	18.5	14.2	14.9	5.8	27	25.4	13	97	65	93	85	45	6. 21
Oktober	721.1	711.0	17	727.4	3	8.3	14.2	9.6	10.4	2.9	17	17.8	3	98	69	97	88	53	23
November	719.9	705.4	14	731.9	9. 10	2.1	5.5	3.1	3.4	-3.5	11.18	13.6	2	92	72	87	84	38	14
Dezember	723.5	714.2	22	734.1	27	0.1	2.7	0.9	1.1	-5.3	26	6.8	8	94	81	92	89	63	2. 3
Jahr	722.1	704.8	I	735.4	III	7.4	12.7	9.0	9.5	-7.2	I	31.6	VIII	90	64	85	80	28	VIII

Engelberg

Die Abendbeobachtung erfolgt um 20^{30} h. $\lambda = 8° 25'$, $\beta = 46° 49'$, $H_b = 1017.8^m$, $G = -0.12$ ‰, $h_r = 1.6^m$

Januar	671.9	659.6	14	681.8	27	-3.4	0.1	-2.4	-2.0	-13.1	9. 10	6.5	22. 30	79	68	78	75	37	30
Februar	678.8	668.6	9	687.4	28	-2.5	2.2	-1.5	-0.7	-10.1	9	7.7	23	77	65	81	74	38	28
März	675.1	670.0	25	687.6	1	0.6	7.1	3.1	3.4	-4.5	8	12.5	24	79	58	75	71	34	1
April	678.0	665.8	7	683.3	24. 25	4.0	10.6	6.4	6.7	-4.1	8	18.9	23	76	55	68	66	34	21
Mai	676.5	662.5	9	686.0	13	8.4	14.1	10.2	10.5	-0.5	10	21.5	14	82	59	75	72	34	10
Juni	678.0	671.7	2	683.2	23	9.9	14.4	11.6	11.5	2.6	17	22.1	24	85	65	81	77	42	20
Juli	676.3	669.9	8	680.4	16	12.5	18.3	14.4	14.6	5.5	9	25.3	20	78	57	76	70	28	20
August	676.6	673.1	3	680.5	29	12.6	19.3	15.5	15.4	9.1	30	27.4	21	78	55	71	68	34	21
September	676.3	669.2	25	683.0	16	9.6	14.9	11.7	11.8	3.1	27	25.9	13	82	66	80	76	31	17
Oktober	675.6	667.1	17	681.6	3	5.7	12.1	7.6	8.3	1.5	16	15.7	21	79	60	78	72	34	17
November	673.1	660.0	14	683.6	10	-1.7	1.8	-0.3	-0.3	-7.9	18	12.7	1	79	67	74	73	36	13
Dezember	676.1	668.6	22	685.5	27	-3.0	-0.5	-2.6	-2.2	-9.4	26	5.5	6	77	68	78	74	38	21
Jahr	676.0	659.6	I	687.6	III	4.4	9.5	6.1	6.4	-13.1	I	27.4	VIII	79	62	76	72	28	VII

Altdorf

$\lambda = 8° 39'$, $\beta = 46° 53'$, $H_b = 456.3^m$, $G = -0.05$ ‰, $h_r = 1.5^m$

Januar	720.3	705.7	14	732.5	26	-0.4	2.9	0.8	1.0	-9.2	10	11.8	31	84	69	79	77	30	31
Februar	727.9	715.4	9	737.0	28	0.5	5.2	1.6	2.2	-4.3	9	13.3	1	84	60	79	74	30	1
März	723.1	717.4	25	737.0	1	4.4	10.5	7.2	7.3	-0.9	7	17.0	25	74	50	67	64	25	8. 24
April	725.7	713.2	7	732.6	24	7.5	13.7	9.9	10.2	0.5	9	23.8	19	77	49	65	64	27	22. 23
Mai	723.4	708.4	9	733.3	13	12.1	18.3	13.3	14.3	6.1	10	25.6	30	80	48	73	67	27	10
Juni	725.0	717.6	2	730.4	22. 23	13.9	18.7	14.5	15.4	8.6	17	24.0	25	80	53	81	71	36	21
Juli	722.5	715.5	20	727.4	14	15.8	21.9	17.1	17.9	9.8	9	29.1	20	81	53	78	71	26	20
August	723.5	717.4	22	729.6	16	16.9	22.9	18.9	19.4	11.8	26	31.7	21	80	49	70	66	24	21
September	722.7	714.6	25	730.0	16	13.5	19.3	15.0	15.7	7.0	27	30.3	13	87	57	83	76	30	14
Oktober	722.5	712.5	17	729.2	3	9.5	14.9	11.6	11.9	4.7	16	19.2	17	88	61	80	76	30	17. 31
November	721.3	706.6	14	733.7	10	2.7	6.3	3.8	4.2	-3.4	18	15.7	1	85	65	80	77	40	1
Dezember	725.0	715.5	22	735.8	26. 27	1.2	4.0	1.4	2.0	-3.7	29	13.9	19	84	70	82	79	26	19
Jahr	723.6	705.7	I	737.0	II III	8.1	13.2	9.6	10.1	-9.2	I	31.7	VIII	82	57	76	72	24	VIII

Göschenen

$\lambda = 8° 35'$, $\beta = 46° 40'$, $H_b = 1107.2^m$, $G = -0.16$ ‰, $h_r = 2.7^m$

Januar	664.6	653.9	14	674.6	27	-1.0	0.3	-0.8	-0.6	-9.6	9	7.2	29	67	65	68	67	34	17
Februar	671.4	662.2	10	680.0	28	-0.7	2.0	0.0	0.3	-8.4	18	9.4	23	70	66	66	67	38	19
März	668.2	663.9	18	680.4	1	3.0	7.0	3.8	4.4	-2.6	7	11.6	28	61	54	68	61	33	8
April	670.6	657.3	7	675.5	15	4.9	9.5	5.4	6.3	-4.6	8	18.6	25	73	63	78	71	36	16. 18
Mai	669.1	658.1	8	679.1	13	9.3	13.5	9.6	10.5	-0.2	8. 10	20.7	15	72	63	78	71	39	10
Juni	670.9	663.8	2	676.2	23	10.8	15.0	10.7	11.8	3.4	17	21.2	20	84	72	87	81	50	6. 8
Juli	669.3	661.5	8	674.0	16	13.4	18.5	13.6	14.8	5.4	9	23.8	18	74	62	78	71	42	15
August	670.4	666.6	26	675.2	16	14.5	19.1	14.9	15.9	8.2	28	28.0	19	72	61	72	68	41	19. 20. 21
September	669.1	661.9	25	675.6	16	11.4	15.1	12.3	12.8	4.4	26. 29	24.4	13	75	64	79	73	43	9
Oktober	668.3	661.3	17	672.0	2. 11	8.5	11.8	9.4	9.8	3.4	30	15.6	10	68	62	73	68	41	29
November	665.2	651.6	13	676.1	9	0.2	2.5	0.6	1.0	-4.8	26	13.0	1	77	72	78	76	45	21
Dezember	668.6	660.5	22	677.2	27	0.7	2.1	1.3	1.4	-6.0	31	9.6	16	66	64	67	66	40	15
Jahr	668.8	651.6	XI	680.4	III	6.3	9.7	6.7	7.4	-9.6	I	28.0	VIII	72	64	74	70	33	III

Beobachter: P. Ch. Durrer

Sarnen

Bewölkung				Niederschlag			Zahl der Tage								Windverteilung									1943
7^{30}	13^{30}	21^{30}	Mittel	Summe	Maximum	Tag	•	≥ 1.0	*	▲	⇘	≡	heiter	trüb	N	NE	E	SE	S	SW	W	NW	Calmen	
8.5	7.1	6.6	7.4	65	16	5	10	14	9	—	—	12	—	13	—	12	—	—	—	7	—	—	74	Januar
6.3	5.1	4.9	5.4	45	13	7	9	7	4	—	—	1	6	8	—	12	—	—	—	3	—	—	69	Februar
4.4	4.5	4.5	4.5	44	21	21	7	7	1	—	—	1	5	6	—	19	—	—	—	1	—	—	73	März
5.1	5.7	4.4	5.1	46	9	1	9	9	3	—	—	—	8	8	—	19	—	—	—	11	—	—	60	April
5.1	5.9	5.5	5.5	58	22	22	12	11	—	—	1	1	6	8	—	21	—	—	—	3	—	—	69	Mai
6.6	6.8	6.8	6.7	138	35	6	14	12	—	—	1	—	1	11	—	27	—	—	—	4	—	—	59	Juni
4.8	5.8	4.8	5.1	164	68	24	18	16	—	—	7	—	2	6	—	29	—	—	—	11	—	—	53	Juli
4.7	4.4	4.2	4.4	66	20	22	10	9	—	—	2	—	8	4	—	29	—	—	—	6	—	—	58	August
7.3	6.2	5.7	6.4	103	21	25	17	15	—	1	1	1	2	8	—	27	—	—	—	3	—	—	60	September
7.9	5.4	4.9	6.1	1	1	25	1	1	—	—	—	7	1	11	—	26	—	—	—	2	—	—	65	Oktober
7.6	7.6	7.8	7.7	65	16	24	12	9	1	—	—	2	—	14	—	20	—	—	—	7	—	—	63	November
8.5	8.5	8.3	8.4	25	9	19	9	6	3	—	—	6	1	21	—	22	—	—	—	1	—	—	70	Dezember
6.4	6.1	5.7	6.1	820	68	VII	134	116	21	1	12	31	40	118	—	263	—	—	—	59	—	—	773	Jahr

Beobachter: P. N. Kaeser

Engelberg

5.3	5.0	5.4	5.2	113	19	5	16	14	16	—	—	—	5	9	—	6	—	8	—	20	—	1	58	Januar
6.0	5.2	4.7	5.3	80	24	7	14	12	12	—	—	1	8	10	—	2	—	6	—	17	—	1	58	Februar
4.3	4.4	4.5	4.4	80	18	31	8	8	5	—	—	1	8	6	—	1	—	2	—	22	—	—	68	März
5.6	5.0	4.9	5.2	115	36	1	14	12	6	—	—	1	9	10	—	3	—	10	—	29	—	1	47	April
5.4	6.4	6.6	6.1	76	20	9	17	12	1	—	—	6	7	13	—	4	—	5	—	37	—	1	46	Mai
6.8	7.7	8.9	7.8	193	28	9	16	15	1	1	1	3	2	18	—	3	—	8	—	26	—	1	52	Juni
4.7	6.0	6.9	5.9	170	29	21	18	18	—	—	3	—	5	11	—	7	—	3	—	20	—	5	58	Juli
4.2	5.1	5.1	4.8	79	21	22	13	10	—	—	1	3	9	6	—	1	—	10	—	29	—	2	51	August
6.8	6.9	7.0	6.9	145	33	25	18	17	—	—	1	3	2	14	—	4	—	9	—	32	—	—	45	September
5.1	4.2	3.4	4.2	2	2	25	1	1	—	—	—	4	12	4	—	6	—	3	—	35	—	—	49	Oktober
7.3	7.3	6.9	7.2	110	22	28	11	10	8	—	—	4	3	15	1	4	—	14	—	18	—	1	52	November
7.3	6.3	5.4	6.3	48	14	30	8	7	7	—	—	2	3	12	—	3	—	8	—	13	—	4	65	Dezember
5.7	5.8	5.8	5.8	1217	36	IV	154	136	56	1	6	28	73	128	1	44	—	86	—	298	—	17	649	Jahr

Beobachter: Frl. H. Nager

Altdorf

8.2	7.1	6.5	7.3	80	23	5	14	13	8	—	—	3	3	16	—	1	—	6	4	—	1	8	73	Januar
9.0	5.2	4.8	6.3	56	15	13	10	7	5	—	—	1	—	9	—	2	4	1	1	—	—	2	74	Februar
4.7	4.6	4.8	4.7	62	24	31	8	8	—	—	—	—	8	6	—	1	—	16	—	1	1	11	63	März
5.7	5.7	5.1	5.5	77	32	1	11	11	3	—	—	—	7	9	4	—	1	8	3	1	—	17	56	April
5.7	6.1	6.6	6.1	58	21	9	11	9	—	—	—	—	5	12	4	3	2	—	3	1	—	17	63	Mai
6.8	7.2	7.9	7.3	153	23	9	14	13	—	1	1	—	1	13	1	2	—	—	—	—	1	19	67	Juni
5.3	6.4	6.7	6.1	122	30	31	16	14	—	—	7	—	3	11	2	—	2	3	—	1	—	16	69	Juli
4.4	5.2	4.4	4.7	61	13	22	12	11	—	—	—	—	10	5	—	—	2	4	5	—	—	16	66	August
7.4	7.0	7.2	7.2	132	31	25	19	14	—	—	—	1	2	14	—	—	2	3	1	—	3	18	63	September
6.8	4.8	4.6	5.4	0.6	0.6	25	1	—	—	—	—	1	5	8	3	—	1	3	2	2	1	18	63	Oktober
8.4	7.9	8.4	8.2	82	15	28	15	10	—	—	—	1	—	19	1	1	—	5	—	—	—	11	72	November
8.3	8.1	6.6	7.7	24	9	19	8	5	3	—	—	2	1	17	4	—	2	1	4	—	—	5	77	Dezember
6.7	6.3	6.1	6.4	928	32	IV	139	115	19	1	8	9	45	139	19	10	10	50	23	6	7	158	806	Jahr

Beobachter: O. Lendeumann

Göschenen

5.7	6.8	5.3	5.9	102	20	2	12	10	11	—	—	—	5	10	14	—	—	—	45	—	—	—	34	Januar
5.2	4.9	3.7	4.6	50	11	2, 15	10	10	8	—	—	4	10	6	17	—	—	—	34	—	—	—	33	Februar
5.4	5.0	4.6	5.0	52	31	31	7	5	1	—	—	—	7	6	11	—	—	—	58	—	—	—	24	März
5.7	5.4	4.9	5.3	98	41	1	11	11	7	—	—	—	9	10	20	—	—	—	35	—	—	—	35	April
5.7	5.9	5.9	5.8	77	34	9	12	10	1	—	—	3	9	12	20	—	—	—	27	—	—	—	46	Mai
7.3	7.3	7.5	7.4	115	24	9	18	15	—	—	—	13	3	19	22	—	—	—	12	—	—	—	56	Juni
5.6	6.2	6.0	5.9	87	30	20	15	15	—	—	2	—	4	13	13	—	—	—	27	—	—	—	53	Juli
3.5	5.8	4.5	4.6	66	20	22	10	7	—	—	1	—	10	6	15	—	—	—	27	—	—	—	51	August
7.8	7.8	7.1	7.6	187	45	25	16	16	—	—	—	—	3	10	17	—	—	—	29	—	—	—	44	September
3.5	4.5	5.1	4.4	7	5	17	3	2	—	—	—	—	9	7	6	—	—	—	37	—	—	—	50	Oktober
6.9	7.9	7.5	7.4	83	10	30	11	11	8	—	—	—	3	10	11	—	—	—	24	—	—	—	55	November
5.7	6.0	4.4	5.4	22	9	30	6	5	4	—	—	—	10	10	8	—	—	—	44	—	—	—	41	Dezember
5.7	6.1	5.5	5.8	952	45	IX	131	117	40	—	3	20	82	131	174	—	—	—	399	—	—	—	522	Jahr

St. Gotthard

$\lambda = 8° 34'$, $\beta = 46° 33'$, $H_b = 2095.7^m$, $G = -0.25$ m/m, $h_r = 1.8^m$

1943	Luftdruck					Luft-Temperatur								Relative Feuchtigkeit					
	Mittel	Minimum	Tag	Maximum	Tag	7^{30}	13^{30}	21^{30}	Mittel	Minimum	Tag	Maximum	Tag	7^{30}	13^{30}	21^{30}	Mittel	Minimum	Tag
Januar	585.5	575.6	3	596.1	25	-8.6	-6.0	-8.8	-8.1	-14.8	9. 16	0.0	21	57	55	59	57	3	18
Februar	593.6	583.5	16	601.8	21	-7.1	-3.6	-7.4	-6.4	-16.2	5	4.8	22	56	51	57	55	9	6
März	591.9	588.1	13	601.9	1	-4.6	-1.2	-4.1	-3.5	-12.0	7	5.0	31	62	54	68	61	14	8
April	594.3	581.2	8	599.9	15.16	-1.9	1.9	-2.6	-1.3	-11.5	8	8.2	27	60	48	63	57	10	4.5.16
Mai	594.1	579.9	9	606.0	14	3.1	6.9	2.7	3.9	-5.5	10	15.0	13. 14.17	60	46	71	59	10	29
Juni	595.4	588.5	3	602.0	23	4.6	8.6	4.0	5.3	-2.2	17	17.2	25	71	52	83	69	11	25
Juli	595.3	587.0	8	599.9	16	7.2	12.3	7.4	8.6	-0.8	9	19.2	30	62	42	65	56	13	14
August	596.7	592.7	31	602.5	16	8.6	13.4	9.2	10.1	3.2	28	21.2	17	59	41	69	56	8	10
September	594.7	585.8	26	599.8	16	5.4	8.7	6.0	6.5	-2.2	28	14.5	11	77	60	88	75	6	5
Oktober	594.1	587.9	17	598.7	3	2.4	5.6	2.8	3.4	-2.8	16	11.0	3	64	55	77	65	20	4
November	588.3	575.2	14	596.3	10	-5.5	-3.4	-5.5	-5.0	-13.2	17	7.0	3. 4	62	54	62	59	6	24
Dezember	591.6	584.5	31	598.5	28	-6.3	-4.4	-6.3	-5.8	-14.6	25	0.5	16	51	48	57	52	9	26
Jahr	593.1	575.2	XI	606.0	V	-0.2	3.2	-0.2	0.6	-16.2	II	21.2	VIII	62	50	68	60	3	I

Jura

Basel (Binningen)

$\lambda = 7° 35'$, $\beta = 47° 33'$, $H_b = 318^m$, $G = 0.11$ m/m, $h_r = 1.5^m$

Januar	732.6	716.6	14	744.6	26	-0.3	3.5	1.3	1.4	-6.3	10	11.7	23	89	73	83	82	41	14
Februar	740.5	727.8	9	749.6	19	0.6	7.3	2.9	3.4	-3.9	19	15.0	23	89	61	80	77	37	6
März	735.7	728.4	24	749.5	1	2.6	11.7	6.5	6.8	-3.1	8	17.2	23	89	54	76	73	30	22.24
April	738.1	727.2	7	744.0	24	8.3	15.5	9.8	10.8	0.8	9	25.2	18	78	53	75	69	34	15.16. 17
Mai	735.8	722.0	8	745.5	13	12.2	19.6	12.9	14.4	5.7	9	28.5	14	79	55	84	73	30	10
Juni	737.5	729.8	2	743.5	23	14.2	20.3	14.4	15.8	9.5	17	27.6	20	80	58	81	73	46	2.8.20
Juli	734.6	727.6	20	739.9	14	16.6	24.4	17.5	19.0	10.0	9	32.9	31	78	53	79	70	32	5
August	735.6	728.8	21	742.1	16	17.1	26.2	18.3	20.0	13.2	24.31	36.8	19	75	44	74	64	21	20.21
September	735.1	727.6	25	742.4	16	12.3	19.9	14.2	15.1	3.2	28	28.8	13	92	64	88	81	45	2.4.9
Oktober	735.0	725.3	17	741.5	3	8.8	16.1	10.3	11.4	3.0	27	21.6	23	95	68	93	85	42	17
November	734.2	718.8	13	747.5	10	1.9	5.4	3.3	3.5	-3.1	18	13.4	2	90	77	87	85	55	5. 24
Dezember	737.8	727.6	22	748.8	27	0.0	2.4	1.0	1.1	-4.7	26	14.5	19	93	82	89	88	63	23
Jahr	736.0	716.6	I	749.6	II	7.8	14.4	9.4	10.2	-6.3	I	36.8	VIII	87	62	82	77	21	VIII

La Chaux-de-Fonds

$\lambda = 6° 50'$, $\beta = 47° 7'$, $H_b = 989.9^m$, $G = -0.03$ m/m, $h_r = 1.3^m$

Januar	673.7	660.1	14	685.1	26	-2.1	2.3	-1.0	-0.5	-12.3	9	11.1	22	85	73	84	81	32	17
Februar	681.2	669.4	9	691.1	28	-2.3	3.1	-0.9	-0.2	-8.0	8	12.1	22	84	65	82	77	27	23
März	677.3	671.7	25	690.2	1	1.2	7.9	3.4	4.0	-5.3	8	13.1	4	82	59	80	74	35	1
April	680.6	672.9	21	686.8	25	4.6	10.1	6.3	6.8	-3.1	8. 9	20.9	23	79	61	73	71	35	23
Mai	678.7	663.3	9	688.1	13	9.4	14.6	10.1	11.0	0.5	10	22.6	30	76	63	74	71	35	10
Juni	680.6	673.5	2	686.1	23	10.4	15.2	11.0	11.9	3.9	17	22.5	20	78	58	77	71	30	20
Juli	678.7	672.2	8	683.6	16	13.9	19.4	14.8	15.7	5.3	9	27.1	31	73	55	71	66	34	5
August	679.9	674.8	21	684.3	16	13.4	20.0	14.6	15.6	8.8	31	30.3	19	76	51	73	67	31	21
September	678.3	671.1	25	685.1	16	10.4	16.0	11.4	12.3	-0.5	28	25.3	13.14	82	61	82	75	35	22
Oktober	677.6	668.6	17	683.7	3	6.3	14.0	8.2	9.2	0.9	29	19.1	21	87	56	88	77	35	17
November	675.2	662.5	14	686.0	9	-1.4	2.1	-0.4	0.0	-7.7	9	14.1	1	91	78	91	87	37	1
Dezember	678.0	669.1	22	687.7	27	-2.1	1.7	-1.1	-0.7	-7.3	30	7.7	19	90	73	86	83	45	19
Jahr	678.3	660.1	I	691.1	II	5.1	10.5	6.4	7.1	-12.3	I	30.3	VIII	82	63	80	75	27	II

Neuchâtel

$\lambda = 6° 57'$, $\beta = 47° 0'$, $H_b = 487.3^m$, $G = 0.02$ m/m, $h_r = 1.3^m$

Januar	718.2	704.0	14	729.3	27	-0.4	1.2	0.4	0.4	-5.0	10	6.7	23	93	90	91	91	69	2
Februar	725.5	713.7	9	733.9	28	0.7	5.7	2.6	2.9	-2.5	9	9.6	26	89	70	78	79	51	19
März	720.6	714.1	25	734.5	1	3.2	10.5	7.1	7.0	-2.4	8	14.9	3	88	62	72	74	40	2
April	723.6	714.0	7	729.8	25	7.1	14.3	10.3	10.5	0.4	9	21.8	19	87	55	68	70	37	19
Mai	721.2	708.1	9	731.2	13	11.3	18.5	14.1	14.5	5.0	10	27.4	15	84	58	70	71	30	17
Juni	722.8	715.2	2	728.5	23	13.3	20.2	15.3	16.1	7.6	17	26.7	25	82	57	70	70	39	28
Juli	720.4	713.5	20	726.0	14	15.7	23.8	18.6	19.2	9.1	9	30.6	29	85	54	67	69	30	4
August	721.4	715.3	21	727.0	16	16.6	25.3	19.6	20.3	12.7	23	32.8	19	76	47	60	61	29	21
September	720.6	713.3	25	727.8	16	13.0	19.2	14.8	15.4	4.5	27	26.5	13	92	67	82	80	38	1
Oktober	720.3	710.9	17	726.7	3	9.5	15.1	11.2	11.8	5.4	30	20.6	3	94	73	86	84	53	15
November	719.1	705.6	14	730.6	10	2.6	5.5	3.5	3.8	-2.7	11	14.5	3	88	77	85	83	52	10
Dezember	722.6	713.4	22	732.6	27	0.7	2.5	1.3	1.5	-1.8	24	9.0	19	92	84	88	88	57	31
Jahr	721.4	704.0	I	734.5	III	7.8	13.5	9.9	10.3	-5.0	I	32.8	VIII	88	66	76	77	29	VIII

Beobachter: Frl. F. Lombardi

St. Gotthard

Bewölkung				Niederschlag			Zahl der Tage								Windverteilung									1943
7^{30}	13^{30}	21^{30}	Mittel	Summe	Maximum	Tag	●	●≥1.0	✳	▲	K	≡	heiter	trüb	N	NE	E	SE	S	SW	W	NW	Calmen	
5.4	6.1	6.2	5.9	300	58	2	19	17	19	—	—	14	4	11	30	—	2	8	14	—	1	3	35	Januar
4.1	4.1	4.0	4.1	163	33	13	12	12	12	—	—	11	13	6	24	6	—	5	6	—	2	4	37	Februar
5.4	6.3	5.7	5.8	94	11	28	16	14	16	—	—	17	7	12	13	4	—	5	42	—	3	6	20	März
6.5	5.5	6.5	6.2	121	35	23	13	12	11	—	—	14	7	13	53	1	1	2	26	—	1	1	5	April
4.8	5.2	6.0	5.3	213	74	9	14	12	11	—	—	12	8	11	29	6	—	5	2	—	—	4	47	Mai
5.9	6.2	6.8	6.3	65	8	17	15	14	5	1	1	18	5	11	58	2	—	—	1	—	1	7	21	Juni
4.8	6.0	5.0	5.3	108	41	20	15	15	2	3	2	9	7	9	40	1	—	1	5	1	—	1	44	Juli
4.0	4.9	4.5	4.5	112	59	22	13	8	—	—	3	10	7	4	33	1	3	2	7	2	—	2	43	August
6.6	7.3	8.6	7.5	368	107	14	21	19	3	—	1	24	2	16	25	—	—	—	9	—	—	1	55	September
5.0	6.1	5.7	5.6	156	42	17	9	9	3	—	—	16	4	8	12	—	1	2	23	—	—	—	55	Oktober
5.2	6.0	5.6	5.6	151	27	30	15	14	13	—	—	14	6	11	39	4	1	6	5	—	—	—	35	November
5.6	6.1	6.2	6.0	107	16	30	13	11	13	—	—	13	8	14	28	7	—	7	32	—	—	—	19	Dezember
5.3	5.8	5.9	5.7	1958	107	IX	175	157	108	4	7	172	78	126	384	32	8	43	172	3	8	29	416	Jahr

Jura

Beobachter: Astronom.-Meteorol. Anstalt

Basel (Binningen)

8.1	8.1	6.8	7.7	52	6	1	15	12	6	—	—	3	1	18	—	7	39	10	6	13	9	4	5	Januar
6.1	6.2	5.0	5.8	36	9	7	11	8	6	—	1	2	8	11	5	4	13	8	3	12	14	9	16	Februar
6.0	5.7	4.1	5.3	25	10	28	10	5	—	—	1	6	6	9	13	5	19	7	12	7	5	11	14	März
6.4	6.5	4.4	5.8	34	7	19	13	11	3	—	1	—	5	8	4	7	12	6	12	15	15	5	14	April
5.3	6.7	4.6	5.5	64	22	22	12	10	—	1	2	1	8	8	8	7	10	5	11	19	8	12	13	Mai
5.7	7.0	6.1	6.3	63	12	3	12	11	—	—	2	—	2	11	3	1	6	9	11	15	21	12	12	Juni
4.6	5.2	4.1	4.6	55	13	8	11	8	—	—	5	—	9	7	5	2	8	16	13	10	13	10	16	Juli
4.4	5.1	3.7	4.4	43	19	22	6	5	—	—	2	—	9	6	1	5	11	13	11	17	19	9	7	August
7.9	7.2	6.1	7.1	114	28	22	19	17	—	—	4	7	2	15	7	4	11	15	6	8	9	10	20	September
8.3	5.8	5.5	6.5	3	2	19	3	1	—	—	—	15	2	11	3	4	16	13	7	3	10	8	29	Oktober
8.4	9.1	8.2	8.6	61	22	13	14	10	3	—	—	10	1	22	3	1	10	9	12	12	15	8	20	November
9.4	9.2	8.4	9.0	24	13	7	8	4	1	—	—	14	1	26	3	11	20	6	5	4	12	5	27	Dezember
6.7	6.8	5.6	6.4	574	28	IX	134	102	19	1	18	58	54	152	55	58	175	117	109	135	150	103	193	Jahr

Beobachter: Police locale

La Chaux-de-Fonds

5.7	6.6	5.7	6.0	223	57	2	18	16	14	—	—	—	8	12	—	—	—	—	1	11	3	1	77	Januar
5.9	5.5	4.1	5.2	95	19	16	13	12	13	—	—	—	10	9	2	2	—	—	—	7	—	1	72	Februar
4.7	5.4	3.5	4.5	53	16	31	11	9	2	—	—	—	12	7	1	2	—	—	—	6	—	—	84	März
5.6	5.6	3.5	4.9	97	19	1	13	13	4	—	1	—	9	7	—	—	—	—	1	12	1	1	75	April
5.2	6.2	4.4	5.3	172	33	24	15	13	1	2	4	—	9	10	1	4	—	—	—	9	2	2	75	Mai
5.0	6.7	4.6	5.4	151	27	16	15	13	—	—	2	—	7	8	1	3	—	—	—	9	—	3	74	Juni
4.5	5.7	3.5	4.6	236	50	20	15	12	—	1	4	—	8	5	—	—	—	—	1	6	4	—	82	Juli
3.8	5.1	3.0	4.0	60	28	22	9	8	—	—	1	—	9	2	—	—	—	—	1	10	—	1	81	August
6.3	7.4	5.3	6.3	145	34	14	17	15	1	—	5	2	6	8	—	—	—	—	—	9	1	1	79	September
4.9	4.2	3.1	4.1	15	9	19	3	2	—	—	—	5	9	4	—	1	—	—	2	—	—	1	89	Oktober
6.7	7.2	7.3	7.1	246	55	28	11	11	10	—	1	1	2	14	—	2	—	—	—	15	1	—	72	November
5.0	4.9	4.5	4.8	46	21	19	10	9	8	—	—	1	10	10	—	2	—	—	—	5	—	—	86	Dezember
5.3	5.9	4.4	5.2	1539	57	I	150	133	53	3	18	9	99	96	5	16	—	—	6	99	12	11	946	Jahr

Beobachter: Observatorium

Neuchâtel

9.6	9.2	8.0	8.9	166	28	12	18	18	10	—	—	10	—	23	—	13	3	—	—	16	16	2	43	Januar
6.4	5.6	3.4	5.1	39	8	7	12	10	5	—	—	1	8	6	1	14	11	4	1	16	10	6	21	Februar
6.2	5.7	3.2	5.0	39	8	26	12	8	—	—	—	3	6	5	3	22	12	3	3	9	8	1	32	März
5.1	4.7	4.0	4.6	44	9	1	12	9	3	—	—	—	8	6	3	13	7	7	4	20	5	5	20	April
5.5	5.4	5.2	5.4	82	15	9	15	11	—	—	3	—	9	12	6	12	9	8	9	23	2	4	20	Mai
6.1	5.6	5.6	5.8	71	12	16	11	10	—	—	—	—	4	9	7	7	14	7	5	17	9	9	15	Juni
4.1	4.4	4.0	4.2	78	20	7	13	10	—	—	1	—	13	5	1	7	20	7	8	11	9	9	21	Juli
3.5	3.7	3.9	3.7	33	18	22	5	3	—	1	2	—	9	3	4	3	9	7	10	15	10	14	21	August
7.0	6.5	6.0	6.5	147	34	14	17	16	—	—	6	—	4	13	4	10	11	5	8	8	6	4	34	September
8.8	5.5	5.5	6.6	9	6	19	3	3	—	—	—	4	1	12	2	20	20	7	6	4	1	—	33	Oktober
8.5	7.9	7.5	8.0	122	34	24	12	11	4	—	—	1	1	16	5	20	4	1	2	23	11	5	19	November
8.6	8.5	7.6	8.2	39	23	19	10	6	5	—	—	4	2	21	2	32	8	1	—	6	10	3	31	Dezember
6.6	6.1	5.3	6.0	809	34	XI	140	115	27	1	12	23	65	151	38	178	128	57	56	174	97	62	319	Jahr

Chaumont

$\lambda = 6^\circ 49'$, $\beta = 47^\circ 1'$, H_b = ca. 1115^m, $G = -0.06$ ‰, $h_r = 1.3^m$

1943	Luftdruck					Luft-Temperatur								Relative Feuchtigkeit					
	Mittel	Minimum	Tag	Maximum	Tag	7^{30}	13^{30}	21^{30}	Mittel	Minimum	Tag	Maximum	Tag	7^{30}	13^{30}	21^{30}	Mittel	Minimum	Tag
Januar	662.7	650.0	12	672.6	26	-1.9	0.2	-1.0	-0.9	-9.8	9	5.4	21.29	88	84	86	86	43	18
Februar	669.2	657.9	9	677.7	28	-1.6	1.9	-0.7	-0.3	-7.0	9	10.4	23	84	72	82	79	27	23
März	665.7	661.1	25	677.6	1	1.8	6.2	3.2	3.6	-4.0	7	10.2	27	83	72	77	77	45	1
April	668.6	659.5	7	673.1	25	4.4	9.4	5.7	6.3	-4.4	8	18.6	23	83	67	77	76	44	15
Mai	667.4	653.7	9	677.0	13	8.7	12.7	9.1	9.9	-0.8	10	21.0	14.15 30	84	71	83	79	40	15
Juni	669.0	663.6	3	673.9	23	9.7	14.2	10.1	11.0	3.0	17	21.0	25	85	72	83	80	53	20
Juli	667.2	661.6	8. 20	671.5	29	13.3	17.8	13.9	14.7	4.8	9	24.6	31	81	66	75	74	43	5
August	668.3	664.3	21	673.1	16	13.5	19.3	14.3	15.4	8.0	23.28	28.4	19	81	60	78	72	36	21
September	667.1	661.9	25	673.3	16	9.8	14.2	10.7	11.3	1.6	27	24.5	13	92	77	86	85	52	1
Oktober	666.7	659.3	18	671.8	3	7.2	11.6	8.1	8.7	3.2	16	15.8	7	90	76	86	84	46	30
November	663.8	652.7	14	672.7	9	-1.5	0.8	-0.7	-0.5	-6.0	18.19	12.8	1	92	87	92	90	48	1
Dezember	666.9	659.1	22	675.9	27	-1.2	0.4	-1.1	-0.7	-6.2	31	8.0	6. 7	91	86	89	89	50	6
Jahr	666.9	650.0	I	677.7	II	5.2	9.1	6.0	6.6	-9.8	I	28.4	VIII	86	74	83	81	27	II

Solothurn

$\lambda = 7^\circ 32'$, $\beta = 47^\circ 13'$, $H = 470^m$, $G = -$ ‰, $h_r = 1.5^m$

Januar	—	—	—	—	—	-1.7	1.0	-0.8	-0.6	-6.4	18	6.4	24	93	83	94	90	56	24
Februar	—	—	—	—	—	-0.2	6.0	1.8	2.4	-3.6	9	12.4	24	92	61	82	78	39	24
März	—	—	—	—	—	2.7	11.5	6.6	6.8	-2.3	8	15.8	24	92	51	75	73	30	2
April	—	—	—	—	—	6.7	14.6	9.6	10.1	-1.0	3	23.3	19	85	49	68	67	30	16
Mai	—	—	—	—	—	11.7	19.1	13.1	14.2	5.0	9	28.1	14	77	47	74	66	28	15
Juni	—	—	—	—	—	13.5	19.7	14.4	15.5	7.8	17	27.5	25	78	51	72	67	33	20
Juli	—	—	—	—	—	15.3	23.8	17.1	18.3	9.8	9	31.3	31	80	46	74	67	29	29
August	—	—	—	—	—	16.3	25.4	18.0	19.4	12.4	28.30	34.0	20	76	41	65	61	29	18
September	—	—	—	—	—	12.4	19.4	13.8	14.8	2.5	28	28.2	13	87	54	84	75	34	1. 4. 5
Oktober	—	—	—	—	—	8.3	15.3	10.0	10.9	1.3	15	20.6	22	93	58	89	80	39	1. 26
November	—	—	—	—	—	1.6	4.9	2.7	3.0	-5.4	11	12.3	3	*92	*70	*90	*84	?	—
Dezember	—	—	—	—	—	0.0	2.0	0.6	0.8	-5.0	24	8.4	20	94	85	91	90	48	31
Jahr	—	—	—	—	—	7.2	13.6	9.0	9.7	-6.4	I	34.0	VIII	87	58	80	75	28	V

Weißenstein

$\lambda = 7^\circ 30'$, $\beta = 47^\circ 15'$, $H_b = 1285^m$, $G = -0.08$ ‰, $h_r = 1.5^m$

Januar	649.9	636.6	14	660.1	26	-2.4	-1.1	-2.0	-1.9	-11.6	9	6.4	22	87	84	85	85	27	26
Februar	657.0	645.9	9	665.8	28	-1.4	0.3	-0.7	-0.6	-8.2	9	9.0	22	77	72	72	74	18	21.23
März	653.8	648.7	25	665.9	1	1.8	4.1	2.9	2.9	-4.8	7	9.7	2	74	64	68	69	23	8
April	656.7	645.3	7	661.7	15	4.0	7.2	5.4	5.5	-5.4	8	16.4	23	75	61	66	67	34	18
Mai	655.5	640.6	9	665.8	13	7.8	11.6	8.6	9.1	-1.8	10	20.8	14	73	60	75	69	26	18
Juni	657.3	650.5	2	662.9	23	8.5	11.9	8.9	9.6	2.1	17	19.8	20	79	66	80	75	30	20
Juli	655.8	648.8	8	660.3	29	12.5	16.0	13.1	13.7	3.4	9	24.0	31	70	61	64	65	36	18
August	657.0	652.2	21	661.7	16	12.9	17.1	14.1	14.6	6.8	31	26.8	19	70	54	63	62	28	16.21
September	655.3	649.7	22	661.8	16	9.5	12.6	10.0	10.5	0.9	26	21.5	13	81	70	79	77	32	20
Oktober	654.4	646.8	17	660.1	3	7.1	10.0	7.2	7.9	2.8	15.29	13.8	6. 10	77	66	80	74	35	30
November	651.0	638.0	14	661.5	9	-1.9	-0.7	-1.6	-1.5	-6.6	18	10.2	1. 2	88	86	91	88	31	1
Dezember	654.0	646.1	22	663.4	27	-1.0	0.2	-0.9	-0.7	-7.8	31	8.8	6	75	74	75	75	22	15
Jahr	654.8	636.6	I	665.9	III	4.8	7.4	5.4	5.8	-11.6	I	26.8	VIII	77	68	75	73	18	II

Langenbruck

$\lambda = 7^\circ 46'$, $\beta = 47^\circ 21'$, $H_b = 740.4^m$, $G = 0.02$ ‰, $h_r = 1.6^m$

Januar	695.6	681.8	14	706.5	26.27	-2.0	0.3	-1.1	-1.0	-9.2	18	7.8	22	85	80	84	83	48	22
Februar	703.1	691.5	9	712.0	28	-0.4	3.6	0.9	1.2	-6.0	8	10.0	24	83	65	75	74	32	21
März	698.9	693.0	24.25	711.7	1	2.6	9.0	5.0	5.4	-4.3	8	15.5	18	79	57	69	68	40	24
April	701.6	690.2	7	707.6	24	6.9	12.1	7.7	8.6	-1.9	8	21.5	19	78	57	69	68	36	19
Mai	699.9	685.5	9	709.3	13	11.8	16.0	11.1	12.5	4.2	9	24.8	14	72	56	72	67	32	15
Juni	701.6	694.0	2	707.0	23	13.4	17.0	12.2	13.7	6.8	16.17	23.6	25	74	60	75	70	37	20
Juli	699.3	692.5	20	703.6	14	16.3	20.6	15.0	16.7	7.8	9	26.6	30.31	73	58	71	67	26	4
August	700.4	695.1	21	705.8	16	15.6	22.0	15.9	17.4	9.4	31	31.2	19	74	49	66	63	31	18
September	699.4	691.7	25	706.4	16	11.6	16.6	12.2	13.2	3.3	28	25.8	13	86	65	80	77	39	5
Oktober	699.0	689.6	17	705.2	3	9.0	12.8	8.7	9.8	1.2	15	17.0	4	87	70	83	80	53	20
November	697.1	683.1	13	708.9	10	0.6	2.5	1.3	1.4	-5.2	11	13.6	2	86	78	84	83	57	10
Dezember	700.3	691.3	22	710.5	27	-1.4	0.3	-0.9	-0.7	-4.7	16	8.2	19	90	85	88	88	42	19
Jahr	699.7	681.8	I	712.0	II	7.0	11.1	7.3	8.2	-9.2	I	31.2	VIII	81	65	76	74	26	VII

eobachter: Frl. B. Humbert

Chaumont

Bewölkung				Niederschlag		Zahl der Tage								Windverteilung									1943
7³⁰	13³⁰	21³⁰	Mittel	Summe	Maximum Tag	● *	●* ≥1	*	▲	⌇	≡	heiter	trüb	N	NE	E	SE	S	SW	W	NW	Calmen	
6.9	6.6	5.8	6.4	128	23	1	15	14	12	—	—	7	5	15	—	—	2	—	1	8	2	2	78	Januar
6.0	5.4	3.1	4.8	56	11	15	12	11	10	—	—	4	8	6	—	1	8	7	—	3	1	—	64	Februar
5.1	5.6	3.2	4.6	37	8	14	9	8	3	—	1	6	8	6	—	1	15	1	—	—	1	—	75	März
5.0	5.3	3.3	4.5	64	13	7	11	11	3	—	1	4	9	6	—	—	3	1	—	4	4	—	78	April
5.5	5.4	4.6	5.2	106	26	24	12	10	1	1	3	2	10	10	—	1	16	—	—	3	6	—	67	Mai
5.3	5.7	4.9	5.3	79	17	14	12	10	—	—	2	6	4	5	—	—	7	—	—	2	1	—	80	Juni
4.8	5.0	3.3	4.4	95	25	7	13	11	—	1	3	3	9	3	—	—	6	1	—	1	1	—	84	Juli
3.7	3.9	3.7	3.8	38	19	22	7	6	—	1	1	—	8	2	—	—	—	—	2	—	9	2	80	August
6.3	6.6	5.0	6.0	158	30	14	16	15	1	—	5	9	3	7	—	—	1	—	—	2	3	—	84	September
6.2	4.7	3.5	4.8	6	3	19	3	3	—	—	—	13	9	8	—	—	7	—	—	—	—	—	86	Oktober
7.1	7.7	7.2	7.3	109	21	24	11	11	8	—	—	13	3	17	—	—	12	1	—	4	1	—	72	November
7.5	7.2	5.0	6.6	26	?8	?31	8	8	5	—	—	15	2	12	—	—	10	—	—	3	—	—	80	Dezember
5.8	5.8	4.4	5.3	902	30	IX	129	118	43	3	16	82	78	97	—	3	87	11	3	30	29	4	928	Jahr

Beobachter: B. u. G. Glutz

Solothurn

9.7	8.5	8.5	8.9	142	27	12	17	17	12	—	—	9	—	25	—	1	3	—	—	2	18	2	67	Januar
7.0	5.3	3.5	5.3	52	12	15	11	10	8	—	—	2	5	6	—	6	4	4	—	5	12	1	52	Februar
5.6	4.8	4.4	4.9	42	11	26	11	8	—	—	1	5	6	6	1	6	9	3	—	5	11	1	57	März
6.2	5.2	4.5	5.3	66	16	7	12	9	3	—	2	3	7	6	—	4	5	—	—	1	22	8	50	April
5.5	5.8	5.1	5.5	83	17	22	15	12	—	—	1	2	7	8	—	5	15	5	—	1	7	9	51	Mai
6.3	6.1	5.9	6.1	115	17	8. 16	14	12	—	—	3	2	2	9	—	5	7	7	—	4	2	10	55	Juni
5.3	5.2	5.1	5.2	135	26	19	17	12	—	—	6	2	7	9	1	—	6	10	2	3	6	6	59	Juli
4.4	4.2	3.4	4.0	64	37	3	6	4	—	—	1	1	6	2	—	1	3	3	—	4	20	8	54	August
7.5	6.6	6.4	6.8	128	25	14	15	13	—	—	1	3	2	9	1	2	7	4	—	1	1	3	71	September
8.5	6.0	5.5	6.7	24	3	19	2	1	—	—	—	10	1	12	—	4	11	5	—	—	—	1	72	Oktober
8.3	7.8	7.5	7.9	174	44	28	12	10	3	—	—	5	2	18	—	16	3	—	—	1	15	9	46	November
9.6	8.9	8.6	9.0	26	12	19	10	6	4	—	—	8	—	25	—	12	20	2	—	1	5	4	49	Dezember
7.0	6.2	5.7	6.3	1031	44	XI	142	114	30	—	15	52	45	135	3	62	93	43	2	28	119	62	683	Jahr

Beobachter: H. Reutener.

Weißenstein

7.2	8.0	6.3	7.2	157	29	12	19	17	17	—	—	14	2	17	2	6	—	4	8	41	25	6	1	Januar
6.4	6.2	4.8	5.8	55	8	15	13	13	13	—	—	12	8	9	5	10	8	2	4	27	19	8	1	Februar
5.6	6.0	4.5	5.4	53	14	26	10	8	3	—	1	7	7	7	7	15	13	6	7	19	13	6	7	März
5.7	6.1	4.2	5.3	67	15	7	13	12	6	—	—	6	5	8	4	5	4	8	7	16	18	18	10	April
6.1	7.0	5.7	6.3	87	22	22	13	10	2	—	—	10	8	15	9	10	3	11	5	23	9	19	4	Mai
6.5	8.0	6.1	6.9	108	15	8	13	12	—	—	—	10	1	10	11	6	2	5	2	18	14	28	4	Juni
5.9	6.0	3.9	5.3	148	27	8	15	14	—	—	—	7	8	5	6	12	4	4	8	20	16	17	6	Juli
4.8	5.7	3.7	4.7	56	21	3	9	8	—	—	—	3	7	2	1	4	—	6	7	18	26	24	7	August
7.0	7.7	5.8	6.8	139	26	14	17	15	1	—	—	8	3	11	6	6	4	13	8	23	7	15	8	September
5.4	5.3	5.2	5.3	5	4	19	5	1	—	—	—	11	3	8	15	12	11	9	8	15	9	9	5	Oktober
7.9	8.6	7.5	8.0	176	43	13	15	13	12	—	—	19	2	18	14	10	5	2	—	19	21	18	1	November
6.9	6.8	6.6	6.8	25	8	19	10	8	7	—	—	15	3	14	2	15	6	11	—	18	20	18	3	Dezember
6.3	6.8	5.4	6.2	1076	43	XI	152	131	61	—	1	122	57	124	82	111	60	81	64	257	197	186	57	Jahr

Beobachter: E. Müller

Langenbruck

7.9	7.6	6.9	7.5	102	14	15	16	16	12	—	—	2	4	20	2	2	1	3	1	—	8	2	74	Januar
6.5	5.6	4.1	5.4	57	12	2	13	10	11	—	—	—	7	9	2	6	7	—	1	2	3	1	62	Februar
5.2	4.8	3.6	4.5	48	14	26	10	7	1	—	—	2	13	9	8	6	4	1	1	2	8	3	60	März
5.0	5.5	3.8	4.8	63	16	1	14	12	4	—	—	—	11	7	6	9	4	1	—	1	14	2	53	April
5.6	6.4	5.0	5.7	54	13	22	11	8	—	—	—	—	9	12	—	14	4	—	1	5	4	6	59	Mai
5.5	6.4	5.4	5.8	115	16	3	14	13	—	—	1	—	3	8	10	14	1	—	—	—	5	6	54	Juni
4.5	4.7	3.9	4.4	137	28	19	14	13	—	—	2	—	12	7	—	8	2	1	1	—	4	6	71	Juli
4.2	4.9	3.1	4.1	31	20	22	8	4	—	—	—	—	8	3	2	3	4	1	—	3	14	9	57	August
7.6	6.9	5.4	6.6	103	17	22	17	13	[illegible]	[illegible]	1	4	3	13	2	9	1	[illegible]	—	[illegible]	[illegible]	3	75	September
7.2	5.1	4.3	5.5	3	1	19	3	2	—	—	—	7	6	9	4	4	—	—	—	—	—	5	80	Oktober
8.6	8.5	7.4	8.2	114	23	28	14	11	11	—	—	3	1	20	—	7	1	[illegible]	[illegible]	6	4	4	68	November
8.8	9.0	7.6	8.5	31	8	30	9	7	3	—	—	9	—	21	—	4	3	1	1	3	2	5	74	Dezember
6.4	6.3	5.9	5.9	858	28	VII	143	110	42	—	4	27	77	138	30	86	32	8	6	22	66	52	787	Jahr

Aarau

$\lambda = 8° 2'$, $\beta = 47° 23'$, $H_b = 406.1^m$. $G = 0.07$ ‰, $h_r = 1.6^m$

1943	Luftdruck					Luft-Temperatur								Relative Feuchtigkeit					
	Mittel	Minimum	Tag	Maximum	Tag	7^{30}	13^{30}	21^{30}	Mittel	Minimum	Tag	Maximum	Tag	7^{30}	13^{30}	21^{30}	Mittel	Minimum	Tag
Januar	725.6	711.4	14	736.6	26	-1.2	1.4	-0.3	-0.1	-6.0	19	6.8	31	87	70	85	81	51	2
Februar	732.9	721.3	9	741.8	28	-0.2	5.3	1.7	2.1	-4.8	9	10.2	23	89	55	79	74	35	23
März	728.1	721.5	24	742.5	1	2.6	11.2	6.3	6.6	-2.4	1	16.2	24	88	44	69	67	27	24
April	730.6	719.6	7	736.6	25	6.4	14.0	9.6	9.9	0.6	3	22.4	19	84	46	65	65	25	16.17.18
Mai	728.4	715.1	9	738.4	13	11.2	18.6	13.8	14.4	4.2	10	26.2	15	77	42	67	62	23	15
Juni	729.9	721.5	10	735.4	23	13.3	19.0	14.6	15.4	8.4	4	25.2	25	75	46	71	64	31	8. 20
Juli	727.3	720.1	19	732.5	14	15.0	22.7	17.6	18.2	10.2	9	28.2	29.30.31	81	45	70	65	29	5
August	728.2	721.8	21	734.3	16	15.6	23.7	18.5	19.1	10.6	5	32.0	20	76	38	62	59	27	20
September	727.7	720.4	25	734.9	16	12.5	18.7	14.1	14.8	5.2	27.28	25.2	13	89	53	83	75	33	1
Oktober	727.7	719.2	17	734.5	3	9.2	14.4	10.1	10.9	2.6	15	18.0	22	92	55	89	79	41	1. 3
November	726.5	711.6	13	738.9	10	2.0	5.1	3.0	3.3	-4.6	10	13.2	2	86	62	81	76	41	10
Dezember	730.3	720.9	22	740.9	27	0.6	2.1	0.9	1.1	-3.6	24	7.0	20	89	75	86	83	46	20
Jahr	728.6	711.4	I	742.5	III	7.3	13.0	9.2	9.7	-6.0	I	32.0	VIII	84	53	76	71	23	V

Beznau

$\lambda = 8° 14'$, $\beta = 47° 33'$. $H =$ ca. 330^m. $G = -$ ‰, $h_r = 1.5^m$

Januar	—	—	—	—	—	-0.5	2.0	0.2	0.5	-5.8	9	8.4	23	87	70	86	81	50	9. 14
Februar	—	—	—	—	—	0.7	5.9	2.5	2.9	-3.0	19.21	9.4	25	88	54	79	74	33	19
März	—	—	—	—	—	2.7	10.9	6.4	6.6	-2.2	9	16.0	24	87	42	71	67	24	24
April	—	—	—	—	—	7.5	14.2	9.5	10.2	2.2	4	22.6	19	81	41	72	65	23	17
Mai	—	—	—	—	—	12.0	18.6	13.5	14.4	6.6	10	25.6	15	73	38	75	62	19	15
Juni	—	—	—	—	—	14.1	19.6	14.8	15.8	10.4	17	24.4	25	73	43	76	64	28	24
Juli	—	—	—	—	—	15.8	23.0	17.8	18.6	10.6	8	29.2	29	74	41	74	63	23	3
August	—	—	—	—	—	16.9	24.4	18.8	19.7	12.2	24	32.2	20	66	33	63	54	20	20
September	—	—	—	—	—	13.0	19.2	14.5	15.3	5.0	28	27.0	13	81	50	74	68	26	6
Oktober	—	—	—	—	—	9.2	14.7	10.0	11.0	2.8	15	18.8	3	85	56	86	76	35	3
November	—	—	—	—	—	2.8	5.7	3.4	3.8	-2.8	18	12.0	3	80	65	75	73	34	10
Dezember	—	—	—	—	—	1.1	2.8	1.6	1.8	-3.6	24	6.8	20	93	81	90	88	55	27
Jahr	—	—	—	—	—	7.9	13.4	9.4	10.0	-5.8	I	32.2	VIII	81	51	77	70	19	V

Beznau. Beoachterwechsel am 1. Januar.

Hallau

$\lambda = 8° 27'$, $\beta = 47° 42'$, $H_b = 449.5^m$, $G = 0.09$ ‰, $h_r = 1.3^m$

Januar	721.2	705.8	2	732.3	27	-2.1	1.1	-0.7	-0.6	-12.7	5	6.0	23	94	80	88	87	63	9
Februar	728.6	717.1	9	738.0	19	-0.1	5.5	2.3	2.5	-3.2	9	9.6	24	90	67	78	78	44	19
März	724.2	717.5	24	737.9	1	2.8	11.1	7.0	7.0	-2.7	1	16.0	24	85	52	68	68	31	24
April	726.5	713.8	7	732.6	25	6.9	13.7	9.7	10.0	-0.9	3	22.6	23	88	51	69	69	32	23
Mai	724.6	710.3	9	734.9	16	11.6	18.2	13.9	14.4	4.8	10	26.2	15	81	50	70	67	28	17
Juni	726.1	718.4	2	731.9	23	13.1	19.0	14.5	15.3	9.2	16	25.2	25	84	55	77	72	38	20
Juli	723.5	716.8	20	728.5	14	15.8	23.0	18.2	18.8	10.4	8	30.3	31	83	51	68	67	33	29.30
August	724.4	718.3	21	730.8	16	16.4	24.6	19.2	19.9	11.5	13	32.5	20	78	43	64	62	31	16.17
September	724.0	716.1	25	731.1	16	12.5	18.7	14.5	15.1	3.6	28	27.4	13	90	61	82	78	39	1. 9
Oktober	723.7	714.2	17	730.2	3	8.4	14.8	10.4	11.0	0.9	15	18.5	3	95	63	87	82	43	14
November	722.3	706.9	13	735.2	10	1.6	5.0	3.1	3.2	-5.0	11	12.9	3	92	73	86	84	41	10
Dezember	726.1	716.9	22	736.7	27	0.2	2.1	0.9	1.0	-4.3	25	6.0	20.28	93	84	90	89	65	31
Jahr	724.6	705.8	I	738.0	II	7.3	13.1	9.4	9.8	-12.7	I	32.5	VIII	88	61	77	75	28	V

Lohn

$\lambda = 8° 40'$, $\beta = 47° 45'$, $H_b =$ ca. 643^m, $G = 0.06$ ‰, $h_r = 1.6^m$

Januar	704.2	690.2	2	715.3	24	-2.5	-0.1	-1.6	-1.4	-10.3	10	6.7	22	92	82	87	87	53	22
Februar	711.5	700.2	9	720.1	19	0.2	4.4	2.2	2.3	-5.1	9	11.3	23	86	68	74	76	30	21
März	707.5	701.5	24	720.2	1	3.4	9.9	6.3	6.5	-3.2	8	14.2	24	79	53	65	66	33	12
April	709.7	697.0	7	716.2	24	7.9	12.6	9.1	9.7	-0.9	8. 9	21.5	19	75	53	65	64	35	17
Mai	708.1	693.2	9	717.8	13	11.4	16.1	12.5	13.1	4.2	9	24.6	15	73	56	69	66	29	15
Juni	709.5	702.2	2	715.1	22.23	13.1	17.1	13.4	14.2	7.4	16	23.9	21	78	59	73	70	35	20
Juli	707.2	699.6	8	712.0	14	16.7	21.5	17.5	18.3	8.4	9	28.5	31	71	52	63	62	34	5
August	708.2	702.7	21	714.1	16	17.7	23.2	18.8	19.6	13.0	31	31.9	19	67	44	59	57	27	16
September	707.6	699.9	25	714.7	16	12.4	16.9	14.1	14.4	2.9	27	26.1	13	84	64	76	75	43	4. 6
Oktober	707.2	698.1	17	713.4	3	8.8	13.1	10.4	10.7	3.9	15	17.5	22	88	68	79	78	43	14
November	705.1	690.2	13	717.6	10	0.6	3.3	1.7	1.8	-4.3	18	12.6	3	91	78	87	85	44	10
Dezember	708.9	700.0	22	719.3	27	-1.2	0.3	-0.6	-0.5	-4.4	16	5.0	20	93	88	92	91	58	23
Jahr	707.9	690.2	I XI	720.2	III	7.4	11.5	8.7	9.1	-10.3	I	31.9	VIII	81	64	74	73	27	VIII

Aarau

Beobachter: H. Amsler-Baumann

Bewölkung				Niederschlag			Zahl der Tage								Windverteilung									1943
7.30	13.30	21.30	Mittel	Summe	Maximum	Tag	● *	●≥1.0	*	▲	K	≡	heiter	trüb	N	NE	E	SE	S	SW	W	NW	Calmen	
9.3	6.4	8.7	8.1	96	16	2	18	16	14	—	—	6	—	17	2	6	2	—	1	14	16	1	51	Januar
5.6	3.8	3.3	4.2	41	8	3	13	7	8	—	—	1	7	3	2	8	2	4	—	9	16	2	41	Februar
5.4	3.5	3.3	4.1	44	13	26	11	9	—	—	1	5	8	4	—	17	1	1	—	12	7	6	49	März
5.4	4.4	3.0	4.3	55	11	7	13	13	3	—	—	4	8	3	—	4	2	—	—	19	12	7	46	April
4.9	4.5	4.8	4.7	64	9	22	14	12	—	—	—	—	9	7	4	19	4	—	1	14	8	4	39	Mai
5.7	5.3	4.9	5.3	149	29	16	13	13	—	2	3	2	2	3	2	6	4	—	—	16	11	12	39	Juni
4.4	3.7	3.6	3.9	115	24	7	16	11	—	1	8	2	10	3	—	4	5	2	—	15	11	9	47	Juli
4.0	3.4	3.2	3.5	20	13	22	7	3	—	—	2	1	9	—	—	2	4	—	1	19	9	16	42	August
7.3	4.9	5.4	5.9	105	20	19	18	13	—	—	3	5	3	8	1	4	7	4	—	5	8	2	57	September
9.2	4.9	4.8	6.3	3	1	8	4	1	—	—	—	15	1	12	3	5	10	3	—	3	10	—	59	Oktober
8.2	7.1	8.2	7.8	97	25	13	14	11	7	—	—	7	1	17	—	5	11	—	—	7	27	—	40	November
9.5	8.4	7.4	8.4	24	6	30	9	6	4	—	—	6	—	21	1	2	24	1	—	1	11	4	51	Dezember
6.6	5.0	5.0	5.5	813	29	VI	150	115	36	3	17	54	58	98	15	82	76	15	3	134	146	63	561	Jahr

Beznau

Beobachter: K. Sutter

9.5	7.9	8.2	8.5	122	22	2	17	15	10	—	—	4	—	19	9	—	—	—	51	—	1	—	32	Januar
8.4	5.6	3.4	5.8	58	12	15	10	9	3	—	—	4	2	6	11	—	2	—	39	—	3	1	28	Februar
7.1	4.5	3.6	5.1	35	9	31	8	8	—	—	—	7	7	8	20	—	2	—	23	—	5	—	43	März
6.1	4.9	3.0	4.7	64	28	7	12	10	3	—	—	2	8	5	7	—	7	—	38	—	4	—	34	April
5.9	5.5	5.4	5.6	82	22	25	12	10	—	—	4	—	7	10	20	—	5	—	25	—	3	2	38	Mai
6.1	6.0	5.9	6.0	91	16	16	13	13	—	—	2	1	3	10	19	—	3	1	34	—	5	—	28	Juni
4.7	4.8	4.5	4.7	63	12	10	13	11	—	—	4	2	8	9	15	—	5	—	32	—	10	1	30	Juli
5.2	3.8	3.4	4.1	15	11	22	4	3	—	—	1	2	7	3	14	—	1	1	24	—	16	1	36	August
8.4	6.2	5.1	6.6	107	25	22	14	13	—	—	4	5	2	9	18	—	2	—	17	—	11	—	42	September
9.6	5.6	4.4	6.5	1	1	8	1	1	—	—	—	10	1	12	17	—	6	—	14	—	1	—	55	Oktober
9.5	8.3	8.1	8.6	122	30	13	12	11	1	—	—	4	—	20	21	—	—	—	39	—	6	—	24	November
9.9	9.4	8.8	9.4	27	9	7	10	6	3	—	—	3	—	27	26	—	1	—	27	—	3	1	35	Dezember
7.5	6.0	5.3	6.3	787	30	XI	126	110	20	—	15	44	45	138	197	—	34	2	363	—	68	6	425	Jahr

Hallau

Beobachter: Hs. Huber-Rupli

8.7	7.3	7.1	7.7	105	19	12	16	14	10	—	—	5	—	18	8	—	—	1	1	20	—	—	63	Januar
6.5	5.2	4.7	5.5	30	9	15	8	8	5	—	—	2	8	10	2	11	—	2	1	27	—	—	41	Februar
5.7	4.0	4.0	4.6	31	7	26	7	7	—	—	—	1	11	6	13	14	—	4	2	8	1	—	51	März
5.5	4.8	3.6	4.6	36	14	7	10	6	3	—	—	1	8	6	7	1	1	2	6	17	8	2	46	April
5.4	6.0	5.8	5.7	48	8	25	12	10	—	—	1	—	8	11	3	15	1	4	2	19	2	—	47	Mai
6.3	6.9	5.7	6.3	57	9	6	13	12	—	1	2	1	2	9	8	6	1	2	8	20	2	2	41	Juni
4.3	5.0	4.5	4.6	32	10	8	11	9	—	—	3	1	12	9	7	5	—	3	4	23	1	—	50	Juli
4.0	4.1	3.5	3.9	16	12	22	3	3	—	—	2	—	8	2	6	—	—	4	3	28	5	—	47	August
7.7	5.8	6.5	6.7	99	18	22	15	13	—	—	1	1	2	11	7	5	2	6	2	15	2	1	50	September
8.1	5.2	5.5	6.3	0	0	—	—	—	—	—	—	9	4	12	5	6	1	7	—	2	—	—	72	Oktober
9.1	7.8	8.1	8.3	101	37	13	11	8	4	—	—	3	2	23	2	15	2	—	—	32	3	—	36	November
9.2	9.1	8.8	9.0	23	11	19	7	5	4	—	—	4	—	27	2	23	3	4	—	16	3	1	41	Dezember
6.7	5.9	5.7	6.1	578	37	XI	113	95	26	1	9	28	65	144	70	101	11	39	29	227	27	6	585	Jahr

Lohn

Beobachter: A. Läuchli

8.0	7.5	6.6	7.4	94	20	1	16	14	13	—	—	6	2	16	4	2	2	—	2	22	15	2	44	Januar
6.1	5.0	3.5	4.9	27	6	12	10	9	8	—	—	—	8	6	2	13	6	1	3	25	10	2	22	Februar
5.4	4.2	3.6	4.4	30	9	28	8	6	1	—	—	4	11	6	11	17	10	4	4	13	4	3	27	März
4.9	5.2	3.5	4.5	43	11	7	10	9	3	—	—	—	9	5	—	7	4	1	6	23	13	5	31	April
5.7	6.2	4.8	5.6	57	19	5	13	10	—	—	—	—	9	12	3	18	11	6	—	14	13	1	27	Mai
6.4	6.9	5.9	6.4	60	10	4	15	13	—	1	2	2	2	9	9	7	1	2	3	15	19	1	33	Juni
4.1	5.0	4.3	4.5	51	16	22	11	10	—	—	5	—	11	8	1	10	6	1	3	6	24	2	40	Juli
3.8	4.8	3.1	3.9	20	6	30	5	5	—	—	2	—	8	4	2	4	2	3	3	8	32	2	37	August
7.1	6.1	5.2	6.1	111	23	22	15	11	—	—	2	4	3	10	3	7	4	9	1	9	7	1	49	September
7.3	5.6	4.6	5.8	1	0.5	8	2	—	—	—	—	6	4	12	2	21	8	1	3	5	1	—	52	Oktober
8.0	8.0	7.8	7.9	112	41	13	14	11	11	—	—	3	2	17	—	20	1	—	—	18	20	1	30	November
9.4	8.6	8.3	8.8	24	12	19	8	4	3	—	—	13	—	23	2	26	6	—	1	8	9	1	40	Dezember
6.4	6.1	5.1	5.9	630	41	XI	127	102	35	1	11	38	69	128	39	152	61	28	29	166	167	21	432	Jahr

Bern

$\lambda = 7^\circ 26'$, $\beta = 46^\circ 57'$, $H_b = 572.2^m$, $G = 0.00$ m/m, $h_r = 1.5^m$

1943	Luftdruck					Luft-Temperatur								Relative Feuchtigkeit					
	Mittel	Minimum	Tag	Maximum	Tag	7^{30}	13^{30}	21^{30}	Mittel	Minimum	Tag	Maximum	Tag	7^{30}	13^{30}	21^{30}	Mittel	Minimum	Tag
Januar	710.4	696.7	14	721.3	27	-2.4	1.5	-0.9	-0.7	-7.3	20	7.2	23	94	76	91	87	53	3
Februar	717.7	706.3	9	726.1	28	-0.5	4.7	1.3	1.7	-7.7	9	10.2	23	93	66	88	82	42	23
März	713.0	706.9	24	726.8	1	2.4	9.7	5.9	6.0	-3.2	8	14.5	27	96	62	85	81	46	1. 13 24. 26
April	715.9	707.4	7	721.9	25	6.7	13.0	9.4	9.6	-0.3	9	20.7	19	89	57	77	74	30	25
Mai	713.7	699.9	9	723.6	13	10.9	17.3	12.9	13.5	3.9	10	25.1	14	87	58	79	75	32	14
Juni	715.4	708.1	2	720.8	23	12.7	18.0	14.2	14.8	6.3	17	24.4	25	88	62	80	77	37	8
Juli	713.0	706.5	20	717.3	14	15.0	21.5	17.4	17.8	8.8	9	27.7	31	90	58	80	76	32	4
August	714.1	707.8	21	719.6	29	15.8	23.5	18.4	19.0	12.4	26	31.6	19	89	53	77	73	33	18
September	713.2	706.0	25	720.2	16	11.9	17.3	13.8	14.2	3.5	28	25.6	13	98	70	93	87	45	2
Oktober	712.8	703.7	17	718.9	3	7.8	13.8	9.8	10.3	2.5	30	18.8	22	98	74	96	89	46	15
November	711.4	698.0	14	722.6	9. 10	1.1	4.3	2.2	2.4	-4.2	18	13.7	2	94	78	92	88	54	14
Dezember	714.8	705.7	22	724.7	27	-0.7	1.5	0.2	0.3	-5.4	26	6.2	8	95	85	93	91	53	26
Jahr	713.8	696.7	I	726.8	III	6.7	12.2	8.7	9.1	-7.7	II	31.6	VIII	93	67	86	82	32	V VII

Freiburg

$\lambda = 7^\circ 9'$, $\beta = 46^\circ 47'$, $H_b = 670^m$, $G = -$ m/m, $h_r = 1.6^m$

Januar	—	—	—	—	—	-1.7	1.8	-0.3	-0.1	-9.0	18	7.5	23	87	69	83	80	45	22
Februar	—	—	—	—	—	-0.3	4.8	1.5	1.9	-6.4	9	10.6	23	81	59	75	72	36	23
März	—	—	—	—	—	2.6	9.6	5.5	5.8	-3.5	8	13.1	24	83	55	74	71	35	24
April	—	—	—	—	—	6.8	12.8	8.9	9.3	-0.9	9	19.8	19.23	77	52	66	65	36	28
Mai	—	—	—	—	—	11.1	16.9	12.6	13.3	3.6	10	24.7	14	77	53	68	66	33	15
Juni	—	—	—	—	—	12.6	18.2	13.8	14.6	6.2	17	23.7	25	78	49	71	66	33	8
Juli	—	—	—	—	—	15.1	21.6	16.6	17.5	8.8	9	26.8	31	77	50	68	65	30	4
August	—	—	—	—	—	15.8	22.7	17.5	18.4	11.9	31	31.2	19	73	46	65	61	33	21
September	—	—	—	—	—	11.6	17.4	13.4	14.0	2.9	28	25.9	13	90	62	86	79	38	6
Oktober	—	—	—	—	—	8.0	13.7	9.7	10.3	2.9	30	18.1	22	92	65	90	82	41	17. 26
November	—	—	—	—	—	0.8	4.2	2.2	2.3	-5.0	18	14.1	2	87	71	84	81	56	6. 27
Dezember	—	—	—	—	—	-1.0	1.4	-0.1	0.0	-5.2	26	8.2	19	91	78	89	86	44	19
Jahr	—	—	—	—	—	6.8	12.1	8.4	8.9	-9.0	I	31.2	VIII	83	59	77	73	30	VII

Langnau i. E.

$\lambda = 7^\circ 47'$, $\beta = 46^\circ 56'$, $H = 685^m$, $G = -$ m/m, $h_r = 1.6^m$

Januar	—	—	—	—	—	-2.6	2.3	-1.2	-0.7	-10.5	10	8.8	23	91	67	91	83	49	1. 13
Februar	—	—	—	—	—	-1.6	4.7	-0.5	0.5	-11.4	9	10.4	25	91	62	88	80	38	23
März	—	—	—	—	—	1.9	10.1	4.5	5.2	-4.0	8	14.8	24	95	54	89	79	35	1. 2
April	—	—	—	—	—	6.2	13.0	7.3	8.4	-0.8	10	20.4	19	89	52	86	76	28	28
Mai	—	—	—	—	—	11.3	17.4	11.6	13.0	3.6	9	24.6	14	82	52	83	72	30	30
Juni	—	—	—	—	—	13.3	18.1	12.9	14.3	5.4	17	24.4	25	80	54	86	73	27	26
Juli	—	—	—	—	—	15.2	21.3	15.0	16.6	8.0	9	27.6	31	83	52	88	74	30	4. 5
August	—	—	—	—	—	15.0	22.7	16.2	17.5	11.5	28	30.4	21	85	47	81	71	26	21
September	—	—	—	—	—	11.6	18.2	12.7	13.8	2.2	28	26.2	13	96	61	94	84	40	6
Oktober	—	—	—	—	—	7.1	14.7	8.7	9.8	1.6	31	18.3	5	99	62	95	85	41	22
November	—	—	—	—	—	0.1	4.6	1.5	1.9	-6.8	18	13.6	2	93	72	91	85	50	13. 14
Dezember	—	—	—	—	—	-1.5	1.8	-0.8	-0.3	-7.0	26	5.4	8	95	89	95	93	64	31
Jahr	—	—	—	—	—	6.3	12.4	7.3	8.3	-11.4	II	30.4	VIII	90	60	89	80	26	VIII

St. Beatenberg

$\lambda = 7^\circ 48'$, $\beta = 46^\circ 41'$, $H_b = 1148^m$, $G = -0.13$ m/m, $h_r = 1.1^m$

Januar	661.6	649.5	12	672.0	26	-1.9	1.2	-1.1	-0.7	-10.0	9	7.0	22	71	63	70	68	35	17
Februar	668.5	657.6	9	677.5	28	-1.4	2.9	-0.7	0.0	-7.0	5	9.4	22. 23	69	61	73	68	36	23
März	664.8	659.7	24	677.1	1	2.9	7.5	3.3	4.2	-5.0	7	12.8	24	69	56	74	66	32	24
April	667.9	657.8	7	673.1	24. 25	5.7	9.8	5.3	6.5	-4.2	8	16.8	23	68	59	72	66	40	5
Mai	666.4	652.5	9	676.0	13	10.0	14.2	9.3	10.7	0.8	9	22.4	14	74	62	78	71	34	10
Juni	668.0	660.9	2	673.3	23	10.4	14.3	10.3	11.3	1.0	17	20.8	26	83	67	84	78	43	26
Juli	666.4	660.2	8	670.6	16	13.0	18.7	13.5	14.7	4.6	9	25.2	31	74	60	74	69	41	5
August	667.6	662.9	22	672.2	16	14.5	19.9	14.9	16.0	8.4	28	28.2	21	73	56	70	66	26	21
September	666.0	658.8	25	672.6	16	11.0	15.1	11.3	12.2	2.4	26	22.8	13	81	70	86	79	48	13
Oktober	665.2	656.7	17	671.0	3	7.6	12.1	8.0	8.9	2.6	16	15.6	4. 6	81	67	82	77	43	31
November	662.6	650.0	14	672.6	9	-0.8	1.9	-0.2	0.2	-6.0	26	11.8	1	83	76	84	81	42	1
Dezember	665.5	657.5	22	675.0	27	-1.2	0.9	-0.5	-0.3	-6.4	25. 31	7.5	19	74	74	74	74	40	19
Jahr	665.9	649.5	I	677.5	II	5.9	9.9	6.1	7.0	-10.0	I	28.2	VIII	75	64	77	72	26	VIII

Beobachter: Tellur. Observatorium

Bern

Bewölkung				Niederschlag			Zahl der Tage								Windverteilung									1943
7³⁰	13³⁰	21³⁰	Mittel	Summe	Maximum Tag		●	●▲ >1.0	✳	▲	K	≡	heiter	trüb	N	NE	E	SE	S	SW	W	NW	Calmen	
8.2	7.2	6.9	7.4	54	14	5	17	11	11	—	—	15	1	17	3	5	—	6	3	7	17	1	51	Januar
6.3	5.4	3.8	5.2	38	11	2	11	7	8	—	—	3	9	7	—	13	4	4	9	5	10	1	38	Februar
6.4	5.4	4.0	5.3	42	12	26	11	8	—	—	1	4	8	7	5	23	1	7	—	5	12	1	39	März
5.9	6.2	4.4	5.5	43	10	24	12	9	3	1	—	2	6	8	5	8	1	6	3	9	14	4	40	April
6.1	6.6	6.1	6.3	95	22	24	14	11	—	1	1	—	5	13	7	17	1	6	1	6	12	8	35	Mai
5.9	6.7	6.3	6.3	122	24	16	13	13	—	—	2	—	2	9	7	15	2	6	1	6	13	2	38	Juni
5.0	5.0	4.9	5.0	125	31	19	15	14	—	1	3	1	8	8	9	8	—	4	2	5	15	1	49	Juli
4.9	4.7	4.4	4.7	55	24	22	7	4	—	1	2	—	6	2	3	6	1	1	—	9	12	5	56	August
8.2	7.1	6.6	7.3	142	31	18	19	14	—	—	4	3	2	16	5	12	2	2	1	4	9	1	54	September
8.0	5.7	5.5	6.4	3	2	19	2	1	—	—	—	8	2	13	2	21	1	3	1	—	2	3	60	Oktober
7.4	7.8	7.6	7.6	56	13	29	10	10	5	—	—	8	3	15	2	17	3	3	3	9	14	—	39	November
9.4	8.9	8.0	8.8	17	9	19	5	5	2	—	—	14	—	24	3	13	5	3	2	1	8	—	58	Dezember
6.8	6.4	5.7	6.3	792	31	VII	136	107	29	4	13	58	52	139	51	158	21	51	26	66	138	27	557	Jahr

Beobachter: Frau P. Gockel

Freiburg

8.4	7.1	6.7	7.4	77	18	5	16	15	11	—	—	1	2	17	—	7	2	1	2	31	4	3	43	Januar
6.9	5.6	4.1	5.5	34	12	2	10	6	9	—	—	—	8	9	1	17	2	1	7	36	8	1	11	Februar
5.5	5.4	5.1	5.3	47	14	26	10	7	—	—	—	—	7	7	4	27	—	—	4	22	4	3	29	März
5.5	5.8	3.8	5.0	38	7	24	10	9	3	—	—	—	8	8	4	11	2	—	4	34	13	6	16	April
6.0	6.6	5.5	6.0	76	26	24	13	11	—	—	—	—	7	12	5	15	—	—	4	32	13	3	21	Mai
6.0	6.2	6.2	6.1	115	24	17	13	12	—	—	1	—	3	13	2	20	—	—	6	25	16	4	17	Juni
5.0	5.0	4.2	4.7	124	35	19	15	13	—	—	4	—	10	8	2	4	—	—	3	24	5	1	54	Juli
4.3	4.6	4.6	4.5	57	33	22	6	6	—	—	2	—	8	4	3	9	—	—	1	41	13	7	19	August
7.7	6.8	7.1	7.2	161	28	7	18	13	—	—	3	3	2	15	6	17	1	—	3	21	5	2	35	September
7.9	5.4	5.6	6.3	4	3	19	2	1	—	—	—	5	3	12	7	25	—	—	1	16	3	—	41	Oktober
7.9	7.6	7.7	7.7	49	13	24	12	8	5	—	—	2	3	19	1	24	—	—	1	37	4	1	22	November
8.9	7.9	7.8	8.2	23	9	19	7	4	4	1	—	5	1	24	—	23	—	—	1	19	2	—	48	Dezember
6.7	6.2	5.7	6.2	805	35	VII	132	105	32	1	10	16	62	148	35	199	7	2	37	338	90	31	356	Jahr

Beobachter: Frl. R. Zbinden

Langnau i. E.

7.2	7.7	7.4	7.4	76	16	5	17	16	11	—	—	1	4	19	2	—	38	—	3	3	20	1	26	Januar
6.5	6.4	4.9	5.9	62	13	2	14	12	13	—	—	—	7	10	—	1	47	1	1	5	13	2	14	Februar
5.2	5.8	5.4	5.5	62	13	28	12	9	1	—	1	—	8	10	2	6	47	—	1	6	27	1	3	März
5.7	6.7	4.5	5.6	70	12	1	13	12	5	—	—	—	5	10	5	—	38	2	—	3	30	3	9	April
5.4	6.9	5.0	5.8	90	21	24	15	13	—	—	1	—	7	10	2	4	46	—	—	1	23	3	14	Mai
6.7	7.5	6.8	7.0	152	30	6	14	11	—	—	1	—	2	11	6	1	29	2	1	3	23	4	21	Juni
5.3	6.4	4.8	5.5	183	31	27	16	16	—	1	6	—	7	9	1	6	42	—	1	5	18	1	19	Juli
4.6	5.3	4.5	4.8	82	27	22	7	7	—	—	3	—	9	5	5	2	39	1	1	6	28	—	11	August
7.8	8.3	6.8	7.6	127	34	19	17	13	—	—	2	—	2	18	—	4	26	4	6	1	21	4	24	September
5.9	4.9	4.6	5.1	1	0.9	19	2	—	—	—	—	1	9	10	2	—	51	1	4	2	13	2	18	Oktober
7.6	8.4	7.5	7.8	100	18	29	11	11	7	—	—	1	2	19	—	—	48	3	1	4	20	1	13	November
7.5	7.8	7.5	7.6	35	9	19	11	8	7	—	—	4	1	15	—	3	56	—	3	1	11	1	18	Dezember
6.3	6.8	5.8	6.3	1040	34	IX	149	128	44	1	14	7	63	146	25	27	507	14	22	40	247	23	190	Jahr

Beobachter: B. Lutz

St. Beatenberg

5.7	6.2	4.8	5.6	114	27	5	15	12	13	—	—	5	7	7	9	3	—	2	3	3	2	9	62	Januar
5.4	5.0	4.3	4.9	85	22	2	13	10	13	—	—	4	9	9	13	1	—	1	—	—	—	8	61	Februar
4.4	5.0	3.8	4.4	61	17	31	9	8	4	—	—	2	9	6	7	—	1	3	3	—	—	2	77	März
4.7	5.5	3.4	4.5	100	19	1	13	13	5	—	—	1	11	5	3	3	1	2	3	3	1	4	70	April
4.7	5.7	5.3	5.2	143	43	21	15	13	1	1	1	6	9	11	1	—	—	2	3	2	3	3	79	Mai
6.1	6.8	6.2	6.4	168	27	6	13	13	1	—	—	3	4	10	—	—	1	3	2	1	1	—	82	Juni
4.2	5.3	3.9	4.5	98	23	8	17	15	—	—	2	—	10	7	2	—	—	1	2	1	—	2	85	Juli
3.7	4.0	4.6	4.1	70	24	22	10	10	—	—	—	2	9	5	1	—	—	1	—	—	1	1	89	August
6.1	6.2	6.0	6.1	132	30	19	20	16	—	—	2	8	3	7	—	—	—	1	2	—	—	2	85	September
4.8	3.9	3.2	4.0	1	0.4	8	1	—	—	—	—	4	12	4	—	2	—	1	—	—	—	—	90	Oktober
6.8	7.0	6.4	6.7	93	26	30	10	10	8	—	—	6	4	13	—	—	—	1	—	2	1	2	84	November
5.3	5.7	4.7	5.2	53	14	19	7	7	5	—	—	8	7	8	1	1	—	—	—	—	—	—	91	Dezember
5.2	5.5	4.7	5.1	1118	43	V	143	127	50	1	5	49	94	92	37	10	3	18	18	12	9	33	955	Jahr

Interlaken (Unterseen)

$\lambda = 7^\circ 51'$, $\beta = 46^\circ 42'$, $H_b = 568^m$, $G = -0.07$ ‰, $h_r = 1.5^m$

1943	Luftdruck					Luft-Temperatur								Relative Feuchtigkeit					
	Mittel	Minimum	Tag	Maximum	Tag	7^{30}	13^{30}	21^{30}	Mittel	Minimum	Tag	Maximum	Tag	7^{30}	13^{30}	21^{30}	Mittel	Minimum	Tag
Januar	711.1	697.4	14	722.2	27	−1.3	2.4	−0.2	0.2	−7.2	10	6.6	23	86	68	81	78	50	4. 10
Februar	718.3	707.4	9	726.9	28	−0.7	4.6	0.9	1.4	−6.4	9	10.2	23	85	60	82	76	38	23
März	713.6	707.4	25	727.5	1	3.2	10.6	5.7	6.3	−2.5	8	16.6	24	84	52	77	71	15	24
April	716.6	705.5	7	722.3	24	6.9	13.2	8.8	9.4	−0.5	9	21.1	23	81	53	72	69	34	5
Mai	714.3	700.4	9	724.1	13	11.7	18.0	12.1	13.5	4.4	10	25.8	20. 30	78	55	79	71	19	10
Juni	716.0	709.3	2	721.0	22	13.8	18.3	13.7	14.9	5.4	17	24.2	25	75	58	80	71	35	26
Juli	713.8	707.6	19	717.6	14	15.9	22.5	16.2	17.7	7.9	9	28.9	31	79	50	80	70	30	5
August	714.8	708.7	21	719.3	29	16.4	23.8	18.2	19.1	11.8	28	32.0	21	76	48	68	64	22	21
September	713.8	707.3	25	721.3	16	12.9	18.4	13.9	14.8	6.2	26	25.4	13	84	59	85	76	39	4
Oktober	713.4	704.0	17	718.9	3	8.5	14.2	9.9	10.6	4.0	30	17.5	3. 9	88	62	84	78	48	23
November	712.1	697.2	14	722.5	9. 10	1.8	5.4	2.8	3.2	−4.2	11	13.5	2	80	65	77	74	38	13
Dezember	715.4	706.7	22	725.2	27	−0.1	2.5	0.6	0.9	−4.4	26	7.2	23	84	75	84	81	51	25
Jahr	714.4	697.2	XI	727.5	III	7.4	12.8	8.5	9.3	−7.2	I	32.0	VIII	82	59	79	73	15	III

Meiringen

$\lambda = 8^\circ 12'$, $\beta = 46^\circ 44'$, $H_b = 604.7^m$, $G = -0.08$ ‰, $h_r = 1.6^m$

Januar	707.9	693.7	12	719.5	27	−2.5	2.2	−0.4	−0.3	−13.0	10	7.3	14	91	67	81	80	34	12
Februar	715.1	704.4	9	723.4	19	−1.3	4.2	0.9	1.2	−8.2	9	8.8	23.26	90	64	81	78	41	24.25
März	710.4	704.3	25	724.2	1	2.9	11.1	7.3	7.2	−2.6	1	17.4	25	85	48	66	66	30	7.8.14
April	713.3	703.0	7	719.5	25	5.6	14.5	10.0	10.0	−2.6	10	22.9	19	84	49	69	67	30	24.22 22.23 25
Mai	711.2	697.3	9	721.1	13	10.4	18.9	13.6	14.1	1.4	10	26.0	14	84	48	75	69	25	10
Juni	712.9	705.7	2	718.2	23	11.8	19.6	14.4	15.1	5.3	5	26.0	25	86	54	78	73	34	5
Juli	710.6	702.8	8	714.7	14	13.9	22.7	17.3	17.8	7.7	9	28.3	18	86	52	79	72	30	20
August	711.5	705.8	22	716.9	16	15.1	23.7	18.9	19.1	9.8	26	31.6	21	82	45	70	66	26	21
September	710.7	703.7	25	718.0	16	12.2	18.7	14.6	15.0	5.2	27	24.2	13	89	60	85	78	43	6
Oktober	710.3	700.1	17	716.9	3	7.1	15.4	10.3	10.8	0.6	31	19.4	17	95	55	85	78	30	17
November	709.0	695.0	14	720.7	10	0.9	5.4	2.4	2.8	−6.0	18	14.4	2	90	64	82	79	38	16
Dezember	712.3	703.3	22	722.6	27	−1.1	1.8	−0.2	0.1	−6.4	30	7.2	8	93	77	90	87	38	19
Jahr	711.3	693.7	I	724.2	III	6.2	13.2	9.1	9.4	−13.0	I	31.6	VIII	88	57	78	74	25	V

Guttannen

$\lambda = 8^\circ 17'$, $\beta = 46^\circ 39'$, $H_b =$ ca. 1055^m, $G = -0.15$ ‰, $h_r = 1.5^m$

Januar	669.0	657.0	2	679.8	26	−2.0	−0.4	−1.5	−1.4	−11.6	9	6.6	31	80	74	78	77	43	31
Februar	676.0	665.2	9	684.9	28	−1.9	2.1	−1.2	−0.5	−7.7	6	8.3	25	80	70	81	77	43	6
März	672.4	668.1	13	685.2	1	2.8	8.1	4.0	4.7	−3.2	7	11.4	25	70	55	72	66	38	14
April	675.3	663.2	7	681.0	25	5.1	10.5	6.1	6.9	−3.6	9	17.8	18	75	57	76	69	34	15.18
Mai	673.8	659.4	9	683.6	13	8.8	15.2	10.3	11.2	−1.2	10	23.0	14	81	58	80	73	38	10.14
Juni	675.4	668.1	2	681.1	23	10.3	15.3	11.4	12.1	3.0	17	22.5	25	88	67	86	80	40	20
Juli	673.8	667.1	8	678.3	29	12.6	19.1	14.2	15.0	5.3	9	25.7	31	85	61	83	76	38	20
August	674.8	670.0	22	679.8	16	13.7	20.3	16.1	16.6	9.0	26	28.6	19	83	57	73	71	34	2
September	673.4	665.8	25	680.4	16	10.7	15.7	12.7	13.0	3.7	27	26.0	13	86	67	83	79	40	9. 13
Oktober	672.7	664.8	17	679.0	3	7.5	13.0	9.3	9.8	2.5	16	18.6	4	83	64	78	75	36	24
November	670.1	656.9	14	680.7	9	0.2	2.5	0.4	0.9	−6.2	17	14.4	1	83	75	85	81	40	24
Dezember	673.1	665.0	22	682.5	27	0.3	1.7	0.4	0.7	−6.8	24	10.6	6	73	72	75	73	40	15
Jahr	673.3	656.9	XI	685.2	III	5.7	10.3	6.9	7.4	−11.6	I	28.6	VIII	81	65	79	75	34	IV VIII

Grimsel

$\lambda = 8^\circ 20'$, $\beta = 46^\circ 34'$, $H = 1962.5^m$, $G = -$ ‰, $h_r = 1.5^m$

Januar	596.7	585.4	2	605.0	25.26	−6.0	−4.4	−5.8	−5.5	−13.0	9	2.8	29	69	68	70	69	28	18.25
Februar	602.9	593.5	10	610.8	28	−5.6	−2.1	−5.0	−4.4	−11.8	17	5.2	19	65	65	67	66	22	19
März	600.6	597.1	14	611.1	1	−3.0	1.7	−1.9	−1.3	−8.5	7	8.0	3	63	53	68	61	30	11.12
April	603.3	590.4	7	608.5	25	−1.3	3.1	0.1	0.5	−10.6	8	10.2	17	70	63	74	69	23	16
Mai	603.1	589.4	9	612.7	14	4.3	8.2	4.7	5.5	−6.0	10	15.0	14	64	59	76	66	22	14
Juni	604.5	598.0	3	610.2	23	4.8	8.3	5.4	6.0	−3.0	17	15.8	25	77	69	87	78	35	25
Juli	604.1	596.3	8	608.5	29	8.0	12.2	8.6	9 4	−1.8	9	17.8	18.30 31	67	59	79	68	34	30
August	605.4	601.8	22	610.5	16	9.2	13.6	10.0	10.7	3.6	28	21.6	16	65	57	73	65	26	17
September	603.5	595.4	26	609.0	16	6.4	10.3	7.4	7.9	−2.2	26	19.6	13	69	59	77	68	18	5
Oktober	602.5	596.2	17	607.3	3	4.0	8.7	5.4	5.9	−0.6	15	14.2	21	60	47	62	56	28	21
November	597.6	585.1	14	606.4	2	−4.0	−2.2	−4.2	−3.6	−12.0	17	7.8	2	77	75	78	77	30	11
Dezember	600.6	593.0	22	608.4	27	−4.7	−2.6	−4.5	−4.1	−12.4	25	2.2	16.29	63	59	64	62	22	26
Jahr	602.1	585.1	XI	612.7	V	1.1	4.6	1.7	2.3	−13.0	I	21.6	VIII	67	61	73	67	18	IX

Beobachter: P. Furrer

Interlaken (Unterseen)

Bewölkung 7³⁰	13³⁰	21³⁰	Mittel	Niederschlag Summe	Maximum	Tag	Zahl der Tage ●	●≥1.0	≡	▲	K	≡	heiter	trüb	Windverteilung N	NE	E	SE	S	SW	W	NW	Calmen	1943
6.0	6.0	5.4	5.8	87	33	5	12	10	6	—	—	3	8	10	—	2	14	1	—	16	1	7	52	Januar
5.4	4.6	4.7	4.9	58	18	2	12	11	10	—	—	—	10	9	—	1	13	3	3	13	3	1	47	Februar
4.5	4.3	3.3	4.0	54	21	31	6	6	—	—	—	1	11	5	—	—	12	3	2	25	2	—	49	März
4.1	4.9	3.0	4.0	71	20	1	12	11	3	—	—	—	12	5	—	—	19	5	6	26	7	—	27	April
4.7	5.2	4.7	4.9	63	14	21	13	12	—	—	1	1	10	8	—	—	19	1	15	30	10	—	18	Mai
5.4	5.6	5.6	5.5	169	29	9	13	13	—	—	—	—	7	8	1	—	15	4	5	30	7	1	27	Juni
3.7	3.8	4.0	3.8	80	14	8	16	15	—	—	—	—	12	5	—	—	29	2	5	24	6	2	25	Juli
3.4	3.0	3.7	3.4	58	21	22	9	9	—	—	—	1	10	1	—	—	21	1	7	27	18	—	19	August
6.3	5.4	5.9	5.9	110	28	19	17	17	—	—	1	3	4	8	—	2	18	1	13	20	20	—	16	September
6.5	3.5	2.6	4.2	0	0	—	—	—	—	—	—	11	7	4	—	—	19	3	14	12	13	—	32	Oktober
6.8	6.6	7.2	6.9	70	18	28	10	9	1	—	—	5	4	14	—	1	9	3	8	16	14	2	37	November
7.1	7.4	6.6	7.0	38	9	30	7	7	2	—	—	4	2	12	—	—	14	4	4	13	9	—	49	Dezember
5.3	5.0	4.7	5.0	858	33	I	127	120	22	—	2	29	97	89	1	6	202	31	82	252	110	13	398	Jahr

Beobachter: A. Michel

Meiringen

6.7	6.6	6.9	6.7	78	16	5	11	10	8	—	—	—	3	14	—	—	4	—	—	—	2	8	79	Januar
5.7	4.9	4.6	5.1	65	15	2. 4	9	9	7	—	—	—	9	10	—	—	2	—	—	—	1	2	70	Februar
5.1	4.3	6.1	5.2	42	14	31	8	7	—	—	—	—	6	5	—	—	11	—	—	1	8	16	57	März
5.1	5.0	4.8	5.0	100	29	1	12	12	3	—	—	—	9	10	—	—	8	—	—	—	1	23	58	April
4.7	6.0	5.9	5.5	69	18	9	12	10	—	—	—	—	6	9	—	—	1	—	—	—	5	25	62	Mai
6.9	6 7	7 8	7.1	197	31	21	14	13	—	—	2	—	2	16	—	—	1	—	—	—	1	17	71	Juni
5.0	5.5	6.3	5.6	155	42	31	19	16	—	—	4	—	5	7	—	—	3	—	—	—	1	16	73	Juli
3.9	4.4	5.2	4.5	72	26	22	10	7	—	—	1	—	7	6	—	1	5	—	—	1	1	19	66	August
7.1	6.5	7.5	7.0	125	28	25	20	17	—	—	2	—	2	11	—	—	1	—	—	—	1	11	77	September
4.9	3.8	5.1	4.6	0	0	—	—	—	—	—	—	—	7	5	—	—	2	1	1	—	3	13	73	Oktober
7.3	6.8	7.7	7.3	115	31	28	13	13	5	—	—	—	1	16	—	1	—	—	—	—	1	9	79	November
7.9	6.9	7.0	7.3	34	11	19	7	7	4	—	—	—	2	12	—	—	1	1	—	—	—	5	86	Dezember
5.9	5.6	6.2	5.9	1052	42	VII	135	121	27	—	9	—	59	121	—	2	39	2	1	2	25	164	860	Jahr

Beobachter: Hs. Huber

Guttannen

6.2	6.6	5.9	6.2	128	33	5	13	11	13	—	—	—	6	14	—	—	—	14	—	—	—	7	72	Januar
6.8	5.0	4.3	5.4	86	16	2	12	11	11	—	—	—	8	9	—	1	—	5	—	—	—	1	77	Februar
4.2	4.1	5.1	4.5	66	29	31	8	7	1	—	—	—	9	6	—	—	—	29	—	—	2	8	54	März
5.2	5.3	4.5	5.0	106	34	7	10	10	6	—	—	—	10	9	—	—	—	15	—	—	2	15	58	April
6.1	5.9	5.9	6.0	93	32	9	10	9	1	—	—	1	6	11	1	1	1	9	—	—	—	15	66	Mai
7.0	7.7	8.3	7.7	225	36	9	18	16	1	—	—	—	2	17	—	—	—	—	—	—	1	13	76	Juni
5.7	6.2	6.2	6.0	114	21	6	17	15	—	—	1	—	6	12	1	—	1	6	—	—	—	6	79	Juli
4.5	4.9	4.3	4.6	92	36	22	9	8	—	—	—	—	11	6	—	—	—	14	—	—	—	6	73	August
6.9	6.9	7.3	7.0	102	36	25	14	14	—	—	—	1	3	13	—	—	1	13	—	—	—	2	74	September
4.4	2.6	2.4	3.1	0	0	—	—	—	—	—	—	3	13	2	—	—	—	22	—	—	—	—	71	Oktober
7.0	7.3	6.6	7.0	133	27	30	11	11	8	—	—	2	3	13	—	—	—	12	—	—	—	3	75	November
5.2	6.4	4.9	5.5	56	20	30	9	8	7	—	—	2	4	9	—	—	—	29	—	—	1	5	58	Dezember
5.8	5.7	5.5	5.7	1261	36	VIII IX	131	120	48	—	1	9	81	121	2	2	3	168	—	—	6	81	833	Jahr

Beobachter: Grimselwärter

Grimsel

7.6	6.3	6.7	6.9	213	36	5	18	18	18	—	—	4	3	13	9	—	—	34	7	11	4	14	14	Januar
6.1	5.0	4.4	5.2	103	25	2	12	12	12	—	—	4	9	11	16	—	1	19	6	18	1	6	17	Februar
5.0	4.6	4.6	4.7	97	45	31	8	8	8	—	—	4	7	7	4	11	9	24	5	16	2	2	20	März
5.4	5.6	5.8	5.6	234	76	1	14	13	12	—	—	3	8	12	13	—	1	17	2	11	—	21	25	April
5.6	6.5	6.4	6.2	120	38	25	16	13	7	—	—	3	7	12	15	—	2	18	1	5	1	14	37	Mai
6.5	7.9	8.2	7.5	268	47	9	16	14	7	—	—	8	2	17	20	—	4	2	2	3	1	36	22	Juni
5.3	6.6	6.0	6.0	137	36	8	17	15	2	1	1	1	6	11	15	1	3	8	2	18	1	20	25	Juli
5.2	6.7	6.7	6.2	93	33	22	11	9	—	—	—	4	3	7	15	3	2	19	1	9	1	26	17	August
7.5	7.9	7.1	7.5	184	36	25	17	13	4	—	—	6	2	19	11	1	5	26	5	6	—	14	22	September
3.8	4.0	3.4	3.7	23	11	17	4	4	—	—	—	2	5	4	3	1	4	47	3	18	1	2	14	Oktober
6.5	7.2	6.5	6.7	179	25	13	16	15	16	—	—	2	5	14	2	—	—	26	3	11	—	17	31	November
6.2	5.6	4.7	5.5	72	20	30	10	8	10	—	—	1	7	8	5	—	—	30	12	13	2	10	21	Dezember
5.9	6.2	5.9	6.0	1783	76	IV	159	142	96	1	1	42	64	135	128	17	31	270	49	139	14	182	265	Jahr

Jungfraujoch

$\lambda = 7^\circ 59'$, $\beta = 46^\circ 35'$, $H_b = 3577.8^m$, $G = -0.38$ m/m, $h_r = 1.8^m$

1943	Luftdruck					Luft-Temperatur								Relative Feuchtigkeit					
	Mittel	Minimum	Tag	Maximum	Tag	7^{30}	13^{30}	21^{30}	Mittel	Minimum	Tag	Maximum	Tag	7^{30}	13^{30}	21^{30}	Mittel	Minimum	Tag
Januar	485.4	473.2	3	494.1	25	-14.1	-13.3	-13.7	-13.7	-25.0	4	-5.4	21	59	58	65	60	11	27.29
Februar	490.7	480.3	16	499.6	21	-13.9	-13.0	-14.3	-13.9	-23.6	16	-4.8	21	67	59	58	61	11	8
März	489.5	485.1	14	499.5	1	-11.3	-10.3	-11.4	-11.1	-19.0	6	-3.8	2	65	66	75	69	14	30
April	492.6	478.0	8	499.1	25	-9.7	-8.3	-9.3	-9.2	-23.0	8	-3.0	25	41	55	51	49	6	30
Mai	493.8	479.6	9	504.1	13	-5.7	-3.9	-5.1	-5.0	-19.6	10	4.6	14	57	62	71	63	10	12.17
Juni	496.4	487.2	3	502.0	23	-4.9	-3.7	-4.4	-4.4	-12.4	18	2.2	29	52	62	66	60	6	27.28
Juli	496.1	488.2	8	501.4	30	-1.8	-0.6	-1.5	-1.4	-11.6	9	5.1	31	72	77	85	78	16	4
August	497.7	493.9	22.31	504.2	16	-0.1	1.0	0.1	0.3	-7.0	28	7.4	17	64	71	77	71	18	15
September	495.4	486.1	26	500.8	16	-2.0	-1.4	-1.7	-1.7	-12.4	26	4.2	12	73	77	77	76	18	1
Oktober	493.5	487.0	18	498.3	3	-5.1	-3.8	-4.9	-4.7	-10.0	16.26	1.6	22	63	66	69	66	18	12
November	486.5	474.2	14	496.9	2	-13.3	-12.7	-13.0	-13.0	-21.6	16	-3.6	4	74	78	77	76	11	10
Dezember	489.1	480.3	31	496.7	27	-12.7	-12.4	-12.9	-12.7	-26.0	31	-5.0	19	67	73	75	72	19	24
Jahr	492.2	473.2	I	504.2	VIII	-7.9	-6.9	-7.7	-7.5	-26.0	XII	7.4	VIII	63	67	71	67	6	IV VI

Südwestschweiz

Genf

$\lambda = 6^\circ 9'$, $\beta = 46^\circ 12'$, $H_b = 405.0^m$, $G = -0.03$ m/m, $h_r = 1.7^m$

Januar	725.8	711.9	14	736.6	26	0.6	3.2	1.7	1.8	-5.6	1	12.2	23	91	82	88	87	57	3.14
Februar	733.0	721.4	9	741.2	28	1.0	6.2	3.4	3.5	-3.0	20	12.0	1	89	69	81	80	53	6
März	727.7	721.0	24	742.3	1	3.3	10.5	7.4	7.1	-1.8	8	17.0	27	88	64	79	77	37	23
April	730.9	722.1	7	737.2	25	8.0	14.1	10.9	11.0	0.6	9	23.1	19	81	60	73	71	44	19
Mai	728.2	714.4	9	738.3	13	12.8	18.0	14.9	15.1	5.8	10	25.8	31	81	63	76	73	24	9
Juni	729.8	723.9	2	735.3	23	14.9	19.9	16.7	17.1	8.6	5	24.5	26	80	65	77	74	49	15
Juli	727.3	720.4	19	731.5	10	17.5	23.4	19.5	20.0	10.2	8	30.0	31	81	65	77	74	43	5
August	728.4	721.7	21	733.6	16	17.5	25.0	20.1	20.7	12.4	23	34.6	19	77	50	74	67	35	13
September	727.3	720.5	25	734.6	16	13.9	19.0	16.2	16.3	5.4	28	25.6	8	89	66	83	79	43	2
Oktober	727.0	717.6	17	733.4	3	10.2	15.3	12.0	12.4	7.0	31	18.7	3	92	73	89	85	52	15
November	726.6	714.2	14	736.9	10	3.4	6.5	4.7	4.8	-1.6	17	14.1	2	87	71	80	79	53	8
Dezember	729.7	720.3	22	739.0	27	1.6	3.8	2.3	2.5	-2.8	23	10.0	19	88	78	85	84	56	19
Jahr	728.5	711.9	I	742.3	III	8.7	13.7	10.8	11.0	-5.6	I	34.6	VIII	85	67	80	77	24	V

Lausanne (Champ de l'Air)

$\lambda = 6^\circ 38'$, $\beta = 46^\circ 31'$, $H_b = 552.9^m$, $G = -0.02$ m/m, $h_r = 1.4^m$

Januar	712.6	699.6	14	723.1	27	0.4	2.8	1.5	1.5	-3.2	10	8.7	23	86	79	83	83	65	2
Februar	719.5	709.4	9	727.4	28	1.2	5.6	3.1	3.2	-3.0	9	9.7	23.26	82	73	76	77	66	1.6.13 25.26
März	714.6	708.4	24	728.5	1	4.6	10.3	7.4	7.4	-1.0	8	13.8	27	77	64	69	70	46	24
April	717.8	709.5	7	723.7	25	8.3	13.8	10.3	10.7	-0.1	9	20.9	23	74	56	60	63	38	19
Mai	715.5	702.4	9	725.1	13	12.7	18.0	13.9	14.6	3.6	9	25.8	30	72	55	63	63	30	18
Juni	717.0	710.8	2	722.4	23	14.6	19.4	15.2	16.1	7.0	17	25.6	26	71	53	61	62	33	29
Juli	714.8	708.7	19	718.6	13	17.1	23.3	18.3	19.3	9.5	9	28.4	18	74	48	63	62	33	5
August	715.8	710.0	21	720.3	16	17.5	24.0	18.9	19.8	13.8	28	30.4	19	74	54	63	64	35	1
September	714.8	708.3	25	721.5	16	13.7	18.4	15.2	15.6	6.2	28	24.7	11	91	73	83	82	49	6
Oktober	714.4	705.6	17	720.2	3	10.6	15.4	11.6	12.3	7.5	30	18.9	23	93	73	87	84	48	22
November	713.5	701.1	14	723.0	10	2.8	5.6	3.6	3.9	-0.6	18.19	13.7	2	91	78	88	86	52	17
Dezember	716.4	707.8	22	725.3	27	1.0	3.2	1.5	1.8	-2.5	26	8.2	19	91	83	88	87	61	23.24
Jahr	715.6	699.6	I	728.5	III	8.7	13.3	10.0	10.5	-3.2	I	30.4	VIII	81	66	74	74	30	V

Montreux-Clarens

$\lambda = 6^\circ 54'$, $\beta = 46^\circ 27'$, $H_b = 412^m$, $G = -0.03$ m/m, $h_r = 1.5^m$

Januar	725.1	711.5	14	736.0	27	0.7	3.9	2.1	2.2	-3.0	18	11.4	31	88	78	85	84	36	31
Februar	732.4	720.5	9	740.7	28	1.4	6.2	3.0	3.4	-2.6	18	10.4	24	86	66	79	77	42	6
März	727.1	720.3	25	741.7	1	4.6	10.1	7.8	7.6	-0.1	8	15.6	24	85	60	69	71	35	24
April	730.4	722.0	7	736.4	24	7.5	13.4	10.8	10.6	0.4	9	18.2	23	87	58	67	71	34	28
Mai	727.7	714.7	9	737.5	13	12.2	17.5	14.4	14.6	5.2	9	24.2	15	89	61	72	74	45	10.11
Juni	729.2	722.6	2	734.9	23	14.8	19.5	16.6	16.9	8.4	17	25.6	26	84	56	67	69	31	26
Juli	726.8	719.9	19	731.3	10	16.9	23.1	19.3	19.7	10.2	8	28.0	30	76	54	70	70	34	19
August	727.8	721.3	21	732.6	29	16.8	24.5	20.6	20.6	13.0	23	28.6	5	84	50	61	65	37	14
September	727.0	721.5	22	734.1	16	14.0	19.3	15.8	16.2	7.8	28	24.6	10	92	67	83	81	44	20
Oktober	726.6	718.4	17	732.7	3	10.3	16.0	12.1	12.6	5.5	30	20.0	22	96	67	90	84	42	16
November	726.0	712.9	14	730.3	10	3.5	6.9	4.8	5.0	-1.8	10	14.0	3	89	67	82	79	40	8
Dezember	729.2	719.8	22	738.0	27	1.5	4.6	2.3	2.7	-2.4	27	8.5	20	91	73	90	85	48	26.27
Jahr	727.9	711.5	I	741.7	III	8.7	13.7	10.8	11.0	-3.0	I	28.6	VIII	88	63	76	76	31	VI

Beobachter: Jungfraubahn

Jungfraujoch

Bewölkung				Niederschlag			Zahl der Tage								Windverteilung									1943
7^{30}	13^{30}	21^{30}	Mittel	Summe	Maximum	Tag	●	●≥1.0	✱	▲	⚡	≡	heiter	trüb	N	NE	E	SE	S	SW	W	NW	Calmen	
6.3	7.1	6.2	6.5	—	—	—	—	—	—	—	—	18	3	11	26	—	1	15	7	2	3	39	—	Januar
5.4	5.0	4.9	5.1	—	—	—	—	—	—	—	—	14	11	9	18	1	1	33	1	2	1	27	—	Februar
6.2	6.0	5.8	6.0	—	—	—	—	—	—	—	—	21	5	9	25	1	3	24	26	—	—	14	—	März
5.5	6.3	4.2	5.3	—	—	—	—	—	—	—	—	14	7	7	35	1	1	16	10	1	—	26	—	April
5.4	6.9	6.5	6.3	—	—	—	—	—	—	—	—	19	7	12	29	—	3	31	2	—	1	27	—	Mai
5.9	7.5	6.8	6.7	—	—	—	—	—	—	—	—	21	4	12	24	2	1	12	4	—	1	46	—	Juni
5.6	6.5	6.3	6.1	—	—	—	—	—	—	—	—	19	7	10	34	1	—	22	4	—	—	32	—	Juli
3.6	4.5	4.7	4.3	—	—	—	—	—	—	—	—	13	9	2	34	—	1	30	6	—	1	21	—	August
7.1	8.0	6.4	7.2	—	—	—	—	—	—	—	—	20	2	14	18	—	—	33	11	—	3	25	—	September
4.1	4.4	4.2	4.2	—	—	—	—	—	—	—	—	15	8	6	11	1	—	56	18	—	1	6	—	Oktober
6.1	6.1	5.9	6.0	—	—	—	—	—	—	—	—	19	7	12	21	2	1	24	7	—	1	34	—	November
7.0	5.6	4.9	5.8	—	—	—	—	—	—	—	—	19	7	9	19	—	—	40	9	1	2	22	—	Dezember
5.7	6.2	5.6	5.8	—	—	—	—	—	—	—	—	212	77	113	294	9	12	336	105	6	14	319	—	Jahr

Südwestschweiz

Beobachter: Observatorium

Genf

8.9	7.9	7.7	8.2	81	11	11	14	13	4	—	1	8	1	21	3	5	1	—	3	6	1	1	73	Januar
6.1	4.9	3.7	4.9	34	10	1	10	9	1	—	1	—	7	8	5	13	—	2	4	5	—	—	55	Februar
5.2	4.9	3.8	4.6	37	14	26	10	9	—	—	—	—	10	6	8	24	4	1	2	1	—	—	53	März
4.9	4.9	3.3	4.4	35	9	23	8	6	2	—	—	—	11	5	8	17	1	3	4	6	1	1	49	April
4.9	5.2	3.8	4.6	76	18	24	13	11	—	—	4	—	11	7	12	19	6	5	8	1	1	—	41	Mai
4.4	4.5	3.9	4.3	85	23	6	11	11	—	—	1	—	8	5	16	14	4	3	12	2	2	—	37	Juni
4.8	4.2	4.2	4.4	90	32	20	11	11	—	—	2	—	11	6	9	9	2	1	5	4	2	1	60	Juli
3.3	3.5	2.5	3.1	41	18	22	5	4	—	—	3	1	13	1	11	7	7	3	14	3	—	1	47	August
6.6	6.1	5.8	6.2	188	80	22	14	13	—	—	2	1	3	10	12	12	3	1	5	—	3	—	54	September
7.7	5.4	5.8	6.3	32	17	19	4	4	—	—	—	11	3	10	7	14	1	2	1	—	—	—	68	Oktober
8.2	7.1	7.8	7.7	53	19	24	8	6	2	—	—	4	2	18	5	14	5	1	9	3	2	2	49	November
8.6	8.4	7.4	8.1	43	15	3	7	7	1	—	—	3	2	21	9	23	14	—	5	—	—	2	40	Dezember
6.1	5.6	5.0	5.6	795	80	IX	115	104	10	—	14	28	82	118	105	171	48	22	72	31	12	8	626	Jahr

Beobachter: A. George

Lausanne (Champ de l'Air)

7.9	6.6	6.6	7.0	110	13	5. 13	16	15	8	—	—	4	3	15	7	12	6	4	1	7	18	2	36	Januar
4.9	4.4	3.2	4.2	50	15	1	12	9	5	—	1	1	12	6	4	15	8	2	5	7	14	4	25	Februar
4.5	4.6	3.3	4.1	46	12	26	9	7	—	—	—	—	11	5	4	17	21	8	3	7	9	3	19	März
4.2	4.1	3.5	3.9	49	9	19	10	9	3	—	—	1	14	6	6	12	4	1	6	14	18	7	22	April
5.1	5.0	4.0	4.7	104	25	24	14	11	—	—	1	—	11	9	5	16	4	2	11	17	22	1	15	Mai
4.6	4.1	3.6	4.1	104	19	3	13	12	—	1	1		12	6	3	28	3	4	6	13	20	2	9	Juni
4.9	3.3	3.7	4.0	69	15	7	13	9	—	—	4	—	13	4	2	14	5	3	7	17	20	4	21	Juli
3.2	3.0	3.0	3.1	49	27	22	6	6	—	—	1	—	11	1	6	13	7	2	6	20	13	2	24	August
6.2	5.8	5.3	5.8	161	37	22	16	12	—	—	4	—	4	10	7	16	18	2	7	6	5	1	28	September
7.5	4.1	3.7	5.1	11	8	19	3	2	—	—	—	—	6	7	—	23	11	—	6	16	8	1	28	Oktober
8.0	6.6	7.0	7.2	59	22	24	11	10	3	—	—	—	3	18	1	27	2	1	3	11	13	1	31	November
7.2	6.2	7.1	6.8	35	13	19	10	8	3	—	—	3	3	15	3	22	11	5	2	6	5	1	38	Dezember
5.7	4.8	4.5	5.0	847	37	IX	133	110	22	1	12	9	103	102	48	215	102	34	65	141	165	29	296	Jahr

Beobachter: M. Thétaz

Montreux-Clarens

6.3	6.7	5.4	6.1	107	23	7	15	13	4	—	—	2	8	14	—	3	—	1	5	1	—	2	81	Januar
4.7	4.0	3.4	4.0	59	17	2. 15	9	8	1	—	—	—	12	3	1	—	—	—	3	2	1	—	77	Februar
4.1	3.9	3.3	3.8	37	7	28	8	7	—	—	—	—	11	3	—	2	1	—	7	—	—	3	80	März
4.2	4.3	3.1	3.9	49	12	7	10	8	3	—	—	—	14	5	—	3	—	2	3	3	—	2	77	April
4.9	5.2	4.6	4.9	99	28	24	14	13	—	—	—	—	11	8	2	3	—	—	1	6	—	1	80	Mai
4.5	5.0	3.9	4.5	132	32	6	12	11	—	—	—	—	10	6	—	2	—	—	—	5	1	—	82	Juni
4.1	3.8	4.0	4.0	137	30	19	14	11	—	1	1	—	11	5	—	3	—	2	1	1	—	2	84	Juli
2.9	3.0	3.4	3.1	54	23	22	8	7	—	—	—	—	11	2	—	3	2	—	3	5	—	1	79	August
5.9	5.5	6.9	6.1	186	38	22	13	13	—	—	—	—	5	11	—	3	—	4	2	2	—	—	79	September
4.5	3.6	4.[illegible]	4.[illegible]	4[illegible]	1	19	1	1	—	—	—		12	4	—			1	—	6	1	—	85	Oktober
6.8	6.3	7.6	6.9	62	14	28	10	9	—	—	—	4	5	17	—	4	1	2	1	5	—	5	72	November
6.6	5.8	6.6	6.3	34	13	19	7	7	—	—	—	—	5	13	—	2	—	—	—	—	—	1	90	Dezember
5.0	4.8	4.7	4.8	960	38	IX	121	108	8	1	1	6	115	91	3	28	4	12	26	36	3	17	966	Jahr

Rochers de Naye

$\lambda = 6^\circ 59'$, $\beta = 46^\circ 26'$, $H_b = 1986^m$, $G = -$ ‰, $h_r = 1.5^m$

1943	Luftdruck					Luft-Temperatur								Relative Feuchtigkeit					
	Mittel	Minimum	Tag	Maximum	Tag	7^{30}	13^{30}	21^{30}	Mittel	Minimum	Tag	Maximum	Tag	7^{30}	13^{30}	21^{30}	Mittel	Minimum	Tag
Januar	—	—	—	—	—	-4.5	-2.6	-4.1	-3.8	-11.4	4	6.4	22	75	75	79	76	29	28
Februar	—	—	—	—	—	-4.7	-1.5	-4.3	-3.7	-11.4	8. 9	8.2	28	72	72	77	74	33	24
März	—	—	—	—	—	-1.3	1.2	-0.8	-0.4	-10.4	7	5.6	4. 24	72	73	75	73	34	3
April	—	—	—	—	—	0.6	2.8	0.7	1.2	-10.0	9	9.0	23	76	79	81	79	33	4
Mai	—	—	—	—	—	4.9	6.9	4.4	5.1	-5.4	10	13.8	13	80	86	89	85	34	31
Juni	—	—	—	—	—	5.8	7.9	5.8	6.3	-1.4	16	16.0	25	86	90	92	89	53	20
Juli	—	—	—	—	—	9.1	11.9	*9.3	9.9	-1.0	9	19.0	31	79	81	81	80	36	18
August	—	—	—	—	—	10.0	13.6	10.7	11.2	4.4	6	22.2	19	72	78	79	76	29	21
September	—	—	—	—	—	7.5	9.9	8.0	8.3	-2.9	26	17.4	12	74	79	82	78	17	6
Oktober	—	—	—	—	—	5.3	9.4	5.8	6.6	-0.5	16	13 2	21	72	67	72	70	30	25
November	—	—	—	—	—	-3.6	-1.7	-3.3	-3.0	-10.9	16	9.4	1	73	77	74	75	25	11
Dezember	—	—	—	—	—	-2.8	-1.5	-3.0	-2.6	-12.5	31	4.9	15	65	67	66	66	23	14
Jahr	—	—	—	—	—	2.2	4.7	2.4	2.9	-12.5	XII	22.2	VIII	75	77	79	77	17	IX

Leysin

$\lambda = 7^\circ 0'$, $\beta = 46^\circ 21'$, $H_b = 1350^m$, $G = -$ ‰, $h_r = 1.5^m$

Januar	—	—	—	—	—	-1.1	1.3	-0.5	-0.2	-7.6	4	7.8	22	64	58	62	61	30	29
Februar	—	—	—	—	—	-0.9	2.2	-0.1	0.3	-5.2	17.18	9.0	22	61	59	63	61	28	9
März	—	—	—	—	—	2.3	6.4	3.3	3.8	-4.0	7	10.6	2	61	56	62	59	35	7
April	—	—	—	—	—	5.0	8.5	5.4	6.1	-5.6	8	15.4	23	65	58	63	62	38	23
Mai	—	—	—	—	—	9.6	13.1	9.3	10.3	-0.8	9	19.4	23.30	69	65	70	68	35	30
Juni	—	—	—	—	—	10.8	14.1	10.6	11.5	1.8	17	19.0	24	74	66	71	70	47	6
Juli	—	—	—	—	—	13.9	17.6	13.6	14.7	3.2	9	23.0	18.31	69	63	68	67	33	5
August	—	—	—	—	—	14.5	18.2	14.4	15.4	8.8	27	25.2	21	66	61	65	64	34	21
September	—	—	—	—	—	11.0	14.3	11.8	12.2	1.8	28	23.2	13	74	68	74	72	36	13
Oktober	—	—	—	—	—	8.0	11.2	8.6	9.1	4.0	16.27	15.4	6	67	68	70	68	26	23
November	—	—	—	—	—	-0.5	1.7	0.0	0.3	-6.0	17	11.6	1	71	72	76	73	39	1
Dezember	—	—	—	—	—	-0.1	2.0	0.0	0.5	-7.8	25	7.2	6	61	58	65	61	34	14
Jahr	—	—	—	—	—	6.0	9.2	6.4	7.0	-7.8	XII	25.2	VIII	67	63	67	66	26	X

St. Bernhard

$\lambda = 7^\circ 11'$, $\beta = 45^\circ 52'$, $H_b = 2475.8^m$, $G = -0.32$ ‰, $h_r = 6.0^m$

Januar	559.7	547.9	3	567.8	25	-8.4	-7.3	-8.0	-7.9	-17.0	4	-0.6	21	66	66	69	67	16	20
Februar	565.3	554.9	16	573.6	21	-7.8	-5.6	-7.2	-6.9	-14.5	5	2.2	21	63	61	62	62	18	19
März	563.4	559.7	14	573.5	1	-6.3	-3.5	-4.9	-4.9	-12.2	7	4.6	2	76	68	76	73	24	1
April	566.5	553.7	8	572.1	25	-2.1	-0.3	-2.0	-1.6	-14.3	8	6.3	26	65	65	73	68	19	30
Mai	566.6	553.1	9	576.6	13	2.0	4.3	1.9	2.5	-10.0	10	10.3	15	69	60	77	69	28	18
Juni	568.2	561.1	3	574.6	23	3.6	6.1	3.5	4.2	-4.8	18	13.1	25	70	63	80	71	22	25
Juli	568.2	561.6	8	573.0	29	6.9	9.4	6.7	7.4	-3.8	9	15.8	31	62	56	74	64	21	18
August	569.6	565.5	22	575.1	16	8.4	11.5	8.1	9.0	0.9	28	17.9	17	59	45	70	58	15	10
September	567.5	559.0	26	573.0	16	4.7	7.2	5.6	5.8	-5.0	26	13.5	7	74	68	80	74	12	1
Oktober	566.1	559.7	17.18	570.8	2. 3	0.6	2.0	1.5	1.4	-5.0	16	8.4	3	77	70	81	76	36	27
November	560.4	548.5	14	569.9	2	-6.8	-5.8	-6.4	-6.3	-15.2	17	2.6	4	72	71	76	73	22	11
Dezember	563.1	556.0	22.31	570.3	28	-7.6	-6.5	-7.1	-7.1	-15.2	31	-0.6	29	69	66	69	68	22	25
Jahr	565.4	547.9	I	576.6	V	-1.0	1.0	-0.7	-0.4	-17.0	I	17.9	VIII	69	63	74	69	12	IX

Sitten

$\lambda = 7^\circ 21'$, $\beta = 46^\circ 14'$, $H_b = 548.6^m$, $G = -0.11$ ‰, $h_r = 2.4^m$

Januar	713.2	701.6	2	724.7	27	-1.7	2.7	0.1	0.3	-9.8	10	9.0	22	83	64	78	75	43	22
Februar	719.9	710.3	9	728.5	28	-0.2	6.1	2.5	2.7	-5.4	9	10.9	23	78	55	69	67	37	28
März	715.1	709.8	10	730.1	1	4.4	13.6	8.4	8.7	-0.1	1	17.4	4	74	44	59	59	32	7
April	717.6	707.3	7	724.6	25	8.3	16.3	11.3	11.8	1.2	8.9.10	22.7	23	72	47	60	60	33	14.18
Mai	715.2	702.3	9	725.9	13	13.6	20.9	15.3	16.3	7.1	9	27.3	30	69	47	62	59	31	10
Juni	716.6	709.6	2	722.6	23	15.8	21.4	17.1	17.8	8.8	17	26.7	24.25	70	53	61	61	39	18.8.20
Juli	714.7	707.5	20	719.4	16	17.4	24.7	19.2	20.1	11.1	8	29.7	31	72	49	63	61	37	20
August	715.5	710.2	21	721.4	16	17.4	25.3	20.5	20.9	13.2	7	31.0	3	73	48	58	60	34	21
September	715.9	708.2	25	722.2	16	13.6	20.4	15.8	16.4	5.8	27	27.0	12	83	56	76	72	42	12
Oktober	714.8	706.0	17	721.5	3	8.8	17.1	11.7	12.3	3.8	29	20.8	7	86	52	74	71	41	22
November	713.7	700.4	14	724.3	10	1.6	6.5	3.1	3.6	-4.2	11	16.6	1	85	62	78	75	39	18
Dezember	717.0	708.4	22	726.5	27	-0.6	3.8	1.1	1.3	-6.9	26	11.7	5.6	85	66	79	77	44	5
Jahr	715.7	700.4	XI	730.1	III	8.2	14.9	10.5	11.0	-9.8	I	31.0	VIII	77	54	68	66	31	V

Beobachter: Militärbeobachter

Rochers de Naye

Bewölkung				Niederschlag			Zahl der Tage								Windverteilung									1943
7⁸⁰	13⁸⁰	21⁸⁰	Mittel	Summe	Maximum	Tag	● *	●* ≧1,0	✳	▲	⚡	≡	heiter	trüb	N	NE	E	SE	S	SW	W	NW	Calmen	
6.9	6.9	6.3	6.7	332	57	2	17	17	16	—	—	17	4	16	—	3	2	1	5	54	9	5	14	Januar
5.0	5.6	4.4	5.0	260	53	2	12	11	12	—	—	9	9	8	3	10	8	5	5	17	12	13	11	Februar
5.7	5.7	4.8	5.4	101	22	13	11	11	10	—	—	9	7	9	6	12	11	19	18	8	12	5	2	März
5.7	7.0	4.9	5.9	232	68	1	14	14	11	1	—	11	4	11	3	8	5	8	14	18	18	7	9	April
6.3	7.6	6.8	6.9	212	54	9	16	16	7	1	1	14	2	15	6	9	4	8	8	23	14	5	16	Mai
5.9	7.9	6.6	6.8	336	59	16	14	12	4	—	—	11	1	11	2	10	2	—	3	14	28	10	21	Juni
4.7	6.9	6.2	5.9	205	42	8	18	17	1	1	6	17	3	11	—	8	1	2	9	26	22	2	23	Juli
4.0	6.0	5.5	5.2	120	42	22	9	7	—	1	4	18	8	8	2	4	2	3	11	16	17	6	32	August
6.7	6.7	6.6	6.7	258	77	25	14	13	3		1	14	6	14	4	4	3	1	15	30	16	2	15	September
4.0	4.1	4.0	4.0	6	6	19	1	1	—	—	—	4	9	3	3	10	9	10	22	20	8	6	5	Oktober
6.3	6.4	6.1	6.3	215	63	30	12	11	12			15	4	10	5	10	6	3	14	20	10	2	20	November
5.5	5.1	5.6	5.4	102	28	19	12	11	12		—	12	8	9	1	17	9	9	13	18	7	1	18	Dezember
5.6	6.3	5.7	5.9	2379	77	IX	150	141	88	4	12	151	65	125	35	105	62	69	137	264	173	64	186	Jahr

Beobachter: M. Baud

Leysin

5.4	5.8	5.1	5.4	151	28	5	15	15	14	—	—	2	9	11	1	17	—	—	—	24	21	14	16	Januar
4.0	5.2	4.0	4.4	92	23	2	10	10	10	—	—	1	12	9	—	25	—	1	—	11	9	12	26	Februar
4.1	4.7	3.5	4.1	50	12	31	10	9	6	—	—	—	13	6	1	17	—	1	—	17	18	16	23	März
3.8	5.0	2.5	3.8	124	41	1	10	10	4	—	—	2	15	5	1	18	—	—	1	28	11	7	24	April
5.1	6.3	4.4	5.3	131	34	24	16	13	2	—	3	5	10	12	1	11	—	—	—	38	12	2	29	Mai
5.5	7.0	4.6	5.7	170	34	3	13	13	—	—	1	5	3	10	—	14	—	—	—	41	5	10	20	Juni
4.6	5.8	3.5	4.6	177	34	8	17	15	—	1	5	2	11	7	—	5	—	—	—	52	3	24	6	Juli
3.2	3.9	3.0	3.4	88	22	22	10	8	—	—	3	3	11	2	2	12	—	—	2	36	18	4	19	August
5.3	6.7	5.3	5.8	151	35	22	12	12	—	—	—	6	5	9	1	12	1	—	—	34	10	6	26	September
3.1	5.4	3.6	4.0	2	1	17	2	1	—	—	—	7	12	5	1	13	—	—	1	22	17	15	24	Oktober
5.8	6.7	6.6	6.4	105	25	24	12	11	10	—	—	5	4	12	1	14	—	—	1	21	14	5	34	November
4.4	4.6	4.6	4.5	43	15	19	7	7	6	—	—	5	11	7	—	13	1	—	2	12	18	20	27	Dezember
4.5	5.6	4.2	4.8	1284	41	IV	134	124	52	1	12	43	116	95	9	171	2	2	7	336	156	135	274	Jahr

Beobachter: Hospiz

St. Bernhard

4.9	5.4	4.9	5.1	304	50	8	16	16	16	—	—	14	9	8	—	41	—	—	—	30	—	—	22	Januar
4.2	4.5	4.2	4.3	133	40	2	12	10	12	—	—	13	11	7	—	40	—	—	—	33	—	—	11	Februar
5.7	5.7	5.7	5.7	151	32	31	13	13	13	—	—	13	8	10	—	26	—	—	—	53	—		14	März
4.0	4.7	4.6	4.4	200	49	1	14	14	14	—	—	15	10	8	—	39	—	—	—	27	—	—	24	April
4.9	5.7	5.9	5.5	204	39	2	15	15	13	—	1	16	8	11	—	48	—	—	—	24	—		21	Mai
4.9	5.5	6.3	5.6	175	32	17	16	13	—	—	1	14	6	11	—	66	—	—	—	11	—	—	13	Juni
4.6	5.8	5.5	5.3	120	37	8	16	15	2	—	4	10	0	6	—	50	—	—	—	20	—		23	Juli
2.7	3.5	4.1	3.4	74	38	22	10	7	—	—	1	11	12	3	—	49	—	—	—	34	—		10	August
7.0	6.9	6.5	6.8	147	20	22	17	14	4	—	—	18	5	16	—	32		—	—	53	—		5	September
6.0	6.7	5.7	6.1	85	36	17	7	7	5	—	—	11	2	8	—	14	—	—	—	77	—	—	2	Oktober
5.1	5.8	6.1	5.7	233	40	30	17	15	17	—	—	11	8	14	—	47	—	—	—	36	—		7	November
4.9	6.2	5.6	5.6	156	22	19	18	16	18		—	14	8	12	—	36	—	—	—	53	—	—	4	Dezember
4.9	5.5	5.4	5.3	1981	50	I	171	155	114	—	7	160	96	114	—	488	—	—	—	451		—	156	Jahr

Beobachter: Kapuzinerkloster

Sitten

5.5	5.8	4.9	5.4	96	25	5	13	11	11	—	—	—	8	10	4	20	5	—		3	8	6	41	Januar
4.6	4.2	2.9	3.9	31	17	2	6	5	4	—	—	1	14	6	4	20	3	—	1	8	20	—	28	Februar
4.5	4.2	3.5	4.1	16	10	31	4	3		—	—		10	3	7	37	5	—	1	3	16	2	22	März
4.2	4.5	2.0	3.6	33	11	7	7	7	2	—	—	—	14	2	3	20	4	—	1	16	23	1	22	April
4.5	5.1	4.4	4.7	35	15	24	10	6		—	1	1	11	6	4	15	2	—	—	13	34	—	25	Mai
4.3	5.4	4.1	4.6	62	19	6	11	8	—	—	—	—	7	3	2	8	1	—	—	16	33	1	29	Juni
4.5	4.1	3.9	4.2	29	7	8	11	9		—	1	—	9	4	10	12	2		1	14	28	1	25	Juli
3.1	3.0	2.9	3.0	31	20	22	6	5	—	—	—	—	10	1	5	14	—	2	—	14	29	1	28	August
6.2	5.8	5.2	5.7	44	15	19	12	9	—	—	—	—	3	5	5	18	3		1	12	15	2	34	September
4.1	3.3	2.3	3.2	0	0	—	—	—		—	—	2	12	1	8	20	2	—	1	8	15	2	37	Oktober
6.5	5.0	5.4	5.6	76	34	24	9	7	4	—	—	7	5	7	3	16	2	—	—	2	14	5	48	November
5.0	4.2	3.5	4.4	25	16	19	7	3	3	—	—	5	11	7	3	13	7	—	—	4	12	2	52	Dezember
4.8	4.6	3.8	4.4	478	34	XI	96	73	24	—	2	16	114	55	58	219	36	2	6	113	247	23	391	Jahr

Montana

$\lambda = 7^\circ 29', \beta = 46^\circ 19', H_b = 1453.2^m, G = -0.21\ ^m/_m, h_r = 1.5^m$

1943	Luftdruck Mittel	Minimum	Tag	Maximum	Tag	Luft-Temperatur 7^{30}	13^{30}	21^{30}	Mittel	Minimum	Tag	Maximum	Tag	Relative Feuchtigkeit 7^{30}	13^{30}	21^{30}	Mittel	Minimum	Tag
Januar	638.6	627.2	2	647.5	27	-3.0	1.1	-2.1	-1.5	-9.0	4	9.6	22	60	50	61	57	24	29
Februar	644.7	635.7	9	652.2	28	-2.1	3.8	-0.9	0.0	-7.6	8	11.3	22.23	57	43	57	52	19	2
März	641.7	637.7	13	652.8	1	2.0	7.2	3.1	3.9	-3.9	7	11.6	3	56	42	55	51	29	7
April	644.7	634.2	7	649.6	25	3.9	9.9	5.9	6.4	-6.3	8	16.8	19	62	46	52	53	28	15
Mai	643.1	629.7	9	652.2	13	9.4	14.3	10.2	11.0	-1.9	9. 10	20.9	15	66	44	53	52	30	29
Juni	644.9	639.0	2	649.8	23	10.3	15.6	11.4	12.2	2.7	17	21.5	25	63	49	54	55	30	18
Juli	643.9	639.4	19.20	648.3	16	13.4	18.9	14.3	15.2	2.0	9	25.1	31	62	42	52	52	24	18
August	645.2	641.0	22	649.4	16.17	14.2	20.5	16.1	16.7	8.0	29	27.7	19	62	39	52	51	24	20
September	643.5	636.1	26	649.4	16	10.5	16.2	11.5	12.4	1.8	27	22.5	12	70	49	63	61	31	17
Oktober	642.5	635.4	18	648.2	3	6.8	13 6	8.4	9.3	2.8	16	16.8	11	59	43	58	53	32	6.7 21.29
November	639.1	626.8	14	647.4	9	-1.6	2.6	-1.0	-0.3	-8.7	16	12.3	2	63	55	66	61	36	20
Dezember	642.2	634.3	22	650.4	27	-1.7	2.5	-0.8	0.0	-9.8	25	8.0	6	54	43	53	50	24	26
Jahr	642.8	626.8	XI	652.8	III	5.2	10.5	6.3	7.1	-9.8	XII	27.7	VIII	61	45	56	54	19	II

Reckingen

$\lambda = 8^\circ 14', \beta = 46^\circ 28', H_b = 1332.4^m, G = -0.19\ ^m/_m, h_r = 1.6^m$

Januar	646.5	635.3	2	655.7	25.27	-8.0	-0.8	-6.0	-5.2	-18.4	10	5.0	23	87	65	84	79	41	29
Februar	652.6	643.5	16	661.1	28	-6.9	2.7	-4.2	-3.2	-16.6	9	9.8	22	83	49	73	68	32	20.26
März	649.8	646.2	12	661.4	1	-1.9	6.6	0.5	1.4	-7.9	1	9.8	5.31	80	42	74	65	28	5
April	651.8	639.8	7. 8	656.8	16.17	1.8	10.8	3.5	4.9	-9.6	10	19.6	18	78	43	72	64	21	17.18
Mai	651.2	640.2	8	660.5	13.14	8.2	15.6	8.6	10.2	-0.9	10	23.8	15	68	40	67	58	26	14
Juni	652.1	645.8	2	657.9	23	9.9	16.5	10.0	11.6	2.8	17	23.8	25	74	47	74	65	26	20
Juli	651.3	643.5	8	655.9	30	11.9	20.4	12.4	14.3	3.4	9	28.2	31	74	37	71	61	22	29
August	652.9	648.4	6	657.8	16.17	13.0	21.0	13.3	15.1	6.6	26	28.4	17	75	38	63	59	26	2.6 17.19
September	651.3	643.2	26	657.8	16	7.9	16.7	9.9	11.1	1.6	27	23.4	7	89	46	80	72	28	5
Oktober	650.5	644.3	18	654.9	3	2.8	14.4	6.0	7.3	-3.9	21	18.6	9	90	71	81	81	30	2. 21
November	647.1	634.2	14	655.7	10	-3.8	2.6	-2.4	-1.5	-13.9	17	14.6	3	90	56	85	77	36	1.5
Dezember	650.4	642.5	22	657.8	27	-5.7	0.5	-4.4	-3.5	-17.2	25	6.1	17	87	57	81	75	40	27
Jahr	650.6	634.2	XI	661.4	III	2.4	10.6	3.9	5.2	-18.4	I	28.4	VIII	82	49	75	69	21	IV

Graubünden

Chur

$\lambda = 9^\circ 32', \beta = 46^\circ 51', H_b = 633^m, G = -0.10\ ^m/_m, h_r = 1.7^m$

Januar	705.4	692.4	2	716.8	25	-1.4	2.3	0.0	0.2	-10.6	10	10.6	23.30	77	61	75	71	32	22
Februar	712.3	702.8	9	722.0	19	0.3	6.3	2.0	2.6	-5.5	6	15.9	23	72	50	69	64	25	22.23
März	708.3	702.9	18	722.1	1	3.8	12.0	6.8	7.4	0.0	7. 8	17.3	25	71	41	60	57	19	5
April	710.5	697.6	7	716.2	25	6.0	13.6	8.7	9.2	-1.1	9	22.2	19	77	44	65	62	26	5
Mai	708.5	693.6	9	719.2	13	10.6	17.3	12.8	13.4	1.6	9	24.6	14	82	49	71	67	30	6
Juni	709.9	703.5	2	715.5	23	12.0	18.0	13.2	14.1	6.8	17	24.8	20	81	48	75	68	22	20
Juli	707.8	700.8	19	712.6	14	14.2	21.6	16.4	17.1	8.0	9	28.8	31	81	47	70	66	30	20
August	708.8	703.4	22	714.7	16	15.6	23.6	18.3	18.9	10.7	29	32.3	19	75	42	59	59	24	21
September	708.3	702.4	26	714.5	16	12.3	18.1	14.5	14.9	3.9	29	30.2	13	83	56	74	71	30	13
Oktober	707.9	700.1	17	714.7	3	8.6	16.2	11.1	11.7	4.4	30.31	21.0	6	79	51	74	68	30	6
November	706.1	691.5	14	718.5	10	1.4	5.2	2.3	2.8	-3.2	20	18.1	1	83	62	78	74	33	24
Dezember	709.6	700.4	22	720.5	26	-0.2	3.1	0.4	0.9	-5.6	30	17.4	19	78	67	78	74	29	19
Jahr	708.6	691.5	XI	722.1	III	6.9	13.1	8.9	9.4	-10.6	I	32.3	VIII	78	52	71	67	19	III

Platta-Medels

$\lambda = 8^\circ 51', \beta = 46^\circ 39', H_b = 1378^m, G = -0.21\ ^m/_m, h_r = 1.2^m$

Januar	643.6	631.6	2	653.1	25	-4.3	1.1	-3.1	-2.3	-14.6	9	7.4	19	54	45	53	51	25	19
Februar	650.1	641.1	10	663.7	21	-3.1	4.3	-2.3	-0.9	-10.0	18	12.4	22.24	57	4[illegible]	54	50	28	20 23.2
März	647.3	642.3	13	658.9	1	0.4	7.2	1.7	2.7	-6.0	7	14.0	3	59	42	55	51	28	5. 3
April	649.5	635.8	7	655.0	25	2.6	10.1	4.3	5.3	-6.6	10	18.0	25	60	43	59	54	30	15.1 27.2
Mai	648.4	634.7	9	658.4	13	7.5	15.5	7.8	9.6	-1.4	9	25.0	13	59	3[illegible]	61	53	25	17
Juni	649.8	643.6	2. 3	655.7	23	8.9	16.7	8.9	10.9	2.8	15	23.2	25	62	40	65	56	24	24
Juli	648.7	640.7	8	653.5	16	10.9	19.3	11.6	13.4	3.0	9	27.6	31	62	39	63	55	28	4 29.[illegible]
August	649.9	645.4	6	655.1	16	11.8	21.1	13.4	14.9	7.0	26. 28	29.6	18	64	39	59	54	25	10
September	648.6	640.0	26	654.6	16	9.0	15.1	10.2	11.1	0.2	28	23.6	13	68	48	66	61	32	2. 6
Oktober	647.8	640.9	18	653.6	3	6.1	13.7	7.8	8.9	0.8	15	19.8	5	61	41	60	54	33	11 28.[illegible]
November	644.1	629.7	14	654.1	10	-1.8	3.4	-1.1	-0.2	-9.6	26	15.2	3	67	49	64	60	27	24
Dezember	647.6	639.6	22	656.3	28	-1.4	3.4	-1.3	-0.1	-9.6	26	9.0	15	62	45	61	56	23	15
Jahr	647.9	629.7	XI	663.7	II	3.9	10.9	4.8	6.1	-14.6	I	29.6	VIII	61	43	60	55	23	XI

Beobachter: Sanatorium „La Moubra": E. Pralong

Montana

Bewölkung				Niederschlag			Zahl der Tage								Windverteilung									1943
7^{30}	13^{30}	21^{30}	Mittel	Summe	Maximum	Tag	●	●* ≧1.0	*	▲	⚿	≡	heiter	trüb	N	NE	E	SE	S	SW	W	NW	Calmen	
5.4	6.1	6.0	5.8	156	29	2	16	15	15	—	—	1	5	11	—	8	5	—	—	1	12	9	58	Januar
4.6	4.6	3.6	4.3	48	19	2	10	7	10	—	—	—	13	6	—	5	2	—	—	—	8	5	64	Februar
5.0	4.5	3.8	4.4	26	15	31	4	3	2	—	—	1	8	4	—	10	15	1	—	3	6	1	57	März
4.7	5.6	3.2	4.5	58	17	1. 7	8	8	2	—	—	—	8	6	—	—	9	1	—	1	10	1	68	April
5.1	5.9	4.6	5.2	57	23	24	7	6	2	—	—	2	8	6	1	—	10	—	—	2	7	4	69	Mai
4.8	5.4	4.6	4.9	72	17	6	12	11	—	—	—	—	8	6	1	—	1	—	—	3	9	5	71	Juni
4.7	4.9	4.7	4.8	48	18	8	12	8	—	—	—	—	9	7	—	—	3	—	—	3	14	1	72	Juli
3.6	3.6	3.3	3.5	45	24	22	7	6	—	—	—	—	9	1	—	3	6	—	—	2	5	1	76	August
6.0	6.6	4.5	5.7	56	22	19	15	11	—	—	—	3	4	5	—	3	5	—	—	1	1	—	80	September
2 2	2.7	0.9	1.9	0	0	—	—	—	—	—	—	1	19	—	—	—	16	—	—	—	—	—	77	Oktober
5.2	5.0	5.0	5.1	121	26	30	9	9	8	—	—	4	7	6	—	—	13	—	—	—	7	—	70	November
4.4	4.0	4.0	4.1	32	13	19	6	6	4	—	—	3	12	8	—	—	15	—	—	—	2	2	74	Dezember
4.6	4.9	4.0	4.5	719	29	I	106	90	43	—	–	15	110	66	2	29	100	2	—	16	81	29	836	Jahr

Beobachter: J. Stucky

Reckingen

5.6	6.1	5.4	5.7	87	22	3	15	15	15	—	—	—	8	10	—	4	—	—	—	10	—	11	68	Januar
4.6	4.4	3.7	4.2	28	10	1	8	6	8	—	—	1	10	6	—	20	—	—	—	2	—	14	48	Februar
5.2	5.6	5.5	5.4	9	5	31	7	1	5	—	—	—	6	8	—	8	—	—	—	9	—	20	56	März
4.4	5.7	4.2	4.8	158	43	8	10	10	6	1	—	—	11	8	—	24	—	2	—	6	—	10	48	April
4.6	5.5	4.6	4.9	38	12	9	7	6	2	—	—	—	6	6	—	20	—	2	—	4	—	14	53	Mai
5.5	6.4	5.2	5.7	107	16	16	15	14	—	—	1	—	6	7	—	12	—	—	—	5	—	15	58	Juni
4.8	6.0	4.6	5.1	42	7	8	16	11	—	—	—	—	7	3	—	10	—	—	—	11	—	15	57	Juli
4.3	5.0	2.6	4.0	42	29	22	5	3	—	—	—	—	9	2	—	16	—	—	—	3	—	13	61	August
6.5	7.0	5.3	6.3	120	25	26	15	12	—	—	—	—	3	7	—	6	—	—	—	—	—	23	61	September
4.3	5.5	4.4	4.7	10	4	18	4	3	—	—	—	—	5	5	—	3	—	—	—	2	—	26	62	Oktober
6.7	6.2	5.8	6.2	96	42	24	11	9	11	—	—	—	4	12	—	4	—	—	—	—	—	36	50	November
5.5	4.7	4.4	4.9	11	6	1	6	3	4	—	—	—	8	9	—	4	—	—	—	—	—	16	73	Dezember
5.2	5.7	4.6	5.2	748	43	IV	119	93	51	1	1	1	83	83	—	131	—	4	—	52	—	213	695	Jahr

Graubünden

Beobachter: Kantonsschule

Chur

6.4	6.7	5.7	6.3	64	26	2	11	10	9	—	—	—	4	10	6	—	—	10	11	—	—	5	61	Januar
4.8	4.3	4.8	4.6	12	4	4	9	4	7	—	—	—	9	7	1	1	—	16	10	4	2	16	34	Februar
4.5	4.5	4.1	4.4	22	12	31	3	3	1	—	—	—	7	5	3	—	1	35	4	3	2	23	22	März
5.9	5.4	5.0	5.4	94	48	1	10	9	6	—	—	—	8	7	3	1	—	17	4	1	2	25	37	April
6.1	6.5	6.0	6.2	96	39	9	12	9	1	—	1	—	7	14	5	—	2	13	5	—	3	24	41	Mai
6.8	6.5	6.4	6.6	89	15	15	13	13	—	—	—	—	2	12	2	—	—	7	1	1	7	29	43	Juni
5.1	6.0	5.6	5.6	56	13	8	13	12	—	—	4	—	5	8	3	—	3	9	3	1	7	27	40	Juli
3.9	5.3	3.4	4.2	33	8	22	9	8	—	—	1	—	10	5	1	—	2	16	3	1	2	26	42	August
7.7	7.2	6.9	7.3	175	66	25	16	14	—	—	1	—	4	17	5	—	1	18	4	3	4	19	36	September
4.3	3.4	5.3	4.3	0	0	—	—	—	—	—	—	—	7	4	1	—	1	15	4	1	—	13	58	Oktober
7.2	6.7	7.6	7.2	39	12	30	9	6	4	—	—	1	1	11	2	1	2	13	11	1	3	16	41	November
5.8	6.5	6.0	6.1	11	5	10	5	4	4	—	—	4	3	11	1	1	3	12	5	1	—	6	64	Dezember
5.7	5.8	5.6	5.7	691	66	IX	110	92	32	—	7	5	67	111	33	4	15	181	65	17	32	229	519	Jahr

Beobachter: G. Riedi

Platta-Medels

5.5	6.5	6.2	6.1	68	17	2	8	8	8	—	—	1	4	10	1	—	4	3	25	3	2	—	55	Januar
4.5	4.6	3.6	4.2	22	6	2	8	7	8	—	—	2	10	5	1	5	2	3	13	—	—	2	58	Februar
4.7	5.5	5.2	5.1	27	18	31	4	4	3	—	—	1	8	8	6	2	—	4	41	4	—	—	36	März
5.8	6.0	5.4	5.7	105	33	1	13	11	8	—	—	3	9	13	5	7	4	3	18	1	—	1	51	April
5.6	6.2	5.9	5.9	106	46	9	12	10	1	—	1	5	5	10	7	8	5	3	10	1	—	1	58	Mai
6.9	6.8	6.6	6.8	77	11	6	15	14	—	—	3	10	3	12	3	8	5	1	6	—	—	1	66	Juni
5.6	6.7	5.5	5.9	115	28	19	17	12	2	—	3	5	4	9	1	3	2	2	9	—	—	—	76	Juli
4.9	5.8	4.7	5.1	78	39	22	11	8	—	—	1	7	6	6	1	3	4	—	20	—	—	—	65	August
7.4	7.7	6.9	7.3	295	83	25	21	17	4	—	2	9	3	17	2	4	9	3	16	—	—	—	56	September
4.4	4.9	5.1	4.8	14	6	18	4	3	—	—	—	6	6	5	1	—	3	2	34	3	—	—	50	Oktober
6.8	7.7	7.3	7.3	47	11	30	10	9	7	—	—	7	1	13	2	6	8	1	14	1	—	1	57	November
6.2	6.1	4.9	5.7	22	6	30. 31	8	5	4	—	—	6	6	10	2	1	2	2	24	3	—	1	58	Dezember
5.7	6.2	5.6	5.8	976	83	IX	131	108	45	—	10	62	65	118	32	47	48	27	230	10	2	7	686	Jahr

Arosa

$\lambda = 9^\circ 41'$, $\beta = 46^\circ 47'$, $H_b = 1865^m$, $G = -0.24$ m/m, $h_r = 1.6^m$

1943	Luftdruck					Luft-Temperatur								Relative Feuchtigkeit					
	Mittel	Minimum	Tag	Maximum	Tag	7^{30}	13^{30}	21^{30}	Mittel	Minimum	Tag	Maximum	Tag	7^{30}	13^{30}	21^{30}	Mittel	Minimum	Tag
Januar	605.0	592.9	2	613.5	25	-5.6	-1.9	-4.9	-4.3	-13.0	9	6.4	21	69	57	66	64	22	18
Februar	611.3	601.9	9	619.7	28	-4.8	-0.3	-4.2	-3.4	-12.1	5	7.4	22.23	63	54	65	61	28	21
März	608.9	604.8	13	619.8	1	-2.1	4.6	-0.8	0.2	-11.0	7	9.1	28	63	46	65	58	31	5
April	611.5	598.1	7	616.7	25	0.4	5.5	1.0	2.0	-9.7	8	13.5	19	69	53	69	64	28	27
Mai	611.1	597.5	9	620.9	13	5.8	10.4	5.1	6.6	-4.0	10	19.0	14	71	53	80	68	27	13
Juni	612.5	606.1	3	618.7	23	6.1	10.6	5.9	7.1	0.0	16	19.7	25	82	64	82	76	29	6
Juli	612.0	604.6	8	616.9	29	9.4	14.5	8.7	10.3	0.1	9	21.6	19.31	72	54	80	69	26	18
August	613.3	609.7	6. 22	618.6	16	10.7	16.9	11.0	12.4	3.3	28	24.8	20	71	49	68	63	23	17
September	611.7	603.6	26	617.4	16	7.2	12.6	7.8	8.8	-2.3	27	24.6	13	78	60	78	72	29	1
Oktober	610.7	604.5	17	615.9	3	4.2	12.0	5.3	6.7	-1.8	16	16.9	23	67	42	64	58	19	23
November	605.9	592.9	14	615.1	2	-4.2	0.5	-3.8	-2.8	-11.0	15.26	12.3	1	74	57	73	68	26	24
Dezember	609.1	601.9	22	616.9	27	-3.8	-0.5	-3.6	-2.9	-13.2	25	7.6	17	65	54	65	61	24	15. 28
Jahr	610.2	592.9	I XI	620.9	V	1.9	7.1	2.3	3.4	-13.2	XII	24.8	VIII	70	54	71	65	19	X

Davos-Platz

$\lambda = 9^\circ 49'$, $\beta = 46^\circ 48'$, $H_b = 1560.7^m$, $G = -0.21$ m/m, $h_r = 9.5^m$

Januar	628.4	616.0	2	638.1	25	-8.5	-1.9	-6.3	-5.8	-19.8	10	6.1	23	83	68	78	76	44	30
Februar	635.1	625.3	9	643.7	28	-7.7	0.8	-5.4	-4.4	-15.3	6	6.1	23	78	56	71	68	35	25
März	632.3	627.9	13	644.2	1	-3.4	5.7	-0.5	0.3	-9.6	8	10.8	28	80	43	71	65	20	5
April	634.8	620.9	7	640.2	15	1.8	7.7	1.7	3.2	-7.2	8	15.5	23	70	45	75	63	27	17
Mai	634.0	620.0	9	644.3	13	8.0	12.4	6.4	8.3	-2.2	9	19.6	15	65	46	78	63	24	13
Juni	635.5	629.0	3	641.3	23	9.3	12.8	7.6	9.3	2.0	16	20.6	21	70	51	79	67	26	8
Juli	634.6	627.0	8	639.2	16.29	12.3	16.5	10.6	12.5	2.8	9	23.8	19	65	47	77	63	26	31
August	635.9	631.7	22	641.1	16	13.1	18.4	11.9	13.8	4.4	29	25.6	19	64	44	69	59	25	17
September	634.4	626.2	26	640.0	16	7.9	13.7	8.7	9.7	0.3	27	22.4	13	79	56	78	71	24	6
Oktober	633.6	626.6	17	639.1	3	1.9	12.4	4.3	5.7	-3.2	16	15.6	23	84	39	76	66	24	24
November	629.3	614.9	14	639.0	10	-4.8	1.6	-3.3	-2.5	-11.8	16	12.0	1	83	54	77	71	28	6
Dezember	632.6	624.5	22	640.6	26	-6.9	-0.6	-5.8	-4.8	-16.2	26	4.7	19	80	59	76	72	41	30
Jahr	633.4	614.9	XI	644.3	V	1.9	8.3	2.5	3.8	-19.8	I	25.6	VIII	75	51	75	67	20	III

Schuls

$\lambda = 10^\circ 18'$, $\beta = 46^\circ 48'$, $H_b = 1253.2^m$, $G = -0.17$ m/m, $h_r = 1.5^m$

Januar	653.9	641.1	2	665.0	25	-7.7	-1.5	-6.0	-5.3	-19.0	10	4.4	23	81	49	79	70	34	26
Februar	660.4	650.4	15	670.6	19	-5.5	2.9	-3.5	-2.4	-15.2	9	8.8	23	70	42	74	62	29	6. 15
März	657.2	651.9	18	669.3	1	-1.4	8.9	1.3	2.5	-8.4	8	14.0	27. 28	80	33	70	61	20	31
April	659.2	644.9	7	666.1	16	3.4	12.5	4.5	6.2	-5.2	8	20.0	18	76	32	64	57	12	15
Mai	658.0	643.1	9	668.9	13	9.1	17.2	8.2	10.7	0.0	9	24.8	14	66	33	77	59	15	17
Juni	659.2	652.5	2	665.9	23	11.3	18.4	10.0	12.4	3.2	16	27.6	21	66	34	76	58	15	8
Juli	658.2	649.8	8	664.0	16	13.0	21.9	12.5	15.0	6.8	8	28.2	31	71	32	78	60	18	3. 4. 18
August	659.3	654.4	6	665.1	17	13.8	23.8	14.2	16.5	8.4	23	31.4	19	71	29	62	54	15	17
September	658.5	650.4	26	664.2	16	9.2	18.2	11.0	12.4	1.6	26	28.6	13	84	43	78	68	15	2. 6
Oktober	658.2	651.5	17	662.9	3	3.8	14.7	5.9	7.6	-3.0	16	19.0	3	92	38	83	71	17	15
November	654.2	638.9	14	665.4	10	-3.3	3.9	-2.5	-1.1	-10.0	16.26	14.2	1	90	47	81	73	21	6
Dezember	658.1	650.0	22	666.7	26	-6.2	-0.4	-5.4	-4.3	-13.6	26	4.2	7	80	52	77	70	33	15
Jahr	657.9	638.9	XI	670.6	II	3.3	11.7	4.2	5.8	-19.0	I	31.4	VIII	77	39	75	64	12	IV

Buffalora (Ofenpass)

$\lambda = 10^\circ 16'$, $\beta = 46^\circ 38'$, $H_b =$ ca. 1977^m, $G = -$ m/m, $h_r = 1.5^m$

Januar	—	—	—	—	—	-14.2	-3.1	-11.8	-10.2	-26.0	10	4.0	21. 29	87	54	86	76	30	18. 25
Februar	—	—	—	—	—	-12.1	0.7	-10.7	-8.2	-23.8	9	8.5	23. 24	82	48	81	70	25	19. 20
März	—	—	—	—	—	-7.4	4.1	-4.4	-3.0	-16.0	8	9.2	24	85	53	85	74	30	5. 8. 11. 20
April	—	—	—	—	—	-2.2	6.5	-1.1	0.5	-13.8	3	14.0	19	81	51	82	71	20	19
Mai	—	—	—	—	—	4.9	11.4	3.1	5.6	-5.0	11	18.8	15	68	50	83	67	20	13. 14. 15. 30
Juni	—	—	—	—	—	6.2	12.5	4.9	7.1	-1.0	16	20.3	20	62	50	80	64	20	25. 29
Juli	—	—	—	—	—	8.4	14.6	7.5	9.5	1.0	9. 10	21.0	18	79	48	87	71	23	4. 10
August	—	—	—	—	—	8.4	17.9	8.1	10.6	2.0	27. 28	25.0	17	91	46	90	76	24	16
September	—	—	—	—	—	5.4	12.4	5.3	7.1	-3.0	27	21.8	13	95	69	95	86	39	2
Oktober	—	—	—	—	—	0.3	9.7	0.8	2.9	-5.0	25. 29	16.5	3	96	62	94	84	28	15
November	—	—	—	—	—	-7.6	0.3	-7.1	-5.4	-18.5	17	13.2	1	97	68	97	87	25	6
Dezember	—	—	—	—	—	-12.0	-3.2	-11.2	-9.4	-25.0	26	4.0	6	96	73	98	89	51	18
Jahr	—	—	—	—	—	-1.8	7.0	-1.4	0.6	-26.0	I	25.0	VIII	85	56	88	76	20	IV, V VI

Beobachter: Lichtklimatisches Observatorium

Arosa

Bewölkung 7.30	13.30	21.30	Mittel	Niederschlag Summe	Maximum	Tag	Zahl der Tage ●	●≥1.0	✳	▲	⚡	≡	heiter	trüb	Windverteilung N	NE	E	SE	S	SW	W	NW	Calmen	1943
6.5	6.7	5.8	6.3	91	24	2	15	14	15	—	—	—	4	9	—	—	—	4	2	—	3	9	75	Januar
4.8	4.7	4.7	4.7	45	11	13	10	8	10	—	—	—	9	6	—	—	1	3	1	3	7	12	57	Februar
4.0	4.7	4.5	4.4	46	15	31	7	6	7	—	—	—	11	7	—	—	5	8	—	6	11	6	57	März
5.8	6.0	5.8	5.9	116	30	1	13	12	11	—	—	1	7	11	—	—		8	2	6	9	6	59	April
7.3	7.4	5.9	6.9	109	36	24	15	10	5	—	—	2	4	15	—	—	5	11	—	6	—	1	70	Mai
6.8	7.3	8.0	7.4	160	22	14	19	16	6	—	1	8	2	16	—	—	3	19	1	1	1	2	63	Juni
4.9	6.6	6.9	6.1	129	25	8	18	17	1	2	5	3	3	12	—	—	4	19	—	4	2	2	62	Juli
4.1	5.4	5.2	4.9	77	14	22	13	12	—	2	4	5	9	7	—	—	4	13	1	7	3	4	61	August
6.8	7.1	7.1	7.0	237	54	25	17	15	5	—	—	6	5	16	—	—	7	11	1	11	1	2	57	September
3.4	4.3	3.5	3.7	0.6	0.3	10	1	—	—	—	—	1	10	3	—	1	4	12	4	3	—	5	64	Oktober
6.0	6.0	6.5	6.2	48	12	30	11	9	11	—	—	2	4	11	—	—	—	8	—	4	1	5	72	November
5.4	5.7	5.4	5.5	31	10	30	8	7	8	—	—	—	7	10	—	—	1	5	1	2	4	5	75	Dezember
5.5	6.0	5.8	5.8	1090	54	IX	147	126	79	4	10	28	75	123	—	1	34	121	13	53	42	59	772	Jahr

Beobachter: Kurverein

Davos-Platz

7.30	13.30	21.30	Mittel	Summe	Maximum	Tag	●	●≥1.0	✳	▲	⚡	≡	heiter	trüb	N	NE	E	SE	S	SW	W	NW	Calmen	1943
5.9	6.9	5.8	6.2	80	18	3	17	10	17	—	—	—	4	10	—	5	4	—	—	5	2	—	77	Januar
5.0	4.9	3.5	4.5	36	9	13	11	11	11	—	—	—	10	7	—	2	8	1	—	1	2	—	70	Februar
4.6	4.5	3.6	4.2	42	27	31	5	4	5	—	—	—	10	5	—	5	12	3	1	6	—	—	66	März
5.7	5.8	5.2	5.6	129	42	1	11	11	8	—	—	—	7	9	—	5	12	2	1	6	2	—	62	April
6.6	6.5	6.0	6.4	104	29	24	15	12	5	2	2	—	4	9	1	11	9	1	3	2	—	1	65	Mai
7.0	7.2	7.4	7.2	155	24	2	21	15	6	—	2	1	3	16	1	20	12	—	—	2	—		55	Juni
5.2	6.8	6.1	6.0	114	21	6	16	14	2	—	6	—	3	12	—	10	12	—	1	2	1	—	67	Juli
4.3	5.6	4.0	4.6	55	13	30	12	10	—	1	1	—	7	6	—	10	11	2	1	5	1		63	August
6.9	6.9	6.5	6.8	138	32	20	18	15	6	—	1	—	4	13		6	9	—	2	3	1	—	60	September
4.0	4.4	3.6	4.2	0	0	—	—	—	—	—	—	1	7	2	—	4	8	2	4	8	—	—	67	Oktober
6.3	6.4	6.9	6.5	39	14	30	11	10	11	—	—	1	4	11	—	6	9	—	3	1	2	—	60	November
5.5	5.6	4.6	5.2	22	8	1	7	6	7	—	—	1	7	10	—	2	4	—	—	3	—		84	Dezember
5.6	6.0	5.3	5.6	914	42	IV	144	118	78	3	12	4	70	110	2	86	110	11	16	44	11	1	814	Jahr

Beobachter: J. Stocker

Schuls

7.30	13.30	21.30	Mittel	Summe	Maximum	Tag	●	●≥1.0	✳	▲	⚡	≡	heiter	trüb	N	NE	E	SE	S	SW	W	NW	Calmen	1943
6.0	5.6	4.5	5.4	48	13	2	13	11	13	—	—	—	5	7	—	1	—	—	—	3	9	1	79	Januar
4.8	4.7	4.5	4.7	12	5	2	5	4	5	—	—	—	9	8	—	3	—	—	—	3	12		66	Februar
4.4	5.0	3.8	4.4	35	24	31	3	3	1	—	—	—	11	7	—	1	7	3	5	4	5	1	67	März
4.7	5.4	4.4	4.8	53	29	1	9	7	5	—	—	—	10	8	1	1	2	—	1	11	2	2	70	April
5.9	5.9	5.9	5.9	75	27	9	12	12	—	—	1		7	11	1	1	5	—	—	2	4	1	79	Mai
6.1	6.5	6.2	6.3	80	18	14	14	13	—	—	—	1	4	11	—	1	8	—	—	4	3	3	71	Juni
4.4	5.4	5.5	5.1	65	23	6	11	8	—	—	—	—	6	8		—	2	—	—	2	—	—	89	Juli
4.1	4.9	2.6	3.9	44	11	22	9	8	—	1	2	1	10	3	1	—	4	—	1	4	1	1	81	August
6.2	6.3	5.6	6.0	109	26	20	15	12	3	—	1	2	6	9	—	1	1	1	—	4	1		82	September
4.1	4.2	2.7	3.7	2	2	18	1	1	—	—	—	1	10	1	—	—	1	1	—	1	—	—	90	Oktober
6.3	6.0	5.8	6.0	22	9	30	5	5	5	—	—	2	2	7	—	1	4	—	—	2	2	1	80	November
5.0	4.8	3.8	4.5	1	0.4	30	3	—	3	—	—	1	6	4	—	—	1	—		1	2	—	89	Dezember
5.2	5.4	4.6	5.1	546	29	IV	100	84	35	1	4	8	86	84	3	10	35	5	7	41	41	10	943	Jahr

Beobachter: Ch. Waldburger

Buffalora (Ofenpass)

7.30	13.30	21.30	Mittel	Summe	Maximum	Tag	●	●≥1.0	✳	▲	⚡	≡	heiter	trüb	N	NE	E	SE	S	SW	W	NW	Calmen	1943
5.5	5.1	4.7	5.1	56	15	3	11	9	11	—	—	—	7	7	6	31	8	9	—	6	8	20	5	Januar
4.0	3.6	3.0	3.5	28	9	13	6	6	6	—	—	—	12	5	2	23	7	15	1	14	5	14	3	Februar
4.0	4.2	4.7	4.3	24	5	29	10	9	9	—	—	—	11	8	2	31	13	13	—	9	5	16	4	März
3.6	4.5	3.7	3.9	67	24	1	9	9	7	—	—	—	12	7	1	22	8	22	—	9	7	19	2	April
5.1	4.8	4.0	4.6	136	37	3	12	12	6	—	—	—	11	9	—	12	6	32	—	17	12	12	2	Mai
4.3	5.7	6.3	5.4	123	25	16	11	11	4	—	—	—	7	10	—	18	—	20	1	21	13	16	1	Juni
3.8	6.3	6.3	5.5	113	27	6	12	12	2	1	—	—	4	4	—	9	5	16	—	13	17	13	20	Juli
2.9	4.7	3.0	3.5	44	11	28	9	9	—	—	—	1	12	3	1	6	10	7	—	2	21	10	36	August
5.3	6.7	4.5	5.5	105	24	28	12	12	4	—	—	1	3	9	2	5	1	5	—	1	38	12	26	September
3.2	4.0	2.9	3.4	15	11	18	2	2	—	—	—	—	12	4	1	5	18	7	—	2	19	1	40	Oktober
5.4	5.7	4.7	5.3	31	12	25	9	8	9	—	—	—	6	7	—	3	5	8	—	3	33	7	31	November
4.8	5.9	3.3	4.7	3	3	10	1	1	1	—	—	—	12	10	—	3	8	4	—	7	24	7	40	Dezember
4.3	5.1	4.3	4.6	745	37	V	104	100	59	1	—	2	104	83	15	108	89	158	2	104	202	147	210	Jahr

Sta. Maria

$\lambda = 10^\circ 25'$, $\beta = 46^\circ 36'$, $H_b = 1411^m$, $G = -0.21$ m/m, $h_r = 1.5^m$

1943	Luftdruck					Luft-Temperatur								Relative Feuchtigkeit					
	Mittel	Minimum	Tag	Maximum	Tag	7^{30}	13^{30}	21^{30}	Mittel	Minimum	Tag	Maximum	Tag	7^{30}	13^{30}	21^{30}	Mittel	Minimum	Tag
Januar	640.7	629.0	2. 3	649.9	25	-5.5	-2.0	-4.3	-4.0	-11.6	10	3.4	13. 24	62	49	60	57	35	25
Februar	646.9	638.3	15	655.3	28	-3.0	2.8	-1.8	-0.9	-10.8	9	10.0	22	56	44	55	52	29	6. 22
März	644.5	639.9	18	655.2	1	0.1	6.5	1.7	2.5	-6.0	8	14.6	31	67	46	63	59	23	31
April	646.2	632.5	7	651.8	16	4.6	11.1	5.6	6.7	-3.6	8	17.6	26	59	39	56	51	23	15. 27
Mai	645.5	631.3	9	655.6	13	10.7	14.8	9.5	11.1	-0.2	9	22.4	14	49	45	63	52	24	13. 17
Juni	646.4	640.2	3	653.1	22	13.1	16.4	11.2	13.0	4.0	16	22.8	24	47	45	64	52	26	6
Juli	645.9	637.6	8	650.5	29	14.2	19.3	13.5	15.1	7.0	9	24.2	17. 18	48	47	67	54	28	4
August	647.1	642.4	6	652.6	16	13.8	21.4	15.1	16.4	8.2	29	27.8	18	59	44	61	55	26	10
September	646.2	635.7	26	651.2	15	10.2	15.2	10.6	11.6	2.0	27	21.4	6	77	59	77	71	27	6
Oktober	646.1	640.8	17	650.8	3	5.6	10.8	6.0	7.1	1.0	16	15.2	3	79	57	79	72	37	3
November	641.3	626.3	14	650.4	10	-1.9	1.4	-1.9	-1.1	-8.2	16	10.8	2	70	54	69	64	34	13
Dezember	645.1	637.5	22	651.5	27	-3.1	-0.4	-2.7	-2.2	-7.8	11	5.6	27	67	54	64	62	32	30
Jahr	645.2	626.3	XI	655.6	V	4.9	9.8	5.2	6.3	-11.6	I	27.8	VIII	62	49	65	59	23	III IV

Bevers

$\lambda = 9^\circ 53'$, $\beta = 46^\circ 33'$, $H_b =$ ca. 1711^m, $G = -0.23$ m/m, $h_r = 1.4^m$

Januar	617.3	605.4	3	626.7	25	-11.4	-3.8	-8.9	-8.3	-25.1	10	2.1	23	88	68	84	80	35	26
Februar	623.5	613.8	16	632.3	19	-10.6	0.4	-8.1	-6.6	-19.8	6. 9	6.0	14	86	60	83	76	35	21
März	621.3	617.4	14	632.2	1	-5.2	4.6	-2.1	-1.2	-13.0	8	9.8	31	91	64	87	81	30	12
April	623.2	608.9	7	628.5	14. 15 / 25	0.4	9.7	1.4	3.2	-6.8	8	20.0	25	81	54	78	71	28	27
Mai	622.6	609.6	9	632.5	12	6.2	14.5	5.6	8.0	-2.2	9	24.8	13	77	55	84	72	30	12. 13 / 14. 15
Juni	623.8	616.8	3	630.1	23	8.8	15.2	7.9	10.0	1.2	16	22.2	26	75	51	82	70	32	5
Juli	623.8	615.5	8	628.2	16	9.6	18.8	10.2	12.2	2.6	8	26.3	14	82	52	87	74	33	29
August	624.7	620.9	31	630.0	16	9.5	19.2	11.2	12.8	4.0	29	28.0	18	90	49	81	73	28	10
September	623.4	614.1	26	628.3	15. 16	6.3	14.1	8.1	9.2	0.2	1. 6	21.8	13	92	62	88	81	31	21
Oktober	623.1	616.6	17	627.6	3	1.2	11.0	3.4	4.7	-4.8	29	14.4	8	96	53	93	81	31	4. 13 / 14. 18
November	617.7	602.6	14	627.1	10	-5.6	1.7	-4.2	-3.1	-13.3	16	11.5	3	93	56	76	75	26	6
Dezember	621.4	613.6	22	628.8	26	-10.3	-2.5	-7.9	-7.2	-21.0	26	2.8	20	93	72	88	84	41	31
Jahr	622.1	602.6	XI	632.5	V	-0.1	8.6	1.4	2.8	-25.1	I	28.0	VIII	87	58	84	76	26	XI

Sils-Maria

$\lambda = 9^\circ 46'$, $\beta = 46^\circ 26'$, $H_b = 1813.6^m$, $G = -$ m/m, $h_r = 1.5^m$

Januar	—	—	—	—	—	-10.8	-3.7	-9.0	-8.1	-20.6	10	1.9	31	84	48	76	69	30	4
Februar	—	—	—	—	—	-9.9	-0.1	-8.3	-6.6	-18.6	6	6.1	22	75	38	72	62	18	21
März	—	—	—	—	—	-5.4	2.6	-2.9	-2.1	-12.6	8	7.8	2. 31	87	45	83	72	19	31
April	—	—	—	—	—	0.0	6.6	1.1	2.2	-8.4	8	12.6	26	65	35	71	57	13	27
Mai	—	—	—	—	—	5.6	10.8	5.7	6.9	-3.6	9	17.8	15	64	44	73	60	20	17
Juni	—	—	—	—	—	7.8	13.1	7.9	9.2	0.8	16	19.2	24	63	50	68	60	18	29
Juli	—	—	—	—	—	8.5	15.8	9.8	11.0	2.6	8	20.4	31	78	44	80	67	21	4
August	—	—	—	—	—	9.0	17.2	11.2	12.2	4.2	7	23.1	18	84	41	74	66	21	10
September	—	—	—	—	—	6.8	12.2	7.9	8.7	-0.4	27	18.2	6	89	59	84	77	16	6
Oktober	—	—	—	—	—	1.7	8.2	3.7	4.3	-3.8	15	12.4	9	98	59	93	83	25	3
November	—	—	—	—	—	-5.5	0.3	-4.5	-3.6	-13.2	26	9.2	3	84	47	79	70	16	6
Dezember	—	—	—	—	—	-8.2	-2.2	-7.3	-6.3	-13.8	24	2.8	6	91	61	87	80	28	2. 24
Jahr	—	—	—	—	—	-0.3	6.7	1.3	2.3	-20.6	I	23.1	VIII	80	48	78	69	13	IV

Vicosoprano

$\lambda = 9^\circ 37'$, $\beta = 46^\circ 21'$, $H = 1087^m$, $G = -$ m/m, $h_r = 1.5^m$

Januar	—	—	—	—	—	-2.6	-0.8	-1.9	-1.8	-9.5	10	4.3	24	60	56	61	59	22	25
Februar	—	—	—	—	—	1.6	4.4	2.1	2.6	-4.7	6	12.0	23	50	48	49	49	28	0
März	—	—	—	—	—	3.1	7.4	3.6	4.4	-1.7	8. 9	15.1	3	65	57	70	64	27	30
April	—	—	—	—	—	6.6	11.6	7.8	8.5	-2.3	8	17.2	18	52	42	57	50	21	27
Mai	—	—	—	—	—	11.1	14.8	11.0	12.0	2.3	10	21.8	30	56	52	66	58	27	30
Juni	—	—	—	—	—	14.2	18.1	13.6	14.9	7.4	15	23.4	24	47	43	54	48	26	28
Juli	—	—	—	—	—	15.6	19.9	14.8	16.3	8.3	8	24.3	18	55	45	68	56	31	4
August	—	—	—	—	—	16.3	22.0	17.1	18.1	8.9	28	26.8	18	55	43	56	51	24	10
September	—	—	—	—	—	12.1	16.2	13.0	13.6	5.4	27	21.7	13	72	59	72	68	28	5
Oktober	—	—	—	—	—	8.1	11.5	8.2	9.0	1.7	15	17.2	3	76	64	88	76	36	3
November	—	—	—	—	—	1.3	3.5	1.4	1.9	-2.4	11	11.3	4	63	58	64	62	29	15. 26
Dezember	—	—	—	—	—	0.8	2.6	1.0	1.4	-3.0	31	8.4	28	59	56	58	58	22	24. 26
Jahr	—	—	—	—	—	7.4	10.9	7.6	8.4	-9.5	I	26.8	VIII	59	52	64	58	21	IV

Beobachter: Frau M. Werro

Sta. Maria

Bewölkung				Niederschlag			Zahl der Tage								Windverteilung									1943
7^{30}	13^{30}	21^{30}	Mittel	Summe	Maximum Tag		●	●* >1.0	*	▲	K	≡	heiter	trüb	N	NE	E	SE	S	SW	W	NW	Calmen	
4.1	3.8	3.6	3.8	11	3	3	7	6	7	—	—	—	7	4	—	1	—	2	—	9	—	56	25	Januar
3.1	3.3	3.1	3.2	17	12	2	5	3	5	—	—	—	14	3	—	1	—	2	—	22	—	40	19	Februar
3.7	3.8	4.3	3.9	29	10	28	5	4	—	—	—	—	10	4	—	1	—	—	—	10	—	59	23	März
3.6	4.1	3.7	3.8	18	10	1	5	4	3	—	—	—	10	2	—	4	—	7	—	16	—	50	13	April
4.5	4.8	4.6	4.6	82	23	24	9	8	1	—	—	—	6	7	—	6	—	1	—	9	—	48	29	Mai
4.5	4.8	4.8	4.7	52	18	14	12	10	—	—	—	—	4	2	—	9	—	3	—	2	—	52	24	Juni
3.6	5.0	4.6	4.4	70	16	8	15	9	—	—	1	—	4	—	—	9	—	1	—	9	—	39	35	Juli
2.1	3.7	2.9	2.9	46	16	28	7	6	—	—	1	—	10	1	—	6	—	1	—	15	—	34	37	August
5.0	5.4	4.5	5.0	131	22	28	16	12	2	—	1	—	5	5	—	4	—	2	—	5	—	39	40	September
3.8	4.1	3.8	3.9	5	5	18	2	1	—	—	—	7	7	2	—	5	—	1	—	11	—	49	27	Oktober
4.0	4.5	4.3	4.3	21	7	14	8	6	8	—	—	—	5	1	—	7	—	6	—	16	—	34	27	November
3.9	4.1	3.2	3.7	15	7	3	5	3	5	—	—	—	8	2	—	6	—	1	—	20	—	31	35	Dezember
3.8	4.3	3.9	4.0	497	23	V	94	72	31	—	3	7	90	33	—	59	—	27	—	144	—	531	334	Jahr

Beobachter: P. Nogler

Bevers

6.2	5.8	5.4	5.8	37	15	3	10	5	10	—	—	—	3	10	10	2	2	—	5	17	37	8	12	Januar
4.7	3.7	3.6	4.0	5	1	10	6	2	6	—	—	—	11	5	11	—	1	—	10	16	18	11	17	Februar
5.0	5.9	5.2	5.4	17	9	6	6	5	5	—	—	—	5	6	6	1	5	1	14	14	30	5	17	März
4.8	5.3	4.8	5.0	57	10	1	11	10	8	—	—	—	11	9	6	5	6	6	18	8	26	5	10	April
6.6	6.4	5.2	6.1	81	20	9	13	11	3	—	—	—	6	11	6	4	3	5	12	18	24	6	15	Mai
6.7	6.8	6.9	6.8	59	14	14	12	11	1	—	—	—	3	15	10	3	2	2	4	12	33	12	12	Juni
5.5	6.8	5.9	6.1	87	30	7	16	11	1	1	4	—	4	9	5	2	1	—	14	15	25	16	15	Juli
5.8	5.9	6.0	5.9	53	21	28	10	8	—	—	3	—	3	4	4	2	2	1	10	8	23	8	35	August
7.1	6.6	5.3	6.3	141	22	28	15	14	5	—	—	1	5	13	8	4	2	1	4	10	24	5	32	September
6.1	5.1	3.7	5.0	5	3	18	3	3	—	—	—	—	5	5	3	5	5	3	14	7	20	7	29	Oktober
6.9	6.4	5.5	6.3	16	6	25	6	3	6	—	—	—	2	9	21	9	14	—	7	3	15	12	9	November
6.4	5.7	4.6	5.6	16	7	6	11	2	11	—	—	—	6	8	15	6	9	—	14	5	19	12	13	Dezember
6.0	5.9	5.2	5.7	574	30	VII	119	85	56	1	7	1	64	104	105	43	52	19	126	133	294	107	216	Jahr

Beobachter: A. Fluor

Sils-Maria

5.3	5.3	5.7	5.4	25	5	30	7	7	7	—	—	—	8	9	6	—	—	—	8	—	1	—	78	Januar
3.9	3.8	3.0	3.6	21	19	2	3	3	3	—	—	—	14	6	8	1	—	1	4	1	—	—	69	Februar
3.7	4.5	4.4	4.2	40	16	26	5	5	4	—	—	—	11	6	1	—	—	—	2	—	7	—	83	März
4.1	5.1	4.3	4.5	28	?	—	9	7	5	—	—	—	10	7	6	—	—	—	3	—	5	—	76	April
4.9	5.9	6.7	5.8	116	39	24	11	10	2	—	—	—	8	12	9	1	—	—	3	—	1	—	79	Mai
5.0	6.8	6.8	6.2	61	18	14	9	7	1	—	1	—	6	13	3	—	—	—	1	—	7	2	77	Juni
4.6	6.7	5.3	5.5	141	46	6	14	14	1	—	5	—	6	9	3	—	—	—	3	2	5	—	80	Juli
3.3	4.3	2.7	3.4	92	34	3	9	7	—	—	3	—	14	3	—	—	2	1	1	1	5	1	82	August
6.3	6.8	5.7	6.3	161	26	25	16	15	4	—	—	—	5	11	—	—	—	—	5	—	5	—	80	September
4.3	5.1	5.1	4.8	15	11	17	2	2	—	—	—	—	6	8	—	—	—	—	1	—	4	—	88	Oktober
5.1	5.6	5.0	5.2	14	6	24	3	3	3	—	—	—	7	7	3	—	—	—	1	1	1	—	84	November
4.9	4.7	3.9	4.5	35	16	3	8	7	8	—	—	—	13	9	6	—	—	—	3	—	—	1	83	Dezember
4.6	5.4	4.9	5.0	749	46	VII	96	87	38	—	9	—	108	100	45	2	2	2	35	5	41	4	959	Jahr

Beobachter: H. Roffler

Vicosoprano

5.9	6.1	4.5	5.5	24	9	14	8	7	8	—	—	—	7	11	—	25	—	—	—	—	—	—	68	Januar
3.8	3.8	2.3	3.3	20	8	1	5	5	3	—	—	—	15	5	1	36	—	—	—	1	1	—	45	Februar
5.5	6.5	5.0	5.7	58	25	26	8	3	3	—	—	—	7	8	—	21	—	—	1	4	—	—	67	März
4.9	5.3	4.7	5.0	64	30	21	9	7	—	—	1	—	7	7	1	35	—	—	—	5	—	1	48	April
4.7	5.8	6.1	5.5	147	35	24	10	10	—	—	1	—	6	9	—	20	1	—	—	5	—	1	66	Mai
5.2	6.3	6.0	5.8	85	24	14	8	8	—	—	—	—	5	6	2	40	—	—	—	8	—	—	40	Juni
4.3	6.5	5.7	5.5	180	49	6	17	15	—	—	5	—	2	3	1	16	—	—	—	9	2	—	65	Juli
3.8	4.9	6.2	5.0	68	18	6	9	8	—	—	3	—	9	3	—	30	—	—	—	5	—	—	58	August
7.2	6.9	7.2	7.1	287	65	25	18	16	—	—	7	—	3	14	1	18	—	—	—	1	—	—	70	September
5.5	6.4	6.7	6.2	56	23	17	10	7	—	—	—	3	5	11	1	5	—	—	—	1	—	—	86	Oktober
5.3	5.8	4.8	5.3	26	11	20	8	4	1	—	—	3	6	6	1	29	—	—	—	1	—	—	59	November
5.0	5.0	4.3	4.8	52	15	6	9	9	2	—	—	1	9	8	1	31	—	—	—	1	—	1	59	Dezember
5.1	5.8	5.3	5.4	1067	65	IX	119	99	17	—	17	7	81	91	9	306	1		1	41	3	3	731	Jahr

Splügen (Dorf)

$\lambda = 9^\circ 19'$, $\beta = 46^\circ 33'$, H_b = ca 1500m, $G = -0.21$ m/m, $h_r = 0.8$m

1943	Luftdruck Mittel	Minimum	Tag	Maximum	Tag	Luft-Temperatur 7³⁰	13³⁰	21³⁰	Mittel	Minimum	Tag	Maximum	Tag	Relative Feuchtigkeit 7³⁰	13³⁰	21³⁰	Mittel	Minimum	Tag
Januar	633.6	622.1	3	643.1	25	-6.7	-1.9	-5.2	-4.7	-18.0	9. 10	5.1	29	70	56	68	65	25	26
Februar	639.9	630.6	16	649.4	28	-5.6	1.1	-4.3	-3.3	-13.4	11.18	8.3	23	70	47	68	62	22	15
März	637.3	632.7	13	649.6	1	-1.1	5.3	0.2	1.1	-6.4	1	11.2	31	70	44	69	61	24	5
April	639.4	626.2	7	645.0	15	2.3	8.2	3.0	4.1	-6.2	8. 10	15.4	17	69	44	70	61	21	17
Mai	638.4	624.1	9	648.7	13	7.9	12.7	7.4	8.9	1.0	9. 10	20.2	14.16	61	43	69	57	22	13.18
Juni	640.0	633.2	3	646.2	23	8.8	13.4	8.4	9.8	1.0	15	23.1	25	67	45	74	62	21	2[illegible]
Juli	639.1	630.7	8	644.1	16	11.5	16.9	11.2	12.7	3.3	9	23.0	31	67	45	75	62	23	29
August	640.5	636.5	6	645.8	17	13.2	18.5	12.4	14.1	4.1	29	25.4	17.19	66	41	70	59	22	18
September	639.2	630.9	26	644.3	15.16	9.0	13.8	9.4	10.4	0.0	28	22.2	13	75	51	79	68	26	6
Oktober	638.8	632.8	17.18	644.2	3	4.5	11.3	5.9	6.9	0.2	15	16.2	11	80	46	78	68	29	5
November	634.2	619.5	14	644.0	10	-3.1	1.1	-2.1	-1.5	-11.3	26	10.4	2	78	55	72	68	26	11
Dezember	637.7	629.4	22	645.6	26	-3.8	-0.7	-3.4	-2.8	-13.2	26	5.3	16	76	58	70	68	30	15
Jahr	638.2	619.5	XI	649.6	III	3.1	8.3	3.6	4.6	-18.0	I	25.4	VIII	71	48	72	63	20	IX

Bernhardin

Die Abendbeobachtung erfolgt um 20³⁰ h. $\lambda = 9^\circ 10'$, $\beta = 46^\circ 30'$, $H_b = 2073$m, $G = -0.25$ m/m, $h_r = 7.9$ m

Januar	—	—	—	—	—	—	—	—	—	—	—	—	—	—	—	—	—	—	—
Februar	—	—	—	—	—	—	—	—	—	—	—	—	—	—	—	—	—	—	—
März	—	—	—	—	—	—	—	—	—	—	—	—	—	—	—	—	—	—	—
April	—	—	—	—	—	—	—	—	—	—	—	—	—	—	—	—	—	—	—
Mai	—	—	—	—	—	—	—	—	—	—	—	—	—	—	—	—	—	—	—
Juni	597.6	590.5	3	603.8	23	6.0	9.2	6.0	6.6	-0.4	18	16.8	25	67	53	78	66	29	4
Juli	597.4	589.3	8	602.3	29	8.9	12.9	8.7	9.7	0.4	8	18.6	18	64	54	77	65	28	4. 20
August	598.9	594.8	31	603.9	16	9.5	14.0	9.8	10.7	3.6	23. 28	20.6	18	65	51	77	64	25	10.18
September	597.3	589.1	26	602.5	16	6.1	8.8	6.8	6.9	-3.6	28	16.0	13	82	69	86	79	20	5
Oktober	596.3	590.4	17	600.9	3	3.1	5.7	3.6	3.9	-3.8	15	10.4	9	75	75	81	77	10	10
November	—	—	—	—	—	—	—	—	—	—	—	—	—	—	—	—	—	—	—
Dezember	—	—	—	—	—	—	—	—	—	—	—	—	—	—	—	—	—	—	—
Jahr	—	—	—	—	—	—	—	—	—	—	—	—	—	—	—	—	—	—	—

Braggio

$\lambda = 9^\circ 7'$, $\beta = 46^\circ 18'$, $H_b = 1332$m, $G = -$ m/m, $h_r = 1.5$m

Januar	—	—	—	—	—	-3.2	1.1	-2.5	-1.8	-9.4	11	6.9	25	68	56	68	64	30	27
Februar	—	—	—	—	—	-0.4	5.4	0.6	1.5	-6.1	10	11.9	13.14 21	57	48	58	54	27	21
März	—	—	—	—	—	1.3	6.8	2.6	3.3	-4.3	8	15.1	31	75	61	72	69	30	7
April	—	—	—	—	—	4.9	11.5	6.5	7.3	-4.5	8	18.1	18	68	56	70	65	30	10
Mai	—	—	—	—	—	8.7	14.5	10.1	10.8	0.1	10	21.9	30	76	63	76	72	35	17.22 27
Juni	—	—	—	—	—	11.3	16.9	12.6	13.4	4.9	18	23.3	26	70	54	69	64	30	29
Juli	—	—	—	—	—	13.6	19.1	14.5	15.4	6.5	9	24.9	30	73	59	76	69	33	9
August	—	—	—	—	—	14.8	21.5	16.5	17.3	10.1	28	26.1	20	72	55	68	65	33	31
September	—	—	—	—	—	11.4	15.8	12.0	12.8	3.9	26	22.1	13	84	73	84	80	40	5
Oktober	—	—	—	—	—	7.3	12.4	8.2	9.0	2.5	15	18.9	5	89	75	91	85	45	3
November	—	—	—	—	—	0.0	4.7	0.3	1.3	-5.1	17	13.0	3	76	59	74	70	23	9
Dezember	—	—	—	—	—	-0.4	3.3	0.2	0.8	-5.3	31	10.5	28	73	62	70	68	25	25
Jahr	—	—	—	—	—	5.8	11.1	6.8	7.6	-9.4	I	26.1	VIII	73	60	73	69	23	XI

Tessin

Bellinzona

$\lambda = 9^\circ 1'$, $\beta = 46^\circ 12'$, $H_b = 236.6$m, $G = -0.02$ m/m, $h_r = 1.6$m

Januar	739.7	727.8	2	749.5	25	-1.3	4.1	0.2	0.8	-5.8	19	12.2	24	82	53	77	71	22	9
Februar	745.0	733.2	16	754.5	28	2.6	10.2	4.6	5.5	-2.3	11	15.2	24	65	37	60	54	19	10
März	742.0	735.4	29	754.2	5	5.7	13.1	9.0	9.2	0.0	8	22.0	3	75	41	58	58	20	29
April	742.3	729.3	7	749.2	14	10.3	18.8	13.9	14.2	5.5	8	24.0	26	61	38	50	50	16	27
Mai	740.3	727.3	9	751.2	13	14.3	21.2	16.3	17.0	8.4	8	30.0	16	70	45	66	60	15	10
Juni	740.1	733.0	3	746.3	23	17.9	25.0	19.3	20.4	13.2	17	32.0	13	57	39	54	50	18	26
Juli	738.5	730.4	8	744.2	15	18.3	26.3	20.4	21.4	13.8	10	31.6	17	70	40	64	58	20	9
August	739.2	734.7	31	744.7	16	19.0	28.0	22.3	22.9	12.8	29	32.9	20	69	39	59	56	17	31
September	739.6	729.8	26	745.2	16	15.4	22.0	17.5	18.1	9.8	28	27.9	13	83	53	80	72	23	4
Oktober	741.3	734.8	7	746.7	31	11.2	16.8	12.7	13.3	8.0	24	21.4	8	91	57	89	79	38	5
November	738.5	723.4	14	748.5	10	4.4	9.6	5.1	6.0	-1.5	17	16.0	4	78	46	72	65	15	9
Dezember	743.0	734.8	22	750.6	26	2.1	6.5	3.4	3.8	-2.6	30	10.1	1	82	57	77	72	22	31
Jahr	740.8	723.4	XI	754.5	II	10.0	16.8	12.1	12.7	-5.8	I	32.9	VIII	74	45	67	62	15	V XI

Beobachter: Frau M. Schwarz-Felix

Splügen (Dorf)

Bewölkung				Niederschlag			Zahl der Tage								Windverteilung									1943
7.30	13.30	21.30	Mittel	Summe	Maximum	Tag	●	≥1.0	✱	▲	K	=	heiter	trüb	N	NE	E	SE	S	SW	W	NW	Calmen	
4.0	5.1	4.4	4.5	42	16	2	5	3	4	—	—	—	7	6	—	1	30	—	—	—	62	—	—	Januar
4.1	3.6	2.7	3.5	12	8	13	3	2	2	—	—	—	11	4	—	—	30	—	—	—	53	1	—	Februar
3.5	3.8	3.3	3.5	32	9	31	6	6	3	—	—	—	12	3	—	—	25	—	—	3	65	—	—	März
4.2	5.0	4.6	4.6	82	20	1	9	9	4	—	—	—	11	7	—	1	57	—	—	1	31	—	—	April
4.8	5.4	5.1	5.1	108	45	9	10	10	1	—	1	—	6	10	—	—	55	—	—	—	38	—	—	Mai
5.1	5.7	5.9	5.6	101	31	15	9	8	1	1	—	—	5	8	—	—	73	—	—	1	16	—	—	Juni
3.8	5.7	4.8	4.8	99	31	21	13	12	—	—	—	—	7	3	—	—	51	—	—	1	41	—	—	Juli
3.7	3.8	2.4	3.3	76	32	22	9	9	—	—	—	—	11	4	—	—	44	—	—	5	44	—	—	August
5.6	6.2	4.8	5.5	318	88	25	14	13	2	—	—	—	6	7	—	—	42	—	—	1	47	—	—	September
2.7	3.2	2.8	2.9	49	18	17	4	4	—	—	—	—	14	3	—	—	10	—	—	—	83	—	—	Oktober
5.2	4.8	3.9	4.6	24	?	—	6	6	6	—	—	—	6	6	—	—	42	—	—	2	46	—	—	November
4.8	4.6	3.7	4.4	26	14	31	4	3	3	—	—	—	9	6	—	—	24	—	—	—	69	—	—	Dezember
4.3	4.7	4.0	4.4	969	88	IX	92	85	26	1	1	—	105	67	—	2	483	—	—	14	595	1	—	Jahr

Beobachter: E. Albertini

Bernhardin

—	—	—	—	—	—	—	—	—	—	—	—	—	—	—	—	—	—	—	—	—	—	—	—	Januar
—	—	—	—	—	—	—	—	—	—	—	—	—	—	—	—	—	—	—	—	—	—	—	—	Februar
—	—	—	—	—	—	—	—	—	—	—	—	—	—	—	—	—	—	—	—	—	—	—	—	März
—	—	—	—	—	—	—	—	—	—	—	—	—	—	—	—	—	—	—	—	—	—	—	—	April
—	—	—	—	—	—	—	—	—	—	—	—	—	—	—	—	—	—	—	—	—	—	—	—	Mai
6.0	6.2	6.1	6.1	83	27	14	12	10	5	—	—	7	2	8	64	—	—	—	19	—	—	—	7	Juni
5.1	6.2	5.8	5.7	153	48	22	16	13	2	1	3	7	3	3	42	—	—	—	35	—	—	—	16	Juli
4.4	4.6	3.4	4.1	76	37	22	10	8	—	—	1	7	7	3	34	—	—	—	39	—	—	—	20	August
7.0	7.1	7.2	7.1	403	126	25	17	17	6	—	1	16	2	12	25	—	1	—	53	—	—	—	11	September
5.2	6.6	5.6	5.8	143	39	17	9	9	3	—	—	15	5	11	14	—	—	—	62	—	—	—	17	Oktober
—	—	—	—	—	—	—	—	—	—	—	—	—	—	—	—	—	—	—	—	—	—	—	—	November
—	—	—	—	—	—	—	—	—	—	—	—	—	—	—	—	—	—	—	—	—	—	—	—	Dezember
—	—	—	—	—	—	—	—	—	—	—	—	—	—	—	—	—	—	—	—	—	—	—	—	Jahr

Beobachter: C. Berera

Braggio

5.1	4.9	4.7	4.9	30	6	14	10	10	8	—	—	1	9	9	11	—	4	—	—	—	—	1	77	Januar
2.9	3.1	2.3	2.8	16	11	2	3	3	3	—	—	—	19	4	8	—	6	—	7	—	—	1	62	Februar
5.9	6.6	5.1	5.9	60	33	26	6	5	4	—	—	3	4	10	10	—	1	6	9	—	—	—	67	März
4.1	5.7	3.8	4.5	57	22	21	7	7	1	—	—	2	9	6	13	3	2	4	14	2	2	1	49	April
4.1	5.6	5.7	5.1	153	48	24	11	10	1	—	1	4	6	10	4	6	4	9	16	—	1	—	53	Mai
4.2	6.5	5.1	5.3	65	23	1	8	7	—	—	1	—	7	5	15	—	8	2	14	1	—	—	50	Juni
4.6	6.5	4.9	5.3	159	46	6	15	14	—	1	5	1	5	6	12	2	12	2	18	3	—	—	44	Juli
3.7	4.5	1.8	3.3	74	30	6	8	7	—	1	2	—	14	2	9	—	21	1	19	3	—	—	40	August
7.1	7.1	6.5	6.9	346	78	13	17	16	—	2	8	3	4	14	4	1	7	7	10	—	1	1	59	September
6.1	6.3	6.9	6.4	82	30	17	6	6	—	—	—	7	7	15	—	1	8	2	10	1	—	—	71	Oktober
5.3	5.2	4.6	5.0	35	16	20	5	3	5	—	—	2	9	8	13	—	5	—	2	2	1	—	67	November
5.8	4.6	4.8	5.1	56	15	3	9	8	8	—	—	2	8	10	11	1	1	1	1	—	—	1	77	Dezember
4.9	5.5	4.7	5.0	1133	78	IX	105	96	30	4	17	25	101	99	110	14	79	34	120	12	5	5	716	Jahr

Tessin

Beobachter: A. Lienhard

Bellinzona

6.5	5.2	4.1	5.3	23	11	14	8	5	5	—	—	2	9	10	18	17	1	—	8	3	—	—	46	Januar
3.0	3.2	3.0	3.1	12	5	2	3	3	1	—	—	2	16	6	6	14	—	—	14	1	—	—	40	Februar
6.8	5.5	4.8	5.7	66	32	26	5	5	—	—	—	—	4	10	8	12	—	—	19	3	—	—	51	März
5.1	4.7	2.7	4.2	50	25	21	6	6	—	—	—	—	9	4	10	22	2	—	13	10	—	—	33	April
4.8	6.5	6.3	5.9	188	55	24	12	10	—	—	2	—	5	12	9	16	2	—	19	4	—	—	43	Mai
5.8	6.2	4.7	5.6	43	14	1	8	7	—	—	—	—	4	6	12	24	1	—	12	9	—	—	32	Juni
4.6	5.3	3.6	4.5	177	58	6	13	13	—	2	8	—	4	3	9	13	1	—	11	14	—	—	45	Juli
5.0	3.9	1.2	3.4	55	26	22	8	6	—	—	2	—	11	2	10	16	1	1	10	14	—	—	41	August
7.8	6.5	6.2	6.8	416	123	13	16	16	—	—	5	1	4	11	2	17	—	—	10	12	—	—	49	September
7.3	6.8	5.8	6.6	78	27	17	8	6	—	—	—	—	4	15	10	3	—	—	7	17	—	—	56	Oktober
6.2	5.4	5.0	5.5	37	18	20	5	4	—	—	—	1	6	8	10	15	—	1	11	—	—	—	53	November
6.4	5.5	5.7	5.9	64	17	6	11	9	—	—	—	—	6	13	8	10	1	—	6	—	—	—	68	Dezember
5.8	5.4	4.4	5.2	1209	123	IX	103	90	6	2	17	6	82	100	112	179	9	2	140	87	—	—	566	Jahr

Bosco-Gurin

$\lambda = 8° 30'$, $\beta = 46° 19'$, $H_b = 1486^m$, $G = -$ ‰, $h_r = 2.0^m$

1943	Luftdruck					Luft-Temperatur								Relative Feuchtigkeit					
	Mittel	Minimum	Tag	Maximum	Tag	7^{30}	13^{30}	21^{30}	Mittel	Minimum	Tag	Maximum	Tag	7^{30}	13^{30}	21^{30}	Mittel	Minimum	Tag
Januar	—	—	—	—	—	-4.9	-2.7	-4.4	-4.1	-12.0	10	4.0	25	64	62	69	65	38	19
Februar	—	—	—	—	—	-2.5	1.1	-2.1	-1.4	-8.8	8	7.5	21	61	53	60	58	36	21
März	—	—	—	—	—	0.0	4.0	0.4	1.2	-6.0	8	11.0	31	73	60	77	70	34	30
April	—	—	—	—	—	3.9	10.3	5.1	6.1	-5.0	8	18.3	18	69	53	67	63	32	3
Mai	—	—	—	—	—	8.4	14.1	9.0	10.1	0.2	10	21.8	13	73	61	74	69	29	10
Juni	—	—	—	—	—	11.6	16.9	11.2	12.7	5.0	17	24.0	25.26	64	53	70	62	32	4
Juli	—	—	—	—	—	12.5	18.6	13.0	14.3	6.8	9	26.0	18	73	56	77	69	32	4.7
August	—	—	—	—	—	14.0	20.2	14.3	15.7	9.0	25	27.0	18	74	60	69	68	35	10
September	—	—	—	—	—	10.4	14.6	10.9	11.7	3.0	28	21.0	13	87	71	86	81	39	20
Oktober	—	—	—	—	—	5.5	10.2	6.3	7.1	0.5	15	16.0	8	89	72	89	83	47	3
November	—	—	—	—	—	-1.1	1.2	-1.1	-0.5	-8.2	17	9.0	2.3	74	63	73	70	28	9
Dezember	—	—	—	—	—	-2.3	0.0	-2.1	-1.6	-7.5	25	5.0	6.16	71	63	72	69	28	25
Jahr	—	—	—	—	—	4.6	9.0	5.0	5.9	-12.0	I	27.0	VIII	73	61	74	69	28	XI XII

Locarno-Muralto

$\lambda = 8° 48'$, $\beta = 46° 10'$, $H_b = 238.7^m$, $G = 0.02$ ‰, $h_r = 1.2^m$

Januar	741.2	728.1	3	750.7	25	-0.1	4.5	1.5	1.8	-3.6	11	10.4	24	80	65	76	74	30	3.9
Februar	746.5	733.7	16	756.2	28	3.0	9.7	5.2	5.8	-1.2	11	14.4	13	65	49	62	59	28	3.16
März	743.7	737.3	29	756.2	5	6.5	12.6	8.8	9.2	2.0	7	18.0	2	75	50	61	62	35	2
April	743.8	733.8	1.8	751.2	14	11.4	18.1	13.4	14.1	6.4	8	23.2	1	69	45	58	57	25	3
Mai	742.0	728.9	8	753.2	13	14.6	20.1	15.7	16.5	7.0	9	26.2	30	76	54	72	67	25	26
Juni	741.8	735.0	3	748.7	23	17.9	23.4	18.4	19.5	11.2	17	28.8	26	69	46	63	59	28	3
Juli	740.7	732.2	8	746.2	16	19.0	25.2	20.0	21.0	13.6	9	29.8	18	78	50	70	66	25	9
August	741.2	736.2	31	746.5	17	20.3	27.4	21.9	22.9	15.0	29	32.0	18.20 21	76	46	64	62	25	10.31
September	741.5	730.1	26	747.2	16	16.4	21.2	17.6	18.2	9.4	27.28	26.4	13	88	63	82	78	35	5
Oktober	743.1	736.6	7	748.4	31	12.2	16.1	13.1	13.6	9.4	24.29	20.4	8	88	66	86	80	40	8
November	740.1	724.1	14	750.0	10	5.0	9.8	6.0	6.7	0.2	27.28	15.4	4	79	63	74	72	25	8
Dezember	744.6	736.1	22.23	752.1	26	3.0	7.1	4.4	4.7	-0.4	26.30	10.0	8	79	68	76	74	25	31
Jahr	742.5	724.1	XI	756.2	II III	10.8	16.3	12.2	12.9	-3.6	I	32.0	VIII	77	55	70	67	25	IV V VII VIII X XII

Locarno-Monti

$\lambda = 8° 48'$, $\beta = 46° 10'$, $H_b = 380^m$, $G = -0.01$ ‰, $h_r = 1.2^m$

Januar	728.4	715.2	3	738.0	25	0.3	3.8	1.8	1.9	-3.8	11	11.6	24	68	58	65	64	26	9
Februar	733.9	721.5	16	743.0	28	4.1	8.8	6.0	6.2	-1.8	11	13.4	21	51	45	50	49	26	3.8 16.17
März	731.2	724.8	29	743.1	5	6.2	11.3	9.1	8.9	1.6	8	17.5	3	65	50	54	56	31	6
April	731.5	717.9	7	738.6	14	11.0	16.4	14.0	13.8	5.8	8	22.1	1	59	47	50	52	29	1
Mai	729.7	715.7	9	740.7	13	14.1	18.4	16.2	16.2	7.8	9	24.6	16	70	54	60	61	24	10
Juni	729.8	722.6	3	736.3	23	17.6	22.2	19.3	19.6	12.5	17	28.2	26	60	47	51	53	29	4
Juli	728.4	720.2	8	733.7	15	18.5	23.9	21.0	21.1	14.5	1.10	28.3	18	68	50	54	57	28	9
August	729.3	724.1	31	734.6	16	20.0	25.8	22.9	22.9	14.3	29	30.4	20.21	66	47	52	55	26	31
September	729.4	719.0	26	734.9	16	16.0	20.3	17.8	18.0	9.3	27	25.1	13	77	61	69	69	40	5
Oktober	730.9	724.6	7	736.3	31	11.8	15.3	13.2	13.4	9.2	17	19.8	5	79	65	75	73	46	5
November	727.5	711.8	14	737.3	10	5.1	8.7	6.0	6.5	1.0	28	14.1	4	67	57	62	62	26	8
Dezember	731.9	723.4	22	738.9	26	3.5	6.3	4.4	4.7	0.7	25	9.6	8	67	64	66	66	26	31
Jahr	730.2	711.8	XI	743.1	III	10.7	15.1	12.6	12.8	-3.8	I	30.4	VIII	66	54	59	60	24	V

Lugano

$\lambda = 8° 57'$, $\beta = 46° 0'$, $H_b = 276.2^m$, $G = -0.01$ ‰, $h_r = 1.7^m$

Januar	737.5	723.6	3	747.0	25	-0.5	5.6	1.0	1.8	-4.6	18	11.2	16	78	55	77	70	16	9
Februar	743.0	730.1	16	752.5	28	2.2	10.7	4.7	5.6	-2.2	11	17.2	14	67	46	62	58	19	5
März	740.1	733.2	29	752.7	5	5.1	13.5	8.3	8.8	0.4	7	20.4	2	77	47	62	62	28	29
April	740.5	727.5	7	747.8	14	10.0	18.8	13.3	13.9	5.4	10	25.0	1	67	44	56	56	22	7
Mai	738.6	722.9	9	749.9	13	13.8	20.4	16.0	16.5	8.0	8	27.0	30	74	50	65	63	18	10
Juni	738.6	731.3	3	745.1	23	16.8	24.4	18.8	19.7	12.4	17	33.2	26	67	43	57	56	17	26
Juli	737.1	728.5	8	742.8	15	17.5	26.4	20.3	21.1	12.4	8	30.0	18	76	44	67	62	23	9
August	737.7	733.8	6	743.3	16	18.7	28.2	21.7	22.6	11.8	29	32.6	20	72	43	59	58	14	31
September	738.1	727.2	26	743.6	16	15.5	22.4	17.5	18.2	10.0	28	27.0	3.4.7	82	55	78	72	25	4
Oktober	739.7	732.9	7	745.4	31	11.3	17.0	12.7	13.4	8.6	24	22.4	4	89	60	87	79	43	4
November	736.5	720.6	14	746.6	10	4.3	10.3	5.4	6.3	-1.6	17	16.8	4	75	52	71	66	18	9
Dezember	741.0	732.3	22	748.0	26	2.5	7.9	3.6	4.4	-1.6	26	12.0	1	81	59	81	74	22	31
Jahr	739.0	720.6	XI	752.7	III	9.8	17.1	11.9	12.7	-4.6	I	33.2	VI	75	50	69	65	14	VIII

Beobachter: W. Sartori

Bosco-Gurin

Bewölkung				Niederschlag			Zahl der Tage								Windverteilung									1943
7⁸⁰	13⁸⁰	21⁸⁰	Mittel	Summe	Maximum	Tag	●	●≥1.0	✳	▲	⚡	≡	heiter	trüb	N	NE	E	SE	S	SW	W	NW	Calmen	
4.9	5.6	4.7	5.1	64	26	2	12	10	12	-	-	1	10	9	1	—	—	—	—	8	—	-	84	Januar
3.9	4.2	2.9	3.7	8	7	9	2	2	2	-	—	2	14	5	—	—	—		2	17	-	-	65	Februar
5.9	6.4	4.7	5.7	71	15	26	12	12	9	-	—	1	6	11	—	—	—		1	2	1	1	88	März
4.4	4.7	3.2	4.1	94	39	21	8	6	3	—	—	—	14	7	1	—	1	1	12	5	3	1	66	April
3.8	5.5	4.6	4.6	154	28	3	12	11	2	1	1	—	15	8	—	—	1	—	4	6	2	-	80	Mai
5.7	6.7	4.7	5.7	52	12	14	8	8	-	—	1	—	4	7	—	—	—	—	4	11	3	1	71	Juni
4.7	7.5	5.1	5.8	98	37	20	15	12	-	1	2	—	1	6	—	—	-	1	8	3	—	-	81	Juli
3.0	6.3	2.3	3.9	95	43	22	10	8	—	-	1	—	9	1	—	—	—	—	5	3	2	—	83	August
7.5	7.9	6.3	7.2	311	102	14	18	16	—	—	2	—	3	15	—	-	—	—	1	1	—	—	88	September
6.9	7.9	6.4	7.1	120	37	17	10	10	—	—	—	3	3	16	—	—	—	—	—	—	—	—	93	Oktober
5.1	6.0	4.5	5.2	58	21	20	11	10	9	—		2	8	11	1	—	—	—	6	5	1	-	77	November
5.6	5.8	4.9	5.4	80	26	6	8	8	8	—		1	10	12	—	—		—	5	2		2	84	Dezember
5.1	6.2	4.5	5.3	1205	102	IX	126	113	45	2	7	10	92	108	3	—	2	2	48	63	12	5	900	Jahr

Beobachter: Frau A. Mariani

Locarno-Muralto

4.6	4.0	4.4	4.3	22	6	14	8	7	6	—	—	2	10	7	—	—	1	2	—		—	—	90	Januar
2.7	2.6	2.9	2.7	10	4	2	4	4	2		—	—	19	6	2		-	1	2	—	3	1	75	Februar
5.3	4.0	3.6	4.3	71	32	26	7	4	—	—	—	—	10	5	2	—	—	—	4	5	5	3	74	März
3.1	3.4	2.7	3.1	56	35	21	5	5	—	—	—	—	14	4	4	—	2	1	3	1	15	—	64	April
4.3	4.2	4.9	4.5	228	68	24	14	13	—		3	—	9	8	3	1	2	—	3	—	17	3	64	Mai
4.4	3.8	3.4	3.9	48	16	1	8	7	—		4		9	4	5	2	—	—	4	—	13	2	64	Juni
3.7	3.1	3.1	3.3	150	33	8	13	12	—	1	7	—	11	1	1	—	1	—	5	1	16	3	66	Juli
2.9	2.5	1.5	2.3	52	33	22	10	5	—	—	3	—	17	2	3	1	2	—	5	2	13	1	66	August
6.4	5.7	5.1	5.7	505	138	25	17	16	—	-	6	—	5	8	1	-	-	—	3	1	7	-	78	September
6.2	6.0	5.9	6.0	105	29	17	9	8	—	-	—	—	5	12	—	—	—	—	—	1	4	—	88	Oktober
4.9	4.4	4.2	4.5	37	14	20	8	4	—	-		—	9	8	3	—	—	1	3	1	1	1	80	November
5.0	4.1	4.7	4.6	73	19	3. 6	9	9	—	—	—	—	11	10	2	—	—	—	1	—	1		80	Dezember
4.5	4.0	3.9	4.1	1357	138	IX	112	94	8	1	23	2	129	75	26	4	8	5	33	12	95	14	808	Jahr

Beobachter: Osservatorio Meteorologico Ticinese

Locarno-Monti

4.5	4.3	5.0	4.6	21	7	14	8	6	5	-	—	3	9	6	15	11	12	4	4	4	8	15	20	Januar
2.7	2.9	2.9	2.8	9	4	2	4	3	2	—	—	3	19	6	22	5	6	4	3	9	7	19	9	Februar
5.7	4.6	4.3	4.9	68	30	26	6	5	—	—	—	1	8	7	8	5	4	3	7	17	23	7	19	März
4.0	3.7	2.7	3.5	61	35	21	5	5	-	—	-	2	12	5	5	8	10	3	5	18	14	10	17	April
4.3	4.9	5.2	4.8	211	64	24	13	13	—	—	4	1	10	9	12	6	7	3	7	17	18	10	13	Mai
4.5	4.5	3.8	4.3	38	13	1	9	7	—	-	4	—	7	4	10	8	11	8	4	10	8	11	11	Juni
3.9	4.0	3.5	3.8	133	32	6	11	11	-	1	8	—	7	2	17	6	12	4	5	15	21	4	9	Juli
3.5	2.5	1.6	2.5	44	20	22	7	4	—	-	1	—	16	1	14	7	11	8	4	10	7	13	13	August
6.4	5.5	6.1	6.0	468	130	25	18	17	—		6	1	5	8	7	12	8	4	5	9	5	17	23	September
6.8	5.8	6.0	6.2	103	30	19	9	7	—	—	-	1	5	14	6	3	9	5	6	10	12	11	31	Oktober
5.1	4.5	5.0	4.9	31	13	20	6	3	—	-	—	—	9	7	16	10	8	2	4	7	13	15	15	November
5.0	4.8	5.3	5.0	68	18	6	9	8	1	—	—	2	10	10	17	10	9	9	6	4	6	7	25	Dezember
4.7	4.3	4.3	4.4	1255	139	IX	105	89	8	1	23	14	117	79	149	91	107	57	60	145	142	139	205	Jahr

Beobachter: G. Vicari

Lugano

5.8	4.6	4.4	4.9	38	16	14	7	7	4	—	—	4	8	9	39	5	—	2	9	1	3	2	32	Januar
3.0	2.9	3.1	3.0	20	6	1	5	5	1		—	2	17	6	44	6	1	3	8	1	1	1	19	Februar
7.0	5.4	5.1	5.8	68	28	26	7	4	—		—	—	5	10	35	7	2	6	17	3	1	6	16	März
5.1	5.0	3.0	4.4	66	36	21	6	5	—	—	1	—	9	6	30	16	1	7	18	2	1		15	April
5.5	5.6	5.4	5.5	218	44	3	12	12	—	—	4	—	7	12	37	—	4	1	23	1	2	1	24	Mai
4.7	5.6	4.0	4.8	60	23	2	8	7	—		3	—	9	7	31	12	4	2	16	3	2	1	19	Juni
4.0	4.7	4.4	4.4	140	52	6	12	10		2	9	-	7	2	42	7	2	2	24		3	3	10	Juli
3.6	4.3	1.6	3.2	57	17	22	10	9	—	—	3	—	12	2	51	7	3	8	12	1	3	1	7	August
7.5	6.5	5.1	6.4	278	44	13	18	15	—	1	6		4	13	42	15	5	3	11	1	3	3	7	September
6.7	7.2	5.7	6.5	104	35	17	9	9	—	—	—		4	13	35	18	1	4	3	2	1	9	20	Oktober
5.6	5.3	4.5	5.1	46	17	21	7	5	1	—		—	8	8	30	12	2	7	5	3	3	13	9	November
5.3	5.5	5.5	5.4	96	24	4	14	12	2	—	—	1	10	11	48	8	1	4	6	1	4	6	15	Dezember
5.3	5.2	4.3	4.9	1191	52	VII	115	100	8	3	26	7	100	99	470	113	26	49	152	19	27	46	193	Jahr

Baden

$\lambda = 8° 19'$, $\beta = 47° 22'$, $H_b = 386.6^m$, $h_r = 1.5^m$ — Beobachter: Nordostschweiz. Kraftwerke

1943	Luft-Temperatur 7.30	13.30	21.30	Mittel	Minimum	Tag	Maximum	Tag	Relative Feuchtigkeit 7.30	13.30	21.30	Mittel	Minim.	Tag	Bewölkung 7.30	13.30	21.30	Mittel	Niederschlag Summe	Maxim.	Tag	Zahl der Tage ●	●≥1.0	✱	▲	K.	≡	[illegible]	[illegible]
Jan.	-1.2	1.8	-0.2	0.1	-8.9	5	8.2	23	91	74	87	84	54	22	9.1	7.7	7.3	8.0	89	12	2	19	15	9	—	—	1	—	19
Febr.	0.5	6.0	2.1	2.7	-3.0	9	11.7	23	89	62	80	77	39	20	7.0	5.4	4.9	5.8	44	12	3	11	8	3	—	—	1	6	11
März	2.8	12.0	6.4	6.9	-2.0	1	16.6	24	89	50	74	71	35	18.24	5.5	3.8	3.5	4.3	50	12	26	10	9	—	—	—	5	11	4
April	7.2	15.3	9.9	10.6	0.1	3	26.4	23	87	51	72	70	27	16	5.2	4.9	3.4	4.5	50	20	7	11	10	3	—	—	1	9	[illegible]
Mai	11.5	19.6	13.6	14.6	4.6	10	28.4	15	82	47	73	67	24	15	5.4	5.5	5.8	5.6	58	20	25	13	12	—	—	1	1	9	[illegible]
Juni	13.5	19.9	14.5	15.6	9.0	3	26.9	20	83	52	78	71	34	20	6.5	6.5	5.7	6.2	117	19	16	13	13	—	—	—	2	2	8
Juli	15.5	24.2	17.5	18.7	9.8	9	30.7	31	86	50	72	69	27	5	4.7	4.1	3.7	4.2	92	19	7	13	12	—	—	4	4	12	[illegible]
Aug.	15.9	25.5	18.3	19.5	11.5	13	34.7	19	85	44	75	68	25	19	5.8	4.4	3.7	4.6	22	14	22	6	5	—	—	2	2	7	4
Sept.	12.6	19.5	14.3	15.2	4.1	27	28.5	13	92	60	84	79	37	1.5	8.9	6.7	6.1	7.2	114	24	19	15	12	—	—	1	5	—	11
Okt.	8.8	14.8	[illegible]	11.0	1.2	15	19.2	22	95	66	91	84	46	26	9.6	5.3	4.6	6.5	3	2	8	2	1	—	—	—	11	—	11
Nov.	2.3	5.3	3.0	3.4	-3.4	10	14.1	2	90	71	86	82	53	6.8	8.8	8.3	8.5	8.5	92	21	28	13	12	3	—	—	2	1	20
Dez.	0.6	2.4	1.0	1.2	-4.0	25	6.6	20	92	82	89	88	64	20	10.0	9.4	8.5	9.3	26	7	19	9	6	3	—	—	—	—	25
Jahr	7.5	13.0	9.2	9.9	-8.9	I	34.7	VIII	88	59	80	76	24	V	7.2	6.0	5.5	6.2	757	24	IX	135	115	21	—	8	35	57	133

Muri

$\lambda = 8° 20'$, $\beta = 47° 16'$, $H_b = 483^m$, $h_r = 0.9^m$ — Beobachter: A. Müller

Jan.	-2.1	0.7	-1.0	-0.8	-7.6	19.20	6.0	23.31	93	82	90	88	58	1	8.7	7.5	8.5	8.2	103	?	—	17	16	9	—	—	2	—	22
Febr.	-0.1	5.0	1.9	2.2	-6.2	9	11.6	23	91	72	81	81	40	20	7.1	5.6	4.6	5.8	47	?	—	9	9	4	—	—	2	5	10
März	3.6	11.0	6.6	6.9	-1.4	8.9	16.0	25	86	62	76	74	39	24	5.6	4.2	4.1	4.6	65	20	28	9	9	—	—	—	3	10	8
April	7.7	14.3	9.4	10.2	-1.0	3	22.0	19	81	61	76	73	38	17.18	5.8	5.4	4.1	5.1	56	16	7	10	10	1	—	—	—	8	10
Mai	12.4	17.9	13.1	14.1	5.0	9	25.0	19	76	57	78	70	35	10	5.6	6.1	6.5	6.1	66	13	9	11	11	—	—	—	—	8	14
Juni	13.5	18.2	14.2	15.0	8.0	17	23.6	21	84	66	84	78	51	5	6.9	6.6	6.7	6.7	157	23	9	13	13	—	—	—	—	2	14
Juli	16.2	21.9	16.8	17.9	9.6	8.9	28.0	31	83	61	81	75	40	30	4.6	5.1	5.9	5.2	138	22	22	13	13	—	—	2	—	8	12
Aug.	16.9	23.2	18.0	19.[illegible]	11.4	31	30.0	20	79	56	78	71	40	20.21	5.2	4.4	4.2	4.[illegible]	35	14	22	5	5	—	—	2	—	8	9
Sept.	12.7	18.0	13.9	14.6	5.0	27	25.2	12	90	71	88	83	46	5	7.9	5.8	6.9	6.9	116	29	19	13	11	—	—	1	3	2	13
Okt.	8.6	13.8	10.0	10.6	0.0	15	18.0	3.22	*92	*70	*90	*84	?	—	6.7	4.7	4.6	5.3	3	2	8	2	2	—	—	—	6	10	10
Nov.	1.7	5.0	2.5	2.9	-4.0	11	13.6	2	*88	*75	*85	*83	?	—	8.3	8.0	6.5	7.6	92	20	24	11	11	1	—	—	3	—	18
Dez.	-0.2	1.5	0.1	0.4	-3.2	24	6.8	20	94	84	91	90	55	19	9.7	8.9	7.0	8.5	27	?	—	7	7	2	—	—	10	—	21
Jahr	7.6	12.5	8.8	9.4	-7.6	I	30.6	VIII	86	68	83	79	35	V	6.8	6.0	5.8	6.2	905	29	IX	120	117	17	—	5	29	61	158

Rorschach (Mariaberg)

$\lambda = 9° 30'$, $\beta = 47° 29'$, $H_b = 455^m$, $h_r = 1.4^m$ — Beobachter: Seminar: J. Schenk

Jan.	-0.6	0.7	-0.7	-0.3	-7.9	10	6.4	13.31	—	—	—	—	—	—	8.5	8.9	7.4	8.3	66	14	5	16	14	10	—	—	9	—	20
Febr.	1.6	4.6	2.5	2.8	-4.6	9	8.8	22	—	—	—	—	—	—	6.6	5.0	4.7	5.4	48	16	7	10	9	—	—	—	3	8	10
März	4.0	9.2	6.5	6.5	-0.6	8	15.0	25	—	—	—	—	—	—	5.2	4.3	4.1	4.5	38	12	28	8	7	—	—	—	3	10	8
April	7.7	11.7	9.4	9.6	0.6	9	21.8	23	—	—	—	—	—	—	5.8	5.9	5.3	5.7	77	22	8	12	10	2	—	—	—	7	11
Mai	11.4	16.8	12.7	13.4	5.3	4	23.6	15	—	—	—	—	—	—	6.1	5.1	5.2	5.5	56	11	9	11	11	—	—	1	3	6	8
Juni	13.6	17.4	14.1	14.8	8.0	16	24.3	21	—	—	—	—	—	—	6.4	6.3	6.2	6.3	132	25	6	14	14	—	—	1	1	5	9
Juli	16.7	21.7	17.7	18.5	10.0	9	28.1	31	—	—	—	—	—	—	4.6	4.8	4.5	4.6	107	14	10	14	14	—	—	—	—	12	9
Aug.	17.4	22.7	18.9	19.5	11.0	29	30.5	21	—	—	—	—	—	—	5.5	4.5	4.9	5.0	55	19	11	9	8	—	—	—	—	9	9
Sept.	13.8	17.6	14.2	15.0	5.0	26	27.4	13	—	—	—	—	—	—	8.1	6.3	5.9	6.8	105	33	25	12	12	—	—	—	6	2	12
Okt.	10.0	13.2	10.8	11.2	4.2	15	19.5	7	—	—	—	—	—	—	8.7	5.6	4.5	6.3	0	0	—	—	—	—	—	—	16	1	10
Nov.	3.3	4.8	3.4	3.8	-1.4	10	12.4	2	—	—	—	—	—	—	8.5	8.3	8.0	8.3	82	16	24	11	11	1	—	—	7	1	22
Dez.	0.6	2.2	1.2	1.3	-1.8	30	6.7	20	—	—	—	—	—	—	9.2	8.8	8.9	9.0	27	9	30	7	6	1	—	—	18	1	25
Jahr	8.3	11.9	9.2	9.7	-7.9	I	30.5	VIII	—	—	—	—	—	—	6.9	6.2	5.8	6.3	793	33	IX	124	116	14	—	2	66	62	153

Schwäbrig (bei Gais)

$\lambda = 9° 29'$, $\beta = 47° 23'$, $H_b = 1156^m$, $h_r = 1.7^m$ — Beobachter: Frl. M. Dreher

Jan.	-2.0	0.2	-1.1	-1.0	-10.6	9	8.8	22	71	68	70	70	31	18	7.1	7.9	6.6	7.2	119	23	23	17	16	17	—	—	2	1	14
Febr.	-1.1	0.9	-0.8	-0.4	-8.7	9	9.0	23	69	68	71	69	23	23	6.1	5.9	5.2	5.7	126	26	15	10	10	10	—	—	4	7	9
März	2.2	5.7	3.6	3.8	-3.7	7	11.5	24	65	55	63	61	31	24	4.7	6.2	6.1	5.7	69	20	28	9	8	6	—	—	4	5	9
April	5.5	7.9	5.5	6.1	-6.8	2	18.0	23	64	60	63	62	33	23.25	6.8	7.3	5.8	6.6	143	29	1	14	13	8	—	1	—	3	13
Mai	9.1	12.2	8.9	9.8	-0.8	10	19.0	14.15	70	60	66	65	29	10	7.5	7.6	6.5	7.2	120	32	9	12	10	1	—	—	4	3	19
Juni	9.8	12.5	9.7	10.4	3.0	17	20.0	20	74	65	71	70	36	20	8.2	8.9	8.1	8.4	233	34	9	18	16	—	—	5	5	1	19
Juli	13.7	16.7	13.7	14.5	4.8	8.9	22.5	5.30	66	59	61	62	33	20	5.3	6.4	5.7	5.8	156	34	6	15	15	—	—	4	4	4	19
Aug.	14.4	17.9	15.0	15.6	8.5	23	27.2	3	64	54	59	59	31	21.22	5.6	6.1	4.1	5.3	84	27	11	11	10	—	1	1	5	6	6
Sept.	11.1	14.1	11.3	11.9	1.4	26	25.0	14	71	64	70	68	37	6	8.1	8.3	6.8	7.7	139	50	25	15	12	1	—	1	7	—	17
Okt.	7.8	11.0	8.9	9.1	1.9	14	15.0	21.24.25	73	62	69	68	36	23.31	7.3	6.8	5.5	6.5	0	0	—	—	—	—	—	—	12	2	14
Nov.	-1.0	0.8	-1.0	-0.6	-6.4	20	14.9	1	82	75	82	80	32	24	8.[illegible]	8.0	8.5	8.4	201	40	29	13	11	13	—	1	9	—	20
Dez.	-1.2	0.2	-0.8	-0.6	-7.0	31	8.3	6	72	68	71	70	33	15	7.0	7.8	6.8	7.2	52	17	30	8	7	7	—	—	8	2	14
Jahr	5.7	8.3	6.1	6.6	-10.6	I	27.2	VIII	70	63	68	67	23	II	6.8	7.3	6.3	6.8	1442	50	IX	142	128	63	1	13	64	34	161

Ebnat

$\lambda = 9° 8'$, $\beta = 47° 16'$, $H = 649^m$, $h_r = 1.9^m$

Beobachter: Frl. M. Kuratle

1943	Luft-Temperatur 7³⁰	13³⁰	21³⁰	Mittel	Minimum	Tag	Maximum	Tag	Relative Feuchtigkeit 7³⁰	13³⁰	21³⁰	Mittel	Minim.	Tag	Bewölkung 7³⁰	13³⁰	21³⁰	Mitt.	Niederschlag Summe	Maxim.	Tag	Zahl der Tage ●	●* ≥1.0	☂	▲	K	=	hell	☁
Jan.	−4.7	0.9	−2.6	−2.3	−17.6	10	7.6	23	95	79	92	89	56	30	5.7	5.7	6.2	5.9	157	41	2	16	15	10	—	—	—	4	8
Febr.	−2.4	4.2	−0.7	0.1	−11.4	9	10.4	23	92	68	90	83	45	23	4.5	4.8	4.8	4.7	79	15	7	10	8	7	—			8	7
März	0.3	9.7	3.0	4.0	−4.8	7	15.8	24	94	57	88	86	36	24	4.4	3.8	4.3	4.2	82	17	28	10	8	1	—	—	2	7	3
April	5.7	12.3	7.4	8.2	−0.8	8. 9	21.6	23	90	61	81	77	38	15. 23	5.4	5.1	5.3	5.3	170	59	1	13	12	4	—	—	—	7	8
Mai	8.9	16.5	11.5	12.1	2.0	9	26.2	20	92	60	85	79	39	30	4.9	5.3	5.3	5.2	140	41	9	16	13	—	—	1	—	9	8
Juni	11.9	17.3	12.9	13.8	6.0	16	24.4	20	86	61	85	77	40	5	5.8	5.7	6.2	5.9	292	55	9	17	16	—	—	1	—	4	7
Juli	14.1	21.1	15.0	16.3	6.6	9	29.4	20	86	56	86	76	34	20	4.3	4.9	4.4	4.5	166	31	6	16	16	—	—	2	—	9	9
Aug.	14.8	22.3	16.2	17.4	9.6	26	31.2	20	86	54	81	74	22	18	4.2	4.3	3.6	4.0	80	23	11	14	10	—	—	1	—	9	—
Sept.	10.7	17.3	12.3	13.1	3.6	26.28	25.0	12	96	66	93	85	40	6	6.7	6.3	5.3	6.1	138	40	25	15	14	—	—	—	4	2	6
Okt.	6.4	14.3	8.1	9.2	0.0	31	19.0	21	96	67	96	86	44	23.26	5.6	4.2	4.7	4.8	0	0	—	—	—	—	—	—	2	6	6
Nov.	−0.2	4.0	0.7	1.3	−6.6	10	15.0	2	93	76	90	86	50	2. 6	6.7	6.4	6.3	6.5	190	30	29	13	11	9	—	—	1	2	9
Dez.	−2.6	0.8	−1.3	−1.1	−7.4	26	5.6	18	96	82	93	9[illegible]	60	26	6.4	6.1	7.0	6.5	48	18	19	8	7	5	—		7	2	11
Jahr	5.2	11.7	6.9	7.7	−17.6	I	31.2	VIII	92	66	88	82	22	VIII	5.4	5.2	5.3	5.3	1542	59	IV	148	13[illegible]	39	—	5	16	69	82

Wald-Hittenberg

$\lambda = 8° 56'$, $\beta = 47° 16'$, $H = 912.3^m$, $h_r = 6.7^m$

Beobachter: Sanatorium

Jan.	−0.7	1.4	0.1	0.2	−8.5	10	7.6	23	70	63	68	67	28	29	7.4	7.6	4.8	6.6	114	17	2	16	15	15	—	—	4	4	13
Febr.	0.4	3.0	1.4	1.5	−4.6	18	9.9	23	65	60	64	63	27	21	5.8	5.5	4.1	5.1	82	28	7	11	10	11	—	—	2	8	9
März	3.8	8.5	6.0	6.1	−1.2	7	15.1	24	64	50	55	56	22	24	5.0	5.1	3.6	4.6	66	17	28	9	8	5	—	—	1	8	8
April	6.9	10.5	8.3	8.4	−2.7	9	20.2	23	64	53	55	57	22	21	6.0	5.9	4.9	5.6	108	25	1	13	11	7	—	—	3	7	12
Mai	10.6	15.0	11.9	12.3	2.0	10	21.2	14. 20	67	51	59	59	23	10	6.2	6.4	5.7	6.1	92	19	24	12	11	1	—	—	—	8	14
Juni	11.6	15.4	12.3	12.9	5.4	17	22.0	25	73	54	65	64	27	25	7.1	7.8	7.5	7.5	282	57	9	17	15	—	2	2	3	1	14
Juli	14.7	19.4	16.2	16.6	5.8	9	25.4	20. 31	67	52	57	59	29	12	4.1	4.9	4.8	4.6	217	57	6	16	15	—	—	—	—	8	9
Aug.	15.8	20.3	17.4	17.7	11.0	23. 31	29.6	21	62	50	52	54	17	21	5.4	5.5	3.9	4.9	60	14	22.26	10	9	—	—	2	2	6	7
Sept.	12.1	16.0	13.4	13.7	3.8	28	27.2	13	76	63	67	69	27	13	7.6	7.0	5.1	6.6	166	36	25	18	16	—	—	2	7	1	9
Okt.	9.2	13.0	10.2	10.6	5.8	14	16.4	3.22	74	62	72	69	31	26	6.0	5.2	3.5	4.9	1	1	8	1	—	—	—	—	4	9	8
Nov.	0.7	2.7	1.3	1.5	−3.7	18	12.0	2	79	72	74	75	34	24	7.9	8.4	6.2	7.5	118	22	24	12	11	12	—	—	7	2	17
Dez.	−0.6	1.0	−0.1	0.1	−4.6	15	7.1	19	78	72	77	76	30	19	7.1	8.0	5.9	7.0	45	15	19	10	7	7	—	—	7	2	12
Jahr	7.0	10.5	8.2	8.5	−8.5	I	29.6	VIII	70	58	64	64	17	VIII	6.3	6.4	5.0	5.9	1351	57	VII	145	128	58	2	6	40	64	132

Braunwald (ob Linthal)

$\lambda = 9° 0'$, $\beta = 46° 56'$, $H = 1189.5^m$, $h_r = 1.5^m$

Beobachter: Sanatorium

Jan.	−2.3	1.5	−1.4	−0.9	−10.4	9	8.3	22	71	61	69	67	35	30	5.6	6.3	6.0	6.0	217	39	2	17	15	17	—	—	1	6	10
Febr.	−1.4	2.8	−1.0	−0.2	−8.5	18	8.5	23	67	59	71	66	38	23	5.0	4.6	4.1	4.6	85	16	13	10	10	9	—	—	1	10	5
März	2.2	7.5	3.4	4.1	−6.0	7	12.3	25	66	47	70	61	17	20	3.7	4.5	4.5	4.2	92	48	31	8	7	6	—	—	—	8	5
April	5.0	9.6	5.4	6.4	−5.4	8	19.0	17	68	56	71	65	35	23	5.5	5.1	4.9	5.2	236	104	1	12	11	6	—	—	1	8	9
Mai	9.7	13.7	9.3	10.5	0.5	9	20.5	14	73	60	76	70	36	6	6.0	6.4	6.2	6.2	122	28	9	12	11	1	—	—	7	6	12
Juni	10.3	14.3	10.4	11.3	2.5	16	20.0	20	80	65	83	76	42	26	7.4	7.8	7.9	7.7	247	59	9	18	16	—	—	—	3	2	17
Juli	13.6	17.3	12.6	14.0	3.8	9	22.8	20	74	64	78	72	36	20	5.0	6.4	6.0	5.8	171	27	6	16	15	—	—	—	1	5	12
Aug.	14.8	18.5	14.4	15.5	5.4	28	26.4	21	71	60	73	68	31	21	4.6	5.4	4.2	4.7	88	23	30	13	11	—	—	—	4	10	7
Sept.	10.6	14.3	11.5	12.0	2.4	28	22.4	13. 14	81	71	79	77	41	14	7.3	7.0	7.0	7.1	204	54	25	16	15	—	—	—	7	3	13
Okt.	7.6	12.0	8.8	9.3	2.0	16	17.4	10	75	64	72	70	34	24	4.6	4.5	3.4	4.2	0	0	—	—	—	—	—	—	6	11	6
Nov.	−1.0	2.3	−0.3	0.2	−6.4	15	15.5	1	79	69	77	75	35	1	6.9	7.4	6.8	7.0	168	42	28	10	9	8	—	—	10	3	13
Dez.	−1.0	1.4	−0.3	0.0	−8.0	25	8.0	19	68	66	65	66	40	19. 21	5.5	4.9	4.7	5.0	64	21	30	8	7	7	—	—	6	9	9
Jahr	5.7	9.6	6.1	6.9	−10.4	I	26.4	VIII	73	62	74	70	17	III	5.6	5.9	5.5	5.7	1694	104	IV	140	127	54	—	—	47	81	118

Vättis

$\lambda = 9° 26'$, $\beta = 46° 55'$, $H_b = 950^m$, $h_r = 1.5^m$

Beobachter: Frl. P. Sprecher, Frau M. Kressig

Jan.	−3.8	0.7	−1.9	−1.7	−13.1	10	9.5	31	77	62	75	71	25	31	5.2	4.7	4.4	4.8	87	39	2	12	8	10	—	—	—	10	7
Febr.	−2.5	3.0	−1.8	−[illegible].8	−9.8	7	9.1	1	77	58	8[illegible]	72	30	9	4.6	4.4	4.[illegible]	4.5	61	23	13	11	10	1[illegible]	—		—	11	6
März	2.4	8.2	3.7	4.5	−2.1	13	13.4	25	66	44	65	58	22	8. 14	3.3	4.7	3.2	3.7	49	6	6	5	5	2	—		—	14	5
April	4.7	11.3	5.0	6.5	−4.5	8	19.4	19	75	50	71	65	18	16	5.8	5.6	4.4	5.3	116	47	1	10	9	5	—	—	—	10	11
Mai	10.0	15.3	9.9	11.3	3.2	9	23.5	14	6[illegible]	55	74	64	23	12	6.3	6.2	6.6	6.3	85	21	9	11	1			1		4	14
Juni	10.8	15.3	11.4	12.2	3.2	4	24.2	25	73	63	84	73	31	20	6.3	6.1	6.7	6.4	150	20	9	17	16	—	—	1	—	3	10
Juli	15.3	19.[illegible]	15.4	16.4	9.2	9. 10	20.2	30	70	61	78	69	35	16. 30	4.1	5.2	5.2	4.8	82	18	8	13	12					5	7
Aug.	15.3	21.1	16.3	17.3	7.2	28	32.5	3	75	56	77	69	29	3	4.9	4.9	4.3	4.7	39	11	11	7	6	—	—	1	—	10	7
Sept.	11.6	16.3	12.0	13.0	2.2	28	24.4	13	90	72	87	83	40	5	6.7	6.2	6.1	6.3	152	27	27	*15	*15	—	—	2	—	6	13
Okt.	7.7	13.7	9.5	10.1	1.8	15	19.0	20	86	68	84	79	28	24	2.5	2.5	2.3	2.4	1	1	18	1	1	—	—	—	1	13	2
Nov.	0.6	3.2	0.3	1.1	−5.3	16	16.4	1	92	76	91	86	39	1	6.9	6.7	7.0	6.9	*80	?	—	*11	*10	*6	—	—	3	4	16
Dez.	0.2	2.0	−0.3	0.4	−8.6	30	10.8	17	80	71	82	78	27	15	5.4	4.6	4.5	4.8	23	13	31	8	5	5	—	—	1	9	7
Jahr	5.[illegible]	1.8	6.6	7.5	−13.1	I	32.5	VIII	77	61	78	72	18	IV	5.2	5.2	4.9	5.1	925	47	IV	121	107	3[illegible]	—	5	5	76	1[illegible]5

Vättis: F. W. Sprecher † im Dezember 1942. Stationsverlegung Ende April.

Werthenstein

$\lambda = 8°\,6'.8$, $\beta = 47°\,2'.7$, $H = 594.4^m$, $h_r = 1.5^m$ — Beobachter: D. Ineichen

1943	Luft-Temperatur 7.30	13.30	21.30	Mittel	Minimum	Tag	Maximum	Tag	Relative Feuchtigkeit 7.30	13.30	21.30	Mittel	Minim.	Tag	Bewölkung 7.30	13.30	21.30	Mittel	Niederschlag Summe	Maxim.	Tag	Zahl der Tage ●	≧1.0	☀	▲	K	≡	≤0.0	≤-10.0
Jan.	-2.8	1.5	-1.4	-1.0	-12.4	18	6.8	14	87	69	86	81	46	1	6.5	6.7	7.0	6.7	65	13	5	16	14	11	—	—	1	4	13
Febr.	-.4	5.[illegible]	.5	1.4	-9.8	9	12.3	25	81	60	79	73	37	23	6.9	5.9	4.8	5.9	45	11	2	10	9	7	—	—	1	5	7
März	1.9	10.5	4.7	5.8	-4.5	8	16.1	24	87	54	82	74	37	23	4.8	4.0	5.1	4.9	63	20	21	10	8	1	1	2	1	9	8
April	1.8	13.6	7.8	9.1	-0.8	10	23.2	23	77	53	76	69	36	28	5.0	5.3	4.3	4.9	63	15	20	11	9	2	—	—	—	10	8
Mai	11.2	17.[illegible]	11.3	12.9	4.0	9	26.3	14	74	52	79	68	36	20	5.0	5.8	5.5	5.4	71	16	7	13	10	—	—	2	—	8	12
Juni	12.9	18.[illegible]	12.8	14.2	5.8	17	25.7	25	77	54	82	71	37	26	6.8	6.8	6.3	6.6	132	28	6	14	14	—	—	1	—	3	11
Juli	15.1	22.6	15.3	17.1	8.2	9	29.1	31	80	54	84	73	33	4.5	4.4	4.8	3.8	4.3	154	42	20	16	15	—	2	6	—	10	7
Aug.	15.7	23.8	16.3	18.0	9.8	31	32.8	19	76	49	79	68	33	20	4.5	4.5	4.5	4.5	60	26	22	6	5	—	—	1	—	8	4
Sept.	11.9	18.3	12.7	13.8	4.6	27	28.8	13	91	62	90	81	37	2	8.6	6.4	6.4	7.1	117	28	19	20	15	—	—	1	2	2	14
Okt.	6.9	11.2	8.7	9.0	0.4	30	20.6	22	94	66	91	84	47	17	5.8	5.4	4.5	5.2	0.6	0.2	25..27	—	—	—	—	—	3	10	6
Nov.	-.9	4.3	1.9	2.2	-4.3	11	14.4	2	86	69	82	79	44	14	8.1	8.0	7.9	8.0	73	19	24	12	12	6	—	—	6	—	16
Dez.	-1.2	1.1	-0.4	-0.2	-6.7	26	6.3	8	89	79	88	85	52	27	8.6	9.0	8.4	8.7	24	8	19	9	7	4	—	—	5	—	22
Jahr	6.6	12.6	7.5	8.6	-12.4	I	32.8	VIII	83	60	83	75	33	VII VIII	6.2	6.1	5.7	6.0	868	42	VII	137	118	31	3	13	19	69	131

Weggis

$\lambda = 8°\,20'$, $\beta = 47°\,2'$, $H = ca.\ 444^m$, $h_r = 1.5^m$ — Beobachter: Frau R. Zimmermann

Jan.	0.4	2.3	1.1	1.2	-4.5	10	7.8	13	—	—	—	—	—	—	8.0	6.6	6.2	6.9	72	18	5	15	13	6	—	—	4	2	13
Febr.	1.7	5.0	2.3	2.8	-3.5	9	10.4	25	—	—	—	—	—	—	6.2	4.7	4.7	5.2	55	15	7	10	8	7	—	—	1	6	6
März	3.9	9.9	6.0	6.4	-0.5	8	14.5	23	—	—	—	—	—	—	2.6	3.0	4.5	3.4	67	28	21	8	8	1	—	2	—	12	3
April	8.2	12.7	9.6	10.0	0.8	9	19.5	23	—	—	—	—	—	—	4.3	4.5	4.3	4.4	62	20	1	11	9	3	—	—	—	13	9
Mai	12.[illegible]	18.0	13.2	14.1	5.4	9	25.1	31	—	—	—	—	—	—	4.0	4.4	4.8	4.4	67	25	22	11	10	—	—	1	—	13	8
Juni	14.4	18.6	14.2	15.4	7.8	17	23.6	25	—	—	—	—	—	—	5.5	4.8	5.5	5.3	162	31	9	12	12	—	—	1	—	5	6
Juli	17.4	21.7	16.7	18.1	8.4	9	26.2	5	—	—	—	—	—	—	3.8	3.7	3.8	3.8	147	35	27	16	16	—	—	1	—	11	4
Aug.	17.9	22.9	18.7	19.5	12.0	31	28.6	20	—	—	—	—	—	—	3.5	2.6	3.5	3.2	52	15	22	9	7	—	—	2	—	12	2
Sept.	14.1	18.4	14.6	15.4	7.0	28	24.3	13	—	—	—	—	—	—	6.7	4.3	6.0	5.7	112	29	19	17	13	—	—	—	—	4	5
Okt.	10.1	14.2	10.7	11.4	6.8	15..17	19.0	3	—	—	—	—	—	—	5.8	4.8	3.4	4.7	0.2	0.2	25	—	—	—	—	—	—	9	8
Nov.	3.7	9.3	4.2	4.6	-0.4	11	12.8	2	—	—	—	—	—	—	7.8	6.7	7.7	7.4	49	10	24	11	9	3	—	—	2	1	15
Dez.	1.3	3.5	1.5	1.9	-2.8	26	8.0	9	—	—	—	—	—	—	8.0	8.1	8.2	8.1	32	11	19	9	7	3	—	—	—	2	21
Jahr	8.8	12.8	9.4	10.1	-4.5	I	28.6	VIII	—	—	—	—	—	—	5.5	4.9	5.2	5.2	877	35	VII	129	112	23	—	7	7	90	100

Lungern

$\lambda = 8°\,10'$, $\beta = 46°\,48'$, $H = ca.\ 745^m$, $h_r = 1.7^m$ — Beobachter: O. Imfeld

Jan.	-1.2	2.2	0.1	0.3	-10.0	10	9.3	23	75	65	72	71	38	30	7.2	6.8	6.4	6.8	115	26	5	18	16	5	—	—	2	4	14
Febr.	0.4	4.2	1.1	1.7	-6.3	9	10.3	23	70	59	70	66	34	1	6.5	5.6	5.1	5.7	56	12	2	11	8	4	—	—	1	8	10
März	3.4	9.0	5.4	5.8	-2.4	8	16.2	24	71	54	68	64	30	23.24	5.2	4.6	5.1	5.0	51	14	28	8	6	—	—	—	—	7	5
April	7.2	12.1	8.5	9.1	-1.2	8	22.3	23	65	52	62	60	30	23	5.6	5.7	4.4	5.2	84	24	7	12	10	3	—	—	—	7	9
Mai	11.5	15.8	11.5	12.[illegible]	3.4	9	23.9	14	68	56	69	64	30	19	5.6	6.0	6.5	6.2	83	21	25	13	10	—	—	—	2	6	14
Juni	12.5	16.7	12.7	13.7	7.1	17	22.3	25	72	60	77	70	38	20	7.3	7.5	6.8	7.2	202	36	21	16	13	—	—	—	1	2	13
Juli	15.6	20.6	15.5	16.8	6.3	9	25.4	31	68	55	71	65	41	4	4.9	6.8	5.0	5.6	153	33	8	20	14	—	—	—	—	6	11
Aug.	16.7	22.2	17.6	18.5	10.2	13	31.1	21	65	51	64	60	27	21	4.5	5.3	5.7	5.2	73	23	22	11	7	—	—	1	—	4	7
Sept.	12.2	16.5	13.3	13.8	5.2	26	25.2	13	81	62	79	74	44	5	7.4	7.7	6.8	7.3	135	28	25	16	15	—	—	—	—	2	14
Okt.	8.7	12.9	9.4	10.1	4.2	30	17.1	21	82	65	85	76	43	21	5.8	5.1	3.9	4.9	3	3	25	1	1	—	—	—	1	9	8
Nov.	1.1	3.9	2.3	2.4	-4.4	18	13.1	2	80	67	76	74	31	24	8.7	8.4	7.8	8.3	135	39	28	12	10	5	—	—	5	—	19
Dez.	-1.0	0.9	-0.4	-0.2	-4.4	26.30	9.0	19	85	77	82	81	40	19	8.3	8.5	7.3	8.0	37	13	19	8	7	2	—	—	7	2	21
Jahr	7.2	11.4	8.1	8.7	-10.0	I	31.1	VIII	74	62	73	69	27	VIII	6.4	6.0	5.9	6.3	1127	39	XI	146	117	19	—	1	19	57	143

Gitschenen (Isenthal)

$\lambda = 8°\,30'$, $\beta = 46°\,54'$, $H = 1604^m$, $h_r = 1.8^m$ — Beobachter: H. Suter

Jan.	-2.3	-.5	1.5	1.4	-6.5	9	7.4	22	—	—	—	—	—	—	5.2	5.5	4.9	5.2	109	15	23	17	19	17	—	—	2	7	9
Febr.	-1.7	1.0	1.2	.8	-8.1	18	7.4	22	—	—	—	—	—	—	4.9	4.9	5.1	5.0	101	27	7	14	10	12	—	—	6	11	9
März	0.9	3.6	1.4	1.8	-6.4	7	8.2	2	—	—	—	—	—	—	3.5	3.9	5.3	4.2	93	31	21	9	9	8	—	—	4	11	8
April	2.6	5.3	3.4	3.7	-7.4	8	13.0	23	—	—	—	—	—	—	5.4	5.5	5.4	5.4	106	27	1	14	11	10	—	—	4	8	12
Mai	7.2	10.0	7.4	8.0	-2.6	10	16.6	14	—	—	—	—	—	—	5.9	6.2	5.9	6.0	100	27	22	14	8	5	—	1	10	7	14
Juni	8.0	10.[illegible]	8.6	8.8	1.4	17	17.1	25	—	—	—	—	—	—	7.2	8.6	8.0	7.9	232	37	9	14	12	6	1	—	12	1	16
Juli	11.3	14.4	11.6	12.2	1.9	9	21.4	31	—	—	—	—	—	—	4.8	6.4	5.4	5.5	179	40	6	19	16	2	1	8	4	5	8
Aug.	12.6	15.9	13.1	13.7	6.9	28.31	24.1	19	—	—	—	—	—	—	4.7	5.2	4.8	4.9	91	19	26	15	13	—	—	2	10	8	9
Sept.	9.2	12.1	9.8	10.1	0.9	26	21.9	13	—	—	—	—	—	—	6.6	6.9	6.9	6.8	202	44	19	22	19	4	2	3	10	2	14
Okt.	7.0	10.5	7.5	8.1	2.6	15..16	14.3	11	—	—	—	—	—	—	3.0	4.5	3.1	3.5	4	3	25	2	1	—	—	—	5	10	1
Nov.	-1.2	0.5	-1.1	-0.7	-6.2	17	10.2	1	—	—	—	—	—	—	5.5	7.2	7.1	6.6	122	37	28	14	10	12	—	—	6	5	12
Dez.	-1.[illegible]	0.5	-0.[illegible]	[illegible]	-4.[illegible]	31	5.9	15	—	—	—	—	—	—	5.5	4.9	4.9	5.1	51	18	30	9	8	9	—	—	7	6	8
Jahr	4.4	7.[illegible]	4.8	5.2	-7.5	I	24.1	VIII	—	—	—	—	—	—	5.2	5.8	5.6	5.5	1390	44	IX	163	133	85	4	14	80	81	117

Gurtnellen

$\lambda = 8° 37'$, $\beta = 46° 44'$, $H = 742^m$, $h_r = 1.5^m$ — Beobachter: Jos. Meier, Stationspersonal SBB.

1843	Luft-Temperatur 7³⁰	1	21³⁰	Mittel	Minimum	Tag	Maximum	Tag	Relative Feuchtigkeit 7³⁰	13³⁰	21³⁰	Mittel	Minim.	Tag	Bewölkung 7³⁰	13³⁰	21³⁰	Mitt.	Niederschlag Summe	Maxim.	Tag	Zahl der Tage ●	●* ≤1.0	✳	▲	⚡	—	hell	trüb
Jan.	-0.3	1.8	0.6	0.7	-9.8	10	11.0	23	75	68	74	72	30	21	5.9	5.0	5.2	5.4	109	43	5	12	9	10	--	—		4	7
Febr.	-0.1	3.4	0.7	1.2	-5.0	18	9.8	1	79	66	77	74	33	9	5.5	4.4	3.8	4.6	38	10	2	10	8	9	—	—	—	9	5
März	4.9	10.0	6.4	6.0	-1.6	7	14.2	4.11	63	48	63	58	25	8	3.5	3.9	4.6	4.0	65	48	31	7	5	2	--	—	10	5
April	7.2	12.5	8.5	9.2	-1.2	9	20.2	19	69	50	69	63	29	15	5.2	5.4	4.7	5.1	97	59	1	11	10	6	—	—	--	10	11
Mai	11.0	16.8	12.4	13.1	3.2	10	25.8	30	75	51	71	66	34	20	5.1	6.0	5.9	5.7	64	30	9	10	6	1	—	—	1	7	12
Juni	12.2	17.1	13.7	14.2	6.9	17	23.0	24.25	81	57	76	71	39	5	6.1	6.7	7.4	6.7	124	25	9	15	14	—	—	—	—	3	12
Juli	15.0	20.9	16.5	17.2	8.8	9	29.0	29	75	56	72	68	33	20	4.7	5.5	5.0	5.1	88	23	20	15	12	—	—	—	—	6	7
Aug.	17.1	23.5	18.1	19.2	11.6	31	33.2	3	70	47	67	61	28	2	4.6	4.4	3.9	4.3	40	*12	22	8	6	—	—	—	—	8	5
Sept.	13.0	17.4	14.6	14.9	6.0	27	28.8	13	79	60	79	73	36	12.13	6.4	6.8	5.5	6.2	148	34	25	11	11	—	—	—	5	3	8
Okt.	9.8	14.4	11.2	11.6	0.0	29	20.6	23	73	57	73	68	32	24	4.0	3.9	3.3	3.7	1	1	25	1	1	—	—	—	5	11	4
Nov.	2.8	4.1	2.8	3.1	-3.2	11	16.5	1	85	78	81	81	40	1	6.5	6.8	6.0	6.4	113	17	12	12	11	8	—	—	11	3	11
Dez.	0.9	3.2	1.3	1.7	-5.0	2	12.3	6	77	73	77	76	35	19	4.7	4.5	3.8	4.3	23	?		*7	*5	*6	—	—	6	11	6
Jahr	7.8	12.1	8.9	9.4	-9.8	I	33.2	VIII	75	59	73	69	25	III	5.2	5.3	4.8	5.1	910	59	IV	119	98	42	—	—	28	85	93

Gurtnellen: Beobachterwechsel im Juli.

Andermatt

$\lambda = 8° 35'$, $\beta = 46° 38'$, $H = 1442^m$, $h_r = 1.5^m$ — Beobachter: P. B. Schönenberger

Jan.	-7.0	-3.2	-5.2	-5.2	-20.0	9	4.2	23	—	—	—	—	—	—	5.7	5.8	5.3	5.6	122	30	5	15	14	15	—	—	1	5	9
Febr.	-6.6	0.3	-4.6	-3.8	-14.2	5	6.5	20	—	—	—	—	—	—	4.9	3.7	4.2	4.3	61	15	13	9	9	9	—	—	1	10	5
März	-1.5	4.8	0.7	1.1	-9.0	7	9.7	27	—	—	—	—	—	—	4.5	4.6	5.3	4.8	66	45	31	6	5	5	—	—	1	6	9
April	1.1	7.2	2.3	3.2	-9.0	10	15.4	19	—	—	—	—	—	—	5.4	4.9	5.1	5.1	132	57	1	13	12	8	—	—	4	11	8
Mai	6.7	11.9	7.0	8.1	-2.1	10	18.5	14	—	—	—	—	—	—	4.5	4.8	5.5	4.9	79	32	9	10	10	1	—	—	2	7	9
Juni	7.8	12.3	8.3	9.0	0.4	17	19.4	20	—	—	—	—	—	—	6.2	6.0	7.1	6.4	112	20	9	16	14	2	—	—	4	2	10
Juli	10.0	15.8	11.1	11.8	2.4	9	22.4	31	—	—	—	—	—	—	4.8	5.4	5.7	5.3	82	31	20	14	13	—	—	1	--	5	6
Aug.	11.2	17.1	11.8	13.0	3.5	26	26.1	19	—	—	—	—	—	—	4.6	5.5	4.7	4.9	92	36	22	10	9	—	—	—	6	7	6
Sept.	7.8	13.4	9.7	10.0	1.2	27	21.0	13	—	—	—	—	—	—	6.4	7.1	6.7	6.7	204	45	14	18	16	—	—	—	1	2	12
Okt.	4.3	11.2	6.4	7.1	-0.8	30	16.3	10	—	—	—	—	—	—	3.7	3.6	4.5	3.9	12	7	17	4	4	—	—	—	3	5	3
Nov.	-2.8	0.4	-2.5	-1.8	-11.9	16	11.1	2	—	—	—	—	—	—	6.0	5.7	7.3	6.3	95	19	30	12	12	9	—	—	4	3	7
Dez.	-3.6	-0.6	-2.8	-2.4	-12.8	25	7.0	16	—	—	—	—	—	—	5.1	5.2	5.5	5.3	42	11	30	8	7	6	—	—	3	7	9
Jahr	2.3	7.6	3.5	4.2	-20.0	I	26.1	VIII	—	—	—	—	—	—	5.1	5.2	5.6	5.3	1099	57	IV	135	125	55	—	1	30	70	93

Die Abendbeobachtung erfolgt um 20³⁰ h.

Jura

La Brévine (La Châtagne)

$\lambda = 6° 38'$, $\beta = 46° 59'$, $H =$ ca. 1077^m, $h_r = 1.5^m$ — Beobachter: A. Pellaton

Jan.	-4.7	0.9	-3.7	-2.8	-20.1	17	8.8	22	87	71	83	80	33	22	7.1	7.4	6.7	7.1	204	20	3.31	20	20	13	—	—	—	2	15
Febr.	-4.5	2.0	-3.2	-2.2	-14.4	23	8.0	20	84	63	81	76	26	9 19+20	6.0	5.8	4.4	5.4	108	26	15	13	12	13	—	—	—	9	10
März	-1.0	7.4	2.4	2.8	-12.4	1	11.5	24	85	55	77	72	31	1. 8	4.7	5.7	3.6	4.7	70	24	31	13	9	3	—	—	—	8	6
April	2.6	10.8	3.9	5.3	-6.6	3	19.1	23	80	53	79	71	27	23	5.5	6.4	4.1	5.3	68	12	7	14	14	5	—	—	—	6	8
Mai	8.4	15.0	7.7	9.7	-3.0	10	22.5	19	78	49	71	66	26	30	5.5	6.5	4.5	5.5	92	12	22	17	17	4	—	2	1	7	10
Juni	10.2	15.6	7.9	10.4	2.9	17	21.4	25	75	50	70	65	32	8	5.5	6.7	4.5	5.6	149	30	1	14	14	—	—	1	—	4	7
Juli	12.4	19.0	10.8	13.3	3.9	14	25.0	31	76	46	68	63	24	5	4.8	5.8	3.9	4.8	95	22	20	18	17	—	—	2	—	6	7
Aug.	11.0	19.6	12.0	13.6	2.6	13	29.0	19	82	42	71	65	20	21	4.5	5.2	3.8	4.5	66	27	22	9	6	—	—	2	—	6	8
Sept.	9.0	15.5	9.9	11.1	-4.9	28	24.3	12	83	51	76	70	30	17	6.5	7.3	6.1	6.6	110	20	14	16	16	—	—	4	—	2	11
Okt.	4.5	13.9	6.2	7.7	-6.0	30	18.4	7	86	50	81	72	29	7	5.7	5.1	4.5	5.1	14	6	18	4	4	—	—	—	3	7	4
Nov.	-3.6	1.9	-1.7	-1.3	-18.4	18	15.2	2	87	69	86	81	26	1	7.0	7.3	7.8	7.4	127	23	28	12	11	11	—	—	1	2	17
Dez.	-5.0	0.4	-4.5	-3.4	-13.7	23	8.1	19	90	76	84	83	28	19	5.9	5.6	4.8	5.4	66	30	19	12	9	8	—	—	2	4	11
Jahr	3.3	10.2	4.0	5.4	-20.1	I	29.0	VIII	83	56	77	72	20	VIII	5.7	6.2	4.9	5.6	1100	30	XII	102	140	57		11	7	93	1[illegible]

Cernier

$\lambda = 6° 54'$, $\beta = 47° 4'$, $H_b = 800^m$, $h_r = 1.7^m$ — Beobachter: Ecole d'Agriculture

Jan.	-2.3	0.3	-1.1	-1.0	-10.0	17	6.2	23	86	79	81	82	53	19	6.1	6.0	6.2	6.1	168	30	13	15	13	10	—	—	4	7	13
Febr.	-0.4	3.8	0.4	1.1	-5.2	8	8.6	25	76	65	70	70	26	19	4.4	4.7	2.5	3.9	56	14	15	11	11	6	—	—	1	11	1
März	3.3	9.0	4.5	5.3	-3.2	8	12.6	16	79	67	66	71	41	17	4.8	4.5	3.7	4.3	87	35	14	9	9	3	—	—	—	12	8
April	6.5	11.7	7.5	8.3	-1.4	9	19.2	19	74	59	63	65	36	15	4.2	4.8	3.9	4.3	64	16	1	11	11	2	—	—	—	13	7
Mai	11.2	15.7	11.0	12.2	4.2	6	23.8	14	68	59	60	62	32	18	4.7	5.0	4.1	4.6	129	32	22	15	13	—	—	—	—	12	8
Juni	12.8	17.4	12.8	14.0	6.4	17	26.2	20	69	59	64	64	35	28	4.6	5.7	4.8	5.0	118	?	—	13	12	—	—	—	—	6	[illegible]
Juli	14.6	20.2	16.4	16.9	7.4	9	28.6	18	76	54	64	65	34	5	4.3	5.7	4.0	4.7	113	22	8	12	12	—	—	—	—	8	7
Aug.	15.6	21.8	14.9	16.8	11.4	12	30.2	20	64	53	54	57	36	20	2.9	2.9	3.3	3.0	40	18	22	8	5	—	—	1	—	14	3
Sept.	12.7	15.9	12.1	13.2	4.0	27	20.6	7.13	79	66	67	71	44	2	6.3	6.1	6.4	6.3	124	30	14	17	13	—	—	2	—	2	9
Okt.	8.8	13.8	9.3	10.3	2.2	31	19.8	1	83	66	77	75	44	15.17	6.6	5.2	4.9	5.6	13	7	19	3	3	—	—	—	4	5	9
Nov.	0.5	3.6	0.6	1.3	-3.2	11.26	13.2	3	80	70	76	75	44	10	6.6	6.3	6.2	6.4	123	23	28	11	11	8	—	—	—	6	15
Dez.	-1.1	1.2	-0.7	-0.3	-4.4	6	8.0	19	83	80	85	83	55	10.27	7.5	7.3	7.4	7.1	34	16	19	*11	*8	*7	—	—	5	4	20
Jahr	6.9	11.2	7.3	8.2	-10.0	I	30.2	VIII	76	65	69	70	42	II	5.0	5.3	4.8	5.1	1[illegible]	35	III	135	121	36		5	14	[illegible]	1[illegible]

Mont Soleil

$\lambda = 7^\circ 0'$, $\beta = 47^\circ 9'$, $H =$ ca. 1200^m, $h_r = 1.5^m$ — Beobachter: H. Kocher

1943	Luft-Temperatur 7³⁰	13³⁰	21³⁰	Mittel	Minimum	Tag	Maximum	Tag	Relative Feuchtigkeit 7³⁰	13³⁰	21³⁰	Mittel	Minim.	Tag	Bewölkung 7³⁰	13³⁰	21³⁰	Mitt.	Niederschlag Summe	Maxim.	Tag	Zahl der Tage ●	●*	●▲	*	▲	K	≡	heiter	trübe
Jan.	-2.2	0.7	-1.6	-1.2	-11.0	9	6.8	29	96	92	93	94	61	29	7.0	6.6	6.2	6.6	157	28	2	17	17	16	—	—	7	6	13
Febr.	-1.4	2.4	-0.5	0.0	-7.0	8	10.8	22	91	85	90	89	38	23	6.5	5.5	4.1	5.4	67	12	15	13	12	13	—	—	5	8	11
März	1.9	6.4	2.7	3.4	-4.5	7	10.6	3	94	85	94	91	56	1	5.6	4.9	3.2	4.6	57	15	31	10	10	3	—	—	4	10	7
April	4.7	9.3	5.3	6.2	-4.2	8	18.0	19	95	83	93	90	61	16	6.0	5.4	3.3	4.9	98	27	1	15	15	3	—	1	4	9	6
Mai	8.8	13.0	8.7	9.8	0.4	9.10	22.0	14	95	85	96	92	56	18	5.8	6.3	4.7	5.6	137	28	22	14	13	1	—	3	5	5	11
Juni	9.6	14.0	9.4	10.6	3.6	17	20.2	25	98	87	99	95	66	20	5.9	6.2	4.2	5.4	168	31	9	13	13	—	—	1	3	5	6
Juli	13.5	18.4	13.0	14.5	5.0	9	25.2	31	93	83	94	90	56	5	5.0	4.5	3.2	4.2	159	29	31	15	14	—	1	3	1	12	6
Aug.	13.5	18.9	13.8	15.0	8.0	6.31	29.0	21	94	79	92	88	49	21	4.2	4.6	3.7	4.2	56	31	22	9	7	—	—	1	1	10	3
Sept.	10.1	14.7	10.4	11.4	0.8	27	22.6	13	96	88	98	94	67	5	6.4	6.0	4.7	5.7	132	32	14	14	14	1	—	1	8	3	7
Okt.	7.4	12.8	8.0	9.0	2.8	15	17.0	7	—	—	—	—	—	—	4.7	3.9	3.0	3.9	15	8	19	3	3	—	—	—	4	10	3
Nov.	-1.5	1.3	-0.9	-0.5	-7.2	17	13.0	1	—	—	—	—	—	—	6.7	7.5	7.3	7.2	165	33	28	11	11	9	—	—	9	2	15
Dez.	-1.6	1.2	-1.2	-0.7	-6.8	23	7.6	6	—	—	—	—	—	—	6.8	5.2	6.3	6.1	42	13	19	9	6	6	—	—	8	6	12
Jahr	5.2	9.4	5.6	6.4	-11.0	I	29.0	VIII	—	—	—	—	—	—	5.9	5.6	4.5	5.3	1253	33	XI	143	135	52	1	10	59	86	102

Olten

$\lambda = 7^\circ 54'$, $\beta = 47^\circ 21'$, $H_b =$ ca. 400^m, $h_r = 1.5^m$ — Beobachter: E. Naef

Jan.	-1.1	1.3	-0.2	-0.1	-5.8	19	7.0	23.24	95	86	93	91	64	24.25	9.7	8.8	8.9	9.1	99	13	1	17	17	6	—	—	11	—	24
Febr.	0.0	5.6	2.1	2.4	-4.0	19	10.4	25	90	61	84	78	41	24	7.0	5.5	5.2	5.9	47	9	7	12	9	3	—	—	3	6	11
März	2.6	11.5	6.9	7.0	-2.6	8	15.4	24	91	50	77	73	34	24	6.7	5.3	4.9	5.6	41	14	26	11	9	—	—	1	9	7	10
April	6.7	14.3	9.8	10.1	0.2	3	22.6	19	88	52	73	71	30	17	7.0	5.4	5.2	5.9	66	13	7	14	12	3	—	—	5	6	11
Mai	11.5	18.9	14.5	14.8	3.6	10	26.2	15	80	47	70	66	28	15	6.1	5.9	5.5	5.8	63	11	24	15	13	—	—	—	2	9	12
Juni	13.5	19.8	14.9	15.8	9.0	17	25.2	25	80	51	74	68	34	5	7.7	7.1	5.5	6.8	108	19	8	13	13	—	—	1	3	—	11
Juli	16.5	24.5	18.1	19.3	10.4	9	30.4	31	81	48	73	67	33	5	5.9	5.3	4.6	5.3	125	27	19	15	14	—	—	3	4	6	7
Aug.	16.2	25.3	18.7	19.7	12.6	31	33.0	21	78	43	67	63	27	21	5.4	4.9	5.0	5.1	31	17	22	8	5	—	—	1	1	6	3
Sept.	13.1	19.3	14.5	15.3	4.0	28	26.0	12.13	90	57	83	77	35	5	8.0	7.1	5.7	6.9	119	16	19	17	16	—	—	1	4	2	10
Okt.	8.8	15.	10.4	11.1	3.0	15	19.0	3.4	96	62	89	82	44	8 17.26	7.8	6.1	6.2	7.4	5	3	8	4	1	—	—	—	26	—	13
Nov.	2.1	5.3	3.2	3.5	-4.0	11	14.0	2	90	71	85	82	45	10	9.1	8.8	8.9	8.9	116	29	13	14	12	—	—	—	10	—	25
Dez.	0.7	2.3	0.9	1.2	-4.4	24	7.0	8.20	91	81	89	87	52	15	9.9	9.4	9.3	9.5	25	7	30	8	6	2	—	—	11	—	28
Jahr	7.5	13.6	9.5	10.0	-5.8	I	33.0	VIII	87	59	80	75	27	VIII	7.7	6.6	6.2	6.8	845	29	XI	148	127	14	—	7	83	42	165

Rheinfelden

$\lambda = 7^\circ 47'$, $\beta = 47^\circ 33'$, $H = 283^m$, $h_r = 1.6^m$ — Beobachter: Frl. A. Hoffmann

Jan.	-0.3	3.1	1.2	1.3	-7.1	5	10.3	14	94	76	88	86	40	14	7.5	7.0	6.7	7.1	74	8	13	18	16	8	—	—	—	3	16
Febr.	0.6	7.2	2.0	2.9	-3.3	19	12.7	23	97	63	90	83	42	19	6.5	5.5	4.9	5.6	41	10	6	10	8	2	—	—	3	8	12
März	2.9	11.4	5.5	6.3	-2.6	9	16.3	24	90	54	87	77	35	17	6.0	5.3	3.9	5.1	30	9	26	10	7	—	—	1	3	8	7
April	8.4	15.2	9.0	10.4	0.3	3	23.9	19	88	50	87	75	31	18	5.6	5.1	4.4	5.0	50	9	19	14	12	3	—	—	—	9	8
Mai	13.1	20.0	12.9	14.7	6.3	9	26.6	22	79	47	91	72	28	17	5.2	5.1	4.8	5.0	46	12	22	12	9	—	—	—	2	9	10
Juni	15.0	20.8	14.6	16.3	9.8	17	26.7	24	81	53	86	73	37	24	5.8	6.3	5.9	6.0	99	17	14	12	11	—	—	—	1	4	9
Juli	16.7	24.4	17.3	18.9	10.5	8	30.5	31	84	49	86	73	32	30	4.7	4.8	4.3	4.6	85	16	19	10	9	—	—	—	—	10	9
Aug.	17.7	25.4	17.7	19.6	12.4	24	33.6	19	76	43	81	67	30	20	4.8	4.2	3.5	4.2	57	21	22	7	6	—	1	2	—	9	4
Sept.	13.3	19.9	14.0	15.3	5.3	28	28.9	13	96	68	94	86	41	6.7	8.0	5.8	5.6	6.5	116	22	14	21	18	—	—	1	2	2	11
Okt.	9.4	15.7	10.0	11.3	1.9	15	19.3	21	97	67	98	87	47	17	5.2	4.3	5.2	4.9	2	1	18.19	2	—	—	—	—	13	4	8
Nov.	2.4	6.0	3.5	3.8	-4.1	6	15.9	2	93	74	91	86	51	5	9.3	8.3	8.8	8.8	69	21	13	12	12	1	—	—	12	—	23
Dez.	0.8	3.1	1.7	1.8	-4.1	24	13.3	19	95	84	92	90	64	20	9.6	8.9	9.1	9.2	26	10	7	9	7	3	—	—	7	—	25
Jahr	8.3	14.[illegible]	9.1	10.2	-7.1	I	33.6	VIII	89	61	89	80	28	V	6.5	5.9	5.6	6.0	695	22	IX	137	115	17	1	4	43	66	142

Schaffhausen

$\lambda = 8^\circ 38'$, $\beta = 47^\circ 42'$, $H_b = 448^m$, $h_r = 1.5^m$ — Beobachter: Frau F. Meyer

Jan.	-2.5	0.6	-1.4	-1.2	-12.2	5	7.0	31	87	80	83	83	55	9	8.5	7.3	6.9	7.6	67	13	1	14	13	10	—	1	8	1	17
Febr.	-0.2	5.4	1.6	2.1	-4.2	19	11.0	23	79	65	71	72	48	25	7.1	6.0	3.8	5.6	28	6	15	8	7	1	—	—	2	7	10
März	2.5	11.3	5.6	6.2	-2.5	8	17.2	24	74	53	61	63	33	24	5.1	4.5	2.7	4.1	26	8	28	8	7	—	—	—	2	10	3
April	[illegible]	13.7	8.7	9.7	0.5	9	23.9	19.23	75	54	69	63	34	16.19	4.4	5.0	3.7	4.4	40	11	19	11	8	—	—	1	—	12	7
Mai	12.3	18.1	12.3	13.7	3.8	10	26.0	14.15	71	51	68	63	30	15	5.7	5.7	5.6	5.7	47	8	25	12	11	—	—	—	1	9	12
Juni	13.7	18.6	13.8	15.0	8.0	16	26.2	23	74	52	70	65	35	20	5.8	5.8	6.0	5.9	70	12	9	15	14	—	—	—	2	3	8
Juli	17.1	23.2	16.7	18.4	9.0	8	30.7	31	69	49	60	59	34	4.5 30	4.1	4.8	3.9	4.3	48	15	22	11	10	—	—	2	—	13	8
Aug.	17.6	24.5	18.3	19.7	12.3	31	34.1	19	65	45	57	56	32	20	4.5	4.3	3.4	4.1	17	5	22	6	4	—	—	1	—	10	4
Sept.	12.5	18.7	13.8	14.7	2.3	28	28.0	13	81	60	74	72	39	6	7.4	6.2	6.2	6.6	100	23	22	15	11	—	—	1	2	3	12
Okt.	8.4	14.[illegible]	9.7	10.6	-0.4	18	19.[illegible]	22	72	64	75	73	40	14	9.2	4.6	5.9	6.[illegible]	0.7	0.7	8	1	—	—	—	—	8	2	13
Nov.	1.8	4.6	2.0	2.6	-5.0	11	16.0	3	75	73	75	74	55	11	8.4	8.2	7.6	8.1	84	29	13	11	10	2	—	—	4	2	18
Dez.	-0.2	1.5	0.0	0.3	-4.2	25	6.0	28	86	84	83	84	67	19	9.5	9.0	8.7	9.1	27	9	19	7	6	3	—	—	4	—	27
Jahr	7.6	12.9	8.4	9.3	-12.2	I	34.1	VIII	76	61	70	69	30	V	6.6	6.0	5.4	6.0	555	29	XI	119	101	16	—	6	33	72	140

Thun

$= 7^\circ 37', \beta = 46^\circ 46', H_b = 565^m, h_r = 1.9^m$ — Beobachter: Eidg. Munitionsfabrik E. Stucki

943	Luft-Temperatur 7³⁰	1	21³⁰	Mittel	Minimum	Tag	Maximum	Tag	Relative Feuchtigkeit 7³⁰	13³⁰	21³⁰	Mittel	Minim.	Tag	Bewölkung 7³⁰	13³⁰	21³⁰	Mitt.	Niederschlag Summe	Maxim.	Tag	Zahl der Tage ●	●* ≥1.0	⊥	▲	⊠	—	hell	trüb
Jan.	-2.0	1.8	-0.7	-0.4	-9.1	18	7.9	14	89	67	86	81	33	14	5.9	5.6	6.1	5.9	44	12	5	15	12	6	—	—	—	9	11
Febr.	-0.6	4.7	0.9	1.5	-8.5	9	10.3	25.26	88	60	84	77	38	23.26	5.7	5.2	5.6	5.5	50	23	2	8	8	6	—	—	—	7	7
März	2.2	10.3	5.6	5.9	-3.5	22	14.1	24	92	51	78	74	29	23	5.1	5.6	4.8	5.2	49	17	28	7	7	—	—	1	—	9	7
April	6.6	13.6	9.4	9.7	-0.1	4	20.9	19	84	50	70	68	28	15	5.0	5.4	4.8	5.1	35	?	—	10	9	3	—	—	1	7	7
Mai	11.3	18.0	12.9	13.8	5.6	10	25.8	14	78	45	70	64	22	10	5.0	5.5	5.5	5.3	72	25	22	13	10	—	1	1	—	9	10
Juni	13.7	18.8	14.8	15.5	6.9	17	24.1	25	75	5[illegible]	73	66	32	6	5.8	6.3	5.8	6.0	105	34	2	12	12					4	8
Juli	15.7	22.1	17.7	18.3	9.7	9	27.5	29	76	45	70	64	24	5	5.0	4.5	3.2	4.2	114	34	19	14	13	—	—	2	—	7	8
Aug.	16.3	23.5	18.9	19.4	11.9	26	32.9	21	75	40	58	58	21	21	3.8	4.0	4.3	4.0	60	27	22	7	6	—	—	—	—	8	1
Sept.	12.3	18.4	13.5	14.4	3.9	28	25.8	13	89	55	85	76	33	5, 6	6.3	5.9	6.7	6.3	122	35	19	17	15	—	—	1	—	2	8
Okt.	8.1	13.8	9.6	10.3	2.9	17.31	18.3	5	91	61	90	81	39	17.22 26	6.2	4.6	4.2	5.0	0	0	—	—	—	—	—	—	4	6	5
Nov.	1.4	5.4	2.8	3.1	-5.3	18	13.1	2	83	62	81	75	36	14	7.0	6.5	7.3	6.9	50	18	24	8	7	2	—	—	1	3	14
Dez.	-0.5	2.2	0.2	0.5	-6.1	26	6.1	20	90	74	88	84	48	27	8.1	7.8	7.6	7.8	16	5	19	6	6	2	—	—	2	1	21
Jahr	7.0	12.7	8.8	9.3	-9.1	I	32.9	VIII	84	55	78	72	21	VIII	5.7	5.6	5.5	5.6	777	35	IX	117	105	19	1	5	8	72	107

Heiligenschwendi

$\lambda = 7^\circ 41', \beta = 46^\circ 45', H_b = 1125^m, h_r = 1.4^m$ — Beobachter: Sanatorium

Jan.	-0.8	2.5	0.2	0.5	-7.0	9	7.6	23.31	71	61	72	68	38	26.31	6.5	6.4	5.7	6.2	56	13	5	15	12	11	—	—	—	4	13
Febr.	-0.5	3.8	0.9	1.2	-5.4	9	11.0	23	75	60	72	69	35	23	6.4	5.6	4.9	5.6	68	19	2	13	11	12	—	—	—	8	12
März	2.8	8.2	4.6	5.0	-4.5	7	12.7	24	75	59	75	70	37	2	5.4	5.3	3.9	4.9	45	17	28	9	8	3	—	2	1	8	5
April	5.7	10.4	7.3	7.5	-3.1	9	19.8	22	74	61	70	68	42	5.28	5.3	6.0	3.9	5.1	63	10	8	11	10	4	—	—	—	8	9
Mai	10.1	14.6	11.3	11.6	3.4	9	22.4	14	75	58	70	68	32	10	5.1	6.4	5.6	5.7	77	15	24	11	10	—	—	1	3	8	12
Juni	11.0	14.7	11.8	12.0	2.8	17	21.2	25	79	63	77	73	38	26	6.3	6.9	6.1	6.4	112	18	9	13	12	—	—	1	1	3	10
Juli	13.7	18.2	14.8	15.1	6.0	9	24.2	31	76	61	69	69	38	5	4.7	6.2	4.8	5.2	91	15	27	16	15	—	—	1	1	6	8
Aug.	14.6	19.8	16.1	16.4	10.2	28	27.7	19	73	55	64	64	28	21	3.9	4.8	4.7	4.5	80	28	22	8	8	—	—	2	—	11	6
Sept.	11.3	15.0	12.5	12.6	3.4	28	22.3	13	85	71	83	80	48	6	6.9	7.0	5.8	6.6	137	37	19	18	17	—	—	2	6	3	11
Okt.	8.0	12.7	9.4	9.8	3.8	29	16.4	21	83	66	83	77	44	30	3.6	2.7	3.6	3.3	0.3	0.3	19	1	—	—	—	—	5	8	7
Nov.	0.1	2.9	0.9	1.1	-4.8	18	12.1	1	83	71	83	79	45	26	7.2	7.3	7.7	7.4	56	12	30	13	12	8	—	—	4	2	16
Dez.	-0.5	2.1	0.3	-0.5	-5.6	26	7.7	16	77	68	75	73	44	16	7.3	6.7	6.2	6.7	29	6	22	7	7	4	—	—	8	6	16
Jahr	6.3	10.4	7.5	7.8	-7.0	I	27.7	VIII	77	63	74	71	34	VIII	5.7	5.9	5.2	5.6	814	37	IX	135	122	42	—	9	29	75	125

Die Abendbeobachtung erfolgt um 20³⁰ h.

Adelboden

$\lambda = 7^\circ 35', \beta = 46^\circ 30', H = \text{ca. } 1345^m, h_r = 1.5^m$ — Beobachter: G. Gyger-Spori

Jan.	-2.8	2.0	-2.0	-1.2	-13.0	9	9.0	22	65	54	69	63	28	17.26	5.7	5.3	5.5	5.5	117	30	5	13	13	12	—	—	2	7	10
Febr.	-2.8	3.1	-2.3	-1.1	-11.2	18	10.0	22	68	51	67	62	26	20	4.7	4.8	4.7	4.7	79	20	2	8	8	8	—	—	2	12	10
März	0.9	7.6	2.2	3.2	-5.0	7	13.0	11	66	47	70	61	29	1	4.9	4.7	5.2	4.9	59	16	31	10	8	4	—	—	2	10	7
April	4.6	9.9	4.5	5.9	-6.0	8	20.0	19	67	49	70	62	30	5 19.23	4.7	5.0	5.6	5.1	118	34	1	12	12	8	—	—	1	7	8
Mai	9.9	14.3	8.7	10.4	-3.0	24	20.2	31	59	51	74	61	28	10	4.4	5.7	6.1	5.4	64	12	25	11	11	2	—	2	3	5	8
Juni	10.9	15.6	10.1	11.7	1.0	17	21.0	13.20 24.25	65	54	72	64	35	20	5.8	6.2	6.6	6.2	169	28	6	13	13	1	—	1	2	1	7
Juli	13.4	18.7	13.1	14.6	5.0	8	26.0	18	64	50	67	60	27	18	4.4	5.7	5.6	5.2	96	16	8	15	14	—	—	4	1	2	5
Aug.	13.7	20.0	14.1	15.5	9.0	25.28	27.4	19	63	47	66	59	25	21	3.7	4.7	4.5	4.3	90	33	22	10	9	—	—	4	4	8	1
Sept.	9.7	15.1	10.2	11.3	2.0	26.27	24.0	13	76	57	80	71	33	9	6.0	5.5	6.3	5.9	147	46	3	18	16	1	—	2	—	5	8
Okt.	5.9	12.1	6.6	7.8	2.6	29	16.0	7	72	50	78	67	37	21	4.5	4.0	4.8	4.4	0	0	—	—	—	—	—	—	1	8	2
Nov.	-2.7	1.8	-1.4	-0.9	-9.2	16.17	11.6	1	76	60	76	71	31	1	6.5	5.8	7.2	6.5	90	29	24	9	7	8	—	—	4	2	13
Dez.	-2.4	0.8	-2.4	-1.6	-9.4	26	9.0	6	71	67	72	70	33	9	5.2	4.8	4.7	4.9	42	?	—	7	7	6	—	—	3	10	9
Jahr	4.9	10.1	5.1	6.3	-13.0	I	27.4	VIII	68	53	72	64	25	VIII	5.0	5.2	5.6	5.3	1071	46	IX	126	118	50	—	13	25	77	88

Château d'Oex

$\lambda = 7^\circ 7', \beta = 46^\circ 29', H = 1010^m, h_r = 1.5^m$ — Beobachter: C. Delachaux

Jan.	-3.6	1.0	-1.9	-1.6	-12.1	9	6.9	23	85	61	80	75	35	29	5.7	6.2	6.2	6.0	135	22	2	16	16	12	—	—	—	5	11
Febr.	-3.7	3.1	-1.7	-1.0	-11.7	9	8.4	22	80	48	80	69	33	23.24	5.1	5.0	5.0	5.0	52	14	1	11	10	8	—	—	—	10	8
März	0.1	9.0	2.7	3.6	-4.0	1	13.0	12	85	42	80	69	26	8.23	4.9	5.2	3.7	4.6	62	12	13	13	12	3	—	—	—	10	7
April	3.4	11.9	5.1	6.4	-5.0	10	19.6	23	84	44	79	69	22	28	5.1	5.7	3.1	4.6	98	21	7	12	12	4	—	—	—	11	7
Mai	8.9	16.7	9.4	11.1	-0.8	10	24.0	14	70	43	79	64	26	30	5.2	6.0	4.4	5.2	115	30	24	14	13	1	1	1	1	11	10
Juni	10.2	16.9	10.6	12.1	1.4	17	24.0	25	76	46	80	67	25	26	5.6	6.7	4.9	5.7	167	29	6	15	13	1	2	3	—	5	9
Juli	12.2	20.6	13.5	15.0	5.2	9	26.5	18	79	41	77	66	21	5.18	4.8	5.7	4.1	4.9	148	30	8	13	11	—	—	3	—	10	8
Aug.	12.4	22.1	14.3	15.8	8.4	26	30.0	19	78	37	76	64	15	21	3.6	4.1	3.8	3.8	79	25	22	7	6	—	2	5	—	10	3
Sept.	9.6	16.7	11.4	12.3	2.6	27	24.2	13	91	54	91	79	29	6	6.6	6.9	6.1	6.5	142	33	22	14	13	—	—	2	—	4	11
Okt.	5.3	13.9	7.4	8.5	1.0	30	16.8	2.4.11	94	49	91	78	35	30	5.0	3.0	2.6	3.8	5	3	25	2	2	—	—	—	2	12	3
Nov.	-2.0	3.2	-0.2	0.2	-8.3	18	13.4	2	85	60	85	77	36	1	6.9	6.0	7.2	6.7	116	26	24	10	10	7	—	—	1	4	12
Dez.	-3.2	1.0	-2.0	-1.5	-9.5	26	8.9	19	84	59	83	75	28	19	5.7	4.6	4.9	5.1	40	11	19	8	8	5	—	—	—	8	11
Jahr	4.1	11.3	5.7	6.7	-12.1	I	30.0	VIII	83	49	82	71	15	VIII	5.4	5.5	4.7	5.2	1150	33	IX	135	120	41	5	14	4	100	[illegible]

Marsens

$\lambda = 7° 4'$, $\beta = 46° 39'$, $H_b = 727^m$, $h_r = 1.5^m$ — Beobachter: E. Baeriswyl

1943	Luft-Temperatur 7.30	13.30	21.30	Mittel	Minimum	Tag	Maximum	Tag	Relative Feuchtigkeit 7.30	13.30	21.30	Mittel	Minim.	Tag	Bewölkung 7.30	13.30	21.30	Mittl.	Niederschlag Summe	Maxim.	Tag	Zahl der Tage ●	●* Nebel	*	▲	☈	≡	hell	trüb
Jan.	-2.3	2.1	-0.6	-0.3	-9.8	10	7.6	30	95	85	94	91	65	30	6.0	6.1	5.0	5.7	106	17	5	19	17	8	—	—	—	7	11
Febr.	-1.5	4.1	0.6	1.0	-10.0	9	9.6	26	95	81	92	89	64	6	4.8	4.3	3.1	4.1	71	20	1. 2	10	10	6	—	—	1	11	5
März	1.6	9.4	4.7	5.1	-5.2	8	13.6	27	97	77	93	89	57	23	4.5	4.6	3.4	4.2	60	13	14	11	9	1	—	2	—	11	5
April	5.7	12.4	7.8	8.4	-0.8	9	19.0	23	95	75	89	86	57	5	4.7	5.3	2.7	4.2	82	18	19	12	12	4	—	—	—	12	6
Mai	10.9	16.6	11.9	12.8	3.4	10	23.6	30	93	75	89	86	55	10	5.0	5.5	4.7	5.1	99	29	24	13	9	1	—	—	2	10	10
Juni	12.4	18.3	13.7	14.5	5.6	17	23.8	25	94	73	87	85	55	26	5.4	5.5	4.7	5.2	165	30	16	13	12	—	—	2	1	8	8
Juli	15.0	21.3	16.2	17.2	9.4	9	26.6	18	94	74	89	86	55	5	4.4	4.4	3.2	4.0	108	21	22	13	12	—	—	3	—	14	6
Aug.	15.2	21.9	16.6	17.6	11.2	30	29.2	21	92	71	87	83	56	18.21	3.6	3.9	3.0	3.5	78	30	22	6	6	—	2	2	1	12	2
Sept.	11.2	17.2	13.1	13.7	1.2	28	23.8	13	98	82	96	92	61	2	6.2	6.1	5.7	6.0	210	34	14	16	14	—	—	2	3	6	11
Okt.	6.6	13.7	9.0	9.6	0.8	30	16.8	3. 4	99	84	99	94	68	22	6.4	4.1	3.6	4.7	6	6	19	1	1	—	—	—	10	8	7
Nov.	0.5	4.2	1.9	2.1	-5.8	11	14.2	2	95	88	96	93	73	2	7.2	7.3	6.7	7.1	98	33	24	11	10	5	—	—	4	4	16
Dez.	-1.7	1.7	-0.5	-0.2	-8.2	26.30	7.8	19	98	92	98	96	65	19	7.2	6.8	6.5	6.8	37	17	22	7	5	4	—	—	9	4	15
Jahr	6.1	11.9	7.9	8.5	-10.0	II	29.2	VIII	95	79	92	89	55	V/VI VII	5.4	5.3	4.4	5.0	1120	34	IX	132	117	29	2	11	31	107	102

Romont

$\lambda = 6° 55'$, $\beta = 46° 41'$, $H_b = 764^m$, $h_r = 1.5^m$ — Beobachter: Couvent des Capucins

Jan.	-1.6	1.3	-0.1	-0.1	-8.2	18	7.2	23	87	73	87	82	50	26	6.6	6.2	5.3	6.0	111	15	5	15	13	8	—	—	1	8	13
Febr.	-0.5	3.6	0.8	1.2	-8.6	9	8.2	25	85	68	73	75	46	26	4.5	5.1	3.4	4.3	40	13	2	7	7	5	—	—	—	11	5
März	2.2	8.7	5.3	5.4	-4.0	8	12.0	24	86	66	78	77	44	11	3.7	4.0	3.4	3.7	44	12	26	8	7	3	1	1	—	11	3
April	6.0	11.7	8.4	8.6	-1.2	8	19.4	22	84	61	73	73	42	3	4.2	3.8	3.2	3.7	44	10	23	8	8	1	—	—	1	16	7
Mai	10.4	15.5	12.3	12.6	1.2	10	22.8	30	79	63	74	72	43	30	4.7	4.3	4.2	4.4	88	29	24	9	8	—	—	1	2	13	8
Juni	12.3	17.6	13.9	14.4	6.8	5	24.4	26	82	60	73	72	44	5	4.9	3.4	4.1	4.1	110	22	16	12	12	—	—	—	1	12	7
Juli	14.1	20.8	16.1	16.8	8.0	9	26.5	31	86	56	72	71	22	8	4.1	3.9	3.7	3.9	114	33	19	13	13	—	—	2	—	14	6
Aug.	15.1	22.2	17.2	17.0	12.0	22.24 28.30 31	28.3	19	79	55	70	68	40	19.21	3.1	3.0	2.9	3.0	45	21	11	5	4	—	—	2	—	10	1
Sept.	11.5	16.9	13.4	13.8	4.0	28	24.0	13	89	65	85	80	49	20	6.5	5.7	6.2	6.1	164	31	14	14	12	—	—	—	4	4	11
Okt.	8.3	12.7	9.5	10.0	5.0	27	15.2	23	91	71	87	83	52	23	6.7	4.2	4.3	5.1	8	6	19	2	2	—	—	—	5	4	6
Nov.	1.0	3.4	1.6	1.9	-5.2	19	13.3	2	86	75	87	83	55	14	7.8	6.4	6.8	7.0	84	37	24	12	11	6	—	—	5	3	5
Dez.	-1.0	1.1	-0.7	-0.3	-4.8	16	7.0	19	90	81	90	87	62	31	8.3	6.9	7.5	7.6	32	14	19	8	5	3	—	—	10	2	17
Jahr	6.5	11.3	8.1	8.5	-8.6	II	28.3	VIII	85	66	79	77	22	VII	5.4	4.7	4.6	4.9	884	37	XI	113	102	26	1	6	29	108	99

Südwestschweiz

Martigny

$\lambda = 7° 04'$, $\beta = 46° 6'$, $H_b = 477.7^m$, $h_r = 1.5^m$ — Beobachter: E. Bachmann

Jan.	-1.7	1.5	0.4	0.2	-8.4	10	7.8	24	86	83	84	84	67	29	6.0	5.8	5.4	5.7	102	21	5	11	11	7	—	—	1	8	10
Febr.	-0.1	5.1	2.7	2.6	-5.2	9	9.9	23	82	74	76	77	49	28	4.7	4.3	3.7	4.2	59	16	2	6	6	3	—	—	1	13	8
März	4.8	12.3	9.8	9.2	0.7	7	16.7	27	69	57	58	61	39	8. 9	5.4	5.0	4.0	4.8	13	6	31	5	3	—	—	—	—	13	9
April	8.4	14.6	12.2	11.8	0.0	9.10	23.7	23	74	67	66	69	41	18.28	4.6	5.1	3.0	4.2	33	11	7	8	7	2	—	—	—	11	6
Mai	13.0	19.3	15.6	15.9	6.0	10	26.7	21	*72	*66	*68	*69	?	—	4.9	5.0	4.5	4.8	70	32	24	7	6	—	—	—	—	11	9
Juni	15.1	20.5	17.2	17.5	8.4	17	29.7	25	74	62	63	66	41	26	4.5	5.2	4.9	4.9	87	23	6	11	11	—	—	—	—	7	7
Juli	18.2	23.2	19.9	20.3	11.1	9	28.0	17	71	56	63	63	35	4	4.6	4.9	4.7	4.7	47	16	31	11	10	—	—		—	7	6
Aug.	18.3	24.8	21.7	21.6	13.4	26	33.5	18	67	50	53	57	34	17. 21	2.9	3.2	3.0	3.0	29	18	22	5	4	—	—	—	—	11	1
Sept.	14.7	19.7	16.5	16.8	6.5	30	27.4	12.13	81	63	70	71	38	6	6.4	6.2	5.1	5.9	71	17	19	12	11	—	—	—	—	5	11
Okt.	8.6	16.1	11.8	12.1	3.0	30	20.0	12	81	60	69	70	41	17.18 19.20	4.7	2.5	2.4	3.2	0	0	—	—	—	—				11	3
Nov.	1.9	5.5	3.5	3.6	-5.0	11	15.0	2	82	71	78	77	50	8. 9 10.30	6.6	5.7	6.5	6.3	80	32	24	7	7	—	—	—		3	11
Dez.	-0.4	2.9	1.4	1.3	-6.0	26	7.1	19	82	76	78	79	51	19	5.9	5.2	5.1	5.4	27	13	19	6	6	1	—	—	—	8	12
Jahr	8.4	13.8	11.1	11.1	-8.4	I	33.5	VIII	77	65	69	70	?	—	5.1	4.8	4.4	4.8	618	32	XI	89	82	13	—	—	2	108	93

Leukerbad

$\lambda = 7° 37'$, $\beta = 46° 23'$, $H_b = 1415^m$, $h_r = 1.1^m$ — Beobachter: Schw. G. Gränicher

Jan.	-3.9	0.9	-3.2	-2.4	-11.0	9	7.5	22	68	53	73	65	18	25	5.4	5.7	5.1	5.4	152	25	5	15	15	14	—	—	1	7	11
Febr.	-2.9	2.9	-1.8	-0.9	-9.0	8. 9	9.5	23	57	39	57	51	19	9	4.9	4.2	3.9	4.3	46	12	2	7	7	7	—	—	—	12	7
März	1.1	7.2	2.3	3.2	-4.0	7	12.0	31	53	35	55	48	22	10	5.3	4.7	4.5	4.8	31	16	31	7	7	4	—	—	—	8	9
April	3.1	10.2	4.4	5.5	-7.0	8	18.0	23	61	39	52	51	19	30	3.6	4.8	3.2	3.9	70	21	1	10	9	4	—	—	—	12	6
Mai	9.8	15.1	9.8	11.1	-1.0	9	23.0	18	52	36	55	48	16	15	5.1	5.2	4.5	4.9	62	13	25	9	9	1	—	2	3	11	11
Juni	10.9	15.4	1[illegible]	11.8	4.0	4	23.0	27	62	46	66	58	20	20	4.9	6.2	4.8	5.3	117	24	9	14	12	1	—	1	2	9	9
Juli	12.7	18.5	13.[illegible]	14.3	5.9	8. 9	25.0	18.31	65	39	58	54	15	18	4.4	4.8	3.0	4.3	49	15	20	12	10	—	—	5	1	10	7
Aug.	*13.8	20.8	14.4	15.9	8.0	26	27.0	20	55	37	50	47	18	9	3.1	3.0	3.3	3.1	47	14	22	7	7	—	—	1	1	9	1
Sept.	9.8	16.1	10.9	11.9	2.0	26.27	22.0	12	80	51	77	69	25	17	5.5	5.9	4.7	5.4	38	23	19	7	6	—	—	3	7	3	5
Okt.	6.0	13.5	7.7	8.7	2.0	15	17.0	11	70	41	63	58	27	7.18	2.6	3.6	2.5	2.9	0	0	—	—	—	—	—	—	2	13	1
Nov.	-1.7	2.9	-1.2	[illegible]	-9.[illegible]	17	12.2	2	72	54	76	67	27	10	5.7	5.3	5.1	5.4	129	37	24	7	7	6	—	—	3	7	7
Dez.	-2.0	2.6	-1.7	-0.7	-9.0	25	7.0	6.15 16.17	59	45	59	54	26	26	5.3	4.2	2.9	4.1	26	12	19	3	3	3	—	—	—	10	7
Jahr	4.7	10.5	5.4	6.5	-11.0	I	27.0	VIII	63	43	62	56	15	VII	4.7	4.8	4.0	4.5	707	37	XI	98	92	40	—	12	20	111	81

Grächen

$\lambda = 7° 51', \beta = 46° 12', H_b = 1629^m, h_r = 1.5^m$

Beobachter: St. Venetz

1943	Luft-Temperatur 7³⁰	13³⁰	21³⁰	Mittel	Minimum	Tag	Maximum	Tag	Relative Feuchtigkeit 7³⁰	13³⁰	21³⁰	Mittel	Minim.	Tag	Bewölkung 7³⁰	13³⁰	21³⁰	Mitt.	Niederschlag Summe	Maxim.	Tag	Zahl der Tage ●	●* >1.0	*	▲	⌇	≡	helle	trübe
Jan.	-5.1	-1.1	-4.3	-3.7	-12.9	1	6.5	23	—	—	—	—	—	—	4.7	4.9	4.8	4.8	51	?	—	9	8	9	—	—	—	8	7
Febr.	-3.7	1.5	-2.2	-1.6	-9.9	9	9.9	20	—	—	—	—	—	—	4.8	4.7	2.5	4.0	2	1	1	2	1	2	—	—	—	11	4
März	-0.6	5.5	1.3	1.9	-5.7	7	9.7	4	—	—	—	—	—	—	5.3	5.0	3.9	4.7	24	6	21	4	4	1	—	—	1	6	5
April	2.0	8.6	4.7	5.0	-6.1	9	13.9	17.19	—	—	—	—	—	—	4.7	4.6	2.9	4.1	16	?	—	6	6	2	—	—	—	10	5
Mai	6.7	13.5	9.7	9.9	-3.4	10	21.3	15	—	—	—	—	—	—	4.9	5.7	5.2	5.3	22	?	—	*8	*7	—	—	—	1	10	10
Juni	8.2	14.4	10.1	10.7	1.5	4	20.9	25	—	—	—	—	—	—	6.4	5.7	5.1	5.7	60	17	17	8	8	—	—	—	—	4	4
Juli	10.8	17.8	13.2	13.8	1.9	9	23.1	17	—	—	—	—	—	—	5.2	5.6	5.0	5.3	26	7	22	6	6	—	—	—	—	8	8
Aug.	12.3	18.9	15.2	15.4	7.1	26	26.8	19	—	—	—	—	—	—	3.9	4.0	3.2	3.7	47	21	22	6	6	—	—	—	—	11	3
Sept.	8.8	14.4	10.3	11.0	1.2	29	20.7	12.13	—	—	—	—	—	—	7.6	6.6	6.0	6.7	50	18	19	10	10	1	—	—	—	3	12
Okt.	5.2	11.5	7.1	7.7	0.0	16	15.7	10.11	—	—	—	—	—	—	3.2	3.8	2.1	3.0	2	2	17	1	1	—	—	—	—	14	
Nov.	-3.3	0.6	-2.7	-2.0	-9.9	17	10.7	3	—	—	—	—	—	—	6.1	5.4	4.8	5.4	52	27	20	7	7	7	—	—	—	6	9
Dez.	-3.3	0.9	-2.8	-2.0	-10.5	25	6.2	6	—	—	—	—	—	—	4.7	4.7	4.0	4.5	11	6	19	3	3	1	—	—	—	6	4
Jahr	3.2	8.9	5.0	5.5	-12.9	I	26.8	VIII	—	—	—	—	—	—	5.1	5.1	4.1	4.8	363	27	XI	70	67	23	—	—	2	97	71

Zermatt

$\lambda = 7° 45', \beta = 46° 8', H_b = 1610^m, h_r = 0.8^m$

Beobachter: G. Brantschen

Jan.	-7.7	-0.1	-6.5	-5.2	-15.6	9	7.3	22	71	53	72	65	34	4	4.2	5.2	3.8	4.4	43	5	2	11	7	11	—	—	3	9	6
Febr.	-6.6	2.9	-4.9	-3.4	-14.4	9	9.8	22	65	44	64	58	31	20	3.9	3.2	2.5	3.2	18	6	2	8	4	8	—	—	—	14	2
März	-1.5	7.2	0.6	1.7	-8.0	7	12.6	31	71	46	69	62	35	28	4.4	3.7	4.4	4.2	37	26	31	7	4	4	—	—	2	10	5
April	0.9	11.4	3.5	4.8	-7.2	8	17.0	18	68	40	60	56	26	17	4.0	3.8	1.9	3.2	29	11	7	6	6	3	—	—	—	14	2
Mai	6.7	15.5	7.1	9.1	1.0	9	23.2	15	68	44	69	60	30	14.30	4.0	4.7	4.3	4.3	34	12	24	9	7	2	—	—	1	12	8
Juni	8.3	17.1	8.6	10.7	1.0	17	23.7	25	72	45	69	62	28	26	4.9	4.9	5.1	5.0	66	18	17	11	10	2	—	1	3	8	8
Juli	10.0	19.6	10.9	12.8	3.3	9	25.3	18	72	41	68	60	27	18	3.9	5.0	5.2	4.7	29	7	2	12	9	—	—	1	1	8	3
Aug.	9.0	21.0	11.3	13.2	5.0	24.26	28.0	19	75	42	67	61	26	31	2.5	2.8	2.2	2.5	49	20	22	9	6	—	—	1	2	15	1
Sept.	7.1	15.9	8.3	9.9	1.7	30	22.1	7	82	52	79	71	26	20	5.8	6.0	5.0	5.6	95	15	10	18	16	1	—	2	7	4	9
Okt.	2.7	13.9	4.7	6.5	-2.3	16	18.0	11	77	41	72	63	33	21.30	2.6	3.3	2.6	2.8	5	3	17	3	2	—	—	—	1	14	1
Nov.	-4.6	2.8	-3.7	-2.3	-12.4	23	14.0	3	75	50	73	66	29	10.14	5.3	4.1	4.4	4.6	75	37	20	8	6	8	—	—	4	11	6
Dez.	-6.5	1.1	-5.7	-4.2	-13.7	2	6.0	6.17	71	46	68	62	34	11	3.7	3.7	3.9	3.8	17	5	6	7	5	6	—	—	2	10	2
Jahr	1.5	10.7	2.9	4.5	-15.6	I	28.0	VIII	72	45	69	62	26	IV VIII IX	4.1	4.2	3.8	4.0	497	37	XI	109	82	45	—	5	26	129	53

Saas-Fee

$\lambda = 7° 56', \beta = 46° 7', H = \text{ca. } 1800^m, h_r = 1.5^m$

Beobachter: Ad. Imseng

Jan.	-6.6	-2.3	-6.1	-5.3	-14.6	1	4.0	21	56	48	56	53	20	25	4.4	4.2	3.6	4.1	55	14	5	11	11	11	—	—	—	10	5
Febr.	-5.5	1.3	-4.7	-3.4	-12.2	5	9.1	22	47	38	48	44	14	19.23	3.8	3.3	2.2	3.1	15	4	15	5	5	5	—	—	—	13	4
März	-1.0	5.1	0.0	1.3	-6.3	7	10.2	3	50	34	50	45	14	31	2.9	3.5	3.6	3.3	20	8	31	5	4	4	—	—	—	11	4
April	2.1	7.8	3.3	4.1	-7.5	8	14.6	18	49	32	42	41	14	30	3.2	3.1	1.9	2.7	22	7	21	6	5	2	—			16	2
Mai	7.4	12.3	7.2	8.5	-1.2	10	21.0	15	47	32	48	42	14	13.14	3.9	4.7	3.5	4.0	39	8	7	10	8	2	—	—	—	11	6
Juni	8.1	13.5	8.6	9.7	1.0	17	21.2	25	58	32	52	47	14	8	4.3	4.6	4.5	4.5	83	25	17	11	10	1	—	—	—	7	4
Juli	11.2	16.5	10.6	12.2	4.1	9.10	23.2	30	57	31	54	47	15	12.18	3.5	4.7	4.7	4.3	51	13	20	14	13	1	—	—	—	9	2
Aug.	11.5	18.5	11.6	13.3	5.4	29	25.5	18	58	30	48	45	12	31	2.6	2.8	2.2	2.5	89	49	22	8	6	—	—	—	1	16	1
Sept.	8.0	13.8	8.6	9.7	0.5	27	20.4	13	71	39	65	58	16	5	5.3	5.2	4.7	5.1	75	22	17	13	12	1	—	—	1	5	6
Okt.	4.0	10.8	5.3	6.4	-1.0	16	15.2	21	57	32	53	47	20	21	2.5	3.4	2.7	2.9	19	11	17	3	3		—	—	—	13	2
Nov.	-4.0	0.4	-3.9	-2.8	-12.7	17	11.1	3	60	44	58	54	16	11	4.4	4.4	4.6	4.5	69	19	20	9	9	9	—	—	1	10	7
Dez.	-5.2	-1.0	-4.7	-3.9	-13.0	25	4.0	6	48	37	46	44	20	28.31	3.7	3.4	3.1	3.4	22	9	6	4	4	3	—	—	—	11	1
Jahr	2.5	8.1	3.0	4.2	-14.6	I	25.5	VIII	55	36	52	47	12	VIII	3.7	3.9	3.4	3.7	559	49	VIII	99	90	39	—	—	3	132	44

Graubünden

Seewis

$\lambda = 9° 38', \beta = 46° 59', H = 953.8^m, h_r = 1.5^m$

Beobachter: Frau B. Janett

Jan.	-2.9	2.0	-1.9	-1.2	-12.0	9.10	9.0	23	78	58	80	72	34	18	4.9	5.1	5.4	5.1	112	25	2	16	11	14	—	—	2	7	9
Febr.	-1.6	4.7	-0.5	0.5	-7.2	6	11.4	23	76	53	79	69	33	6	4.6	4.1	4.4	4.4	47	12	13	12	10	10	—	—	1	11	6
März	2.1	10.2	3.7	5.0	-2.4	8	14.1	28	74	44	73	64	30	5	2.8	3.0	3.9	3.2	49	26	31	7	5	1	—	—	1	15	3
April	5.5	11.9	5.8	7.2	-3.0	8	20.0	19	72	59	75	69	29	5	4.3	4.6	4.4	4.4	141	61	1	13	10	6	—	—	—	10	6
Mai	10.6	16.0	9.6	11.4	0.2	9	22.4	30	72	50	79	67	29	13	5.8	5.0	4.4	5.1	139	38	24	16	11	1	—	—	1	9	8
Juni	11.4	17.5	10.9	12.7	5.2	16	26.1	20	78	55	86	73	27	20	6.0	5.2	6.5	5.9	190	38	9	19	16	—	—	—	3	6	9
Juli	14.5	21.0	14.1	16.0	6.2	9	27.3	30	73	51	81	68	33	20	4.3	4.5	4.7	4.5	97	15	8	15	13	—	—	1	1	11	9
Aug.	15.6	21.9	15.7	17.2	9.0	28	30.0	19	70	51	73	65	29	19.21	3.7	3.7	3.6	3.7	49	16	11	11	10	—	—	—	1	13	4
Sept.	11.3	17.0	12.0	13.1	3.4	27	27.1	13	82	57	85	75	33	9	6.4	5.4	5.3	5.7	195	54	25	17	15	—	—	—	3	5	8
Okt.	8.0	14.9	9.3	10.4	3.0	16	18.3	6	81	53	82	72	35	31	4.7	4.8	5.8	5.1	0	0		—	—	—	—	—	—	13	4
Nov.	-0.5	3.8	0.1	0.9	-5.4	20	16.3	1	90	67	85	81	36	1	6.9	6.3	6.7	6.6	78	20	30	14	10	10	—		10	3	11
Dez.	-1.1	2.9	-0.7	0.1	-7.2	26	10.0	17	77	59	80	72	30	15	4.2	4.6	5.0	4.6	29	8	30	8	7	5	—	—	2	7	5
Jahr	6.1	12.0	6.5	7.8	-12.0	I	30.0	VIII	77	55	80	71	27	VI	4.9	4.7	5.0	4.9	1126	61	IV	148	118	47	—	1	25	110	82

Schiers

$\lambda = 9° 41'$, $\beta = 46° 58'$, $H = 670^m$, $h_r = 1.0^m$ — Beobachter: M. Widmaier

1943	Luft-Temperatur 7³⁰	13³⁰	21³⁰	Mittel	Minimum	Tag	Maximum	Tag	Relative Feuchtigkeit 7³⁰	13³⁰	21³⁰	Mittel	Minim.	Tag	Bewölkung 7³⁰	13³⁰	21³⁰	Mitt.	Niederschlag Summe	Maxim.	Tag	Zahl der Tage ●	●≥1.0	✳	▲	K	≡	hell	trüb
Jan.	-3.8	0.4	-2.2	-1.9	-15.5	10	5.6	31	94	84	94	91	65	29	6.1	6.9	5.5	6.2	79	19	2	8	8	7	—	—	—	4	12
Febr.	-2.1	6.2	0.2	1.1	-8.2	6	12.8	23	95	64	89	83	43	20.22 23.25	4.9	4.8	4.1	4.6	29	6	4	9	8	8	—	—	3	9	5
März	1.9	12.4	6.1	6.6	-2.8	8	16.2	25	91	50	76	72	36	14.24	3.6	3.8	3.8	3.7	39	23	31	5	5	1	—		—	12	5
April	4.7	14.1	8.7	9.0	-0.8	9	23.0	19	88	54	76	73	33	5	5.1	5.7	5.1	5.3	94	32	1	12	11	7	—	1	1	8	9
Mai	10.0	17.8	12.2	13.1	2.4	9	25.2	14	87	56	77	73	36	12	6.0	6.1	5.0	5.7	108	29	9	14	10	1	—	1	2	6	11
Juni	11.7	18.2	13.5	14.2	6.4	5	26.2	20	87	61	83	77	33	20	6.7	6.3	6.8	6.6	157	28	9	17	17	—	—	1	—	4	10
Juli	14.6	21.6	16.6	17.3	8.4	9	29.0	31	84	57	79	73	40	4	4.8	5.7	4.8	5.1	84	14	21	13	12	—	—	3	2	7	8
Aug.	15.0	24.3	18.2	18.9	9.2	29	34.2	19	85	50	71	69	33	19	3.9	4.7	4.7	4.4	32	8	22	8	7	—	—	2	—	10	5
Sept.	11.8	18.9	14.6	15.0	5.0	28	28.4	13	92	64	81	79	32	9	6.6	5.9	6.5	6.3	186	56	25	15	14	—	—	2	4	3	9
Okt.	7.1	16.8	10.6	11.3	3.0	29.30	22.0	6	94	60	85	80	43	21	3.6	2.4	3.2	3.1	0	0	—	—	—	—	—	—	1	13	
Nov.	0.3	4.3	1.6	1.9	-4.0	18	16.0	1	93	79	87	86	45	3	7.0	7.0	7.0	7.0	61	20	30	11	8	7	—	—	—	2	15
Dez.	-2.0	0.8	-1.2	-0.9	-7.6	26	5.2	8	94	88	94	92	68	26	5.4	5.5	5.4	5.4	19	4	19	9	5	4	—	—	1	7	7
Jahr	5.8	13.0	8.2	8.8	-15.5	I	34.2	VIII	90	64	83	79	32	IX	5.3	5.4	5.2	5.3	888	56	IX	121	105	35	—	10	14	85	96

Flims

$\lambda = 9° 17'$, $\beta = 46° 50'$, $H =$ ca. 1100^m, $h_r = 1.5^m$ — Beobachter: Erziehungsinstitut Briner

Jan.	-3.1	2.5	-1.8	-1.0	-12.6	10	9.8	23	74	58	71	68	32	19	6.4	7.1	7.0	6.8	112	28	2	9	9	9	—	—	10	5	15
Febr.	-2.1	4.9	-0.2	0.6	-8.3	6.9	13.9	23	71	50	71	64	29	22	5.1	5.1	4.5	4.9	37	12	13	9	8	9	—	—	3	9	8
März	1.8	8.9	3.8	4.6	-4.2	8	13.9	25	67	47	66	60	26	5	4.7	5.3	5.5	5.2	51	22	31	5	4	4	—	—	2	5	8
April	6.8	10.5	5.3	7.0	-4.5	8	18.1	19	65	53	74	64	35	18.15 16	5.3	5.2	4.8	5.1	126	32	7	13	12	6	—	—	4	9	9
Mai	9.6	16.4	10.5	11.7	0.0	9	23.2	14	72	52	73	66	27	30	6.0	5.5	6.8	6.1	90	33	24	12	9	1	—	1	4	5	9
Juni	10.9	17.5	10.8	12.5	4.2	16	24.4	25	79	57	80	72	31	20	6.8	7.1	6.9	6.9	132	?	—	15	13	—	—	1	4	1	13
Juli	13.6	19.9	14.9	15.8	5.5	9	26.7	31	75	52	74	67	37	20.26	5.1	5.8	5.9	5.6	83	14	8	15	14	—	—	2	4	5	11
Aug.	14.7	22.0	16.2	17.3	9.7	28.29	29.9	20	76	52	68	65	33	20	4.8	5.5	3.9	4.7	59	29	22	10	9	—	—	1	4	7	4
Sept.	10.9	17.1	12.4	13.2	1.7	28	27.0	13	84	62	76	74	35	9	6.8	6.7	6.3	6.6	211	67	25	17	17	2	—	4	8	3	11
Okt.	7.8	14.9	9.3	10.3	2.6	16	18.7	23	76	54	76	69	36	6	3.7	4.3	4.5	4.2	0	0	—	—	—	—	—	—	1	8	4
Nov.	-0.5	3.7	0.1	0.9	-5.1	19	15.6	2	81	67	82	77	41	1.21	7.5	7.2	7.2	7.3	65	22	30	13	9	7	—	—	6	—	12
Dez.	-0.4	3.5	-0.1	0.7	-7.8	26	9.9	17	69	58	70	66	36	15	5.4	5.7	4.8	5.3	35	10	1	7	6	5	—	—	3	7	8
Jahr	5.6	11.8	6.8	7.8	-12.6	I	29.9	VIII	74	55	73	67	26	III	5.6	5.9	5.7	5.7	1001	67	IX	125	110	43	—	9	53	64	112

Tschiertschen (ob Chur)

$\lambda = 9° 36'$, $\beta = 46° 49'$, $H = 1351^m$, $h_r = 1.2^m$ — Beobachter: Gg. Meister

Jan.	-3.7	0.3	-3.4	-2.5	-12.7	9	8.9	29	—	—	—	—	—	—	5.8	5.6	5.7	5.7	66	22	2	12	10	12	—	—	—	6	9
Febr.	-2.6	2.2	-2.1	-1.1	-9.9	8	9.3	23	—	—	—	—	—	—	4.9	4.2	4.4	4.5	23	5	13	9	8	9	—	—	—	9	6
März	1.9	6.3	1.8	3.0	-5.1	7	11.7	25	—	—	—	—	—	—	3.6	3.8	4.7	4.0	24	12	31	5	3	2	—	—	—	11	8
April	5.1	8.8	3.6	5.3	-7.5	8	16.7	23	—	—	—	—	—	—	5.1	5.3	4.6	5.0	105	34	1	13	11	6	—	1	—	8	7
Mai	9.5	12.8	7.3	9.2	-1.9	9	20.0	14	—	—	—	—	—	—	5.2	5.9	5.0	5.4	98	30	9	14	11	1	—	—	—	10	12
Juni	10.4	13.3	8.7	10.3	2.7	16	20.3	20.21	—	—	—	—	—	—	5.8	5.6	7.2	6.2	148	19	15	18	18	—	—	—	—	3	10
Juli	14.0	16.9	12.3	13.9	3.0	9	23.9	31	—	—	—	—	—	—	4.9	5.3	4.6	4.9	97	27	8	15	15	—	—	2	2	6	8
Aug.	15.1	18.3	13.9	15.3	7.6	28	26.6	19	—	—	—	—	—	—	3.8	4.9	3.8	4.2	45	9	11	12	9	—	—	2	1	11	7
Sept.	10.4	13.9	10.5	11.3	1.0	28	23.6	13	—	—	—	—	—	—	6.4	6.7	5.9	6.3	194	53	25	19	16	—	—	1	1	6	11
Okt.	6.7	11.9	7.3	8.3	0.6	16	16.8	23	—	—	—	—	—	—	2.7	3.4	3.9	3.3	0	0	—	—	—	—	—	—	—	10	1
Nov.	-2.4	1.7	-1.9	-1.1	-9.3	26	12.3	2	—	—	—	—	—	—	6.3	6.4	6.7	6.5	44	14	30	12	8	11	—	—	3	1	8
Dez.	-1.9	1.4	-2.1	-1.2	-11.0	25	8.8	6	—	—	—	—	—	—	5.1	4.7	5.1	5.0	22	7	30	6	6	6	—	—	1	9	8
Jahr	5.2	9.0	4.7	5.9	-12.7	I	26.6	VIII	—	—	—	—	—	—	5.0	5.2	5.1	5.1	866	53	IX	135	115	47	—	6	8	90	95

St. Moritz

$\lambda = 9° 50'$, $\beta = 46° 30'$, $H_b =$ ca. 1853^m, $h_r = 2.7^m$ — Beobachter: J. Tuena

Jan.	-8.8	-1.7	-7.3	-6.3	-17.2	10	4.5	29	84	64	80	76	32	18	5.4	4.8	3.7	4.6	25	7	2	10	10	10	—	—	—	6	3
Febr.	-8.0	1.1	-6.0	-4.7	-15.8	9	8.0	22	78	58	74	70	26	6	3.3	3.9	2.7	3.3	15	5	2	7	7	7	—	—	—	14	4
März	-4.3	4.2	-2.2	-1.1	-11.4	7.8	10.9	3	94	66	88	83	31	31	3.3	3.4	3.6	3.4	23	6	13	8	6	7	—	—	—	12	2
April	0.4	8.3	1.4	2.9	-8.6	8	14.8	25	82	54	82	73	23	17	4.2	4.8	4.6	4.5	22	5	7	9	7	4	—	—	—	9	8
Mai	6.0	12.1	5.5	7.3	-4.2	9	21.2	15	85	62	82	76	26	13	4.9	5.5	5.2	5.2	54	25	9	11	8	1	—	—	—	7	7
Juni	8.1	13.7	7.1	9.0	0.6	16	20.8	24	85	61	81	76	35	5.24	5.3	5.6	5.7	5.5	54	12	14	11	9	1	—	—	—	7	11
Juli	9.8	16.0	9.4	11.2	2.9	10	21.6	29	85	67	88	80	28	18	3.8	5.9	4.9	4.9	122	37	6	17	13	—	—	1	—	7	5
Aug.	10.5	18.1	11.0	12.7	3.4	29	26.0	18	84	58	81	74	29	10	3.5	4.1	1.9	3.2	52	13	6	10	8	—	—	—	1	13	1
Sept.	6.6	12.7	7.6	8.6	-0.4	27	19.8	13	92	73	88	84	29	6	5.9	6.1	4.7	5.6	129	20	28	15	14	3	—	1	2	6	8
Okt.	1.7	10.1	3.9	4.9	-2.4	15	14.6	3	96	72	92	87	41	3	4.7	3.9	3.7	4.1	11	6	18	4	4	1	—	—	1	13	5
Nov.	-5.4	1.0	-4.3	-3.3	-12.8	16	12.0	3	87	71	82	80	41	13	4.9	5.3	4.0	4.7	14	3	24.30	7	6	7	—	—	—	6	3
Dez.	-7.6	-1.0	-6.3	-5.3	-16.4	26	3.9	5	84	70	80	78	38	30	4.7	4.8	2.6	4.0	18	6	6	6	4	6	—	—	—	13	6
Jahr	0.8	7.9	1.7	3.0	-17.2	I	26.0	VIII	86	65	83	78	23	IV	4.5	4.8	3.9	4.4	539	37	VII	115	96	47	—	2	4	113	63

Scarl (Unterengadin)

$\lambda = 10° 20'$, $\beta = 46° 43'$, H = ca. 1810 m, $h_r = 1.5$ m

Beobachter: Eidg. Grenzwachtposten

1943	Luft-Temperatur 7²⁰	13³⁰	21³⁰	Mittel	Minimum	Tag	Maximum	Tag	Relative Feuchtigkeit 7²⁰	13³⁰	21³⁰	Mittel	Minim.	Tag	Bewölkung 7²⁰	13³⁰	21³⁰	Mitt.	Niederschlag Summe	Maxim.	Tag	Zahl der Tage ● *	●* >1.0	*	▲	K	≡	helle	trübe
Jan.	−8.3	−4.7	−6.8	−6.6	−16.0	10	2.4	23	61	52	60	58	17	26	3.6	4.1	3.8	3.8	60	?	—	*12	*10	*12	—	—	—	10	4
Febr.	−6.9	−0.8	−5.1	−4.5	−15.6	11	5.2	25	50	39	49	46	16	25	3.6	3.5	2.6	3.2	41	18	3	4	4	4	—	—	—	12	2
März	−4.4	3.4	−2.0	−1.3	−10.0	7	9.2	31	61	38	57	52	15	31	2.4	2.7	3.1	2.7	45	34	31	4	4	4	—	—	—	15	2
April	−0.5	7.7	1.3	2.5	−10.0	3	14.8	21	62	36	56	51	16	5, 17, 18.	3.5	3.9	2.6	3.3	45	?	—	6	6	6	—	—	—	13	4
Mai	5.5	12.1	5.3	7.0	−1.0	11	18.2	15	58	41	68	56	10	17	4.4	4.3	4.3	4.3	74	23	24	8	8	7	—		—	7	1
Juni	6.6	13.5	7.4	8.7	1.2	18	20.2	25	66	48	69	61	16	25	4.3	4.9	5.7	5.0	75	26	15	9	8	1	—	—	—	6	4
Juli	10.1	15.9	10.2	11.6	2.0	9	22.4	18. 30	71	49	67	62	21	18	3.2	4.9	4.3	4.1	122	37	26	15	15	—	—	3	—	7	—
Aug.	10.4	17.9	11.5	12.8	4.2	8	23.6	18. 20	59	39	57	52	14	20	3.5	3.6	4.3	3.8	81	19	28	9	9	—	—	—	—	9	5
Sept.	6.7	12.9	7.9	8.9	−0.5	30	20.2	13	79	55	70	68	14	6	4.8	5.1	6.0	5.3	80	?	—	11	11	5	—	1	2	6	9
Okt.	3.7	10.9	5.1	6.2	0.0	25	14.6	4	71	40	66	59	24	24	2.5	3.9	3.0	3.1	25	23	18	2	2	—	—	—	—	16	3
Nov.	−4.5	−0.8	−3.5	−3.1	−13.0	16	9.6	2	73	54	70	66	31	30	5.4	5.2	4.6	5.1	46	8	7	9	9	9	—	—	2	4	5
Dez.	−6.2	−2.9	−5.9	−5.2	−15.2	25	3.6	19	73	57	65	65	31	30	4.5	4.3	3.2	4.0	7	2	3	4	3	4	—	—	1	12	6
Jahr	1.0	7.1	2.1	3.1	−16.0	I	23.6	VIII	65	46	63	58	10	V	3.8	4.2	4.0	4.0	701	37	VII	93	89	52	—	4	4	117	45

Grono

$\lambda = 9° 9'$, $\beta = 46° 15'$, $H = 335$ m, $h_r = 1.3$ m

Beobachter: A. Parolini

Jan.	−2.7	0.7	−1.6	−1.3	−6.2	20	5.4	15	79	61	73	71	23	9	4.5	3.9	4.4	4.3	20	7	14	6	6	4	—	—	—	—	—
Febr.	2.2	8.0	3.9	4.5	−3.2	1, 9	15.2	24	53	41	54	49	22	17	2.9	2.6	3.0	2.8	14	4	1	4	4	1	—	—	—	—	—
März	5.6	12.0	7.8	8.3	1.6	6	23.2	3	66	45	57	56	22	3	5.4	4.1	5.1	4.9	45	23	26	4	4	—	—	—		—	—
April	9.3	17.5	10.8	12.1	4.0	8	23.6	18	61	40	54	52	24	2, 15	3.5	3.2	3.0	3.2	67	21	21	6	6	—	—	—	—	—	—
Mai	12.4	21.3	13.9	15.4	7.6	4	28.0	31	69	47	67	61	24	27	3.8	3.5	4.5	3.9	205	58	24	11	11	—	—	—	—	—	—
Juni	16.9	24.7	18.0	19.4	11.5	16	31.2	26	62	42	58	54	23	19	2.9	3.1	3.3	3.1	114	48	15	7	7	—	—	1	—	—	—
Juli	18.0	26.0	19.7	20.8	11.4	9	30.5	18	71	49	66	62	32	4, 5	4.4	2.8	2.6	3.3	167	45	6	8	7	—	—	—	—	—	—
Aug.	*19.0	*24.0	*21.5	*22.5	?	—	*32.0	—	*70	*48	*60	*59	?	—	—	—	—	—	*65	?	—	*8	*7	—	—	*2	—	—	—
Sept.	15.6	22.2	16.6	17.7	9.1	29	27.2	1	80	62	77	73	40	2	5.4	5.2	5.2	5.3	*400	?	—	*17	*16	—	—	1	1	—	—
Okt.	10.3	15.8	10.7	11.9	7.2	18	20.5	7	83	58	78	73	41	14	5.4	4.9	4.6	5.0	129	48	18	5	5	—	—	—	4	—	—
Nov.	3.6	8.5	4.6	5.3	0.2	29	15.4	4	78	57	72	69	20	8	4.3	3.9	4.1	4.1	50	*17	20	6	6	—	—	—	3	—	—
Dez.	1.4	5.1	2.1	2.7	−0.6	29	7.9	16	73	56	68	66	20	31	4.0	4.2	4.3	4.2	61	14	18	8	8	1		—	1	—	—
Jahr	9.3	15.8	10.7	11.6	−6.2	I	*32.0	VIII	70	51	65	62	20	XI XII	—	—	—	—	1337	?	—	90	87	6	—	4	9	—	—

Bewölkung zu klein

Tessin

Airolo

$\lambda = 8° 36'$, $\beta = 46° 31'$, H_b = ca. 1170 m, $h_r = 0.8$ m

Beobachter: Fr. Burkhalter

Jan.	−4.0	−0.9	−3.3	−2.9	−11.5	10	3.9	28	68	55	67	63	38	9.25	4.1	4.4	4.1	4.2	89	30	5	9	9	8	—	—	—	13	6
Febr.	−1.3	4.0	−0.6	0.4	−8.0	9	10.4	21	60	44	57	54	28	21	3.4	3.1	2.7	3.1	13	5	1	5	3	5	—	—	—	14	4
März	1.6	6.9	2.3	3.3	−2.8	8	13.2	2	71	50	72	64	25	30	4.3	4.8	5.2	4.8	78	16	26	11	10	7	—	—	—	7	7
April	5.1	11.1	5.7	6.9	−3.2	8	17.1	18	66	46	66	59	26	17	3.6	4.0	3.7	3.8	104	28	23	9	9	4	—	—	—	13	5
Mai	9.8	15.4	9.6	11.1	0.4	10	23.6	14	68	51	70	63	26	10	3.7	4.5	4.5	4.2	124	25	24	12	11	1	—	—	—	12	8
Juni	12.4	17.3	11.7	13.3	6.2	18	24.5	25	64	47	67	59	31	29	3.7	4.4	4.2	4.1	58	17	1	11	9	1	—	1	—	7	2
Juli	14.6	20.1	14.5	15.9	7.0	9	25.8	18	67	47	69	61	25	18	3.5	4.2	3.5	3.7	106	41	19	11	8	—	1	4	—	10	1
Aug.	15.1	21.4	14.9	16.6	9.2	28	27.2	19	68	47	68	61	28	10	2.7	3.4	2.2	2.8	77	44	22	8	7	—	—	—	—	13	1
Sept.	11.4	15.7	11.8	12.7	5.0	26	22.8	13	80	63	81	75	33	5	5.2	5.8	5.7	5.6	336	104	14	19	16	—	—	—	—	3	8
Okt.	6.8	11.7	7.6	8.4	1.8	15	17.2	3	86	64	87	79	39	3	4.7	4.8	5.8	5.1	111	37	17	10	7	—	—			4	7
Nov.	0.1	3.3	0.3	1.0	−4.2	28	11.6	3	74	61	73	69	34	15	4.1	4.6	4.9	4.5	64	15	30	10	9	9	—	—	1	10	6
Dez.	−1.4	1.2	−1.1	−0.6	−7.0	26	6.2	29	72	61	69	67	33	24	4.6	4.6	4.6	4.6	61	14	3	9	9	5	—	—	1	11	0
Jahr	5.9	10.6	6.1	7.2	−11.5	I	27.2	VIII	70	53	70	64	25	III VI	4.0	4.4	4.3	4.2	1221	104	IX	124	107	40	1	5	2	117	61

Comprovasco

$\lambda = 8° 56'$, $\beta = 46° 28'$, $H = 544.1$ m, $h_r = 1.6$ m

Beobachter: Frl. Pia Gianella

Jan.	−1.6	3.4	−0.4	0.3	−7.3	10	10.7	27	—	—	—	—	—	—	4.4	5.3	4.3	4.7	21	6	2	7	7	5	—	—	—	9	7
Febr.	−5.6	2.8	−3.6	−2.5	−4.7	11	14.5	21	—	—	—	—	—	—	3.3	3.4	3.6	3.4	4	3	1	2	2	1	—	—	—	13	5
März	4.6	12.0	6.3	7.3	−1.5	8	21.1	3	—	—	—	—	—	—	5.2	5.6	5.0	5.3	40	19	26	4	4	—	—	—	—	6	10
April	9.1	17.0	10.1	11.6	2.0	8	23.3	18	—	—	—	—	—	—	4.8	4.4	3.7	4.3	44	19	21	7	5	—	—	—	1	10	5
Mai	12.4	19.3	12.9	14.4	5.3	8	27.3	30	—	—	—	—	—	—	4.3	5.0	5.3	4.9	128	33	24	10	9	—	—	—	—	6	8
Juni	15.6	22.7	15.8	17.5	8.7	16	28.2	26	—	—	—	—	—	—	4.1	5.5	3.4	4.3	37	14	15	7	6	—	—	1	—	7	3
Juli	16.6	24.1	16.9	18.6	12.9	8	28.9	4.18	—	—	—		—	—	4.5	5.9	3.7	4.7	100	36	20	12	9	—	—	6	—	4	2
Aug.	17.9	20.5	18.7	20.5	13.3	28.29	33.5	20	—	—	—			—	3.8	3.8	1.7	3.1	43	31	22	8	6	—	—	1	—	13	1
Sept.	13.7	19.5	14.4	15.5	6.3	28	26.1	13	—	—	—	—	—	—	6.6	6.3	5.6	6.2	314	105	25	18	17	—	—	3	—	4	9
Okt.	9.8	15.1	10.8	11.6	6.1	29.30	19.6	5	—	—	—	—	—	—	5.8	6.2	6.8	6.3	84	31	17	7	7	—	—	—	—	6	12
Nov.	2.9	8.0	3.8	4.6	−1.9	17	18.7	1	—	—	—	—	—	—	4.1	5.1	5.3	4.8	25	13	20	5	3	2		—	—	8	6
Dez.	1.8	5.6	2.2	3.0	−1.9	11	13.5	28	—	—	—	—	—	—	5.5	4.8	4.1	4.8	48	15	3	8	8	2		—	1	9	8
Jahr	8.1	14.7	9.0	10.2	−7.3	I	33.5	VIII	—	—	—	—	—	—	4.7	5.1	4.4	4.7	888	105	IX	95	83	10		11	2	95	76

Monte Brè (ob Lugano)

$\lambda = 8^\circ 59'$, $\beta = 46^\circ 1'$, $H = 915^m$, $h_r = 1.5^m$ — Beobachter: A. Rezzonico

1943	Luft-Temperatur 7³⁰	13³⁰	21³⁰	Mittel	Minimum	Tag	Maximum	Tag	Relative Feuchtigkeit 7³⁰	13³⁰	21³⁰	Mittel	Minim.	Tag	Bewölkung 7³⁰	13³⁰	21³⁰	Mitt.	Nieder-schlag Summe	Maxim.	Tag	Zahl der Tage ●	●* ≥1.0	*	▲	K	≡	helle	trübe
Jan.	−0.4	2.2	−0.1	0.4	−6.0	11	6.2	22	—	—	—	—	—	—	4.9	4.4	4.3	4.5	35	14	14	8	8	5	—	—	6	9	6
Febr.	3.0	5.7	3.3	3.8	−2.8	10	11.1	21	—	—	—	—	—	—	3.6	3.6	4.0	3.7	15	9	2	3	3	1	—	—	3	12	7
März	4.0	8.5	5.2	5.7	0.2	7	17.0	3	—	—	—	—	—	—	5.9	4.8	4.0	4.9	73	28	26	6	6	—	—	—	1	3	6
April	9.0	13.7	9.6	10.5	1.0	8	19.0	26	—	—	—	—	—	—	3.6	4.1	3.9	3.9	76	34	22	5	5	—	—	—	2	7	4
Mai	12.3	16.3	11.9	13.1	5.0	9.10	22.2	30	—	—	—	—	—	—	5.0	4.9	5.2	5.0	215	42	3	12	12	—	—	—	2	11	10
Juni	15.8	20.0	15.4	16.6	9.2	17	25.6	25.26	—	—	—	—	—	—	3.5	4.1	3.3	3.6	58	20	2	7	6	—	—	1	2	[illegible]	2
Juli	17.2	22.2	17.4	18.5	12.2	9	26.2	18	—	—	—	—	—	—	2.8	3.3	3.3	3.1	128	47	6	12	11	—	1	6	—	13	1
Aug.	18.8	23.6	19.2	20.2	11.2	28	28.2	20	—	—	—	—	—	—	2.9	2.9	2.2	2.7	63	20	22	7	7	—	—	—	—	13	2
Sept.	14.7	17.9	15.1	15.7	8.6	28	22.8	12	—	—	—	—	—	—	6.2	5.5	5.3	5.7	286	40	17	16	16	—	—	4	3	4	8
Okt.	10.3	13.2	10.8	11.3	5.2	15	17.9	11	—	—	—	—	—	—	6.0	5.8	6.2	6.0	122	42	17	9	9	—	—	—	3	5	10
Nov.	3.1	5.4	3.1	3.7	−1.4	17	12.0	1	—	—	—	—	—	—	5.2	4.9	4.6	4.9	45	18	20	6	6	1	—	—	1	7	10
Dez.	2.4	4.4	2.6	3.0	−2.2	31	8.0	16	—	—	—	—	—	—	4.8	4.7	5.0	4.8	85	20	4	13	12	3	—	—	4	10	10
Jahr	9.2	12.8	9.5	10.2	−6.0	I	28.2	VIII	—	—	—	—	—	—	4.5	4.4	4.3	4.4	1201	47	VII	104	101	10	1	11	27	104	76

Meliorationsgebiet der St. Galler Rheinebene

Die Abendbeobachtungen erfolgen um 20.30 Uhr

Eichberg

$\lambda = 9^\circ 31'$, $\beta = 47^\circ 21'$, $H =$ ca. 540^m, $h_r = 1.6^m$ — Beobachter: T. Bänziger

Jan.	−2.5	1.8	−1.0	−0.7	−14.0	10	13.0	31	88	71	84	81	30	31	6.3	7.1	6.3	6.6	98	17	5	17	15	8	—	—	6	2	11
Febr.	0.0	5.7	1.6	2.2	−7.0	9	11.4	1	87	63	84	78	37	1	6.1	5.1	4.3	5.2	64	16	13	14	9	10	—	—	2	8	9
März	3.6	11.3	6.8	7.0	−2.8	8	17.3	24	86	55	71	71	31	24	3.8	3.7	4.1	3.9	44	10	6	9	8	1	—	—	—	11	6
April	8.0	13.7	9.5	10.1	−0.5	8	24.0	19	75	56	72	68	33	19	5.4	5.2	4.5	5.0	104	25	1	13	13	6	—	1	1	9	9
Mai	11.8	17.7	12.1	13.5	3.0	9	24.4	15	78	53	76	69	31	10	5.8	5.8	5.2	5.6	100	31	9	11	10	—	—	1	—	8	11
Juni	13.3	17.7	13.2	14.2	7.7	17	25.0	21	79	62	80	74	45	6.27	6.8	6.7	6.7	6.7	203	35	9	17	16	—	—	1	—	2	12
Juli	15.8	22.0	17.2	17.8	8.8	9	28.0	20	77	55	72	68	34	20	4.3	5.2	5.2	4.9	111	26	6	13	12	—	—	4	—	9	7
Aug.	17.1	23.1	18.5	19.2	11.2	28	32.6	21	74	55	68	66	27	21	4.8	4.8	4.1	4.6	69	24	11	12	9	—	1	1	—	9	6
Sept.	13.0	18.4	14.4	15.0	5.0	27	27.1	13	85	62	82	76	43	1	7.0	6.1	5.2	6.1	107	40	25	18	13	—	—	1	1	4	6
Okt.	9.1	15.4	10.3	11.4	3.0	15	20.5	23.26	91	62	86	80	34	26	8.0	4.6	3.0	5.2	0.3	0.3	8	1	—	—	—	—	6	5	7
Nov.	1.0	4.7	2.1	2.4	−3.9	10	10.7	2	90	70	83	81	38	24	7.7	8.3	6.0	7.3	125	30	29	12	12	6	—	—	7	1	14
Dez.	−1.0	1.8	0.5	0.3	−5.2	26	13.6	19	90	76	85	84	35	19	8.1	8.5	8.3	8.3	40	14	30	8	5	3	—	—	7	—	20
Jahr	7.4	12.8	8.8	9.4	−14.0	I	32.6	VIII	83	62	79	75	27	VIII	6.2	5.9	5.2	5.8	1065	40	IX	145	122	34	1	9	30	68	118

Oberriet

$\lambda = 9^\circ 34'$, $\beta = 47^\circ 19'$, $H =$ ca. 426^m, $h_r = 1.6^m$ — Beobachter: J. Stieger

Jan.	−2.7	1.7	−1.6	−1.0	−19.6	10	9.4	31	88	80	88	85	32	14	7.1	7.2	6.1	6.8	68	19	5	13	11	8	—	—	4	3	13
Febr.	0.1	5.9	1.7	2.4	−6.4	9	14.6	1	86	63	90	80	28	1	5.3	4.8	4.6	4.9	49	11	13	10	8	7	—	—	1	9	8
März	2.3	11.4	7.3	6.8	−2.6	10	18.0	25	87	54	73	71	20	24	4.4	4.2	3.3	4.0	35	12	28	7	7	2	—	—	1	12	6
April	8.4	14.6	10.0	10.7	0.2	9	25.2	19	78	55	75	69	20	19	5.7	5.4	5.1	5.4	87	18	1	12	11	4	—	—	—	7	11
Mai	11.6	18.3	13.2	14.0	3.6	9	25.0	14.20	85	57	78	73	27	6.18	6.5	6.2	5.8	6.2	54	13	24	12	9	1	—	1	—	7	13
Juni	13.6	18.5	14.5	15.0	8.0	17	26.4	21	85	63	84	77	40	5	7.4	7.1	8.0	7.5	169	33	9	16	15	—	—	—	—	1	17
Juli	15.9	22.5	18.4	18.5	9.8	9	28.8	20.31	86	60	77	74	35	20	4.3	5.3	5.6	5.1	118	26	6	13	12	—	—	3	—	9	9
Aug.	16.9	23.6	19.0	19.4	12.2	24	33.0	21	84	56	81	74	20	21	5.3	5.2	4.5	5.0	67	21	11	10	9	—	—	—	—	10	8
Sept.	12.5	18.7	14.5	14.9	3.6	28	26.4	13	93	69	91	84	47	6	7.1	7.1	6.1	6.8	106	37	25	18	12	—	—	1	2	3	12
Okt.	7.9	15.1	9.6	10.7	1.6	15	20.0	22	96	70	94	87	40	26	8.1	5.0	3.5	5.5	0.3	0.3	8	1	—	—	—	—	4	4	8
Nov.	1.3	5.4	2.9	3.0	−6.0	21	11.0	1. 2	94	71	86	84	28	14	8.1	8.2	6.8	7.7	110	23	29	14	9	5	—	—	2	1	13
Dez.	−0.8	2.0	0.8	0.6	−4.8	29	14.2	19	94	80	90	88	25	19	7.9	8.1	8.5	8.2	30	10	30	8	7	3	—	—	2	—	21
Jahr	7.3	13.1	9.2	9.6	−19.6	I	33.0	VIII	88	65	84	79	20	III/IV VIII	6.4	6.1	5.7	6.1	893	37	IX	134	110	30	—	5	16	66	139

Kriießern (Zollamt)

$\lambda = 9^\circ 37'$, $\beta = 47^\circ 22'$, $H =$ ca. 419^m, $h_r = 1.6^m$ — Beobachter: J. Gantner, D. Vetsch

Jan.	−2.5	0.7	−0.5	−0.9	−16.0	10	10.0	31	86	79	86	84	40	31	7.1	7.4	7.1	7.2	64	22	5	15	15	10	—	—	10	4	17
Febr.	0.0	5.0	1.7	2.0	−6.0	9	11.0	1	85	64	82	77	38	1	5.4	4.5	4.9	4.9	38	11	7	8	8	5	—	—	1	9	9
März	2.8	10.8	6.9	6.6	−2.8	8	17.4	24.25	83	55	70	69	31	24	3.1	2.5	3.9	3.2	36	14	28	7	7	—	—	—	2	17	6
April	8.7	13.4	10.2	10.5	0.6	8. 9	24.6	23	75	58	70	68	35	23	5.2	4.8	5.3	5.1	52	14	1	10	10	4	—	—	1	10	13
Mai	11.9	17.6	13.9	14.1	4.6	9	23.1	15	78	57	70	68	40	10.18	6.3	6.3	6.1	6.2	59	13	9	11	10	—	—	—	1	7	13
Juni	14.2	18.2	15.1	15.3	8.6	17	25.8	20	77	61	73	70	46	8	6.8	7.3	7.4	7.2	173	34	9	18	15	—	1	1	—	2	14
Juli	16.5	22.0	18.7	18.6	10.0	9	28.2	20	77	59	69	68	46	2.3 14.20	3.7	5.3	5.3	4.8	110	24	6	14	13	—	—	3	1	10	9
Aug.	17.3	22.9	19.5	19.5	12.2	29	31.5	21	76	56	69	67	35	21	4.6	4.7	4.8	4.7	58	16	22	12	8	—	1	1	1	8	7
Sept.	12.9	18.2	15.0	15.1	4.0	28	24.7	13	86	63	81	77	49	5	7.0	6.6	6.8	6.8	95	30	25	15	13	—	—	1	5	4	11
Okt.	8.1	14.3	10.3	10.7	0.6	15	10.6	10	90	66	86	81	44	26	8.2	3.8	4.6	5.5	0.7	0.3	4.0	2	—	—	—	—	11	3	8
Nov.	1.4	4.8	2.9	2.8	−5.0	10	10.4	2	84	67	78	76	39	24	8.5	7.6	7.1	7.7	69	14	28	13	10	5	—	—	6	1	17
Dez.	−0.7	2.0	0.9	0.9	−4.0	20	11.4	19	87	77	83	82	35	19	8.4	8.4	8.7	8.5	21	8	30	8	6	4	—	—	7	1	21
Jahr	7.6	12.5	9.5	9.9	−16.0	I	31.5	VIII	82	64	76	74	31	III	6.2	5.8	6.0	6.0	776	34	VI	133	115	28	2	6	46	76	145

Kriießern: Beobachterwechsel am 1. Mai.

Die Abendbeobachtungen erfolgen um 20.30 Uhr

$\lambda = 9° 39', \beta = 47° 25', H =$ ca. $404^m, hr = 1.6^m$

Widnau (Zollamt)

Beobachter: E. Eberle

1943	Luft-Temperatur 7³⁰	13³⁰	21³⁰	Mittel	Minimum	Tag	Maximum	Tag	Relative Feuchtigkeit 7³⁰	13³⁰	1³⁰	Mitt.	Minimum	Tag	Bewölkung 7³⁰	13³⁰	21³⁰	Mitt.	Niederschlag Summe	Maximum	Tag	Zahl der Tage ● *	●* ≥1.0	*	▲	⌇	≡	helle	trübe
Jan.	−1.6	1.4	0.1	−0.2	−16.2	10	9.2	31	—	—	—	—	—	—	8.1	8.0	7.2	7.8	55	18	5	14	13	8	—	—	14	2	18
Febr.	1.0	5.7	2.6	2.9	−5.4	9	9.6	26	—	—	—		—	—	6.1	5.1	4.2	5.1	39	11	7	6	8	5	—		2	9	8
März	3.5	11.0	7.8	7.3	−1.0	8	17.6	24	—	—	—	—	—	—	4.4	4.0	4.7	4.4	35	13	28	7	5	1	—	—	3	9	5
April	9.4	13.6	11.0	11.0	0.8	9	23.6	23	—	—	—	—	—	—	6.0	5.6	5.5	5.7	66	20	1	12	11	2	—	1	1	8	14
Mai	12.6	17.7	13.9	14.3	7.0	9	25.4	14	—	—	—	—	—	—	5.9	6.0	5.5	5.8	61	13	27	12	10	—	—	2	1	7	12
Juni	14.2	18.1	14.8	15.2	9.4	17	24.8	20	—	—	—	—	—	—	6.8	6.5	6.8	6.7	165	32	9	17	14	—	—	1	—	3	13
Juli	16.9	21.9	18.5	18.6	10.1	9	28.2	31			—	—	—	—	4.0	5.1	5.8	5.0	115	22	10	14	13	—	—	1	—	10	9
Aug.	17.6	22.9	19.6	19.6	12.2	29	31.6	21	—		—	—	—	—	5.2	5.0	5.0	5.1	35	20	11	10	8	—	1	1	—	8	10
Sept.	13.5	18.3	15.0	15.3	5.2	27	27.2	13	—		—	—	—	—	7.3	6.5	6.6	6.8	98	31	25	15	11	—	—	1	1	4	12
Okt.	9.2	14.4	10.3	11.1	2.4	17	19.0	22	—	—	—	—	—	—	8.2	4.6	4.8	5.9	0	0	—	—	—	—	—	—	14	2	8
Nov.	2.7	5.3	3.8	3.7	−4.2	10	11.0	2.24	—	—	—	—	—	—	8.3	8.1	7.4	7.9	70	14	28	12	10	2	—	—	4	1	17
Dez.	0.9	2.9	1.7	1.7	−2.6	29	11.6	19	—	—	—	—	—	—	8.8	8.2	8.9	8.6	14	7	30	6	4	3	—	—	6	—	21
Jahr	8.3	12.8	9.9	10.0	−16.2	I	31.6	VIII		—	—	—		—	6.0	6.1	6.0	6.2	773	32	VI	128	97	21	1	7	46	63	147

$\lambda = 9° 37', \beta = 47° 24', H =$ ca. $405^m, hr = 1.6^m$

Heerbrugg

Beobachter: Wild A.-G., M. Loser

Jan.	−1.9	1.4	0.0	−0.3	−17.8	10	12.0	31	85	79	83	82	35	31	8.3	8.3	7.2	7.9	64	17	5	16	15	10	—	—	10	2	17
Febr.	1.1	5.9	2.9	3.1	−4.4	9	12.0	1	80	63	75	73	41	1	5.9	5.9	4.5	5.4	48	10	7	10	8	3	—	—	2	6	7
März	4.3	11.7	8.3	7.9	−0.4	11	18.2	24	76	54	65	65	33	24	5.4	5.3	4.3	5.0	36	13	6	7	6	1	—	—	2	5	8
April	8.3	14.1	10.6	10.7	0.2	9	25.0	17	71	56	66	64	35	23	5.9	6.2	5.1	5.7	81	24	1	12	12	2	—		1	7	12
Mai	12.2	17.8	14.1	14.3	4.1	9	25.4	14	74	55	67	65	40	10 17-18	6.6	6.7	5.4	6.2	63	14	9	13	11	—	—	—	1	5	13
Juni	14.0	18.2	15.3	15.3	8.4	17	25.3	21	75	58	70	68	41	8	7.4	7.4	7.0	7.3	161	30	9	16	15	—	—	—	—	1	14
Juli	16.5	22.5	19.2	18.9	10.0	11	28.8	31	74	55	64	64	35	20	5.0	5.8	5.6	5.5	123	22	22	15	14	—	—	1	—	6	10
Aug.	18.2	23.6	20.2	20.3	12.2	29	33.0	21	71	54	64	63	35	21	5.3	5.5	4.4	5.1	62	19	11	10	9	—	—	—	—	7	7
Sept.	13.4	18.7	15.5	15.6	5.2	27	27.5	13	84	62	78	75	46	5	8.1	7.1	6.4	7.2	105	37	25	17	12	—	—	—	3	—	10
Okt.	9.1	15.3	10.9	11.6	1.8	15	19.8	22	89	62	83	78	45	22	8.1	6.1	5.7	6.6	0.1	0.1	6	—	—	—	—	—	12	1	9
Nov.	2.2	5.1	3.6	3.4	−3.2	21	11.4	1	83	68	74	75	44	24	8.7	8.6	7.9	8.4	89	17	24	14	11	3	—	—	8	—	17
Dez.	0.0	2.1	1.3	1.0	−2.6	16.29	6.8	19	86	76	81	81	49	23	9.0	8.7	9.0	8.9	19	5	30	9	6	3	—	—	18	—	24
Jahr	8.1	13.0	10.2	10.2	−17.8	I	33.0	VIII	79	62	73	71	33	III	7.0	6.8	6.0	6.6	851	37	IX	139	119	22	—	1	57	40	148

Windverteilung

1943	Eichberg N	NE	E	SE	S	SW	W	NW	Calmen	Oberriet N	NE	E	SE	S	SW	W	NW	Calmen	Krießern (Zollamt) N	NE	E	SE	S	SW	W	NW	Calmen
Januar	21	4	3	1	5	7	21	3	28	7	13	3	24	6	8	2	13	17	—	2	—	—	3	2	5	1	80
Februar	14	3	—	2	8	11	12	4	30	7	9	9	29	6	4	2	13	5	3	—	—	—	—	3	2	—	76
März	10	5	3	4	9	13	20	1	28	9	26	3	24	8	6	3	13	1	1	12	1	—	2	8	1	1	67
April	9	6	2	3	8	16	28	7	11	6	15	12	22	17	6	8	4	—	2	10	1	—	5	4	6	2	60
Mai	10	14	3	3	3	6	25	8	21	9	19	8	22	9	2	3	7	14	12	12	2	1	1	4	1	1	59
Juni	12	11	3	2	6	12	18	8	18	14	15	3	25	13	1	3	12	4	12	15	3	4	2	10	3	5	36
Juli	11	9	4	—	4	17	17	6	25	5	20	6	29	6	4	5	8	10	7	13	1	3	2	6	3	1	57
August	6	13	1	1	3	16	17	10	26	5	22	10	22	7	1	1	6	19	7	10	2	—	3	12	3	4	52
September	16	6	5	—	2	11	18	5	27	10	13	6	21	6	1	2	5	26	12	3	5	1	—	5	3	1	60
Oktober	4	21	3	—	1	7	14	5	38	12	24	11	17	1	—	—	5	23	14	17	1	—	—	3	1	—	57
November	10	2	3	—	3	18	21	8	25	5	18	4	20	4	1	1	4	33	16	3	4	—	6	14	10	1	36
Dezember	10	11	—	3	2	8	9	7	43	5	19	16	22	3	1	2	10	15	9	8	7	1	4	7	5	—	52
Jahr	133	105	30	19	54	142	220	72	320	94	213	91	277	86	35	32	100	167	95	105	27	10	28	78	43	17	692

	Widnau (Zollamt)									Heerbrugg								
Januar	4	2	3	1	—	7	12		64	—	16	2	5	—	52	—	8	10
Februar	6	4	—	1	—	7	9	1	56	1	23	1	8	—	44	—	4	3
März	9	12	1	—	5	5	3	6	52	—	35	2	7	—	35	—	5	9
April	4	3	5	—	1	8	18	6	45	—	25	—	3	—	57	1	3	1
Mai	11	6	2		1	5	9	2	54	—	30	—	19	—	40	—	2	2
Juni	8	3	4	—	1	8	10	6	50	—	37	1	7	—	43	—	2	—
Juli	8	10	1	1	3	4	7	7	52	2	29	—	4	—	46	4	3	5
August	4	8	1	1	—	6	11	2	60	1	27	1	12	—	39	2	8	3
September	4	2	1	1	—		3	4	75	—	36	1	3	1	39	2	6	2
Oktober	9	11	2	—	—		3	3	65	2	34	1	8	—	34	5	3	6
November	3	1	3	1	—	4	10	2	66	3	18	1	3	1	57	2	5	—
Dezember	—	3	2	1	2	4	5	1	75	1	34	—	7	1	39	5	6	—
Jahr	70	68	25	7	13	58	100	40	714	10	344	10	86	3	525	21	55	41

Anhang

zum Jahrgang 1943 der Annalen der

Schweizerischen Meteorologischen Zentralanstalt

Ergänzende Beobachtungen und Abhandlungen

Nr. 1

Übersicht über den Witterungsverlauf in der Schweiz im Jahre 1943

von M. Grütter

Das Jahr 1943 war für die meisten Stationen das wärmste seit dem Beginn systematischer Messungen (1864). Auf einigen Hochstationen (Ostschweiz) wurden allerdings 1921 noch etwas größere Temperaturwerte erreicht. Die Abweichungen vom Normalwert betragen vorwiegend 1,5 °, in Graubünden und im Jura 1°. Zu warm waren auf der Alpennordseite namentlich der März, der August und der Oktober, auf der Südseite der April, zu kalt nur der Juni und der November. — Für die Sonnenscheindauer erhält man sehr große Überschüsse (etwa 10 % des Normalwerts) in der Westschweiz, kleinere am Alpensüdfuß. In der Ostschweiz war die Helligkeit annähernd normal. Besonders hell waren der April und der Oktober (Nordseite), trübe der September. — Auch die Trockenheit war (wie 1921) eine ganz außergewöhnliche, namentlich in der Nord-, Zentral- und Südschweiz, wo das Defizit an Niederschlägen ein Drittel der Normalmenge beträgt. Größer waren die prozentualen Beträge in der West- und Ostschweiz. Besonders trockene Monate waren der August und der Oktober, auf der Alpensüdseite auch der Februar und der Juni. Niederschlagsreiche Monate waren der Januar (Nordseite) und der September.

Über die mittleren Verhältnisse und den Ablauf der Witterung während der einzelnen Monate orientieren die folgenden Ausführungen.

Der JANUAR war für die ganze Schweiz etwas zu warm. Die Abweichungen vom Normalwert betragen im Jura und in der Westschweiz etwa 2°, im Mittelland und in den Alpen $1^1/_2$°, am Alpensüdfuß $^1/_2$°. — Der Bewölkungsgrad war in der Westschweiz normal, in den nordöstlichen Teilen des Mittellandes und in den Alpentälern um etwa 10 % zu groß. Erhebliche Überschüsse ergeben sich im Wallis, im Tessin und ganz besonders in Graubünden. Dementsprechend hatte man in Davos 10 statt 7 trübe und 4 statt 12 helle Tage. Die Sonnenscheindauer war in den Tieflagen ziemlich normal, zu groß in Bern, sonst vorwiegend zu klein. — Die Niederschlagsmengen betragen in der Westschweiz und im Jura das Doppelte bis Dreifache des Normalbetrages. Im nördlichen Mittelland erhält man einen Überschuß von etwa 80 %, im Alpengebiet einen solchen von 40—60 % des Normalwerts. Im Engadin und im Tessin blieben die Niederschlagsmengen unter dem Durchschnitt.

Während der ersten Monatshälfte war das Wetter, unter dem Einfluß von Depressionen, die vom Atlantik her kommend westostwärts über den Kontinent hinwegzogen unbeständig, anhaltend stark bewölkt, zeitweilig Schnee oder Regen bringend. Stärkere Störungen verursachten am 2., 3. und 13. namentlich starken Wind. Wesentlich besser ließ sich das Wetter während der zweiten Monatshälfte an, indem ein Hochdruckgebiet im Osten das weitere Vordringen der Depressionen verhinderte. Vor allem vom 16. bis 22. war das Wetter im Alpengebiet und am Alpensüdfuß hell. In den Niederungen trat vormittags strichweise Nebel oder Hochnebel auf. Am 21. und 22. fallen die durch föhniges Absinken verursachten hohen Temperaturen in der Höhe auf. Eine neue mit namhaften Niederschlägen verbundene Störung passierte in der Nacht vom 23. bis 24. Die Nachtagskarte läßt ein starkes Hoch über Westeuropa erkennen. Fortan blieb das Wetter wieder eher trocken, wenn auch ziemlich bewölkt, etwas heller in der Nordostschweiz gegen das Monatsende unter dem Einfluß einer neuen Föhnlage.

Auch für den FEBRUAR ergeben sich mäßige positive Temperaturabweichungen. Diese betragen in der Nord- und Nordostschweiz sowie am Alpensüdfuß 2 bis $2^1/_2$°, im westschweizerischen Mittelland $1^1/_2$ bis 2°. Die Hochstationen zeigen etwas geringere Überschüsse als die Niederungen. — Der Bewölkungsgrad beträgt in der Westschweiz nur drei Viertel des normalen; etwas größer ist er in der Nordschweiz und im Wallis, ziemlich normal im Alpengebiet. Dementsprechend finden wir in den Niederungen der Alpennordseite mehr als doppelt soviel helle Tage und nur etwa halb soviel trübe Tage wie normal. Die Sonnenscheindauer ist in den Niederungen der Alpennord- und -südseite um meist 20—30 %, im Genferseegebiet um 40 % zu groß. Für die Höhenstationen erhält man etwas kleinere Werte. — Die Niederschlagsmengen zeigen nur im Alpengebiet der Nordseite sowie im Jura geringe Überschüsse. Das Mittelland hat etwa 80—90 %, das Wallis 70 %, Tessin und Graubünden nur 30 % des Normalbetrags erhalten. Bemerkenswerterweise ist indessen die Zahl der Tage mit Niederschlag überall außer im Tessin zu groß.

Während der ersten Hälfte des Monats war die Wetterlage sehr schwankend, indem helle Hochdrucklagen mit Depressionen, die anfangs meist aus Westen, später aus Nordwesten heranzogen und Wind und mäßige Niederschläge verursachten, abwechselten. Die Temperatur hielt sich dabei auf 3 bis 4° über dem Normalwert. Nur im Anschluß an Kaltluftvorstöße am 7. (der auch Schneefälle verursachte) und am 17. war die Temperatur während einiger Tage normal. Etwa vom 10. an liegt ein stabiles Azorenhoch über dem Atlantik oder über Spanien. Am 13. und 15. verursachten über Deutschland gelegene Depressionen starken Westwind. Sie führten kalte Luftmassen aus Nordwesten an die Alpen heran. Der 17. brachte eine Staulage mit Hochnebel und kräftiger Bise in der Westschweiz. Das Hoch hatte sich im Anschluß an den Kaltlufteinbruch nach dem Kontinent verlagert und stabilisierte sich dort. So herrschte nun vom 18. Februar an fast anhaltend heiteres Wetter mit leichter Bise und einem um einige Grad zu hohen Temperaturtagesmittel in den Niederungen. Bemerkenswert mild waren die Hochlagen.

Der MÄRZ war auf der Alpennordseite noch wärmer als der Februar. Im Wallis und in der Nordostschweiz wurden die ungewöhnlich hohen positiven Abweichungen von 3 bis 3½° festgestellt, die hier bisher nur in den Jahren 1912 und 1938 erreicht oder überschritten wurden. Für die Westschweiz erhält man 2 bis 2½°, für Lugano 1,9°. — Bei zuviel hellen und zuwenig trüben Tagen (Neuenburg 5 statt 12) beträgt der Bewölkungsgrad auf der Alpennordseite etwa 80 % des Normalwerts. Auch das Alpengebiet erscheint zu hell; dagegen ergibt sich für Lugano zuviel Bewölkung und nur halb so viel helle Tage wie normal. Dementsprechend ist die Sonnenscheindauer in der Westschweiz um etwa 25 %, in der Nordostschweiz um 40 % zu groß, am Alpensüdfuß etwas zu klein. — Die Niederschlagsmengen waren durchwegs zu klein. Man erhält für das Mittelland etwa 65 %, für die Westseite des nordostschweizerischen Alpengebiets etwa 85 %, für die Ostseite (Rheintal), ebenso für Basel nur 40 bis 50 %, für Davos 75, für Sion 33 und für Lugano 62 % des Normalwerts.

Die ersten zwei Drittel des Monats waren unter dem Einfluß eines flachen Hochdruckgebiets vorwiegend heiter. In der Südschweiz fiel lediglich am 4., in der Nordostschweiz am 6. und in der Westschweiz am 14. ein namhafter Betrag an Niederschlägen. Ziemlich unbeständig war dagegen das Wetter während des letzten Monatsdrittels. Der 21. brachte der Alpennordseite gewittrige Regen- und Hagelschauer. Ferner fiel zeitweise Regen in der Zeit vom 25. bis 29. Hell waren für die Alpennordseite unter Föhneinfluß der 23. und 24., ferner der 30. Neue Niederschläge setzten am Abend des 31. ein.

Im APRIL haben die Temperaturen wiederum hohe Werte erreicht. Die Abweichung vom Normalwert beträgt in Lugano +2.6°. Hier ist ein Monatsmittel von 13.9° seit 1865 nicht mehr gemessen worden. Für die nördlichen Teile des Mittellandes erhält man 2°, für die südlichen Teile, die Jurazone sowie die Hochstationen der Alpen 1½°, für die Ostschweiz teilweise weniger als 1°. — Die Bewölkung war durchweg unternormal. Am stärksten getrübt erscheint die Nordschweiz, wo das Bewölkungsdefizit höchstens 10 % beträgt, besonders hell dagegen die Südwestschweiz mit einem Bewölkungsgrad von etwa 70 %. Genf hatte 5 statt 11.7 trübe und 11 statt 5.8 helle Tage. Gleichmäßiger verteilt sich die relative Sonnenscheindauer. Der maximale Ueberschuß ergibt sich für Bern (52 % entsprechend 72 Stunden). — Die Niederschlagsmengen betragen in der Südwestschweiz etwa 65 %, in der Nordostschweiz 50, am Alpensüdfuß 40 % des Normalwerts, d. h. sie sind in der Nordost- und Südschweiz sogar absolut kleiner als im März. Dagegen ergibt sich ein Ueberschuß für das nördliche Graubünden. Davos hat mehr als doppelt soviel Niederschlag erhalten wie normal.

Das erste Monatsdrittel brachte zwei Kaltlufteinbrüche aus Nordwesten am 1. und 6./7. Sie waren von starken Winden, ersterer von großen Niederschlägen in den Alpen begleitet und hatten in der Höhe Temperaturerniedrigungen von 7 bis 10° zur Folge. Sie verursachten ausgesprochene Staulagen; das Tessin hatte fast anhaltend Nordföhn. Dazwischen (3. bis 5.) trat durch Aufbau eines Hochs eine vollständige Aufheiterung ein. Eine beständigere Hochdrucklage mit hellem, warmem Wetter brachte das zweite Monatsdrittel. Die Wetterkarte zeigt einen Hochdruckkern über der Schweiz und eine Tiefdruckrinne etwa über Portugal. Etwas unbeständiger war das Wetter wieder im letzten Drittel. Im Tessin regnete es namentlich am 21. und 22., auf der Alpennordseite am 20., ferner am 24. und 29.; doch waren die Beträge in allen drei Fällen nicht bedeutend. Im übrigen war das Wetter meist mäßig oder leicht bewölkt und mild. Das Hochdruckgebiet lag vom 24. an wieder vorwiegend im Westen.

Auch im MAI sind bedeutende Temperaturüberschüsse zu verzeichnen. Diese betragen auf den Hochstationen 2 bis 2½°, in den Niederungen meist 1½ bis 2°, in Davos und Lugano 1½°, in Chur 0.8°. — Im Mittelland der Südwestschweiz sowie am Alpensüdfuß sind die Bewölkungsverhältnisse annähernd normal. Die größten Bewölkungsüberschüsse ergeben sich für die Ostschweiz, für die Westschweiz dagegen ein Bewölkungsdefizit (70 % in Genf). Es sind fast überall zu viel helle Tage gezählt worden, in Genf 11 statt 6. Für die Sonnenscheindauer erhält man nirgends bedeutende Abweichungen vom Normalwert. — Die Niederschlagsverteilung läßt eine starke Bevorzugung des Gebirges erkennen. Die Niederungen der Alpennordseite zeigen im Südwesten leicht übernormale Mengen und etwas zu viele Regentage, im Nordosten ein beträchtliches Defizit (bis zu 50 %) und zu wenig Regentage. In Graubünden sind die Beträge um etwa die Hälfte, am Alpensüdfuß um ein Drittel zu groß.

Das unbeständige Wetter mit unbedeutenden Niederschlägen hielt auch während des ersten Drittels des Mai an. Die ersten vier Tage waren bei nordöstlicher Wind-

richtung bedeckt. Am 5. setzte eine etwas hellere Föhn-, später Westwindphase ein, die am 9. mit einer Kaltfrontpassage abschloß. Anschließend baute sich ein kräftiger Hochdruckkern über der Schweiz auf. Während des zweiten Monatsdrittels war daher das Wetter vorwiegend hell, anfangs warm, vom 16. bis 18. bei mäßiger Bise etwas kühler. Durch allmähliche Verflachung der Druckverteilung ging das Hochdruckwetter mit dem 20. in eine Gewitterlage über und am 24. und 25. verursachte eine neue größere Störung Niederschläge auf der Nordseite der Alpen. Dagegen waren die letzten vier Tage des Monats unter Hochdruckeinfluß wieder ziemlich hell.

Die Temperaturen des JUNI waren in der Westschweiz annähernd normal, am Alpensüdfuß etwas zu hoch, in der übrigen Schweiz um zirka 1° zu niedrig. — Der Bewölkungsgrad zeigt in der Südwest- und Südschweiz ein leichtes Defizit, in der Zentral-, Nord- und Ostschweiz Überschüsse bis zu einem Viertel des Normalwerts. Entsprechend verteilen sich die trüben und hellen Tage. In Zürich wurde 1 statt 5 helle Tage gezählt. Auch für die Sonnenscheindauer ergibt sich ein Defizit für die nordöstlichen Landesteile (Zürich —40 Stunden), ein leichter Überschuß für die Südwest- und die Südschweiz. — Die Niederschlagsmengen waren im Alpengebiet und am Genfersee bis zu 40 % zu groß. In der Nordschweiz sind zwei Drittel, am Alpensüdfuß ein Drittel der Normalmenge gemessen worden.

Während der ersten zwei Drittel des Monats war das Wetter auf der Alpennordseite unbeständig, veränderlich, meist stark bewölkt mit fast täglichen, allerdings nicht bedeutenden Niederschlägen, anfangs normal warm, später (15.—18.) ausgesprochen kühl. Nur der 7., im Westen auch der 13. und 18., waren etwas heller. Die Niederschläge fielen meist in Schauern. Ausgesprochenes Regenwetter herrschte nur am 17. Die Störungen kamen aus Westen. Dabei lag der Hochdruckkern meist westlich von Spanien oder Frankreich. Am Alpensüdfuß fiel fast nur am 1., 2., 14. und 15. etwas Niederschlag. Besonders hell waren hier unter Nordföhneinfluß der 4., 11. und 18. Das letzte Monatsdrittel brachte unter dem Einfluß eines kontinentalen Hochs, bei leichter Bise allgemein helles, trockenes und normal temperiertes Wetter.

Die klimatischen Verhältnisse weichen im Juli wenigstens im Mittelland von den normalen wenig ab. Die Temperatur war meist um 1/2 bis 1° zu hoch, in Graubünden und im Tessin teilweise etwas zu niedrig. — Die Verteilung des Bewölkungsgrades, der Anzahl heller und trüber Tage sowie der Sonnenscheindauer ergeben zu helles Wetter in der Jurazone und im Genferseegebiet, normale Verhältnisse für das Mittelland und zu große Trübung in Graubünden und im Tessin. Der Bewölkungsgrad war im Jura um etwa 20 % zu klein, in Lugano und Davos um 13 % zu groß. Die Sonnenscheindauer zeigt ebenfalls nur im Tessin und in Graubünden ein Defizit (Davos —24 Stunden). — Die Niederschlagsmengen waren im Mittelland um etwa 10 bis 20 % zu groß. Nordschweiz, Alpengebiet und Alpensüdfuß weisen ein Defizit auf, das im Wallis und in Graubünden auf 50 % ansteigt.

Die ersten fünf Tage des Monats waren unter Hochdruckeinfluß vorwiegend heiter. Dann verursachte ein kontinentales Tiefdrucksystem bei hohem Druck über den Azoren stark bewölktes und besonders am 8. und 9. sehr kühles Wetter mit fast täglichen Niederschlägen. Vom 14. bis 17. herrschte wieder helles Hochdruckwetter. In der Zeit vom 18. bis 27. zieht ein größeres Tiefdrucksystem von Westen nach Osten über unser Land hinweg. Das Wetter war bewölkt, zunächst warm und trocken, nach Übergang zur Rückseite vom 20. an kühl mit Regenschauern. Die letzten vier Tage des Monats waren unter Biseneinfluß hell.

Der AUGUST zeichnete sich namentlich in den nördlichen Landesteilen durch sehr große Trockenheit und ungewöhnlich hohe Temperaturen aus. Die Abweichungen der Temperatur vom Normalwert betragen meist 2—2 1/2°, in Basel, Zürich, Luzern und Sitten 2 1/2—3°. Dies sind hier die höchsten Augusttemperaturen seit 1911. — Der Bewölkungsgrad war, abgesehen von einigen Hochstationen, überall unternormal, besonders im Genferseegebiet, wo er noch 70 % des Normalwerts beträgt. Die Zahl der trüben Tage ist im Mittelland etwa ein Drittel der normalen; Genf hatte sogar nur 1 statt 7. Im Alpengebiet gab es ebenfalls zu wenig trübe, aber zum Teil auch zu wenig helle Tage. Die Sonnenscheindauer war überall zu groß; im Westen (Jura, Mittelland) größer als im Osten (Alpengebiet). Von den aufgeführten Stationen hat Chaux-de-Fonds den relativ größten Überschuß (41 Stunden). — Im nördlichen Mittelland sind auch die Niederschlagsmengen mit 20—30 % des Normalwerts ganz ungewöhnlich gering. Diese Beträge wurden hier zuletzt im August 1893 unterschritten. Auch am Alpensüdfuß sind etwa 30 % des Normalbetrags gefallen, bei einer normalen Anzahl von Regentagen. In der Südwestschweiz sind 40—50 % gemessen worden, (etwas) mehr als 50 % lediglich auf einigen Alpenstationen.

Die ersten zwei Tage des Monats waren noch heiter. Am 3. verursachte eine Kaltfront lokale Gewitterniederschläge. Anschließend herrschte (bei hohem Druck im Westen) meist stärker bewölktes Wetter mit Westwind ohne nennenswerte Niederschläge. Vom 10. an war das Wetter wieder ziemlich hell; immerhin verursachte eine aus Nordwesten kommende Störung am 11./12. nachts gewittrige Niederschläge. Eine heitere Phase setzte am 16. ein, indem sich die Antizyklone nach dem Kontinent verlagerte, wo sich die Druckverteilung indessen bald wieder verflachte. Die Temperatur stieg dabei in der Zeit vom 18. bis 21. besonders im Norden des Landes auf ganz ungewöhnlich hohe Tagesmaxima auch auf den Hochstationen. Mit dem Wiederaufbau des Azorenhochs trat nach einem kräftigen Kaltlufteinbruch am 22. wieder kühleres, wechselnd bewölktes Westwetter mit mäßigen Niederschlägen am 22., 26. und 30. (meist nachts) ein.

Auch der SEPTEMBER war etwas zu warm. Die Temperaturüberschüsse über den Normalwert betragen meist 1.3 °. Wesentlich kleinere Werte (etwa $^1/_2$°) ergeben sich anscheinend für die südwestlichen Teile des Mittellandes und für den Jura (aber nicht für die Stationen am Genfersee), etwas größere für die Gipfelstationen. — Der Bewölkungsgrad zeigt ziemlich gleichmäßig einen Überschuß von etwa 40 %. Etwas geringer erscheint derselbe im westlichen Mittelland. Am Alpensüdfuß und im Mittelland beträgt die Zahl der trüben Tage etwa das Doppelte, die der hellen ein Drittel der normalen. Für die Sonnenscheindauer erhält man meist etwas mehr, für die Südwestschweiz etwas weniger als 80 % der normalen. — Die Niederschlagsmengen waren nur im Alpengebiet zum Teil etwas zu gering. In Lugano und in Davos sind die Beträge um etwa die Hälfte, in der Westschweiz um mehr als drei Viertel zu groß. Genf hat sogar mehr als das Doppelte des Normalwerts erhalten, was seit 1864 nur vereinzelt vorgekommen ist.

Das erste Monatsdrittel war unter Hochdruckeinfluß meist trocken und leicht bewölkt. Später nimmt die Bewölkung zu, doch fällt zunächst im Nordosten nur wenig Niederschlag. Dabei steigt hier die Temperatur am 13. auf das Maximum des Monats. Die Wetterkarte zeigt ein Tiefdruckgebiet im Westen meist westlich von Portugal. Für die zweite Hälfte des Monats ist dagegen ein stark entwickelter Hochdruckkern über dem Ozean, nördlich der Azoren charakteristisch. Dabei war das Wetter in der Schweiz bei Zufuhr maritimer Luft aus Nordwesten und unter dem Einfluß von Störungslinien kontinentaler Depressionen vorwiegend naß. Größere Niederschläge verursachte zunächst (vom 14. bis 16.) ein Kaltlufteinbruch aus Westen, der mit einem kräftigen Vorstoß des Azorenhochs nach dem Kontinent verbunden war. Weitere größere Niederschläge folgten am 18. bis 20., am 22. (Genf 80 mm) und am 25. bis 26. Am 26. regnete es in der Nordostschweiz während einer kräftigen Staulage mit Nordwestströmung den ganzen Tag.

Der OKTOBER zeichnete sich durch ganz ungewöhnlich große Trockenheit und Wärme aus. Die Temperaturwerte überschreiten den Normalwert am Alpennordfuß um $2^1/_2$ bis 3°, auf den Hochstationen um mehr als $3^1/_2$°, in Lugano um 1.9°. In der Westschweiz und auf den Gipfelstationen sind sie die höchsten seit 1921, für Genf und Säntis seit Beginn der Beobachtungen (1864, bzw. 1882). In der übrigen Schweiz (auch in den Alpentälern) waren dagegen die letztjährigen Oktoberwerte höher. — Der Bewölkungsgrad zeigt auf der Alpennordseite ein Defizit von maximal 10% im Mittelland, 40% im Alpengebiet, dagegen einen Überschuß am Alpensüdfuß. Dementsprechend ist die Zahl der trüben Tage auf den Hochstationen sehr gering (Säntis nur 2 statt 12), umgekehrt die der hellen zu groß. Auch in den Niederungen wurde die normale Anzahl an trüben Tagen nicht ganz erreicht. Auch in der Sonnenscheindauer fällt der große Überschuß auf den Hochstationen auf (Säntis 232 statt 138 Stunden). In den Niederungen der Alpennordseite beträgt er etwa 20 bis 40% des Normalbetrags. Dagegen hat der Alpensüdfuß ein mäßiges Defizit. — Niederschläge sind in der Nordost- und Zentralschweiz sowie im Unterwallis fast gar keine gefallen, was seit Beginn der Beobachtungen (1864) noch nie vorgekommen ist. Dagegen ergeben sich geringe Beträge für die Westschweiz, nämlich 30% für Genf, 10% für Lausanne und Neuenburg. Lugano hat die Hälfte des Normalbetrags erhalten.

Der Alpensüdfuß war vom 6. an fast immer stark bewölkt. Auf der Alpennordseite waren während der ersten Monatshälfte wenigstens die Höhen unter Hochdruckeinfluß heiter oder leicht bewölkt. In den Niederungen traten zunächst zeitweise Morgennebel auf; später herrschte eine höher gelegene, jeweils den ganzen Tag anhaltende, hochnebelartige Wolkendecke vor (Obergrenze 1200 bis 2000 m ü. M.). Am 8./9., dem einzigen Niederschlagstag der Nordostschweiz, fiel hier nur etwas Nebelregen. Vom 14. zum 15. verlagerte sich das Hochdruckgebiet nach Osten, und es erschien ein Depressionssystem im Westen. Von da an herrschte, bei vorwiegend südlichen Winden, auch in den Niederungen helles Wetter besonders im Osten. Vorübergehende allgemeine Trübungen traten auf vom 17. bis 19. mit Niederschlägen in der West- und Südschweiz und sodann wieder am 25. bis 27. Die Niederungen waren vom 25. an wieder vorwiegend neblig.

Der NOVEMBER war auf der Südseite der Alpen normal warm, auf der Nordseite etwas zu kalt. Im Mittelland beträgt das Defizit weniger als $^1/_2$°, im Waadtland und im Wallis $^1/_2$ bis 1°. Wesentlich größer ist es im Alpengebiet und im Jura, besonders auf den Gipfelstationen (etwa 2°). — Der Bewölkungsgrad war im westlichen Mittelland und am Alpensüdfuß normal, sehr groß im östlichen Alpengebiet, wo ein Überschuß bis zu 30 % (Davos) festgestellt werden kann. Die Sonnenscheindauer war eher zu klein. Das Defizit war besonders groß in Basel und auf dem Säntis (36, bzw. 54 Stunden). — Die Niederschlagsergebnisse zeigen ein beträchtliches Defizit im bernischen Mittelland, im Waadtland (bis zu 30 %) sowie in Graubünden und ganz besonders auf der Alpensüdseite. Dagegen haben das nordseitige Alpengebiet und vor allem die Jurazone stärkere Überschüsse bis zum Doppelten des Normalbetrags erhalten.

Während des ersten Monatsdrittels herrschte in der Schweiz unter dem Einfluß eines kontinentalen Hochdruckgebiets vorwiegend trübes, nebliges Wetter in den Niederungen bei heiterem Himmel in der Höhe. Immerhin verursachte eine Störungslinie am 7. unbedeutende Niederschläge. Der 9. und der 10. waren, abgesehen von lokalen Morgennebeln, heiter. Mit dem 11. verlagerte sich der Hochdruckkern dauernd nach Westen (Azoren) und am 12. setzten auf der Alpennordseite neue Niederschläge ein, die am 13./14. nachmittags und nachts besonders für die Jurazone große Beträge ergaben. Es folgte wechselnd bewölktes Wetter, hernach eine Bisenlage: Vom 18. bis 23. waren die Niederungen wieder bedeckt und neblig, die Höhen bewölkt. Dabei fiel am

Alpensüdfuß etwas Niederschlag. Offenbar machte sich hier der Einfluß einer Mittelmeerdepression bemerkbar. Für den Rest des Monats war dann das Wetter am Alpensüdfuß im wesentlichen heiter, dafür auf der Alpennordseite stärker gestört mit (abgesehen vom 26. und 27.) täglichen Niederschlägen und zeitweilig ziemlich starkem Westwind.

Der DEZEMBER war etwas zu warm. Die Abweichungen der Temperatur vom Normalwert betragen in Lugano 1.9°, im Mittelland, in Genf, im Wallis und in Graubünden 1—1½°, auf einzelnen (u. a. auf hochgelegenen) Stationen weniger als 1°. — Der Bewölkungsgrad und die Zahl der trüben Tage waren im Wallis und in der Westschweiz zu klein, sonst zu groß. Dementsprechend ergibt sich für die Westschweiz meist ein Überschuß, für die übrigen, besonders für die nördlichen Landesteile, ein Defizit an Sonnenscheindauer. Helle Tage fehlen im Mittelland ganz. (11 für Sion ist nur mäßig übernormal.) — Für die Niederschlagsmengen erhält man nur auf der Südseite der Alpen etwas zu große Werte. In den nordöstlichen Teilen des Mittellandes und in Graubünden sind strichweise sehr geringe Mengen gefallen. Diese betragen hier meist weniger als ein Drittel, im übrigen Alpengebiet, in der Westschweiz und im Jura etwa die Hälfte, in Genf drei Viertel des Normalwerts.

Die Alpennordseite war während der ersten drei Tage des Monats noch bedeckt. Niederschläge fielen, abgesehen vom 1., nur noch in der Westschweiz. Nach einer kurzen, jedoch nur für die Höhen hellen Hochdrucklage, setzte mit dem 7. eine neue Störungsphase ein, die aber nur geringe Niederschläge brachte. Es folgte eine neue Hochdrucklage vom 11. bis 18. mit vorwiegend hellem Himmel in der Höhe und einer (von 1600 m an) langsam absinkenden Hochnebel-, später Nebeldecke über dem Mittelland. Neue Niederschläge fielen während der Passage einer scharfen Störungslinie in der Nacht vom 19. bis zum 20. Vom 23. an war das Wetter vorwiegend mäßig bewölkt. Nach einem trockenen Kaltlufteinbruch (24./25.) bildete sich auf der Alpennordseite ein neues, kräftiges Hochdruckgebiet. Eine geschlossene Hochnebeldecke bestand wieder am 28. und 29. Noch etwas Niederschlag (Schnee) fiel dann wieder während und nach einer Kaltfrontpassage am 30. und 31. — Am Alpensüdfuß regnete es in der Zeit vom 3. bis 8. und vom 17. bis 22. Der 1. und 14. sowie der 24. bis 31. waren heiter.

Monatswerte der wichtigsten meteorologischen Elemente 1943

	Höhe m	Januar	Febr.	März	April	Mai	Juni	Juli	Aug.	Sept.	Okt.	Nov.	Dez.	Jahr
							Temperatur							
Basel	318	1.4	3.4	6.8	10.8	14.4	15.8	19.0	20.0	15.1	11.4	3.5	1.1	10.2
La Chaux-de-Fonds	990	-0.5	-0.2	4.0	6.8	11.0	11.9	15.7	15.6	12.3	9.2	0.0	-0.7	7.1
Zürich	493	0.2	3.0	7.3	10.7	14.6	15.3	18.7	19.7	15.3	11.3	3.4	1.2	10.1
Bern	572	-0.7	1.7	6.0	9.6	13.5	14.8	17.8	19.0	14.2	10.3	2.4	0.3	9.1
Lausanne	553	1.5	3.2	7.4	10.7	14.6	16.1	19.3	19.8	15.6	12.3	3.9	1.8	10.5
Genf	405	1.8	3.5	7.1	11.0	15.1	17.1	20.0	20.7	16.3	12.4	4.8	2.5	11.0
Davos	1561	-5.8	-4.4	0.3	3.2	8.3	9.3	12.5	13.8	9.7	5.7	-2.5	-4.8	3.8
Säntis	2500	-7.9	-7.1	-4.3	-3.2	1.6	2.0	5.6	7.0	4.6	2.8	-7.0	-6.5	-1.0
Lugano	276	1.8	5.6	8.8	13.9	16.5	19.7	21.1	22.6	18.2	13.4	6.3	4.4	12.7
							Abweichungen von den normalen Mitteln							
Basel	318	2.4	2.3	2.5	2.3	1.9	-0.4	0.9	2.8	1.3	2.9	-0.4	1.0	1.6
La Chaux-de-Fonds	990	2.1	0.9	2.8	1.4	1.5	-1.3	0.4	1.2	0.6	2.7	-1.9	0.8	1.0
Zürich	493	1.5	2.2	3.3	2.0	1.8	-1.1	0.5	2.5	1.3	2.7	-0.3	1.4	1.5
Bern	572	1.5	1.6	2.8	1.5	1.4	-0.8	-0.1	2.3	0.5	2.5	-0.5	1.5	1.2
Lausanne	553	1.9	1.8	3.1	2.1	1.9	-0.1	0.8	2.3	1.2	3.2	-0.6	0.9	1.5
Genf	405	1.8	1.4	2.2	1.7	1.9	0.2	0.4	2.4	1.2	2.9	-0.2	1.3	1.4
Davos	1561	1.4	0.5	2.8	1.0	1.5	-1.0	0.4	2.5	1.4	2.2	-1.1	1.0	1.1
Säntis	2500	1.1	1.9	4.3	1.2	2.5	-0.6	0.6	2.4	1.8	4.3	-2.2	0.5	1.5
Lugano	276	0.4	2.2	1.9	2.6	1.4	0.7	-0.3	2.1	1.2	1.9	0.1	1.9	1.4
							Niederschlag (mm)							
Basel	318	52	36	25	34	64	63	55	43	114	3	61	24	574
La Chaux-de-Fonds	990	223	95	53	97	172	151	236	60	145	15	246	46	1539
Zürich	493	77	50	59	43	56	109	123	28	131	1	79	16	772
Bern	572	54	38	42	43	95	122	125	55	142	3	56	17	792
Lausanne	553	110	50	46	49	104	104	69	49	161	11	59	35	847
Genf	405	81	34	37	35	76	85	90	41	188	32	53	43	795
Davos	1561	80	36	42	129	104	155	114	55	138	0	39	22	914
Säntis	2500	249	209	89	252	169	400	268	144	150	0	293	121	2344
Lugano	276	38	20	68	66	218	60	140	57	278	104	46	96	1191
							Abweichungen von den normalen Mitteln							
Basel	318	14	-6	-26	-30	-15	-39	-31	-42	37	-73	0	-28	-239
La Chaux-de-Fonds	990	110	6	-46	-22	52	30	112	-63	36	-118	142	-68	171
Zürich	493	24	-6	-14	-48	-54	-25	-6	-104	26	-93	10	-57	-347
Bern	572	8	-14	-20	-29	8	14	21	-51	59	-86	-12	-46	-148
Lausanne	553	59	-7	-25	-22	15	7	-24	-59	70	-98	-24	-40	-148
Genf	405	38	-14	-22	-29	0	7	15	-53	110	-74	-25	-19	-66
Davos	1561	31	-17	-15	71	39	47	-15	-79	44	-66	-21	-41	-22
Säntis	2500	12	23	-112	-12	-41	107	-43	-149	-79	-180	114	-135	-495
Lugano	276	-19	-38	-41	-91	46	-132	-24	-134	97	-104	-83	19	-504
							Monats- und Jahressummen der Sonnenscheindauer in Stunden							
Basel	318	74	110	159	197	213	212	259	271	138	132	28	21	1814
La Chaux-de-Fonds	990	76	106	157	165	193	194	222	253	121	162	60	88	1797
Zürich	493	48	119	188	209	225	191	269	254	135	134	45	18	1835
Bern	572	78	128	160	210	223	229	269	265	132	136	60	29	1919
Lausanne	553	70	152	182	238	233	269	285	295	142	149	69	67	2151
Genf	405	48	146	190	251	251	297	296	321	159	149	75	37	2220
Davos	1561	84	116	192	171	175	157	186	227	136	182	86	77	1789
Säntis	2500	76	132	181	169	163	92	173	188	130	232	83	108	1727
Lugano	276	115	180	167	241	234	264	290	297	162	122	111	106	2289
							Abweichungen von den normalen Werten							
Basel	318	9	10	32	52	-4	-19	13	37	-24	24	-36	-36	58
La Chaux-de-Fonds	990	0	11	39	39	19	6	7	41	-36	38	-23	29	170
Zürich	493	0	22	58	59	10	-40	18	22	-29	38	-7	-20	131
Bern	572	18	28	35	72	18	1	28	28	-32	29	2	-16	211
Lausanne	553	-4	42	39	72	1	9	22	35	-44	24	-5	7	198
Genf	405	-14	43	38	68	1	13	1	42	-43	27	10	-13	173
Davos	1561	-18	7	43	13	0	-19	-24	18	-36	49	-16	-14	3
Säntis	2500	-46	14	47	32	11	-55	7	8	-29	94	-54	-15	14
Lugano	276	-12	33	-14	58	20	20	-2	24	-39	-25	7	-11	59

Nr. 2

Liste des chutes de grêle en Suisse pendant l'année 1943

établie à l'aide des statistiques de la Station centrale de météorologie, de celles de la Société Suisse d'Assurance contre la Grêle à Zurich et de l'Assurance-Grêle cantonale vaudoise à Lausanne, par Ch. Golaz.

Canton	Mars	Avril	Mai											Juin													Juillet								
	21	29	1	5	6	7	9	20	21	22	26	31	1	3	4	6	8	9	10	15	16	17	19	21	26	30	2	3	5	6	8	9	13	14	15
Argovie	.	.	.	.	.	.	.	.	.	.	.	.	.	.	6	.	.	.	2	3	13	1	1	2	.	.	.	.	.	.	.	.	1	.	.
Appenzell	.	.	.	.	.	.	.	.	.	.	.	.	.	1	.	.	.	.	3	.	.	.	.	.	.	.	.	.	.	.	.	.	.	.	.
Bâle	.	.	.	.	.	.	1	.	.	.	.	.	.	3	.	.	.	.	.	.	.	.	23	.	.	.	.	.	.	.	.	.	.	.	.
Berne	.	1	.	.	.	.	.	.	7	3	.	.	14	.	.	.	.	.	4	.	1	.	.	.	.	.	.	.	.	.	.	1	3	.	.
Fribourg	.	.	.	.	.	.	1	.	1	.	.	.	1	.	.	.	.	.	.	.	.	.	.	.	.	.	.	.	.	12	.	.	1	.	.
St-Gall	.	.	.	.	.	.	.	.	.	.	.	.	2	.	2	2	.	.	17	.	2	.	.	3	1	.	.	.	.	.	.	.	.	.	.
Genève	.	.	.	.	.	.	.	.	.	.	.	.	.	.	.	.	.	.	.	.	.	.	.	.	.	.	.	.	.	.	.	.	.	.	.
Glaris	.	.	.	.	.	.	.	.	.	.	.	.	1	.	.	.	.	.	.	.	.	.	.	.	.	1	.	.	.	.	.	.	.	.	.
Grisons	.	.	.	.	.	.	.	.	.	.	.	1	.	.	.	.	.	.	.	.	.	.	.	.	.	.	.	.	.	.	2	.	.	.	.
Lucerne	.	.	.	1	.	1	.	.	2	9	.	.	9	.	.	.	1	.	4	10	12	2	.	.	.	.	.	.	.	.	1	2	3	.	.
Neuchâtel	.	.	.	.	.	.	.	.	4	2	.	.	.	.	.	.	.	.	.	.	1	.	.	.	.	.	.	.	.	.	.	.	.	.	.
Schaffhouse	.	.	.	.	.	.	.	.	.	.	.	.	.	.	1	6	.	2	.	.	.	.	.	.	.	.	.	.	.	.	.	.	.	.	.
Schwyz	.	.	.	.	.	.	.	.	.	1	.	.	1	1	1	.	.	.	.	.	3	.	.	.	.	.	.	.	.	.	.	.	.	.	.
Soleure	.	.	.	.	.	.	.	.	.	.	.	.	.	.	2	.	.	.	3	1	1	.	.	.	.	.	.	.	.	.	.	.	.	.	.
Tessin	.	.	.	.	.	.	.	1	.	.	.	3	.	.	.	.	.	.	5	3	.	.	.	.	.	20	26	2	3	.	128	1	2	1	1
Thurgovie	.	.	.	.	.	.	.	.	.	.	.	.	.	1	5	.	.	.	32	.	7	.	.	.	.	.	.	.	.	.	.	.	2	.	.
Unterwald	1	.	.	.	.	.	.	.	.	.	.	.	.	.	.	.	.	.	.	1	.	.	.	.	.	.	.	.	.	.	.	.	.	.	.
Uri	.	.	.	.	.	.	.	.	.	.	.	.	.	.	.	.	.	.	.	.	.	.	.	.	.	1	.	.	.	.	.	.	.	.	.
Vaud	.	.	1	.	1	3	.	.	2	2	.	.	.	1	.	.	.	.	.	.	1	.	.	.	.	.	.	.	.	3	3	1	.	.	.
Valais	.	.	.	.	.	.	.	.	.	.	.	.	.	.	.	.	.	.	.	.	.	.	.	.	.	.	.	.	.	.	.	.	.	.	.
Zurich	.	.	.	.	.	.	.	.	.	.	1	.	.	2	2	.	.	.	29	.	24	.	.	9	.	.	.	.	.	2	4	.	2	.	.
Zoug	.	.	.	.	.	.	.	.	.	.	.	.	5	2	.	.	.	.	.	.	4	.	.	.	.	.	.	.	.	.	1	.	1	.	.
Totaux	1	1	1	1	1	4	2	1	16	17	1	4	33	11	19	8	1	2	99	18	69	3	24	14	1	22	26	2	3	17	139	5	15	1	1
par mois	1	1	48										324																						

Suite de la dite statistique.

Canton	Juillet										Août													Septembre									Somme
	19	20	21	22	23	24	25	26	27	31	1	2	3	4	5	6	10	11	12	18	19	26	27	3	4	11	14	18	20	24	25	26	
Argovie	6	2	.	3	.	4	.	.	1	.	.	.	2	.	.	.	.	1	.	.	.	.	.	.	.	.	.	.	.	.	7	.	55
Appenzell	.	.	.	.	.	1	.	.	1	.	.	.	.	.	.	.	.	2	.	.	.	.	.	.	.	.	.	.	.	.	.	.	8
Bâle	6	.	.	.	2	.	.	.	.	.	.	.	17	.	.	.	.	2	.	.	.	1	.	.	.	.	.	.	.	1	1	.	57
Berne	7	4	.	.	.	1	3	.	9	4	1	1	19	.	1	.	.	3	.	.	3	.	.	.	.	.	.	.	.	.	3	.	93
Fribourg	22	1	.	7	.	.	.	1	.	1	.	.	24	.	.	.	.	36	.	.	.	.	.	.	.	.	.	.	.	.	10	.	118
St-Gall	5	5	.	1	.	2	.	.	1	.	.	.	.	.	.	.	.	16	.	.	.	.	.	1	.	.	.	.	.	.	.	.	60
Genève	2	.	.	5	.	.	.	.	.	.	.	.	.	.	.	.	.	24	.	.	.	.	.	.	.	.	.	.	.	.	.	.	31
Glaris	.	.	.	.	.	.	.	.	.	.	.	.	.	.	.	.	.	.	.	.	.	.	.	.	.	.	.	.	.	.	.	.	2
Grisons	.	.	.	.	.	.	.	.	.	.	.	.	.	.	.	.	.	.	.	1	.	.	1	.	.	.	.	.	.	.	.	.	5
Lucerne	.	31	3	10	4	4	.	.	4	2	.	2	.	.	.	.	.	3	.	.	.	.	.	.	.	.	.	.	1	.	2	.	123
Neuchâtel	.	9	.	2	.	.	.	.	.	3	.	.	.	.	.	.	.	22	.	.	.	.	.	.	.	.	.	.	.	.	.	.	43
Schaffhouse	.	.	.	4	.	1	.	.	1	.	.	.	.	.	.	.	.	.	.	.	.	.	.	.	.	.	.	.	.	.	.	.	15
Schwyz	.	.	.	.	.	4	.	.	3	.	.	.	.	.	.	.	.	2	.	.	.	.	.	.	.	.	.	.	.	.	.	.	16
Soleure	26	1	.	6	.	.	.	.	.	.	.	.	28	1	.	.	.	.	.	.	.	.	.	.	.	.	.	.	.	.	22	.	91
Tessin	.	.	22	1	28	.	1	13	.	.	.	.	.	.	.	30	.	.	.	.	.	.	.	.	14	1	45	5	37	.	.	10	403
Thurgovie	.	2	.	.	12	.	.	.	.	.	.	.	.	.	.	.	10	33	.	.	.	.	.	.	.	.	.	.	.	.	.	.	104
Unterwald	.	.	.	.	.	.	.	.	.	.	.	.	.	.	.	.	.	.	.	.	.	.	.	.	.	.	.	.	.	.	.	.	2
Uri	.	.	.	.	.	.	.	.	.	1	.	.	.	.	.	.	.	.	.	.	.	.	.	.	.	.	.	.	.	.	.	.	2
Vaud	22	1	8	4	1	1	.	1	1	2	.	.	.	.	.	.	.	23	1	.	6	.	.	.	.	1	.	.	1	1	1	.	93
Valais	4	.	1	.	.	.	.	.	.	1	.	.	4	.	.	.	.	4	.	.	2	.	.	.	.	.	.	.	.	.	.	.	16
Zurich	.	3	2	2	6	.	.	.	12	.	.	.	.	.	.	.	.	7	.	.	.	.	.	2	.	.	.	.	.	.	.	.	109
Zoug	.	1	.	.	.	2	.	.	1	.	.	.	.	.	.	.	.	.	.	.	.	.	.	.	.	.	.	.	1	.	.	.	18
Totaux	100	60	36	45	53	20	4	15	34	14	1	3	94	1	1	30	10	178	1	1	11	1	1	3	14	2	45	5	40	2	46	10	1464
par mois	590										333													167									1464

Nr. 3

Monats- und Jahressummen

der Niederschlagsmessungen sämtlicher meteorol. Stationen I.—III. Ordnung im Jahre 1943

Bei Zählung der Niederschläge sind in dieser Tabelle nur die Tage mit mindestens 1,0 mm berücksichtigt worden.
Die mit * bezeichneten Summen sind nach den Nachbarstationen interpoliert.

Stationen:	Höhe üb. Meer	Jan.	Febr.	März	April	Mai	Juni	Juli	Aug.	Sept.	Okt.	Nov.	Dez.	Jahr	Maxima		Zahl d. Tage
A. Rheingebiet																	
I. Quellgebiet bis Bodensee																	
Sedrun (Tavetsch)	ca 1401	125	56	53	174	77	74	73	86	203	0	64	36	1021	71	1. IV.	109
Platta (Medels)	1378	68	22	27	105	106	77	115	78	295	14	47	22	976	83	25. IX.	108
Vial	ca 1280	80	20	28	98	117	112	106	76	357	23	41	13	1071	91	25. IX.	105
Val	1210	97	25	38	110	105	101	111	69	227	15	40	13	951	58	14. IX.	90
Surrhein	ca 892	69	15	41	92	81	90	81	47	214	10	44	17	801	73	25. IX.	83
Panix	ca 1300	108	41	47	94	99	140	83	42	197	11	75	46	983	51	25. IX.	113
Vrin	ca 1454	*40	12	39	112	95	127	99	56	225	1	50	27	883	68	25. IX.	97
Vals	ca 1248	36	13	22	61	73	90	85	68	251	18	22	13	752	78	25. IX.	91
Ilanz	ca 704	68	16	32	96	94	95	65	39	199	0	45	18	767	67	25. IX.	99
Flims	ca 1100	112	37	51	126	90	132	83	59	211	0	65	35	1001	67	25. IX.	110
Safienplatz	ca 1270	72	24	42	119	97	111	122	62	231	4	43	16	943	65	25. IX.	109
Bernhardin-Paß	2073	—	—	—	—	—	83	153	76	403	143	—	—	—	—	—	—
Hinterrhein	ca 1624	23	17	33	100	127	101	108	45	337	100	32	29	1052	?	—	111
Splügen (Dorf)	ca 1500	42	12	32	82	108	101	99	76	318	49	24	26	969	88	25. IX.	85
Avers am Bach	ca 1955	21	21	22	54	90	117	129	71	203	13	21	21	783	49	15. VI.	99
Inner-Ferrera	ca 1480	9	3	31	57	99	120	110	65	332	18	13	15	872	65	25. IX.	81
Andeer	ca 980	35	16	19	67	88	98	119	53	240	10	20	12	777	60	25. IX.	77
Thusis	ca 711	54	11	26	67	96	89	76	41	233	2	23	8	726	64	25. IX.	85
Bivio	ca 1780	42	69	52	121	95	111	138	68	198	5	40	20	959	44	6. VII.	106
Savognin	ca 1213	31	17	23	57	87	96	90	50	192	0	13	21	677	35	9. V./6. VII.	91
Weißfluhjoch	2660	119	43	72	—	—	—	—	—	—	—	—	—	—	—	—	—
Davos-Platz	1561	80	36	42	129	104	155	114	55	138	0	39	22	914	42	1. IV.	118
Albula (Hospiz)	ca 2315	33	23	43	28	82	73	59	48	103	10	11	16	529	27	23. V.	102
Filisur	ca 1040	47	14	18	46	83	101	87	33	141	0	16	10	596	43	19. IX.	93
Lenzerheide	ca 1477	51	19	20	94	93	115	73	43	174	0	28	15	725	48	25. IX.	89
Nisellas (Alvaschein)	ca 890	36	8	19	62	98	123	88	31	177	0	12	6	660	42	25. IX.	83
Tomils	ca 823	69	12	22	72	77	93	63	48	207	0	25	7	695	57	25. IX.	91
Arosa	1865	91	45	46	116	109	160	129	77	237	1	48	31	1090	54	25. IX.	126
Tschiertschen	1351	66	23	24	105	98	148	97	45	194	0	44	22	866	53	25. IX.	115
Chur	633	64	12	22	94	96	89	56	33	175	0	39	11	691	66	25. IX.	92
Klosters	ca 1207	110	56	63	152	132	197	119	53	159	0	80	31	1152	55	1. IV.	125
St. Antönien	ca 1460	121	57	53	137	137	224	127	56	178	0	79	34	1203	46	19. IX.	116
Schiers	670	79	29	39	94	108	157	84	32	186	0	61	19	888	56	25. IX.	105
Seewis	954	112	47	49	141	139	190	97	49	195	0	78	29	1126	61	1. IV.	118
Plantahof b. Landqu.	530	83	38	36	103	108	142	73	46	174	0	61	25	889	64	25. IX.	111
Vättis	950	87	61	49	116	85	150	82	39	152	1	*80	23	925	47	1. IV.	107
Bad Ragaz	ca 521	102	43	52	101	103	184	70	52	171	0	66	31	975	61	25. IX.	113
Sargans	507	117	42	45	114	109	204	76	56	148	0	99	48	1058	49	9. VI.	124
Sevelen	464	79	33	32	77	84	180	76	57	131	0	66	21	836	53	9. VI.	102
Vaduz (Liechtenstein)	460	57	23	30	61	71	159	79	52	119	0	38	16	705	51	9. VI.	98
Haag	448	90	60	42	112	100	218	131	46	110	0	95	26	1030	69	9. VI.	112
Oberriet	426	68	49	35	87	54	169	118	67	106	0	110	30	893	37	25. IX.	110
Kriesseren	419	64	38	36	52	59	173	110	58	95	1	69	21	776	34	9. VI.	115
Eichberg	540	98	64	44	104	100	203	111	69	107	0	125	40	1065	40	25. IX.	122
Gätziberg	760	107	77	49	123	104	219	117	70	125	1	157	45	1194	44	25. IX.	126

Stationen:		Höhe üb. Meer	Jan.	Febr.	März	April	Mai	Juni	Juli	Aug.	Sept.	Okt.	Nov.	Dez.	Jahr	Maxima		Z. M. d. Tage
Altstätten	ca	474	72	59	32	89	90	191	120	62	111	[illegible]	117	52	[illegible]	40	25. IX.	[illegible]
Heerbrugg		405	64	48	36	81	63	161	123	62	105	[illegible]	80	[illegible]	85[illegible]	37	25. IX.	[illegible]
Widnau		404	55	39	35	66	61	165	115	55	98	[illegible]	79	14	773	32	9. VI.	[illegible]
Heiden	ca	810	80	50	46	80	73	184	156	58	116	[illegible]	[illegible]	[illegible]	[illegible]	39	25. IX.	[illegible]
II. Bodensee bis Basel																		
Rorschach		455	66	48	38	77	56	132	107	55	105	0	82	27	793	33	25. IX.	116
St. Gallen (Bruggen)		679	63	45	49	67	56	148	118	48	113	2	9[illegible]	21	82[illegible]	32	25. IX.	[illegible]
Arbon	ca	409	56	36	38	44	38	116	87	36	97	0	72	17	617	27	25. IX.	[illegible]
Amriswil	ca	455	58	38	44	51	34	123	83	43	124	1	71	21	[illegible]	24	25. IX.	[illegible]
Altnau		458	66	42	44	42	29	96	59	28	95	0	[illegible]	25	[illegible]	22	25. IX.	[illegible]
Kreuzlingen		446	74	42	45	45	41	98	60	32	105	2	[illegible]	[illegible]	[illegible]	25	22. IX.	115
Haidenhaus		694	78	35	48	37	46	91	89	19	111	0	81	32	[illegible]	22	22. IX.	[illegible]
Steckborn	ca	400	64	28	35	39	41	75	64	19	98	0	69	23	555	21	22. IX.	[illegible]
Eschenz	ca	417	72	40	36	48	40	82	55	13	104	0	86	14	590	21	12. XII.	97
Thayngen	ca	455	87	28	28	43	49	53	86	48	104	1	98	24	640	41	22. VII.	108
Buch (Schaffhausen)		430	65	21	32	53	47	64	81	10	102	1	74	17	567	30	22. VII.	99
Dießenhofen	ca	410	96	34	44	49	60	84	93	16	126	3	98	18	721	43	22. VII.	[illegible]
Lohn	ca	643	94	27	30	43	57	60	51	20	111	1	112	24	630	41	13. XI.	[illegible]
Merishausen	ca	535	115	31	37	53	70	98	44	18	117	1	126	26	736	*48	13. XI.	107
Schaffhausen		448	67	28	26	40	47	70	48	17	100	1	84	27	535	29	13. XI.	[illegible]
Rheinau	ca	361	61	33	26	39	44	67	42	9	107	1	64	23	513	20	22. IX.	98
Flaach		362	89	42	44	50	53	98	56	14	117	0	[illegible]	29	673	23	19. IX.	[illegible]
Wil (bei Rafz)	ca	410	93	59	39	40	57	83	51	15	107	2	94	29	[illegible]	29	13. XI.	[illegible]
Kaiserstuhl	ca	342	115	51	35	58	70	91	58	13	103	1	100	24	719	26	25. V.	98
Schleitheim		477	101	26	32	38	49	67	60	22	104	0	99	21	619	37	13. XI.	[illegible]
Hallau		450	105	30	31	36	48	57	32	16	99	0	101	23	5[illegible]8	37	13. XI.	[illegible]
Wilchingen	ca	415	101	39	38	52	61	81	48	22	128	1	124	3[illegible]	72[illegible]	38	13. XI.	[illegible]
Laufenburg	ca	325	107	48	31	58	65	153	112	37	116	1	114	22	8[illegible]4	30	28. XI.	113
Wittnau	ca	415	82	52	28	53	69	108	111	29	104	1	105	28	7[illegible]	28	8. VII.	114
Frick	ca	350	89	50	26	50	66	117	104	34	124	2	106	2[illegible]	797	29	22. XI.	[illegible]
Möhlin	ca	332	81	44	30	59	45	119	87	52	111	2	81	24	7[illegible]5	23	22. VIII.	[illegible]
Wintersingen		444	72	49	42	64	45	106	110	51	124	4	97	[illegible]	8[illegible]4	25	8. VII.	119
Rheinfelden		283	74	41	30	50	46	99	85	57	116	2	69	[illegible]	6[illegible]5	22	14. IX.	115
Kilchberg	ca	582	80	41	37	66	56	124	121	37	91	4	86	31	774	31	3. VI.	[illegible]
Böckten	ca	385	71	47	35	74	47	123	114	46	125	4	77	37	8[illegible]	29	3. VI.	121
Eptingen	ca	571	78	57	44	66	58	125	118	60	123	1	69	28	8[illegible]7	28	7. VII.	118
Bennwil	ca	526	85	45	35	59	57	103	137	44	133	3	89	27	8[illegible]7	28	19. VII.	125
Waldenburg	ca	533	114	49	36	58	69	108	150	43	122	3	87	[illegible]	8[illegible]5	37	19. VII.	124
Lampenberg	ca	536	86	47	33	56	54	97	104	48	121	3	89	29	767	26	7. VII.	122
Reigoldswil	ca	497	83	51	47	64	73	105	151	51	124	3	83	3[illegible]	8[illegible]5	34	19. VII.	122
Liestal		325	85	64	42	49	54	119	83	60	114	3	87	42	8[illegible]2	28	13. XI.	[illegible]
Arisdorf	ca	430	64	35	40	58	34	101	79	48	125	3	71	45	7[illegible]3	28	14. IX.	[illegible]
Basel-Augst	ca	275	62	37	30	53	54	98	80	50	116	3	59	30	672	22	13. XI.	[illegible]
Mervelier	ca	560	*75	34	43	49	85	104	116	68	105	0	99	21	79[illegible]	29	7. VII.	[illegible]
Bellelay	ca	930	108	38	53	64	158	115	84	57	143	7	137	27	[illegible]	29	28. XI.	126
Delémont	ca	435	73	46	39	39	80	91	54	34	83	6	87	18	05[illegible]	20	14. VI.	[illegible]
Seewen	ca	551	60	42	33	50	58	119	95	62	111	2	77	30	73[illegible]	29	3. VIII.	[illegible]
Grellingen	ca	328	69	46	44	47	64	100	92	59	116	5	83	31	759	40	19. VII.	[illegible]
Pfeffingen	ca	394	54	48	33	46	75	94	76	50	116	6	80	27	7[illegible]5	23	22. IX.	[illegible]
Neue Welt	ca	267	48	37	24	32	47	78	57	42	119	4	55	29	572	24	22. IX.	103
Therwil	ca	310	61	40	25	38	52	83	52	44	131	4	67	2[illegible]	62[illegible]	25	22. IX.	[illegible]
Basel-Binningen		318	52	36	25	34	64	63	55	43	114	3	61	24	574	28	22. IX.	[illegible]
Basel-Bernoullianum		277	60	32	27	39	57	66	56	44	124	4	58	22	58[illegible]	33	11. IX.	[illegible]
III. Thur																		
Starkenbach	ca	894	176	95	103	218	132	293	164	99	128	0	204	[illegible]	1658	91	1. IV.	[illegible]
Ebnat		649	157	79	82	170	140	292	166	80	138	0	190	38	[illegible]	59	1. IV.	130
Ricken		790	121	68	75	130	113	311	227	82	164	1	143	[illegible]	[illegible]	61	9. VI.	130
Peterzell	ca	705	78	68	66	98	77	183	137	58	121	2	132	49	[illegible]	35	25. IX.	[illegible]
Nollen	ca	740	62	39	53	68	51	124	122	32	138	0	87	21	797	29	[illegible]	117

Stationen:	Höhe ü. Meer	Jan.	Febr.	März	April	Mai	Juni	Juli	Aug.	Sept.	Okt.	Nov.	Dez.	Jahr	Maxima		Zahl d. Tage
Degersheim	[illegible]	[illegible]	[illegible]	[illegible]	104	66	167	138	55	117	3	105	31	1005	33	6. VII	131
Herisau	[illegible]	[illegible]	53	[illegible]	53	51	139	125	54	107	3	103	29	858	35	6. VII.	123
Flawil	[illegible]	[illegible]	47	[illegible]	80	50	122	94	44	124	2	88	26	813	23	25. IX.	130
Säntis	[illegible]	249	[illegible]	89	252	169	400	268	144	150	0	293	121	2344	96	1. IV.	140
Urnäsch	[illegible]	110	66	72	108	108	243	177	64	136	2	132	37	1255	37	25. IX.	136
Bellanz b. Herisau	[illegible]	120	66	67	112	114	218	159	73	151	4	153	39	1276	36	9. VI.	131
Appenzell	[illegible]	91	56	55	110	90	194	108	72	140	1	98	36	1051	37	25. IX.	124
Schwägrig	[illegible]	119	126	69	143	120	233	156	84	139	0	201	52	1442	50	25. IX.	128
Teufen	[illegible]	90	65	64	92	80	194	146	63	135	0	115	30	1074	42	6. VII.	110
Bischofszell	[illegible]	67	38	50	60	40	117	108	41	130	1	82	23	757	30	19. IX.	115
Salgen	[illegible]	58	38	46	47	29	94	120	29	114	1	71	22	669	28	23. VII.	104
Weinfelden	[illegible]	60	43	45	52	41	102	95	26	112	0	83	22	681	22	25. IX.	115
Rapperswilen	[illegible]	64	38	39	38	42	72	67	17	113	1	79	21	591	21	25. IX.	102
Matheim	[illegible]	63	37	45	46	51	95	79	14	116	1	77	24	648	23	25. IX	110
Dußnang	[illegible]	[illegible]	90	67	87	66	158	143	43	146	0	142	29	1077	30	25. IX	120
Erlihlikon	[illegible]	[illegible]	54	55	72	48	108	117	33	129	1	114	23	822	27	28. XI.	118
Wängi	ca	430	75	31	45	47	43	81	119	18	120	1	76	17	673	34	23. VII.	98
Aadorf	ca	538	84	55	51	67	48	104	146	19	133	3	100	19	829	30	23. VII.	113
Affeltrangen	[illegible]	[illegible]	[illegible]	[illegible]	[illegible]	[illegible]	[illegible]	[illegible]	[illegible]	[illegible]	[illegible]	[illegible]	[illegible]	[illegible]	[illegible]	25. IX.	[illegible]
Thundorf	ca	560	46	34	42	43	55	98	113	19	117	0	64	*20	651	34	19. IX	90
Frauenfeld	[illegible]	[illegible]	[illegible]	[illegible]	[illegible]	[illegible]	[illegible]	[illegible]	[illegible]	[illegible]	[illegible]	[illegible]	[illegible]	[illegible]	[illegible]	28. VII.	[illegible]
Kalchrain	ca	585	51	31	36	34	39	88	71	13	111	0	54	13	541	20	25. IX	[illegible]
Nieder-Neunforn		446	63	29	35	43	40	71	52	12	108	0	66	14	533	22	19. IX	97
Andelfingen		370	82	40	43	47	34	94	61	10	124	0	86	21	642	22	19. IX	99
IV. Töß																	
Bauma	ca	643	102	61	57	82	60	169	128	50	129	0	96	29	963	28	6. VII.	115
Sternenberg	ca	880	109	70	66	89	71	186	166	50	147	1	113	29	1097	38	6. VII.	125
Kollbrunn	[illegible]	[illegible]	97	68	52	69	55	133	111	22	165	2	103	17	894	34	16. VI.	116
Fehraltorf	[illegible]	[illegible]	68	50	56	59	45	144	118	42	141	0	73	18	814	23	25. IX.	110
Winterthur	[illegible]	[illegible]	88	53	48	58	52	111	97	14	124	6	109	13	773	27	28. XI.	113
V. Glatt																	
Grüningen	[illegible]	[illegible]	79	48	59	51	52	179	131	44	118	1	91	25	878	34	9. VI.	112
Hinwil	ca	606	*85	*60	70	77	59	242	144	57	133	1	97	28	1053	38	9. VI.	124
Pfäffikon	[illegible]	[illegible]	77	52	57	[illegible]	[illegible]	[illegible]	[illegible]	[illegible]	[illegible]	[illegible]	[illegible]	22	868	28	6. VII.	115
Uster	ca	466	58	51	54	45	43	140	115	39	128	0	78	15	766	23	25. IX.	111
Dübendorf		430	71	51	52	44	49	119	117	23	124	1	79	19	749	25	25. IX.	111
Strickhof		[illegible]	[illegible]	[illegible]	[illegible]	[illegible]	[illegible]	[illegible]	[illegible]	[illegible]	[illegible]	[illegible]	[illegible]	[illegible]	[illegible]	[illegible]	12. VII.	111
Oberhasli	ca	[illegible]	74	[illegible]	[illegible]	[illegible]	41	[illegible]	95	[illegible]	[illegible]	[illegible]	13	[illegible]	[illegible]	[illegible]	8. XI	[illegible]
Bülach		[illegible]	[illegible]	[illegible]	[illegible]	[illegible]	[illegible]	[illegible]	[illegible]	[illegible]	[illegible]	[illegible]	[illegible]	[illegible]	[illegible]	24	19. IX	[illegible]
VI. Limmat																	
Wettswil	[illegible]	[illegible]	124	63	62	114	130	212	128	77	192	0	100	33	1235	53	25. IX.	132
Wollenstadt	ca	450	120	49	52	133	94	225	141	57	130	0	113	34	1148	63	9. VI.	120
[illegible]	ca	982	167	102	96	256	157	289	172	*100	136	0	*140	*50	1665	110	1. IV.	111
[illegible]	[illegible]	[illegible]	[illegible]	[illegible]	[illegible]	[illegible]	[illegible]	[illegible]	[illegible]	[illegible]	[illegible]	[illegible]	[illegible]	[illegible]	[illegible]	[illegible]	6. VI.	122
[illegible]	[illegible]	[illegible]	165	94	72	205	120	212	166	68	206	0	103	49	1460	95	1. IV.	123
[illegible]	[illegible]	[illegible]	137	70	71	222	120	241	188	93	228	0	108	34	1512	115	1. IV.	116
[illegible]		1190	217	85	92	236	122	247	171	88	204	0	168	64	1694	104	1. IV.	127
[illegible]		959	140	59	61	119	125	213	141	78	242	0	101	42	1321	78	25. IX.	120
[illegible]	[illegible]	[illegible]	116	59	53	108	93	209	143	66	159	0	119	36	1161	46	9. VI.	129
Rheinfelden	[illegible]	[illegible]	113	71	81	120	124	292	213	94	234	1	121	50	1514	64	9. VI.	134
Wiesen	ca	430	114	70	87	105	121	241	154	74	170	0	174	52	1362	50	9. VI.	122
Oberkirch (b. Uznach)	ca	468	96	64	74	89	87	279	136	79	153	1	110	46	1214	66	9. VI.	132
Vorder-Wäggithal	ca	740	144	77	101	133	124	292	185	79	181	0	129	54	1499	62	6. VII.	128
Lachen	ca	410	88	45	68	76	91	259	194	68	152	0	104	27	1172	69	6. VII.	118
Wald (Sanatorium)		912	114	82	66	108	92	282	217	60	166	1	118	45	1351	57	6. VII.	128
[illegible]	[illegible]	[illegible]	[illegible]	[illegible]	[illegible]	[illegible]	[illegible]	[illegible]	[illegible]	[illegible]	[illegible]	[illegible]	[illegible]	[illegible]	[illegible]	63	9. VI.	121
Rapperswil	ca	412	68	38	64	56	62	209	130	42	122	0	88	24	903	43	9. VI.	116
[illegible]	[illegible]	[illegible]	[illegible]	[illegible]	[illegible]	[illegible]	[illegible]	[illegible]	[illegible]	[illegible]	[illegible]	[illegible]	[illegible]	[illegible]	[illegible]	[illegible]	[illegible]	[illegible]
Wädenswil	ca	475	87	57	75	87	87	226	161	52	122	0	120	35	1109	57	6. VII.	117

Stationen:	Höhe üb. Meer	Jan.	Febr.	März	April	Mai	Juni	Juli	Aug.	Sept.	Okt.	Nov.	Dez.	Jahr	Maxima		Zahl d. Tage
Horgen	ca 445	82	57	67	81	62	187	155	40	115	0	109	34	989	26	6. VII.	116
Pfannenstiel	ca 853	87	54	69	76	60	165	140	53	131	1	95	42	973	35	6. VII.	122
Küsnacht (Zürich)	ca 412	77	52	61	55	69	154	121	31	146	1	95	19	881	43	18. IX.	117
Zollikon (Anst.f.Ep.)	ca 460	78	53	58	48	75	139	119	28	145	0	95	21	859	45	18. IX.	116
Zürich (Met. Z.-A.)	493	77	50	59	43	56	109	123	28	131	1	79	16	772	29	12. VII.	113
Oberiberg	1090	136	86	108	174	104	246	202	87	186	2	160	56	1547	74	1. IV.	135
Willerzell	ca 892	112	75	84	111	95	241	152	76	156	0	102	42	1246	43	9. VI.	127
Einsiedeln	914	109	75	80	124	100	237	157	84	152	0	116	41	1275	46	1. IV.	132
Schönenberg (Waldh.)	ca 700	101	55	69	91	88	239	159	64	142	0	118	39	1165	45	6. VII.	124
Sihlbrugg	540	85	56	75	80	58	214	171	54	127	1	83	33	1037	48	9. VI.	125
Uetliberg (Bahnhof)	815	?42	?32	61	33	63	144	130	28	140	1	55	13	742	25	18. IX.	109
Dietikon	ca 392	87	48	60	51	51	129	100	17	120	4	99	23	789	26	19. IX.	111
Otelfingen	ca 447	74	50	56	61	77	161	94	23	135	2	95	23	851	32	16. VI.	115
Baden	387	89	44	50	50	58	117	92	22	114	3	92	26	757	24	19. IX.	115
VII. Reuß																	
Andermatt (Dorf)	1442	122	61	66	132	79	112	82	92	204	12	95	42	1099	57	1. IV.	125
Göschenen	1107	102	56	52	98	77	115	87	66	187	7	83	22	952	45	25. IX.	117
Gurtnellen	742	109	38	65	97	64	124	88	40	148	1	113	23	910	59	1. IV.	98
Altdorf	456	80	56	62	77	58	153	122	61	152	1	82	24	928	32	1. IV.	115
Gitschenen (Isenthal)	1604	109	101	93	106	100	232	179	91	202	4	122	51	1390	44	19. IX.	133
Isenthal	ca 1000	100	85	92	123	72	177	149	78	167	3	117	46	1209	39	1. IV.	120
Muotathal	ca 603	148	102	88	177	108	249	232	99	204	1	146	73	1627	66	1. IV.	128
Schwyz	517	105	80	83	109	91	221	166	62	179	3	136	49	1284	44	25. IX.	125
Sattel	ca 832	95	77	67	119	74	232	167	63	134	1	94	54	1177	57	1. IV.	118
Gersau	ca 450	89	74	56	87	71	187	173	67	108	8	104	66	1090	36	6. VII.	106
Weggis	444	72	55	67	62	67	162	147	52	112	0	49	32	877	35	27. VII.	112
Rigi-Kulm	1787	121	109	90	141	117	297	185	117	147	2	129	68	1523	58	9. VI.	131
Küßnacht (Schwyz)	440	80	45	59	77	76	174	138	78	121	0	58	46	952	33	9. VI.	115
Engelberg	1018	113	86	80	115	76	193	170	79	145	2	110	48	1217	36	1. IV.	136
Stans	ca 456	80	49	60	60	58	125	140	58	116	0	67	23	836	43	27. VII.	113
Lungern	ca 745	115	56	51	84	83	202	153	73	135	3	135	37	1127	39	28. XI.	117
Sarnen	474	65	45	44	46	58	138	164	66	103	1	65	25	820	68	24. VII.	116
Pilatus-Kulm	2068	106	109	73	134	87	184	174	83	143	0	84	51	1228	39	1. IV.	139
Luzern (Wesemlin)	498	69	39	60	59	77	146	146	72	111	1	51	24	855	34	19. VII.	115
Luzern (Reg.-Geb.)	ca 440	70	37	62	53	80	145	142	68	116	0	57	24	854	29	9. VI.	108
Flühli	ca 893	95	84	42	87	80	207	118	72	114	0	125	29	1053	33	17. VI.	124
Entlebuch	ca 722	92	57	73	81	83	156	113	76	179	2	124	29	1065	32	19. IX.	125
Werthenstein	594	65	45	63	63	71	132	154	60	117	1	73	24	868	42	20. VII.	118
Buchsteg (Eigental)	ca 1050	128	104	77	104	119	198	176	101	160	5	145	46	1363	46	19. VII.	132
Morgarten	ca 729	96	52	61	124	93	232	161	78	157	0	119	35	1208	42	9. VI.	111
Unter-Aegeri	ca 735	95	67	65	104	97	253	149	86	146	1	102	42	1207	42	25. IX.	121
Lorzetobel	ca 550	80	52	67	74	67	205	148	60	148	1	77	35	1014	33	9. VI.	122
Walchwil	452	50	55	55	73	59	157	137	90	104	0	46	30	856	32	9. VI.	100
Zug	ca 429	63	39	53	58	69	159	132	54	121	1	47	22	818	27	6. VI.	111
Ebertswil (b. Hausen a. Albis)	ca 625	73	57	69	70	64	198	187	58	130	1	76	34	1017	49	9. VI.	123
Mettmenstetten	ca 483	54	34	52	50	46	135	159	40	119	1	45	15	750	40	9. VI.	101
VIII. Aare																	
Grimsel	1962	213	163	97	234	120	268	137	93	184	23	179	72	1783	76	1. IV.	142
Guttannen	ca 1055	128	86	66	106	93	225	114	92	162	0	133	56	1261	36	22. VIII. / 25. IX	120
Gadmen	1207	114	94	96	150	90	190	150	72	140	1	131	39	1267	54	1. IV.	138
Meiringen	605	78	65	42	100	69	197	155	72	125	0	115	34	1052	42	31. VII.	121
Brienz	ca 575	80	56	67	91	83	154	99	77	101	0	101	49	958	34	6. VI.	121
Grindelwald	1050	89	76	53	81	75	167	123	63	126	0	72	39	964	40	9. VI.	121
Eigergletscher	2323	100	144	104	*150	211	216	117	*120	167	0	129	51	1509	?	—	109
Lauterbrunnen	810	95	76	55	86	91	187	113	59	99	0	76	32	969	34	9. VI.	113
Interlaken	568	87	58	54	71	63	169	80	58	110	0	70	38	858	33	5. I.	120
Beatenberg	1148	114	85	61	100	143	168	98	70	132	1	93	53	1118	43	21. V.	127
Kandersteg	ca 1170	70	56	34	68	57	151	89	58	96	0	67	31	777	27	6. VI.	115
Adelboden	ca 1345	117	79	59	118	64	169	96	90	147	0	90	42	1071	46	3. IX.	118
Frutigen	ca 820	88	67	55	73	68	160	84	58	110	0	80	28	871	32	6. VI.	118
Kienthal	ca 970	74	76	49	76	67	144	84	54	111	0	65	32	832	27	6. VI.	125

Stationen:	Höhe üb. Meer	Jan.	Febr.	März	April	Mai	Juni	Juli	Aug.	Sept.	Okt.	Nov.	Dez.	Jahr	Maximum		Zahl d. Tage
Zweisimmen	ca 960	143	68	67	92	89	167	153	66	138	1	126	23	1133	33	19. IX.	133
Boltigen	ca 830	149	102	52	85	100	160	145	60	133	4	136	32	1158	36	28. XI.	115
Wimmis	ca 640	111	82	42	76	70	163	85	71	147	1	99	28	975	36	19. IX.	125
Heiligenschwendi	1125	56	68	45	63	77	112	91	80	137	0	56	29	814	37	19. IX.	122
Thun	565	44	50	49	35	72	165	114	60	122	0	50	16	777	35	19. IX.	105
Schwarzenegg	ca 910	65	61	50	62	74	154	113	76	119	2	60	31	867	41	19. IX.	115
Großhöchstetten	ca 750	83	48	59	65	67	158	158	73	118	2	83	31	945	30	6. VII.	123
Belp	ca 525	82	65	57	50	91	179	138	41	150	3	110	27	993	31	18. IX.	118
Bern	572	54	38	42	43	95	122	125	55	142	3	56	17	792	31	19. VII.	107
Lauenen	ca 1260	129	67	60	91	116	171	119	102	117	2	147	43	1164	38	24. XI.	115
Gsteig bei Saanen	ca 1180	114	62	43	86	131	177	147	125	136	0	136	38	1195	39	19. VIII.	123
Château-d'Oex	1010	135	52	62	98	115	167	148	79	142	5	116	40	1159	33	22. IX.	120
Jaun	ca 1030	148	118	107	132	121	197	191	85	162	1	133	42	1437	46	1. IV.	138
La Valsainte	ca 1032	114	96	61	106	123	213	171	87	202	5	101	43	1322	41	16. VI.	123
Marsens	727	106	71	60	82	99	165	108	78	210	6	98	37	1120	34	14. IX.	117
La Roche	770	72	59	39	47	93	157	102	90	139	5	47	28	878	38	22. VIII.	[illegible]
Romont	764	111	40	44	44	88	110	114	45	164	8	84	32	884	37	24. XI.	[illegible]
Freiburg	670	77	34	47	38	76	115	124	57	161	4	49	23	805	35	19. VII.	[illegible]
Gauglera	925	66	49	51	52	86	155	135	99	173	4	69	27	966	34	17. VI.	[illegible]
Schwarzenburg	ca 800	91	47	52	44	111	156	152	67	209	3	92	29	1053	50	18. IX.	[illegible]
Wahlendorf	ca 760	87	40	50	47	82	110	129	44	169	4	72	31	865	45	19. VII.	[illegible]
Aarberg	ca 465	100	35	40	40	75	86	68	36	177	5	89	21	772	37	18. IX.	[illegible]
Rossenges s. Moudon	ca 700	106	39	46	54	97	110	106	58	183	8	96	33	936	36	18. IX.	112
Moudon	515	99	38	40	45	70	87	101	45	143	6	68	27	769	43	19. VII.	[illegible]
Payerne	ca 445	92	39	38	38	75	102	90	42	138	8	68	24	754	28	22. VIII.	117
Avenches	480	88	26	32	29	63	92	63	32	133	5	62	19	644	25	14. IX.	[illegible]
Witzwil	ca 448	113	39	31	46	72	99	83	38	166	8	95	34	824	29	24. IX.	113
La Cure	ca 1165	130	56	43	68	186	142	197	52	165	30	169	64	1302	43	24. XI.	131
Le Sentier	ca 1024	174	76	59	83	148	133	138	51	151	26	152	57	1248	35	8. VII.	137
Vallorbe-Reposoir	930	201	72	43	99	161	114	154	58	154	24	194	67	1341	42	24. XI.	139
Montchérand	565	133	38	41	41	75	88	99	30	142	20	103	41	851	45	14. IX.	118
L'Abergement	640	150	64	82	77	115	108	130	42	144	23	142	40	1117	41	14. IX.	121
Valleyres-s.-Rances	505	121	34	41	42	76	67	95	33	131	14	108	33	795	43	14. IX.	108
Bochuz	ca 440	126	30	43	33	90	72	98	36	154	17	92	36	827	44	14. IX.	[illegible]
Echallens	ca 625	152	30	33	48	96	104	83	65	139	9	73	29	861	33	14. IX.	[illegible]
Corcelles	ca 560	140	40	40	31	77	86	113	40	187	17	82	37	890	72	22. VIII.	[illegible]
Yverdon	440	96	18	38	26	165	95	130	42	181	17	75	50	933	38	14. IX.	112
Baulmes	ca 634	171	72	82	84	147	156	151	35	167	16	171	47	1299	38	14. IX.	[illegible]
L'Auberson	ca 1110	134	62	57	78	149	138	156	57	124	27	154	47	1183	33	13. XI.	[illegible]
St-Sulpice	ca 760	188	78	61	99	128	117	131	45	117	22	191	45	1222	39	13. XI.	[illegible]
Couvet	ca 750	168	60	37	72	101	193	123	47	149	19	156	39	1074	31	14. IX.	127
Champ du Moulin	ca 690	177	56	43	59	131	121	101	44	135	17	[illegible]	47	[illegible]	43	24. XI.	[illegible]
Grandchamp-Areuse	ca 450	125	42	28	34	80	64	57	32	125	15	[illegible]	[illegible]	[illegible]	39	24. XI.	[illegible]
Chambrelien	ca 743	97	*60	39	38	63	*120	85	27	114	17	107	36	[illegible]	?		[illegible]
La Brévine	ca 1077	204	108	70	68	92	149	95	66	110	14	127	66	[illegible]	[illegible]	[illegible] XII.	149
Les Ponts	1020	153	69	49	95	117	129	104	69	141	17	168	56	[illegible]	[illegible]	14. IX.	136
Cernier	800	168	56	87	64	129	118	113	40	124	13	123	34	[illegible]	[illegible]	14. III	121
Serrières	ca 470	145	31	29	31	94	64	50	33	132	8	[illegible]	[illegible]	[illegible]	[illegible]	[illegible] IX.	114
Neuchâtel	487	166	39	39	44	82	71	78	33	147	9	122	[illegible]	[illegible]	[illegible]	24. XI.	115
Chaumont	ca 1115	128	56	37	64	106	79	95	38	158	6	[illegible]	26	[illegible]	[illegible]	14. IX.	118
Biel	ca 440	136	43	44	43	71	87	78	43	140	7	132	28	885	[illegible]	24. XI.	[illegible]
Evilard	ca 700	180	63	62	68	98	99	98	37	150	8	[illegible]	38	[illegible]	43	24. XI.	123
Mont-Soleil	ca 1200	157	67	57	98	137	168	159	56	132	15	165	42	[illegible]	33	28. XI.	135
Courtelary	ca 699	135	53	42	65	138	120	133	46	106	10	[illegible]	41	[illegible]	45	31. VII.	120
Weißenstein	1285	157	55	53	67	87	108	148	56	139	5	[illegible]	25	[illegible]	43	13. XI.	131
Solothurn	470	142	52	42	66	83	115	135	64	128	4	174	26	[illegible]	44	28. XI.	114
Marbach	ca 875	98	90	65	100	103	212	157	118	132	0	132	43	[illegible]	48	22. VIII.	132
Escholzmatt	ca 853	94	81	68	97	89	187	109	92	151	1	125	4[illegible]	[illegible]	34	19. IX.	139
Langnau i. E.	685	76	62	62	70	90	152	183	82	127	1	[illegible]	35	[illegible]	34	[illegible] IX.	128
Wasen i. E.	ca 755	80	62	65	52	81	170	122	42	137	1	71	27	[illegible]	27	18. IX.	137
Affoltern i. E.	795	92	57	61	72	76	158	130	43	125	1	70	29	[illegible]	27	19. VII.	115
Burgdorf	ca 535	72	35	43	41	63	122	105	44	131	3	[illegible]	22	[illegible]	37	[illegible] VII.	113

Stationen:		Höhe [illegible]	Jan.	Febr.	März	April	Mai	Juni	Juli	Aug.	Sept.	Okt.	Nov.	Dez.	Jahr	Maximum		[illegible]
Gerlafingen		454	87	61	41	44	86	77	132	43	157	1	122	23	874	33	[illegible] XI.	[illegible]
Herzogenbuchsee	ca	475	74	26	34	37	53	100	119	35	111	2	68	19	678	24	[illegible] VII	[illegible]
St. Urban	ca	452	109	43	53	61	68	130	139	43	121	2	129	28	926	28	[illegible] XI.	[illegible]
[illegible]	[illegible]	[illegible]	[illegible]	51	[illegible]	78	[illegible]	[illegible]	171	[illegible]	[illegible]	2	102	31	1110	33	8. IX.	128
Zofingen	ca	436	99	43	38	49	58	109	124	28	117	3	114	30	812	26	[illegible] IX.	[illegible]
Herbetswil	ca	526	106	40	35	61	75	110	136	53	114	5	151	35	921	40	13. XI.	[illegible]
Langenbruck		740	102	57	48	63	54	115	137	31	103	3	114	31	858	28	[illegible]	[illegible]
Balsthal	ca	503	87	40	37	50	55	88	127	38	113	1	135	33	804	39	[illegible] XI.	[illegible]
Allerheiligen	ca	900	94	46	50	64	61	116	149	34	123	5	109	24	875	34	[illegible] VII.	118
Olten	ca	400	99	47	41	66	63	108	125	31	119	5	116	25	845	29	[illegible] XI.	127
Barmelweid	ca	770	93	52	38	54	63	129	126	29	107	4	96	24	815	37	[illegible] VI.	[illegible]
Aarau		406	96	41	44	55	64	149	115	20	105	3	97	24	813	29	[illegible] VI	115
Kölliken	ca	431	85	48	46	53	66	124	102	24	119	2	119	27	815	28	[illegible] XI.	119
Beromünster	ca	656	96	47	59	62	72	144	145	46	127	2	88	26	914	30	[illegible]	117
Burg	ca	625	92	43	59	57	80	160	123	43	116	0	100	30	903	42	17. VI.	115
Unter-Kulm	ca	470	96	47	44	55	58	123	98	31	130	2	113	28	825	26	[illegible]	[illegible]
Aesch (Hitzkirch)	ca	520	87	44	55	55	65	153	148	29	120	1	106	24	887	46	22. [illegible]	[illegible]
Muri		483	103	47	65	56	66	157	138	35	116	3	92	27	905	29	[illegible] IX.	117
Bötzberg	ca	500	106	43	33	43	79	134	98	21	97	2	93	27	776	23	13. XI.	118
Schinznach-Dorf	ca	375	99	52	48	54	91	134	115	25	101	3	106	21	849	32	7. VII.	118
Beznau	ca	[illegible]	122	5[illegible]	35	[illegible]	[illegible]	91	63	15	[illegible]	1	[illegible]	[illegible]	787	3[illegible]	13. XI.	[illegible]
Oberweningen *)	ca	476	101	51	51	56	56	102	61	22	110	2	80	20	712	*25	7. IV.	[illegible]

*) bis 19. April Station in Schöfflisdorf.

B. Rhonegebiet I. Rhone und Genfersee

Furka (Galenhütten)	ca	2406	165	140	114	142	78	195	88	68	186	24	180	70	1450	60	1. IV.	115
Reckingen		1332	87	28	9	158	38	107	42	42	120	10	96	11	748	43	8. IV.	93
Fiesch	ca	1080	64	17	47	73	25	88	33	56	78	12	57	14	564	48	1. IV.	8[illegible]
Binn	ca	1450	65	22	*50	56	50	96	51	75	140	20	*70	31	726	67	21. VI.	82
Saas-Fee	ca	1800	55	15	20	22	39	83	51	89	75	19	69	22	559	49	22. VIII	9[illegible]
Zermatt		1610	43	18	37	29	34	66	29	49	95	5	75	17	497	37	20. XI.	82
Grächen	ca	1629	51	2	24	16	22	60	26	47	50	2	52	11	363	27	20. XI	97
Visp		648	94	13	17	29	14	48	19	31	47	4	76	23	415	41	5. I.	79
Kippel	ca	1376	154	50	41	68	57	100	42	53	58	1	139	29	792	50	24. XI.	75
Leukerbad		1415	152	46	31	70	62	117	49	47	38	0	129	26	767	37	24. XI	82
Varen bei Leuk	ca	750	89	23	18	21	30	62	28	32	31	0	73	20	427	40	5. I.	79
Siders		573	109	26	19	30	36	57	18	33	40	0	92	22	482	40	5. I.	71
Montana		1453	156	48	26	58	57	72	48	45	56	0	121	32	719	29	2. I.	9[illegible]
Grimentz	ca	1570	100	37	30	43	60	116	77	50	64	0	90	17	684	26	22. VIII	97
Hérémence	ca	1240	111	28	38	37	48	100	50	38	61	0	66	18	595	27	24. XI	9[illegible]
Sion		549	96	31	16	33	35	62	29	31	44	0	76	25	478	34	24. XI.	73
Bagnes (Châble)	ca	836	145	63	35	51	53	74	47	38	91	0	78	20	695	48	19. IX.	[illegible]
St. Bernhard		2476	304	133	151	200	204	175	120	74	147	84	233	156	1981	50	8. I.	153
Bourg St-Pierre	ca	1633	81	37	30	46	53	74	36	40	118	8	79	34	636	28	25. IX	78
Orsières	ca	890	185	32	30	52	46	65	28	26	85	0	62	0	611	75	23. I.	58
Martigny-Ville		478	102	59	13	33	70	87	47	29	71	0	80	27	618	32	24. XI	82
Marécottes		1090	196	83	30	73	96	111	95	49	121	0	188	62	1104	46	24. XI.	92
Gryon	ca	1130	131	71	33	80	120	167	86	99	155	2	103	33	1080	38	22. VIII.	124
Les Plans	ca	1100	109	88	49	82	139	176	78	86	150	1	125	44	1127	38	6. VI.	111
Bex		430	102	53	18	52	113	127	85	57	108	1	74	31	821	35	24. V.	101
Diablerets-Village		1168	169	79	45	76	129	169	113	67	157	0	172	48	1224	54	24. XI.	[illegible]
Leysin		1350	151	92	50	124	131	170	177	88	151	2	105	43	1284	41	1. IV.	124
Chessel		380	81	71	*40	47	100	162	104	71	152	2	83	33	946	33	9. V.	92
Porte du Scex (Vouv.)		478	82	72	37	53	112	135	126	63	162	2	83	30	957	42	19. VII.	[illegible]
Rochers de Naye		1986	332	260	101	232	212	336	205	120	258	6	215	102	2379	77	25. IX.	31
Montreux-Clarens		412	107	59	37	49	99	132	137	54	186	4	62	34	960	38	22. IX	[illegible]
Vevey		380	81	62	42	56	108	145	114	80	194	7	68	35	992	44	22. IX.	[illegible]
Riex		445	103	51	72	46	107	123	114	52	185	11	81	33	978	51	22. IX.	[illegible]
Tour de Gourze		925	102	44	79	66	76	143	126	70	203	8	65	34	1016	48	22. IX.	[illegible]
Lausanne		553	110	50	46	49	104	104	69	49	161	11	59	35	847	37	22. IX.	[illegible]
Cossonay	ca	575	135	32	32	39	92	76	65	46	146	21	72	30	786	48	14. IX.	[illegible]
Morges		380	149	43	47	48	94	97	99	56	152	23	79	41	928	34	22. IX.	[illegible]
Marcelin s. Morges	ca	425	147	41	47	43	81	92	93	55	135	22	79	41	876	34	14. IX.	[illegible]

Stationen:	Höhe üb. Meer	Jan.	Febr.	März	April	Mai	Juni	Juli	Aug.	Sept.	Okt.	Nov.	Dez.	Jahr	Maxima		Zahl d. Tage
Langfiid	900	168	43	45	59	102	94	98	26	181	26	113	39	994	49	14. IX	[illegible]
Nyon	405	145	42	56	50	92	90	77	36	175	25	89	50	927	48	22. IX	[illegible]
Gétaz	435	146	41	58	52	94	91	103	28	188	30	108	53	992	55	22. IX	[illegible]
Gen[illegible]	405	81	34	37	35	76	85	90	41	188	32	53	43	795	80	22. IX	[illegible]
J[illegible]	475	64	36	35	33	82	76	98	47	182	25	42	32	752	69	22. IX	[illegible]
C[illegible]	476	86	29	43	38	73	73	108	40	194	39	67	52	842	92	22. IX	[illegible]
S[illegible]	460	127	46	61	45	72	69	124	28	205	36	98	48	959	74	22. IX	[illegible]
II. Doubs																	
Les Brenets	878	170	60	37	86	113	126	145	67	122	16	167	48	1157	32	28. XI.	[illegible]
La Chaux de Fonds	990	223	95	53	97	172	151	236	60	145	15	246	46	1539	57	2. I.	[illegible]
Saignelégier	985	132	64	50	85	112	139	92	64	124	11	105	31	1009	32	31. I.	[illegible]
Mormont	[illegible]	[illegible]	[illegible]	42	73	86	126	96	52	122	14	92	31	883	?	—	[illegible]
C. Pogebiet I. Tessin																	
Gotthard	2096	300	163	94	121	213	65	108	112	368	156	151	107	1958	107	14. IX.	[illegible]
Airolo	ca 1170	89	13	78	104	124	58	106	77	336	111	64	61	1221	104	14. IX.	[illegible]
Lago di Tremorgio	1851	77	7	65	125	193	77	132	136	438	80	82	52	1464	111	14. IX.	[illegible]
Olivone	893	39	7	51	82	134	58	102	47	307	85	32	52	996	?	—	[illegible]
Comprovasco	544	21	4	40	44	128	37	100	43	314	84	25	48	888	105	25. IX.	[illegible]
Biasca	300	23	11	59	75	145	47	65	71	371	113	*30	63	1073	106	25. IX.	[illegible]
Mesocco (Mesox)	785	33	19	69	70	133	71	150	87	384	76	43	60	1195	64	25. IX.	[illegible]
Braggio	1332	30	16	60	57	153	65	159	74	346	82	35	56	1133	78	13. IX	[illegible]
Grono	335	20	14	45	67	205	114	167	*65	*400	129	50	61	1337	?	—	[illegible]
Bellinzona	237	23	12	66	50	188	43	177	55	416	78	37	64	1209	123	13. IX.	[illegible]
Fusio	ca 1285	59	12	68	104	168	51	101	97	325	106	65	74	1230	102	14. IX.	[illegible]
Cevio	ca 430	20	3	55	62	144	34	101	62	345	104	30	81	1050	106	25. IX.	[illegible]
B[illegible] Gurin	1486	64	8	71	94	154	52	98	95	311	120	58	80	1205	102	14. IX.	[illegible]
Mosogno	ca 790	19	7	67	81	186	32	123	68	450	130	30	74	1267	108	14. IX.	[illegible]
Camedo	ca 610	20	9	73	94	229	33	120	61	845	157	45	101	1787	219	3. IX.	[illegible]
Locarno-Muralto	239	22	10	71	56	228	48	150	52	595	105	37	73	1357	138	25. IX.	[illegible]
Locarno-Monti	380	21	9	68	61	211	38	133	44	468	103	31	68	1255	139	25. IX.	[illegible]
Ascona	ca 203	22	11	65	68	222	39	156	47	516	111	35	62	1354	178	25. IX.	[illegible]
Brissago	ca 257	35	10	73	79	269	27	161	46	515	146	30	84	1481	203	25. IX.	[illegible]
Mezzana	ca 335	39	24	79	70	206	85	118	57	159	140	53	117	1147	63	3. V.	[illegible]
Monte Brè	910	35	15	73	76	215	58	128	63	286	122	45	85	1201	47	6. VII.	[illegible]
Lugano	276	38	20	68	66	218	60	140	57	278	104	46	96	1191	52	6. VII.	[illegible]
Piandanazzo	1680	66	19	88	85	256	69	146	103	296	90	74	115	1407	90	24. V.	[illegible]
Crana-Torricella	1010	27	27	81	99	307	77	272	76	508	156	62	83	1775	123	13. IX.	[illegible]
Ponte Tresa	280	28	12	69	65	214	47	100	52	275	110	45	92	1109	60	10. IX.	[illegible]
II. Adda																	
Bernina Hospiz	2309	79	57	120	67	196	100	99	52	274	71	67	85	1267	53	9. V.	[illegible]
Cavaglia	1701	57	33	73	33	123	96	146	65	216	59	47	48	990	48	6. VII.	[illegible]
Brusio	755	16	25	33	16	114	54	89	64	148	37	34	32	662	39	6. VII.	[illegible]
Viano-[illegible]	1087	24	20	58	64	147	85	180	68	287	56	26	52	1067	65	25. IX.	[illegible]
Sagliasco	1090	18	19	66	85	150	83	159	91	250	60	44	34	1065	47	21. IV.	[illegible]
D. Donaugebiet Inn																	
S[illegible] Maria	1814	25	21	40	28	116	61	141	92	161	15	14	35	749	46	6. VII.	[illegible]
St. Moritz	1853	25	15	23	22	54	54	122	52	129	11	14	18	539	37	6. VII.	[illegible]
Pontresina	1711	37	5	17	57	81	59	87	53	141	5	16	16	574	30	7. VII.	[illegible]
B[illegible]	1977	56	28	24	67	136	123	113	44	105	15	31	3	745	37	3. V.	[illegible]
S[illegible]	1440	35	9	39	79	61	73	89	52	117	4	13	6	577	48	1. IV.	[illegible]
S[illegible]	1810	60	41	45	45	74	75	122	81	80	25	46	7	701	37	26. VII.	[illegible]
S[illegible]	1253	48	12	35	53	75	80	65	44	109	2	22	1	546	29	1. IV.	[illegible]
M[illegible]	[illegible]	[illegible]	[illegible]	[illegible]	77	81	84	60	39	110	0	28	5	584	38	1	[illegible]
E. Etschgebiet Rombach																	
S[illegible] Maria	1411	11	17	29	18	82	52	70	46	131	5	21	15	497	23	24. V.	[illegible]

Monats- und Jahressummen im Jahre 1943

ausgedrückt in Prozenten der Normalmengen*)

Stationen	Höhe üb. Meer	Jan.	Febr.	März	April	Mai	Juni	Juli	Aug.	Sept.	Okt.	Nov.	Dez.	Jahr
Platta (Medels)	1378	124	42	35	114	89	63	85	52	223	9	48	31	78
Bernhardin	2073	—	—	—	—	—	43	73	33	169	48	—	—	—
Splügen	1500	76	23	39	75	73	69	57	44	201	29	21	37	67
Davos-Platz	1561	136	68	78	215	149	145	84	42	150	0	63	33	95
Chur	633	142	28	46	174	135	105	52	31	208	0	70	19	83
Sargans	507	154	60	54	118	98	146	45	36	122	0	127	55	82
Altstätten	474	103	91	41	89	76	120	71	39	90	0	191	39	77
St. Gallen	679	93	70	58	63	43	87	70	31	86	2	120	28	62
Kreuzlingen	446	157	100	79	61	49	92	56	31	124	3	170	53	75
Lohn (Schaffh.)	643	184	61	54	68	70	62	55	22	141	1	193	39	74
Basel-Bernoullianum	277	146	78	51	60	70	67	62	51	159	5	98	42	72
Glarus	480	141	76	62	103	81	127	74	36	125	0	137	37	81
Zürich	493	143	96	87	50	54	89	99	24	135	1	125	23	74
Einsiedeln	914	124	85	73	94	66	119	77	43	104	0	122	39	78
Altdorf	456	125	90	82	80	55	112	78	41	143	1	101	29	76
Rigi Kulm	1787	100	88	58	79	59	119	70	49	83	1	104	51	72
Engelberg	1018	122	100	78	93	55	112	92	45	109	2	118	48	80
Luzern-Wesemlin	498	144	81	90	66	67	99	95	51	105	1	85	41	76
Guttannen	1055	114	80	51	70	65	147	68	58	120	0	114	43	76
Beatenberg	1148	130	104	56	81	109	95	56	43	111	1	101	52	76
Bern	572	112	75	64	57	101	108	112	50	161	3	82	26	81
Neuchâtel	487	272	65	57	61	100	71	82	33	171	10	152	49	89
Chaumont	1115	200	92	51	81	115	69	87	34	165	6	130	31	84
Affoltern i. E.	795	146	92	73	76	67	113	104	34	123	1	93	38	79
Langenbruck	740	131	78	57	67	48	88	105	27	101	3	144	34	72
Olten	400	148	72	55	81	62	85	98	26	121	5	147	30	75
Aarau	406	160	71	64	71	67	127	98	18	114	3	137	32	79
Muri (Aargau)	483	175	81	89	64	62	115	108	29	122	3	135	36	83
Reckingen	1332	121	44	10	170	43	127	48	49	129	9	112	12	71
Sion	549	223	74	35	85	88	138	54	48	92	0	149	42	81
St. Bernhard	2476	175	85	72	93	115	107	92	54	98	39	116	74	93
Martigny	478	179	116	23	62	137	150	66	36	118	0	131	36	83
Montreux-Clarens	412	198	105	51	61	105	115	112	43	194	4	86	47	91
Lausanne	553	190	85	61	64	113	105	69	45	163	10	69	44	81
Genève	405	172	68	59	51	100	108	115	43	221	32	67	63	89
St. Gotthard	2096	192	116	47	58	102	37	58	57	178	63	73	57	84
Airolo	1170	125	18	66	77	79	44	71	48	195	50	40	56	74
Braggio	1332	55	27	60	45	91	39	87	39	215	47	29	72	72
Locarno-Muralto	239	35	15	59	35	111	26	77	25	249	47	25	86	73
Lugano	276	63	33	59	41	114	32	80	31	159	53	34	120	69
Sils-Maria	1814	56	49	58	37	129	64	123	79	158	14	17	57	75
Bevers	1711	100	14	33	98	112	69	82	49	155	6	24	30	67
Schuls	1253	120	38	100	126	142	119	71	48	154	3	45	2	80

*) Normalperiode 1861–1940. Die mittleren Monats- und Jahressummen sind im Jahrgang 1941 im Anschluß an die vorstehende Tabelle veröffentlicht.

Ergebnisse

der im Alpengebiet aufgestellten Niederschlags-Totalisatoren für das hydrographische Jahr 1942/1943

Station	m ü. M.	Zeitdauer	Gemessene Werte	Red. Werte 1. X. 42 bis 30. IX. 43
			cm	cm
Suchetgebiet (Jura)				
Suchet (Chalet)	1465	30. IX. 1942 — 29. IX. 1943	142	142
Diableretsgebiet				
Becca d'Audon	2870	3. X. 1942 — 5. X. 1943	143	143
Mont Blancgebiet				
Col d'Orny	3169	20. IX. 1942 — 5. IX. 1943	249	253
Dent du Midigebiet				
*Montagne de Salanfe	1977	10. X. 1942 — 29. IX. 1943	125	130
*La Tour	2214	10. X. 1942 — 29. IX. 1943	192	200
*Plateau d'Emosson	1800	27. IX. 1942 — 8. X. 1943	164	162
*Col de Tanneverge	2501	26. IX. 1942 — 27. IX. 1943	283	277
*Mont Ruan	2860	25. IX. 1942 — 25. IX. 1943	254	248
*Le Vieux Emosson	2170	24. IX. 1942 — 24. IX. 1943	226	223
Monte Rosagebiet				
*Plattje	2228	11. IX. 1942 — 5. X. 1943	?136	?119
*Mattmark (Seestein)	2117	9. IX. 1942 — 4. X. 1943	103	91
*Weißtal-Stelli	2620	9. IX. 1942 — 4. X. 1943	171	148
*Galmen	2690	9. IX. 1942 — 3. IX. 1943	117	109
*Schwarzenbergkopf	2565	9. IX. 1942 — 4. X. 1943	169	147
*Ofentalpaß	2800	9. IX. 1942 — 27. VIII. 1943	174	169
*Mondellipaß	2800	10. IX. 1942 — 28. VIII. 1943	197	184
*Thäliboden	2485	10. IX. 1942 — 28. VIII. 1943	139	129
*Schwarzenberggletscher	2968	10. IX. 1942 — 6. IX. 1943	135	125
Furgghorn	3390	11. IX. 1942 — 3. IX. 1943	363	355
Gornergrat	3100	10. IX. 1942 — 2. IX. 1943	111	117
Simplongebiet				
Magenhorn	2470	1. X. 1942 — 28. IX. 1943	114	115
Jungfraugebiet				
Mönchsgrat	3810	23. IX. 1942 — 24. IX. 1943	352	335
Trugberg	3530	22. IX. 1942 — 30. IX. 1943	223	207
Kranzberg	3180	23. IX. 1942 — 1. X. 1943	403	376
Konkordia	2890	3. X. 1942 — 22. IX. 1943	123	142
Aletschwald	2040	1. X. 1942 — 1. XI. 1943	91	89
Grimsel- und Gelmergebiet				
Gelmer Bergli	2144	15. IX. 1942 — 29. X. 1943	185	168
Grimsel I	1978	2. X. 1942 — 3. X. 1943	157	157
Grimsel II	1978	2. X. 1942 — 3. X. 1943	158	158
Pavillon Dollfus	2415	19. IX. 1942 — 26. X. 1943	167	153
Abschwung	2900	19. IX. 1942 — 27. X. 1943	223	202
Oberaaralp	2257	18. IX. 1942 — 26. X. 1943	150	138
Oberaarjoch	3310	18. IX. 1942 — 28. X. 1943	347	316
Kl. Siedelhorn	2430	14. IX. 1942 — 25. X. 1943	271	249
Titlisgebiet				
Trübsee-Jochpaß	1800	30. IX. 1942 — 4. X. 1943	174	174
Gotthardgebiet				
°Albert Heimhütte SAC.	ca. 2550	16. X. 1942 — 9. X. 1943	167	169
°Calmot	ca. 2310	5. X. 1942 — 8. X. 1943	132	133
°Rotondohütte SAC.	ca. 2570	14. X. 1942 — 11. X. 1943	154	155
Lago Ritom	1960	6. X. 1942 — 22. XI. 1943	147	135
Rhätisches Alpengebiet				
Piz Curvèr	2810	31. VIII. 1942 — 11. X. 1943	116	106
Piz Scalotta	2970	30. IX. 1942 — 2. X. 1943	149	149
Julier-Hospiz	2310	1. X. 1942 — 24. IX. 1943	96	105
Albula-Hospiz	2315	30. X. 1942 — 26. X. 1943	78	88
Cluoza (Blockhaus)	1910	30. IX. 1942 — 27. XI. 1943	80	75
Silvrettagebiet				
Silvrettahütte	2370	20. IX. 1942 — 25. IX. 1943	132	129
Eckhorn	3150	20. IX. 1942 — 25. IX. 1943	147	143
Taminagebiet				
*Vättnerälpli	1885	24. X. 1942 — 18. XI. 1943	135	133
*First (Wasserböden)	2200	8. X. 1942 — 20. XI. 1943	115	113
*St. Martin	1396	12. X. 1942 — 19. XI. 1943	157	155
*Panäraalp	2028	2. X. 1942 — 23. XI. 1943	162	159
Tödigebiet				
Claridenfirn	2710	14. IX. 1942 — 17. IX. 1943	318	321
Säntisgebiet				
Säntis	2504	1. X. 1942 — 30. IX. 1943	352	352
Gebiet des Hohen Randen (Jura)				
Auf dem Hagen	915	30. IX. 1942 — 1. X. 1943	71	71

Ergebnisse einiger Totalisatoren, ausgedrückt in Prozenten der mittleren Jahresmenge

Station	m ü. M.	1942 bis 1943	Jahresmittel	Anzahl Jahre	%
		cm	cm		
Suchet	1465	142	176	14	81
Auf dem Hagen	915	71	86	16	83
Becca d'Audon	2870	143	164	20	87
Col d'Orny	3169	253	316	22	80
Gornergrat	3100	117	122	19	96
Furgghorn	3390	355	321	16	111
Mönchsgrat	3810	335	403	22	83
Trugberg	3530	207	209	17	99
Kranzberg	3180	376	412	14	91
Konkordia	2890	142	146	22	97
Aletschwald	2040	89	117	7	76
Trübsee	1800	174	215	15	81
Piz Scalotta	2970	149	196	21	76
Julier	2310	105	108	20	97
Albula	2315	88	86	10	102
Cluoza	1910	75	92	24	82
Silvretta	2370	129	147	24	88
Eckhorn	3150	143	139	23	103
Claridenfirn	2710	321	348	24	92

Die Resultate der mit * bezeichneten Totalisatoren wurden mitgeteilt von der Abteilung für Hydrologie der Versuchsanstalt für Wasserbau an der ETH., diejenigen mit ° vom Studiensyndikat des Großkraftwerkes Andermatt, die Reduktion erfolgte durch die Meteorologische Zentralanstalt.

Die Niederschläge des Jahres 1943

Das Jahr 1943 war wiederum sehr trocken. Im Voralpengebiet, wo die bisherigen Minima auf mehreren Stationen unterschritten wurden, war es das trockenste seit Beginn der Messungen (1864). Hier, ferner in der Nordschweiz, in der ganzen Zentralschweiz, im Engadin und im Tessin betrug das Defizit 20 bis 30% des Normalbetrags, in der Westschweiz und in Graubünden (ohne Engadin) noch 10 bis 20%.

Relativ niederschlagsreiche Monate waren in der ganzen Schweiz der September, auf der Alpennordseite der Januar, in der Nordschweiz und im Alpengebiet noch der November. Dagegen waren besonders niederschlagsarm (weniger als 50% des Normalwerts) in der ganzen Schweiz der August und der Oktober, auf der Alpennordseite noch der Dezember, auf der Südseite der Februar. Im Oktober wurden auf der Alpennordseite nirgends mehr als 5% des Normalwerts, auf einzelnen Stationen der Ostschweiz gar kein Niederschlag gemessen.

Im folgenden wird die Verteilung der größeren und verbreiteten Tagesniederschläge wie üblich kurz beschrieben.

Ein Kaltlufteinbruch aus Nordwesten verursachte am 1. April bedeutende Niederschläge in den Alpen. Der Hauptkern liegt über dem Quellgebiet der Linth (Sedrun 71 mm, Urnerboden 115, Braunwald 104, Auen [Linthal] 95, Oberiberg 74, Einsiedeln 46), ein zweiter am Südwesthang des Säntis (Säntis 96 mm, Starkenbach 91, Ebnat 59), ein dritter über der Grimsel (Fiesch 48 mm, Furka 60, Andermatt 57, Grimsel 76, Gadmen 54, Gurtnellen 59). Auch im Einzugsgebiet der Landquart sind noch mehr als 40 mm gefallen (Davos 42 mm, Klosters 55, Seewis 61), ferner auf Rochers de Naye (68 mm, Leysin 41). Im Berner Oberland und im Unterengadin sind noch 20 bis 40 mm gemessen worden, niederschlagsfrei blieb nur das Tessin. Die Kaltfront passierte um etwa 23 h und verursachte einen Temperatursturz von etwa 7 Grad. Am Morgen des Nachtages hatte sich eine typische Staulage gebildet (Überdruck im Norden 12 mbar). — Am 9. Mai fielen mehr als 30 mm Niederschlag im wesentlichen im Gebiet der Kantone Glarus, Graubünden und Tessin (Gegend von Locarno-Bellinzona), mehr als 40 mm insbesondere auf den Stationen: Ebnat (41 mm), Auen [Linthal] (52), St. Gotthard (74), Platta (46), Panix (42), Vrin (42), Plantahof [Landquart] (41), Sargans (42), Thusis (43), Splügen-Dorf (45), Bellinzona (41) u. a. — Am 9. Juni wurde hauptsächlich das Alpengebiet der Nordostschweiz überregnet. Das Kerngebiet mit 60 bis 70 mm Niederschlag entfällt auf das obere Toggenburg (Ricken 61 mm, Oberkirch 66, Säntis 71, Haag 69, Wallenstadt 63). Auch im Gebiet der Kantone Schwyz und Glarus sind noch mehr als 40 mm gefallen (Lachen 42 mm, Vorderwäggithal 48, Sattel 47, Klönthal 64, Glarus 46, Sargans 49). Die übrige Schweiz hatte meist weniger als 20 mm. — Am 6. Juli verursachte eine aus Nordwesten kommende Störungslinie (Okklusion), die strichweise mit Gewitterstörungen einherging, beträchtliche Niederschläge in der Nordostschweiz. Die 30 mm Isohyete umschließt das Gebiet der Kantone Schwyz, Glarus, Appenzell und das Toggenburg. Das Maximum liegt über dem Wäggithal (Lachen 69 mm, Vorderthal 62). Ferner ist längs der Südostgrenze des Tessins mehr als 40 mm gemessen worden (Maximum in Crana Toricella [70 mm]). — Eine Depression über der Westküste von Frankreich verursachte am 14. September Niederschläge in der Westschweiz und im Tessin. Mehr als 30 mm fielen westlich der Linie La Chaux-de-Fonds—Montreux, und zwar mit deutlicher Bevorzugung der Südostseite des Jura, wo sich ein Streifen mit mehr als 40 mm von Genf bis nach Yverdon erstreckt (Satigny 44 mm, Nyon 45, Longirod 49, Corcelles [sur Chavornay] 40, Valleyres-sous-Rances 43). Dagegen haben die Stationen St-Sulpice und la Brévine nur je 19 mm erhalten. Die Niederschläge der Alpensüdseite erreichen im nordöstlichen Tessin den Betrag von 100 bis 110 mm (St. Gotthard 107, Airolo 104, Fusio 102, Mosogno 108, Camedo 140). Im Süd- und Südosttessin sind dagegen weniger als 30 mm gefallen, in der Nordostschweiz, im Wallis und in Graubünden weniger als 10 mm. — Ein auffallend hohes Niederschlagsmaximum liegt am 22. September über Genf (Compesières 92 mm, Genève 80, Satigny 74, Nyon 48) ein weiteres über dem oberen Genfersee (Lausanne 37 mm, Riex 51, Tour de Gouze 48, Vevey 44, Clarens 38). Im westschweizerischen Mittelland, im Jura, in der nördlichen Rheinzone, ferner im Engadin und im Bergell sind noch 20 bis 30 mm gefallen, im Alpengebiet und im südlichen Tessin weniger als 10 mm. Die Niederschläge im Kerngebiet dauerten ohne Gewitterstörungen den ganzen Tag und stehen im Zusammenhang mit einer Depression über Spanien. — Auch am 25. September liegt über dem Genfersee ein Kerngebiet (La Cure 43 mm, Nyon 33, Riex 41, Rochers de Naye 77, Clarens 34). Die Hauptmenge der Niederschläge ist aber im nordöstlichen Tessin gefallen. Vom Maximum im Centovalli (Camedo 215 mm, Brissago 203, Locarno-Muralto 138) erstreckt sich ein Gebiet mit 100 bis 110 mm nordostwärts bis an die Grenze Graubündens (Cevio 106 mm, Lago di Tremorgio 102, Comprovasco 105, Bernhardin-Paß 126). Im Einzugsgebiet des Vorderrheins fielen noch 60 bis 70 mm (Sedrun 52 mm, Safien-Platz 65, Thusis 64, Chur 66), im Kanton Glarus und im untern Rheintal noch 45 bis 55 mm (Auen [Linthal] 56, Schwyz 44, Weesen 45, Ebnat 40, Haag 47). Die Niederschläge knüpfen sich an die Passage einer Tiefdruckrinne mit um 6 bis 8° kälterer Rückseite. Der Hauptteil der Niederschläge gehört anscheinend eher der vorausgehenden kurzen Föhnphase an.

M. Grütter.

Nr. 4

Ergebnisse der Registrierungen der Sonnenscheinautographen im Jahre 1943

U = Stationen mit Sonnenscheinautographen „Usteri"
N = Stationen mit Sonnenscheinautographen „Negretti & Zambra"
F = Stationen mit Sonnenscheinautographen „Fuess"

Monats- und Jahressummen der Sonnenscheindauer in Stunden

1943		Januar	Februar	März	April	Mai	Juni	Juli	August	September	Oktober	November	Dezember	Jahr
Zürich	N	48	119	188	209	225	191	269	254	135	134	45	18	1835
Säntis	U	76	132	181	169	163	92	173	188	130	232	83	108	1727
Hallau	U	46	112	185	208	201	159	251	257	124	124	45	20	1732
Wald	U	84	134	196	178	190	145	217	212	118	154	53	48	1729
Braunwald	F	83	115	180	173	184	138	186	204	122	155	62	84	1686
Unterägeri	U	88	114	158	194	194	156	217	213	132	159	48	38	1711
Luzern	N	40	108	180	199	223	180	244	246	111	114	44	17	1706
Jungfraujoch	N	86	114	150	179	179	175	198	246	127	185	83	96	1818
Beatenberg	U	86	126	157	167	156	122	184	218	104	177	61	76	1634
Bern	N	78	128	160	210	223	229	269	265	132	136	60	29	1919
Basel	N	74	110	159	197	213	212	259	271	138	132	28	21	1814
Allerheiligen	U	69	113	166	180	166	160	213	222	112	145	47	31	1624
Mont Soleil s. St. Imier	U	81	115	153	180	177	188	212	237	125	184	61	85	1798
La Chaux-de-Fonds	U	76	106	157	165	193	194	222	253	121	162	60	88	1797
Neuchâtel	U	17	119	155	219	228	248	254	283	133	119	56	30	1861
Genève	N	48	146	190	251	251	297	296	321	159	149	75	37	2220
Lausanne	N	70	152	182	238	233	269	285	295	142	149	69	67	2151
Montreux-Clarens	U	75	133	152	193	193	203	235	250	119	152	59	61	1825
Leysin	U	97	142	174	191	196	193	221	260	120	178	93	115	1980
Sitten	U	96	142	186	222	219	226	250	292	161	207	105	108	2214
Montana s. Sierre	U	113	157	194	215	220	227	262	298	160	235	136	145	2362
Wallenstadtberg	U	82	124	179	153	160	121	196	182	115	180	53	82	1627
Plantahof b/Landquart	U	80	121	187	168	190	157	221	228	127	197	59	48	1783
Arosa	N	96	124	210	180	201	165	213	245	140	207	101	91	1973
Davos-Platz	N	84	116	192	171	175	157	186	227	136	182	86	77	1789
St. Moritz	U	107	150	192	190	188	188	197	236	132	172	105	77	1934
Schuls	N	88	128	197	187	202	197	222	243	157	182	87	63	1953
Lugano	N	115	180	167	241	234	264	290	297	162	122	111	106	2289
Monte Brè	U	137	179	168	239	250	283	314	310	161	123	122	113	2390
Locarno-Monti	N	130	189	175	267	260	285	301	316	167	135	126	115	2466

1943

Tägliche Dauer des Sonnenscheins in Stunden.

Januar

Tag	Lugano	Genf	Montana s. Sierre	Chaux-de-Fonds	Bern	Luzern	Basel	Zürich	Davos	Säntis
1	2.3	0.5	3.3	0.0	1.5	4.0	0.5	2.1	4.5	0.0
2	6.3	0.0	0.0	0.0	0.1	0.0	0.7	0.5	0.0	0.0
3	5.2	0.0	0.0	0.0	0.1	0.0	0.3	0.0	0.0	0.0
4	6.9	0.0	0.0	0.0	0.0	0.0	0.0	0.0	0.1	0.0
5	1.0	0.0	0.0	0.0	0.0	0.0	0.0	0.0	0.0	0.0
6	6.9	7.2	3.8	0.0	0.0	0.0	0.0	0.0	0.1	0.0
7	1.7	0.0	0.0	0.0	0.0	0.0	0.0	0.0	0.0	0.0
8	3.7	0.5	1.8	0.0	0.0	0.3	0.0	0.9	0.2	0.0
9	7.0	0.4	4.4	2.9	0.1	0.0	0.0	0.0	5.1	8.0
10	2.7	1.3	0.0	0.0	0.0	0.0	0.4	0.0	5.2	2.4
11	0.0	0.0	0.0	0.0	0.0	0.0	0.1	0.0	2.6	2.4
12	0.0	0.0	0.0	0.0	0.0	0.0	0.0	0.0	0.0	0.0
13	4.7	5.2	5.4	2.5	5.1	4.6	1.9	4.2	2.4	0.0
14	0.0	1.8	0.0	1.3	3.0	2.6	3.2	2.5	0.8	0.0
15	4.4	2.0	0.0	0.1	1.3	0.6	1.1	0.4	0.1	0.0
16	7.3	7.2	8.1	6.2	7.2	4.8	6.7	6.2	1.6	1.4
17	7.0	0.1	7.5	6.6	3.5	0.0	7.5	0.4	5.7	8.6
18	7.2	0.0	8.0	7.0	7.1	0.2	7.6	2.4	5.7	8.2
19	6.9	0.0	7.2	7.1	6.1	0.0	7.6	2.4	5.7	7.9
20	5.9	0.0	5.3	4.2	4.0	1.8	5.6	2.2	4.2	5.8
21	3.6	0.0	6.3	4.7	4.7	4.7	5.6	4.0	5.6	5.3
22	2.4	0.2	6.0	3.8	3.6	2.9	1.5	2.9	5.8	3.9
23	0.0	0.5	0.5	0.2	2.3	0.4	0.0	2.2	4.0	1.0
24	3.5	8.0	7.1	1.9	4.7	0.2	0.3	0.8	0.2	0.0
25	7.6	2.7	8.5	7.7	1.9	0.0	6.3	4.1	6.1	8.2
26	0.0	0.0	1.0	0.0	0.0	1.1	0.0	0.0	0.4	0.0
27	5.5	0.8	4.4	1.0	3.7	1.9	0.8	0.1	1.1	0.0
28	0.0	0.0	8.7	6.7	8.1	0.0	3.8	0.0	6.3	7.2
29	3.9	5.3	7.8	7.5	5.8	4.4	6.2	2.5	3.9	2.2
30	1.0	0.3	3.0	0.8	2.0	1.7	0.4	0.9	3.8	1.3
31	0.7	3.5	5.0	3.6	2.3	4.3	6.0	6.5	3.0	2.1
Mittel	3.7	1.5	3.6	2.4	2.5	1.3	2.4	1.6	2.7	2.4

Februar

Tag	Lugano	Genf	Montana s. Sierre	Chaux-de-Fonds	Bern	Luzern	Basel	Zürich	Davos	Säntis
1	0.0	1.6	0.1	5.0	3.4	0.9	5.5	1.6	1.0	0.0
2	0.0	0.0	0.0	0.0	0.0	0.0	0.0	0.0	0.0	0.0
3	8.2	2.8	0.0	0.4	1.6	2.9	1.0	0.6	0.2	0.0
4	0.5	2.1	5.4	0.2	3.6	3.7	0.1	1.1	5.2	0.0
5	8.5	8.8	5.4	4.8	7.0	6.9	4.0	6.1	4.5	6.2
6	6.8	6.3	4.5	4.6	5.4	4.6	5.5	4.8	3.8	1.3
7	0.0	0.0	0.0	0.0	0.0	0.0	0.0	0.0	0.0	0.0
8	7.0	7.1	6.4	1.3	1.5	0.0	0.1	1.4	2.9	4.3
9	0.0	0.3	4.3	2.0	1.6	2.9	3.6	5.5	5.1	5.1
10	0.0	3.3	1.7	0.3	0.9	1.5	1.5	1.0	0.0	0.0
11	8.9	1.6	0.8	0.0	0.0	0.0	0.0	0.0	1.7	0.4
12	8.4	7.9	6.7	1.8	6.7	6.9	2.7	6.2	4.1	4.2
13	8.5	1.1	0.2	0.4	0.8	1.3	2.8	2.1	0.0	0.0
14	9.0	3.8	0.1	0.2	0.1	0.4	0.8	2.0	0.1	0.0
15	6.7	4.3	3.2	0.0	3.9	3.6	1.0	5.0	5.5	3.0
16	0.0	2.0	0.0	0.0	0.0	0.0	0.1	0.0	0.0	0.0
17	0.0	8.5	9.1	0.0	2.2	0.3	0.1	0.2	1.7	0.4
18	9.2	4.3	9.6	7.4	4.9	2.5	8.2	7.5	7.1	9.9
19	9.3	8.3	9.7	8.5	8.8	6.7	8.8	7.4	7.2	10.0
20	9.3	8.3	9.7	8.9	9.0	6.5	8.4	8.7	7.3	10.0
21	9.3	9.4	9.7	9.0	9.5	3.3	7.2	5.9	7.3	10.2
22	9.2	8.7	9.9	8.9	9.6	6.4	9.7	7.2	7.4	10.2
23	9.4	9.4	10.0	9.1	10.0	9.8	10.0	9.9	7.4	10.2
24	9.5	9.2	9.9	8.5	9.3	9.7	9.5	9.7	7.5	10.2
25	9.6	8.8	10.0	7.7	9.6	9.6	9.5	9.1	7.6	10.3
26	8.4	9.2	9.9	4.4	9.1	8.8	0.0	8.2	6.8	6.3
27	8.6	0.0	10.1	4.0	0.0	0.0	0.9	0.2	6.5	10.1
28	9.3	9.0	10.2	8.9	9.0	8.5	8.6	8.0	7.8	9.8
Mittel	6.4	5.2	5.6	3.8	4.6	3.8	3.9	4.3	4.1	4.7

März

Tag	Lugano	Genf	Montana s. Sierre	Chaux-de-Fonds	Bern	Luzern	Basel	Zürich	Davos	Säntis
1	9.8	8.6	10.3	8.8	9.6	9.6	9.4	9.0	7.8	9.6
2	5.6	8.5	6.1	9.0	6.2	6.4	9.0	8.5	1.4	4.3
3	9.9	9.7	10.2	8.5	8.2	9.0	4.0	7.9	7.2	9.5
4	0.0	3.0	8.5	4.6	2.0	4.8	8.9	9.6	7.1	9.2
5	9.8	7.8	8.9	1.0	2.1	4.0	1.4	1.7	6.3	4.5
6	3.9	3.0	0.2	1.6	2.2	0.0	1.2	0.3	0.0	0.0
7	5.6	10.2	9.0	8.3	2.8	9.6	3.9	6.8	8.0	9.5
8	7.4	9.8	10.3	10.0	9.3	8.5	9.8	9.3	8.4	10.1
9	6.1	9.9	10.3	10.0	9.9	9.3	9.4	9.5	7.9	10.2
10	6.0	10.0	10.1	9.7	9.3	9.5	8.9	10.2	8.7	10.2
11	7.6	9.9	10.4	9.5	9.9	9.6	8.7	10.1	9.1	10.2
12	3.5	4.2	5.4	3.3	5.0	5.6	6.4	7.9	5.2	6.1
13	5.1	9.3	8.4	9.5	9.2	9.3	6.8	10.0	6.5	9.9
14	10.1	0.4	2.3	2.0	0.0	5.4	1.8	9.1	9.4	8.4
15	10.0	5.5	8.3	3.8	6.2	8.3	5.0	8.1	9.4	6.8
16	9.5	10.3	8.5	7.5	8.2	8.9	9.5	9.9	7.8	4.1
17	9.0	10.1	10.2	9.7	10.1	10.4	9.5	10.6	9.4	9.3
18	5.9	4.2	6.4	4.6	6.7	6.4	8.2	7.7	6.8	0.0
19	10.2	5.1	6.0	5.1	5.0	3.9	2.9	3.9	9.0	5.0
20	3.8	9.6	8.3	3.1	8.4	7.4	3.2	6.4	6.2	4.5
21	0.0	0.0	0.0	2.0	1.9	0.1	2.7	0.2	4.8	0.5
22	4.0	4.5	2.0	3.4	2.6	2.0	6.4	1.7	7.8	7.2
23	4.1	10.7	10.1	7.5	10.4	10.9	6.5	9.5	9.5	9.6
24	0.6	4.0	6.6	2.4	3.9	7.5	2.1	6.1	8.7	8.8
25	0.0	0.0	0.0	0.0	0.0	0.0	0.0	0.0	1.5	1.0
26	0.0	0.0	0.0	0.5	0.0	0.5	0.2	0.0	0.1	0.0
27	0.7	6.4	3.8	4.0	1.6	0.4	4.7	3.1	2.8	0.0
28	0.0	0.8	0.7	0.0	0.1	2.0	0.5	2.3	2.4	0.9
29	0.4	1.9	0.7	1.6	0.0	0.0	2.1	0.0	0.0	0.0
30	9.7	8.6	8.3	5.7	7.5	9.0	5.6	7.0	7.9	11.2
31	7.9	4.2	3.9	0.2	2.1	1.3	0.4	1.5	4.8	0.5
Mittel	5.4	6.1	6.3	5.1	5.2	5.8	5.1	6.1	6.2	5.8

April

Tag	Lugano	Genf	Montana s. Sierre	Chaux-de-Fonds	Bern	Luzern	Basel	Zürich	Davos	Säntis
1	10.2	2.2	0.1	0.0	0.0	0.0	0.0	0.0	0.0	0.0
2	11.3	1.8	0.4	0.6	1.8	0.3	1.7	3.6	0.0	0.0
3	11.6	11.9	5.8	4.8	4.3	3.5	3.5	3.0	2.9	1.2
4	10.5	12.0	11.4	11.0	11.1	11.8	10.9	11.1	10.1	11.0
5	11.1	11.9	11.6	11.1	11.6	11.7	11.9	11.4	10.3	11.2
6	8.3	4.0	3.2	0.4	1.2	1.1	1.5	2.0	3.6	0.0
7	10.4	3.0	0.7	0.0	0.0	0.0	0.0	0.0	0.0	0.0
8	8.9	3.9	0.0	2.7	3.3	3.8	3.4	3.5	0.0	0.0
9	11.6	0.6	3.6	0.0	0.3	0.0	0.0	0.1	0.0	0.0
10	11.2	11.1	11.7	9.2	11.8	10.6	9.6	10.9	5.0	8.6
11	10.2	6.5	7.3	0.0	0.1	0.0	0.1	0.1	2.8	0.0
12	7.6	11.8	5.0	4.3	7.5	3.9	1.8	2.1	0.0	0.0
13	2.4	11.6	9.1	11.7	12.2	12.3	12.2	11.7	10.6	10.8
14	9.4	12.6	11.7	9.0	12.5	12.2	12.4	12.3	10.8	12.9
15	11.4	12.5	12.3	10.7	12.5	12.6	11.9	12.7	11.0	13.0
16	9.0	9.2	8.2	7.5	10.2	11.6	12.2	12.6	10.3	13.0
17	11.6	11.9	12.2	8.3	12.3	12.6	12.2	12.7	11.0	13.0
18	11.7	12.8	12.3	10.6	12.5	12.2	12.2	12.6	11.0	12.5
19	6.2	8.2	6.8	7.4	9.5	7.6	7.3	9.0	8.7	8.7
20	2.8	5.7	0.2	1.8	0.9	0.0	3.6	0.2	3.7	0.0
21	0.0	0.0	0.3	0.0	0.0	0.0	1.6	1.9	1.3	1.5
22	0.0	11.6	9.7	5.6	10.1	10.9	6.3	10.8	7.2	8.3
23	0.2	8.3	8.1	8.2	10.6	10.8	10.0	11.0	7.7	7.8
24	0.4	4.4	6.3	3.5	0.2	0.0	1.7	1.5	0.4	0.0
25	9.1	12.2	11.5	10.4	11.9	12.6	13.0	13.2	10.8	12.0
26	7.1	6.1	6.9	1.1	5.8	5.0	2.4	5.2	1.9	1.8
27	10.4	13.5	12.7	8.7	12.7	9.6	11.4	10.6	10.6	6.7
28	11.1	11.7	11.9	5.0	10.0	10.0	8.8	12.1	8.9	5.8
29	4.1	5.2	1.3	1.5	2.1	0.9	2.2	1.3	1.3	0.0
30	10.9	12.3	12.3	9.6	11.2	11.7	10.8	9.8	8.8	8.7
Mittel	8.0	8.3	7.2	5.5	7.0	6.6	6.6	7.0	5.7	5.6

Tägliche Dauer des Sonnenscheins in Stunden.

Mai

Tag	Lugano	Genf	Montana s. Sierre	Chaux-de-Fonds	Bern	Luzern	Basel	Zürich	Davos	Säntis
1	0.5	0.0	1.6	0.0	0.1	0.9	0.0	1.0	0.2	0.0
2	0.0	0.0	0.1	0.0	0.1	0.0	0.1	1.1	1.5	0.0
3	0.0	0.0	3.5	0.0	0.0	0.0	0.0	0.0	1.1	1.8
4	0.0	0.6	0.6	0.0	0.1	0.0	0.0	0.0	4.0	8.8
5	0.0	4.5	4.5	2.5	6.5	4.4	7.4	6.0	1.3	2.9
6	0.0	0.4	1.1	0.9	2.5	5.6	4.8	6.8	2.3	4.2
7	1.8	5.2	4.7	0.1	5.4	4.6	0.6	5.9	0.1	0.0
8	8.5	4.8	2.1	0.9	2.1	3.6	1.5	4.7	3.7	0.5
9	0.0	2.0	0.0	0.9	0.1	0.0	0.3	0.0	1.9	0.0
10	10.9	11.2	10.9	9.8	10.2	11.5	10.9	12.2	9.5	11.1
11	9.5	2.3	2.8	1.2	3.7	2.0	2.6	3.8	5.6	0.0
12	12.4	13.6	13.2	13.1	13.7	13.0	12.1	12.2	10.7	10.8
13	9.9	13.7	13.2	13.6	13.8	14.1	14.1	14.0	12.1	14.3
14	11.7	13.5	13.3	13.6	14.0	14.3	13.9	14.0	12.0	12.6
15	7.4	13.7	13.2	13.6	13.9	14.1	13.8	14.0	9.8	13.9
16	11.8	12.9	13.1	5.8	4.9	0.0	3.9	1.8	5.4	5.4
17	10.9	13.8	12.9	13.8	13.9	14.3	14.2	14.3	11.9	14.2
18	12.6	13.7	10.8	14.0	14.2	14.2	14.0	13.7	12.0	14.2
19	12.5	11.3	11.2	13.5	14.0	14.4	14.1	14.2	12.0	13.1
20	7.7	12.0	11.5	9.1	12.0	12.0	13.3	13.7	11.4	11.6
21	8.8	9.7	7.5	7.4	8.1	10.9	10.6	10.5	2.8	1.3
22	6.1	6.9	2.6	3.6	4.3	5.2	7.4	7.6	4.3	0.5
23	10.8	11.2	7.5	3.9	6.1	1.8	4.2	0.9	1.5	0.0
24	0.0	0.2	0.3	0.9	0.2	0.6	1.2	0.9	2.4	0.2
25	12.7	2.2	0.0	0.5	0.4	0.6	0.0	0.3	1.7	0.0
26	12.7	5.5	6.0	6.1	5.4	4.3	4.2	1.3	0.7	0.0
27	12.3	13.4	4.1	3.7	6.9	6.7	4.2	3.9	1.2	0.2
28	12.6	14.3	12.7	11.9	12.9	11.6	10.1	10.9	5.2	6.3
29	11.9	13.7	13.2	12.6	12.3	13.6	12.9	13.3	10.3	10.1
30	12.2	12.8	12.8	11.2	11.4	12.7	11.3	12.4	9.8	3.6
31	5.9	12.3	8.6	5.0	9.5	11.6	5.2	9.7	6.3	1.7
Mittel	7.6	8.1	7.1	6.2	7.2	7.2	6.9	7.3	5.6	5.3

Juni

Tag	Lugano	Genf	Montana s. Sierre	Chaux-de-Fonds	Bern	Luzern	Basel	Zürich	Davos	Säntis
1	0.3	7.6	4.3	3.7	3.9	0.7	5.9	1.3	2.9	1.0
2	4.8	6.6	7.8	3.1	5.5	2.9	3.3	4.6	6.3	0.6
3	10.3	4.0	1.5	2.6	3.8	6.5	2.9	3.3	4.8	0.0
4	13.2	3.5	1.6	0.4	0.6	0.7	3.1	1.0	1.0	0.0
5	11.9	11.9	12.9	10.0	13.7	12.8	12.2	13.5	11.2	9.8
6	8.3	6.3	7.5	5.2	6.6	7.5	7.7	8.0	7.0	0.8
7	6.3	13.4	10.4	10.8	10.5	7.3	12.4	9.0	5.7	1.1
8	4.0	11.6	8.1	4.8	4.8	3.1	1.7	3.1	5.3	4.2
9	2.9	2.6	1.3	0.3	0.0	0.0	0.1	0.0	0.3	0.0
10	8.8	12.4	5.4	5.6	6.2	0.0	3.2	3.3	1.0	0.0
11	11.5	11.9	5.3	6.6	6.5	3.9	4.8	2.2	0.0	0.0
12	10.9	13.7	7.4	9.1	12.6	9.7	9.5	7.9	3.5	1.0
13	11.6	13.9	11.7	0.0	8.3	4.2	12.2	4.7	6.0	0.0
14	0.0	0.5	2.7	0.2	0.4	1.5	0.0	0.3	3.0	2.4
15	2.0	14.2	7.6	5.4	9.2	1.7	10.0	2.0	0.0	0.0
16	9.5	6.4	3.5	3.6	6.2	5.0	3.3	2.4	0.2	0.0
17	5.7	0.0	0.0	0.0	0.0	0.0	0.3	0.0	0.0	0.0
18	13.4	10.9	10.3	6.9	6.2	6.7	8.1	5.0	0.5	0.1
19	10.9	11.3	5.6	4.9	3.5	1.4	3.6	0.0	0.0	0.0
20	13.3	14.2	14.0	13.1	14.1	14.6	14.9	14.6	12.2	15.0
21	11.4	3.6	7.4	2.6	3.6	6.7	6.4	8.1	9.9	6.8
22	9.3	11.5	2.7	0.8	2.9	2.0	0.6	3.2	3.8	0.0
23	12.0	8.7	8.6	7.5	11.6	10.0	13.1	11.8	7.0	7.5
24	13.0	14.0	10.5	13.6	12.2	11.0	12.6	11.4	10.7	1.5
25	11.4	14.7	13.6	13.9	13.9	13.6	13.2	12.8	11.5	11.0
26	13.3	14.2	14.0	11.4	13.6	8.4	12.0	10.8	8.1	3.7
27	8.0	14.1	11.1	11.5	12.1	3.8	9.4	12.2	8.9	0.7
28	12.4	14.0	13.0	13.2	13.5	11.7	12.[illegible]	11.8	12.1	7.9
29	9.5	12.2	11.0	13.3	13.8	13.2	10.7	12.5	11.6	8.1
30	3.9	13.5	6.1	9.5	9.6	9.4	3.2	8.8	1.1	0.2
Mittel	8.8	9.9	7.6	6.5	7.6	6.0	7.1	6.4	5.2	3.0

Juli

Tag	Lugano	Genf	Montana s. Sierre	Chaux-de-Fonds	Bern	Luzern	Basel	Zürich	Davos	Säntis
1	13.1	13.2	13.3	9.2	13.7	14.1	11.7	14.1	4.5	0.2
2	9.5	10.4	8.5	8.9	12.1	11.1	13.8	12.4	5.3	7.9
3	10.4	13.0	7.9	11.4	13.2	13.7	14.3	14.6	7.1	7.4
4	13.1	14.3	13.8	14.3	14.5	14.4	14.6	14.6	12.0	13.4
5	10.8	11.2	10.3	9.9	10.6	11.4	10.3	12.3	8.0	8.5
6	0.5	4.3	4.0	2.3	3.1	2.8	3.0	3.0	4.0	0.0
7	9.8	6.0	8.2	1.7	5.3	3.4	2.0	2.5	5.6	0.1
8	3.6	2.5	4.9	1.0	2.0	1.0	0.8	1.4	1.0	0.0
9	13.3	8.0	3.5	4.9	4.9	1.0	1.8	3.0	0.7	0.0
10	12.3	2.8	1.3	2.1	0.0	0.1	0.1	0.2	0.6	0.0
11	10.1	8.0	3.7	0.8	2.5	0.2	1.0	0.2	0.1	0.0
12	13.0	14.2	13.7	11.9	13.6	13.3	13.7	13.7	10.8	12.4
13	8.3	8.0	6.4	4.7	3.5	1.3	6.9	3.0	1.0	0.0
14	11.6	14.4	13.7	13.4	13.8	13.7	14.0	13.9	10.9	11.8
15	10.8	14.1	13.6	13.8	14.4	14.4	14.6	14.4	11.5	11.5
16	12.3	11.0	9.3	7.1	9.5	9.8	10.3	11.1	6.7	8.9
17	12.6	13.7	12.4	10.3	13.9	12.4	14.0	14.2	8.7	2.8
18	11.9	12.9	12.6	9.3	10.4	9.5	9.2	11.3	10.8	5.3
19	6.4	8.8	5.1	7.1	9.7	4.3	8.1	6.1	7.0	2.6
20	6.9	2.4	7.6	2.6	7.0	9.2	5.8	10.0	9.9	9.8
21	1.3	9.8	6.7	3.9	5.4	1.9	1.9	2.7	1.4	0.0
22	11.9	7.0	5.6	1.7	1.8	1.7	3.6	4.6	4.3	4.7
23	3.8	4.4	3.6	1.8	4.9	2.3	5.0	2.9	2.7	0.4
24	11.1	10.5	6.5	3.6	9.3	6.5	7.0	4.0	2.4	2.7
25	9.1	8.3	10.0	9.0	9.4	7.4	8.4	10.1	0.6	6.5
26	2.9	4.7	3.4	4.4	2.4	2.9	7.8	7.7	6.0	7.3
27	7.0	6.2	8.2	4.0	7.8	9.5	5.5	8.8	2.0	2.6
28	9.3	13.6	11.4	12.9	13.7	13.3	12.7	12.7	8.1	7.5
29	12.4	13.3	12.5	13.5	13.4	13.2	13.0	13.6	10.0	9.5
30	12.1	12.7	11.0	13.1	13.2	13.4	13.0	13.3	11.0	11.4
31	9.1	12.4	9.2	7.8	10.3	11.3	10.8	12.1	11.5	12.5
Mittel	9.4	9.6	8.4	7.2	8.7	7.9	8.3	8.7	6.0	5.6

August

Tag	Lugano	Genf	Montana s. Sierre	Chaux-de-Fonds	Bern	Luzern	Basel	Zürich	Davos	Säntis
1	11.3	12.5	11.4	12.7	12.5	11.7	11.3	11.0	8.0	7.7
2	11.9	12.8	11.0	11.4	12.6	11.7	13.0	12.1	11.6	11.8
3	11.0	6.0	10.1	6.6	10.1	12.0	9.2	11.8	11.6	11.7
4	2.9	12.1	9.3	3.2	6.8	3.9	5.7	5.3	0.0	0.0
5	10.3	6.1	8.2	5.1	7.1	7.7	6.0	8.1	8.4	7.2
6	7.8	10.9	11.5	10.5	5.6	1.0	11.5	4.0	4.2	0.0
7	9.3	4.6	8.2	1.0	0.5	0.5	2.5	0.9	3.1	0.0
8	12.0	13.3	11.6	6.2	9.6	10.6	8.0	8.2	3.6	1.7
9	12.4	9.7	8.8	2.6	6.6	5.5	1.6	4.9	5.6	2.2
10	12.4	13.6	11.6	12.6	13.3	12.4	12.2	11.5	11.4	10.5
11	8.4	12.7	12.8	11.4	12.5	12.9	10.9	12.6	11.1	11.0
12	9.4	10.4	9.2	6.9	4.5	1.9	9.0	3.7	5.9	0.3
13	7.8	13.5	10.8	12.9	13.4	12.7	12.9	11.5	10.8	6.7
14	11.7	13.4	12.6	11.1	11.8	11.6	11.4	11.0	9.7	5.0
15	11.9	13.1	11.0	2.3	5.8	3.5	3.2	5.0	10.4	0.4
16	9.2	13.4	12.4	12.9	13.2	12.9	12.9	13.4	10.9	13.6
17	11.4	13.4	12.8	12.7	13.0	12.9	12.5	13.1	11.3	13.4
18	10.8	13.1	12.6	12.8	13.2	13.1	13.2	13.2	11.2	13.3
19	11.8	12.8	11.3	12.6	12.7	12.7	13.1	12.9	9.5	12.8
20	11.9	12.7	12.2	12.3	12.4	12.7	12.1	12.8	10.9	12.7
21	11.4	10.6	9.4	10.3	10.9	11.5	10.8	12.1	11.1	12.7
22	0.0	0.2	0.0	13.3	0.3	0.8	0.1	0.0	2.6	0.0
23	10.3	11.5	6.8	10.4	7.6	7.5	12.4	7.7	0.0	0.0
24	11.5	10.9	11.9	8.1	8.5	9.5	10.0	8.5	10.0	9.3
25	0.0	0.5	0.0	0.7	0.5	0.0	3.8	0.4	0.1	0.0
26	10.5	10.7	10.6	9.6	11.2	12.2	11.0	12.4	10.5	12.9
27	10.7	9.5	7.9	2.9	6.1	1.1	5.1	2.7	1.1	0.0
28	4.9	4.4	3.0	4.9	6.5	4.5	11.3	3.4	0.0	1.2
29	12.0	9.5	11.7	4.5	9.3	6.8	3.9	7.6	5.3	1.1
30	8.7	11.6	6.0	6.6	6.8	7.7	4.6	7.7	7.9	8.2
31	11.8	11.8	11.6	2.1	0.4	0.7	5.5	4.2	8.5	0.8
Mittel	9.6	10.4	9.6	8.2	8.6	7.9	8.7	8.2	7.3	6.1

1943

Tägliche Dauer des Sonnenscheins in Stunden.

September

Tag	Lugano	Genf	Montana s. Sierre	Chaux-de-Fonds	Bern	Luzern	Basel	Zürich	Davos	Säntis
1	11.7	12.4	11.9	11.4	12.1	10.4	11.8	12.1	10.6	11.9
2	5.8	4.3	5.1	4.5	5.9	6.7	4.5	7.5	7.7	6.2
3	4.1	6.6	6.4	0.7	2.1	2.3	3.7	3.3	3.0	1.0
4	9.8	10.8	18.4	6.4	6.5	1.9	7.2	2.7	0.3	1.6
5	11.7	11.9	11.7	11.4	11.6	9.5	9.6	12.0	10.3	11.7
6	11.2	9.6	7.9	5.1	6.4	5.8	6.8	6.0	7.8	7.4
7	10.7	11.4	10.8	6.8	11.4	6.4	7.9	9.7	9.0	11.0
8	4.2	8.2	6.0	6.6	6.7	3.8	5.5	4.4	3.0	0.0
9	3.6	3.2	5.5	4.5	6.0	4.3	6.9	8.2	8.8	10.0
10	1.6	6.9	5.1	3.9	3.8	3.9	5.2	6.3	1.4	2.8
11	6.9	6.4	4.5	4.6	4.2	4.0	6.5	5.9	3.6	2.2
12	5.7	6.7	5.0	4.6	7.7	8.4	6.2	7.1	6.7	3.7
13	7.0	1.3	3.2	1.7	3.3	4.4	2.4	4.4	7.9	5.7
14	2.2	1.7	0.4	3.3	0.9	3.7	3.2	3.7	6.6	3.3
15	0.0	0.5	0.0	0.1	0.0	0.0	0.0	0.2	1.1	0.0
16	10.6	8.0	5.9	7.3	7.6	4.9	7.1	5.2	4.4	3.1
17	8.7	7.9	8.7	6.7	8.6	6.0	9.3	6.8	8.9	9.8
18	1.3	1.4	3.8	0.1	0.0	2.4	0.0	3.0	2.2	1.9
19	10.2	0.4	2.5	0.0	0.3	0.3	0.0	0.1	7.1	10.8
20	7.1	9.6	7.2	3.7	6.2	6.4	2.9	5.8	0.9	0.0
21	7.4	1.0	2.9	0.3	0.1	1.6	0.3	0.1	3.7	1.6
22	0.0	0.0	0.0	0.0	0.0	0.0	0.0	0.0	0.0	0.0
23	2.1	3.1	5.0	5.7	2.2	0.0	4.0	0.4	2.8	1.9
24	10.4	5.5	9.9	9.0	4.0	5.0	10.6	7.4	9.5	7.1
25	0.2	1.8	0.0	0.6	0.0	1.1	0.1	1.5	1.4	1.7
26	2.8	2.5	3.1	0.0	0.9	0.1	0.1	0.0	0.0	0.0
27	0.0	5.3	3.4	6.3	3.1	1.6	6.8	3.0	0.0	0.0
28	0.0	8.7	5.7	5.6	7.5	6.0	6.9	6.7	0.0	4.2
29	0.0	0.1	0.0	0.0	0.0	0.0	0.0	0.0	0.2	0.0
30	4.7	2.1	10.1	0.0	2.4	0.0	2.7	1.0	7.2	9.5
Mittel	5.4	5.3	5.3	4.0	4.4	3.7	4.6	4.5	4.5	4.3

Oktober

Tag	Lugano	Genf	Montana s. Sierre	Chaux-de-Fonds	Bern	Luzern	Basel	Zürich	Davos	Säntis
1	1.8	2.5	7.7	1.2	0.0	0.0	0.1	0.1	6.1	6.9
2	7.2	10.3	9.8	8.1	9.7	7.4	8.5	9.6	8.9	10.1
3	10.4	9.0	10.5	6.2	8.6	5.3	6.8	8.7	9.0	9.4
4	10.2	9.5	10.3	9.3	7.9	5.7	8.0	9.8	8.1	10.4
5	10.3	8.6	10.1	4.1	5.4	4.5	4.9	4.1	8.9	10.7
6	5.5	5.5	8.5	8.0	4.9	1.9	6.1	2.2	7.9	9.4
7	10.0	6.4	8.2	9.1	5.2	1.5	1.9	3.8	7.2	9.1
8	4.9	0.5	9.2	7.6	0.2	0.0	0.0	0.0	6.4	9.7
9	4.2	6.8	5.8	0.3	0.1	0.0	0.0	0.0	2.2	10.2
10	0.2	1.2	5.8	8.7	4.4	6.1	5.4	5.0	6.5	10.2
11	7.5	4.6	9.5	9.2	1.4	0.0	1.6	0.0	7.2	9.0
12	3.0	0.0	9.5	5.1	0.0	0.0	0.0	0.0	7.8	10.2
13	0.0	4.4	9.2	1.4	0.0	0.0	0.0	0.0	7.5	10.2
14	0.0	6.0	8.7	0.7	7.7	4.3	4.1	*5.5	4.0	2.7
15	0.0	5.4	6.6	6.4	8.9	5.4	7.4	9.2	7.4	4.7
16	0.1	6.6	9.9	4.3	9.6	8.1	5.6	8.0	7.7	7.6
17	0.0	2.0	5.7	1.9	6.8	7.3	4.0	9.1	2.6	3.0
18	0.0	3.9	6.0	0.0	5.3	6.4	5.3	5.9	3.5	0.8
19	0.0	0.0	0.1	0.7	0.0	0.2	1.0	1.1	1.2	1.4
20	3.1	4.6	9.6	7.8	5.6	6.2	8.2	5.4	7.4	7.8
21	9.1	9.3	9.7	7.6	10.0	9.1	6.2	9.8	7.4	9.8
22	3.3	8.7	9.6	7.8	9.0	9.1	8.7	8.3	7.4	9.0
23	0.4	8.1	1.1	7.6	5.6	8.7	9.1	7.9	4.8	8.2
24	6.2	5.1	6.2	7.2	8.2	8.2	6.6	8.9	4.7	2.5
25	0.1	1.4	2.1	0.0	0.0	0.0	0.0	0.0	1.0	2.8
26	8.1	6.0	8.3	4.5	6.4	6.7	5.2	7.0	5.2	5.7
27	0.0	1.6	2.3	0.0	0.0	0.0	0.0	0.0	0.4	1.8
28	8.3	5.0	7.5	3.5	0.4	0.0	0.0	0.0	6.9	9.6
29	2.2	4.9	9.4	7.7	3.1	1.9	2.5	0.5	4.2	9.7
30	0.5	0.0	9.2	8.2	1.7	0.0	5.9	0.0	5.7	9.1
31	5.6	0.7	9.2	8.3	0.0	0.0	9.0	4.2	6.4	9.4
Mittel	3.9	4.8	7.6	5.2	4.4	3.7	4.3	4.3	5.9	7.5

November

Tag	Lugano	Genf	Montana s. Sierre	Chaux-de-Fonds	Bern	Luzern	Basel	Zürich	Davos	Säntis
1	0.0	0.0	2.7	3.8	0.7	0.0	3.8	1.0	6.6	8.5
2	0.0	0.5	2.2	1.4	2.5	1.0	1.1	2.9	1.2	0.0
3	3.8	4.3	8.4	6.1	6.2	0.0	0.0	2.2	6.6	9.2
4	4.5	0.0	8.9	7.3	0.0	0.0	0.0	0.0	4.5	9.5
5	0.0	0.0	0.0	6.0	0.0	0.0	3.6	0.4	1.7	9.4
6	7.4	2.8	3.0	4.1	5.6	5.9	3.4	5.9	6.8	7.9
7	1.6	2.6	7.9	0.2	1.9	1.9	1.0	1.4	0.0	0.0
8	8.0	7.1	1.3	0.5	1.6	1.4	0.1	1.6	0.6	0.0
9	7.6	8.3	8.3	6.0	8.0	0.0	2.1	2.1	1.8	2.2
10	8.3	7.2	8.9	8.3	7.8	4.8	0.1	7.2	6.7	9.1
11	0.0	4.5	5.3	3.0	3.1	3.4	1.3	2.6	0.0	0.7
12	7.0	3.7	4.5	1.1	1.1	0.9	0.1	0.5	2.1	0.0
13	6.6	0.0	0.0	0.0	0.0	0.0	0.0	0.0	1.4	0.0
14	3.9	4.8	5.7	0.0	2.4	7.3	3.4	5.0	2.5	0.0
15	7.5	3.2	6.0	3.6	5.7	4.6	1.3	2.5	6.1	2.7
16	0.0	4.9	8.5	0.0	1.9	2.3	0.1	2.1	0.0	0.0
17	4.4	6.1	8.5	2.6	5.5	5.6	2.7	5.1	6.2	1.8
18	0.0	0.0	1.8	0.0	0.0	0.0	0.0	0.0	5.1	0.8
19	0.0	0.0	4.1	0.0	0.0	0.0	0.0	0.0	2.8	4.4
20	0.0	0.0	3.4	0.0	0.0	0.0	0.0	0.0	4.6	5.0
21	0.4	0.0	3.8	0.2	0.0	0.0	0.0	0.0	4.3	3.3
22	0.7	0.0	8.4	0.0	0.0	0.0	0.0	0.0	0.8	0.0
23	4.7	0.0	8.3	0.0	0.0	0.0	0.0	0.0	4.8	8.2
24	3.4	0.0	0.4	0.0	0.0	1.2	0.0	1.0	1.2	0.0
25	5.2	3.4	0.0	0.0	0.0	1.0	1.5	0.9	0.0	0.0
26	6.8	5.2	5.7	3.8	3.3	1.2	0.2	0.0	2.7	0.3
27	5.6	4.2	4.7	1.9	2.5	0.0	0.0	0.2	0.0	0.0
28	0.9	0.0	0.0	0.0	0.0	0.0	0.3	0.0	0.1	0.0
29	7.2	1.8	5.2	0.0	0.0	0.4	0.7	0.1	4.4	0.0
30	6.0	0.2	0.0	0.0	0.1	0.9	0.9	0.0	0.7	0.0
Mittel	3.7	2.5	4.5	2.0	2.0	1.5	0.9	1.5	2.9	2.8

Dezember

Tag	Lugano	Genf	Montana s. Sierre	Chaux-de-Fonds	Bern	Luzern	Basel	Zürich	Davos	Säntis
1	7.0	2.8	0.0	0.0	1.0	0.7	0.2	0.8	0.0	0.0
2	4.9	1.2	5.1	0.0	0.1	0.0	0.0	0.0	1.6	0.0
3	0.0	0.0	1.9	0.2	0.0	1.4	0.1	0.0	0.0	0.1
4	0.0	0.0	7.1	5.0	0.0	0.0	0.0	0.0	4.5	6.0
5	0.0	0.3	5.3	5.2	0.0	0.0	0.0	0.0	3.9	5.0
6	0.0	0.0	0.5	0.7	0.0	0.0	0.0	0.0	0.0	0.5
7	0.0	0.0	1.4	0.0	0.0	0.0	0.0	0.0	0.0	0.0
8	1.8	0.5	0.1	0.0	0.0	0.0	0.0	0.0	0.0	0.0
9	4.8	0.0	0.7	0.8	0.0	1.3	0.0	0.1	4.6	6.9
10	3.0	0.1	2.3	0.1	0.0	0.0	0.0	0.0	0.1	0.0
11	0.0	0.0	7.3	2.3	0.0	0.0	0.0	0.0	4.7	6.1
12	0.3	0.0	7.0	3.8	0.0	0.0	0.0	0.0	5.4	8.0
13	3.1	0.0	7.8	5.4	0.0	0.0	0.0	0.0	5.3	7.7
14	6.8	0.0	7.9	4.6	0.0	0.0	0.0	0.0	5.5	7.7
15	6.0	0.0	6.2	4.1	0.0	0.0	0.0	0.0	5.4	6.2
16	3.2	0.0	5.3	4.8	0.0	0.0	0.0	0.0	4.2	4.0
17	0.0	0.0	5.6	5.1	0.0	0.0	0.9	0.0	3.7	4.9
18	1.1	0.0	7.8	7.3	0.0	0.0	4.1	0.0	2.4	4.6
19	0.0	0.0	0.0	0.0	0.0	0.0	0.0	0.0	0.4	0.0
20	6.1	6.2	0.0	3.0	2.7	0.2	4.2	1.8	1.3	0.0
21	0.0	0.0	4.0	0.0	0.0	0.0	0.1	0.0	0.0	0.0
22	0.0	0.2	2.1	0.0	0.0	0.0	0.0	0.1	0.1	0.5
23	4.8	3.2	5.6	4.4	2.2	2.6	5.7	5.3	3.6	7.1
24	6.8	5.1	7.9	5.4	1.2	0.0	1.7	0.0	4.8	7.8
25	6.6	0.4	7.8	5.0	4.5	0.0	0.9	4.2	0.0	1.2
26	6.6	6.1	7.2	4.1	6.8	*5.5	0.6	4.4	0.3	2.9
27	6.6	7.2	7.8	3.7	3.3	0.0	0.0	0.4	0.0	0.0
28	6.4	0.0	7.9	6.9	6.3	*5.6	0.2	0.3	4.4	7.2
29	6.7	0.0	7.9	5.8	0.0	0.0	0.6	0.0	5.6	7.7
30	6.1	0.0	7.7	0.0	0.0	0.0	0.0	0.0	5.5	4.7
31	6.8	4.1	0.0	0.1	1.1	0.0	1.6	0.8	0.1	0.0
Mittel	3.4	1.2	4.7	2.8	0.9	0.6	0.7	0.6	2.5	3.5

Nr. 5

Jahresbericht 1943 des Erdbebendienstes

der Schweizerischen Meteorologischen Zentralanstalt

von Dr. E. Wanner

Stationen:	Zürich	Chur	Neuchâtel	Basel	Brig
	Direktor: Dr. R. Billwiller *Bearbeiter:* Dr. E. Wanner	Prof. A. Kreis	Prof. Dr. E. Guyot	Prof. Dr. Niethammer	Prof. Dr. Werlen

1. **Persönliches, statistische Bemerkungen und Besprechung einzelner Fälle.**
2. **Tabellarische Zusammenstellung der in der Schweiz im Jahre 1943 verspürten und auf den Erdbebenwarten registrierten Erdbeben.**
3. **Über die Wellenlängenabhängigkeit der Absorbtion von elastischen Raumwellen.**

1. Persönliches, statistische Bemerkungen und Besprechung einzelner Fälle

Besonders aktiv waren im vergangenen Jahr die Erdbebenherde der Schwäbischen Alb in Süddeutschland. Auf den schweizerischen Stationen wurden aus jener Herdgegend etwa 67 Stöße registriert. Neun von diesen Beben wurden auch auf schweizerischem Gebiet verspürt, wovon zwei Stöße in der Nordostschweiz unter der Bevölkerung Panikstimmung verursacht haben. Die übrigen Ereignisse, mit dem Herd in der Schweiz, waren nur von lokaler Natur. Die gespürten Stöße verteilen sich auf die verschiedenen Tagesstunden wie folgt:

0—2 h	2—4 h	4—6 h	6—8 h	8—10 h	10—12 h	12—14 h	14—16 h	16—18 h	18—20 h	20—22 h	22—24 h
2	1	2	—	2	—	1	1	—	2	1	2

und auf die verschiedenen Monate:

Januar	Februar	März	April	Mai	Juni	Juli	August	September	Oktober	November	Dezember
—	—	1	1	3	1	2	1	—	2	—	3

Auf allen Stationen waren die Universalseismographen dauernd im Betrieb. Nur das Beben vom 28. Mai 1^{24} h MEZ. verursachte durch seine Heftigkeit beim Universalseismographen der Station Zürich größere Reparaturarbeiten. Die Konstanten der Instrumente waren:

Station 1943	Apparat	Maße in kg	Komponente	Vergrößerung für schnelle Schwingungen	Eigenperioden in Sek.	Dämpfung	Reibung in $^m/_m$	Registriergeschwindigkeit pro Minute	Mittlerer Zeitinterpolationsfehler in Sek
Zürich Juli 28.	U-S Q.-P.	20600	N-S	1450	2.8	3.0 : 1	0.3	ca. 90 $^m/_m$	± 0.1
			E-W	1500	2.8	3.0 : 1	0.7	90 $^m/_m$	± 0.1
			V	1700	0.9	2.0 : 1	0.6	90 $^m/_m$	± 0.1
	Mainka	450	N-S	130	8.7	3.2 : 1	1.4	25 $^m/_m$	± 0.5
			E-W	100	8.0	2.8 : 1	1.6	25 $^m/_m$	± 0.5
	Kreis	1050	V	150	7.8	2.3 : 1	1.1	30 $^m/_m$	± 0.5
Chur	U-S	13000	N 28° E	1208	2.7	2.5 : 1	1.1	60 $^m/_m$	± 0.1
			E 28° S	1360	2.7	2.0 : 1	1.6	60 $^m/_m$	± 0.1
			V	2400	1.7	1.9 : 1	0.5	60 $^m/_m$	± 0.1
Neuchâtel	U-S	19000	N-S	1700	2.7	4.1 : 1	0.4	60 $^m/_m$	± 0.1
			E-W	1630	2.7	4.1 : 1	0.6	60 $^m/_m$	± 0.1
			V	1950	1.2	2.6 : 1	0.2	60 $^m/_m$	± 0.1
Basel	U-S	19750	N-S	2000	3.2	3.0 : 1	0.2	60 $^m/_m$	± 0.1
			E-W	2100	3.4	3.6 : 1	0.2	60 $^m/_m$	± 0.1
		19500	V	1930	3.5	4.4 : 1	0.3	60 $^m/_m$	± 0.1
Brig	Mainka	135	N-S	70	4.0	3.0 : 1	0.3	25 $^m/_m$	—
			E-W	70	4.0	3.0 : 1	0.3	25 $^m/_m$	—
	Wiechert	80	V	60	3.0	2.0 : 1	0.3	25 $^m/_m$	—

U-S Q.-P. = Universalseismograph Quervain-Picard.

2. Tabellarische Zusammenstellung der in der Schweiz verspürten und der an den Erdbebenstationen Zürich, Chur, Basel, Neuchâtel und Brig registrierten Erdbeben

Tabelle I. In der Schweiz verspürte Erdbeben 1943.

Z = Zürich. Ch = Chur. B = Basel. N = Neuchâtel Br = Brig (Vgl. auch Tafel)

Nr.	Datum	M.-E. Zeit 0—24 h	Epizentralgebiet (gesperrt gedruckt) und erschütterte Gebiete	Grad Forel-Mercalli	Grösste Ausdehnung	Zahl d. pos. Meldungen	Zahl d. neg. Meldungen	Registriert in	Bemerkungen über Charakter, Zahl der Stöße und Wirkungen
	1943	h m			km				
1	März 18.	8^{35}–8^{45}	La Valsainte, Bulle, einige schwache Stöße; stärkster Stoß 8^h 42^m (Tafel 1)	III–IV	—	1	—	—	deutliche Erdstöße
2	April 25.	12.35	Schwäbische Alb Ebingen-Balingen. In der Schweiz verspürt in den Kantonen Schaffhausen V, Thurgau IV, Zürich III—IV, St. Gallen IV, Zug III (vgl. Tab. II Nr. 25 und Tafel 1)	III–V	80	12	—	Z, B, Ch, N	Schaffhausen kräftiger Stoß, sonst wellenartige seitliche Erschütterung
3	Mai 2.	2.08	Schwäbische Alb Ebingen-Balingen. In der Schweiz verspürt: Schaffhausen VI; Zürich, Aargau, Thurgau V—VI; Basel, Bern, Solothurn, Luzern, Unterwalden, Uri, Schwyz, Zug, Glarus, St. Gallen, Appenzell, Graubünden ohne U.-Engadin IV—V; Freiburg, Wallis, Tessin, U.-Engadin III—IV (vgl. Tab. II Nr. 28 und Tafel 2)	—	200	244	3	Z, Ch, N	Kräftige wellenartige Erschütterung, in der Nordschweiz stellenweise Panik unter der Bevölkerung. Im Epizentrum nach Pressemeldungen stellenweise schwere Bauschäden, Int. IX, in der Schweiz nur vereinzelte leichte Bauschäden, z. B. leichte Beschädigungen am Kirchturm in Andelfingen
	„ 2.	2.55	Kreuzlingen	—	—	11	—	—	leichter Stoß
4	„ 25.	23.42	Grenzgebiet zwischen Oberwallis und Italien. Oberwallis vereinzelt III, Tessin vereinzelt III (vgl. Tab. II Nr. 37 und Tafel 4)	—	40	3	5	Ch, Z, N, B	schwache wellenartige Erschütterung
5	„ 28.	1.24	Schwäbische Alb. Nachstoß zu Nr. 3, von der gleichen Intensität; in der ganzen Schweiz verspürt (vgl. Tab. II Nr. 38 und Tafel 3).	—	—	260	—	Ch, Z, N, B, Br	in der Nordschweiz sehr kräftige Erschütterung mit Donnerrollen, wiederum stellenweise Panik unter der Bevölkerung, Int. V—VI; in der Westschweiz wellenartige Bewegungen, Int. III—IV.
6	Juni 1.	14.53	Schwäbische Alb. Nachstoß zu Nr. 3 in der NE-Schweiz mit Int. III—IV beobachtet (vgl. Tab. II Nr. 49 und Tafel 4)	—	—	62	—	Z, Ch, B, N	wellenartige Bewegungen
	„ 21.	0^{44}–1^{40}	Während eines Luftalarms wurden von verschiedenen Stellen der Westschweiz sowie in der Lokalpresse Erschütterungen gemeldet	—	—	5	—	—	stoßartige Erschütterung mit dumpfem Rollen
7	Juli 4.	9.09	Ofenpaß, Kt. Graubünden, Unter-Engadin IV, Münstertal IV (vgl. Tab. II Nr. 60 und Tafel 5)	IV	30	3	—	Z, B, N, Ch	schwacher seitlicher Stoß, begleitet von Donnerrollen
8	„ 14.	5.17	Schwäbische Alb. Nachstoß zu Nr. 3; Schaffhausen IV, Thurgau und Zürich III—IV (vgl. Tab. II Nr. 62 und Tafel 6)	—	—	5	—	Z, B, Ch, N	schwache seitliche Erschütterung

Tabelle I (Fortsetzung)

Nr.	Datum	M.-E. Zeit 0—24h	Epizentralgebiet (gesperrt gedruckt) und erschütterte Gebiete	Grad Forel-Rossi	Grösste Ausdehnung	Zahl d. pos. Bewegungen	Zahl d. neg. Bewegungen	Registriert in	Bemerkungen über Charakter, Zahl der Stösse und Wirkungen
	1943	h m			km				
9	Aug. 16.	4. 41	**Klettgau**, Kt. Schaffhausen V, Rafzer Feld IV (vgl. Tab. II Nr. 74 und Tafel 5)	V	30	5	—	Z, B, N	Im Epizentrum, schlagartig, gefolgt von Krachen in den Wänden und Vibrationen von 1 bis 2 Sekunden Dauer
10	Okt. 6.	22. 22	**Jura NE von Moutier** IV Basel III—IV, Solothurn III—IV (vgl. Tab. II Nr. 94 und Tafel 5)	IV	50	5	2	B, N, Z, Ch	seitliche, wellenartige Erschütterung
11	„ 11.	0. 24	**Schwäbische Alb**, Nachstoß zu Nr. 3 in der Schweiz verspürt im Kt. Schaffhausen V, Zürich IV—V, Thurgau IV—V, Zug III (vgl. Tab. II Nr. 98 und Tafel 6)	—	—	16	—	Z, B, Ch, N	wellenartige Bewegungen
12	Dez. 27.	19. 50	**Schwäbische Alb.** Nachstoß zu Nr. 3 in der Schweiz in den Kantonen: Schaffhausen V, Zürich IV—V, Thurgau IV—V, Aargau III—IV, St. Gallen III—IV, Schwyz III, Zug III—IV (vgl. Tab. II Nr. 119 und Tafel 6)	—	—	20	—	Z, B, Ch, N	wellenartig
13	„ 27.	19. 57	**Schwäbische Alb.** Nachstoß zu Nr. 3, vereinzelt in der Nordschweiz verspürt III—IV (vgl. Tab. II Nr. 120 und Tafel 6)	—	—	20	—	Z, B, N, Ch	wellenartige Erschütterung
14	„ 27.	20. 46	**Schwäbische Alb.** Nachstoß zu Nr. 3 Kt. Schaffhausen mit Int. III verspürt (vgl. Tab. II Nr. 121)	—	—	3	—	Z, B, N, Ch	schwache wellenartige Erschütterung, nur ganz vereinzelt beobachtet

Tabelle II. In der Schweiz 1943 registrierte Nahebeben.

	Station	Meereshöhe	Lage	Untergrund
Mittlere Zeit Greenwich;	Erdbebenwarte Zürich (Z);	604 m;	Breite: 47° 22′ 7.2″ N; Länge: 8° 34′ 49.5″ E;	Molassesandstein u. Mergel, wechsellagernd.
	Erdbebenwarte Chur (Ch);	630 m;	Breite: 46° 50′ 59.5″ N; Länge: 9° 32′ 12.1″ E;	Bündnerschiefer der penninischen Decke.
	Observatoire Neuchâtel (N);	487 m;	Breite: 46° 59′ 50.6″ N; Länge: 6° 57′ 26.2″ E;	Gewachsener Kalkfels.
	Erdbebenwarte Basel (B);	309 m;	Breite: 47° 32′ 24″ N; Länge: 7° 34′ 58.5″ E;	Nagelfluhschichten.
	Erdbebenwarte Brig (Br);	708 m;	Breite: 46° 18′ 55″ N; Länge: 7° 59′ 44″ E;	Alluvium

Nr.	Datum	Station	Epizentralentfernung nach S–P	Max. Amplitude	Ungefähre Dauer der Registr.	Phasen, Bemerkungen Wo nichts weiteres bemerkt ist, beziehen sich die Ablesungen auf die Apparate Quervain-Piccard der Stationen Zürich, Chur, Neuchâtel und Basel.
	1943		km	μ	Min.	
1	Jan. 7.	Ch	7–800	—	20.0	eP 11h 17m 32.2s Dilat. eS 11h 19m 42.0s
		Z	1400?	3.0	20.0	eP 11h 17m 43.5s eS? 11h 20m 14.0s
		N	—		20.0	eP 11h 17m 47.7s Nach diesen Daten Herdregion nicht
		B	1300	—	20.0	eP 11h 17m 51.8s eS? 11h 20m 14.0s bestimmbar.
2	„ 9.	Z	98	1.0	1.0	eP̄ 0h 23m 32.3s eS̄ 0h 23m 45.0s
		B	135	—	1.0	eP̄ 0h 23m 36.0s eS̄ 0h 23m 53.0s Schwäbische Alb.
3	„ 11.	Z	520	1.5	10.0	ePn 18h 26m 44.9s eSn? 18h 27m 44.9s
		N	590	—	10.0	ePn 18h 26m 51.6s eSn 18h 28m 00.0s
		B	—	—	10.0	ePn 18h 27m 02.0s
		Ch	—	—	10.0	Keine Zeitmarken.
4	„ 13.	Ch	240?	—	2.0	eP̄ 14h 8m 32.1s Compr. e 14h 8m 36.6s Dilat. eS̄? 14h 9m 03.0s
		N	340	—	2.0	eP̄ 14h 8m 46.6s eS̄ 14h 9m 30.0s
		Z	380	1.5	2.0	eP̄ 14h 8m 52.5s eS̄ 14h 9m 39.0s Herdregion vermutlich Appennin, südl.
		B	480	—	2.0	eP̄ 14h 8m 59.1s eS̄ 14h 10m 00.0s Modena.
5	„ 20.	Ch	580	—	10.0	ePn? 12h 39m 54.3s Compr. iP̄ 12h 39m 56.0s Dilat. eS̄ 12h 41m 25.0s Azimut 120°
		Z	600	40.0	10.0	eP̄ 12h 40m 04.7s Compr. eS̄ 12h 41m 44.0s Azimut 90°
		B	710	-	10.0	eP̄ 12h 40m 15.2s Compr. eS̄ 12h 41m 59.0s
		N	780?	—	10.0	eP̄ 12h 40m 15.9s eSn? 12h 41m 44.0s Herdregion Dalmatien?
6	„ 24.	Ch	150	—	2.0	ePn 17h 8m 54.8s iP̄ 17h 8m 57.3s Dilat. iS̄ 17h 9m 13.7s
		Z	250	10.0	2.0	ePn 17h 9m 06.9s eP̄ 17h 9m 11.4s Dilat. eS̄ 17h 8m 41.7s
		N	300	—	2.0	ePn 17h 9m 15.0s eP̄ 17h 9m 23.0s eS̄ 17h 9m 58.0s
		B	300	—	2.0	ePn 17h 9m 19.8s eP̄? 17h 9m 22.0s eS̄ 17h 10m 00.0s
						Valle Iudicaria, Trentino Italien.
7	„ 29.	Ch	380	—	2.0	ePn 3h 24m 05.7s eSn 3h 25m 03.0s
		Z	430	3.0	2.0	ePn? 3h 24m 15.1s eSn 3h 25m 21.0s
		N	450	—	2.0	ePn 3h 24m 21.5s eSn 3h 25m 31.0s
		B	540	—	2.0	ePn 3h 24m 24.7s eSn 3h 25m 49.0s
						Herdregion nicht näher bestimmbar, vermutlich nördliche Adria?
8	„ 30.	N	240	—	2.0	eP̄ 21h 5m 02.7s eS̄ 21h 5m 33.0s
		Z	—	1.0	2.0	e 21h 5m 13.8s durch Bodenunruhe stark gestört!
		B	—	-	2.0	e_1 21h 5m 26.6s e_2 21h 5m 57.0s
						Nach B. I. Westalpen; im Barcelonnette mit Int. V beobachtet.
9	Febr. 2.	Z	—	4.0	6.0	ePn 15h 47m 07.1s stark gestört durch Bodenunruhe
		N	120	—	6.0	ePn 15h 47m 11.2s eS̄ 15h 48m 15.0s
		B	-	—	6.0	ePn 15h 47m 22.8s e 15h 50m 29.0s
10	„ 1.	Z	110	1.0	1.0	eP̄ 9h 18m 37.3s eS̄ 9h 18m 51.3s
		B	132	—	1.0	eP̄ 9h 18m 42.3s eS̄ 9h 18m 59.0s Gebiet von Balingen, schwäbische Alb.
11	„ 1.	Z	106	3.0	1.5	eP̄ 10h 11m 58.2s eS 10h 12m 11.4s
		B	135	—	1.5	eP̄ 10h 12m 02.1s eS̄ 10h 12m 19.0s Nachstoss zu Nr. 10.
12	„ 7	Z	315	2.0	2.0	ePn 00h 22m 15.8s eS̄ 00h 23m 02.4s
		N	—	—	2.0	ePn 00h 22m 16.9s eS̄? 00h 22m 55.0s
		B	405	—	2.0	ePn 00h 22m 19.6s eS̄ 00h 23m 21.0s Herdregion Venetien.
13	„ 21.	N	28	2.0	1.0	eP̄ 13h 31m 47.3s iS̄ 13h 31m 51.0s Keine makroseismischen Meldungen.
14	März 5	Ch	10	—	1.0	iP̄ 4h 26m 56.6s iS̄ 00h 26m 57.8s Azimut 10° Keine makroseismische Meldungen.
15	„ 12.	B	—	—	1.0	e? 18h 46m 12.9s Min.-Lücke eS̄ 18h 47m 38.0s
		Z	120	1.5	2.0	eP̄ 18h 47m 25.6s eS̄ 18h 47m 40.9s Keine makroseismische Meldungen.

Bemerkung: Die Buchstabengruppen B. I., bzw. J. S. A. und U. S. C. G. S. sind gebräuchliche Abkürzungen für Bureau International, bzw. Jesuit Seismological Association und United States Coast and Geodetic Survey.

Tabelle II (Fortsetzung)

Nr.	Datum	Station	Epizentralentfernung nach S-P	Max. Amplitude	Ungefähre Dauer der Registr.	Phasen, Bemerkungen
	1943		km	μ	Min.	
16	März 13.	Z	615	1.0	3.0	ePn 5h 17m 15.8s eS̄ 5h 18m 53.4s
		B	—	—	3.0	ePn? 5h 18m 00.0s e 5h 19m 19.0s eS̄ 5h 19m 19.0s
17	„ 23.	B	31	—	1.0	eP̄ 9h 51m 02.9s Min.-Lücke iS̄ 9h 51m 07.0s
		N	70	0.8	1.0	eP̄ 9h 51m 10.8s eS̄ 9h 51m 20.0s
		Z	100	—	1.0	eP̄ 9h 51m 15.3s iS̄ 9h 51m 28.2s
		Ch	—	—	—	Gestört durch Bogenwechsel.
18	„ 25.	Ch	130	—	2.0	eP̄ 12h 27m 30.0s eS̄ 12h 27m 45.7s
		Z	230	1.5	2.0	ePn 12h 27m 44.0s eP̄ 12h 27m 47.1s eS̄ 12h 28m 16.0s
		B	280	—	1.0	eP̄ 12h 27m 53.4s eS̄ 12h 28m 34.0s
		N	286	—	1.0	eP̄ 12h 27m 56.2s eS̄ 12h 28m 37.0s Trentino Italien.
19	„ 25.	Ch	500	—	5.0	eP 15h 41m 25.8s eS 15h 42m 25.0s
		Z	500	3.0	6.0	eP 15h 41m 34.5s eS 15h 42m 33.7s
		N	560	—	6.0	eP 15h 41m 41.6s eS 15h 42m 47.0s
		B	525	—	6.0	eP 15h 41m 43.5s eS 15h 42m 45.1s Vermutliche Herdregion nördliche Adria.
20	„ 20.	Ch	—	—	1.0	eP̄ 2h 59m 24.2s
		Z	320	1.0	1.0	eP̄ 2h 59m 38.3s eS̄ 3h 00m 18.2s
		N	—	—	1.0	eP̄ 2h 59m 46.4s
21	„ 29.	B	20	—	1.0	eP̄ 1h 39m 15.5s iS̄ 1h 39m 48.0s
		Z	80	1.0	1.0	eP̄ 1h 39m 25.5s iS̄ 1h 39m 36.0s Keine makroseismischen Meldungen, in Neuchâtel nur schwache Spuren, Herd vermutlich Schwarzwald, nördl. Basel.
22	„ 29.	Ch	220	—	2.0	eP̄ 13h 29m 24.9s eS̄ 13h 29m 52.3s
		Z	310	1.0	2.0	eP̄ 13h 29m 38.1s eS̄ 13h 30m 17.5s
		B	345	—	2.0	eP̄ 13h 29m 52.7s eS̄ 13h 30m 42.0s Herdgegend vermutlich Venetien!
23	April 4.	Ch	—	—	4.0	eP 13h 17m 34.5s e 13h 17m 51.7s
		Z	530?	1.0	4.0	eP 13h 17m 53.4s eS̄? 13h 19m 16.1s
		B	650?	—	5.0	eP 13h 18m 09.2s eS? 13h 19m 52,0s
24	„ 21.	Z	94	1.0	1.0	eP̄ 11h 28m 45.4s eS̄ 11h 28m 57.1s vermutlich Vorbeben zu Nr. 25
25	„ 25.	Z	100	70.0	4.0	eP̄ 11h 35m 25.3s Compr. iS̄ 11h 35m 38.2s
		B	155	—	4.0	eP̄ 11h 35m 28.6s Compr. iS̄ 11h 35m 48.0s
		Ch	167	—	5.0	eP̄ 11h 35m 34.1s Dilat. iS̄ 11h 35m 55.0s
		N	200-220	—	5.0	ePn 11h 35m 38.1s iP̄ 11h 35m 43.0s eS̄ 11h 36m 08.0s (Vgl. Tab. I Nr. 2 und Tafel 1.)
26	„ 25.	Z	94	1.0	1.0	iP̄ 11h 46m 22.6s eS̄ 11h 46m 34.3s Nachstoss zu Nr. 25.
27	„ 30.	Z	94	0.3	0.5	eP̄ 1h 20m 01.6s eS̄ 1h 20m 13.5s Nachstoss zu Nr. 25.
28	Mai 2.	Z	100	>100	4.0	iP̄ 1h 8m 18.7s Compr. iS̄ 1h 8m 31.7s Schreibfedern abgeworfen!
		Ch	161	—	10.0	eP̄ 1h 8m 27.8s iS̄ 1h 8m 48.0s
		N	250	—	10.0	iPn 1h 8m 31.7s iP̄ 1h 8m 36.5s iS̄ 1h 9m 06.4s Azimut 60° Herd wie Nr. 25, erster Hauptstoss, fast in der ganzen Schweiz verspürt (vgl. Tab. I Nr. 3 und Tafel 2).
29	„ 4.	Ch	330?	—	2.0	eP̄ 9h 40m 33.8s eS̄? 9h 41m 15.0s
		B	540?	—	2.0	eP̄ 9h 40m 43.4s eS̄? 9h 42m 08.0s
		Z	400?	1.5	2.0	eP̄? 9h 40m 47.6s eS̄ 9h 41m 36.4s
		N	—	—	2.0	eP 9h 40m 48.9s
30	„ 6.	Z	90	2.0	1.0	eP̄ 16h 00m 06.2s eS̄ 16h 00m 17.7s
		B	130	—	1.0	eP̄ 16h 00m 10.8s iS̄ 16h 00m 27.0s
		Ch	170	—	1.0	e 16h 00m 13.4s iP̄ 16h 00m 15.7s Compr. eS̄ 16h 00m 37.2s
		N	—	—	1.0	e 16h 00m 47.0s Nachstoss zu Nr. 28.
31	„ 7.	Z	90?	1.0	1.0	eP̄ 3h 17m 30.0s eS̄ 3h 17m 59.2s
		B	130?	—	1.0	eP̄? 3h 17m 52.8s eS̄ 3h 18m 09.0s
		N	195?	—	1.0	eP̄? 3h 17m 52.2s eS̄ 3h 18m 17.0s Nachstoss zu Nr. 28.
32	„ 11.	Z	93	0.5	1.0	eP̄ 13h 53m 50.7s eS̄ 13h 54m 02.5s
		B	—	—	1.0	e 13h 54m 12.6s Vermutlich Nachstoss zu Nr. 28.
33	„ 13.	Z	93	0.5	1.0	eP̄ 0h 25m 45.8s eS̄ 0h 25m 57.6s
		B	—	—	0.5	e 0h 26m 00.0s Vermutlich Nachstoss zu Nr. 28.
—	„ 17.	Z	—	0.5	0.1	i 22h 52m 44.7s Bombeneinschläge in Seebach.
34	„ 18.	Z	92	0.3	1.0	eP̄ 10h 31m 16.9s eS̄ 10h 31m 28.7s
		B	135	—	1.0	eP̄ 10h 31m 21.8s eS̄ 10h 31m 39.0s Nachstoss zu Nr. 28.

Tabelle II (Fortsetzung)

Nr.	Datum	Station	Epizentralentfernung nach S–P	Max. Amplitude	Ungefähre Dauer der Registr.	Phasen, Bemerkungen
	1943		km	μ	Min.	
35	Mai 22.	N	200	—	2.0	iPn 19h 04m 25.5s iP̄ 19h 04m 27.0s eS̄ 19h 04m 52.0s
		B	270	—	2.0	ePn 19h 04m 30.2s eS̄ 19h 05m 08.0s e 19h 05m 26.0s
		Ch	265	—	2.0	eP̄ 19h 04m 32.0s eS̄ 19h 05m 05.0s
		Z	260	22.0	2.0	iPn 19h 04m 32.3s iP̄ 19h 04m 37.7s eS̄ 19h 05m 08.9s Westalpen, Gebiet von Modane. nach B. I. 45.2° N 7.2° E. in Susa und Turin verspürt.
36	„ 23.	B	255	—	1.0	ePn 00h 40m 24.1s eS̄ 00h 40m 56.0s
37	„ 25.	Ch	93	—	1.0	eP̄ 22h 42m 15.9s Dilat. eS̄ 22h 42m 27.9s
		Z	135	3.0	1.0	eP̄ 22h 42m 18.9s eS̄ 22h 42m 35.7s
		N	123	—	1.0	eP̄ 22h 42m 24.1s eS̄ 22h 42m 39.6s
		B	140	—	1.0	eP̄ 22h 42m 25.5s eS̄ 22h 42m 43.0s Vermutliche Herdregion Valle d'Antigorio, Italien, in der Schweiz verspürt (vgl. Tab. I Nr. 4 und Tafel 4).
38	„ 28.	Z	100	>100	4.0	eP̄ 0h 24m 26.0s eS̄ 0h 24m 38.7s Schreibfedern abgeworfen!
		B	—	—	4.0	eP̄ 0h 24m 29.1s Azimut 60°
		Ch	160	—	4.0	eP̄ 0h 24m 34.0s iS̄ 0h 24m 54.2s „ „
		N	210	—	4.0	eP̄ 0h 24m 37.9s e 0h 24m 56.9s eS̄ 0h 25m 04.0s Azimut 40°
		Br	230	—	4.0	ePn 0h 24m 40.0s eP̄ 0h 24m 44.1s eS̄ 0h 25m 11.7s Zweiter Hauptstoss im Gebiete der schwäbischen Alb, Nr. 28 (vgl. Tab. I Nr. 5 und Tafel 3).
39	„ 28.	N	190	—	2.0	iPn 0h 55m 59.3s eP̄ 0h 56m 03.0s eS̄ 0h 56m 23.0s Nachstoss zu Nr. 38, Apparate in Zürich noch ausser Betrieb.
40	„ 28.	N	190	—	1.0	eP̄ 1h 13m 51.2s eS 1h 14m 16.0s Herd wie Nr. 38, Zürich noch ausser Betrieb.
41	„ 28.	N	190	—	2.0	iP̄ 4h 51m 58.7s eS̄ 4h 52m 22.0s Herd wie Nr. 38, Zürich noch ausser Betrieb.
42	„ 28.	B	51?	—	0.5	iP? 9h 59m 04.6s eS̄? 9h 59m 11.0s Vermutlich Sprengung.
43	„ 28.	Z	130?	4.0	4.0	iP̄ 22h 20m 43.2s iS̄ 22h 21m 00.0s Schwäbische Alb, Nachstoss zu Nr. 38.
44	„ 28.	Z	90	14	3.0	eP̄ 22h 40m 40.2s eS̄ 22h 40m 51.5s
		Ch	150	—	3.0	eP̄ 22h 40m 48.4s iP̄ 22h 40m 50.2s eS̄ 22h 41m 09.4s
		N	192	—	3.0	eP̄ 22h 40m 57.4s eS̄ 22h 41m 21.0s Nachstoss zu Nr. 38.
45	„ 28.	Z	115	1.5	2.0	eP̄ 23h 35m 16.0s eS̄ 23h 35m 30.3s
		N	208	—	2.0	eP̄ 23h 35m 20.8s eS̄ 23h 36m 37.0s Nachstoss zu Nr. 38.
46	„ 30.	Z	105	1.0	2.0	eP̄ 4h 28m 02.1s eS̄ 4h 28m 15.6s
		B	132	—	2.0	eP̄ 4h 28m 07.4s eS̄ 4h 28m 23.0s Nachstoss zu Nr. 38.
47	„ 30.	Z	106	8.0	3.0	eP̄ 18h 09m 43.8s eS̄ 18h 09m 57.5s
		B	130	—	3.0	eP̄ 18h 09m 48.8s iS̄ 18h 10m 05.0s
		Ch	165	—	3.0	eP̄ 18h 09m 52.8s iP̄ 18h 09m 54.3s iS̄ 18h 10m 13.8s
		N	200	—	3.0	eP̄ 18h 10m 01.3s eS̄ 18h 10m 26.0s Azimut 60° Nachstoss zu Nr. 38.
48	„ 30.	Z	—	1.0	1.0	e 21h 32m 15.8s Vermutlich auch Nachstoss zu Nr. 38.
49	Juni 1.	Z	96	>100	5–6	eP̄ 13h 53m 21.9s Compr. eS̄ 13h 53m 12.4s
		B	130	—	6–7	eP̄ 13h 53m 25.5s iP̄ 13h 53m 27.0s eS̄ 13h 53m 42.0s
		Ch	165	—	6–7	eP̄ 13h 53m 30.6s iP̄ 13h 53m 32.1s i 13h 53m 48.9s iS̄ 13h 53m 51.1s
		N	216	—	6–7	ePn 13h 53m 34,2s iP̄ 13h 53m 38.8s iS̄ 13h 54m 02.9s e 13h 54m 09.0s Sehr starker Nachstoss zu Nr. 38, in der NE-Schweiz verspürt (vgl. Tab. I Nr. 6 und Tafel Nr. 4).
50	„ 1.	Z	—	1.0	1.0	eP̄? 14h 17m 09.3s
		B	—	—	2.0	eP̄? 14h 18m 19.8s iS̄ 14h 18m 27.0s
		Ch	—	—	2.0	eP̄? 14h 18m 25.7s eS̄ 14h 18m 44.9s Nachstoss aus der schwäb. Alb, Nr. 38.
51	„ 1.	Z	88	5.0	2.0	eP̄ 14h 18m 15.1s eS̄ 14h 18m 25.9s Min.-Lücke
		B	135	—	2.0	eP̄ 14h 18m 19.8s eS̄ 14h 18m 37.0s
		Ch	153	—	2.0	eP̄ 14h 18m 25.9s eS̄ 14h 18m 44.9s Schwäbische Alb, Nachstoss zu Nr. 38.
52	„ 1.	Z	—	1.0	2.0	eP̄? 16h 38m 46.7s
		B	133	—	2.0	eP̄ 16h 38m 53.3s eS̄ 16h 39m 10.0s Nachstoss zu Nr. 38.
53	„ 3.	Z	100	4.0	2.0	eP̄ 22h 24m 49.0s eS̄ 22h 25m 02.0s
		B	132	—	2.0	eP̄ 22h 24m 52.9s eS̄ 22h 25m 10.0s
		Ch	166	—	2.0	eP̄ 22h 24m 57.0s iP̄ 22h 24m 58.6s iS̄ 22h 25m 18.0s
		N	185?	—	2.0	eP̄ 22h 25m 05.5s iS̄ 22h 25m 28.8s Azimut 50° Nachstoss zu Nr. 38.
54	„ 5.	Z	104	1.0	1.0	eP̄ 16h 40m 05.8s eS̄ 16h 40m 19.1s Nachstoss zu Nr. 38.

Tabelle II (Fortsetzung).

Nr.	Datum	Station	Epizentral-Entfernung nach S-P	Max. Amplitude	Ungefähre Dauer der Registr.	Phasen, Bemerkungen
	1943		km	μ	Min.	
55	Juni 12.	Ch	230	—	4.0	ePn 04h 21m 39.1s eS̄ 04h 22m 10.0s
		Z	270	3.0	4.0	ePn 04h 21m 48.2s eS̄ 04h 22m 26.9s
		B	315	—	5.0	ePn 04h 21m 59.6s eS̄ 04h 22m 57.0s
		N	360	—	5.0	ePn 04h 22m 02.5s eS̄ 04h 22m 49.0s
						Vermutliche Herdregion Appennin, südwestlich von Parma.
56	„ 24.	Z	90	4.0	1.0	eP̄ 19h 43m 16.0s iS̄ 19h 43m 27.6s
		B	128	—	1.0	eP̄ 19h 43m 19.9s iS̄ 19h 43m 36.0s Schwäbische Alb, Nachstoss zu Nr. 38.
57	„ 29.	Z	110	2.0	1.0	eP̄ 17h 15m 50.5s eS̄ 17h 16m 04.5s
		B	132	—	1.0	eP̄ 17h 15m 55.3s eS̄ 17h 16m 12.0s Schwäbische Alb, Nachstoss zu Nr. 38.
58	Juli 3.	Z	92	3.0	2.0	eP̄ 18h 12m 55.2s eS̄ 18h 13m 06.9s
		B	132	—	2.0	eP̄ 18h 12m 59.2s eS̄ 18h 13m 16.0s Nachstoss zu Nr. 38.
59	„ 4.	Z	100	20.0	3.0	eP̄ 04h 37m 26.4s i 04h 37m 27.4s iS̄ 04h 37m 39.3s
		B	134	—	4.0	eP̄ 04h 37m 29.7s eS̄ 04h 37m 47.0s
		N	230	—	4.0	ePn 04h 37m 38.8s eS̄ 04h 38m 08.0s eP̄ 04h 37m 40.0s
		Ch	—	—	4.0	Keine Zeitmarken S̄-P̄ = 18.0s Nachstoss zu Nr. 38.
60	„ 4.	Ch	65	—	2.0	eP̄ 08h 08m 57.1s iS̄ 08h 09m 05.4s
		Z	147	1.5	3.0	eP̄ 08h 09m 14.3s eS̄ 08h 09m 32.7s
		B	213	—	3.0	eP̄ 08h 09m 27.2s eS̄ 08h 09m 54.0s
		N	250	—	3.0	eP̄ 08h 09m 31.3s eS̄ 08h 10m 03.0s Herd Ofenpass, verspürt im Münstertal und
						im Unterengadin (vgl. Tab. I Nr. 7 und Tafel 5).
61	„ 13.	Z	280	1.0	2.0	eP̄ 03h 26m 21.4s eS̄ 03h 26m 57.0s
62	„ 14.	Z	102	25.0	3.0	eP̄ 04h 16m 52.0s e 04h 16m 53.2s eS̄ 04h 17m 05.1s
		B	130	—	4.0	eP̄ 04h 16m 56.2s iS̄ 04h 17m 12.5s
		Ch	153	—	4.0	eP̄ 04h 17m 01.2s i 04h 17m 03.0s eS̄ 04h 17m 22.8s
		N	210	—	4.0	ePn 04h 17m 05.5s iP̄ 04h 17m 09.9s eS̄ 04h 17m 33.0s Nachstoss aus der
						schwäbischen Alb, in der Schweiz verspürt (vgl. Tab. I Nr. 8 und Tafel 6).
63	„ 16.	Z	98	2.0	2.0	eP̄ 15h 22m 14.8s eS̄ 15h 22m 27.5s
		B	130	—	2.0	eP̄ 15h 22m 19.1s iS̄ 15h 22m 35.6s Nachstoss zu Nr. 62.
64	„ 18.	Z	100	1.0	2.0	eP̄ 01h 52m 33.9s eS̄ 01h 52m 46.7s Nachstoss zu Nr. 62.
65	„ 22.	Z	96	5.0	2.0	eP̄ 14h 02m 44.9s eS̄ 14h 02m 57.5s
		B	134	—	2.0	iP̄ 14h 02m 49.6s eS̄ 14h 03m 06.6s
		N	190	—	2.0	eP̄ 14h 03m 02.0s eS̄ 14h 03m 26.0s Nachstoss zu Nr. 62.
66	„ 24.	Ch	184	—	4.0	eP̄ 01h 44m 31.5s eS̄ 01h 44m 54.6s
		Z	290	>10.0	4.0	ePn 01h 44m 41.8s Min.-Lücke iP̄ 01h 44m 47.9s Compr. eSn 01h 45m 17.2s eS̄ 01h 45m 23.1s
		B	375	—	4.0	iPn 01h 44m 51.0s iP̄ 01h 45m 00.5s iS̄? 01h 47m 23.5s
		N	380	—	4.0	iPn 01h 44m 54.3s iP̄ 01h 45m 04.0s eS̄ 01h 45m 49.0s Provinz Belluno, Italien.
67	„ 24.	Ch	197	—	2.0	eP̄ 03h 26m 49.5s iP̄ 03h 26m 50.1s iS̄ 03h 27m 14.5s
		Z	290	10.0	2.0	ePn 03h 27m 00.6s iP̄ 03h 27m 05.9s eS̄ 03h 27m 41.6s
		B	340	—	2.0	ePn 03h 27m 11.4s eSn 03h 27m 51.0s eS̄ 03h 28m 02.0s
		N	384	—	2.0	iPn 03h 27m 12.8s iP̄ 03h 27m 23.0s eS̄ 03h 28m 09.0s Nachstoss zu Nr. 66.
68	„ 30.	B	20	—	1.0	iP̄ 08h 44m 32.1s iS̄ 08h 44m 34.5s
		N	78	—	1.0	iP̄ 08h 44m 43.1s iS̄ 08h 44m 52.7s
		Z	—	—	1.0	iS̄ 08h 44m 49.2s P in der Min.-Lücke?
						Herd im Jura, südl. von Liestal, keine makroseismischen Meldungen!
69	Aug. 1.	Ch	330	—	2.0	ePn 23h 14m 50.5s eS̄ 23h 15m 38.5s
70	„ 7.	Z	410	1.0	3.0	ePn 12h 27m 36.9s eS̄ 12h 28m 39.7s
		N	300?	—	3.0	ePn 12h 27m 42.3s eSn? 12h 28m 20.0s
		B	520	—	3.0	ePn 12h 27m 48.4s eS̄ 12h 28m 43.0s
		Ch	—	—	3.0	eS̄ 12h 28m 38.1s Herdregion vermutlich Golf von Genua.
71	„ 15.	Z	105	1.0	1.0	eP̄ 06h 10m 02.8s eS̄ 06h 10m 16.0s
		B	76	—	1.0	eP̄ 06h 10m 12.1h iS̄ 06h 10m 22.0s Keine makroseismischen Meldungen.
72	„ 15.	B	—	—	1.0	eP̄? 09h 40m 21.9s iS̄ 09h 40m 36.0s
73	„ 16.	Z	—	0.5	0.3	iS̄ 03h 08m 00.6s
74	„ 16.	Z	36	3.0	0.5	eP̄ 03h 41m 39.9s iS̄ 03h 41m 39.5s
		B	75	—	1.0	eP̄ 03h 41m 39.8s iS̄ 03h 41m 49.0s
		N	130	—	1.0	eP̄ 03h 41m 52.6s iS̄ 03h 42m 09.0s Klettgau Kt. Schaffhausen
						(vgl. Tab. I Nr. 9 und Tafel 5).
75	„ 19.	Z	110	2.0	0.8	eP̄ 23h 57m 23.2s eS̄ 23h 57m 37.4s
		B	134	—	2.0	eP̄ 23h 57m 26.7s eS̄ 23h 57m 43.0s Schwäbische Alb.

Tabelle II (Fortsetzung).

Nr.	Datum	Station	Epizentralentfernung nach S–P	Max. Amplitude	Ungefähre Dauer der Registr.	Phasen, Bemerkungen
	1943		km	μ	Std.	
76	Aug. 23.	Z	98	3.0	2.0	eP̄ 03h 00m 45.4s eS̄ 03h 00m 57.7s
		B	130	—	2.0	eP̄ 03h 00m 49.4s eS̄ 03h 01m 06.0s Nachstoss zu Nr. 75.
		Ch	—	—	2.0	eP̄ 03h 00m 54.8s
77	„ 25.	Z	—	0.5	3.0	e 06h 15m 40.0s Spuren eines Nahebebens!
78	„ 29.	Z	108	1.0	0.6	eP̄ 19h 57m 09.4s eS̄ 19h 57m 23.3s
		B	—	—	1.0	eS̄ 19h 56m 29.9s Nachstoss zu Nr. 75.
79	„ 29.	Z	—	0.2	0.4	iS̄ 23h 57m 09.3s Nachstoss zu Nr. 75.
80	„ 30.	Z	—	0.2	0.4	iS̄ 06h 00m 43.0. Nachstoss zu Nr. 75.
81	Sept. 14.	Z	110	1.0	1.0	eP̄ 03h 27m 58.3s eS̄ 03h 28m 12.2s
		B	—	—	0.5	eS̄ 03h 28m 18.5s Schwäbische Alb, Nachstoss zu Nr. 75.
82	„ 16.	Z	112	1.0	0.5	eP̄ 05h 28m 07.5s eS̄ 05h 28m 21.5s
		B	—	—	1.0	e 05h 28m 24.3s eS̄ 05h 28m 28.0s Schwäbische Alb, Nachstoss zu Nr. 75.
83	„ 16.	Z	110	1.0	0.5	eP̄ 07h 00m 00.2s eS̄ 07h 00m 14.1s
		B	—	—	1.0	e 07h 00m 21.3s Schwäbische Alb, Nachstoss zu Nr. 75.
84	„ 16.	Z	105	1.0	1.0	eP̄ 07h 24m 26.1s eS̄ 07h 24m 39.6s
		B	—	—	1.0	e 07h 24m 47.4s Schwäbische Alb, Nachstoss zu Nr. 75.
85	„ 16.	Z	110	0.5	1.0	eP̄ 11h 51m 06.2s eS̄ 11h 51m 20.2s
		B	116?	—	1.0	eP̄? 11h 51m 12.2s eS̄ 11h 51m 27.0s Schwäbische Alb, Nachstoss zu Nr. 75.
86	„ 16.	Z	106	1.0	2.0	eP̄ 17h 19m 32.3s eS̄ 17h 19m 45.8s Min.-Lücke Schwäbische Alb, Nachstoss zu Nr. 75.
87	„ 17.	Z	108	1.0	1.5	eP̄ 06h 47m 43.0s eS̄ 06h 47m 56.7s
		B	130	—	2.0	eP̄ 06h 47m 47.2s eS̄ 06h 48m 04.0s
		N	238	—	2.0	eP̄ 06h 47m 53.8s eS̄ 06h 48m 25.0s Schwäbische Alb, Nachstoss zu Nr. 75.
88	„ 18.	Z	105	1.0	1.0	eP̄ 10h 15m 10.5s eS̄ 10h 15m 23.8s
		B	132	—	1.0	eP̄ 10h 15m 14.8s eS̄ 10h 15m 32.0s Schwäbische Alb, Nachstoss zu Nr. 75.
89	„ 25.	Ch	40	—	1.0	eP̄ 21h 10m 14.9s iS̄ 21h 10m 20.6s
		Z	120	1.0	1.0	eP̄ 21h 10m 17.7s eS̄ 21h 10m 33.1s
		B	—	—	1.0	eP̄? 21h 10m 23.1s Herdregion Voralberg, Montafon.
90	Okt. 2.	Z	114	0.5	0.5	eP̄ 06h 18m 29.7s eS̄ 06h 18m 44.4s
		B	130	—	1.0	eP̄ 06h 18m 34.4s eS̄ 06h 18m 51.0s Schwäbische Alb, Nachstoss zu Nr. 75.
91	„ 3.	Ch	—	—	10.0	ePn 08h 29m 42.6s Azimut 135°
		Z	640	80	10.0	ePn 08h 29m 52.5s Dilat. eS̄ 08h 31m 33.0s
		N	590	—	10.0	ePn 08h 29m 59.2s eP̄? 08h 30m 04.0s eSn 08h 31m 07.0s
		B	560	—	10.0	ePn 08h 30m 01.0s eSn 08h 31m 06.0s eP̄ 08h 30m 14.0s Vermutliche Herdregion Adria, östlich von Ancona.
92	„ 5.	Z	86	1.0	0.5	eP̄? 00h 20m 07.7s eS̄ 00h 20m 18.9s
93	„ 6.	Z	15	15.0	0.4	iP̄ 20h 43m 05.7s iS̄ 20h 43m 07.6s Azimut = 225°, Emergenzwinkel 80°
		N	120	—	0.6	eP̄ 20h 43m 13.0s eS̄ 20h 43m 28.0s
		B	—	—	0.6	eS̄ 20h 43m 25.4s e 20h 43m 28.0s
		Ch	—	—	0.6	Spuren um 20h 43m 35.1s Herd unteres Becken des Zürichsees. Keine makroseismischen Meldungen.
94	„ 6.	B	32	—	1.0	iP̄ 21h 22m 35.0s iS̄ 21h 22m 39.0s
		N	50	—	1.0	iP̄ 21h 22m 38.3s iS̄ 21h 22m 44.5s i 21h 22m 40.0s
		Z	90	10.0	1.0	eP̄ 21h 22m 45.4s eS̄ 21h 22m 56.7s
		Ch	165	—	1.0	eP̄ 21h 22m 59.0s eS̄ 21h 23m 19.6s Herd im Gebiet nordöstlich von Moutier, Jura, dort verspürt (vgl. Tab. I Nr. 10 und Tafel 5).
95	„ 12.	Z	90	2.0	1.0	eP̄ 09h 02m 16.3s eS̄ 09h 02m 27.9s
		B	126	—	1.0	eP̄ 09h 02m 21.0s eS̄ 09h 02m 37.0s
		Ch	—	—	1.0	eP̄ 09h 02m 26.0s e 09h 02m 35.0s
		N	185	—	1.0	eP̄ 09h 02m 32.9s eS̄ 09h 02m 56.0s Gebiet von Balingen, schwäbische Alb, schwaches Vorbeben zu Nr. 98.
96	„ 13.	Z	90	1.0	1.0	eP̄ 09h 28m 09.6s eS̄ 09h 28m 20.8s
		B	130	—	1.0	eP̄ 09h 28m 14.7s iS̄ 09h 28m 31.0s Schwäbische Alb, schwaches Vorbeben zu Nr. 98.

Tabelle II (Fortsetzung).

Nr.	Datum	Station	Epizentralentfernung nach P-S	Max. Amplitude	Ungefähre Dauer der Registr.	Phasen, Bemerkungen
	1943		km	μ	Std.	
97	Okt. 13.	Z	102	2.0	2.0	eP̄ 11h 22m 41.7s e 11h 22m 42.4s eS̄ 11h 22m 54.9s
		B	135	—	2.0	eP̄ 11h 22m 46.6s iS̄ 11h 23m 04.0s
		Ch	—	—	2.0	eP̄ 11h 22m 51.8s
		N	—	—	2.0	eP̄ 11h 22m 59.3s Vorbeben zu Nr. 98.
98	„ 13.	Z	100	60.0	3.0	iP̄ 23h 24m 25.9s Compr. iS̄ 23h 24m 38.6s Azimut 360°
		B	133	—	3.0	eP̄ 23h 24m 30.1s Comnr. iS̄ 23h 24m 47.0s
		Ch	164	—	5.0	iP̄ 23h 24m 35.2s iS̄ 23h 24m 56.0s
		N	220-240	—	5.0	ePn 23h 24m 39.5s iP̄ 23h 24m 44.3s iS̄ 23h 25m 13.0s Azimut 60° Hauptstoss im Gebiet von Balingen, schwäbische Alb, in der Schweiz verspürt (vgl. Tab. I Nr. 11 und Tafel 6).
99	„ 16.	Ch	—	—	3.0	ePn 12h 10m 40.7s
		N	220	6.0	3.0	ePn 12h 10m 42.2s eS̄ 12h 11m 12.0s e 12h 11m 17.0s Azimut 135°
		Z	—	—	3.0	ePn 12h 10m 44.6s
		B	280	—	4.0	ePn 12h 10m 47.8s eSn 12h 11m 22.0s e 12h 11m 35.0s Piemont, nach B. I. zirka 45.2° N 6.1° E, 0 = 12h 10m 08.0s, Clermont-Fer. gibt ePn 12h 11m 05.0s eP̄ 12h 11m 25.0s eSn 12h 11m 39.5s.
100	„ 16.	N	225	—	4.0	ePn 19h 19m 05.0s eS̄ 19h 19m 35.0s Azimut 135°
		Z	240	6.0	4.0	ePn 19h 19m 07.7s Compr. eS̄ 19h 19m 40.7s
		B	250	—	4.0	ePn 19h 19m 10.2s Compr. eS̄ 19h 19m 44.0s Nachstoss zu Nr. 99.
101	„ 17.	Z	100	5.0	1.0	eP̄ 02h 30m 18.8s eS̄ 02h 30m 31.6s
		B	134	—	2.0	eP̄ 02h 30m 23.0s eS̄ 02h 30m 40.0s
		Ch	155	—	2.0	iP̄ 02h 30m 28.5s iS̄ 02h 30m 47.9s
		N	—	—	2.0	iP̄ 02h 30m 36.0s Schwäbische Alb, Nachstoss zu Nr. 98.
102	„ 17.	Ch	208?	—	3.0	ePn 07h 24m 08.0s eS̄? 07h 24m 34.0s
		Z	245	3.0	3.0	ePn 07h 24m 10.0s eS̄ 07h 24m 44.0s
		B	305	—	3.0	ePn 07h 24m 21.8s eS̄ 07h 25m 00.0s Wahrscheinlich Nachstoss zu Nr. 99.
103	„ 17.	Ch	—	—	2.0	eP̄ 15h 16m 40.1s
		Z	—	2.0	3.0	ePn 15h 16m 42.4s e 15h 16m 51.0s
		N	250	—	3.0	ePn 15h 16m 46.1s eS̄ 15h 17m 21.0s
		B	230	—	3.0	ePn 15h 16m 58.9s eS̄ 15h 17m 31.0s Vermutlich Nachstoss zu Nr. 99.
104	„ 22.	Z	100	4.0	2.0	eP̄ 10h 41m 36.0s eS̄ 10h 41m 48.7s
		B	130	—	2.0	eP̄ 10h 41m 40.9s Dilat. eS̄ 10h 41m 57.0s
		Ch	155	—	2.0	eP̄ 10h 41m 45.6s iS̄ 10h 42m 05.0s
		N	—	—	2.0	eP̄ 10h 41m 53.8s Schwäbische Alb, Nachstoss zu Nr. 98.
105	„ 22.	Z	90	12.0	3.0	eP̄ 11h 38m 42.9s eS̄ 11h 39m 54.8s
		B	144	—	3.0	eP̄ 11h 38m 45.9s e 11h 38m 47.0s eS̄ 11h 39m 04.0s
		Ch	168	—	3.0	eP̄ 11h 38m 50.9s iP̄ 11h 38m 52.5s eS̄ 11h 39m 12.1s
		N	200	—	3.0	eP̄ 11h 38m 59.5s eS̄ 11h 39m 24.0s Schwäbische Alb, Nachstoss zu Nr. 98.
106	„ 24.	Z	—	0.1	1.0	e 12h 00m 00.0s Spuren eines Nahebeben.
107	Nov. 2.	N	170	—	1.0	eP̄ 13h 15m 02.4s eS̄ 13h 15m 23.0s
108	„ 17.	Ch	185	—	2.0	ePn 08h 33m 32.5s eS̄ 08h 33m 55.8s
		B	400	0.1	2.0	ePn 08h 33m 43.0s eS̄? 08h 34m 43.0s
		Z	290?	—	2.0	ePn 08h 33m 48.1s eS̄? 08h 34m 24.5s Herdregion nicht bestimmbar!
109	„ 18.	Ch	190	—	2.0	eP̄ 10h 30m 29.6s iP̄ 10h 30m 32.6s eS̄ 10h 30m 54.0s
110	„ 23.	Ch	190	1.0	2.0	ePn 06h 08m 32.8s iP̄ 06h 08m 35.7s eS̄ 06h 08m 56.6s
		Z	260	—	2.0	ePn 06h 08m 41.3s eS̄ 06h 09m 18.9s
		B	325	—	2.0	ePn 06h 08m 53.1s Min.-Lücke eS̄ 06h 09m 38.0s Herdregion Trentino, Italien.
111	„ 29.	Ch	—	—	6.0	ePn 02h 05m 28.6s
		Z	525	20.0	6.0	iPn 02h 05m 36.1s Dilat. eSn 02h 06m 37.7s Azimut 90°
		B	600	—	7.0	ePn 02h 05m 45.4s eSn 02h 06m 55.0s
		N	640	—	7.0	ePn 02h 05m 50.9s eSn 02h 07m 05.0s e 02h 07m 52.0s Herdregion Ostalpen, vermutlich Steiermark.
112	„ 29.	Ch	5-10	—	0.5	iP̄ 20h 02m 18.2s iS̄ 20h 02m 19.0s Keine makroseismischen Meldungen.
113	Dez. 8.	Ch	350	—	4.0	ePn 20h 35m 58.0s eS̄ 20h 36m 49.6s
		Z	—	1.0	4.0	ePn 20h 36m 07.4s
		B	520	—	4.0	ePn 20h 36m 15.9s eS̄ 20h 37m 29.0s Vermutlich in Bosnien?
114	„ 12.	Z	103	1.0	1.0	eP̄ 13h 32m 23.9s eS̄ 13h 32m 37.6s Vermutlich schwäbische Alb.

Tabelle II (Schluß)

Nr.	Datum	Station	Epizentralentfernung nach P–S	Max. Amplitude	Ungefähre Dauer der Registr.	Phasen, Bemerkungen
	1943		km	μ	Std.	
115	Dez. 15.	Ch	—	—	4.0	ePn 23h 01m 15.2s iPn 23h 01m 16 6s
		N	210	—	4.0	ePn 23h 01m 17.0s eS̄ 23h 01m 44.0s
		Z	—	3.0	4.0	ePn 23h 01m 20.0s
		B	280	—	4.0	ePn 23h 01m 22.1s Dilat. eS̄ 23h 02m 02.0s e 23h 02m 15.0s Vermutlich Piemont?
116	„ 18.	B	22	—	1.0	iP̄ 21h 15m 41.0s iS̄ 21h 15m 44.0s Keine makroseismischen Meldungen.
117	„ 24.	Z	—	1.0	0.1	iS̄ 02h 45m 24.4s
118	„ 26.	N	800	—	5.0	ePn 13h 44m 01.7s eP̄? 13h 44m 13.0s eSn? 13h 45m 31.0s
		B	780	—	5.0	eP̄ 13h 44m 24.2s eSn 13h 45m 55.0s
		Z	900	3.0	6.0	eP̄ 13h 44m 30.6s eSn 13h 46m 11.8s
		Ch	—	—	5.0	eP̄? 13h 46m 00.0s schwache Spuren!
						Nach B. I. Herd zirka 42° 58′ N, 0° 13′ E, Pyrenäen, zirka 10 km SE von Campan, in Arreau und Héches mit Int. VI verspürt.
119	„ 27.	Z	98	70.0	5.0	eP̄ 18h 50m 51.5s iP̄ 18h 50m 52.4s iS̄ 18h 51m 04.1s
		B	140	—	5.0	iP̄ 18h 50m 55.3s i 18h 50m 57.0s eS̄ 18h 51m 13.0s
		Ch	165	—	5.0	eP̄ 18h 51m 00.0s i 18h 51m 01.3s eS̄ 18h 51m 20.7s
		N	212	—	5 0	ePn 18h 51m 04.5s iP̄ 18h 51m 09.1s iS̄ 18h 51m 37.3s
						Gebiet von Balingen, schwäbische Alb, in der Nordschweiz verspürt (vgl. Tab. I Nr. 12 und Tafel 6).
120	„ 27.	Z	98	50.0	4.0	eP̄ 18h 57m 18.1s iP̄ 18h 57m 18.9s eS̄ 18h 57m 30.7s
		B	136	—	4.0	eP̄ 18h 57m 21.8s i 18h 57m 23.0s eS̄ 18h 57m 39.0s
		Ch	162	—	4.0	eP̄ 18h 57m 26.8s iP̄ 18h 57m 28.1s e 18h 57m 45.8s eS̄ 18h 57m 47.2s
		N	216	—	4.0	iPn 18h 57m 51.1s iP̄ 18h 57m 55.8s eS? 18h 58m 00.0s Min.-Lücke Azimut 45°
						Nachstoss zu Nr. 119 (vgl. auch Tab. I Nr. 13 und Tafel 6).
121	„ 27.	Z	95	10.0	3 0	iP̄ 19h 46m 17.6s iS̄ 19h 46m 29.2s
		B	132	—	3.0	iP̄ 19h 46m 22.2s i 19h 46m 24.0s iS̄ 19h 46m 39.0s
		Ch	160	—	3.0	eP̄ 19h 46m 27.2s eS̄ 19h 46m 47.2s
		N	215	—	3.0	ePn 19h 46m 31.1s eP̄ 19h 46m 35.7s eS̄ 19h 47m 00.0s
						Nachstoss zu Nr. 119 (vgl. Tab. I Nr. 14 und Tafel 6).
122	„ 27.	Z	90	4.0	2.0	eP̄ 19h 54m 04.5s eS̄ 19h 54m 15.7s
		B	130	4.0	2.0	eP̄ 19h 54m 08.6s eS̄ 19h 54m 25.0s
		N	195	4.0	2.0	eP̄ 19h 54m 21.3s eS̄ 19h 54m 44.7s Nachstoss zu Nr. 119
123	„ 27.	B	125?	—	1.0	eP̄ 19h 57m 21.0s eS̄ 19h 57m 37.0s
		Z	—	1.5	2.0	Gestört durch Bogenwechsel Nachstoss zu Nr. 119
124	„ 27.	Z	90	1 5	1.0	eP̄ 21h 52m 10.9s eS̄ 21h 52m 22.7s Nachstoss zu Nr. 119
125	„ 27.	Z	—	0.4	0.3	iS̄ 22h 08m 02.4s Nachstvss zu Nr. 119
126	„ 28.	Z	90	1.0	1.0	eP̄ 03h 36m 11.1s eS̄ 03h 36m 22.7s
		B	125	—	1.0	eP̄ 03h 36m 16.1s eS̄ 03h 36m 32.0s Nachstoss zu Nr. 119
127	„ 28.	N	242	—	2.0	ePn 16h 05m 51.3s eS̄ 16h 06m 25.0s
		Z	286	—	2.0	ePn 16h 06m 02.1s eS̄ 16h 06m 42.7s Vermutlich Westalpen im Gebiet von Modane.
128	„ 29.	Z	—	0.2	0 3	eS̄ 02h 36m 36.6s Vermutlich schwacher Nachstoss zu Nr. 119
129	„ 29.	Z	—	0.2	0.3	eS̄ 02h 38m 34.0s Vermutlich schwacher Nachstoss zu Nr. 119
130	„ 27.	Ch	190	—	2.0	eP̄ 11h 20m 45.9s eS̄ 11h 21m 10.0s
		Z	180?	—	2.0	e 11h 21m 08.0s eP̄? 11h 21m 10.2s eS̄ 11h 21m 32.5s
		N	—	—	2.0	eP̄? 11h 21m 12.9s eS̄? 11h 21m 59.0s
						Vermutlich südliche Kalkalpen, Provinz Belluno?

Tabelle III. In der Schweiz 1943 registrierte Fernbeben.

Mittlere Zeit Greenwich.

Nr.	Datum	Station	Epizentralentfernung nach S–P	Ungefähre Dauer der Registr.	Phasen, Bemerkungen (Wo nichts weiteres bemerkt ist, beziehen sich die Ablesungen auf die Apparate Quervain-Piccard.)
	1943		km	Std.	
1	Januar 4.	Z	—	0.1	eP 23h 27m 59.6s Compr!
		B	—	0.1	eP 23h 28m 00.9s
2	„ 7.	Ch	—	0.2	eP 22h 39m 05.2s Compr. e 22h 41m 35.0s
		Z	—	0.2	eP 22h 39m 21.6s Dilat.
		N	—	0.2	eP 22h 39m 21.7s
		B	—	0 2	eP 22h 39m 21.8s e 22h 41m 49.0s
3	„ 9.	Ch	2100	0.2	eP 00h 00m 10.6s eS 00h 04m 45.0s
		Z	—	0.2	eP 00h 00m 18.0s
		B	—	0.1	eP 00h 00m 41.2s Nach der Presse leichte Schäden in Istambul.
4	„ 10.	Z	—	0.3	e 21h 44m 21.5s
5	„ 11.	Ch	—	0.2	eP 12h 00m 11.5s Dilat.
		Z	—	0.2	eP 12h 00m 20.7s
		B	—	0.1	eP 12h 00m 29.2s
		N	—	0.1	eP 12h 00m 30.7s
6	„ 11.	Z	—	0.3	eP 19h 58m 27.4s
		B	—	0.2	eP 19h 58m 32.2s
		N	—	0.2	eP 19h 58m 36.5s
		Ch	—		Keine Zeitmarken Registrierung stark gestört durch Bodenunruhe!
7	„ 12.	Z	—	0.1	eP 09h 13m 14.2s Compr.
		B	—	0.1	eP 09h 13m 18.2s
		N	—	0.1	eP 09h 13m 23.6s
		Ch	—	0.1	Keine Zeitmarken
8	„ 15.	Z	—	0.2	eP 07h 36m 48.0s
		Ch	—	0.1	eP 07h 37m 20.4s Dilat. e 7h 39m 6.9s
9	„ 16.	N	—	0.1	e 13h 07m 42.4s
		Z	—	0.1	e 13h 26m 31.4s
10	„ 16.	Ch	—	0.1	eP 14h 34m 36.4s
		Z	—	0.1	e 14h 34m 47.0s
		N	—	0.1	eP 14h 34m 53.2s e 14h 35m 45.0s
		B	—	0.1	eP 14h 35m 03.2s e 14h 36m 37.0s
11	„ 16.	Ch	—	0.1	eP 19h 26m 41.9s
		Z	—	0.1	eP 19h 26m 55.2s
		B	—	0.1	e 19h 27m 43.2s
12	„ 23.	B	—	0.1	e 13h 40m 19.8s
		Z	—	0.1	e 13h 40m 23.5s Dilat.
13	„ 27.	Z	—	0.1	eP 03h 09m 24.7s Compr.
		N	—	0.1	eP 03h 09m 30.9s
14	„ 27.	Z	9220	0.7	eP 02h 57m 31.5s Compr. eS 03h 07m 52.3s
		B	—	0.5	eP 02h 57m 31.7s e 03h 06m 12.0s
		N	—	0.5	eP 02h 57m 34.5s
15	„ 30.	Z	10000	0.3	eP 05h 45m 01.4s Dilat. eS 05h 55m 54.0s Herd vermutlich tiefer als normal.
16	„ 31.	N	—	0.1	eP 08h 41m 27.2s
		Z	—	0.1	eP 08h 41m 32.0s Compr.
		Ch	—	0.1	eP 08h 41m 35.9s Compr. i 08h 41m 36.8s Dilat.
17	Febr. 6.	Z	—	0.2	eP 02h 44m 40.9s Comp. epP? 02h 46m 34.0s
		B	—	0.2	eP 02h 44m 46.3s
		N	—	0.2	eP 02h 44m 49.4s Die Registrierungen zeigen den Habitus eines Tiefherdbebens.
18	„ 7.	Z	—	0.1	eP 00h 20m 22.2s Dilat.
		B	—	0.1	eP 00h 20m 22.9s
		N	—	0.1	eP 00h 20m 25.8s
19	„ 14.	Z	—	0.2	eP 07h 31m 13.9s e 07h 35m 52.9s
		B	—	0.2	eP 07h 31m 31.3s e 07h 35m 50.0s
20	„ 14.	Z	—	0.1	eP 09h 30m 33.2s
		B	—	0.1	eP 09h 30m 35.1s

Tabelle III (Fortsetzung)

Nr.	Datum	Station	Epizentralentfernung nach S–P	Ungefähre Dauer der Registr.	Phasen, Bemerkungen
	1943		km	Std.	
21	Febr. 16.	B	—	0.1	eP $14^h\ 57^m\ 32.4^s$
22	„ 16.	Z	—	0.1	eP $17^h\ 09^m\ 31.3^s$ Compr.
		B	—	0.1	eP $17^h\ 09^m\ 32.4^s$
23	„ 22.	N	10000	1.5	eP $09^h\ 33^m\ 42.9^s$ eS $09^h\ 44^m\ 37.0^s$
		B	10600 ?	1.5	eP $09^h\ 33^m\ 46.3^s$ eS $09^h\ 45^m\ 01.0^s$
		Z	10100	1–2	eP $09^h\ 33^m\ 46.3^s$ Compr. ePP $09^h\ 37^m\ 25.6^s$ eS $09^h\ 44^m\ 50.3^s$ e $09^h\ 51^m\ 32.5^s$
					Zirka 26° N 100° W, Tacubaya gibt 18° N 102.5° W, nach der Presse Schadenmeldungen aus der Provinz Colima Mexiko.
24	„ 28.	Z	—	0.1	eP $04^h\ 35^m\ 09.6^s$
		B	—	0.1	eP $04^h\ 35^m\ 20.9^s$
25	„ 28.	B	—	0.2	eP $08^h\ 29^m\ 22.6^s$
26	„ 28.	Z	4720	0.3	eP $13^h\ 02^m\ 39.9^s$ Compr. eS $13^h\ 09^m\ 10.6^s$ Azimut 90°
		B	4830	0.3	eP $13^h\ 02^m\ 44.9^s$ eS $13^h\ 09^m\ 20.0^s$ Azimut 100°
		N	4900	0.3	eP $13^h\ 02^m\ 48.8^s$ eS $13^h\ 09^m\ 27.0^s$ Azimut 80°
					Herdgebiet Samarkand-Buchara Russland, B.I. gibt 38° N 67° E, $0 = 12^h\ 54.7^m$.
27	März 2.	Ch	—	0.1	eP $09^h\ 15^m\ 08.3^s$
28	„ 4.	Ch	—	0.1	eP $06^h\ 51^m\ 13.7^s$ e $06^h\ 51^m\ 36.7^s$
					Nach Wellington Tiefherdbeben südlich von Fiji-Insel, $h = 600$ km.
29	„ 4.	Ch	—	0.5	eL $20^h\ 36^m\ 36.0^s$
		N	—	0.5	e $20^h\ 36^m\ 55.4^s$
30	„ 5.	N	—	0.4	eP $00^h\ 44^m\ 23.0^s$
		B	9450	1.0	eP $00^h\ 44^m\ 28.0^s$ eS $00^h\ 55^m\ 00.0^s$
		Z	9600	0.2	eP $00^h\ 44^m\ 29.8^s$ eS $00^h\ 55^m\ 10.0^s$
		Ch	11220	0.4	eP $00^h\ 44^m\ 34.8^s$ eSKS $00^h\ 55^m\ 07.0^s$
31	„ 5	Z	—	0.1	eP $23^h\ 05^m\ 48.2^s$
		B	—	0.1	eP $23^h\ 06^m\ 03.1^s$
32	„ 7.	B	—	1.0	eP $03^h\ 13^m\ 07.3^s$
		Z	8000	1.0	eP $03^h\ 13^m\ 07.6^s$ Compr. eS $03^h\ 22^m\ 33.8^s$
		Ch	8200	1.0	eP $03^h\ 13^m\ 09.9^s$ eS $03^h\ 22^m\ 46.0^s$
		N	—	1.0	eP $03^h\ 13^m\ 11.1^s$
					Azimut 10°, Bering-Meer, zirka 58° W 164° E.
33	„ 9.	B	—	0.8	eP $10^h\ 07^m\ 08.5^s$?
		Ch	—	1.0	eP $10^h\ 07^m\ 56.2^s$? e $10^h\ 15^m\ 05.0^s$ eL $10^h\ 44^m\ 30.0^s$
		Z	—	1.5	eP $10^h\ 08^m\ 18.2^s$ eL $10^h\ 55^m\ 00.0^s$
		N	—	0.8	e $10^h\ 16^m\ 55.2^s$
34	„ 9.	N	—	0.7	e $12^h\ 02^m\ 55.2^s$
		B	—	0.7	eP $12^h\ 13^m\ 00\ 0^s$
35	„ 10.	N	—	0.5	eP $10^h\ 15^m\ 55.0^s$
		B	—	0.5	e $10^h\ 16^m\ 00.0^s$
36	„ 11.	Ch	—	0.1	e $05^h\ 33^m\ 57.9^s$
37	„ 11.	Z	—	0.1	eP $09^h\ 53^m\ 56.2^s$
		B	—	0.1	eP $09^h\ 53^m\ 59.2^s$ e $09^h\ 55^m\ 23.0^s$
38	„ 12.	Z	—	0.1	eP $01^h\ 30^m\ 35.1^s$
39	„ 14.	Z	—	1.0	eP $12^h\ 12^m\ 03.9^s$
		B	—	0.8	eP $12^h\ 12^m\ 04.3^s$ e $12^h\ 55^m\ 35.3^s$
		Ch	—	1.0	eL $13^h\ 31^m$
40	„ 14.	Ch	—	0.3	ePKP $17^h\ 30^m\ 49.6^s$
		Z	—	0.2	ePKP $17^h\ 30^m\ 55.8^s$ Compr. Vermutlich tiefer Herd.
		B	—	0.5	ePKP $17^h\ 30^m\ 57.5^s$
					Wellington gibt eP $17^h\ 15^m\ 35.0^s$ New Caledonia
41	„ 14.	Ch		0.3	eP $18^h\ 51^m\ 18.0^s$
		Z	10600	0.4	eP $18^h\ 51^m\ 18.2^s$ Compr. eSKS $19^h\ 01^m\ 45.6^s$ eS $19^h\ 02^m\ 36.0^s$
		B	10560	0.5	eP $18^h\ 51^m\ 20.5^s$ eSKS $19^h\ 01^m\ 46.0^s$
					Herd vermutlich tiefer als normal?

Tabelle III (Fortsetzung)

Nr.	Datum	Station	Epizentralentfernung nach S–P	Ungefähre Dauer der Registr.	Phasen, Bemerkungen
	1943		km	Min.	
42	März 15.	Ch	1200	0.2	eP $02^h\ 44^m\ 18.0^s$ Min.-Lücke
		Z	—	1.0–2.0	eP $02^h\ 44^m\ 22.0^s$ Dilat. e $04^h\ 22^m\ 16.0^s$
		B	—	0.2	eP $02^h\ 44^m\ 23.6^s$
43	„ 15.	Z	—	0.1	e $14^h\ 30^m\ 35.5^s$)
		B	—	0.1	eP $14^h\ 30^m\ 36.0^s$
44	„ 15.	Z	—	0.2	eP $23^h\ 18^m\ 25.1^s$ Compr. epP $23^h\ 19^m\ 44.2^s$ Dilat. $h = 400$ km
		Ch	—	0.2	eP $23^h\ 18^m\ 26.4^s$ Compr. epP $23^h\ 19^m\ 45.2^s$ Dilat.
		B	—	0.1	eP $23^h\ 18^m\ 27.6^s$ epP $23^h\ 19^m\ 44.0^s$
					Nach Wellington Herd SE von Fiji, $h = 520-550$ km.
45	„ 16.	Z	—	0.1	eP $04^h\ 41^m\ 50.2^s$
		Ch	—	0.1	eP $04^h\ 41^m\ 50.8^s$ Compr. e $04^h\ 41^m\ 57.4^s$ Compr.
		B	—	0.1	eP $04^h\ 41^m\ 55.6^s$
46	„ 17.	Z	—	0.1	eP $23^h\ 15^m\ 23.3^s$
		B	—	0.1	eP $23^h\ 15^m\ 25.4^s$
		Ch	—	0.1	eP $23^h\ 15^m\ 31.1^s$
47	„ 19.	Ch	—	0.1	eP? $00^h\ 56^m\ 43.0^s$ nur schwache Spuren.
		Z	—	0.1	eP $00^h\ 56^m\ 49.3^s$
		B	—	0.1	e $00^h\ 59^m\ 12.7^s$
48	„ 20.	Ch	—	0.1	eP? $05^h\ 10^m\ 23.0^s$
		B	—	0.1	eP $05^h\ 10^m\ 24.0^s$
		N	—	0.1	eP $05^h\ 10^m\ 24.9^s$
		Z	—	—	e $05^h\ 10^m\ 30.0^s$ nur schwache Spuren
49	„ 21.	B	—	1.0	e $20^h\ 53^m\ 02.0^s$
		Z	—	1.0	eP $20^h\ 54^m\ 47.9^s$
		Ch	—	1.0	eP $20^h\ 55^m\ 18.0^s$ eL $21^h\ 40^m\ 42.0^s$
					nach Wellington P $20^h\ 43^m\ 29.0^s$ h = 60—80 km, New-Guinea
50	„ 22.	N	—	1.0	e $20^h\ 13^m\ 56.3^s$
51	„ 25.	Ch	1200	0.2	eP $02^h\ 53^m\ 32.5^s$ eS $02^h\ 55^m\ 44.0^s$
		Z	1240	0.2	eP $02^h\ 53^m\ 43{,}3^s$ eS $02^h\ 56^m\ 00.8^s$
		B	1550?	0.2	eP $02^h\ 53^m\ 50.6^s$ eS $02^h\ 56^m\ 42.0^s$
		N	2440?	0.2	eP $02^h\ 53^m\ 56.2^s$ eS? $02^h\ 57^m\ 56.0^s$ Azimut zirka 100°, Herdregion Serbien?
52	„ 25.	N	—	0.7	e $19^h\ 17^m\ 56.2^s$
		Z	—	0.4	e $19^h\ 20^m\ 00.0^s$
		B	—	0.5	e $19^h\ 24^m\ 00.0^s$
		Ch	—	0.5	eL $19^h\ 24^m\ 47.0^s$ Fernbeben mit sehr schwachen Vorläufern.
53	„ 26.	B	—	0.5	ePKP $17^h\ 58^m\ 01.7^s$ e $17^h\ 38^m\ 32.6^s$
		N	—	0.2	ePKP $17^h\ 58^m\ 02.7^s$
		Ch	—	0.4	ePKP $17^h\ 58^m\ 03.0^s$
		Z	—	0.4	ePKP $17^h\ 58^m\ 07.2^s$ e $18^h\ 09^m\ 22.2^s$
					Wellington gibt eP $17^h\ 42^m\ 40.0^s$, Distanz 19.5°, SE der Tonga-Insel in Nukuatofa verspürt.
54	„ 29.	Ch	—	0.1	eP $05^h\ 25^m\ 31.8^s$ Compr.
		Z	—	0.1	eP $05^h\ 25^m\ 35.5^s$
		N	—	0.1	eP $05^h\ 25^m\ 37.7^s$
		B	—	0.1	eP $05^h\ 25^m\ 40.3^s$
55	April 1.	Z	—	1.0	eP $14^h\ 35^m\ 44.3^s$
		N	—	1.0	eP $14^h\ 35^m\ 49.4^s$
		B	—	1.0	eP $14^h\ 35^m\ 56.6^s$ Fernbeben mit sehr schwachen Vorläufern.
56	„ 5.	Ch	6800	0.5	eP $02^h\ 04^m\ 27.9^s$ eS $02^h\ 14^m\ 22.0^s$ eL $02^h\ 22^m\ 20.0^s$
		Z	8660	0.5	eP $02^h\ 04^m\ 31.8^s$ eS $02^h\ 14^m\ 27.8^s$
		B	—	0.7	eP $02^h\ 04^m\ 36.8^s$
		N	—	0.7	eP $02^h\ 04^m\ 40.8^s$ Azimut zirka 80°, vermutliche Herdregion Südchina?
57	„ 6.	B	—	0.7	eP $02^h\ 09^m\ 36.8^s$
58	„ 6.	N	11-12000	2.0	eP $16^h\ 21^m\ 20.2^s$ eSKS? $16^h\ 32^m\ 09.0^s$
		B	10500	2.0	eP $16^h\ 21^m\ 20.9^s$ Compr. ePP $16^h\ 25^m\ 51.0^s$ eS? $16^h\ 32^m\ 38.0^s$ e $16^h\ 34^m\ 31.0^s$
		Z	11-12000	2.0	eP $16^h\ 21^m\ 26.0^s$ Compr. ePP $16^h\ 25^m\ 41.0^s$ eSKS $16^h\ 32^m\ 22.0^s$ ePS $16^h\ 35^m\ 07.0^s$
		Ch	10500	2.0	eP $16^h\ 21^m\ 26.7^s$ ePP $16^h\ 25^m\ 38.0^s$ eS? $16^h\ 32^m\ 40.0^s$
					Nach B. I. starke Zerstörungen in Antofagosta und Salamanca Chile, Herd 71.5° W 30.5° S (Distanz von Zürich 11 800 km).

Tabelle III (Fortsetzung)

Nr.	Datum	Station	Epizentralentfernung nach S-P	Ungefähre Dauer der Registr.	Phasen, Bemerkungen
	1943		km	Std.	
59	April 8.	Z	—	1.0	e $00^h\ 28^m\ 58.2^s$
		B	—	0.7	e $00^h\ 39^m\ 04.1^s$
60	„ 8.	B	—	0.1	e $10^h\ 34^m\ 45.1^s$
61	„ 9.	Z	—	1.0	eP $09^h\ 06^m\ 24.9^s$
		B	—	1.0	eP $09^h\ 06^m\ 26.5^s$ e $09^h\ 10^m\ 48.0^s$
		Ch	—	1.0	eP? $09^h\ 06^m\ 57.7^s$ eL $09^h\ 42^m\ 51.0^s$
		N	—	1.0	eP $09^h\ 07^m\ 05.7^s$ Herd tiefer als normal.
62	„ 9.	Ch	2200	0.2	eP $19^h\ 51^m\ 06.6^s$ eS $19^h\ 54^m\ 46.0^s$
		Z	1800	0.3	eP $19^h\ 51^m\ 13.6^s$ eS? $19^h\ 54^m\ 47.2^s$
		N	2200	0.5	eP $19^h\ 51^m\ 22.7^s$ eS $19^h\ 55^m\ 02.0^s$
		B	1880	0.3	eP $19^h\ 51^m\ 23.0^s$ eS $19^h\ 55^m\ 00.0^s$ Aegäisches Meer.
63	„ 11.	Ch	11–12000	1.0	eP $14^h\ 58^m\ 42.5^s$ e $15^h\ 00^m\ 04.8^s$ eSKS $15^h\ 09^m\ 20.0^s$ eL $15^h\ 31^m\ 00.0^s$
		Z	10050	1.0	eP $14^h\ 58^m\ 42.8^s$ Dilat eSKS $15^h\ 09^m\ 03.4^s$ eS $15^h\ 09^m\ 38.4^s$
		N	10200	1.0	eP $14^h\ 58^m\ 48.1^s$ eSKS $15^h\ 09^m\ 10.0^s$
		B	10890	1.0	eP $14^h\ 58^m\ 53.4^s$ eSKS $15^h\ 09^m\ 22.0^s$ Nach Pressemeldungen Chile?
64	„ 12.	Z	9440	1.0	eP $19^h\ 56^m\ 05.6^s$ Compr. eS $20^h\ 06^m\ 35.6^s$
		B	9660	1.0	eP $19^h\ 56^m\ 08.1^s$ eS $19^h\ 06^m\ 47.0^s$
		N	—	1.0	eP $19^h\ 56^m\ 11.0^s$
					Azimut zirka 50°, Herdregion vermutlich Formosa oder Riu-Kiu Inseln.
65	„ 14.	Ch	—	0.1	eP $08^h\ 19^m\ 27.7^s$ Compr. eL $08^h\ 24^m\ 39.9^s$
		Z	—	0.1	eP $08^h\ 19^m\ 34.4^s$ eL $08^h\ 25^m\ 11.4^s$
		B	—	0.1	eP $08^h\ 19^m\ 43.0^s$ eL $08^h\ 25^m\ 18.0^s$
		N	—	0.1	eP $08^h\ 19^m\ 44.2^s$ Nach B. I. Anatolien zirka 39.5° N 29.5° E.
66	„ 14.	B	—	0.4	e $12^h\ 50^m\ 00.0^s$
67	„ 15.	Z	—	0.2	eL $12^h\ 30^m\ 00.0^s$ schwaches Fernbeben
68	„ 16.	N	—	0.2	eP $11^h\ 45^m\ 55.5^s$
		B	1200	0.5	eP $11^h\ 46^m\ 00.0^s$ eS $11^h\ 48^m\ 08.0^s$ e $11^h\ 50^m\ 35.0^s$
		Ch	—	0.3	eP $11^h\ 46^m\ 01.5^s$ eL $11^h\ 49^m\ 10.0^s$
		Z	—	0.3	eP $11^h\ 46^m\ 03.7^s$ eL $11^h\ 49^m\ 45.4^s$ Nach B. I. in Medjana, westlich von
					Constantine, Algerien, einige Todesopfer. Herd zirka 36.2° N 4.5° E.
69	„ 19.	B	—	0.1	eP $00^h\ 03^m\ 35.8^s$ e $00^h\ 05^m\ 48.0^s$
70	„ 20.	Z	—	0.3	eP $15^h\ 27^m\ 38.1^s$
71	„ 26.	Ch	—	0.1	eP $02^h\ 51^m\ 27.6^s$ Dilat.
72	„ 28.	Z	—	0.2	eP $19^h\ 49^m\ 44.0^s$
73	„ 29.	B	—	0.3	ePKP $00^h\ 02^m\ 48.4^s$ eL $00^h\ 12^m\ 29.0^s$
		Z	—	0.2	ePKP $00^h\ 02^m\ 48.9^s$ e $00^h\ 02^m\ 52.1^s$
		Ch	—	0.1	ePKP $00^h\ 02^m\ 49.2^s$ ePP? $00^h\ 04^m\ 46.5^s$ Dilat.
					Herd vermutlich etwas tiefer als normal!
74	„ 29.	Z	—	0.1	eP $08^h\ 58^m\ 16.9^s$
75	„ 29.	Z	8900	0.3	eP $15^h\ 37^m\ 08.9^s$ eS $15^h\ 47^m\ 16.9^s$
		B	9000	0.5	eP $15^h\ 37^m\ 10.7^s$ Compr. eS $15^h\ 47^m\ 21.0^s$
		N	—	0.2	eP $15^h\ 37^m\ 13.7^s$ Azimut zirka 30°, Herd Nord-Japan.
76	„ 30.	B	3450	0.1	eP $08^h\ 38^m\ 46.8^s$ eS? $08^h\ 43^m\ 59.0^s$
		Ch	—	0.1	eP $08^h\ 38^m\ 54.4^s$ e $08^h\ 40^m\ 49.0^s$
		Z	950?	0.1	eP $08^h\ 39^m\ 07.0^s$ eS? $08^h\ 41^m\ 05.9^s$
		N	—	0.1	eP $08^h\ 40^m\ 18.8^s$
77	Mai 1.	Z	—	0.1	eP $20^h\ 36^m\ 47.2^s$
78	„ 2.	N	9200	1.0	iP $17^h\ 30^m\ 34.5^s$ eS $17^h\ 40^m\ 54.0^s$
		B	9220	1.0	eP $17^h\ 30^m\ 36.1^s$ eS $17^h\ 40^m\ 58.0^s$
		Z	9180	1.0	eP $17^h\ 30^m\ 47.1^s$ eS $17^h\ 41^m\ 05.7^s$
		Ch	9170	1.0	eP $17^h\ 30^m\ 53.8^s$ eS $17^h\ 41^m\ 11.0^s$
					Azimut 280°, Herdregion Zentralamerika, zirka 10° N 87° W.
79	„ 3.	B	10000	1.0	eP $02^h\ 12^m\ 35.5^s$ ePP $02^h\ 16^m\ 44.0^s$ eS $02^h\ 23^m\ 28.0^s$
		Ch	9670	1.0	eP $02^h\ 12^m\ 40.8^s$ eS? $02^h\ 23^m\ 24.0^s$ Min.-Lücke
		Z	10600	1.0	eP $02^h\ 12^m\ 44.9^s$ eSKS $02^h\ 23^m\ 11.9^s$
		N	9750	1.0	eP $02^h\ 12^m\ 47.0^s$ eS $02^h\ 23^m\ 32.0^s$

Tabelle III (Fortsetzung)

Nr.	Datum	Station	Episentralentfernung nach S-P	Ungefähre Dauer der Registr.	Phasen, Bemerkungen
	1943		km	Min.	
80	Mai 7.	Ch	—	0.1	eP 08^h 27^m 11.2^s
		B	—	0.1	eP 08^h 27^m 12.3^s
		N	—	0.1	eP 08^h 27^m 13.9^s
		Z	—	0.1	eP 08^h 27^m 18.7^s
81	„ 7.	Z	—	0.1	eP 20^h 34^m 18.7^s
		B	—	0.1	eP 20^h 35^m 08.2^s
		N	—	0.1	eP 20^h 35^m 11.6^s
82	„ 11.	Ch	—	0.1	eP 20^h 31^m 22.5^s Compr.
		Z	—	0.1	eP 20^h 31^m 29.2^s
		B	—	0.1	eP 20^h 31^m 37.3^s
		N	—	0.1	eP 20^h 31^m 39.2^s
83	„ 12.	Z	—	0.1	eP 12^h 26^m 50.3^s
		B	—	0.1	eP 12^h 27^m 50.6^s
84	„ 13.	Ch	—	0.1	e 06^h 15^m 49.2^s
		Z	—	0.1	e 06^h 16^m 17.3^s
85	„ 19.	B	—	0.1	e 02^h 00^m 19.8^s e 02^h 06^m 42.0^s
		Z	—	0.1	e 02^h 03^m 03.1^s
		N	—	0.1	nur schwache Spuren um 02^h 03^m
86	„ 22.	B	—	1.0	e 09^h 15^m 36.8^s
87	„ 22.	Ch	1130?	0.2	eP 22^h 08^m 32.7^s eS 22^h 10^m 38.9^s
		Z	—	0.3	eP 22^h 08^m 48.4^s e 22^h 11^m 13.3^s
		N	—	0.3	eP 22^h 08^m 51.4^s
		B	—	0.3	eP 22^h 08^m 52.7^s e 22^h 11^m 17.0^s Herdregion vermutlich Anatolien?
88	„ 24.	B	—	0.1	e 23^h 12^m 46.5^s e 00^h 16^m 42.0^s
89	„ 25.	Ch	11100	1.5	eP 23^h 21^m 35.9^s Compr. ePP 23^h 25^m 56.0^s eSKS 23^h 32^m 08.0^s
		Z	11200	2.0	eP 23^h 21^m $37,8^s$ eSKS 23^h 32^m 11.0^s eS 23^h 33^m 24.0^s
		B	11200-500	1.5	eP 23^h 21^m 39.4^s ePP 23^h 25^m 55.0^s eSKS 23^h 32^m 20.0^s eS 23^h 33^m 33.0^s
		N	11000	1.5	eP 23^h 21^m 47.1^s eSKS 23^h 32^m 20.0^s
					Azimut zirka 70^0 Herdregion Philippinen Mindanao
90	„ 28.	N	—	0.1	e 02^h 46^m 09.7^s
91	„ 28.	Ch	—	0.4	eP 20^h 20^m 11.8^s
		Z	—	0.1	eP 20^h 20^m 19.7^s
92	Juni 2.	Ch	—	0.1	eP 03^h 03^m 40.7^s
		Z	—	0.4	eP 03^h 03^m 42.4^s
		B	—	0.2	eP 03^h 03^m 48.0^s e 03^h 04^m 30.0^s
93	„ 3.	Z	—	0.1	e 05^h 05^m 17.4^s
94	„ 3.	Z	—	0.3	eP 12^h 31^m 51.7^s
		B	—	0.4	eP 12^h 31^m 56.1^s e 00^h 32^m 25.0^s
95	„ 3.	B	—	0.1	e 19^h 43^m 21.6^s
96	„ 3.	B	—	0.2	e 20^h 13^m 28.2^s
		Ch	—	0.1	e 20^h 13^m 31.0^s
		N	—	0.1	e 20^h 13^m 31.6^s
		Z	—	0.1	e 20^h 13^m 35.8^s Habitus der Registrierung, deutet auf sehr fernen Herd.
97	„ 3.	B	—	0.1	eP 21^h 07^m 51.9^s
		Ch	—	0.1	eP 21^h 07^m 53.1^s
		N	—	0.1	eP 21^h 07^m 54.6^s
		Z		0.1	eP 21^h 07^m 55.0^s
98	„ 5.	Z		0.1	eP 20^h 47^m 33.6^s Dilat.
99	„ 6.	Z	—	0.1	e 05^h 50^m 19.5^s
100	„ 7.	Ch		0.2	eP 11^h 44^m 54.2^s e 11^h 48^m 09.8^s
		Z	—	0.2	eP 11^h 45^m 00.6^s Compr.
		N	—	0.2	eP 11^h 45^m 02.5^s
		B		0.2	eP 11^h 45^m 07.5^s vermutlich Tiefherdbeben?
101	„ 7.	Z	—	0.5	eP 23^h 33^m 27.8^s
		Ch	9200	1.0	eP 23^h 33^m 34.1^s eS 23^h 43^m 59.0^s
		N	-	1.0	eP 23^h 45^m 09.9^s?

Tabelle III (Fortsetzung)

Nr.	Datum	Station	Epizentralentfernung nach S–P	Ungefähre Dauer der Registr.	Phasen, Bemerkungen
	1943		km	Std.	
102	Juni 8.	N	—	1.0	eP 01^h 22^m 14.0^s
		B	3780	1.0	eP 01^h 22^m 27.4^s eS 01^h 28^m 00.0^s
		Z	3840	1.2	eP 01^h 22^m 27.8^s eS 01^h 28^m 04.8^s
		Ch	—	1.0	eP 01^h 22^m 39.5^s e 01^h 31^m 45.5^s
					Azimut zirka 240°, Herd Atlantik südlich der Azoren, nach B. I. 35° N. 35° W.
103	„ 8.	Ch	9670	1.5	eP 20^h 55^m 55.7^s eS 21^h 06^m 35.9^s
		Z	9750	1.0	eP 20^h 56^m 01.0^s ePP? 20^h 59^m 02.4^s eS 21^h 06^m 44.6^s PS 21^h 07^m 24.0^s
		N	9750	1–2	eP 20^h 56^m 03.2^s eS 21^h 06^m 46.0^s
		B	10300	1.0	eP 20^h 56^m 08.3^s e 20^h 00^m 05.0^s eS 21^h 07^m 14.0^s
104	„ 9.	Ch	9450	2.0	eP 03^h 19^m 22.7^s eS 03^h 29^m 57.0^s
		Z	10100	1.5	eP 03^h 19^m 26.5^s eSKS 03^h 29^m 47.6^s eS 03^h 30^m 33.4^s
		B	10450	1.5	eP 03^h 19^m 30.9^s ePP 03^h 23^m 03.0^s eS 03^h 30^m 41.0^s
		N	10700	1–2	eP 03^h 19^m 32.3^s eSKS 03^h 30^m 01.0^s
					Azimut zirka 105°, vermutlich Herdregion Indischer Ozean, westlich von Sumatra, zirka 92° E 7° S.
105	„ 9.	B	—	0.2	eP 04^h 22^m 38.2^s
		Z	—	0.2	eP 04^h 22^m 38.5^s
		Ch	—	0.2	eP 04^h 22^m 39.7^s
		N	—	0.2	eP 04^h 22^m 40.9^s den Oberflächenwellen des Bebens Nr. 104 überlagert!
106	„ 9.	N	—	1.0	eP 08^h 49^m 26.2^s e 08^h 59^m 48.0^s
107	„ 13.	Z	9150	1.0	eP 05^h 24^m 03.0^s Compr. eS 05^h 34^m 19.7^s
		Ch	8800	1.0	eP 05^h 24^m 03.5^s eS 05^h 34^m 05.0^s
		B	9250	1.0	eP 05^h 24^m 04.0^s Compr. eS 05^h 34^m 27.0^s eL 05^h 55^m 00.0^s
		N	9450	1.0	eP 05^h 24^m 07.6^s eS? 05^h 34^m 40.0^s Azimut zirka 60°, Herdregion Formosa.
108	„ 13.	Z	9780?	1.0	eP 08^h 49^m 21.5^s Comp. eS 09^h 00^m 07.3^s?
		Ch	9560	1.0	eP 08^h 49^m 22.1^s eS 08^h 59^m 59.0^s
		B	10500	1.0	eP 08^h 49^m 22.9^s eS 09^h 00^m 43.0^s
		N	9220	1.0	eP 08^h 49^m 26.5^s eS 08^h 59^m 48.0^s vermutlich Nachstoß zu Nr. 107?
109	„ 13.	B	—	1.0	eP 17^h 51^m 33.8^s
		Z	—	1.0	eP 17^h 51^m 41.4^s
		N	—	1.0	eP 17^h 51^m 46.8^s
110	„ 14.	Z	—	0.1	eP 03^h 12^m 54.9^s
		B	—	0.1	eP 03^h 12^m 58.1^s
111	„ 14.	Z	—	0.2	eP 07^h 49^m 36.2^s
		Ch	—	0.1	eP 07^h 49^m 40.5^s e 7^h 51^m 40.3^s
		N	—	0.2	eP 07^h 49^m 59.9^s e 07^h 52^m 06.0^s
		B	—	0.2	eP 07^h 50^m 00.0^s e 07^h 52^m 09.0^s
112	„ 15.	Z	9200	0.5	eP 11^h 23^m 07.5^s Compr. eS 11^h 33^m 26.4^s
		Ch	9110	0.7	eP 11^h 23^m 08.0^s eS 11^h 33^m 24.0^s
		B	9150	0.7	eP 11^h 23^m 08.9^s eS 11^h 33^m 27.0^s
		N	9200	1.0	eP 11^h 23^m 12.0^s eS 11^h 33^m 33.0^s
					Azimut zirka 50°, Herdregion Pazifische Küste von Hondo, Herd vermutlich etwas tiefer als normal.
113	„ 15.	B	—	1.0	eP 18^h 34^m 28.2^s
		N	—	1.0	eP 18^h 34^m 28.4^s
		Z	—	1.0	eP 18^h 34^m 33.0^s Dilat
		Ch	—	1.0	eP 18^h 34^m 36.0^s
114	„ 18.	B	—	0.1	e 19^h 43^m 21.6^s
115	„ 19.	B	—	0.1	e 08^h 26^m 39.3^s
116	„ 19.	Ch	—	0.7	eP 17^h 51^m 40.3^s eL 18^h 25^m 53.0^s
117	„ 20.	Ch	1890	0.4	eP 15^h 36^m 40.7^s eS 15^h 39^m 57.0^s
		Z	1850	0.3	eP 15^h 36^m 53.6^s Dilat. eS 15^h 40^m 07.0^s
		B	2000	0.3	eP 15^h 36^m 59.1^s eS 15^h 40^m 24.0^s
		N	—	0.6	eP 15^h 37^m 02.0^s e 15^h 43^m 21.0^s
					Azimut zirka 105°, Herd 40.6° N 30.1° E, starke Zerstörungen in Adabazar, zirka 1300 Todesopfer.
118	„ 20.	Ch	—	0.2	eP 16^h 51^m 45.4^s
		B	—	0.3	eP 16^h 52^m 03.1^s
		Z	—	0.3	eP 16^h 52^m 07.7^s
		N	—	0.3	eP 16^h 52^m 07.7^s

Tabelle III (Fortsetzung)

Nr.	Datum	Station	Epizentralentfernung nach S–P	Ungefähre Dauer der Registr.	Phasen, Bemerkungen
	1943		km	Std.	
119	Juni 20.	N	—	1.0	eP 17^h 49^m 53.1^s
		Ch	—	0.5	eP 17^h 49^m 55.4^s
		Z	—	1.0	eP 17^h 49^m 58.3^s
		B	—	1.0	eP 17^h 50^m 01.1^s
120	„ 20.	B	—	0.1	e 18^h 13^m 29.3^s
121	„ 21.	B	—	0.1	e 22^h 59^m 16.0^s
122	„ 22.	Z	—	0.2	e 01^h 24^m 18.0^s
		B	—	0.2	e 01^h 58^m 24.5^s
123	„ 24.	Z	—	0.2	e 20^h 40^m 59.2^s
124	„ 25.	Ch	—	0.1	eP 19^h 32^m 14.9^s e 19^h 35^m 04.0^s
		Z	—	0.1	eP 19^h 32^m 17.6^s Dilat.
		B	—	0.1	eP 19^h 32^m 18.9^s
		N	—	0.2	eP 19^h 32^m 21.2^s
125	„ 27.	Ch	—	0.2	eP 10^h 09^m 26.7^s e 10^h 12^m 38.4^s
		B	—	0.5	eP 10^h 09^m 42.1^s e 10^h 13^m 55.0^s
		Z	—	0.1	eP 10^h 09^m 48.1^s Tiefherdbeben!
126	„ 29.	B	—	0.5	eP 09^h 22^m 50.0^s e 09^h 29^m 27.0^s
		Ch	—	0.2	eP 09^h 23^m 19.6^s e 09^h 29^m 21.5^s
		Z	—	0.2	eP 09^h 23^m 30.6^s e 09^h 29^m 32.7^s vermutlich auch Herd tiefer als normal!
127	„ 30.	B	—	0.1	e 00^h 55^m 47.0^s
128	„ 30.	N	—	0.7	e_1 09^h 23^m 31.4^s e_2 09^h 29^m 29.0^s
129	Juli 11.	N	—	1.0	ePKP 02^h 30^m 17.6^s
		Z	—	1.0	ePKP 02^h 30^m 59.3^s
		B	—	1.0	ePKP 02^h 31^m 00.7^s
					Herddistanz sehr groß und Herdtiefe vermutlich etwas tiefer als normal.
130	„ 13.	B	—	0.1	e 02^h 46^m 00.7^s e 00^h 50^m 39.0^s
		Z	—	0.1	e 03^h 26^m 21.4^s e 03^h 26^m 57.0^s evtl. auch Aufzeichnungen eines Nahebebens!
131	„ 15.	Z	—	0.1	e 00^h 58^m 06.2^s
132	„ 21.	Ch	620	0.1	eP 02^h 09^m 39.4^s eS 02^h 11^m 50.4^s
		B	—	0.2	eP 02^h 09^m 57.9^s
		N	—	0.3	eP 02^h 10^m 01.9^s
		Z	1050	0.1	eP 02^h 10^m 06.4^s eS 02^h 12^m 04.0^s
133	„ 22.	Ch	1160?	0.4	eP 07^h 12^m 14.4^s eS? 07^h 14^m 24.9^s
		N	—	0.4	eP 07^h 12^m 32.9^s
		Z	2300?	0.5	eP 07^h 12^m 34.7^s eS? 07^h 16^m 30.2^s
		B	2600?	0.5	eP 07^h 12^m 52.7^s eS? 07^h 17^m 07.0^s Herdregion vermutlich Anatolien!
134	„ 22.	Z	—	0.1	e 14^h 11^m 04.0^s e 14^h 11^m 16.3^s
135	„ 23.	Z	9700	1.0	eP 15^h 06^m 54.0^s e 15^h 11^m 15.0^s eS? 15^h 17^m 38.0^s
		Ch	—	1.0	eP 15^h 07^m 01.6^s i 15^h 11^m 17.8^s
		B	—	1.0	eP 15^h 07^m 06.5^s e 15^h 11^m 20.0^s
		N	—	1.0	eP 15^h 07^m 09.2^s e 15^h 11^m 13.0^s
					nach B. I. Herdregion Malayischer Archipel, vermutlich tiefer Herd.
136	„ 29.	N	7100	1.5	eP 03^h 13^m 00.1^s eS 03^h 21^m 42.0^s Azimut 270°
		B	7220	1.5	eP 03^h 13^m 01.8^s e 03^h 14^m 39.0^s eS 03^h 21^m 51.0^s
		Z	7200	1.5	eP 03^h 13^m 07.1^s Dilat. ePP 03^h 15^m 38.6^s eS 03^h 23^m 21.9^s
		Ch	—	1.5	eP 03^h 13^m 09.0^s e 03^h 27^m 07.0^s
					Azimut zirka 280°, Herd Westindien zirka 22° N 70° W.
137	„ 30.	Z	—	0.1	e 01^h 13^m 20.7^s
138	„ 31.	B	—	0.1	e 04^h 39^m 01.0^s
		Z	—	0.1	e 04^h 39^m 54.4^s evtl. auch Nahebeben?
139	August 1.	N	—	0.1	e 14^h 30^m 23.6^s
		Z	—	0.1	e 14^h 30^m 25.0^s
140	„ 2.	Z	—	0.5	ePKP 16^h 38^m 06.0^s
		B	—	0.5	ePKP 16^h 38^m 07.2^s e 16^h 38^m 12.0^s
		N	—	0.7	ePKP 16^h 38^m 08.1^s
		Ch	—	0.5	ePKP 16^h 38^m 08.4^s

Tabelle III (Fortsetzung)

Nr.	Datum	Station	Epizentralentfernung nach S–P	Ungefähre Dauer der Registr.	Phasen, Bemerkungen
	1943		km	Std.	
141	August 2.	Ch	—	1.0	e $01^h\ 06^m\ 32.7^s$ e $01^h\ 11^m\ 18.0^s$ eL $02^h\ 14^m\ 30.0^s$
		N	—	1.0	e $01^h\ 06^m\ 34.2^s$
142	„ 10.	Z	8670	1.0	eP $15^h\ 25^m\ 04.1^s$ Compr. e $15^h\ 26^m\ 10.5^s$ eS $15^h\ 35^m\ 01.1^s$
		B	—	1.0	eP $15^h\ 25^m\ 05.2^s$ Min.-Lücke
		Ch	8100?	1.0	eP $15^h\ 25^m\ 06.4^s$ eS? $15^h\ 34^m\ 36.5^s$
		N	8890	1.0	eP $15^h\ 25^m\ 08.2^s$ eS $15^h\ 36^m\ 15.0^s$
					Azimut zirka 15°, Herdregion Kamtchatka.
143	„ 10.	Ch	—	0.2	eP $15^h\ 48^m\ 12.5^s$
		Z	—	0.2	eP $15^h\ 48^m\ 18.0^s$
		B	—	0.2	eP $15^h\ 48^m\ 18.2^s$ Compr.
		N	—	0.5	eP $15^h\ 48^m\ 22.5^s$
144	„ 12.	Z	—	0.1	e $12^h\ 46^m\ 23.9^s$
145	„ 31.	B	—	0.1	eP $16^h\ 23^m\ 02.0^s$
146	Sept. 11.	B	—	2.0	ePKP $04^h\ 01^m\ 15.3^s$ e $04^h\ 02^m\ 11.0^s$ e $04^h\ 06^m\ 57.0^s$ e $04^h\ 11^m\ 19.0^s$
		Z	—	2.0	ePKP $04^h\ 01^m\ 23.1^s$ e $04^h\ 02^m\ 09.2^s$ ePP? $04^h\ 05^m\ 50.0^s$
		Ch	—	2.0	ePKP $04^h\ 01^m\ 25.0^s$
		N	—	2.0	ePKP $04^h\ 01^m\ 26.5^s$
					Wellington gibt eP $03^h\ 44^m\ 00^s$ Herdregion Macquarie-Inseln. (Distanz von Zürich zirka 17 800 km).
147	„ 6.	N	—	0.1	eP $13^h\ 37^m\ 08.0^s$
		Z	—	0.1	e $13^h\ 38^m\ 03.7^s$
148	„ 6.	Ch	—	0.2	eP $16^h\ 36^m\ 51.8^s$
		Z	—	0.2	eP $16^h\ 36^m\ 52.4^s$
		B	—	0.2	eP $16^h\ 37^m\ 05.3^s$
		N	—	0.2	schwache Spuren!
149	„ 8.	Z	—	0.1	e $17^h\ 30^m\ 57.6^s$
150	„ 10.	B	—	0.3	eP $04^h\ 14^m\ 19.9^s$
		Ch	—	0.3	eP $04^h\ 14^m\ 20.6^s$ ePP $04^h\ 15^m\ 40.0^s$
		Z	—	0.3	eP? $04^h\ 14^m\ 21.3^s$ epP? $04^h\ 15^m\ 06.8^s$ e $04^h\ 17^m\ 14.7^s$
		N	—	0.3	eP $04^h\ 14^m\ 34.1^s$ Tiefherdbeben! Herddistanz vermutlich sehr groß?
151	„ 10.	Z	9170	1.0	eP $08^h\ 49^m\ 26.0^s$ Dilat. e $08^h\ 49^m\ 28.7^s$ eS $08^h\ 59^m\ 45.2^s$
		Ch	9300	1.0	eP $08^h\ 49^m\ 26.3^s$ e $08^h\ 50^m\ 29.5^s$ eS $08^h\ 59^m\ 51.2^s$
		B	9600	1.0	eP $08^h\ 49^m\ 28.1^s$ eS $09^h\ 00^m\ 06.0^s$
		N	9380	1.0	eP $08^h\ 49^m\ 33.7^s$ eS $09^h\ 00^m\ 03.0^s$ Azimut zirka 38°
					Herdregion Japan, 37° N 136° E, nach U. S. C. G. S. 35.5° N. 134.2 E.
152	„ 11.	Z	—	0.2	eP $19^h\ 53^m\ 48.8^s$
		B	—	0.2	eP $19^h\ 53^m\ 49.7^s$
		N	—	0.2	eP $19^h\ 53^m\ 50.2^s$ nach U. S. C. G. S. 16.5° S 173° Ouest
153	„ 13.	Z	—	0.1	eP $13^h\ 32^m\ 16.0^s$
		B	—	0.1	eP $13^h\ 33^m\ 49.7^s$ e $13^h\ 35^m\ 17.0^s$
154	„ 14.	N	—	0.3	PKP $02^h\ 21^m\ 00.6^s$
		B	—	0.3	PKP $02^h\ 21^m\ 09.8^s$ e $02^h\ 28^m\ 51.0^s$ e $02^h\ 32^m\ 14.0^s$
		Z	—	0.3	PKP $02^h\ 21^m\ 11.9^s$ nur Vorläufer
		Ch	—	0.3	keine Zeitmarken!
					Wellington gibt P $02^h\ 04^m\ 40.0^s$, Herdregion New Caledonia $h = 230$ km.
155	„ 14.	Z	—	2.0	ePKP $04^h\ 07^m\ 04.8^s$
		N	—	2.0	ePKP $04^h\ 07^m\ 05.5^s$
		B	—	2.0	ePKP $04^h\ 07^m\ 06.3^s$
					Herddistanz sehr groß, Wellington gibt: eP $03^h\ 50^m\ 43.0^s$ Samoa-Inseln $h = 450$ km.
156	„ 14.	Z	—	0.2	ePKP $07^h\ 38^m\ 05.8^s$ gestört durch Bogenwechsel!
		B	—	0.2	ePKP $07^h\ 38^m\ 10.8^s$ e $07^h\ 38^m\ 57.0^s$ e $07^h\ 43^m\ 09.9^s$ e $07^h\ 47^m\ 37.0^s$
		N	—	0.2	e $07^h\ 40^m\ 53.5^s$
					Wellington gibt P $07^h\ 21^m\ 00.0^s$ $d = 17{,}0°$, $h = 100$—120 km, 26.0° S 175° W (Distanz von Zürich zirka 17 600 km).
157	„ 16.	Z	—	0.1	e $00^h\ 27^m\ 45.7^s$ Dilat.
		B	—	0.1	e $00^h\ 28^m\ 13.0^s$
		Ch	—	0.1	e $00^h\ 28^m\ 09.0^s$

Tabelle III (Fortsetzung)

Nr.	Datum	Station	Epizentralentfernung nach S–P	Ungefähre Dauer der Registr.	Phasen, Bemerkungen
	1943		km	Min.	
158	Sept. 17.	Ch	—	0.1	eP $03^h\ 41^m\ 22.3^s$ e $03^h\ 43^m\ 00.0^s$
		Z	—	0.1	eP $03^h\ 41^m\ 30.9^s$ Dilat. e $03^h\ 43^m\ 10.7^s$ Azimut 120°
		N	—	0.1	eP $03^h\ 41^m\ 34.5^s$
					vermutlich Tiefherdbeben.
159	„ 17.	Z	—	0.2	eP $10^h\ 28^m\ 51.0^s$ Dilat. keine Oberflächenwellen!
		B	—	0.2	eP $10^h\ 28^m\ 51.9^s$ e $10^h\ 29^m\ 33.0^s$
		Ch	—	0.2	eP $10^h\ 28^m\ 52.4^s$ Compr. e $10^h\ 28^m\ 53.6^s$ Dilat.
		N	—	0.2	eP $10^h\ 28^m\ 54.5^s$
					Wellington gibt P $10^h\ 15^m\ 05.0^s$ Salomon-Inseln $h = 100$ km.
160	„ 18.	Z	—	0.1	e $17^h\ 50^m\ 43.7^s$
161	„ 19.	Z	—	0.1	eP $09^h\ 18^m\ 38.3^s$ Compr.
		B	—	0.1	eP $09^h\ 18^m\ 39.1^s$ e $00^h\ 19^m\ 35.0^s$
		Ch	—	0.1	iP $09^h\ 18^m\ 40.7^s$ Compr.
		N	—	0.1	eP $09^h\ 18^m\ 41.2^s$
162	„ 22.	B	—	1.0	e $23^h\ 37^m\ 50.4^s$
		Z	—	1.0	ePKP $23^h\ 38^m\ 17.9^s$
		Ch	—	1.0	ePKP $23^h\ 38^m\ 19.6^s$ sehr große Herddistanz!
163	„ 23.	N	—	0.7	e $01^h\ 52^m\ 53.0^s$ e $02^h\ 28^m\ 56.8^s$
164	„ 23.	N	—	0.2	eP $15^h\ 13^m\ 04.0^s$
		B	—	0.4	eP $15^h\ 13^m\ 09.9^s$ e $15^h\ 13^m\ 39.0^s$
		Z	—	0.2	eP $15^h\ 13^m\ 13.8^s$ e $15^h\ 13^m\ 41.7^s$
		Ch	9400	0.5	eP $15^h\ 13^m\ 18.0^s$ Compr. e $15^h\ 13^m\ 47.7^s$ Dilat. eS $15^h\ 23^m\ 46.6^s$
165	„ 24.	Ch	—	0.5	eP $11^h\ 40^m\ 01.3^s$ Compr.
		Z	—	0.5	eP $11^h\ 40^m\ 05.4^s$ Compr. e $11^h\ 40^m\ 28.7^s$ e $11^h\ 42^m\ 00.7^s$
		B	—	0.5	eP $11^h\ 40^m\ 11.2^s$
		N	—	0.5	eP $11^h\ 40^m\ 14.8^s$ Tiefherdbeben!
166	„ 27.	Ch	—	0.1	eP $05^h\ 52^m\ 32.1^s$ Dilat.
		Z	—	0.1	eP $05^h\ 52^m\ 32.2^s$ Dilat.
		B	—	0.1	eP $05^h\ 52^m\ 34.0^s$
		N	—	0.1	eP $05^h\ 52^m\ 37.5^s$
167	„ 27.	Z	—	0.2	eP $22^h\ 23^m\ 37.0^s$ e $23^h\ 25^m\ 24.7^s$
		Ch	—	0.2	eP $22^h\ 23^m\ 37.3^s$ Compr. i $22^h\ 24^m\ 26.7^s$ Dilat.
		B	—	0.5	eP $22^h\ 23^m\ 37.7^s$ e $22^h\ 24^m\ 26.0^s$ i $22^h\ 28^m\ 29.0^s$
		N	—	0.2	eP $22^h\ 23^m\ 39.0^s$
					Wellington gibt: eP $22^h\ 06^m\ 32.0^s$, $d = 12.0^o$, $h = 70$ km, Herdregion Kermadecs-Inseln.
168	„ 30.	B	—	0.1	eP $23^h\ 42^m\ 29.1^s$ e $23^h\ 43^m\ 25.0^s$
169	Okt. 1.	B	—	0.1	e $06^h\ 43^m\ 10.0^s$
170	„ 1.	N	—	0.2	eP $18^h\ 02^m\ 35.4^s$
		B	—	0.2	eP $18^h\ 02^m\ 39.8^s$
		Z	—	0.2	eP $18^h\ 02^m\ 43.0^s$ Compr.
		Ch	—	0.2	eP $18^h\ 02^m\ 44.3^s$
171	„ 3.	N	—	0.2	eP $00^h\ 58^m\ 23.8^s$
		B	—	0.2	eP $00^h\ 58^m\ 29.8^s$ e $01^h\ 04^m\ 32.0^s$
		Z	—	0.2	eP $00^h\ 58^m\ 37.6^s$
		Ch	—	0.2	eP $00^h\ 58^m\ 40.0^s$ nach B. I. $38^o\ 16'$ N $26^o\ 31'$ W, $0 = 00^h\ 52^m$.
172	„ 3.	Z	—	0.2	e $21^h\ 07^m\ 43.7^s$
		B	—	0.2	e $21^h\ 16^m\ 08.4^s$
173	„ 4.	Ch	—	0.1	eP $01^h\ 47^m\ 36.8^s$
		Z	—	0.1	eP $01^h\ 47^m\ 47.8^s$
		B	—	0.1	eP $01^h\ 48^m\ 08.2^s$ e $01^h\ 49^m\ 07.0^s$
					event. auch Registrierung eines Nahebebens?
174	„ 4.	Z	—	0.2	ePKP $10^h\ 59^m\ 14.4^s$ Compr.
		Ch	—	0.1	ePKP $10^h\ 59^m\ 15.7^s$
		B	—	0.7	ePKP $10^h\ 59^m\ 16.0^s$ e $11^h\ 00^m\ 14.0^s$
		N	—	0.2	ePKP $10^h\ 59^m\ 17.8^s$
					Wellington gibt P $10^h\ 44^m\ 40.0^s$, $h = 120$ km, Herdregion Korallen-Meer.
175	„ 7.	Z	—	0.1	e $00^h\ 00^m\ 51.0^s$

Tabelle III (Fortsetzung)

Nr.	Datum	Station	Epizentralentfernung nach S-P	Ungefähre Dauer der Registr.	Phasen, Bemerkungen
	1943		km	Std.	
176	Oktober 7.	Ch	—	0.1	eP 15^h 31^m 47.0^s
		Z	—	0.1	eP 15^h 31^m 51.0^s
177	„ 11.	Z	—	0.1	iP 06^h 43^m 08.7^s Dilat.
		Ch	—	0.1	eP 06^h 43^m 09.5^s
		N	—	0.1	eP 06^h 43^m 12.2^s
178	„ 16.	Z	2100	0.3	iP 13^h 13^m 00.8^s Compr. eS 13^h 16^m 38.9^s Azimut 125^0
		B	—	0.3	iP 13^h 13^m 07.9^s Compr. Azimut 160^0
		N	—	0.3	iP 13^h 13^m 09.3^s Azimut 120^0
					Herd tiefer als normal, NE von Krêta, B. I. gibt 36^0 N 28^0 E, 0 = 13^h 08^m 42.0^s.
179	„ 21.	Z	—	0.1	ePKP 23^h 27^m 55.0^s
		Ch	—	0.7	ePKP 23^h 27^m 55.2^s
		B	—	0.7	ePKP 23^h 27^m 55.9^s e 23^h 31^m 21.0^s
					Wellington gibt P 23^h 13^m 20.0^s, zirka 15^0 S 162^0 E.
180	„ 23.	Z	—	0.1	e 01^h 14^m 59.6^s
181	„ 23.	Z	7280	1.0	eP 17^h 34^m 18.4^s Compr. ePP? 17^h 37^m 09.0^s eS 17^h 43^m 09.3^s Azimut 65^0
		B	7600	1.0	eP 17^h 34^m 22.8^s e 17^h 35^m 58.0^s eS 17^h 43^m 29.0^s
		N	7450	1.0	eP 17^h 34^m 25.6^s eS 17^h 43^m 25.0^s Azimut 60^0
		Ch	7270	1.0	keine Zeitmarken iS—P zirka 530.0^s, zirka 30^0 N 94^0 E.
182	„ 24.	Z	—	0.1	eP 13^h 52^m 29.4^s
		B	—	0.1	eP 13^h 52^m 31.4^s e 13^h 53^m 27.0^s
		Ch	—	0.1	eP 13^h 52^m 33.5^s
		N	—	0.1	eP 13^h 52^m 34.7^s
183	„ 24.	Z	—	0.3	ePKP 16^h 24^m 29.8^s Dilat.
		B	—	1.0	ePKP 16^h 24^m 31.1^s e 16^h 24^m 57.0^s ePP? 16^h 28^m 34.0^s
		N	—	1.0	ePKP 16^h 24^m 38.2^s
		Ch	—	0.4	ePKP 16^h 24^m 41.0^s eL 16^h 32^m 50.0^s
					Herd tiefer als normal; Wellington gibt P 16^h 09^m 20.0^s. Herdregion New-Caledonia h = 150 km.
184	„ 24.	Z	8450?	0.5	iP 23^h 34^m 43.1^s Compr. eS? 23^h 44^m 29.1^s keine L-Wellen
		B	—	0.2	iP 23^h 34^m 43.8^s Compr.
		Ch	—	0.2	iP 23^h 34^m 46.0^s
		N	—	0.2	iP 23^h 34^m 55.5^s Azimut 32^0
					Herd vermutlich tiefer als normal!
185	„ 27.	Z	—	0.5	eP 17^h 24^m 22.2^s
186	Nov. 2.	Ch	—	1.0	eP 18^h 26^m 35.7^s eL 19^h 04^m 40.0^s
		B	8600	1.0	eP 18^h 27^m 17.5^s eS 18^h 37^m 10.0^s
		N	—	1.0	e 18^h 32^m 53.2^s
		Z	—	1.0	eL 18^h 33^m 00.0^s
187	„ 3.	B	6920	1.0	eP 14^h 43^m 28.9^s eS 14^h 52^m 20.0^s e 14^h 53^m 30.0^s
		Z	7260	1.0	eP 14^h 43^m 30.4^s Compr. eS 14^h 52^m 40.2^s
		N	7330	1.0	eP 14^h 43^m 31.5^s eS 14^h 52^m 44.0^s
		Ch	7390	1.0	eP 14^h 43^m 34.5^s eS 14^h 52^m 49.7^s
					Azimut zirka 350^0, Herdregion Alaska.
188	„ 4.	B	—	0.1	e 06^h 21^m 32.9^s
189	„ 5.	B	—	0.2	eP 10^h 37^m 44.4^s e 10^h 38^m 00.0^s
		Z	—	0.2	eP 10^h 37^m 46.1^s
		N	—	0.2	eP 10^h 37^m 48.8^s
190	„ 6.	Z	13-15000	2.6	eP? 08^h 47^m 15.0^s ePKP 08^h 50^m 22.7^s ePP 08^h 51^m 45.5^s [ePPP 08^h 54^m 16.0^s ePS 09^h 01^m 50.0^s
		B	13-15000	2.6	eP? 08^h 47^m 44.0^s ePKP 08^h 50^m 22.0^s e 08^h 52^m 08.0^s [ePPP 08^h 54^m 27.0^s ePS 09^h 01^m 47.0^s
		N	—	2.6	ePKP 08^h 50^m 25.1^s ePS 09^h 01^m 46.0^s
		Ch	—	2.6	eP? 08^h 47^m 38.5^s ePKP 08^h 50^m 20.7^s e 08^h 52^m 00.7^s ePS 09^h 01^m 43.7^s
					sehr heftiges Beben, vermutlich im Gebiet der Salomonen?
191	„ 7.	Ch	—	0.1	e 07^h 55^m 01.9^s e 08^h 38^m 31.6^s
192	„ 9.	Z	8940	0.4	eP 11^h 58^m 46.8^s Compr. eS 12^h 08^m 56.8^s Azimut zirka 35^0
		Ch	8800	0.3	eP 11^h 58^m 48.5^s eS 12^h 08^m 53.7^s
		B	8900	0.5	eP 11^h 58^m 49.0^s eS 12^h 08^m 58.0^s
		N	—	0.2	eP 11^h 58^m 52.4^s Herdregion Nord-Japan, vermutlich tiefer als normal!
193	„ 12.	Ch	—	0.1	eP 05^h 23^m 23.8^s Compr.
		Z	—	0.1	eP 05^h 23^m 25.8^s

Tabelle III (Fortsetzung)

Nr.	Datum	Station	Epizentralentfernung nach S–P	Ungefähre Dauer der Registr.	Phasen, Bemerkungen
	1943		km	Min.	
194	Nov. 13.	Z	—	0.1	eP 19h 03m 39.4s Compr.
		Ch	—	0.1	eP 19h 03m 39.5s
		B	—	0.1	eP 19h 03m 39.8s
		N	—	0.1	eP 19h 03m 46.2s Tiefherdbeben!
195	„ 14.	N	—	0.1	eP 04h 10m 54.8s
		Z	—	0.1	nur schwache Spuren.
196	„ 15.	Ch	—	0.1	eP 11h 47m 06.0s e 11h 50m 29.0s
		Z	—	0.1	eP 11h 47m 13.7s
		B	—	0.1	eP 11h 47m 22.6s
		N	—	0.1	eP 11h 47m 23.2s
197	„ 16.	Z	—	0.1	e 07h 12m 39.7s
		Ch	—	0.1	e 07h 15m 29.3s Dilat.
198	„ 17.	Z	—	0.2	eP 15h 09m 35.4s e 15h 19m 00.0s
		B	—	0.2	eP 15h 09m 37.1s e 15h 19m 50.0s
		N	—	0.2	eP 15h 10m 01.8s
199	„ 20.	Ch	2000	0.3	eP 10h 05m 58.1s eS 10h 09m 24.6s
		Z	2100	0.3	eP 10h 06m 07.0s Dilat. eS 10h 09m 40.6s
		B	2160	0.3	eP 10h 06m 16.4s eS 10h 09m 56.0s Azimut 110°
		N	2220	0.3	eP 10h 06m 17.2s eS 10h 10m 00.0s Herdregion Anatolien!
200	„ 24.	Z	—	1.0	eP 13h 30m 02.6s ePP 13h 33m 18.5s
		B	10100	1.0	eP 13h 30m 12.3s eS 13h 41m 10.0s
		N	—	1.0	eP 13h 30m 15.3s
		Ch	—	1.0	eL 14h 02m 0.00s
201	„ 26.	Ch	9100	0.2	eP 21h 38m 16.2s eS 21h 48m 32.3s
		Z	9120	0.2	eP 21h 38m 18.5s Min.-Lücke eS 21h 48m 35.5s
		B	9150	0.5	eP 21h 38m 21.6s eS 21h 48m 41.0s
		N	—	0.2	eP 21h 38m 24.2s vermutlich Tiefherdbeben aus dem Gebiet von Japan?
202	„ 26.	Ch	—	1.0	eP 22h 24m 52.5s
		Z	2080	1.0	eP 22h 25m 00.1s Dilat. eS 22h 28m 30.0s Azimut 100—110°
		B	2240	1.0	eP 22h 25m 08.2s eS 22h 28m 53.0s eSS 22h 29m 27.0s Azimut 90°
		N	2480	1.0	iP 22h 25m 11.6s eS? 22h 29m 17.0s
		Br	—	1.0	keine Zeitmarken starke Zerstörungen im Gebiet NE von Ankara, Anatolien.
203	„ 27.	Ch	—	0.3	eP 02h 00m 01.6s
		Z	—	0.3	eP 02h 00m 06.9s Dilat.
		B	—	0.3	eP 02h 00m 14.7s e 02h 04m 08.0s vermutlich Nachstoß zu Nr. 202?
204	„ 27.	Ch	—	0.1	e 08h 14m 00.4s
205	„ 27.	Ch	—	0.2	eP 23h 33m 47.1s
		Z	—	0.2	eP 23h 33m 59.2s
		B	—	0.2	eP 23h 34m 06.5s
206	„ 28.	Z	—	1.5	eP 17h 22m 47.3s eL 17h 52m 00.0s
		B	—	1.0	eP 17h 22m 51.3s
		Ch	—	1.0	eP 17h 22m 52.8s eL 17h 51m 00.0s
		N	—	0.7	eP 17h 22m 56.3s sehr schwache Vorläufer
207	„ 28.	Z	—	0.2	eP 22h 02m 49.8s
		B	—	0.2	eP 22h 02m 50.7s
		Ch	—	0.2	eP 22h 02m 50.9s
		N	—	0.2	eP 22h 02m 52.4s
208	„ 29.	B	—	0.1	eP 18h 50m 47.1s
		Ch	—	0.1	eP 18h 50m 58.3s
		Z	—	0.1	eP 18h 51m 02.4s
		N	—	0.1	eP 18h 51m 14.0s
209	„ 30.	B	—	0.1	e 14h 36m 05.6s
210	Dez. 1.	Z	—	0.1	eP 06h 23m 38.9s Compr.
		Ch	—	0.1	eP 06h 23m 39.1s e 06h 37m 27.3s
		N	—	0.1	eP 06h 23m 42.5s
		B	—	0.1	eP 06h 23m 43.7s e 06h 26m 23.0s
					Wellington gibt P 06h 13m 43.0s New Guinea, h = 100 km.
211	„ 1.	N	10-11000	0.5	eP 10h 48m 00.3s eSKS 10h 58m 32.0s
		Z	10500	0.5	eP 10h 48m 04.7s epP 10h 48m 37.4s ePP 10h 51m 30.0s eSKS 10h 58m 30.2s
		B	10-11000	0.5	eP 10h 48m 06.0s ePP 10h 52m 01.0s eSKS 10h 58m 35.0s
		Ch	10000	0.5	eP 10h 48m 09.8s Min.-Lücke eS 10h 59m 03.0s
					Herdtiefe etwas größer als normal, zirka 100 km, Herdregion Pazifischer Ozean, westlich von Peru?

Tabelle III (Schluß)

Nr.	Datum	Station	Epizentralentfernung nach S–P	Ungefähre Dauer der Registr.	Phasen, Bemerkungen
	1943		km	Std.	
212	Dez. 2.	Ch	—	0.1	eP $02^h\ 14^m\ 01.4^s$ Dilat.
		B	—	0.1	eP $02^h\ 14^m\ 01.9^s$
					Wellington gibt iP $01^h\ 57^m\ 03.0^s$, südl. Kermadecs-Inseln, h = 100 km.
213	„ 2.	Ch	—	1.0	eP $05^h\ 21^m\ 43.2^s$ eL $05^h\ 54^m\ 26.0^s$
		Z	9500	1.0	eP $05^h\ 21^m\ 46.7^s$ Compr. ePP $05^h\ 25^m\ 11.7^s$ eS $05^h\ 32^m\ 22.2^s$
		B	9900	1.0	eP $05^h\ 21^m\ 49.9^s$ eS $05^h\ 32^m\ 41.0^s$
		N	—	1.0	eP $05^h\ 21^m\ 51.7^s$ Azimut zirka 85°, vermutliche Herdregion Sumatra?
214	„ 3.	Ch	—	0.1	eP $02^h\ 13^m\ 00.9^s$
		Z	—	0.1	eP $02^h\ 13^m\ 07.3^s$
		B	—	0.1	eP $02^h\ 13^m\ 12.7^s$
		N	—	0.1	eP $02^h\ 13^m\ 17.5^s$
215	„ 3.	Ch	—	0.1	eP $04^h\ 56^m\ 51.4^s$ Dilat.
		B	—	0.1	eP $04^h\ 57^m\ 05.2^s$
216	„ 3.	Ch	10000	0.3	eP $07^h\ 05^m\ 02.3^s$ eSKS $07^h\ 15^m\ 14.8^s$
		Z	10000	0.3	eP $07^h\ 05^m\ 04.4^s$ Compr. eSKS $07^h\ 15^m\ 12.9^s$
		B	10000	0.3	eP $07^h\ 05^m\ 07.2^s$ eSKS $07^h\ 15^m\ 19.0^s$
		N	—	0.5	eP $07^h\ 05^m\ 11.5^s$
					Azimut zirka 72°, Herdregion Südchinesisches Meer westlich von Luzon.
217	„ 5.	Ch	—	0.1	eP $03^h\ 24^m\ 20.4^s$ Compr.
		Z	—	0.1	eP $03^h\ 24^m\ 24.5^s$ Min.-Lücke
		B	—	0.1	eP $03^h\ 24^m\ 29.6^s$ Compr.
		N	—	0.1	eP $03^h\ 24^m\ 33.4^s$
218	„ 6.	Ch	—	0.1	e $07^h\ 21^m\ 47.8^s$
		Z	—	0.1	e $07^h\ 21^m\ 47.8^s$ Dilat.
219	„ 7.	N	—	0.2	eP $01^h\ 19^m\ 56.2^s$
		B	—	0.2	eP $01^h\ 19^m\ 58.6^s$ Compr.
		Z	—	0.2	eP $01^h\ 20^m\ 02.1^s$ Compr.
		Ch	—	0.2	eP $01^h\ 20^m\ 07.4^s$
220	„ 8.	B	—	0.1	eP $19^h\ 51^m\ 29.2^s$ Compr.
		Z	—	0.1	eP $19^h\ 51^m\ 40.0^s$ Compr.
		Ch	—	0.1	eP $19^h\ 51^m\ 46.0^s$
221	„ 12.	Ch	—	0.1	eP $16^h\ 02^m\ 22.9^s$ Compr.
		Z	—	0.1	eP $16^h\ 02^m\ 26.8^s$ Compr.
		B	—	0.1	eP $16^h\ 02^m\ 33.2^s$
222	„ 17.	B	—	0.1	e $14^h\ 06^m\ 37.4^s$
223	„ 21.	N	—	0.1	eP $13^h\ 57^m\ 48.8^s$
		B	—	0.1	eP $13^h\ 57^m\ 52.3^s$ e $14^h\ 00^m\ 35.0^s$
		Ch	—	0.1	eP $13^h\ 57^m\ 55.0^s$
		Z	—	0.2	eP $13^h\ 57^m\ 55.2^s$ Compr. e $14^h\ 00^m\ 36.0^s$
224	„ 22.	N	—	0.5	eP $13^h\ 04^m\ 35.6^s$
		B	—	0.1	eP $13^h\ 04^m\ 38.4^s$
225	„ 23.	N	—	0.1	e $16^h\ 07^m\ 33.1^s$
		B	—	0.1	e $16^h\ 07^m\ 34.5^s$
		Z	—	0.1	e $16^h\ 07^m\ 40.4^s$
		Ch	—	0.1	e $16^h\ 07^m\ 44.1^s$ Compr.
226	„ 23.	Ch	—	2.0	ePKP $19^h\ 19^m\ 14.4^s$ eL $20^h\ 02^m\ 23.0^s$
		Z	14500	2.0	ePKP $19^h\ 19^m\ 17.4^s$ ePP $19^h\ 21^m\ 21.0^s$ schwache L-Wellen!
		N	—	2.0	ePKP $19^h\ 19^m\ 21.7^s$
		B	14–15000	2.0	ePKP $19^h\ 19^m\ 24.0^s$ ePP $19^h\ 21^m\ 31.0^s$ e $19^h\ 23^m\ 42.0^s$ e $19^h\ 25^m\ 33.0^s$
					Wellington gibt P $19^h\ 07^m\ 21.0^s$, Herdregion Salomonen; h = 90 km.
227	„ 24.	B	—	0.1	eP $01^h\ 11^m\ 45.8^s$
		Z	—	0.1	eP $01^h\ 11^m\ 49.0^s$
		Ch	—	0.1	eP $01^h\ 11^m\ 54.4^s$
228	„ 27.	B	—	0.1	e $00^h\ 40^m\ 09.8^s$
229	„ 28.	Z	—	0.1	e $15^h\ 04^m\ 38.6^s$
		N	—	0.1	e $15^h\ 04^m\ 47.5^s$
		Ch	—	0.1	e $15^h\ 05^m\ 08.9^s$ evtl. auch Registrierungen eines Nahebebens!
230	„ 30.	Z	—	0.1	e $07^h\ 57^m\ 11,0^s$

In der Schweiz im Jahre 1943 verspürte Erdbeben.

M.E. Zeit

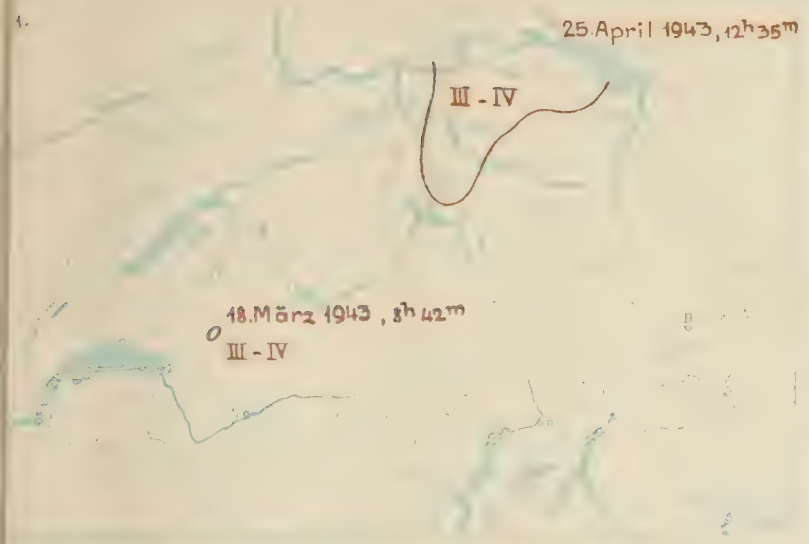

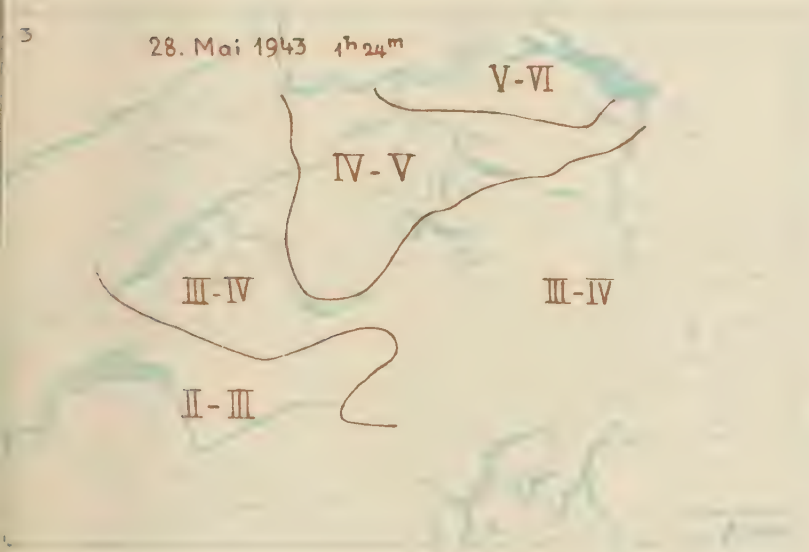

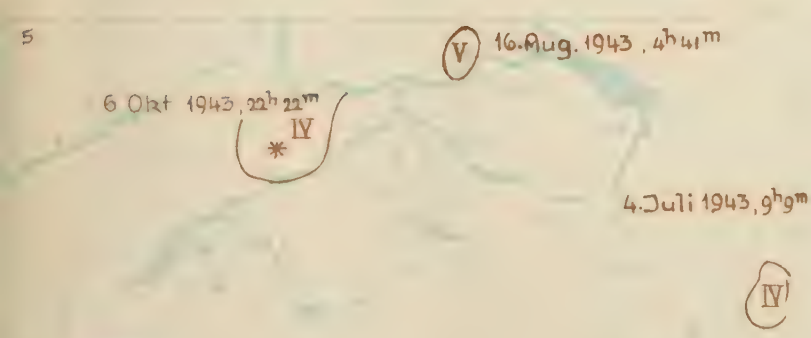

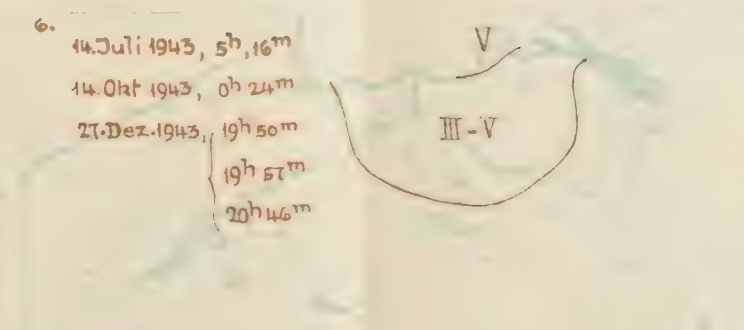

3. Über die Wellenlängenabhängigkeit der Absorption von elastischen Raumwellen

A. Einfluß der elastischen Hysterese.

In nicht homogenen, und nicht vollkommen elastischen Medien unterliegen Störungen des Gleichgewichtes bei ihrer Ausbreitung langsamen Veränderungen. So wandelte sich z. B. der Habitus der Seismogramme mit wachsender Distanz vom Erdbebenherd vollkommen um. Die Registrierungen in unmittelbarer Nähe des Herdes sind gewöhnlich zeitlich sehr gedrängt. Alle beim komplizierten Herdvorgang entstehenden Schwingungsperioden sind einander noch überlagert. Im Seismogramm scheinen die kurzen Schwingungen vorzuherrschen, was durch die Vergrößerungsverhältnisse vieler Seismographen noch begünstigt wird. Bei seiner Ausbreitung durch das Erdinnere wird dann das Wellenpaket infolge von Dispersion und Reflexion langsam modifiziert, vor allem in die Länge gezogen. Außerdem beginnen die langen Perioden zu überwiegen. Diese Erscheinungen werden auch bei der Wellenausbreitung in anderen elastischen Medien beobachtet, z. B. bei der Schallausbreitung in der Atmosphäre oder bei der Meeresdünung.

Die Verlängerung der Perioden mit wachsender Distanz von der Quelle kann, worauf vor allem K. Sezawa und B. Gutenberg hingewiesen haben[1] auf elastische Hysterese zurückgeführt werden. B. Gutenberg gibt als Abhängigkeit der Schwingungsdauer T von der Quelldistanz Δ den Ausdruck:

$$T = \sqrt{T_0^2 + \frac{a\Delta}{v^3}} \qquad (1)$$

T_0 bedeutet die Schwingungsdauer in der Quelle, v die Ausbreitungsgeschwindigkeit der Welle und a eine von der Viskosität des Mediums abhängige Konstante. Der Ausdruck gilt nur streng für Planwellen. Nach B. Gutenberg[2] beschreibt er aber die Verhältnisse bei den Erdbebenoberflächenwellen, wenigstens qualitativ, ganz ordentlich, und er leistet ferner auch ganz gute Dienste als empirische Formel bei der Darstellung der Beobachtungsdaten von Raumwellen.

B. Einfluß der Absorption auf den Seismogrammhabitus.

Sicher spielt beim Wellenausbreitungsvorgang im Erdkörper die unvollkommene Elastizität des Mediums eine Rolle, besonders dann, wenn die Wellenwege sehr lang werden. Anderseits ist aber, worauf schon immer hingewiesen worden ist, für das verschiedene Aussehen der Seismogramme in den verschiedenen Herddistanzen auch weitgehend die große Wellenlängenabhängigkeit der Absorption mitverantwortlich. Bis heute existieren in der Literatur sozusagen keine quantitativen Absorptionsmessungen für elastische Raumwellen. Die folgenden Seismogramme Fig. 2—5 geben die NS-Komponente zweier Beben aus nahezu der gleichen Herdgegend, registriert in Zürich und Neuchâtel. Zur geographischen Orientierung sind in Fig. 1 die Bebenherde sowie die Seismographenstationen eingetragen.

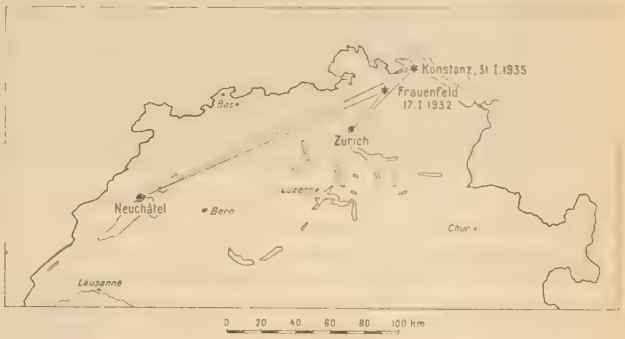

Fig. 1.

Die Registrierungen sind in Originalgröße reproduziert. Sie stammen von den Universalseismographen Quervain-Piccard der beiden Stationen. Diese Pendel besitzen fast übereinstimmende Instrumentalkonstanten. Ebenso sind die von den Wellen durchlaufenen Wege wenig verschieden. Es handelt sich um den Untergrund des Molasselandes, bestehend aus Tertiär-, Mesozoikum- und Grundgebirge in normaler Lagerung. Da ferner, von den Herden aus gesehen, die Azimute der Stationen fast gleich sind, so wird hier auch eine eventuelle Asymmetrie in der Energieausstrahlung vom Herde ohne großen Einfluß sein.

Beim Beben vom 17. Januar 1932, Fig. 2, 3, sind in Zürich und Neuchâtel nur ganz kurze Wellen von 0,1 bis 0,2 Sekunden Schwingungsdauer aufgezeichnet worden. Beim zweiten Beben (Fig. 4 und 5) sind die Perioden bedeutend länger, etwa 0,7—1,0 Sekunden. Die längern, kurz nach der S-Phase folgenden Schwingungen sind vermutlich schon Oberflächenwellen. Ein Unterschied in den mittleren Periodenlängen ließ sich zwischen Zürich und Neuchâtel in beiden Fällen nicht mit Sicherheit feststellen. Es scheint jedoch, daß die Perioden auf der entfernteren Station Neuchâtel im Mittel eher etwas länger sind. *Augenfällig ist dagegen der Unterschied im Amplitudenverhältnis.* Während in Zürich die Amplituden der P-Phasen bei beiden Beben (Fig. 2, 4) von der gleichen Größenordnung sind, läßt sich in Neuchâtel die Ampli-

[1] *B. Gutenberg:* Handbuch der Geophysik, Abschnitt Theorie der Erdbebenwellen;
K. Sezawa: On the decay of waves in visco-elastic solid bodies. Bull. of the Earthquake Research Institute, Tokio. Vol. III, 1927.
[2] Earthquake Investigations in California 1934—1935. Pag. 221.

tude von P (in Fig. 3) überhaupt nicht mehr sicher messen. Bei den S-Phasen beträgt dieses Verhältnis beim Beben vom 17. Januar 1932 etwa $\frac{A_N}{A_Z} \sim 0{,}02$. Beim Beben vom 31. Januar 1935 dagegen ist $\frac{A_N}{A_Z} \sim 0{,}3$, was ganz andere Absorptionsverhältnisse für die verschiedenen Wellenlängen vermuten läßt.

Für eine größere Anzahl gut registrierter Beben aus der östlichen sowie aus der westlichen Molasse wurde versucht, die Absorption der Raumwellen näher zu bestimmen. Es handelt sich also im wesentlichen immer um das gleiche Medium, das Grundgebirge zwischen Zürich und Neuchâtel, der relative Anteil der sedimentären Schichten ist klein. Bedeuten A_Z und A_N die Amplituden der Bodenbewegung in Zürich, bzw. Neuchâtel, so gilt in erster Näherung für räumliche Ausbreitung die Relation:

$$\frac{A_N}{A_Z} = \frac{\Delta_Z}{\Delta_N} e^{-\frac{\alpha}{2}(\Delta_N - \Delta_Z)} \qquad (2)$$

Δ_Z und Δ_N sind die entsprechenden Stationsentfernungen vom Herd und α bedeutet der Absorptionskoeffizient pro km. Das Beobachtungsmaterial wurde zweimal unabhängig voneinander vermessen. Das eine Mal wurden aus einer größeren Serie aufeinanderfolgender Zacken mittlere Amplituden bestimmt. Bei der zweiten Vermessung wurden einzelne markante Wellen, wie z. B. die ersten Einsätze, vermessen. Bei beiden Verfahren ergaben sich innerhalb der Streuung die gleichen Absorptionskoeffizienten. Für α zeigte sich eine deutliche Abhängigkeit von der Wellenlänge. In Fig. 4 sind die Resultate

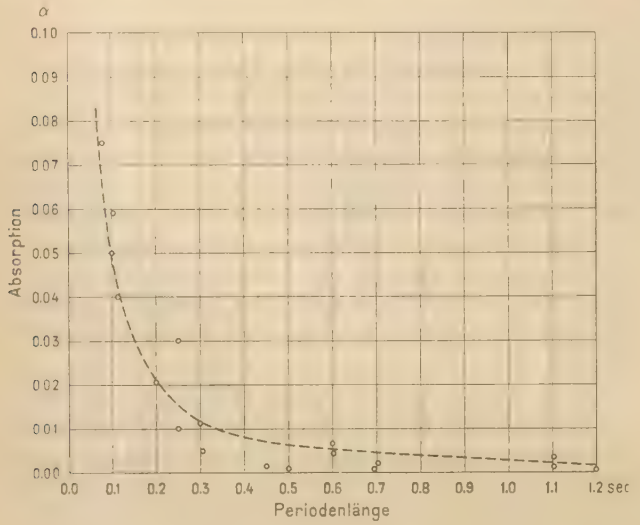

Fig. 6.

dargestellt. Die Streuung ist allerdings, vermutlich infolge Reibungseinflüsse recht beträchtlich. Dann ist bei den unregelmäßigen Bebenschwingungen, neben der Schwierigkeit der Definition der Periode, auch die Registriergeschwindigkeit von 90, bzw. 60 mm pro Minute noch fast zu klein, denn ganz kurze Schwingungen werden zu wenig aufgelöst. Es war ferner auch nicht möglich, mit Sicherheit zwischen den P- und S-Wellen einen Unterschied in der Absorption festzustellen. Für beide Wellentypen ergaben sich innerhalb der Streuung fast die gleichen α-Werte. Besonders unsicher wird α für die Wellenlängen mit 0,8—1,2 Sekunden Schwingungsdauer. In einzelnen Fällen ergaben sich für α sogar kleine negative Werte. Es scheint, daß für diese Wellenlängen, die Distanz zwischen Zürich und Neuchâtel noch fast zu klein ist, um bei Rußregistrierung genügende Beobachtungsgenauigkeit zu erlangen.

C. Vergleich mit anderwärts bestimmten Absorptionskoeffizienten.

In einer neuern Arbeit hat O. Förtsch [3] an Hand eines umfangreichen Materials die Frequenzabhängigkeit der Absorption untersucht. Seine Beobachtungsgrundlagen stammen teilweise von weiter zurückliegenden Versuchen des geophysikalischen Institutes in Göttingen, teilweise auch von neuen Experimenten, die dieses Institut in Zusammenarbeit mit der Gesellschaft für Bodenmechanik zum Zwecke von Baugrunduntersuchungen durchgeführt hat. Mittels Schwingmaschinen wurden auf dem zu untersuchenden Boden elastische Wellen von regelmäßigem Habitus erzeugt. Mit transportablen Seismographen wurden diese Erschütterungen in den verschiedensten Distanzen und Azimuten vermessen. Nach Förtsch ist neben der Ausbreitungsgeschwindigkeit auch der Absorptionskoeffizient der Wellen ein geeignetes Maß für die Charakterisierung der elastischen Verhältnisse des Untergrundes. Nur darf man für diesen Zweck nicht wie bisher die Absorption pro Meter oder pro Kilometer betrachten. Diese Größen sind stark von der Frequenz abhängig. Dagegen erweist sich, nach theoretischen Überlegungen über das Wesen der Absorption sowie nach umfangreichen Beobachtungen, die Absorption pro Wellenlänge als eine für das Medium typische Konstante. Nur für Frequenzen in der Nähe der Eigenschwingung des Untergrundes ergeben sich wesentliche Abweichungen von diesem Gesetz. Alle diese künstlich erzeugten Wellen zeigten eine flächenhafte Ausbreitung, denn das Amplitudenverhältnis genügt nicht dem Ausdruck (2), sondern besser einer Formel von der Form:

$$\frac{A_N}{A_Z} = \sqrt{\frac{\Delta_Z}{\Delta_N}}\, e^{-\frac{\alpha}{2}(\Delta_N - \Delta_Z)} \qquad (3)$$

Die so bestimmten Absorptionskoeffizienten beziehen sich also nur auf die alleräußersten, relativ stark absorbierenden Schichten der Erdkruste. Es handelt sich um junge sedimentäre Bildungen. Die Absorptionskoeffizienten pro Wellenlänge sind für solche Medien relativ hoch. Zum Vergleich mit unseren Beobachtungen besser geeignet sind die zahlreichen älteren Messungen bei Oberflächenwellen starker Fernbeben. Bei diesen Wellentypen fließt die Energie auch zur Hauptsache in Grundgebirge. Besonders zweckmäßig sind die sogenannten Wiederkehrwellen. Diese Wellengruppen sind im gleichen Seismogramm enthalten, so daß die instrumen-

[3] *O. Förtsch:* Ableitung des von der Frequenz unabhängigen Absorptionskoeffizienten aus Maschinenschwingungen, «Zeitschrift für Geophysik», Jahrgang 16, Heft 1/2, 1940.

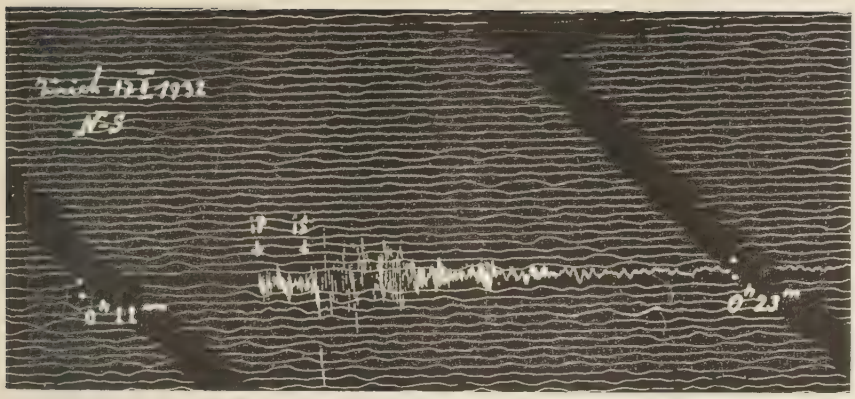

Fig. 2. Zürich NS 17. I. 1932.

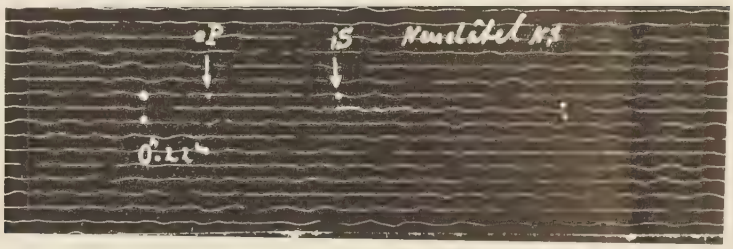

Fig. 3. Neuchâtel NS 17. I. 1932.

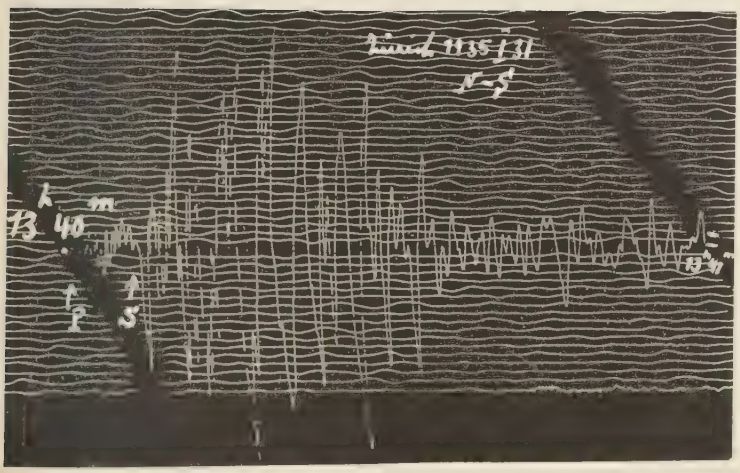

Fig. 4. Zürich NS 31. I. 1935.

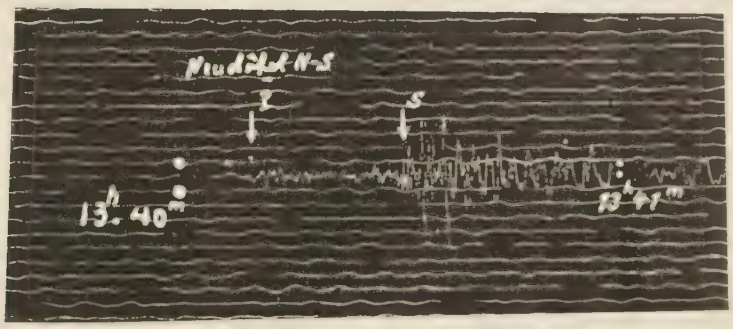

Fig. 5. Neuchâtel NS 31. I. 1935.

tellen Fehlerquellen sowie die Untergrundseinflüsse beim Ausmessen minimal werden. Dann sind auch die Wellenwege sehr lang, was die Genauigkeit erhöht. B. Gutenberg gibt im «Handbuch der Geophysik», Abschnitt I, Theorie der Erdbebenwellen, eine Zusammenstellung der von den verschiedenen Autoren bestimmten Absorptionskoeffizienten [4]. Für einen ganzen Umlauf um die Erde gilt der mittlere Wert $\alpha = 0{,}00028$ pro km. Die regionalen Unterschiede sind bedeutend, so gilt z. B. für den Atlantischen Ozean $\alpha = 0{,}00013$, für die pazifischen Randgebiete dagegen $\alpha = 0{,}00050$ pro km. Es handelt sich dabei um Wellen mit Schwingungsperioden von im Mittel etwa 20 Sekunden. In diesem Frequenzbereich ist also die Absorption pro km viel kleiner als die von uns bestimmten Werte, in Fig. 6.

Aus der interpolierten, punktierten Kurve der Fig. 6 sind in der zweiten Zeile der folgenden Tabelle für einige Perioden die mittleren Absorptionskoeffizienten entnommen. Daraus wurden die entsprechenden Absorptionen pro Wellenlänge errechnet. Da die Streuung der α-Werte groß ist, wurde die Rechnung mit $v_p = 5{,}6$ km/sec. und $v_s = 3{,}3$ km/sec. durchgeführt.

Tabelle.

T_0	0.1–0.2^s	0.4–0.5^s	0.7–0.8^s	1.0–1.1^s	20.0^s
α	0.030	0.008	0.004	0.002	0.00017
$\alpha \cdot T_0 \cdot v_p$	0.025	0.020	0.017	0.012	0.010
$\alpha \cdot T_0 \cdot v_s$	0.015	0.012	0.010	0.007	

In der letzten Kolonne stehen die entsprechenden Werte für die Oberflächenwellen durch Eurasien ($v = 3{,}0$ km/sec. nach B. Gutenberg «Theorie der Erdbebenwellen», Seite 254). Alle diese Zahlen für die Absorptionskoeffizienten pro Wellenlängen *sind nun ungefähr von der gleichen Größenordnung, obschon es sich um ganz verschiedene Frequenzbereiche handelt*, und es scheint, daß die Resultate von Förtsch sich auch für das Grundgebirge wenigstens in erster Näherung bestätigen.

[4] *G. Angenheister:* Seismometrische Registrierungen in Göttingen 1905, «Göttinger Nachrichten», 1906; *B. Galitzin:* Vorlesungen über Seismometrie, Teubner, Leipzig, 1913; *O. Meißner:* Seismom. Beobachtungen in Potsdam, 1913; *B. Gutenberg:* Bearbeitung von Aufzeichnungen einiger Weltbeben, Abhandlung der Senkenberg. Naturf. Gesellschaft. Band 40, Heft I.

Zürich, im Januar 1944.

Nr. 6

Osservatorio Ticinese Locarno-Monti

Beobachtungen / Osservazioni 1943

Das für das Jahr 1943 durchgeführte Beobachtungsprogramm zeigt gegenüber dem der vorhergehenden Jahre keine Änderung. Neben den Beobachtungen und Messungen der Elemente einer meteorologischen Station I. Ordnung wurden die Untersuchungen über Sonnenstrahlung (direkte Strahlung, Globalstrahlung, Ultraviolettstrahlung), Abkühlungsgröße und luftelektrische Verhältnisse fortgesetzt. Die Leitung dieser Arbeiten lag in den Händen von Herrn Dr. W. Brückmann.

In der Mitteilung der Beobachtungen lassen wir schon für das Berichtsjahr 1943 eine Änderung eintreten. Diese bezieht sich in erster Linie auf das klimatologische Material. Es erscheint beispielsweise zweckmäßig, Auszählungen der Häufigkeit gewisser meteorologischer Größen erst zusammenfassend nach einer längeren Beobachtungszeit vorzunehmen und darzustellen und nicht schon für die Beobachtungen eines Jahres. Wir haben darum in dem vorliegenden Bericht diese Tabellen nicht mehr aufgenommen. Die wichtigsten meteorologischen Daten von Locarno-Monti finden sich in den «Monats- und Jahresübersichten sämtlicher schweizerischer meteorologischen Stationen», in den «Ergebnissen der Registrierung der Sonnenscheinautographen» sowie in den «Ergebnissen der täglichen Niederschlagsmessungen». An Tabellen bringen wir wie bisher die folgenden:

Totalstrahlung der Sonne,
Globalstrahlung (Strahlung von Sonne + Himmel),
Abkühlungsgröße.

Da ferner die Messungen der luftelektrischen Verhältnisse in der bisher durchgeführten Form als im wesentlichen abgeschlossen gelten können, sehen wir auch hier von einer Wiedergabe der einzelnen Messungen ab.

Wir beabsichtigen, den durch diese Einsparung gewonnenen Raum — wenn immer möglich — für die Darstellung unserer wissenschaftlichen Untersuchungen zu verwenden. So erscheint in diesem Jahr eine Arbeit von Fl. Ambrosetti über Ergebnisse der luftelektrischen Messungen in Locarno-Monti, während der Unterzeichnete das Problem der Konstanz des Eichfaktors beim Aktinographen Fueß-Robitzsch behandelt.

Locarno-Monti, den 15. September 1944.

OSSERVATORIO TICINESE
Chr. Thams.

Radiazione totale del sole / Totalstrahlung der Sonne

Pireliometro / Pyrheliometer Moll-Gorczynski

1943 — Ora: ora locale, Zeit: Ortszeit, — h: altezza del sole, Sonnenhöhe, — I_T: intensità / Intensität in gcal · cm^{-2} · min^{-1} — **Locarno-Monti**

Datum	Ora/Zeit	h	I_T
9. I.	10h48	19.8°	1.188
	10h59	20.4	1.199
	11h27	21.3	1.231
	12h27	21.4	1.245
	13h50	17.2	1.198
	14h00	16.4	1.149
16. I.	9h48	16.4°	1.094
	10h05	17.9	1.102
	13h12	20.7	1.210
	13h22	20.1	1.197
25. I.	11h22	24.0°	1.213
3. II.	11h20	26.5°	1.296
	13h46	22.7	1.298
5. II.	9h11	16.9°	1.122
19. II.	11h28	31.9	1.297
	13h29	29.0	1.282
24. II.	10h58	32.4	1.260
	11h09	33.0	1.273
	13h20	31.3	1.295
	13h34	30.3	1.281
	14h43	23.2	1.207
	14h52	22.2	1.169
3. III.	10h59	35.0°	1.203
	13h22	33.6	1.223
	13h32	32.8	1.199
	14h42	25.5	1.151
30. III.	11h28	46.8°	1.316
	11h36	47.0	1.303
	14h20	37.6	1.229
	14h32	36.0	1.214
3. IV.	10h53	46.6	1.282
	11h06	47.4	1.285
8. V.	7h32	28.0	1.059
	7h44	30.0	1.096
	7h50	31.0	1.128
	9h36	48.1	1.262
	9h43	49.1	1.270
10. V.	9h43	49.7	1.344
	9h53	51.0	1.362
	10h19	54.5	1.411
12. V.	7h41	30.2°	1.037
	7h50	31.8	1.050
	8h34	39.2	1.099
	9h48	50.9	1.184
	10h01	52.6	1.211
	10h52	58.5	1.233
	11h01	59.2	1.219
	11h31	61.1	1.300
	11h42	61.7	1.273
	13h40	55.0	1.184
	13h52	53.5	1.184
	16h06	32.5	1.018
	16h19	30.2	1.007
13. V.	8h16	36.5	0.991
	8h24	37.8	1.035
	9h47	51.0	1.047
	9h56	52.1	1.066
	10h41	57.8	1.071
	10h48	58.4	1.071
	11h40	61.9	1.061
18. V.	9h27	48.8	1.028
	9h36	50.1	1.049
	9h43	51.2	1.056
	11h06	61.0	1.094
	11h14	61.5	1.084
	13h47	55.4	1.066
	13h59	53.7	1.066
	15h42	37.6	0.937
25. V.	10h04	55.2°	1.340
	10h18	57.0	1.364
	11h24	63.5	1.374
	11h32	63.9	1.389
26. V.	13h44	57.0°	1.262
	13h58	55.1	1.271
	14h24	51.3	1.260
27. V.	9h36	51.6	1.230
	9h42	52.5	1.230
28. V.	7h26	30.0°	1.105
26. VI.	10h30	61.0	1.173
	10h36	61.7	1.205
	13h15	62.7	1.228
	13h23	61.8	1.224
1. VII.	10h40	62.0°	1.138
	10h52	63.3	1.133
10. VIII.	7h48	30.0°	1.122
	7h56	31.3	1.140
	8h40	38.6	1.207
	8h50	40.3	1.207
	9h52	49.5	1.239
	10h08	51.7	1.242
	10h52	56.4	1.260
	11h06	57.5	1.230
	11h29	59.0	1.247
	11h39	59.3	1.256
	13h08	56.4	1.247
	13h14	55.9	1.244
	14h11	49.1	1.211
	14h24	47.4	1.207
	15h04	41.3	1.184
	15h16	39.3	1.164
	15h57	32.5	1.107
	16h19	28.7	1.070
17. VIII.	11h20	56.4	0.780
	11h28	56.9	0.806
23. VIII.	9h47	45.5°	1.040
	9h56	46.7	1.069
	10h38	51.4	1.115
	10h48	52.3	1.130
	11h26	54.9	1.117
	11h34	55.0	1.120
	13h04	52.9	1.137
	13h12	52.2	1.136
	14h15	45.1	1.084
	14h26	43.7	1.092
	15h34	33.3	1.086
	15h42	32.1	1.071
	16h50	20.5	0.864
30. VIII.	8h18	30.2	1.094
	8h28	31.9	1.094
	9h15	39.1	1.130
	9h22	40.0	1.153
	10h16	47.0	1.166
	10h28	48.1	1.161
	11h16	52.0	1.184
	11h21	52.1	1.200
31. VIII.	10h32	48.1°	1.273
	10h42	49.0	1.264
	12h17	52.5	1.303
	12h28	52.1	1.309
	13h33	47.6	1.261
	13h40	47.0	1.254
	14h58	36.8	1.277
	15h12	34.7	1.256
1. IX.	6h56	15.9	0.959
	7h02	16.9	0.985
	9h15	38.5	1.218
	9h24	39.7	1.229
	10h21	46.9	1.236
	10h32	47.9	1.239
	11h21	51.5	1.298
	11h26	51.6	1.298
	13h09	49.5	1.245
	13h19	48.6	1.247
	14h15	42.6	1.230
	14h30	40.5	1.214
	15h03	35.8	1.149
	15h10	34.7	1.148
	15h13	34.3	1.131
	15h55	27.6	1.013
	16h03	26.3	1.007
	16h44	19.3	0.878
6. IX.	7h40	22.0	0.914
	7h48	23.3	0.954
	8h43	32.2	1.059
	8h54	33.9	1.105
	10h00	42.8	1.161
	10h06	43.5	1.159
	11h01	48.5	1.202
	11h08	48.9	1.229
	11h28	50.0	1.230
	11h37	50.1	1.223
20. IX.	13h42	39.9°	1.304
	13h52	38.9	1.282
	14h40	33.2	1.249
	14h49	31.9	1.266
	15h41	24.3	1.197
	15h50	22.9	1.184
24. IX.	9h17	31.9°	1.079
	9h24	32.8	1.107
	10h17	38.9	1.151
	10h21	39.3	1.159
	11h23	43.3	1.195
	11h29	43.6	1.203
	13h58	37.3	1.127
	14h07	36.3	1.110
	15h48	22.3	0.959
4. X.	8h01	17.1	0.892
	8h08	18.2	0.930
	9h12	27.4	1.061
	9h19	28.3	1.086
	10h54	37.6	1.183
	11h02	38.0	1.189
	11h52	39.7	1.207
	14h04	32.7	1.154
	14h14	31.5	1.131
	16h14	14.8	0.806
	16h23	13.3	0.779
5. X.	11h32	38.9°	1.209
	11h40	39.1	1.233
21. X.	11h46	33.2°	1.199
	11h54	33.3	1.200
8. XI.	11h18	26.7°	1.256
	11h26	27.0	1.239
	14h15	20.4	1.133
	14h22	19.6	1.116
9. XI.	14h08	20.8°	1.173
	14h21	19.6	1.151
10. XI.	10h39	24.2	1.050
	10h46	24.6	1.068
	11h37	26.6	1.105
	11h43	26.7	1.097
	13h25	24.0	1.071
	13h32	23.5	1.069
	14h52	15.9	0.889
	15h12	13.4	0.806
	15h18	12.6	0.789
15. XI.	10h42	23.1°	1.228
	10h48	23.5	1.255
	12h48	24.6	1.276
	12h54	24.4	1.269
	14h04	19.7	1.205
	14h15	18.7	1.166
17. XI.	9h40	17.7°	0.986
	9h46	18.3	1.024
	11h16	24.3	1.138
	11h23	24.5	1.138
26. XI.	10h05	18.2°	1.166
	10h12	18.9	1.203
29. XI.	10h11	18.1°	1.080
	10h17	18.6	1.074
	11h25	22.0	1.156
	11h36	22.2	1.146
	13h38	19.0	1.079
	13h49	18.0	1.037
30. XI.	9h49	16.2°	1.100
	9h56	16.7	1.094
1. XII.	9h59	16.8°	1.107
	10h08	17.6	1.146
	10h56	20.7	1.194
	11h02	20.9	1.199
2. XII.	10h37	19.6°	1.133
	10h44	19.9	1.118
14. XII.	10h50	18.8°	1.090
	11h24	20.1	1.094
	11h31	20.3	1.095
	13h44	16.7	1.063
	13h56	15.8	1.059
24. XII.	11h18	19.8°	1.141
	11h24	19.9	1.177
	13h27	17.6	1.180
	13h38	16.9	1.149

Radiazione totale del sole più cielo / Totalstrahlung von Sonne + Himmel

(Somme giornaliere / Tagessummen, in cal · cm^{-2}) Attinografo / Aktinograph Robitzsch

1943 (Vorläufige Werte / Valori provvisori — Siehe nachfolgende Arbeit / Vedi lavoro qui sotto.) **Locarno-Monti**

	I	II	III	IV	V	VI	VII	VIII	IX	X	XI	XII
1	174	53	445	472	143	472	682	509	574	201	68	223
2	97	106	315	590	97	528	641	566	419	399	90	220
3	223	329	443	612	106	658	665	520	363	438	285	34
4	235	329	29	598	167	753	690	281	450	440	201	48
5	211	356	341	569	298	724	620	574	547	426	2	51
6	247	319	353	431	63	574	341	503	518	351	288	70
7	140	99	317	537	431	697	695	590	469	363	181	34
8	174	353	465	474	554	552	235	631	317	324	295	194
9	240	73	426	615	58	465	728	600	334	317	310	155
10	174	73	424	615	728	600	704	644	68	157	290	165
11	85	380	365	578	610	675	639	484	394	346	123	58
12	31	353	341	549	673	716	685	593	380	215	227	90
13	237	373	368	496	639	632	544	455	387	82	266	104
14	39	363	424	537	627	87	690	571	230	90	191	203
15	215	346	477	583	552	363	636	561	126	104	290	201
16	273	90	474	564	622	496	566	508	479	90	99	157
17	273	198	433	615	644	489	639	513	436	63	259	10
18	276	394	293	605	663	714	627	474	179	48	58	133
19	273	421	479	474	651	682	394	503	448	34	83	51
20	237	411	363	397	595	716	426	503	334	211	60	194
21	254	411	184	58	530	612	281	503	402	373	51	24
22	235	411	319	85	554	523	605	56	48	257	114	31
23	41	414	356	230	610	687	499	600	293	169	225	174
24	276	424	261	167	99	675	680	581	457	290	191	201
25	300	414	75	612	738	666	518	116	73	65	206	213
26	41	397	65	477	716	690	293	421	174	307	254	206
27	249	387	269	607	678	569	450	455	70	111	218	196
28	80	394	150	595	733	666	532	387	177	288	131	186
29	269		305	561	644	627	603	564	136	206	235	179
30	131		586	680	707	401	561	508	286	179	198	201
31	128		511		513		542	578		186		247
Somme	5858	8671	10656	14983	15443	17709	17411	15352	9568	7130	5489	4253
Media, Mittel	189.0	309.7	343.7	499.4	498.2	590.3	561.6	495.2	318.9	230.0	183.0	137.2

Somma annuale: 132 523 — Media: 363.08

Potere raffreddante / Abkühlungsgröße

di notte (n) e di giorno (d) (in mgcal · cm^{-2} · sec^{-1}) nachts (n) und am Tage (d)

1943 Frigorimetro / Frigorimeter **Locarno-Monti**

Giorno	Gennaio		Febbraio		Marzo		Aprile		Maggio		Giugno		Luglio		Agosto		Settembre		Ottobre		Novembre		Dicembre	
	n	d	n	d	n	d	n	d	n	d	n	d	n	d	n	d	n	d	n	d	n	d	n	d
1	18.6	14.3	15.4	14.9	15.5	10.0	15.6	13.9	14.7	15.2	15.2	13.8	11.8	9.1	6.8	2.2	14.0	7.9	10.2	8.9	9.6	11.0	18.6	17.6
2	17.8	16.9	14.0	15.4	15.9	9.3	17.4	12.6	15.7	16.0	10.7	10.0	11.9	7.0	6.7	1.5	9.7	8.3	10.9	6.4	9.7	9.6	17.2	14.7
3	17.4	18.4	18.2	15.9	12.2	6.9	17.1	8.6	16.8	19.0	13.4	10.7	10.4	6.3	7.1	1.8	9.5	8.9	10.7	4.9	10.5	9.7	14.8	18.6
4	17.1	17.2	17.7	14.8	17.6	17.2	16.1	11.7	15.9	16.4	15.4	9.3	7.9	3.1	7.8	8.0	12.9	9.5	10.0	5.4	10.0	12.2	19.1	14.5
5	16.4	15.1	17.2	17.5	18.1	14.1	13.2	11.8	19.6	16.5	14.0	8.3	6.8	2.9	8.9	3.3	11.9	7.6	10.0	5.7	14.7	19.6	16.2	13.6
6	17.3	15.4	17.7	14.7	15.7	14.0	12.8	12.3	15.2	18.2	10.2	8.3	8.9	8.7	8.9	7.1	10.7	7.5	9.5	6.8	19.6	13.8	14.7	13.8
7	16.8	15.3	15.4	15.7	18.3	14.2	17.9	13.1	15.5	11.8	11.0	5.7	12.8	4.9	13.0	2.8	9.8	8.5	9.3	5.8	17.1	16.4	18.0	13.2
8	15.0	15.5	19.0	16.6	14.8	15.7	18.8	19.2	12.2	11.6	16.7	10.2	9.3	13.3	10.5	4.3	9.9	8.1	9.6	7.0	18.3	14.6	12.5	12.6
9	19.3	18.6	18.8	17.0	16.3	14.8	18.7	16.9	13.8	18.5	9.6	8.8	12.8	8.9	9.1	9.7	10.0	8.3	9.3	5.7	18.8	15.6	13.6	11.8
10	17.3	18.0	15.0	16.3	15.4	13.5	16.7	9.8	16.3	13.8	10.8	8.3	11.8	6.1	9.5	3.9	10.8	12.5	8.9	8.5	15.7	12.3	13.6	12.6
11	18.8	16.1	17.2	13.8	19.6	15.7	12.8	9.9	13.2	11.6	12.2	6.6	10.2	3.8	8.4	4.1	10.4	7.2	8.5	7.4	13.6	15.2	14.9	13.7
12	16.5	18.0	16.1	13.3	14.6	12.4	14.0	12.9	11.6	7.1	10.0	3.5	7.5	3.4	9.7	3.6	9.2	6.6	12.6	12.6	12.9	13.7	14.8	12.9
13	17.9	13.0	15.9	19.0	15.0	18.0	15.3	11.5	10.0	7.6	9.2	5.6	8.1	6.5	10.4	8.6	8.9	6.3	18.8	16.0	14.8	15.3	14.8	14.2
14	16.1	17.4	18.4	10.7	14.7	11.7	13.8	11.0	8.8	6.2	9.7	13.8	10.8	6.0	8.5	4.1	14.3	9.9	17.9	17.1	19.8	14.9	16.2	11.8
15	17.7	15.6	15.3	16.1	15.2	13.4	11.8	10.3	8.5	8.2	11.3	13.7	8.7	4.6	7.5	2.4	14.5	9.8	12.8	17.5	16.6	12.7	16.3	12.0
16	17.9	13.1	17.7	17.6	14.4	15.7	11.5	9.4	9.6	3.1	16.2	13.6	7.9	3.7	8.1	5.1	9.0	5.3	19.1	12.0	17.5	14.3	14.2	12.7
17	18.0	13.6	18.6	18.1	14.8	13.3	11.3	8.3	12.2	12.1	15.1	12.1	7.5	2.6	7.1	8.3	9.6	5.0	20.8	13.6	17.2	15.4	17.4	17.8
18	17.2	13.3	17.5	13.3	13.1	15.5	11.2	8.5	13.6	9.9	15.3	9.2	6.8	2.2	6.5	2.3	10.5	11.6	14.2	1.2	17.9	14.8	15.7	14.0
19	17.5	12.9	17.1	13.2	16.3	13.3	10.9	11.3	10.2	7.5	13.0	6.8	7.0	6.2	6.2	2.1	11.0	7.0	14.2	16.9	14.4	14.1	14.2	13.6
20	16.3	13.3	15.8	8.9	15.9	19.4	12.0	9.8	9.6	10.6	10.2	6.8	8.8	7.1	6.8	2.1	18.8	15.4	11.6	9.4	14.1	16.8	14.3	13.3
21	17.0	12.2	15.0	9.8	19.9	16.1	10.9	17.1	10.3	9.9	9.1	5.8	10.2	10.6	7.0	3.2	13.2	9.3	11.4	8.4	16.2	14.7	15.0	15.8
22	14.7	12.3	14.5	10.1	13.9	12.5	19.3	17.0	9.7	7.7	11.2	7.3	9.3	5.0	8.1	11.0	12.7	13.6	10.0	7.9	12.6	11.8	13.7	14.9
23	13.5	12.6	14.4	10.1	13.8	12.5	15.1	10.2	9.7	8.4	7.1	1.8	8.7	6.9	19.3	5.5	11.8	10.8	10.1	8.4	14.4	12.9	17.1	13.2
24	15.0	14.6	14.2	9.6	13.3	14.1	14.4	12.8	9.4	15.8	6.3	1.5	9.5	3.9	9.7	4.9	11.0	7.9	11.1	8.1	15.7	12.2	15.7	12.5
25	16.3	12.4	14.4	11.4	15.4	15.6	14.2	9.6	16.4	11.5	6.6	2.1	8.5	5.5	9.1	12.3	10.9	16.2	10.4	11.7	19.0	16.4	16.3	15.1
26	16.8	17.3	14.6	12.6	18.8	18.7	9.9	9.3	13.2	12.3	5.8	1.5	8.7	8.2	10.5	6.4	18.6	18.0	13.9	9.6	18.8	14.2	17.3	13.5
27	11.3	11.8	15.2	13.1	16.7	12.8	12.7	11.8	13.7	6.0	12.6	10.0	10.8	5.2	11.2	6.1	16.7	18.2	11.9	10.0	16.7	12.6	16.3	18.1
28	17.2	17.2	15.7	11.1	12.8	13.2	14.7	10.3	11.0	5.4	14.4	4.7	8.3	4.2	12.1	13.3	14.0	9.4	12.2	8.7	16.5	13.9	16.7	16.0
29	17.4	13.0			14.6	12.2	11.9	11.5	9.2	7.9	9.2	5.9	7.5	3.0	10.8	7.2	16.5	12.8	10.8	9.4	16.8	13.0	18.8	12.9
30	14.7	15.6			16.1	12.7	15.4	12.3	9.5	5.0	8.1	13.0	(7.1)	2.6	10.0	7.5	10.3	7.5	11.1	11.9	16.7	15.2	16.1	12.8
31	16.1	14.2			13.4	11.8			12.0	8.5			6.6	2.5	10.2	4.7			10.5	8.8			18.9	17.8
Somma	519.9	467.2	456.0	390.9	482.4	459.3	427.4	354.7	387.1	339.5	329.9	238.7	282.9	174.0	265.5	162.5	347.1	294.8	364.5	346.7	456.2	419.4	491.8	41[illegible]
Media Mittel	16.8	15.1	16.3	14.0	15.6	13.9	14.2	11.8	12.5	11.0	11.3	8.0	9.1	5.6	9.2	5.2	12.2	9.8	11.8	9.9	15.5	14.0	15.9	14.3
	16.0		15.2		14.8		13.0		11.8		9.6		7.4		7.2		11.0		10.8		14.8		15.1	

Medie annue / Jahresmittel: 13.4 e 11.0

Über die Konstanz des Eichfaktors beim Bimetallaktinographen Fueß-Robitzsch

Von Chr. Thams

Ohne Zweifel ist von allen Strahlungsinstrumenten der Bimetallaktinograph Fueß-Robitzsch zur Registrierung der Strahlung von Sonne + Himmel (Globalstrahlung) das am meisten verbreitete Instrument. Jedem gelieferten Instrument wird von der Herstellerfirma ein Eichschein beigegeben, der angibt, wieviel Millimeter Ausschlag einer Grammkalorie pro cm² und Minute entsprechen. Auf Grund dieser Angabe lassen sich dann die pro Tag eingestrahlten Wärmesummen ohne weiteres berechnen.

Um einen Einblick in die Strahlungsverhältnisse eines Ortes zu gewinnen, sind mehrjährige Registrierungen notwendig. Es erhebt sich hier nun die Frage, ob für die ganze Beobachtungsperiode der einmal mitgeteilte Eichfaktor verwendet werden darf oder ob die Empfindlichkeit des Aktinographen im Laufe der Jahre Änderungen unterworfen ist. Exakt läßt sich diese Frage natürlich nur durch wiederholte Eichungen des Aktinographen beantworten, die jedoch in den meisten Fällen wohl nur an einem Strahlungsinstitut durchgeführt werden können, das über das nötige Instrumentarium verfügt. Da die meisten Orte, an denen die Globalstrahlung registriert wird, einfache Klimastationen sind, ist diese Methode für sie nicht anwendbar. Wir verfügen jedoch über eine andere, sehr einfache Methode, um jedenfalls die Frage zu entscheiden, ob sich die Empfindlichkeit des Instrumentes geändert hat, auch wenn wir das Maß der Änderung nicht genau angeben können.

Diese Methode beruht auf folgendem: So groß die Variationen der täglichen Strahlungssummen an allen Tagen von Jahr zu Jahr sind, so relativ klein sind sie an wolkenlosen Tagen. Der Jahresgang der Einstrahlung an wolkenlosen Tagen zeigt nur verhältnismäßig kleine und vor allem nicht systematische Änderungen. Zeichnet man nun für die einzelnen Beobachtungsjahre diese Strahlungskurven und treten in ihnen systematische Änderungen, beispielsweise im Sinne einer kontinuierlichen Abnahme der eingestrahlten Energie auf, so darf man mit Recht auf eine Empfindlichkeitsänderung des Instrumentes schließen.

Wir haben dieses Verfahren einmal für die Station Locarno-Monti durchgeführt. In folgendem werden wir über diese Resultate sowie über einige Erfahrungen bei der Eichung des Aktinographen Robitzsch berichten.

Der Aktinograph (Fabrikations-Nr. 140 806) wurde im Jahre 1938 angeschafft und im April des gleichen Jahres in Betrieb genommen. Die Eichung wurde im Physikalisch-Meteorologischen Observatorium Davos durch Parallelregistrierungen mit dem Instrument Nr. 103 567 vorgenommen. Der hieraus resultierende *mittlere* Eichfaktor belief sich auf 19.8 cal pro cm² *planimetrierter* Fläche (Tagesumlauf). Die Eichung der Herstellerfirma ergibt einen um 6% kleineren mittleren Eichfaktor, nämlich 18.7 cal pro cm² planimetrierter Fläche. In Locarno-Monti wurde jedoch stets mit dem Davoser Faktor gerechnet.

Zeichnet man nun für die einzelnen Jahre 1938 bis 1944 den Jahresgang der Einstrahlung an wolkenlosen Tagen auf und entnimmt diesen Kurven jeweils die tägliche Strahlungssumme am 15. des Monats, so erhält man die in der Tabelle 1 zusammengestellten Werte.

Tabelle 1.

Tagessumme der Globalstrahlung in cal/cm² am 15. des Monats an wolkenlosen Tagen in Locarno-Monti, 1938—1944.

Monat	Jahr 1938	1939	1940	1941	1942	1943	1944
Januar	—	240	235	245	230	220	180
Februar	—	370	335	360	335	310	290
März	—	485	490	475	440	410	390
April	595	590	600	590	545	505	495
Mai	675	685	680	645	620	570	540
Juni	710	730	705	655	655	605	
Juli	700	715	680	635	620	580	
August	630	630	615	580	530	510	
September	525	540	515	480	435	420	
Oktober	405	430	410	375	335	320	
November	285	305	305	275	245	240	
Dezember	195	215	225	215	180	165	

Aus dieser Zusammenstellung geht ganz eindeutig hervor, daß die Empfindlichkeit des Aktinographen beträchtlich abgenommen hat. Nehmen wir als Beispiel nur einmal die Werte der beiden extremen Monate Juni und Dezember. Am 15. Juni 1938 wurden 710 cal gemessen, am gleichen Tage 1943 nur noch 605; die entsprechenden Zahlen für den Monat Dezember lauten 195, bzw. 165 cal.

Auch der Beginn der Änderung läßt sich zufriedenstellend bestimmen; er ist etwa im Mai 1941 anzusetzen. Ohne Empfindlichkeitsänderung arbeitete also der Aktinograph nur während der Dauer von drei Jahren.

Das Ausmaß der Empfindlichkeitsänderung läßt sich natürlich nur ganz roh bestimmen. Betrachtet man die Werte von April 1938 bis April 1941 als «Normalwerte» und bezieht die nach April 1941 registrierten Werte auf diese Standardwerte, so erhält man die in der Tabelle 2 zusammengestellten Quotienten. Da in diesen Quotienten nicht nur die Empfindlichkeitsänderung zum Ausdruck kommt, sondern auch die natürliche Schwankung der Globalstrahlung an wolkenlosen Tagen, zeigen die

Quotienten neben dem allgemeinen Anwachsen von Monat zu Monat manchmal bedeutende Differenzen. Diese Quotienten dürfen daher nicht einfach dazu verwendet werden, die fehlerhaften Messungen zu korrigieren. Sie zeigen uns nur die allgemeine Tendenz der Empfindlichkeitsabnahme und ihre ungefähre Größenordnung. Der Betrag der Empfindlichkeitsabnahme selber kann exakt nur durch Eichungen festgestellt werden.

Tabelle 2.

Das Verhältnis der Normalwerte zu den gemessenen Werten.

Jahr	Monat I	II	III	IV	V	VI	VII	VIII	IX	X	XI	XII
1941					1.05	1.09	1.10	1.08	1.10	1.14	1.08	0.99
1942	1.04	1.08	1.10	1.09	1.10	1.09	1.13	1.18	1.21	1.24	1.21	1.18
1943	1.09	1.17	1.18	1.18	1.19	1.18	1.20	1.22	1.25	1.30	1.24	1.28
1944	1.33	1.25	1.24	1.20	1.26							

Leider wurden von April 1938 bis März 1944 in Locarno-Monti gar keine Eichungen des Aktinographen vorgenommen, so daß wir den oben festgestellten *Gang* der Empfindlichkeitsabnahme nicht durch direkte Eichungen erhärten können. In den Monaten April, Mai und Juni 1944 wurden jedoch vom Verfasser und von Herrn Ambrosetti bei verschiedenen Sonnenhöhen 74 Eichungen durchgeführt, so daß wir jedenfalls am Anfang und am Ende unserer Registrierperiode über die nötigen Bestimmungen verfügen.

Abb. 1.

Der Zustand der Bimetall-Lamellen am 25. 4. 1944.

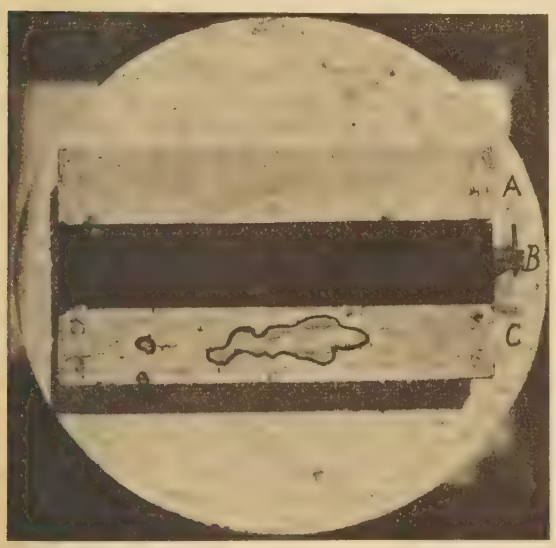

Bevor wir jedoch auf die Resultate der Eichungen eingehen, sei hier kurz die Ursache der Empfindlichkeitsabnahme behandelt. Sie ist bei den meisten Instrumenten entweder in einer Änderung der Bimetall-Lamellen selber oder in Veränderungen ihrer Weißung und Schwärzung zu suchen. Es gibt wohl kaum einen Farbanstrich, der bei solch intensiver und dauernder Bestrahlung, wie wir sie am Südabhang der Alpen antreffen, nicht langsame Zerfallserscheinungen zeigen würde. Durch die an sich schon recht hohen Lufttemperaturen im Tessin erreichen die Lamellen bei Bestrahlung natürlich ganz beträchtliche Eigentemperaturen.

Die Änderung der Empfindlichkeit unseres Aktinographen hat ohne Zweifel ihre Ursache in einem solch langsamen Zerfall des Farbanstriches. In nebenstehender Abbildung 1 ist eine Aufnahme der Lamellen vom 25. 4. 1944 wiedergegeben. Die schwarze Lamelle hat nicht nur den tiefschwarzen Farbton verloren, an der linken Seite ist auch etwas vom Farbbelag abgesprungen. Weit größere Veränderungen haben die weißen Lamellen durchgemacht. Die einzelnen Stadien sind meistens die folgenden: Die Farbe verliert ihre Helligkeit und geht langsam in einen leicht gelben oder auch grauen Ton über, dann bilden sich im Belag sehr feine Risse. Sie sind in der Abbildung bei der Lamelle A sehr gut sichtbar. Diese Risse werden im Laufe der Zeit immer breiter, der Farbverband hört auf, auch von der Unterseite her löst sich die Farbschicht und blättert schließlich ab. Die auf der Lamelle C umrandeten Partien waren vollkommen abgeblättert und wurden dann notdürftig wieder mit weißer Farbe ausgebessert.

Unter der Annahme, daß sich die Eigenschaften des Bimetalls selber nicht ändern, hängt die Empfindlichkeit des Aktinographen von der Güte der Schwärzung und der Weißung ab. Je besser diese ausgeführt sind, um so empfindlicher wird das Instrument sein. Wird nun der ursprünglich rein weiße Anstrich grau und brüchig und blättert er teilweise ab, so daß das dunkle Bimetall zum Vorschein kommt, so nimmt die Größe der Durchbiegung selbstverständlich ab.

Wie groß ist nun die Änderung der Empfindlichkeit? Mit dieser Frage kommen wir auf das ganze Problem der Eichung des Aktinographen zu sprechen.

Der Aktinograph von Locarno wurde im März 1938 in Davos geeicht durch Anschluß an den Aktinographen Nr. 103 567. Die beiden Instrumente registrierten vom 7.—25. März (19 Tage) parallel die Globalstrahlung. Dividiert man die vom Standardaktinographen aufgezeichnete Einstrahlung (Tagessumme) durch die Anzahl planimetrierter cm^2 des zu eichenden Instrumentes, so erhält man die Anzahl Kalorien, die einem cm^2 entsprechen. Dieser Wert K belief sich nach den 19 Bestimmungen auf 19.8; der mittlere Fehler der einzelnen Messung betrug etwa 4%, der des Mittelwertes etwa 1%. Direkte Eichungen des Instrumentes 140 806 wurden also in Davos nicht gemacht, so daß wir keine genauere Kenntnis über die Charakteristisk dieses Aktinographen, beispielsweise seine Abhängigkeit von der Sonnenhöhe, haben. Die beiden verschiedenen Eichmethoden lassen darum einen ins Detail gehenden Vergleich nicht zu.[1]

Wie wir bereits erwähnten, wurden 74 Eichungen durchgeführt, davon 20 im April 1944, 46 im Mai und 8 im Juni. Dann wurden die Bimetall-Lamellen von der Firma Kern & Co., Aarau, nach einem uns nicht bekannten Verfahren in vorzüglicher Weise mit einem neuen Überzug von Schwarz und Weiß versehen. Die Eichun-

[1] Robitzsch fand für unser Instrument einen mittleren Faktor von 18.7 (MZ. 55, S. 406, 1938).

gen wurden an Strahlungstagen in der bekannten Weise durchgeführt, indem man vom Aktinographen die Sonnenstrahlung abschirmt und gleichzeitig mit einem anderen Instrument diese direkte Sonnenstrahlung mißt. Hierfür verwendeten wir das Pyrheliometer von Volochine. Der Eichfaktor E des Aktinographen berechnet sich dann nach folgender Formel

$$E = \frac{I \cdot \sin h}{A_{S+H} - A_H}.$$

In dieser Formel ist I die mit dem Pyrheliometer gemessene Intensität der Sonnenstrahlung, senkrecht einfallend, h die Sonnenhöhe, A_{S+H}, bzw. A_H der Registrierausschlag in Millimetern für die Sonnen- und Himmelsstrahlung, bzw. für die Himmelsstrahlung allein. E ist der Kalorienwert für 1 mm Ausschlag in gcal/cm² · min. Multipliziert man bei Instrumenten mit Tagesumlauf E mit 536, so erhält man den Kalorienwert für 1 cm² planimetrierter Fläche (siehe Näheres bei W. Mörikofer und Chr. Thams, Erfahrungen mit dem Bimetallaktinographen Fueß-Robitzsch, MZ. 54, 360, 1937). In folgendem verwenden wir als Eichfaktor immer den Wert K = 536 E.

Der Mittelwert aller Eichungen vom April bis Juni 1944 beträgt nun 24.2. Der mittlere Fehler der einzelnen Messung beläuft sich auf rund 8%, der des Mittelwertes auf etwas mehr als 1%. Bei den Vergleichsregistrierungen in Davos wurde ein K-Wert von 19.8 gefunden.

Est entsteht hier nun die Frage, ob und inwieweit wir berechtigt sind, den von uns gefundenen Eichfaktor mit dem in Davos festgestellten zu vergleichen. Denn abgesehen von den verschiedenen Eichmethoden hängt die Größe des Mittels aus sämtlichen einzelnen Messungen davon ab, bei welchen Sonnenhöhen und zu welcher Jahreszeit die Eichungen vorgenommen wurden, da der Eichfaktor des Aktinographen nicht nur von der Sonnenhöhe abhängt, sondern auch bei gleichen Sonnenhöhen zu verschiedenen Jahreszeiten verschiedene Faktoren ergibt. Stapf hat bekanntlich auf Grund dieser Tatsache einen mit den Jahreszeiten variablen Eichfaktor eingeführt.[2]

Im allgemeinen ist der Aktinograph, namentlich bei tiefen Sonnenständen, im Winter empfindlicher als im Sommer, was auf die größere Empfindlichkeit des Systems für die kurzwellige Himmelsstrahlung zurückzuführen ist.

Der geographischen Lage des Davoser Observatoriums mit der umgebenden Bergkette entsprechend, kommen bei tieferen Sonnenständen naturgemäß weniger Eichungen vor als bei hohen. Dadurch wird im allgemeinen der Eichfaktor wohl eher etwas zu groß ausfallen. Vielleicht ist das auch der Grund, warum Robitzsch bei unserem Instrument einen um 6% tieferen Eichfaktor fand.

Die Eichungen, die in Locarno-Monti an dem Instrument Nr. 140 806 durchgeführt wurden, liegen in dem Sonnenhöhenbereich von 22 bis 67 Grad, sie entsprechen etwa demjenigen von Davos. In der Abbildung 2

Abb. 2.

Die Abhängigkeit des Eichfaktors (Instr. 140 806) von der Sonnenhöhe.

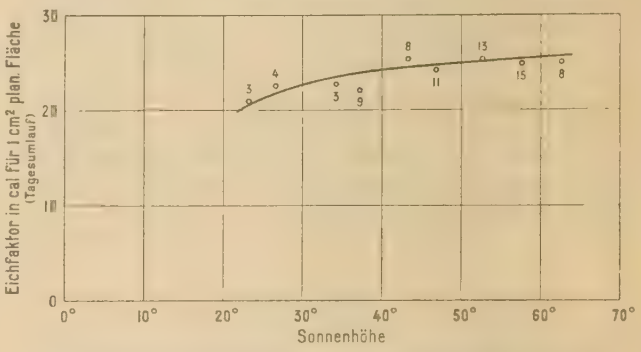

ist für das gesamte Material die Abhängigkeit des Eichfaktors von der Sonnenhöhe dargestellt. Wie bei allen Aktinographen von Robitzsch, nimmt auch bei diesem Instrument die Empfindlichkeit mit wachsender Sonnenhöhe ab. Da sich die Davoser Eichungen an dem Standardinstrument jedoch über mehrere Jahre erstrecken, unser defektes Instrument aber nur während drei Monaten geeicht werden konnte, ist bei dem Vergleich der Eichfaktoren Vorsicht am Platze. Das Verhältnis des Eichfaktors, der jetzt in Locarno gefunden wurde zu dem in Davos ermittelten, beläuft sich auf 1.22; legt man den von Robitzsch festgestellten Wert zugrunde, dann beträgt der Faktor 1.30. Größenordnungsmäßig stimmen diese Faktoren annehmbar mit den in der Tabelle 2 mitgeteilten Werten am Ende der Registrierperiode 1944 überein. Wir sehen also, daß die Änderung des Eichfaktors beim Aktinographen Robitzsch ganz erhebliche Ausmaße erreicht hat.

Diese Änderung der Empfindlichkeit bedingt eine Neuberechnung sämtlicher Werte ab Mai 1941. Auf diesem Wege würden wir jedenfalls für die einzelnen Jahre vergleichbare Werte erhalten. Der Jahresgang des Eichfaktors ist dann freilich noch nicht berücksichtigt.

Die von Stapf angegebenen Reduktionszahlen geben ja ohne Zweifel nur angenähert den Jahresgang des Eichfaktors wieder, bei den verschiedenen Instrumenten wird er verschieden sein und kann natürlich nur durch zahlreiche Eichungen während einer längeren Periode festgelegt werden.

---

[2] Stapf reduziert den unter *sommerlichen* Verhältnissen gefundenen Eichfaktor F_s wie folgt:

April bis August	$1.00 \cdot F_s$
März und September	$0.90 \cdot F_s$
Oktober bis Februar	$0.82 \cdot F_s$

(MZ. 55, S. 407—410, 1938).

F. Prohaska hat dieses Schema wie folgt modifiziert:

Mai bis Juli	$1.00 \cdot F_s$
April und August	$0.95 \cdot F_s$
März und September	$0.90 \cdot F_s$
Oktober bis Februar	$0.82 \cdot F_s$

(Gerlands Beitr. z. Geophys. 59, S. 247, 1943).

Obwohl das von Prohaska angewendete Schema den Jahresgang des Eichfaktors besser wiedergibt, ist doch zu erwägen, ob man nicht aus Gründen der Einheitlichkeit auf jenes von Stapf abstellen sollte.

Ehe wir daher eine Neuberechnung des gesamten Materials vornehmen, möchten wir genauere Einblicke in die Eigentümlichkeiten des Locarner Aktinographen gewinnen. Zwar liegen von dem Instrument nach der Reparatur schon mehr als 125 Eichungen vor, jedoch ausschließlich für die Sommermonate. Am Ende des Jahres werden auch für die Herbst- und Wintermonate genügend Eichungen vorliegen, damit wir ein abschließendes Urteil über das Instrument geben können.

Zusammenfassend können wir also folgendes feststellen: Nach den Erfahrungen, die wir mit unserem Bimetallaktinographen Fueß-Robitzsch sammeln konnten, ist die Empfindlichkeit dieses Instrumentes nur etwa 2 bis 3 Jahre konstant geblieben. Dann nahm sie kontinuierlich ab. Es empfiehlt sich daher, solche Instrumente fortlaufend oder wenn das nicht möglich ist, doch mindestens alle 2 bis 3 Jahre durch Eichungen zu kontrollieren.

Luftelektrische Messungen in Locarno-Monti

Von Fl. Ambrosetti

I. Einleitung.

Auf der Alpennordseite wurden an verschiedenen Orten Ionenmessungen ausgeführt, so in Freiburg (A. Gockel), Altdorf (P. B. Huber), Lausanne (P. L. Mercanton), Davos (W. Mörikofer und U. Chorus) und Glarus (Hilda Schaumann). Dagegen waren auf der Alpensüdseite noch keine Untersuchungen gemacht worden. Das Osservatorio Ticinese in Locarno-Monti stellte sich die Aufgabe, diese Lücke auszufüllen.

Bekanntlich gibt es Ionen von verschiedener Beweglichkeit (k). Sie wird ausgedrückt als Geschwindigkeit in cm/sec in einem elektrischen Feld von 1 volt/cm. H. Israël schlägt für die Ionen folgende Einteilung nach ihrer Beweglichkeit k vor:

a) Kleinionen ($k \geqq 1{,}0$ cm²/volt sec)
b) Kleinmittelionen ($1{,}0 > k \geqq 0{,}01$ cm²/volt sec)
c) Großmittelionen ($0{,}01 > k \geqq 0{,}001$ cm²/volt sec)
d) Langevinionen ($0{,}001 > k \geqq 0{,}00025$ cm²/volt sec)
e) Ultragroßionen ($k > 0{,}00025$ cm²/volt sec)

II. Meßapparatur.

Die Bestimmung der Ionenzahl erfolgt fast ausschließlich nach der Aspirationsmethode, die auf folgendem Prinzip beruht: Man läßt die zu untersuchende Luft durch einen Kondensator hindurchströmen, zwischen dessen Elektroden ein elektrisches Feld besteht. In einem laminarem Strom ist die Ionenbahn die Resultante der Bewegung des Stromes und jener, die durch das elektrische Feld verursacht wird. In einem Plattenkondensator ist die Ionenbahn eine Gerade, in einem zylindrischen Kondensator ein Parabelbogen. Man bestimmt nun die sogenannte *Grenzbeweglichkeit* k_g, die folgende Bedeutung hat: Alle Ionen mit einer Beweglichkeit $k \geqq k_g$ werden vom Kondensator aufgefangen, von denjenigen Ionen mit $k < k_g$ wird nur der Bruchteil k/k_g angehalten. Für den zylindrischen Kondensator ist:

$$k_g = \frac{M}{2\pi l V} \cdot \ln \frac{R}{r}$$

wobei M die durchgesaugte Luftmenge in cm³/sec bedeutet; l die Länge, R und r der äußere, respektiv der innere Halbmesser des Kondensators, V die Kondensatorspannung. Die Grenzbeweglichkeit hängt also von den Dimensionen des Kondensators ab und ändert sich mit der aspirierten Luftmenge und der Spannung.

Die Messungen am Osservatorio Ticinese ($\lambda = 8° 48'$, $\beta = 46° 10'$, $h = 380$ m) wurden mit dem Ionenzähler Israël-Weger gemacht, der nach der *Auflademethode* arbeitet. Seine wichtigsten Teile sind zwei gleiche zylindrische nebeneinander liegende Kondensatoren, ein kleiner zylindrischer Kondensator (Zusatz von Weger), ein sehr empfindliches Einfaden-Lindemann-Elektrometer, ein Rotameter für die Messung der durchgesaugten Luftmenge, ein Instrument von Tagger für die Bestimmung der Kapazität der Kondensatoren und des Elektrometers. Wir verzichten an dieser Stelle auf eine ausführliche Beschreibung des Apparates und verweisen auf die betreffende Literatur.[1]

Der eigentliche Apparat von Israël dient zur Messung der Groß- und Mittelionen (Beweglichkeit < 1 cm²/volt sec), der Zusatz von Weger zur Bestimmung der Anzahl der Kleinionen (Beweglichkeit $\geqq 1$ cm²/volt sec). Bei geeigneter Wahl der Grenzbeweglichkeit kann man mit dem letztgenannten Zusatzgerät auch die Anzahl der Kleinmittelionen und die elektrische Leitfähigkeit der Luft bestimmen.

Die Anzahl der Ionen berechnet sich nach der Formel:

$$N = \frac{C \cdot n \cdot \varepsilon}{300 \cdot l \cdot M \cdot t}$$

C ist die Kapazität des Kondensators + der des Elektrometers in cm; n die Verschiebung des Elektrometerfadens in der Zeit t (in sec); ε die Empfindlichkeit des Elektrometers (Volt/Skalenteil); e die Elementarladung ($4{,}77 \cdot 10^{-10}$ e. s. e.); M die durchgesaugte Luftmenge in cm³/sec.

Die Apparatur von Israël zeigt bedeutende Vorteile gegenüber älteren Konstruktionen:

1. Sie hat viel kleinere Dimensionen und ist daher leicht transportabel. Ihre Kondensatoren erreichen nur 50 cm Länge, diejenigen von anderen Apparaten (Gockel, Kähler und andere) dagegen 120 bis 200 cm.

2. Die Meßdauer ist kürzer, es genügen 30—60 sec pro Ablesung. Mit anderen Instrumenten muß man einige Minuten warten, mit manchen sogar 15—20 Minuten.

3. Sie gestattet, auch Ionen mit kleinerer Beweglichkeit zu zählen, denn man kann leicht mit einer Grenzbeweglichkeit von 0,0002 cm²/volt sec arbeiten. Da zwei

[1] Für den Ionenzähler nach Israël: «Zeitschrift für Geophysik», Jahrg. 5, Heft 8, S. 342; für den Zusatz von Weger: «Physikalische Zeitschrift», 36. Jahrg., 1935, Heft 1, S. 15—20.

Kondensatoren vorhanden sind, kann man abwechselnd ohne Zeitverlust die positiven und negativen Ionen zählen.

Nach der uns bekannten Literatur wurden Ionenmessungen mit dem Apparat Israël an folgenden Orten vorgenommen: bei Innsbruck während drei Wochen im Mai 1930 zum Studium des Föhneinflusses und in Badgastein; an beiden Orten von H. Israël[2]; in Glarus von Hilda Schaumann von November 1933 bis Mai 1934 und von März bis Mai 1935 ebenfalls zur Untersuchung des Föhneinflusses[3]; am Physikalischen - Meteorologischen Observatorium in Davos von Mörikofer und Chorus.[4]

III. Material.

Mit Beginn des Jahres 1939 wurden mit dem Apparat Israël-Weger regelmäßig Messungen der Anzahl der Groß- und Mittelionen und nach der zweiten Hälfte Februar auch der Kleinionen ausgeführt. Von Anfang 1941 an wurde auch die elektrische Leitfähigkeit der Luft bestimmt. Im Jahre 1939 und bis Mitte Dezember 1940 wurde in einem Zimmer des Hauptgebäudes des Institutes gemessen; die Luft wurde aus dem westlichen Fenster aspiriert. Nachher war der Apparat im Gartenhaus östlich des Wohnhauses in Betrieb. Seit Mitte Oktober 1941 befindet sich der Ionenzähler in einem zu diesem Zweck hergerichteten Raum des Neubaues (siehe Annalen der MZA. 1940 «Räumliche Erweiterung des Osservatorio Ticinese»). Hier und im Gartenhaus wurde die Luft aus einem südlichen Fenster eingesaugt.

In den zwei ersten Jahren und für den größten Teil des Januars 1941 war die Grenzbeweglichkeit des Inonenzählers ungefähr 0,0004—0,0005 cm^2/volt sec. Die so erhaltenen Daten enthalten also alle Mittelionen und nur einen Teil der großen. Dann wurde die Grenzbeweglichkeit auf 0,0002 cm^2/volt sec festgelegt. Damit wurde auch die Anzahl der Langevinionen gemessen. Unberücksichtigt ist hier nur der größte Teil der Ultragroßionen. Es versteht sich von selbst, daß mit der neuen Grenzbeweglichkeit größere Werte erreicht wurden. Für die Kleinionen (Weger) war die Grenzbeweglichkeit immer 1 cm^2/volt sec und diejenige der elektrischen Leitfähigkeit der Luft 2 cm^2/volt sec. In der ersten Zeit beschränkten sich die Messungen der Luftelektrizität auf die Zeitintervalle: 8—12 h, 14—18 h, ab Juni 1941 wurde auch vorher und nachher gemessen. Von November 1941 bis Januar 1944 wurden regelmäßig Bestimmungen an den Terminen: 8—9 h, 11—12 h, 14—15 h, 16—17 h ausgeführt, zu anderen Zeiten nur unregelmäßig.

IV. Ergebnisse.

1. Einteilung des Materials.

Die Anzahl der elektrisch geladenen Luftteilchen ändert sich stark mit den meteorologischen Verhältnissen, den Jahreszeiten und den Tagesstunden. Nach den in Monti gewonnenen Resultaten liegt die Anzahl der Groß- und Mittelionen für jedes Vorzeichen zwischen einigen Hundert und 26 000 pro cm^3 Luft, die häufigsten Werte aber im Intervall 800—4000. Die Anzahl der Kleinionen variiert zwischen 0 und etwa 1300, im allgemeinen jedoch zwischen 150 und 600. Die elektrische Leitfähigkeit weist Werte zwischen 0 und $300 \cdot 10^{-6}$ e. s. e. auf, die meisten liegen zwischen 40 und 140.

Die Untersuchungen über die Häufigkeit der Ionenzahl und der Leitfähigkeitswerte sowie ihre jährliche und tägliche Änderung werden in einer späteren Arbeit erscheinen. In der vorliegenden wird versucht, die Abhängigkeit der gemessenen luftelektrischen Größen von einigen meteorologischen Faktoren nachzuweisen. Es ist jedoch zu bemerken, daß es oft nicht leicht ist, den Einfluß der einzelnen meteorologischen Elementen zu trennen. Manchmal wirken ein oder mehrere Faktoren in entgegengesetzter Richtung wie die übrigen; der Einfluß der einzelnen wird dadurch vermindert. Auf diese Tatsache sind die meisten Ausnahmen zurückzuführen.

Für die Untersuchung des Einflusses der meteorologischen Faktoren wurden meist die Beobachtungen von 1939 bis 1942 herangezogen, für gewisse Zwecke auch die von 1943.

Das Material, das wegen Abwesenheit des Verfassers im Militärdienst in den ersten drei Jahren Lücken von einigen Monaten aufweist, wurde für jedes Jahr möglichst nach Jahreszeiten und, wegen des täglichen Ganges, von 1939 bis 1941 auch nach den Beobachtungszeiten 8—10 h, 10—12 h, 14—16 h, 16—18 h gruppiert. Für die vier Jahreszeiten vom Dezember 1941 bis zum November 1942 wurden die Beobachtungen der früher erwähnten Zeitintervalle benützt (8—9 h, 11—12 h, 14 bis 15 h und 16—17 h). In den Jahren 1941 und 1942 fehlen im Sommerhalbjahr wegen Einführung der Sommerzeit die Messungen von 11—12 h M. E. Z.; sie wurden durch jene, die eine Stunde früher gemacht wurden, ersetzt.

Die meteorologischen Faktoren, mit denen die gemessenen elektrischen Größen verglichen wurden, sind die folgenden: relative Feuchtigkeit, Dunst und Sicht, Bewölkungsmenge, Windrichtung und -stärke, barometrischer Gradient zwischen der Nordseite und der Südseite der Alpen (Stationenpaar Zürich—Lugano), teilweise auch die barometrische Tendenz an unserer Station. Im folgenden zeigen wir, wie das Material für den Vergleich gruppiert wurde.

Relative Feuchtigkeit (RF). Die Messungen der drei Jahre 1939—1941 wurden in drei Klassen eingeteilt:

Klasse 1: Fälle mit relativer Feuchtigkeit kleiner als 40 %;
Klasse 2: Fälle mit relativer Feuchtigkeit von mindestens 40 %, jedoch kleiner als 60 %.
Klasse 3: Fälle mit relativer Feuchtigkeit von mindestens 60 %.

Für 1941 (XII.) bis 1942 (XI.) erfolgte die Einteilung nach den Werten der RF von 30 bis 80% bei Stufen von 10 zu 10%.

Dunst und Sicht. Es wurden folgende Klassen gebildet:

[2] Gerlands Beiträge zur Geophysik, Bd. 34, 1931, S. 164—183.
[3] Verhandlungen der Schweizerischen Naturforschenden Gesellschaft, 1935, S. 302.
[4] Verhandlungen der Schweizerischen Naturforschenden Gesellschaft, 1932, S. 324.

Klasse 1: Messungen ohne Dunst, d. h. bei sehr guter Sicht;
Klasse 2: Messungen bei leichtem Dunst, doch guter Sicht;
Klasse 3: Messungen bei mäßigem Dunst und mäßiger Sicht;
Klasse 4: Messungen bei starkem Dunst und schlechter Sicht.

Das Osservatorio Ticinese befindet sich am Südhang des Monte Brè ungefähr 200 m über dem Niveau der Stadt Locarno und des Lago Maggiore. Die Station liegt nur dann in den Dunstschichten, wenn sich diese tagsüber heben. Oft ist der Dunst am Vormittag stärker auf dem östlichen Teil der Locarneser Mulde (Hintergrund eines breiten Tals mit Wiesen und Äckern) als auf dem westlichen (Seeoberfläche). Nachmittags ist es oft umgekehrt. Das ist eine Folge der wechselnden Windrichtung und der verschiedenen Dunstbildung auf dem festen Boden und auf dem See. Während der Nacht und in den ersten Morgenstunden bringen die nördlichen Winde Rauch und atmosphärischen Staub von den oberen Tessiner Tälern hinunter auf die Magadino-Ebene, später drehen die Winde meist auf Sektor SW. Sie bringen dann längs dem See aus Italien Rauch und andere Luftunreinheiten bis zum südwestlichen Teil unseres Gebietes. Während langer Trockenperioden erstrecken sich dichte Dunstschichten auf die ganze Region.

Bewölkungsmenge. Es wurden folgende Klassen gebildet:

Klasse 1: Fälle mit höchstens $^{2}/_{10}$ Bewölkung;
Klasse 2: Fälle mit $^{4-6}/_{10}$ Bewölkung;
Klasse 3: Fälle mit mindestens $^{8}/_{10}$ Bewölkung.

Windstärke. Sie wurde geschätzt nach der halben Beaufortskala. Für die Daten von 1941 und 1942 wurden vier Einteilungen vorgenommen:

Klasse 1: Fälle ohne Wind oder mit sehr schwachem Wind;
Klasse 2: Fälle mit schwachem oder schwachem bis mäßigem Wind;
Klasse 3: Fälle mit mäßigem oder mäßigem bis frischem Wind;
Klasse 4: Fälle mit mindestens frischem Wind.

Für die Jahre 1939 und 1940 wurden die Fälle der Klassen 3 und 4 zusammengefaßt.

Barometrischer Gradient zwischen der Nord- und Südseite der Alpen. Er wurde bestimmt nach dem Luftdruck der synoptischen Stationen Zürich und Lugano, positiv mit höherem Barometerstand im Norden. Wir betrachteten drei Klassen:

Klasse 1: Fälle mit negativem barometrischen Gradienten (Südföhnlage);
Klasse 2: Fälle mit positivem barometrischem Gradienten, kleiner als 5 mb;
Klasse 3: Fälle mit positivem barometrischem Gradienten von mindestens 5 mb.

Windrichtung. Wir haben vier Windsektoren berücksichtigt:

Klasse 1: Sektor ENE—SSE, d. h. Wind aus der Magadino-Ebene und bei genügender Stärke auch aus den oberen Tessinertälern (S. Gotthard, Leventina);
Klasse 2: Sektor S—WSW (Wind vom See her);
Klasse 3: Sektor W—NW (Wind aus den Centovalli und Vallemaggia);
Klasse 4: Sektor NNW—NE (lokaler Hangwind).

Es wurden zwei Methoden angewandt, um den Einfluß der Windrichtung zu untersuchen:

1. Methode: Unabhängig von der Stärke des Windes wurden alle Messungen nur nach den vier Sektoren geordnet, jedoch unter Berücksichtigung der Jahreszeit und der Beobachtungstermine. Das hat jedoch den Nachteil, daß die Fälle mit lokalen Winden mit jenen Winden, die Luftmassen aus weit ferneren Gegenden herantransportieren, vermengt werden.

2. Methode: Um den Einfluß der Lokalwinde auszuschalten, berücksichtigten wir nur Winde, die mindestens von mäßiger Stärke waren. Es war notwendig, für jede Jahreszeit die Beobachtungen von zwei oder mehreren Jahren zusammenzufassen und die Ionenzählungen von 8—10 h, 10—12 h, 14—16 h, 16—18 h zu verwenden. Für die Kleinionen wurde das gesamte Material von 1939—1943 zusammenfassend bearbeitet. Für die elektrische Leitfähigkeit kamen nur die drei Jahre 1941 bis 1943 in Frage. Für die Groß- und Mittelionen wurden wegen der verschiedenen Grenzbeweglichkeit die Daten von 1939—1940 getrennt von denjenigen von 1941 bis 1943 ausgewertet.

Barometrische Tendenz. Das Material von 1941 bis 1943 wurde nach Jahreszeiten und Tagesstunden geordnet.

Die in dieser Arbeit aufgeführten Tabellen enthalten die positiven (+) und die negativen (—) Mittelwerte für die Anzahl der Ionen und für die elektrische Leitfähigkeit. Die Zahlen in Klammern zeigen, wieviele Fälle zur Berechnung der Mittelwerte dienten. Aus Raumgründen wird hier nur ein Teil der Tabellen veröffentlicht.

Wir führen hier noch folgende Abkürzungen ein:

N_{t+}, N_{t-} für die positiven, respektive negativen Groß- und Mittelionen; N_{p+}, N_{p-} für die Kleinionen; $\lambda+$ und $\lambda-$ für die elektrische Leitfähigkeit der Luft.

Wir werden nun in den Abschnitten 2 und 3 den Einfluß der oben erwähnten meteorologischen Elemente auf die Anzahl der Groß- und Mittelionen, bzw. der Kleinionen behandeln. Im Abschnitt 4 werden wir kurz die Beziehung zwischen der elektrischen Leitfähigkeit und den meteorologischen Faktoren besprechen. Im Abschnitt 5 und 6 endlich wird das Verhalten der luftelektrischen Größen während und nach Niederschlägen und der Einfluß des Nordföhns diskutiert.

2. Der Einfluß der meteorologischen Elemente auf die Anzahl der Groß- und Mittelionen.

Betrachten wir jetzt, welchen Einfluß die erwähnten meteorologischen Elemente auf die Anzahl der Groß- und Mittelionen haben.

Relative Feuchtigkeit. Im allgemeinen nimmt mit der Zunahme der relativen Feuchtigkeit auch die Anzahl der Groß- und Mittelionen zu. Man vergleiche z. B. in Tabelle 1 die zwei ersten Klassen (RF $<$ 30%, 30 bis 39%) mit den zwei letzten (RF 70—79%, $\geq$ 80%). Die Zunahme der Anzahl Ionen bei steigender RF ist wegen des Einflusses anderer Faktoren nicht immer regelmäßig. Wir werden kurz einige Ausnahmen in dieser Tabelle prüfen.

Tabelle 1. Die Beziehung der Groß- und Mittelionen zur relativen Feuchtigkeit (RF).

Jahreszeit	Zeit	< 30 % RF		30—39 % RF		40—49 % RF		50—59 % RF		60—69 % RF		70—79 % RF		≥ 80 % RF	
		+	—	+	—	+	—	+	—	+	—	+	—	+	—
XII. 41–II. 42	11–12h	1344(4)	1027(4)	2574(9)	2478(9)	6252 (8)	5651 (8)	6594 (9)	5555 (9)	8516(11)	7661(11)	5794(11)	4842(11)	9866(3)	9131(3)
	14–15h	1752(5)	1578(5)	3953(7)	3726(7)	2845 (9)	2302 (9)	3943(13)	3834(13)	4596(13)	4351(13)	2330 (2)	2228 (2)	12743(2)	10880(2)
III.–V. 42	8–9h	—	—	1234(3)	1608(3)	1624 (6)	1523 (6)	2913 (5)	3821 (4)	3066 (8)	3217 (7)	2820 (8)	3047 (8)	4124(4)	3724(4)
	14–15h	380(2)	470(2)	1636(3)	1700(3)	2139(11)	2113(11)	2353 (8)	2374 (9)	1467 (4)	1445 (4)	2274 (1)	2697 (1)	1478(2)	1424(2)
VI.–VIII. 42	10–11h	—	—	984(5)	959(5)	1484 (6)	1564 (6)	1880(19)	1750(20)	2002(18)	1944(18)	2406 (9)	2370 (9)	2979(1)	3784(1)
	16–17h	620(2)	719(2)	1160(6)	1303(5)	1862(20)	1804(21)	2164(16)	2052(15)	3792 (1)	4527 (1)	1574 (2)	1762 (2)	3059(1)	2739(1)
IX.–XI. 42	8–9h	867(1)	873(1)	1395(6)	1439(7)	1864 (4)	1978 (4)	2040 (7)	1790 (7)	2185 (7)	2469 (8)	3638(16)	3270(15)	3781(15)	3754(16)
	14–15h	669(2)	546(2)	1271(5)	1179(5)	2458 (9)	2289 (9)	1801(23)	1721(23)	1756 (7)	2008 (8)	2491 (3)	2496 (4)	2007(1)	1349(1)

Im Winter von 11—12 h sind die Mittelwerte in den Klassen mit einer RF von 40—49, 50—59 und 60—69 % größer als diejenigen mit einer RF von 70—79%, weil jene durch die Resultate von Messungen bei starkem Dunst erhöht sind. Von 14—15 h sind die Daten der vorletzten Klasse (70—79 %) zu klein. Sie stammen aus zwei Bestimmungen bei starkem SW-Wind. Im gleichen Zeitintervall sind die Mittelwerte der zweiten Klasse durch drei Wertepaare erhöht, die wegen des manchmal schichtförmigen Dunstes zu groß ausgefallen sind; und in einem dieser Fälle verursachte eine atmosphärische Störung einen starken Luftdruckfall auch auf der Alpensüdseite.

Im Frühling von 8—9 h wurden die Mittelwerte mit einer RF von 50—59 % besonders durch die Resultate einer Bestimmung bei regnerischem Wetter vergrößert. Die Mittelwerte bei einer RF von 70—79 % werden durch drei Wertepaare mit mäßigem Dunst verkleinert. Von 14—15 h gaben die vier Messungen mit einer RF von 60—69 % eher kleinere Werte. In einem Fall stellten wir mäßigen Wind aus W, in zwei anderen leichten Dunst und frischen oder mäßigen Wind aus Sektor W fest. Im vierten Fall herrschte sehr klare Sicht. Auch die zwei Messungen mit einer RF größer als 80 % gaben kleine Werte. In einem Fall fielen leichte Niederschläge, im anderen hatte es am Vormittag geregnet.

Im Sommer von 16—17 h gab die einzige Bestimmung mit einer RF von 60—69 % recht hohe Werte (Südföhnlage). Die Werte mit einer RF von 70—79 % sind tief, besonders in einem Fall. In beiden Fällen herrschte gewittriges Wetter.

Im Herbst von 14—15 h vergrößern drei Wertepaare die Mittelwerte der Klasse mit einer RF von 40—49 %. In einem Fall war am Vormittag Nordföhnlage mit wenigen Groß- und Mittelionen, nachmittags Verschlechterung der Sicht, Zunahme der RF und Drehung der Winde von NE—E nach W. In zwei anderen Fällen wurde schichtförmiger Dunst festgestellt. Während der einzigen Bestimmung mit einer RF größer als 80 % stellten wir mäßigen Nordwind und gute Sicht fest.

Dunst und Sicht. Mit der Zunahme des Dunstes und nachfolgender Sichtverschlechterung geht eine Zunahme der Anzahl der Groß- und Mittelionen parallel. Die elektrischen Teilchen vereinigen sich mit den Unreinheiten der Luft und bilden Langevinionen. Man siehe in der Tabelle 2, wie ausgeprägt — besonders im Winter und Herbst — der Unterschied zwischen den Fällen ohne Dunst und jenen mit leichtem Dunst schon ist.

Die Tabelle 2 enthält eine einzige Ausnahme. Im Herbst von 8—9 h wurden die Mittelwerte der letzten Klasse besonders durch zwei Wertepaare erniedrigt. In einem Fall hatte am vorhergehenden Nachmittag eine kalte Front mit Bildung eines N—S-Gradienten von mehr als 10 mb das Alpengebiet passiert. Während der Messung wehte mäßiger Wind aus E. Im andern Fall wurde bei mäßigem W-Wind «neblig» notiert.

Bewölkungsmenge. In der Mehrzahl der Fälle ist die Anzahl der Groß- und Mittelionen bei starker Bewölkung größer als bei leichter. Man könnte annehmen, daß bei mäßiger Bewölkung auch eine mittlere Anzahl von Ionen zu finden sei. Das ist aber nicht der Fall. In der Tat zeigen die Mittelwerte der zweiten Klasse (mäßige Bewölkung) (siehe Tabelle 3) einen ungleichmäßigen Verlauf. Manchmal sind sie größer als jene der dritten Kategorie oder aber auch kleiner als diejenigen der ersten. Es war uns nicht möglich, eine eindeutige Beziehung zwischen Groß- und Mittelionen und der Bewölkungsmenge von $^{4-6}/_{10}$ zu finden.

Für den Winter und den Sommer 1942 sind die Daten der ersten Klasse immer kleiner als jene der dritten. Frühling und Herbst dagegen zeigen Ausnahmen. Betrachten wir diejenigen der

Tabelle 2. Die Beziehung der Groß- und Mittelionen zu Dunst und Sicht.

Jahreszeit	Zeit	⋈		∞°		∞¹		∞²	
		+	—	+	—	+	—	+	—
XII. 41–II. 42	11 — 12 h	1315 (7)	1343 (7)	5023 (6)	4674 (6)	6443(14)	5518(14)	6977(28)	6137(28)
	14 — 15 h	1401 (5)	1182 (5)	3672 (7)	3198 (7)	3929(12)	3841(12)	4550(27)	4183(27)
III.–V. 42	8 — 9 h	1088 (3)	1040 (3)	1665(11)	1841(10)	3242(14)	3293(13)	3644 (5)	3681 (5)
	14 — 15 h	874 (5)	1000 (5)	1778(15)	1978(16)	2370 (9)	2111 (9)	4075 (1)	4487 (1)
VI.–VIII. 42	8 — 9 h	962 (6)	834 (5)	2105(21)	1988(19)	2928(26)	3000(25)	3496(10)	3128(10)
	16 — 17 h	1198(11)	1281(10)	1816(23)	1812(23)	2491(12)	2258(12)	2501 (2)	2380 (2)
IX.–XI. 42	8 — 9 h	867 (6)	952 (7)	2766(25)	2625(26)	3610(15)	3543(16)	3268(10)	3184 (9)
	16 — 17 h	876 (6)	709 (6)	1982(27)	1809(27)	2312 (8)	2097 (8)	2881 (5)	3163 (5)

⋈ = dunstfrei, sehr gute Sicht; ∞° = leichter Dunst, gute Sicht;
∞¹ mäßiger Dunst und Sicht; ∞² = starker Dunst, schlechte Sicht.

Tabelle 3. Die Beziehung der Groß- und Mittelionen zur Bewölkungsmenge in Zehnteln.

Jahreszeit	Zeit	$\leq 2/10$ +	$\leq 2/10$ −	$4-6/10$ +	$4-6/10$ −	$\geq 8/10$ +	$\geq 8/10$ −
XII. 41–II. 42	8– 9h	3574(32)	3307(32)	4175(5)	3177(5)	4083(17)	3982(17)
	14–15h	3235(35)	3049(35)	3841(9)	3653(9)	7015 (9)	6233 (9)
III.–V. 42	8– 9h	2518(17)	2679(16)	2322(4)	2409(3)	3138(11)	3278(11)
	14–15h	2026 (9)	1990(10)	2410(5)	2430(5)	1664 (9)	1783 (9)
VI.–VIII. 42	10–11h	1904(38)	1790(38)	1454(8)	1379(8)	2564 (9)	2665 (9)
	16–17h	1724(28)	1632(28)	2382(7)	2009(7)	2636 (5)	2953 (5)
IX.–XI. 42	11–12h	2928(38)	2888(37)	2858(8)	2928(8)	3172 (7)	3360 (7)
	14–15h	1959(32)	1796(33)	1318(7)	1736(7)	2234 (9)	2239(10)

Tabelle 3. Im Frühling von 14—15 h sind die Mittelwerte der ersten Klasse besonders durch die Resultate einer Messung bei starkem Dunst erhöht. Anderseits wurden die Mittelwerte der letzten Klasse durch drei Wertepaare vermindert: der eine trat bei schwachem Dunst und eher tiefer RF, der andere bei leichtem Dunst und frischem Wind aus WSW auf, im dritten fiel schwacher Regen.

Die Messungen des Winters 1941/42 und die hier mitgeteilten Resultate des Herbstes 1942 zeigen keine Ausnahmen. Im Frühling 1942 gab eine der Messungen von 16—17 h bei leichtem Wind eher kleine Werte wegen Reinheit der Luft und kleiner RF. Dagegen wurden die Daten der dritten Klasse durch zwei Wertepaare erhöht. Die Station lag im Warmsektor einer Depression. Einige Werte bei frischem Wind sind etwas hoch. In einem Fall war Einströmung von kontinentaler Luft zu konstatieren, in den anderen vermutlich von warmer Luft.

Im Sommer von 16—17 h sind die Mittelwerte bei leichtem Wind besonders durch zwei Bestimmungen bei sehr guter Sicht verkleinert. Dagegen wurden diejenigen mit mäßigem Wind durch einige Wertepaare mit hoher RF oder starkem Dunst und im allgemeinen mit Luft aus warmen Gegenden vergrößert.

Barometrischer Gradient zwischen der Nord- und Südseite der Alpen. Im allgemeinen nimmt mit der Zunahme des barometrischen N—S-Gradienten die Anzahl der Groß- und Mittelionen ab (siehe Tabelle 5).

Untersuchen wir die Ausnahmen der Tabelle. Im Frühling, von 16—17 h, gaben zwei Messungen der ersten Aprildekade größere Werte als die übrigen (größer als 3500). Die Station lag im Warmsektor einer Depression; in einem Fall wurde starker Barometerfall festgestellt. Im Herbst 1942 weisen, vom ersten Zeitintervall abgesehen, die anderen Messungen mehrere Ausnahmen von der allgemeinen Regel auf. Die Daten der zwei letzten Klassen wurden durch zu hohe Werte vergrößert, die bei starkem Dunst oder hoher RF oder ruhiger Luft gefunden wurden; ebenso durch Werte vom November. Diese sind größer als die entsprechenden der vorhergehenden Monate und gehören fast alle der zweiten und dritten Klasse an.

Tabelle 4. Die Beziehung der Groß- und Mittelionen zur Windstärke (in halber Beaufortskala).

Jahreszeit	Zeit	C +	C −	1, 1—2 +	1, 1—2 −	2, 2—3 +	2, 2—3 −	≥ 3 +	≥ 3 −
XII. 41–II. 42	11 — 12 h	10820(4)	9195(4)	7043(20)	6375(20)	5839(20)	5075(20)	2183(11)	1895(11)
	14 — 15 h	9504(6)	8978(6)	4639(11)	4228(11)	3144(24)	2865(24)	1967(10)	1810(10)
III.–V. 42	8 — 9 h	4730(5)	5496(5)	3006(17)	3099(15)	1635 (9)	1621 (9)	707 (3)	833 (3)
	16 — 17 h	—	—	1542 (6)	1571 (6)	1965(13)	2248(13)	2077 (8)	1840 (8)
VI.–VIII. 42	8 — 9 h	4180(7)	3792(7)	2695(36)	2703(34)	1740(20)	1654(18)	—	—
	16 — 17 h	2233(1)	2331(1)	1587(11)	1535(11)	2064(30)	2045(29)	1410 (6)	1484 (6)
IX.–XI. 42	11 — 12 h	3800(5)	4048(5)	3598(23)	3372(22)	2312(25)	2494(25)	1210 (2)	1190 (2)
	16 — 17 h	3517(3)	2957(3)	2424(18)	2267(18)	1703(22)	1617(22)	1348 (4)	1203 (4)

Windstärke. Im allgemeinen nimmt die Anzahl der Groß- und Mittelionen mit zunehmender Windstärke ab. Die größten Werte treten bei Windstille auf. Sehr ausgeprägt ist der Unterschied zwischen den Werten der ersten (Windstille) und der letzten Klasse (Fälle mit mindestens frischem Wind), (Tabelle 4). Das ruhige Wetter begünstigt die Bildung der Ionen durch die radioaktiven Stoffe des Bodens. Elektronen und positive Moleküle können sich ungestört vom Wind mit den Unreinheiten der ruhenden Luft verbinden.

Windsektoren. Betrachten wir das Material ohne Berücksichtigung der Windstärke. Wie schon bemerkt, tre-

Tabelle 5. Die Beziehung der Groß- und Mittelionen zum barometrischen Gradienten (△) in mb.

Jahreszeit	Zeit	△ < 0 mb +	△ < 0 mb −	0 mb ≤ △ < 5 mb +	0 mb ≤ △ < 5 mb −	5 mb ≤ △ +	5 mb ≤ △ −
XII. 41–II. 42	8 — 9 h	4590(12)	4208(12)	3902(19)	3662(19)	3363(28)	3084(28)
	14 — 15 h	6557 (8)	5950 (8)	3731(18)	3405(18)	3343(25)	3137(25)
III.–V. 42	8 — 9 h	3262(16)	3381(15)	2538(14)	2826(13)	679 (3)	678 (3)
	16 — 17 h	2098(13)	2175(13)	2063(11)	2358(11)	1578 (4)	1012 (4)
VI.–VIII. 42	8 — 9 h	2906(18)	2997(17)	2577(34)	2519(31)	1924(11)	1743(11)
	16 — 17 h	2172(16)	2086(16)	1867(27)	1821(27)	983 (5)	1218 (4)
IX.–XI. 42	8 — 9 h	3650(13)	3312(14)	3065(28)	3017(27)	1816(14)	1766(15)
	16 — 17 h	1523(11)	1374(11)	2161(23)	1948(23)	1856(13)	1721(13)

ten die größten Werte bei Windstille auf. Im Herbst und im Winter hat man bei Winden aus ENE—SSE (Magadino-Ebene) meist größere Werte als bei Winden aus anderen Richtungen. Im Herbst und Winter 1942 nach 16 h entsprechen die größten Werte dem Winde aus NNW—NE, vermutlich wirkt sich der Rauch von den Häusern oberhalb der Station aus. Im Herbst 1941 treten von 16 bis 18 h die größeren Werte bei Wind aus W—NW (Centovalli und Vallemaggia) auf. Im Frühling und Sommer ist allerdings die Beziehung zwischen Windrichtung und Ionen weniger klar: in der Mehrzahl der Fälle trifft man die größten Werte bei Wind aus den Sektoren S—WSW (See) oder W—NW, manchmal aber auch bei Winden aus ENE—SSE (Vormittag des Sommers 1942 und für gewisse Zeitintervalle der Periode April bis August 1941). Die Beziehung zwischen kleineren Werten der Groß- und Mittelionen und den Windsektoren ist nicht klar, für das Winter- noch weniger als für das Sommerhalbjahr.

Wir gehen hier noch kurz auf die Fälle mit mindestens mäßigem Wind ein, verzichten jedoch auf eine ausführliche Diskussion und beschränken uns nur auf das Wesentliche. Die kleinsten Werte kommen meistens bei Wind aus dem nahen Berg (NNW—NE) vor. Ausnahmen treten am Vormittag im Winter (Wind aus W—NW), am Nachmittag im Frühling und im Sommer von 14—16 h (Wind aus ENE—SSE) auf. Oft rühren die tiefsten Werte von Nordföhnlagen her. Die Beziehung zwischen größeren Werten der Anzahl der Groß- und Mittelionen und Windsektoren ist weniger eindeutig als für die tieferen.

Im Sommer (abgesehen von 8—10 h), am Nachmittag des Frühlings, im Winter (abgesehen von 14—16 h) und im Herbst von 14—16 h ist die Anzahl der Groß- und Mittelionen bei Winden aus S—WSW (Seewinde) größer als bei denen aus anderen Sektoren. Dagegen treten die Groß- und Mittelionen am Vormittag des Herbstes und des Frühlings, im Sommer von 8—10 h und im Winter von 14—16 h in größerer Anzahl bei Winden aus ENE—SSE auf.

Barometrische Tendenz. Die Anzahl der Groß- und Mittelionen ist bei barometrischem Druckfall meist größer als bei Druckanstieg.

3. Der Einfluß der meteorologischen Elemente auf die Anzahl der Kleinionen.

Während wir bisher nur die Beziehungen der Groß- und Mittelionen zu den meteorologischen Elementen untersucht haben, wollen wir jetzt auch noch die Kleinionen betrachten.

Relative Feuchtigkeit. Im allgemeinen nimmt die Anzahl der Kleinionen mit Zunahme der RF ab. Vermutlich ist das so zu erklären: Eine gewisse Menge der Kleinionen verbindet sich mit den in der Luft schwebenden Tropfen und bildet Großionen. Bei trockener Luft sind die Kleinionen bedeutend zahlreicher als bei feuchter. Man vergleiche z. B. in der Tabelle 6 die Daten der ersten mit denjenigen der letzten Klasse.

Tabelle 6. Die Beziehung der Kleinionen zur relativen Feuchtigkeit (RF).

Jahreszeit	Zeit	< 30 % RF		30—39 % RF		40—49 % RF		50—59 % RF		60—69 % RF		70—79% RF		≥ 80 % RF	
		+	−	+	−	+	−	+	−	+	−	+	−	+	−
XII. 41–II. 42	8 — 9 h	809(3)	867(3)	532(6)	496(6)	515 (7)	456 (7)	443 (8)	391 (8)	503(13)	455(13)	310(11)	312(11)	285 (9)	302 (9)
	14 — 15 h	606(6)	579(6)	364(6)	400(6)	350 (9)	315 (9)	266(13)	251(13)	286(12)	258(12)	398 (2)	340 (2)	192 (2)	194 (2)
III.–V. 42	8 — 9 h	—	—	687(3)	684(3)	685 (5)	609 (5)	607 (3)	477 (3)	306 (9)	280 (9)	310 (7)	310 (7)	99 (4)	208 (4)
	14 — 15 h	814(1)	876(1)	530(3)	546(3)	382(10)	324(10)	412 (9)	394 (9)	325 (3)	345 (3)	344 (1)	436 (1)	—	—
VI.–VIII. 42	8 — 9 h	—	—	760(3)	756(3)	905 (6)	691 (6)	662(11)	548(11)	588(16)	466(16)	271(15)	268(15)	122 (3)	179 (4)
	14 — 15 h	839(2)	642(2)	630(6)	463(6)	559(18)	426(18)	437(22)	381(22)	270 (2)	196 (2)	186 (1)	136 (1)	137 (1)	128 (1)
IX.–XI. 42	11 — 12 h	464(1)	401(1)	570(6)	501(6)	438 (3)	340 (3)	446(10)	349(10)	363(22)	315(22)	267 (8)	254 (8)	98 (2)	100 (2)
	16 — 17 h	756(2)	696(2)	603(6)	580(6)	452 (8)	436 (8)	428(16)	372(16)	327(12)	311(11)	246 (4)	186 (4)	0 (1)	0 (1)

Untersuchen wir die wichtigsten Ausnahmen dieser Tabelle. Im Winter von 8—9 h sind die Mittelwerte bei einer RF von 60 bis 69 % durch die Resultate von vier Messungen bei guter Sicht erhöht. In zwei Fällen überschritt der barometrische N—S-Gradient 6 mb, und im Laufe des Vormittags kam der Nordföhn.

Im Frühling, im ersten Zeitintervall, werden die Daten mit einer RF von 60—69 % durch zwei Wertepaare, die bei mäßigem Dunst und Windstille oder nur leichtem Wind erhalten wurden, verkleinert. Von 14—15 h werden die Mittelwerte der Klasse mit einer RF von 40—49 % besonders durch eine Messung, die aus uns unbekannten Gründen tiefe Werte lieferte, vermindert. Die Daten der nachfolgenden Klasse werden durch die Resultate einer Bestimmung bei leichtem Dunst und frischem Wind aus SW vergrößert. Die einzige Messung mit einer RF von 70—79 % gab eher zu große Werte, es herrschte wenig Dunst. Im Sommer von 8—9 h ist N_{p+} mit einer RF von 40—49 % durch zwei Werte bei leichten Nordföhnlagen erhöht.

Im Herbst von 11—12 h gab die einzige Bestimmung mit einer RF kleiner als 30 % eher tiefe Werte trotz des Nordföhns. Die Daten mit einer RF von 40—49 % werden durch ein Wertepaar erniedrigt (mäßiger Dunst und Herannahen einer Störung). Die einzige Messung mit einer RF größer als 80 % von 16—17 h ($N_{p\mp} = N_{p-} = 0$) wurde bei fast bedecktem Himmel nach einigen Tagen mit Regen vorgenommen.

Dunst und Sicht. Im allgemeinen nimmt die Anzahl der Kleinionen mit der Zunahme des Dunstes und entsprechender Sichtverschlechterung ab. Ein Teil der Kleinionen verbindet sich mit den Unreinheiten der Luft und bildet Langevinionen. Wie aus Tabelle 7 ersichtlich ist, ist der Unterschied zwischen den Fällen ohne Dunst und denjenigen mit mäßigem oder starkem Dunst meistens sehr ausgeprägt.

Tabelle 7. Die Beziehung der Kleinionen zu Dunst und Sicht.

Jahreszeit	Zeit	⋈ +	⋈ −	∞° +	∞° −	∞¹ +	∞¹ −	∞² +	∞² −
XII. 41–II. 42	8 — 9 h	745 (6)	746 (6)	540(20)	498(20)	348(11)	328(11)	309(20)	300(20)
	16 — 17 h	847 (5)	793 (5)	356(14)	315(14)	284 (9)	258 (9)	310(15)	288(15)
III.–V. 42	8 — 9 h	716 (2)	622 (2)	537(11)	507(11)	285(16)	282(16)	349 (3)	331 (3)
	14 — 15 h	535 (4)	610 (4)	430(14)	407(14)	342 (9)	309 (9)		
VI.–VIII. 42	8 — 9 h	867 (6)	776 (6)	674(19)	519(20)	433(21)	365(21)	241 (7)	267 (7)
	16 — 17 h	689(11)	561(11)	445(23)	392(23)	426(10)	367(11)	339 (2)	305 (2)
IX.–XI. 42	8 — 9 h	713 (7)	775 (7)	460(22)	426(22)	325(11)	308(11)	175 (8)	148 (8)
	16 — 17 h	712 (7)	663 (7)	394(28)	354(28)	361 (8)	362 (7)	297 (5)	247 (5)

⋈ = dunstfrei, sehr gute Sicht; ∞° = leichter Dunst, gute Sicht;
∞¹ = mäßiger Dunst und Sicht; ∞² = starker Dunst, schlechte Sicht.

Betrachten wir einige Ausnahmen.

Im Winter von 16—17 h wurden die Daten der dritten Klasse durch die Resultate von drei Messungen erniedrigt: in zwei Fällen war der Dunst tagsüber stark, im dritten Fall herrschte den ganzen Tag Windstille, und der Dunst war schichtförmig. Die Mittelwerte der letzten Klasse dagegen werden besonders durch den Beitrag einer Bestimmung bei mäßigem bis frischem Wind aus SW vergrößert. Im Frühling von 8—9 h wurden die Daten mit mäßigem Dunst von vier Wertepaaren mit einer RF von 70 bis 79 % erniedrigt.

Tabelle 8. Die Beziehung der Kleinionen zur Bewölkungsmenge in Zehnteln.

Jahreszeit	Zeit	≤ 2/10 +	≤ 2/10 −	4—6/10 +	4—6/10 −	≥ 8/10 +	≥ 8/10 −
XII. 41–II. 42	8- 9h	482(32)	456(32)	323 (5)	304 (5)	384(15)	378(15)
	14-15h	364(34)	354(34)	285 (8)	258 (8)	277 (9)	253 (9)
III.–V. 42	8- 9h	464(16)	413(16)	402 (4)	364 (4)	362 (8)	398 (8)
	16-17h	451(10)	388(10)	476 (7)	391 (7)	283 (6)	304 (6)
VI.–VIII. 42	8- 9h	591(33)	495(33)	322 (6)	304 (6)	461 (9)	376 (9)
	14-15h	531(28)	410(28)	432(12)	363(12)	488 (5)	378 (5)
IX.-XI. 42	11-12h	407(37)	347(37)	417 (8)	324 (8)	235 (5)	217 (5)
	14-15h	405(32)	369(32)	431 (7)	416 (7)	311 (8)	228 (9)

Bewölkungsmenge. Wir haben häufig gefunden, daß bei starker Bewölkung die Anzahl der Kleinionen kleiner ist als bei leichter. Der Unterschied ist allerdings manchmal nicht groß (siehe Tabelle 8). Auch der Verlauf der Kleinionen bei mäßiger Bewölkung ist unregelmäßig, wie wir es schon für die Groß- und Mittelionen fanden.

Windstärke. Die Anzahl der Kleinionen nimmt im allgemeinen mit der Windstärke zu. Ganz deutlich ist der Unterschied in Fällen von Windstille und solchen mit frischem Wind, (siehe Tabelle 9).

Die Ausnahmen sind folgende:

Im Sommer von 16—17 h sind die Daten mit mäßigem Wind durch einige Wertepaare bei Nordföhn erhöht. Diejenigen der letzten Klasse werden dagegen durch drei Wertepaare (in zwei Fällen besonders N_{p-}) erniedrigt. Zweimal befand sich vermutlich auf der Station tropische Luft, ein anderes Mal gealterte maritime Luft.

Im Herbst werden im letzten Zeitintervall die Daten mit schwachem Wind besonders durch drei Wertepaare vermindert. Zwei Messungen bei hoher RF gaben $N_{p+} = N_{p-} = 0$; die dritte bei starkem Dunst lieferte tiefe Werte, nachdem die RF kurz vorher um 10 % gestiegen war.

Barometrischer Gradient. Im allgemeinen sind die Kleinionen weniger zahlreich bei negativem barometrischen Gradienten. Sie nehmen zu mit steigendem positiven Gradienten. Im Jahre 1942 treten nur wenige Ausnahmen auf; sie beschränken sich auf Winter und Herbst. Betrachten wir diejenigen von Tabelle 10.

Im Winter von 8—9 h sind N_{p-} der ersten und der zweiten Klasse fast gleich groß. Die Werte der zweiten Klasse werden durch einige Wertepaare erniedrigt, die bei hoher RF oder schlechter Sicht vorkamen. In einem Fall nahm der Dunst während der Messung zu.

Windsektoren. Aus den nach der ersten Methode aufgestellten Tabellen folgt, daß die größte Anzahl der Kleinionen im Sommerhalbjahr oft bei Winden aus ENE—SSE (Wind aus Magadino-Ebene), in einigen Fäl-

Tabelle 9. Die Beziehung der Kleinionen zur Windstärke (in halber Beaufortskala).

Jahreszeit	Zeit	C +	C −	1, 1—2 +	1, 1—2 −	2, 2—3 +	2, 2—3 −	≥ 3 +	≥ 3 −
XII. 41–II. 42	8 — 9 h	334(15)	321(15)	416(28)	390(28)	596(12)	568(12)	735 (2)	703 (2)
	14 — 15 h	229 (6)	196 (6)	274(10)	246(10)	330(24)	306(24)	500(10)	514(10)
III.–V. 42	8 — 9 h	192 (5)	239 (5)	372(15)	342(15)	475 (8)	447 (8)	760 (3)	737 (3)
	14 — 15 h	355 (1)	328 (1)	305 (3)	310 (3)	409(13)	404(13)	467(11)	435(11)
VI.–VIII. 42	10 — 11 h	—	—	456(23)	408(23)	546(25)	414(25)	760 (4)	535 (4)
	16 — 17 h	—	—	412(13)	397(13)	537(28)	442(29)	513 (6)	405 (6)
IX.–XI. 42	11 — 12 h	210 (4)	182 (4)	329(23)	291(23)	451(24)	376(24)	567 (2)	478 (2)
	16 — 17 h	368 (3)	392 (3)	333(20)	320(19)	489(22)	391(22)	628 (3)	578 (3)

Tabelle 10. Die Beziehung der Kleinionen zum barometrischen Gradienten (△) in mb.

Jahreszeit	Zeit	△ < 0 mb +	△ < 0 mb −	0 mb ≤ △ < 5 mb +	0 mb ≤ △ < 5 mb −	5 mb < △ +	5 mb < △ −
XII. 41–II. 42	8– 9h	330(11)	326(11)	346(18)	323(18)	550(28)	523(28)
	14–15h	270 (7)	221 (7)	312(18)	301(18)	381(25)	367(25)
III.–V. 42	8– 9h	328(13)	358(13)	476(14)	419(14)	684 (3)	560 (3)
	14–15h	371(12)	350(12)	452(13)	431(13)	462 (2)	484 (2)
VI.–VIII. 42	8– 9h	427(17)	368(17)	528(28)	444(29)	756 (9)	609 (9)
	16–17h	438(15)	382(15)	487(27)	410(28)	750 (5)	638 (5)
IX.–XI. 42	8– 9h	197 (9)	149 (9)	411(26)	395(26)	558(15)	569(15)
	16–17h	297(11)	283(10)	427(24)	393(24)	500(14)	444(14)

len (weniger zahlreich) bei solchen aus S—WSW (See) oder aus W—NW (Centovalli und Vallemaggia) vorkommt, im Winterhalbjahr eher bei Winden aus den nördlichen Sektoren (Hangwind und Wind aus W—NW). Wie schon bemerkt, treten die tiefsten Werte bei Windstille auf.

Betrachten wir nur die Fälle mit mindestens mäßigem Wind. Die größte Anzahl der Kleinionen finden wir bei Bergwinden im Sommer und Winter (abgesehen für beide Jahreszeiten von 8—10 h) und im Herbst am Vormittag. Dagegen sind die Kleinionen zahlreicher bei Winden aus NW im Frühling von 10—12 h, im Herbst von 14—16 h und im Winter von 8—10 h. Am Nach-

Tabelle 11. Die Beziehung der elektrischen Leitfähigkeit der Luft × 10⁻⁶ e. s. e. zur relativen Feuchtigkeit (RF).

Jahreszeit	Zeit	< 30 % RF +	< 30 % RF −	30—39 % RF +	30—39 % RF −	40—49 % RF +	40—49 % RF −	50—59 % RF +	50—59 % RF −	60—69 % RF +	60—69 % RF −	70—79 % RF +	70—79 % RF −	≥ 80 % RF +	≥ 80 % RF −
XII. 41–II. 42	8 9 h	158(3)	159(3)	102(6)	97(6)	85 (7)	90 (7)	79 (7)	73 (7)	82(13)	88(13)	49(11)	56(11)	41 (8)	59 (8)
	14 — 15 h	91(6)	105(6)	63(6)	63(6)	55 (9)	57 (9)	42(13)	49(13)	44(12)	48(12)	47 (2)	58 (2)	30 (2)	34 (2)
III.–V. 42	8 — 9 h			139(3)	136(3)	124 (5)	140 (5)	115 (4)	128 (4)	89(10)	86(10)	55 (7)	54 (7)	24 (3)	37 (3)
	14 — 15 h	124(2)	179(2)	92(3)	79(3)	62(11)	59(11)	71 (9)	76 (9)	63 (3)	62 (3)	57 (1)	106 (1)	0 (1)	0 (1)
VI.–VIII. 42	8 9 h			146(3)	149(3)	133 (6)	136 (6)	111(11)	102(11)	92(16)	93(16)	54(14)	53(15)	28 (4)	19 (4)
	14 — 15 h	135(2)	100(2)	106(6)	98(6)	107(18)	86(18)	77(22)	73(22)	62 (2)	68 (1)	39 (1)	18 (1)	38 (1)	26 (1)
IX.–XI. 42	8 - 9 h	121(1)	182(1)	125(6)	132(6)	108 (4)	106 (4)	107 (7)	112 (7)	100 (8)	104 (8)	61(15)	58(16)	36(10)	25(10)
	14 — 15 h	98(2)	114(2)	94(5)	96(5)	79 (9)	81 (9)	79(23)	81(23)	65 (7)	82 (5)	30 (9)	29 (4)	53 (1)	27 (1)

Tabelle 12. Die Beziehung der elektrischen Leitfähigkeit der Luft × 10⁻⁶ e. s. e. zu Dunst und Licht.

Zeit	⋈ +	⋈ −	∾⁰ +	∾⁰ −	∾¹ +	∾¹ −	∾² +	∾² −
8 – 9 h	135 (6)	136 (6)	94(20)	96(20)	50(10)	57(10)	51(19)	59(19)
14 – 15 h	114 (6)	126 (6)	55 (4)	52 (4)	48(14)	54(14)	42(25)	46(25)
11 – 12 h	110 (6)	95 (6)	80(16)	85(15)	69(10)	75(10)	72 (3)	62 (3)
14 – 15 h	91 (5)	111 (5)	76(14)	75(14)	63 (7)	70 (7)	46 (1)	38 (1)
8 – 9 h	153 (6)	159 (6)	102(20)	96(20)	77(20)	75(20)	42 (7)	45 (8)
16 – 17 h	120(11)	115(11)	86(22)	81(22)	75(11)	68(11)	90 (1)	68 (1)
8 – 9 h	140 (7)	148 (7)	84(22)	89(22)	70(12)	67(13)	38 (9)	29 (9)
16 – 17 h	130 (7)	137 (7)	78(27)	75(27)	73 (9)	66 (8)	59 (5)	56 (5)

⋈ = dunstfrei, sehr gute Sicht; ∾⁰ = leichter Dunst, gute Sicht;
∾¹ = mäßiger Dunst und Sicht; ∾² = starker Dunst, schlechte Sicht.

Tabelle 13. Die Beziehung der elektrischen Leitfähigkeit der Luft × 10⁻⁶ e. s. e. zur Bewölkungsmenge.

	Zeit	≤ 2/10 +	≤ 2/10 −	4—6/10 +	4—6/10 −	≥ 8/10 +	≥ 8/10 −
XII. 41–II. 42	8 – 9 h	80(32)	88(32)	63 (5)	57 (5)	62(14)	67(14)
	14 – 15 h	56(33)	64(33)	46 (9)	49 (9)	43 (9)	49 (9)
III.–V. 42	11 – 12 h	84(20)	88(19)	100 (3)	100 (3)	67 (8)	61 (8)
	16 – 17 h	80(12)	81(12)	84 (7)	75 (7)	60 (6)	72 (6)
VI.–VIII. 42	8 – 9 h	103(33)	98(33)	54 (6)	52 (7)	67(10)	60(10)
	14 – 15 h	95(27)	89(27)	82(12)	72(12)	89 (4)	84 (4)
IX.–XI. 42	11 – 12 h	70(39)	65(38)	72 (9)	61 (9)	48 (5)	42 (5)
	14 – 15 h	74(33)	78(33)	93 (7)	98 (7)	54 (9)	48 (8)

Tabelle 14. Die Beziehung der elektrischen Leitfähigkeit der Luft × 10⁻⁶ e.s.e. zur Windstärke (in halber Beaufortskala).

Zeit	C +	C −	1, 1—2 +	1, 1—2 −	2, 2—3 +	2, 2—3 −	≥ 3 +	≥ 3 −
11 – 12 h	38(4)	37(4)	44(17)	43(17)	54(21)	46(20)	68(10)	66(10)
14 – 15 h	36(6)	38(6)	40(10)	46(10)	52(24)	58(24)	83 (9)	89 (9)
8 – 9 h	35(5)	51(5)	79(15)	76(15)	115 (9)	124 (9)	149 (3)	151 (3)
14 – 15 h	66(1)	42(1)	40 (3)	43 (3)	68(14)	70(14)	83(11)	95(11)
8 – 9 h	40(4)	44(4)	82(30)	74(31)	109(20)	107(20)	—	—
16 – 17 h			86(10)	74(10)	93(30)	90(30)	103 (6)	77 (6)
11 – 12 h	32(5)	29(5)	64(22)	58(22)	79(25)	72(24)	86 (2)	78 (2)
14 – 15 h	3(1)	3(1)	69(14)	72(14)	77(33)	77(32)	104 (3)	122 (3)

Tabelle 15. Die Beziehung der elektrischen Leitfähigkeit der Luft × 10⁻⁶ e. s. e. zum barometrischen Gradienten (△) in mb.

	Zeit	△ < 0 mb +	△ < 0 mb −	0 mb ≤ △ > 5 mb +	0 mb ≤ △ > 5 mb −	5 mb > △ +	5 mb > △ −
XII. 41–II. 42	11 – 12 h	47(10)	40(10)	43(17)	44(16)	60(26)	53(26)
	14 – 15 h	43 (7)	50 (7)	47(19)	52(19)	60(25)	65(25)
III.–V. 42	8 – 9 h	74(13)	82(13)	90(15)	94(15)	178 (3)	165 (3)
	14 – 15 h	64(13)	68(13)	71(14)	69(14)	77 (2)	91 (2)
VI.–VIII. 42	8 – 9 h	72(17)	76(17)	87(28)	82(29)	128 (9)	119 (9)
	16 – 17 h	51(15)	73(15)	88(25)	84(25)	128 (6)	120 (6)
IX.–XI. 42	8 – 9 h	44 (9)	33 (9)	78(26)	75(27)	106(15)	115(15)
	16 – 17 h	65(12)	57(11)	81(25)	80(25)	95(11)	106(11)

mittag des Frühlings tritt die größte Anzahl der Kleinionen bei Winden aus der Magadino-Ebene auf.

Luftdrucktendenz. Meistens sind die Kleinionen bei fallendem Luftdruck weniger zahlreich als bei steigendem.

4. Elektrische Leitfähigkeit der Luft.

Wie man leicht aus den Tabellen Nr. 11—15 ersieht, ist die Abhängigkeit der Leitfähigkeit von den verschiedenen meteorologischen Faktoren gleich derjenigen der Kleinionen. Wir verzichten deshalb darauf, die Resultate der Leitfähigkeitsmessungen hier zu diskutieren.

5. Messungen der luftelektrischen Größen während und nach Niederschlägen.

Die hohe Feuchtigkeit ist gefährlich für die Isolation der Apparatur. Bei Niederschlag wurde deswegen nur sehr selten gemessen. Einige Bestimmungen bei Regen gaben jedoch interessante Resultate, die wir hier besprechen wollen.

23. V. 41. Südföhnlage, die durch folgende Angaben charakterisiert ist: bedeckt bei Aufhellungen am Vormittag, RF meist zwischen 70 und 80 %, Windstille oder nur schwache Winde. Schon am Vormittag fielen zeitweise einige Regentropfen, nachmittags Regen in Schauern und nach 16.40 h mäßiger oder schwacher Regen. Es wurde jede Viertelstunde die Anzahl der Groß- und Mittelionen von 8—18 h, abgesehen von der Mittagspause, gemessen. Den ganzen Tag herrschte eine mehr oder weniger ausgesprochene negative Unipolarität, die während des Regens ausgeprägter wurde. Die Mittelwerte der Beobachtungen nach 16.40 h sind: $N_{t+} = 807$ (5) und $N_{t-} = 2439$ (4).

5. I. 42. Südföhnlage: bedeckt mit meist schwachen Niederschlägen, RF größer als 90 %, schlechte Sicht, schon etwa eine halbe Stunde vor der Messung leichter Regen. Um 8.40 h: $N_{t+} = 6282$ und $N_{t-} = 5269$. Während der Bestimmung der Kleinionen ($N_{p+} = 98$, $N_{p-} = 228$) mäßiger Regen, der vermutlich die negative Unipolarität der Kleinionen verursachte.

21. VII. 43. Zwischen 7 und 8 h starker Wind aus NW mit ausgeprägter Besserung der Sicht. Drohender Himmel. Am Anfang der Messung Gewitter im WSW, welches die Station am Ende der Messung erreichte. N_{t+} und N_{t-} waren je ungefähr 850, $\lambda_+ = 183$ und $\lambda_- = 148 \cdot 10^{-6}$ e · s · e. Während der Messung der negativen Kleinionen war der Regen begleitet von frischem W-Wind, stärker als vorher. Ergebnisse: $N_{p+} = 681$ und $N_{p-} = 1197$, d. h. also negative Unipolarität für die Kleinionen.

23. VII. 43. Gewitterhimmel. Um 16½ h: $N_{t+} = 1157$ und nach Einsetzen des Regens: $N_{t-} = 952$, $\lambda_+ = 122$, $\lambda_- = 240 \cdot 10^{-6}$ e · s · e, $N_{p+} = 569$ und $N_{p-} = 920$. Negative Unipolarität für die Leitfähigkeit und für die Kleinionen.

Manche Fälle mit sehr leichtem Niederschlag (Regentropfen, Schneeflocken, ●°, ✳°) zeigen kein eindeutiges Verhalten, vermutlich wegen des stärkeren Einflusses anderer Faktoren. Manchmal ist die Anzahl der Groß- und Mittelionen zu groß, manchmal bleibt sie fast normal. Kleinionen und elektrische Leitfähigkeit weisen fast normale oder nur wenig tiefere Werte auf.

Die Resultate der Messungen der elektrischen Größen nach dem Regen geben kein eindeutiges Bild, besonders nicht für die Groß- und Mittelionen. Die Anzahl der letzteren ist in einigen Fällen eher groß, in anderen ist sie relativ klein, selten sehr tief. Die Kleinionen und die elektrische Leitfähigkeit erreichen nicht selten ziemlich tiefe Werte, manchmal in der Nähe von Null oder sogar gleich Null.

Die Messungen bei schneebedecktem Boden sind selten, deswegen zu ungenügend, um aus ihnen allgemeine Schlüsse zu ziehen. Betrachten wir jedoch einige Fälle.

Im Januar 1939 kam an einem Tag die größte Anzahl der Groß- und Mittelionen (inbegriffen zwischen 6500 und 9000) zwischen 10 h und 12 h nach einem Schneefall und darauf folgender nächtlicher Aufhellung vor. Am 6. II. 42 zeigten bei einer Schneedecke von etwa 5 cm die luftelektrischen Größen keine wesentliche Änderung gegenüber dem Vortage. Am Vormittag des 13. I. 43 lagen am Boden 9 cm Schnee vom vorhergehenden Tag. Aus dem Vergleich mit den Daten vom 11. ist folgendes festzustellen: Um 8½ h des 13. hat N_{t-} um etwa 1000 abgenommen, dagegen ist N_{t+} ungefähr gleich geblieben (N_{t-} ist etwa ⅔ von N_{t+}). Die Leitfähigkeit hat zugenommen, besonders die negative, welche um ein Drittel größer als die positive ist. Um 8½ h des 14. I. 43 konnte bei einer unzusammenhängenden Schneedecke eine starke negative Unipolarität der Leitfähigkeit festgestellt werden: $\lambda_+ = 54$, und $\lambda_- = 146 \cdot 10^{-6}$ e · s · e, wenig ausgeprägte positive Unipolarität der Groß- und Mittelionen: $N_{t+} = 5436$ und $N_{t-} = 3553$. Am nachfolgenden Tag zur gleichen Zeit erreichte bei Neuschnee und gefrorenem Boden die Leitfähigkeit für beide Vorzeichen etwa $190 \cdot 10^{-6}$ e · s · e, dagegen trat für die Groß- und Mittelionen eine bedeutende Abnahme ($N_{t+} = 2848$, $N_{t-} = 1803$) ein. Die Kleinionen konnten in den zwei letzten Januardekaden nicht bestimmt werden. In anderen Fällen nahm die Anzahl der Groß- und Mittelionen zu oder es trat eine Verminderung der Kleinionen und der Leitfähigkeit ein. Manchmal war es unmöglich wegen des Nordföhns den Einfluß des Schnees auf die atmosphärische Elektrizität zu erkennen.

6. Messungen bei Nordföhn.

Oft schützen die Alpen die Südseite vom Einfluß der atlantischen Depressionen und ihrer Luftmassen nördlichen und östlichen Ursprungs. Daher ist der Luftkörperwechsel südlich der Alpen weniger häufig und manchmal auch weniger ausgeprägt als auf der Nordseite. Nur wenn die neuen Luftmassen die Alpen bei Nordföhn überschreiten, erreichen sie den Grund der südalpinen Täler. Diese Fälle sind vielleicht die einzigen, welche eine vollständige Änderung des Luftkörpers in der Locarneser Mulde, mindestens für die tiefsten Schichten, verursachen. Bei anderen Lagen mischt sich die neue Luft mit der hier schon liegenden, ohne sie vollständig zu ersetzen.

In der großen Mehrzahl der hier untersuchten Fälle bildeten sich die Nordföhnlagen nach dem Vorstoß des Azorenhochs nach West- und Mitteleuropa, nicht selten mit einem Hochdruckkeil nördlich der Alpen. Die durch den Nordföhn transportierte Luft kam aus W oder NW, weniger häufig aus N. Wegen den spärlichen meteorologischen Auslandsmeldungen ist es oft schwer, den sicheren Ursprung des Luftkörpers zu bestimmen. In wenigen Fällen lag die Antizyklone über Osteuropa, mit einem Keil nördlich der Alpen. In einigen Fällen bedeckte das Hochdruckgebiet die Nordseite der Alpen mehr oder weniger von Westen nach Osten, indem im Süden ein Tiefdruckgebiet lag. Je nach der Lage der Antizyklone und der Depression weht der Nordföhn an der Station Locarno-Monti aus Sektor E oder Sektor W, nachts und in den ersten Vormittagsstunden und am Abend auch aus Sektor N.

Zur Untersuchung des Nordföhneinflusses haben wir tägliche oder halbtägliche Mittel der Ionenzahl und der Werte der elektrischen Leitfähigkeit gebildet, die wir mit den entsprechenden vom vorigen Meßtag ohne Nordföhn und eventuell, wenn keine Messungen vorher ausgeführt wurden, mit den Mittelwerten des ersten Meßtages nach dem Nordföhn verglichen. So weit es möglich war, benutzten wir die Messungen zu den gleichen Terminen. Tabelle 16 enthält eine Auswahl von Vergleichsmessungen.

Es zeigt sich, daß im allgemeinen die Anzahl der Groß- und Mittelionen bei Nordföhn stark sinkt, dagegen nehmen Kleinionen und elektrische Leitfähigkeit zu. Das ist zum großen Teil die Folge der Reinheit der Luft und der Trockenheit ihrer tiefsten Schichten. Die Mittelwerte der Anzahl der Groß- und Mittelionen bei Nordföhn sind meist $1^1/_2$- bis 4mal kleiner als diejenigen ohne Nordföhn. In einigen Fällen ist der Quotient 5, 6, 7 und sogar größer. Die Kleinionenzahl ist ungefähr in der Hälfte der Fälle etwa $1^1/_2$- bis 2mal größer bei Nordföhn. Selten ist der Quotient größer als 3. In ungefähr $^1/_4$ der Fälle tritt nur eine leichte oder überhaupt keine Zunahme ein. Die elektrische Leitfähigkeit der Luft ist in mehr als der Hälfte aller Fälle $1^1/_2$- bis $2^1/_2$mal größer bei Nordföhn. In ungefähr $^1/_5$ der Tage ist die Zunahme wenig ausgeprägt.

14. II. 42. Diese Messungen sind interessant wegen der starken Abnahme der Groß- und Mittelionen: $N_{t+} = 507$ (3) stellt ungefähr den elften Teil und $N_{t-} = 641$ (3) ungefähr ein Achtel der entsprechenden Werte vom vorigen Tag dar. Kleinionen und elektrische Leitfähigkeit sind ungefähr doppelt so groß. Ein starker Luftdruckanstieg über Westeuropa und nördlich der Alpen verursachte diese Nordföhnlage.

9. X. 42. Die Kleinionen sind mehr als verdoppelt, die Leitfähigkeit ist etwa zweimal so groß, die Groß- und Mittelionen sind weniger als ein Drittel der Werte vom 7. X. (Tag ohne Nordföhn). Am 8. verursachte eine Kaltfront Druckanstieg auf der Alpennordseite und Druckfall auf der Südseite. Am Morgen des 9. überschritt der N—S-Gradient 10 mb.

2. III. 43. Warmer antizyklonaler Nordföhn. Um 8 h zeigen die elektrischen Größen einen großen Unterschied gegenüber dem Vortag. In der Tat sind $N_{p+} = 1085$ und $N_{p-} = 827$ 3mal, bzw. $3^1/_2$mal größer als die entsprechenden Vergleichswerte. $\lambda_+ = 192$ und $\lambda_- = 175 \cdot 10^{-6}$ e. s. e. sind 4-, bzw. $3^1/_2$mal größer. $N_{t+} = 1182$ und $N_{t-} = 902$ machen ungefähr den fünften, bzw. den sechsten Teil der Daten des Vortages aus. An den zwei letzten Tagen vor dem 2. bedeckte eine starke Antizyklone West- und Mitteleuropa. Das Hochdruckgebiet baute sich ab. Der Druckfall im Süden war stärker als im Norden, so daß eine kurze Nordföhnlage entstand, die jedoch schon im Laufe des Vormittags wieder aufhörte.

Ausnahmen von der allgemeinen Regel. Manchmal zeigten die elektrischen Größen keine merkliche Änderung bei Nordföhn. In einigen Fällen trat für die Kleinionen eine Abnahme oder eine Unpolarität ein. Nur selten kam eine Abnahme der Leitfähigkeit (diese wurde aber in den Jahren 1939 und 1940 nicht gemessen) oder eine Zunahme der Groß- und Mittelionenzahl vor. Betrachten wir die wichtigsten Ausnahmefälle.

Tabelle 16. Vergleich der luftelektrischen Größen an Tagen mit und ohne Nordföhn.
(Nordföhntage = kursiv)

Datum	Groß- u. Mittelionen +	Groß- u. Mittelionen −	Kleinionen +	Kleinionen −	Leitfähigkeit $\times 10^{-6}$ e. s. e. +	Leitfähigkeit $\times 10^{-6}$ e. s. e. −
17. IV. 39	3138 (3)	3251 (3)	273 (3)	257 (3)	-	
18. IV. 39	*721 (6)*	*647 (6)*	*419 (5)*	*318 (5)*	—	—
5. III. 40	3468 (2)	3162 (2)	234 (2)	240 (2)		-
6. III. 40	*530 (2)*	*460 (2)*	*274 (2)*	*280 (2)*	—	—
11. IX. 40	*465 (2)*	*172 (2)*	*674 (1)*	*1004 (1)*	—	—
12. IX. 40	*729 (3)*	*592 (3)*	*526 (2)*	*600 (2)*	—	—
13. IX. 40	1503 (3)	1250 (3)	470 (3)	483 (3)	—	—
17. VII. 41	*750(11)*	*812(11)*	*643(10)*	*611(10)*	*118(10)*	*120(10)*
18. VII. 41	2268 (4)	2244 (5)	355 (5)	323 (5)	68 (5)	63 (5)
5. VIII. 41	3210 (3)	3220 (3)	407 (3)	354 (3)	81 (3)	58 (3)
6. VIII. 41	*478 (3)*	*640 (3)*	*718 (3)*	*630 (3)*	*120 (3)*	*92 (3)*
29. X. 41	3232 (4)	2777 (4)	428 (4)	441 (4)	79 (4)	91 (4)
30. X. 41	*970 (5)*	*541 (5)*	*799 (5)*	*746 (5)*	*124 (5)*	*138 (5)*
29. XII. 41	5569 (5)	4661 (5)	295 (5)	259 (5)	46 (5)	54 (5)
30. XII. 41	*1588 (7)*	*1475 (7)*	*579 (7)*	*574 (7)*	*93 (7)*	*92 (7)*

Datum	Groß- und Mittelionen +	Groß- und Mittelionen −	Kleinionen +	Kleinionen −	Leitfähigkeit $\times 10^{-6}$ e. s. e. +	Leitfähigkeit $\times 10^{-6}$ e. s. e. −
23. I. 42	4457(3)	4741(3)	320(3)	294(3)	51(3)	55(3)
26. I. 42	*1013(3)*	*975(3)*	*869 (3)*	*908(3)*	*148(3)*	*136(3)*
27. I. 42	*2333(4)*	*2470(4)*	*456(4)*	*376(4)*	*70(4)*	*75(4)*
13. II. 42	5567(3)	4811(3)	293(3)	258(3)	47(3)	56(3)
14. II. 42	*507(3)*	*641(3)*	*569(3)*	*611(3)*	*100(3)*	*102(3)*
27. VII. 42	1828(3)	1735(3)	392(3)	340(3)	77(3)	73(3)
28. VII. 42	*849(3)*	*701(3)*	*997(3)*	*866(3)*	*164(3)*	*184(3)*
7. X. 42	1844(3)	1882(3)	434(3)	380(3)	93(3)	78(3)
9. X. 42	*565(3)*	*497(3)*	893(3)	*925(3)*	*162(3)*	*159(3)*
23. XI. 42	3950(4)	4574(4)	318(4)	287(4)	50(4)	70(4)
24. XI. 42	*979(7)*	*941(7)*	*601(7)*	*655(7)*	*94(7)*	*129(7)*
1. III. 43	5496(2)	5434(2)	341(1)	246(1)	47(1)	50(1)
2. III. 43	*1182(1)*	*902(1)*	*1085(1)*	*827(1)*	*192(1)*	*175(1)*
21. V. 43	2897(4)	2543(4)	392(4)	284(4)	80(4)	50(4)
25. V. 43	*959(4)*	*711(4)*	*945(4)*	*848(4)*	*162(4)*	*143(4)*
26. V. 43	*1168(4)*	*940(4)*	*882(4)*	*681(4)*	*130(4)*	*128(4)*

Betrachten wir nun einige Fälle der Tabelle 16 näher.

26. I. 42. Aus dem Vergleich mit dem 23. I. (Tag ohne Nordföhn) ersieht man, daß Kleinionen und Leitfähigkeit der Luft am 26. I. fast dreimal größer sind; Groß- und Mittelionen erreichen ungefähr den vierten Teil. Die Nordföhnlage entstand aus dem Vorstoß eines schwachen Hochdruckteils des Azorenhochs nördlich der Alpen. Der N—S-Gradient betrug etwa 5 mb. Aus dem Norden wurde ziemlich kalte Polarluft herantransportiert.

20. III. 39. Die einzige Messung (gegen 15 h) zeigte eine ausgesprochene positive Unipolarität für die Kleinionen: $N_{p+} = 452$ und $N_{p-} = 160$. Die Groß- und Mittelionen sind für beide Vorzeichen etwa 650. Es wehte unregelmäßiger Wind aus E.

22. V. 39. Eine Bestimmung um 16 h gab tiefe Werte, nicht nur für die Groß- und Mittelionen (6—700), sondern auch für die Kleinionen: $N_{p\mp} = 260$ und $N_{p-} = 278$, das ist ungefähr die Hälfte der entsprechenden Daten vom Vortage. Während der Messung war der Himmel bedeckt mit Altostratus (Mittelmeerdepression nahe der Alpen). Es wehte mäßiger bis frischer Wind aus N—NE.

15. III. 40. Die Beobachtungen von 11 und 14 h ergaben Resultate, die der allgemeinen Regel widersprechen. In der Tat: $N_{p\mp} = 160$ und $N_{p-} = 172$ (Mittelwerte) sind ungefähr ein Drittel der entsprechenden Werte ohne Nordföhn vom vorhergehenden Tage; dazu sind $N_{t+} = 2238$ und $N_{t-} = 2418$ nur wenig kleiner als das Doppelte der Vergleichsmittel. Um 16 h wurden noch kleine Werte für die Kleinionen ($N_{p\mp} = 126$ und $N_{p-} = 273$ negative Unipolarität), aber tiefere Werte als bei den anderen vorhergehenden Bestimmungen für die Groß- und Mittelionen gefunden: $N_{t\mp} = 1404$ und $N_{t-} = 1811$; am Vortage: $N_{p+} = 286$, $N_{p-} = 255$, $N_{t\mp} = 3109$ und $N_{t-} = 2831$. In der Nacht zum 15. konnte ein kräftiger Barometeranstieg mit Bildung eines Keils kalter Luft nördlich der Alpen festgestellt werden. Am 15. wehten während des ganzen Tages ungleichmäßige Winde aus Sektor E, besonders stark am Nachmittag.

4. IV. 40. Drei Messungen am Nachmittag gaben tiefe Werte für die Groß- und Mittelionen: $N_{t\mp} = 264$ und $N_{t-} = 261$ (Mittel), die ungefähr ein Sechstel und Siebentel der entsprechenden Werte vom vorigen Tag ausmachen. Für die Kleinionen fanden wir um 15.20 h: $N_{p+} = 757$ und $N_{p-} = 639$; die zwei anderen Bestimmungen um $16^1/_4$ h und um 17 h zeigten eine ausgesprochene negative Unipolarität: $N_{p+} = 229$ und $N_{p-} = 540$ (Mittel). Es wehte frischer bis starker böiger Wind aus dem NW-Sektor. Die Bewölkung anfangs nur mäßig, nahm gegen 16 h bedeutend zu; in der nachfolgenden Nacht setzen Niederschläge auf der Station ein.

18. VI. 43. Alle 4 Bestimmungen (8 h, 11 h, 14 h, 16 h) zeigten für die Kleinionen und für die Leitfähigkeit Ausnahmen von der allgemeinen Regel. Im Durchschnitt sind ihre Werte ungefähr die Hälfte der entsprechenden vom 21. des gleichen Monats ohne Nordföhn. In der Nacht vom 17./18. stieg der Luftdruck auf beiden Alpenseiten stark an.

Zusammenfassung.

Die wichtigsten Resultate der vorliegenden Untersuchung sind die folgenden:

1. Mit der Zunahme der relativen Feuchtigkeit und des Dunstes wächst die Anzahl der Groß- und Mittelionen.

2. Bei großer Bewölkungsmenge sind die Groß- und Mittelionen meist zahlreicher als bei kleiner.

3. Eine Abnahme der Anzahl der Groß- und Mittelionen wird durch die Windstärke, den zunehmenden barometrischen Gradienten zwischen der Nord- und Südseite der Alpen und besonders durch den Nordföhn verursacht.

4. Die entgegengesetzten Verhältnisse gelten für die Kleinionen und für die elektrische Leitfähigkeit der Luft.

5. Die luftelektrischen Größen zeigen (in den wenigen vorliegenden Fällen) bei Regen von einer gewissen Intensität eine negative Unipolarität.

Zum Schluß möche ich Herrn Dr. W. Brückmann für seine Ratschläge während der Entstehung dieser Arbeit meinen Dank ausdrücken.

Nr. 7

L'atmosphère moyenne de Payerne à la stratosphère ou la critique des radiosondages suisses

par

Jean Lugeon

A défaut d'un nombre suffisant de contrôles des radiosondages par la méthode de la double visée au théodolite, on peut se faire une idée du fonctionnement des sondes en comparant leurs valeurs moyennes de pression et de température rapportées aux altitudes, avec celles de l'atmosphère standard européenne.

Il est vrai que cette atmosphère n'est pas idéale; en particulier le gradient vertical de température qui fut utilisé pour l'établir, ne correspond pas à celui des couches inférieures jusqu'à 4000 m, dans l'atmosphère libre du versant nord des Alpes. Néanmoins, les chiffres calculés théoriquement par la C. I. N. A. et appuyés sur quelques centaines de sondages aérologiques des postes de Trappes, Lindenberg, Pawlowks, Friedrichshafen, Pavie, Ebre, etc., pour une vingtaine d'années sont actuellement les seuls qui se rapprochent suffisamment de la vérité.

Dans les Annales 1942, j'ai montré les erreurs considérables qui affectent les mesures de température de certains types de radiosondes, où l'on ne tient pas compte des effets du boîtier, de la constante de temps du bimétal et du givrage.

Les formules de correction établies aussi soigneusement que possible ont été appliquées à tous les radiosondages de Payerne en 1942—1943, publiés dans les Annales MZA. Je pense ainsi qu'on ose admettre ces chiffres assez sincères pour que l'erreur de leur moyenne soit très faible.

La répartition des sondages utilisables en 1942—1943 figure au tableau ci-dessous:

I	II	III	IV	V	VI	VII	VIII	IX	X	XI	XII	Total
1		4	8	13	10	8	10	8	12	3	3	80

Par suite de circonstances budgétaires et de la mobilisation des fonctionnaires, il n'a pas été possible de sonder régulièrement. La plupart des ascensions ont eu lieu par un temps relativement beau avec des températures au-dessus de la moyenne. Cette température au sol, pour l'ensemble des sondages, calculée d'après les observations de Fribourg, Neuchâtel et Lausanne fut d'environ 4,5° plus forte que la moyenne normale de Payerne évaluée à 9,1°; c'est-à-dire 1,4° plus haute que l'atmosphère standard fixée à 11,7°, à l'altitude du Poste 483 m dyn. Il en résulte que l'ensemble de la colonne d'air traversée par les ballons doit être plus chaude que la normale avec une certaine irrégularité dans la répartition des couches inférieures.

Par ailleurs, la pression moyenne de base est également notablement trop élevée avec ses 4,2 mbar au-dessus de l'atmosphère standard. Ainsi, aux mêmes isostères, la différence de pression entre la sonde et l'atmosphère standard devra plutôt tendre à augmenter avec l'altitude. C'est effectivement ce que montre le tableau général, dont l'esprit doit faire ressortir les défauts éventuels de nos sondes.

La première colonne comporte le nombre de sondages auxquels se rapportent, aux mêmes altitudes, les valeurs moyennes des pressions et températures portées horizontalement. La somme N des sondages diminue assez fortement avec l'altitude, par suite de l'éclatement prématuré des ballons ou du larguage nécessaire des radiosondes, pour qu'elles tombent en Suisse, ce qui diminue progressivement le taux d'exactitude des moyennes. Au-dessus d'une quarantaine de sondages, vers 9000 m, les moyennes ne sont donc plus guère utilisables pour une dissertation; je les ai néanmoins conservées jusqu'à 13 km, pour donner une idée sommaire de leur ordre de grandeur.

Les colonnes Φ et H sont les altitudes en mètres dynamiques et mètres géométriques, avec entre elles comme coefficient de conversion 2%, ce qui n'est pas rigoureusement exact, mais suffisant pour les besoins pratiques. Les indices s signifient radiosonde, et a atmosphère standard, P est la pression, T la température, avec respectivement leurs différences P_s—P_a dans la sixième colonne, et T_s—T_a dans la douzième colonne, entre la sonde et l'atmosphère standard. Enfin, $\triangle P_s$ et $\triangle P_a$ sont pour la sonde et l'atmosphère standard les degrés hypsométriques moyens calculés sur la tranche de 1000 m. dyn. d'épaisseur, et $\triangle T_s$ et $\triangle T_a$ les gradients de température, par 100 m. dyn.

L'examen du tableau montre d'une manière générale qu'entre le sol et 9000 m d'altitude, il y a un remarquable parallélisme entre les valeurs de la pression des sondages et de l'atmosphère standard. Les écarts du degré hypsométrique sont négligeables, — voir la colonne $\triangle P_s$ — $\triangle P_a$ — quoique apparemment la pression de la sonde augmente progressivement de 4,2 mbar au sol à 9,6 mbar, à 9000 m, par rapport à l'atmosphère standard, ce qui est imputable aux conditions météoro-

logiques moyennes des quelque 40 sondages ayant atteint cette altitude. Il en est de même pour la température. Elle suit fidèlement la courbe moyenne jusqu'à 9000 m d'altitude, où la différence des gradients est généralement négligeable, avec ses 0,02°; voir la colonne $\triangle_s - \triangle_a$. On remarque, conformément à nos connaissances sur le gradient de température des Alpes, que celui-ci est effectivement plus petit dans les couches basses, qu'aux hautes altitudes. On note 0,44° entre 483 et 1000 m dyn., 0,58° entre 2000 et 3000 m. dyn., soit presque le même que celui de la tranche d'air Säntis — Jungfraujoch. De là, le gradient croît en altitude sensiblement comme celui de la standard avec 0,678° entre 4500 et 9000 m. La moyenne entre le sol à 491 m et 9180 m est 0,62.

On ose donc conclure que nos sondages, soigneusement corrigés avec de nouvelles méthodes, ont donné d'excellents résultats jusqu'aux environs de la stratosphère. Mais dans celle-ci, entre 9000 et 12 000 m dyn., une anomalie instrumentale semble apparaître. En effet, si, à 9000 m. dyn. l'excès de chaleur de la sonde, par rapport à l'atmosphère moyenne n'est que de 3,6° — voir la colonne $T_s - T_a$ — soit à peu près la différence exacte qui doit être, du fait qu'on a sondé par des températures trop élevées, cette différence passe à 5,5° à 10 000 m dyn., à 7,2° à 11 000 m dyn., à 6,8° à 12 000 m dyn.

La sonde paraît donc là nettement trop chaude, malgré le faible poids de la moyenne due au petit nombre de sondages.

On sait que la méthode de correction des températures, que j'ai mise au point pour les sondes suisses avec M. Paul Ackermann (Annales MZA 1942) devient théoriquement insuffisante, quand le produit $\varrho \cdot v$ (densité de l'air $\times$ vitesse ascensionnelle) tend vers l'unité. Mais cela ne se produit qu'à partir de 12 000 m. Il en résulte donc bien qu'un autre phénomène instrumental doit être recherché pour expliquer le léger réchauffement constaté dès 9000 m. Je l'ai appelé le t r a î n a g e t h e r m i q u e. Il fut découvert lors du plafonnement de nos ballons indilatables de cellux, dans la stratosphère, et fait l'objet de la troisième Note de ces Annales, publiée avec la collaboration de M. Paul Ackermann. On verra que les conséquences de ce nouveau phénomène sont considérables dans la technique générale des sondages aérologiques et peut mettre en question l'exactitude de beaucoup de mesures de température faites au-dessus d'une douzaine de kilomètres.

N	Φ	H	P_s	P_a	P_s-P_a	$\triangle\Phi_s$	$\triangle\Phi_a$	$\triangle\Phi_s$-$\triangle\Phi_a$	T_s	T_a	T_s-T_a	$\triangle T_s$	$\triangle T_a$	$\triangle T_s$-$\triangle T_a$
80	483	491	959,9	955,7	4,2				+ 13,1	+ 11,7	+ 1,4			
80	1000	1020	901,4	896,5	4,9	8,8	8,7	+ 0,1	+ 10,8	+ 8,3	+ 2,5	0,44	0,66	— 0,22
80	2000	2040	797,0	790,9	6,1	9,6	9,5	+ 0,1	+ 5,4	+ 1,6	+ 3,8	0,54	0,66	— 0,12
79	3000	3060	702,5	695,6	6,9	10,6	10,5	+ 0,1	— 0,4	— 4,9	+ 4,5	0,58	0,66	— 0,08
77	4000	4080	617,7	609,7	7,0	11,8	11,6	+ 0,2	— 6,7	— 11,5	+ 4,8	0,63	0,66	— 0,03
72	5000	5100	541,6	532,9	8,7	13,1	13,0	+ 0,1	— 12,9	— 18,2	+ 5,3	0,62	0,66	— 0,04
71	6000	6120	473,0	403,8	6,5	14,6	14,5	+ 0,1	— 20,2	— 24,8	+ 4,6	0,73	0,66	+ 0,07
65	7000	7140	411,8	402,1	9,7	16,3	16,2	+ 0,1	— 26,9	— 31,5	+ 4,6	0,67	0,66	+ 0,01
58	8000	8160	456,9	347,5	8,2	18,2	18,3	— 0,1	— 34,3	— 38,0	+ 3,7	0,74	0,66	+ 0,08
49	9000	9180	308,7	299,1	9,6	20,7	20,7	0,0	— 41,1	— 44,7	+ 3,6	0,68	0,66	+ 0,02
32	10000	10200	267,3	256,1	11,2	24,2	23,3	+ 0,9	— 45,8	— 51,3	+ 5,5	0,47	0,66	— 0,19
19	11000	11220	230,4	218,3	12,1	27,1	26,5	+ 0,6	— 49,3	— 56,5	+ 7,2	0,35	0,66	— 0,31
12	12000	12240	202,7	186,0	9,6	36,1	30,9	+ 5,2	— 49,7	— 56,5	+ 6,8	0,04	0,00	+ 0,04
5	13000	13260	170,0	158,2	5,1	30,6	36,0	— 5,4	— 53,9	— 56,5	+ 2,6	0,42	0,00	+ 0,42

Remarque concernant la vitesse ascensionnelle des ballons de cellux.

Tous les radiosondages utilisés pour établir le Tableau ci-dessus ont été effectués avec des ballons de remplacement en cellophane (papier cellux imperméable de la Feldmühle AG., Rorschach; voir les diverses Notes de l'auteur dans les Annales M. Z. A. 1941—1942).

La vitesse ascensionnelle moyenne de ces ballons est donnée au Tableau suivant.

Elle est calculée pour les altitudes comprises entre 2 minutes consécutives encadrant les altitudes rondes 1000 m, 2000 m, publiée dans les Annales 1943.

On remarque que la vitesse ascensionnelle croît lentement avec l'altitude, mais qu'elle reste à peu près constante dès 4000 m à 5000 m, lorsque la dilatation du gaz a sensiblement rempli la moitié du ballon et que le lest s'est déchargé.

Altitudes m/M.	1000	2000	3000	4000	5000	6000	7000	8000	9000	10000	11000	12000	13000
Nombre de sondages	80	80	79	77	72	71	65	58	49	32	19	12	5
Vitesse moyenne en m/sec.	3,87	4,06	4,35	4,87	5,23	5,23	5,19	5,49	5,71	5,72	5,69	5,59	6,08

Comparaison des températures des radiosondages suisses avec les postes météorologiques de montagne

par

Jean Lugeon

Beaucoup d'auteurs ont attaché une grande importance à la comparaison des sondages aérologiques avec les observations faites sur terre ferme, en montagne. De longues séries comparatives intéressant l'Europe centrale entre Friedrichshafen, au Bodan et le Säntis, furent publiées par Peppeler, d'où il ressort de notables différences de température, entre le sommet et l'atmosphère libre à 2500 m d'altitude.

Dès l'achèvement du Poste de radiosondage de Payerne, en 1942, je repris ce problème, comparant pour chaque ascension les valeurs de pression et de température avec les stations du réseau civil suisse: Weissenstein (1285 m), Rochers-de-Naye (1986 m), Rigi (1787 m), Pilate (2068 m), Säntis (2500 m), Sphinx (3577 m) au Jungfraujoch, et Testa Grigia (3478 m), situé au col du Théodule, entre le Mont Cervin et le Breithorn. Comme il fallait s'y attendre, les comparaisons avec les stations au-dessous de 2500 m n'apportent guère de contribution utile à l'aérologie suisse, car les effets du climat local supplantent de beaucoup les variations de l'atmosphère libre, mesurée à trop grande distance par la sonde. La présente Note ne donne ainsi qu'un premier aperçu du problème, intéressant les niveaux du Säntis et du Jungfraujoch.

Il ne faut d'ailleurs pas se leurrer, la confrontation purement statistique des températures est parfois un non-sens, vu, d'une part la grande distance qui sépare Payerne du Jungfraujoch (85,6 km), et du Säntis (189 km), et les conjonctures météorologiques souvent foncièrement différentes dans les Alpes et sur le Plateau. N'oublions pas, non plus, que le sondage n'est jamais vertical; la radiosonde se déplace, ce qui augmente ou diminue ces distances, quoiqu'elles soient généralement plus courtes que celles indiquées.

Cette étude ne fut entreprise qu'après avoir mis au point — partiellement avec M. Paul Ackermann — le nouveau procédé de correction des températures (voir Annales MZA 1942), qui élimine à $\pm 0.2°$ près, toutes les erreurs instrumentales. Les sondages douteux furent supprimés. Il en reste ainsi 61, publiés dans les Annales MZA 1943, dont les altitudes sont fixées par l'intégrateur, avec la collaboration de M. Otto Meier.

La répartition mensuelle des sondages effectués à Payerne en 1943, alternativement par MM. Lugeon, Berger, Ackermann et Bohnenblust est:

Tableau 1.

I	II	III	IV	V	VI	VII	VIII	IX	X	XI	XII	Année
1		3	7	10	4	7	9	6	8	3	3	61

Les comparaisons sont faites exactement au même instant avec les stations de montagne, en utilisant les bandes des thermographes, soigneusement contrôlées par des marques horaires. Elles donnent pour les 61 sondages:

Tableau 2.

	Température lue sur le sommet	Température de la radiosonde	Différence radiosonde-sommet
Säntis: 2500,0 m	+ 1,8°	+ 2,1°	+ 0,3°
Sphinx au Jungfraujoch: 3577,0 m	— 5,0°	— 3,8°	+ 1,2°
Testa Grigia: 3478,5 m	— 3,0°	— 3,3°	— 0,3°

Ce tableau indique que les différences de température entre l'atmosphère libre, légèrement plus chaude que les sommets du versant nord des Alpes, et ces derniers, croît avec l'altitude. L'excès de 0,3° avec le Säntis est facilement admissible, vu le faible rafraîchissement du climat entre la Suisse occidentale et orientale. Par contre, la différence de + 1,2° avec le Sphinx semble élevée. On pourrait supposer que cet observatoire, très exposé, donne une température trop basse, systématiquement refroidie par les courants s'élevant le long des versants couverts de glaciers, qu'il domine. Or, en examinant les températures moyennes, ce postulat ne paraît justement pas s'avérer, ce que prouve le tableau suivant des températures annuelles, partant du premier janvier 1938, où le Sphinx a été mis régulièrement en exploitation, avec la longue série 1901—1940 des postes d'Interlaken, Säntis et Zurich.

Tableau 3.

Tableau des températures moyennes annuelles.

	Sphinx	Interlaken	Säntis	Zurich
1938	— 7,9°	8,5°	— 1,9°	9,1°
1939	— 8,5°	8,2°	— 2,4°	8,8°
1940	— 8,9°	7,7°	— 3,0°	8,0°
1941	— 8,9°	7,8°	— 2,9°	8,3°
1942	— 7,9°	8,2°	— 1,9°	8,8°
1943	— 7,5°	9,3°	— 1,0°	10,1°
Moyennes de 6 ans	— 8,3°	8,3°	— 2,2°	8,8°
Moyennes 1901—1940		8,1°	— 2,3°	8,8
Ecarts 40—6 ans		+ 0,2°	— 0,1°	0,0°

Tableau 4.

Tableau des pressions en millimètres.

	Sphinx	Interlaken	Säntis	Zurich
1938	491,3	714,1	562,8	720,2
1939	489,5	712,1	561,0	718,2
1940	489,4	712,3	560,8	718,5
1941	489,2	712,0	560,7	718,3
1942	490,4	713,1	561,9	719,2
1943	492,2	714,4	563,6	720.6
Moyennes de 6 ans	490,3	713,0	561,8	719,2
Moyennes 1901—1940		712,7	561,7	719,2
Ecarts 40—6 ans		— 0,3	— 0,1	0,0

Il ressort du tableau 3, que la température moyenne de la série 1938—1943 correspond à très peu de chose près avec la moyenne de 40 années admise comme valeur normale, à ± 0,1° près. Le tableau 4 des pressions confirme cet argument, puisque la différence entre les deux séries est nulle à Zurich. D'où l'on conclut que la température normale du Sphinx est bien celle observée, soit — 8,3°. Cette thèse est renforcée par le calcul des gradients rapportés à cent mètres d'élévation. On a:

Tableau 5.

Gradient par 100 mètres.

Zurich — Säntis:	0,546°
Säntis — Sphinx:	0,565°
Interlaken — Sphinx:	0,551°

Ces valeurs sont très ressemblantes. La légère augmentation du gradient avec l'altitude, soit 0,02° entre le Säntis et le Sphinx, par rapport à la couche située au-dessous de 2500 m est dans l'ordre de grandeur des valeurs moyennes des sondages aérologiques de Munich, Lindenberg, Pavie, etc. Remarquons, toutefois, que cette élévation du gradient moyen de température en montagne n'est pas prouvée, car l'atmosphère standard admet une variation linéaire, traduite par la formule de Toussaint. Si tel devait être le cas entre le Säntis et le Jungfraujoch, on trouverait alors, pour le Sphinx, en partant du gradient Zurich—Säntis, les valeurs suivantes:

0,546 × 1078 m	= + 5,886°
	+
Température du Säntis	= — 2,2°
Température calculée du Sphinx	= — 8,1°

Ce qui voudrait dire que le Sphinx, avec ses —8,3° observés est quand même 0,2° trop froid. Mais de toute façon cette valeur est bien éloignée du réchauffement de 1,2° que donne la moyenne des radiosondages. L'allégation que l'atmosphère libre à 3577 m est plus chaude que la montagne s'affirme donc de plus en plus.

Un autre calcul donne du poids à cette constatation. C'est la comparaison barothermique des températures aux mêmes niveaux moyens de pression régnant au voisinage du Säntis et du Sphinx.

On a pour le Sphinx:

Pression moyenne des 59 sondages	à 3577 m	= 493.1 mm
Pression moyenne au Sphinx,	à 3577 m	= 490.3 mm
	Différence $\triangle P'$	= 2,8 mm

La température moyenne des sondages a donc été observée à un niveau de pression moyen plus élevé que celui du Sphinx. Calculons l'élévation de température moyenne qui en résulte d'après le degré hypsométrique moyen entre 3500 et 3600 m, qui est:

$$\frac{\triangle H}{\triangle P} = 15{,}87 \text{ m/mm Hg};$$

cela donne:

$$\frac{\triangle H}{\triangle P} \times \triangle P' = 15{,}87 \times 2{,}8 = 44{,}4 \text{ mètres}$$

et pour un gradient de température moyen de 0,00551° par mètre:

$$44{,}4 \times 0{,}00551 = 0{,}245° \backsim 0{,}2°$$

C'est-à-dire que la température moyenne de —5,0° observée au Sphinx pendant les sondages est de 0,2° trop élevée, par rapport à celle des sondes, d'où l'on a finalement:

Température du Sphinx rapportée à la pression	= —5,0° + (—0,2°) = —4,8°
Température des sondages	= —3,8°
Différence barothermique entre les sondages et le Sphinx	= +1,0°

Ainsi, le Sphinx reste quand même de 1,0° plus froid que les sondes. Un même raisonnement appliqué au Säntis donne pour un degré hypsométrique de 14,12 mm/m:

Pression des sondages à 2500 m	= 564,1 mm
Pression lue au Säntis	= 561,7 mm
	2,4 × 14,12 = 33,89 mètres.

Ce qui veut dire que les comparaisons se font à l'altitude de 2500 — 33,89 m = 2466,11 m, d'où pour un gradient thermique de 0,00546° par mètre:

Elévation de température: 33,89 × 0,00546° = 0,185°, soit environ 0,2°.

Ainsi, la différence effective des températures entre l'atmosphère libre et la sonde au niveau du Säntis est ramenée de 0,3° à: 0,3° — 0,2° = 0,1°.

*

Le second tableau de cette Note montre que la température moyenne de Testa Grigia est nettement supérieure à celle des sondages de Payerne. Ce fait confirme les études antérieures d'Alfred de Quervain, sur l'élévation des isothermes en Suisse, où les Alpes Pennines et une partie des Grisons ont une température plus élevée que la chaîne bernoise et la Suisse centrale. Il parle aussi en faveur de la différence entre le climat médité-

ranéen et océanique de ces régions, dont la ligne de démarcation passe au nord du Valais.

*

La comparaison des températures de chaque sondage avec celles des montagnes donne souvent des différences considérables, qu'il est difficile de s'expliquer, surtout quand du fait des hostilités, on ne dispose pas de cartes météorologiques européennes et encore moins d'ascensions étrangères. C'est la raison pour laquelle je réserve à plus tard une étude approfondie du problème. Néanmoins, si les différences extrêmes oscillent entre + 8,5° et — 3,5° avec le Sphinx, notablement moins avec le Säntis, il est intéressant d'examiner l'effet possible des grands vents sur la température du plus haut observatoire permanent d'Europe. La *figure 1* résume cette investigation. En abscisse sont portées les vitesses du vent mesurées assez sommairement avec un anémomètre à main, sur la terrasse supérieure du Sphinx. En ordonnée

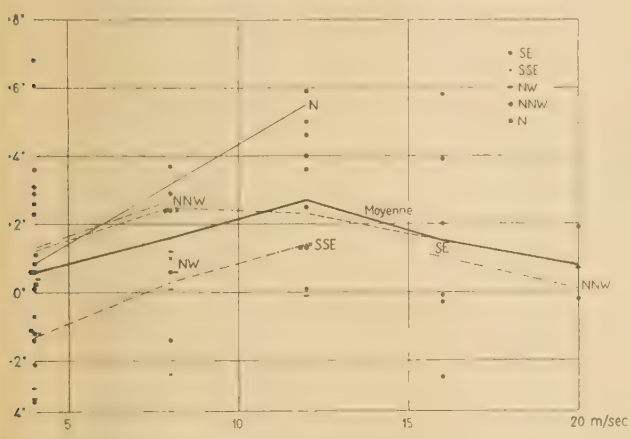

Fig. 1.

Différences de température entre la radiosonde et le Sphinx au Jungfraujoch à l'altitude de 3577 m, en fonction de la direction et de la vitesse du vent sur le sommet.

figurent les différences de température entre la sonde et le Sphinx, rapportées à la fois à la vitesse et à la direction du vent. La courbe moyenne du graphique, qui est la fonction simple: (vitesse, différence de température), indépendante de la direction, indique que la différence des températures croît d'abord jusqu'à une certaine vitesse d'environ 12 m/sec., ce qui est naturel vu le refroidissement adiabatique des vents ascendants, mais dès ce point elle diminue pour tendre à zéro vers les fortes vitesses dépassant 20 m/sec.

Le phénomène est à peu près le même pour les autres courbes rapportées à la direction du vent, dont les valeurs sont consignées au tableau 6.

L'interprétation de ce tableau n'est pas aisée. Les filets d'air de l'atmosphère libre sont-ils influencés thermiquement par les glaciers avant d'atteindre le thermomètre? Quel est le rôle du refroidissement adiabatique? Comment agit la chaleur de condensation des brouillards qui enveloppent très fréquemment le Sphinx,

Tableau 6.

Valeurs moyennes des différences de température en degrés entre 80 radiosondages et le Sphinx, en fonction de la vitesse et de la direction du vent sur ce sommet.

m/sec.	4	8	12	16	20
NW	— 1,8°	+ 0,6°			+ 0,7°
NNW	+ 1,3°	+ 2,7°			0,0°
N	+ 0,8°	+ 3,7°	+ 5,5°		
SE	+ 1,2°	+ 2,5°	+ 2,3°	+ 1,5°	+ 1,9°
SSE	— 1,2	+ 0,3	+ 1,4		

tandis que le beau temps règne sur la Suisse?

Ce sont parmi beaucoup d'autres, les questions essentielles qui se posent. La plus forte fréquence des grands écarts (+ 6,8° à — 3,2°) apparaît essentiellement par les vents du nord, où l'on remarque d'ailleurs parfois une isothermie entre le Säntis et le Jungfraujoch, que la sonde ne révèle pas.* Or ces vents-là ne sauraient être refroidis par la surface du Guggigletscher, situé en contre-bas du versant nord du Sphinx, dont la pyramide surplombe le Plateau suisse presque à pic. Par vent du nord, la circulation attaque le flanc du Sphinx presque horizontalement; l'incurvation des filets débute tout au plus 100 à 200 m au-dessous de l'observatoire. La détente adiabatique ne joue donc là qu'un rôle insignifiant.

Les vents du secteur SE et SSE, qui sont les plus fréquents, longent sur une distance de 10 à 15 km le glacier d'Aletsch. C'est sous leur régime que les différences de température entre l'atmosphère libre du versant nord des Alpes et le Sphinx sont les plus faibles. Il semble donc que les glaciers ne refroidissent guère les vents montant du Valais; peut-être même tendent-ils à les réchauffer légèrement. En effet, la plus grande partie des sondages ayant été faits par un temps nuageux à beau, l'insolation a pu agir sur la surface de la neige, en élevant sa température jusqu'au voisinage du point de congélation. Toutefois, si cette élévation de température par contact direct existe, elle paraît vraisemblablement compensée par la longue et lente détente adiabatique du courant rampant sur l'Aletschgletscher. Voilà un beau sujet à développer théoriquement.

Remarquons, finalement que les différences négatives, où la sonde est plus froide que le Sphinx, apparaissent presqu'essentiellement par les vents du NW, que le relief des montagnes beaucoup plus basses qu'ils ont survolées, n'a certainement pas pu influencer. L'observation directe de ces vents de la terrasse de l'observatoire prouve qu'ils arrivent horizontalement. C'est donc sous ce régime que les comparaisons de caractère instrumental peuvent le mieux se faire.

L'étude du gradient de température Säntis — Jungfraujoch montre, en tous cas, que les différences de température de 8° entre l'atmosphère libre du Plateau et le Sphinx sont parfaitement plausibles. On expli-

* Le 17 novembre 1944, l'isothermie fut même dépassée puisqu'à 7½ h le Jungfraujoch avec —11,0° était de 1,2° plus chaud que le Säntis avec —12,2°.

quera vraisemblablement ces excès thermiques par le courant descendant du fœhn qui amène un fort réchauffement adiabatique dans l'atmosphère libre du Plateau suisse. Une comparaison sommaire pour 60 situations de fœhn, tirées du travail récent de K. Frey sur l'application de la théorie du solénoïde aux courants traversant une chaîne de montagne, parle en faveur de cette idée.

Une isothermie exceptionnelle.

Les grandes différences de température entre les postes du Jungfraujoch, du Säntis et la radiosonde, qui se produisent fréquemment sont illustrées par l'exemple suivant, où une isothermie exceptionnellement forte intéressa la Suisse pendant plusieurs jours, *fig. 2.*

Le sondage du 22 mars 1944, à 15 h 30, relève une isothermie de 1000 mètres de hauteur, par —12,4°, localisée entre 3000 et 4000 m d'altitude. La sonde était plus chaude de 4,7° que le Säntis, et de 10,2° que le Jungfraujoch.

Pour contrôler ces chiffres apparemment anormaux, la direction de la Station Centrale de Météorologie fit faire quatre sondages successifs les jours suivants. La

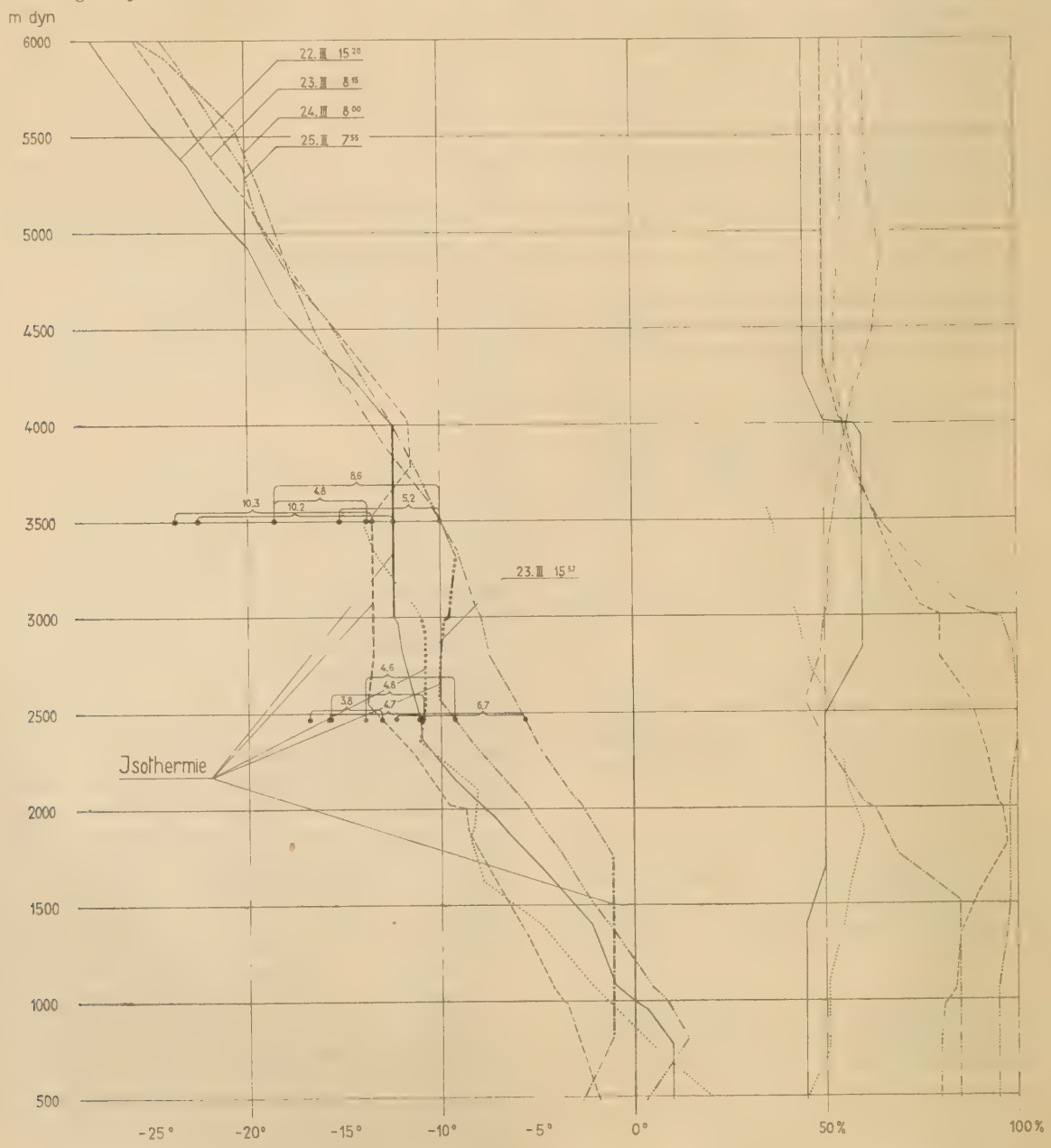

Fig. 2.

Isothermie du 22 au 25 mars 1944.

Les couches isothermiques sont renforcées sur le dessin. A gauche: température, à droite: humidité. Les accolades indiquent les différences de température entre la radiosonde et les observations de température au Sphinx et au Säntis.

situation isobarique — un anticyclone continental en plein développement et des vents dominants du secteur N et NE — devant se maintenir.

L'isothermie subsista. On la retrouve sur le sondage effectué 17 heures plus tard, le 23 mars à 8 h 25, légèrement refroidie avec —13,5°, un peu plus basse, mais ayant conservé sa même épaisseur entre 2550 m et 3540 m. Au-dessus de cette altitude elle est même renforcée par une inversion de deux degrés, se recourbant à 4000 m environ. La sonde est en excès thermique de 3,8° à l'altitude du Säntis et de 10,3° à celle du Jungfraujoch, sans changement notable par rapport au jour précédent.

Sept heures plus tard, à 16 h 10, le 23 mars, l'isothermie est en voie d'affaissement, stationnant entre les altitudes de 2350 m et 3000 m, par —10,8°, avec un excès de température de la sonde de 4,8° au niveau du Säntis, et 4,8° à celui du Jungfraujoch. Notons que ce dernier sommet est à 500 m sur l'isothermie, dans une région où la sonde indique un gradient normal de 0,6°/100 m, ce qui explique la diminution du réchauffement apparent du thermomètre.

Le lendemain matin, 24 mars, à 8 h 10, l'isothermie s'est encore affaissée, elle est presqu'au sol, entre les altitudes de 815 m et 1755 m, s'étant considérablement réchauffée, à —1,1°. Il subsiste néanmoins une forte différence de température avec les montagnes, 6,7° au niveau du Säntis et 5,2° au Jungfraujoch.

Enfin, le 25 mars à 8 h 05, l'isothermie s'est reformée au niveau des jours précédents, 2508 m à 3315 m, par —10,0°. La sonde est plus chaude de 4,6° que le Säntis et de 8,6° que le Jungfraujoch.

La position de l'isothermie dans l'espace est donnée à la *fig. 3.*

Le graphique *fig. 4,* figurant les différences de température entre la sonde et les deux sommets, ainsi que le gradient de température G observé entre ceux-ci, montre qu'il n'y a pas de relation entre le réchauffement apparent de la sonde aux deux niveaux de 2500 m et 3500 m. Cela est vraisemblablement imputable à la distance entre les points de mesure, la sonde sur le Plateau Vaudois, le Säntis à 220 km et le Jungfraujoch à 100 km. Par contre, il existe un étonnant parallélisme entre le gradient G et les différences de température sonde — sommet, à l'altitude du Jungfraujoch. Ce phénomène n'est pas fortuit et se laisse expliquer par l'advection et la subsidence et l'isothermie.

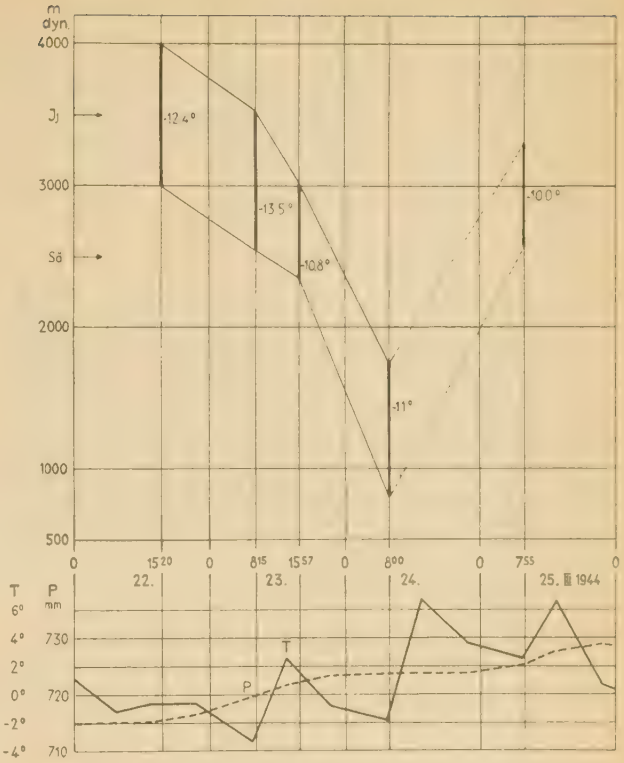

Fig. 3.

Variation de l'altitude de l'isothermie du 22 au 25 mars 1944, en fonction du temps.

Le zig-zag T indique la variation de la température et le trait pointillé P celle de la pression à Zurich.

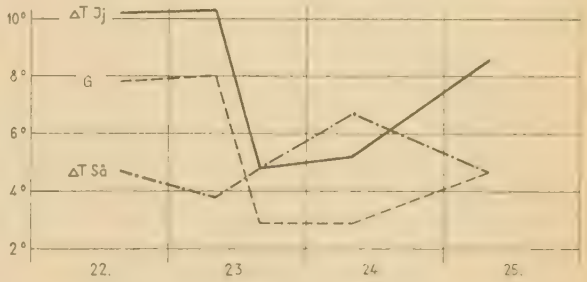

Fig. 4.

Différences de température entre la sonde et le Sphinx au Jungfraujoch: $\triangle T\ J_j$, et le Säntis: $\triangle T$ Sä pendant l'isothermie. La ligne G est le gradient moyen de température Säntis-Jungfraujoch.

Tableau 7.

Säntis 2468 m dyn.

Mars 1944	Heure	T_s lue au Säntis	T_a radio-sonde	$T_s - T_a$	U %	N	DD	F m/sec	Soleil en 24 h	Insolation pendant le sondage
22	15^{30}	—15,8°	—11,1°	4,7°	97	10	WNW	7,5	0	ombré
23	8^{25}	—16,8°	—13,0°	3,8°	77	3	NNW	5,0	6,3	ombré
23	16^{10}	—15,7°	—10,9°	4,8°	64	1	NE	4,7	6,3	soleil
24	8^{10}	—12,3°	— 5,6°	6,7°	33	9	WNW	10,5	0	ombré
25	8^{05}	—13,9°	— 9,3°	4,6°	58	10	N	7,8	7,4	ombré

Jungfraujoch 3500 m dyn.

Mars 1944	Heure	T_s lue au Jungfraujoch	T_a radio-sonde	$T_s - T_a$	U %	N	DD	F m/sec	Soleil en 24 h	Insolation pendant le sondage
22	15^{35}	—22,6°	—12,4°	10,2°	44	2	N	20	5,0	soleil
23	8^{30}	23.8	13.5	10.3	68	0	N	16	10,3	soleil
23	16^{18}	—18,6°	—13,8°	4,8°	57	0	N	12	10,3	soleil
24	8^{16}	—15,2°	—10,0°	5,2°	56	10	N	20	0	ombré
25	8^{13}	—18,6°	—10,0°	8,6°	94	10	N	20	6,6	ombré

Le tableau de récapitulation rappelle les principaux éléments météorologiques mesurés au Säntis et au Jungfraujoch, pendant les ascensions. Il montre que sous le régime régulier des vents du secteur N, où les deux sommets se trouvent certainement dans le même corps d'air, l'insolation directe de la sonde n'a joué aucun rôle, puisque les plus grandes différences de température entre l'atmosphère libre et les sommets se produisirent, comme le prouvèrent les observations de tout le réseau suisse, autant par ciel couvert que clair.

L'exemple qui vient d'être discuté mériterait une étude approfondie du champ barique dans l'espace; elle est laissée à plus tard, quand d'autres cas analogues auront été enregistrés.

Toutefois, on est en droit de conclure que les énormes différences de température entre l'atmosphère libre et les sommets sont réelles; un sondage aurait pu être faux, mais certainement pas tous les 5. Notre technique de radiosondage est actuellement suffisamment précise pour soutenir cette assertion.

Le rôle du support des thermomètres dans les mesures stratosphériques, ou le traînage thermique

par

Jean Lugeon et Paul Ackermann

1. Le phénomène de plafonnage des radiosondes dans la stratosphère.

L'étude de l'atmosphère moyenne de Payerne à la stratosphère (voir la première Note précédente [8]) a montré qu'à partir d'environ 9000 mètres d'altitude les méthodes de correction physico-mathématiques des thermomètres, en fonction de la vitesse de ventilation et de la densité de l'air, ne sont plus suffisantes puisque la radiosonde paraît rester légèrement trop chaude.

Or, un phénomène inconnu à ce jour dans la littérature, découvert du fait de sonder avec des ballons indilatables de papier cellux [4, 5] va nous apporter vraisemblablement une explication de cet excès thermique. La voici. Lorsque le ballon est rempli dans la stratosphère à l'altitude de 10 à 13 km, sa force ascensionnelle tombe à zéro et il plafonne souvent 10 à 15 minutes à une altitude remarquablement fixe, ce que relate le baromètre. Le thermomètre n'étant plus ventilé dans ce milieu isotherme devrait indiquer une température constante. Or, il n'en est rien. Il montre, dès le plafonnement une élévation rapide de la température, pouvant atteindre une douzaine de degrés en 4 à 6 minutes, puis dès ce maximum passé, il rebaisse sensiblement à la même vitesse, pour indiquer 5 à 6 minutes plus tard la température réelle de la stratosphère. Ce phénomène d'inversion en V, dure donc une douzaine à une quinzaine de minutes, en tout.

Il est extrêmement net et se produit aussi à des altitudes inférieures, mais avec moins de vigueur; l'élévation est par exemple de 2° à 3° à 6000 mètres d'altitude. Que l'on sonde de jour ou de nuit, par temps clair ou nuageux, le réchauffement a toujours lieu, ce qui fait donc rejeter toute idée d'une influence directe de la radiation solaire.

Nous décrivons ici trois exemples caractéristiques. Dans les *figures 1 à 3*, le trait fin aux points pleins signifie l'altitude du ballon déterminée à l'intégrateur, sur la base des pressions et températures corrigées avec la méthode Lugeon - Ackermann (voir Annales M. Z. A. 1942 [1, 6]), jusqu'au début du réchauffement, et au-dessus de celui-ci, avec la pression seulement. L'erreur sur l'altitude devient ainsi négligeable. La courbe grasse aux points creux est la température brute, telle qu'elle est enregistrée, rapportée aux altitudes et aux minutes. La courbe pointillée est la température réelle de l'air, calculée en tenant compte des constantes de temps de l'équipage, a_1, a_2, a_3 (voir Annales M. Z. A. 1942). Elle est dessinée à titre d'information, et ne sera utilisée que comme témoin dans la dialectique du nouveau phénomène.

Le *3 août 1943, fig. 1*, le ballon s'envole à 7 h ^{38}. La température brute tend à se stabiliser entre —57,3° et —57,7° aux minutes 39′ ÷ 41′, tandis que la vitesse ascensionnelle est encore de 4,5 m/s. A la minute 41′, le ballon est presque rempli et il plafonne à une altitude constante

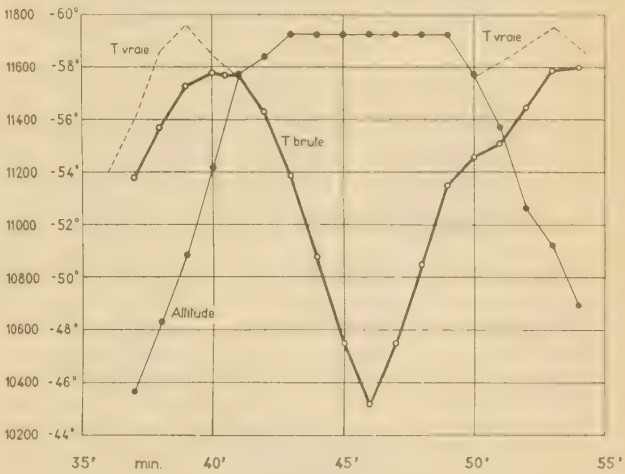

Fig. 1.

de 13 730 m. dyn. 2 minutes plus tard et pendant 7 minutes, jusqu'au temps 49′. L'élévation de température commence dès l'instant 41′, où la vitesse passe à 0,6 m/s. Le réchauffement va durer 5 minutes, dont 3 pendant le plafonnement. Dès que le maximum de température —45,2° est atteint, la température rebaisse subitement avec la même rapidité qu'elle s'était élevée, pour atteindre —53,5°, à la fin du plafonnement. Mais, dès la chute du ballon au temps 49′, le refroidissement persiste pendant 5 minutes jusqu'à atteindre —58,0° tandis que le ballon est descendu lentement de 13 630 m. dyn. à 12 700 m. dyn. dans une couche vraisemblablement isotherme. Le minimum minimorum n'excède ainsi que de $^3/_{10}$ de degré celui du début de l'inversion produit dans la même couche. Ces —58,0° définissent la température réelle du milieu.

L'élévation de température totale a donc été pendant tout le phénomène de —57,8° — (—45,2°) = 12,6°, ce qui est considérable.

La durée moyenne du réchauffement est: $\frac{12{,}6^\circ}{5'} = 2{,}5^\circ$ degrés/minute, et du refroidissement: $\frac{13{,}0^\circ}{7'} = 1{,}9^\circ$ degré/minute. Pendant la phase de plafonnement seule, le ré-

chauffement est: $\frac{-53{,}9^\circ - (-45{,}2^\circ)}{3'} = \frac{8{,}7^\circ}{3'} = 2{,}9^\circ$ degrés/minute et le refroidissement: $\frac{-53{,}5^\circ - (-45{,}2^\circ)}{3'} = \frac{8{,}3^\circ}{3'} = 2{,}8^\circ$ degrés/minute, soit des valeurs pratiquement égales, ce qui tend à prouver que le processus suit pendant ce temps-là un rythme symétrique.

Le *12 mai 1943, fig. 2,* le phénomène est aussi remarquablement net, cependant que ses abords diffèrent un peu du précédent. La vitesse ascensionnelle est de 3,2 m/s., jusqu'à l'altitude de 11 200 m. dyn., où le ballon est presque rempli, au temps 37′. De ce point, il ne monte plus que très lentement à la vitesse de 0,4 ÷ 0,2 m/s., pour plafonner 4 minutes plus tard, à 11 330 m. dyn., donc seulement 130 m. dyn. plus haut. La hausse de température débute sous —45,6° à la minute 38′, pour atteindre son maximum en 4 minutes pendant le plafonnage, au temps 42′. Puis la baisse de température

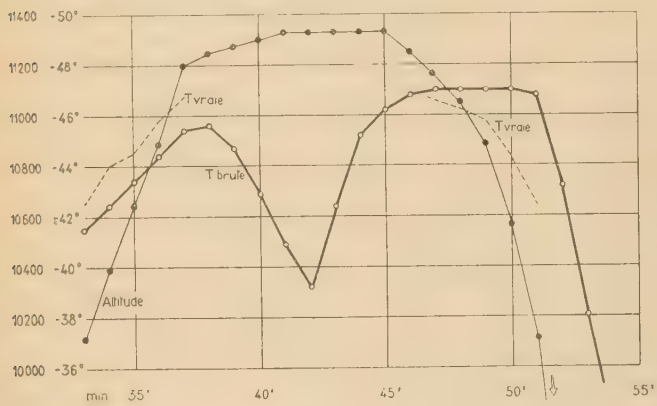

Fig. 2.

qui s'ensuit atteint son minimum au temps 48′, avec —47,0°, tandis que le ballon était déjà en chute depuis 2 minutes, à la vitesse très faible de 0,8 m/s. Dès cet instant, la température reste remarquablement constante pendant 5 minutes, jusqu'au temps 52′, cependant que le ballon continue à descendre avec une vitesse progressivement croissante de 0,8 m/s. à 4,5 m/s. et se trouve maintenant à 10 120 m. dyn.

Il semblerait donc que pendant ces dernières minutes (46′ à 52′), le thermomètre fut plongé dans un milieu isothermique, ce qui impliquerait une stratosphère basse. Toutefois, l'examen de la courbe pointillée de la température vraie, qui est sans doute la même à la montée qu'à la descente, vu le petit parcours horizontal de la sonde, parle plutôt en faveur d'une atmosphère polytrope. En tous cas, quels que soient les aléas des corrections des températures, il est certain qu'au dernier point du dernier palier horizontal la température de l'air est plus élevée que ne l'indique l'enregistrement. Le calcul donne d'après les valeurs à la montée 4,3° de plus.

On assiste donc dans cette dernière phase à une sorte de second refroidissement du thermomètre, qui recevrait en fait des frigories, pour entretenir sa froidure constante. Disons, pour ne pas contredire le postulat de Clausius, que le thermomètre est sollicité par deux sources produisant simultanément un réchauffement et un refroidissement, mais s'annulant l'une l'autre.

De toutes façons, l'entrée dans la couche isothermique se produisit après le début du réchauffement, puisque la température minimum de —47,0° n'est enregistrée qu'après le passage du V. Ce phénomène a donc surpris prématurément le thermomètre à —45,6°, c'est-à-dire à une température de 1,4° plus élevée que le minimum minimorum.

L'élévation de température totale est: —45,6° — (—39,2°) = 6,4°, et l'abaissement: —47,0° — (—39,2°) = 7,8°. Les durées de réchauffement et de refroidissement pendant le plafonnage sont respectivement:

$$\frac{-44{,}7^\circ - (-39{,}2^\circ)}{3'} = \frac{5{,}5^\circ}{3'} = 1{,}8^\circ \text{ degré/minute, et}$$

$$\frac{-46{,}2^\circ - (-39{,}2^\circ)}{3'} = \frac{7{,}0^\circ}{3'} = 2{,}3^\circ \text{ degrés/minute,}$$

soit en moyenne 0,8° degré/minute de moins que dans le cas précédent. Notons que nous nous trouvons à une altitude de 2300 m. dyn. plus basse (11 330 m. dyn. au lieu de 13 630 m dyn.), et à une température notablement plus élevée de —53,9° — (—47,0°) = 6,9°.

Le phénomène de plafonnage du *30 septembre 1943* (start à 7 h ^{24}), *fig. 3,* présente dans ses grandes lignes le même aspect que les deux précédents. Toutefois, l'élévation de température est plus faible: —45,5° — (—42,0°) = 3,5°, tandis que l'abaissement atteint: —45,9° — (—42,0°) = 3,9°. La vitesse est respectivement: $\frac{3{,}5^\circ}{3'} = 1{,}2^\circ$ degré/minute, et $\frac{3{,}5^\circ}{4'} = 0{,}9^\circ$ degré/minute. L'inversion n'affecte pas la forme d'un V, mais d'un U, et la température de réchauffement reste stationnaire à —42,0° ÷ —42,4°, pendant les 4 minutes du pla-

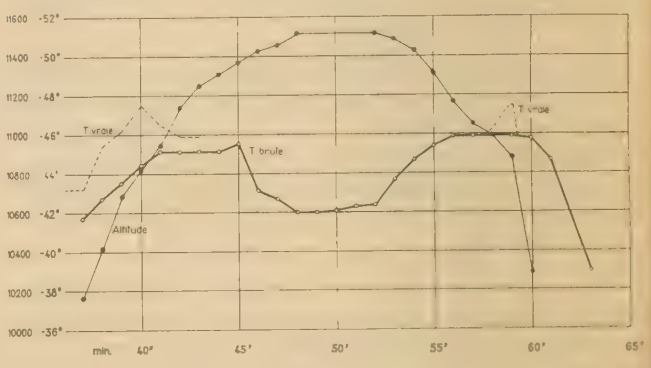

Fig. 3.

fonnement absolu du ballon. Il semble cette fois que la sonde était plongée dans un milieu isothermique pendant toute la durée du phénomène s'étendant de 10 950 m. dyn., au temps 41′, où le thermomètre stationna à 11 515 m. dyn.: plafond, et 10 880 m. dyn., à la minute 59′, où la sonde tomba précipitamment.

Ce qui parle encore en faveur de l'isothermie, c'est qu'entre les minutes 41′ et 45′, début de l'inversion, la vitesse ascesionnelle, quoique se ralentissant de 1,9

m/s. à 0,6 m/s. était encore assez forte pour équilibrer le thermomètre. Or, celui-ci est resté fixe pendant les 4 minutes, ce qui ne peut qu'impliquer une température constante du milieu traversé.

Le réchauffement ne débute que très près du plafond, lorsque la vitesse ascensionnelle s'abaisse à 0,6 m/s. L'accélération relativement faible du réchauffement provient du type de bimétal utilisé, moins inerte que dans les deux cas précédents. Mais comme dans ceux-ci, le thermomètre ne réagit pas immédiatement au réchauffement de l'atmosphère, quand la sonde commence sa chute rapide au temps 59′; une minute s'écoule jusqu'à ce que cette réaction s'annonce, ce qui correspond d'ailleurs à l'ordre de grandeur de la constante de temps.

La courbe pointillée de température vraie présente dans l'exemple en discussion une certaine incertitude, mais se trouve près de la réalité à la 51ᵉ minute, où la sonde enregistre la température ambiante, de 0,8° seulement plus froide que celle du palier avant la production du U.

Le tableau suivant récapitule les valeurs précédentes:

tion, hachurée. Il y a 3 sources de chaleur à considérer, celle de l'air à température T_1, du bimétal T_2 et du support T_3.

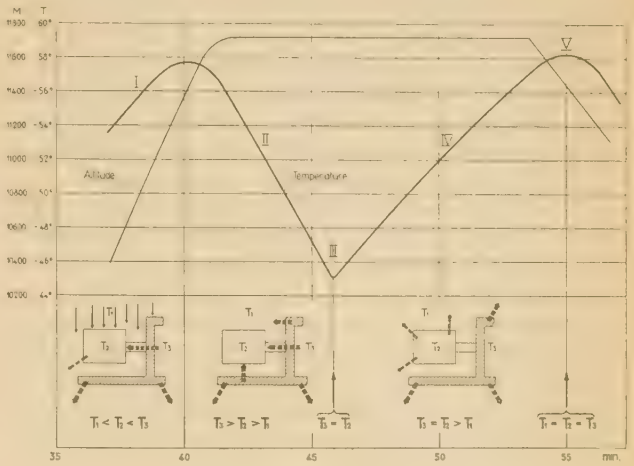

Fig. 4.

Date 1943	Altitude du plafonnement m. dyn.	Pression mbar	Densité kg/m³	Température brute la plus basse	Température brute la plus élevée	Réchauffement total	Durée du réchauffement en minutes	Durée du refroidissement en minutes	Vitesse du réchauffement en degrés/min.	Vitesse du refroidissement en degrés/min.
3. VIII.	13 730	156	0,253	—58,0°	—45,2°	12,6°	5′	7′	2,5°	1,9°
12. V.	11 330	225	0,347	—47,0°	—39,2°	6,4°	4′	5′	1,8°	2,3°
30. IX.	11 515	214	0,329	—45,9°	—42,0°	3,5°	3′	6′	1,2°	0,9°
Moyennes pour l'ordre de grandeur:						7,5°	4′	6′	1,8°	1,7°

Les deux premières lignes du tableau sont comparables, car les sondages ont été faits par des thermomètres identiques. Dans le troisième cas, la constante de temps du thermomètre étant notablement plus petite donne des valeurs plus faibles.

En examinant ce tableau on serait tenté d'admettre que le phénomène du V augmente d'intensité avec l'altitude, c'est-à-dire avec la raréfaction de l'air, ce qui n'est pas impossible. Rappelons que dans des sondages plafonnant plus bas le réchauffement a été plus faible. Mais avant de trancher, il faut se faire une juste idée du rôle que peut jouer la densité de l'air. Nous ne disposons actuellement que d'une dizaine de plafonnages, ce qui est insuffisant pour statuer sur une relation de densité. Nous verrons plus loin par des expériences de laboratoire qu'elle a toutes les apparences d'une cause majeure.

2. Tentative d'explication du phénomène de plafonnage.

Le phénomène que nous venons sommairement de décrire est compliqué, faisant appel à plusieurs actions thermiques chevauchantes. On peut tenter d'en établir le schéma suivant, *fig. 4.* La courbe fine est l'altitude du ballon, et la courbe grasse la température brute enregistrée. Les phases sont numérotées I à V. Le rectangle vide est le thermomètre bimétallique avec sa fixa-

Phase I: Ascension. Pendant la montée la température de l'air est inférieure à celle du bimétal et du support, le thermomètre et le châssis se refroidissent. Toutefois, la constante de temps du bimétal étant beaucoup plus faible que celle de son support, qui porte d'ailleurs divers autres organes, comme le mouvement d'horlogerie, l'hygromètre et le baromètre, reste à une température de quelques degrés inférieure à ces derniers. Il est probable que la ventilation n'est pas assez forte pour supprimer un certain écoulement calorifique dans le sens $T_3 \rightarrow T_2$, augmentant avec l'altitude.

Phase II: Plafonnement. La ventilation a complètement cessé. Les constantes de temps du bimétal et du châssis ont de ce fait considérablement augmenté. La source T_1 n'agit que lentement, par contre T_2 qui est plus froid que T_3 va recevoir de ce dernier des calories par deux chemins, d'une part par la conduction directe le long des attaches et autres liaisons du châssis au bimétal, et d'autre part par propagation dans le matelas d'air interposé entre ces organes. Ces deux processus s'ajoutent d'une manière complexe, produisant l'élévation de température de T_2. Ce que T_2 abandonne par conduction et par transmission propre dans l'air est donc très faible; cette perte n'est pas représentée sur le schéma.

Phase III: Maximum de réchauffement. Les deux sources T_3 et T_2 se sont équilibrées, l'échange a cessé.

Phase IV: Refroidissement. La source T_1 reprend le rôle fondamental. Elle refroidit simultanément T_2 et T_3. Cependant, vu la constante de temps très élevée de ces sources aux faibles pressions de la stratosphère, le refroidissement va durer plus longtemps que le réchauffement, ce qu'on constate dans les 3 cas étudiés, *figures 1 à 3.* Ce retard est d'ailleurs accru par un léger écoulement calorifique résiduel dans le sens $T_3 \rightarrow T_2$, puisque la constante de temps de T_3 est plus grande que celle de T_2, qui est enregistrée par radio au sol.

Phase V: Neutralisation. Finalement tout échange cessera et les 3 sources auront la même température $T_1 = T_2 = T_3$, à la fin du plafonnement, soit 10 à 15 minutes après la phase du début du réchauffement.

Remarque: Il est clair que l'amplitude du réchauffement au plafonnement va dépendre de la vitesse ascensionnelle, c'est-à-dire de la durée du refroidissement de la source T_3, ainsi que des températures de base et de sommet du sondage, en un mot de toute l'histoire des couches d'air traversées.

3. Le traînage thermique.

De la dialectique précédente découle que pendant la phase I de l'ascension et à partir d'un minimum de ventilation et de densité de l'air, un certain écoulement calorifique par conduction et transmission à travers l'air se fait sentir dans le sens support → bimétal. Ce qui revient à dire qu'à sa constante de temps près le thermomètre ne suit pas rigoureusement la température de l'air, mais que son refroidissement est en quelque sorte freiné par les sources de chaleur émanant des divers organes de la sonde, perdant leur chaleur moins rapidement. C'est ce que l'un de nous a appelé le *traînage thermique* [7].

Ce phénomène va être maintenant soigneusement étudié car — on le conçoit facilement — il peut, selon son intensité, fausser les appréciations sur la température de la stratosphère, se trouvant ainsi à l'origine du réchauffement apparent de nos radiosondages au-dessus de 9000 mètres, signalé dans la première Note de ces Annales [8]. Sa connaissance exacte permettra peut-être d'ajouter un facteur de correction de plus aux radiosondages, pour tendre à nous rapprocher de la réalité.

4. Recherches expérimentales.

La première idée qui vint pour élucider le phénomène thermique du plafonnement de nos radiosondes fut de le reproduire au sol, afin d'en mesurer les sources, leurs variations et interactions. Ce travail ne pouvait être entrepris qu'après avoir étudié attentivement ces sources isolément. A cette fin, on prépara une série de mesures séparées, que nous nous bornons à résumer.

On employa pour la mesure de la température la méthode bien connue du couple thermo-électrique, dans le circuit d'un galvanomètre à miroir, *fig. 5.* Il importait que les prises soient aussi fines que possible avec une constante de temps très petite, par rapport à celles des organes à étudier. En l'occurrence une seule soudure constantan-cuivre suffit. Elle était appliquée contre le bimétal ou le support, en lui interposant une fine feuille électriquement isolée, ne pouvant agir sur la température, avec une goutte de colle comme adhésif.* La courbe d'étalonnage, suivant une loi linéaire, affirma

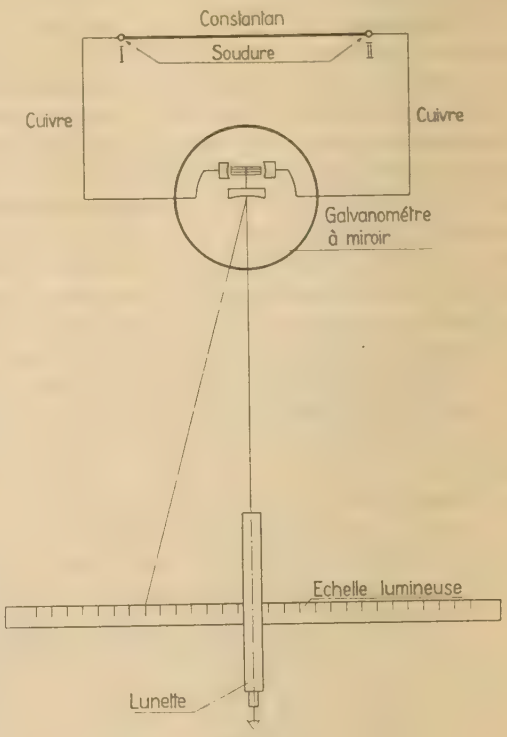

Fig. 5.

l'extrême sensibilité du dispositif, dont on pouvait d'ailleurs varier l'échelle par des shunts ad hoc. Ainsi l'élongation du spot lumineux projeté par le galvanomètre est directement proportionnelle à la différence de température entre les deux soudures.

Constante de temps du bimétal.

Elle fut publiée avec tous les détails nécessaires dans les Annales 1942 [6]. Rappelons qu'elle varie selon la formule $\alpha = f(\varrho, V) = \frac{25{,}5}{\sqrt{\varrho} \cdot V}$ de 10,4″ à 28,4″, pour 5 m/s. de ventilation, de 1000 mbar à 100 mbar, respectivement pour les densités $\varrho = 1{,}2125$ et $\varrho = 0{,}1618$ kg/m³, en atmosphère standard.

Constante de temps du support du thermomètre.

Le support est composé d'un cadre horizontal rigide en aluminium, de quelques millimètres d'épaisseur, sur lequel sont disposés le mouvement d'horlogerie, l'hygromètre et le baromètre. Sa constante de temps α a été déterminée par le procédé du ventilateur à l'air libre du laboratoire et dans le caisson polytrope [3], selon la description parue dans les Annales 1941 et 1942 [4, 6].

Le support fut exposé successivement sur ses deux faces au courant d'air homogène, c'est-à-dire dans les conditions de montée et de descente et pour diverses

* La pratique a montré qu'il n'était pas nécessaire de prendre tant de précautions. On peut appliquer directement la soudure contre la plaque métallique dont il faut mesurer la température.

vitesses, ce qui donna des valeurs différentes. Il fallait s'attendre à une dissymétrie des courbes de refroidissement, puisque le support ne travaille pas exactement comme un thermomètre. Les accessoires qu'il porte suivent la loi de Newton avec un certain retard. Les valeurs de α sont donc complexes et ne sauraient intervenir sans autre dans les calculs.

Il sera indiqué plus loin dans quels cas cela est possible. On trouve ainsi expérimentalement à $\varrho =$ 1,143 kg/m³ (960 mbar, + 20°):

Montée

V m/s	α''
4,8	38″
4,2	40″
3,8	45″
1,3	102″
0,95	140″
0,0	9,7 min

Descente

V m/s	α''
4,8	45″
3,8	53″

La constante de temps du châssis prolongé par le support est grosso modo trois fois plus forte que celle du bimétal.

Il était important de déterminer la courbe de refroidissement sans ventilation. Cette opération est délicate, car il existe toujours un léger courant d'air autour de l'objet, du à la convection. Sa vitesse toutefois ne semble pas excéder 5 cm/s.

L'expérience donne $\alpha = 9{,}7$ minutes pour le support et $\alpha = 3{,}9$ minutes pour le bimétal, à la pression moyenne de Payerne.

Signalons que le rapport de 2,5 entre ces dernières valeurs est beaucoup plus petit qu'on aurait pu le supposer à priori.

5. Reproduction du phénomène de plafonnage.

Pour étudier le rôle des trois sources T_1, T_2, T_3, nous avons imaginé plusieurs expériences, dont les principales sont résumées ci-après.

Mesure différentielle: Un thermo-élément du circuit du galvanomètre est appliqué contre le bimétal et le second contre le support. L'équipage est chauffé à l'étuve, puis exposé à l'air immobile et plus froid de la chambre. Le galvanomètre donne ainsi en fonction du temps la différence de température entre le bimétal et le support, qui n'est en fait que la soustraction des deux exponentielles de refroidissement déterminées séparément. Les valeurs trouvées coïncident avec celle-là. La *fig. 6* représente ces lignes pour les variations de température comprises entre +34° à +23°, et +10° à +5°.

Pour provoquer la réaction thermique du châssis sur le bimétal, muni de son couple thermo-électrique, c'est-à-dire le processus $T_3 \rightarrow T_2$ à la température constante de l'air immobile T_1, on a chauffé le châssis à +50°, tandis que le bimétal était maintenu à la température de la chambre. Puis les deux pièces furent très rapidement emboîtées, dans leur position normale de sondage.

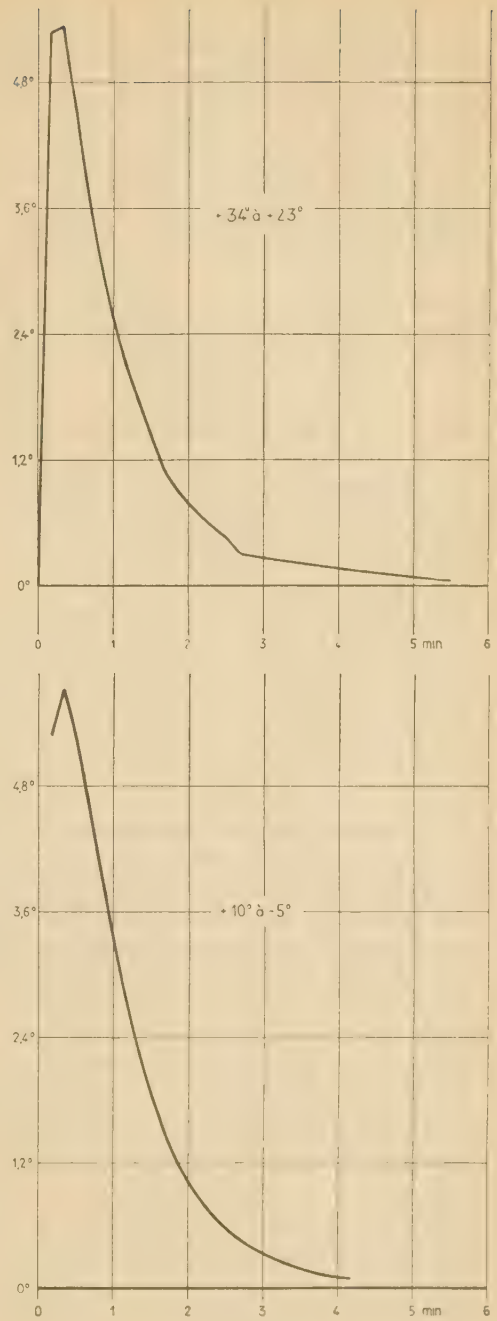

Fig. 6.

La courbe *fig. 7* démontre irréfutablement dans deux essais l'effet du plafonnage. La température du bimétal recevant par transmission à travers l'air des calories du châssis monte très rapidement pendant 3 à 4 minutes, puis baisse lentement durant une quinzaine de minutes, jusqu'à ce que sa température T_2 égale celle du châssis T_3, à la température de la chambre T_1.

Remarquons que la durée du réchauffement est du même ordre de grandeur que celle du plafonnement des radiosondes dans la stratosphère. Mais il faut ajouter — et cela est très important — que le calcul ne donne pas dans ce cas l'énorme amplitude de température de

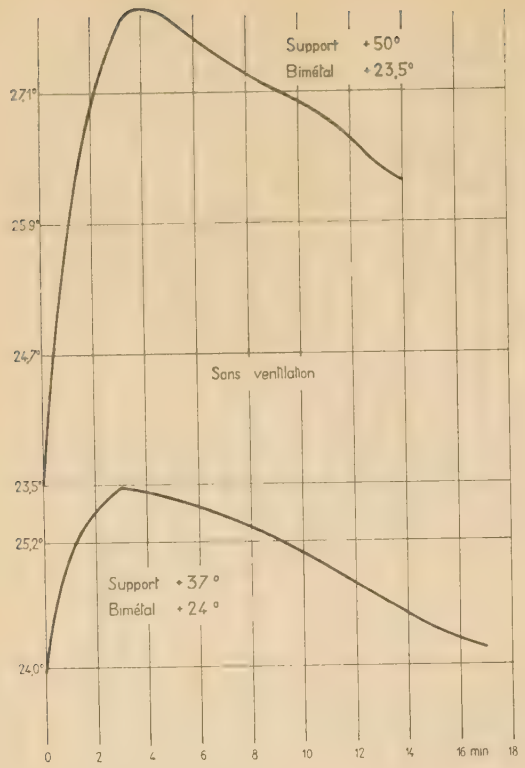

Fig. 7.

l'inversion du sondage, en partant seulement de la constante de temps du châssis. Il est vrai que dans nos plafonnages, *fig. 1 à 3*, le bimétal se trouvait dans un boîtier. C'est la raison pour laquelle ce boîtier fut supprimé dès l'automne 1943. (Voir Annales M. Z. A. 1942 [6].

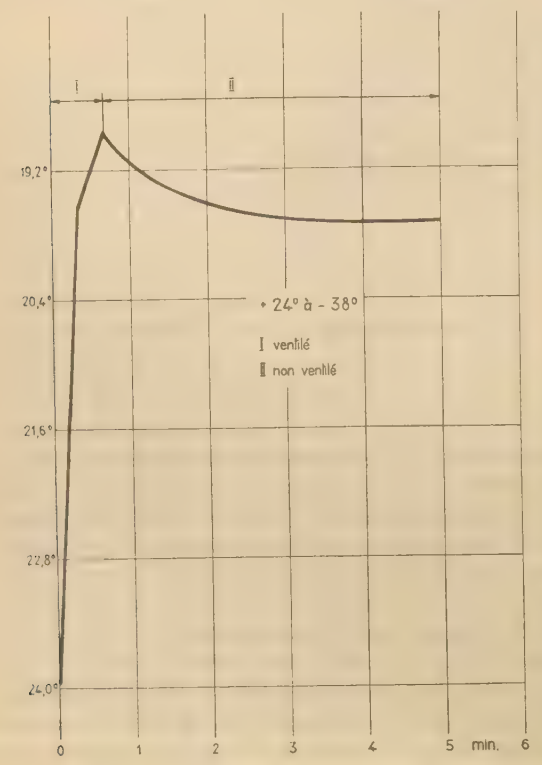

Fig. 8.

Dans l'expérience suivante, *fig. 8*, l'équipage bimétal-châssis fut chauffé à +24°, puis placé dans un courant d'air de 5 m/sec. à —38°. Après une minute, la ventilation était arrêtée. On constate, comme dans le cas précédent, que le thermomètre se réchauffe d'abord de quelques degrés, avant de se refroidir, tandis que son support est constamment en voie de refroidissement. Il y a donc là aussi apport manifeste de calories vers le bimétal.

Ces expériences, qui confirment la théorie du phénomène de plafonnement, mais n'en reproduisent pas l'ordre de grandeur, nous amènent à la conclusion que d'autres causes doivent être responsables de l'énorme différence de température constatée dans le V des radiosondages stratosphériques.

La source T_s est elle-même complexe. Si le support agit par transmission à travers l'air et partiellement par conductibilité, les calories qui lui sont fournies proviennent du réservoir de chaleur que forment le baromètre et le mouvement d'horlogerie non soumis à la ventilation pendant l'ascension, ce qui complique singulièrement les calculs d'échanges. Puis, ainsi que nous l'avions constaté en étudiant les diverses constantes de temps du thermomètre, l'humidité représentée par le givrage va jouer un rôle fondamental. On se souviendra qu'une pellicule de givre, même ténue, change dans d'importantes proportions le fonctionnement du bimétal, en augmentant beaucoup sa constante de temps.

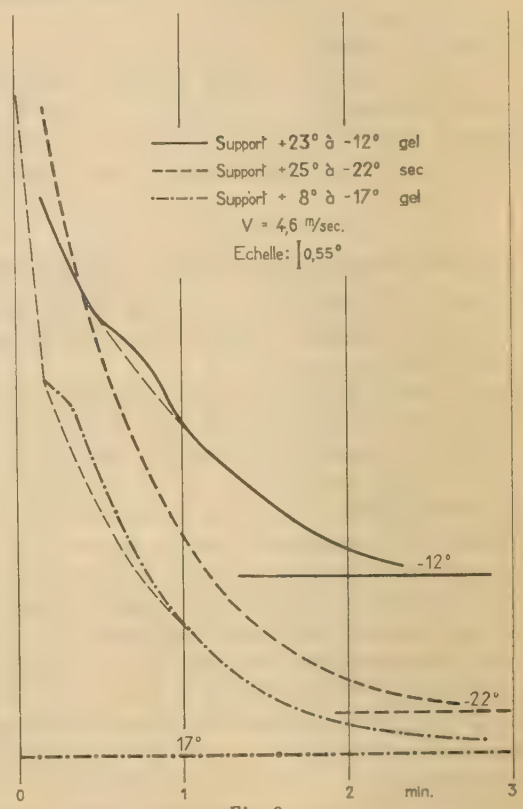

Fig. 9.

La courbe de refroidissement en traits espacés qui est une exponentielle pure produite à l'air sec figure ici à titre de comparaison avec les deux autres courbes perturbées par le givrage.

6. Effets du givrage.

Celui-ci, comme nous l'avons montré par plusieurs expériences (voir Annales 1942) perturbe les lignes exponentielles de refroidissement. En voici quelques nouveaux exemples tirés des expériences précédentes, répétées en produisant le givre au-dessous de zéro degré par une humectation préalable des organes aux températures positives.

La *fig. 9* dénonce clairement pour le support l'enflure qui se produit sur l'exponentielle de refroidissement, rendant impossible les calculs exacts de la constante de temps. Très caractéristique est cette enflure sur la courbe du bimétal, *fig. 10,* où la température des lamelles se réchauffe par la chaleur de congélation de la glace.

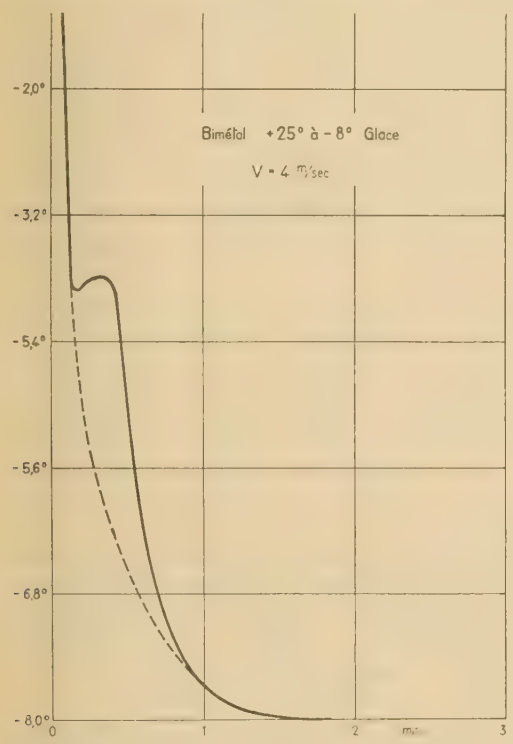

Fig. 10.

Finalement, *fig. 11,* nous avons mesuré à plusieurs reprises à l'air humide la différence de température entre le support et le bimétal, comme dans l'expérience décrite ci-devant, *fig. 7.* On voit combien les courbes sont altérées par rapport à celles de l'air sec.

Ces exemples suffisent à montrer les conditions de calcul difficiles que pose le problème du givrage, où la constante de temps peut varier dans des proportions considérables, selon la texture et la structure du givre.

7. Mesures au caisson polytrope.

Afin de nous rendre compte des grandes différences de température qui peuvent entrer dans le *traînage thermique* pendant l'ascension, nous avons fait quelques sondages artificiels dans le caisson polytrope, en répétant sensiblement les conditions de vitesse ascensionnelle irrégulières de nos ballons indilatables de papier cellux. La température du caisson fut déterminée par le ther-

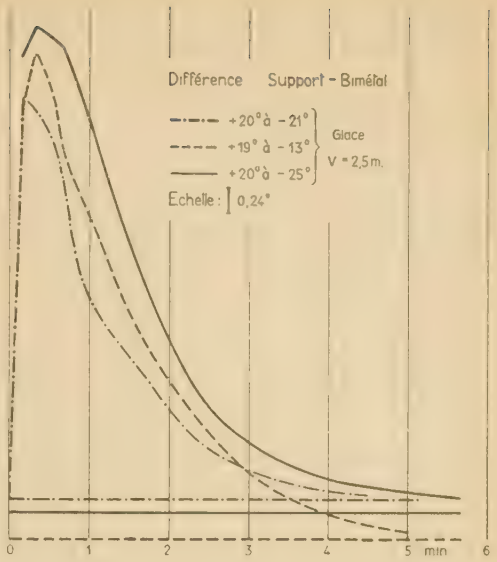

Fig. 11.

momètre à fil chaud de Trüb-Täuber, dont la constante de temps de 3″ est assez faible pour être négligeable.

Les températures du support et du bimétal sont obtenues instantanément par deux thermocouples constantan-cuivre, comme dans les essais précédents.

La *fig. 12* donne dans un système cartésien (P, T) la température de l'air, du bimétal, et du support refroidis sensiblement le long de l'atmosphère standard, à la vitesse de ventilation constante de 4,6 m/sec. Les pointages ont eu lieu toutes les minutes, ce qui permet de calculer facilement la constante de temps. Celle-ci correspond parfaitement aux mesures de Lugeon-Ackermann (Annales M. Z. A., 1942 [1, 6]), soit 10″ à 12″ aux fortes pressions, 18″ à 20″ vers 500 mbars, et 25″ vers 250 mbars pour le bimétal. La constante de temps du châssis, pour autant qu'on puisse l'appeler ainsi, est considérablement plus forte, soit 2 minutes au bas, et 6 minutes au haut de l'atmosphère explorée.

Les différences moyennes de température pour toute l'expérience sont de 2,0° entre le bimétal (—20,1°) et l'air (—22,1°) et de 6,2° entre le support (—15,9°) et l'air, et finalement de 4,2° entre le bimétal et le support, ce qui est énorme et prouve la grande capacité calorifique de ce dernier organe.

Pour illustrer le rôle de la densité de l'air ϱ, nous avons dessiné sa variation $\frac{d\varrho}{dz}$, en fonction du temps. On remarque bien la corrélation entre les ordonnées horizontales de cette courbe marginale et la différence de température du bimétal et de son support.

Les chiffres égrenés le long des lignes grasses sont les altitudes intégrées avec la température vraie de l'air du caisson; les densités en gr/m³ figurent dans la marge.

La production du phénomène de plafonnage dans le caisson, *fig. 13,* demande certaines précautions. Pour maintenir la température intérieure constante à —55°, il est nécessaire de ventiler, sinon un gradient thermique irrégulier de l'ordre du ½° s'établit assez rapidement, ce qui rend les mesures imprécises.

Fig. 12.

Dans l'expérience *fig. 13* on a imité au plus près possible les conditions naturelles. La pression et la température furent abaissées en atmosphère standard, à la vitesse de ventilation moyenne de 4,6 m/sec. Notons que cette vitesse ne correspond donc pas rigoureusement à celle que communique la force ascensionnelle évaluée

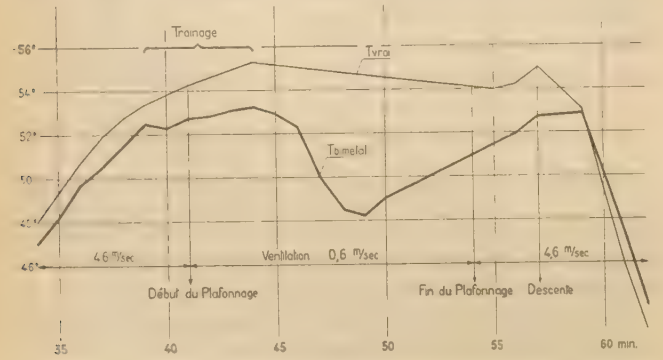

Fig. 13.

d'après le degré hypsométrique; mais cela ne joue aucun rôle. A la pression fixe de 160 mbars représentant le plafonnage à 13 km, nous fîmes tomber brusquement la ventilation, juste à la limite possible pour que la température reste constante. Nous n'avons donc pas pu reproduire un plafonnage rigoureusement horizontal, dynamiquement parlant. Mais le très faible brassage de 0,6 m/sec n'aura fait qu'accélérer légèrement les 5 phases du phénomène, qui se trouve ainsi reproduit d'une manière tout à fait remarquable.

Le réchauffement de 5,0° du bimétal se fit en 5 minutes, à la vitesse de 1,0°/min. et son refroidissement de 4,5° en 8 minutes, à la vitesse de 0,6°/min. Les abords de la courbe en V sont également adéquats au cas des ascensions stratosphériques. L'expérience en laboratoire a donc démontré irréfutablement la vérité de nos constatations précédentes.

Il est clair que les cinq phases du phénomène de plafonnement doivent être renversées, si, au lieu de s'élever on s'abaisse le long de l'atmosphère standard. L'expérience suivante confirme cette thèse.

Le thermomètre réchauffé régulièrement en une dizaine de minutes de +3° à +17°, à la vitesse de ventilation de 4,6 m/sec fut sorti brusquement du caisson dans l'air calme de la chambre à la même température finale de +17°. Il se refroidit d'abord de 2° en une demi-minute, ce qui correspond à la phase II inversée, puis se réchauffa lentement, pour s'équilibrer environ 8 minutes plus tard (phases III à IV), suivant ainsi la ligne en V du plafonnage stratosphérique.

8. Interprétation du phénomène de plafonnage et du traînage thermique.

Comportement de la source complexe de chaleur T_3.

Revenons au paragraphe intitulé «Tentative d'explication», et rappelons que la constante de temps du support a été déterminée par une série d'expériences. Toutefois, nos mesures en atmosphère polytrope ventilée ont montré que la température de la surface du support au voisinage du bimétal ne correspond pas à celle qu'elle devrait être, en la calculant d'après la constante de temps mesurée. Il en découle que la température de la partie peu ou non ventilée du châssis (mouvement d'horlogerie, etc.) reste pendant l'expérience, à une température notablement plus haute que celle qui est ventilée. Cela revient à dire que les organes montés sur le châssis ont une constante de temps propre beaucoup plus élevée que la partie exposée, qui entoure le bimétal.

On calcule alors d'après la constante de temps de l'ensemble du châssis, qui, à pression normale et sous 4 m/sec de ventilation, est de 9 minutes, que la température des organes non ventilés reste de 15° à 20° plus haute que celle de l'air. Ceci fut par ailleurs vérifié expérimentalement.

Par leur capacité calorifique élevée, ces masses métalliques agissent donc pendant l'ascension sur leur entourage, comme un réservoir de chaleur à écoulement lent.

Et ainsi s'explique que la surface du support ventilée au voisinage du bimétal est soumise, en fait, à deux processus thermiques distincts, pendant l'ascension, soit:

1° La ventilation lui enlève de la chaleur,

2° Le réservoir lui fournit des calories.

Comme la constante de temps du bimétal est plus petite que celle du châssis, on voit que non seulement la température superficielle de ce dernier, soumis à la ventilation, doit rester constamment plus élevée que le thermomètre, mais que cette élévation est d'autant plus accentuée que la présence du réservoir est plus agissante.

Effet du plafonnage.

Au plafonnement règne une ventilation très réduite ou nulle, c'est-à-dire une faible perte de chaleur dans l'air ambiant. L'écoulement des calories de la source chaude va donc supplanter de beaucoup cette perte.

Au bout d'un certain temps, la température superficielle du support prendra celle du réservoir, de 15° à 20° plus élevée que l'air. Dès ce moment, où l'ensemble du châssis a une température uniforme, il devient alors possible d'employer sa constante de temps connue de 9 minutes pour calculer la propagation de la chaleur.

La question qui se pose maintenant est de savoir comment cette propagation se produit.

Cherchons à fixer le rôle — principal en l'occurrence — que va jouer la conductibilité de l'air interposé entre le châssis et le bimétal. Le châssis se refroidit d'après la relation suivante:

$$T_3 - T_1 = -\alpha_3 \frac{dT_3}{dz}, \text{ où,}$$

T_3 = température du châssis,
T_1 = température de l'air au plafonnement,
α_3 = constante de temps globale du châssis,
z = temps.

On a, après intégration:

$$T_3 - T_1 = e^{-\frac{z}{\alpha_3}} (T_{3_0} - T_1).$$

$$\text{d'où: } T_3 = T_1 + (T_{3_0} - T_1)\, e^{-\frac{z}{\alpha_3}}.$$

La chaleur transmise à l'air par le châssis et par unité de temps est:

$$\frac{dT_3}{dz} \cdot C_3 \cdot m_3 = -C_3 \cdot m_3 \,(T_{3_0} - T_1) \cdot \frac{1}{\alpha_3}\, e^{-\frac{z}{\alpha_3}}, \text{ où}$$

C_3 = capacité calorifique de l'unité de masse du châssis,
m_3 = masse du châssis.

En renversant le signe, on a la quantité de chaleur emmagasinée par l'air, par unité de temps.

Ainsi, la température de l'air varie de la manière suivante:

$$T_3 = T_{3_0} + \frac{C_a \cdot m_3}{C_1 \cdot m_a} (T_{3_0} - T_{1_0})\, e^{-\frac{z}{\alpha_3}}, \text{ où}$$

C_a = capacité calorifique de l'air,
m_a = masse de l'air sollicitée.

Cette dernière relation conditionne la chaleur de propagation au bimétal T_{Bi}, ce qui revient à écrire, si α_{Bi} est la constante de temps de celui-ci:

$$T_1 - T_{Bi} = \alpha_{Bi} \frac{dT_{Bi}}{dz}, \text{ ou}$$

$$T_1 = T_{1_0} + \beta\,(T_{3_0} - T_{1_0})\, e^{-\frac{z}{\alpha_3}}, \text{ où}$$

$$\beta = \frac{C_3 \cdot m_3}{C_a \cdot m_a}$$

L'intégration de l'équation différentielle donne:

$$T_{Bi} = T_{Bi_0} + \beta\,(T_3 - T_{Bi_0})\,\left(e^{-\frac{z}{\alpha_3}} - e^{-\frac{z}{\alpha_{Bi}}}\right),$$

qui est l'équation fondamentale du phénomène de plafonnement.

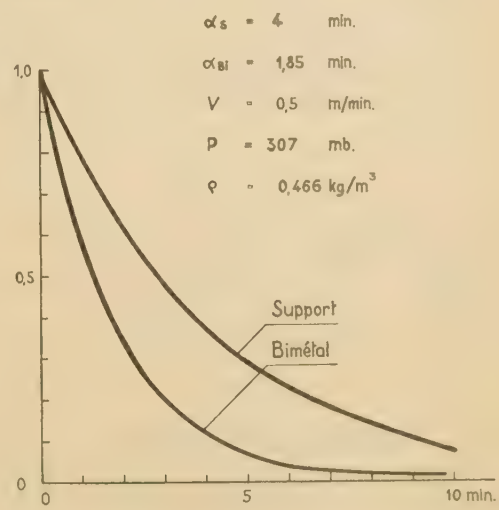

Fig. 14.

En d'autres termes, la variation de température du bimétal au plafonnage est la différence de deux courbes exponentielles, *fig. 14.*

En dessinant cette différence en fonction du temps, on obtient exactement le type de courbe des phases de nos phénomènes de plafonnement dans la nature, *fig. 15.*

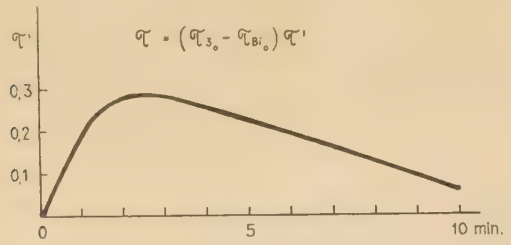

Fig. 15.

A chaque vitesse de ventilation correspondent deux paires de courbes exponentielles de refroidissement du bimétal et du châssis. Mais on remarque, quelle que soit cette vitesse de ventilation, que le maximum de la différence de ces paires de courbes reste toujours à peu près constant, soit 30% de la différence des températures absolues du bimétal et du châssis au début du plafonnement.

Comme la température des organes non ventilés d'un sondage normal sans formation de givre est de 15° à 20° supérieure à celle de la partie du châssis ventilée et que le réchauffement du bimétal au plafonnement dans la phase II est en moyenne 30% de cette valeur, soit 6° à 7°, on voit que le facteur β de la formule fondamentale du phénomène de plafonnement est égal à 1.

Ainsi, en règle générale, on admettra que le maximum du réchauffement du thermomètre de nos radiosondes pendant le plafonnement est d'environ 30% de l'excès de température du châssis, par rapport à l'air ambiant. Remarquons que s'il y a eu givrage au cours de l'ascension la capacité calorifique du réservoir peut beaucoup augmenter, d'où un réchauffement d'autant plus important dans la stratosphère.

Le temps nécessaire jusqu'à ce que cette température maximum de réchauffement soit atteinte, varie. Il est par exemple de 9 minutes pour une ventilation très faible de 5 cm/min., de 2,5 minutes pour un courant d'air de 0,5 m/min., et de 1,5 minute pour une aération de 2 m/min., *fig. 16.*

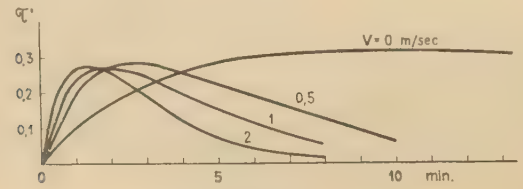

Fig. 16.

Calcul du traînage thermique.

Cherchons maintenant les conditions de ventilation minimum V en m/sec et densité ϱ en gr/m³ requises pour que le phénomène de plafonnage donne lieu pendant l'ascension au traînage thermique, afin de nous rendre compte à partir de quelle altitude nos radiosondages sont faussés.

Cette détermination se fait simplement de la manière suivante.

Dans une atmosphère ventilée à la vitesse du sondage on abaisse régulièrement et lentement la pression et la température, par exemple avec un gradient $\frac{dT}{dz}$ de 1° à 2°/minute. La température vraie de l'air est mesurée avec le fil chaud et celle du bimétal par un couple thermo-électrique. Les lectures qui se font toutes les minutes sont portées dans un système cartésien T, z (température, temps). On construit dans ces axes la courbe de température vraie que devrait avoir le bimétal, calculée d'après sa constante de temps α à ϱ et V variables, répondant à l'équation $\alpha = \frac{25{,}5}{\sqrt{\varrho \cdot V}}$, où V est ici 4 m/sec et ϱ est donnée par $\varrho = 0{,}349 \frac{P}{T}$ (voir Annales 1942 [6]). Dans les régions inférieures de l'atmosphère les deux courbes de température calculée et observée du bimétal doivent être confondues. Mais, du fait de l'existence du traînage thermique, elles vont se séparer dès une certaine altitude répondant à une densité critique, ce que l'expérience, *fig. 17,* démontre sans ambiguité.

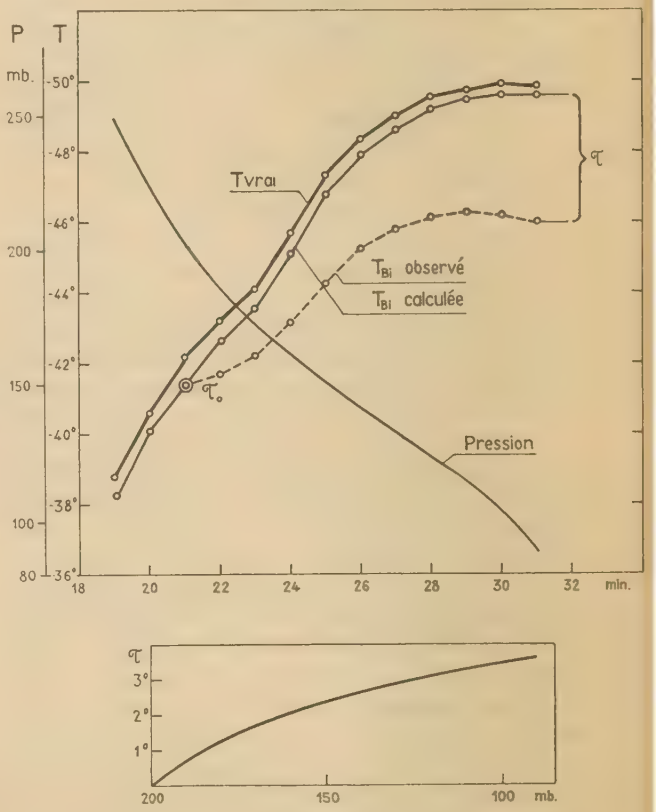

Fig. 17.

La différence des ordonnées entre les courbes de température calculée et enregistrée du bimétal est le traînage thermique, auquel nous attribueront dorénavant le symbole τ, *fig. 17,* courbe inférieure.

On remarquera, conformément à nos observations du phénomène de plafonnement dans la nature, que τ augmente progressivement avec l'altitude, tant que la température continue à descendre. C'est l'effet de densité supposé au début de la Note, qui n'est autre qu'une conséquence de la théorie cinétique des gaz: plus ϱ s'abaisse, plus la perte de chaleur du châssis doit diminuer. De là, on conclut que l'écoulement des calories des organes non ventilés que porte le châssis supplante la perte de chaleur du bimétal, d'où réchauffement de ce dernier. Conséquemment, la différence de température entre la partie du châssis communiquant par transmission à travers l'air ses calories au bimétal doit augmenter dans le même sens.

Il devient donc évident que le phénomène du traînage thermique, qu'on écrira symboliquement $\tau = f(\varrho V)$, ne peut s'amorcer que dès une certaine densité et une certaine ventilation, correspondant à la valeur critique $\tau = \tau_0$, que nous appellerons le *coefficient de traînage.*

D'après la théorie de la constante de temps que nous avons généralisée dans nos publications de l'année dernière (Annales M. Z. A. 1942 [1, 6]), on démontre que le début du traînage thermique se produit dès que $\sqrt{V \cdot \varrho}$ passe au-dessous d'une valeur minimum $\tau_0 = \sqrt{V\varrho}$, qui ne pourra être donnée que par l'expérience. C'est, nous l'avons vu ci-devant, le point τ_0, *fig. 17*, où les courbes de température du bimétal mesurée et calculée se séparent.

Dans l'expérience que nous venons de décrire, *fig. 17*, le traînage commence à la pression de 200 mbars, et —42°, $\varrho = 303$ gr/m³, soit à la valeur minimum de $\tau_0 = \sqrt{4 \cdot 303} = \sqrt{1212} = 34{,}7$.

Nous dénommons dorénavant *altitude critique du sondage* une valeur correspondant à une vitesse de ventilation et à une densité de l'air satisfaisant l'équation:

$$H_{critique} = f(\sqrt{\varrho}V) = f(34{,}7),$$

telle que dès cette altitude le traînage thermique τ intervient, obligeant à ajouter une correction supplémentaire aux données du thermomètre déjà corrigé de sa constante de temps α.

La théorie que nous venons de créer se trouve vérifiée par les sondages du Poste de Payerne. L'altitude critique correspond remarquablement bien avec la moyenne statistique d'une quarantaine d'ascensions, en 1943. Elle est d'environ 9900 m, où l'on a: P = 270 mbars, T = —44,8°, $\varrho = 404$ gr/m³, V = 3,0 m/sec à l'intérieur du boîtier du thermomètre, d'où le coefficient de traînage $\tau_0 = \sqrt{404 \cdot 3} = 34{,}7 \equiv H_{critique}$.

Le tableau suivant illustre les valeurs de l'altitude critique en fonction de la densité et de la vitesse de ventilation du thermomètre en atmosphère standard, pour divers coefficients de traînage. Il est important de se rappeler que la vitesse ascensionnelle ne doit pas être confondue avec la vitesse de ventilation qui est toujours plus faible, à cause du frottement dans le boîtier enveloppant le bimétal. Par ailleurs, le balancement de la sonde peut aussi notablement diminuer l'aération du thermomètre, comme cela fut signalé dans la Note de l'année dernière [6].

Coefficient de traînage en atmosphère standard

Altitude	ϱ	Vitesse en m/sec														
M	gr/m³	2	3	4	5	6	7	8	9	10	11	12	13	14	15	16
9 000	466	30,6	37,3	43,2	48,3	52,9										
9 500	434	29,5	36,0	41,5	46,5	51,0										
10 000	413	28,6	35,2	40,5	45,5	49,7										
11 000	364	26,9	33,0	38,0	42,5	46,7										
12 000	310	24,9	30,4	35,1	39,4	43,1										
13 000	261	22,8	28,0	31,7	36,1	39,6										
14 000	227	21,3	26,0	30,0	33,6	36,9										
15 000	194	19,6	24.1	27,8	31,1	34,1	36,9	39,4								
18 000	120	15,5	18,9	21,8	24,4	26,7	28,9	31,0	32,8	34,6	36,3					
20 000	88	13,5	16,2	18,7	21,0	22,9	24,8	26,5	28,1	29,6	31,0	32.4	33.9	35.0	36.2	37.5

Le tableau montre que plus on s'élève, plus la vitesse de ventilation doit augmenter pour éviter le traînage thermique. A 13 000 m, par exemple, elle devra atteindre au moins 5 m/sec, à 18 000 m, 10 m/sec, etc. La réalisation de pareilles vitesses de ventilation est difficile,

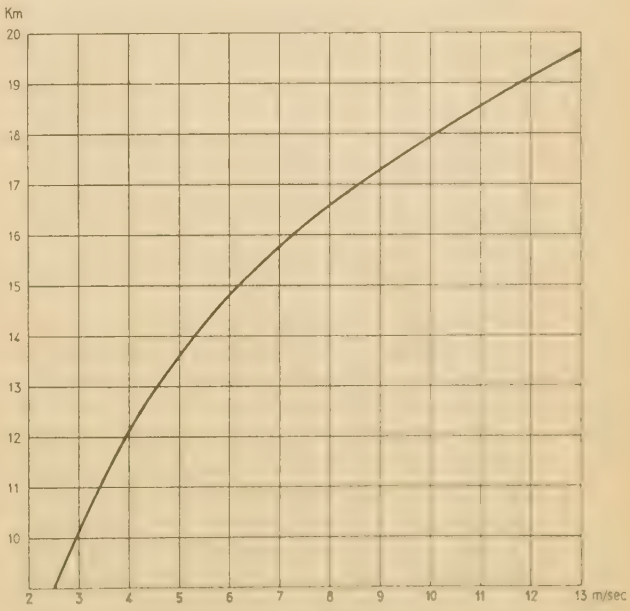

Fig. 18.

même avec des ballons de caoutchouc. A 20 km, la vitesse minimum sera de 14 m/sec, à 25 km, de 30 m/sec, ce qui est irréalisable avec la technique courante.

Pour illustrer ces considérations, nous avons tracé la courbe du coefficient de traînage constant $\tau_0 = f(\sqrt{\varrho}V) = 34{,}7$, en fonction de l'altitude et de la vitesse de ventilation, *fig. 18*. Le diagramme doit se comprendre ainsi. Pour une ventilation V connue, toutes les valeurs de $\varrho = 0{,}349 \frac{P}{T}$ correspondant à une altitude intégrée $H = f(P, T_u)$ du sondage situées à gauche de la courbe τ_0 indiquent que la température corrigée de sa constante de temps est faussée par le traînage thermique. Réciproquement, toutes les valeurs situées à droite de la courbe indiquent que la radiosonde travaille normalement.

Remarquons, toutefois, que ce critérium n'est valable que pour l'expérience, *fig. 17*, qui a donné la valeur du coefficient de traînage $\tau_0 = 34{,}7$. Car, en effet, ce chiffre dépend de toute l'histoire de l'ascension précédant la production du traînage. Ce qui veut dire que le coefficient de traînage τ_0 change avec chaque sondage. Dans notre cas, nous avons sensiblement respecté les conditions d'une ascension rapide, puisque τ_0 s'est produit à la 21e minute après le départ à 960 mbars.

L'analyse de la formule générale du phénomène de plafonnage montre que si l'on monte plus lentement, l'altitude critique de τ_0 s'élève, tandis qu'elle s'abaisse dans le cas contraire.

Les calculs indiquent que dans notre pratique courante les variations de τ_0 peuvent être assez importantes, surtout s'il y a production de givre, ce qui rabaisse beaucoup le niveau de l'altitude critique et augmente l'amplitude du traînage.

Il résulte de ces considérations que la correction rigoureuse des températures au-delà de l'altitude critique est aléatoire.

On se fait une idée sommaire de la correction τ à apporter à la température au-delà de 9000 m à 10 000 m d'altitude, par le diagramme au bas de la *fig. 17*, qui donne pour l'expérience citée précédemment la température de traînage τ, en fonction de la pression, sous 4 m/sec de ventilation. Ainsi, vers 100 mbars, la correction à soustraire au thermomètre corrigé de sa constante de temps serait d'environ 3,5°.

Rappelons pour fixer les idées que le maximum de la correction du traînage ne dépassera pas en moyenne 6° à 7°, l'effet de gel étant excepté.

Comme l'amplitude du traînage thermique τ dépend de la ventilation, c'est-à-dire de la vitesse ascensionnelle, la correction éventuelle du sondage fait intervenir le temps. Or, là le problème se complique, car nous avons vu, en effet, que la courbe $T_s - T_{Bi}$, en fonction du temps z change avec la vitesse de ventilation V. De plus, le maximum de cette courbe dépend de l'état de la source T_s conditionnée elle-même par l'histoire du sondage. Il est donc difficile de fixer des formules de correction qui aient quelque chance d'exactitude. Du moins, seraient-elles fort compliquées. Nous nous réservons de revenir sur ce sujet prochainement avec d'autres suggestions, basées sur les expériences à faire avec la nouvelle sonde développée par l'un de nous [4, 6].

* * *

9. La stratosphère existe-t-elle?

Analysons à titre d'exemple ce qui se passe dans une stratosphère isotherme dès 9 km d'altitude, début habituel du traînage thermique pour les conditions de notre expérience en caisson, *fig. 17*. Au lieu de suivre l'isothermie, la radiosonde va indiquer une inversion, *fig. 19*, dont l'amplitude maximum sera d'environ 6° à l'altitude de 10 500 m.* Dès ce niveau, la courbe d'enregistrement

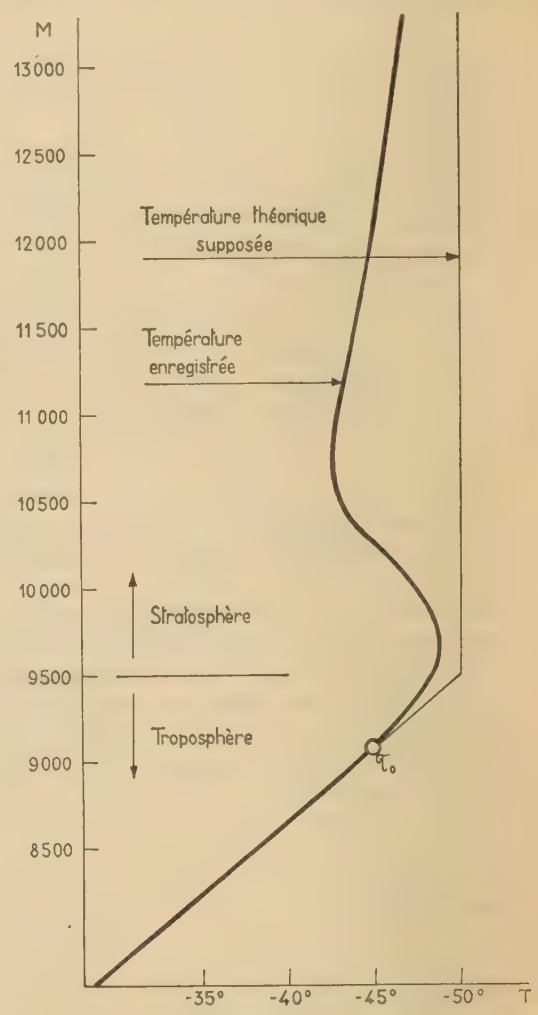

Fig. 19.

tendra à rejoindre l'isothermie, mais l'équilibre ne pourra pas se rétablir, car, à partir d'une douzaine de kilomètres, la densité devient trop faible, le produit ϱV s'approchant de 1.

* Cette inversion s'est précisément révélée entre 11 000 m et 12 000 m dans la moyenne des radiosondages du Poste de Payerne, citée dans la Note I des présentes Annales [8].

Supposons maintenant que la stratosphère soit beaucoup plus haute et que la température continue à diminuer dès 9 km. Le radiosondage indiquera alors une isothermie dans une première tranche de 1000 m à 2000 m de hauteur, puis la courbe s'infléchira, tout en s'écartant de plus en plus de la courbe d'état réelle, par suite de la raréfaction progressive de l'air, *fig. 20.* La différence entre la température enregistrée et la température réelle sera d'environ 6° dans l'inflexion et atteindra une dizaine de degrés à 15 km d'altitude.

Ces deux exemples montrent donc indubitablement les erreurs considérables qu'on a faites jusqu'à ce jour dans les ascensions stratosphériques avec des radiosondes à grande capacité calorifique, et prouve que très vraisemblablement l'isothermie de la stratosphère n'existe pas; elle n'est peut-être qu'un accident instrumental.

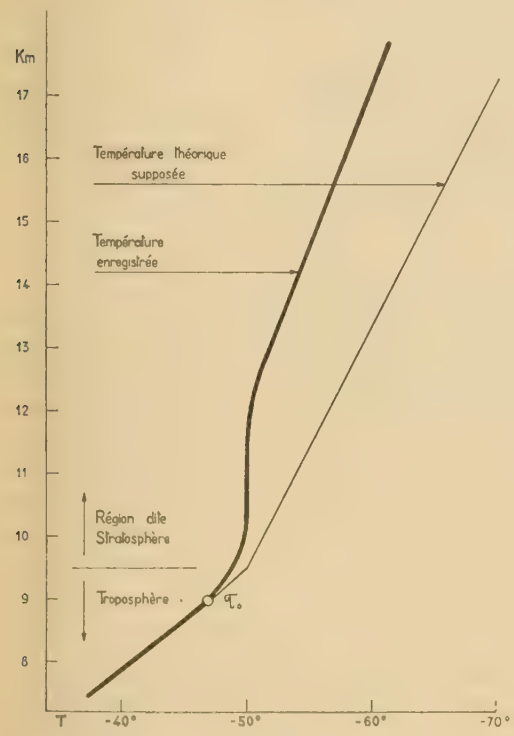

Fig. 20.

Et ainsi, dans l'esprit de l'atmosphère standard, la stratosphère, au lieu d'être à une température constante de —56,5°, à partir de 11 km d'altitude, doit, d'après nos calculs du traînage thermique continuer à se refroidir en fonction de l'altitude.

Les expériences citées dans cet article permettent de prévoir un gradient d'environ 0,4° par 100 mètres, entre 9 km et 15 km, se rapprochant ainsi de celui des couches inférieures de l'atmosphère et amenant la température à —80°, vers 15 km à 18 km d'altitude, sous nos latitudes.

Nous nous contentons d'attirer l'attention de nos collègues sur l'ordre de grandeur de ces chiffres inquiétants, quant à leur portée dans le problème des sondages de la haute atmosphère.

10. Suggestions concernant une nouvelle méthode pour radiosonder la stratosphère.

Il découle de nos travaux antérieurs [1, 4, 6, 7] et de la théorie présentée dans ce Mémoire, que le sondage exact au-dessous de 250 mbars (10 km à 11 km) n'est guère possible avec les procédés actuels. Nous ne voulons pas dire par là que tous les météorographes et radiosondes de nos collègues soient aussi inertes que le nôtre, adopté provisoirement par suite des circonstances de la guerre. Bien au contraire. La sonde de Väisäilä, par exemple, ainsi que les petits météorographes de Jaumotte, à faible capacité calorifique permettent certainement d'aller un peu plus haut; mais elles ne sauraient toutefois dépasser une douzaine de kilomètres sans effet de traînage. En bref, déclarons que le coefficient de traînage est le critérium d'une radiosonde stratosphérique. Plus sa valeur numérique est petite, plus le plafond de la radiosonde sera élevé.

Dans d'autres Notes [4, 6], l'un de nous a montré le pas important franchi avec la nouvelle radiosonde suisse à thermomètre filiforme, qu'il développa avec la Maison Hasler. La correction de la constante de temps devient pratiquement négligeable, jusqu'à une centaine de millibars.

Néanmoins, le traînage thermique, inconnu au moment de la construction de ce nouvel appareil, subsiste. Le hasard nous a fait découvrir ce phénomène en sondant avec des ballons de papier. Il faut maintenant chercher à s'en débarrasser, puisqu'on ne saurait le calculer pour des corrections suffisamment précises.

La sonde stratosphérique idéale doit donc être soustraite aux influences suivantes:

du boîtier abritant le thermomètre,

de l'écran contre la radiation solaire et l'albedo,

du support du thermomètre,

du châssis portant les indicateurs et les organes de transmission.

Par ailleurs, les organes porteurs et transmetteurs du nouveau thermomètre à fil, dont la constante de temps pourra être abaissée à quelques dizièmes de seconde, ne devront pas être perturbés par le givre. On cherchera à ventiler artificiellement l'équipage pendant l'ascension, à une vitesse constante.

Cette nouvelle radiosonde munie d'un télémétéographe sans contact basé sur le principe de transmission électrique de M. Max Bohnenblust [2] est présentement à l'étude, à la Station Centrale Suisse de Météorologie. Nous espérons quelle donnera des indications précises jusqu'à une vingtaine de kilomètres.

Quant aux sondages plus élevés, la méthode de mesure du bimétal ou du fil restera toujours en défaut. Il faudra pour ces explorations, d'un caractère plus scientifique que pratique revenir à l'idée de l'enregistrement par couple thermo-électrique, ou chercher d'autres procédés que la physique moderne nous proposera sans doute.

Bibliographie.

1. Ackermann, Paul. — *Verfälschung der Temperaturangaben von Radiosonden durch den Strahlschutz,* Ann. MZA. 1942, Zürich 1943.
2. Bohnenblust, Max. — *Neuartige kontaktlose Signalübertragung bei Radiosondierungen,* Ann. MZA. 1942, Zürich 1943.
3. de Haller, Pierre. — *Un caisson d'étalonnage pour Météorographes,* Ann. MZA. 1940, Zurich 1941.
4. Lugeon, Jean avec la collaboration de Guido Nobile et Pierre de Haller. — *Le Poste Aérologique de la station centrale de Météorologie à Payerne et les nouvelles méthodes suisses de radiosondages,* Ann. MZA. 1941, Zurich 1942.
5. Lugeon, Jean. — *La technique des ballons de remplacement en papier cellux; le largage des radiosondes,* Ann. MZA. 1942, Zurich 1943.
6. Lugeon, Jean. — *La correction des températures des radiosondages dans le Mémoire: Quelques innovations aux méthodes suisses de radiosondage,* Ann. MZA. 1942, Zurich 1943.
7. Lugeon, Jean. — *Un nouveau phénomène de réchauffement des thermomètres de radiosonde dans la stratosphère: le traînage thermique,* Actes SHSN., Sils-Maria 1944.
8. Lugeon, Jean. — *L'atmosphère moyenne de Payerne à la stratosphère, ou la critique des radiosondages suisses,* Ann. MZA. 1943, Zurich 1944.

Calculs des corrections thermiques des sondages

par P. Berger

I. Détermination mécanique de l'écart entre les températures normale (T) et virtuelle (T_v).

Introduction.

Une méthode mécanique (disque et abaque) permettant de déterminer la température virtuelle de chaque point d'un sondage est décrite dans la monographie «Quelques innovations aux méthodes suisses de radiosondages» par J. Lugeon, parue dans les Annales de la Station centrale suisse de météorologie, 1943, chapitre V, paragraphe 5, p. 23—25. La solution présentée est séduisante, surtout pour les personnes qui appréhendent le moindre calcul mental. Pour les autres, je propose une méthode de travail toute aussi, sinon même plus rapide, d'un emploi à notre avis moins fatiguant. A cette fin, j'ai mis au point une planche à calcul très simple.

Planche à calculer (T_v—T).

Plusieurs tableaux classiques donnent la différence thermique (T_v—T) pour 100% d'humidité relative en fonction de diverses pressions et températures. Je choisis celui de Bjerknes, publié en 1910; il est représenté graphiquement à la partie supérieure de la *fig. 1.* Dans cette figure, les pressions sont portées en ordonnée, les différences de température (T_v—T) — pour une humidité relative de 100% — en abscisse, les températures T sont représentées par la famille de courbes. Si l'humidité relative est de X% ($X \leq 100\%$), la correction thermique $(T_v—T)_x$ est égale au produit $(T_v—T) \cdot \frac{X}{100}$.

Notre but est de réaliser mécaniquement ce produit.

A cet effet, sur l'axe des ordonnées, au-dessous de la *fig. 1,* choisissons une distance quelconque 0—A (égale à 100 mm par ex.) que nous diviserons en 100 parties égales et numérotons les de 0 en A en commençant par le bas: 0 = 0, A = 100. Traçons des parallèles à l'axe des abscisses par les différents nombres 0,1 . . . 99,100 et admettons que chaque intervalle correspond à 1%. Tirons une droite 0—B; la distance A—B correspond à une valeur de $(T_v—T)_{100}$; x est la projection de X sur 0—B et x′ celle de x sur AB. Les 2 triangles rectangles 0AB et 0Xx sont semblables et nous pouvons écrire:

$$Xx = \frac{0X}{0A} \cdot AB \text{ ou } Ax' = \frac{x\%}{100\%} (T_v—T)_{100}.$$

Notre problème est ainsi résolu.

Pour avoir une abaque très claire, les droites p = 1000 mbars et A = 100% ne sont pas confondues. La droite 0B est matérialisée par un index rotatif, centré en 0. Un curseur qui s'applique sur le rail 0—0′ (0—0′ est perpendiculaire à 0A) permet de projeter aisément et avec beaucoup de précision les points figuratifs (p · T) de l'abaque sur A—B.

$(T_v—T)_x$ s'obtient de la manière suivante: à la n° min. le dépouillement du sondage nous fournit les valeurs p, T — Point p sur la *fig. 1* — et X. Glissons le cur-

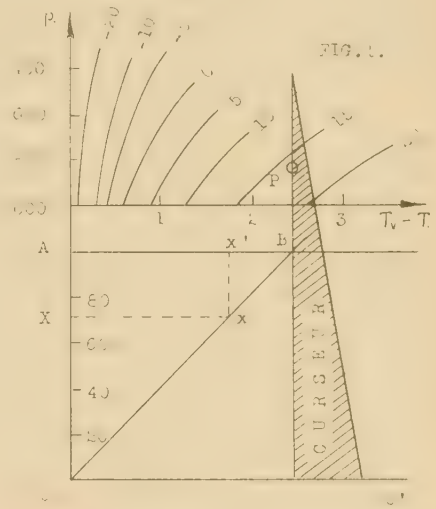

seur le long de 0—0′ jusqu'en P; faisons tourner l'index rotatif jusqu'en B (projection de P sur A—B); puis glissons le curseur jusqu'en x (intersection de la ligne X et de l'index); la distance Xx, égale à Ax′, nous donne la correction cherchée. Afin de supprimer autant que possible les mouvements du curseur, l'abaque est dessinée sur du papier millimétré de 2 en 2 mm. Grâce à ce papier, l'emploi du curseur est superflu lorsque la pression et l'humidité relative sont simultanément fortes.

La détermination de $(T_v—T)_x$ fut déjà réalisée par d'autres méthodes plus ou moins semblables dont je me suis inspiré.

II. Abaque pour calculer la correction thermique inhérente à l'inertie des thermomètres, bimétalliques ou autres.

Introduction.

Une intéressante solution pour déterminer sans calcul la correction thermique due à l'inertie des thermomètres est décrite dans la monographie citée plus haut (chapitres IV et V, p. 20 à 23). Le procédé préconisé de travail nécessite l'emploi d'un transparent et d'un disque spécial qui s'adapte à notre intégrateur. Le procédé est surtout séduisant pour les personnes qui désirent éviter tout calcul mental; mais à l'usage, ce procédé s'est révélé d'un emploi délicat.

Dans les lignes qui suivent, je me propose de présenter une autre solution.

Considérations théoriques en atmosphère type.

Des travaux récents ont montré que la correction thermique α des thermomètres exposés dans un courant d'air (de vitesse V, en m/sec) de densité variable (a) est exprimée par la formule:

$$1) \qquad \alpha = \frac{C}{\sqrt{V \cdot a}}$$

C = constante individuelle de chaque thermomètre.

Nous admettons ce résultat et nous nous proposons d'exprimer α — en atmosphère type — exclusivement au moyen de la pression et d'une différence de pression.

L'atmosphère type est définie par les équations:

Altitude: sol à 11 000 m	Altitude: supérieur à 11 000 m
2) $T = 15 - 0{,}0065\, z$	2¹) $T = -56{,}5°$ C.
3) $\frac{p}{p_0} = \left(\frac{288 - 0{,}0065\, z}{288}\right)^{5{,}256}$	3¹) $\log \frac{p_{11000}}{p} = \frac{z - 11000}{14600}$
4) $\frac{a}{a_0} = \left(\frac{288 - 0{,}0065\, z}{288}\right)^{4{,}256}$	4¹) $\log \frac{a_{11000}}{a} = \frac{z - 11000}{14600}$

T = température de l'air en degré C; température au niveau de la mer: + 15°.
z = altitude en m au-dessus du niveau de la mer.
p = pression à un niveau quelconque, exprimée en mb.
p_0 = pression au niveau de la mer: 1013,23 mb.
a = poids spécifique de l'air, à un niveau quelconque, en kg/m³.
a_0 = poids spécifique de l'air au niveau de la mer: 1,2255 kg/m³.

L'équation 3) peut s'écrire:

$$z = \frac{288}{\sqrt[5{,}256]{p_0} \cdot 0{,}0065} \left(\sqrt[5{,}256]{p_0} - \sqrt[5{,}256]{p}\right);$$

posons

$$C_z = \frac{288}{\sqrt[5{,}256]{p_0} \cdot 0{,}0065}.$$

Une différence d'altitude entre 2 niveaux peut s'exprimer par (indice i = niveau inférieur, indice s = niveau supérieur):

$$dz = z_i - z_s = C_z \left(\sqrt[5{,}256]{p_i} - \sqrt[5{,}256]{p_s}\right).$$

Si un ballon monte du niveau i au niveau s en t min., sa vitesse ascensionnelle (V_a) sera:

$$5) \qquad V_a = \frac{C_z}{t} \left(\sqrt[5{,}256]{p_i} - \sqrt[5{,}256]{p_s}\right).$$

Suivant la forme du boîtier qui enrobe le thermomètre des sondes, ce dernier sera ventilé par un courant égal ou proportionnel à V_a. Dans notre technique actuelle de sondage, nous avons $V = V_a$. Pour faciliter la suite du développement mathématique, il est avantageux d'éliminer les pressions p_i et p_s et de les remplacer par: $p_i = p + dp$: $p_s = p - dp$

avec $$p = \frac{p_i + p_s}{2}.$$

L'équation 5) devient alors:

$$V = V_a = \frac{C_z}{t} \left(\sqrt[5{,}256]{p + dp} - \sqrt[5{,}256]{p - dp}\right).$$

L'équation 4), combinée à 3) peut se mettre sous la forme:

$$a = a_0 \left(\frac{p}{p_0}\right)^{4{,}256/5{,}256}$$

Le produit V · a, après transformations, développements en série des racines $\sqrt[n]{p + dp}$ et $\sqrt[n]{p - dp}$ puis simplifications prend la forme: (n = a/b; a et b, nombres entiers; n = 5,256 ou 4,256)

$$6) \quad V \cdot a = C' \frac{1}{n} \left[2dp - \frac{1}{3}\left(2 - \frac{1}{n^2} - \frac{3}{n}\right) \frac{dp^3}{p^2}\right]$$

C′ est une constante, égale à:

$$C' = \frac{C_z \cdot a_0}{t \cdot p'} \qquad p' = p_0^{4{,}256/5{,}256}$$

Pour les altitudes supérieures à 11 000 m, des équations 2′, 3′ et 4′ on tire une expression de V · a qui est semblable à celle citée ci-dessus. Ainsi en atmosphère type, le produit V · a — donc aussi α — (voir équation 1) — ne dépend que de la variation de pression 2 dp et, mais dans une faible mesure, du quotient dp^3/p^2. En effet, au cours d'un sondage, dp est toujours petit par rapport à p. En réalité α est pratiquement indépendant de p. Le tableau 1, calculé d'après les valeurs de l'atmosphère type, confirme l'affirmation qu'α est pratiquement indépendant de p, donc de l'altitude.

Tableau No. 1.

Valeurs de α.

Pressions	Ecarts de pression 2 · dp en mb.									
en mb.	2	4	6	10	20	30	40	50	60	70
1000	43,8	30,9	25,3	19,6	13,90	11,32	9,78	8,78	7,98	7,42
800	43,9	31,0	25,2	19,6	13,85	11,32	9,75	8,76	7,98	7,41
600	43,4	31,0	25,2	19,5	13,82	11,37	9,76	8,74	7,97	7,39
400	43,4	30,9	25,2	19,5	13,78	11,25	9,76	8,73	7,97	7,38
200	43,8	30,8	25,2	19,5	13,78	11,27	9,77	8,73	8,02	—
100	43,7	30,8	25,2	19,5	13,75	11,20	—	—	—	—

Les cases vides de ce tableau correspondent à des vitesses ascensionnelles supérieures à 2000 m/min.

En résumé, pour autant que la répartition momentanée des pressions et des températures puisse être confondue avec celle de l'atmosphère type, α ne dépend que de 2 dp et est pratiquement indépendant de p.

α est exprimé en sec. Posons: $x = \frac{\alpha}{60} = \frac{C}{60\sqrt{V \cdot a}}$.

Pour une variation de température dT entre la n^e^ et la (n+1)^e^ min, la correction thermique δT est donnée par la formule

$$7) \qquad \delta T = dT \cdot x = dT \frac{\alpha}{60}.$$

Si nous admettons $dT = 1$, nous avons une correction thermique unitaire δT_1, en fractions de degrés. Le calcul de δT_1, à l'aide de C, V et a est pénible, en parti-

culier si l'on veut obtenir des valeurs déterminées des δT_1 (par ex.: 0,1, 0,2, etc.); il est plus avantageux de travailler sur un graphique. Ce travail se fait aisément de la manière suivante:

Dans un système d'axes rectangulaires, portons en abscisse les dp et en ordonnée les α. Les α correspondants aux différents dp s'alignent sur la ligne courbe dessinée. A l'aide de l'équation 7, pour des δT_1 choisis (par ex. 0,12; 0,13, etc.) déterminons les α, correspondants aux dp notés en abscisse.

La famille de courbes dessinées sur la *fig. 3* représente les corrections δT pour différentes valeurs de dp et de dT. En atmosphère type, pour une valeur donnée de dp, les dT ne sont pas indépendants de p; à moins de 11 000 m, pour un dp constant, les dT correspondants augmentent si p diminue; au-dessus de 11 000 m les dT sont constamment nuls.

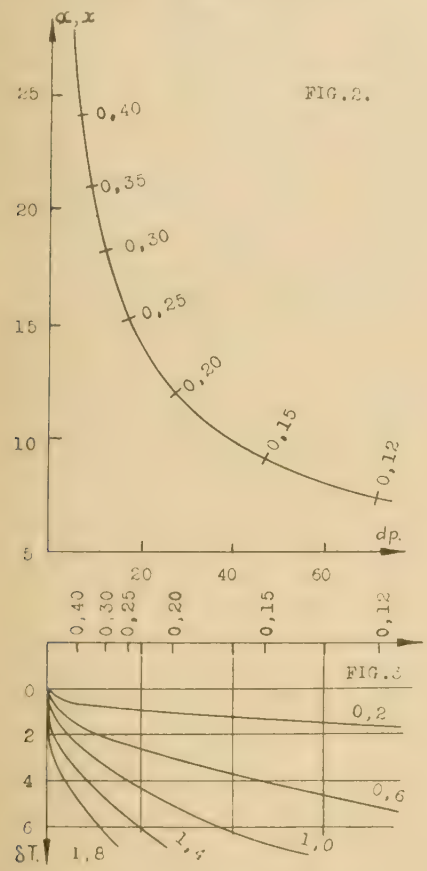

En atmosphère type, les δT se déterminent aisément uniquement à l'aide de l'abaque de la *fig. 3.*

Au chapitre suivant nous chercherons à prouver que cette abaque peut être employée dans tous les cas.

Cas d'une atmosphère quelconque.

Nous nous proposons de calculer δT à $\pm 0{,}1°$ C. près. Cette précision est amplement suffisante, puisqu'avec notre méthode actuelle de travail nous déterminons T à plus ou moins 0,2° C. près seulement. Grâce à cette tolérance, nous allons montrer que pour le calcul de δT, il est possible d'assimiler l'atmosphère réelle à l'atmosphère type. Dans ce but, il suffit de démontrer que pour un point quelconque de l'atmosphère la correction de dp qui résulte de l'écart $\triangle T$ des températures des atmosphères réelle et type, est inférieure aux variations admissibles de 2 dp, inhérentes à la tolérance mentionnée.

Influence de la température.

En atmosphère type, à chaque niveau de pression p correspond une température T bien définie. Lorsque un ballon monte, il traverse chaque minute une tranche atmosphérique dont l'épaisseur est proportionnelle à sa vitesse ascensionnelle; dans nos sondages, cette dernière est comprise entre 150 et 600 m/min., à part quelques rares exceptions. A l'intérieur de ces tranches — que nous admettrons déborder également de part et d'autre du niveau p — la température varie d'une manière quelconque. Remplaçons la par la température fictive moyenne définie par:

$$\frac{1}{z_i - z_s} \int_{z_s}^{z_i} f(z) \cdot dz = T_f$$

et posons $T - T_f = \pm \triangle T$.

Admettons que $\triangle T$ peut prendre toutes les valeurs de 0 à y. Comme valeur supérieure de y, admettons 30; cette valeur paraît correspondre à un écart thermique maximum, qui est rarement dépassé dans nos régions. En d'autres termes, nous admettons que l'atmosphère réelle peut être au plus de 30 degrés plus chaude ou plus froide que l'atmosphère type, à même niveau.

Les tranches horizontales traversées par un ballon (à vitesse ascensionnelle constante) en une min. correspondent en atmosphère type à des variations de pression bien définies et différentes d'un niveau à l'autre. Le tableau 2 en donne un aperçu.

Tableau No. 2.

Pression et altitude en atmosphère type.

Vitesse asc. en m/min.	1000 mb. ou env. 100 ms. m.	2 dp	500 mb. ou env. 5600 m s. m.	2 dp	237 mb. ou env. 10 700 m s. m.	2 dp
150	17,90 mb.	(1,97) mb.	10,17 mb.	(1,12) mb.	5,56 mb.	(0,61) mb.
300	36,06	(3,96)	20,40	(2,24)	11,12	(1,22)
600	71,13	(7,82)	40,81	(4,50)	22,25	(2,45)

Si la température moyenne de la tranche est différente de celle de la tranche correspondante en atmosphère type, les écarts 2 dp seront plus grands ou plus petits que ceux indiqués. Même pour un écart thermique atteignant $\pm 30°$ les variations de 2 dp sont faibles comme le prouvent les nombres entre parenthèses du tableau No. 2. Ces variations ont été calculées en tenant compte de la dilatation verticale de la tranche et de la variation de sa masse. Ces variations sont d'autant plus faibles que le ballon est haut et qu'il monte lentement; elles sont d'autant plus grandes que le ballon est bas et que sa vitesse ascensionnelle est élevée.

Si les écarts entre les températures des atmosphères réelle et type sont inférieurs ou au plus égaux à 30°, les 2 dp correspondants varieront d'une certaine quantité qui sera inférieure ou au plus égale à celles données entre parenthèses. Ces variations sont faibles et nous verrons qu'elles sont inférieures à celles provoquées par la tolérance admise dans le calcul de δT.

Influence de la tolérance de ±0,1°.

En introduisant ce facteur dans l'équation 7, celle-ci prend la forme

8) $$\delta T \pm 0{,}1 = dT \frac{a + da}{60}$$

ou $$da = \pm 6/dT.$$

Puisque la vitesse de nos ballons oscille en général entre 150 et 600 m/min. et que le gradient vertical thermique est connu (0,0065), dT peut être calculé; dT varie de 1 à 4. da est donc aussi connu. En atmosphère type, l'épaisseur des tranches horizontales que le ballon traverse chaque minute correspond aux variations de pressions 2 dp, notées au tableau 2. A l'aide de ce tableau et de la *fig. 2*, il est aisé de calculer les marges de part et d'autre de 2 dp qui satisfont à la tolérance admise de ±0,1°. Les valeurs extrêmes de ces marges sont données au tableau 3.

Tableau No. 3.

Vitesse asc. en m/min.	Altitude approx. en m	2 dp en mb	Limites des marges inférieures	Limites des marges supérieures	Variations de 2 dp en mb. —	Variations de 2 dp en mb. +
150	100	17,90	env. 9 mb.	env. 51 mb.	9 env.	33 env.
	5 600	10,17	6	22	4	12
	10 700	5,56	4	9	1,5	4
300	100	36,06	21	67	15	31
	5 600	20,40	14	33	6,5	13
	10 700	11,12	8	16	2	5
600	100	71,13	51	sup. 71	20	sup.100
	5 600	40,81	31	56	10	25
	10 700	22,25	18	29	4,0	7

Les gammes des 2 dp sont donc bien étendues; elles sont d'autant plus limitées que le ballon monte lentement et qu'il est à haute altitude; réciproquement elles sont d'autant plus étalées que le ballon est bas et qu'il monte rapidement.

Résultats.

La comparaison des chiffres entre parenthèses du tableau 2 et de ceux des 2 dernières colonnes du tableau 3, prouve que — pour une tranche atmosphérique donnée de 150, 300, 600 m d'épaisseur — les corrections dues à l'écart thermique δT sont non seulement toujours comprises entre les valeurs admissibles de 2 dp mais qu'elles sont en général bien inférieures à leurs valeurs extrêmes. Ce résultat est obtenu grâce à la tolérance admise de ±0,1° C.

Conclusions.

L'abaque de la *fig. 3* est valable pour tous les sondages, quel que soit l'état momentané de l'atmosphère.

A l'aide de la planche à calculer et de l'abaque nous déterminons $(T_v - T)_x$ et δT. Mentalement nous effectuons la somme algébrique de ces 2 petites corrections, que nous ajoutons à la température brute. Il suffit ainsi d'effectuer avec notre intégrateur un seul tracé de points au lieu de 3 (un pour la température brute, un pour la température corrigée, un pour la température virtuelle). Le diagramme qui représente l'état atmosphérique est moins chargé et peut être aisément utilisé pour la détermination d'autres valeurs aérologiques des sondages.

Tous les disques décrits dans la monographie citée au début ne s'appliquent qu'à un intégrateur de notre type, tandis que les 2 procédés de calcul des corrections, présentés ici, sont d'un usage tout général.

Radiosondierungen 1943

30. I. 1943. 10.18 h MEZ.

Min.	PPP	TTT	UU	H m. dyn.
0	954.4	- 3.0	100	483
1	927	2.4	100	712
2	904	5.7	90	915
	900	**5.5**	**89**	**951**
	894	**5.4**	**88**	**1000**
3	885	4.4	85	1085
4	868	5.3	75	1239
5	843	4.5	68	1472
6	820	2.2	55	1693
	800	**1.3**	**53**	**1888**
7	796	1.3	50	1927
	789	**0.9**	**51**	**2000**
8	776	0.5	54	2129
9	753	- 2.0	56	2363
10	735	- 3.2	62	2548
11	710	6.0	70	2815
	700	**- 6.7**	**72**	**2923**
	693	**- 7.1**	**75**	**3000**
12	688	- 7.6	77	3056
13	668	- 9.1	80	3280
14	648	-11.6	78	3580
15	620	-12.1	76	3840
	607	**-13.6**	**76**	**4000**
	600	**-14.7**	**76**	**4087**
16	598	-15.1	76	4112
17	571	-17.6	76	4453
18	550	-18.6	80	4727
	530	**-20.8**	**80**	**5000**
19	528	-21.1	79	5027
20	508	-22.6	78	5306
21	**500**	**-24.7**	**78**	**5418**
22	482	-25.5	78	5678
	461	**-27.8**	**78**	**6000**
23	460	-27.9	78	6007
24	442	-30.5	74	6289
25	422	-32.0	72	6605
26	402	-34.5	71	6940
	400	**-35.0**	**71**	**6973**
	398	**-35.5**	**70**	**7000**
27	392	-37.2	70	7112
28	373	-40.5	66	7445
29	357	-40.8	64	7738
30	348	-44.1	64	7908
	343	**-44.6**	**63**	**8000**
31	334	-45.1	62	8180
32	321	-47.9	62	8437
33	311	-52.6	62	8640
	300	**-54.0**	**62**	**8865**
	294	**-54.8**	**62**	**9000**
34	289	-55.6	62	9102
35	278	-57.7	62	9342
36	270	-57.0	60	9520
37	261	-57.7	60	9729
	250	**-58.7**	**60**	**10000**
38	248	-59.0	60	10043
39	240	-60.7	60	10244
40	238	-61.7	60	10296
41	232	**-64.5**	**60**	**10448**

23. III. 1943. 17.50 h MEZ.

Min.	PPP	TTT	UU	H m. dyn.
0	955.3	13.4	45	483
1	914	8.1	56	845
	900	**7.4**	**56**	**972**
	897	**7.2**	**56**	**1000**
2	886	6.6	56	1097
3	861	2.2	56	1298
4	822	0.0	58	1689
5	810	2.3	58	1805
	800	**- 2.8**	**58**	**1902**
	790	**- 3.3**	**58**	**2000**
6	774	- 4.1	58	2157
7	760	6.7	61	2299
8	743	- 7.6	62	2471
9	720	- 8.7	63	2707
	700	**- 8.5**	**63**	**2921**
10	698	- 8.4	63	2942
	693	**- 8.2**	**62**	**3000**
11	671	- 8.1	60	3241
12	651	11.3	59	3472
13	621	14.4	59	3823
	606	**-15.2**	**59**	**4000**
14	**600**	**-15.6**	**59**	**4081**
15	570	18.3	59	4458
16	546	-19.8	58	4771
	529	**-21.8**	**58**	**5000**
17	527	-22.2	58	5029
18	505	-23.5	55	5329
	500	**-23.8**	**54**	**5407**
19	492	-24.6	53	5522
20	472	-27.5	52	5815
	460	**-28.7**	**51**	**6000**
21	451	-29.4	51	6137
22	433	31.5	49	6418
23	416	-33.1	49	6692
24	**400**	**-35.5**	**49**	**6961**
	398	**-35.7**	**49**	**7000**
25	386	-37.4	49	7205
26	367	-41.0	49	7542
27	351	-42.9	49	7840
	343	**-44.2**	**49**	**8000**
28	338	-45.3	49	8092
29	322	47.1	48	8406
30	310	-49.3	48	8650

29. III. 1943. 9.15 h MEZ.

Min.	PPP	TTT	UU	H m. dyn.
0	962.0	5.0	100	483
1	910	0.7	100	668
2	910	- 2.0	100	924
	901	**- 2.4**	**100**	**1000**
	900	**- 2.4**	**100**	**1012**
3	881	- 3.2	100	1178
4	846	- 6.5	100	1488
5	831	- 6.5	100	1625
6	**800**	**- 7.8**	**100**	**1917**
	791	**- 8.3**	**100**	**2000**
7	776	- 9.1	100	2149
8	745	10.8	100	2450
9	718	-11.9	100	2730
	700	**-12.6**	**98**	**2921**
	693	**-12.8**	**96**	**3000**
10	688	-13.0	95	3052
11	665	-14.7	95	3305
12	647	-13.4	90	3500
13	620	-16.3	85	3822
	605	**-17.1**	**82**	**4000**
	600	**-17.5**	**78**	**4067**
14	594	-17.7	75	4140
15	566	-20.2	68	4492
16	540	-19.8	65	4835
	528	**-20.4**	**65**	**5000**
17	518	-21.4	64	5153
18	**500**	**-25.4**	**64**	**5392**
19	481	-26.0	64	5664
20	461	-32.1	64	5964
	458	**-32.5**	**64**	**6000**
21	441	-32.8	64	6270
22	420	-35.2	64	6600
23	403	-35.8	64	6882
	400	**-36.7**	**64**	**6933**
	396	**-38.3**	**64**	**7000**
24	390	-40.7	64	7105
25	375	-42.3	64	7365
26	359	-43.4	64	7652
27	347	-47.8	64	7876
	340	**-48.8**	**64**	**8000**
28	337	-49.2	64	8066
29	330	-52.3	64	8201

29. III. 1943. 18.25 h MEZ.

Min.	PPP	TTT	UU	H m. dyn.
0	962.0	6.0	80	483
1	908	2.4	90	845
	902	**2.0**	**90**	**1000**
	900	**1.9**	**90**	**1020**
2	880	1.1	90	1197
3	859	- 1.4	90	1387
4	840	- 3.1	90	1559
5	822	- 4.8	90	1725
6	802	- 6.6	90	1916
	800	**- 6.8**	**91**	**1935**
	793	**- 7.5**	**91**	**2000**
7	784	- 8.2	92	2090
8	763	- 8.9	95	2296
9	746	-11.5	95	2463
10	737	-12.8	95	2554
11	728	-12.4	95	2644
12	720	11.0	95	2727

1. IV. 1943. 8.10 h MEZ.

Min.	PPP	TTT	UU	H m. dyn.
0	963.8	9.8	95	483
1	946	9.8	88	635
2	929	9.8	80	783
	904	**8.2**	**77**	**1000**
	900	**7.9**	**74**	**1042**
3	896	7.5	72	1078
4	865	7.2	80	1363
5	850	3.5	80	1501
6	821	2.4	82	1778
7	803	0.8	83	1952
	800	**0.6**	**84**	**1982**
	798	**0.5**	**85**	**2000**
8	780	- 0.2	85	2182
9	762	- 0.3	85	2365
10	730	2.9	85	2697
11	707	4.1	85	2946
	702	**- 4.2**	**83**	**3000**
	700	**- 4.3**	**81**	**3023**
12	684	4.9	80	3201
13	664	6.8	80	3428
14	640	7.4	78	3707
15	623	9.8	76	3913
	616	**-10.4**	**76**	**4000**
16	605	11.5	76	4137
	600	**-11.8**	**76**	**1200**
17	585	-13.1	76	4390
18	568	-10.6	76	4608
19	545	12.1	70	4920
	539	**-14.1**	**70**	**5000**
20	521	-18.4	70	5212
21	**500**	**-20.9**	**70**	**5551**
22	480	-22.2	65	5847
	470	**-21.6**	**63**	**6000**
23	460	-21.0	60	6154
24	445	22.2	55	6393
25	430	21.0	52	6636
26	424	-23.4	50	6737
27	416	-24.5	50	6873
	409	**-25.3**	**50**	**7000**
28	404	25.6	50	7082
	400	**-25.8**	**50**	**7152**
29	398	-25.9	50	7187
30	389	-26.9	50	7349

5. IV. 1943. 10.29 h MEZ.

Min.	PPP	TTT	UU	H m. dyn.
0	966.5	10.2	60	483
1	934	7.9	60	761
	907	**7.3**	**60**	**1000**
2	902	7.3	60	1043
	900	**7.2**	**58**	**1063**
3	877	7.4	55	1271
4	853	7.6	50	1493
5	835	5.8	45	1665
6	810	4.4	45	1909
	801	**3.3**	**45**	**2000**
	800	**3.1**	**45**	**2008**
7	790	2.0	45	2107
8	770	1.9	42	2310
9	755	2.3	37	2464
10	729	2.6	32	2740
11	**705**	**- 0.3**	**30**	**3000**
	700	**- 0.5**	**30**	**3060**
12	678	- 1.4	29	3309
13	656	- 2.7	28	3564
14	632	- 4.4	28	3853
	620	**- 5.0**	**28**	**4000**
15	609	- 5.9	28	4141
	600	**- 7.3**	**27**	**4255**
16	586	- 9.1	26	4435
17	562	-11.6	25	4749
	544	**-11.9**	**25**	**5000**
18	538	12.0	24	5080
19	514	13.3	22	5419
	500	**-14.4**	**21**	**5624**
20	488	-16.0	20	5806
	475	**-18.0**	**20**	**6000**
21	465	-19.8	20	6157
22	445	23.3	20	6473
23	424	27.0	20	6815
	413	**-29.0**	**20**	**7000**
24	**400**	**-31.6**	**20**	**7223**
25	376	-35.1	20	7647
	357	**-33.6**	**20**	**8000**
26	356	-33.6	20	8025
27	338	-39.1	20	8380
28	320	-42.6	20	8743
	308	**-44.9**	**20**	**9000**
29	302	45.9	20	9126
	300	**-46.4**	**20**	**9168**
30	286	-49.0	20	9475
31	270	-50.6	20	9843

17. IV. 1943. 8.15 h MEZ.

Min.	PPP	TTT	UU	H m. dyn.
0	968.1	9.6	85	483
1	926	9.0	75	848
	909	**8.2**	**73**	**1000**
	900	**7.7**	**71**	**1080**
2	898	7.5	70	1100
3	868	8.2	70	1374
4	836	6.6	66	1675
5	818	4.8	66	1850
	803	**4.3**	**66**	**2000**
	800	**4.1**	**65**	**2030**
6	788	3.6	65	2150
7	755	0.2	65	2486
8	725	2.2	65	2802
	707	**- 3.2**	**67**	**3000**
	700	**- 3.4**	**69**	**3071**
9	698	3.4	70	3097
10	669	- 3.4	59	3425
11	640	- 5.6	50	3765
	621	**- 7.5**	**48**	**4000**
12	614	- 8.1	46	4085
	600	**-10.0**	**43**	**4261**
13	585	-11.5	40	4452
14	553	-13.2	40	4872
	544	**-13.8**	**38**	**5000**
15	516	16.1	36	5458
	500	**-18.3**	**37**	**5610**
16	488	19.8	38	5795
	474	**-21.5**	**40**	**6000**
17	460	23.1	42	6222
18	430	25.0	42	6701
	412	**-26.6**	**42**	**7000**
19	406	-27.4	43	7009
	400	**-28.0**	**43**	**7214**
20	384	30.2	43	7497
21	365	32.3	46	7852
	357	**-32.7**	**46**	**8000**
22	332	34.0	46	8507
23	318	-35.2	40	8803
	309	**-36.6**	**40**	**9000**
24	302	38.1	40	9155
	300	**-38.4**	**40**	**9199**
25	286	-41.0	40	9517
26	278	-43.9	40	9704
	266	**-45.1**	**40**	**10000**
27	252	45.9	40	10347
28	236	49.1	40	10769
	228	**-50.5**	**40**	**11000**
29	220	51.6	40	11220
	200	**-54.8**	**40**	**11823**
30	198	-55.1	40	11886
	194	**-55.6**	**40**	**12000**
31	178	59.0	40	12546
	165	**-59.8**	**40**	**13000**
32	160	-60.1	40	13200
33	147	-63.9	40	13709
	140	**-62.9**	**40**	**14000**
34	130	-62.0	40	14453
35	119	-65.3	40	14989
	119	**-65.5**	**40**	**15000**
36	110	69.5	40	15452
	101	**-66.3**	**40**	**16000**
	100	**-66.3**	**40**	**16012**
37	99	66.0	40	16045
38	89	66.0	40	16.00
	85	**-66.0**	**40**	**17000**
39	81	66.0	40	17260

18. IV. 1943. 8.25 h MEZ.

Min.	PPP	TTT	UU	H m. dyn.
0	964.0	10.0	80	483
1	920	9.6	77	776
	905	**9.5**	**74**	**1000**
	900	**9.4**	**71**	**1046**
2	897	9.4	68	1073
3	868	9.3	66	1340
4	848	8.6	65	1528
5	822	7.8	68	1776
	800	**6.1**	**70**	**2000**
6	797	5.9	75	2029
7	772	4.2	75	2285
8	745	2.5	62	2565
9	718	0.7	54	2865
	705	**0.1**	**51**	**3000**
	700	**- 0.1**	**48**	**3056**
10	693	0.2	46	3135
11	667	2.0	48	3433
12	635	4.8	55	3812
	620	**- 5.9**	**57**	**4000**
13	605	- 7.1	60	4187
	600	**- 7.2**	**55**	**4251**
14	580	- 8.0	44	4508
15	547	- 9.2	40	4955
	544	**- 9.4**	**40**	**5000**
16	514	13.0	40	5424
	500	**-15.0**	**40**	**5628**
17	490	16.6	40	5778
	475	**-17.7**	**40**	**6000**
18	464	-18.5	40	6179
19	440	-21.9	40	6561
20	415	-24.3	40	6980
	411	**-24.3**	**40**	**7000**
21	400	-24.5	40	7243
22	370	-25.5	40	7798
	360	**-26.9**	**40**	**8000**
23	352	28.1	40	8175
24	330	29.3	40	8[illegible]
	312	**-30.9**	**40**	**9000**
25	301	31.7	40	9179
	300	**-32.0**	**40**	**9275**
26	275	32.1	40	9[illegible]
	270	**-33.1**	**40**	**10000**
27	263	34.6	40	10177
28	**250**	**-39.0**	**40**	**10521**
29	236	44.2	40	10[illegible]
	233	**-41.1**	**40**	**11000**
30	216	44.4	40	11480
31	202	45.6	40	11[illegible]
	201	**-46.6**	**40**	**11993**
	200	**-46.8**	**40**	**12000**

19. IV. 1943. 8.45 h MEZ

Min.	PPP	TTT	UU	H m. dyn.
0	958.0	12.0	80	483
1	922	11.4	70	798
2	902	13.8	65	986
	900	**13.8**	**63**	**1000**
3	889	13.4	60	1[illegible]
4	865	11.9	56	1[illegible]
5	840	10.4	52	1[illegible]
6	818	9.1	52	1780
	800	**7.8**	**53**	**1961**
	796	**7.4**	**55**	**2000**

Min.	PPP	TTT	UU	H m. dyn.
7	792	7.0	56	2041
8	766	5.6	56	2310
9	715	4.2	56	2530
10	715	1.3	50	2857
	702	0.0	52	3000
	700	- 0.2	54	3023
11	686	- 1.7	56	3180

20. IV. 1943. 7.57 h MEZ.

Min.	PPP	TTT	UU	H m. dyn.
0	960.7	11.2	100	483
1	934	9.8	100	714
2	910	8.4	100	925
	902	8.0	98	1000
	900	8.0	96	1018
3	885	7.5	95	1153
4	867	4.7	90	1317
5	840	4.9	90	1570
6	820	2.9	90	1763
	800	2.0	90	1958
	796	1.9	90	2000
7	795	1.9	90	2010
8	774	0.6	95	2220
9	763	0.6	100	2333
10	744	- 0.1	100	2529
11	728	- 0.4	100	2700
12	716	- 1.1	100	2830
13	706	- 2.0	100	2940
	700	- 2.3	100	3000
14	691	- 2.8	100	3107
15	683	- 3.9	100	3198
16	672	- 5.3	100	3321
17	660	- 5.1	100	3462
18	646	- 6.3	100	3623
19	636	- 6.2	95	3743
20	627	- 7.7	95	3853
21	617	- 7.8	95	3974
	615	- 8.1	95	4000
22	609	- 8.3	95	4076
23	600	- 9.5	95	4190
24	590	- 9.4	95	4319
25	586	-10.4	90	4370
26	580	-10.8	90	4446
27	572	-11.3	90	4550
28	563	-11.4	90	4665
29	559	-13.1	90	4720
30	554	-13.6	90	4788

24. IV. 1943. 15.45 h MEZ.

Min.	PPP	TTT	UU	H m. dyn.
0	969.0	12.2	60	483
1	949	10.0	65	652
2	917	9.0	70	932
	910	8.4	68	1000
3	900	7.4	65	1087
4	860	3.7	67	1450
5	836	1.2	70	1677
6	811	- 1.0	75	1912
	802	- 1.7	78	2000
	800	- 2.0	80	2022
7	788	- 2.9	80	2136
8	766	- 5.1	82	2357
9	743	- 6.5	86	2588
10	721	- 8.3	90	2819
	704	- 3.7	80	3000
11	700	- 3.0	76	3049
12	676	- 4.9	65	3318
13	653	- 7.4	58	3587
14	628	- 9.6	53	3682
	617	- 8.9	53	4000
15	603	- 9.0	48	4187
	600	- 9.3	48	4233
16	580	-11.4	46	4487
17	552	-14.4	46	4856
	942	-15.4	46	5000
18	526	-16.8	47	5211
19	500	-20.3	48	5583
20	482	-22.2	48	5848
	472	-22.3	49	6000
21	463	-22.8	50	6137
22	441	-26.4	50	6488
23	420	-29.2	50	6830
	410	-30.3	50	7000
24	400	-31.7	50	7169
25	380	-34.4	54	7526
26	367	-36.0	54	7763
	354	-37.2	52	8000
27	350	-37.7	50	8087
28	334	-40.4	50	8402
29	322	-42.6	49	8745
30	316	-43.6	48	8768
31	307	-46.4	48	8960
	305	-47.1	48	9000
	300	-48.3	48	9107
32	297	48.9	48	9170

3. V. 1943. 15 h MEZ.

Min.	PPP	TTT	UU	H m. dyn.
0	950.7	9.5	85	483
1	926	8.4	100	694
2	904	7.5	100	891
	900	7.3	100	928
	892	7.1	100	1000
3	880	6.8	100	1110
4	860	6.0	100	1295
5	846	6.1	100	1427
6	822	5.6	100	1656
7	802	6.0	96	1853
	800	6.0	96	1875
	788	6.1	95	2000
8	775	5.6	95	2130
9	750	5.3	90	2394
10	728	4.8	85	2630
11	708	3.8	80	2852
	700	3.3	80	2942
	695	3.0	80	3000
12	688	2.4	80	3080
13	668	0.8	80	3313
14	648	- 1.3	80	3549
15	630	- 2.9	83	3768
16	617	- 3.0	86	3932
	612	- 3.3	86	4000
	600	- 4.3	87	4151

4. V. 1943. 15.01 h MEZ.

Min.	PPP	TTT	UU	H m. dyn.
0	957.2	11.8	70	483
1	925	9.9	80	768
	900	9.0	80	994
	899	8.9	80	1000
2	895	8.8	90	1040
3	870	7.8	100	1270
4	846	4.2	100	1494
5	822	3.9	100	1726
6	800	2.6	100	1943
	794	3.1	100	2000
7	779	4.1	100	2157
8	751	3.6	100	2448
9	731	2.3	100	2663
10	710	- 0.5	100	2895
	701	- 0.9	100	3000
	700	- 1.0	100	3007
11	684	- 1.4	100	3189
12	662	- 3.6	100	3444
13	642	- 4.7	100	3682
14	616	- 6.3	100	4000
	600	- 7.5	100	4208
15	594	- 7.8	100	4285
16	573	- 9.6	100	4560
17	550	-12.8	100	4870
	541	-13.8	100	5000
18	529	-14.7	100	5164
19	512	-18.0	100	5406
	500	-18.2	100	5579
20	487	-18.3	100	5773
	472	-22.2	100	6000
21	467	-23.0	90	6080
22	454	-23.0	85	6284
23	436	-24.3	80	6572
24	418	-25.2	75	6872
	411	-27.1	75	7000
25	404	-28.5	75	7116
	400	-28.6	75	7188
26	390	-28.7	75	7367
27	378	-30.8	75	7582
28	362	-33.1	75	7887
	356	-34.0	75	8000
29	350	-34.7	75	8123
30	333	-36.6	70	8464
31	318	-38.9	70	8777
	308	-41.7	70	9000
32	306	-41.9	65	9038
	300	-42.0	65	9170
33	284	-42.6	65	9583

7. V. 1943. 14.50 h MEZ.

Min.	PPP	TTT	UU	H m. dyn.
0	947.9	13.0	55	483
1	914	11.8	58	782
	900	10.1	58	911
2	894	9.2	58	965
	890	8.8	58	1000
3	870	6.6	65	1187
4	856	4.0	65	1318
5	840	2.8	66	1466
6	823	1.8	67	1629
7	802	0.7	67	1833
	800	0.5	67	1855
8	788	- 0.4	69	1974
	785	- 0.6	69	2000
9	766	- 1.9	69	2197
10	744	- 2.7	69	2425
11	718	- 5.6	75	2698
	700	- 6.9	75	2894
12	694	- 7.4	75	2960
	690	- 7.5	75	3000
13	672	- 7.9	75	3208
14	652	- 9.6	75	3437
15	624	-11.6	71	3770
	605	-13.4	71	4000
16	600	-14.0	67	4068
17	570	-15.2	65	4453
18	550	-17.7	63	4716
	529	-18.8	63	5000
19	518	-19.7	61	5160
20	500	-20.1	57	5418
21	480	-23.3	51	5712
	461	-25.9	51	6000
22	450	-27.4	51	6176
23	430	-31.9	51	6491
24	406	-34.1	50	6889
	400	-35.2	50	7000
25	390	-37.7	50	7166
26	370	-37.7	50	7523
27	350	-41.4	50	7901
	345	-41.4	50	8000
28	330	-41.0	50	8299
29	310	-44.0	50	8712
	300	-45.0	50	8932
	297	-45.3	50	9000
30	290	-46.1	50	9155
31	280	-48.4	50	9384
32	276	-48.8	50	9475
33	265	-49.7	50	9738
34	254	-48.0	50	10000
35	250	-48.0	50	10115
36	245	-48.0	50	10246
37	230	-50.0	50	10652
38	220	-48.0	50	10942
	218	-48.2	50	11000
39	210	-49.9	50	11246
40	200	-52.0	50	11560
	187	-50.3	50	12000
41	185	-50.1	50	12062

13. V. 1943. 8.31 h MEZ.

Min.	PPP	TTT	UU	H m. dyn.
0	974.3	14.8	78	483
1	934	14.1	77	837
	915	14.0	76	1000
	900	13.9	76	1144
2	883	13.9	73	1304
3	861	14.5	71	1513
4	838	11.7	71	1741
	811	10.5	68	2000
5	809	10.4	62	2021
	800	10.3	60	2118
6	788	9.7	52	2236
7	763	7.4	52	2505
8	739	6.0	55	2757
	716	4.6	50	3000
9	713	4.3	46	3044
	700	3.3	40	3187
10	688	2.4	37	3327
11	665	1.2	36	3600
12	640	0.4	35	3900
	632	- 0.3	35	4000
13	614	- 1.6	34	4221
	600	- 3.5	33	4405
14	534	- 4.0	32	4489
15	570	- 5.6	31	4803
	555	- 7.4	30	5000
16	548	- 8.1	29	5104
17	528	- 9.5	29	5386
18	506	-12.2	28	5708
	500	-13.8	28	5800
19	490	-14.3	28	5951
	486	-15.3	28	6000
20	480	-17.4	28	6103
21	463	-19.0	29	6367
22	444	-21.5	29	6670
23	428	-23.3	29	6927
	423	-24.1	29	7000
24	413	-26.4	29	7189
25	400	-29.0	29	7412
26	384	-30.9	29	7698
27	374	-33.4	29	7780
	367	-35.2	29	8000
28	360	-36.9	29	8147
29	348	-38.3	29	8375
30	330	-40.4	29	8728
31	320	-42.7	29	8937
	317	-43.0	29	9000
32	306	-43.9	29	9231
	300	-45.7	29	9360
33	296	-46.7	29	9457
34	280	-48.8	29	9810
	270	-50.5	29	10000
35	271	-50.6	29	10015
36	264	-51.3	29	10178
37	256	-53.0	29	10387
	250	-53.3	29	10533
38	248	-53.3	29	10582

14. V. 1943. 7.27 h MEZ.

Min.	PPP	TTT	UU	H m. dyn.
0	972.0	14.0	85	483
1	935	15.1	90	805
	914	16.2	92	1000
	900	16.8	95	1125
2	893	17.3	95	1190
3	869	18.2	77	1417
4	845	16.7	73	1652
5	824	15.2	70	1866
	811	13.5	69	2000
6	800	12.2	67	2107
7	769	9.5	61	2433
8	744	10.1	48	2704
9	725	8.2	40	2913
	717	7.0	38	3000
10	706	4.9	35	3123
	700	4.4	33	3196
11	675	3.5	30	3483
12	650	0.6	28	3784
	632	- 0.2	27	4000
13	624	- 1.5	24	4103
14	600	- 2.6	20	4410
15	570	- 4.3	20	4830
	556	- 5.6	20	5000
16	542	- 6.8	20	5194
17	513	- 9.3	20	5617
	500	-11.3	20	5808
18	498	-11.7	20	5838
	491	-13.0	20	6000
19	482	-13.8	20	6069
20	464	-16.2	20	6364
21	437	-19.2	20	6794
	426	-20.7	20	7000
22	421	-21.2	20	7074
23	407	-23.2	20	7320
	400	-24.0	20	7440
24	391	-25.7	20	7607
25	376	-28.8	20	7884
	370	-30.0	20	8000
26	361	-32.0	20	8172
27	349	-33.6	20	8403
28	334	-36.7	20	8704
	320	-38.9	20	9000
29	319	-39.0	20	9010
30	304	-42.0	20	9334
	300	-42.6	20	9420
31	285	-44.3	20	9758
	274	-46.0	20	10000
32	270	-47.4	20	10114
33	255	-50.9	20	10486
	250	-51.7	20	10607
34	243	-53.0	20	10787
35	235	-55.0	20	11000
36	228	-55.8	20	11186
37	223	-56.6	20	11335
38	218	-58.0	20	11467
39	212	-58.4	20	11642
40	208	-59.3	20	11761

18. V. 1943. 11.27 h MEZ.

Min.	PPP	TTT	UU	H m. dyn.
0	964.7	17.2	50	483
1	931	12.1	53	775
	906	9.8	54	1000
	900	9.2	55	1053
2	894	9.2	60	1108
3	867	10.3	60	1356
4	837	10.0	50	1654
5	817	10.4	42	1842
	801	11.0	40	2000
	800	11.0	38	2011
6	796	11.1	36	2051
7	773	8.4	32	2277
8	753	8.2	27	2506
9	726	4.2	25	2800
	708	2.0	24	3000
	700	1.1	25	3084
10	696	0.4	27	3132
11	773	- 1.3	28	3398
12	651	- 5.4	25	3657
	623	- 6.8	26	4000
13	617	- 7.2	27	4067
	600	- 8.9	25	4271
14	593	-10.0	25	4361
15	570	-12.5	22	4670
16	545	-14.7	22	5000
17	518	-19.9	21	5377
18	500	-21.2	23	5630
19	480	-25.1	23	5926
	475	-26.0	23	6000
20	451	-28.1	23	6368
21	437	-28.7	28	6587
	412	-30.0	28	7000
22	408	-30.4	30	7069
	400	-31.0	22	7204
23	396	-31.6	22	7276
24	378	-34.5	28	7593
25	360	-36.9	23	7930
	356	-37.7	23	8000
26	338	-39.0	23	8256
27	332	-41.5	23	8477
28	320	-42.1	23	8720
	307	-44.6	23	9000
29	305	-44.8	23	9035
	300	-45.9	23	9147
30	294	-47.2	23	9276
31	281	-49.2	23	9571
32	273	-51.8	23	9751
33	265	-53.7	23	9956
	262	-54.3	23	10000
34	255	-55.6	23	10187

20. V. 1943. 14.30 h MEZ.

Min.	PPP	TTT	UU	H m. dyn.
0	962.8	25.2	35	483
1	906	19.8	35	1000
	900	19.0	38	1058
2	874	15.9	38	1304
3	846	13.2	44	1573
4	826	10.8	48	1769
	803	8.0	50	2000
	800	7.8	53	2031
5	795	7.2	55	2091
6	769	3.5	55	2345
7	749	2.0	65	2557
8	726	- 0.1	80	2804
9	708	- 0.1	65	3000
	700	- 0.4	60	3087
10	679	- 2.8	57	3330
11	653	- 6.8	54	3631

Min.	PPP	TTT	UU	H m. dyn.
12	631	- 8.0	50	3892
	622	- 8.5	49	4000
13	603	- 9.2	48	4246
	600	- 9.4	48	4276
14	577	-10.6	45	4571
15	552	-13.5	44	4902
	545	-14.5	43	5000
16	527	-15.7	43	5246
17	504	-16.1	41	5584
	500	-16.3	41	5637
18	487	-17.5	40	5816
	476	-18.6	40	6000
19	472	-19.2	39	6058
20	451	-21.7	38	6392
21	436	-22.1	36	6635
22	419	-23.7	35	6917
	414	-24.2	34	7000
23	402	-25.8	34	7218
	400	-26.0	34	7250
24	386	-27.8	34	7504
25	379	-29.2	34	7631

21. V. 1943. 14.50 h MEZ.

Min.	PPP	TTT	UU	H m. dyn.
0	961.5	20.6	55	483
1	921	18.1	50	840
	904	16.5	52	1000
2	900	16.2	52	1036
3	874	14.7	48	1276
4	866	13.2	47	1547
5	822	11.6	47	1786
	801	9.6	47	2000
	800	9.5	48	2006
6	790	8.7	47	2108
7	764	6.0	48	2381
8	736	3.7	55	2677
	706	2.5	56	3000
9	704	2.4	58	3021
	700	2.1	58	3075
10	680	0.9	58	3304
11	651	- 1.0	61	3645
12	626	- 2.9	77	3952
	622	- 3.1	78	4000
	600	- 4.3	79	4274
13	599	- 4.4	80	4294
14	570	- 6.2	70	4678
	546	- 7.3	70	5000
15	542	- 7.5	66	5066
16	519	- 8.6	66	5396
17	500	-11.5	70	5677
	479	-12.8	72	6000
18	475	-12.9	75	6061
19	450	-13.7	75	6466
20	424	-16.2	75	6907
	419	-16.8	70	7000
21	400	-18.0	66	7333
22	380	-20.0	65	7705
	365	-20.7	64	8000
23	355	-21.2	63	8207
24	333	-23.4	63	8668
	318	-25.4	62	9000
25	308	-26.9	61	9222
	300	-28.2	58	9411
26	288	-30.1	50	9694
	275	-32.3	50	10000
27	266	-34.0	50	10245
28	250	-37.2	45	10669
29	238	-41.2	40	11000
30	224	-43.1	40	11397
31	210	-45.4	40	11827
	204	-46.3	40	12000
32	200	-47.1	40	12145
33	191	-49.8	40	12443
34	184	-52.4	40	12676
35	175	-54.0	40	13000
36	166	-54.7	40	13326

27. V. 1943. 14.10 h MEZ.

Min.	PPP	TTT	UU	H m. dyn.
0	969.7	18.2	50	483
1	941	13.3	60	728
2	915	11.8	65	915
	910	11.2	67	1000
	900	10.1	69	1097
3	888	8.7	70	1205
4	864	6.8	75	1425
5	835	6.1	76	1704
6	809	3.4	78	1954
	804	3.3	80	2000
	800	3.3	82	2045
7	794	3.3	85	2103
8	780	1.9	90	2246
9	758	1.3	100	2473
10	736	0.1	100	2700
11	709	- 1.0	100	3000
	700	- 1.4	100	3093
12	686	- 2.1	95	3251
13	662	- 5.5	100	3531
14	638	- 7.1	100	3818
	623	- 6.5	100	4000
15	611	- 5.7	100	4167
	600	- 5.8	100	4279
16	586	- 6.2	90	4467
17	560	- 8.0	80	4817
	547	- 8.7	75	5000
18	536	- 8.2	70	5149
19	510	- 8.6	68	5531
	500	-10.0	67	5678
20	485	-12.0	66	5908
	479	-12.9	66	6000
21	461	-15.4	64	6284
22	435	-17.9	64	6700
	419	-19.3	62	7000
23	414	-19.8	62	7072
	400	-21.1	62	7322
24	389	-22.2	60	7521
25	370	-24.7	60	7886
	364	-25.7	60	8000
26	352	-26.9	60	8238
27	336	-29.1	60	8575
	316	-30.7	58	9000
28	312	-31.1	55	9085
	300	-33.7	55	9356
29	299	-34.0	55	9384
30	281	-35.7	55	9807
	270	-38.1	54	10000
31	269	-38.1	50	10103
32	249	-38.4	50	10492
	250	-38.6	45	10600
33	245	-39.4	40	10738
	235	-41.6	40	11000
34	232	-42.4	40	11097
35	220	-45.0	40	11447
36	210	-45.5	40	11756
	202	-46.2	40	12000
37	200	-46.5	40	12076
38	192	-48.0	40	12337
39	184	-47.4	40	12614
40	176	-46.5	40	12900
	173	-45.7	40	13000
41	170	-44.7	40	13130
42	160	-45.0	40	13525
43	154	-45.0	40	13778
44	150	-45.0	40	13950

28. V. 1943. 15.12 h MEZ.

Min.	PPP	TTT	UU	H m. dyn.
0	966.5	22.2	40	483
1	921	18.2	40	890
	909	16.9	43	1000
	900	16.3	46	1085
2	894	15.9	46	1140
3	865	13.3	46	1410
4	838	9.8	53	1672
5	810	7.8	55	1950
	805	7.4	60	2000
	800	7.1	62	2049
6	787	6.6	65	2183
7	761	6.2	60	2453
8	736	5.4	60	2723
9	720	3.6	54	2898
	711	2.9	54	3000
10	700	2.0	54	3112
11	687	1.0	54	3271
12	664	- 1.1	52	3539
13	645	- 2.6	50	3765
14	628	- 4.5	50	3971
	626	- 4.7	50	4000
15	609	- 5.8	50	4211
	600	- 6.6	50	4320
16	592	- 7.1	50	4426
17	574	- 8.6	50	4661
18	556	-10.7	50	4903
	549	-11.3	50	5000
19	539	-12.0	50	5137
20	522	-14.0	50	5377
21	505	-16.1	50	5622
	500	-16.7	50	5697
22	494	-17.6	50	5789
23	486	-18.9	50	5905
	479	-19.2	50	6000
24	471	-19.8	50	6132
25	459	-21.5	50	6323
26	441	-23.6	50	6612
27	430	-25.0	50	6790
28	417	-26.3	50	7000
29	407	-29.2	50	7177
	400	-30.2	50	7300
30	392	-31.1	50	7441
31	382	-33.2	50	7617
32	371	-35.8	50	7821
	361	-37.3	50	8000
33	360	-37.8	50	8031
34	350	-39.1	50	8212
35	340	-40.9	50	8411
36	328	-43.0	50	8647
37	319	-45.0	50	8884
	311	-44.9	50	9000
38	309	-46.3	50	9037
39	302	-48.1	50	9190
	300	-48.3	50	9230
40	291	-49.2	50	9419
41	284	-50.1	50	9547
42	276	-51.9	50	9768

1. VI. 1943. 14.20 h MEZ.

Min.	PPP	TTT	UU	H m. dyn.
0	958.0	19.0	55	483
1	925	14.7	56	774
2	900	13.0	58	1000
3	880	11.5	60	1189
4	860	10.2	65	1376
5	841	9.0	70	1559
6	819	7.3	80	1776
7	800	5.0	100	1963
	796	4.8	100	2000
8	779	4.3	90	2176
9	768	4.2	85	2287
10	746	4.1	76	2522
11	725	2.8	71	2747
	702	0.3	69	3000
12	700	0.0	69	3226
13	683	- 1.2	68	3221
14	657	- 2.5	67	3520
15	634	- 3.3	50	3800
	618	- 3.3	43	4000
16	608	- 3.3	40	4127
	600	- 3.6	38	4229
17	584	- 4.9	37	4434
18	563	- 6.5	35	4718
	543	- 8.2	34	5000
19	532	- 8.8	32	5151
20	500	- 9.8	32	5620
21	486	-11.1	32	5836
	475	-13.0	29	6000
22	472	-14.0	29	6057
23	460	-17.5	28	6248
24	440	-20.1	27	6570
25	420	-21.7	25	6908
	414	-22.0	24	7000
26	404	-23.0	23	7190
	400	-23.6	22	7258
27	389	-24.8	22	7460
28	374	-26.8	22	7737
	360	-27.5	22	8000
29	357	-27.6	22	8067
30	344	-28.3	22	8328
31	329	-30.7	22	8642
32	320	-32.6	22	8837
	312	-34.0	22	9000
33	307	-36.7	22	9120
	300	-37.9	22	9275
34	299	-38.1	22	9297
35	287	-40.5	22	9571
36	271	-42.2	22	9951
	269	-42.7	22	10000
37	264	-44.0	22	10130
38	256	-46.0	22	10331

2. VI. 1943. 14.18 h MEZ.

Min.	PPP	TTT	UU	H m. dyn.
0	956.3	18.0	40	483
1	938	15.7	40	648
2	908	15.3	40	917
	900	15.2	41	990
	899	11.1	41	1000
3	884	12.3	42	1139
4	866	11.1	42	1307
5	845	9.5	50	1508
6	824	7.5	50	1710
	800	6.2	50	1951
7	795	5.8	50	2000
8	765	3.4	50	2309
9	744	1.9	48	2530
10	730	1.0	40	2681
11	711	1.0	45	2890
	701	- 2.4	47	3000
	700	- 2.5	50	3011
12	697	- 2.9	50	3045
13	681	- 3.9	52	3225
14	664	- 5.4	57	3420
15	642	- 6.2	57	3676
16	621	- 7.2	60	3931
	616	- 7.7	60	4000
17	602	- 8.0	60	4169
	600	- 8.2	60	4195
18	587	- 7.4	57	4361
19	572	-10.3	55	4560
20	555	-11.7	53	4786
21	540	-12.0	40	5000
22	528	-12.4	40	5159
23	513	-13.8	40	5373
24	500	-14.7	40	5565
25	485	-17.8	40	5791
	471	-19.2	40	6000
26	470	-19.3	40	6019
27	457	-20.1	40	6224
28	446	-22.1	40	6400
29	437	-23.0	40	6547
30	428	-23.6	40	6700
31	415	-25.4	40	6919
	410	-26.2	40	7000
32	405	-27.0	40	7090
	400	-27.8	40	7186
33	397	-28.5	40	7227
34	391	-30.5	40	7340
35	375	-32.1	40	7629
36	356	-34.1	40	7980
	355	-34.4	40	8000
37	340	-35.7	40	8301
38	324	-37.9	40	8627
39	311	-40.6	40	8904
	306	-41.6	40	9000
	300	-42.6	40	9143
40	299	-42.8	40	9189
41	288	-44.1	40	9416
42	278	-45.6	40	9642
43	271	-46.8	40	9810
44	264	-47.7	40	9978
	263	-48.0	40	10000
45	255	-49.4	40	10181
46	250	-50.7	40	10330

14. VI. 1943. 8.35 h MEZ.

Min.	PPP	TTT	UU	H m. dyn.
0	958.0	15.4	100	483
1	909	12.2	100	919
	900	11.6	100	1000
2	879	10.3	100	1195
3	852	9.1	100	1451
4	831	9.8	100	1650
5	808	9.8	100	1878
	800	8.7	98	1962
	796	8.0	97	2000
6	789	6.8	95	2075
7	763	6.2	100	2345
8	752	4.8	100	2464
9	735	5.0	98	2648
10	717	4.2	95	2845
	703	1.7	95	3000
	700	1.1	98	3039
11	692	- 0.1	98	3125
12	675	- 0.5	100	3324
13	659	- 0.1	100	3510
14	642	+ 0.2	100	3714
15	625	- 2.0	100	3925
	619	- 2.0	99	4000
16	608	- 1.6	98	4144
	600	- 2.5	97	4244
17	595	- 2.8	97	4311
18	580	- 3.0	96	4510
19	568	- 4.5	96	4671
20	558	- 6.4	96	4807

30. VI. 1943. 16.30 h MEZ.

Min.	PPP	TTT	UU	H m. dyn.
0	957.2	20.2	45	483
1	900	13.6	40	994
	899	13.5	40	1000
2	860	9.8	38	1370
3	820	6.0	34	1752
	800	4.0	37	1947
	795	3.7	39	2000
4	774	1.8	42	2208
5	740	- 1.1	43	2562
6	703	- 4.1	46	2956
	700	- 4.3	47	3000
7	659	- 5.4	50	3462
8	625	- 7.9	42	3867
	614	- 9.2	38	4000
	600	-10.8	30	4173
9	593	-11.3	25	4266
10	566	-12.3	20	4616
	538	-14.2	20	5000
11	527	-15.4	19	5146
12	500	-17.0	18	5537
13	472	-19.8	12	5960
	470	-20.1	12	6000
14	443	-21.3	10	6417
15	420	-25.1	8	6803
	409	-26.1	8	7000
	400	-26.7	8	7149
16	398	-26.8	8	7187
17	378	-29.2	8	7546
18	357	-30.8	8	7917
	354	-31.2	8	8000
19	334	-34.2	8	8412
20	314	-36.0	8	8826

6. VII. 1943. 7.58 h MEZ.

Min.	PPP	TTT	UU	H m. dyn.
0	956.6	17.6	95	483
1	924	13.2	90	774
	900	12.7	86	996
	899	12.6	83	1000
2	898	12.6	80	1012
3	870	11.5	85	1275
4	848	9.8	90	1485
5	825	8.0	90	1709
6	806	6.5	85	1898
	800	6.2	85	1959
	796	6.0	85	2000
7	786	5.6	85	2102
8	758	4.0	85	2394
9	728	2.7	90	2715
	702	0.2	90	3000
	700	- 0.1	90	3027
10	696	- 0.7	90	3073
11	658	- 4.7	95	3510
12	634	- 6.6	90	3798
	618	- 7.4	93	4000
13	605	- 8.0	95	4160
	600	- 8.4	93	4221
14	576	-10.6	90	4534
15	548	-12.2	80	4914
	542	-12.4	75	5000
16	520	-13.0	70	5310
17	500	-15.6	60	5600
	471	-18.5	57	6000
18	470	-18.9	55	6060
19	435	-21.6	53	6620
	413	-22.9	50	7000
20	410	-23.2	48	7050
	400	-24.0	47	7227
21	390	-25.1	46	7409
22	364	-28.9	44	7900
	359	-29.3	43	8000
23	344	-30.4	42	8200
24	322	-32.2	42	8561
	311	-34.3	42	9000

Min	PPP	TTT	UU	H m. dyn.
25	308	-35.2	42	9071
	300	**-36.1**	**42**	**9250**
26	291	-37.1	42	9455
27	274	-38.6	42	9865
	269	**-39.8**	**42**	**10000**
28	262	-42.8	42	10168
29	**250**	**-42.7**	**42**	**10475**
30	241	-45.5	42	10717
31	231	-51.1	42	10993

7. VII. 1943. 8.26 h MEZ.

Min	PPP	TTT	UU	H m. dyn.
0	955.6	15.4	68	483
1	914	12.6	70	848
	900	**10.8**	**75**	**976**
	898	**10.3**	**76**	**1000**
2	890	9.1	78	1067
3	872	7.3	85	1231
4	859	6.0	88	1355
5	840	4.9	90	1535
6	827	3.9	100	1659
7	805	3.4	100	1872
	800	**2.8**	**100**	**1917**
8	**793**	**2.2**	**100**	**2000**
9	786	1.6	100	2062
10	765	0.6	92	2269
11	744	- 1.8	88	2496
12	728	- 3.0	85	2666
13	708	- 5.0	85	2881
	700	**- 5.3**	**88**	**2968**
14	**697**	**- 5.7**	**88**	**3000**
15	673	- 6.4	82	3258
16	653	- 5.9	78	3501
17	633	- 6.6	70	3735
18	620	- 8.0	58	3890
	612	**- 8.7**	**57**	**4000**
19	608	- 8.8	56	4054
20	**600**	**- 8.9**	**56**	**4146**
21	578	- 9.2	56	4437
22	560	-11.0	54	4672
23	546	-11.4	51	4864
	536	**-11.6**	**49**	**5000**
24	534	-11.7	48	5032
25	512	-13.0	43	5346
26	**500**	**-13.8**	**40**	**5522**
27	478	-16.2	39	5561
	469	**-17.0**	**36**	**6000**
28	468	-17.2	34	6010
29	458	-18.0	34	6169
30	452	-18.8	32	6368
31	442	-19.2	30	6432
32	431	-19.2	30	6617
33	418	-21.0	30	6833
34	412	-22.2	30	6947

12. VII. 1943. 13.55 h MEZ.

Min	PPP	TTT	UU	H m. dyn.
0	960.6	25.8	66	483
1	928	23.8	62	777
	905	**20.9**	**58**	**1000**
2	904	20.9	52	1007
	900	**20.6**	**55**	**1045**
3	876	19.2	56	1274
4	856	17.4	57	1466
5	828	16.2	60	1748
6	808	13.6	59	1950
	803	**13.4**	**56**	**2000**
	800	**13.1**	**52**	**2036**
7	792	12.6	50	2117
8	767	11.6	43	2382
9	738	8.5	31	2694
	711	**8.0**	**28**	**3000**
10	710	8.0	24	3011
	700	**7.3**	**22**	**3127**
11	683	5.9	20	3323
12	654	3.4	18	3671
13	**628**	**1.3**	**18**	**4000**
14	**600**	**- 1.0**	**19**	**4358**
15	571	- 3.2	20	4745
	552	**- 5.0**	**20**	**5000**
16	544	- 5.8	20	5124
17	518	- 8.0	20	5499
	500	**- 9.6**	**20**	**5769**
18	498	- 9.8	20	5800
	485	**-11.1**	**20**	**6000**
19	474	-11.8	20	6177
20	444	-12.2	20	6661
	424	**-18.5**	**18**	**7000**
21	422	-19.0	18	7038
	400	**-22.0**	**18**	**7425**
22	399	-22.2	16	7445
23	381	-25.4	16	7776
	369	**-26.1**	**15**	**8000**
24	360	-26.4	15	8185
25	336	-30.3	14	8671
	321	**-32.9**	**14**	**9000**
26	316	-33.4	14	9101
	300	**-34.6**	**14**	**9458**
27	294	-35.5	14	9596
28	279	-40.5	13	9953
	277	**-40.7**	**12**	**10000**
29	261	-43.0	11	10400
	250	**-45.0**	**11**	**10679**
30	243	-45.9	11	10860
	238	**-46.4**	**11**	**11000**
31	230	-47.3	12	11229
32	206	-49.3	12	11945

14. VII. 1943. 7.25 h MEZ.

Min.	PPP	TTT	UU	H m. dyn.
0	966.0	13.0	82	483
1	944	12.3	78	670
2	920	12.5	74	885
	907	**11.8**	**73**	**1000**
	900	**10.9**	**72**	**1067**
3	896	10.4	71	1103
4	873	7.9	70	1316
5	850	6.6	71	1532
6	829	6.2	70	1731
7	808	2.4	74	1940
	802	**2.0**	**75**	**2000**
	800	**1.9**	**77**	**2019**
8	788	1.1	78	2139
9	768	4.3	76	2344
10	739	4.3	57	2650
11	715	3.9	42	2917
	708	**3.7**	**40**	**3000**
	700	**3.4**	**38**	**3087**
12	693	2.8	36	3164
13	670	- 2.4	31	3433
14	655	- 3.9	23	3609
15	638	- 3.3	20	3812
	623	**- 3.5**	**19**	**4000**
16	615	- 3.9	18	4099
	600	**- 4.7**	**18**	**4294**
17	596	- 5.0	18	4346
18	573	- 5.2	16	4649
19	550	- 5.4	14	4967
	548	**- 5.4**	**12**	**5000**
20	530	- 5.7	10	5256
21	516	- 6.3	10	5463
22	507	- 8.2	10	5596
23	**500**	**- 9.4**	**8**	**5700**
24	485	9.8	8	5932
	481	**-10.3**	**9**	**6000**
25	468	-12.2	10	6204
26	456	-13.2	10	6398
27	448	-14.2	10	6528
28	438	-15.7	11	6696
29	**420**	**-18.8**	**11**	**7000**

15. VII. 1943. 7.43 h MEZ.

Min	PPP	TTT	UU	H m. dyn.
0	966.0	15.5	80	483
1	944	14.8	75	674
2	921	14.4	70	881
	908	**14.3**	**69**	**1000**
	900	**14.1**	**67**	**1076**
3	899	14.1	66	1086
4	880	13.9	65	1264
5	852	13.2	65	1529
6	828	12.9	65	1765
	805	**11.8**	**65**	**2000**
7	**800**	**11.6**	**65**	**2053**
8	772	10.7	65	2346
9	758	9.1	65	2492
10	732	7.9	65	2778
	712	**7.3**	**60**	**3000**
11	703	7.0	55	3107
	700	**6.8**	**50**	**3142**
12	673	6.2	38	3455
13	650	5.0	29	3738
	629	**3.9**	**28**	**4000**
14	617	2.8	27	4157
	600	**- 0.2**	**26**	**4379**
15	598	- 0.4	25	4407
16	574	- 0.4	23	4728
17	559	- 3.7	20	4935
	554	**- 4.0**	**20**	**5000**
18	532	- 5.7	20	5321
19	503	- 9.3	20	5752
	500	**- 9.6**	**20**	**5796**
	487	**-10.7**	**20**	**6000**
20	480	-11.2	20	6108
21	459	-13.6	20	6444
22	447	-17.5	20	6639
23	428	-18.5	20	6958
	426	**-18.5**	**20**	**7000**
24	413	-18.9	20	7220
	400	**-21.7**	**20**	**7453**
25	398	-21.9	20	7487
26	379	-22.7	20	7843
	371	**-23.9**	**20**	**8000**
27	363	-25.4	19	8157
28	346	-27.5	17	8497
29	326	-29.7	13	8919
	322	**-30.1**	**13**	**9000**
30	314	-31.1	14	9183
	300	**-33.6**	**14**	**9498**
31	298	-34.2	14	9544
32	286	-36.6	14	9827
	279	**-38.2**	**14**	**10000**
33	276	-39.0	14	10070
34	265	-41.2	14	10343
35	256	-42.5	14	10571
	250	**-43.4**	**14**	**10728**
36	243	-44.8	14	10917
	240	**-45.5**	**14**	**11000**
37	235	-46.8	14	11137
38	228	-49.7	14	11334
39	219	-50.7	14	11592
40	209	-49.9	14	11895
	206	**-49.6**	**14**	**12000**
	200	**-49.8**	**14**	**12182**
41	199	-50.3	14	12215
42	195	-55.1	14	12340

17. VII. 1943. 7.34 h MEZ.

Min	PPP	TTT	UU	H m. dyn.
0	962.1	21.5	66	483
1	928	20.7	66	796
2	910	20.2	66	962
	906	**19.8**	**62**	**1000**
	900	**19.6**	**62**	**1054**
3	888	19.2	62	1156
4	870	18.5	58	1340
5	842	17.7	56	1617
6	810	15.8	58	1941
	804	**15.0**	**59**	**2000**
	800	**14.8**	**60**	**2045**
7	780	12.8	60	2254
8	762	9.5	65	2448
9	735	7.8	65	2739
	712	**5.3**	**67**	**3000**
10	709	5.2	69	3028
	700	**4.8**	**70**	**3129**
11	678	3.1	72	3337
12	663	2.1	73	3561
13	647	2.3	55	3757
	628	**1.5**	**52**	**4000**
15	626	1.4	50	4018

20. VII. 1943. 7.36 h MEZ.

Min	PPP	TTT	UU	H m. dyn.
0	951.3	16.0	97	483
1	940	21.9	96	587
2	920	23.9	100	773
3	902	23.9	90	941
	900	**23.8**	**86**	**965**
	896	**23.5**	**83**	**1000**
4	880	21.5	80	1158
5	853	20.4	73	1424
6	831	17.2	68	1644
7	810	17.8	64	1859
	800	**16.5**	**63**	**1965**
	797	**16.1**	**63**	**2000**
8	786	14.7	62	2112
9	770	12.7	60	2283
10	752	11.4	60	2479
11	732	9.3	58	2696
12	708	7.4	58	2966
	705	**7.1**	**59**	**3000**
	700	**6.7**	**59**	**3060**
13	679	4.9	60	3305
14	650	1.8	70	3652
15	637	1.7	80	3814
	622	**0.8**	**75**	**4000**
16	616	0.1	70	4082
	600	**- 2.0**	**68**	**4291**
17	588	- 3.5	65	4448
18	560	- 5.6	62	4826
	548	**- 6.1**	**61**	**5000**
19	542	- 6.2	60	5078
20	518	- 9.5	58	5428
21	**500**	**-11.4**	**57**	**5694**
22	485	-12.8	56	5925
	480	**-13.2**	**55**	**6000**
23	472	-13.7	54	6130
24	454	-17.5	53	6418
25	436	-18.7	53	6713
26	420	-22.1	53	6985
	419	**-22.0**	**53**	**7000**
27	404	-21.3	53	7268
	400	**-21.3**	**53**	**7340**
28	392	-21.9	53	7485
29	380	-23.4	53	7710
30	368	-25.6	53	7942
	365	**-26.4**	**53**	**8000**
31	346	-30.2	53	8380

21. VII. 1943. 7.43 h MEZ.

Min	PPP	TTT	UU	H m. dyn.
0	956.0	14.5	100	483
1	920	15.0	100	804
	900	**14.8**	**100**	**988**
	899	**14.8**	**100**	**1000**
2	886	14.3	100	1120
3	868	12.2	89	1293
4	850	10.0	87	1463
5	824	8.4	84	1716
	800	**7.2**	**84**	**1958**
6	798	7.0	85	1978
	796	**6.9**	**85**	**2000**
7	770	5.2	85	2267
8	746	3.5	85	2519
9	721	0.9	86	2790
	702	**0.1**	**86**	**3000**
10	**700**	**- 0.1**	**86**	**3024**
11	676	- 1.5	87	3298
12	654	- 3.0	95	3556
13	630	- 4.6	100	3847
	618	**- 3.6**	**97**	**4000**
14	614	- 3.2	95	4049
	600	**- 4.2**	**91**	**4230**
15	593	- 4.7	87	4321
16	568	- 6.7	81	4652
17	552	- 8.7	77	4873
	543	**-10.0**	**76**	**5000**
18	535	-11.0	76	5115
19	513	-12.2	75	5432
	500	**-13.8**	**75**	**5621**
20	492	-14.7	75	5743
21	482	-15.7	74	5897
	475	**-16.6**	**74**	**6000**
22	468	17.5	73	6117
23	455	-19.3	72	6323
24	441	-21.0	70	6549
25	428	-21.8	72	6766
26	417	-23.7	73	6953
	414	**-24.1**	**74**	**7000**
27	405	-25.6	75	7164
	400	**-26.6**	**75**	**7252**
28	392	28.2	75	7396
29	383	-30.0	75	7558
30	374	-29.9	75	7725
31	366	-31.2	75	7877
32	360	-30.7	75	7995
	359	**-30.7**	**75**	**8000**
33	354	-32.0	75	8114
34	346	-33.6	75	8273
35	339	-35.1	75	8416
36	332	-34.0	75	8555

30. VII. 1943. 7.45 h MEZ.

Min	PPP	TTT	UU	H m. dyn.
0	964.3	16.8	95	483
1	952	17.0	91	595
2	934	17.3	87	752
3	916	17.4	82	917
	907	**17.4**	**81**	**1000**
	900	**17.3**	**80**	**1068**
4	894	17.3	79	1125
5	870	17.2	76	1352
6	850	15.1	71	1547
7	827	14.2	64	1776
8	806	12.0	62	1988
	805	**11.9**	**62**	**2000**
	800	**11.8**	**62**	**2052**
9	775	10.2	62	2313
10	754	7.8	60	2534
11	732	7.0	60	2775
	712	**5.8**	**60**	**3000**
12	702	5.2	60	3112
	700	**5.1**	**60**	**3137**
13	674	3.9	60	3438
14	652	2.0	60	3704
15	**628**	**- 0.1**	**62**	**4000**
16	**600**	**- 9.1**	**65**	**4364**
17	570	- 3.8	70	4764
	553	**- 3.4**	**70**	**5000**
18	552	- 3.4	70	5014
19	536	- 5.2	75	5246
20	520	- 7.0	75	5478
21	504	- 7.3	70	5717
	500	**- 7.7**	**67**	**5778**
22	**486**	**- 9.1**	**65**	**6000**
23	470	- 9.3	60	6253
24	454	-11.1	60	6514
25	438	-12.2	57	6785
	426	**-14.3**	**57**	**7000**
26	421	-15.2	56	7080
27	408	-17.2	55	7314
	400	**-18.0**	**55**	**7456**
28	392	-18.5	55	7605
29	378	-21.6	54	7870
	371	**-22.7**	**54**	**8000**
30	362	-24.3	54	8187
31	354	-26.5	53	8348
32	340	-29.8	52	8632
33	330	-32.2	52	8842
	323	**-33.2**	**52**	**9000**
34	316	-34.6	52	9144
35	310	-36.3	51	9276
	300	**-37.6**	**51**	**9496**
36	296	-37.8	51	9588
37	284	-40.2	51	9869
	279	**-42.1**	**51**	**10000**
38	276	-42.8	51	10061
39	266	-44.8	51	10305
40	258	-48.8	51	10500
41	252	-49.5	51	10651
	250	**-49.0**	**51**	**10704**
42	242	-47.5	51	10915

31. VII. 1943. 7.45 h MEZ.

Min	PPP	TTT	UU	H m. dyn.
0	962.6	21.0	80	483
1	943	21.3	80	748
2	908	21.4	78	970
	905	**21.2**	**75**	**1000**
	900	**21.1**	**71**	**1056**
3	885	20.4	70	1188
4	864	19.0	69	1397
5	842	18.0	68	1617
6	820	16.9	65	1840
	804	**15.5**	**64**	**2000**
7	**800**	**15.3**	**59**	**2047**
8	769	13.0	57	2370
9	744	10.2	53	2648
10	718	8.0	53	2937
	712	**7.6**	**60**	**3000**
11	**700**	**6.9**	**60**	**3139**
12	675	4.6	52	3435
13	656	2.4	55	3657
14	636	1.1	58	3900
15	**629**	**0.3**	**59**	**4000**
	616	1.2	60	4154
	600	**- 3.0**	**65**	**4357**
16	596	3.2	70	4417
17	578	- 5.5	65	4649

Min.	PPP	TTT	UU	H m. dyn.
18	558	- 7.7	60	4923
	552	**- 8.3**	**55**	**5000**
19	540	- 9.4	50	5168
20	521	- 9.6	48	5415
21	502	-12.2	47	5715
	500	**-12.4**	**46**	**5756**
22	490	13.5	43	5906
	484	**-14.3**	**40**	**6000**
23	475	-15.3	39	6131
24	460	-17.0	38	6371
25	442	-17.9	37	6666

3. VIII. 1943. 7.38 h MEZ.

Min.	PPP	TTT	UU	H m. dyn.
0	958.0	19.0	80	483
1	928	21.9	75	755
2	918	23.5	70	848
	902	**24.4**	**67**	**1000**
	900	**24.5**	**65**	**1020**
3	890	24.5	63	1118
4	866	21.1	58	1353
5	840	20.0	57	1608
6	810	18.0	56	1920
	802	**17.4**	**56**	**2000**
	800	**17.3**	**55**	**2025**
7	782	15.7	55	2215
8	750	14.0	57	2560
9	712	12.1	65	2991
	711	**12.0**	**67**	**3000**
	700	**11.4**	**69**	**3132**
10	684	10.0	70	3322
11	666	9.8	65	3538
12	648	8.9	58	3762
	629	**6.4**	**55**	**4000**
13	622	5.4	52	4097
	600	**2.9**	**53**	**4386**
14	599	2.8	54	4401
15	577	0.2	57	4696
16	558	- 2.2	60	4962
	555	**- 2.5**	**60**	**5000**
17	534	- 4.1	59	5307
18	516	9.6	60	5570
19	502	-11.2	65	5779
	500	**-11.4**	**68**	**5809**
20	490	-12.2	70	5961
	487	**-12.5**	**67**	**6000**
21	468	-13.6	65	6308
22	440	-14.5	62	6768
	426	**-15.8**	**61**	**7000**
23	420	-16.6	60	7114
	400	**-17.8**	**60**	**7472**
24	398	-18.1	59	7508
25	376	-21.6	58	7924
	372	**-22.1**	**58**	**8000**
26	354	-24.5	57	8363
27	332	-29.4	56	8819
	324	**-30.7**	**56**	**9000**
28	308	-33.5	56	9345
	300	**-34.8**	**56**	**9524**
29	290	-36.9	55	9757
	280	**-40.0**	**55**	**10000**
30	274	-41.8	55	10142
31	256	-45.2	55	10589
	250	**-46.3**	**55**	**10743**
32	248	-46.7	55	10797
	240	**-48.4**	**55**	**11000**
33	236	-49.2	54	11120
34	224	-51.6	54	11454
35	220	-52.4	54	11570
	206	**-53.9**	**54**	**12000**
36	205	-54.0	54	12022
	200	**-55.4**	**54**	**12179**
37	194	-56.0	54	12369
38	186	-58.6	54	12628
39	178	-59.6	54	12887
	175	**-58.2**	**54**	**13000**
40	169	-58.5	54	13246
41	160	57.6	54	13572

5. VIII. 1943. 15.00 h MEZ.

Min.	PPP	TTT	UU	H m. dyn.
0	956.2	24.0	50	483
1	922	22.1	50	698
	900	**19.9**	**52**	**903**
2	895	19.3	56	949
	890	**18.8**	**59**	**1000**
3	868	16.6	60	1203
4	839	14.0	65	1487
5	814	11.0	70	1766
	800	**10.2**	**72**	**1877**
	788	**9.7**	**74**	**2000**
6	784	9.3	75	2041
7	753	7.0	78	2373
8	718	4.1	80	2730
	700	**2.6**	**82**	**2956**
	696	**2.4**	**85**	**3000**
9	693	2.2	87	3034
10	665	0.2	100	3356
11	635	3.4	95	3717
	613	**- 4.8**	**90**	**4000**
	600	**- 5.4**	**88**	**4156**
12	597	5.7	85	4201
13	561	- 6.6	82	4637
14	539	- 6.8	80	4984
	538	**- 6.8**	**80**	**5000**
15	514	- 9.2	75	5347
	500	**-10.2**	**65**	**5546**
16	493	10.7	60	5661
	472	**-10.2**	**55**	**6000**
17	469	-10.2	50	6040
18	445	-14.7	19	6432
19	419	-18.8	18	6880
	412	**-20.2**	**17**	**7000**
20	**400**	**-22.2**	**16**	**7211**
21	372	-23.7	15	7732
	359	**-25.0**	**15**	**8000**
22	355	-25.8	15	8071
23	341	-28.7	15	8356
24	322	30.8	15	8760
	311	**-31.4**	**15**	**9000**
25	304	-31.7	14	9151
	300	**-32.2**	**14**	**9211**
26	288	-35.0	14	9531
27	**269**	**-37.7**	**13**	**10000**
28	256	-41.2	13	10435
	250	**-41.8**	**13**	**10138**
29	242	-42.7	13	10700
	231	**-44.1**	**13**	**11000**
30	228	-44.4	13	11087
31	223	-44.2	13	11238
32	214	-43.1	13	11500
33	205	-45.0	13	11786
	200	**-44.8**	**13**	**11953**
	199	**-44.9**	**13**	**12000**
34	192	44.5	13	12211
35	180	-43.3	13	12645

21. VIII. 1943. 7.42 h MEZ.

Min.	PPP	TTT	UU	H m. dyn.
0	957.0	20.0	90	483
1	932	26.0	85	712
2	914	27.8	81	883
	902	**25.8**	**78**	**1000**
	900	**25.4**	**74**	**1020**
3	892	24.4	70	1096
4	872	25.8	66	1291
5	852	22.1	60	1491
6	826	21.0	57	1756
	803	**19.5**	**56**	**2000**
	800	**19.2**	**56**	**2030**
7	796	18.8	55	2072
8	770	15.6	55	2350
9	744	12.5	56	2634
10	**712**	**9.9**	**60**	**3000**
	700	**8.6**	**60**	**3135**
11	690	7.4	60	3252
12	663	4.3	58	3571
13	639	2.5	56	3867
	628	**1.9**	**54**	**4000**
14	**614**	**0.6**	**52**	**4186**
15	596	- 2.0	51	4369
16	572	- 4.6	47	4741
	553	**- 6.2**	**47**	**5000**
17	550	- 6.6	47	5045
18	526	- 8.8	45	5389
19	**500**	**-10.1**	**44**	**5773**
20	490	11.5	42	5927
	485	**-11.9**	**42**	**6000**
21	480	12.4	42	6084
22	474	12.7	40	6178

24. VIII. 1943. 7.30 h MEZ.

Min.	PPP	TTT	UU	H m. dyn.
0	962.2	12.0	90	483
1	912	11.8	90	660
2	922	12.8	90	841
	905	**12.7**	**89**	**1000**
	900	**12.7**	**88**	**1043**
3	898	12.7	87	1061
4	877	11.0	85	1256
5	845	9.1	84	1560
6	818	6.7	83	1825
	800	**5.7**	**83**	**2000**
7	790	5.0	83	2107
8	767	3.4	83	2344
9	745	4.5	82	2575
10	724	4.5	81	2806
11	**706**	**1.9**	**65**	**3000**
	700	**1.5**	**59**	**3073**
12	682	0.4	53	3280
13	661	0.4	43	3524
14	634	2.2	41	3853
	622	**- 3.3**	**43**	**4000**
15	614	4.2	45	4106
	600	**- 4.8**	**47**	**4286**
16	592	5.2	49	4391
17	569	6.9	51	4694
18	**547**	**- 8.4**	**65**	**5000**
19	527	7.9	53	5286
20	510	7.4	45	5535
	500	**-10.0**	**42**	**5686**
21	495	11.1	39	5763
	480	**-12.6**	**37**	**6000**
22	476	-13.0	35	6058
23	458	14.3	35	6347
24	442	16.6	35	6609
25	424	18.8	35	6916
	419	**-19.2**	**34**	**7000**
26	405	-20.4	33	7252
	400	**-21.1**	**33**	**7340**
27	391	-22.3	33	7505
28	380	23.2	33	7711
29	366	24.2	33	7983
	365	**-24.2**	**33**	**8000**
30	354	25.2	33	8225
31	340	26.2	33	8512
32	326	-27.5	33	8812
	318	**-28.3**	**33**	**9000**
33	315	28.4	33	9057
34	304	29.6	33	9310
35	**300**	**-30.5**	**33**	**9400**
36	295	-31.7	33	9517
37	290	32.0	33	9635
38	282	32.1	33	9830
39	279	32.0	33	9905
	275	**-32.8**	**33**	**10000**
40	272	-33.2	33	10080
41	260	-33.8	33	10391
42	256	-34.3	33	10499
43	**250**	**-39.1**	**33**	**10660**

25. VIII. 1943. 7.14 h MEZ.

Min.	PPP	TTT	UU	H m. dyn.
0	959.7	12.2	95	483
1	942	16.5	100	639
2	919	15.5	100	847
	902	**14.9**	**100**	**1000**
3	**900**	**14.8**	**95**	**1019**
4	879	13.2	91	1217
5	861	13.9	83	1387
6	831	11.2	81	1680
7	807	10.0	85	1917
	800	**9.8**	**83**	**1986**
	799	**9.8**	**83**	**2000**
8	783	8.3	83	2165
9	762	6.2	75	2386
10	739	3.9	79	2633
11	716	1.8	79	2887
	705	**0.3**	**80**	**3000**
	700	**0.0**	**80**	**3066**
12	696	- 0.2	80	3109
13	671	- 1.8	80	3392
14	646	4.5	80	3687
15	614	- 4.5	71	3952
	621	**- 4.8**	**71**	**4000**
	600	**- 5.6**	**73**	**4259**
16	593	- 6.0	73	4352
17	563	-10.2	70	4717
	544	**-12.6**	**68**	**5000**
18	540	13.2	65	5063
19	522	17.2	65	5312
20	**500**	**-21.2**	**67**	**5625**
21	483	-22.4	69	5877
	475	**-23.1**	**71**	**6000**
22	463	-23.5	73	6182
23	442	25.0	73	6514
24	426	-26.7	75	6777
	412	**-27.6**	**75**	**7000**
25	405	-28.3	73	7142
	400	**-28.7**	**73**	**7219**
26	389	29.9	73	7417
27	366	31.7	73	7842
	358	**-32.8**	**73**	**8000**
28	346	34.9	73	8297
29	331	36.9	73	8555
30	314	40.4	73	8886
	309	**-41.1**	**73**	**9000**
31	**300**	**-42.2**	**73**	**9190**
32	291	-45.0	73	9393
33	284	-47.1	73	9555
34	270	48.6	73	9870
	265	**-49.0**	**73**	**10000**
35	256	49.8	73	10231
	250	**-51.1**	**73**	**10373**
36	247	51.5	73	10415
37	237	-51.8	73	10716
38	227	-51.5	73	10990
	226	**-51.4**	**73**	**11000**
39	221	-49.0	73	11155
40	214	-47.6	73	11375
41	210	47.0	73	11495
42	203	46.8	73	11704
43	202	46.8	73	11740

31. VIII. 1943. 7.30 h MEZ.

Min.	PPP	TTT	UU	H m. dyn.
0	961.3	15.0	94	483
1	930	16.6	90	761
2	908	11.5	90	961
	904	**11.0**	**90**	**1000**
	900	**10.7**	**90**	**1036**
3	882	9.0	90	1203
4	861	6.9	95	1397
5	837	5.5	100	1625
6	815	5.3	100	1840
	800	**4.9**	**100**	**1990**
	799	**4.9**	**100**	**2000**
7	793	4.8	100	2066
8	772	4.0	91	2277
9	748	4.0	80	2537
10	734	2.8	75	2789
	705	**1.0**	**73**	**3000**
11	704	0.9	71	3014
	700	**0.7**	**71**	**3056**
12	679	0.5	70	3298
13	656	1.8	68	3565
14	634	3.1	65	3834
	621	**- 3.7**	**65**	**4000**
15	614	4.1	64	4084
	600	**- 5.0**	**64**	**4265**
16	595	- 5.2	63	4330
17	578	5.5	61	4554
18	552	8.5	60	4900
	545	**- 9.0**	**60**	**5000**
19	535	9.5	60	5150
20	510	9.1	60	5512
	500	**- 9.5**	**60**	**5663**
21	495	9.9	60	5739
22	480	11.8	60	5974
	478	**-11.8**	**60**	**6000**
23	460	12.6	60	6295
24	444	12.5	60	6558
25	434	12.4	60	6730
26	424	13.4	60	6905
	419	**-16.0**	**60**	**7000**
27	410	16.9	60	7152
	400	**-17.7**	**60**	**7335**
28	392	18.3	60	7483
29	378	19.6	60	7749
30	367	20.6	60	7968
	365	**-20.8**	**60**	**8000**
31	358	20.6	60	8130
32	347	21.3	60	8376
33	337	23.3	60	8589
35	320	26.5	60	8961
34	327	25.2	60	8807
	318	**-26.6**	**60**	**9000**
36	312	27.2	60	9141
37	307	28.7	60	9258
38	**300**	**-30.5**	**60**	**9418**
39	294	30.5	60	9560

1. IX. 1943. 7.20 h MEZ.

Min.	PPP	TTT	UU	H m. dyn.
0	960.6	10.5	95	483
1	940	15.1	100	655
2	916	12.0	100	878
	903	**11.3**	**100**	**1000**
	900	**11.1**	**100**	**1027**
3	894	10.8	100	1089
4	872	9.8	95	1285
5	852	8.5	95	1473
6	828	7.0	90	1705
7	806	10.4	73	1927
	800	**10.3**	**70**	**1989**
	799	**10.3**	**67**	**2000**
8	782	9.4	63	2177
9	758	7.2	54	2428
10	736	6.2	50	2664
11	716	5.2	48	2887
	706	**5.7**	**47**	**3000**
	700	**6.0**	**45**	**3070**
12	698	6.1	44	3092
13	675	6.0	43	3327
14	655	4.1	40	3601
15	634	1.7	43	3862
	623	**0.8**	**46**	**4000**
16	610	0.1	50	4170
	600	**- 0.8**	**55**	**4302**
17	590	1.9	60	4434
18	560	2.6	70	4841
	549	**- 3.4**	**65**	**5000**
19	542	3.9	60	5098
20	523	5.4	50	5375
21	**500**	**- 6.9**	**48**	**5720**
22	486	9.4	48	5967
	482	**- 9.9**	**48**	**6000**
23	466	11.7	47	6257
24	445	14.2	45	6612
25	428	16.7	44	6891
	422	**-17.2**	**44**	**7000**
26	410	18.1	43	7198
	400	**-19.0**	**43**	**7389**
27	392	20.0	43	7583
28	374	23.0	43	7878
	368	**-24.2**	**43**	**8000**
29	358	26.4	43	8294
30	340	28.7	43	8557
31	326	32.0	43	8855
	319	**-32.2**	**43**	**9000**
32	311	33.3	43	9185
	300	**-37.0**	**43**	**9432**
33	298	37.8	43	9475
34	283	40.0	43	9755
	276	**-40.5**	**43**	**10000**
35	272	40.8	43	10094
36	262	41.6	43	10412
37	253	45.7	43	10571
	250	**-45.7**	**43**	**10619**
38	244	45.8	43	10688
	237	**-46.1**	**43**	**11000**
39	235	46.5	43	11054
40	228	50.8	43	11272
41	222	48.6	43	11424
42	216	48.5	43	11566
43	211	49.0	43	11732
44	207	46.9	43	11888
	203	**-46.9**	**43**	**12000**
45	202	46.9	43	12027
	200	**-46.9**	**43**	**12107**
46	197	46.9	43	12207
47	192	46.9	43	12377

Min.	PPP	TTT	UU	H m. dyn.

2. IX. 1943. 7.10 h MEZ.

Min.	PPP	TTT	UU	H m. dyn.
0	959.1	12.0	93	483
1	940	15.2	97	651
2	940	14.8	90	922
	902	**14.1**	**88**	**1000**
	900	**14.0**	**85**	**1018**
3	890	13.3	83	1110
4	867	12.1	80	1325
5	842	11.4	90	1566
6	817	12.0	69	1814
	800	**12.1**	**67**	**1990**
	799	**12.0**	**64**	**2000**
7	798	12.0	62	2010
8	776	10.8	55	2241
9	752	9.5	53	2496
10	722	8.3	51	2828
	707	**6.8**	**51**	**3000**
	700	**6.1**	**57**	**3079**
11	696	5.8	60	3125
12	678	7.0	55	3338
13	650	3.9	48	3673
14	626	1.8	45	3975
	624	**1.6**	**44**	**4000**
15	603	- 0.1	43	4273
	600	**- 0.3**	**43**	**4314**
16	580	1.2	43	4577
17	552	- 4.2	43	4966
	550	**- 4.5**	**43**	**5000**
18	526	- 6.3	43	5343
19	506	- 8.4	43	5639
	500	**-10.2**	**44**	**5728**
20	492	-12.2	45	5850
	482	**-13.7**	**47**	**6000**
21	475	-14.8	50	6116
22	455	-17.7	55	6434
23	437	-18.9	57	6729
24	**421**	**-20.1**	**60**	**7000**
25	409	-21.1	70	7213
	400	**-21.9**	**70**	**7374**
26	392	-22.8	70	7519
27	377	-24.1	70	7799
	367	**-25.9**	**70**	**8000**
28	360	-27.3	70	8132
29	350	-29.3	60	8334
30	337	-31.2	60	8597
31	328	-33.4	60	8788
32	**318**	**-35.4**	**60**	**9000**
33	307	-36.6	60	9244
	300	**-37.8**	**57**	**9400**
34	299	-38.0	55	9424
35	290	39.7	50	9628
36	284	-40.7	50	9770
37	277	-41.9	60	9935
	274	**-42.1**	**60**	**10000**
38	270	-42.5	60	10108

3. IX. 1943. 7.15 h MEZ.

Min.	PPP	TTT	UU	H m. dyn.
0	960.5	14.5	90	483
1	940	14.0	90	661
2	914	13.9	85	897
	903	**13.8**	**87**	**1000**
	900	**13.7**	**88**	**1025**
3	890	13.5	90	1119
4	866	12.7	90	1347
5	845	12.6	85	1549
6	820	9.9	83	1795
	800	**8.8**	**82**	**2000**
7	795	8.4	80	2050
8	766	6.5	60	2352
9	740	4.6	55	2628
10	716	2.8	58	2892
	706	**1.8**	**60**	**3000**
	700	**1.2**	**63**	**3071**
11	690	0.4	65	3185
12	664	- 2.1	69	3485
13	640	- 5.0	74	3773
	622	**- 6.2**	**77**	**4000**
14	614	- 6.8	80	3096
	600	**- 8.2**	**83**	**4274**
15	592	- 8.9	86	4377
16	567	- 9.9	90	4705
	545	**-10.8**	**95**	**5000**
17	539	-11.1	100	5092
18	508	-13.9	100	5537

28. IX. 1943. 7.12 h MEZ.

Min.	PPP	TTT	UU	H m. dyn.
0	961.8	1.5	98	483
1	925	1.8	97	793
	901	**1.2**	**98**	**1000**
2	**900**	**1.1**	**100**	**1014**
3	880	1.3	94	1193
4	856	- 0.7	87	1411
5	835	- 1.8	83	1605
6	810	- 3.6	81	1843
	800	**- 3.8**	**81**	**1940**
	791	**- 3.9**	**80**	**2000**
7	783	4.1	80	2107
8	756	6.8	78	2379
9	730	- 6.6	75	2645
	700	**- 7.6**	**73**	**2968**
10	698	7.6	72	2991
	697	**- 7.7**	**65**	**3000**
11	668	8.8	58	3327
12	640	10.0	55	3650
13	613	12.5	49	3978
	611	**-12.6**	**48**	**4000**
	600	**-13.4**	**48**	**4111**
14	588	-14.1	47	4294
15	555	-15.9	45	4723
	535	**-16.5**	**44**	**5000**
16	534	-16.6	43	5012
17	512	18.5	41	5323
	500	**-18.7**	**41**	**5494**
18	496	18.8	40	5554
19	480	-22.2	40	5732
	466	**-22.2**	**40**	**6000**
20	461	22.2	40	6086
21	446	24.4	38	6325
22	430	-25.9	38	6583
23	421	27.0	38	6733
24	411	-28.1	38	6905
	405	**-28.9**	**38**	**7000**
25	**400**	**-29.8**	**38**	**7095**
26	392	-30.0	38	7237
27	388	-30.0	38	7311

29. IX. 1943. 7.21 h MEZ.

Min.	PPP	TTT	UU	H m. dyn.
0	954.1	5.0	80	483
1	924	4.3	80	739
	900	**2.6**	**80**	**953**
2	**894**	**2.3**	**81**	**1000**
3	863	0.2	82	1286
4	834	- 1.4	83	1555
5	810	- 3.2	84	1783
	800	**- 3.1**	**84**	**1880**
6	792	- 2.9	85	1959
	788	**- 2.9**	**85**	**2000**
7	760	- 2.8	86	2281
8	736	- 2.6	87	2529
9	710	- 2.9	88	2811
	700	**- 3.6**	**88**	**2920**
	693	**- 4.0**	**89**	**3000**
10	690	- 4.2	89	3033
11	660	- 7.6	95	3377
12	641	- 8.5	100	3598
13	619	- 9.2	100	3867
	608	**-10.1**	**100**	**4000**
	600	**-10.8**	**100**	**4106**
14	594	-11.3	100	4182
15	571	-12.0	100	4480
16	554	-16.1	100	4704
17	534	-15.7	100	4980
	533	**-15.7**	**100**	**5000**
18	510	-17.4	100	5323
	500	**-20.1**	**100**	**5464**
19	492	-21.7	100	5582
20	474	-21.3	95	5853
	464	**-22.2**	**93**	**6000**
21	456	-23.1	90	6135
22	435	26.2	88	6472
23	417	-28.5	85	6770
24	406	-29.7	85	6958
	404	**-30.1**	**85**	**7000**
	400	**-30 6**	**84**	**7063**
25	397	-31.0	84	7111
26	386	31.7	83	7311
27	374	-34.3	81	7530
28	362	-36.3	80	7754
29	350	-37.9	80	7987
	349	**-38.0**	**80**	**8000**
30	338	-39.2	79	8223
31	326	-40.4	79	8466
32	314	-42.0	79	8718
33	305	-43.6	78	8912
	301	**-44 0**	**78**	**9000**
	300	**-44.1**	**78**	**9022**
34	298	-44.3	78	9067
35	287	-44.2	78	9314

30. IX. 1943. 7.24 h MEZ.

Min.	PPP	TTT	UU	H m. dyn.
0	963.5	8.0	95	483
1	942	8.0	95	668
2	924	8.0	95	826
3	**904**	**6.0**	**95**	**1000**
	900	**5.8**	**95**	**1042**
4	884	5.0	95	1187
5	862	4.6	95	1389
6	837	2.7	100	1624
7	812	3.3	100	1865
	800	**3.1**	**100**	**1986**
	799	**3.0**	**100**	**2000**
8	790	2 8	100	2087
9	770	2.7	100	2292
10	743	3.0	95	2574
11	729	2.1	80	2726
12	706	0.4	73	2980
	704	**0.4**	**73**	**3000**
	700	**0.4**	**73**	**3048**
13	683	0.2	73	3242
14	662	- 2.6	73	3484
15	640	- 3.6	70	3750
16	**620**	**- 5.2**	**68**	**4000**
17	**600**	**- 6.3**	**68**	**4253**
18	580	- 7.1	68	4512
19	559	- 8.5	67	4796
	544	**- 9 7**	**64**	**5000**
20	536	-10.3	61	5119
21	516	-11 2	62	5408
	500	**-12.5**	**61**	**5641**
22	496	-13.2	60	5703
23	478	-16.9	60	5980
	476	**-17.1**	**60**	**6000**
24	462	-18.3	59	6230
25	440	-17.8	59	6587
26	426	-21.4	58	6824
	416	**-21.1**	**58**	**7000**
27	406	-21.0	58	7172
	400	**-24.4**	**58**	**7281**
28	390	-28.6	57	7460
29	371	-31.4	57	7811
	361	**-33.3**	**57**	**8000**
30	354	-34.8	56	8138
31	336	-38.7	55	8495
32	315	-38.1	53	8932
	312	**-38.4**	**50**	**9000**
33	**300**	**-40.0**	**47**	**9263**
34	290	-41.4	47	9490
35	281	-42.8	47	9700
36	271	-43.2	47	9940
	269	**-43.2**	**47**	**10000**
37	262	-43.2	47	10166
38	252	-45.4	47	10419
	250	**-45.4**	**47**	**10470**
39	242	-46.2	47	10683
40	237	-47.5	47	10818
41	232	-46.5	60	10959
	230	**-46.2**	**60**	**11000**
42	226	-45.9	60	11134

1. X. 1943. 7.20 h MEZ.

Min.	PPP	TTT	UU	H m. dyn.
0	964.0	10.0	95	483
1	954	8.8	95	567
2	934	7.8	95	740
3	918	6.4	95	880
	905	**6.0**	**95**	**1000**
	900	**5.8**	**95**	**1044**
4	898	5.6	95	1062
5	880	4.4	100	1226
6	860	2.8	100	1409
7	838	2.3	100	1615
8	820	2.1	100	1788
9	808	6.0	98	1906
	800	**5.8**	**96**	**1987**
	799	**5.7**	**94**	**2000**
10	795	5.5	92	2038
11	780	3.9	89	2191
12	766	3.2	83	2336
13	752	2.0	83	2482
14	740	0.1	83	2608
15	726	1.3	86	2759
16	710	1.6	90	2934
	704	**- 1.8**	**91**	**3000**
	700	**- 2.1**	**93**	**3045**
17	686	- 3.1	95	3203
18	673	4.7	83	3352
19	656	- 5.9	83	3547
20	642	- 6.0	82	3714
21	628	- 7.4	75	3885
	619	**- 8.0**	**73**	**4000**
22	613	- 8.3	72	4072
	600	**- 9.2**	**71**	**4237**
23	596	- 9.5	70	4288
24	580	-10.9	69	4494
25	573	-12.6	66	4586
26	553	-13.0	61	4853
	542	**-15.0**	**61**	**5000**
27	535	-16.0	61	5102
28	515	-16.8	61	5385
29	**500**	**-16.9**	**62**	**5600**
30	482	-20 2	67	5871
	474	**-22.1**	**72**	**6000**
31	465	-23.6	78	6132
32	447	24.3	82	6417
33	431	-26.2	78	6674
34	420	-27.2	67	6859
	412	**-28.2**	**64**	**7000**
35	404	-29.0	61	7134
	400	**-29 2**	**61**	**7204**
36	388	-30.3	61	7417
37	373	-33.6	61	7691
	357	**-35 6**	**61**	**8000**
38	355	-35.7	61	8035
39	338	-38.3	61	8373
40	325	-40 4	61	8634
41	310	-40 8	61	8953
	308	**-40 9**	**61**	**9000**
	300	**-41.6**	**61**	**9174**
42	295	-42.4	60	9285
43	280	-41 7	60	9632
44	273	42 8	60	9800
45	**265**	**-43 6**	**60**	**10000**
46	255	-43 0	60	10253
	250	**-43.4**	**60**	**10384**
47	240	44.6	60	10650

14. X. 1943. 7.22 h MEZ.

Min.	PPP	TTT	UU	H m. dyn.
0	960.5	8.0	95	485
1	920	6.5	95	746
2	906	5.8	95	960
	902	**5 6**	**95**	**1000**
	900	**5.6**	**95**	**1014**
3	885	4.8	95	1149
4	866	3.2	95	1323
5	843	3.3	95	1537
6	826	1.5	95	1698
7	810	1.0	95	1855
	800	**- 0.4**	**96**	**1954**
	795	**- 0.9**	**98**	**2000**
8	791	- 1.4	100	2043
9	771	- 1.4	90	2245
10	746	- 1.3	85	2501
11	723	- 1.4	73	2747
12	706	- 0.9	67	2933
	700	**- 1.4**	**65**	**3000**
13	692	- 2.2	64	3091
14	674	- 3.6	59	3296
15	658	- 5.1	57	3480
16	640	- 7.8	55	3695
17	624	- 8.2	54	3890
	615	**-10.1**	**53**	**4000**
18	607	-11.3	53	4102
	600	**-12.0**	**53**	**4191**
19	586	-12.8	53	4369
20	571	-13.3	53	4562
21	553	-15.0	51	4802
	539	**-16.2**	**51**	**5000**
22	531	-16.9	51	5105
23	510	-18.6	50	5404
	500	**-20.2**	**49**	**5546**
24	493	-21.2	49	5650
	470	**-22.6**	**49**	**6000**
25	469	-22.7	49	6014
26	456	25.0	49	6215
27	440	-27.3	49	6467
28	426	-28.1	49	6696
29	411	-30.4	49	6948
30	**408**	**-30.5**	**49**	**7000**
	400	**-31.1**	**49**	**7138**

15. X. 1943. 7.35 h MEZ.

Min.	PPP	TTT	UU	H m. dyn.
0	959.1	3.5	95	483
1	925	3.8	97	773
2	**900**	**4.3**	**100**	**1000**
3	882	4.6	90	1159
4	862	2.5	84	1342
5	840	1.1	84	1545
6	820	- 0.4	87	1737
7	812	- 1.7	90	1813
	800	**- 1.4**	**92**	**1931**
	793	**- 1.3**	**93**	**2000**
8	790	- 1.3	95	2030
9	762	- 2.9	100	2314
10	740	- 4.0	90	2540
11	718	- 3.1	81	2775
	700	**- 4.1**	**79**	**2972**
	698	**- 4.2**	**76**	**3000**
12	695	- 4.4	73	3028
13	676	- 5.1	66	3243
14	659	- 5.7	61	3438
15	638	- 7.8	59	3687
16	616	-10.1	57	3956
	612	**-10.2**	**56**	**4000**
	600	**-11.0**	**56**	**4157**
17	595	-11.4	55	4220
18	577	-13.0	55	4454
19	560	-15.9	55	4675
20	542	-16.5	55	4920
	536	**-16.8**	**55**	**5000**
21	522	-18.7	55	5198
22	508	-20.8	55	5398
	500	**-21.3**	**55**	**5510**
23	490	-21.7	54	5657
24	468	-20.0	53	5992
	467	**-20.1**	**53**	**6000**
25	447	-23.9	52	6325
26	433	-26.9	52	6550
27	410	-28.3	52	6935
	406	**-28.6**	**52**	**7000**
	400	**-29.2**	**52**	**7110**
28	390	-30.5	52	7290
29	368	-32.8	52	7694
	352	**-35.0**	**52**	**8000**
30	350	-35.4	52	8043
31	333	-37.7	52	8383
32	316	-41.2	52	8734
	304	**-43.0**	**52**	**9000**
33	**300**	**-43.4**	**52**	**9082**
34	282	-46.1	50	9490
35	269	-48.9	50	9796
	261	**-48.5**	**50**	**10000**
36	258	-48.5	49	10067
	250	**-49.1**	**48**	**10270**
37	242	-49.9	48	10478
38	236	-51.0	48	10639
39	224	-52 0	48	10974
	223	**-52.1**	**48**	**11000**
40	211	-53.6	48	11358
41	**200**	**-55.1**	**48**	**11697**
42	194	-52.8	48	11890
	191	**-52 8**	**48**	**12000**
43	187	-52.8	48	12123
44	181	-52.8	48	12334
45	177	-52.8	48	12473
46	169	-52.8	48	12768
47	163	-52.8	48	12998

16. X. 1943. 7.20 h MEZ.

Min.	PPP	TTT	UU	H m. dyn.
0	954.0	6.0	95	483
1	935	4.2	96	644

Min.	PPP	TTT	UU	H m. dyn.
2	908	4.7	98	882
	900	**4.0**	**98**	**953**
	895	**3.7**	**99**	**1000**
3	892	3.6	100	1025
4	870	3.0	100	1225
5	850	2.4	100	1412
6	826	1.4	98	1636
7	804	0.2	98	1850
	800	**− 0.1**	**98**	**1891**
	789	**− 0.8**	**98**	**2000**
8	781	− 1.2	98	2080
9	758	− 3.1	98	2314
10	732	− 4.7	98	2582
11	708	− 2.4	91	2840
	700	**− 1.7**	**91**	**2931**
	694	**− 1.2**	**90**	**3000**
12	690	− 1.1	90	3044
13	670	− 5.5	85	3274
14	651	− 6.3	81	3493
15	635	− 8.2	77	3685
16	618	− 9.5	74	3893
	609	**−10.1**	**73**	**4000**
	600	**−11.0**	**72**	**4120**
17	598	−11.2	71	4145
18	579	−12.8	89	4390
19	560	−14.3	67	4638
20	542	−15.2	65	4880
	534	**−16.4**	**65**	**5000**
21	526	−17.6	65	5107
22	506	−20.8	63	5392
	500	**−21.4**	**63**	**5475**
23	488	−22.3	63	5651
24	468	−23.1	63	5955
	465	**−23.2**	**62**	**6000**
25	444	−24.4	61	6334
26	420	−27.0	61	6726
	404	**−28.1**	**61**	**7000**
27	**400**	**−28.3**	**61**	**7075**
28	375	−30.3	61	7528
29	354	−34.1	61	7931
	351	**−35.0**	**61**	**8009**
30	335	−38.1	61	8312
31	318	−40.1	61	8660
	302	**−41.6**	**61**	**9000**
32	**300**	**−41.9**	**61**	**9052**
33	286	−45.3	61	9369
34	272	−47.1	61	9694
	260	**−48.6**	**61**	**10000**
35	258	−48.9	61	10038
	250	**−50.3**	**61**	**10242**
36	248	−50.7	61	10295
37	237	−52.1	61	10581
38	224	−50.8	61	10942
	222	**−51.0**	**61**	**11000**
39	210	−52.2	61	11360
40	**200**	**−53.9**	**61**	**11670**
41	194	−52.0	61	11864
	190	**−52.0**	**61**	**12000**
42	180	−52.0	61	12344
43	170	−52.0	61	12706
44	163	−52.0	61	12976
	162	**−52.0**	**61**	**13000**
45	154	−52.0	61	13338
46	151	−52.0	61	13463
	150	**−52.0**	**61**	**13504**
47	139	−52.0	61	13991

26. X. 1943. 7.25 h MEZ.

Min.	PPP	TTT	UU	H m. dyn.
0	954.6	9.8	95	483
1	922	7.9	95	767
2	902	8.0	95	947
	900	**8.0**	**95**	**966**
	896	**8.0**	**95**	**1000**
3	883	7.5	95	1121
4	862	6.2	93	1316
5	840	4.6	93	1523
6	806	3.5	95	1854
	800	**2.2**	**95**	**1916**
7	795	1.8	95	1965
	791	**1.5**	**95**	**2000**
8	777	0.7	95	2148
9	759	0.7	95	2333
10	736	− 1.1	95	2573
11	715	− 2.8	95	2801
	700	**− 4.4**	**95**	**2966**
	697	**− 5.0**	**95**	**3000**
12	696	− 5.0	95	3010
13	674	− 7.4	90	3258
14	658	− 7.9	87	3443
15	641	− 9.6	83	3640
16	619	−11.1	78	3908
	611	**−11.2**	**74**	**4000**
17	601	−11.6	70	4133
	600	**−11.8**	**67**	**4145**
18	586	−13.1	65	4324
19	567	−14.6	60	4569
20	547	−16.0	60	4837
	535	**−17.1**	**58**	**5000**
21	527	−17.9	57	5114
22	512	−20.2	57	5327
23	**500**	**−21.6**	**57**	**5496**
24	491	−21.4	57	5629
25	476	−22.3	57	5854
	466	**−23.2**	**57**	**6000**
26	456	−24.2	57	6163
27	431	−26.3	57	6564
28	412	−28.6	57	6884
	405	**−29.5**	**57**	**7000**
	400	**−30.2**	**57**	**7092**
29	394	−31.1	57	7200
30	377	−34.1	57	7502
31	360	−36.3	57	7822
	351	**−37.1**	**57**	**8000**
32	341	−38.0	57	8195
33	322	−40.8	57	8579
34	310	−43.2	57	8834
	302	**−45.0**	**57**	**9000**
	300	**−45.6**	**57**	**9050**
35	299	−45.8	57	9073
36	285	−45.9	57	9387
37	270	−48.6	57	9738
38	260	−48.6	57	9982
	259	**−48.6**	**57**	**10000**
	250	**−49.3**	**57**	**10237**
39	248	−49.5	57	10288
40	236	−50.6	57	10605
41	223	−50.2	57	10972
	222	**−50.3**	**57**	**11000**
42	215	−51.1	57	11209
43	204	−52.5	57	11543
	200	**−52.8**	**57**	**11670**
44	196	−53.0	57	11800
45	**190**	**−51.5**	**57**	**12000**
46	184	−51.5	57	12205
47	177	−51.5	57	12453
48	170	−51.5	57	12708
49	166	−51.5	57	12863

27. X. 1943. 7.25 h MEZ.

Min.	PPP	TTT	UU	H m. dyn.
0	959.0	4.0	97	483
1	932	6.3	97	712
2	912	6.4	98	890
	900	**6.7**	**98**	**1000**
3	894	6.7	98	1053
4	874	6.5	94	1235
5	854	5.0	91	1122
6	825	3.7	87	1698
7	808	2.4	83	1863
	800	**1.9**	**82**	**1948**
	794	**1.6**	**81**	**2000**
8	788	1.2	80	2065
9	768	− 0.4	86	2269
10	748	− 2.8	97	2474
11	724	− 2.8	94	2727
12	702	− 2.4	83	2968
	700	**− 2.5**	**80**	**2991**
	699	**− 2.6**	**77**	**3000**
13	682	− 4.6	75	3194
14	662	− 6.3	70	3424
15	643	− 7.9	68	3644
16	620	− 9.3	66	3927
	614	**− 9.6**	**68**	**4000**
17	**600**	**−10.6**	**69**	**4178**
18	582	−13.5	70	4408
19	574	−14.7	71	4510
20	562	−15.8	72	4666
21	546	−16.2	72	4882
	538	**−16.7**	**71**	**5000**
22	532	−17.3	71	5076
23	515	−17.9	70	5316
24	**500**	**−19.1**	**70**	**5530**
25	488	−20.7	70	5707
	469	**−22.4**	**71**	**6000**
26	463	−23.0	71	6091
27	443	−26.9	73	6408
28	428	−30.1	73	6648
	407	**−30.6**	**73**	**7000**
29	402	−31.0	73	7087
	400	**−31.4**	**73**	**7122**
30	382	−36.2	73	7437
31	366	−37.2	73	7730
	352	**−41.0**	**73**	**8000**
32	350	−41.5	73	8035
33	332	−44.8	73	8385
34	311	−48.3	73	8814
	302	**−50.9**	**73**	**9000**
	300	**−51.4**	**73**	**9046**
35	296	−52.1	71	9132
36	278	−53.1	71	9530
37	260	−56.3	71	9952
	258	**−56.5**	**71**	**10000**
	250	**−57.2**	**71**	**10196**
38	241	−58.2	71	10425

28. X. 1943. 7.25 h MEZ.

Min.	PPP	TTT	UU	H m. dyn.
0	961.6	8.4	92	483
1	956	9.5	96	533
2	941	8.0	96	661
3	923	4.8	96	818
4	904	5.6	96	986
	902	**5.4**	**97**	**1000**
	900	**5.3**	**97**	**1022**
5	887	4.1	98	1140
6	870	3.3	98	1295
7	852	2.3	99	1463
8	832	1.2	100	1649
9	815	3.9	87	1814
10	802	7.0	77	1945
	800	**6.9**	**76**	**1965**
	796	**6.0**	**74**	**2000**
11	788	4.2	73	2087
12	774	4.1	69	2230
13	756	2.8	69	2418
14	741	1.9	71	2576
15	724	0.9	73	2760
16	709	0.4	75	2926
	702	**0.1**	**76**	**3000**
	700	**0.0**	**76**	**3028**
17	692	− 0.3	77	3117
18	677	− 0.9	80	3290
19	657	− 1.7	85	3525
20	641	− 3.6	80	3717
21	623	− 4.7	77	3940
	618	**− 4.9**	**76**	**4000**
22	601	− 5.6	75	4222
	600	**− 5.8**	**74**	**4234**
23	583	− 8.8	73	4455
24	563	−10.6	73	4719
25	**543**	**−11.7**	**74**	**5000**
26	520	−14.6	76	5320
	500	**−16.5**	**80**	**5609**
27	494	−17.0	85	5698
28	**474**	**−18.0**	**85**	**6000**
29	458	−17.8	77	6257
30	440	−23.7	75	6546
31	426	−26.1	72	6778
	413	**−27.1**	**72**	**7000**
32	404	−28.1	72	7156
	400	**−29.0**	**72**	**7227**
33	385	−32.0	72	7492
34	366	−35.3	72	7843
	358	**−37.1**	**72**	**8000**
35	346	−39.8	72	8228
36	320	−44.8	72	8748
	308	**−47.0**	**72**	**9000**
	300	**−48.5**	**72**	**9170**
37	298	−48.9	72	9214
38	282	−54.4	72	9565
39	269	−58.0	72	9860
	257	**−59.0**	**72**	**10000**

29. X. 1943. 7.17 h MEZ.

Min.	PPP	TTT	UU	H m. dyn.
0	964.0	8.4	95	483
1	930	9.1	95	777
2	911	7.6	96	948
	905	**7.3**	**96**	**1000**
	900	**7.0**	**97**	**1048**
3	891	6.7	97	1130
4	872	6.9	98	1304
5	849	6.4	100	1519
6	836	6.7	100	1645
7	820	5.7	85	1802
8	804	5.1	79	1960
	800	**5.0**	**72**	**2000**
9	790	4.6	65	2103
10	771	3.8	65	2299
11	752	1.3	65	2493
12	739	− 0.2	65	2630
13	720	− 1.0	65	2837
	705	**− 2.0**	**65**	**3000**
14	**700**	**− 2.2**	**65**	**3058**
15	682	− 3.9	65	3261
16	662	− 5.6	65	3490
17	645	− 7.2	60	3690
18	627	− 8.7	51	3908
	620	**− 8.9**	**47**	**4000**
19	607	− 9.4	42	4158
	600	**−10.2**	**43**	**4247**
20	591	−11.3	45	4360
21	565	−11.2	45	4700
22	547	−13.3	43	4945
	543	**−13.8**	**43**	**5000**
23	525	−16.1	42	5253
24	507	−17.9	41	5509
	500	**−19.7**	**40**	**5610**
25	495	−21.0	39	5685
26	476	−22.3	39	5969
	474	**−22.6**	**39**	**6000**
27	460	−24.5	39	6217
28	442	−25.4	39	6500
29	422	−26.8	39	6828
	412	**−27.9**	**39**	**7000**
30	406	−28.4	39	7103
	400	**−28.8**	**37**	**7208**
31	389	−29.5	35	7405
32	372	−34.5	35	7714
	357	**−36.0**	**35**	**8000**
33	356	−36.2	35	8018
34	338	−40.2	35	8373
35	326	−40.3	35	8614
36	313	43.6	35	8886
	308	**−45.0**	**35**	**9000**
37	303	−46.2	35	9102
	300	**−46.0**	**35**	**9167**
38	290	−45.3	35	9390

17. XI. 1943. 8.10 h MEZ.

Min.	PPP	TTT	UU	H m. dyn.
0	956.0	− 1.5	100	483
1	931	0.5	99	691
2	901	0.4	98	952
	900	**0.2**	**98**	**962**
	896	**− 0.8**	**98**	**1000**
3	880	− 3.4	98	1139
4	855	− 4.7	97	1360
5	827	− 6.2	90	1616
6	801	− 8.2	95	1863
	800	**− 8.3**	**95**	**1874**
	787	**− 9.1**	**94**	**2000**
7	770	− 9.9	94	2165
8	746	−11.3	93	2405
9	726	−12.9	92	2605
10	704	−14.2	91	2835
	700	**−14.5**	**91**	**2880**
11	688	−15.5	91	3000
12	663	−17.3	88	3283
13	640	−19.8	82	3510
14	620	−22.0	76	3732
	601	**−22.6**	**76**	**4000**
	600	**−22.7**	**76**	**4012**
15	593	−23.1	76	4096
16	572	−26.0	76	4357
17	546	−27.6	76	4685
18	**522**	**−30.7**	**76**	**5000**
19	**500**	**−33.4**	**76**	**5301**
20	479	−36.7	75	5595
21	454	−39.2	75	5960
	451	**−39.4**	**75**	**6000**
22	439	−40.5	75	6187
23	428	−41.7	75	6358
24	410	−43.5	69	6640

18. XI. 1943. 8.08 h MEZ.

Min.	PPP	TTT	UU	H m. dyn.
0	956.1	− 4.0	100	483
1	922	− 4.5	100	765
	900	**− 5.5**	**100**	**954**
2	898	− 5.6	100	970
	894	**− 5.7**	**100**	**1000**
3	866	− 6.2	100	1251
4	839	− 5.0	95	1495
5	816	− 4.5	89	1710
	800	**− 6.6**	**86**	**1863**
6	791	− 7.8	83	1950
	786	**− 8.1**	**81**	**2000**
7	761	− 9.2	79	2245
8	736	11.7	76	2496
9	709	−13.2	75	2777
	700	**−13.4**	**73**	**2872**
	688	**−13.8**	**72**	**3000**
10	680	−14.1	71	3089
11	657	−16.7	71	3346
12	635	−18.5	71	3594
13	609	−20.4	74	3903
	601	**−21.5**	**74**	**4000**
	600	**−21.8**	**74**	**4012**
14	587	−23.5	74	4171
15	562	−25.4	79	4482
16	534	−27.2	79	4819
	523	**−28.4**	**79**	**5000**
17	513	−29.6	79	5133
	500	**−30.9**	**79**	**5311**
18	490	−32.0	79	5454
19	469	−34.0	79	5755
	453	**−36.1**	**79**	**6000**
20	450	−36.4	79	6040
21	431	−39.3	79	6432
22	414	−41.2	79	6660
23	403	−43.2	77	6778
	400	**−43.7**	**77**	**6829**
24	392	−44.9	77	6964
	390	**−45.4**	**77**	**7000**
25	381	−47.4	77	7180
26	360	−47.5	77	7520
27	346	−50.8	77	7777
	334	**−50.6**	**77**	**8000**
28	329	−50.2	77	8103
29	316	−49.0	77	8365
30	306	−49.0	77	8570
	300	**−50.8**	**77**	**8697**
31	295	−51.9	77	8807
	286	**−50.7**	**77**	**9000**
32	279	−50.0	77	9162
33	270	−50.0	77	9375
34	265	−50.0	77	9480
35	256	−50.0	77	9715

23. XI. 1943. 9 h MEZ.

Min.	PPP	TTT	UU	H m. dyn.
0	956.2	2.6	100	483
1	920	1.7	100	790
	900	**0.8**	**100**	**967**
	896	**0.4**	**100**	**1000**
2	890	0.1	100	1075
3	860	− 1.8	100	1320
4	831	− 3.3	100	1592
5	807	− 5.1	100	1820
	800	**− 5.4**	**100**	**1889**
	789	**− 6.1**	**100**	**2000**
6	784	− 6.3	100	2045
7	764	− 7.5	100	2244
8	744	− 8.6	100	2449
9	722	− 9.8	100	2673
10	704	−11.1	80	2891
	700	**−11.3**	**80**	**2907**
	691	**−12.0**	**80**	**3000**
11	680	−12.7	80	3126
12	660	−14.2	80	3370
13	637	−15.9	80	3642
14	614	−17.3	80	3888
	605	**−17.8**	**80**	**4000**
	600	**−18.1**	**80**	**4058**

Min.	PPP	TTT	UU	H m. dyn.
15	591	–18.6	80	4169
16	566	–20.1	80	4485
17	546	–20.5	80	4748
	528	**–21.1**	**80**	**5000**
18	525	–21.2	56	5037
19	502	–24.0	56	5360
	500	**–24.5**	**56**	**5388**
20	490	–26.8	56	5530
21	466	–28.8	56	5887
	459	**–29.6**	**56**	**6000**
22	445	–31.3	56	6211
23	424	–33.4	56	6544
24	402	–35.8	50	6910
	400	**–36.3**	**50**	**6945**
	397	**–36.9**	**50**	**7000**
25	390	–38.4	50	7117
26	370	–39.7	50	7472
27	358	–42.5	50	7693
28	346	–44.3	50	7921
	342	**–45.1**	**50**	**8000**
29	337	–46.1	50	8097
30	324	–48.1	50	8354
31	314	–49.1	50	8554
	300	**–50.0**	**50**	**8850**
	293	**–50.5**	**50**	**9000**
32	290	–50.7	50	9070
33	279	–51.3	50	9317
34	267	–52.2	50	9595
35	262	–53.0	50	9716
36	254	–53.1	50	9912
37	254	–53.8	50	9912

4. XII. 1943. 8.57 h MEZ.

Min.	PPP	TTT	UU	H m. dyn.
0	954.8	0.2	98	483
1	938	– 0.2	100	623
2	910	– 1.2	100	862
	900	**– 1.7**	**100**	**951**
	894	**– 2.0**	**100**	**1000**
3	880	– 2.3	100	1128
4	854	– 0.3	100	1364
5	831	– 1.4	95	1576
6	803	– 2.5	97	1845
	800	**– 2.6**	**97**	**1875**
	788	**– 3.1**	**98**	**2000**
7	774	– 3.6	98	2132
8	754	– 4.1	95	2337
9	725	– 5.9	92	2638
10	705	– 7.8	88	2854
	700	**– 8.3**	**87**	**2909**
	692	**– 8.9**	**86**	**3000**
11	680	– 9.9	85	3130
12	655	–12.4	80	3414
13	628	–15.2	80	3726
14	608	–17.6	80	3969
	605	**–17.9**	**80**	**4000**
	600	**–18.4**	**80**	**4067**
15	589	–19.6	80	4204
16	572	–21.5	80	4418
17	556	–23.5	80	4621
18	528	–26.1	80	4994
	527	**–26.3**	**80**	**5000**
19	514	–29.0	80	5185
	500	**–30.5**	**77**	**5379**
20	496	–31.0	75	5435
21	480	–32.7	75	5661
22	473	–34.9	75	5762
	457	**–36.0**	**72**	**6000**
23	443	–36.8	70	6212
24	432	–39.8	70	6383
25	422	–41.0	70	6537
	400	**–43.0**	**70**	**6894**
26	399	–43.1	70	6910
	394	**–43.3**	**70**	**7000**
27	380	–43.9	70	7235
28	360	–45.7	70	7591
29	352	–46.4	65	7740
30	342	–46.6	65	7930
	338	**–47.4**	**65**	**8000**
31	336	–48.1	65	8046
32	317	–49.6	65	8423
33	309	–50.2	65	8585
34	304	–50.5	65	8692
	300	**–50.9**	**65**	**8777**
35	298	–51.3	65	8820
36	292	–52.1	65	8950
	290	**–52.2**	**65**	**9000**
37	288	–52.1	65	9039
38	286	–50.6	65	9084

6. XII. 1943. 10.07 h MEZ.

Min.	PPP	TTT	UU	H m. dyn.
0	963.3	– 0.2	100	483
1	946	– 1.0	100	648
2	919	– 1.2	100	837
	900	**6.0**	**94**	**1000**
3	897	6.2	90	1020
4	874	9.1	85	1232
5	849	9.8	80	1470
6	826	7.9	70	1715
7	804	5.6	68	1920
	800	**5.1**	**68**	**1966**
	797	**4.7**	**68**	**2000**
8	775	3.4	67	2220
9	753	0.9	67	2445
10	720	– 2.0	67	2796
	701	**– 3.3**	**67**	**3000**
	700	**– 3.4**	**67**	**3012**
11	691	– 3.9	67	3096
12	665	– 6.1	68	3392
13	642	– 9.0	69	3657
14	616	–11.0	70	3983
	615	**–11.1**	**70**	**4000**
	600	**–11.8**	**72**	**4184**
15	595	–12.3	72	4236
16	575	–14.3	72	4486
17	558	–16.7	74	4720
	535	**–19.2**	**74**	**5000**
18	536	–19.3	75	5008
19	518	–21.2	75	5258
20	**500**	**–22.4**	**75**	**5508**
21	479	–23.6	75	5818
	466	**–24.5**	**75**	**6000**
22	456	–25.2	75	6117
23	431	–28.7	75	6516
24	416	–31.2	75	6814
	403	**–33.0**	**75**	**7000**
	400	**–33.5**	**75**	**7050**
25	391	–34.8	75	7237
26	372	–38.7	75	7571
	360	–40.3	75	7766
27	354	–39.3	75	7900
	349	**–36.0**	**75**	**8000**
	347	–35.7	75	8046
28	334	–39.2	75	8293
29	322	–46.3	75	8542
30	309	–49.0	75	8796

7. XII. 1943. 9.33 h MEZ.

Min.	PPP	TTT	UU	H m. dyn.
0	956.5	0.6	95	483
1	934	– 1.6	100	672
2	913	0.9	85	851
	900	**1.8**	**85**	**967**
	896	**2.0**	**85**	**1000**
3	883	2.7	85	1118
4	861	1.7	87	1320
5	841	0.8	88	1503
6	823	0.5	90	1675
	800	**– 1.3**	**93**	**1900**
7	799	– 1.5	95	1910
	790	**– 1.8**	**95**	**2000**
8	779	– 2.2	96	2110
9	750	– 2.8	96	2405
10	736	– 3.9	97	2550
11	713	– 4.2	98	2798
	700	**– 4.6**	**98**	**2940**
	694	**– 5.0**	**99**	**3000**
12	690	– 5.3	99	3051
13	658	– 7.3	100	3418
14	634	– 8.8	100	3701
15	**610**	**–11.0**	**100**	**4000**
	600	**–11.4**	**97**	**4122**
16	591	–12.1	95	4237
17	569	–14.4	90	4520
18	550	–16.5	90	4773
	534	**–17.9**	**89**	**5000**
19	525	–18.8	88	5119
20	505	–21.3	85	5403
	500	**–22.0**	**85**	**5473**
21	488	–23.9	85	5648
	464	**–28.3**	**85**	**6000**
22	459	–29.1	85	6085
23	430	–31.8	85	6539
24	407	–35.2	85	6919
	402	**–36.1**	**85**	**7000**
	400	**–36.5**	**85**	**7038**
25	395	–37.3	85	7124
26	364	–40.8	85	7676
	347	**–42.9**	**85**	**8000**
27	340	–43.6	85	8134
28	320	–46.0	85	8532
29	**300**	**–48.4**	**85**	**8953**
	298	**–48.7**	**85**	**9000**
30	283	–50.4	×	9332

Bemerkung: Die hier veröffentlichten Radiosondierungen der Aerologischen Station Payerne für die Jahre 1943 und 1942 (letztere enthalten in den «Annalen» der MZA. 1942) wurden mit dem Höhenintegrator Dr. Lugeon integriert. Dabei ist die Temperatur bei jedem Punkt mit dem entsprechenden Zeitkonstantenfaktor korrigiert worden. Über die Korrektionsmethode beachten Sie: Jean Lugeon «La correction de température des radiosondages», «Annalen» MZA. 1942. Die Feuchtigkeit, die mit dem gewöhnlichen Haarhygrometer registriert wurde, ist unkorrigiert publiziert. Zu beachten ist, daß das Haar bei tiefen Temperaturen nicht mehr einwandfrei arbeitet.

Zürich, MZA., im Mai 1944.

Die Bestimmung eines Punktes im Raum durch Vorwärtseinschneiden *

Von Th. Niethammer

Man spricht von einer Punktbestimmung durch Vorwärtseinschneiden, wenn man die beiden Winkel mißt, welche die den Punkt mit den Enden einer Basis verbindenden Geraden mit der Basisrichtung bilden. Da die Lage eines Punktes in einer Ebene durch zwei Koordinaten bestimmt ist, liegen ebensoviel Beobachtungsgrößen vor, als Punktkoordinaten zu berechnen sind. Übrigens können die beiden gemessenen Winkel selber — in Verbindung mit der Basislänge — als Koordinaten des Punktes betrachtet werden.

Soll die Lage eines Punktes im Raum gegenüber einer Horizontalebene festgelegt werden, so mißt man von den Basisendpunkten aus sowohl die Horizontalwinkel der beiden Richtungen als ihre Zenitdistanzen. Es liegen dann vier Beobachtungsgrößen vor; eine davon ist überzählig, da ein Punkt im Raum durch drei Koordinaten bestimmt ist. Man wird aber schon aus Symmetriegründen nicht eine der vier Beobachtungsgrößen verwerfen, sondern alle bei der Berechnung der Raumkoordinaten mitsprechen lassen. Diese Berechnung wird am einfachsten, wenn man zuerst zu drei *Winkelkoordinaten* übergeht, welche die Lage des Punktes im Raum — wieder in Verbindung mit der Basis — festlegen, und erst dann die *rechtwinkligen* Koordinaten ableitet. Diese Winkelkoordinaten sind:

1. die beiden Winkel, welche die den Punkt mit den Basis-Enden verbindenden Geraden mit der Basisrichtung bilden, und
2. der Neigungswinkel, welchen die durch den Punkt und die Basis gegebene Ebene mit dem Horizont bildet.

Die Basis nehmen wir als horizontal liegend an.

1. Die drei Winkelkoordinaten und die drei rechtwinkligen Koordinaten des Raumpunktes.

Den Nullpunkt des rechtwinkligen Koordinatensystems u, v, w legen wir in die Mitte 0 der Basis P_1P_2 (vgl. Fig. 1). In der Ebene P_1PP_2 sei der Punkt P durch

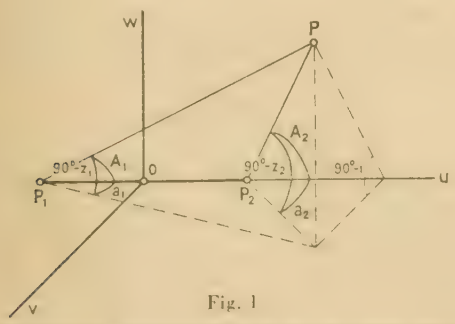

Fig. 1

* Die Veranlassung zu der vorliegenden Arbeit und deren Erscheinen an dieser Stelle gab die im letzten Jahrgang (1942) der «Annalen» erschienene Arbeit von Max Schüepp «Die Genauigkeit der Doppelvisierungen, vgl. darüber die Fußnote auf pag. 2.

die Winkel A_1 und A_2 festgelegt; der Neigungswinkel dieser Ebene gegenüber dem Horizont sei $90°-i$. Die Horizontalwinkel der Richtungen P_1P und P_2P seien a_1 und a_2 und die Zenitdistanzen z_1 und z_2. Es bestehen dann die folgenden Beziehungen, welche aus den sphärischen Dreiecken, die durch die u- und w-Richtung mit den beiden Punktrichtungen bestimmt sind, leicht abzuleiten sind (vgl. Fig. 2):

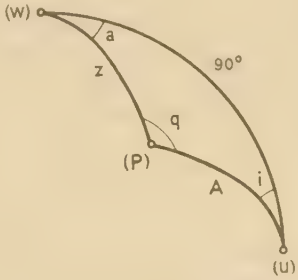

Fig. 2

$$(1)\quad \begin{cases} \sin A_1 \sin i = \sin z_1 \sin a_1; & \sin A_2 \sin i = \sin z_2 \sin a_2, \\ \sin A_1 \cos i = \cos z_1; & \sin A_2 \sin i = \cos z_3, \\ \cos A_1 = \sin z_1 \cos a_1; & \cos A_2 = \sin z_2 \cos a_2. \end{cases}$$

Es geht daraus hervor, daß A_1 nur von den Messungen auf P_1 und A_2 nur von den Messungen auf P_2 abhängig ist. Dagegen kann die Neigung aus den Messungen auf beiden Endpunkten abgeleitet werden. Da diese beiden Werte der Neigung der unvermeidlichen Beobachtungsfehler wegen nicht miteinander identisch sein werden, unterscheiden wir sie durch die Indices 1 und 2 und setzen

$$(2)\quad \begin{cases} \operatorname{tg} i_1 = \operatorname{tg} z_1 \sin a_1, \\ \operatorname{tg} i_2 = \operatorname{tg} z_2 \sin a_2. \end{cases}$$

A_1 und A_2 wird man nicht aus der dritten der Beziehungen (1) ableiten, sondern aus

$$(3)\quad \begin{cases} \operatorname{tg} A_1 = \operatorname{tg} a_1 \operatorname{cosec} i_1 = \operatorname{cotg} z_1 \sec a_1 \sec i_1, \\ \operatorname{tg} A_2 = \operatorname{tg} a_2 \operatorname{cosec} i_2 = \operatorname{cotg} z_2 \sec a_2 \sec i_2. \end{cases}$$

Als endgültiger Wert von i ist das Gewichtsmittel der beiden Werte i_1 und i_2 zu nehmen. Sind g' und g'' deren Gewichte, so wird

$$(4)\qquad i = (i_1 g' + i_2 g'') : (g' + g'').$$

Die rechtwinkligen Koordinaten des Punktes P werden dann gleich:

$$(5)\quad \begin{cases} u = \frac{1}{2} D \sin (A_2 + A_1) \operatorname{cosec} (A_2 - A_1), \\ v = D \sin A_1 \sin A_2 \operatorname{cosec} (A_2 - A_1) \sin i, \\ w = D \sin A_1 \sin A_2 \operatorname{cosec} (A_2 - A_1) \cos i. \end{cases}$$

D ist die Länge der Basis P_1P_2.

2. Die mittleren Fehler der Koordinaten.

Um die mittleren Fehler der Winkelkoordinaten anzugeben und von diesen zu den mittleren Fehlern der rechtwinkligen Koordinaten überzugehen, behandeln wir die Aufgabe nach den Vorschriften der Ausgleichungsrechnung. Hiezu gehen wir von den nichtlinearen Beziehungen, welche A und i mit z und a verbinden:

$$(6)\quad \begin{cases} \cos A = \sin z \cos a, \\ \operatorname{tg} i = \operatorname{tg} z \sin a \end{cases}$$

aus und verwandeln sie in lineare Beziehungen, indem wir A und i durch die Näherungswerte A_0 und i_0 und durch deren Verbesserungen dA und di ersetzen und an den beobachteten Größen z und a die wahren Fehler ε_z und ε_a anbringen. Die Beziehungen (6) gehen dann durch Entwicklung in die folgenden Beziehungen über, wenn die Verbesserungen und die wahren Fehler als kleine Größen betrachtet werden, deren Quadrate und Produkte vernachlässigt werden:

$$dA = l + \varepsilon_A,$$
$$di = l' + \varepsilon_i.$$

Hierin bedeuten ε_A und ε_i die wahren Fehler der fingierten Beobachtungsgrößen l und l', deren analytischer Ausdruck uns nicht interessiert; sie sind aus den wahren Fehlern der Beobachtungsgrößen in folgender Weise zu berechnen:

$$\varepsilon_A = \varepsilon_z \cos q + \varepsilon_a \sin z \sin q.$$
$$\sin A \cdot \varepsilon_i = \varepsilon_z \sin q - \varepsilon_a \sin z \cos q.$$

Der hierin benützte Winkel q wird durch die Gleichungen

$$\sin A \cos q = -\cos z \cos a,$$
$$\sin A \sin q = \sin a$$

gegeben.

Geht man von den wahren Fehlern ε zu den mittleren Fehlern m über, so wird

$$(7)\quad \begin{cases} m_A^2 = m_z^2 \cos^2 q + m_a^2 \sin^2 z \sin^2 q, \\ \sin^2 A \cdot m_i^2 = m_z^2 \sin^2 q + m_a^2 \sin^2 z \cos^2 q. \end{cases}$$

Darf man in diesen Beziehungen die Annahme machen, es sei

$$(8)\qquad m_z^2 = m_a^2 \sin^2 z = m^2,$$

so wird

$$(9)\qquad m_A^2 = \sin^2 A \cdot m_i^2 = m^2.$$

Die Annahme (8) ist dann korrekt, wenn man nur den Einstellfehler, d. h. den Fehler, den man bei der Pontierung der Visierlinie auf das zu bestimmende Objekt begeht, in Rechnung stellt und voraussetzt, bei der Kreislesung und bei der Beziehung der Winkel a und z auf eine bestimmte Anfangsrichtung keine Fehler begangen zu haben. In der Tat ist der Einfluß dieser beiden Fehlerkomponenten auf die Koordinaten A und i relativ klein gegenüber dem Einfluß des Gesamtfehlers. Bezeichnet nämlich m_0 den Betrag des mittleren Einstellfehlers, der in der Richtung des Vertikales, d. h. in der Richtung der Zenitdistanz, und in der dazu senkrechten Richtung am Ort des Objektes P gleich groß anzunehmen ist, so hat man dem Horizontalwinkel a den Fehler $m_0 \operatorname{cosec} z$ beizulegen. Ist m_1 die Resultante der beiden voneinander unabhängigen Fehler der Kreislesung und der Beziehung auf eine bestimmte Anfangsrichtung, die bei gleich genauer Ablesung der beiden Kreise und bei gleich genauer Bestimmung der Anfangsrichtung mit dem gleichen Betrag auf z und a einwirkt, so ist

$$m_a^2 = m_0^2 \operatorname{cosec}^2 z + m_1^2$$

und

$$m_z^2 = m_0^2 + m_1^2.$$

Die Ausdrücke für $m^2{}_A$ und $m^2{}_i$ nehmen dann die folgende Form an:

$$(10)\quad \begin{cases} m_A^2 = m^2 \left(1 - \frac{m_1^2}{m^2} \cos^2 z \sin^2 q\right), \\ \sin^2 A \cdot m_i^2 = m^2 \left(1 - \frac{m_1^2}{m^2} \cos^2 z \sin^2 q\right). \end{cases}$$

Finden die Messungen im Horizont statt, so ist $\cos^2 z = 0$; finden sie in der Vertikalebene, welche durch die Basis geht, statt, so ist $\sin^2 q = 0$; in beiden Fällen wird

$$m_A^2 = m^2.$$

Da im Subtrahenden der Klammern rechterhand der Beziehungen (10) der Faktor m_1^2/m^2 kleiner als 1 ist, begeht man eine relativ kleine Vernachlässigung in der Fehlerrechnung, wenn man ihr den Ansatz der Beziehung (9) zugrunde legt.

Wir leiten deshalb die mittleren Fehler der Koordinaten unter der Voraussetzung

$$m_A^2 = \sin^2 A \cdot m_i^2 = m^2 \quad *)$$

ab. Die Fehlergleichungen lauten dann, wenn die scheinbaren Fehler λ an Stelle der wahren Fehler ε eingeführt werden und das Gewicht einer Beobachtung vom *m.F. m* gleich 1 gesetzt wird:

---

* Der Verfasser der in den Annalen 1942 veröffentlichten Arbeit «Über die Genauigkeit der Doppelvisierungen», Herr *M. Schüepp*, geht von der Annahme

$$m_a^2 = m_z^2 = \text{konstans}$$

aus; er ist vom Autor der vorliegenden Untersuchung darauf aufmerksam gemacht worden, daß diese Annahme unzulässig ist, weil damit eine Fehlerkomponente, die unendlich groß werden kann, mit einem endlichen Betrag in die Fehlerrechnung eingeführt wird. Herr S. hat seither die genannte Arbeit als Kapitel seiner Promotionsarbeit «Die Methoden zur Bestimmung der Wolkenhöhe in Gebirgsländern» unverändert veröffentlicht, abgesehen von einem nachträglich eingefügten Abschnitt, in dem er auf die Unzulässigkeit seiner Annahme hinweist, ohne aber im Einzelnen die auf der inkorrekten Annahme beruhenden Schlußfolgerungen zu korrigieren.

$$dA_1 = l_1 + \lambda_1, \text{ Gew. } g_1 = 1;$$
$$di = l_1' + \lambda_1', \text{ Gew. } g' = \sin^2 A_1;$$
$$dA_2 = l_2 + \lambda_2, \text{ Gew. } g_2 = 1;$$
$$di = l_2' + \lambda_2', \text{ Gew. } g'' = \sin^2 A_2.$$

Die Normalgleichungen nehmen hiernach die Form an:

$$dA_1 = l_1,$$
$$dA_2 = l_2,$$
$$(\sin^2 A_1 + \sin^2 A_2)\ di = l_1' \sin^2 A_1 + l_2' \sin^2 A_2.$$

Es ist daraus ersichtlich, daß in der üblichen Bezeichnung der Ausgleichsrechnung zu setzen ist:

$$(aa) = 1, \quad (ab) = 0, \quad (ac) = 0,$$
$$\alpha_2' = (ab) : (aa) = 0, \quad (bb_1) = 1, \quad (bc_1) = 0,$$
$$\alpha_3' = (ac) : (aa) = 0;$$
$$\beta_3'' = (bc_1) : (bb_1) = 0, \qquad (cc_2) = \sin^2 A_1 + \sin^2 A_2.$$

$$Q_{11} = 1, \quad Q_{12} = 0, \quad Q_{13} = 0,$$
$$Q_{22} = 1, \quad Q_{23} = 0,$$
$$Q_{33} = 1 : (\sin^2 A_1 + \sin^2 A_2).$$

Sind F_1, F_2, F_3 die partiellen Ableitungen der Funktion F der Unbekannten x, y, z, die durch eine Ausgleichung bestimmt worden sind, so wird der $m.F.\ m_F$ der Funktion F gegeben durch den Ausdruck:

$$m_F^2 = m^2(Q_{11}F_1^2 + 2\ Q_{12}F_1F_2 + 2\ Q_{13}F_1F_3 + Q_{22}\ F_2^2 + 2\ Q_{23}F_2F_3 + Q_{33}\ F_3^2);$$

er nimmt im vorliegenden Fall die einfache Form

$$m_F^2 = m^2\left(F_1^2 + F_2^2 + \frac{F_3^2}{\sin^2 A_1 + \sin^2 A_2}\right)$$

an. Identifiziert man die Funktion F mit den rechtwinkligen Koordinaten u, v, w der Beziehungen (5) und die Unbekannten x, y, z mit $A_1 = A_{01} + dA_1$, $A_2 = A_{02} + dA_2$, $i = i_0 + di$, so erhält man die in der folgenden Tabelle angegebenen Werte der partiellen Ableitungen:

F	F_1	F_2	F_3
u	$D\dfrac{\sin A_2 \cos A_2}{\sin^2 (A_2 - A_1)}$	$-D\dfrac{\sin A_1 \cos A_1}{\sin^2 (A_2 - A_1)}$	
v	$D\dfrac{\sin^2 A_2 \sin i}{\sin^2 (A_2 - A_1)}$	$-D\dfrac{\sin^2 A_1 \sin i}{\sin^2 (A_2 - A_1)}$	$D\dfrac{\sin A_2 \sin A_1}{\sin (A_2 - A_1)} \cos i$
w	$D\dfrac{\sin^2 A_2 \cos i}{\sin^2 (A_2 - A_1)}$	$-D\dfrac{\sin^2 A_1 \cos i}{\sin^2 (A_2 - A_1)}$	$-D\dfrac{\sin A_2 \sin A_1}{\sin (A_2 - A_1)} \sin i$

Führt man zur Abkürzung die folgenden Funktionen der Winkel A_1 und A_2 ein:

$$(11) \quad \begin{cases} A = \sin^2 A_1 \cos^2 A_1 + \sin^2 A_2 \cos^2 A_2, \\ B = \sin^4 A_1 + \sin^4 A_2, \\ C = \sin^2 A_1 \sin^2 A_2 \sin^2 (A_2 - A_1) \,/\, (A + B), \end{cases}$$

so können die Quadrate der mittleren Fehler m_u, m_v, m_w der rechtwinkligen Koordinaten in folgender Form geschrieben werden:

$$(12) \quad \begin{cases} m_u^2 = m^2 D^2 . A \operatorname{cosec}^4 (A_2 - A_1), \\ m_v^2 = m^2 D^2 . (B \sin^2 i + C \cos^2 i) \operatorname{cosec}^4 (A_2 - A_1), \\ m_w^2 = m^2 D^2 . (B \cos^2 i + C \sin^2 i) \operatorname{cosec}^4 (A_2 - A_1). \end{cases}$$

In den Fig. 3, 4, 5 sind die Funktionen A, B und C graphisch dargestellt; sie nehmen auf den gezeichneten Kurven die angeschriebenen Werte an.

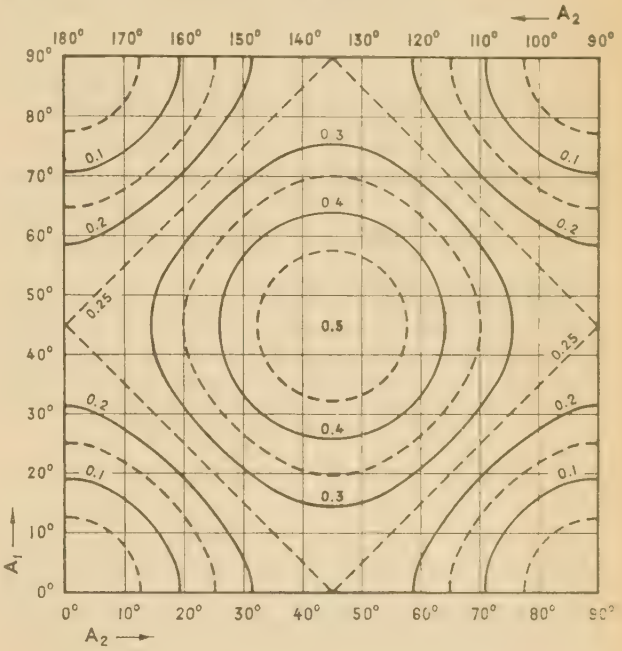

Fig. 3

$A = \sin^2 A_1 \cos^2 A_1 + \sin^2 A_2 \cos^2 A_2$

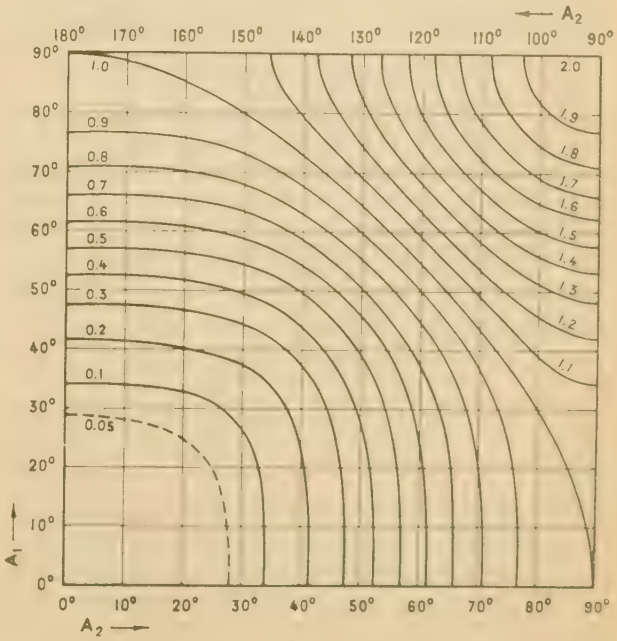

Fig. 4

$B = \sin^4 A_1 + \sin^4 A_2$

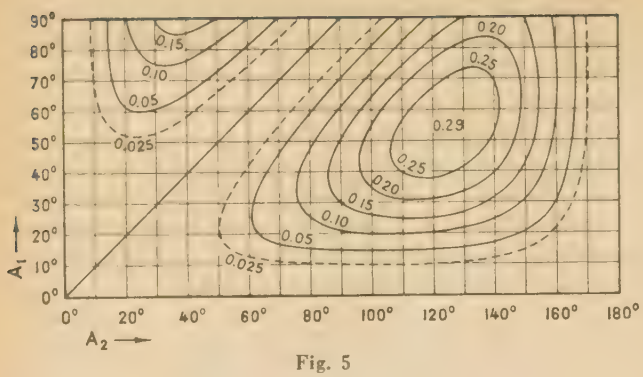

Fig. 5

$$C = \sin^2 A_1 \sin^2 A_2 \sin^2(A_2 - A_1) / (\sin^2 A_1 + \sin^2 A_2)$$

Numerisches Beispiel. Gegeben sei durch Beobachtung

$$z_1 = z_2 = 45^0,\ a_1 = 45^0,\ a_2 = 135^0.$$

Es entsprechen ihnen die Werte

$$A_1 = 60^0,\ A_2 = 120^0;\ \sin^2 i = \tfrac{1}{3}$$

Der graphischen Darstellung entnehmen wir die Werte

$$A = 0{,}26;\ B = 1{,}1;\ C = 0.28.$$

Wir nehmen an, es sei

$$m\ D = \pm\ 1 \text{ Meter};$$

es beträgt dann die Basislänge 3438 Meter, wenn der *m.F.* m zu $\pm$ 1 Bogenminute angenommen wird. Die *m.F.* der rechtwinkligen Koordinaten werden in Metern gleich:

$$m_u = \pm\ 0{,}8;\ m_v = \pm\ 1{,}0;\ m_w = \pm\ 1{,}2.$$

3. Darstellung der Unsicherheit der Punktbestimmung durch Fehlerellipsen.

Ein anschauliches Bild von der Unsicherheit der Lage eines Punktes vermittelt die Fehlerellipse.

Sind die ebenen Koordinaten U, V eines Punktes Funktionen der Ausgleichungsunbekannten x, y, z, so erhält man die Richtungen und die Größen der Halbachsen der Fehlerellipse auf folgendem Weg:*

Es seien F'_1, F'_2, F'_3 und F''_1, F''_2, F''_3 die partiellen Ableitungen der Funktionen

$$U = F'\ (x, y, z)$$

und

$$V = F''\ (x, y, z)$$

nach x, y und z; dann hat man folgende Größen zu bilden:

$$F'_{21} = F'_2 - \alpha'_2 F'_1;\quad F''_{21} = F''_2 - \alpha'_2 F''_1,$$
$$F'_{31} = F'_3 - \alpha'_3 F'_1;\quad F''_{31} = F''_3 - \alpha'_3 F''_1.$$
$$F'_{32} = F'_{31} - \beta''_3 F'_{21};\quad F''_{32} = F''_{31} - \beta''_3 F''_{21};$$

$$Q_{1.1} = \frac{F'^2_1}{(aa)} + \frac{F'^2_{21}}{(bb_1)} + \frac{F'^2_{32}}{(cc_2)},$$

$$Q_{1.2} = \frac{F'_1 F''_1}{(aa)} + \frac{F'_{21} F''_{21}}{(bb_1)} + \frac{F'_{32} F''_{32}}{(cc_2)},$$

$$Q_{2.2} = \frac{F''^2_1}{(aa)} + \frac{F''^2_{21}}{(bb_1)} + \frac{F''^2_{32}}{(cc_2)}.$$

Die Winkel N_1 und $N_2 = 90^0 + N_1$, welche die auf die Achsenrichtungen gefällten Lote mit der U-Achse bilden, sind dann die Wurzeln der folgenden Gleichung

$$\text{(13)} \qquad \cot 2N = \frac{Q_{1.1} - Q_{2.2}}{2\ Q_{1.2}}$$

und die Quadrate der Halbachsen H der «mittleren» Fehlerellipse in den Richtungen $N = N_1$ und $N = N_2$ werden durch den Ausdruck

$$\text{(14)} \qquad H^2 = m^2\ (Q_{2.2} + Q_{1.2} \cot N)$$

gegeben, in welchem m der *m.F.* des Gewichtes 1 ist.

Mit den im vorliegenden Fall einzuführenden Werten erhält man:

$$\text{(15)} \quad \begin{cases} Q_{1.1} = F'^2_1 + F'^2_2 + F'^2_3 : (\sin^2 A_1 + \sin^2 A_2), \\ Q_{1.2} = F'_1 F''_1 + F'_2 F''_2 + F'_3 F''_3 : (\sin^2 A_1 + \sin^2 A_2), \\ Q_{2.2} = F''^2_1 + F''^2_2 + F''^2_3 : (\sin^2 A_1 + \sin^2 A_2), \end{cases}$$

a) Fehlerellipsen in der Ebene P_1PP_2.

Lassen wir die UV-Ebene mit der Ebene zusammenfallen, in der die Winkel A_1 und A_2 liegen, so wird

$$U = \frac{D}{2} \sin\ (A_2 + A_1) \operatorname{cosec}\ (A_2 - A_1),$$
$$V = D \sin A_1 \sin A_2 \operatorname{cosec}\ (A_2 - A_1),$$

Die partiellen Differentialquotienten nehmen folgende Werte aus:

$$F'_1 = +\ D \sin A_2 \cos A_2 \operatorname{cosec}^2(A_2 - A_1),$$
$$F''_1 = +\ D \sin^2 A_2 \operatorname{cosec}^2(A_2 - A_1),$$
$$F'_2 = -\ D \sin A_1 \cos A_1 \operatorname{cosec}^2(A_2 - A_1),$$
$$F''_2 = -\ D \sin^2 A_1 \operatorname{cosec}^2(A_2 - A_1),$$
$$F'_3 = 0; \qquad F''_3 = 0.$$

Es wird

$$Q_{1.1} - Q_{2.2} = \sin^2 A_1 \cos 2A_1 + \sin^2 A_2 \cos 2A_2,$$
$$2\ Q_{1.2} = \sin^2 A_1 \sin 2A_1 + \sin^2 A_2 \sin 2A_2.$$

Mit den schon eingeführten Funktionen A und B erhält man

$$Q_{1.1} - Q_{2.2} = A - B;$$

setzt man ferner zur Abkürzung

$$C_0 = \sin^2 A_1 \sin 2A_1 + \sin^2 A_2 \sin 2A_2,$$

so wird

$$\text{(16)} \qquad \cot 2N = \frac{A - B}{C_0}.$$

In der Fig. 6 ist C_0 in gleicher Weise wie A, B, C als Funktion der Winkel A_1 und A_2 dargestellt.

Der Ausdruck für das Quadrat der Halbachsen läßt sich unter Beachtung der Identität

* Vgl. *F. R. Helmert:* Die Ausgleichungsrechnung nach der Methode der kleinsten Quadrate, 2. Auflage 1907, pg. 293 und 303 ff.

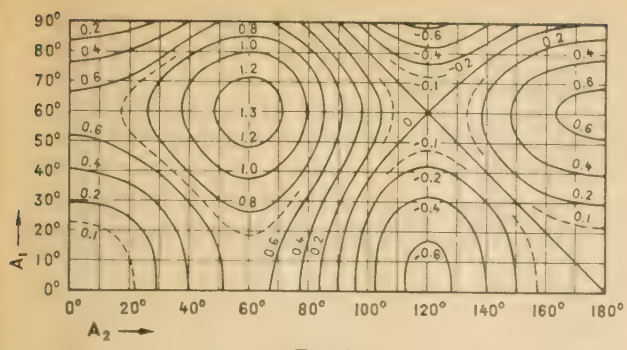

Fig. 6

$$C_0 = \sin^2 A_1 \sin 2A_1 + \sin^2 A_2 \sin 2A_2$$

$$\cot N = \cot 2N\ (1 + \sec 2N),$$

die unter Benützung von (13) zur Gleichung

$$Q_{1.2} \cot N = \frac{Q_{1.1} - Q_{2.2}}{2} (1 + \sec 2N)$$

führt, auf die folgende Form bringen:

$$(17)\quad H^2 = \frac{m^2 D^2}{2} \frac{A + B}{\sin^4 (A_2 - A_1)} \left(1 + \frac{A - B}{A + B} \sec 2N\right).$$

Spezialfälle:

a) Bewegt sich der Punkt in der UV-Ebene auf der Mittelsenkrechten der Basis, so ist

$$A_1 + A_2 = 180^0,$$

und es wird wegen $C_0 = 0$:

$$\cot 2N = \infty,$$

also

$$N_1 = 90^0 \text{ und } N_2 = 180^0.$$

Ist H_V die in die $N_1 = V$-Richtung fallende Halbachse und H_U die in die N_2 U-Richtung fallende, so wird

$$(18)\quad H_V \cos A_1 = H_U \sin A_1 = \frac{m \cdot D}{2\sqrt{2}} \sec A_1.$$

Es ist

$$H_U \lesseqgtr H_V, \text{ je nachdem } A_1 \gtreqless 45^0.$$

Für $A_1 = A_2 - 90^0 = 45^0$ wird $H_U = H_V = \dfrac{m \cdot D}{2}$;

die Ellipse geht in einen Kreis über.

In der Basismitte ($A_1 = 0^0$, $A_2 = 180^0$) wird

$$H_V = \frac{mD}{2\sqrt{2}},\ H_U = \infty.$$

β) Es sei $A_2 - A_1 = 90^0$, d. h. der Punkt bewegt sich auf dem Kreis, der die Basis zum Durchmesser hat. Es wird

$$\cot 2N = \cot 2A_1,$$

also

$$N_1 = A_1 \text{ und } N_2 = A_2.$$

H_1 und H_2 seien die Halbachsen in diesen Richtungen; es ist

$$(19)\quad H_1 \operatorname{cosec} A_1 = H_2 \sec A_1 = m\,D,$$

und $H_1 \gtreqless H_2$, je nachdem $A_1 \gtreqless 45^0$.

γ) In den Basisendpunkten, die sich als *singuläre* Punkte verhalten, hangen die Werte der Halbachsen ab vom Weg, auf welchem der Punkt P in die Basisendpunkte gelangt. Hält man den Winkel A_1 fest und läßt A_2 gegen 180^0 gehen, so wird für $A_2 = 180^0$:

$$A - B = \sin^2 A_1 \cos 2A_1,$$
$$A + B = \sin^2 A_1,$$
$$C_0 = \sin^2 A_1 \sin 2A_1;$$

es wird also $\cot 2N = \cot 2A_1$,

also $N_1 = A_1,\ N_2 = A_1 + 90^0$.

Die Halbachsen nehmen dann folgende Werte an:

in der Richtung $N_1 = A_1$ $\quad H_{A_1} = m\,D \operatorname{cosec} A_1$,
in der Richtung $N_2 = A_1 + 90^0$ $\quad H_{A_1 + 90^0} = 0$,

d. h. die Ellipse wird zur Doppelgeraden in der Richtung A_1.

δ) Bewegt sich der Punkt in der UV-Ebene auf der Geraden U = constans in die U-Achse, so fallen in dieser die Richtungen der Ellipsenachsen in die Richtungen der Koordinatenachsen, d. h. es wird $\sec 2N = +1$ oder $= -1$. Die Werte der Halbachsen werden dann gleich

in der Richtung der U-Achse $\quad H'_U = \infty$,
in der Richtung der V-Achse

$$(20)\quad H'_V = m\,D \left\{ \left(\frac{U}{D} + \frac{1}{2}\right)^4 + \left(\frac{U}{D} - \frac{1}{2}\right)^4 \right\}^{1/2}.$$

b) Fehlerellipsen in einer zur Basisrichtung senkrechten Ebene.

Die Funktionen F' und F'' sind mit den Koordinaten v und w zu identifizieren; die partiellen Ableitungen $F'_1, \ldots F''_1, \ldots$ werden gleich den in der Tabelle, Seite 3 angegebenen Werten von $\frac{\partial v}{\partial x} \ldots$ und $\frac{\partial w}{\partial x} \ldots$ Es wird dann

$$Q_{1.1} = D^2\ (B \sin^2 i + C \cos^2 i) \operatorname{cosec}^2 (A_2 - A_1),$$
$$Q_{1.2} = D^2\ (B \cos^2 i + C \sin^2 i) \operatorname{cosec}^2 (A_2 - A_1),$$
$$Q_{2.2} = D^2\ (B - C) \sin i \cos i \operatorname{cosec}^2 (A_2 - A_1),$$

und $\cot 2N = -\cot 2i$,

also $N_1 = 90^0 - i$ und $N_2 = 180^0 - i$,

d. h. es fallen in den vw-Ebenen die Achsenrichtungen in die Richtung nach der u-Achse und in die dazu senkrechte Richtung.

Für die Halbachsen H' und H'' in den Richtungen N_1 und N_2 erhält man die Beziehung

$$\frac{H'}{\sqrt{B}} = \frac{H''}{\sqrt{C}} = m\,D \operatorname{cosec}^2 (A_2 - A_1).$$

Da $B > C$, ist $H' > H''$.

Läßt man den Punkt in der vw-Ebene in die u-Achse rücken, so nehmen im Punkt $v = w = 0$ die Halbachsen $H' = H'_0$ und $H'' = H''_0$ die folgenden Werte an:

$$H_0'^2 = m^2 D^2 \cdot \left\{ \left(\frac{u}{D} + \frac{1}{2}\right)^4 + \left(\frac{u}{D} - \frac{1}{2}\right)^4 \right\},$$

$$H_0''^2 = m^2 D^2 \left(\frac{u}{D} + \frac{1}{2}\right)^2 \left(\frac{u}{D} - \frac{1}{2}\right)^2 \Big/ \left\{ \left(\frac{u}{D} + \frac{1}{2}\right)^2 + \left(\frac{u}{D} - \frac{1}{2}\right)^2 \right\}.$$

Es ist $H'_0 = H'_V$ (Formel 20).

Geht die *vw*-Ebene durch den Basisendpunkt P_2 (oder P_1), so ist $u = D/2$ (oder $-D/2$); es wird dann

$$H'_0 = m\,D \text{ und } H''_0 = 0;$$

diese Werte sind identisch mit dem Wert von H_1 und H_2 für $A_1 = 90^0$ (Formel 19).

In der Basismitte wird

$$H'_0 = H''_0 = \frac{m\,D}{2\sqrt{2}};$$

diese Werte sind identisch mit dem Wert von H_V für $A_1 = 0$ (Formel 18).

Numnerisches Beispiel:

Es sei $A_1 = 30^0$, $A_2 = 60^0$, $A_2 - A_1 = 30^0$.

Die Tafeln geben

A 0.37, C 0.04,
B 0.62, C_0 0.87

Es wird dann mit

$m\,D = \pm 1$ Meter, sec $(A_2 - A_1) = 2$, $A + B = 1$

in der *UV-Ebene:*

$$\cot 2N = \frac{0{,}375 - 0{,}625}{0{,}87} = -0{,}29;\ N_1 = 53^0,\ N_2 = 143^0$$

$\sec 2N_1 = -\sec 2N_2 = -3{,}6$;

in der

N_1-Richtung: $H = 4\sqrt{\tfrac{1}{2}(1 + 0{,}25 \cdot 3{,}6)} = \pm 3.9$ Meter.

N_2-Richtung: $H = 4\sqrt{\tfrac{1}{2}(1 - 0{,}25 \cdot 3{,}6)} = \pm 0.9$ Meter;

in der *vw-Ebene:*

$$H' = 4\sqrt{0{,}625} = \pm 3.1 \text{ Meter.}$$

$$H'' = 4\sqrt{0{,}045} = \pm 0.8 \text{ Meter.}$$

Juli 1944. *Astronomisch-meteorologische Anstalt der Universität Basel.*

Abri météorologique

Nouvelle contribution

par P. Berger

Introduction.

A la fin de l'année dernière,[1] j'étais arrivé à la conclusion que les résultats obtenus pouvaient encore être améliorés si la forme du toit était quelque peu modifiée. Afin de vérifier si cette hypothèse était justifiée ou non, le toit noirci d'un des abris fut transformé. Actuellement il a la forme représentée par la *fig. 1.*

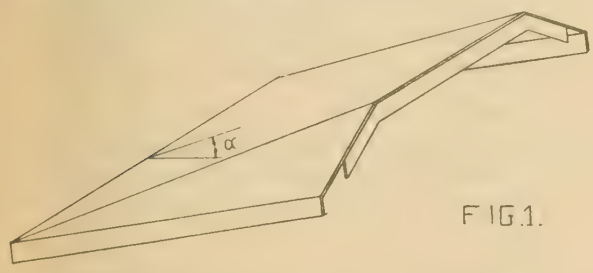

α représente l'angle de plus grande pente du toit, incliné du N vers le S. α = ∾ 19°.

Afin d'obtenir des renseignements aussi comparables que possible, nos deux abris et leurs supports — de construction identique à part la forme du toit et sa couleur — furent repeints en blanc le même jour avec le même vernis. Les réservoirs des thermomètres (de l'abri «blanc»[2], de l'abri «noir», de l'Assmann) furent nettoyés au début de la saison avec du H_2SO_4 dilué.

Le thermomètre ventilé (thermomètre sec de notre psychomètre Assmann, que nous désignerons à l'avenir simplement par Assmann) fut vérifié au laboratoire dans des bains liquides de diverses températures et en plein air. Les résultats de ces contrôles sont présentés plus loin.

Les variations étranges des écarts thermiques entre l'abri et l'Assmann lorsque la nébulosité varie de 4 à 10/10, furent l'objet de nouvelles recherches qui durent être interrompues à cause de la situation météorologique défavorable.

Dispositif de mesure.

Les mesures thermiques furent effectuées de la même manière qu'en 1943. En outre elles furent complétées par des déterminations exactes de la vitesse moyenne et de la direction du vent. L'anémomètre et la girouette employés à cet effet furent placés à la hauteur de l'Assmann et exposés latéralement — par rapport à la direction du vent — à environ 2 m de l'abri.

Vérification de l'Assmann.

Même si les vérifications en laboratoire dans des bains liquides de différentes températures donnent des résultats très satisfaisants, il n'est pas certain qu'il en sera de même dans l'atmosphère si la température ambiante varie (inertie des thermomètres, radiations, etc.). Pour cette raison l'Assmann fut placé dans l'abri «noir». Après la durée normale de fonctionnement, il indiqua soit exactement la même température que le thermomètre de station, soit un écart de ± 0,1° C., erreur correspondant à la précision de lecture. Ces résultats furent obtenus par des vents dont l'intensité varia de 0 à 6 m/sec; ils sont indépendants de la direction du courant.

Si l'Assmann est placé non remonté dans l'abri «noir», dans environ 40% des cas seulement la précision est la même que celle citée plus haut; dans les autres cas, les écarts atteignent quelques dixièmes de degré; ces écarts diminuent et leur fréquence décroît lorsque la force du vent augmente.

Assmann avec et sans écran supplémentaire.

En 1943 et 1944, nous avons trouvé que l'Assmann donnait en général des températures qui sont un peu plus élevées que celles des abris. Ce résultat paraît paradoxal, d'autant plus que dans l'abri «noir» le thermomètre de la Station et l'Assmann «remonté» donnent pratiquement la même température. On peut supposer que les radiations de l'abri (l'Assmann est suspendu à 11 cm de sa paroi) ou du sol altèrent quelque peu les mesures. Pour élucider cette hypothèse, en septembre, de nombreuses mesures furent effectuées avec différents écrans supplémentaires. Un écran cylindrique de 58 cm de long, de 17 cm de diamètre fut confectionné, en papier noirci intérieurement et verni à l'extérieur avec une couleur aluminium. Au cours de différentes séries de mesures effectuées de 5 en 5 minutes l'Assmann fut alternativement enrobé par cet écran ou à «nu». L'écran était toujours entièrement à l'ombre. Par ciel serein, d'après nos mesures, la présence de cet écran jouerait un rôle minime; entre 0800 et 2200 HEC, l'Assmann protégé par ce cylindre indiquerait une température de $^1/_{20}$ à $^1/_{10}$° plus élevée. On peut aussi penser que cet effet n'est pas exclusivement le résultat d'une meilleure isolation de l'Assmann par rapport à l'abri, mais qu'il serait dû à la suppression de la ventilation supplémentaire due au vent; une série de mesures paraît confirmer cette hypothèse.

[1] Annales de la Station Centrale Suisse de Météorologie, 1942. P. Berger: Abri météorologique. Amélioration du type anglais. Annales de la Station Centrale Suisse de Météorologie, 1943. P. Berger: Abri météorologique, nouvelle amélioration.

[2] Pour alléger le texte, l'abri à toit noir est désigné par abri «noir» et l'abri à toit blanc par abri «blanc».

Cet écran, ouvert aux deux bouts, ne protège pas le réservoir du thermomètre du rayonnement terrestre. Pour cette raison il fut complété par un plateau horizontal rectangulaire de 38 × 35 cm, suspendu 15 cm plus bas, en 2 points par 4 ficelles. Ce plateau fut construit en carton mince, argenté sur ses deux faces. Pendant les mesures, le tout était à l'ombre. Les mesures furent effectuées de 5 en 5 minutes de la manière suivante: première mesure: Assmann «nu»; seconde mesure: Assmann enrobé dans le cylindre; troisième mesure: Assmann protégé par l'écran complet; puis Assmann «nu», etc. La présence de ce plateau modifie nos résultats. A 0800 h. l'abri «noir» paraît être encore $^{2}/_{10}$° plus froid que l'Assmann; au cours de la matinée, l'écart thermique diminue peu à peu, puis change de signe et augmente progressivement. A 1400—1500 h. l'abri «noir» est quelques dixièmes de degré plus chaud; pendant le reste de l'après-midi, l'écart thermique diminue de plus en plus.

Par ciel serein et vent inférieur à 1,5 m/sec, l'influence moyenne journalière des écrans sur l'Assmann est:

écran simple: élévation de température de 0,1°,
écran complet: abaissement de température de 0,15° environ.

En d'autres termes, ce plateau paraît jouer un rôle protecteur, isolant l'Assmann du sol froid le matin ou du sol chaud au début de l'après-midi.

On peut aussi supposer que cet effet est — du moins partiellement — provoqué par l'abaissement de la ventilation supplémentaire de l'Assmann par le vent.

Ces résultats sont fondés sur 80 mesures seulement; le mauvais temps empêcha de les poursuivre. Par la suite, jusqu'à plus ample documentation, les températures de l'Assmann seront considérées comme exactes.

L'écran à plateau est si léger, qu'il ne put être employé que lorsque le vent était très faible. Dès qu'il atteignait 2 m/sec l'emploi de l'écran était impossible car le cylindre s'inclinait trop. D'après nos mesures, il n'est pas possible de prétendre que l'effet de l'écran fut plus prononcé pour les vents inférieurs à 1 m/sec que pour ceux de 1 à 2 m/sec.

Résultats généraux obtenus en 1944.

A) Qualitativement ils confirment ceux obtenus en 1943. Les températures mesurées dans l'abri «noir» sont toujours plus proches de celles de l'Assmann que celles constatées dans l'abri «blanc». On peut affirmer que l'abri «noir» possède une inertie plus faible que l'abri «blanc». En outre, le toit noir actuel (grâce à sa forme) est plus résistant aux intempéries que celui de l'an dernier.

B) Ciel serein, vent inférieur à 1,5 m/sec.

a) Grâce aux bords rabattus du toit noir, il fut possible d'accélérer la ventilation dans l'abri plus tôt le matin et plus tard le soir. Ainsi les températures de l'Assmann et de l'abri sont pratiquement identiques pendant un plus grand laps de temps; par exemple en septembre, de 0900 à 1800 h.

b) L'abri «noir» est $^{1}/_{20}$° plus froid que l'Assmann. L'abri «blanc» a donné des résultats similaires à ceux de 1943.

c) Entre + 10 et + 35°, l'écart thermique entre l'abri «noir» et l'Assmann est constant; il est de 0,1° si la température est en hausse (abri plus frais) et nul si la température est en baisse.

d) Dans les mêmes conditions, l'écart thermique entre l'abri «blanc» et l'Assmann est constant si la température est en baisse (abri plus froid de 0,1°), tandis que si la température est en hausse il diminue de 1,0° (à +10°) à 0,4° (à +30°).

e) En général, les écarts individuels entre les abris et l'Assmann sont petits; il arrive cependant qu'ils atteignent 0,5, voire 1,0° C. quoique les abris soient secs. Dans ces cas, les écarts paraissent dus à de très grosses bulles d'air qui agissent rapidement sur l'Assmann et qui ne pénètrent que lentement — ou imparfaitement — dans l'abri. Une analyse de ces écarts paraîtra ultérieurement.

C) Ciel voilé par 2 à 10/10 de Cirrus.

a) L'abri «blanc» a donné des résultats similaires à ceux de 1943. Lorsque la température est en baisse, les écarts sont bien plus faibles que si elle est en hausse.

b) De 0800 à 1600 h., lorsque la température est en hausse, celle de l'abri «noir» est de 0,2° env. plus basse que celle de l'Assmann; si la température est en baisse, les écarts thermiques entre l'abri «noir» et l'Assmann sont pratiquement nuls. Ce résultat ne correspond pas à celui obtenu en 1943; cette divergence est-elle due aux effets de l'insolation solaire intermittente?

c) Tant pour un abri que pour l'autre, les écarts thermiques sont pratiquement indépendants de la température absolue de l'air, pour autant que celle ci est comprise entre +10 et +35° C.

D) Influence du vent.

a) Par ciel serein, la bise prédomine à Payerne; aussi longtemps qu'elle est inférieure à 3,5 m/sec, les écarts thermiques paraissent indépendants de son intensité. Si la nébulosité ciriforme est supérieure à $^{2}/_{10}$, les écarts thermiques ont tendance à légèrement augmenter si l'intensité du vent croît.

b) Si le ciel est chargé de différentes couches nuageuses dont la quantité dépasse $^{8}/_{10}$, le vent au sol souffle presque exclusivement du SW. Dans ces situations, l'abri est en moyenne 0,4° plus froid que l'Assmann lorsque l'intensité du vent oscille entre 1 et 6 m/sec. L'écart moyen paraît d'autant plus grand que le vent est fort. Ce dernier résultat est étrange; on s'attendrait plutôt à ce que les écarts diminuent si la force du vent croît.

E) Nébulosités diverses, supérieures à $^{8}/_{10}$; vent supérieur à 1,5 m/sec.

a) Nous retrouvons exactement les mêmes variations de l'écart thermique en fonction des heures de la journée que l'an dernier. Les écarts sont du même ordre de grandeur pour les 2 abris, ce qui prouve que la couleur du toit ne joue plus aucun rôle lorsque le ciel est très chargé.

b) Pour ces fortes nébulosités, si nous dessinons la courbe représentant la force du vent en fonction des heures de la journée, nous constatons qu'elle a la même forme que celle de la nébulosité; cependant sa concavité est dirigée en sens inverse. Cette courbe est plus arquée par la bise que pour les vents du secteur S à SW. Ceci confirme ce que nous avons constaté précédemment.

c) Entre +10 et +35° C., quelle que soit la température de l'air, lorsqu'elle est en baisse, il n'y a aucun écart thermique entre abris et Assmann; si elle est en hausse, les abris sont env. 0,4° plus froids.

Conclusions provisoires.

A) L'abri anglais modifié présente de nombreux avantages thermiques sur le type classique.

B) Puisque les abris sont en général plus froids que l'Assmann, il faut en tirer la conclusion que le rideau d'air échauffé qui circule entre les jalousies sépare thermiquement l'intérieur de l'abri du milieu ambiant.

C) L'abri «noir» est moins inerte que l'abri «blanc».

D) La nouvelle forme du toit a effectivement permis de diminuer plus tôt le matin et plus tard le soir l'amplitude des écarts thermiques.

E) Une explication satisfaisante n'est pas encore trouvée concernant l'influence de l'écran horizontal additif.

F) Une explication satisfaisante de l'augmentation fréquente des écarts thermiques lorsque la force du vent croît fait également défaut.

Die magnetische Anomalie im Jorat, Kanton Waadt

von P. L. Mercanton und E. Wanner

Einleitung.

Der Ausgangspunkt für die vorliegende Arbeit ist eigentlich schon das Jahr 1894. Der ältere der beiden Verfasser war damals noch Student an der Universität Lausanne. Sein Lehrer Henri Dufour, Professor der Physik an der Universität Lausanne und Mitglied der Schweizerischen Meteorologischen Kommission, ließ gelegentlich eines Gesprächs die Bemerkung fallen, daß das magnetische Erdfeld im Gebiet von Lausanne nicht normal sei. Es ist uns heute nicht mehr möglich, festzustellen, auf was für Beobachtungsdaten Dufour die Annahme stützte, aber auf alle Fälle fielen seine Bemerkungen beim jungen Studenten auf fruchtbaren Boden. Er faßte schon damals den Plan, die Aussagen Dufours sobald als möglich zu prüfen. Bis zur Realisierung des Planes verfloß allerdings ein halbes Jahrhundert, obschon in der Zwischenzeit durch andere geophysikalische Untersuchungen, wie z. B. die Schweremessungen von Th. Niethammer [1], weitere Indizien für die Richtigkeit der Dufourschen Aussagen bekanntgeworden sind. Die magnetische Landesvermessung von Dr. W. Brückmann in den Jahren 1927 bis 1931 hat dann volle Klarheit gebracht und die Aussagen Dufours bestätigt. Allerdings war es infolge der Weitmaschigkeit des Beobachtungsnetzes Herrn Brückmann nicht möglich, Umfang und Größe der Anomalien näher zu fixieren. In der Einleitung zu seiner Arbeit [2] erwähnt Herr Brückmann auch die Gründe, warum die magnetischen Arbeiten in der Schweiz solange im Rückstand geblieben sind. Durch die rasche Entwicklung der elektrischen Energieübertragung in unserem Lande wurde die Verwirklichung des alten Postulates zur Erstellung einer beständigen erdmagnetischen Warte immer wieder verzögert. Ohne eine solche gut ausgerüstete Station blieben die Aussichten für eine befriedigende Detailvermessung sehr gering. Da außerdem keine unmittelbar praktisch verwertbaren Resultate in Aussicht standen, konnte eine solches Unternehmen nur auf relativ bescheidene Mittel zählen.

Die Lage änderte sich erst gegen Ende der Zwanzigerjahre dieses Jahrhunderts. Am magnetischen Observatorium in Kopenhagen wurden unter Leitung des verstorbenen Dr. La Cour für das Polarjahr 1932/33 sehr leistungsfähige Variometertypen entwickelt. Außerdem wurde durch die am selben Institut gebauten Quarz-Horizontal-Magnetometer (QHM.) und der Balance magnétique Z (BMZ.) die magnetische Meßtechnik ganz wesentlich vereinfacht. (Eine nähere Beschreibung der BMZ. folgt in den nachstehenden Abschnitten.) Dank dem Entgegenkommen der Schweizerischen Geodätischen Kommission, die ihren magnetischen Fonds der Zentralanstalt zur Verfügung stellte, konnte Herr Prof. Mercanton, der damalige Leiter der Meteorologischen Zentralanstalt, einen vollständigen Variometersatz erwerben. Die Instrumente wurden im Pavillon Regensberg, die seinerzeit schon von Herrn Dr. Brückmann bei der Landesvermessung Verwendung gefunden hatten, aufgestellt. Zur Kontrolle der Variometer wurden außerdem drei Quarz-Horizontal-Magnetometer und eine BMZ. des Kopenhagener Instituts erworben, so daß heute der alte Wunsch nach einer schweizerischen erdmagnetischen Warte in bescheidenem Rahmen als verwirklicht gelten kann.

Im Jahre 1941 ist dann Herr Mercanton durch Erreichung der Altersgrenze zurückgetreten. Sein Nachfolger, Herr Dr. Billwiller, sowie die Schweiz. Meteorologische Kommission haben unsern weiteren Plänen immer volles Verständnis entgegengebracht und so die Durchführung der Detailvermessung im Gebiet nördlich des Genfersees ermöglicht. Die durch die Zeitumstände bedingte Mangelwirtschaft hat aber auch die Durchführung des Vermessungsprogrammes in jeder Beziehung erschwert und verzögert. Wir möchten darum nicht versäumen, an dieser Stelle Herrn Dir. Billwiller für seine tatkräftige Unterstützung zu danken, denn es war unter anderem für ihn als Direktor nicht immer leicht, während den für die Vermessung notwendigen Urlauben Ersatzleute für die Zentralanstalt zu finden. Der Schweiz. Meteorologischen Kommission sind wir vor allem für die Bewilligung der notwendigen Kredite zu Dank verpflichtet. Ferner möchten wir den Herren Geologen Dr. Willi Custer in Zürich und Dr. Arnold Bersier in Lausanne für ihre Auskünfte über die Siderolithvorkommen in der westschweizerischen Molasse herzlich danken. Außerdem möchten wir hier auch noch die Zusammenarbeit mit Herrn Dr. Poldini, Professor der Geophysik an der Universität Genf, erwähnen. Herr Poldini, ein ehemaliger Schüler von Herrn Prof. Mercanton, hatte ohne unser Wissen schon vor uns mit seinen Schülern im Gebiet der Tour de Gourze mit Hilfe einer Askania-Waage eine Reihe von Messungen ausgeführt und in liebenswürdiger Weise uns seine Resultate mitgeteilt. Leider war es ihm infolge eines Unfalls und aus anderen Gründen nicht mehr möglich die geplante Zusammenarbeit fortzusetzen.

[1] Veröffentlichung der Schweizerischen Geodätischen Kommission, Band 16.

[2] Dr. W. Brückmann: Erdmagnetische Vermessung der Schweiz, Allg. Deklination. — Erdmagnetische Vermessung der Schweiz, Horizontalintensität-Inklination, Annalen der MZA. 1930 u. 1931.

I. Teil.

Die Verteilung der Vertikalintensität.

1. Instrumente.

a) Feldinstrument.

Als Feldinstrument stand die BMZ_{23} (Balance Magnétique pour Z N° 23) zur Verfügung. Dieses ausgezeichnete Instrument gestattet, vermittelst einer Null-Methode das Vertikalfeld Z mit großer Präzision zu messen. Wie Versuche mit mehrmaligem Auf- und Abmontieren des Instrumentes an der gleichen Stelle gezeigt haben, kann der mittlere Fehler einer Meßserie auf $\pm 1\,\gamma$ angesetzt werden. Das Instrument wurde in den letzten Jahren von Dr. LaCour und seinen Mitarbeitern Lauersen, Olsen und Grootansen am Magnetischen Observatorium in Kopenhagen entwickelt. Eine ausführliche Theorie und Beschreibung, verfaßt von Dr. LaCour selbst, findet sich in den «Communications magnétiques, N° 19, Kopenhagen 1942. Hier seien deshalb nur die Prinzipien, nach denen dieses neuartige Instrument gebaut worden ist, kurz erörtert (vgl. nebenstehende Figur).

Der mechanisch wichtigste Teil ist der Waagemagnet. Es ist ein sogenannter Monademagnet, im folgenden kurz «Monade» genannt. Waagebalken, Spiegel und Schneiden sind mit großer Präzision aus einem einzigen Örstitstück herausmodelliert, so daß eine gegenseitige Verschiebung dieser Teile ausgeschlossen ist. Das Gewicht der Monade beträgt etwa 2,50 g. Die Monade M sowie die Achatlager A sind durch das gut abdichtende Gehäuse G vor äußern Einflüssen geschützt. Die Arretiervorrichtung für die Monade wird von außen betätigt. Durch ein Fernrohr, versehen mit geeigneter Optik, wird die Stellung der Monade relativ zur Fernrohrskala beobachtet. Eine weitere, sehr wichtige Eigenschaft der Monade besteht darin, daß bei horizontaler magnetischer Achse der Schwerpunkt genau unter die Drehachse zu liegen kommt. *Diese Stellung ist die Neutralstellung oder Nullstellung, bei der immer abgelesen wird.* Unter dem Einfluß des Z-Feldes nimmt die Monade eine geneigte Stellung ein. Das Prinzip der Messung besteht nun darin, daß durch die Zusatzmagnete H_0 und D das Z-Feld im Bereiche der Monade ganz kompensiert wird, bis die Monade die Nullstellung einnimmt. Die Lage der Zusatzmagnete gibt dann das Maß für das Z-Feld, bezogen auf die Absolutmessungen am Observatorium Kopenhagen. Infolge der eben erwähnten Eigenschaften der Monade werden alle Messungen von der Größe der Schwerkraft unabhängig. Die Nullage kann auf der Fernrohrskala jederzeit leicht bestimmt oder nachkontrolliert werden, denn das Instrument ist um seine Vertikalachse drehbar. Falls die Monade die Nullstellung einnimmt, so bleibt sie in allen Azimuten in dieser Stellung, andernfalls ändert die magnetische Achse unter dem Einfluß der Horizontalintensität mit dem Azimut ihre Neigung. Sehr wichtig ist deshalb ein sorgfältiges Nivellieren des Instrumentes.

Wie aus der Figur ersichtlich ist, werden zur Kompensation des Erdfeldes gewöhnlich zwei Örstit-Magnete H_0 und D verwendet. In diesem Fall ist der Meßbereich etwa 2000 γ. Er kann aber durch weitere Zusatzmagnete immer bis auf 8000 γ erweitert werden. Der Magnet H_0 ist der Hauptmagnet. Er kompensiert das Erdfeld bis auf wenige Prozente. Er hat die Form eines Hohlzylinders und ist in einen Kupferzylinder gefaßt, der zur Messung jeweils auf das Gehäuse G aufgeschraubt wird. Die Fassung ist selbst wieder durch eine mit Sammet gefütterte Hülse gegen rasche Temperaturschwankungen geschützt (in der Figur weißes, senkrechtes Rohr über dem Gehäuse G). H_0 liegt vertikal über der Drehachse der Monade, und sein Abstand von dieser ist, abgesehen schwankungen, konstant. Die Wirkung dieses Magnetes geht also mit Ausnahme der Temperaturkorrektionen als von kleinen Veränderungen infolge von Temperatur-Konstante in die Schlußformel ein.

Der Rest des Feldes wird durch den untern, drehbaren Magneten D kompensiert. Die Drehachse dieses Magneten ist parallel der Drehachse der Monade. Der Abstand der beiden Drehachsen ist wiederum bis auf die Temperatureinflüsse konstant und falls D und die Monade in der gleichen Vertikalebene liegen, so wirkt D auf die Monade in Nullstellung wie ein Vertikalfeld. Die Stellung von D wird an der Scheibe S abgelesen und sein Einfluß auf die Monade einer Tabelle entnommen. Die induktiven Wirkungen der übrigen Zusatzmagnete sowie des Erdfeldes auf dem Drehmagneten D können vernachlässigt werden. Dieser Drehmagnet findet ferner Verwendung zum Dämpfen der Monadenschwingungen nach Lösen der Arretierung und ermöglicht so ein rasches Messen.

Ein weiterer großer Vorteil des Instrumentes besteht darin, daß die Messungen vom Moment der Monade, also auch von der Temperatur unabhängig sind. Dagegen muß die Temperatur der Zusatzmagnete, vor allem diejenige des Hauptmagnetes, genau bekannt sein. Die Temperatur wird durch ein in den Hohlzylinder eingeführtes, gut anliegendes Thermometer T gemessen. Da der Drehmagnet nur wenige Prozente des Erdfeldes kompensiert, ist sein *Temperatureffekt* klein und unter normalen Arbeitsbedingungen genügt deshalb zur Reduktion die Temperatur des Hauptmagnetes. Es läßt sich überhaupt zeigen, daß alle Temperatureinflüsse auf das Instrument in einer einzigen Konstante zusammengefaßt werden können. Diese Konstante ist der Temperaturkoeffizient des Instrumentes. Er wird ein für allemal im Laboratorium bestimmt.

Wichtig ist natürlich auch das zeitliche Verhalten, besonders des Momentes des Hauptmagnetes H_0. Es sind deshalb jedem Instrument weitere Hauptmagnete mitgegeben, so daß H_0 durch Vergleichsmessungen jederzeit kontrolliert werden kann. Solche Vergleichsmessungen haben wir vor und nach jeder Kampagne immer mit einem Reservemagneten H_1 in Regensberg ausgeführt. Die Vergleichsmessung ergab, auf den gleichen Variometerstand reduziert Tabelle I.

Tabelle I.

23. April	1943	$H - H_0 = 3\,\gamma$	11. Mai	1944	$H - H_0 = 6\,\gamma$
26. Mai	1943	$H - H_0 = 6\,\gamma$	17. Mai	1944	$H - H_0 = 6\,\gamma$
3. Sept.	1943	$H - H_0 = 3\,\gamma$	3. Okt.	1944	$H - H_0 = 7\,\gamma$
11. Sept.	1943	$H - H_0 = 7\,\gamma$	4. Okt.	1944	$H - H_0 = 6\,\gamma$
24. Okt.	1943	$H - H_0 = 3\,\gamma$	31. Okt.	1944	$H - H_0 = 8\,\gamma$
4. Nov.	1943	$H - H_0 = 4\,\gamma$	21. Nov.	1944	$H - H_0 = 6\,\gamma$

T
Ho
G
S
D

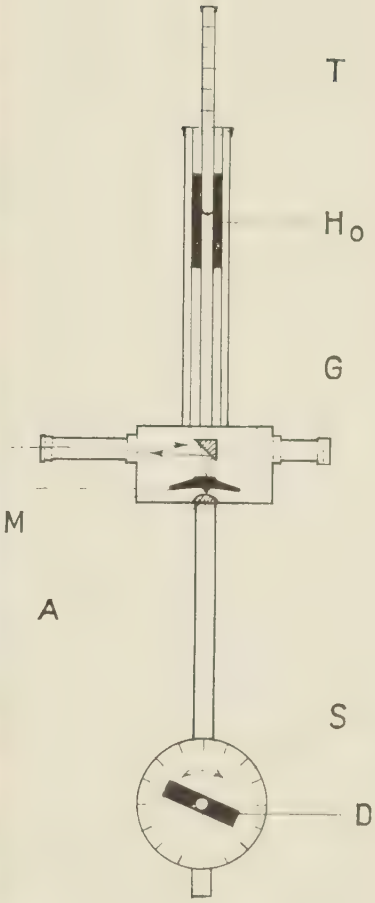
T
Ho
G
M
A
S
D

Die beiden Magnete verhielten sich also ganz gleichartig, obschon H_0 jeweils sehr viele Transporte auf elektrischen Bahnen mitgemacht hat, während H_1 gut aufbewahrt in Regensberg zurückgeblieben ist. Die folgenden Messungen beziehen sich alle auf H_0.

b) Variometerstation.[3]

Zur Reduktion der Messungen wurden die Variometerregistrierungen von Regensberg verwendet. Die Basiswerte wurden regelmäßig bestimmt, und zwar für D- und H-Variometer mit den Quarz-Horizontal-Magnetometern Nr. 8, Nr. 55 und Nr. 77. Zur Kontrolle des Z-Variometers wurde BMZ_{23} verwendet. Der Skalenwert des H-Variometers erwies sich in den zwei Jahren als konstant zu 3,70 γ pro mm, während derjenige des Z-Variometers im Laufe der zwei Jahre von 3,10 γ auf 3,28 γ zugenommen hat. Die Instrumente sind nur teilweise gegen die Temperatur kompensiert. Die restlichen Temperaturkoeffizienten wurden mehrmals bestimmt. Für das H-Variometer ergab sich im Mittel $\alpha = 2{,}3\ \gamma$ pro Grad und für das Z-Variometer von 8,80 γ pro Grad.

2. Verlauf und Reduktion der Feldmessungen.

Das Untersuchungsgebiet ist stellenweise sehr dicht besiedelt, so daß zum vorneherein mit bedeutenden Platzinhomogenitäten, verursacht durch Wasser- und Kabelleitungen usw., zu rechnen war. Darum wurde auf jeder Station das Feld in mindestens zwei, 15 bis 40 m voneinander entfernten Meßpunkten bestimmt und dann die Resultate gemittelt. Ferner durchziehen neben den mit Wechselstrom betriebenen Bundesbahnen mehrere Gleichstrom-Überlandbahnen die Gegend. Dazu kommen die Tramlinien im Gebiet zwischen Lausanne und Montreux. Im engern Gebiet der Stadt Lausanne wurden Messungen unterlassen, weil selbst, wie Versuche zeigten, bei abgestelltem Trambetrieb die Ortsinhomogenität viel zu groß wurde. Auf einzelnen Stationen an der Peripherie konnte nach Mitternacht gemessen werden. Es zeigte sich im Verlauf der Arbeit, daß an vielen Stationen die Monade nie ganz zur Ruhe gebracht werden konnte. Die Nullstellung wurde darum auf jedem Meßpunkt mehrmals, mindestens fünfmal beobachtet. In Zeiten mit dichtem Verkehr mußten vorsichtshalber oft etwas ruhigere Pausen abgewartet werden. Dazu kommt natürlich noch die Platzinhomogenität, verursacht durch den natürlichen Untergrund. Weitaus die größte Anzahl der Stationen liegt im Molasseland zwischen Neuenburger- und Genfersee. Der Untergrund besteht also aus mächtigen Sandstein- und Mergelbänken, die jedoch an vielen Stellen mit Moräne bedeckt sind. Mangels genügender Aufschlüsse war es nur an wenigen Stellen möglich, die Art des Untergrundes festzustellen. Die folgende Tabelle gibt die Frequenzen der Unterschiede zwischen den benachbarten Meßpunkten der verschiedenen Stationen. Dabei wurden nur Stationen gewählt, wo das Feld ziemlich ruhig war (Schwankungen kleiner als 0,3 Skalenteile).

[3] Annalen 1939 der Meteorologischen Zentralanstalt.

Tabelle II.

Größe der Differenz	0γ	1γ	2γ	3γ	4γ	5γ	6γ	7γ	8γ	9γ	10γ
Häufigkeit	42	59	40	29	18	5	2	4	2	1	2

Dazu kommen noch eine Reihe Stationen, wo benachbarte Meßpunkte Differenzen von 20 bis einige 100 γ lieferten. In 80% aller Fälle war die Differenz zwischen benachbarten Meßpunkten $< 4\ \gamma$.

Für größere Differenzen werden die Wahrscheinlichkeiten sehr klein, so daß man $\pm 4\ \gamma$ als Platzinhomogenität in der Molasse ansehen kann. Der Wert ist vielleicht eher etwas zu groß, weil ja an vielen Stationen das Feld nicht ganz ruhig war. Sobald aber zwei benachbarte Messungen auf einer Station größere Unterschiede ergeben, so sollten die Meßpunkte vermehrt werden, bevor die Station als repräsentativ für den Ort betrachtet werden kann. Nach diesem Prinzip wurden alle Messungen ausgeführt, obschon natürlich am Anfang über die Größe der Platzinhomogenität nichts bekannt war. Es konnten so mehrere Punkte als zweifelhaft ausgeschaltet werden. Interessant sind in diesem Zusammenhange die Resultate von Königsberger[4], der auf Gneis und Alluvium auch eine Platzinhomogenität von $\pm 4\ \gamma$ bestimmt hat.

Die Ausdehnung der gestörten Zone war anfänglich ganz unbekannt, und da die Brückmannsche Karte das Maximum der Z-Störung im Gebiet von Morges angibt, wurde in den ersten Tagen ein sehr enges Profil westlich von Lausanne vermessen. Die Störung erwies sich aber bald als ziemlich ausgedehnt. Zum Besuch der verschiedenen Stationen mußten die vorhandenen Bahn- und Postkurse benutzt werden. Die weitaus größte Anzahl der Stationen wurde aber zu Fuß, in einzelnen Fällen mit dem Velo erledigt. Infolge der großen Ausdehnung der Störung war es unter den heutigen Verhältnissen nicht möglich, die ganze Vermessung in einem Zuge durchzuführen. Die Arbeiten verteilen sich im wesentlichen auf die vier Zeiträume 1.—16. Mai 1943, 24. Oktober bis 14. November 1943, 6.—16. Mai 1944 und 6.—30. Oktober 1944. Die verschiedenen Meßserien liegen also zeitlich ziemlich weit auseinander. Jede dieser Serien wurde zunächst auf den mittleren Variometerstand der betreffenden Zeitspanne reduziert. Die Reduktionen blieben so im allgemeinen klein. Um die verschiedenen Serien möglichst gut aufeinander reduzieren zu können, wurde, außer der etwas abseits gelegenen Basisstation Regensberg, bei jeder folgenden Kampagne eine Reihe alter Stationen neu vermessen. Die neuen Stationen wurden dann unmittelbar angeschlossen. Auf diese Art ergaben sich immer mehrere Kontrollen. So fand man z. B. für die reduzierten Werte der ersten und letzten Kampagne auf den Stationen:

Tabelle III.

1943,5	Regensberg	Moudon	Thierrens	Sugnens	Vuarrens I	Châtillens	Billens	Granges-Neuve	Morges
V. 43	41047	40480	40511	40472	40496	40656	40554	40500	40561
X. 44	41103	40530	40566	40525	40550	40706	40610	40550	40613
Diff.	56γ	50γ	55γ	53γ	54γ	50γ	56γ	50γ	52γ

[4] Zeitschrift für Geophysik, Bd. IV, S. 236, 1928.

d. h. von den reduzierten Messungen im Oktober 1944 mußte noch im Mittel 53 γ abgezogen werden, um auf das der Vermessung zugrunde gelegte Niveau vom Mai und Juni 1943 zu gelangen. Die Station Morges diente als Hilfsbasisstation. Sie wurde während jeder Kampagne ein oder mehrere Mal besucht, weil sie relativ leicht zugänglich ist. Das Feld in Morges ist aber nicht ganz ruhig. Die endgültig reduzierten Werte ergaben:

V. 43	Regensberg	41047γ	Morges	40561γ	Diff. 486
X. 43	„	41045γ	„	40563γ	„ 482
V. 44	„	41046γ	„	40561γ	„ 485
X. 44	„	41050γ	„	40560γ	„ 490

3. Das Normalfeld.

Aus den Beobachtungsdaten der magnetischen Observatorien Niemegk, San Fernando, Eskdalemuir, Lovö, Kasan, Helwan hat M. Rössiger[5] den normalen Verlauf der Z-Komponente des Erdfeldes über Mitteleuropa neu berechnet. Er gibt für die Epochen 1936,5 bzw. 1941,5 die Interpolationsformeln

(1)

$$\Delta Z_{1936,5} = 502{,}9\,\Delta\varphi + 11{,}23\,\Delta\lambda + 1{,}24\,\int\varphi\,\Delta\lambda - 10{,}73\,(\Delta\varphi)^2 + 2{,}34\,(\Delta\lambda)^2$$

$$\Delta Z_{1941,5} = 499{,}9\,\Delta\varphi + 19{,}28\,\Delta\lambda + 0{,}952\,\int\varphi\,\Delta\lambda - 10{,}95\,(\Delta\varphi)^2 + 2{,}21\,(\Delta\lambda)^2$$

$\Delta\varphi$ und $\Delta\lambda$ bedeuten die Koordinatenunterschiede gegen Niemegk ($\varphi = 52{,}07°$, $\lambda = 12{,}68°$) positiv nach Norden und Osten. Extrapoliert auf unsere Reduktionsepoche, ergibt sich

(2)

$$\Delta Z_{1943,5} = 498{,}7\,\Delta\varphi^0 + 22{,}50\,\Delta\lambda^0 + 0{,}836\,\Delta\varphi\,\Delta\lambda^0 - 11{,}03\,(\Delta\varphi)^2 + 2{,}16\,(\Delta\lambda)^2$$

Die entsprechenden Gradienten pro Kilometer sind gegeben durch die Ausdrücke

(3)

$$\left(\frac{\delta Z}{\delta\varphi}\right)_{km} = 4{,}49 + 0{,}00752\,\Delta\lambda - 0{,}199\,\Delta\varphi, \quad \left(\frac{\delta Z}{\delta\lambda}\right)_{km} = \frac{22{,}50 + 0{,}836\,\Delta\varphi + 4{,}32\,\Delta\lambda}{L\varphi}$$

($L\varphi$ bedeutet die Länge eines Längengrades in der geographischen Breite φ.)

[5] Beiträge zur angewandten Geophysik, Bd. 9, S. 121.

Tabelle IV.

Nr.	Station	Höhe m ü. M.	Koordinaten km x	Koordinaten km y	Koord. Diff. geg. Payerne Δx	Koord. Diff. geg. Payerne Δy	Reduktion R_x	Reduktion R_y	Reduktion R_x+R_y	Vertikalintensität in γ berech.	Vertikalintensität in γ beob.	Vertikalintensität in γ Differenz	
	1	2	3	4	5	6	7	8	9	10	11	12	
1	Payerne	500	185.1	562.3	—	—	—	—	—	40633	40633	—	— 4
2	Merishausen I	550	291.4	687.9	+106.3	+125.6	+586	—13	+573	41206	41207	(+ 1)	— 3
3	Merishausen II	480	288.1	688.6	+103.0	+126.3	+568	—13	+555	41188	41186	(— 2)	6
4	Henggart	450	268.9	693.4	+ 83.8	+131.1	+462	—13	+449	41082	41095	(+13)	+ 9
5	Kemptthal	540	256.5	695.1	+ 71.4	+132.8	+393	—13	+380	41013	41020	(+ 7)	+ 3
6	Hegnau	490	250.4	693.7	+ 65.3	+131.4	+360	—13	+347	40980	41000	(+20)	+16
7	Regensberg	600	259.7	675.5	+ 74.6	+113.2	+411	—11	+400	41033	41047	(+14)	+10
8	Kreuzstraße	460	262.8	668.9	+ 77.7	+106.6	+428	—11	+417	41050	41055	(+ 5)	+ 1
9	Israelitischer Friedhof	400	264.7	665.4	+ 79.6	+103.1	+439	—10	+429	41062	41065	(+ 3)	— 2
10	Würenlos	410	255.7	668.1	+ 70.6	+105.8	+389	—11	+378	41011	41016	(+ 5)	+ 1
11	Würenlingen	350	263.3	660.0	+ 78.2	+ 97.7	+431	—10	+421	41054	41050	(— 4)	— 8
12	Mellingen	410	254.0	663.1	+ 68.9	+100.8	+380	—10	+370	41003	41008	(+ 5)	+ 1
13	Hausen	440	256.9	659.0	+ 71.8	+ 96.7	+396	—10	+386	41019	41024	(+ 5)	+ 1
14	Habsburg	440	257.2	657.1	+ 72.1	+ 94.8	+397	— 9	+388	41021	41020	(— 1)	— 5
15	Effingen	470	258.8	650.1	+ 73.7	+ 87.8	+406	— 9	+397	41030	41025	(— 5)	— 9
16	Birrfeld	406	253.8	660.2	+ 68.7	+ 97.9	+379	—10	+369	41002	41016	(+14)	+10
17	Othmarsingen-Lenzb'g	435	249.6	657.4	+ 64.5	+ 95.1	+355	—10	+345	40978	40984	(+ 6)	+ 2
18	Schafisheim	430	246.7	653.6	+ 61.6	+ 91.3	+339	— 9	+330	40963	40966	(+ 3)	— 1
19	Holziken	460	240.5	644.0	+ 55.4	+ 81.7	+305	— 8	+297	40930	40943	(+13)	+ 9
20	Bottenwil	650	237.8	640.8	+ 52.7	+ 78.5	+290	— 8	+282	40915	40924	(+ 9)	+ 5
21	Pfaffnau	470	233.3	634.2	+ 48.2	+ 71.9	+266	— 7	+259	40892	40900	(+ 8)	+ 4
22	St. Urban	480	230.6	628.9	+ 45.5	+ 66.6	+251	— 7	+244	40877	40908	(+31)	+27
23	Langenthal	480	230.2	627.6	+ 45.1	+ 65.3	+249	— 7	+242	40875	40908	(+33)	+29
24	Heimenhausen	450	228.8	620.1	+ 43.7	+ 57.8	+241	— 6	+235	40868	40868	(0)	— 4
25	Höchstetten	500	220.7	614.2	+ 35.6	+ 51.9	+196	— 5	+191	40824	40842	(+18)	+14
26	Wengi	480	215.9	597.1	+ 30.8	+ 34.8	+170	— 3	+167	40800	40807	(+ 7)	+ 3
27	Lyß	490	214.5	590.3	+ 29.4	+ 28.0	+162	— 3	+159	40792	40798	(+ 6)	+ 2
28	Fräschels	444	205.4	582.3	+ 20.3	+ 20.0	+112	— 2	+110	40743	40747	(+ 4)	0
29	Kerzers	470	203.8	582.1	+ 18.7	+ 19.8	+103	— 2	+101	40734	40739	(+ 5)	+ 1
30	Bevaix I	497	197.7	554.0	+ 12.6	— 8.3	+ 69	+ 1	+ 70	40703	40686	(—17)	—21
31	Bevaix II	437	197.4	554.2	+ 12.3	— 8.1	+ 68	+ 1	+ 69	40702	40686	(—16)	—20
32	Portalban	460	196.4	563.4	+ 11.3	+ 1.1	+ 62	0	+ 62	40695	40684	(—11)	—15
33	Forel	460	192.7	558.8	+ 7.6	— 3.5	+ 42	0	+ 42	40675	40668	(— 7)	—11
34	Estavayer	480	189.2	556.1	+ 4.1	— 6.2	+ 23	+ 1	+ 24	40657	40664	(+ 7)	+ 3
35	Avenches	440	192.8	569.7	+ 7.7	+ 7.4	+ 42	— 1	+ 41	40674	40671	(— 3)	— 7
36	Onnens I	430	187.0	543.2	+ 1.9	— 19.1	+ 10	+ 2	+ 12	40645	40637	(— 8)	—12
37	Onnens II	460	187.2	542.2	+ 2.1	— 20.1	+ 12	+ 2	+ 14	40647	40640	(— 7)	—11

Die Brückmannsche Z-Karte zeigt, daß das Vertikalfeld über der schweizerischen Hochebene, mit Ausnahme der Gebiete nördlich des Genfersees, ziemlich regelmäßig nach Süden abfällt. Aus verschiedenen Gründen wählten wir nicht die durch Formel (2) gegebene Verteilung als Normalfeld, sondern eine dazu parallele, die sich aber möglichst gut der ungestörten, oder nur wenig gestörten Zone des Mittellandes anschmiegt. Zu diesem Zweck wurden im Gebiet zwischen Boden- und Neuenburgersee nochmals eine größere Anzahl von Stationen sorgfältig vermessen. Tabelle IV gibt das Verzeichnis dieser Stationen, die Kolonnen 2, 3 und 4 enthalten die Meereshöhen und außerdem die rechtwinkligen Koordinaten nach dem topographischen Atlas der Schweiz im Maßstab 1 : 25 000. Kolonne 11 gibt die gemessenen Vertikalintensitäten reduziert auf die Epoche 1943,5.

Als Ausgangsstation für die Bestimmung des Normalfeldes wählten wir Payerne ($\varphi = 46° 49'$ N, $\lambda = 6° 57'$ E). Diese Station liegt ungefähr in der Mitte des gesamten vermessenen Gebietes und am Nordrand der eigentlichen Störung. Nach Formel (3) findet man für die Gradienten:

$$(4) \quad \ldots\ldots \left(\frac{\delta Z}{\delta \varphi}\right)_{km} = 5.51 \gamma/_{km} \; ; \; \left(\frac{\delta Z}{\delta \lambda}\right)_{km} = -0.10 \gamma/_{km}$$

Als genähertes Normalfeld ergibt sich also die Verteilung:

$$(5) \qquad Z = 40633 + 5{,}51\, \Delta x - 0{,}10\, \Delta y.$$

40633 ist die beobachtete Vertikalintensität von Payerne für die Epoche 1943,5 und Δx, bzw. Δy sind die Koordinatendifferenzen (Kolonne 5 und 6) gegen Payerne. Kolonne 10 gibt die nach (5) berechneten Z-Werte und Kolonne 12 die Differenz Beobachtung — Rechnung. Wie aus Kolonne 12 (eingeklammerte Zahlen) ersichtlich ist, vermag die Verteilung (5) die Beobachtungen schon ziemlich gut darzustellen. Es zeigen sich zwar kleinere, systematische, regionale Abweichungen, wie z. B. bei St. Urban und Langenthal oder die Stationen in der Umgebung des Neuenburgersees. Diese Abweichungen sind nicht zufälliger Art, denn sie sind bedeutend größer als die Meßfehler. Im großen und ganzen überwiegen in Kolonne 12 die positiven Abweichungen, und es scheint daß das Niveau um einige γ zu niedrig ist. Wir wählten deshalb für den Normalwert von Payerne einen um 4 γ größeren Wert und als Normalfeld die Verteilung

$$(6) \qquad Z = 40637 + 5.51\, \Delta x - 0.10\, \Delta y.$$

Daß diese Verteilung auch nach Süden extrapoliert werden darf, zeigt Tabelle V.

Tabelle V.

Nr.	Station	Höhe m ü. M.	Koordinaten km x	Koordinaten km y	Koord. Diff. geg. Payerne Δx	Koord. Diff. geg. Payerne Δy	Reduktion R_x	Reduktion R_y	Reduktion R_x+R_y	Vertikalintensität in γ berech.	Vertikalintensität in γ beob.	Vertikalintensität in γ Differenz
	1	2	3	4	5	6	7	8	9	10	11	12
	Payerne	500	185.1	562.3	—	—	—	—	—	40637	40633	— 4
38	Villeneuve	380	138.2	559.7	—46.9	— 2.6	—258	0	—258	40379	40376	— 3
39	Noville	380	137.7	558.1	—47.4	— 4.2	—261	0	—261	40376	40396	+ 20
40	Le Bouveret	380	137.6	556.7	—47.5	— 5.6	—262	+1	—261	40376	40391	+ 15
41	Anières	440	124.6	507.4	—60.5	—54.9	—333	+5	—328	40309	40295	— 14
42	Jussy	485	120.5	510.1	—64.6	—52.2	—356	+5	—351	40286	40288	+ 2
43	La Rasse	600	114.8	567.0	—70.3	+ 4.7	—387	0	—387	40250	40228	— 22
44	Martigny I	520	106.1	571.4	—79.0	+ 9.1	—435	—1	—436	40201	40167	— 34
45	Martigny II	560	105.8	571.0	—79.3	+ 8.7	—437	—1	—438	40199	40160	— 39

Diese Stationen liegen ganz beträchtlich südlich der eigentlichen Störung, zum Teil, wie z. B. Martigny, direkt auf dem herzynischen Grundgebirge, zum Teil auf den Alluvionen der Rhoneebene und im Südwesten wieder im Molassegebiet des Kantons Genf. Daß in diesen voneinander so ganz verschiedenen geologischen Formationen Differenzen wie in Tabelle V vorkommen, ist verständlich. Außerdem liegen diese Stationen so weit südlich, daß der Ausdruck (6) nur noch genähert gilt.

4. Darstellung der Beobachtungsresultate und abschließende Bemerkungen.

Tabelle VI.

Nr.	Station	Höhe m ü. M.	Koordinaten km x	Koordinaten km y	Koord. Diff. geg. Payerne Δx	Koord. Diff. geg. Payerne Δy	Reduktion R_x	Reduktion R_y	Reduktion R_x+R_y	Vertikalintensität in γ berech.	Vertikalintensität in γ beob.	Vertikalintensität in γ Differenz
	1	2	3	4	5	6	7	8	9	10	11	12
	Payerne	500	185.1	562.3	—	—	—	—	—	40637	40633	— 4
46	Cheyres	460	184.5	549.7	— 0.6	—12.6	— 3	+1	— 2	40635	40634	— 1
47	Yvonand	434	184.2	545.8	— 0.9	—16.5	— 5	+2	— 3	40634	40622	— 12
48	Baulmes	620	182.1	530.1	— 3.0	—32.2	— 17	+3	— 14	40623	40598	— 25
49	Yverdon-St-Georges	440	182.0	537.9	— 3.1	—24.4	— 17	+2	— 15	40622	40593	— 29
50	Matran	650	180.8	573.0	— 4.3	+10.7	— 24	—1	— 25	40612	40607	— 5
51	St-Christophe	570	180.7	531.0	— 4.4	—31.3	— 24	+3	— 21	40616	40594	— 22
52	Cuarny	620	180.3	542.2	— 4.8	—20.1	— 26	+2	— 24	40613	40578	— 35

Nr.	Station	Höhe m ü. M.	Koordinaten km x	Koordinaten km y	Koord. Diff. geg. Payerne Δx	Koord. Diff. geg. Payerne Δy	Reduktion R_x	Reduktion R_y	Reduktion $R_x + R_y$	Vertikalintensität in γ berech.	Vertikalintensität in γ beob.	Vertikalintensität in γ Differenz
	1	2	3	4	5	6	7	8	9	10	11	12
	Payerne	500	185.1	562.3	—	—	—	—	—	40637	40633	— 4
53	Granges-Marnand I . .	550	179.6	557.1	— 5.5	— 5.2	— 30	+1	— 29	40608	40601	— 7
54	Granges-Marnand II . .	470	179.2	558.4	— 5.9	— 3.9	— 33	0	— 33	40604	40589	— 15
55	Pomy	565	179.6	540.9	— 5.5	—21.4	— 30	+2	— 28	40609	40572	— 37
56	Suscévaz	450	179.2	534.0	— 5.9	—28.3	— 33	+3	— 30	40607	40577	— 30
57	Ependes Canal orientale	440	178.1	536.5	— 7.0	—25.8	— 39	+3	— 36	40601	40560	— 41
58	La Charrue	440	178.0	535.1	— 7.1	—27.2	— 39	+3	— 36	40601	40563	— 38
59	Sédeilles	690	177.7	561.2	— 7.4	— 1.1	— 41	0	— 41	40596	40580	— 16
60	Donneloye	530	177.1	544.6	— 8.0	—17.7	— 44	+2	— 42	40595	50544	— 51
61	Montcherand	660	176.1	527.1	— 9.0	—35.2	— 50	+4	— 46	40591	40543	— 48
62	Chanéaz	740	175.6	546.5	— 9.5	—15.8	— 52	+2	— 50	40587	40542	— 45
63	Villars-Bramard I . .	790	174.8	560.3	—10.3	— 2.0	— 57	0	— 57	40580	40569	— 11
64	Villars-Bramars II . .	770	174.0	560.3	—11.1	— 2.0	— 61	0	— 61	40576	40565	— 11
65	Essertines	600	174.7	539.1	—10.4	—23.2	— 57	+2	— 55	40582	40533	— 49
66	Dénezy	770	173.6	549.0	—11.5	—13.3	— 63	+1	— 62	40575	40523	— 52
67	Chavornay	500	173.0	534.7	—12.1	—27.6	— 67	+3	— 64	40573	40521	— 52
68	Thierrens	790	172.9	548.0	—12.2	—14.3	— 67	+1	— 66	40571	40512	— 59
69	Lucens	495	172.9	554.7	—12.2	— 7.6	— 67	+1	— 66	40571	40531	— 40
70	Vuarrengel	650	172.6	539.3	—12.5	—23.0	— 69	+2	— 67	40570	40518	— 52
71	Berlens	720	172.5	562.8	—12.6	+ 0.5	— 69	0	— 69	40568	40555	— 13
72	St-Cierges	770	172.2	546.9	—12.9	—15.4	— 71	+2	— 69	40568	40508	— 60
73	Entre Le Pont et Vallorbe	1030	171.5	515.9	—13.6	—46.4	— 75	+5	— 70	40567	40526	— 41
74	Prévonloup	785	171.3	557.2	—13.8	— 5.1	— 76	+1	— 75	40562	40549	— 13
75	Billens	730	171.3	559.0	—13.8	— 3.3	— 76	0	— 76	40561	40556	— 5
76	Juriens	790	171.2	524.5	—13.9	—37.8	— 77	+4	— 73	40564	40520	— 44
77	Bussy I	520	171.1	553.0	—14.0	— 9.3	— 77	+1	— 76	40561	40510	— 51
78	Bussy II	680	170.8	550.9	—14.3	—11.4	— 79	+1	— 78	40559	40500	— 59
79	Vuarrens I	680	170.7	540.3	—14.4	—22.0	— 79	+2	— 77	40560	40497	— 63
80	Vuarrens II	680	169.8	539.3	—15.3	—23.0	— 84	+2	— 82	40555	40497	— 58
81	Chapelle	780	170.0	546.4	—15.1	—15.9	— 83	+2	— 81	40556	40488	— 68
82	Le Brésil	530	169.7	534.9	—15.4	—27.4	— 85	+3	— 82	40555	40497	— 58
83	Vaulion I	1115	169.7	517.8	—15.4	—44.5	— 85	+4	— 81	40556	40508	— 48
84	Vaulion II	1140	169.1	516.9	—16.0	—45.4	— 88	+5	— 83	40554	40504	— 50
85	Pompaples-Plateau N .	580	169.7	528.1	—15.4	—34.2	— 85	+3	— 82	40555	40504	— 51
86	Pompaples-Gorge . . .	520	169.1	527.9	—16.0	—34.4	— 88	+3	— 85	40552	40512	— 40
87	Pompaples-Plateau S . .	590	168.8	527.7	—16.3	—34.6	— 90	+3	— 87	40550	40505	— 45
88	Bavois	600	169.3	533.7	—15.8	—28.6	— 87	+3	— 84	40553	40514	— 39
89	Moudon	520	169.3	551.7	—15.8	—10.6	— 87	+1	— 86	40551	40478	— 73
90	Le Coudray	580	168.9	534.7	—16.2	—27.6	— 89	+3	— 86	40551	40497	— 54
91	Chesalles	700	168.8	553.4	—16.3	— 8.9	— 90	+1	— 89	40548	40502	— 46
92	Bois d'Esse	710	168.7	559.7	—16.4	— 2.6	— 90	0	— 90	40547	40534	— 13
93	Goumoens-le-Jux . . .	560	168.7	534.8	—16.4	—27.5	— 90	+3	— 87	40550	40499	— 51
94	La Combe	730	168.7	544.7	—16.4	—17.6	— 90	+2	— 88	40549	40472	— 77
95	Brenles	830	168.5	556.1	—16.6	— 6.2	— 91	+1	— 90	40547	40523	— 24
96	Martherenges	770	168.3	547.2	—16.8	—15.1	— 93	+2	— 91	40546	40477	— 69
97	La Praz	940	168.3	521.6	—16.8	—40.7	— 93	+4	— 89	40548	40512	— 36
98	Le Pont	1070	167.9	515.7	—17.2	—46.6	— 95	+5	— 90	40547	40505	— 42
99	Eclépens I	500	167.7	531.8	—17.4	—30.5	— 96	+3	— 93	40544	40520	— 24
100	Eclépens II	455	167.4	531.8	—17.7	—30.5	— 98	+3	— 95	40542	40524	— 18
101	Bois de Blonay	600	167.7	548.5	—17.4	—13.8	— 96	+1	— 95	40542	40464	— 78
102	Goumoens-la-Ville . . .	610	167.4	536.6	—17.7	—25.7	— 98	+3	— 95	40542	40504	— 38
103	Villaraboud	770	167.3	558.9	—17.8	— 3.4	— 98	0	— 98	40539	40530	— 9
104	Chavannes près Moudon	650	167.1	551.4	—18.0	—10.9	— 99	+1	— 98	40539	40488	— 51
105	Vuisternens	790	167.1	561.1	—18.0	— 1.2	— 99	0	— 99	40538	40510	— 28
106	Mollendruz	1170	166.9	518.2	—18.2	—44.1	—100	+4	— 96	40541	40508	— 33
107	Montaubion	770	166.9	544.7	—18.2	—17.6	—100	+2	— 98	40539	40465	— 74
108	Sugnens	680	166.6	542.2	—18.5	—20.1	—102	+2	—100	40537	40471	— 66
109	Siviriez-Le Saulgy . . .	800	166.5	556.0	—18.6	— 6.3	—102	+1	—101	40536	40527	— 9
110	Chardonney	760	166.4	544.6	—18.7	—17.7	—103	+2	—101	40536	40461	— 75
111	Dommartin	700	166.3	542.7	—18.8	—19.6	—104	+2	—102	40535	40467	— 68
112	Echallens	630	166.2	538.3	—18.9	—24.0	—104	+2	—102	40535	40495	— 40

Nr.	Station	Höhe m ü. M.	Koordinaten km x	Koordinaten km y	Koord. Diff. geg. Payerne Δx	Koord. Diff. geg. Payerne Δy	Reduktion R_x	Reduktion R_y	Reduktion R_x+R_y	Vertikalintensität in γ berech.	Vertikalintensität in γ beob.	Vertikalintensität in γ Differenz
	1	2	3	4	5	6	7	8	9	10	11	12
	Payerne	500	185.1	562.3	—	—	—	—	—	40637	40633	— 4
113	Le Lieu	1060	166.0	510.4	—19.1	—51.9	—105	+5	—100	40537	40498	— 39
114	Vuarmarens	690	166.0	553.0	—19.1	— 9.3	—105	+1	—104	40533	40517	— 16
115	Lieffrens	810	165.7	558.1	—19.4	— 4.2	—107	0	—107	40530	40530	—
116	L'Abbaye	1009	165.5	512.3	—19.6	—50.0	—108	+5	—103	40534	40491	— 43
117	Poyet I	810	165.5	562.0	—19.6	— 0.3	—108	0	—108	40529	40500	— 29
118	Poyet II	830	165.2	562.4	—19.9	+ 0.1	—110	0	—110	40527	40504	— 23
119	Oulens	580	165.2	534.1	—19.9	—28.2	—110	+3	—107	40530	40530	—
120	Sépey	640	165.2	550.4	—19.9	—11.9	—110	+1	—109	40528	40505	— 23
121	Poliez-le-Grand	710	164.8	540.2	—20.3	—22.1	—112	+2	—110	40527	40490	— 37
122	Villars-Tiercelin	800	164.7	543.9	—20.4	—18.4	—112	+2	—110	40527	40474	— 53
123	Ursy	710	164.7	553.7	—20.4	— 8.6	—112	+1	—111	40526	40571	+ 45
124	L'Isle	680	164.1	521.2	—21.0	—41.1	—116	+4	—112	40525	40500	— 25
125	Vucherens	755	164.0	549.0	—21.1	—13.3	—116	+1	—115	40522	40531	+ 9
126	Vauderens I	850	163.9	557.4	—21.2	— 4.9	—117	0	—117	40520	40564	+ 44
127	Vauderens II	820	162.6	554.9	—22.5	— 7.4	—124	+1	—123	40514	40630	+116
128	Chemin des Paysans I	860	163.7	544.0	—21.4	—18.3	—118	+2	—116	40521	40486	— 35
129	Chemin des Paysans II	870	163.0	544.5	—22.1	—17.8	—122	+2	—120	40517	40517	—
130	Chemin des Paysans III	870	161.3	544.2	—23.8	—18.1	—131	+2	—129	40508	40588	+ 80
131	Chemin des Paysans IV	890	159.8	544.0	—25.3	—18.3	—139	+2	—137	40500	40677	+177
132	Bulle	775	163.6	571.8	—21.5	+ 9.5	—118	—1	—119	40518	40494	— 24
133	Grange Neuve	860	163.4	563.3	—21.7	+ 1.0	—120	0	—120	40517	40499	— 18
134	Lachaux	600	163.0	526.5	—22.1	—35.8	—122	+4	—118	40519	40520	+ 1
135	Rue	620	162.8	552.6	—22.3	— 9.7	—123	+1	—122	40515	40649	+134
136	Cossonay I	570	162.7	528.8	—22.4	—33.5	—123	+3	—120	40517	40518	+ 1
137	Cossonay II	570	162.2	528.6	—22.9	—33.7	—126	+3	—123	40514	40518	+ 4
138	Bottens	770	162.4	540.8	—22.7	—21.5	—125	+2	—123	40514	40503	— 11
139	Le Crêt	920	162.2	559.9	—22.9	— 2.4	—126	0	—126	40511	40524	+ 13
140	Bouloz	850	162.2	558.2	—22.9	— 4.1	—126	0	—126	40511	40562	+ 51
141	Boussens	610	161.9	533.9	—23.2	—28.4	—128	+3	—125	40512	40515	+ 3
142	Froideville I	840	161.9	541.8	—23.2	—20.5	—128	+2	—126	40511	40527	+ 16
143	Froideville II	840	160.8	543.0	—24.3	—19.3	—134	+2	—132	40505	40592	+ 87
144	Ecublens	630	161.8	551.5	—23.3	—10.8	—128	+1	—127	40510	40691	+181
145	Porsel	840	161.7	555.9	—23.4	— 6.4	—129	+1	—128	40509	40629	+120
146	Les Marmes	850	161.7	556.9	—23.4	— 5.4	—129	+1	—128	40509	40600	+ 91
147	Montheron	740	160.3	540.4	—24.8	—21.9	—137	+2	—135	40502	40573	+ 71
148	Mézières	740	160.2	548.6	—24.9	—13.7	—137	+1	—136	40501	40762	+261
149	La Verrerie de Semsales	840	160.2	560.3	—24.9	— 2.0	—137	0	—137	40500	40530	+ 30
150	Monneaux	690	159.9	519.5	—25.2	—42.8	—139	+4	—135	40502	40500	— 2
151	Cheseaux	630	159.5	536.6	—25.6	—25.7	—141	+3	—138	40499	40547	+ 48
152	Pont près Oron	740	159.3	555.0	—25.8	— 7.3	—142	+1	—141	40496	41643	+147
153	Gollion	460	159.0	528.8	—26.1	—33.5	—144	+3	—141	40496	40497	+ 1
154	Chalet-à-Gobet	870	158.2	543.0	—26.9	—19.3	—148	+2	—146	40491	40763	+272
155	Vufflens-la-Ville	492	158.2	531.0	—26.9	—31.3	—148	+3	—145	40492	40517	+ 25
156	Les Cullayes	840	158.2	547.4	—26.9	—14.9	—148	+1	—147	40490	40805	+315
157	Vuibroye	630	158.2	551.7	—26.9	—10.6	—148	+1	—147	40490	40722	+232
158	La Bursine	1050	157.9	503.7	—27.2	—58.6	—150	+6	—144	40493	40492	— 1
159	Fontaine des Meules	810	157.6	540.2	—27.5	—22.1	—152	+2	—150	40487	40763	+276
160	La Faraz	500	157.3	531.9	—27.8	—30.4	—153	+3	—150	40487	40530	+ 43
161	Le Grand-Mont	770	157.2	539.1	—27.9	—23.2	—154	+2	—152	40485	40752	+267
162	Châtillens	645	157.2	552.9	—27.9	— 9.4	—154	+1	—153	40484	40654	+170
163	La Goille	880	157.0	546.0	—28.1	—16.3	—155	+2	—153	40484	40840	+356
164	Bussigny	490	156.8	532.6	—28.3	—29.7	—156	+3	—153	40484	40565	+ 81
165	Essertes	710	156.7	550.4	—28.4	—11.9	—156	+1	—155	40482	40722	+240
166	Ravin de la Sorge	430	156.4	533.2	—28.7	—29.1	—158	+3	—155	40482	40597	+115
167	Apples	620	156.3	522.9	—28.8	—39.4	—159	+4	—155	40482	40489	+ 7
168	Crissier	460	156.2	533.4	—28.9	—28.9	—159	+3	—156	40481	40609	+128
169	Les Tavernes	660	155.8	551.3	—29.3	—11.0	—161	+1	—160	40477	40659	+182
170	Bière	700	155.8	516.6	—29.3	—45.7	—161	+5	—156	40481	40503	+ 22
171	Romanel	450	155.7	529.1	—29.4	—33.2	—162	+3	—159	40478	40536	+ 58
172	La Planche	640	155.5	552.8	—29.6	— 9.5	—163	+1	—162	40475	40599	+124

Nr.	Station	Höhe m ü. M.	Koordinaten km x	km y	Koord. Diff. geg. Payerne Δx	Δy	Reduktion R_x	R_y	R_x+R_y	Vertikalintensität in γ berech.	beob.	Differenz
	1	2	3	4	5	6	7	8	9	10	11	12
	Payerne	500	185.1	562.3	—	—	—	—	—	40637	40633	— 4
173	Savigny I	840	155.3	546.0	—29.8	—16.3	—164	+2	—162	40475	40829	+354
174	Savigny II	810	155.0	546.6	—30.1	—15.7	—166	+2	—164	40473	40810	+337
175	Renens	460	155.0	534.4	—30.1	—27.9	—166	+3	—163	40474	40687	+213
176	Sur les Monts I . . .	710	154.1	542.0	—31.0	—20.3	—171	+2	—169	40468	40903	+435
177	Sur les Monts II . . .	680	153.4	541.8	—31.7	—20.5	—175	+2	—173	40464	40895	+431
178	Granges près Palézieux .	720	153.3	553.4	—31.8	— 8.9	—175	+1	—174	40463	40518	+ 55
179	Châtel-St-Denis . . .	865	153.1	559.3	—32.0	— 3.0	—176	0	—176	40461	40479	+ 18
180	Préverenges	430	152.7	530.6	—32.4	—31.7	—179	+3	—176	40461	40654	+193
181	Morges	420	152.5	527.7	—32.6	—34.6	—180	+3	—177	40460	40561	+101
182	Gimel-Saubraz	720	152.3	514.1	—32.8	—48.2	—181	+5	—176	40461	40498	+ 37
183	Belmont I	650	152.3	542.3	—32.8	—20.0	—181	+2	—179	40458	40857	+399
184	Belmont II	630	152.2	542.1	—32.9	—20.2	—181	+2	—179	40458	40864	+406
185	Yens	535	152.2	522.1	—32.9	—40.2	—181	+4	—177	40460	40513	+ 53
186	Liaisettes	720	152.1	545.3	—33.0	—17.0	—182	+2	—180	40457	40775	+318
187	St-Sulpice	410	152.0	532.4	—33.1	—29.9	—182	+3	—179	40458	40717	+259
188	Bossonnens	775	151.9	554.6	—33.2	— 7.7	—183	+1	—182	40455	40434	— 21
189	Vidy I	375	151.9	535.4	—33.2	—26.9	—183	+3	—180	40457	40811	+354
190	Vidy II	375	151.8	535.6	—33.3	—26.7	—183	+3	—180	40457	40816	+359
191	Praz de Verde s. Gr'dvaux	710	151.8	544.7	—33.3	—17.6	—183	+2	—181	40456	40788	+332
192	Venoge-ouest	380	151.4	530.3	—33.7	—32.0	—186	+3	—183	40454	40659	+205
193	Venoge-est	380	151.2	531.4	—33.9	—30.9	—187	+3	—184	40453	40690	+237
194	Tour de Gourze . . .	920	151.3	546.5	—33.8	—15.8	—186	+2	—184	40453	40694	+241
195	Lavigny	530	151.0	521.3	—34.1	—41.0	—188	+4	—184	40453	40508	+ 55
196	Ouchy I	390	150.9	538.6	—34.2	—23.7	—188	+2	—186	40451	40816	+365
197	Ouchy II	380	150.8	538.8	—34.3	—23.5	—189	+2	—187	40450	40818	+368
198	Vulpillière	700	150.6	548.0	—34.5	—14.3	—190	+1	—189	40448	40636	+188
199	St-Georges	925	150.5	509.6	—34.6	—52.7	—191	+5	—186	40451	40482	+ 31
200	Grandvaux	645	150.4	544.4	—34.7	—17.9	—191	+2	—189	40448	40741	+293
201	Puidoux	680	149.8	548.3	—35.3	—14.0	—195	+1	—194	40443	40618	+175
202	Marchissy	860	149.8	508.8	—35.3	—53.5	—195	+5	—190	40447	40482	+ 35
203	Pralet	730	149.3	554.7	—35.8	— 7.6	—197	+1	—196	40441	40467	+ 26
204	Cully	430	148.9	544.8	—36.2	—17.5	—199	+2	—197	40440	40645	+205
205	La Buritaz	790	148.7	551.4	—36.4	—10.9	—201	+1	—200	40437	40510	+ 73
206	Chexbres	500	147.7	549.5	—37.4	—12.8	—206	+1	—205	40432	40501	+ 69
207	St-Prex	380	147.4	523.9	—37.7	—38.4	—208	+4	—204	40433	40520	+ 87
208	Chanivaz	475	146.1	520.9	—39.0	—41.4	—215	+4	—211	40426	40485	+ 59
209	Begnins	630	144.8	508.2	—40.3	—54.1	—222	+5	—217	40420	40442	+ 22
210	Prangins I	400	141.1	510.7	—44.0	—51.6	—242	+5	—237	40400	40430	+ 30
211	Prangins II	400	139.4	509.9	—45.7	—52.4	—252	+5	—247	40390	40420	+ 30

In Tabelle VI sind alle Meßresultate aus dem eigentlichen Störungsgebiet zusammengestellt. Neben den Ortsangaben, geordnet nach fallenden x-Koordinaten, enthält diese Tabelle in den Kolonnen 10 und 11 das Normalfeld nach (6) und das beobachtete Feld. Kolonne 12 gibt die Differenz dieser zwei Größen. Der bessern Übersicht halber wurden diese Werte in den beiliegenden Karten I und II im Maßstab 1 : 200 000 dargestellt. Karte I gibt für die Epoche 1943,5 die beobachteten Z-Werte und die Kurven gleicher Intensität in Abständen von 50 zu 50 γ. Karte II enthält die Überschüsse, bzw. Defekte gegenüber dem Normalfeld. Wie aus dieser Karte zu ersehen ist, liegt die Zone maximaler positiver Störung von einem Betrag von über 400 γ im Nordosten von Lausanne, im Gebiet des eigentlichen Jorat. Die gestörte Zone zeigt genähert die Form einer Ellipse, deren Längsachse dem alpinen Streichen parallel verläuft und sich ziemlich genau mit der sogenannten Molasse-Antiklinale deckt,* wo die horizontalen Schichtlagerungen in einem scharfen Knick plötzlich gegen SE absinken. Nördlich dieser positiv gestörten Zone liegt ein schwach negativ gestörtes Gebiet mit einem Kern etwa 12 km nördlich des positiven Maximums. Diese negativ gestörte Zone erstreckt sich aber besonders ausgeprägt gegen Westen ins Gebiet von Le Pont—Vallorbe weiter, während ihre östliche Fortsetzung nur schwach hervortritt und mangels Messungen nicht weiter verfolgt werden kann. Ferner ist eine Abgrenzung der Anomalie gegen Südwesten hin nicht möglich, denn unsere Messungen beschränken sich auf das Nordufer des Sees. Ergänzungsmessungen auf dem savoyischen Ufer wären von großem Interesse. Sie sind aber infolge der Zeitumstände momentan nicht ausführbar. Ebenso mußte vorläufig auf

* E. Renevier: L'Axe Anticlinal de la Molasse aux environs de Lausanne. Eclogae geologicae helvetiae, Vol. VII N° 4.

Messungen auf dem schweizerischen Teil des Sees verzichtet werden. Eine wirklich zuverlässige Meßreihe auf dem See selbst erfordert die Konstruktion eines ziemlich stabilen eisenfreien Floßes. Beobachter und Fahrzeug könnten dann bei ruhiger Witterung der ziemlich beträchtlichen, dem Ufer parallel verlaufenden Strömung, überlassen werden. Sie müßten nur bei günstiger Witterung zur Meßstelle hin und wieder von dieser zurück ans Ufer geschleppt werden, was beim heutigen Brennstoffmangel schon ein recht kompliziertes und kostspieliges Unternehmen bedeutet. Vielleicht bietet sich in Zukunft einmal Gelegenheit, das Experiment nachzuholen. Wir sind deshalb nicht in der Lage die Anomalie weiter nach Süden und Südwesten hin zu verfolgen. Schon im Jahre 1890,7 hatte der italienische Physiker Batelli [6] in Lausanne, Villeneuve und Thonon die Elemente D, H, J gemessen. Zur Reduktion seiner Messungen stand ihm aber damals keine benachbarte Variometerstation zur Verfügung, so daß aus seinen Resultaten keine zwingenden Schlüsse über den Verlauf des magnetischen Feldes auf dem See gezogen werden können. Auch die neuesten magnetischen Karten von Frankreich [7], die allerdings nur in sehr kleinem Maßstab vorliegen, zeigen für Savoyen nur schwache negative Störungen in der Vertikalkomponente.

Bevor nicht die endgültigen Vermessungsresultate für die andern zwei Elemente vorliegen, möchten wir auf eine weitere Diskussion vorläufig verzichten. Wir glauben aber jetzt schon darauf hinweisen zu müssen, daß es ganz unwahrscheinlich ist, daß die Störung durch Siderolithe verursacht wird, wie solche an verschiedenen Stellen der westlichen Molasse zu finden sind.[8] Das Kurvenbild sowie der glatte Verlauf der Kurven deutet auf ein in beträchtlicher Tiefe liegendes (mehrere Kilometer), zur Hauptursache durch das Erdfeld normal induziertes Medium, dessen magnetische Suszeptibilität beträchtlich von derjenigen der Nebengesteine abweicht. Siderolithische Gesteinsproben aus dem Gebiet von Eclepens sowie aus der Schlucht von Talent, nördlich von Goumoens-le-Jux, zeigen in ihrem magnetischen Verhalten überhaupt keinen nennenswerten Unterschied gegenüber demjenigen der Nachbargesteine.[9] Ferner fügen sich unsere Feldmessungen direkt über der etwa 5 bis 6 Meter mächtigen Siderolithbank im Tobel des Talent, unterhalb Le Brésil, zwangslos in die Messungen der Umgebung ein. Die gefundenen Differenzen sind, wie folgende Tabelle zeigt, höchstens von der Größenordnung der Platzinhomogenität.

Tabelle VII.

Messung unmittelbar *auf* dem Siderolith	40498 γ 40497 γ.
Messung etwa 8 m unterhalb der Siderolithbank	40496 γ
Messung in größerer Entfernung von diesen Bänken	40498 γ 40496 γ.

[6] Archives des Sciences phys. et nat. Tome XXVIII, Genève 1892.

[7] Mme de Madinhac et Mlle Homery: Atlas magnétique, Bureau central de magnétisme terrestre, Paris 1925.
E. Mathias, Ch. Maurain, L. Eblé et Mlle Homery: Anomalies du champ magnétique terrestre en France. Ann. de l'Inst. de Phys. du Globe IX., Paris 1931.

[8] W. Custer: Etude géologique du Pied du Jura vaudois, Beiträge zur geologischen Karte der Schweiz, 59. Lieferung.
H. Schardt: Notice géologique sur la Molasse rouge et le terrain sidérolithique du pied du Jura. Bulletin de la Société Vaudoise Sc. nat. XVI 83, Lausanne 1880.
Arnold Bersier: Recherches sur la Géologie et la Stratigraphie du Jorat, Thèse, Lausanne 1938. Mémoires Société Vaudoise Sc. nat., Vol. 6 N° 3, Lausanne 1938.

[9] Herr Dr. Bersier hatte die Freundlichkeit, uns einige Gesteinsproben aus dem Musée de l'Université de Lausanne, zur provisorischen Untersuchung zur Verfügung zu stellen.

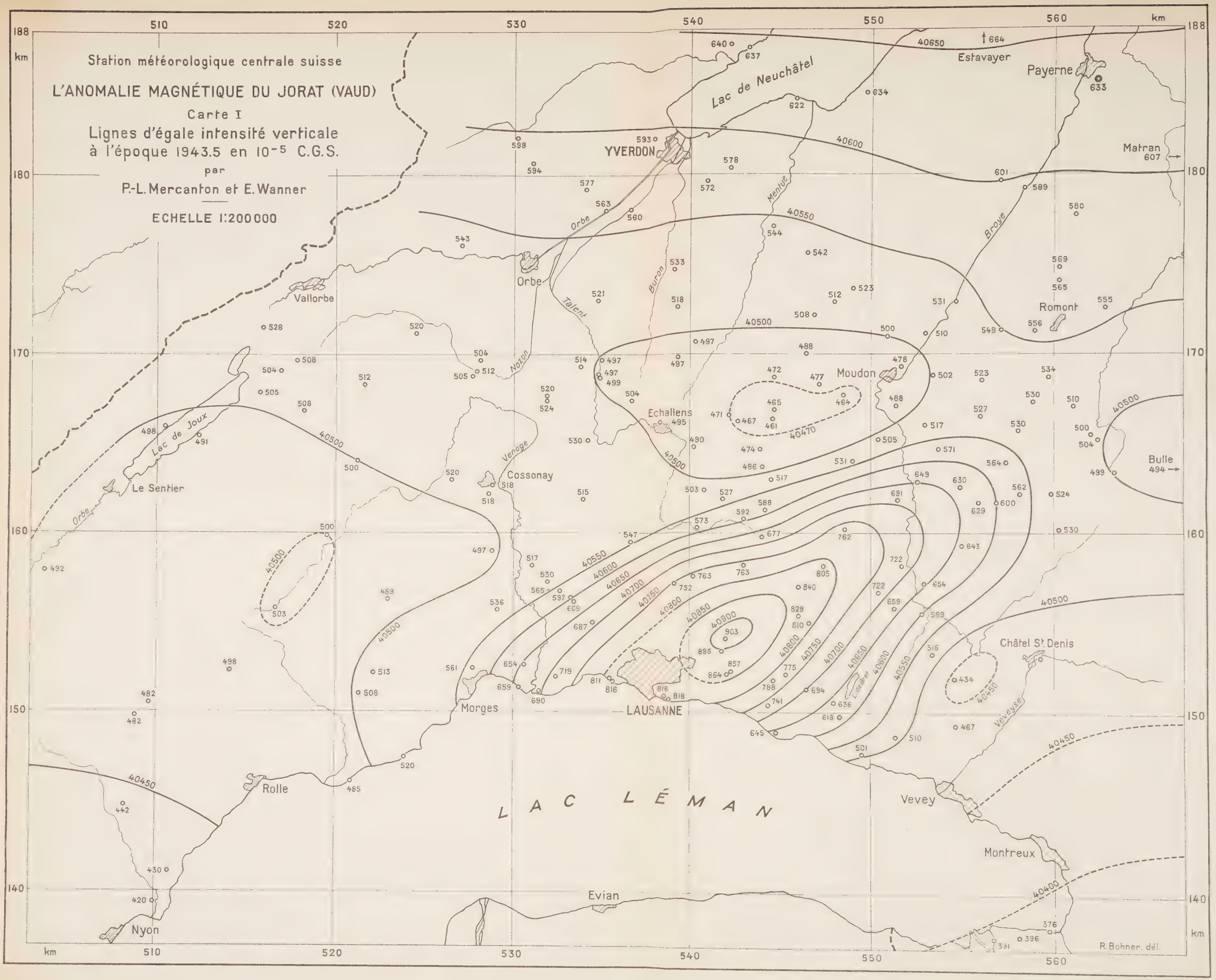

FREY & KRATZ, ZÜRICH 2.

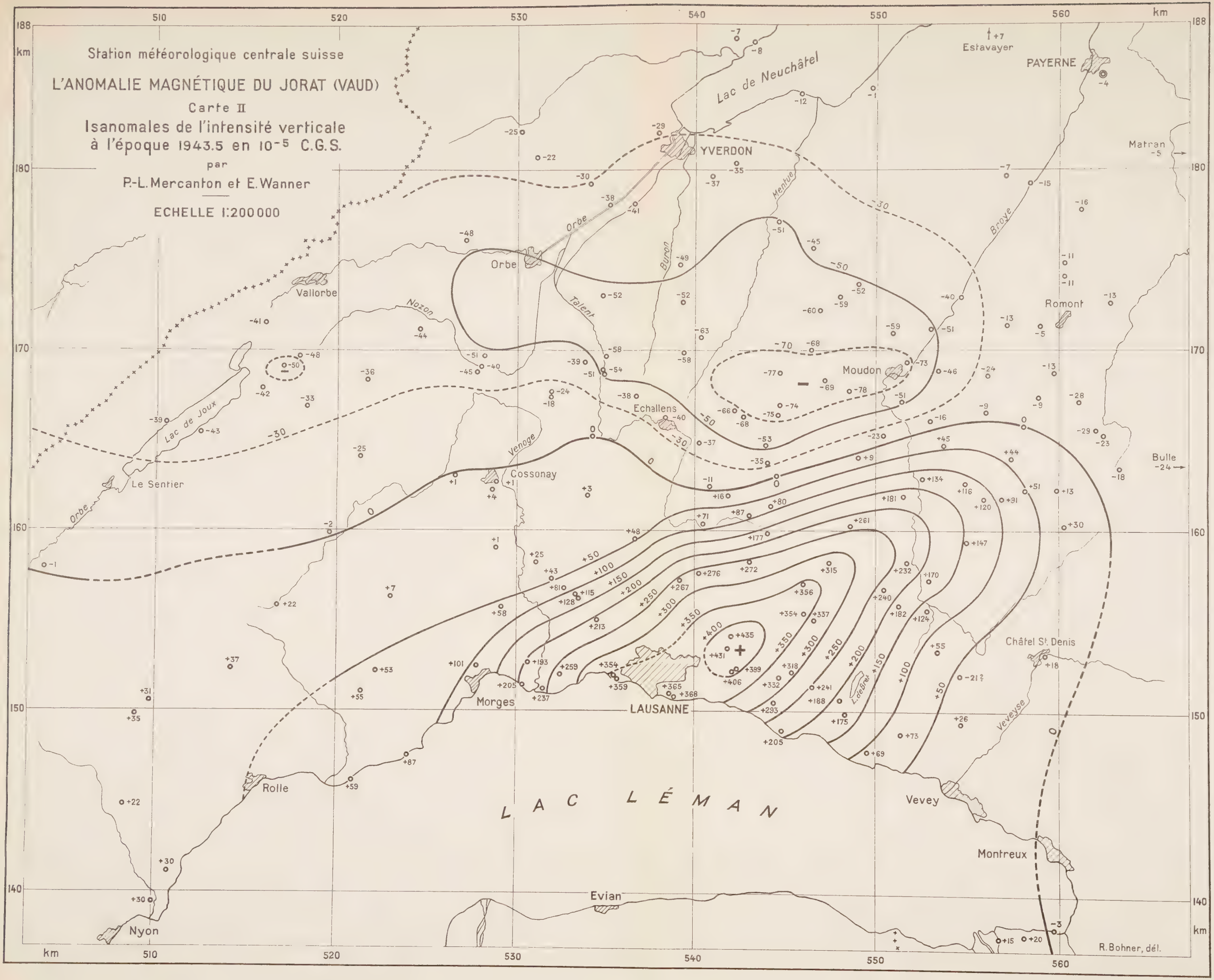
Station météorologique centrale suisse
L'ANOMALIE MAGNÉTIQUE DU JORAT (VAUD)
Carte II
Isanomales de l'intensité verticale
à l'époque 1943.5 en 10⁻⁵ C.G.S.
par
P.-L. Mercanton et E. Wanner
ECHELLE 1:200000
Lac de Neuchâtel
YVERDON
PAYERNE
Estavayer
Matran
Romont
Bulle
Châtel St. Denis
Vallorbe
Orbe
Le Sentier
Lac de Joux
Echallens
Moudon
Cossonay
Morges
LAUSANNE
Rolle
Nyon
Evian
Vevey
Montreux
L A C L É M A N
Orbe
Nozon
Talent
Buron
Mentue
Broye
Venoge
Veveyse
L. de Bret
km
R. Bohner, dél.
FREY & KRATZ, ZÜRICH 2.

NOAA CENTRAL LIBRARY
CIRC SH328.I52
ICLARM bibliographies
3 8398 0005 1859 1